



**Ευχαριστώ τους μουσικούς Abed Azrié, Peter Pringle,
Ross Daly, Thanasis Kleopas, Vangelis Papathanasiou, & Yamma Ensemble,**

που με τις μελωδίες τους και τις φωνές τους
με συνόδευσαν στο ταξίδι των γραμμάτων
και άνοιξαν στην σκέψη μου και τον νου μου
τις θύρες του μαγευτικού παρελθόντος.

**Ιδιαίτερες ευχαριστίες στον καθηγητή Juan-José Marcos
του Πανεπιστημίου της Plasencia της Ισπανίας**
που με την γραμματοσειρά του Alphabetum & Ritsos βοήθησε
την προσπάθεια αυτού του βιβλίου να θυμίζει
κάτι από το παλαιό.

**Στην οικογένεια μου.
Σε φίλους που ζήσαμε αιώνιες στιγμές και δεν είναι πια εδώ.**

Ό,τι γνωρίζω είναι μια σταγόνα, δε γνωρίζω τίποτα,
ό,τι προσπαθώ δίνω την ψυχή μου, δε φοβάμαι τίποτα,
ό,τι αγαπώ νιώθω τον παλμό του, δεν ελπίζω σε τίποτα.
Παιδί των άστρων που πολεμάει για ένα καλύτερο μέλλον.
Για την ελευθερία, την ειρήνη και την αγάπη...

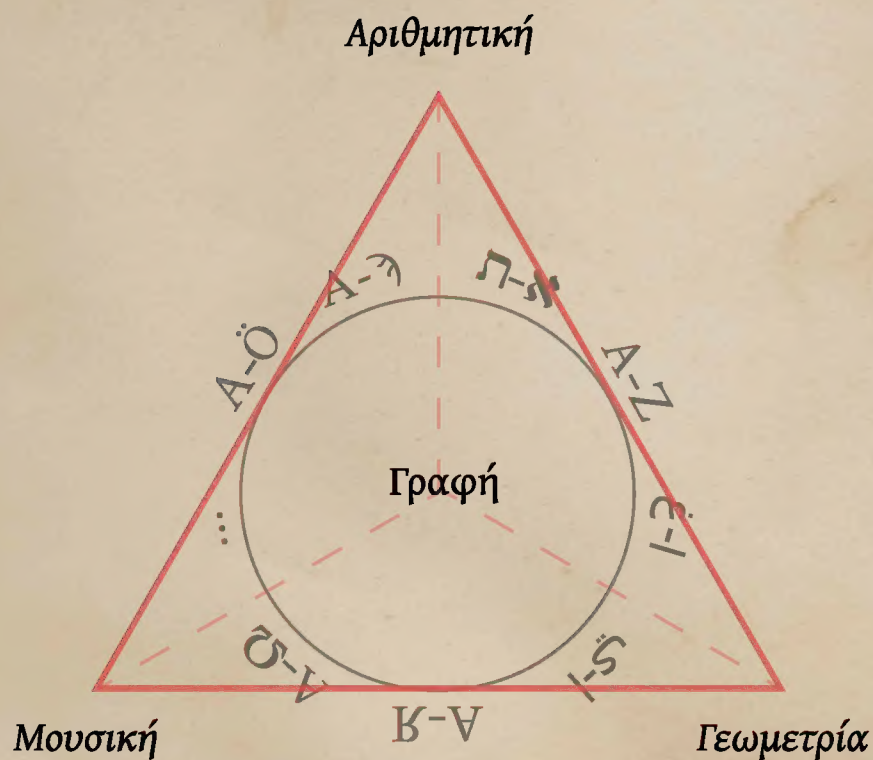


14 Αλφάβητα + Ένας Μετουσιωτής

ΠΑΡΑΤΗΡΗΣΕΙΣ & ΣΧΟΛΙΑΣΜΟΙ

ΣΧΕΤΙΚΑ ΜΕ ΤΑ ΓΡΑΜΜΑΤΑ

ΠΕΤΡΟΣ ΠΕΤΡΑΚΗΣ. ΑΡΧΙΤΕΚΤΩΝ ΜΗΧΑΝΙΚΟΣ



ΑΘΗΝΑ, ΣΕΠΤΕΜΒΡΙΟΣ 2021 - ΜΑΪΟΣ 2022

14 Alphabets & The Metousiotis

INTRODUCTION – ΕΙΣΑΓΩΓΗ

I draw 112 words for each of the 14 languages (Arabic, Basque, English, Finnish, French, German, Greek, Hebrew, Icelandic, Italian, Latin, Russian, Spanish, and Swedish) in 112 different circles, and I detect every word creates a zigzag line, as isosceles triangles & trapezium, equilateral & right triangles, pentagrams, etc., in a circle. When I place the letters of the 14 alphabets on a circle (for example 24, 27, 29, 30, 36, etc. of equal distances), I notice geometric relationships (angles and straight segments) between them. First, I note this property in words that were instrumental in establishing philosophical thought and theological belief, but extend to words of secondary significance, like “hello,” “infant,” and “voice.” It is a proven fact that ancient civilizations have employed the letters of alphabets in mathematical operations. I conjecture a tacit relationship between alphabets and geometry, which descended from a long-standing habit of engaging in math and geometry.

As stated in the hypothesis, Greek capital letters are based on geometric shapes that condense proportions, semantic structures, and meanings (Semiology). I depict and compare them with ancient elements in an attempt to approach their design based on assumptions and scientific principles. In addition, I am

seeking numerical and geometrical correlations that contribute to the production of very few words (in Greek and English), such as “Chaos” (ΧΑΟΣ), “Goddess” (ΘΕΑ), “God” (ΘΕΟΣ), “Jove” (ΔΙΑΣ), “Zeus” (ΖΕΥΣ), “Marduk” (ΜΑΡΔΟΥΚ). In the annotation, the terms interrelate with the Fibonacci and Lucas sequences. The process involves the changeover of numbers into letters to ascertain the presence of the chosen words in tables. By coincidence, these words appear in tables and relevant drawings as a result of replacing numerals with letters. My theory is supported by the fact that “*Mesopotamians used mathematical tables extensively to relieve the tedium of long calculations*” (Joseph, 2011: 142). Among the many problems I encounter are the two arithmetic sequences that have emerged after some alphabets, such as Greek and Hebrew. Despite this, I assume that the two arithmetic sequences existed in ancient times, because other studies tend to support this hypothesis.

The aim is to create novel design tools to approach architectural design via the spoken language (“Metousiotis”). The vision (utopia) is to discover a mechanism for word creation and the interrelationship between languages (a common basis).

Σχεδιάζονται 112 λέξεις για καθεμία από τις 14 γλώσσες (Αγγλικά, Αραβικά, Βασκικά, Γαλλικά, Γερμανικά, Εβραϊκά, Ελληνικά, Ισλανδικά, Ισπανικά, Ιταλικά, Λατινικά, Ρωσικά, Σουηδικά και Φινλανδικά) σε 112 διαφορετικούς κύκλους και παρατηρείται ότι από την κάθε λέξη προκύπτει μια τεθλασμένη γραμμή, παράγοντας μέσα στον κύκλο ένα γεωμετρικό σχήμα, όπως ένα ισοσκελές τρίγωνο ή τραπέζιο, ισόπλευρο ή ορθογώνιο τρίγωνο, πεντάγραμμο κτλ. Τα γράμματα των 14 αλφαβήτων (π.χ. 24, 27, 29, 30, 36) ισομοιράζονται πάνω στον κύκλο (ως σημεία) και παρατηρούνται γεωμετρικοί συσχετισμοί (γωνιών και ευθυγράμμων τμημάτων) μεταξύ κάποιων αλληλένδετων λέξεων. Πιθανολογείται μια σιωπηρή σύνδεση μεταξύ αλφαβήτων και γεωμετρίας, απότοκος μιας μακράς συνήθειας της ενασχόλησης με τα Μαθηματικά. Αρχικά, η ιδιότητα αυτή παρατηρήθηκε στις λέξεις όπου βασίζεται η φιλοσοφική σκέψη και ο θεολογικός στοχασμός, αλλά καταφαίνεται ότι επεκτείνεται σε λέξεις δευτερεύουσας σημασίας («χαίρε», «νεογνό», «φωνή»).

Ως γνωστόν, οι αρχαίοι πολιτισμοί χρησιμοποιούσαν τα γράμματα των αλφαβήτων σε μαθηματικές πράξεις. Στηριζόμενος σε αυτό, οργανώνονται παρατηρήσεις συσχετισμών μεταξύ γραμμάτων, αριθμητικής και γεωμετρίας. Σύμφωνα με ένα μέρος της υπόθεσης, η Κεφαλαιογράμμη Ελληνική Γραφή βασίζεται σε γεωμετρικά σχήματα στα οποία συμπυκνώνονται αναλογίες, σημασιολογικές δομές και έννοιες («Σημειολογία»). Επιπλέον, καταβάλλεται μία προσπάθεια συνοπτικής

παρουσίασης και σύγκρισης με επίσημα στοιχεία της αρχαίας εποχής, με σκοπό να προσεγγιστεί στο ελάχιστο ο «σχεδιασμός» γραμμάτων και λέξεων με παραδοχές βασισμένες σε υποθέσεις και επιστημονικές θέσεις. Συγχρόνως, διερευνάται η συνύπαρξη αριθμητικών και γεωμετρικών συσχετισμών που συμβάλλουν στην παραγωγή μερικών λέξεων (Ελληνικών & Αγγλικής), όπως για παράδειγμα το «ΧΑΟΣ», η «ΘΕΑ», ο «ΘΕΟΣ», ο «ΔΙΑΣ», ο «ΖΕΥΣ», ο «ΜΑΡΔΟΥΚ». Βάσει της υπόθεσης και των παραδοχών, τα ονόματα αυτά εξάγονται από τις ακολουθίες Fibonacci και Lucas με τη μετατροπή αριθμών σε γράμματα. Κατά σύμπτωση, από τη διαδικασία αυτή ανακαλύπτονται οι παραπάνω λέξεις στους βοηθητικούς πίνακες, αλλά και στα εξαγόμενα τους σχέδια. Η χρήση πινάκων βασίζεται στο γεγονός ότι «από τους Μεσοποτάμιους χρησιμοποιούνταν εκτενώς μαθηματικοί πίνακες ώστε να ανακουφίζεται η κοπιώδη προσπάθεια των μεγάλων υπολογισμών» (Joseph, 2011: 142). Το σημαντικότερο πρόβλημα που υφίσταται είναι η εμφάνιση των δύο αριθμητικών ακολουθιών πολύ αργότερα από τη δημιουργία ορισμένων αλφαβήτων, όπως του Ελληνικού και του Εβραϊκού. Ωστόσο, ως παραδοχή λαμβάνεται η ύπαρξή τους κατά την αρχαιότητα, αφού από διάφορες άλλες έρευνες υποστηρίζεται η χρήση τους.

Στόχος αυτής της έρευνας είναι η δημιουργία νέων εργαλείων σχεδιασμού κατά την αρχιτεκτονική σύνθεση μέσω του έναρθρου λόγου («Μετουσιωτής»). Επίσης, το όραμα (η ουτοπία) συνίσταται στην ανακάλυψη ενός μηχανισμού παραγωγής λέξεων και αλληλεξάρτησης/κοινής βάσης μεταξύ των γλωσσών.

Περιεχόμενα

Ὅρφέως Ὕμνος εἰς Μούσας	4
Προλεγόμενα. Παρατηρήσεις & Σχολιασμοί	VIII
Μυθολογία - Κατακλυσμοί	12
Μυθολογία - Γλωσσικό Ζήτημα	15
Γλωσσολογία - Γλωσσικό ζήτημα	18
Συστήματα Επικοινωνίας και Γραφή	23
Εμφάνιση αριθμητικής - μαθηματικών	25
Εμφάνιση γεωμετρίας	52
Ακολουθία Fibonacci & Lucas	58
Αναγωγές σε κύκλους ανά τους πολιτισμούς	70
Αποτελέσματα εξελιγμένων μαθηματικών και γεωμετρικών γνώσεων στην Ανατολή ...	84
Δομές - Αρχιτεκτονική	90
Ιστορία εικονογραφίας	99
Παρατηρήσεις και σχολιασμοί στα αλφάβητα των 14 διαφορετικών γλωσσών	103
Παρουσίαση των 112 λέξεων για κάθε μία από τις 14 γλώσσες & Αλφαβήτων.....	121
Διατύπωση υπόθεσης σχηματισμού αρχαίων λέξεων	156
Δισδιάστατο σχέδιο απόδοσης υπόθεσης	168
Τρισδιάστατη σχηματική απόδοση υπόθεσης	169
Ανακεφαλαίωση υπόθεσης	170
Σχεδιαστική Προσέγγιση Λέξης - Γεωμετρία, Αριθμητική - Διέπουσα λογική	175
Αναγωγές των 112 λέξεων των 14 γλωσσών σε κύκλους	191
Παρουσίαση περιεχομένων των ανά ζεύγη λέξεων (αντικρυστές σελίδες)	210
14 Αλφάβητα. Γλωσσικό Γενεαλογικό Δέντρο - Παραδείγματα ανά ζεύγη λέξεων	210
14 Alphabets & Ο Μετουσιωτής	283
Ὅρφέως Ὕμνος εἰς Μούσας. Σε έναν κύκλο	307
Πηγές Εικόνων	312
Βιβλιογραφία	345
Words: Love - Peace. Modern Peace Sign	366
Ὅρφέως Ὕμνος εἰς Μούσας. Σε έναν κύκλο	367
14 Alphabets. Language Family Tree - Alpha, Ἄλφα	369

"We still do not know one-thousandth of one percent of what nature has revealed to us..."

Albert Einstein

Προλεγόμενα. Παρατηρήσεις & Σχολιασμοί



ποδεκτό είναι ότι **οι γνώσεις** κατά την ρχαιότητα δεν αποτελούσαν κτήμα ενός πολιτισμού, αλλά **μετακινούνταν είτε δια των εμπορικών αρτηριών είτε δια των κατακτήσεων**. Οι εφαρμογές των γνώσεων απαντώνται στα μνημεία (μεγαλιθικά ή μη) **σε όλα τα μήκη και πλάτη της Γης**, τα οποία ενσάρκωναν ιδέες. Τα σύμβολα τους είναι ή η προσεκτική παρατήρηση της μεγαλοσύνης της πλάσης και η προσπάθεια συμπίκνωσης της ή ίσως μία ασυναίσθητη χειρονομία κατευθυνόμενη από την ίδια την δομή της πραγματικότητάς μας ή το απαύγασμα της μελέτης και της σκέψης ενός πολιτισμού -ή περισσοτέρων- που έχει/ουν διανύσει τον κακοτράχαλο δρόμο της αρετής. Τα σύμβολα υπήρχαν, υπάρχουν και θα υπάρχουν ως υπογραφές του συνόλου που πριν από χιλιάδες ή εκατοντάδες χρόνια αναπτύχθηκε, έζησε την ακμή του, αλλά τελικώς αποσύρθηκε στο δικό του αιώνιο δωμάτιο της σιωπής, χαράσσοντας έξω στην απέρατη πόρτα του ορισμένες γραμμές, αποδίδοντας αφαιρετικά

την προσπάθεια της ένωσής του με την θεία στιγμή της δημιουργίας και της εναρμόνισής του με την φύση.

Η μελέτη των δομών και των μηχανισμών της φύσης συνετέλεσε στην **δημιουργία της βάσης** του πολιτισμού και συνέδραμε στη δημιουργία της **αρχιτεκτονικής** επιστήμης.¹ Φαίνεται πως η ανθρωπότητα αναδιατυπώνει με νέους όρους τις αρχές που παραλαμβάνει από τους παλαιότερους σε επίπεδο αρχιτεκτονικής και τέχνης. Η πρωτοπορία ανήκει στους Σουμερίους, στους Βαβυλώνιους, στους Χετταίους, στους Κινέζους, στους Αιγύπτιους, στους Έλληνες, στους Εβραίους, στους Χαραύππα, στους Ιάπωνες, στους Αιθίοπες, στους Κέλτες, στους Incas, στους Ινδούς και σε όλους εκείνους τους πολιτισμούς που μελ(έτησαν/ετούν μέχρι και σήμερα) την μεγαλοσύνη της πλάσης και δημι(ούργησαν/ουργούν) μνημεία υπογράφοντας με ανεξίτηλο μελάνι στο βιβλίο της συλλογικής μνήμης του πλανήτη. Τα έργα τους κατ(έκτησαν/ ακτούν) τους ουρανούς εφευρίσκοντας μία μορφή αθανασίας κατατροπώνοντας την φθαρτή φύση της ύπαρξης.



Fig. 9

Fig. 1: Great Ziggurat) of Ur. Neo-Sumerian, 21st c. BC



Fig. 1



Fig. 2



Fig. 3

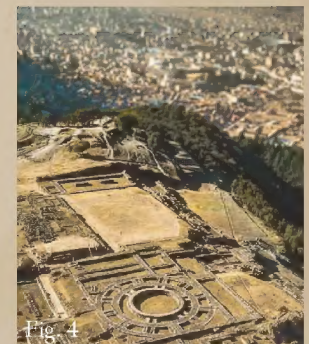


Fig. 4

Fig. 3: Rock-Hewn Churches. Lalibela, Ethiopia, 12th c. AD

Fig. 4: Sacsayhuamán. Incas Cusco, Peru 900-1200 AD

Fig. 5: Moenjodaro city. Harappan. Indus valley. Pakistan & N.India 30st c. BC



Fig. 5



Fig. 6



Fig. 7

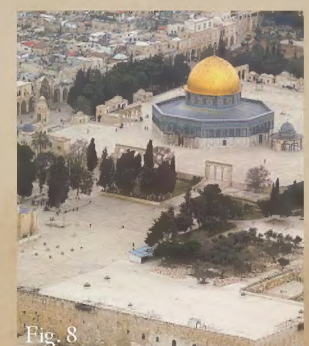


Fig. 8

Fig. 7: Lion Gate, Mycenae, 1250 BC

Fig. 8: Temple Mount. Jerusalem Fig. 9:

¹ ("The Architect: A Weekly Illustrated Journal of Art, Civil Engineering and Building," 1875, σ. 125)

² Η αρχιτεκτονική λογίζεται ως η διαδικασία του τίκτειν δια του «Δημιουργού» Νου συγκροτώντας ένα ον.²

Η σύλληψη μιας ιδέας και η υλοποίησή της προσομοιώνει εκείνη την κατά τας Γραφάς στιγμή της θείας «δημιουργίας των πρωτόπλαστων».

«[...] ό δε πάντων πατήρ ό Νους, ών ζωή και φώς, άπεκύησεν Άνθρωπον αύτῳ ἴσον, οὐ ήράσθη ώς ιδίου τόκου περικαλλής γάρ, τήν τοῦ πατρός εικόνα έχων όντως γάρ και ό Θεός ήράσθη τής ιδίας μορφής, παρέδωκε τά έαυτοῦ πάντα δημιουργήματα [...]»³ Ερμής Τρισμέγιστος, «Ερμητικά Κείμενα» [Λόγος Α' 12]

Απόδοση κειμένου:

«[...] και ο πατέρας όλων, ο νους, που είναι ζωή και φως, γέννησε τον άνθρωπο, ἴσον με τον εαυτό του, τον οποίο αγάπησε ως γέννημα δικό το. Κι ήταν πανέμορφος ο άνθρωπος γιατί είχε την ίδια εικόνα με τον πατέρα του. Επειδή ο Θεός αγάπησε την ίδια του την μορφή, του παρέδωσε όλα του τα δημιουργήματα. [...]»

«καί εἶπεν ό Θεός· γεννηθήτω φώς· καί ἐγένετο φώς» (Παλαιά Διαθήκη, Γένεσις). Κεφάλαιον (α'), στ. γ'

Σύμφωνα με το πλαίσιο του ορισμού, προκύπτει ότι κατά τον

σχεδιασμό ο αρχιτέκτονας αποδίδει ένα σημαντικό κομμάτι της ψυχής του. Καθώς διακατέχεται από την «εκστατική» θεία (ίσως συναίσθημα μερικών δευτερολέπτων) έμπνευση συμπυκνώνει «σιωπηρά» υπό μορφή σκίτσου ένα μικρόκοσμο. Χωρίζοντας ένα τμήμα του «είναι» του, καθιστά μια νέα δημιουργία, ως κατά το βιβλικό χωρίο· η Εύα δημιουργείται από το πλευρό του Αδάμ ή κατά την ελληνική μυθολογία· η Αθηνά δημιουργείται από το κεφάλι του Δία.

«καί επέβαλεν ό Θεός έκστασιν επί τόν Άδάμ, καί ύπνωσε· καί έλαβε μίαν τῶν πλευρῶν αύτοῦ καί άνεπλήρωσε σάρκα άντ' αύτῆς.»⁴ Γένεσις 2,22

Σημειώνεται ακόμα ότι, από τον ίδιο δημιουργείται/πλάθεται κάτι το μοναδικό. Η/ο αρχιτέκτων ως ένας μικρός θεός, καθώς αξιοποιεί τις αρμονικές χαράξεις⁵ -τη θεϊκή σοφία- το δημιούργημά του εξυψώνεται και ενώνεται με το αυτοδημιούργητο θείο στοιχείο. Αυτή η ένωση ομοιάζει με τους μεθεκτικούς⁶ αρχέγονους κυκλικούς χορούς που καθώς το σύνολο περιστρέφεται σκεπτόμενο την ένωση του με το θείο στοιχείο, κινείται ρυθμικά με μία τελετουργική μουσική σαν τους πλανήτες γύρω από το ζωοδότη αστέρα τους. Όπως οι εν τω χορώ προσλαμβάνουν και αποδίδουν τη χαρά και την αγάπη στους γύρω τους, έτσι και το κτήριο ως ένας πυκνωτής ζωής -σαν ένας πυκνωτής που αποθηκεύει το ηλεκτρικό φορτίο- «αποθηκεύει» και τροφοδοτεί την πόλη με ζωή, π.χ. ένα εργοστάσιο με αγαθά, ένα θέατρο με την ψυχαγωγία κ.ο.κ.

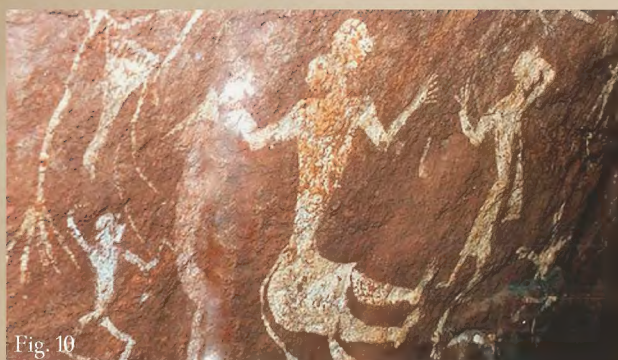


Fig. 10



Fig. 11

Fig. 10:
Dancers. The
Prehistoric Paintings
of the Pachmarhi Hills,
India

Fig. 11: Circle dance.
Phaistos, 30st c. BC



Fig. 12



Fig. 13

Fig. 12: Navajo Fire
Dance by William
Robinson Leigh

Fig. 13: The Dervishes
Dance

² Ορισμός από τον συγγραφέα.
³ (Ερμής Τρισμέγιστος, 1990, σ. 22)
⁴ («Παλαιά Διαθήκη: Γένεσις Κεφ. 1-5," n.d.)
⁵ (Μουτσόπουλος, 2010, σ. 27). Δ. Κωνσταντινίδης Περί Άρμονικῶν Χαράξεων ("sacred geometry") εἰς τήν Αρχιτεκτονικήν καί τās Εἰκαστικῆς Τέχνης (Αθήνα 1961, σ. 6): «Χάραξις εἰς ἓν μνημεῖον ἢ ἔργον Τέχνης, εἶναι ἡ ἔνταξις χαρακτηριστικῶν σημείων ἢ γραμμῶν αὐτοῦ εἰς ἓν γεωμετρικόν πλέγμα, εἴτε ἔμφανές, εἴτε διαπιστούμενον κατόπιν ἰδιαζούσης γεωμετρικῆς διερευνήσεως. Άρμονική δέ Χάραξις εἶναι ἡ προσδίδουσα εἰς τὸ ἐξεταζόμενον ἡ

δημιουργούμενον ἔργον αἰσθητικῆς ιδιότητος [...]» (σ. 321) πᾶσα ἰθύνουσα ἑσωτερική γραμμική κατασκευή, προσδιοριζομένη ἐκ τῶν προτέρων καί παρουσιάζουσα ἀριθμητικὴν ἢ γεωμετρικὴν νομοτέλειαν δυναμένην να χρησιμεύσῃ ὡς ὀργανικὸς σκελετὸς εἰς τὰ ἔργα τοῦ ἀνθρώπου, καὶ ἰδίᾳ εἰς τὰ ἀρχιτεκτονήματα καὶ τὰ ἔργα Τέχνης πρὸς δημιουργίαν Μορφῆς καὶ Ρυθμοῦ, εἶναι ἓν τῇ οὐσίᾳ τῆς μίᾳ Άρμονικῆς Χάραξις.»
⁶ (Μπαμπινιώτης, 2010, σ. 831). Μέθεξι: πνευματικὴ ταῦτιση, συμμετοχή· πρβ ("μέθεξι - Βικιλεξικό," 2022). Μέθεξι: ψυχικὴ συνάντησις, πνευματικὴ ταῦτιση, συμμετοχή, (φιλοσοφία) ἐπικοινωνία ἀνάμεσα στον αἰσθητὸ κόσμον καὶ τὸν κόσμον τῶν ιδεῶν

Fig. 14: Parthenon.
Analysis of the front

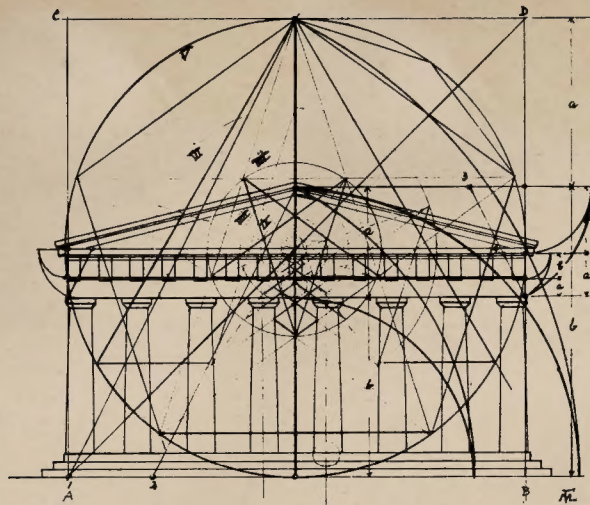


Fig. 14

Fig. 15: 36 1.
Decagon 2. Decagon
and golden section
3. Pentagon and
golden section
6. Hexagon
of equilateral
triangles.

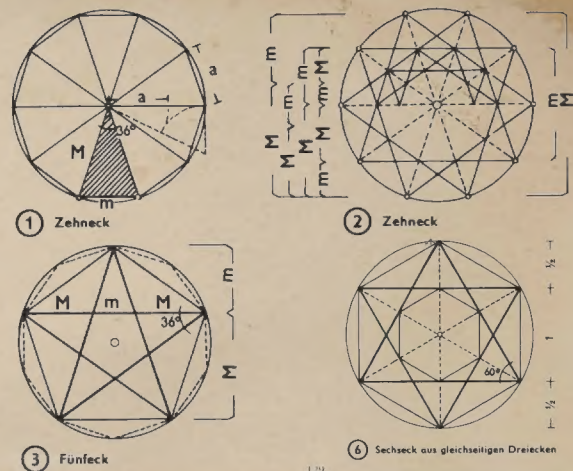


Fig. 15

Fig. 16: The
Cathedral of Notre-
Dame Transverse
section, analysis.

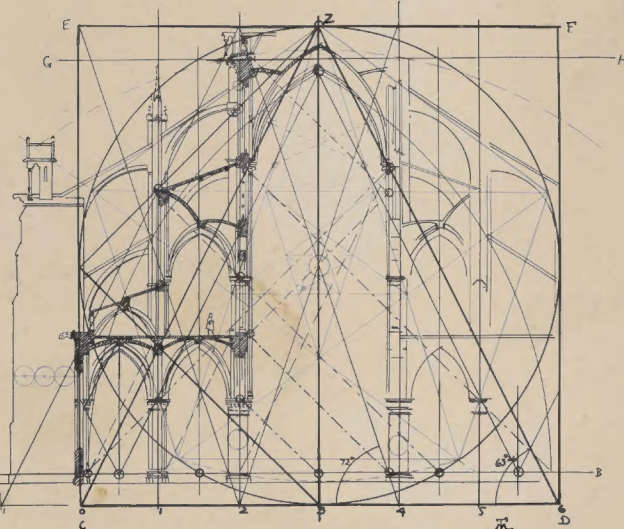


Fig. 16

Fig. 17: Cross section
of the Gračanica
Monastery (1318-21)

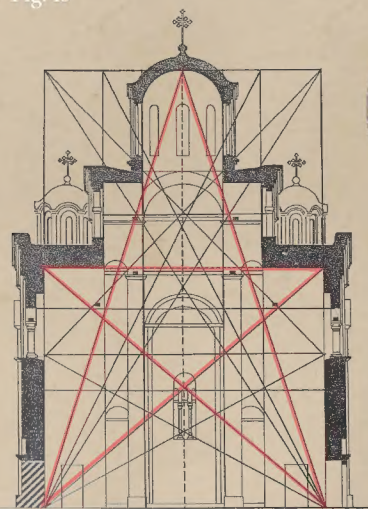


Fig. 17

Fig. 18: Human
proportions as
imaginary invisible
lines with geometric
progressions vvin
the façades of Gothic
cathedrals 149
Fig. 19: Cathedral

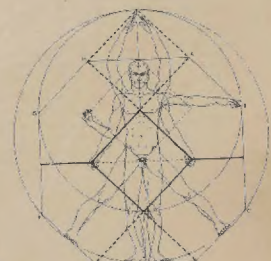


Fig. 18

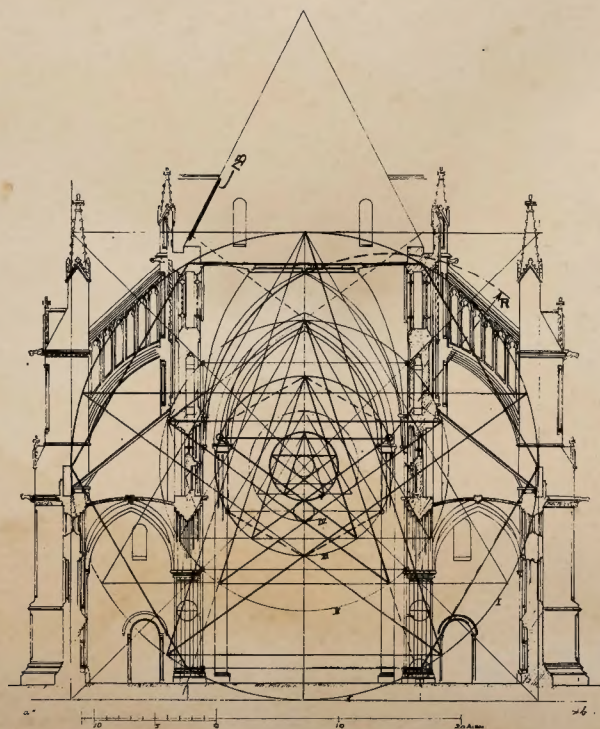


Fig. 19

of Nidaros.
Transverse section
of Macody Lund's
design, proportioned
according to the sectio
aurea

Fig. 20: Leonardo da
Vinci and the Codex
Huygens

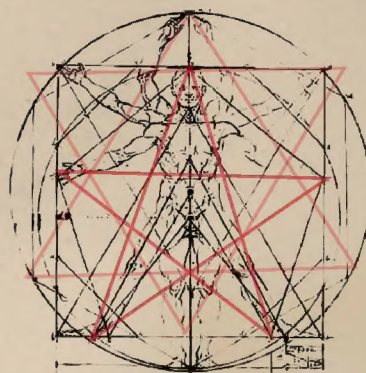


Fig. 20

Fig. 21: Minsther of
Freiburg in Baden,
the west front analysis

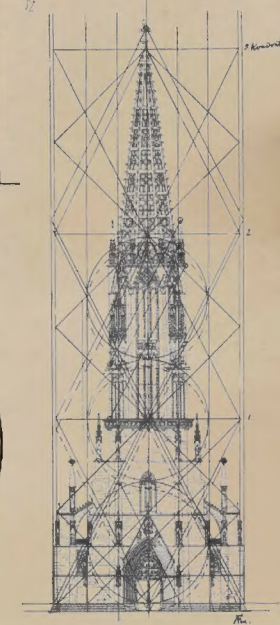


Fig. 21

Fig. 22: Golden ratio
of the southern side
structures of Jame
Mosque of Isfahan

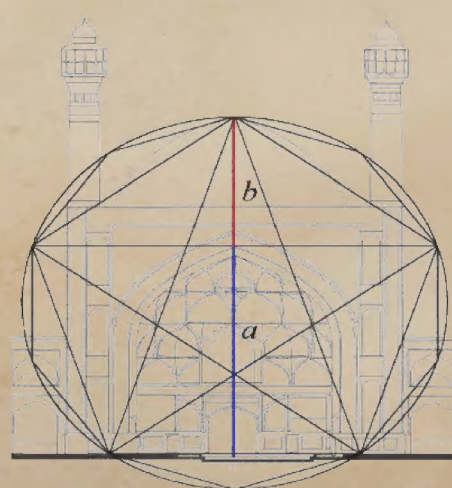


Fig. 22

Παραπάνω σημειώθηκε ότι υπάρχει ένα διαφορετικό κτήριο με μοναδικό ή παρόμοιο σχεδιασμό για κάθε χρήση στ'α πλαίσια μίας πόλης. Σε παραλληλισμό με τη γλώσσα, θεωρείται ότι υπάρχουν λέξεις που περιγράφουν είτε καθετί μοναδικό -αποδίδοντας την λεπτότερη απόχρωση των νοημάτων- είτε κάτι παρεμφερές. Ομοίως, το ίδιο θεωρείται ότι συμβαίνει με τα κτήρια όμοιας χρήσης ή διαφορετικής, όπως λ.χ. στις περιπτώσεις προορισμού τους για αναψυχή, υπηρεσίες ή διοικήσεις. Επεξηγηματικά, η μορφή του κτηρίου -από την οποία προσδιορίζεται και η ταυτότητά του- διαφέρει συγκριτικά με τα υπόλοιπα της ίδιας χρήσης. Ωστόσο, η γεωμετρία αποτελεί μία δεξαμενή άντλησης λύσεων τόσο αισθητικών όσο και λειτουργικών προβλημάτων, ενδεικτικά αναφέρεται η χρυσή τομή.

Στην παρούσα έρευνα διεξάγεται μία **προσέγγιση (ορισμός υπόθεσης)** δημιουργίας κάποιων λέξεων με τη βοήθεια της γεωμετρίας. Η ύπαρξη γεωμετρικών συσχετισμών κατά την αναγωγή τους σε κύκλο, παρατηρείται στις **112 εξεταζόμενες λέξεις των 14 διαφορετικών γλωσσών**. Η παραπάνω παρατήρηση συνάγεται από μία συμπτωματική ομοιότητα ως προς τα παραγόμενα σχήματα των λέξεων που περιγράφουν το ίδιο νόημα/στοιχείο. Βάσει αυτού, τέθηκε η υπόθεση ότι η γεωμετρία είναι μία κοινή δεξαμενή από την οποία αντλούνται στοιχεία προς δημιουργία κάποιων λέξεων κατά την αρχαιότητα.

Σε παραλληλισμό με τα μέσα του 19^{ου} αι. μ.Χ. έως σήμερα, χρησιμοποιούνται -από την ευρωπαϊκή επιστημονική κοινότητα- ως **δεξαμενές** τα ελληνικά ή τα λατινοελληνικά λεξιλογικά στοιχεία, προκειμένου να δημιουργηθούν επιστημονικοί όροι ή πνευματικές έννοιες.⁷ Με άλλα λόγια, πρόκειται για δύο αρχαιότερες δεξαμενές -αυτές των αρχαίων Ελληνικών και

Λατινικών όρων- που αντλούνται στοιχεία για να παραχθούν Ευρωπαϊκές λέξεις· για παράδειγμα, το γαλλικό *microbe* (μικρός + βίος), το αγγλοαμερικάνικο *astronaut* (άστρον + ναύτης), το γερμανικό *ökonom-ik* < *oeconomicus* < *οικονομικός*.⁸ Σε αντιπαράβολή με την αρχιτεκτονική, στους αρχαίους χρόνους, ως γνωστόν, η γεωμετρία αποτελούσε μία κοινή δεξαμενή, δια της οποίας απογειώθηκε η αρχιτεκτονική όλων των πολιτισμών. Από την επισταμένη γεωμετρική μελέτη κατορθώθηκε ο σχεδιασμός αξεπέραστων μνημείων σε ολόκληρο τον πλανήτη. Παράλληλα, από την γεωμετρία καθορίστηκαν τα γεωμετρικά σχήματα της γραπτής αποτύπωσης της γλώσσας (τα γράμματα) και κατεστήθηκε δυνατή η βελτιστοποίηση της γραπτής επικοινωνίας -κατ' επέκταση της γραφής/γραφπής απόδοσης της γλώσσας.

Εν συνέχεια, καίρια θεωρείται η αναφορά της ύπαρξης ομάδων πιστημών, καλλιτεχνών και μεμονωμένων ατόμων, εκ των οποίων παράγονται νέες λέξεις (ονοματοποιία), δίχως την αξιοποίηση της Λατινικής ή της Ελληνικής γλώσσας. Συγκεκριμένα, ορισμένες νέες λέξεις είτε επινοούνται μέσω κάποιων αισθήσεων που διεγείρονται,⁹ είτε λαμβάνονται από τον τόπο μιας ανακάλυψης,¹⁰ είτε τιμής ένεκεν αποδίδεται το όνομα του εφευρέτη/ερευνητή/μελετητή.¹¹ Συνεπώς, **νέες λέξεις δημιουργούνται από διαφορετικές ομάδες ανθρώπων στο πέρας των αιώνων ανάλογα με τις νέες ανακαλύψεις της ανθρωπότητας προσαρμόζοντάς τις κάθε φορά σε μία βάση** (κοινό κώδικα επικοινωνίας) αναφορικά με την **αίσθηση** ή **συσχετίζοντάς τις** με μία **μνημονική ανάκληση** ενός γεγονότος/τόπου/εφευρέτη. Εκ της ονοματοποιίας, ως μία πρώτη βάση οργάνωσης δεδομένων και αφορμών της έρευνας, **πιθανολογείται ότι η δημιουργία κάποιων λέξεων, αλλά και γραμμάτων, είναι ένας απότοκος στοχαστικών, γεωμετρικών, μαθηματικών και φιλοσοφικών προβληματισμών.**



(Kodak, n.d.).
The word «Kodak» was first registered as a trademark in 1888. There has been some fanciful speculation, from time to time, on how the name was originated. But the plain truth is that Eastman invented it out of thin air.

ΦΥΩ ή ΦΥΩ
(GERMINATE or BUD)



Germination

Yemen's "Dragon's Blood Island"



ΦΥΛΛΟ ή ΦΥΛΛΟ
(LEAF)



Large Olive Tree Slice Cut From The Woods

7 (Μόζερ κ.α., 2008, σ. 305-306)
8 (Μόζερ κ.α., 2008, σ. 305); (Τζιροπούλου-Ευσταθίου, 2006, σ. 235-644)
9 (Kodak, n.d.). Ο όρος 'Kodak' επινοήθηκε.
10 (Wikipedia Contributors, 2019). Το χημικό στοιχείο Στρόντιο - Strontium (Sr) εκ του Strontian, χωριό της Σκωτίας όπου

βρέθηκε το 1790; ("Κατάλογος χημικών στοιχείων κατά ατομικό αριθμό," 2019)
11 ("Τέσλα (μονάδα μέτρησης)," 2019). Το 'Tesla', συμβολίζεται με T ως μονάδα μέτρησης της έντασης μαγνητικού πεδίου. Ορίστηκε το 1960 προς τιμήν του Nicola Tesla, του Σέρβου, Ηλεκτρολόγου Μηχανικού και εφευρέτη.

"People who think that they know the reasons for everything are unaware of the obvious fact that the existence of the universe itself is one big unfathomable secret, and so is our human existence."

Carl Jung. Letters Vol. II, Pages 252-253

Μυθολογία - Κατακλυσμοί



εβαιώνεται τόσο από τα αρχαιολογικά ευρήματα πάσης φύσεως όσο και από την προφορική παράδοση ότι οι αρχαίοι πολιτισμοί σε όλα τα μήκη και πλάτη της Γης συνδέονται στενά αφενός μεν ως προς τις μυθοπλασίες, οι οποίες ερμηνεύουν τα εκάστοτε κοσμοϊστορικά γεγονότα -κατακλυσμούς, πτώσεις μετεωριτών, ακραία καιρικά φαινόμενα- και αφετέρου δε ως προς την εικονογραφική αναπαράσταση δοξασιών, πεποιθήσεων, μύθων, θεών, συμβόλων κτλ.

Αδιαμφισβήτητα, κατά τους αρχαίους χρόνους, η επαφή των αρχαίων πολιτισμών με ιθαγενείς μικρούς πληθυσμούς επιφέρει αναπόδραστα την μετάδοση ορισμένων γνώσεων σε μία τοπική ελίτ. Με την βοήθεια των οποίων είναι ικανές να χειραγωγήσουν και να επηρεάσουν τους υπολοίπους οργανώνοντας μία ιεραρχική κοινωνία ελέγχου.¹² Ένας από τους λόγους για τους οποίους συνέβαινε ήταν η οργάνωση δικτύου εμπορικών αρτηριών και η εξασφάλιση του εργατικού δυναμικού από τοπικούς φυλετικούς πυρήνες, με σχετική ευχέρεια εργασίας, λ.χ. στο ερημικό κλίμα.

The winged human-headed figure holds an object resembling a pine-cone called by the Assyrians a "purifier," and may have had a symbolic association with the artificial fertilization of date-palm trees. ca. 883-859 B.C.



Dionysus riding panther, Greek mosaic from Pella 4th B.C., Pella Archaeological Museum



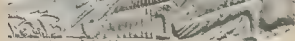
Hoysaleswara Hindu Temple Wall Carved With Sculpture Of Lord Shiva With Pine Cone In His Hands. 12th c. AD. Karnataka, India



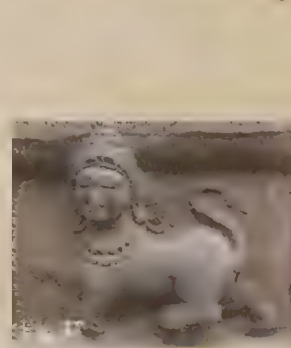
Chicomecoatl, the Aztec goddess of corn and sustenance. 14th-16th c. AD. Ethnological Museum, Berlin, Germany



The priest Niai and his wife receive the purifying water poured by the goddess of the sycamore. Limestone relief from Saqqara, 18th-19th Dynasty. Hanover, Kester Museum.



Fontana della Pigna. 1st century AD. Vatican City, Rome, Italy.



This small sphinx preserves one of the oldest examples of this new system on its base. It includes an ox-head - the earliest representation of what was to become the letter 'A'. 1800 BC. Sinai, Egypt

This sphinx combines Egyptian elements typically found on Phoenician style ivories with the arresting frontal gaze characteristic of North Syrian ivories. ca. 9th-8th c. BC Neo-Assyrian. Mesopotamia, Nimrud

The Sphinx of the Naxians, 560 BC. Delphi Archaeological Museum

Purushamriga or Indian sphinx depicted on the Varadaraja Perumal temple. 3rd c. AD. Tribhuvanai, India

12 (Schwartz, 2005, σ. 857): ("Contrôle - Wiktionary," 2012). Contrôle: An hapology of Middle French contrerole, a borrowing from Medieval Latin contrarotulum ("a counter-roll or register used

to verify accounts"), from Latin contra ("against, opposite") + Latin rotulus, rotula ("roll, a little wheel"), diminutive of rota ("a wheel").

(Γ) **Κ**ια παράδειγμα, σε επίπεδο αστρονομικών γνώσεων **Κ**ια τον ευρύτερο χώρο της ηπείρου της Αφρικής, προκαλούνται εντυπώσεις από τις γνώσεις της φυλής Dogon στο Μάλι, οι οποίες θεωρούνται ότι αφενός μεν προέρχονται από την προφορική τους παράδοση που χάνεται στα βάθη των χιλιετιών, αλλά ίσως αφετέρου δε από την επαφή τους με τους σύγχρονους ανθρώπους, το οποίο έχει προκαλέσει συγχύσεις σχετικές με ποιες γνώσεις έχουν ανταλλαχθεί στο σήμερα και ποιες όχι. Ως σχόλιο, η φυλή Dogon αποτελεί ένα καλό παράδειγμα μιας μακραίωνης προφορικής παράδοσης γνώσεων· πιθανό αποτέλεσμα μετάδοσης «μυστικών» γνώσεων από το Αιγυπτιακό ιερατείο σε τοπικούς φυλετικούς πυρήνες που εργάστηκαν σε μεγάλα αρχιτεκτονικά έργα για μια χρονική περίοδο.

*"From 1931 to 1956, Griaule studied the Dogon in field missions ranging from several days to two months in 1931, 1935, 1937 and 1938 and then annually from 1946 until 1956. In late 1946, Griaule spent a consecutive 33 days in conversations with the Dogon wiseman Ogotemeli, the source of much of Griaule and Dieterlen's future publications. They reported that the Dogon believe that the brightest star in the night sky, Sirius (Sigi Tolo or "star of the Sigi"), has two companion stars, Po Tolo (the Digitaria star), and emme ya tolo, (the female Sorghum star), respectively the first and second companions of Sirius A. Sirius, in the Dogon system, formed one of the foci for the orbit of a tiny star, the companionate Digitaria star. When Digitaria is closest to Sirius, that star brightens: when it is farthest from Sirius, it gives off a twinkling effect that suggests to the observer several stars. The orbit cycle takes 50 years. They also claimed that the Dogon appeared to know of the rings of Saturn, and the moons of Jupiter."*¹³



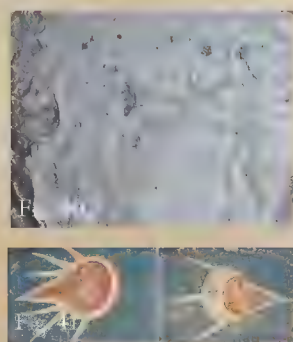
Fig. 38

Dodon people.

An astronaut (added during renovations in 1992), a decorative element of the Puerta de Ramos in the New Cathedral of Salamanca, Spain.

The petroglyphs of Val Camonica in Italy, the largest collection of cave art in the world, span more than 10,000 years of history

Crucifixion of Christ. Visoki Dečani Monastery. 13th c. AC. Kosovo.



Κοινή μυθολογική εξιστόρηση αποτελεί το εκ Θεού απεσταλμένο Δίκαιο. Αδιάψευστο παράδειγμα εντοπίζεται στη Βίβλο όταν στον Μωυσή δίδεται το άγραφο Δίκαιο (10 εντολές) στο όρος Σινά από τον Θεό, εγχάρακτα σε δύο πέτρινες πλάκες (Παλαιά Διαθήκη, Έξοδος 20, 1-17). Οι εντολές αυτές αποτέλεσαν τη βάση της θρησκείας και της κοινωνικοπολιτικής οργάνωσης, συστήνοντας τις βασικές ηθικές αρχές του Ιουδαϊσμού και αργότερα του Χριστιανισμού.

Σε παραλληλισμό με την Μινωική Κρήτη, στον Μίνωα, βασιλιά της Κνωσσού, δίδεται το κρητικό δίκαιο από τον Δία στο Δικταίον Άντρον -Dionysius of Halicarnassus, "Roman Antiquities", [II.61]. Επιπλέον, στην Ανατολή σε μια στήλη στη Βαβυλώνα απεικονίζεται ο Hammurabi, ο μέγας νομοθέτης, στον οποίο δίδονται οι περίφημοι νόμοι σε πέτρινες πλάκες από τον Θεό Shamash, σε ένα βουνό.¹⁴ Αδιαμφισβήτητα, οι περισσότερες χώρες λατρεύουν κάποιο ιερό βουνό που συνδέει τους θεούς τους μ' αυτό.

Κατάλοιπα αυτών των θρησκευτικών πεποιθήσεων φτάνουν μέχρι τις μέρες μας στην λατρεία των βουνών, σε διάφορες περιοχές του πλανήτη, στις οποίες απαγορεύεται ρητώς δια νόμου το άθλημα της ορειβασίας, όπως λ.χ. στην Κίνα στο βουνό Kailash (6,638m) ή στο Νεπάλ στο βουνό Machhapuchhre (6,993m). Στο πρώτο θεωρείται ότι αν κάποιος βαδίζει γύρω από το βουνό 108 φορές θα μεταβεί στην απόλυτη κατάσταση του διαλογισμού, ενώ στο δεύτερο θεωρείται ότι κατοικείται από τον θεό Shiva.¹⁵ Επίσης, σε αυτό το σημείο υπενθυμίζεται ο μεταφυσικός ρόλος που διαδραματίζουν οι αριθμοί στις θρησκείες για την διαμόρφωση της πραγματικότητας ή μιας κατάστασης από τους αρχαιοτάτους χρόνους.



Fig. 45

"The Annunciation, with Saint Emidius." The Archangel Gabriel descends from God to tell the Virgin that she is to bear a child By Carlo Crivelli. 1486 AC. The National Gallery, London.

"The promulgation of the law on Mount Sinai." Exodus 20.1-18: 'This is the giving to Moses of the tablet of the Ten Commandments.' 1738. engravings by Dutch Jacob and Hendrik Keur.

In 1986, archaeologists found two large-scale sacrificial pits dating from the Shang Dynasty (c.1600-1046 BCE). Sanxingdui Museum. Southwest China's Sichuan Province

Code of Hammurabi. Babylonian legal text. C. 1755-1750 BC. The Louvre (originally Sippar, Mesopotamia (modern-day Iraq), found at Susa, Iran)



13 ("Dogon people," 2020)
14 (Kroth, 2011, σ. 274)

15 ("10 Mountains you will never climb (probably)," n.d.);
αρθ ("The Forbidden Mountains Of The World," 2017)

Επιπλέον, μια ακόμη κοινή τομή στις μυθολογικές ξιστορήσεις των λαών εντοπίζεται στους **Κατακλυσμούς**.¹⁶ Ειδικότερα, **ένας απόγονος του Θεού**, όπως ο Ώγυγος & ο Δευκαλίωνας στην Ελλάδα, ο Νώε στην Βίβλο, ο Ut-napishtim στην Μεσοποταμία, **εκτίθεται στους κινδύνους της θάλασσας σε μία κιβωτό** και τελικά λαμβάνει **μία θέση στους Ουρανούς**.

Σύμφωνα με το έργο 'The book of Genesis in the Light of Modern Knowledge' του Worcester, μία ερμηνεία του μύθου του Κατακλυσμού αποδίδεται στο μύθο του ανατέλλοντος ηλίου. Ακριβέστερα, το παιδί -το οποίο εκτίθεται και πετιέται στους κινδύνους των νερών, ενώ εν συνέχεια ανέρχεται στον κόσμο των θεών- **παρομοιάζεται με το «νεαρό» ήλιο που ανατέλλει στον ορίζοντα από τα κύματα και ανυψώνεται στον Ουρανό**.¹⁷

Παρακάτω παρατίθενται ορισμένα χωρία περί Κατακλυσμών από: (α) Έπη του Gilgamesh, (β) Παλαιά Διαθήκη, (γ) Απολλόδωρο, (δ) Νορβηγική 'Poetic Edda':

(α) *Epic of Gilgamesh*: Tablet XI

'Uta-na'ishtim, son of Ubartutu, abandon your house, abandon what you possess, abandon your house and build a boat instead.

Seek life instead of riches, save yourself. Take with you, on the boat you build, an instance of each thing living so that they may be safe from obliteration in the flood. Perform the construction of the boat with care.

The boat that you are going to build, her dimensions shoul all be matching: her breadth and length should be the same, cover her with a roof, like the Apsū.'

Στον Ut-napishtim δίδεται εντολή από τον Θεό Enki να κατασκευάσει μία κιβωτό, ονομαζόμενη ως "Preserver of Life" για να διασωθεί από την γιγαντιαία πλυμμήρα που θα καταποντήσει όλη την πλάση.

(β) *Γένεσις*¹⁸ κεφ. 1

8 Νώε δὲ εὗρε χάριν ἐναντίον Κυρίου τοῦ Θεοῦ.

14 ποιήσον οὖν σεαυτῷ κιβωτὸν ἐκ ξύλων τετραγώνων· νοσσιὰς ποιήσεις τὴν κιβωτὸν καὶ ἀσφαλτώσεις αὐτὴν ἔσωθεν καὶ ἔξωθεν τῇ ἀσφάλτῳ.

(γ) *Ψευδο-Απολλόδωρου Βιβλιοθήκη*, Α 7,2¹⁹.

«Προμηθεὺς δὲ παῖς Δευκαλίων ἐγένετο. οὗτος βασιλεύων τῶν περὶ τὴν Φθίαν τόπων γαμεῖ Πύρραν τὴν Ἐπιμηθεὺς καὶ Πανδώρας, ἣν ἔπλασαν θεοὶ πρώτην γυναικα. ἐπεὶ δὲ ἀφανίσαι Ζεὺς τὸ χαλκοῦν ἠθέλησε γένος, ὑποθεμένου Προμηθεὺς Δευκαλίων τεκτηνόμενος λάρνακα, καὶ τὰ ἐπιτήδεια ἐνθέμενος, εἰς ταύτην μετὰ Πύρρας εἰσέβη. Ζεὺς δὲ πολὺν ἱετὸν ἀπ' οὐρανοῦ χέας τὰ πλεῖστα μέρη τῆς Ἑλλάδος κατέκλυσεν, ὥστε διαφθαρῆναι πάντας ἀνθρώπους, ὀλίγων χωρὶς οἱ συνέφυγον εἰς τὰ πλησίον ὑψηλὰ ὄρη. τότε δὲ καὶ τὰ κατὰ Θεσσαλίαν ὄρη διέστη, καὶ τὰ ἐκτὸς Ἰσθμοῦ καὶ Πελοποννήσου συνεχέθη πάντα. Δευκαλίων δὲ ἐν τῇ λάρνακι διὰ τῆς θαλάσσης φερόμενος <ἐφ'> ἡμέρας ἐννέα καὶ νύκτας <τὰς> ἴσας τῷ Παρνασσῷ προσίσχει, κάκει τῶν ὄμβρων παῦλαν λαβόντων ἐκβὰς θύει Διὶ φυξίαν.»

(δ) *The Poetic Edda*, Vafthrúdnir's Sayings, The Lay of Vafthrúdnir (σκανδιναβική μυθολογία)²⁰

Odin said:

34 Tell me this eighth thing, since you are said to be wise, and you, Vafthrudnir, know, what you first remember or what you know to be earliest, you are all-wise, giant.

Vafthrudnir said:

35 'Uncountable winters before the world was made, then Bergelmir was born; that I remember first when the wise giant was first laid in his coffin.'*

Odin said:

36 'Tell me this ninth thing, since you are said to be wise, and you, Vafthrudnir, know, where the wind comes from which blows over the waves, which men never see itself.'

Vafthrudnir said:

37 'Carrion-swallower he is called, who sits at heaven's end, a giant in eagle's shape; from his wings, they say, the wind blows over all men.'²¹

16 Μεγάλες Πλημμύρες ή "Great Flood"

17 (Worcester, 1901, σ. 452-453)

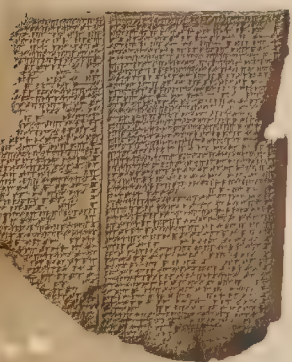
18 ("Ορθόδοξος Συναξαριστής :: Γένεσις," n.d.)

19 (Απολλόδωρος (Ψεύδο), 2017)

20 (Larrington, 2014, σ. 95-96); πρβ (Hollander, n.d., σ. 83)

21 (Larrington, 2014, σ. 480). "*coffin: the Norse word lúðr means primarily 'box, chest'; some scholars have suggested that it might equally be interpreted as 'cradle'. Vafthrudnir's boast is that he is so old that he recalls the death of the most ancient of giants. Snorri, Edda, p. II, identifies it as an 'ark', and introduces a Flood-narrative, borrowed from Christian tradition. Cf. Song of Grotti, vv. 2 ff., where it is part of the milling apparatus (translated as 'mill-box'). In Groa's Chant, v. 12, lúðr seems to refer to a ship"

Epic of Gilgamesh, tablet 11, story of the Flood. Material: Clay. 7thC. BC Neo-Assyrian. The British Museum. M.N. K.3375



Μυθολογία - Γλωσσικό Ζήτημα

Αδιάμφισβήτητη είναι η κοινή τομή των μυθοπλασιών **ρχαίων πολιτισμών** ως προς την απάντηση του ζητήματος της **πολυγλωσσίας**. Ένας άλλος συνδετικός κρίκος δια του οποίου αποδεικνύεται η πρόθεση μέσα από μία κοινή βάση απάντησης ενός σύνθετου ζητήματος «ντυμένο» με έναν μεταφυσικό μανδύα.²²

Ησίοδος, *Έργα και Ημέραι* [109-110]²³ (8^{ος} αι. π.Χ.)

«Χρύσειον μὲν πρώτιστα γένος μερόπων ἀνθρώπων [110] ἀθάνατοι ποίησαν Ὀλύμπια δώματ' ἔχοντες. οἷ μὲν ἐπὶ Κρόνου ἦσαν, ὅτ' οὐρανῷ ἐμβασίλευεν· ὥστε θεοὶ δ' ἔζων, ἀκηδέα θυμὸν ἔχοντες»,

Ο Ησίοδος υπαινίσσεται την ύπαρξη μίας κοινής γλώσσας μεταξύ θεών και πρώτων ανθρώπων, αλλά δεν αποσαφηνίζει αν το Χρυσό Γένος μοιραζόταν την ίδια γλώσσα. Επίσης, ο Λουκιανός -στο *‘Vera Historia’*²⁴- αναφέρει περιπαικτικά την μουσική ως μία κοινή παγκόσμια γλώσσα μεταξύ ανθρώπων και φύσης. Επομένως, πιθανή θεωρείται η διακωμώδηση μία παλαιότερης πεποιθήσης περί της ομογλωσσίας των πρώτων ανθρώπων.²⁵

Παλαιά Διαθήκη, *Γένεσις*, κεφ. 11, 1-9

«Καὶ ἦν πᾶσα ἡ γῆ χειλος ἓν, καὶ φωνὴ μία πᾶσι. [...] καὶ εἶπεν ἄνθρωπος τῷ πλησίον αὐτοῦ· δεῦτε πλινθεύσωμεν πλίνθους καὶ ὀπτήσωμεν αὐτὰς πυρί. καὶ ἐγένετο αὐτοῖς ἡ πλίνθος εἰς λίθον, καὶ ἄσφαλτος ἦν αὐτοῖς ὁ πηλός. [...] καὶ εἶπε Κύριος· ἰδοὺ γένος ἓν καὶ χειλος ἓν πάντων, καὶ τοῦτο ἤρξαντο ποιῆσαι, καὶ νῦν οὐκ ἐκλείψει ἀπ' αὐτῶν πάντα, ὅσα ἂν ἐπιθῶνται ποιεῖν. δεῦτε καὶ καταβάντες συγχέωμεν αὐτῶν ἐκεῖ τὴν γλῶσσαν, ἵνα μὴ ἀκούσωσιν ἕκαστος τὴν φωνὴν τοῦ πλησίον. καὶ διέσπειρεν αὐτοὺς Κύριος ἐκεῖθεν ἐπὶ πρόσωπον πάσης τῆς γῆς, καὶ ἐπαύσαντο οἰκοδομοῦντες τὴν πόλιν καὶ τὸν πύργον. διὰ τοῦτο ἐκλήθη τὸ ὄνομα αὐτῆς Σύγχυσις, ὅτι ἐκεῖ συνέχεε Κύριος τὰ χεῖλη πάσης τῆς γῆς, καὶ ἐκεῖθεν διέσπειρεν αὐτοὺς Κύριος ἐπὶ πρόσωπον πάσης τῆς γῆς.»²⁶



Το ὄνομα Βαβέλ (בבל) προέρχεται από την εβραϊκή λέξη *'balbel'* (balla), το οποίο προέρχεται από μία παρανόηση της σημασίας του ονόματος Βαβέλ. Ουσιαστικά προέρχεται από την παράφραση της λέξεως *'Báb-il'* ή *'Báb-ilu'* αργότερα *'Báb-ilāni'*, δηλαδή η «Θύρα/Πόρτα των Θεών». Θεωρείται ότι ο πύργος συνδέεται με τον περίφημο πύργο *'Borsippa'* που λόγω της κακής του κατάστασης αποκαταστάθηκε από τον Nebuchadnezzar, βασιλιά της Βαβυλώνας.²⁷

Συνοπτικά, η ιστορία αποτελείται από τρία μέρη:

- (α) ο **μύθος της σύγχυσης των γλωσσών και η επακόλουθη διασπορά της στην ανθρωπότητα,**
- (β) η **ίδρυση της πόλης της Βαβυλώνας,**
- (γ) το **κτίσμα του πύργου που συνδέεται στενά με τον μύθο.**



The Tower of Babel (1563), painting by Pieter Brueghel the Elder. Oil and panel. *Netherlandish Renaissance. Kunsthistorisches Museum, Vienna.*

The mountain of Borsippa (in antiquity Babel). Drawn by Faucher-Gudin. Verlag Grolier Society, London 1901-1906. "History of Egypt Chaldea, Syria, Babylonia and Assyria Volume IV, Part A, Containing over 1200 colored plates & illustrations"

The ruins of the so-called Tongue Tower of the ziggurat and temple of the god Nabu at Borsippa. The holes in the masonry are the traces of the scaffolding of the construction. Babel Governorate, Iraq. 6th century BC.

Οσον αφορά το πρώτο μέρος, με επιφύλαξη θεωρείται τι η μυθοπλασία της ανέγερσης ενός πύργου ή μιας πυραμίδας/ζιγκουράτ συνηθίζεται ως η παράδοση μεταξύ των διαφόρων εθνών της Γης. Ο T. K. Cheyne, θεολόγος και σχολιαστής της Βίβλου, στο *‘Art. Babel’* της *‘Black Encyclopædia Biblica’* ισχυρίζεται ότι ένα από τα καλύτερα παραδείγματα εντοπίστηκε στο Livingstone της Αφρικής, όμως παραλείπει τη διατύπωση της παρεμφερούς ιστορίας με αυτή του Πύργου της Βαβέλ.²⁸ Επίσης, από τον John Fiske, Αμερικάνο φιλόσοφο και ιστορικό, συγκρίνεται η ιστορία με ένα μυθικό λογοπαίγνιο της Αμβέρσας. Ακολουθώντας, από τον Lüken στο έργο *‘Traditions of Mankind’* ανακαλύπτονται παραλληλισμοί του Πύργου της Βαβέλ στην αρχαία και σύγχρονη λογοτεχνία,²⁹ όμως αμφισβητούνται λόγω των ελλειπών πηγών και της συγγραφικής του αντιμετώπισης. Ωστόσο, ο Jacob Grim -Γερμανός

22 (Worcester, 1901, σ. 527-551)

23 (Ησίοδος, n.d.)

24 (Luciani (Λουκιανός), 1879)

25 (Gera, 2003, σ. 46-47) Deborah Levine Gera - Ancient Greek ideas on speech, language, and civilization-Oxford University Press (2003)

26 “Παλαιά Διαθήκη: Γένεσις Κεφ. 6-11,” n.d.

27 (Worcester, 1901, σ. 496)

28 (Worcester, 1901, σ. 497-498)

29 (Worcester, 1901, σ. 499) Επαληθευμένα παραδείγματα με αμυδρές και σκιερές ομοιότητες: “The ‘Persian Tradition of Babel’” reduces itself to the fact that in the reign of King Takhmōrup (Tahmura) men are said to have passed on the back of the ox, Sursak, to other regions, which is at most a tradition of dispersion. Gerstäcker’s “Australian Language Myth” and Kohl’s “Cooking of Languages” bear not the slightest resemblance to the Tower of Babel. In Gerstäcker, an old woman dies and is eaten, and those who eat different parts of her body speak different languages.”

γλωσσολόγος, φιλόλογος, νομικός και λαογράφος- στο έργο του 'Deutsche Mythologie' δεν αναφέρεται σε κάποια άλλη περίπτωση σύγχυσης των γλωσσών.³⁰

Κατά κοινή ομολογία, η αλληλοτομία που παρουσιάζεται στην αφήγηση -τεθειμένα μέρη (α) & (γ)- του Πύργου της Βαβέλ εμπεριέχεται σε δύο μύθους. Στον πρώτο, από την ελληνική μυθολογία εξιστορείται η προσπάθεια των θνητών ή γιγάντων να ανέβουν στον Κόσμο των Θεών και στον δεύτερο από την ινδουιστική λογοτεχνία υποστηρίζεται ότι η ανθρωπότητα είχε μία κοινή γλώσσα.

Ο πρώτος αναφέρεται στον ελληνικό μύθο των Γιγάντων και των Αλωάδων. Κατά την πολύ νεαρή τους ηλικία, από τους Αλωάδες -Ωτο και Εφιάλτη- επιχειρείται η μεταφορά του βουνού Όσσα πάνω στον Όλυμπο και πάνω τους το Πήλιο, ενώ παράλληλα ρίχνονται άλλα βουνά στη θάλασσα, προς δημιουργία ξηράς. Με απώτερο σκοπό, να φθάσουν τους θεούς διαπράττοντας κατά αυτό το τρόπο ύβρη. Για αυτό το λόγο, ο Απόλλωνας απέκοψε την προσπάθεια τους, σκοτώνοντας τους με τα βέλη του.³¹

Κατά τον δεύτερο μύθο, στην ινδουιστική λογοτεχνία σημειώνεται μία προσπάθεια των Asuras (असुर, κατηγορία όντων, εχθροί των ουράνιων θεών) να απομιμηθούν την Μεγάλη Φωτιά του ιερού βωμού των θεών. Αυτός ο βωμός της φωτιάς, ο οποίος αναπτύσσεται μακροσκελώς στο έργο 'Satapatha Brahmana',³² περιγράφεται σαν να ανεβαίνει από την Γη στον Παράδεισο. Παρακάτω, διαβεβαιώνεται επανειλημμένα ότι το εγχείρημά τους απέτυχε.³³

"The Asuras then constructed the fire-altar [...] thinking, "Thereby shall we ascend to the sky." Indra then considered, "If they construct that [fire-altar] they will certainly prevail over us." He secured a brick and proceeded thither, passing himself off for a Brāhman. "Hark ye," he said, "I, too, will put on this brick for myself." "Very well," they replied. He put it on. That fire [altar] of theirs wanted but very little to be completely built up. Then he said, "I shall take back this [brick] which belongs to me." He took hold of it and pulled it out; and on its being pulled out, the fire-altar fell down; and along with the falling fire-altar the Asuras fell down. He then converted those bricks into thunderbolts and clove the [Asuras] walls."³⁴

30 (Worcester, 1901, σ. 498-499)

31 (Όμηρος, n.d.). Στίχος 385; (Worcester, 1901, σ. 501-502)

32 Satapatha Brahmana: Γραμμένο από τον πατέρα της ινδικής φιλοσοφίας άγιο Yajnavalkya. Περιγράφεται ως το πιο πλήρες, συστηματικό και σημαντικό από το έργο 'Brahmanas' (έργα των βεδικών 'śruti'), περιέχει λεπτομερείς εξηγήσεις των βεδικών τελετουργικών θυσιών, συμβολισμού και μυθολογίας. 'Śruti': Έργα θείκης αποκάλυψης, στα σανσκριτικά σημαίνει "αυτό που ακούγεται" και αναφέρεται στο σώμα των πιο έγκυρων, αρχαίων θρησκευτικών κειμένων που αποτελούν τον κεντρικό κανόνα του Ινδουισμού.

Σε ένα μέρος του έργου 'Satapatha Brahmana'³⁵ η αποτυχία των Asuras αποδίδεται στο γεγονός ότι δεν ακολουθήθηκαν οι ρητές οδηγίες της τοποθέτησης των τούβλων από τους θεούς. Επίσης, σημειώνεται ότι από τους Asuras χτίζονται τρία κάστρα -ένα σιδερένιο σε αυτόν τον κόσμο, ένα ασημένιο στον αέρα και ένα χρυσό στον ουρανό που οι θεοί πολιόρκησαν μέχρι την ολική ανατροπή τους,³⁶ ενώ σε άλλο σημείο αναφέρεται ότι στέρησαν την ομιλία των Asuras.³⁷

8 στόσο, αντιπαραβάλλοντας τα ανωτέρω διαπιστώνονται απομακρυσμένες και τμηματικές ομοιότητες με τον πύργο της Babel. Επίσης, αντιμετωπίζεται με σκεπτικισμό η ιστορία του ινδουιστικού παγκόσμιου δέντρου που περιγράφεται ως η πηγή σύγχυσης των γλωσσών και της διασποράς, επειδή θεωρείται σύγχρονος μύθος.³⁸

Επιπροσθέτως, οι περιπτώσεις σύγκλησης με την ιστορία του πύργου της Babel εντοπίζονται στους Μεξικάνους και στις γειτονικές αμερικάνικες ιθαγενείς φυλές. Για παράδειγμα,



το χειρόγραφο 'Codex Ixtlilxochitl'³⁹ αναφέρεται σε μία μετακατακλυσμιαία κατασκευή ως 'Zacuali' (Ψηλός Πύργος) της παράδοσης των Toltecs (10^{ος} - 15^{ος} αι. μ.Χ.). Η κατασκευή αυτή ήταν πανύψηλη για την αποτροπή ελλοχευόντων κινδύνων από τυχούσες Μεγάλες Πλημμύρες. «Μετά απ' αυτή την κατασκευή η γλώσσα τους υπέστη σύγχυση και διασκορπίστηκαν σε διαφορετικά μέρη του πλανήτη λόγω της έντονης δυσχέρειας στην επικοινωνία τους».⁴⁰

Επιπλέον, για τις περιοχές της Αριζόνα και του Νέου Μεξικού οι μύθοι του θρυλικού Montezuma -Αζτέκου Αυτοκράτορα του 15^{ου} αι. μ.Χ.- αναφέρονται στην προσπάθεια κατασκευής ενός αχανούς κτηρίου μέχρι το ύψος του Παραδείσου.

33 (Worcester, 1901, σ. 502-503)

34 (Worcester, 1901, σ. 502-503); (Eggeling, 1885, σ. 287).

Sat. Brahman., ii. 1, 2, 13-16

35 (Eggeling, 1885). Ibid. viii. 4, 4, 3.

36 (Eggeling, 1885). Ibid. iii. 4, 4, 3 και 4

37 (Worcester, 1901, σ. 503); πρβ (Eggeling, 1885). Ibid. iii. 2, 1, 23.

38 (Worcester, 1901, σ. 503)

39 ("Ixtlilxochitl I," 2022)

40 (Worcester, 1901, σ. 499)

Extract from a 13th-century manuscript of the Shatapatha Brahmana (Khanda 14)

'Codex Ixtlilxochitl, 103 recto It depicts the god Quetzalcoatl attired with his typical costume. The dancers shown in the preceding figure 21 are dressed in the same manner. The god holds an identical type of spear thrower gripped by those dancers. The costume and the weapon characterise the dance as a performance honouring the god Quetzalcoatl.'

Ακριβώς για αυτό, το Μεγάλο Πνεύμα μαθαίνοντας το εγχείρημα του εκνευρίζεται και αποστέλλει ένα ιπτάμενο έντομο, κλώνοντας τους κατακτητές Ισπανοί ως τιμωρία. Σε αυτόν τον μύθο, το κοινό στοιχείο είναι η προσπάθεια κλιμάκωσης του οικοδομήματος ως τον Παράδεισο. Βέβαια, από το γεγονός ότι το όνομα του Αζτέκου αυτοκράτορα είναι Ισπανικό, ο μύθος καθίσταται αναξιόπιστος, εξαιτίας τυχούσας επιρροής του από τον χριστιανισμό.⁴¹

Εν συνέχεια, σε μία Μεξικανική παράδοση εξιστορείται η κατασκευή τεχνητού βουνού στο Cholula από τον γίγαντα Xelhua, έναν αρχιτέκτονα. Μετά την Πλημύρα το μνημειώδη κτήριο αυτό κατασκευάζεται από τον γίγαντα προς τιμήν του βουνού που είχε καταφύγει για την προφύλαξη του. Καθώς, η τεράστια πυραμίδα υψωνόταν αργά στον ουρανό, οι θεοί εξοργίζονται. Έπειτα, εκτοξεύοντας πυρ στους κτίστες επιφέρεται η παύση των εργασιών της κατασκευής. Αυτός ο μύθος δεν περιέχει κάποια νύξη για τη σύγχυση των γλωσσών, όμως αναφέρεται η καταστροφή του οικοδομήματος.⁴²

Μακράν, η πλέον διασημότερη από όλες τις παραδόσεις του Μεξικάνικου Κατακλυσμού περιγράφεται στην μυθολογία των Αζτέκων, πιο συγκεκριμένα στην ιστορία του Coxcox του μοναδικού επιζήσαντα άντρα από την «Μεγάλη Πλημύρα». Στον μύθο, τα παιδιά του με την θεότητα Xōchiquetzal -της γονιμότητας, της ομορφιάς και της αγάπης- γεννούνται μουγκά. Μετά απ' αυτό το γεγονός, «καταφθάνει ένα περιστέρι και τους προσφέρει

Ωστόσο, ο Hubert Howe Bancroft, Αμερικάνος ιστορικός και εθνολόγος του 19^{ου} αι. μ.Χ., στηριζόμενος στην αυθεντία του Don Jose Fernando Ramirez, συντηρητή του Εθνικού Μουσείου του Μεξικού, πιστεύει ότι όλη αυτή η εξιστόρηση βασίζεται σε μια κατ' ολοκληρία παράφραση της μεξικανικής εικονογραφικής αναπαράστασης, στην οποία απεικονίζεται απλώς μια μετανάστευση των Μεξικανών κατά μήκος της μεξικανικής κοιλάδας.⁴³

Εντούτοις, η πιο συσχετιζόμενη πρωτόγονη αφρικάνικη ιστορία εμπεριέχεται στο γερμανικό περιοδικό 'Petermanns Geographische Mitteilungen.' Η ιστορία προέρχεται από το Akwapim στην περιοχή Ashanti της Ghana. Παρόλο που η εξιστόρηση πραγματοποιείται από έναν Χριστιανό Ιεραπόστολο, οι μύθοι και οι θρύλοι που αναπτύσσονται φαίνεται ότι είναι ακριβείς και αναλλοίωτοι.

*"The negroes relate that their old ancestors used to tell them they once wished to undertake something which should enable them to rise to Nyankupon [the high town or heaven]. To carry out this project they heaped up all their fufu mortars [fufu is a favorite dish composed of yams or pisang fruit beaten into pulp]. One more mortar was necessary to reach up, but they had not another one. Then they decided to draw out the lowest mortar and to place it on top. They did so, and behold, the whole structure fell in a heap, and they escaped death only by running away. In their sudden terror they spoke new languages. Hence it comes about that so many tongues are spoken. Formerly there was only one speech."*⁴⁴

Xochiquetzal
in Codex
Borgia.
16th c. AC



αμέτρητες γλώσσες. Παρόλα αυτά, μόνο 15 από τους απογόνους του Coxcox ομιλούν την ίδια γλώσσα ή καταλαβαίνουν τις ομιλούμενες γλώσσες. Έτσι, αυτοί οι 15 ορίζονται ως οι επικεφαλής των οικογενειών.»



"The
King of
Akwapim",
Ghana
©Historical
Photographs
from the
Basel Mission

41 (Worcester, 1901, σ. 500)
42 (Worcester, 1901, σ. 500)

43 (Worcester, 1901, σ. 500-501)
44 (Worcester, 1901, σ. 503-504)

Συνοψίζοντας, η πίστη δια θρύλων και μύθων σε μία αρχική παγκόσμια γλώσσα αποδεικνύεται ότι δεν ήταν ασυνήθιστη στην αρχαιότητα. Επίσης, αυτή η πρώτη γλώσσα συναντάται σε ιστορίες ως θεϊκή και ως κοινή για την υπόλοιπη πλάση. Παράδειγμα τούτου, αποτελεί η πεποίθηση των Περσών ότι η ομιλία των πτηνών είναι η γλώσσα των θεών. Καθώς αναφέρουν ότι τα πτηνά ομιλούν την γλώσσα του Παραδείσου. Έτσι, σύμφωνα με το μύθο, με αυτή τη γλώσσα, οι θεοί εξέφεραν τον ενάρετο λόγο, παραδίδοντας στον βασιλιά της Βαβυλώνας το Δίκαιο, αφού τους επικαλέστηκαν οι Μάγοι.⁴⁵

Αναντίρρητα, η ομογλωσσία συμβάλλει στην ανάπτυξη του πολιτισμού. Από τις αυτοκρατορίες, στο πέρασμα των αιώνων, διεξαγόntonταν προσπάθειες εγκαθίδρυσης μίας κοινής γλώσσας στην επικράτεια τους και ευρύτερα, ως μία ένωση των πολιτισμών κάτω από μία κοινή σκέπη. Για παράδειγμα, η διάδοση της ελληνικής με την εκστρατεία του Μ. Αλεξάνδρου. Κατά τον 4^ο αι. π.Χ. συντίθεται μία γλώσσα, η «Κοινή», ως συντομευμένη μορφή του όρου «Κοινή Διάλεκτος». Με την «Κοινή» εξασφαλιζόταν η γεφύρωση του χάσματος της επικοινωνίας «σε υπερτοπικό, υπερδιαλεκτικό, «διεθνές» ή «παγκοσμιοποιημένο» (υπό σημερινούς όρους) επίπεδο». Βεβαίως, επιτρεπόταν στο μεμονωμένο συνομιλητή η διατήρηση της διαλέκτου του, με την οποία συνεννοούταν σε καθημερινό επίπεδο στο ευρύτερο πλαίσιο της πόλης του -της περιοχής του.⁴⁶

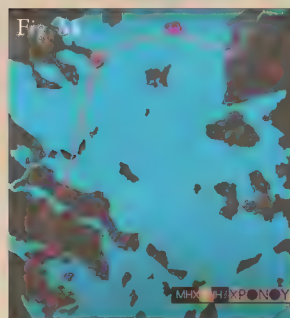
Αναπόδραστα, βιβλία μεταφράζονται και συγγράφονται σε αυτή τη γλώσσα, όπως κατ' αντιστοιχία η Βίβλος και η Καινή Διαθήκη ή αργότερα τα έργα των Πατέρων της Εκκλησίας. Συμπληρωματικά, αναφέρεται ότι τους τρεις πρώτους αιώνες οι χριστιανοί συγγραφείς παραμένουν ανεπηρέαστοι από την παγανιστική λογοτεχνία. Στη συνέχεια, όταν ορίζεται ως η επίσημη θρησκεία της αυτοκρατορίας, «ανταλλάσσονται» στοιχεία με τον ελληνικό κόσμο. Κατά συνέπεια, η υπάρχουσα λογοτεχνική τάση αναδιαμορφώνεται από την αλληλεπίδραση με δανεισμούς αναδιατυπώσεις και παραγωγή νέων κειμένων.⁴⁷

Σήμερα, την προσπάθεια επικράτησης μίας κοινής γλώσσας, ώστε να γεφυρωθεί το γλωσσικό χάσμα μεταξύ των λαών, συναντάται με την καθιέρωση της αγγλικής ως διεθνούς γλώσσα στους τομείς των επικοινωνιών, της επιστήμης, της πολιτικής και της διπλωματίας, της αεροναυτιλίας και της ραδιοεπικοινωνίας, των επιχειρήσεων, της ψυχαγωγίας, των ηλεκτρονικών υπολογιστών κατ' επέκταση και του διαδικτύου.⁴⁸

Γλωσσολογία – Γλωσσικό ζήτημα



ύμφωνα με την άποψη των επιστημόνων και των ιστορικών, η γλώσσα ξεκίνησε από τους μακρινούς μας προγόνους επικοινωνώντας μεταξύ τους μέσω των ήχων που παράγονται χρησιμοποιώντας τις φωνητικές χορδές, το στόμα, τα χείλη και τη γλώσσα (εξ ου και ο όρος γλώσσα, λατινικό *ling-ua*, αρχαίο γερμανικό *lungōn*⁴⁹). Αυτή η μορφή γλώσσας χρησίμευε στην επικοινωνία μεταξύ των πρωτόγονων ανθρώπων σε περιπτώσεις: (α) μιας τυχαίας συνάντησης μικρού χρονικού διαστήματος, (β) μιας ομάδας ατόμων προς εξασφάλιση της επιβιώσής τους. Οι ήχοι που δημιουργούνται με άλλους τρόπους (λ.χ. με τύμπανα, σημερινή σφυρική γλώσσα της Αντιάς⁵⁰) αξιοποιήθηκαν για επικοινωνία σε μεγαλύτερες αποστάσεις μιας μικρής χρονικής στιγμής, όπως συμβαίνει στην περίπτωση οπτικών σημάτων διαφόρων ειδών (λ.χ. σήματα καπνού,⁵¹ αρχαίες φρυκτωρίες⁵²).⁵³



The Phryctoriae of Agamemnon covered 550 km. Troy - Palace of Mycenae

Phryctoria in Ikaria and Kaminoviglitoras in Kythnos. (ph. Crhr. Basilopoulos)

45 (Worcester, 1901, σ. 508)

46 (Eidener, 2004, σ. 69)

47 (Cross & Livingstone, 2005, σ. 707)

48 ("A world empire by other means," 2001)

49 (Μπαμπινιώτης, 2010, σ. 313). «Η λέξη γλώσσα ανάγεται σε θέμα *γλωχ- / γλαχ* < *δλ-αχ- πράγμα που οδηγεί στο Ινδοευρωπαϊκό *dnghw-a»

50 ("Σφυριά: Η σφυρική ελληνική γλώσσα που χάνεται," 2017)

51 (Mallery, 2012, σ. 344). Σήματα καπνού. Στους Ιθαγενείς Ινδιάνους: Αν προερχόταν από τη μέση του λόφου σήμαινε ότι όλα ήταν καλά, ενώ από την κορυφή του λόφου σήμαινε κίνδυνο. ;

; (Djordjevic, Ryan, & Vasic, 2010, σ. 2). Στην Αρχαία Κίνα: Οι στρατιώτες του Σινικού Τείχους προειδοποιούσαν για τυχούσες εισβολές, διαφορετικά χρώματα απέδιδαν το μέγεθος του αντιπάλου.

52 (Αισχύλος, n.d.). Αισχύλος, έργο «Αγαμέμνων», στιχ. 280-330. Φρυκτωρίες: Επικοινωνία με φρυκτούς, δηλ. φλεγόμενους πυρσούς ή δαυλούς για τη μετάδοση μηνύματος σε μακρινές αποστάσεις, συνήθως σηματοδοτεί την νίκη ενός πολέμου, Τρωϊκός Πόλεμος.

53 (Baber, 2011, σ. 4) (Utilizing Math in Practice) Baber, Robert Laurence - The language of mathematics utilizing math in practice-Wiley (2011)

Ε ανακάλυψη εργαλείων σε σπήλαια σηματοδοτεί μια στοιχειώδη γλωσσική επικοινωνία μεταξύ μίας πρωτόγονης ομάδας ανθρώπων. Εκτός των τεκμηριωμένων μελετών στις σημερινές ηπείρους της Ασίας και της Αφρικής, στον Ελλαδικό χώρο ανακαλύπτεται τυχαία από έναν κάτοικο ο «Αρχάνθρωπος των Πετραλώνων», το 1959 μ.Χ., στο σπήλαιο των Πετραλώνων (Χαλκιδική, Μακεδονία). Για την ιστορία, ακολουθείται σωρεία μελετών από παλαιοντολόγους, μεταξύ άλλων του Α. Πουλιανού, ο οποίος τον τοποθέτησε στο 670,000 π.Χ.⁵⁴ Ωστόσο, από τις νέες επιστημονικές μελέτες η χρονολόγηση επανατοποθετείται στο 200,000 π.Χ. Σύμφωνα με αυτές τις μελέτες, στο σπήλαιο αυτό γνωστό για τα παλαιοντολογικά και παλαιοανθρωπολογικά του ευρήματα (των πρώτων μελετών που τεκμηριώνουν μία πρωτόλεια γλωσσική επικοινωνία) εντοπίζεται ο 'Homo heidelbergensis,' δηλαδή ο πιο πρόσφατος κοινός πρόγονος μεταξύ των σύγχρονων ανθρώπων (Homo sapiens). Το παράδειγμα αυτό αναφέρεται, ώστε να γίνει αντιληπτή από τον αναγνώστη, η αρχαιότατη προσπάθεια γλωσσικής επικοινωνίας του ανθρώπου στις σημερινές ηπείρους της Ασίας, της Αφρικής

και της Ευρώπης προ της εμφάνισης του Homo Sapiens. Κατά τον Διαφωτισμό αναπτύσσονται σχετικές θεωρίες με την ύπαρξη μιας πρωτο-γλώσσας. Ο Giambattista Vico, Ιταλός φιλόσοφος, ρήτορας, ιστορικός και νομικός, στο έργο 'New Science' (1744) υποστηρίζει ότι η γλώσσα του ανθρώπου αναπτύχθηκε σε τρία στάδια αντιστοιχίζοντας τα σε 3 εποχές: την εποχή των θεών, την εποχή των ηρώων και την εποχή των ανθρώπων. Η παλαιότερη γλώσσα της εποχής των θεών, ήταν μεταφορική, δηλαδή εκφραζόταν με βουβές πράξεις: σημεία και χειρονομίες, καθώς και εικονογραφικές παραστάσεις ή ιδεογράμματα. Στην εποχή των ηρώων προέκυψε ο έναρθρος λόγος, ο οποίος ξεκινούσε με την ονοματοποιία και τα επιφωνήματα. Αυτά τα λόγια και οι κραυγές απορρέαν από έντονα συναισθήματα, τα οποία υποβοηθούσαν την έκφραση με τη χρήση τους. Στη γλώσσα των ηρώων εξακολουθούνται οι μεταφορές η γλώσσα ήταν πιο συμβολική. Τέλος, μια λογική και συμβατική γλώσσα αναπτύσσεται με την πάροδο του χρόνου.⁵⁵

Έπειτα, ο Jean-Jacques Rousseau, Ελβετός φιλόσοφος, συγγραφέας και συνθέτης, στο έργο 'Discourse on the Origin and Foundations of Inequality among Men' (1755) περιγράφει



την αρχέγονη γλώσσα ως μια ανεπεξέργαστη/ατελή, αλλά παγκόσμια. Κάθε λέξη έπρεπε να διαβιβάσει στον παραλήπτη της μια ολόκληρη πρόταση, επειδή τόσο τα υποκείμενα και τα αντικείμενα, όσο τα ρήματα και τα ουσιαστικά δεν είχαν διακριθεί. Ο πρωτόγονος άνθρωπος όπως σημειώνει:⁵⁶

"[...] did not require a language much more refined than that of crows or monkeys [...] inarticulate cries, many gestures, and some imitative noises must have composed the universal language [...]"

Minna Sundberg's illustration maps the relationships between Indo-European and Uralic languages. [...] Linguists have often used trees and branches as metaphors to explain and map the connections between language groups.

Η πρώτη εξελικτική εξήγηση για τη γλωσσική ποικιλομορφία συνήθως αποδίδεται στον Sir William Jones, έναν Άγγλο δικαστή, που ζούσε στην Ινδία. Το 1786 μ.Χ., η παρατήρηση του Jones, ότι οι ομοιότητες που μοιράζονται τα Σανσκριτικά, τα Ελληνικά και τα Λατινικά θα μπορούσαν εύλογα να εξηγηθούν μόνο με την υπόθεση ότι και οι τρεις τους· όπως ο ίδιος διατύπωσε: *'have sprung from some common source, which, perhaps, no longer exists.'*

Τα είδη των ομοιοτήτων που οδήγησαν τον Jones σε αυτό το συμπέρασμα ήταν οι παρόμοιες ρίζες και οι γραμματικές καταλήξεις που μοιράζονταν αυτές οι γλώσσες. Επίσης, ο Jones σημείωσε ότι η Γοτθική, η Κελτική και η Περσική ανήκαν πιθανότατα στην ίδια ομάδα ή οικογένεια, η οποία σήμερα είναι γνωστή ως Ινδοευρωπαϊκή. Σε αυτήν περιλαμβάνονται σχεδόν όλες οι γλώσσες της Ευρώπης (εκτός από τα βασκικά, τα ουγγρικά, τα φινλανδικά και τα εσθονικά) καθώς και γλώσσες του Ιράν, του Αφγανιστάν, του Πακιστάν και της Ινδίας. Σε αυτήν την οικογένεια ανήκουν και εξαφανισμένες γλώσσες όπως η Χεττιτική (σημερινή Τουρκία) και η Τοχαριανή-'Tocharian' (Δυτική Κίνα).⁵⁷

Εφαπτήριο για τη γενετική υπόθεση του Jones συνετέλεσαν πολλές προϋπάρχοντες ταξινομήσεις κατά τον 19^ο αι. μ.Χ. Διευκρινιστικά, άλλες οικογένειες είχαν αναγνωριστεί από μελετητές, όπως οι Λατινικές, οι Κέλτικές, οι Φινο-Ουγγρικές, οι Αυστρονησιακές, οι 'Bantu', οι 'Iroquoian' και οι 'Algonquian'. Επιπλέον, ανακαλύπτονται οικογένειες



σε διάφορα μέρη του κόσμου και συντάσσονται επιστημονικές μελέτες στις υπάρχοντες εντοπισμένες οικογένειες, ιδιαίτερὰ στις Ινδοευρωπαϊκές. Το κύριο μέλημα των μελετητών κατά το 2^ο μισό του 19^{ου} αι. μ.Χ. έγκειται στην ανασύλληψη της αρχικής Πρωτοϊνδοευρωπαϊκής γλώσσας και η ανακάλυψη των τακτικών ηχητικών αντιστοιχιών που συνέδεαν τους διάφορους κλάδους της Ινδοευρωπαϊκής.⁵⁸

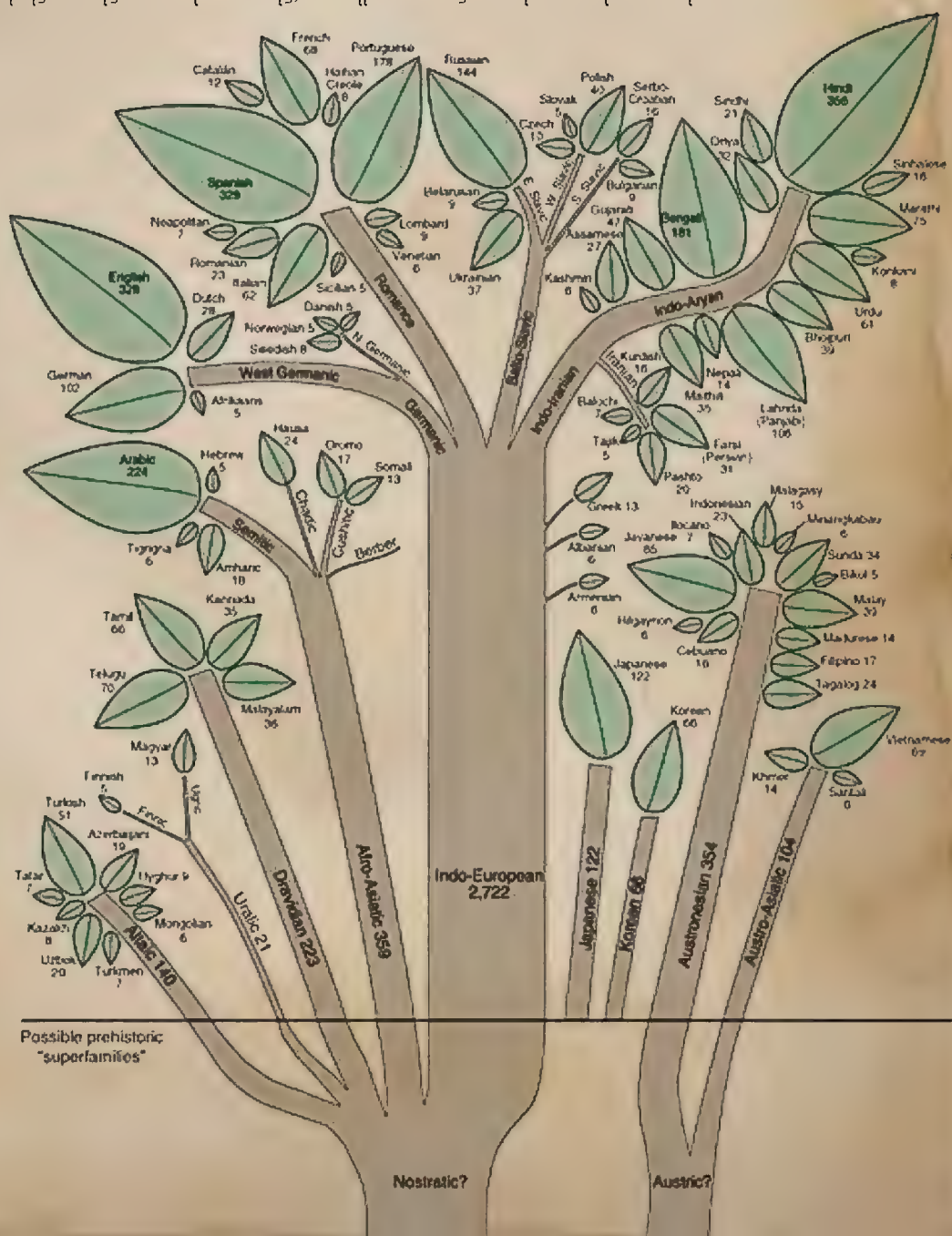
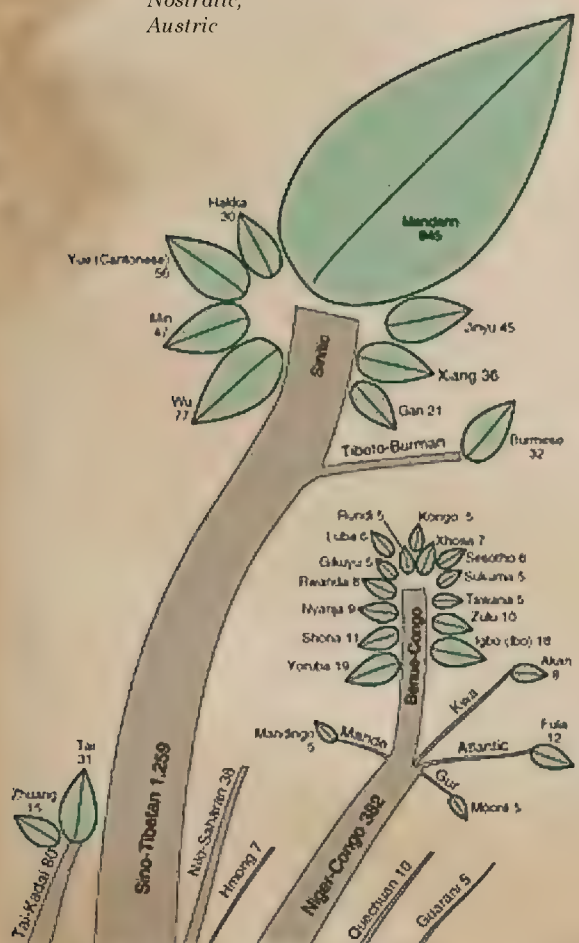
Άλλες οικογένειες που ανακαλύπτονται μέχρι τον 19^ο αι. μ.Χ. περιελάμβαναν τα Ουραλικά (Samoyed, Ουγγρικά, Finnish), τα Αλταϊκά (Τούρκικα, Μογγολικά, Tungus) και τα Δραβιδικά (Telugu, Tamil, Malayalam). Στην πραγματικότητα, ακόμη μια γενετική σύνδεση μεταξύ του Ουραλικού και του Αλταϊκού ήταν ευρέως αποδεκτή. Από το 1,817 μ.Χ., ο Rasmus Kristian Rask, Δανός γλωσσολόγος και φιλόλογος, ήδη είχε επισημάνει ομοιότητες που μοιράζονταν οι γλώσσες μεταξύ των Εσκιμώων-Aleut και των Ουραλικών.⁵⁹

Κατά τη διάρκεια του 20^{ου} αι. μ.Χ., η εργασία ταξινομήσης

παύεται σε μεγάλο βαθμό στα ανώτερα επίπεδα κατηγοριοποίησης, καθώς οι ιστορικοί γλωσσολόγοι, οι οποίοι ήταν σχεδόν πάντα υπέρμαχοι της Ινδοευρωπαϊκής θεωρίας, αποφάσισαν ότι η Ινδοευρωπαϊκή γλώσσα αντιπροσώπευε το χρονικό όριο της συγκριτικής μεθόδου. Εφόσον, πίστευαν ότι η κατηγοριοποίηση δεν εξελισσόταν πέρα από την Ινδοευρωπαϊκή, επειδή η γλώσσα μεταβάλλεται τόσο γρήγορα που μετά από περίπου 6,000 χρόνια (η υποτιθέμενη ηλικία της Ινδοευρωπαϊκής) δεν απομένει κάτι άλλο για σύγκριση. Επίσης, σύμφωνα με αυτή την άποψη, απαιτείται μια πλήρης ανακατασκευή της Πρωτο-γλώσσας, καθώς και ανακατασκευές όλων των ενδιάμεσων γλωσσών μεταξύ της αρχικής Πρωτο-γλώσσας και των σύγχρονων γλωσσών.⁶⁰

Κατά τον 20^ο αι. μ.Χ., αυτή η άποψη κυριαρχούσε στην ιστορική γλωσσολογία και εξακολουθούσε να επικρατεί μέχρι τις αρχές του 21^{ου} αι. μ.Χ. Ωστόσο, εμφανιζόταν πάντα, από την αρχή του αιώνα μέχρι σήμερα, ένας αριθμός μελετητών ως υπέρμαχοι της υποτιθέμενης απομόνωσης της Ινδοευρωπαϊκής, επισημαίνοντας ότι η Ινδοευρωπαϊκή

A language family tree. Sino-Caucasian, Nostratic, Austric



πράγματι μοιράζεται έναν σημαντικό αριθμό ριζών με ορισμένες άλλες οικογένειες διασκορπισμένες σε Ευρασία.⁶¹

Στις αρχές του 20 αι. μ.Χ., αυτή η μεγαλύτερη οικογένεια κατονομάζεται από τον Holger Pedersen, Δανό γλωσσολόγο, ως 'Nostratic'. Αυτό το όνομα χρησιμοποιείται ακόμα και σήμερα, αν και η συγκεκριμένη συμμετοχή/συμβολή της 'Nostratic' έχει μεταβληθεί κατά τη διάρκεια του αιώνα. Πρόσφατα έργα πάνω στη 'Nostratic' περιλαμβάνονται στις εργασίες των A. Dolgorolsk (Ρωσοϊσραηλινός γλωσσολόγος), V. Illich-Svitych (Σοβιετικός γλωσσολόγος και 'accentologist') και A.R. Bomhard & J. C. Kerns (Αμερικανοί γλωσσολόγοι). Επιπλέον, στοιχεία παρουσιάζονται από τον Joseph Harold Greenberg, Αμερικάνο γλωσσολόγο, για μια οικογένεια

που αποκαλεί 'Eurasianic', η οποία είναι παρόμοια, αλλά όχι ταυτόσημη με την 'Nostratic'. Στην 'Eurasianic' του Greenberg περιλαμβάνονται τα ακόλουθα: Ινδοευρωπαϊκά, Ουραλικά, Αλταϊκά, Κορεάτικα, Ιαπωνικά, Ainu, Gilyak, Chukchi-Kamchatkan και Eskimo-Aleut.⁶²

Μολονότι από τους παραδοσιακούς ιστορικούς γλωσσολόγους υπολογίζεται η ύπαρξη άνω των 250 ασύνδετων γλωσσικών οικογενειών στον κόσμο, ο Greenberg αναφέρεται σε μια μόνο δωδεκάδα. Στην Εικόνα 59 παρουσιάζεται ένας χάρτης αυτών των 12 οικογενειών. Παρεμπιπτόντως, σημειώνεται ότι από τον χάρτη απουσιάζει μία μεγαλύτερου επιπέδου υποκατηγορία αυτών των 12 οικογενειών.⁶³

Map of the world's language families



56 (Gera, 2003, σ. 42)

57 (Smelser, Baltes, 2001, σ. 8374)

58 (Smelser, Baltes, 2001, σ. 8374)

59 (Smelser, Baltes, 2001, σ. 8374)

60 (Smelser, Baltes, 2001, σ. 8374)

61 (Smelser, Baltes, 2001, σ. 8374)

62 (Smelser, Baltes, 2001, σ. 8374)

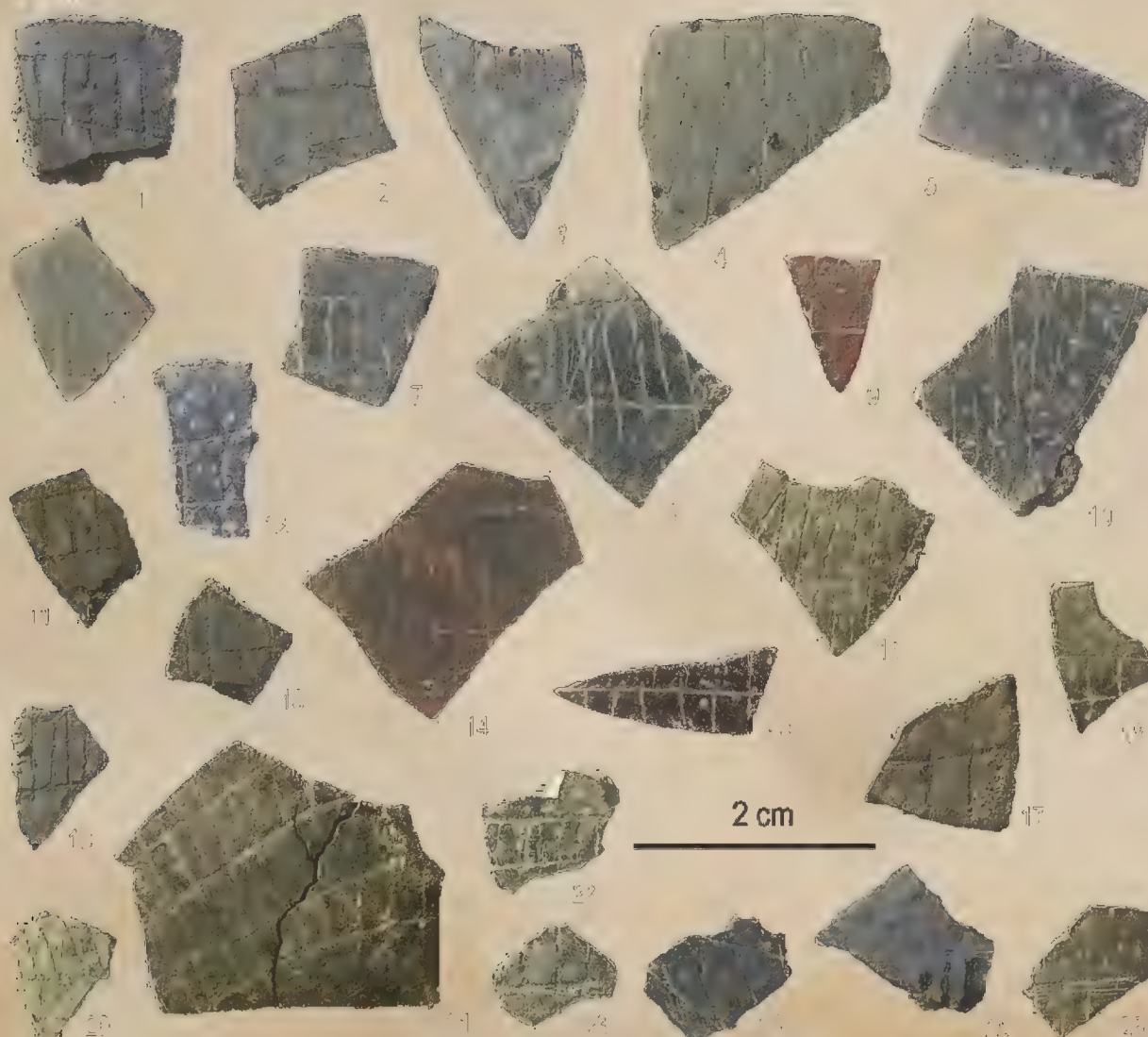
63 (Smelser, Baltes, 2001, σ. 8375-8376)

Συστήματα Επικοινωνίας και Γραφή

Προκειμένου να αντιληφθεί ο αναγνώστης την εκκίνηση της γραπτής απόδοσης της γλώσσας, σε σχέση με τα δείγματα επαφής των επόμενων σελίδων του ανθρώπου με την γεωμετρία, των μαθηματικών, την αστρονομία και την αστρολογία, σημειώνεται μία συνοπτική ιστορική τοποθέτηση.

Τα πρώτα δείγματα ενός πολύπλοκου συστήματος οπτικής και συμβολικής επικοινωνίας συναντώνται στο 'Diepkloof Rock Shelter', οι κάτοικοι της Νότιας Αφρικής κατά την Μέση Λίθινη Εποχή χρησιμοποιούσαν τα τσόφλια αυγών στρουθοκαμήλου ως μέσο για να μεταφέρουν αφηρημένες απεικονίσεις. Από το 1,998 μ.Χ., οι ανασκαφές στο Diepkloof έχουν ανακτήσει 408 εγχάρακτα κελύφη

στρουθοκαμήλου, τα οποία πιθανώς αρχικά συλλέγονται για κατανάλωση τροφής και αργότερα χρησιμοποιούνται ως τεχνουργήματα. Σύμφωνα με τη μελέτη στα κελύφη εφαρμοζόταν ένα περιορισμένο σύνολο γεωμετρικών μοτίβων χαρακτηριστικής, με την κυριαρχία 2 κύριων μοτίβων, το μεν χρησιμοποιούσε μια διαγραμμισμένη ταινία και το δε ένα "παράλληλο" σε συγκλίνουσες γραμμές (Εικ. 60). Τα αρχαιότερα εγχάρακτα εμφανίζονται στο τέλος της φάσης του πρώιμου 'Howiesons Poort' και πληθαίνουν μόνο κατά τη διάρκεια της Ενδιάμεσης και 'Υστερης Φάσης του 'Howiesons Poort'. Κατά προσέγγιση, η πολιτιστική περίοδος λιθοτεχνίας 'Howiesons Poort' διαρκεί από το 65,800 - 59,500 π.Χ. Στη μελέτη υποστηρίζεται ότι η ταυτόχρονη εξαφάνιση της τεχνολογικής περιόδου της 'Howiesons Poort' και των εγχάρακτων αντανakλάει μία αλλαγή του τρόπου με τον οποίο οι κάτοικοι της ύστερης Λίθινης Μέσης Εποχής αλληλεπιδρούσαν μεταξύ τους μέσω των τοπικών παραδόσεων τους.⁶⁴



Diepkloof rock shelter: engraved ostrich eggshells from the SU Frank (squares M6e9, N6e9). With the exception of numbers 10 and 16 which represent the curved and subparallel line motif, all the pieces document the variability of the hatched-band motif. Hatched-band motif with orthogonal lines: 1e3, 5e9, 11e15, 17e19, 21e23, 25e26; hatchedband motif with oblique lines: 4, 20 and 24.

Σύμφωνα με τη θέση της επιστημονικής κοινότητας, η πρώτη γραπτή απόδοση της γλώσσας εμφανίζεται στην αρχαία Εγγύς Ανατολή, στους Σουμέριους της νότιας Μεσοποταμίας στα τέλη της 4^{ης} χιλιετίας π.Χ. πρόδρομος της γραφής εντοπίζεται ήδη από το 8,000 π.Χ. στην Μεσοποταμία σε πήλινες μάρκες για την τήρηση αρχείων. Μέχρι πολύ πρόσφατα, τα πιο πρώιμα δείγματα γραφής εντοπίζονταν ανάμεσα στα αρχαιολογικά κατάλοιπα της αρχαίας Μεσοποταμίας. Ωστόσο, από πρόσφατες ανακαλύψεις τοποθετείται η εμφάνιση της εξελιγμένης εικονογραφικής γραφής στην Αίγυπτο σχεδόν ταυτόχρονα με τα πρώτα τεκμήρια της στην Εύφορη Ημισέληνο. Εντούτοις, επίσημως υποστηρίζεται ότι η ιδέα της γραπτής αποτύπωσης της γλώσσας στην Αίγυπτο προέρχεται από την Μεσοποταμία.⁶⁵

"The direct antecedent of the Mesopotamian script was a recording device consisting of clay tokens of multiple shapes. The artifacts, of mostly geometric forms such as cones, spheres, disks, cylinders and ovoids, are recovered in archaeological sites dating 8,000-3,000 BC. [...] Tokens Precursor of Writing [...] The tokens, used as counters to keep track of goods, were the earliest code—a system of signs for transmitting information. Each token shape was semantic, referring

to a particular unit of merchandise. [...] Pictography: Writing as Accounting Deice [...] Pictographs—signs representing tokens traced with a stylus rather than impressed—appeared about 3,100 BC. These pictographs referring to goods mark an important step in the evolution of writing because they were never repeated in one-to-one correspondence to express numerosity. Besides them, numerals—signs representing plurality indicated

the quantity of units recorded. [...] In sum, in its first phase, writing remained mostly a mere extension of the former token system. Although the tokens underwent formal transformations from three- to two-dimensional and from impressed markings to signs traced with a stylus, the symbolism remained fundamentally the same. Like the archaic counters, the tablets were used exclusively for accounting. This was also the case when a stylus, made of a reed with a triangular end, gave to the signs the wedge-shaped 'cuneiform' appearance. In all these instances, the medium changed in form but not in content. The only major departure from the token system consisted in the creation of two distinct types of signs: incised pictographs and impressed numerals. This combination of signs initiated the semantic division between merchandise and numerosity."⁶⁶

Επιπροσθέτως, σημειώνεται μία ανακάλυψη του 1,993 μ.Χ. από τον αρχαιολόγο και καθηγητή προϊστορικής αρχαιολογίας του Α.Π.Θ. Γιώργο Χουρμούζιδη, στην οποία απεικονίζονται ορισμένα σήματα χαραγμένα σε μία ξύλινη πινακίδα. Σύμφωνα με δημοσιεύματα των εφημερίδων «ΤΟ ΒΗΜΑ» «Κυριακή 1 Αυγούστου 1,999, β3, σελίδα 17, Αρχαιολογία, πόλη με τους πασσάλους» και «ΤΑ ΝΕΑ» «15 Φεβρουαρίου 1,994, σελίδα 37, 3 Πανόραμα, Ρεπορτάζ, Το πρώτο γραπτό κείμενο στην Ευρώπη» ανακαλύφθηκε μία πινακίδα του λιμναίου οικισμού του Δισπηλίου Καστοριάς, η οποία χρονολογείται βάσει της μεθόδου C14 στις αρχές της Νεότερης Νεολιθικής Περιόδου, το 5,260 π.Χ. (6η χιλιετία π.Χ.). Σύμφωνα με την επιφυλακτική άποψη του αρχαιολόγου, τα εγχάρακτα σημεία μετά βεβαιότητας δεν σχετίζονται με την Γραμμική Α, όμως ενδέχεται να συγκροτούσαν μία προσπάθεια επικοινωνίας. Σημειωτέων ότι, η συσχέτιση γραπτής απόδοσης της γλώσσας με τα συγκεκριμένα ευρήματα αμφισβητείται από την επιστημονική κοινότητα.



Envelope, tokens and corresponding markings, from Susa, Iran (Courtesy Musée du Louvre, Département des Antiquités Orientales).




Impressed tablet featuring an account of grain, from Godin Tepe, Iran (Courtesy Dr. T. Cuyler Young, Royal Ontario Museum, Toronto)

Economic cuneiform tablet (Courtesy Texas Memorial Museum, The University of Texas at Austin)

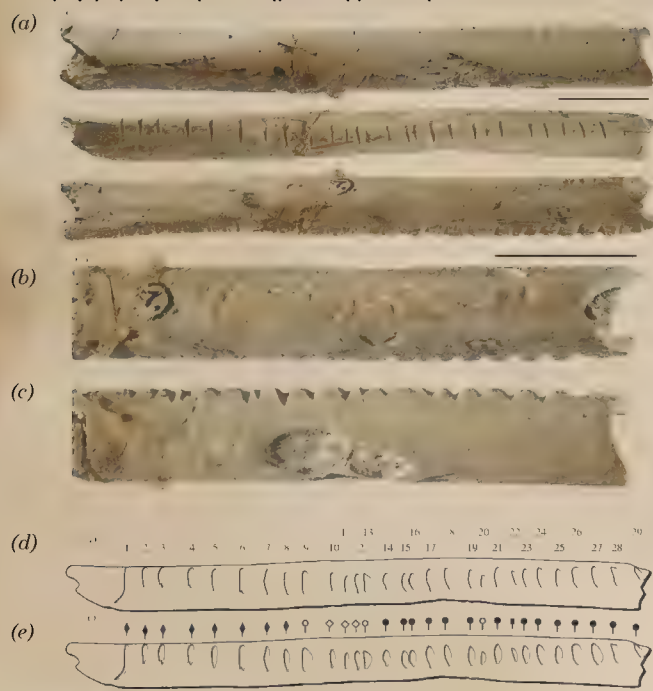


Cedar tablet carved with 10 rows of linear (vertical and horizontal) signs, some of them resembling the letters Δ, Ε, or Λ. Dated to 5202 ± 123 BC (5324-5079 BC) within 2σ (DEM-321)

Εμφάνιση αριθμητικής – μαθηματικών

(Γ)  για την εμφάνιση της καταμέτρησης/ των υπολογισμών και της μαθηματικής σκέψης συμβάλλουν οι ακόλουθοι παράγοντες: **οι νευρολογικοί, η γλωσσική ανάπτυξη, η χρήση του σώματος** π.χ. δάχτυλα **και τέλος ο υλικός πολιτισμός**.⁶⁷

Όσον αφορά την αποδεδειγμένη εμφάνιση της αριθμητικής τεκμηριώνεται από τα σημάδια των οστών την κατά τα ευρωπαϊκά δεδομένα Ανώτερη Παλαιολιθική, γνωστή και ως Ύστερη Εποχή του Λίθου. Τα σημάδια αυτά πιστεύεται ότι αντιπροσωπεύουν αριθμούς και υποστηρίζεται ότι είναι μια πρώιμη (ίσως η πιο πρώιμη) μορφή τήρησης αρχείων. Οι διαδοχικές τομές στο θραύσμα του μηριαίου οστού της ύαινας 'Les Pradelles' (Εικ. 65) αντιπροσωπεύουν το παλαιότερο δυνατό παράδειγμα αριθμητικής σημειογραφίας. Η ερμηνεία αυτή υποστηρίζεται από μικροσκοπική και μορφομετρική επιστημονική μελέτη.⁶⁸



Σταδιακά, η ιδέα της τήρησης αρχείων πάνω σε αντικείμενα, πρέπει να επεκτάθηκε σε σύμβολα για διάφορα πράγματα, έννοιες, ιδέες κ.ο.κ. Οδηγώντας κατά αυτό τον τρόπο, μέσω μιας μακράς ακολουθίας εξελικτικών βημάτων, στη γραφή όπως τη γνωρίζουμε σήμερα. Επίσης, αξιοσημείωτο θεωρείται ότι **οι πρόδρομοι της γραφής περιελάμβαναν αριθμούς, τα βασικά στοιχεία της αριθμητικής και συνεπώς τα μαθηματικά**. Μετά βεβαιότητας οι παλαιότερες μορφές γραφής (αραβικά, ελληνικά, εβραϊκά κτλ.) που είναι γνωστές σε εμάς σήμερα περιελάμβαναν αριθμούς. Κατά αυτόν τον τρόπο, σύμφωνα με την εξελικτική διαδικασία, η ανάπτυξη των γλωσσών συμπεριελάμβανε στοιχεία των μαθηματικών από πολύ πρώιμους χρόνους, λόγω των υπολογισμών, της τήρησης αρχείων κ.α. με την χρήση οστών, χορδών, όρθιων πετρών, κομματιών ξύλων, κόμπων κτλ.⁶⁹

Κατ' αναλογία, σε σημερινό επίπεδο, ως άλλο ένα εξελικτικό αποτέλεσμα, αναφέρεται **η αδιαίρετη σχέση μεταξύ γλώσσας και μαθηματικών, η οποία εκφράζεται με όρους λεξιλογίου, σημασιολογίας, σύνταξης και συμβόλων**.⁷⁰

Ακολουθώς, τα σύμβολα και τα σημάδια που καταγράφονται σε αντικείμενα πάσης φύσεως αποτελούν αρχεία αποθήκευσης πληροφοριών για τους μελετητές. Επομένως, τα αρχεία αυτά θεωρούνται ως μία εξαιρετικά σημαντική πηγή γνώσης για την ιστορία των πρώιμων πολιτισμών. Τα πιο ανθεκτικά αρχεία που είναι γνωστά μέχρι σήμερα, είναι οι πήλινες πλάκες με σφηνοειδείς χαρακτήρες και επιγραφές σε πέτρινα μνημεία. Δυστυχώς, τα αρχεία παλαιών κοινωνιών που χρησιμοποιούσαν σε λιγότερο ανθεκτικές μορφές γραφής έχουν στο μεταξύ αποσυντεθεί και δεν είναι πλέον διαθέσιμα. Με συνέπεια, αυτά τα δυνητικά ενδιαφέροντα ιστορικά αρχεία να χάνονται για πάντα.⁷¹

Εκτός των ευρημάτων, είναι κοινός τόπος ότι σε ένα πρωτόγονο μετρικό σύστημα που βασίζεται στα ανθρώπινα δάκτυλα μόνο οι χαμηλότεροι αριθμοί περιπίπτουν στην αντιληπτική ικανότητα.⁷² Η υπολογιστική ικανότητα

(a) Baboon fibula from Border Cave layer 1BS Lower B C;

(b,c) close-up view showing worn superficial incisions and the irregular sections of the notches;

(d) tracing of the notched face with numbers identifying individual notches;

(e) tracing indicating the notches made by the same tool with different symbols.

Microscopic and morphometric analyses of the notches indicate that they were made by the back-and-forth movement of five different cutting edges, and that in two cases – notches 9, 13 and 20 on the one hand, and notch 22 on the other – new notches were added in between already carved notches. Scale bar, 1 cm.

67 (Schludt, 2020, σ. 632)

68 (d'Errico et al., 2018)

69 (Baber, 2011, σ. 4, 5); (Ifrah, 2000, σ. 6 8-71); πρβ (Joseph, 2011, σ. 3700). Chapter Two: Mathematics from Bones, Strings, and Standing Stones

70 (Grinstein & Lipsey, 2001, σ.388)

71 (Baber, 2011, σ. 5)

72 (Schludt, 2020, σ. 632). [in the societies of the Upper Palaeolithic. At the same time, however, we know that the first abstract symbols existed during this period [...] speak of a 'symbolic "language"' [...] and provide evidence of an 'inner logic of a semiotic system'. [...] had already spoken of a 'formalised graphic set' that constituted a 'champ symbolique'. [...] in their pioneering work on the development of mathematics from pre-arithmetical quantification to concept-based arithmetic [...] in the societies of the Middle or Late Palaeolithic numerical judgements were confined to the oral language and relied on purely qualitative terms for an appreciation of quantities that were intuitively understood (such as 'a

single', 'both', 'a couple', 'a lot', 'many', 'all' in modern languages)]; (Ifrah, 2000, σ. 5) [In the first years of the twentieth century, there were several "primitive" peoples still at this basic stage of numbering: Bushmen (South Africa), Zulus (South and Central Africa), Pygmies (Central Africa), Botocudos (Brazil), Fuegians (South America) [...]] the Botocudos had only two real terms for numbers: one for "one", and the other for "a pair". With these lexical items they could manage to express three and four by saying something like "one and two" and "two and two". [...] For larger numbers, some of the Botocudos just pointed to their hair, as if to say "there are as many as there are hairs on my head".]; πρβ (Owens, Lean, Paraide, & Muke, 2018, σ. 84, 174). σελ. 84: [Unique systems of counting found in Papua New Guinea (PNG), West Papua, Torres Strait Islands Australia and south-east Australia involving tallying against body parts. These differ from the digit-tally systems that only involve fingers and toes]. Σ. 174: Πιθανή πρωτόλεια προσπάθεια το 3500 π.Χ. στη Μεσοποταμία.

παραμένει περιορισμένη στο πλήθος που αξιολογείται εκ πρώτης όψεως. Ο «αριθμός» είναι αναπόσπαστος από τα δεδομένα των εκτιμώμενων αντικειμένων. Επομένως, κάποιος ανταπεξέρχεται σε ποσότητες άνω των τεσσάρων αναπτύσσοντας ορισμένες διαδικασίες (αλγόριθμους) προς διευκόλυνση του, δηλαδή ένα υπολογιστικό σύστημα με την υποβοήθηση της μέτρησης δακτύλων και άλλων μερών του σώματος. Εκ του συστήματος αυτού, κάποιος οδηγείται στην ανάπτυξη μιας απλής, ιδιαιτέρως διαθέσιμης και προκαθορισμένης «χαρτογράφησης» του ανθρωπίνου σώματος. Επακολουθώντας, το κάθε σημείο του σώματος που ανά τη φορά προφέρεται -και ονοματοποιείται- να συνεπάγεται με το αριθμητικό αποτέλεσμα των επιμέρους «χαρτογραφήσεων» συνοδευόμενων με κατάλληλες χειρονομίες.⁷³

Με τη δύναμη της επανάληψης και της συνήθειας, ο «χαρτογραφημένος» κατάλογος των ονομάτων -των μελών του σώματος- κατά την αριθμητική σειρά του, αύξουσα ή φθίνουσα, **αποκτά ανεπαίσθητα αφηρημένες**

συνδηλώσεις και δίδεται έμφαση στα πέντε πρώτα ονόματα -όσα τα δάκτυλα του ενός χεριού. Με την πάροδο του χρόνου, χάριν της εξελικτικής διαδικασίας, αποδυναμώνεται η υποδήλωση των πραγματικών μερών του σώματος, **προσκολλάται προοδευτικά περισσότερο στην αντιστοιχία αριθμού & λέξης**. Επομένως, εκκινείται η εφαρμογή της αντιστοιχίας της λέξης/αριθμού σε οποιοδήποτε σύνολο αντικειμένων.⁷⁴ Σημειωτέον ότι, το μηδέν -εκτός των λέξεων/αριθμών που εκφράζουν ποσότητες- φαίνεται ότι αποτελούσε μία κατάσταση,⁷⁵ στην περίπτωση των νεολιθικών κοινωνιών λόγω των δικτύων του ανταλλακτικού εμπορίου.⁷⁶ Έτσι, **η συνδήλωση του παραλειπόταν, επειδή δεν υπήρχε κάποια αντιστοιχία με μέρη του σώματος**.

Αναμφίλεκτα, εμφανίζεται ένα θεμελιώδες εργαλείο: η αριθμητική ονοματολογία ή τα ονόματα των αριθμών,⁷⁷ από τα οποία μεσολαβώντας χιλιετίες οργανώνονται στην γραπτή αποτύπωση της γλώσσας, στα γράμματα των αλφαβήτων, όπως του Αραβικού, Εβραϊκού, Ελληνικού κ.α.⁷⁸, ως μία σιωπηρή ενθύμηση της προσπάθειας του πρωτόγονου ανθρώπου της αντιστοιχίας αριθμού & λέξης με των μελών του σώματος του.

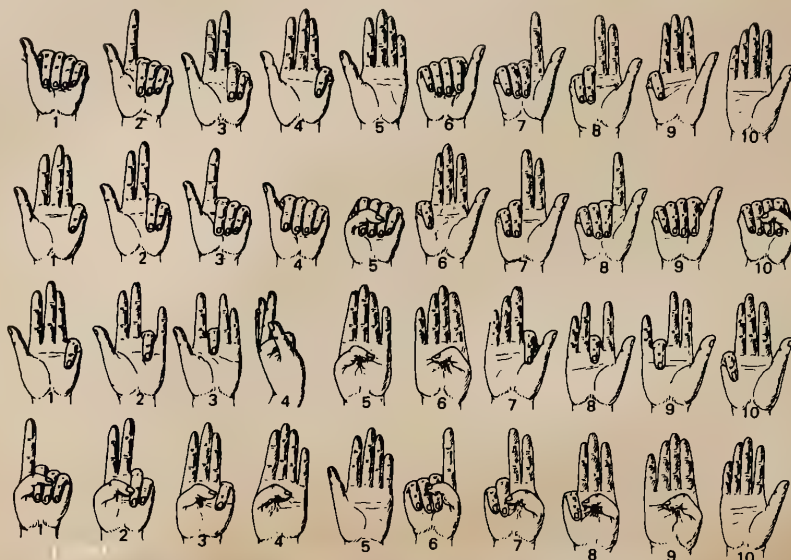


61 Calculating by the fingers shown in an Egyptian funeral painting from the New Kingdom. This is a fragment of a mural on the tomb of Prince Menna at Thebes, who lived at the time of the 18th Dynasty, in the reign of King Thutmosis, at the end of the 15th c. BC. We see six scribes checking while four workers measure out grain and pour bushels of corn from one heap to another. On the right, on one of the piles of grain, the chief scribe is doing arithmetic on his fingers and calling out the results to the three scribes on the left who are noting them down. Later they will copy the details onto papyrus in the Pharaoh's archives. (Theban tomb no. 69)

Boethius (480-524 AD), the philosopher and mathematician, counting on his fingers. From a painting by Justus of Ghent (15th AC). See P. Dedron and J. Itard (1959).

Finger-counting among the Aztecs (Pre-Columbian Mexico). Detail of a mural by Diego Rivera. National Museum of Mexico.

60 Variants of basing counting with fingers



73 (Ifrah, 2000, σ. 19); πρβ (Joseph, 2011, σ. 37)

74 (Ifrah, 2000, σ. 19); πρβ (Schlaudt, 2020, σ. 641)

75 (Kaplan, 1999, σ. 22). {In other words, 'nothing' wasn't a thing, a number, but a condition-often transitory -of part of the board. So too in finger-reckoning, if we go by a much later system that the Venerable Bede explained in his 'On Calculating and Speaking with the Fingers', written about 730 AD. There 'zero' was indicated by

the relaxed or normal position of the fingers: in other words, it was no gesture at all.}

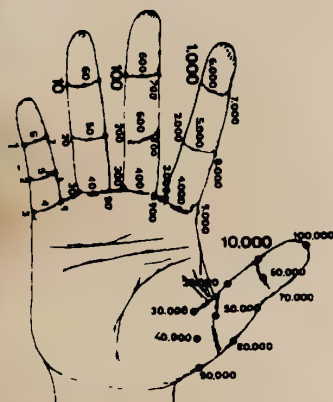
76 (Φουρκιώτου, 2017); Λ.χ. Κατά την ανταλλαγή αγαθών θεωρείται ευνόητο αυτό το αποτέλεσμα κατόπιν απλών μαθηματικών υπολογισμών.

77 (Ifrah, 2000, σ. 19, 5-18)

78 (Ifrah, 2000, σ. 220, 238, 242)

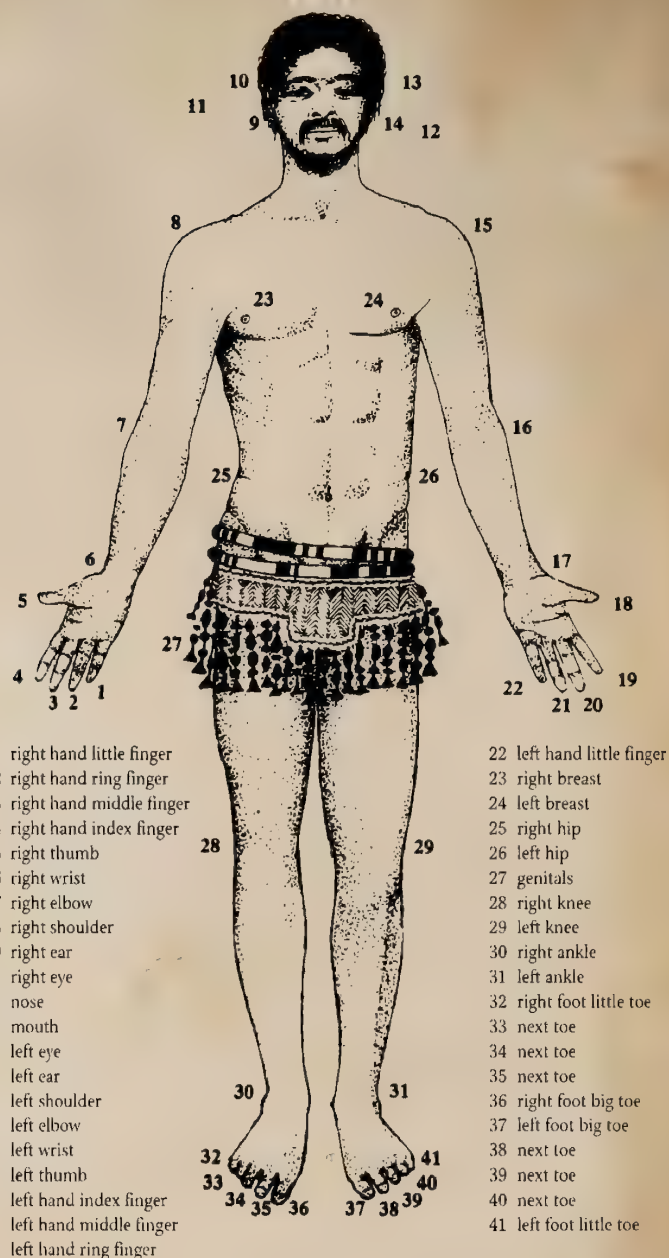
(Ifrah, 2000, p. 15). "E. C. Hawtrey (1902) also reports that the Lengua people of the Chaco (Paraguay) use a set of number-names broadly derived from specific number-gestures. Special words apparently unrelated to body-counting are used for 1 and 2, but for the other numbers they say something like:

- 3 «made of one and two»
- 4 «both sides same»
- 5 «one hand»
- 6 «reached other hand, one»
- 7 «reached other hand, two»
- 8 «reached other hand, made of one and two»
- 9 «reached other hand, both sides same»
- 10 «finished, both hands»
- 11 «reached foot, one»
- 12 «reached foot, two»
- 13 «reached foot, made of one and two»
- 14 «reached foot, both sides same»
- 15 «finished, foot»
- 16 «reached other foot, one»
- 17 «reached other foot, two»
- 18 «reached other foot, made of one and two»
- 19 «reached other foot, both sides same»
- 20 «finished, feet»



Counting to thousands using the fingers. China 16th AD, in the arithmetical textbook *Suan fa tong zong* published in 1593. [...] With the right hand palm upwards (Fig. 63), we count on the little finger from 1 to 3 by touching the «left knuckles» from tip to base; then from 4 to 6 by touching the «centre knuckles» from base to tip; and finally, from 7 to 9 by touching the «right knuckles» from tip to base. We count the tens similarly on the fourth finger, the hundreds on the middle finger, and so on.

In this way it is, in theory, possible to count up to 99,999 on one hand, and up to 9,999,999,999 with both: a remarkable testimony to human ingenuity



(Ifrah, 2000, p. 16). [...] «primitives» of this kind are not using body-counting in exactly the same way as we might. Since we know how to count, a conventional order of the parts of the body would constitute a true arithmetical sequence; each «body-point» would be assimilated in our minds to a cardinal (rank-order) number, characteristic of a particular quantity of things or beings. [...]

That is because we are equipped with generalising abstractions and in particular with number-concepts. But «primitive» peoples are not so equipped: they cannot abstract from the «points» in the numbering sequence: their grasp of the sequence remains embedded in the specific nature of the «points» themselves. Their understanding is in effect restricted to one-for-one mapping; the only «operations» they make are to add or remove one or more of the elements in the basic series.

Such people do not of course have any abstract concept of the number «ten», for instance. But they do know that by touching in order their little finger, ring finger, middle finger, index finger and thumb on the right hand, then their right wrist, elbow, shoulder, ear, and eye, they can «tally out» as many men, animals or objects as there are body-points in the sequence.

[...] this procedure is a simple and convenient means of establishing ready-made mappings which can then be mapped one-to-one onto any sets for which a total is required. [...]

Such people do not of course have any abstract concept of the number «ten», for instance. But they do know that by touching in order their little finger, ring finger, middle finger, index finger and thumb on the right hand, then their right wrist, elbow, shoulder, ear, and eye, they can «tally out» as many men, animals or objects as there are body-points in the sequence.

These body-counting points are thus not thought of by their users as «numbers», but rather as the last elements of model sets arrived at after a regulated (conventional) sequence of body-gestures. This means that for such people the mere designation of any one of the points is not sufficient to describe a given number of beings or things unless the term uttered is accompanied by the corresponding sequence of gestures. So in discussions concerning such and such a number, no real «number-term» is uttered: instead, a given number of body-counting points will be enumerated, alongside the simultaneous sequence of gestures. This kind of enumeration therefore fails to constitute a genuine arithmetical series; participants in the discussion must also necessarily keep their eyes on the speaker. [...]

Σύμφωνα με τα αρχαία κείμενα (ανεκτίμητες πηγές παράθεσης γεγονότων), η εμφάνιση των μαθηματικών ως γνωστικά εργαλεία σημειώνεται ότι εκκινήθηκε σαν μια συγκεκριμένη δραστηριότητα για τις ανάγκες του εμπορίου και της πολιτείας, εξυπηρετώντας μεγάλα κοινοτικά έργα και πολεμικές επιχειρήσεις· κοινωνικοπολιτισμικές δραστηριότητες.⁷⁹

"In c. 2,074 BCE, King Shulgi organized a military reform in the Sumerian Empire, and the next year an administrative reform (seemingly introduced under the pretext of a state of emergency but soon made permanent) enrolled the larger part of the working population in quasi-servile labour crews and made overseer scribes accountable for the performance of their crews, calculated in abstract units worth 1/60 of a working day (12 minutes) and according to fixed norms. In the ensuing bookkeeping, all work and output therefore had to be calculated precisely and converted into these abstract units, which asked for multiplications and divisions 'en masse'. Therefore, a place value system with base 60 was introduced for intermediate calculations. Its functioning presupposed the use of tables of multiplication, reciprocals and technical constants and the training for their use in schools; the implementation of a system whose basic idea was "in the air" for some centuries therefore asked for decisions made at the level of the state and implemented with great force. Then, as in many later situations, only war provided the opportunity for such social willpower."⁸⁰



Βάσει της ανωτέρω ιστορικής τοποθέτησης, την 3^η χιλ. π.Χ. επινοείται το Εξηνταδικό Σύστημα Αρίθμησης· στο οποίο χρησιμοποιείται το 60 ως η αριθμητική βάση των αριθμών. Σύμφωνα με αρχαιολογικά ευρήματα, οι πρώιμες πήλινες πινακίδες (περίπου 3,000 π.Χ.) δείχνουν ότι οι Σουμέριοι δεν διέθεταν ένα αριθμητικό σύστημα θέσης για όλες τις δυνάμεις του 60 και των πολλαπλασίων τους. Στο σύστημα των Σουμέριων εμφανίζονται τα ακόλουθα σύμβολα:

1	10	60	600	3.600
D	○	D	⊗	◯

Τα σύμβολα για τους τρεις πρώτους αριθμούς γράφονται με το κάτω άκρο μιας κυλινδρικής γραφίδας που κρατιέται λοξά για το 1 και το 60, ενώ κάθετα για το 10. Το σύμβολο για το 600 συνδυαζόταν από τους δύο χαρακτήρες του 10 και το 60, ενώ ο μεγάλος κύκλος για το 3,600 ήταν γραμμένος με μια πολύ μεγάλη στρογγυλή γραφίδα.⁸¹

Η χρήση του Εξηνταδικού Συστήματος ('Sexagesimal System') συνεχίζεται στη Μεσοποταμία και το 1,800 π.Χ., και εξακολουθεί στα μαθηματικά μέχρι τον 15^ο αι. μ.Χ. Οι Βαβυλώνιοι είχαν τα ακόλουθα σύμβολα:

1	𐎶	11	𐎶𐎵
2	𐎶𐎶	16	𐎶𐎵𐎶
3	𐎶𐎶𐎶	25	𐎶𐎵𐎶𐎶
4	𐎶𐎶𐎶𐎶	27	𐎶𐎵𐎶𐎶𐎶
5	𐎶𐎶𐎶𐎶𐎶	32	𐎶𐎵𐎶𐎶𐎶𐎶
6	𐎶𐎶𐎶𐎶𐎶𐎶	39	𐎶𐎵𐎶𐎶𐎶𐎶𐎶
7	𐎶𐎶𐎶𐎶𐎶𐎶𐎶	41	𐎶𐎵𐎶𐎶𐎶𐎶𐎶𐎶
8	𐎶𐎶𐎶𐎶𐎶𐎶𐎶𐎶	46	𐎶𐎵𐎶𐎶𐎶𐎶𐎶𐎶𐎶
9	𐎶𐎶𐎶𐎶𐎶𐎶𐎶𐎶𐎶	52	𐎶𐎵𐎶𐎶𐎶𐎶𐎶𐎶𐎶𐎶
10	𐎵	55	𐎶𐎵𐎶𐎶𐎶𐎶𐎶𐎶𐎶𐎶
20	𐎵𐎵	59	𐎶𐎵𐎶𐎶𐎶𐎶𐎶𐎶𐎶𐎶𐎶
30	𐎵𐎵𐎵		
40	𐎵𐎵𐎵𐎵 or 𐎵𐎵𐎶		
50	𐎵𐎵𐎵𐎵𐎵 or 𐎵𐎵𐎶𐎶		

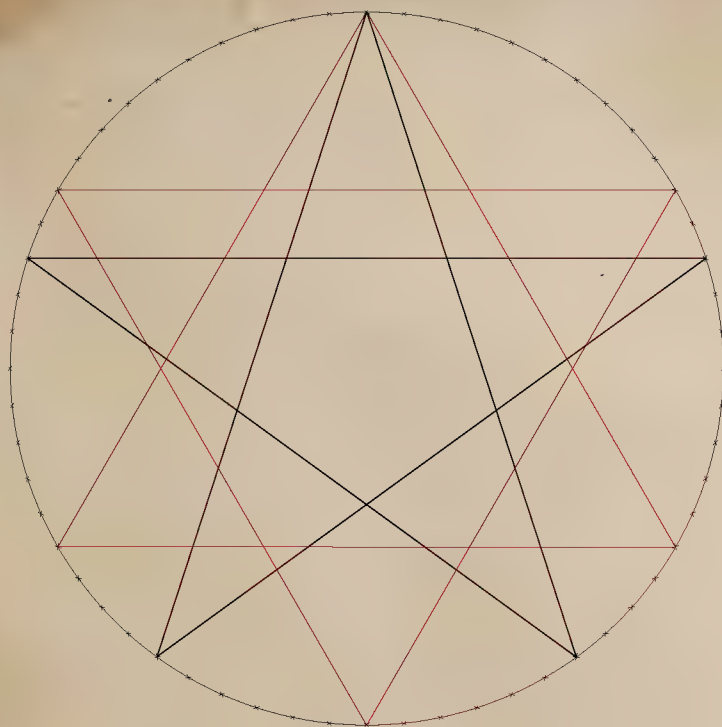
* Abbreviations used in the later period

(Ifrah, 2000, σ. 147)

79 (Manin, 2007, σ. 13); (Schlaudt, 2020, σ. 632)

80 (Manin, 2007, σ. 7)

81 (Joseph, 2011 σ. 136)



Παρατήρηση: Διαίρεση κύκλου σε 60 ($10 \cdot 6$) ίσα τμήματα, στον οποίο δύναται να εγγραφούν ο πεντάγραμμος και ο εξάγραμμος αστέρας. Ο 6-γραμμος αστέρας αποτελείται από γωνίες των 60° , & 120° ($2 \cdot 60$) ενώ ο 5-γραμμος από γωνίες 36° ($6 \cdot 6$), 72° ($6 \cdot 12$ ή $6 \cdot 2 \cdot 6$), 108° ($6 \cdot 18$ ή $6 \cdot 3 \cdot 6$).

Ο Βιτρούβιος (2000) στο «Περί Αρχιτεκτονικής» [III. 1. Οι αναλογίες. 5, 6] σημειώνει «[5] Οι αρχαίοι καθόρισαν ως τέλειο αριθμό που ονομάζεται 10 γιατί ο αριθμός αυτός βρίσκεται ως το πλήθος των δακτύλων. [...] [6] Αντίθετα οι μαθηματικοί υποστήριζαν ότι τέλειος είναι ο αριθμός που ονομάζεται 6, επειδή οι υποδιαιρέσεις εναρμονίζονται με το σύστημα μέτρησης τους που έχει ως βάση τον 6. [...] [8] Βλέποντας όμως, κατόπιν ότι και οι δύο αριθμοί, δηλαδή ο 10 και ο 6, είναι τέλειοι, τους συνδύαξαν σε έναν και θεώρησαν το 16 ως τον πιο τέλειο.»

Στον κύκλο, μέσω της γεωμετρίας, αποδίδεται η «εναρμόνιση» των αριθμών 5 και 6, αφού διαιρεθεί σε 60 ίσα τμήματα, τοποθετούνται ο 5-γραμμος και ο 6-γραμμος αστέρας, αφού $(60/5)=12$ ή $(6+6)$ & $(60/6)=10$ ή $(5+5)$.

Επιγραμματικά, τα Εξηνταδικά κλάσματα εμφανίζονται στο έργο «Μαθηματική σύνταξις» ή «Αλμαγέστη»⁸² του Κλαύδιου Πτολεμαίου το 150 μ.Χ. Πολύ αργότερα, στους «Αλφόνσειους Πίνακες» ή «Alfonsine Tables», αστρονομικοί πίνακες κατόπιν μελετών Ισλαμικών πηγών με οδηγίες του βασιλιά Alfonso X (της Castile και της León), γραμμένοι στα Λατινικά στα τέλη του 13^{ου} αι. μ.Χ., χρησιμοποιείται ένα θεσιακό Εξηνταδικό Σύστημα. Στη συνέχεια, από τον Ισλαμιστή αστρονόμο al-Kashi (1,429 μ.Χ.) προσδιορίζεται το 2π εξηνταδικώς ως 6:16,59,28,01,34,51,46,15,50—η δεκαδική αντιστοιχία του οποίου είναι ακριβώς σε 16 θέσεις. Ύστερα, κατά τη διάρκεια του 16^{ου} αι. μ.Χ. στο σημαντικό έργο του Κοπέρνικου στη μελέτη της μαθηματικής αστρονομίας περιέχονταν εξηνταδικά κλάσματα. Επιπλέον, σημειώνεται ότι ένα μέρος της τρέχουσας χρήσης της εξηνταδικής κλίμακας για τη μέτρηση του χρόνου ($1h=60'=3,600''$), των γωνιών σε λεπτά ($1^\circ=60'$) και δευτερόλεπτα ($1'=60''$) κληροδοτείται από τη Μεσοποταμία.⁸³

Προκειμένου να γνωστοποιηθεί η δυσχέρεια της υπάρξεως ενός και μόνου αριθμητικού συστήματος προς αντιμετώπιση όλων των υπολογιστικών προβλημάτων ή διερευνήσεων στον κόσμο των μαθηματικών, συγκρίνεται ο Μεσοποταμιακός τρόπος αναπαράστασης των αριθμών με άλλα συστήματα. Έτσι, κατά την αξιολόγηση ενός συμβολογραφικού συστήματος συμπεριλαμβάνονται οι ακόλουθες σχετικές ερωτήσεις:⁸⁴

1. Είναι το σύστημα εύκολο στην εκμάθηση και τη σύνταξη;
2. Είναι το σύστημα σαφές;
3. Προσφέρεται εύκολα το σύστημα στον υπολογισμό;

Το σύστημα της Μεσοποταμίας ανταποκρίνεται καλά στις ερωτήσεις 1 και 3, επειδή μαθαίνεται εύκολα, καθώς είναι ένα από τα πιο εργονομικά συστήματα όσον αφορά τα σύμβολα του. Επιπλέον, ένα ακόμα αριθμητικό σύστημα που λειτουργούσε με μόνο δύο σύμβολα (τελείας - παύλας) ήταν των Mayan, όμως σε αντίθεση με το σύστημα της Μεσοποταμίας, εμφανιζόταν ένα ειδικό για το μηδέν. Αν συγκρίνουμε το Μεσοποταμιακό με το Ελληνικό Αριθμητικό Σύστημα των 27 συμβόλων -γραμμάτων, η απλότητα της προηγούμενης σημειογραφίας είναι προφανής. Έτσι, στην περίπτωση αντιπαραβολής αυτής της απλότητας με την αδεξιότητα της αναπαράστασης ενός αριθμού όπως το 59, ο οποίος στην ασύντμητη Μεσοποταμιακή σημειογραφία θα απαιτούσε 14 χαρακτήρες (αν και μερικοί θα επιχειρηματολογούσαν ότι ενωμένα αντιπροσωπεύουν ένα μεμονωμένο σφηνοειδή σημείο), ενώ στην ελληνική σημειογραφία του Ακροφωνικού θα απαιτούσε μόνο δύο -το 'ΝΘ'.⁸⁵ Επιπροσθέτως, η υπολογιστική ευκολία του συστήματος της Μεσοποταμίας θεωρείται αξιοσημείωτη, η οποία προκύπτει από την θεμελιώδη θεσιακή αρχή και τη βάση του 60. Από τον υπολογισμό αυτής της βάσης αποδεικνύεται

59 in
Babylonian
Numeral



82 (Claudius Ptolemaeus, Alexandrinus & J-L Heiberg, 1898). Κλαύδιος Πτολεμαίος, «Μαθηματική σύνταξις» ή «Αλμαγέστη»

83 (Joseph, 2011, σ. 140-141)
84 (Joseph, 2011, σ. 141)

ένα ξεχωριστό πλεονέκτημα όταν κάποιος ασχολείται με κλάσματα. Μέχρι την εμφάνιση της αναπαράστασης των δεκαδικών κλασμάτων, η Μεσοποταμιακή αντιμετώπιση του τρόπου των κλασμάτων παρέμεινε η πιο ισχυρή διαθέσιμη υπολογιστική μέθοδος, ως βέλτιστη.⁸⁶



στόσο, το μεγάλο μειονέκτημα της Μεσοποταμίας στην σημειογραφία έγκειται στην ασάφειά της. Η συνέπεια που προκαλείται από την απουσία, αφενός μεν του συμβόλου για το μηδέν και αφετέρου δε του κατάλληλου μηχανισμού για το διαχωρισμό του ακέρατου μέρους από το κλασματικό μέρος. Να διευκρινισθεί ότι, από εκείνο το σύστημα αρίθμησης δεν αποκλειόταν η ενσωμάτωση των παραπάνω πρόσθετων ιδιοτήτων. Απλώς, δεν χρησιμοποιήθηκαν από τους Μεσοποταμίους μαθηματικούς, γεωμέτρες, εμπόρους κ.λπ. Αργότερα, την εποχή της Νέας Βαβυλωνιακής αυτοκρατορίας εμφανίζεται ο θεσιακός συμβολισμός, ως εξέλιξη του υπάρχοντος.⁸⁷

Σημειωτέον ότι, το πλεονέκτημα του Αιγυπτιακού συστήματος (με βάση το 10, αντί του 60, ευκολότερη αριθμητική ανάλυση) έναντι του Βαβυλωνιακού εντοπιζόταν στην έλλειψη των προαναφερθέντων ή άλλων επακόλουθων από το τρόπο με τον οποίο απεικονίζεται ένας αριθμός με σύμβολα. Εντούτοις, σε σύγκριση με το Αιγυπτιακό σύστημα, το Βαβυλωνιακό συμβολογραφικό σύστημα ήταν υπολογιστικά πιο «παραγωγικό» και συμβολικά πιο εργονομικό, αφού η θεμελιώδη θεσιακή αρχή κατέστησε περιττή την επινόηση νέων συμβόλων για μεγάλους αριθμούς, όμως είχε το μειονέκτημα ότι ήταν ασαφές.⁸⁸

Χαρακτήρες Αιγυπτιακού Συστήματος αρίθμησης με βάση το 10:

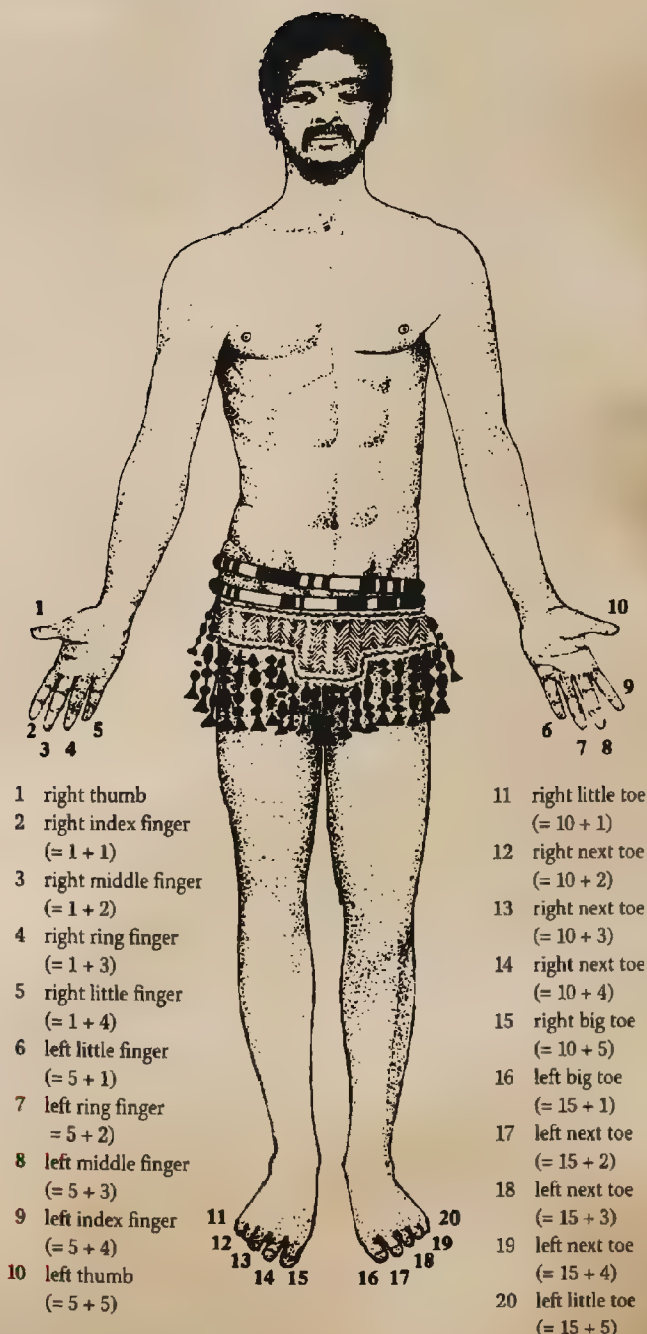
0 10 100 1,000 10,000 100,000 1 million
or many



Για να ανακουφίσουν την κοπιώδη προσπάθεια των μεγάλων υπολογισμών, οι Μεσοποταμίαι έκαναν εκτενή χρήση μαθηματικών πινάκων. Αυτοί περιελάμβαναν πίνακες για την εύρεση αντιστροφών, τετραγώνων, κύβων και τετραγωνικών και κυβικών ριζών, καθώς και εκθετικούς πίνακες.⁸⁹

Περί της πιθανούς ανακάλυψης του 10-δικού συστήματος αρίθμησης από τους αρχαίους χρόνους ο Jean-Étienne Montucla⁹⁰, Γάλλος μαθηματικός και ιστορικός του 18^{ου} αι. μ.Χ., σχολιάζει:

*"If the characters originate from Greek letters, they have drastically changes somewhere along the way. In fact, these letters could only resemble our numerals if they were shortened and turned about in a very old fashion. Moreover, the appearance of these characters is much less important than the ingenious way in absolutely any number. The Greeks were a highly intelligent race, and if this had been their invention, or even if they had simply got windy of it, they certainly would have made use of it."*⁹¹



(Ifrah, 2000, p. 44-45). "If nature had given us six fingers, then the majority of counting systems would have used base 12. If on the other hand evolution had brought us down to four fingers on each hand (as it has for the frog), then we would doubtless have long-standing habits and traditions of counting on base 8.

The reason for the adoption of vigesimal (base 20) systems in some cultures can be seen by the basic idea of Aztec numbering as laid out in Fig. 64 above. In the language of the Aztecs the names of the first five numbers can be associated with the fingers of one hand; the following five numbers can be associated with the fingers of the other hand; the next five numbers can be associated with the toes of one foot; and the last five numbers can be associated with the toes on the other foot. And so 20 is reached with the last toe of the second foot (see Fig. 2.10). This is no coincidence. It is simply that some communities, because they realised that by leaning forward a little they could count toes as well as fingers, ended up using base 20."

85 (Joseph, 2011, σ. 141)

86 (Joseph, 2011, σ. 141)

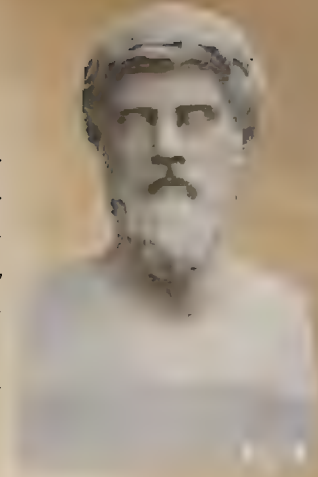
87 (Joseph, 2011, σ. 141)

88 (Joseph, 2011, σ. 141)

89 (Joseph, 2011, σ. 142)

90 ("Jean-Étienne Montucla," 2022)

91 (Ifrah, 2000, σ. 360)



Plutarch, Modern portrait at Chaeronea, based on a bust from Delphi tentatively identified as Plutarch.

Μολαταύτα, δεν θεωρείται άτοπος αυτός ο ισχυρισμός καθότι, όπως έχει ήδη αναφερθεί, κάθε πολιτισμός που μελετάει επί παντός επιστητού, δύναται να ανακαλύψει ένα βελτιστοποιημένο σύστημα αρίθμησης. Αναντίρρητα, σε ένα τέτοιο σύστημα υποστηρίζονται σύνθετοι μαθηματικοί υπολογισμοί σε μικρό χρονικό διάστημα, δίχως την εκτεταμένη χρήση πολλών δύσχρηστων χαρακτήρων.

Αναλογιζόμενος κάποιος την γνωστή ρύση -μία εκ των 7 σοφών του 7^{ου} αι. π.Χ.- «**χρόνου φείδου**,»⁹² την υψίστη σημασία της προφορικής παράδοσης (στην οποία οφείλεται η διάσωση των Ομηρικών Επών) και την άκρα μυστικότητα (λ.χ. Ελευσίνια & Καβείρια Μυστήρια, Πυθαγορισμός), κάποιος δύναται να προβεί με επιφύλαξη σε αυτή τη θέση, όπως του Jean-Étienne Montucla, λόγω της απουσίας απτών αποδεικτικών στοιχείων. Συν τοις άλλοις, το χωρίο του Πλούταρχου στο έργο «Αλέξανδρος»⁹³ [7.1-8.5] ενημερώνει εμμέσως περί της άκρας μυστικότητας, τα ακόλουθα:

[7.5] «ἔοικε δ' Ἀλέξανδρος οὐ μόνον τὸν ἠθικὸν καὶ πολιτικὸν παραλαβεῖν λόγον, ἀλλὰ καὶ τῶν ἀπορρήτων καὶ βαθυτέρων διδασκαλιῶν, ἃς οἱ ἄνδρες ἰδίως ἀκροατικὰς καὶ ἐποπτικὰς προσαγορεύοντες οὐκ ἐξέφερον εἰς πολλοὺς, μετασχεῖν.»

Απόδοση:

[7.5] Φαίνεται πως ο Αλέξανδρος δέχτηκε όχι μόνο μαθήματα ηθικής και πολιτικής, αλλά και πήρε μέρος σε μυστικές και βαθύτερες διδασκαλίες, που οι άνδρες ιδίως αποκαλούσαν ακροατικές και ανώτερες και δεν τις κοινολογούσαν στον πολύ κόσμο.

[7.6] ἤδη γὰρ εἰς Ἀσίαν διαβεβηκῶς, καὶ πυθόμενος λόγους τινὰς ἐν βιβλίοις περὶ τούτων ὑπ' Ἀριστοτέλους ἐκδεδόσθαι, γράφει πρὸς αὐτὸν ὑπὲρ φιλοσοφίας παρρησιαζόμενος ἐπιστολήν, ἧς ἀντίγραφόν ἐστιν·

[7.7] «Ἀλέξανδρος Ἀριστοτέλει εὖ πράττειν. οὐκ ὀρθῶς ἐποίησας ἐκδούς τοὺς ἀκροατικοὺς τῶν λόγων· τίνι γὰρ δὴ διοίσομεν ἡμεῖς τῶν ἄλλων, εἰ καθ' οὓς ἐπαιδεύθημεν λόγους, οὗτοι πάντων ἔσονται κοινοί; ἐγὼ δὲ βουλοίμην ἂν ταῖς περὶ τὰ ἄριστα ἐμπειρίαις ἢ ταῖς δυνάμεσι διαφέρειν. ἔρρωσο».

92 ("χρόνου φείδου," 2021). «Οὐκ ἐβούλοντο οἱ παλαιοὶ Ῥωμαίων, ὧς Σήβωσε ἀνδρῶν ἄριστε, σοφοὶ εἶναι δοκεῖν, ὅθεν οὐδὲ ἐθήρων τὴν δόξαν δεινότητι λόγων ἢ περιττοῖς καὶ πιθανοῖς ἀποφθέγμασιν, οἷς ἐχρήσαντο Ἕλληνων τινές, ἃ διαβεβόηται χρησῶν εἶναι δοκοῦντα ἤδη πιστότερα, μηδὲν ἄγαν καὶ ἔπου θεῶ καὶ χρόνων φείδου καὶ γινῶθι σαυτὸν καὶ ἐγγύα πάρα δ' ἄτα καὶ ἄλλα τούτοις εὐοικότα, ἴσως μὲν καὶ ὠφέλιμα τοῖς πειθόμενοις, ἔχοντα δὲ τὴν ἐν τῷ βραχεῖ τῆς ἀποδόσεως ἡδύ καὶ προσκλητικόν. Δικαίᾳρχω δὲ οὐδὲ ταῦτα σοφῶν εἶναι ἀνδρῶν δοκεῖ, μὴ γὰρ δι' γε τοὺς πάλαι λόγῳ φιλοσοφεῖν.» (Δικαίᾳρχος, Αποσπάσματα, 31, 3-10). «Βραχύτης ἐστὶ φράσις πλέον τι τοῦ ἀκουομένου νοούμενον ἔχουσα, οἷά ἐστι τὰ Δελφικὰ ἀποφθέγματα, γινῶθι σαυτὸν· χρόνου φείδου· μηδὲν ἄγαν.» (Τρύφων ο γραμματικός, Περί τρόπων, 202, 19 -Περί βραχύτητος)

[7.8] ταύτην μὲν οὖν τὴν φιλοτιμίαν αὐτοῦ παραμυθούμενος Ἀριστοτέλης ἀπολογεῖται περὶ τῶν λόγων ἐκείνων, ὡς καὶ ἐκδεδομένων καὶ μὴ ἐκδεδομένων. [7.9] ἀληθῶς γὰρ ἢ περὶ τὰ φυσικὰ πραγματεῖα, πρὸς διδασκαλίαν [7.9] καὶ μάθησιν οὐδὲν ἔχουσα χρήσιμον, ὑπόδειγμα τοῖς πεπαιδευμένοις ἀπ' ἀρχῆς γέγραπται. ἀληθῶς γὰρ ἢ περὶ τὰ φυσικὰ πραγματεῖα, πρὸς διδασκαλίαν καὶ μάθησιν οὐδὲν ἔχουσα χρήσιμον, ὑπόδειγμα τοῖς πεπαιδευμένοις ἀπ' ἀρχῆς γέγραπται.

Απόδοση:

[7.6] Πράγματι, είχε περάσει ήδη στην Ασία, όταν πληροφορήθηκε ότι είχαν εκδοθεί από τον Αριστοτέλη σε βιβλία κάποιοι λόγοι σχετικά με αυτά. Του έγραψε λοιπόν επιστολή, της οποίας υπάρχει αντίγραφο, υπεραμυνόμενος της φιλοσοφίας: «Ο Αλέξανδρος χαιρετά τον Αριστοτέλη.

[7.7] Δεν έκανες καλά που εξέδωσες τους ακροαματικούς λόγους· σε τι λοιπόν θα διαφέρουμε εμεῖς από τους άλλους, εάν οι λόγοι, σύμφωνα με τους οποίους μορφωθήκαμε, θα γίνουν κτήμα όλων; Εγώ προσωπικά θα επιθυμούσα να ξεχωρίζω ως προς τις γνώσεις για τα πιο ωραία πράγματα παρά ως προς τη δύναμη. Να είσαι καλός».

[7.8] Μιλώντας καθησυχαστικά ο Αριστοτέλης για αυτή τη φιλοδοξία του, λέει σε τόνο απολογητικό για εκείνους τους λόγους ότι έχουν και δεν έχουν εκδοθεί.

[7.9] Πράγματι, η πραγματεία του «Μετά τα Φυσικά», που δεν έχει καμιά χρησιμότητα για διδασκαλία και μάθηση, έχει γραφεί εξαρχής ως υπόδειγμα για τους μορφωμένους.

Η αρχαία Ελλάδα διέθετε δύο συστήματα αρίθμησης. Το πρώτο ήταν το **Ακροφωνικό ή Ηρωδιανό**, (παρεμφερές με τους χαρακτήρες του Ρωμαϊκού Συστήματος Αρίθμησης) και το δεύτερο ήταν το **Αλφαβητικό**, το οποίο παράλληλα χρησιμοποιούσαν και οι Εβραίοι της εποχής. Το ελληνικό αλφαριθμητικό σύστημα τεκμηριώνεται από έναν πάπυρο που εκτίθεται στο μουσείο του Καΐρου με τον αριθμό "Inv. 65 445" και χρονολογείται τον 3^ο αι. π.Χ. Στον πάπυρο αυτό **αντιστοιχίζονται τα γράμματα του Ελληνικού Αλφαβήτου με αριθμούς**. Στην αντιστοιχία αυτή ορίζονται οι γνωστές τρεις εννεάδες των 27 αρχαίων ελληνικών γραμμάτων -Α, Β, Γ, Δ, Ε, Ζ, Η, Θ, Ι, Κ, Λ, Μ, Ν, Ξ, Ο, Π, Q, Ρ, Σ, Τ, Υ, Φ, Χ, Ψ, Ω, Ξ- των οποίων η αλληλουχία ισοδυναμεί κατ' αύξοντα αριθμό στις μονάδες, δεκάδες και εκατοντάδες.⁹⁴ Ομοίως, **αλφαριθμητικά συστήματα συναντώνται σε διάφορους άλλους πολιτισμούς**, όπως προαναφέρθηκε στον Εβραϊκό,⁹⁵ στον Αραβικό⁹⁶ κτλ.

1	Ι
2	ΙΙ
3	ΙΙΙ
4	ΙΙΙΙ
5	Γ
6	ΓΙ
7	ΓΙΙ
8	ΓΙΙΙ
9	ΓΙΙΙΙ
10	Δ
100	Η
200	ΗΗ
300	ΗΗΗ
400	ΗΗΗΗ
500	Ρ
600	ΡΗ
700	ΡΗΗ
800	ΡΗΗΗ
900	ΡΗΗΗΗ
1,000	Χ
10,000	Μ
20,000	ΜΜ
30,000	ΜΜΜ
40,000	ΜΜΜΜ
50,000	Ρ
60,000	ΡΜ
70,000	ΡΜΜ
80,000	ΡΜΜΜ
90,000	ΡΜΜΜΜ

93 (Πλούταρχος, 2012)
94 (Ifrah, 2000, σ. 219-221)
95 (Ifrah, 2000, σ. 238)
96 (Ifrah, 2000, σ. 242)

UNITS			
A α	alpha	1	
B β	beta	2	
Γ γ	gamma	3	
Δ δ	delta	4	
E ε	epsilon	5	
Ϛ ϛ	digamma*	6	
Z ζ	zeta	7	
H η	eta	8	
Θ θ	theta	9	

TENS			
I ι	iota	10	
K κ	kappa	20	
Λ λ	lambda	30	
M μ	mu	40	
N ν	nu	50	
Ξ ξ	ksi	60	
O ο	omicron	70	
Π π	pi	80	
Ϟ ϙ	koppa	90	

HUNDREDS			
P ϱ	rho	100	
Σ σ	sigma	200	
T τ	tau	300	
Υ υ	upsilon	400	
Φ φ	phi	500	
X χ	chi	600	
Ψ ψ	psi	700	
Ω ω	omega	800	
Ϡ ϡ	san	900	
	(sampi)		

α	β	ιβ	χξθ
M	M	M...	M...
10,000	20,000	120,000	6,690,000

(Ifrah, 2000, σ. 220). Greek alphabetic numerals. In manuscripts from Byzantium, 6 is written στ (sigma+tau). In Modern Greek, where alphabetic numerals are still used for specific purposes (rather like Roman numerals in our culture), this sign is called a stigma.

Order number and normal values of the letters			A	B	C
1	Α	1	1	1 ²	1
2	Β	2	2	2 ²	1+2
3	Γ	3	3	3 ²	1+2+3
4	Δ	4	4	4 ²	1+2+3+4
5	Ε	5	5	5 ²	1+2+3+4+5
6	Ϛ	6	6	6 ²	1+2+3+4+5+6
7	Ζ	7	7	7 ²	1+2+3+4+5...+7
8	Η	8	8	8 ²	1+2+3+4+5...+8
9	Θ	9	9	9 ²	1+2+3+4+5...+9
10	Ι	10	1	10 ²	1+2+3+4+5...+10
11	Κ	20	2	20 ²	1+2+3+4+5...+11
12	Λ	30	3	30 ²	1+2+3+4+5...+12
13	Μ	40	4	40 ²	1+2+3+4+5...+13
14	Ν	50	5	50 ²	1+2+3+4+5...+14
15	Ξ	60	6	60 ²	1+2+3+4+5...+15
16	Ο	70	7	70 ²	1+2+3+4+5...+16
17	Π	80	8	80 ²	1+2+3+4+5...+17
18	Ρ	90	9	90 ²	1+2+3+4+5...+18
19	Ϟ	100	1	100 ²	1+2+3+4+5...+19
20	ϟ	200	2	200 ²	1+2+3+4+5...+20
21	Ϡ	300	3	300 ²	1+2+3+4+5...+21
22	ϡ	400	4	400 ²	1+2+3+4+5...+22

(Ifrah, 2000, σ. 255). Some of the many systems for the numerical evaluation of Hebraic letters. They are used by rabbis and Cabbalists for the interpretation of their homilies.

LETTERS		VALUES
ا	'alif	1
ب	ba	2
ج	jim	3
د	dal	4
ه	ha	5
و	wa	6
ز	zay	7
ح	ḥa	8
ط	ṭa	9
ي	ya	10
ك	kaf	20
ل	lam	30
م	mim	40
ن	nūn	50
س	sin	60
ع	'ayin	70
ف	fa	80
ص	ṣad	90
ق	qaf	100
ر	ra	200
ش	shin	300
ت	ta	400
ث	tha	500
خ	kha	600
ذ	dhal	700
ض	ḍad	800
ظ	ḍḥa	900
غ	gha	1,000

(Ifrah, 2000, σ. 243, 261). The order of Arabic letters as ordained according to the regular development of the values of the alphabetic number-system of eastern Arabs. Abjad numerals

GOTHIC LETTERS	VALUES	
	PHONETIC	NUMERICAL
Ἀ	a	1
Ḅ	b	2
ᚦ	g	3
ᚳ	d	4
ᚷ	e	5
ᚹ	q	6
ᚻ	z	7
ᚾ	h	8
ᚿ	th	9

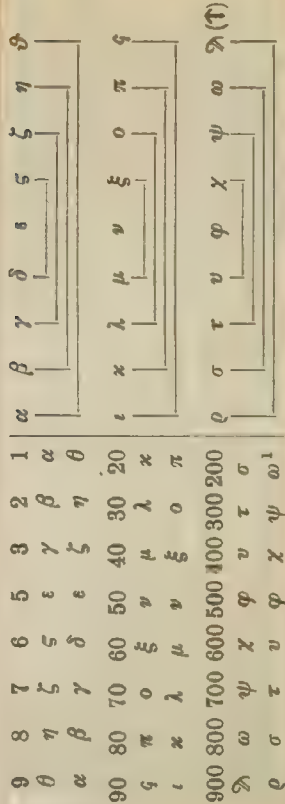
GOTHIC LETTERS	VALUES	
	PHONETIC	NUMERICAL
ἰ	i	10
ἰ	k	20
ἰ	l	30
ἰ	m	40
ἰ	n	50
ἰ	y	60
ἰ	u	70
ἰ	p	80
ἰ		90

GOTHIC LETTERS	VALUES	
	PHONETIC	NUMERICAL
ᚺ	r	100
ᚺ	s	200
ᚺ	t	300
ᚺ	w	400
ᚺ	f	500
ᚺ	ch	600
ᚺ	hw	700
ᚺ	o	800
ᚺ		900

(Ifrah, 2000, σ. 226). Gothic: Another alphabetical numeral system influenced by Greek in the Christian era. The Goths - a Germanic people living on the northeastern confines of the Roman Empire, were Christianised by Eastern (Greek-speaking) priests in the second and third centuries CE. Wulfila (311-384 CE), a Christianised Goth who became a bishop, translated the Bible into his own tongue, and invented the Gothic alphabet, based on Greek together with some additional characters, in order to do this. The Goths eventually merged into other peoples, from Crimea to North Africa, and disappeared, leaving only the term «Gothic» with its various acquired meanings.

A	1
B	2
C	3
D	4
E	5
F	6
G	7
H	8
I	9
K	10
L	20
M	30
N	40
O	50
P	60
Q	70
R	80
S	90
T	100
V	200
X	300
Y	400
Z	500

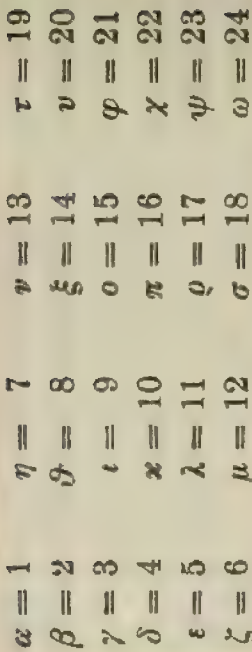
(Ifrah, 2000, σ. 226). Numeral alphabet used by some mediaeval and Renaissance mystics. This adaptation of the Greek system to the Latin alphabet is described by A. Kircher in Oedipi Aegyptiaci, vol. II/1, p. 488 (1653).



Heinrich Cornelius Agrippa applied the concept of arithmancy to the classical Latin alphabet in the 16th century in *Three Books of Occult Philosophy*. He mapped the letters as follows (in accordance with the Latin alphabet's place-value at that time)

One-digit number cryptography. »Einstellige Zahlenkryptographie.« by Gardthausen, V. (Viktor Emil), & Roberts - University of Toronto.

"The alphabetic number system, says Keil, is between 550-425 BC. In Doric Caria, perhaps in Halicarnassus"



Θέση (x,y)	1	2	3	4	5	6	7	8	9
1	A	B	Γ	Δ	E	Ζ	Z	H	Θ
	Α	Β	Λ	Δ	Ε	Ζ	Ι	Η	Θ
	1	2	3	4	5	6	7	8	9
2	I	K	Λ	M	N	Ξ	O	Π	ϙ
	Ι	Κ	Λ	Μ	Ν	Ξ	Ο	Π	ϙ
	10	20	30	40	50	60	70	80	90
3	P	Σ	T	Υ	Φ	X	Ψ	Ω	Ϡ
	Ρ	Σ	Τ	Υ	Φ	Χ	Ψ Ж	Ω 8	Ϡ 7
	100	200	300	400	500	600	700	800	900
Sum	111	222	333	444	555	666	777	888	999
	666			1665			2664		
Πυθμενικός Αριθμός*	(6+6+6=) 18			(1+6+6+5=) 18			(2+6+6+4=) 18		
	(1+8=) 9			(1+8=) 9			(1+8=) 9		
	(9+9+9=) 27								
	9								

cronymus & Huilhelmus, licet Germani pro hu aspirato, duplici w utantur, Itali uero & Galli in suo uulgarig cum u coniunctum loco eius ponunt, sic scribentes, Vuilhelmus & Guilhelmus.
A. B. C. D. E. F. G. H. I. K. L. M. N. O. P. Q. R. S. T. V. X. Y. Z. I. V. H. HV.
Quod si nunc scire delideras narialicuius dominatricem stellam, computa nomen suum & utriusque parentis sui per singulas literas secundum numerum supra scriptum, collectam que totius summam diuide per nouenarium, subtrahendo illum quoties poteris: & remanferit unitas, aut quaternarius, uterque solem indicat: fuerit uero binarius aut septenarius, uterque fi-

Ως πυθμενικός αριθμός* ορίζεται η αντιστοιχία ενός οποιοδήποτε φυσικού αριθμού (N*={1,2,3,...}) σε μία μονάδα. Η αντιστοιχία αυτή καθορίζεται από την κατασκευή ενός μητρώου (πίνακα) εννεάδων. Σύμφωνα με την διεργασία αυτή οποιοσδήποτε φυσικός αριθμός του πίνακα αντιστοιχίζεται καθέτως με μία από τις 9 μονάδες, δηλαδή με βάση τη στήλη στην οποία βρίσκεται στους πρώτους εννέα αριθμούς (1,2,3,4,5,6,7,8,9).

N*	Γ ₁	Γ ₂	Γ ₃	Γ ₄	Γ ₅	Γ ₆	Γ ₇	Γ ₈	Γ ₉
1	1	2	3	4	5	6	7	8	9
2	10	11	12	13	14	15	16	17	18
3	19	20	21	22	23	24	25	26	27
4	28	29	30	31	32	33	34	35	36
5	37	38	39	40	41	42	43	44	45
6	46	47	48	49	50	51	52	53	54
7	55	56	57	58	59	60	61	62	63
8	64	65	66	67	68	69	70	71	72
9	73	74	75	76	77	78	79	80	81
10	82	83	84	85	86	87	88	89	90
11	91	92	93	94	95	96	97	98	99
12	100	101	102	103	104	105	106	107	108
...	$C_n = 1 + C_{n-1}$ με $C_0=0$, $C_1=1$ και $n=N^*=\{1,2,3, \dots\}$								

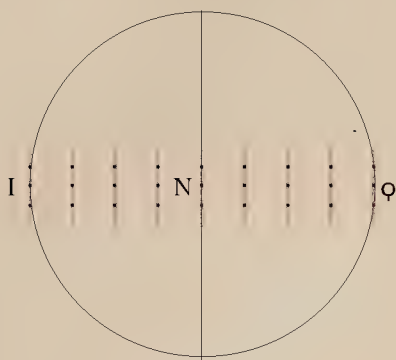
Η εύρεση του πυθμενικού αριθμού δίνεται με δύο τρόπους:
(a) Πρόσθεση των επιμέρους ψηφίων του φυσικού αριθμού, μέχρις ότου καταλήξουμε στο αποτέλεσμα ενός ψηφίου.
(b) Δίνεται από το υπόλοιπο της διαίρεσης του C_n με το 9. Στην περίπτωση τέλειαις διαίρεσης, τότε ο πυθμενικός αντιστοιχίζεται στο 9. Ο τύπος είναι:
 $C_n \bmod 9 = \Gamma_n$ για $\Gamma_n = \{1,2,3,4,5,6,7,8,9\}$
Δηλαδή, αν $C_{28}=28$ τότε το « $28 \bmod 9 = 1$ » υποδηλώνει τη διαίρεση $28/9$ με το υπόλοιπο 1 και πηλίκο 3. Το πηλίκο προσδιορίζει την προηγούμενη αριθμητική σειρά του διαιρετέου στον πίνακα. Αν η διαίρεση είναι τέλεια (δηλ. το πηλίκο ισούται με το μηδέν) τότε το πηλίκο ισοδυναμεί με την πραγματική αριθμητική σειρά του C_n

Από την τοποθέτηση των γραμμάτων σε 3 εννεάδες παρατηρείται ότι αν σχεδιαστούν κατακόρυφες γραμμές σε κάθε στήλη, η κεντρική γραμμή διαπερνάει τα γράμματα «Ε Ν Φ», αφού αντικατασταθεί κάθε γράμμα με ένα σημείο. Στο ακροφωνικό σύστημα αρίθμησης, όπως έχει αναφερθεί, ο αριθμός 1 συμβολίζεται ως 'Ι'. Αν απομονωθούν τα δύο πρώτα γράμματα προκύπτει η λέξη «ΕΝ» που σημαίνει 1.

$$EN = | = 1$$

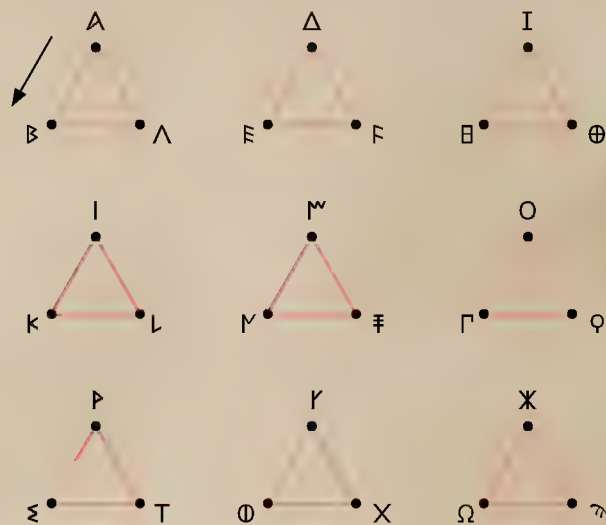
.
.
.

Α	Β	Γ	Δ	Ε	Ζ	Ζ	Η	Θ
Ι	Κ	Λ	Μ	Ν	Ξ	Ο	Π	Φ
Ρ	Σ	Τ	Υ	Φ	Χ	Ψ	Ω	Υ



Εφόσον, σχεδιαστεί η κεντρική κατακόρυφη γραμμή στον πίνακα, προεκταθεί άνω και κάτω του, σχεδιαστεί ένας κύκλος με κέντρο το σημείο «Ν» και διάμετρο τα σημεία «Ι» και «Φ», παρατηρείται ότι σχηματίζεται το γράμμα «Φ», στο οποίο παράλληλα εμφανίζεται ο ακροφωνικός αριθμός Ι. Κατά σύμπτωση, το άθροισμα των γραμμάτων (σημείων του κύκλου) $I+N+Φ=10+50+90=150$ ισούται με το άθροισμα των γραμμάτων Μ, Ν, Ξ του κεντρικού τριγώνου (ΜΝΞ), όπως φαίνεται στο σχήμα των τριγωνικών διατάξεων από κάτω, αφού $M+N+Ξ=40+50+60=150$.

Αν τοποθετηθούν τα γράμματα σε 9 τριάδες, και αφού αντικατασταθεί κάθε γράμμα με ένα σημείο, παρατηρείται ο τριγωνικός σχηματισμός των γραμμάτων «Τ Ρ Σ» που κατόπιν πρόσθεσης των γραμμάτων «Ι» και «Α» προκύπτει η λέξη «ΤΡΙΑΣ» ή «τριάδα».

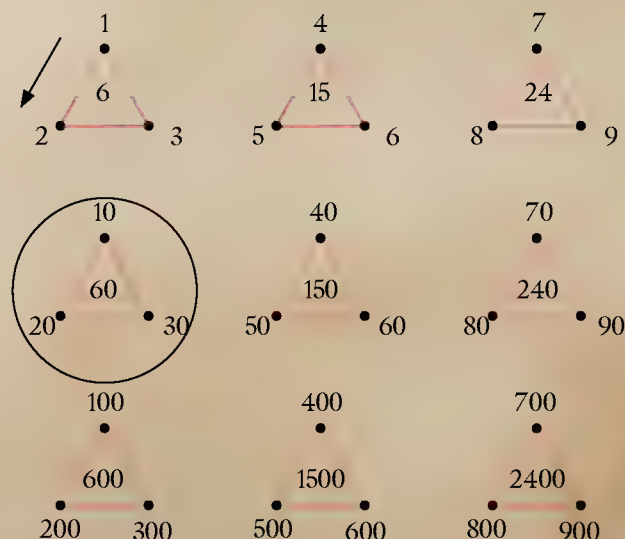


Τ Ρ Σ
 ΤΡ(ΙΑ)Σ = Τριάδα
 ΤΡΕΙΣ = Τρία
 Τρία σημεία
 Η λέξη τριάδα †
 χρησιμοποιήθηκε από
 τους Χριστιανούς
 θεολόγους τον 2ο αι.
 μ.Χ.

Επίσης, εμφανίζεται ο τακτικός αριθμητικός τέσσαρες† και ο αριθμός τέσσερες (πιθανός ιωνικός τύπος)† με πρόσθεση των γραμμάτων «Α» και «Ε». Σημειώνεται ότι το γράμμα «Δ» κατέχει την 4^η αριθμητική θέση, ενώ έχει τριγωνικό γεωμετρικό σχήμα.

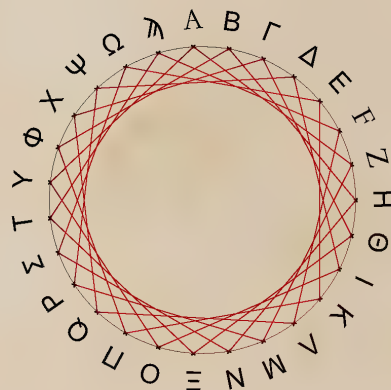
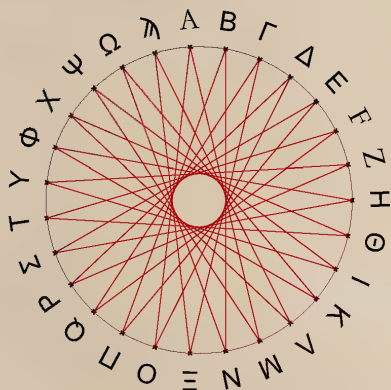
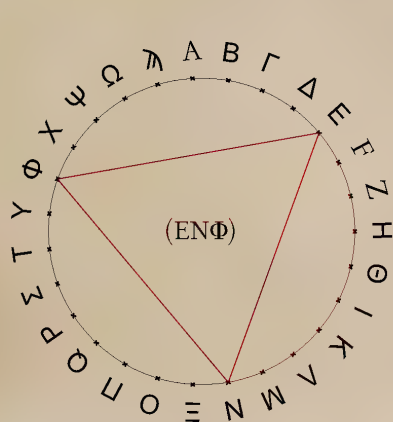
Τα γράμματα «ΙΑ» πάρθηκαν ως «κορυφές» των ισόπλευρων τριγώνων (ΑΒΓ) και (ΙΚΛ) που βρίσκονται άνω του τριγώνου (ΣΡΤ). Η αντιστροφή πραγματοποιήθηκε επειδή, ως γνωστό, υπήρχαν δύο είδη γραφής η «ἐπὶ τὰ λαϊά» γραφή (αριστερά προς τα δεξιά) και η «ἐς εὐθὺν» γραφή (δεξιά προς τα αριστερά). Αργότερα, από τον 5^ο αι. π.Χ. επικράτησε η «ἐς εὐθὺν» γραφή ††

Αν αντικατασταθούν τα γράμματα με τους αντίστοιχους τους αριθμούς τους, όπως έχουν αναφερθεί, τότε το άθροισμα των γραμμάτων -και κορυφών του ισόπλευρου τριγώνου (ΙΚΛ)- είναι το 60. *Οι γωνίες του ισόπλευρου τριγώνου είναι 60°.



† (Liddell & Scott, 1940) τρι^άς , άδος, ή, (τρεῖς), τέσσα^ρες , οί, αί, τέσσαρα, τά
 †† (Βερτουδάκης, 2007, σ. 4)

Αν τοποθετηθούν τα 27 γράμματα του αλφαβήτου σε κύκλο και ενωθούν οι κατακόρυφες τριάδες του πίνακα των τριών εννεάδων παρατηρείται η δημιουργία 9 εγγεγραμμένων ισόπλευρων τριγώνων. Η αναγωγή των γραμμάτων σε κύκλο πραγματοποιήθηκε λόγω των δύο τρόπων γραφής «ἐπὶ τὰ λαιῶ» και «ἐς εὐθὺν», προκειμένου να καθίσταται δυνατή η ανάγνωση τους και με τους δύο τρόπους ταυτόχρονα. Επίσης, σχεδιάζονται τρεις 9-γραμμοί αστέρες δύο διαφορετικών τύπων, σύμφωνα με την εν σειρά θέση των κορυφών των ισόπλευρων τριγώνων (των γραμμάτων σε 3 εννεάδες). Δηλαδή, (ΑΔΖΙΜΟΡΥΨ), (ΒΕΗΚΝΠΣΦΩ) και (ΓΘΔΞΡΤΧ Ή). Αν στο ισόπλευρο τρίγωνο (ΕΝΦ) σχεδιαστούν οι διάμεσοι του ισοπλεύρου τριγώνου παρατηρείται η ιδιότητα της συμμετρίας. Ως παρατήρηση, έχει αναφερθεί ότι το γράμμα «Φ» γεωμετρικώς αντιπροσωπεύει την συμμετρία.



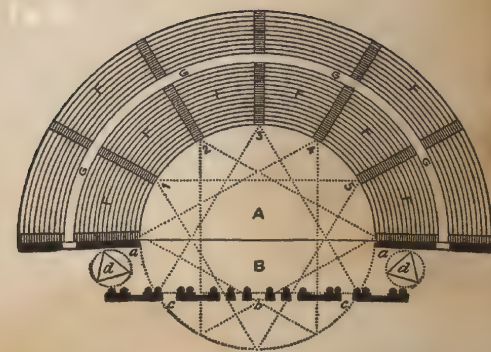
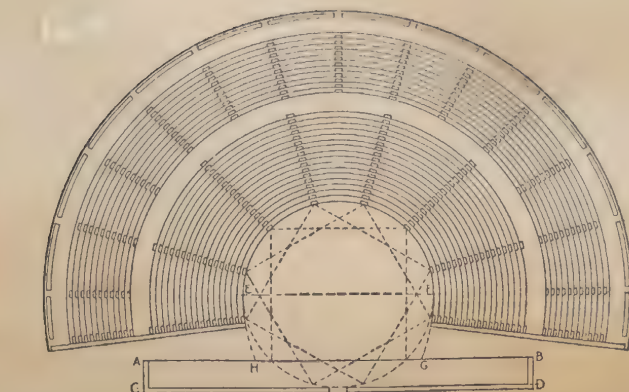
Inigo Jones' architectural scheme for Stonehenge

Orchestra.

B. Stage, a-a. Front of stage. 6. Boyal door. c. Side doors, d. Involving scenes. 1-5. Staircases. F. Blocks of seats, a. Level gangway.

Roman Theater according to Vitruvius

Τα γεωμετρικά σχέδια αυτά δεν είναι άγνωστα την εποχή εκείνη καθότι αποτελούν μέρος των σχεδιαστικών κανόνων των μνημείων, όπως για παράδειγμα η πρόταση της κάτοψης του Stonehenge από τον Inigo Jones από τον οποίο και αποκαταστάθηκε. Στο παράδειγμα της Ελληνικής αρχιτεκτονικής δίδονται από τον Βιτρούβιο (1^{ος} αι. π.Χ.) στο 'V Βιβλίο' του 'De Architecture' ειδικοί σχεδιαστικοί κανόνες για τις χαράξεις του ρωμαϊκού και του ελληνικού θεάτρου με τον 12-γραμμο αστέρα κ.ο.κ.



THEATRE AT EPIDAVRUS

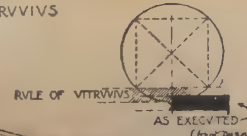
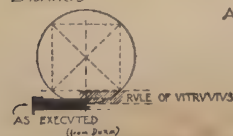
THE GREEK THEATRE ACCORDING TO VITRUVIUS

THEATRE AT OROPUS

ROMAN THEATRE ACCORDING TO VITRUVIUS

Book V. vi.

A. Orchestra. B. Stage. a-a. Front of stage. b. Royal door. c. Side doors. d. Revolving scenes. 1-5. Staircases. F. Blocks of seats. G. Level gangway.

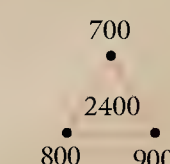
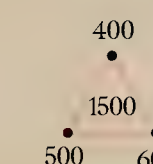
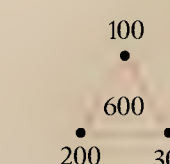
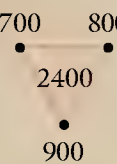
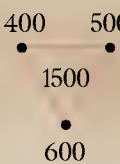
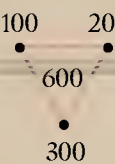
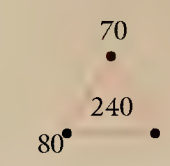
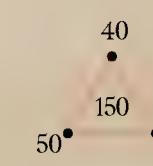
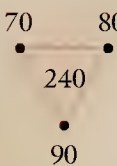
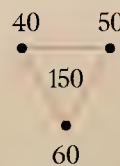
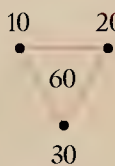
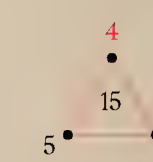
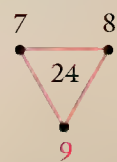
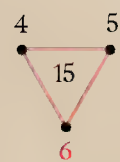
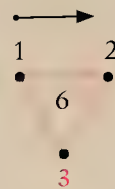
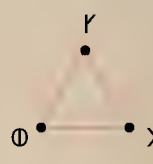
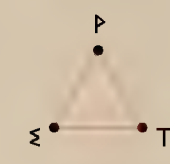
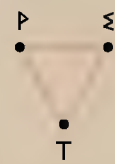
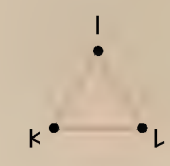
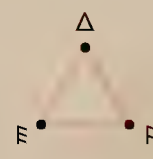
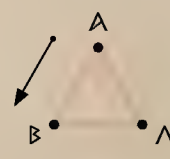
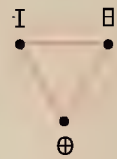
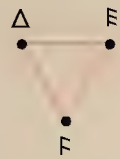
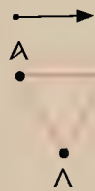


"Everything you imagine is real"

Pablo Picasso

Κατασκευάζονται 9 τριάδες διατεταγμένες σε τριγωνική μορφή και διερευνώνται οι αριθμητικές συσχετίσεις αυτών. Στην διάταξη αυτή η άνω κορυφή του ισόπλευρου τριγώνου στρέφεται προς τα κάτω

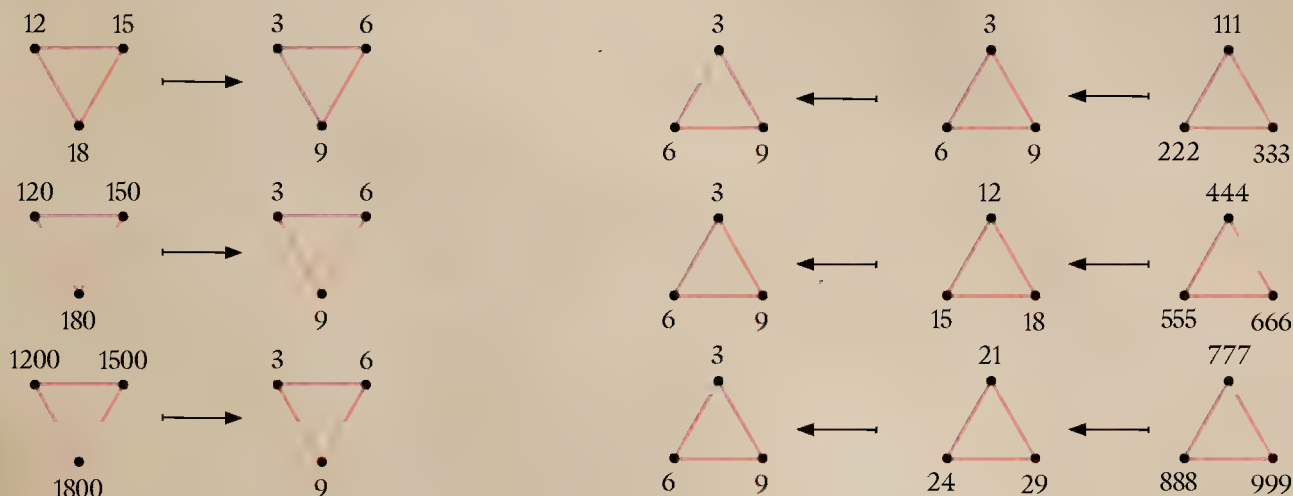
και το γράμμα Α τοποθετείται πάνω αριστερά. Αυτό που παρατηρείται στις δύο διατάξεις αν οριζοντίως απομονωθούν οι κορυφές τους, δημιουργούνται δύο σετ από ακολουθίες αριθμών (3,6,9) (1,2,4,5,7,8) και (1,4,7) (2,3,5,6,8,9).



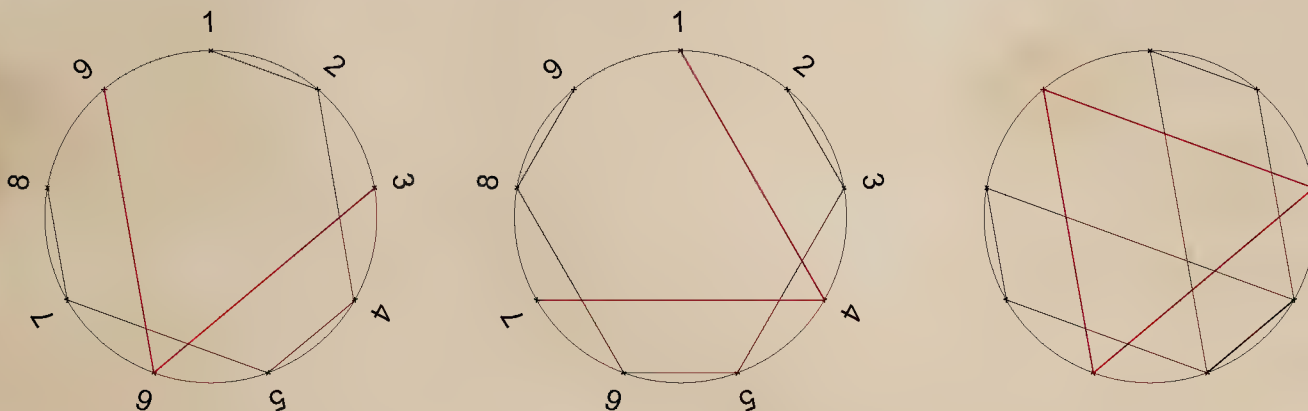
Αν τα τρίγωνα της προηγούμενης σελίδας συμπτυχθούν, τότε παράγονται τα ακόλουθα τρίγωνα των διατάξεων με τα αθροίσματα τους σε κάθε γωνία: *Βέβαια, αυτή η διαδικασία μπορεί να επαναλαμβάνεται και με άλλους σχηματισμούς που αφορούν τη διάταξη των τριγώνων, και την εναλλαγή των αριθμητικών θέσεων τους ανά τη διάταξη.

$$A + \Delta + I = 12 \mid B + E + H = 15 \mid \Lambda + F + \Theta = 18 \dots$$

$$A + I + P = 111 \mid B + K + \Sigma = 222 \mid \Lambda + L + T = 333 \dots$$

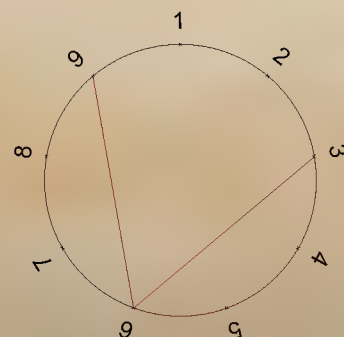


Αναγωγή των (3,6,9) (1,2,4,5,7,8) και (1,4,7) (2,3,5,6,8,9) σε κύκλο, προκειμένου να διερευνηθούν τα παραγόμενα γεωμετρικά σχήματα:



Αναντίρρητα, κατά την αρχαιότητα οι μαθηματικές ανακαλύψεις επιφέρουν την ανάπτυξη βαθύτερων φιλοσοφικών στοχασμών και κινητοποιούν προς νέες μαθηματικές αναζητήσεις, όπως συνέβη με τους Πυθαγόρειους με την ανακάλυψη της αρρητότητας. †† Να σημειωθεί ότι κάποια σύμβολα των Πυθαγορείων (όπως ο πεντάγραμμος αστέρας, η πρώτη τετρακτύς, ο εξάγραμμος αστέρας ή ψυχογονικός κύβος του Πυθαγόρα, σχετίζονται άμεσα με μία υπεραπλουστευση σύνθετων γεωμετρικών σχημάτων που εμφανίζονται κατά την επίλυση γεωμετρικών προβλημάτων. Η μαθηματική επιστήμη λογιζόταν ως η αριθμητική, η γεωμετρία, η μουσική και η αστρονομία κατά τους Πυθαγόρειους. Επομένως, τα σύμβολα τους πρέπει να απορρέαν από τις μαθηματικές διερευνήσεις τους.

Όσον αφορά την ακολουθία (3,6,9) και το γράμμα «Γ», αρχικά, παρατηρήθηκε η αντιστοίχιση του με τον αριθμό των τριών σημείων στην διάταξη των τριών εννεάδων. Εδώ, φαίνεται να εμφανίζεται ως αλφαβητικός χαρακτήρας στη σχεδίαση των σημείων (3, 3x2, 3²) ή (3,6,9) από την αναγωγή τους στον κύκλο. Οι συνήθεις χαρακτήρες του γράμματος στο αρχαίο ελληνικό αλφάβητο είναι: «Λ» και «Ζ». Γεωμετρικά φαίνεται ότι το γράφημα «Λ» αποτελεί τις δύο χορδές του κύκλου και το γράφημα «Ζ» είναι το τόξο που ορίζουν οι χορδές, στην αριθμητική ακολουθία (3,6,9).





Callisthenes
of Olynthus

Χαρακτηριστικό παράδειγμα αντιστοίχισης αριθμού και ονόματος εντοπίζεται στο έργο "*Alexander Romance*", Book 1, chapters 33-41, του (Ψευδο-) Καλλισθένη του Ολύνθιου (4^{ος} αι. π.Χ.), αρχαίου Έλληνα ιστορικού από την Χαλκιδική, μαθητή του Αριστοτέλη. Ο Καλλισθένης συμμετείχε στην εκστρατεία του Μεγάλου Αλεξάνδρου ενάντια στην Περσική Αυτοκρατορία, ως επίσημος ιστοριογράφος για τη συγγραφή του ημερολογίου εκστρατείας. Ωστόσο, κατά μερικούς θεωρείται ως λογοτεχνικό έργο και όχι ως αυτοτελές έργο.⁹⁷

"Alexander Romance", Book 1, chapters 33:

† «πείσω δὲ Ἀλέξανδρε τίς πέφυκ' ἐγώ·
δὶς ἑκατὸν ἤδη καὶ μίαν ψῆφον σύνθες,
εἴθ' ἑκατὸν ἄλλας καὶ μίαν,
† τετράκις εἴκοσι καὶ δέκα,
λαβὼν δὲ πρῶτον γράμμα ποιήσον ἔσχατον
καὶ τότε νοήσεις, τίς πέφυκ' ἐγὼ θεός·
Ὁ μὲν οὖν θεὸς χρηματίσας εἰς ἑαυτὸν ἀνεχώρησεν· ὁ δὲ
Ἀλέξανδρος διεγερθεὶς τῶν ὕπνων καὶ ἀναποδίσας τὸν
χρησμὸν ἐπέγνω τὸν τῶν ὅλων θεὸν μέγαν Σάραπιν⁹⁸.
βωμὸν δὲ μέγαν ἰδρυσάμενος ἱερά τε ἄξια τῷ θεῷ
ἐκέλευσε κομίζεσθαι καὶ ἀποσφάξαντας ἐπιβάλλειν εἰς
τὸν βωμὸν λιβάνου δὲ πλήθος καὶ ἀρωμάτων παντοίων
σωρηδὸν ἐπιβάλλων ἐκέλευσεν εὐωχεῖσθαι πάντας.
Κελεύει δὲ καὶ Παρμενίωνι ἀρχιτέκτονι ξόανον
κατασκευάσαι δαμνησάμενον τέμενος ἐμφορὲς τοῖς Ὀμηρικοῖς
στίχοις, ὡς εἶπεν ἐκεῖνος ὡδί που (ὁ) ἀοίδιμος Ὀμηρος.»

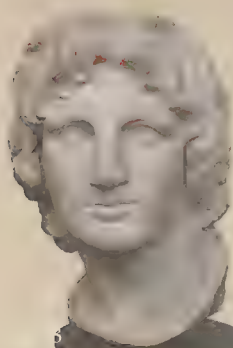
Απόδοση:

† "O Alexander. Who am I? You ask. Take now 200 for
the letter first. Add one, then still 100 and one more,
† Then four times ten and the letter first again.
Thus shall you know the very god I am. {The
numbers represent the letters of Sarapis' name:
200=S, 1=A, 100=R, and so on. But rather than
"four times", the text should say "eighty" (=P).}
And Alexander, awakening from sleep and pondering
on the oracle, recognized the great god of the universe,
Sarapis. So he built a great altar and ordered that fitting

sacrifices should be prepared and that the animals should be
slain and laid upon the altar. Then he placed over them a
mass of frankincense and heaps of all kinds of spices, and he
commanded that all be entertained at a banquet. Next he bade
also Parmenion the architect to prepare a suitable domicile
for the wooden image, corresponding to the Homeric verses ;
as the famous poet Homer wrote somewhere { Iliad, 1'528 }"



Bust of
Serapis. Marble,
Roman copy
after a Greek
original from
the 4th century
BC, stored in the
Serapaeum of
Alexandria. Inv.
689. Museum
Pio-Clementino,
Sala Rotonda



Marble
portrait head
of Alexander
the Great.
Excavated/
Findspot:
Alexandria
(Egypt) (said
to be from).
2ndC BC-
1stC BC. M.N.
1872,0515.1.
British Museum

Στη συνέχεια, παρατίθενται κάποιες παρατηρήσεις ως μία
πιθανή συσχέτιση αριθμού και ονόματος, σαν απότοκος της
αρχαιοτάτης συνήθειας της «χαρτογράφησης τους ανθρώπινου
σώματος». Επίσης, άλλες συμπτώσεις εντοπίζονται σε ορισμένες
παρατηρήσεις αριθμητικής ισοψηφίας ορισμένων ιερών λέξεων
στις γλώσσες του Ελληνικού, του Εβραϊκού και του Αραβικού
πολιτισμού που παρουσιάζονται στο βιβλίο «The Universal
History of Numbers - From Prehistory to the Invention of
the Computer» του Ifrah· σύμφωνα με το οποίο προηγουμένως
παρατέθηκαν τα αλφαριθμητικά συστήματα τους.⁹⁹

97 ("Callisthenes," 2021); ("Alexander romance |
literature," n.d.); πρβ (Ifrah, 2000, σ. 256); (Kroll (Ed.), 1926).
Αρχαίο Κείμενο

98 ("Serapis," n.d.). Σέραπις, Σάραπις, Serapis,
Sarapis, Sorapis: ελληνο-αιγυπτιακός θεός της αρχαιότητας.
Σύζυγος (Ρωμ. Αυτοκρ.): Ἴσις, Isis, Èse (μτφρ ως Θεά)
σημαντική αιγυπτιακή θεότητα. ; (Ερμής Τρισμαχίτος,
1990, σ. 8). «Σε συνεργασία με τον Αιγύπτιο Ιερέα

Μανέθωνα (αφού ήταν καλός γνώστης της ελληνικής γλώσσας) οι
Πτολεμαίοι καθιερώνουν τη λατρεία του Σεράπη, μιας θεότητας με
καθαρὰ ελληνιστικές., με βάση την αρχαία θρησκεία της Αιγύπτου,
αλλά και της ελληνικής σκέψης το 286-287 π.Χ.»

99 (Ifrah, 2000, σ. 251-252). Αραβικό αλφαριθμητικό
σύστημα; (Ifrah, 2000, σ. 253-255, 258). Εβραϊκό αλφαριθμητικό
σύστημα; (Ifrah, 2000, σ. 256-257, 259-260). Ελληνικό
αλφαριθμητικό σύστημα

“Discovering what’s universal about languages can help us understand the core of our humanity.”

Dan Jurafsky, the Jackson Eli Reynolds Professor in Humanities and chair of the Department of Linguistics in the School of Humanities and Sciences at Stanford (Shashkevich, 2019 August 22).



Ο Θεοφάνης ο Κεραμεύς (1,129–1,152 μ.Χ.), επίσκοπος του Ροσάνο, στην Καλαβρία της Ιταλίας και διάσημος ιεροκύρηκας, στην πραγματεία *Homily* (XLIV) διαπιστώνει την αριθμητική ισοψηφία των λέξεων «Θεός», «Ἀγαθός», «Ἅγιος».¹⁰⁰

Θ Ε Ο Σ	Α Γ Ι Ο Σ	Α Γ Α Θ Ο Σ
90 50 70 200	1 3 10 70 200	1 3 1 9 70 200
----->	----->	----->
"GOD"	"HOLLY"	"GOOD"
284	284	284

Στα «Ερμητικά Κείμενα»,¹⁰¹ τα οποία διαμορφώθηκαν στην αρχαία Αίγυπτο στους χρόνους των Πτολεμαίων (4^{ος}–1^{ος} αι. π.Χ.), πραγματοποιείται μία ταύτιση των εννοιών «Ἅγιος» και «Ἀγαθός» με αυτή του Θεού, όπως συμβαίνει αργότερα στα ιερατικά κείμενα του Χριστιανισμού. (τα παρακάτω χωρία χρονολογούνται από το 2^ο έως το 4^ο αι. μ.Χ.)

A: «[...] Ἅγιος ὁ Θεὸς καὶ πατὴρ τῶν ὅλων.[...] Ἅγιος εἶ ὁ λόγος συστηράμενος τὰ ὄντα. [...]»

Ερμής Τρισμέγιστος, «Ερμητικά Κείμενα», Λόγος Α', § 31

Απόδοση:

«[...] Ἅγιος ὁ Θεὸς καὶ πατέρας τῶν ὅλων. [...] Ἅγιος εἶσαι συ που με το λόγο δημιούργησες τα ὄντα. [...]:

B: «Ἵτι ἐν μόνων τῷ Θεῷ τὸ ἀγαθὸν ἐστίν, ἀλλαχόθι δὲ οὐδαμοῦ.»

«Τὸ ἀγαθὸν, ὃ Ἀσκληπιέ, ἐν οὐδενὶ ἐστίν, εἰ μὴ ἐν μόνῳ τῷ Θεῷ μᾶλλον δὲ τὸ ἀγαθὸν αὐτὸς ἐστίν ὁ Θεὸς αἰεὶ εἰ δὲ οὕτως οὐσίαν εἶναι δεῖ πάσης κινήσεως καὶ γενέσεως (ἔρμημον δὲ οὐδὲν ἐστίν αὐτῆς), περὶ δὲ

αὐτὴν στατικὴν ἐνέργειαν ἔχουσιν ἀνανδεῖ καὶ ἀπέριτον, πληρεστάτην, χορηγὸν, ἐν δὲ ἀρχῇ πάντων· πᾶν γὰρ τὸ χορηγοῦν ἀγαθὸν ὅταν λέγω, καὶ πάντα καὶ αἰεὶ ἀγαθὸν ἐστί.»

Απόδοση:

«Το ἀγαθὸ ὑπάρχει μόνο στο Θεό και πουθενά αλλού.»

«Το ἀγαθὸ Ἀσκληπιέ, ὑπάρχει αποκλειστικά και μόνο στο Θεό· ἡ καλύτερα ἀγαθὸ εἶναι αὐτὸς ὁ ἴδιος ὁ αἰώνιος Θεός. Και αν εἶναι ἔτσι, εἶναι ἡ οὐσία κάθε κίνησης και γέννησης (και ἔρμημον δεν ὑπάρχει σ' αὐτὴ τὴν οὐσία). Και ἡ οὐσία αὐτὴ ἔχει ἀφθονη, ἀπέριτη και γεμάτη σκληρότητα στατική ἐνέργεια, που εἶναι χορηγὸς τῶν πάντων. Γιατί ὅταν λέω ὅτι εἶναι χορηγὸς σημαίνει ἀγαθὸ. Και εἶναι για πάντα και στους αἰῶνες ἀγαθὸ» Ερμής Τρισμέγιστος, «Ερμητικά Κείμενα», Λόγος ΣΤ', παράγραφος 1

«Ἀγαθὸς ἦν (νοώντας ὁ Δημιουργὸς) [...] ὅτι μάλιστα ἐβουλήθη γενέσθαι παραπλήσια ἑαυτῷ.» Πλάτων, «Τίμαιος», στ. 29ε

ΠΑΡΑΤΗΡΗΣΗ

Ο πυθμενικός αριθμός των λέξεων «Θεός», «Ἅγιος», «Ἀγαθός», προκύπτει ως εξής:

$$2 + 8 + 4 = 14 \quad 1 + 4 = 5$$

Επιπροσθέτως, ὁ πυθμενικός αριθμὸς τῆς λέξης «ΣΟΦΟΣ» εἶναι τὸ 5. Σύμφωνα με τὸν Πυθαγόρα ἡ λέξη σοφός μπορεί να αποδοθεῖ μόνο στο Θεό και ὄχι στους θνητούς, ἐνῶ σε αὐτὴ ἐμπεριέχεται ἡ λέξη «ΦΩΣ», ὅπως ἔχει αναφερθεῖ στην πρώτη ἐρευνα «Αρχαίῳ Ἑλληνικὸ Ἀλφάβητο» τοῦ Αυγούστου, 2021. Παράλληλα, ὡς γνωστόν, τὸ Φως ταυτίζεται με τὸ Θεό, καθὼς ἀποτελεῖ μία ἐκφάνση τοῦ· ἐξ ἀρχαιοτάτων χρόνων τὸ φῶς λατρεύεται ὡς ζωοδότης/Θεός σε ὅλα τα μήκη και πλάτη τῆς Γῆς. Ἡ ἀρχαιότερη ἐλληνική λέξη για τὸ φῶς εἶναι τὸ φάος,¹⁰² τὸ ὁποῖο ἔχει

¹⁰⁰ (Ifrah, 2000, σ. 256-257)

¹⁰¹ (Ερμής Τρισμέγιστος, 1990, σ. 34, 92) πρβ (Criado, 1977, σ. 141)

¹⁰² (Liddell & Scott, 1940). φάος, φάεος, τό, Att. contr. φῶς, φωτός,



Clement of Alexandria, by André Thevet (1584). Christian theologian and philosopher who taught at the Catechetical School of Alexandria (150-215 AD).

πυθμενικό το 6, όπως το ίδιο συμβαίνει με τη λέξη φως. «ἢ μοι δοκεῖ καὶ Πυθαγόρας σοφὸν μὲνεῖναι τὸν Θεὸν λέγων μόνον (ἐπεὶ (5) καὶ ὁ Ἀπόστολος ἐν τῇ πρὸς Ῥωμαίους Ἐπιστολῇ γράφει «Εἰς ὑπακοὴν πίστεως εἰς πάντα ἔθνη γνωρισθέντες (6) μόνω σοφῷ Θεῷ διὰ Ἰησοῦ Χριστοῦ), ἐαυτὸν δὲ, διὰ φιλίαν τὴν πρὸς τὸν Θεὸν, φιλόσοφον.» Clementis Alexandrini, *Stromatum Liber Quartus IV. Caput III.*¹⁰³

«Προοιμιακός Ψαλμός 103^{ος}» [στ. 24] «ὡς ἐμεγαλύνθη τὰ ἔργα σου, Κύριε· πάντα ἐν σοφίᾳ ἐποίησας» και Α' Ίω. [1:5] «ὁ Θεὸς εἶναι φῶς, καὶ δὲν ὑπάρχει σ' αὐτὸν καθόλου σκοτάδι». Ο Θεὸς αποκαλύπτεται ως φως πάνω ἀπὸ ὅλα κατὰ τὴ Μεταμόρφωση τοῦ Χριστοῦ στο ὄρος Θαβώρ, ὅταν «ἐλάμψε τό πρόσωπό του σάν τόν ἥλιο καὶ τὰ

Θ Ε Ο Σ	Α Γ Ι Ο Σ	Α Γ Α Θ Ο Σ
90 50 70 200	1 3 10 70 200	1 3 1 9 70 200
----->	----->	----->
"GOD"	"HOLLY"	"GOOD"
284	284	284
14	14	14
5	5	5

Απὸ το ἀλφαβητικό σύστημα ἀρίθμησης δίνεται ἡ σχέση:

$$\Sigma \text{ Ο } \Phi \text{ Ο } \Sigma = \Phi \text{ Ο } \text{ Ο } \Sigma \Sigma$$

$$\Sigma + \text{Ο} + \Phi + \text{Ο} + \Sigma = \Phi + \text{Ο} + \text{Ο} + \Sigma + \Sigma$$

«διὰ ταῦτα ἀπὸ τοῦ ἐρεῖν "ἔρως" τὸ γε παλαιῶν ἐκαλεῖτο - τῷ γὰρ οὐδ' ἀντί τοῦ ὦ ἐχρώμεθα - νῦν δ' "ἔρως" κέκληται διὰ τὴν τοῦ ὦ ἀντί τοῦ οὐ μεταλλαγὴν.» Πλάτων, «Κρατύλος» [420b]

Η Λ Ι Ο Σ
8 30 10 70 200
----->
"SUN"
318
12
3
8 = +
Α Β Ε Λ Ι Ο Σ †
1 2 5 30 10 70 200
----->
"SUN"
318
12
3
Α Β Ε Λ Ι Ο Ν †
1 2 5 30 10 70 50
----->
"SUN"
168
15
6

Φ + Ο + Ο + Σ + Σ → Φ Ω Σ = Φ Α Ο Σ
50 800 200 50 1 70 200
----->
"LIGHT" or "LĒOHT" (old english)
1050 123
6 6
Πυθμενικοί Αριθμοί:

Εφόσον, ὅπως γράφει ὁ Πλάτων «γιατὶ μεταχειριζόμεσταν το ο ἀντί του ω τῶρα ὁμῶς ονομάστηκε ἔρως με τὴ μεταβολὴ του ο σε ω» προκύπτει:

Φ Ω Σ = Φ Α Ο Σ
5 8 2 5 1 7 2
Πυθμενικοί Αριθμοί:
8 = 8

Στὴν γραμματικὴ τῶν ἀρχαίων ἐλληνικῶν τὸ Ω μπορεῖ νὰ προκύψει ἀπὸ τὴν συναίρεση τῶν φωνηέντων Α καὶ Ο. Αὐτὸ που παρατηρεῖται ἐκ τῆς πρόσθεσης τῶν πυθμ. ἀριθμῶν τοῦ (Α + Ο = 8) εἶναι ἡ ἰσοδυναμία τοὺς με τὸν πυθμ. τοῦ (Ω = 8).

¹⁰³ (Migne, Jacques-Paul, 1857, σ. 1221-1222)
¹⁰⁴ (Ifrah, 2000, σ. 408). Το μηδέν στο σύστημα αὐτὸ δὲν υποδηλωνόταν μέχρι τὸν 8^ο αἰ. μ.Χ. ; (Joseph, 2011, σ. 201)

† ἀβέλιος: κρητικὸς τύπος τοῦ ἡλίου; (Hesychius of Alexandria, 1867, p. 4). ἀβέλιον: ἡλιον Κρήτες

Σύμφωνα με τοὺς πυθμενικοὺς ἀριθμοὺς τῶν λέξεων Ἅγιος καὶ Ἀγαθός προκύπτουν κατ' ἀντιστοιχία οἱ λέξεις Διός (γενικὴ τοῦ ονόματος Δίας) κατόπιν πρόσθεσής τοῦ Α + Γ καὶ το ἔθος κατόπιν πρόσθεσης τοῦ Α + Γ + Α (ἀλφαβητικὸ ἀριθμητικὸ σύστημα). Ὡς γνωστὸ, τὸ ἔθος καὶ τὸ ἔθιμο εἶναι ταυτόσημες λέξεις. Τὸ ἔθιμο ἀποτελεῖ τὴν ἀγραφή πηγῇ δικαίου, τὸ οποίο προέρχεται ἀπὸ τὸν ἱερό κώδικα που ἔχει δοθεῖ σε κάποιον γενάρχη σε ἓνα ἱερό βουνό ἀπὸ τὸν ἴδιο τὸν Θεὸ σε ὅλα τα μήκη καὶ πλάτη τῆς γῆς.

Θ Ε Ο Σ	Α Γ Ι Ο Σ	Α Γ Α Θ Ο Σ
9 5 7 2	1 3 1 7 2	1 3 1 9 7 2
----->	----->	----->
"GOD"	"HOLLY"	"GOOD"
23	14	23
5	5	5

Σ Ο Φ Ο Σ	Σ Ο Φ Ο Σ
2 7 5 7 2	200 70 50 70 200
----->	----->
"WISE"	
1040	
5	

ἐνδύματά τοῦ ἔγιναν ἄσπρα σάν τό φῶς» Ματθ. [17:2].

Αν τὸ ἀθροῖσμα 1040 τοῦ «Σοφός» γραφεῖ στο θεσιακό με βάση-10 (δεκαδικό) σύστημα, τὸ οποίο χρησιμοποιήθηκε στὴν Κίνα κατὰ τὴν Δυναστεία τῶν Han (206 π.Χ. – 220 μ.Χ.)· ἐν ὀνόματι "suan zi"

I	II	III	IIII	IIII	T	Π	Π	Π
1	2	3	4	5	6	7	8	9

– δηλαδή «χρήση ράβδων για υπολογισμούς» προκύπτει.¹⁰⁴

Δεδομένου ότι το μηδέν δεν υποδηλωνόταν.

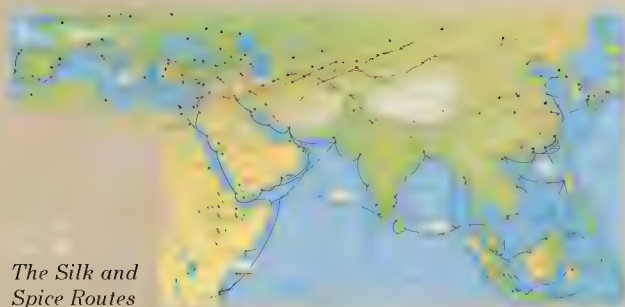
I		IIII	
1	0	4	0

– δηλαδή «χρῆση ράβδων γιὰ υπολογισμούς» προκύπτει.¹⁰⁴ Δεδομένου ὅτι τὸ μηδέν δὲν υποδηλωνόταν.

Εμφανίζεται ὁ ἀριθμὸς 14 γιὰ κάποιον που παραλείπει νὰ διαβάσει τα δύο μηδενικά. Βεβαίως, ἓνα τέτοιο σχόλιο

† Οπλίτης: Ὁ κρατὼν ὄπλο κατὰ τὴ μάχη - Πολίτης: Πιθανὸς ἀναγραμματισμὸς τῆς λέξης «οπλίτης» κατὰ τοὺς ἀρχαίους χρόνους, ἀφοῦ ἔχει τὸ ρόλο τοῦ προστάτη τῆς πόλης, ὥστε νὰ τονίζεται μυστικῶς ἡ συνάφεια τῶν ἐννοιῶν τοῦ υπερασπιστῆ, τῶν οφελῶν τῶν πολιτικῶν δικαιοματίων καὶ τῶν υποχρεώσεων, λόγω τῶν συνεχῶν συγκρούσεων με ἄλλους πολιτισμοὺς ἢ ἐμφυλίους.

δείχνει ότι δεν είναι δυνατό να αλληλοσχετίζονται τα πάντα μεταξύ τους. Παρόλη την επικοινωνία των πολιτισμών μέσω των δικτύων του εμπορίου της θάλασσας και της ξηράς (λ.χ. ο δρόμος μεταξιού) που ίσως αιτιολογεί τον συσχετισμό, δημιουργείται ένας άπειρος αριθμός συσχετισμών, οδηγώντας σε μία



The Silk and Spice Routes

ατέρμονη αντίστοιχη διαδικασία όμορφων συμπτώσεων. Κατά τους Χριστιανικούς χρόνους, όπως αναφέρει ο Émile Frédéric Paul Perdrizet, Γάλλος αρχαιολόγος, όταν οι γραμματείς και οι λιθοξοφοί ήθελαν να διατηρήσουν το μυστικό ενός ονόματος, έγραφαν μόνο τον αριθμό του. Σε ελληνικές και κοπτικές χριστιανικές επιγραφές, μετά από μία κατάρη ή μία εξύμνηση, συναντάται μερικές φορές το σημάδι ζθ που αποτελείται από τα γράμματα 'Κόππα' και 'Θήτα'. Αυτό το κρυπτογράμμα παρέμεινε ασάφης μέχρι τα τέλη του 19^{ου} αι. μ.Χ. Ο J. E. Wessely απέδειξε ότι ήταν απλώς μια μυστικιστική αναπαράσταση της τυπικής ιερατικής λέξης 'Αμην', καθώς και τα δύο έχουν αριθμητική ισοδυναμία 99,¹⁰⁵

A	M	H	N	ζ	Θ
1	40	8	50	90	9
----->				----->	
99				99	

το οποίο σημαίνει «έτσι ας γίνει»,

Επομένως, γίνεται λόγος για κρυπτογράφηση νοημάτων, φράσεων, λέξεων με «μυστικές» αντιστοιχίσεις σε αριθμούς για την εκάστοτε εποχή,¹⁰⁶ σύμφωνα με την οποία επικοινωνούν ομόγλωσσοι, ομοϊδεάτες και ομόθρησκοι κάτω από τη σκέπη μιας κοινωνικής ομάδας για ένα συγκεκριμένο σκοπό: ένας από τους λόγους που θεωρείται ψευδοεπιστήμη η λεξαρική. Εντούτοις, στο βάθος του χρόνου, από τις κοινωνικές ομάδες αυτές, αναπόδραστα δημιουργούνται νέες λέξεις-κώδικες-συντομογραφίες (περίπτωση ονοματοποιίας)· προκειμένου να επικοινωνήσουν μεταξύ τους μέσω κωδίκων.

Αναντίρρητο παράδειγμα αποτελεί το χωρίο από την «Καινή Διαθήκη» του βιβλίου της «Αποκάλυψης του Ιωάννη»:

- 17 «καὶ ἵνα μὴ τις δύνῃται ἀγοράσαι ἢ πωλῆσαι, εἰ μὴ ὁ ἔχων τὸ χάραγμα ἢ τὸ ὄνομα τοῦ θηρίου ἢ τὸν ἀριθμὸν τοῦ ὀνόματος αὐτοῦ.
- 18 ὧδε ἡ σοφία ἐστίν. ὁ ἔχων τὸν νοῦν ψηφισάτω τὸν ἀριθμὸν τοῦ θηρίου· ἀριθμὸς γὰρ ἀνθρώπου ἐστί, καὶ ὁ ἀριθμὸς αὐτοῦ χξς'. (666)»

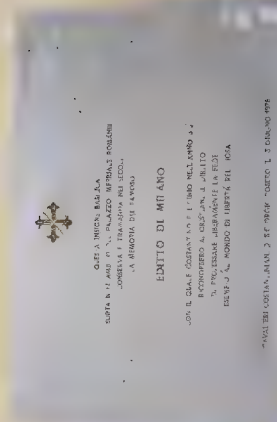
(Απόδοση)

- 17 "And that no man might buy or sell, but he that hath the character, or the name of the beast, or the number of his name.
- 18 Here is wisdom. He that hath understanding, let him count the number of the beast. For it is the number of a man: and the number of him is six hundred and sixty-six (666)."

Το βιβλίο της «Αποκάλυψης» γράφεται στο χρονικό διάστημα μεταξύ του 1^{ου}-3^{ου} αι. μ.Χ. Μια περίοδος κατά την οποία αντιδικούσε το Χριστιανικό πνεύμα με το αρχαίο της Ρωμαϊκής Αυτοκρατορίας, μέχρι τον 4^ο αι. μ.Χ. Μέχρις ότου το 313 μ.Χ., από το «Διάταγμα των Μεδιολάνων» θεσπίζεται η ανεξιθρησκεία και νομιμοποιείται η Χριστιανική θρησκεία στην Ρωμαϊκή επικράτεια. Επίσης, η εποχή αυτή αποτελεί μία ιστορική καμπή το πέρασμα του αρχαίου κόσμου σε ένα νέο.

Στα πλαίσια των εχθροπραξιών των Ρωμαίων σε βάρος των Χριστιανών παρατηρείται μία αριθμητική ταύτιση του προαναφερομένου χξς' -666- με το όνομα του Διοκλιτιανού. Περί του διωγμού των χριστιανών, ο Peter Robert Lamont Brown, Ιρλανδός καθηγητής ιστορίας, σημειώνει του οποίου το έργο αναφέρεται στον θρησκευτικό πολιτισμό της μεταγενέστερης Ρωμαϊκής Αυτοκρατορίας και της πρώιμης μεσαιωνικής Ευρώπης, και τη σχέση μεταξύ θρησκείας και κοινωνίας:

«The failure of the Great Persecution of Diocletian was regarded as a confirmation of a long process of religious self-assertion against the conformism of a pagan empire. Freedom to assert a belief not recognized by the State was won and held. 'However much Christian churches and states may have sinned in later times by their religious coercion, the martyrdoms of the Roman Persecutions belong to the history of freedom'. And in this revolution... the issues at stake were not merely the local grievances of a province; they were nothing less than the place of religion in society.»¹⁰⁷



San Giorgio al palazzo church in Milan (Italy). A plaque dated 1978, commemorating the writing of the Edict of Milan, in 313 d.C., that took place in the imperial palace that once stood where now is this church, and after which it is named.

105 (Gardthausen, V. (Viktor Emil) & Robarts - University of Toronto, 1911, σ. 309); πρβ (Ifrah, 2000, σ. 259).

106 (Gardthausen, V. (Viktor Emil) & Robarts - University of Toronto, 1911, σ. 298-319.

107 (Brown, 1961, σ. 100-101)

D I O C L E S A V G V S T V S
 500 1 100 50 5 5 5
 ----->
 666

Λ A T E I N O Σ
 30 1 300 5 10 50 70 200
 ----->
 666

1. πατήρ	= 80
2. υἱός	= 400
3. ἄγιον	= 1
4. πνεῦμα ¹	= 80
5. βασιλεὺς	= 2
6. ἐκτίβιος	= 400
7. ἱερώνυμος	= 100
8. Κωνσταντινούπολις	= 200
9. ἰνδ. ι	= 10
α	= 1
μ	= 40
η	= 8
ν	= 50

Sa. 1372 = ,ατοβ'.

There was a
 connection between ordinary
 and secret writing in
 Byzantine times (example
 of Roziere, Recueil II p.
 909-10)

William Cooke, Καθηγητής της Ελληνικής γλώσσας στο Πανεπιστήμιο του Cambridge, επισημαίνει ότι η σωρεία ερμηνειών πρέπει να εγκαταλείπεται, καθότι συνδυάζεται ένας άπειρος αριθμός λέξεων και φράσεων. Έτσι, κατευθύνεται το αποτέλεσμα των αριθμητικών ισοψηφιών με λέξεις που δε σχετίζονται με την ιστορική αλήθεια, όπως συμβαίνει με τον αριθμό 666 και το πιθανό άπειρο αποτέλεσμα των λεκτικών ισοψηφιών. Ο αδιάκοπος αυτός σχηματισμός είναι άτοπος.¹⁰⁸ Με αυτό το τρόπο, επιφέρεται η ολική εγκατάλειψη αντιστοιχών διεργασιών που ίσως υποβοηθήσει (ως ένα βαθμό) την έρευνα και η διαδικασία κάθε διερεύνησης χαρακτηρίζεται από την επιστημονική κοινότητα ως ψευδοεπιστήμη. Επειδή, δίδεται στον καθένα η δυνατότητα να δημιουργήσει ένα συνεχές «παιχνίδι», το οποίο (εξ)υπηρετεί ορισμένους σκοπούς, γελοιοποίησης, ανακρίβειας, υπεροχής, στιγματισμού κ.ο.κ.

ן ן ן ן ן ן ן
 50 6 200 50 200 60 100
 -----<
 QSAR NERO
 666

Παράδειγμα τούτου, ο σχηματισμός των λέξεων Νέρων Καίσαρ αντιστοιχίζεται στον αριθμό 666.¹⁰⁹

Ο Νέρων (1^{ος} αι. μ.Χ.), ο τελευταίος Ρωμαίος αυτοκράτορας της Ιουλιο-Κλαυδιανής Δυναστείας, όπως ο Διοκλητιανός (Ρωμαίος Αυτοκράτορας, 3^{ος}-4^{ος} αι. μ.Χ.), προέβη σε θυριωδίες έναντι των Χριστιανών. Σε αυτή τη περίπτωση, το άθροισμα 666 μπορεί να προϋδεάσει τον ιστορικό μελετητή για τη σχέση αντιδικίας του με το Χριστιανισμό. Ο Λατίνος ιστορικός Τάκιτος (2^{ος} αι. μ.Χ.) αναφέρει τα ακόλουθα:¹¹⁰

Annales 15,44

"ergo abolendo rumori Nero subdidit reos et quaesitissimis poenis adfecit, quos per flagitia invisos vulgus Chrestianos appellabat"

Απόδοση:

«Για να σβήσει λοιπόν ο Νέρων τη φήμη, διοχετεύει ύπουλα την ιδέα, ότι αίτιοι είναι αυτοί που ήταν μισητοί για τα αισχρά έργα τους και ο λαός τους αποκαλούσε «Χριστιανούς» και τους βασανίζει με σκληρότατα βασανιστήρια.»

Historiae, 5 (frgm. 2)

"At contra alii et Titus ipse evertendum in primis templum censebant, quo plenius Iudaeorum et Christianorum religio tolleretur: quippe has religiones, licet contrarias sibi, isdem tamen ab auctoribus profectas."

Απόδοση:

«Αντίθετα όμως τόσο μερικοί άλλοι όσο κι ο ίδιος ο Τίτος έκριναν ότι έπρεπε να γκρεμιστεί κυρίως ο ναός αυτός, με τον οποίο εξυψώνεται η θρησκεία τών Ιουδαίων και τών Χριστιανών· διότι οι θρησκείες αυτές, αν και εχθρικές μεταξύ τους, εν τούτοις ξεκίνησαν από τους ίδιους αρχηγούς.»

Συνεπώς, όλες αυτές οι θηριωδίες που υπέστησαν οι Χριστιανοί ενσαρκώνονται δικαίως στο λεγόμενο «θηρίο» του έργου της «Αποκάλυψης» ως μία μυστική ενθύμηση, η οποία «χαράσσει» την μνήμη, δημιουργώντας μία «σιωπηρή» αποστρέφεια περί αυτών των Αυτοκρατόρων. Βέβαια, το αντίπαλο δέος δύναται να υιοθετήσει τον αντίστοιχο αριθμό ή από την μία μεριά να προσαφθούν κατασκευασμένες λέξεις στο πρόσωπο του αντιπάλου. Με αποτέλεσμα, στο πέρασμα των χρόνων να δαιμονοποιούνται είτε πράγματα τα οποία στην αρχαιότητα θεωρούνταν ιερά, είτε ιστορικά πρόσωπα κ.λπ.

Παράδειγμα τούτου, συναντάται αργότερα στην εποχή των Θρησκευτικών Πολέμων όπου ένας Καθολικός μυστικιστής που ονομαζόταν Petrus Bungus, σε ένα έργο που δημοσιεύτηκε το 1,584-1,585 μ.Χ. στο Bergamo, ισχυρίστηκε ότι απέδειξε ότι ο Γερμανός μεταρρυθμιστής Λούθηρος δεν ήταν άλλος από τον Αντίχριστο, αφού το όνομά του, βάση του Ρωμαϊκού αλφαριθμητικού συστήματος, αποδίδει τον αριθμό 666:

L V T H E R N V C
 30 200 100 8 5 80 40 200 3
 ----->
 666

108 (Cooke, William (Regius Professor of Greek in the University of Cambridge.), 1789, σ. IX)

109 (Gardthausen, V. (Viktor Emil) & Robarts - University of Toronto, 1911, σ. 307); πρβ (Ifrah, 2000, σ. 260)

110 (Σταμάκη, 2000, σ. 17-21)

Ως αποτέλεσμα, οι μαθητές του Λούθηρου, οι οποίοι θεωρούσαν την Εκκλησία της Ρώμης ως τον άμεσο κληρονόμο της Αυτοκρατορίας των Καισάρων, έσπευσαν να δώσουν μια δικιά τους απάντηση-ερμηνεία, έναντι της δυσφήμισης. Πήραν τους ρωμαϊκούς αριθμούς που περιέχονται στη φράση *VICARIUS FILII DEI* («Βικάριος του Υιού του Θεού») που βρίσκεται στην παπική τιάρα και σχημάτισαν το ακόλουθο αναμενόμενο συμπέρασμα:¹¹¹

V	I	C	A	R	I	V	S		F	I	L	I	I		D	E	I
5	1	100		1	5		1	50	1	1		500	1				
----->																	
666																	

Όσον αφορά το εβραϊκό αλφάβητο, ένα χειρόγραφο στη Βιβλιοθήκη Bodleian στην Οξφόρδη (*Ms. Hebr. 1822*) απαριθμεί περισσότερα από 70 διαφορετικά συστήματα gematria, από τους συνήθεις αλφαβητικούς αριθμούς που υιοθέτησαν οι ραβίνοι και οι καβαλιστές.

Ένα από αυτά περιλαμβάνει την αντιστοίχιση κάθε γράμματος με τον πυθμενικό αριθμό του, δηλαδή την απαλοιφή των δεκάδων και εκατοντάδων. Στο σύστημα αυτό, το γράμμα 'מ' (*mem*), για παράδειγμα, το οποίο παραδοσιακά έχει την τιμή 40, δίνει την τιμή 4. Από αυτό, ορισμένοι κατέληξαν στο συμπέρασμα ότι το όνομα Γιαχβέ μπορεί να εξισωθεί με τη θεϊκή ιδιότητα του καλού:¹¹²

יהוה	טוב
5 6 5 1	2 6 9
←-----	←-----
YHWH	TON
	"Good"
17	17

Μια εναρμόνιση που έχουν επιτύχει οι ερμηνευτές στις λέξεις, βρίσκεται στην αριθμητική ισοψηφία της «Αγάπης» ("Ahavah," = "Love") και του «Ένας» ("Ekhad," = "One") με τον «Γιαχβέ» (Yahweh). Εξηγείται ότι οι δύο πρώτοι όροι αντιστοιχούν στην κεντρική έννοια της Βιβλικής Ηθικής, «ο Θεός (ως Ένας) είναι αγάπη», αφού αφενός μεν το «Ένα» αντιπροσωπεύει τον Ένα Θεό του Ισραήλ, και αφετέρου δε η «Αγάπη» ενυπάρχει στη βάση της σύλληψης του Σύμπαντος (*Deuteronomy: V 6-7 ; Leviticus XIX:18*).



Όσον αφορά την αριθμητική τιμή 26 επισημαίνεται ότι στο εδάφιο της Γένεσης 1:26, ο Θεός λέει: «Ας φτιάξουμε τον άνθρωπο κατ' εικόνα μας». Έτσι, 26 γενιές χωρίζουν τον Αδάμ και τον Μωυσή, 26 απόγονοι αναφέρονται στη γενεαλογία του Σημ (Shem) και ο αριθμός των προσώπων που αναφέρονται είναι πολλαπλάσιο του 26 κ.ο.κ. Σύμφωνα με σχολιαστές το γεγονός ότι ο Θεός

έπλασε την Εύα από μια πλευρά που πήρε από τον Αδάμ βρίσκεται στην αριθμητική διαφορά (= 26) μεταξύ του ονόματος της Εύας, *Khawah* (= 19) και του Αδάμ, *Adam* (= 45):¹¹³

יהוה	אדם
5 6 8	40 4 1
←-----	←-----
KHAWAH	ADAM
19	45
10	9
1	
	10
	1

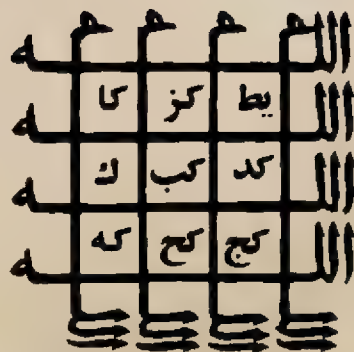
111 (Ifrah, 2000, σ. 261)
112 (Ifrah, 2000, σ. 254-255).

113 (Ifrah, 2000, σ. 254).

Τα μυστικά αυτά νοήματα εξυπηρετούν σκοπούς της θρησκευτικής διαλεκτικής και απαντώνται κυρίως σε εσωτερικές γραφές, εμπλουτίζοντας τα κηρύγματα με κάθε είδους ερμηνεία, προκαλώντας εικασίες και προφητείες. Είθηται να παρουσιάζονται στην ραβινική λογοτεχνία, ιδιαίτερα στο *Talmud* και στο *Midrash*, πυροδοτώντας τη σκέψη. Άλλο ένα τέτοιο παράδειγμα, εντοπίζεται στο έργο "*Pardes Rimmonim*," του Moses Cordovero που συσχετίζει το 'gevurah' (=«δύναμη») με το 'arieh' (=«λιοντάρι»), οι οποίες λέξεις έχουν την αριθμητική αξία 216. Το λιοντάρι, παραδοσιακά, είναι το σύμβολο της θείας μεγαλειότητας, της δύναμης του Γιαχβέ, ενώ το *gevurah* είναι ένα από τα Ιδιότητες του Θεού.¹¹⁴

ח	מ	צ		מ	ח	מ	מ
8	40	90		40	8	50	40
←-----				←-----			
TSEMA				MENAKHEM			
138				138			
9				9			

Εν συνέχεια, στα πλαίσια του αραβικού αλφαβήτου η αριθμολογία συνέβαλλε στην επινόηση κάποιων φυλαχτών, δηλαδή την επέκταση της μεθόδου διερεύνησης των αλληλλοσυσχετισμών αριθμών και λέξεων στην τέχνη, από κάποιους μουσουλμάνους Tolba της Βόρειας Αφρικής. Το "*kherz*" («φυλαχτό/γούρι») έδινε στους ομοθρήσκους τους, τα μέσα ούτως ώστε να πλουτίσουν άμεσα, να προφυλαχθούν από το κακό και να έλξουν κατά πάνω τους κάθε χάρη του Θεού που περιείχε.¹¹⁵



Το παραπάνω σχήμα αποτελεί ένα «μαγικό τετράγωνο» διαστάσεων 3x3, του οποίου η τιμή είναι 66 και ταυτίζεται με το άθροισμα της λέξεως Allah.

Η αριθμητική τιμή λαμβάνεται από το άθροισμα κάθε γραμμής, κάθε στήλης και κάθε διαγώνιου. Η προέλευση των «μαγικών τετραγώνων» είναι άγνωστη. Κατά κοινή ομολογία –και ευρέως αποδεκτό– θεωρείται ότι το αρχαιότερο μαγικό τετράγωνο εμφανίστηκε στην Κίνα στα μέσα του 2^{ου} αι. π.Χ. Αρχικά, εμφανίζεται ως τετράγωνο διαστάσεων 3x3 (όπως παρατίθεται παρακάτω), ενώ τα τετράγωνα υψηλότερης κατανομής ανά τάξη που περιλαμβάνουν γενικές μεθόδους κατασκευής δεν υπάρχουν στην Κίνα πριν από τον 12^ο αι. μ.Χ., τα οποία είναι Αραβικής ή Περσικής προέλευσης. Για το λόγο ότι, υπάρχουν από το 10^ο αι. μ.Χ. πολλά κείμενα στα Αραβικά, αργότερα και στα Περσικά, που παρουσιάζουν μια συνεχή εξέλιξη με προγενέστερες μεθόδους να επεκτείνονται ή να επινοούνται νέες.¹¹⁶

Χαρακτηριστικές αναφορές πραγματοποιούνται μέσω των έργων τους από: τον Albrecht Dürer (Fig. 88, «μαγικό τετράγωνο» διαστάσεων 4x4 στον κόκκινο κύκλο) και τον Heinrich Cornelius Agrippa von Nettesheim¹¹⁷ τον 16^ο αι. μ.Χ.

Αντώρα, κατασκευαστεί ένα «μαγικό τετράγωνο» διαστάσεων 3x3 με την αρίθμηση των κελιών να ξεκινά από το 1, η μαγική σταθερά είναι: **Τάξη 3: 15** (όπου τάξη 3 οι διαστάσεις 3x3 και 15 το άθροισμα σε γραμμή, στήλη και διαγώνιο.

4	9	2
3	5	7
8	1	6

Αυτό που παρατηρείται είναι ότι το άθροισμα 66 των μαγικών τετραγώνων είναι ίδιο με το άθροισμα της λέξεως Allah:

الله	5	30	30	1
←-----				
ALLAH				
66				
12				
3				



Melencolia
I. Copper plate.
Nuremberg. by Dürer
Engraving.



The
inscription containing
the 4x4 most-perfect
magic square
(sudoku-like game)
called «Chautisa
Yantra». 950-970
AC. Parshvanatha
temple, Khajuraho,
Madhyapradesh,
India.

114 (Ifrah, 2000, σ. 253). *Talmud*: Η ραβινική συλλογή των εβραϊκών νόμων. έθιμα, παραδόσεις και απόψεις που αποτελούν τον κώδικα του εβραϊκού αστικού και εκκλησιαστικού δικαίου. *Midrash*: Εβραϊκά σχόλια στην Παλαιά Διαθήκη

115 (Ifrah, 2000, σ. 262).

116 (Sesiano, Jacques, 2020, σ. 4)

117 (Agrippa von Nettesheim, Heinrich Cornelius, 1533, σ. CXLIX-CLIII); Heinrich Cornelius Agrippa von Nettesheim: Γερμανός πολυμαθής, γιατρός, νομικός μελετητής, στρατιώτης, θεολόγος και απόκρυφος συγγραφέας; Albrecht Dürer: Γερμανός ζωγράφος, χαράκτης και θεωρητικός της Γερμανικής Αναγέννησης.

Παρακάτω, τα 27 γράμματα του ελληνικού αλφαβήτου αντικαθιστούν τους αριθμούς σύμφωνα με τους πυθμενικούς τους προκύπτουν οι λέξεις Θ Ε Α (Θεά) και Χ Ρ Ω (Χρῶ).

Δ	Θ	Β			
Γ	Ε	Ζ			
Η	Α	Ϝ			

δεξιά προς τα αριστερά
(«ἐπὶ τὰ λαιὰ» γραφή)

Θ Ε Α

Ως παρατήρηση ακολουθεί μία πιθανή προσωπική ερμηνεία περί αυτών των λέξεων :

Θ Ε Α: Το «μαγικό τετράγωνο διαστάσεων 3x3 (βάση θεωρίας), όπως αναφέρθηκε είναι μοναδικό, δηλαδή υπάρχει μόνο ένα. Η «Θεά της Γονιμότητας» (Εικ. 90) κυριαρχεί σε όλους τους λαούς της παλαιολιθικής και νεολιθικής εποχής και οι μαγικο-θρησκευτικές απεικονίσεις αφορούν μαγείες της γονιμότητας και της γυναίκας. Η γυναίκα σε αυτές τις πρώτες κοινωνικές συσσωματώσεις κατείχει κυρίαρχο ρόλο. Η Μητριαρχία πιστοποιείται τόσο από την μυθολογία όσο και την πρώτη φάση της εμφάνισης της Θρησκείας.¹¹⁸ Ο πυθμενικός αριθμός της λέξης Θεάς ταυτίζεται με τον πυθμενικό της λέξης φάος ή αλλιώς φῶς. Επίσης, στα πλαίσια της Ελλάδας, κατά



The figurine represented an early fertility deity, perhaps a mother goddess Venus of Willendorf. Oolithic limestone, red ochre. Upper Paleolithic Gravettian industry. c. 25,000 BC, limestone 11.1 cm high. Naturhistorisches Museum, Vienna, Austria. ,

τους Χριστιανικούς Χρόνους, η Παναγία έλαβε την θέση της Θεάς Αθηνάς. Αυτό αποδεικνύεται από τη μεγαλύτερη γιορτή του Χριστιανισμού την Κοίμηση της Θεοτόκου, η οποία αντιμετωπίζεται ως Θεομητορική Εορτή τόσο της Ορθόδοξης Εκκλησίας, όσο και των λοιπών Χριστιανικών ομολογιών πίστης. Γιορτάζοντας τον θάνατο της Θεοτόκου, την ταφή, την ανάσταση και τη μετάστασή Της στους Ουρανούς.¹¹⁹ Είναι γνωστό τοις πάσι ότι την μέρα εκείνη, κατά τους αρχαίους χρόνους γιορτάζονταν τα Παναθήναια (6^{ος} αι. π.Χ. - 3^{ος} αι. μ.Χ.), η σημαντικότερη γιορτή για τους Αθηναίους· αφιερωμένη στη θεά Αθηνά.

(Ψευδο)-Απολλόδωρος - Βιβλιοθήκη Γ'. [14,6].¹²⁰

«τοῦτον Ἀθηνᾶ κρύφα τῶν ἄλλων θεῶν ἔτρεφεν, ἀθάνατον θέλουσα ποιῆσαι· καὶ καταθεῖσα αὐτὸν εἰς κίστην Πανδρόσῳ τῇ Κέκροπος παρακατέθετο, ἀπειποῦσα τὴν κίστην ἀνοίγειν. αἱ δὲ ἀδελφαὶ τῆς Πανδρόσου ἀνοίγουσιν ὑπὸ περιεργίας, καὶ θεῶνται τῷ βρέφει παρεσπειραμένον δράκοντα· καὶ ὥς μὲν ἔνιοι λέγουσιν, ὑπ' αὐτοῦ διεφθάρησαν τοῦ δράκοντος, ὥς δὲ ἔνιοι, δι' ὀργὴν Ἀθηνᾶς ἐμμανεῖς γενόμεναι κατὰ τῆς ἀκροπόλεως αὐτὰς ἔρριψαν. ἐν δὲ τῷ τεμένει τραφεῖς Ἑριχθόνιος ὑπ' αὐτῆς Ἀθηνᾶς, ἐκβαλὼν Ἀμφικτύονα ἐβασίλευσεν Ἀθηνῶν, καὶ τὸ ἐν ἀκρόπόλει ξόανον τῆς Ἀθηνᾶς ἰδρύσατο, καὶ τῶν Παναθηναίων τὴν ἐορτὴν συνεστήσατο, καὶ Πραξιθέαν νηίδα νύμφην ἔγχευεν, ἐξ ἧς αὐτῷ παῖς Πανδίων ἐγεννήθη.»

Απόδοση:

«Η Αθηνά τον ανέτρεφε κρυφά από τους άλλους θεούς θέλοντας να τον καταστήσει αθάνατο. Τον έκλεισε λοιπόν με προσοχή σε ένα κιβώτιο και το εμπιστεύτηκε στην Πάνδρσο, τη θυγατέρα του Κέκροπα, με τη ρητή εντολή να μην το ανοίξει. Οι αδελφές όμως της Πανδρόσου το άνοιξαν από περιέργεια και αντίκρυσαν ένα φίδι κουλουριασμένο γύρω στο βρέφος. Και όπως λένε μερικοί εξοντώθηκαν από αυτό το φίδι. Κατά άλλους τρελάθηκαν από την οργή της Αθηνάς και γκρεμίστηκαν από την Ακρόπολη. Ο Εριχθόνιος ανατράφηκε από την ίδια την Αθηνά μέσα στο ναό. Ανέτρεφε τον Αμφικτύονα και έγινε βασιλιάς των Αθηνών. Αυτός έστησε το ξόανο της Αθηνάς στην Ακρόπολη και καθιέρωσε τη γιορτή των Παναθηναίων, νυμφεύθηκε τη νηίδα νύμφη Πραξιθέα και απέχτησε ένα γιό, τον Πανδίονα.»



Athena on a Panathenic amphora, National Archaeological Museum of Athens, Greece

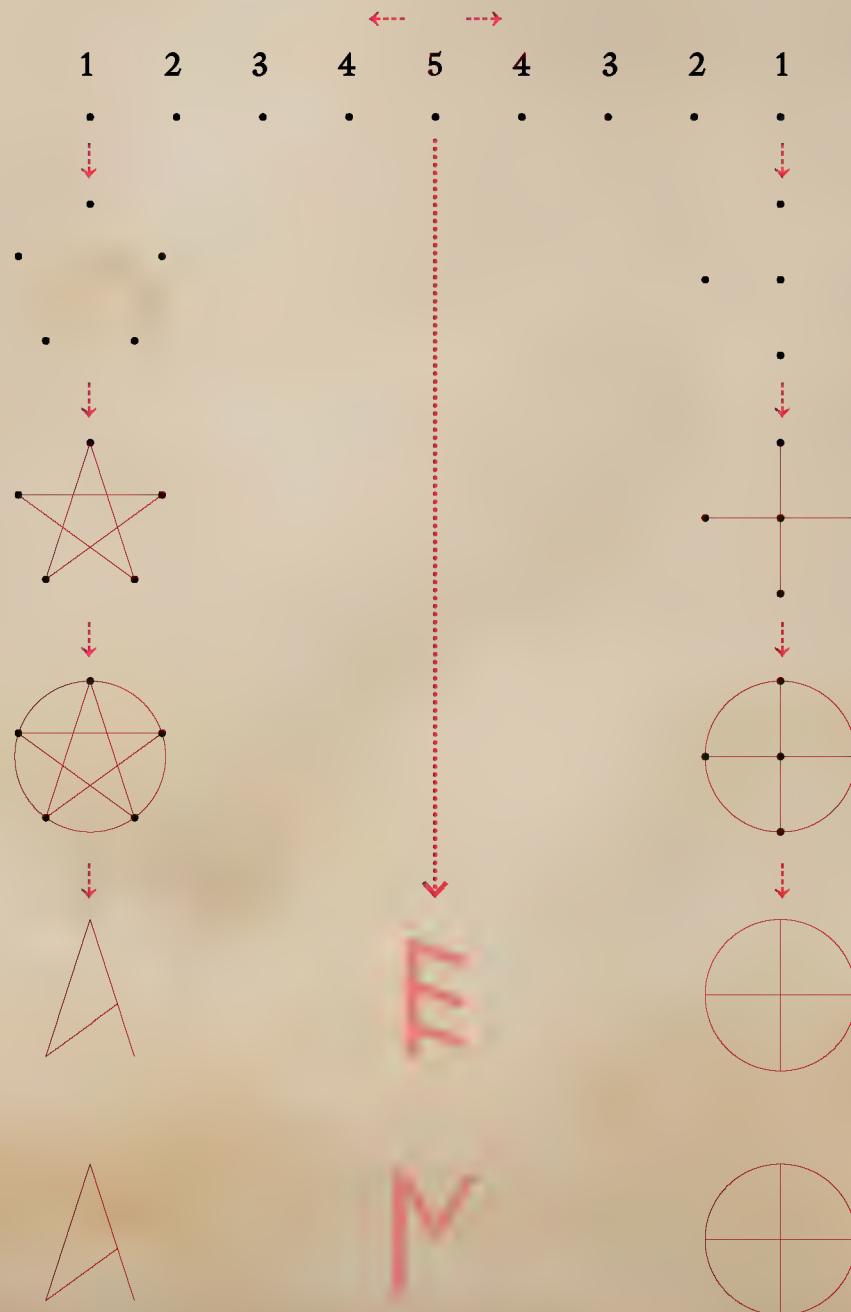
118 (Σαρηγιάννης, 2011, σ. 55)

119 («Κοίμηση της Θεοτόκου,” 2006)

120 (Απολλόδωρος-(Ψευδο), 2; 2017); Για την απόδοση του κειμένου βλέπε στο («Παναθήναια,” 2008).

Μία άλλη παραρτήση για τη λέξη ΘΕΑ συσχετιζόμενη με τα 27 γράμματα του Ελληνικού αλφαβήτου είναι η ακόλουθη:

Θέση (x,y)	1	2	3	4	5	6	7	8	9
1	A	B	Γ	Δ	E	Ζ	Z	H	Θ
	Α	Β	Λ	Δ	Ε	Ζ	Ι	Θ	Θ
2	I	K	Λ	M	N	Ξ	Ο	Π	Ρ
	Ι	Κ	Λ	Μ	Ν	Ξ	Ο	Π	Ρ
3	P	Σ	T	Υ	Φ	X	Ψ	Ω	Ϡ
	Ρ	Σ	Τ	Υ	Φ	Χ	Ψ	Ω	Ϡ



Παρατηρείται ο σχηματισμός των γραμμάτων ΑΕΘ και ΑΝΘ.

Στην περίπτωση του σχηματισμού ΑΕΘ, αν διαβαστεί από τα δεξιά προς τα αριστερά, ως κατά την «ἐπὶ τὰ λαιῶ» γραφή,¹²¹ σχηματίζεται η λέξη ΘΕΑ.

Επιπροσθέτως, αν γίνει αντικατάσταση του γράμματος Ε με το Ν τότε παράγεται η ακολουθία ΑΝΘ, που είναι τα αρχικά τόσο του ἀνθ-έω. ἀνθ-ῶ (=φύομαι).¹²² όσο του ἀνθρώπου.

Οι λέξεις ἀνθῶ και ἄνθρωπος συσχετίζονται με τον ακόλουθο τρόπο· κατόπιν μίας παράφρασης από την ιστορία της δημιουργίας των ανθρώπων μετά τον κατακλυσμό του Δευκαλίωνα:

«Ζεὺς δὲ πέμψας Ἑρμῆν πρὸς αὐτὸν ἐπέτρεψεν αἰρεῖσθαι ὃ τι βούλεται· ὁ δὲ αἰρεῖται ἀνθρώπους αὐτῷ γενέσθαι. καὶ Διὸς εἰπόντος ὑπὲρ κεφαλῆς ἔβαλλεν αἶρων λίθους, καὶ οὓς μὲν ἔβαλε Δευκαλίων, ἄνδρες ἐγένοντο, οὓς δὲ Πύρρα, γυναῖκες. ὅθεν καὶ λαοὶ μεταφορικῶς ὠνομάσθησαν ἀπὸ

τοῦ λᾶος ὁ λίθος. γίνονται δὲ ἐκ Πύρρας Δευκαλίωνι παῖδες Ἕλληνας μὲν πρῶτος, ὃν ἐκ Διὸς γεγεννησθαι <ἔνιοι> λέγουσι, <δεύτερος δὲ> Ἀμφικτύων ὁ μετὰ Κραναὸν βασιλεύσας τῆς Ἀττικῆς, θυγάτηρ δὲ Πρωτογένεια, ἐξ ἧς καὶ Διὸς Ἀέθλιος.» Απολλόδωρου Βιβλιοθήκη, Α' 7,2.¹²³

Εν περιλήψει, ο μύθος αναφέρεται στο λεγόμενο Κατακλυσμό του Δευκαλίωνα. Μία ιστορία από την οποία αφανίζεται το «χαλκοῦν [ανθρώπινο] γένος»¹²⁴ (=χάλκινο γένος) εκτός του Δευκαλίωνα και της Πύρρας. Ο Δευκαλίων κατόπιν θερμῆς παράκλησης, έπεισε το Δία ώστε να αναδημιουργήσει το ανθρώπινο γένος.¹²⁵ Έτσι, ο Ζεὺς πρόσταξε τον Δευκαλίωνα και την Πύρρα να πετάξουν πέτρες (λίθους) πίσω από την πλάτη τους. Ο Δευκαλίων για κάθε λίθο που πετούσε στο έδαφος· γεννιόταν ένας άντρας, ενώ για κάθε λίθο της Πύρρας· γεννιόταν μία γυναίκα. Παραφράζοντας ελάχιστα αυτό το μύθο συνάγεται ότι: Από τις πέτρες που «έσπερνε» το ανδρόγυνο στο διάβα του, «άνθιζε» ένας άνθρωπος μέσα από κάθε λίθο, αν νοηθεί ο λίθος ως σπόρος. Κατά αυτή τη συλλογιστική πορεία, θα μπορούσε να συσχετίζονται οι τρεις λέξεις: ἀνθῶ (=φύομαι), λίθος, ἄνθρωπος. Οι άνθρωποι που γεννώνται/φύονται/ἀνθέονται από τις πέτρες ονομάστηκαν λαός, από την πέτρα. Η πέτρα στην αρχαία ελληνική γλώσσα αναφέρεται ως λᾶς ή λίθος, όπως επεξηγείται από το χωρίο.



Deucalion and Pyrrha.
Engraving by Virgil Solis for Ovid's Metamorphoses Book I, 347-415. Fol. 7v, image 11.

121 (Βερτουδάκης, 2007, σ. 4). Αναφέρει περί της κατεύθυνσης της γραφής, επομένως η ανάγνωση ήταν εφικτή και κατά τις δύο διευθύνσεις. Από τον 5° αι. π.Χ. και αργότερα επικράτησε η «ἐς εὐθὺ» γραφή (αριστερά προς τα δεξιά) λόγω της πλειονότητας των δεξιοχείρων.

122 (Slater, 1969)
123 (Απολλόδωρος (ψεύδο), 2017). Βιβλιοθήκη, Α' 7,2
124 (Απολλόδωρος (ψεύδο), 2017). Βιβλιοθήκη, Α' 7,2
125 (Gaius Julius Hyginus, 2014)

Χ Ρ Ω: Αρχικά, η λέξη *χράω-ω*,¹²⁶ καταχωρείται στο Ομηρικό Έπος «Οδύσσεια» ως η εκ Θεού χρησιμοδότηση.

«ὥς γάρ οἱ χρείων μυθήσατο Φοῖβος Ἀπόλλων Πυθοῖ ἐν ἠγαθήῃ, ὃ ὑπέρβη λάϊνον οὐδὸν χρησόμενος». Ραφωδία Θ, στ. 79-81.

«του το 'χε πει μαθές ο Απόλλωνας ο Φοῖβος στο χρησμό του στην άγια την Πυθώ, το πέτρινο κατόφλι σαν edιάβη χρησμό να πάρεν»¹²⁷

Αργότερα, σημειώνεται ως «ρωτώ το Θεό, λαμβάνω χρησμό»¹²⁸

«τὰ ἐκ Δελφῶν οὕτω τῷ Κροίσῳ ἐχρήσθη» Ηρόδοτος [1,49]

«ὅσοι μαντικὴν νομίζοντες οἰωνοῖς χρῶνται» Ξενοφών, Απομνημονεύματα [1.1.3]

Στους Χριστιανικούς χρόνους, τα τρία αυτά γράμματα

απεικονίζονται ως: $\overline{\text{XPCW}}$

Δηλαδή, ως φιγούρες ιδιαίτερου είδους συντόμευσης ενός ιερού ονόματος (*nomen sacrum*) που εντοπίζεται σε παλαιοχριστιανικά χειρόγραφα πριν από το 300 μ.Χ. που αναφέρονται στο ιερό όνομα Χριστῶ.¹²⁹ Επίσης, παρατηρείται ότι ο πυθμενικός αριθμός της λέξης Ιησούς (6) είναι πολλαπλάσιο του πυθμενικού της λέξης Χριστῶ (3) και συνδέονται πάλι με τον πυθμενικό της λέξης φάος ή φως (6).

Ι Η Σ Ο Υ Σ

10 8 200 70 400 200

----->

"JESUS"

888

24

6

Χ Ρ Ι Σ Τ Ω ι

600 100 10 200 300 800

----->

"Khristói"

2010

3

Εν συνέχεια, παρατίθεται ένα κατάλοιπο λατινικής κρυπτογραφίας «μυστικής γραφής», το οποίο συσχετίζεται κατά κάποιο τρόπο με μία παρατήρηση του «Αρχαίου Ελληνικού Αλφαβήτου» (Αύγουστος 2021) περί της ελληνικής λέξης «Θεός». Ο μυστικός κώδικας αυτός

συναντάται στη μεσαιωνική κρυπτογραφία της Δύσης, η οποία άφησε τα σύμφωνα αμετάβλητα, ενώ τα φωνήεντα αντικαθίστανται από αυθαίρετους χαρακτήρες και τελείες: • = i, := a, := e, :: = o, :: = u.¹³⁰

Aeneas comment. poliorceticus hg. von A. Hug 30 p. 74: γράφειν δὲ καὶ ὧδε. προσυνθέντων τὰ φωνήεντα γράμματα ἐν κεντήμασι τίθισθαι· ὁπόστων <δ> ἐν τύχῃ ἑκαστον ἐν ἐν στοιχείοις γραφομένοις τοσαύτας στιγμὰς εἶναι οἶον,

Δ Ι Ο Ξ Ν Υ Σ Ι Ο Σ Κ Α Λ Ο Σ
Δ :: :: Ν :: :: Σ :: :: Κ Λ :: :: Τ ὁδὲ καὶ τὁδὲ ἄλλο.
Η Ρ Α Κ Λ Ε Ι Δ Η Σ (-Δ Α Σ Hug) Η Κ Ε Τ Ω
:: Ρ . Κ Λ :: Δ :: Σ :: Κ :: Τ ::

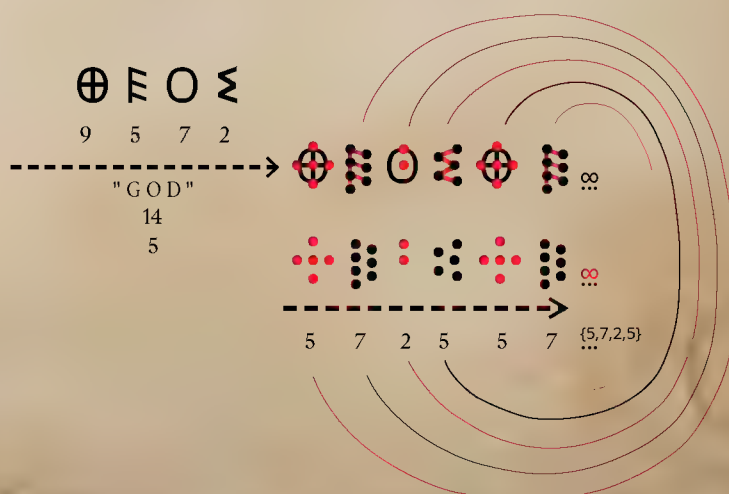
Μερικές φορές κάποια γράμματα παρέμεναν αμετάβλητα στη δυτική κρυπτογραφία, π.χ. το 'B' στον κώδικα *Wolfenbüttel* του έτους 1,433 μ.Χ., ενώ τα άλλα εναλλάσσονταν.¹³¹

a d e h i k m⁴ o t v
m i k v d e a t o h

Παρατηρείται ότι για την λέξη «Θεός,» αν παρομοίως κρυπτογραφηθούν τα γράμματα, βάσει των σημείων που αποτελούνται και κατόπιν εναλλαγής θέσης τους, μετρώντας τα σημεία του πρώτου γράμματος και τοποθετώντας το δεύτερο γράμμα, σύμφωνα με τα σημεία του προηγούμενου που ισοδυναμούν με την πυθμενική αξία, προκύπτει κάθε φορά το νέο γράμμα της λέξεως ΘΕΟΣΘΕΟΣΘΕΟ...

Π.Α.	1	2	3	4	5	6	7	8	9
1					E				Θ
					Ε				Θ
2							Ο		
							Ο		
3		Σ							
		Σ							

Π.Α.	1	2	3	4	5	6	7	8	9
1		Σ			E		Ο		Θ
		Σ			Ε		Ο		Θ
2									
3									



126 (Μαντουλίδης, 2009, σ. 140). χράω-ω

127 (Όμηρος, n.d.)

128 (Liddell & Scott, 1940)

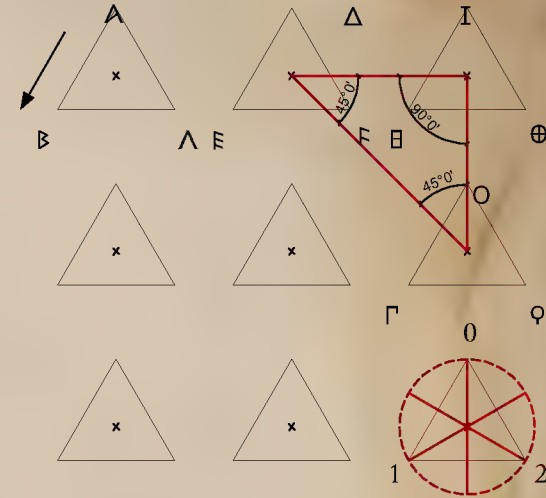
129 ("Nomina sacra," n.d.)

130 (Gardthausen, V. (Viktor Emil) & Robarts - University of Toronto, 1911, 303)

131 (Gardthausen, V. (Viktor Emil) & Robarts - University of Toronto, 1911, 303)

Με την διαδικασία αυτή παρατηρήθηκε ότι το λεξικό μόρφημα¹³² θεο- δημιουργεί ένα ισοσκελές τρίγωνο στον πίνακα, στην περίπτωση που έχουν τεθεί τα γράμματα ως μία τελεία και διαταχθούν οι τελείες σε ίσες αποστάσεις, κατόπιν ένωσης των κεντρικών σημείων. Το ίδιο προκύπτει στην περίπτωση της τοποθέτησης των γραμμάτων σε εννέα τριάδες όπου εκεί προκύπτει ο σχηματισμός ενός ορθογωνίου ισοσκελούς τριγώνου.

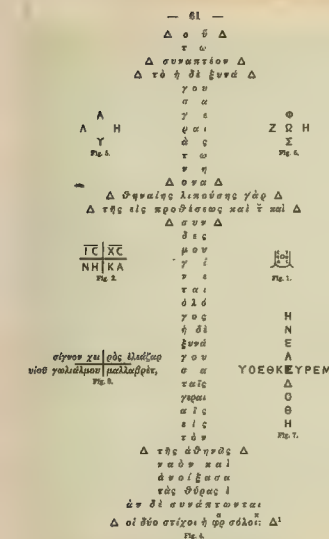
Λ_x	β_x	x	x	x	x	
x	x	x	x	x	x	x
x	x	x	x	x	x	x



Τέλος, παρατηρείται η δημιουργία της λέξης Δέος,★ στην περίπτωση που το γράμμα Θ θεωρηθεί ότι δημιουργεί δύο κάθετους άξονες συμμετρίας κατόπιν δημιουργίας των εικόνων των γραμμάτων ΕΟΣ. Θεωρώντας τους σταυρούς ως άξονες συμμετρίας. Λαμβάνοντας υπόψιν και την επ' άπειρη δημιουργία των γραμμάτων (ΘΕΟΣΘΕΟΣΘΕΟΣ...), αρκεί να γράψει κάποιος το γράμμα Θ, όπως σημειώθηκε προηγουμένως.¹³³

Εν κατακλείδι, σημειώνεται ως σχολιασμός ότι, οι χαρακτήρες ενός υποτιθέμενου αρχαίου δεκαδικού συστήματος με χαρακτήρες που υποκαθιστούν τους σημερινούς του «Ινδο-αραβικού» συστήματος αριθμησης· δηλαδή η απομόνωση 10 πρώτων χαρακτήρων εκ των 10 δακτύλων των χεριών, ώστε να ανακαλυφθεί κάτι το νέο σε σχέση με τα υπάρχοντα αριθμητικά συστήματα, ή να διευκολύνονται οι μαθηματικές πράξεις δεν θεωρείται απίθανη, παρόλη την απουσία των αρχαιολογικών ευρημάτων ή γραπτών κειμένων. Αυτή η υπόθεση προκύπτει από την διαφοροποίηση των ψηφίων από περιοχή σε περιοχή του πλανήτη από την ανακάλυψη τους μέχρι σήμερα, όπως ακριβώς το ίδιο συμβαίνει με τους γραφικούς χαρακτήρες της γραπτής απόδοσης της γλώσσας. Επίσης, οι γραφικοί χαρακτήρες φαίνεται να παράγουν νέες λέξεις εναρμονισμένες με τις ανακαλύψεις της γεωμετρίας. Επιπλέον, οι νέες ανακαλύψεις επιφέρουν νέες μαθηματικές αναζητήσεις και κατευθύνουν την ανάπτυξη βαθύτερων φιλοσοφικών στοχασμών, όπως συνέβη με την ανακάλυψη της αρρητότητας¹³⁴ από τους Πυθαγόρειους. Αυτό που συνάγεται είναι το ακόλουθο: το απαύγασμα των φιλοσοφικών και γεωμετρικών κατακτήσεων αποδίδεται με «απλουστευμένα» σύμβολα, των οποίων η ερμηνεία δεν έχει πέρασ, εφόσον μπορούν να εντοπιστούν και να εφαρμοστούν σχεδόν παντού.

(Dunlap, Richard A., 2008, p. 57). Values of Pisano period of the Fibonacci sequence in modulus 3, $F_n \pmod{3} \{0, 1, 1, 2, 0, 2, 2, 1\}$ (sequence A082115 in the Online Encyclopedia of integer Sequence) (Number Theory)



¹³² Scholia Graeca in Homeri Illiad, ed. Dindorf I p. VIII.

★ ((Gardthausen, V. (Viktor Emil) & Robarts - University of Toronto, 1911, σ. 60-64). Christ-Kreu monks liked to choose a cross, around which they either grouped the letters or they also arranged the letters in long and short lines so that their outlines form a cross.

The fondness for this gimmick extended so far that in the famous «Josuarotulus» of the Vatican Library, even the position of the inscription became cruciform.

$\oplus \rightarrow \bigoplus \rightarrow +$
 $\oplus \epsilon \omicron \varsigma \Leftrightarrow + \epsilon \omicron \varsigma$
 $| \epsilon \omicron \varsigma \Leftrightarrow \varsigma \omicron \epsilon | \epsilon \omicron \varsigma$

ς
 \omicron
 ϵ
 $\varsigma \omicron \epsilon | + \epsilon \omicron \varsigma \Leftrightarrow \varsigma \omicron \epsilon | \oplus \epsilon \omicron \varsigma$
 ϵ
 \omicron
 ς

ς
 \omicron
 ϵ
 $\varsigma \omicron \epsilon | \oplus \epsilon \omicron \varsigma$
 ϵ
 \omicron
 ς

$\oplus 4 \times (\epsilon \omicron \varsigma) \Rightarrow \oplus \Delta \times (\epsilon \omicron \varsigma)$

$9 \quad 4 \times (5 \quad 70 \quad 200)$
 $\xrightarrow{(4 \times 5) \quad (4 \times 70) \quad (4 \times 200)}$
 $9 \quad 20 \quad 280 \quad 400$
 $\xrightarrow{\hspace{1.5cm}}$
 $9 \quad 700$

$(\oplus = \Delta + \epsilon) \quad \omicron \varsigma$
 $(9 = 5 + 4)$
 $\Delta \epsilon \omicron \varsigma$
 $4 \quad 5 \quad 70 \quad 200$
 $\xrightarrow{\hspace{1.5cm}}$
 $"AWE"$
 279
 18
 9
 \oplus

132 (Ανδρέου, 2012, σ. 30). «Η γλώσσα διαθέτει διπλή άρθρωση. Το πρώτο επίπεδο άρθρωσης περιλαμβάνει τις ελάχιστες σημασιολογικές μονάδες, τα μορφήματα ή μονήματα. Το δεύτερο επίπεδο άρθρωσης περιλαμβάνει τις ελάχιστες διαφοροποιητικές φθογγικές μονάδες, τα φωνήματα, τα οποία έχουν την ιδιότητα να διαφοροποιούν την αξία των μονημάτων.»

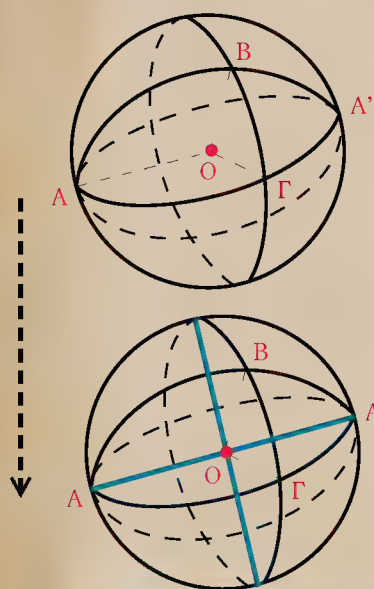
133 (Mitchell, 1990, σ. 139-146). Όπως συμβαίνει στην περίπτωση δημιουργίας αρχιτεκτονικού λεξιλογίου βασιζόμενο σε γραμματικούς κανόνες; πρβ (Stiny, 1977, σ. 89-92, 94-95). Ομοίως στην τέχνη, για την κατασκευή κινεζικών σχεδίων για παράθυρα και γρίλιες χρησιμοποιούνται συμβάσεις· ορίζοντας παραμετρικές γραμμικές σχημάτων, οι οποίες παράγουν παραδοσιακά δικτυώματα και κατασκευάζονται από το 1,000 π.Χ. έως το 1,900 μ.Χ. 134 (Λυκερίδης, 2012, σ. 93-94)

“Πῶς Πλάτων ἔλεγε τὸν θεὸν αἰ γεωμετρεῖν.”

Plutarch Quaes. Conv. [8.2] (Plutarch, n.d.).

«Ο κόσμος ὡς τέλει σφαῖρα» (Πλάτων, 2010), «Τίμαιος», στ. 58[a-b]

«Ἡ περίμετρος τοῦ σύμπαντος, ἀφού συμπεριέλαβε στο ἐσωτερικό της εἶδη, ἐξαιτίας τοῦ κυκλικοῦ σχήματος της» (Πλάτων, 2010), «Τίμαιος», στ. 33b-34b



$$360^\circ \mid 3 + 6 = 9 = \Theta$$

$$1 + 2 + 3 + 4 = 10$$

Στο ακροφωνικό σύστημα αρίθμησης ο αριθμός 10 συμβολίζεται ως

«Οι αρχαῖοι καθόρισαν ὡς τέλειο τὸν ἀριθμὸ που ονομάζεται 10 [...] ο Πλάτων θεωροῦσε ὅτι ο ἀριθμὸς αὐτὸς εἶναι τέλειος» (Vitruvius, "De Architectura" [III, 1])

«... ὥστε να εἶναι νεότερη [...] (καὶ) [...] τα συνέδεσε μεταξύ τους [...] ἀνάμεσα στην οὐσία που εἶναι ἀδιαίρετη καὶ ἀμετάβλητη, καὶ στην οὐσία που γίνεται διαίρετη καὶ μεταβλητὴ στα σώματα ἀνακάτεψε ἓνα τρίτο εἶδος που ἀποτελεῖται τόσο ἀπὸ ἀμετάβλητο ὅσο καὶ ἀπὸ το μεταβλητό. Τὴν τοποθέτησε ἀνάμεσα στην ἀδιαίρετη καὶ στὴ διαίρετη οὐσία τῶν πραγμάτων. Καὶ μετὰ, παίρνοντας τὰ τρία αὐτὰ εἶδη, τὰ ἀνακάτεψε ὥστε να σχηματίσουν ἓνα μόνον σῶμα, ἀναγκάζοντας τὴ φύση τοῦ ἄλλου να προσαρμοστεῖ με τὴ βία στὴ φύση τοῦ ἀμετάβλητου. (Πλάτων, 1993), «Τίμαιος» [34c-35a]

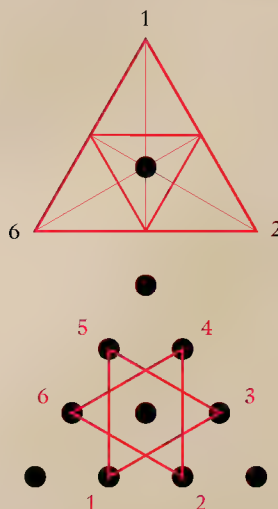
«Philolaus shows us the being manifest [...] in the number Six, the soul and life.»
("The Pythagorean Sourcebook and Library: An Anthology of Ancient Writings Which Relate to Pythagoras and Pythagorean Philosophy," 1987, σ. 173)

But rectilinear motion, demonstrates through the hexad its alliance to the psychical peculiarity.

and this will be manifest as we proceed. Let us a pass on to what is next said by Plato. (Proclus et al., 1820, σ. 466)

«τῇ δὲ ψυχῇ [...] ἀριθμός, διάρθρωσις τοῦ παντός, ψυχοποιός, ζωτικῆς [...] ἑξῆς» Ἰάμβλιχος, «Ἀριθμητικὴ Θεολογία»

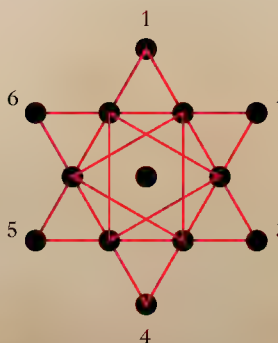
$$[34 [10-14]] \quad 58 \times 13 \times 4$$



"For the the symbolized the perfection of Number and the elements which comprise it."
("The Pythagorean [...] Philosophy," 1987, σ. 29)

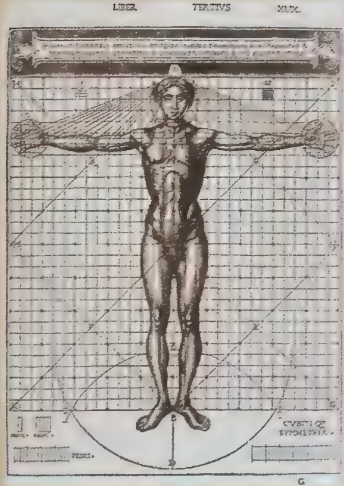
"I swear by the discoverer of the Tetraktys. Which is the spring of all our wisdom The perennial fount and root of Nature."

(Iamblichus, 1818, p. 109)



«Οι θεοί [...] του σύμπαντος έκλεισαν τις δύο θείκες περιφορές σε ένα σφαιρικό σχήμα αυτό που ονομάζουμε κεφάλι το πιο θεικό σχήμα του σώματος μας. [...] συναρμολογώντας το ανθρώπινο σώμα [...] απόκτησε μήκος και με επινόηση Θεού δημιούργησε τα 4 άκρα [...] το εφοδίασαν με όργανα ικανά για κάθε προσδοκία ψυχής.» (Πλάτων, 1993), «Τίμαιος, στ. 44d-45b

«[...] λοιπόν παρουσιάζεται το σχήμα [...] αλλά, στο ανθρώπινο σώμα, μπορούμε να βρούμε και το σχέδιο [...] από τα μέλη του σώματος, πήραν τις μονάδες μέτρησης, που είναι απαραίτητες σε όλες τις τεχνικές κατασκευές, όπως τον δάκτυλο (σημερινή ίντσα), την παλάμη, τον πόδα και τον πήχυ, τις οποίες κατένειμαν κατά τον αριθμό που οι Έλληνες καλούν τέλειο.» Βιτρούβιος, «Περί Αρχιτεκτονικής», III. 1 Οι αναλογίες. 1-4.



Vitruvian Man, illustration in the edition of De architectura by Vitruvius (XLIX); illustrated edition by Cesare Cesariano (1521)



Leonardo da Vinci. c. 1490. Pen and ink with wash over metalpoint on paper. 34.6 cm × 25.5 cm (13.6 in × 10.0 in). Gallerie dell'Accademia, Venice, Italy



Pentagram from Heinrich Cornelius Agrippa's De occulta philosophia libri tres (1533). The symbols in the circle represent Mars, Jupiter, Saturn, Mercury and Venus. In the belly is the sign for Sun, and under the cross is the sign for Moon

«Όταν ολοκληρώθηκε η σύνθεση της ψυχής με τη θέληση του δημιουργού, τότε Εκείνος δημιούργησε και το σώμα. Έπειτα τα σύνδεσε και τα [...]» (Πλάτων, 1993), «Τίμαιος,» στ. 36d-37a

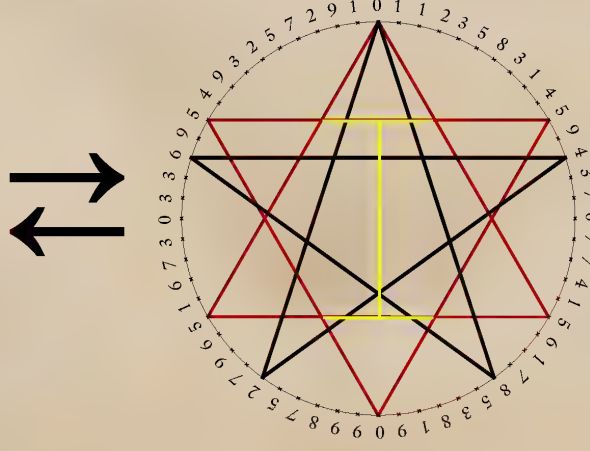
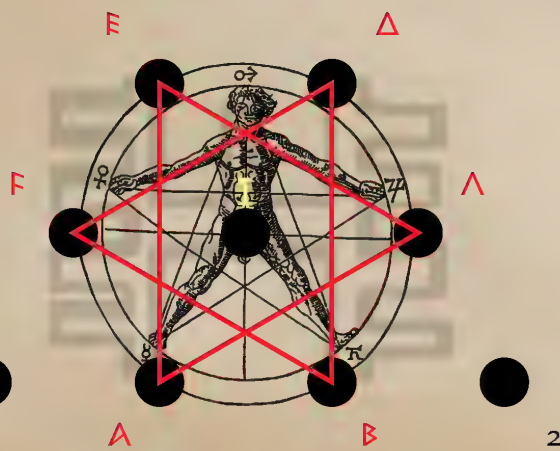
«Φαίνεται και αυτό που λένε οι Πυθαγόρειοι έχει την ίδια έννοια. Μερικοί δηλαδή από αυτούς έλεγαν, ότι η ψυχή είναι τα σωματίδια που αιωρούνται στον αέρα, άλλοι πάλι έλεγαν ότι η ψυχή είναι η αιτία που τα κινεί. Διατύπωσαν δε αυτήν την άποψη, διότι τα σωματίδια αυτά φαίνονται να κινούνται συνεχώς, ακόμα και αν υπάρχει απόλυτη νηνεμία.» Αριστοτέλης, «Περί Ψυχής,» στ. 404a[15-20]

Οι χαρακτήρες του ελληνικού αλφαβήτου διατεταγμένοι σύμφωνα με την αφαιρετική περιγραφή της έννοιας της καθαυτής ουσίας της λέξης:

SOUL ΞΥΧΘ ΨΥΧΗ



MATERIAL ΥΛΘ ΥΛΗ



(Mitchell, 1990, σ. 8, 139-146). Όπως συμβαίνει στην περίπτωση δημιουργίας αρχιτεκτονικού λεξιλογίου βασιζόμενο σε γραμματικούς κανόνες.



(Phaistos Disc, n.d.). Phaistos disc glyph 21.

Values of Pisano period of the Fibonacci sequence in modulus 10, $F_n \pmod{10}$: {011235831459437077415617853819099875279651673033695493257291} (sequence A003893 in the Online Encyclopedia of integer Sequence) (Number Theory)

Εμφάνιση γεωμετρίας



Είναι γνωστό τοις πάσι ότι σε επίπεδο πολεοδομικού σχεδιασμού η παράμετρος αρμονικών χαράξεων ("sacred geometry") παρατηρείται από τους αρχαιοτάτους χρόνους μέχρι σήμερα. Οι πρώτες προσπάθειες ευταξίας εντοπίζονται στις αρχαιοτάτες ακτινωτές πόλεις -ως πρωτόλεια ιδέα- με τους

χαρακτηριστικούς «ομόκεντρους κύκλους» ή καλύτερα τους επάλληλους συγκεντρικούς δακτυλίους που εκτείνονται από ένα κέντρο/σημείο αναφοράς της πόλης.¹³⁵ Άλλα παραδείγματα συναντώνται:

(α) στην απεικόνιση μίας πόλης σε πλακίδιο στο Nimrud (αρχαία Ασσυριακή Πόλη). (β) Στις «Ιπποδάμειες» πόλεις την 5^η χιλιετία π.Χ. στις Ινδίες, (γ) αργότερα Μεσοποταμία και Αίγυπτο, (δ) Ελλάδα (Παληόσκαλα Κάρλας της Θεσσαλίας στη Νεολιθική εποχή¹³⁶) κ.ο.κ., με χαρακτηριστική τη σύνθεση του τετραγώνου και του ορθογωνίου.¹³⁷

Fig. 99 1[1-δ] The process of natural development (1[α-δ] & 2[α] G. Sarigiannis, Introduction to the history and theory of the city, Athens 1985, pp. 54-55



& 2[α-β] The result of the design process (2[β] M. Morini, op. Cit. P. 8)



Fig. 100 City image on a tile in Nimrud (Mesopotamia, Ancient Assyrian city. Nineveh Governorate, Iraq) (M. Morini, Atlante...18)



Fig. 101 (a) 4th m. BC (Konstantinidis, Traditions ... Παραδόσεις... part A., p. 121.



(b) Settlement of artisans in Tel El Amarna of Pharaonic Egypt (P. Lampt, Cities and Planning in the Ancient Near East, New York 1968, fig. 86)

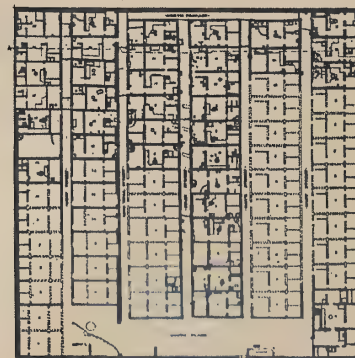
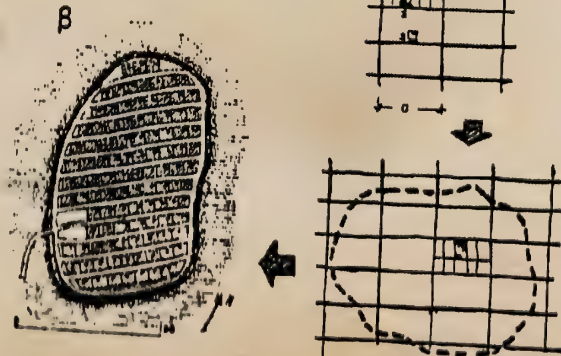
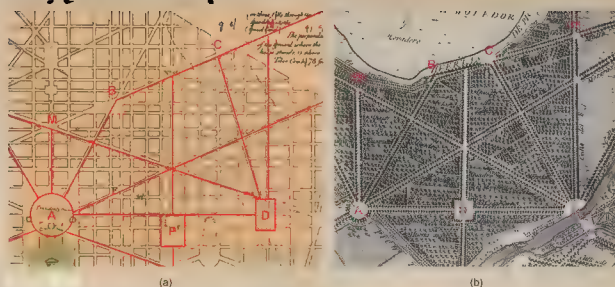


Fig. 102 Aerial photo of neolithic settlement in Palioskala, Thessaly, Greece

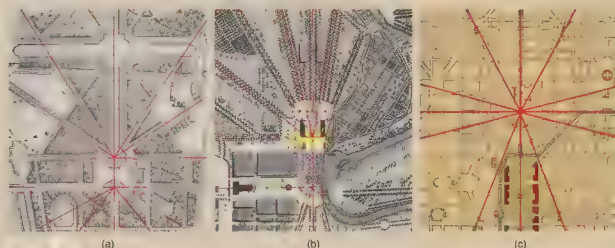


135 (Σαρηγιάννης, 2011, σ. 21-22)
136 (Σαρηγιάννης, 2011, σ. 55)
137 σ. 21-22)

Circles can be divided into five parts of equal size, resulting in a pentacle. L'Enfant then divided his circles thus, resulting in pentacles inside each, with the points heading east.



Similarities between avenues and focal points of plans: (a) plan of L'Enfant for Washington, DC (adapted from L'Enfant 1791); (b) Royal Site of Aranjuez



Detail of focal systems of avenues: (a) Versailles (adapted from Delagrave 1746); (b) Royal Site of Aranjuez

Μία σιωπηρή ενθύμηση εκείνων των προαναφερθέντων αρχαίων κατακτήσεων απαντάται στις σημερινές αποστάσεις των οικοδομικών τετραγώνων 100-200m. Οι αποστάσεις αυτές προέρχονται από την αρχέγονη προσπάθεια χωροθέτησης των οικοπέδων των «ακτινωτών» και «Ιπποδάμειων» πόλεων, της εύρεσης ευνοϊκών μηκών αναλόγως των προτύπων της τοπογραφίας του εδάφους και της εξέλιξης της σχοινοποιίας.¹³⁸ Επίσης, το σχήμα των πόλεων από τους χρόνους της Ρωμαϊκής επικράτειας (ίσως

κάτι αντίστοιχο ίσχυε και παλαιότερα, εφόσον υφίσταται η ιστορική συνοχή) μέχρι και σήμερα συνυφαίνεται από το χρόνο της μετακίνησης των πολιτών προς τον εργασιακό τους χώρο, στα χωρικά πλαίσια της πόλης.¹³⁹

"people have always been willing to commute for about a half-hour, one way, from their homes each day [...] the average speed of our transportation technologies does more than anything to shape the physical structure of our cities."



Construction of the Parthenon began in 447 B.C. By Manolis Korres (Dr. Architect-Eng, Dr. Ph. h.c. FU Berlin, Emeritus Professor NTU Athens, Member of the Academy of Athens.

Twisting ropes for boatbuilding, tomb of Ptahhotep and Akhetotep



Rome, 275AC, walking city: The boundaries of the ancient city were limited by transportation technology—Romans had little choice but to walk. Source: David Rumsey Map Collection courtesy Stanford University Libraries, CC-BY-NC-SA. Map: David Montgomery/ CityLab

Άλλοι σημαντικοί παράμετροι μιας πολεοδομικής μελέτης συνοψίζονται στις κυκλοφοριακές ροές -κινήσεων των πεζών¹⁴⁰ & οδικών δικτύων-, στις περιβαλλοντικές -αιεφορία-, στα δίκτυα τεχνικών υποδομών κ.ο.κ.,¹⁴¹ που συνδιαμορφώνουν την απάντηση στο πολυδιάστατο πρόβλημα του πολεοδομικού σχεδιασμού.

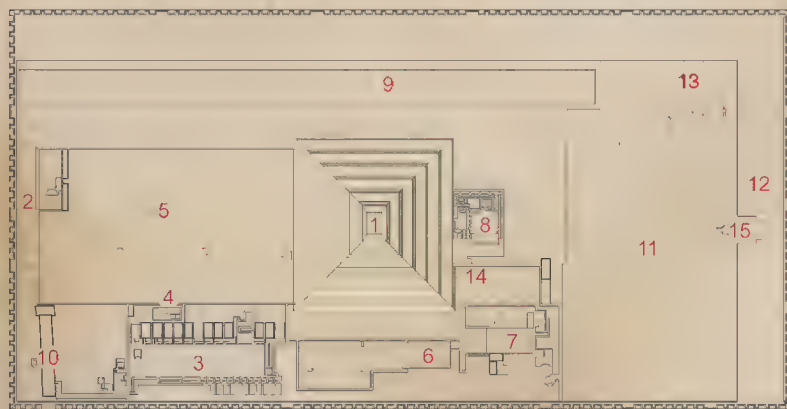
138 (Teeter, 1987, σ. 75) Η σχοινοποιία αναπτύχθηκε για πρακτικούς λόγους (λ.χ. θαλάσσιο εμπόριο, αρχιτεκτονικό έργο, λόγω της εκτενούς χρήσης σχοινιών).; (Εμπειρική ερμηνεία) Το μέγιστο μήκος του σχοινιού ως μετρητή απόστασης (και ως «ράμια», οικοδομικός όρος) καθόριζε την μέγιστη απόσταση των οικοδομικών τετραγώνων, χάριν της ευκολίας και της οικονομίας χρόνου που παρείχε στη διαίρεση των οικοπέδων ίσως σε ένα αρχαία εργοτάξιο; (Σαρηγιάννης, 2011, σ. 22-24) Επινόηση «Ιπποδάμειου Συστήματος»; Ράμμα: Εξαιρετικά τενωμένο σχοινί, το οποίο βοηθάει στο «αλφάδιασμα» -('Αλφάδιασμα', n.d.) έλεγχο τη επιφάνειας ότι είναι αρκούτως επίπεδη στον κάθετο ή οριζόντιο άξονα; (εμπειρική γνώση) και την διαίρεση μεγάλων αποστάσεων σε επιθυμητά

μήματα, στην προκειμένη περίπτωση των οικ/ικών τετραγώνων τα οικοπέδα.
139 (English, 2019)
140 (Hillier, 2004, 2007, σ. 142). Το πλεονέκτημα των μικρών αποστάσεων παρέχει στο κινούμενο άτομο, αφενός μεν την ασφάλεια της συνεχούς οπτικής επαφής, με -περισσότερα από ένα- τυχαία άτομα και αφετέρου δε την επαρκή προειδοποίηση συνάντησης για να λάβει μέτρα αποφυγής, εάν είναι απαραίτητο. Το σημείο σύνδεσης τους σε ένα δρόμο είναι μεν πυκνό και ως ένα δε βαθμό ελεγχόμενη από το άτομο; (Lynch, 2014, 165-172). Υπό περιπτώσεις, ο πολεοδομικός σχεδιασμός προβλέπει τον έλεγχο ή μη των πολιτών, λ.χ. αστυνόμευση, κοινωνικές επανστάσεις.
141 (Βλαστός, et al., 2007, σ. 445-564).

Ο σοναφορά την εμφάνιση του αρχιτεκτονικού σχεδιασμού αρχαίων μνημείων, βάσει επίσημων δεδομένων, εντοπίζεται στην περιοχή της Αιγύπτου. Η κλιμακωτή πυραμίδα της 3^{ης} Δυναστείας του Djoser (2,630–2,611 π.Χ.) αποδίδεται στον αρχιερέα Imhotep, τον πρώτο ονομαζόμενο αρχιτέκτονα στην ανθρώπινη ιστορία. Επομένως, στα μισά της 3^{ης} χιλ. π.Χ. εμφανίζεται ο πρώτος «ενορχηστρωτής» ενός εργοταξίου και κατ' ολοκληρίαν σχεδιαστής –γεωμετρικών χαραξέων– μιας βαθμιδωτής κατασκευής με έξι επάλληλους 'mastabas' στοιβαγμένους τον ένα πάνω στον άλλο. Η ασβεστολιθική πυραμίδα αποτελούσε μέρος ενός ευρύτερου ταφικού συγκροτήματος, στο οποίο περιλαμβανόντουσαν κίονες, ναοί και αυλές, στη νεκρόπολη της Σαχάρα, έξω από την πρόιμη πρωτεύουσα της Μέμφιδας.¹⁴²

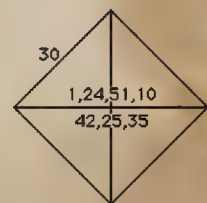
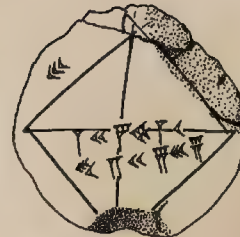
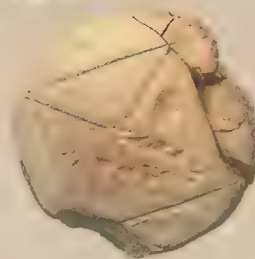


Plan of the Djoser Pyramid Complex: 1) step pyramid, 2) south tomb and chapel, 3) Sed festival complex, 4) (T) temple, 5) south court, 6) south pavillion, 7) north pavillion, 8) mortuary temple, 9) western mounds, 10) colonnaded entrance, 11) north court, 12) north galleries, 13) step tombs, 14) serdab, and 15) north altar



142 (Bonfitto, 2021, σ. 337-338). σ. 337: "Mastabas are rectangular mudbrick or stone structures built over a burial chamber, which may have been used for multiple family members over time. Some early mastabas also included a statue of the deceased and an interior chapel with a painted false door, which provided a means for the spirit (ka) of the dead to reach the afterlife, and other paintings showing daily life."

Επιπροσθέτως, στην ταμπλέτα 'YBC 7289' της συλλογής 'Yale Babylonian Collection' στο πανεπιστήμιο του Yale στο New Haven, Connecticut, USA απεικονίζεται ένα τετράγωνο με τις δύο διαγώνιες σχεδιασμένες και χρονολογείται τον 19^ο ή 18^ο αι. π.Χ. Ένα αριθμητικό σημάδι επάνω αριστερά συμβολίζει τις πλευρές του τετραγώνου που έχουν μήκος 30 μονάδες η καθεμία. Κατά μήκος της διαγωνίου, βρίσκονται οι 2 ομάδες αριθμών (1, 24, 51, 10) και (42, 25, 35), οι οποίες είναι γραμμένες, σύμφωνα με τις συμβάσεις του Εξηνταδικού Βαβυλωνιακού Συστήματος (με βάση το 60). Η 2^η ομάδα από τις δύο προαναφερόμενες, δείχνει το μήκος της διαγωνίου· επειδή διαβάζεται ως $42 \times 1 + 25 \times (1/60) + 35 \times (1/3600)$ ή 42.426389. Η 1^η ομάδα κατόπιν μετατροπής της σε δεκαδικό, δίνει το αποτέλεσμα 1,414212963, το οποίο είναι πολύ κοντά στο $\sqrt{2}$, δηλαδή στο 1.414213562. Προφανώς, ο μαθηματικός, για να ανακαλύψει το μήκος της διαγωνίου ενός τετραγώνου του οποίου οι πλευρές είχαν μήκος 30 μονάδες η καθεμία, είχε υπολογίσει $30 \times [1;24,51,10]$, που αποδίδει 42;25.¹⁴³



Explanatory drawing of YCB 7289

"The tablet proves that the Babylonians of the early second-millennium BCE knew that the ratio of the side to diagonal in a square is 1 to the square root of 2. They had come to this insight long before the Greek philosopher Pythagoras, who probably lived in the 6th century BCE, established his famous theorem $a^2 + b^2 = c^2$, which is behind their solution. The tablet demonstrates, moreover, that the mathematicians of the Old Babylonian era had found a remarkably good approximation to $\sqrt{2}$: 1;24,51,10. The student who wrote the tablet seems to have taken this number from a list of coefficients (one such list is likewise housed in the Yale Babylonian Collection)."

The exterior walls of the mastabas were sloped, and the top of the structure was a flat surface, which would have a square shaft leading down into the burial chamber; again, this provided a means for the ka to move beyond the tomb."

143 ('A 3D-Print of Ancient History: One of the Most Famous Mathematical Texts from Mesopotamia' | Institute for the Preservation of Cultural Heritage, 2016).



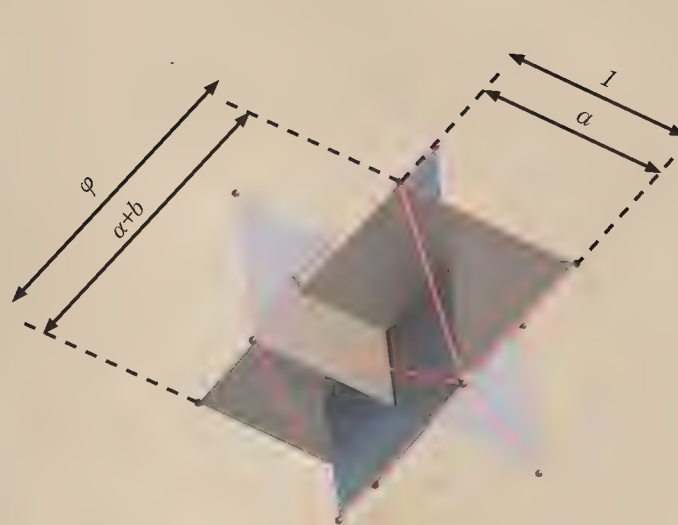
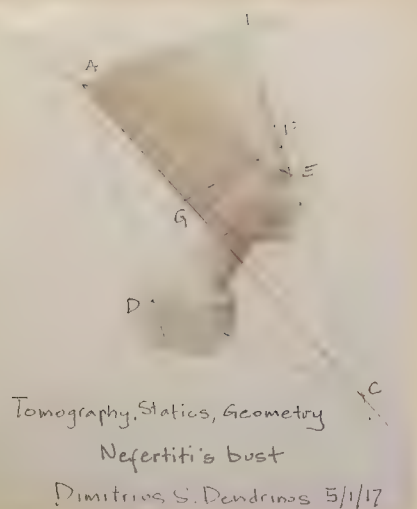
Επιπλέον, προστίθεται μία επιστημονική μελέτη στην οποία σημειώνονται γεωμετρικές παρατηρήσεις, για την προτομή της Νεφερτίτης στην Αίγυπτο κατόπιν ακριβούς γεωμετρικής ανάλυσης της -έργο του γλύπτη Thutmose κατά την περίοδο της Αμαρνα της 18^{ου} Δυναστείας (1,345 π.Χ.). Συνοπτικά, δύο ευρήματα χρήζουν ιδιαίτερης αναφοράς: (α) Η παρουσία μιας πιθανούς Πρωτόγονης Πυθαγόρειας Τριάδας (28, 45, 53) στην τραπεζοειδή σκελετική δομή της προτομής που αποκαλύφθηκε από τομογραφική τομή (3D scanning), (β) το μέτρο του γλυπτού

σύμφωνα με την γεωμετρική απόδειξη είναι η αιγυπτιακή παλάμη (palm) – ισοδύναμη με 7,5 cm ή 3 in.¹⁴⁴

Για τις γεωμετρικές γνώσεις στον Ελλαδικό χώρο, η γνώση της χρυσής τομής είναι αδιάφευκτη τον 5^ο αι. π.Χ., καθώς συχνά εμφανιζόταν στα γεωμετρικά τους προβλήματα, όπως στην αρχιτεκτονική και στην τέχνη. Για παράδειγμα, από την απλούστερη ανάλυση του 20-έδρου -πλατωνικού στερεού που αποδίδεται στο ύδωρ του έργου «Τίμαιος» στ. 52d-53c του Πλάτωνα- εξάγονται 3 «χρυσά» (εύμορφα κατά την αίσθηση των οφθαλμών) «χρυσά» ορθογώνια. Γεωμετρική απόδειξη παρατίθεται παρακάτω από τις εικόνες που δημιούργησε ο υποφαινόμενος σε πρόγραμμα τρισδιάστατης απεικόνισης (στο λογισμικό Blender):

(a) The basic right trapezoid (ABCD) of Nefertiti's bust in a tomographic section's outline.

Within the right trapezoid, the possible Primitive Pythagorean Triple (28, 45, 53) is embedded together with the rhombus (AECD). Source: the author.



$$a > b > 0$$

$$\frac{a+b}{a} = \frac{a}{b} =: \varphi$$

Decimal expansion of golden ratio phi (φ , irrational number):

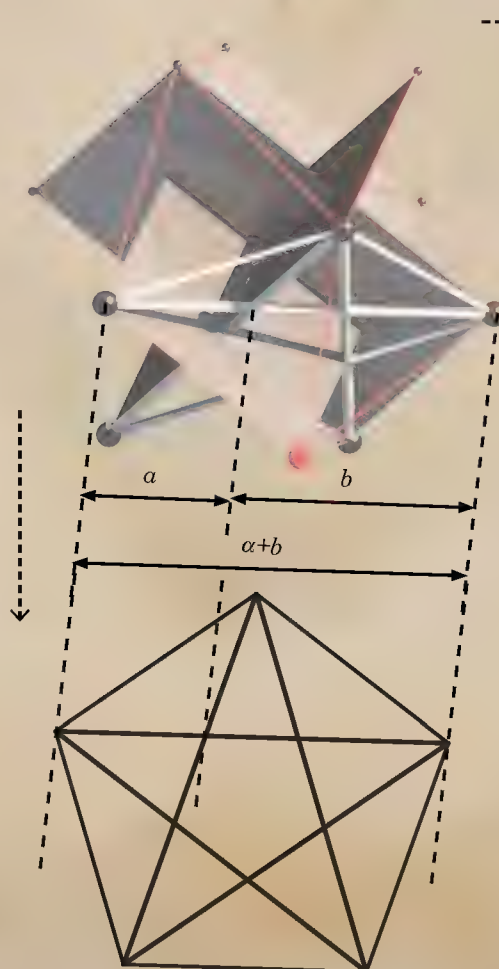
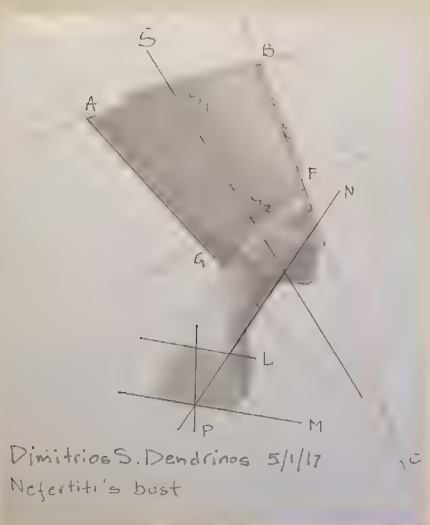
$$\alpha = \beta = 1, x^2 - x - 1 = 0$$

$$\varphi = \frac{1+\sqrt{5}}{2} = 1.618\ 033\ 988\ 749\ldots$$

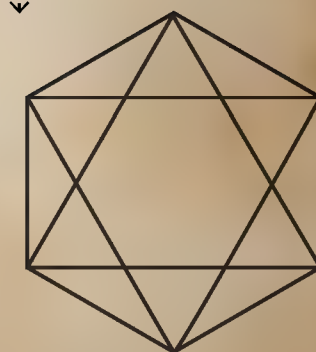
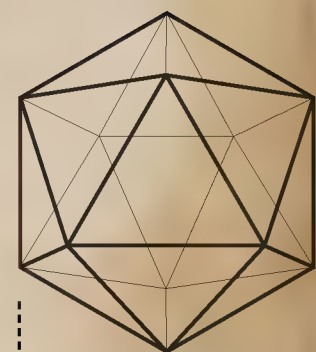
(OEIS: A001622, Online Encyclopedia of integer Sequence)

(b) The axis of symmetry S of the inverted, truncated cone-like structure in Nefertiti's bust.

The parabolic shape of the shoulders in the sculpture (defined by lines L , M) are discussed in the text. Notice the straight-line N going through the top of the rhombus (at Nefertiti's eye level), tracing the length of Nefertiti's neck, and intersecting the base of the statue at point P on the axis of the shoulder's parabola.



Facade of icosahedron



Σχεδιασμός εξαγγραμμού με τον
ακόλουθο τρόπο και μέρος από
το σχέδιό του :

1+1=2
2+2=4
4+4=8
8+8=16 | 6+1=7
7+7=14 | 1+4=5
5+5=10 | 1+0=1
1+1=2
2+2=4
...

$$3+3=6$$

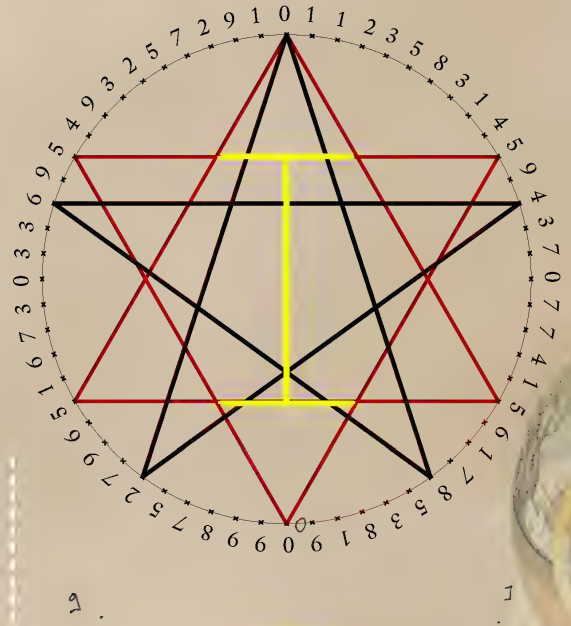
$$6+6=12 | 1+2=3$$

$$3+3=6$$

$$9+9=18 | 1+8=9$$

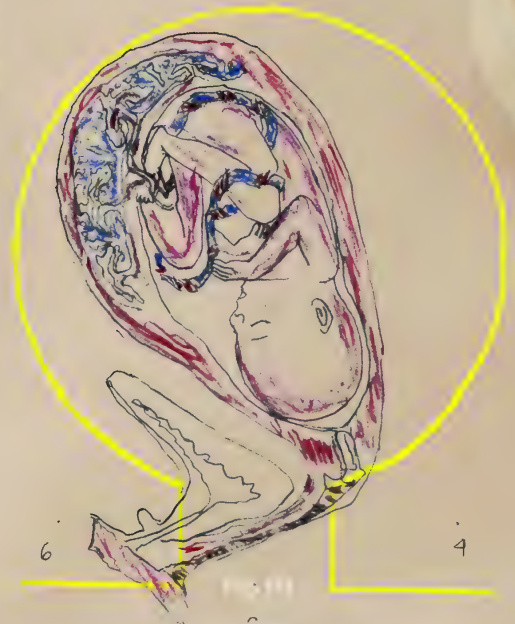


★ (Gardthausen, V. (Viktor Emil) & Roberts - University of Toronto, 1911, σ. 59). Αντίφορη γραφή της λέξης «ΖΩΗ» ή «ΙΩΗ», σύμφωνα με τα πρότυπα της γραφής «Βουστροφηδόν» εκ των 4 διατάξεων (Σπυριδόν, Κιονιδόν, Πληνθιδόν, Βουστροφηδόν) που προτείνει ο σχολιαστής του Διονύσου Θράξ (αρχαίος Έλληνας γραμματικός, 2^ο αι. π.Χ., Αλεξάνδρεια) βάσει του (Bekker, Anecd, p. 786).



Uterus, Uterus,
with a foetus; the pelvis
has been sectioned in the
median plane. Sketch by
Petros Petrakis

(a,b) Bekker,
Anecd, p. 786.



Bronchi. B
ronchi; the lobar and
the segmental bronchi
have been projected onto
the lungs and are
illustrated with different
colours; ventral view

An 1847
depiction of the Norse
Yggdrasil as described
in the Icelandic Prose
Edda by Oluf Olufsen
Bagge

Vesicles and
nerves of the head; deo
lateral regions

1. Σπυριδόν.
κύριος εἶπε πρὸς μέ-
νός μου εἰ σύ-
ἐγὼ σήμερον
γὰ γέ-
νῃ η-
κά τε

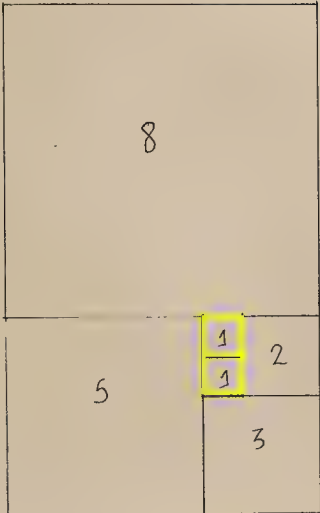
3. Κιονιδόν.

ἐ γ ἡ α κ
γ ἔ σ ἰ λ
ὦ ν α δ ἡ
σ ν ι ὦ ρ
ἡ η π σ ο
μ κ α ω ν
ε ἀ ρ' σ ο
ρ σ ἔ ο μ
ο ε μ ἰ
ν α ο τ α
γ ῖ ὅ ἡ ν
ε τ κ ν

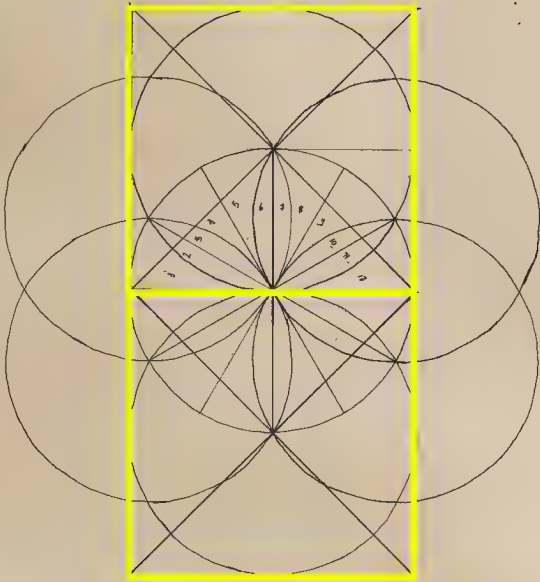
Fig. 11.5 Leaves follow Fibonacci both when growing off branches and stems and in their veins. Similar to a tree, leaf veins branch off more and more in the outward proportional increments of the Fibonacci Sequence. Leaves follow Fibonacci both when growing off branches and stems and in their veins. Similar to a tree, leaf veins branch off more and more in the outward proportional increments of the Fibonacci Sequence.

Παρατήρηση κατά την
τοποθέτηση Γραμμάτων σε
πίνακα

N [#]	Γ ₁	Γ ₂	Γ ₃	Γ ₄	Γ ₅	Γ ₆		Γ ₇	Γ ₈	Γ ₉
	1	2	3	4	5	6		7	8	9
1	Α	Β	Λ	Δ	Ε	Ϝ		Ι	Θ	Ϙ
2	Ι	Κ	Λ	Μ	Ν	Ξ		Ο	Γ	Ϛ
3	Ρ	Ξ	Τ	Υ	Φ	Χ		Ψ	Ω	ϣ
								Ϟ	8	
Sum	Πρόσθεση ακριανών αριθμών των (1-6) & (7-9) 1+...+6= 21 & 7+8+9=24									
	1 + 6 = 7 2 + 5 = 7 3 + 4 = 7							7 + 9 = 16 1 + 6 = 7		



1
1 (1/2)

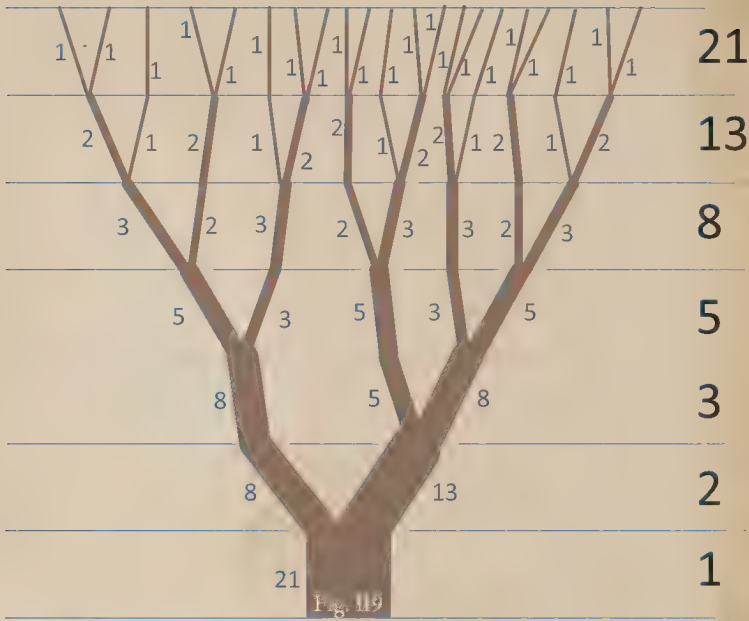


2. Πλινθηδόν.

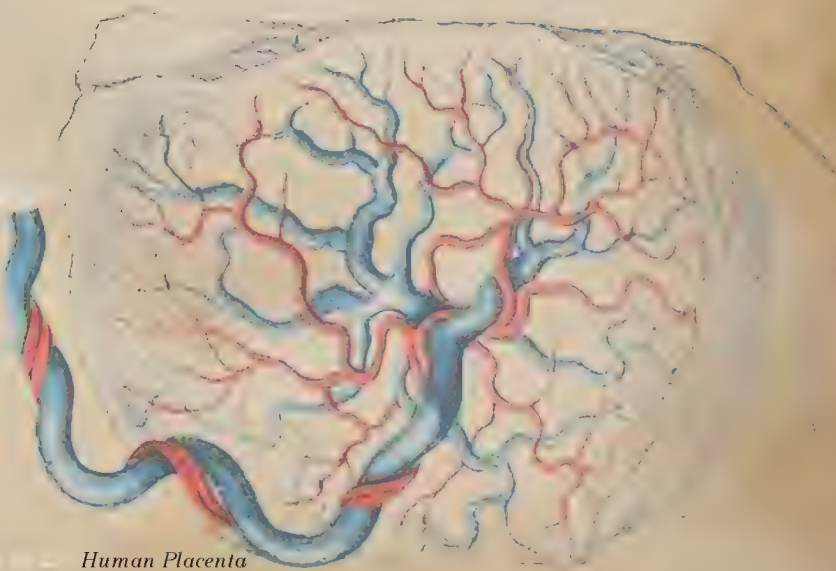
Κύριος εἶπε πρὸς
με· νῖός μου εἰ σὺ·
ἐγὼ σήμερον
γεννηθήσῃ
σε· αἰτῆσαι
παρ' ἐμοῦ καὶ
δώσω σοι ἔ.

4. Βουστροφηδόν.³

Κύριος εἶπε πρὸς με
ἀλλ' οὐ φησὶ αὐτῷ
γεννηθῆναι σε· αἰτῆσαι παρ' ἐμοῦ.



Fibonacci Tree



Human Placenta

"Discovery consists of looking at the same thing as everyone else and thinking something different."

Albert Szent Gyorgi



Leonardo Bonacci.
Engraving.

Ακολουθία Fibonacci & Lucas



ς παραδοχή λαμβάνεται ότι **οι ακολουθίες του Fibonacci**¹⁴⁵ (1, 1, 2, 3, 5, 8, 13, 21, ...) **& του Lucas** (2, 1, 3, 4, 7, 11, 18, ...) **ήταν γνωστές στην αρχαία εποχή**.¹⁴⁶ Για τα δεδομένα της μελέτης θεωρείται ότι, στον αρχαίο κόσμο αντιμετωπιζόνταν ως «απόκρυφες»/μυστικές¹⁴⁷ γνώσεις. Υπό την έννοια ότι ορισμένοι μυημένοι -και κατ' επέκταση τα ιερατεία- τις κατείχαν, λόγω της αυστηρής ιεραρχικής κοινωνικής οργάνωσης και το μυσταγωγικό πνεύμα¹⁴⁸ της εποχής, το οποίο εντοπίζεται ανεξαιρέτως σε όλους τους πολιτισμούς με παραγωγικό πνευματικό και αρχιτεκτονικό έργο.

Σύμφωνα με επιβεβαιωμένες πηγές η βασική ιδέα της αριθμητικής ακολουθίας του Fibonacci αποδίδεται στον Ινδό συγγραφέα Pingala (200 π.Χ.) που την ονομάζει 'mātrāmeru' ('Mountain of Cadence', ένα φανταστικό βουνό που υποθετικά βρίσκεται στο κέντρο της Γης), μελετώντας σανσκριτικά ρυθμικά μέτρα.¹⁴⁹

Παρατίθεται απόφιο το κείμενο της έρευνας του P. Singh:¹⁵⁰

"It gives a method for determining the numbers of variations (of a meter) having a definite number of gurus (or laghus)

from among the variations of the meter. It also establishes a relation between the sequence of binomial coefficients and the (so-called) Fibonacci numbers, thus providing an alternative method for the formation of these numbers. On the basis of the Hindi commentary, the text [Vyasa 1959, 41-42] may be analyzed. Initially (two rows of) two cells (each) are formed. (Next, two rows of 3, 4, etc., cells each are formed.) Unity is (written) in the last cells of these (rows). Again unity is (written) in the first cells (of the first, the third, the fifth) . . . , rows and 2, 3, 4. . . , in the first cells of the second, the fourth, the sixth, . . . , rows, in order. Every other cell is filled by (the sum of) the number lying above (that cell or above that cell to the left, added to) the number above the (latter number and to its right). Mātrāmeru for a meter of 7 morae and formed according to this rule is shown in Table III. Here unities have been kept in the last cells of all the rows. For an integer m , unities have been kept in the first cells of the $(2/n - 1)$ st rows, and $m + 1$ in those of the $(2m)$ th rows, $m = 1, 2, 3, \dots$ Thus, 1 has been kept in each of the first cells of the first, third, and fifth rows, while 2, 3, and 4 are in those of the contains the sum of the number lying above it and to the left with the number in the cell above the latter cell and to the right. Thus, for the second cell in the third row and the second and third cells in the fifth row, we have $2 + 1 = 3$, $3 + 3 = 6$, and $4 + 1 = 5$ as their entries;

145 (Rossi & Tout, 2002, σ. 101, 112). Νέες έρευνες περί της ακολουθίας του Fibonacci στην αρχαία εποχή. "The Fibonacci series and the Golden Section have often been used to explain the proportions of ancient Egyptian art and architecture. All such theories, however, are based on our modern mathematical system. They have never been examined in the realm of ancient Egyptian mathematics [...] In conclusion, on the basis of the available mathematical sources, we believe that there is no evidence to assume that, even if the Egyptians knew the Fibonacci numbers, the convergence of the succession of ratios would have been noticed and, even if it were, that it would have had any major impact on their mathematics and therefore on their architecture. In general, future studies on the proportions in ancient Egyptian architecture are likely to be more effective if they are founded on the extant ancient Egyptian mathematical sources. Adopting the cursive language is a necessary, even if not sufficient, condition for attempting a reconstruction of the ancient architectural theory and practice."

146 (Scott, & Marketos. 2014, σ. 23) "Some like Axel Hausmann claims the ancient Egyptians knew both the Fibonacci and Lucas numbers (same recursion formula but different starting point) [...]"

However, most scholars still refuse to believe the ancient Egyptians knew these numbers though recently C. Rossi hesitates to draw any conclusions one way or the other. We do not claim that the ancient Egyptians figured out the Fibonacci numbers, but given their universal presence in nature, it is quite possible that they recorded natural phenomena exhibiting these numbers." Axel Hausmann: Γερμανός φυσικός και πανεπιστημιακός καθηγητής, φιλόσοφος και ερασιτέχνης ιστορικός 147 Lenzi, A., & Neo-Assyrian Text Corpus Project. (2008). Secrecy and the gods: secret knowledge in ancient Mesopotamia and biblical Israel. Helsinki: The Neo-Assyrian Text Corpus Project.

148 (Παπανικολάου, 2021). "Μυστικισμός... πλάνη ή αλήθεια; Τι είναι η μυστική εμπειρία;" Σχόλιο: Κατά την αρχαία εποχή Μύστης λογιζόταν αυτός ο οποίος είχε μυηθεί σε κάποιο Μυστήριο, λ.χ. Ελευσίνια Μυστήρια και κατόπιν του αποκαλύπτονταν ορισμένα μυστικά, τα οποία ήταν άρρητα (ανείπωτα) προς το ευρύ κοινό. Εξ ου το ρήμα μύω/μυσώμαι με τις παράγωγες του λέξεις μύηση, μυσούμενος, μύστης, μυημένος, μυστήριο, μυστικό.

149 (Ramsay, 2011, σ. 64)

150 (Singh, 1985, σ. 236-237). Department of Mathematics, Raj Narain College, District-Vaishali (Bihar), India.

for a cell in the (2m)th row we use the sum of numbers in the cell just above it and in the cell above the latter cell

TABLE III

<i>dvikala</i>	<table><tr><td>1</td><td>1</td></tr></table>	1	1	= 2	(2 morae)		
1	1						
<i>trikala</i>	<table><tr><td>2</td><td>1</td></tr></table>	2	1	= 3	(3 morae)		
2	1						
<i>catuṣkala</i>	<table><tr><td>1</td><td>3</td><td>1</td></tr></table>	1	3	1	= 5	(4 morae)	
1	3	1					
<i>pañcakala</i>	<table><tr><td>3</td><td>4</td><td>1</td></tr></table>	3	4	1	= 8	(5 morae)	
3	4	1					
<i>ṣaṭkala</i>	<table><tr><td>1</td><td>6</td><td>5</td><td>1</td></tr></table>	1	6	5	1	= 13	(6 morae)
1	6	5	1				
<i>saptakala</i>	<table><tr><td>4</td><td>10</td><td>6</td><td>1</td></tr></table>	4	10	6	1	= 21	(7 morae)
4	10	6	1				

and to the right. Thus the numbers in the second cell of the fourth row and the second and third cells of the sixth row are $3 + 1 = 4$, $6 + 4 = 10$, and $5 + 1 = 6$.

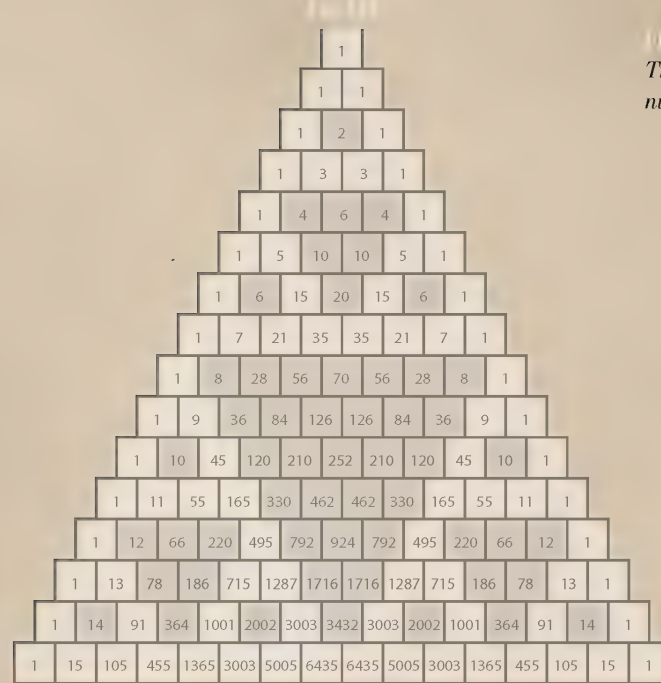
1 **A**ργότερα, συνδέθηκε με τον Ινδό “prosodist” (ραψωδό)
 1 Virahanka (περ. 700 μ.Χ.). Το έργο του, βασιζόμενο
 2 στο έργο του Pingala, παρουσιάζει πως προέκυψε η ακολουθία
 μέσω της ανάλυσης των μέτρων με μακρές και βραχείες
 συλλαβές.¹⁵¹ Αν και ο κανόνας που δίνει είναι κάπως
 ασαφής, όμως αναφέρει την ανάμειξη των παραλλαγών
 δύο προηγούμενων μέτρων για να ληφθεί ο επόμενος,
 ακριβώς όπως κάθε αριθμός της ακολουθίας Fibonacci
 ως το άθροισμα των δύο προηγούμενων.¹⁵² Στο έργο του
 ‘Chandahsutra’ (200 π.Χ.) απαρίθμησε τα πιθανά ποιητικά
 μέτρα ενός σταθερού αριθμού συλλαβών. Οι συλλαβές που
 κατέγραψε ήταν μία βραχεία (1 beat) ή μία μακρά (2 beats).
 Ταξινόμησε 16 διαφορετικά μέτρα τεσσάρων συλλαβών με
 τον ακόλουθο τρόπο:

- 1 μέτρο τεσσάρων βραχέων συλλαβών
- 4 μέτρα από τρεις βραχείες και μία μακρά
- 6 μέτρα δύο βραχείων και δύο μακρές
- 4 μέτρα από μία βραχεία και τρεις μακρές
- 1 μέτρο τεσσάρων μακρών

Ακολουθεί γράφημα των αποτελεσμάτων αναζητώντας ένα
 μοτίβο σύμφωνα με τον Dr. Hall:

Number of syllables	Number of patterns	Grouping of patterns
1		
2	4	
3	8	1 + 3 + 3 + 1
4	10	
5		1 + 5 + 10 + 10 + 5 + 1
6		1 + 6 + 15 + 20 + 15 + 6 + 1

Επομένως, παρατηρείται ότι ο αριθμός των μοτίβων που
 αποτελούνται από n συλλαβές είναι 2n. Επιπλέον, υπάρχει
 κάτι πολύ ενδιαφέρον που συμβαίνει με τις ομαδοποιήσεις
 των μοτίβων, συμπληρώνοντας τους αριθμούς αυτούς
 σε τριγωνική διάταξη δημιουργείται το επονομαζόμενο
 Τρίγωνο του Pascal.¹⁵³



Pascal's Triangle with even numbers shaded

Εν συνέχεια, αποτέλεσε τη βάση για ένα σχόλιο του
 λόγιου Gorala (περ. 1135 μ.Χ.), ο οποίος επανεξέτασε το
 πρόβλημα με μερικές λεπτομέρειες.¹⁵⁴ Δίδοντας στον
 Virahāṅka (c. 1150) το πρόσφορο έδαφος να διατυπώσει
 την ακολουθία, αφού εξέλιξε το τρόπο υπολογισμού
 των μορφών των mātrā-μέτρων, γράφοντας:¹⁵⁵

“The sum of the last and the one before the last is
 the number of forms of the next mātrā-foot.”

Έδωσε λοιπόν τον τύπο: $S_n = S_{n-1} + S_{n-2}$.



Thirteen ways of arranging long and short syllables in a cadence of length six, here shown with Cuisenaire rods of length 1cm and 2cm

151 (Ellenberg, 2021, σ. 238, 268-269, 294, 318, 322)
 152 (Livio, 2003, σ. 197)
 153 (Hall, n.d., σ. 3-4); πρβ (Shah, n.d., σ. 7)
 154 (Shah, n.d., σ. 11); πρβ (Koshy, 2011, σ. 6); πρβ. (“A

Short History of Fibonacci Numbers,” n.d.); (“The Fibonacci Sequence - Discovery,” n.d.)
 155 (Shah, n.d., σ. 11, 41); πρβ (Singh, 1985, σ. 234); πρβ (Hall, n.d., σ. 1)



Drawing of
Hemchandra based
on Vikram Samvat
1294 palm leaf.

Ακολουθώς, ο λόγιος μαθηματικός Hemachandra (περ. 1,150 μ.Χ.) συνέγραψε ένα κείμενο σύμφωνα με αυτά.¹⁵⁶ Ο Hemachandra (περίπου το 1,150 μ.Χ.) μελέτησε τους ρυθμούς της σανσκριτικής ποίησης. Οι συλλαβές στα σανσκριτικά είναι είτε μακρές είτε βραχείες. Οι μακρές συλλαβές έχουν διπλάσια αξία από τις βραχείες συλλαβές. Το ερώτημα που έθεσε είναι «Πόσα μοτίβα ρυθμού με δεδομένο συνολικό μήκος μπορούν να σχηματιστούν από μικρές και μεγάλες συλλαβές;»

Για παράδειγμα, πόσα σχέδια έχουν το μήκος πέντε βραχείων συλλαβών (δηλαδή πέντε "beats"); Υπάρχουν οκτώ:

SSSSS, SSSL, SSLs, SLSS, LSSS, SLL, LSL, LLS

Ως μοτίβα ρυθμού, αυτά είναι

xxxxx, xxxxx, xxx.x, xx.xx, x.xxx, xx.x, x.xx, x.x.x

Ουσιαστικά, ο αριθμός των μοτίβων ρυθμού με μήκος n είναι το άθροισμα του αριθμού των μοτίβων μήκους n-1 και των μοτίβων μήκους.¹⁵⁷

Στο παραπάνω πλαίσιο, ο υποφαινόμενος παραθέτει **μια παρατήρηση για το δακτυλικό εξάμετρο**, δηλαδή το στίχο της αρχαίας ελληνικής ποίησης: ηρωικής και διδακτικής. **Ο στίχος αυτός αποτελείται από 6 δακτύλους**. Ο δάκτυλος έχει δύο βραχείες συλλαβές («δισύλλαβο δίλογο»), οι οποίες δύναται να αντικατασταθούν από μία μακρά συλλαβή

(«μονοσύλλαβο δίλογο: [- -] = σπόνδειος») και μία μακρά συλλαβή, η οποία δεν αντικαθίσταται. Ο 6^{ος} δάκτυλος λαμβάνεται πάντα ως δισύλλαβος, με τη 2^η συλλαβή αδιάφορη.¹⁵⁸ Επομένως, ακολουθεί την μορφή:

1' UU 2' UU 3' UU 4' UU 5' UU 6' U

Όλοδάκτυλος: 1' U 2' U 3' U 4' U 5' U 6' U

Όλοσπόνδειος: 1' — 2' — 3' — 4' — 5' — 6' —

Σπονδειαίων: 1' U 2' U 3' U 4' U 5' U 6' —

Παραπάνω, αναφέρθηκαν τρεις από τις πολλές μορφές του εξάμετρου στίχου, αφού με την εναλλαγή δακτύλων και σπονδείων παρουσιάζεται μεγάλη ποικιλομορφία.

Φαίνεται, λοιπόν, ότι «ταυτίζεται» η διέπουσα λογική αυτών των μετρικών μορφών με την εν παρατάξει περιοδική ακολουθία των 60 ψηφίων της ακολουθίας του Fibonacci modulo 10 (10=modulus).

Επεξηγηματικά, η εναλλαγή της 1 μακράς συλλαβής («μονοσύλλαβο δίλογο») και των 2 βραχέων συλλαβών («δισύλλαβο δίλογο») συμβαδίζει με την εναλλαγή της ακολουθίας του ενός αρτίου αριθμού και των δύο περιττών αριθμών, όταν τα 60 ψηφία $[n(10)=6]$ τοποθετούνται σε πίνακα (μητρώο) ανά 15 κ.ο.κ. **Όπως κατά παρεμφερή τρόπο, συμβαίνει στην ανάλυση των σανσκριτικών ρυθμικών μέτρων.**

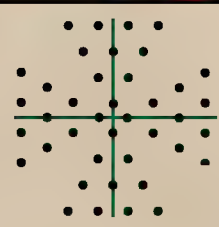
$F_n \pmod{10}$ $\{F_n\}_{n=1}^{\infty}$ $F_n = F_{n-1} + F_{n-2}$ $F_1 = F_2 = 1$ $F_0 = 0$ $n = N^* = \{1, 2, 3, \dots\}$ (OEIS A000045)														
Even	Odd	Odd	Even	Odd	Odd	Even	Odd	Odd	Even	Odd	Odd	Even	Odd	Odd
0	1	1	2	3	5	8	3	1	4	5	9	4	3	7
0	7	7	4	1	5	6	1	7	8	5	3	8	1	9
0	9	9	8	7	5	2	7	9	6	5	1	6	7	3
0	3	3	6	9	5	4	9	3	2	5	7	2	9	1

156 (Koshy, 2011, σ. 6); πρβ. ("A Short History of Fibonacci Numbers," n.d.); ("The Fibonacci Sequence - Discovery," n.d.)

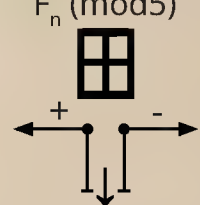
157 (Hall, n.d., σ. 1,2)

158 (Λυπουρλής, 2007, σ. 33-34)

	$(F_n \pmod{10}) \pmod{2}$ $\{F_n\}_{n=1}^{\infty}$ $F_n = F_{n-1} + F_{n-2}$ $F_1 = F_2 = 1$ $F_0 = 0$ $n = N^* = \{1, 2, 3, \dots\}$															
	Όλοδάκτυλος (με 5 τρισύλλαβους δακτύλους) $\frac{1'}{\text{—}} \cup \cup \frac{2'}{\text{—}} \cup \cup \frac{3'}{\text{—}} \cup \cup \frac{4'}{\text{—}} \cup \cup \frac{5'}{\text{—}} \cup \cup \frac{6'}{\text{—}}$															
$0 = \text{—}$ $1 = \cup$	—	∪	∪	—	∪	∪	—	∪	∪	—	∪	∪	—	∪	∪	
	0	1	1	0	1	1	0	1	1	0	1	1	0	1	1	
	0	1	1	0	1	1	0	1	1	0	1	1	0	1	1	
	0	1	1	0	1	1	0	1	1	0	1	1	0	1	1	
	0	1	1	0	1	1	0	1	1	0	1	1	0	1	1	
Sum1	0	8		0	8		0	8		0	8		0	8		$5 \times 8 = 40$
Sum3	0	1	1	0	1	1	0	1	1	0	1	1	0	1	1	20 20
Όλοδάκτυλος [0=—][1=∪]	—	∪	∪	—	∪	∪	—	∪	∪	—	∪	∪	—	∪	∪	— —
Sum2 (1+1+1+1)	0	4	4	0	4	4	0	4	4	0	4	4	0	2	2	2 2
Όλοσπόνδειος [0=—][1=∪]	—	—	—	—	—	—	—	—	—	—	—	—	—	—	—	— —
Sum3	0	1	1	0	1	1	0	1	1	0	1	1	0	2	2	2 2
Σπονειάξων [0=—][1=∪]	—	∪	∪	—	∪	∪	—	∪	∪	—	∪	∪	—	—	—	— —
Sum4	$40 = 5 \times 8 = 4 \times 10 = 40 = 2 \times 20$ Παρατήρηση: Το 40 είναι το άθροισμα των περιοδικών αριθμών του $F_n \pmod{5}$															

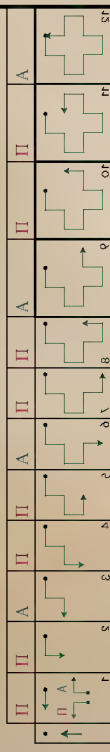


\longleftrightarrow

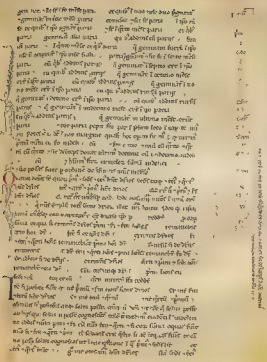
$F_n \pmod{5}$


\longleftrightarrow

⌘ (Mitchell, 1990, σ. 139 146). Δημιουργία αρχιτεκτονικού λεξιλογίου βασισμένο σε γραμματικούς κανόνες; πρβ (Stiny, 1977, σ. 89 92, 94 95). Ομοίως στην τέχνη, για την κατασκευή κινεζικών σχεδίων για παράθυρα και γρίλλες χρησιμοποιούνται συμβάσεις οριζόντιας παραμετρικής γραμμικής σχηματίων που παράγουν παραδοσιακά δικτυώματα. Τα οικότρωματα αυτά κατασκευάζονταν από το 1000 π.Χ. έως το 1900 μ.Χ.



$F_n \pmod{5}$ $\pi(5) = 20$ $F_n = F_{n-1} + F_{n-2}$ $F_1 = F_2 = 1$ $F_0 = 0$ $n = N^* = \{1, 2, 3, \dots\}$	0	1	1	2	3
	0	3	3	1	4
	0	4	4	3	2
	0	2	2	4	1
SUM	40				



A page of

Fibonacci's Liber

Abaci from the

Biblioteca Nazionale

di Firenze showing

(in box on right) the

Fibonacci sequence

with the position in

the sequence labeled

in Latin and Roman

numerals and the

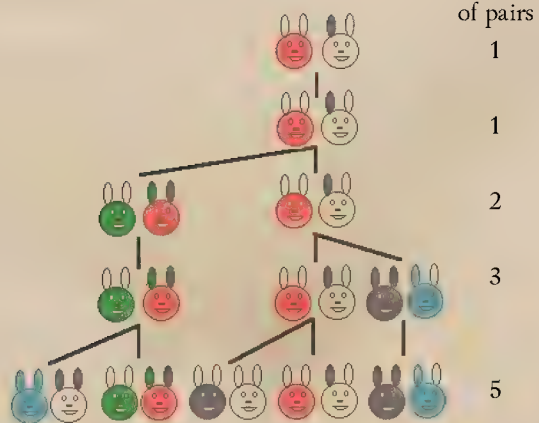
value in Hindu-Arabic

numerals.

Σε δυτικό επίπεδο, η ακολουθία Fibonacci εμφανίζεται στην πραγματεία "*Liber Abaci*" (*The Book of Calculation*) από τον Leonardo Bonacci ή Leonardo of Pisa, γνωστό ως Fibonacci, το 1,202 μ.Χ. Ο Leonardo εξετάζει την ανάπτυξη ενός εξιδανικευμένου (βιολογικά μη ρεαλιστικού) πληθυσμού κουνελιών, υποθέτοντας ότι: ένα νεογέννητο ζευγάρι κουνελιών που αναπαράγονται τοποθετούνται σε ένα χωράφι. Κάθε ζευγάρι αναπαραγωγής ζευγαρώνει στην ηλικία του ενός μηνός και στο τέλος του δεύτερου μήνα γεννά πάντα ένα άλλο ζευγάρι κουνελιών και τα κουνέλια δεν πεθαίνουν ποτέ, αλλά συνεχίζουν να αναπαράγονται επ' άπειρον.¹⁵⁹

Ο γρίφος που είχε διατυπώσει ήταν: «Πόσα ζευγάρια θα υπάρχουν σε ένα χρόνο»

- Στο τέλος του 1^{ου} μήνα ζευγαρώνουν, όμως ήδη υπάρχει ακόμα 1 ζευγάρι.
- Στο τέλος του 2^{ου} μήνα το θηλυκό παράγει ένα νέο ζευγάρι, έτσι τώρα υπάρχουν 2 ζευγάρια κουνελιών στο χωράφι.
- Στο τέλος του 3^{ου} μήνα, το αρχικό θηλυκό παράγει ένα 2^ο ζευγάρι, κάνοντας 3 ζευγάρια συνολικά στο χωράφι.
- Στο τέλος του 4^{ου} μήνα, το αρχικό θηλυκό γέννησε 1 ακόμη νέο ζευγάρι, το θηλυκό που γεννήθηκε πριν από δύο μήνες παράγει επίσης το πρώτο του ζευγάρι, κάνοντας 5 ζευγάρια.



Σε έναν αυξανόμενο πληθυσμό, ο αριθμός των ζευγών κουνελιών σχηματίζει την ακολουθία Fibonacci. Στο τέλος του 9^{ου} μήνα, ο αριθμός των ζευγών είναι ίσος με F_9 .¹⁶⁰ Σύμφωνα με τον τύπο:

$$F_n = F_{n-1} + F_{n-2} \quad F_1 = F_2 = 1 \quad F_0 = 0 \\ n = N^* = \{1, 2, 3, \dots\}$$

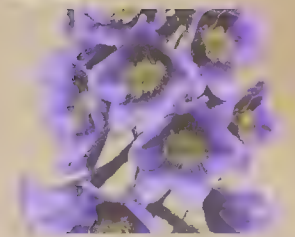
Αναμφίβολα, η ακολουθία του Fibonacci είναι μια πολύ αρχαία γνώση, η οποία υιοθετήθηκε στην Αναγέννηση της Ευρώπης μέσω της μελέτης της αραβικής επιστήμης.¹⁶¹

Οι ποσότητες των αριθμών της ακολουθίας αυτής συναντώνται στη φύση. Για παράδειγμα, στον αριθμό των πετάλων πολλών φυτών: μερικά δελφίνιουμ έχουν 8 ή 5, ενώ οι μαργαρίτες μπορούν να βρεθούν με 34, 55 ή ακόμα και 89 πέταλα.¹⁶²



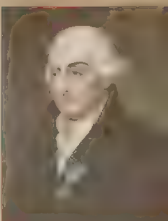
Leucanthemum

vulgare



Delphinium elatum

Όπως, επίσης και στον άνθρωπο: 2 χέρια καθένα από τα οποία αριθμούν 5 δάκτυλα. Κάθε άκρο (άνω και κάτω) χωρίζεται σε 3 μέρη (λ.χ. για το άνω άκρο: χέρι, αντιβραχίονας, βραχίονας), το ανθρώπινο σώμα χωρίζεται πάλι σε 3 μέρη βάση (πόδια), κορμός, στέψη (κεφάλι) κ.ο.κ.¹⁶³ Παρακάτω, παρατίθεται μια προσωπική παρατήρηση, η οποία βασίζεται στα αθροίσματα των περιοδικών ακολουθιών που σχηματίζουν τα υπόλοιπα για modulus 10, δηλαδή $f_n \pmod{10}$,¹⁶⁴ τα οποία ισοδυναμούν με τον αριθμό των ανθρώπινων οστών στο σχέδιο της αξονικής και περιφερειακής χώρας του απεικονιζόμενου σκελετού. Η περιοδικότητα των 60 ψηφίων της ακολουθίας είναι επόμενο να παράγει ανάλογα αθροίσματα, λόγω της δυνατότητας που παρέχεται από τον μεγάλο αριθμό των περιοδικών ψηφίων. Επομένως, ορισμένα αθροίσματα, ως ευνοϊκές περιπτώσεις, θα ταυτίζονται με τον αριθμό των οστών. Ωστόσο, παρατίθενται εδώ, επειδή παρουσιάζεται η πρώτη γενική ιδέα των πινάκων, οι οποίοι χρησιμοποιούνται προς το τέλος.



Joseph-Louis (Giuseppe Luigi), comte de Lagrange. Steel Engraving, English, 1833. Poster Print by Granger Collection, New York

159 ("Fibonacci's Liber Abaci (Book of Calculation)," 2009); πρβ ("The Fibonacci Numbers and Golden section in Nature - 1,"; (Livio, 2003, σ. 123)

160 ("The Fibonacci Numbers and Golden section in Nature - 1," n.d.)

161 (Rozencwajg NMD, 2017, σ. 54)

162 ("The Fibonacci Numbers and Golden section in Nature -

1," n.d.)

163 ("The Fibonacci Numbers and Golden section in Nature - 1," n.d.)

164 (Fulton, Morris, 1969, σ. 105). Σημειώνεται ότι η ύπαρξη περιοδικών συναρτήσεων στους αριθμούς Fibonacci σημειώθηκε από τον Joseph Louis Lagrange (Ιταλός μαθηματικός και αστρονόμος) το 1774.

Vitruvius "Ten Books of Architecture" [III.

Ch. I - On symmetry. 2.3]:

«2. For the human body is so designed by nature that the face, from the chin to the top of the forehead and the lowest roots of the hair, is a tenth part of the whole height; the open hand from the wrist to the tip of the middle finger is just the same; the head from the chin to the crown is an eighth, and with the neck and shoulder from the top of the breast to the lowest roots of the hair is a sixth; from the middle of the breast to the summit of the crown is a fourth. If we take the height of the face itself, the distance from the bottom of the chin to the under side of the nostrils is one third of it; the nose from the under side of the nostrils to a line between the eyebrows is the same; from there to the lowest roots of the hair is also a third, comprising the forehead. The length of the foot is one sixth of the height of the body; of the forearm, one fourth; and the breadth of the breast is also one fourth. The other members, too, have their own symmetrical proportions, and it was by employing them that the famous painters and sculptors of antiquity attained to great and endless renown.

3. Similarly, in the members of a temple there ought to be the greatest harmony in the symmetrical relations of the different parts to the general magnitude of the whole. Then again, in the human body the central point is naturally the navel. For if a man be placed flat on his back, with his hands and feet extended, and a pair of compasses centred at his navel, the fingers and toes of his two hands and feet will touch the circumference of a circle described therefrom. And just as the human body yields a circular outline, so too a square figure may be found from it. For if we measure the distance from the soles of the feet to the top of the head, and then apply that measure to the outstretched arms, the breadth will be found to be the same as the height, as in the case of plane surfaces which are perfectly square. » (Vitruvius Pollio, 1914, pp. 72-73)

The Axial and Appendicular Skeleton

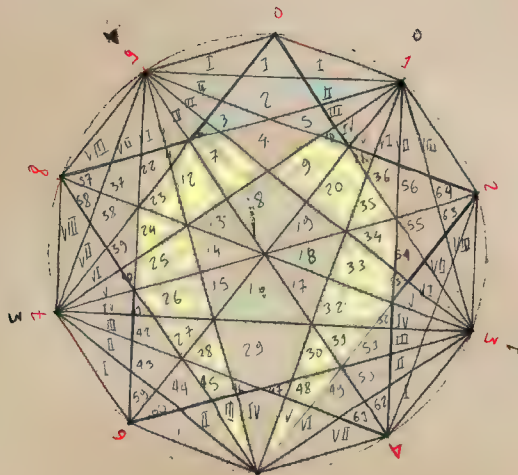
Έστω κύκλος με ισαπέχοντα σημεία 0,1,2,3,4,5,6,7,8,9.

Ένωση των σημείων σύμφωνα με την εν σειρά παρατάξει των ψηφίων της περιοδικής ακολουθίας $f_n(\text{mod}10)$ Παραγωγή του ακόλουθου σχεδίου, το οποίο ταυτίζεται με τις ανθρώπινες αναλογίες:

Τμήματα

Έστω αστέρι: $6+4=10 \rightarrow 1-0=1$

Έστω αστέρι: $39 \rightarrow 3+9=12 \rightarrow 1-2=3$



	$F_n(\text{mod}5)$				
	$F_n = F_{n-1} + F_{n-2}$				
	$F_1 = F_2 = 1 \quad F_0 = 0$				
	$n = N^* = \{1, 2, 3, \dots\}$				
	(OESIS 082116)				
	a	b	c	d	e
1	0	1	1	2	3
2	0	3	3	1	4
3	0	4	4	3	2
4	0	2	1	4	1
SUM	0	10	10	10	10

SUMS I			
	a	d+e	d+e
1	0	2	5
2	0	6	5
3	0	8	5
4	0	3	5
SUM	0	20	20

SUMS II		
	a	b+c+d+e
1	0	7
2	0	11
3	0	13
4	0	7
SUM	0	40

	$F_n(\text{mod}10)$ $F_n = F_{n-1} + F_{n-2}$ $F_1 = F_2 = 1$ $F_0 = 0$ $n = N^* = \{1, 2, 3, \dots\}$														
	a	b	c	d	e	f	g	h	i	j	k	l	m	n	o
1	0	1	1	2	3	5	8	3	1	4	5	9	4	3	7
2	0	7	7	4	1	5	6	1	7	8	5	3	8	1	9
3	0	9	9	8	7	5	2	7	9	6	5	1	6	7	3
4	0	3	3	6	9	5	4	9	3	2	5	7	2	9	1

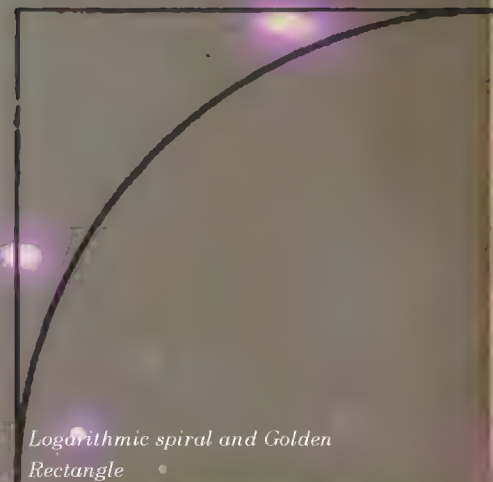
SUMS I					
	a	b+c+d+e	f	g+h+i+j	k+l+m+n+o
1	0	7	5	16	23
2	0	19	5	22	21
3	0	33	5	24	17
4	0	21	5	18	19
Sum1	0	80	20	80	80

SUMS II (I)			
	a+b+c+d+e	f+g+h+i+j	k+l+m+n+o
1	7	21	28
2	19	27	26
3	33	29	22
4	21	23	24
Sum1	80	100	100

SUMS III (I)			
	a	b+c+d+e+f	g+h+i+j+k+l+m+n+o
1	0	23	21
2	0	24	27
3	0	38	29
4	0	26	23
Sum1	0	100	100

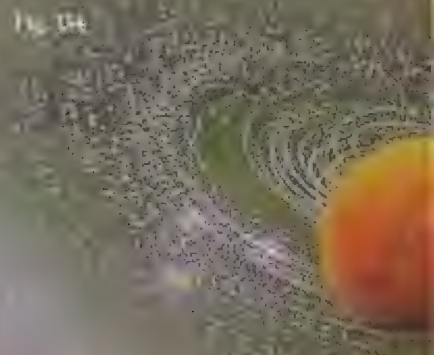
SUMS I					
	a	b+c+d+e	f	g+h+i+j	k+l+m+n+o
1	0	7	5	16	23
2	0	19	5	22	21
3	0	33	5	24	17
4	0	21	5	18	19
Sum1	0	80	20	80	80

Fig. 130: ("The Fibonacci Numbers and Golden section in Nature," n.d.-61) Fibonacci's mathematics also be seen in the arrangement of seeds on flowers. As we know, we see that the seeds spiral outwards to form spirals either to the left and to the right. If we look at the flower, if we count the spiralling to the right as 21, and outwards, there are 34 spirals, and 55 spirals towards the center, and you can count 89 spirals. How many spirals go the other way at these places? You will see that the pair of numbers (counting spirals in curving left and curving right) are consecutive in the Fibonacci series.



Logarithmic spiral and Golden Rectangle

Fig. 131 (Livio, 2002, p. 107) Schematic, continuous of the seed-bearing parts on the line of a typical pinna. Line 1 shows one of the 12 clockwise spirals, and line 6 shows one of the 3 counter-clockwise spirals.



Continued Spiral and Golden Triangle

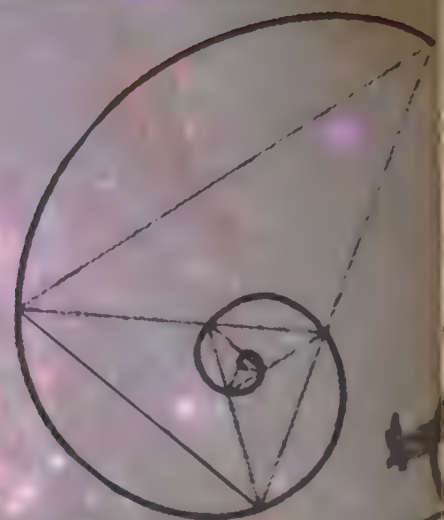


Fig. 132

Fig. 132 (Livio, 2002, p. 107) The logarithmic spiral is a manifestation of the Golden Proportion. The spiral pattern of the sunflower's seeds is a manifestation of the Golden Proportion. The Golden Proportion is a mathematical constant, approximately 1.618033988749895, which is found in many natural phenomena. The Golden Proportion is also known as the Golden Ratio or the Golden Mean.



Fig. 136

(a)

Fig. 137 Electron density patterns of the
butterfly nebula (M 64, NGC 1515)
showing a spiral structure.

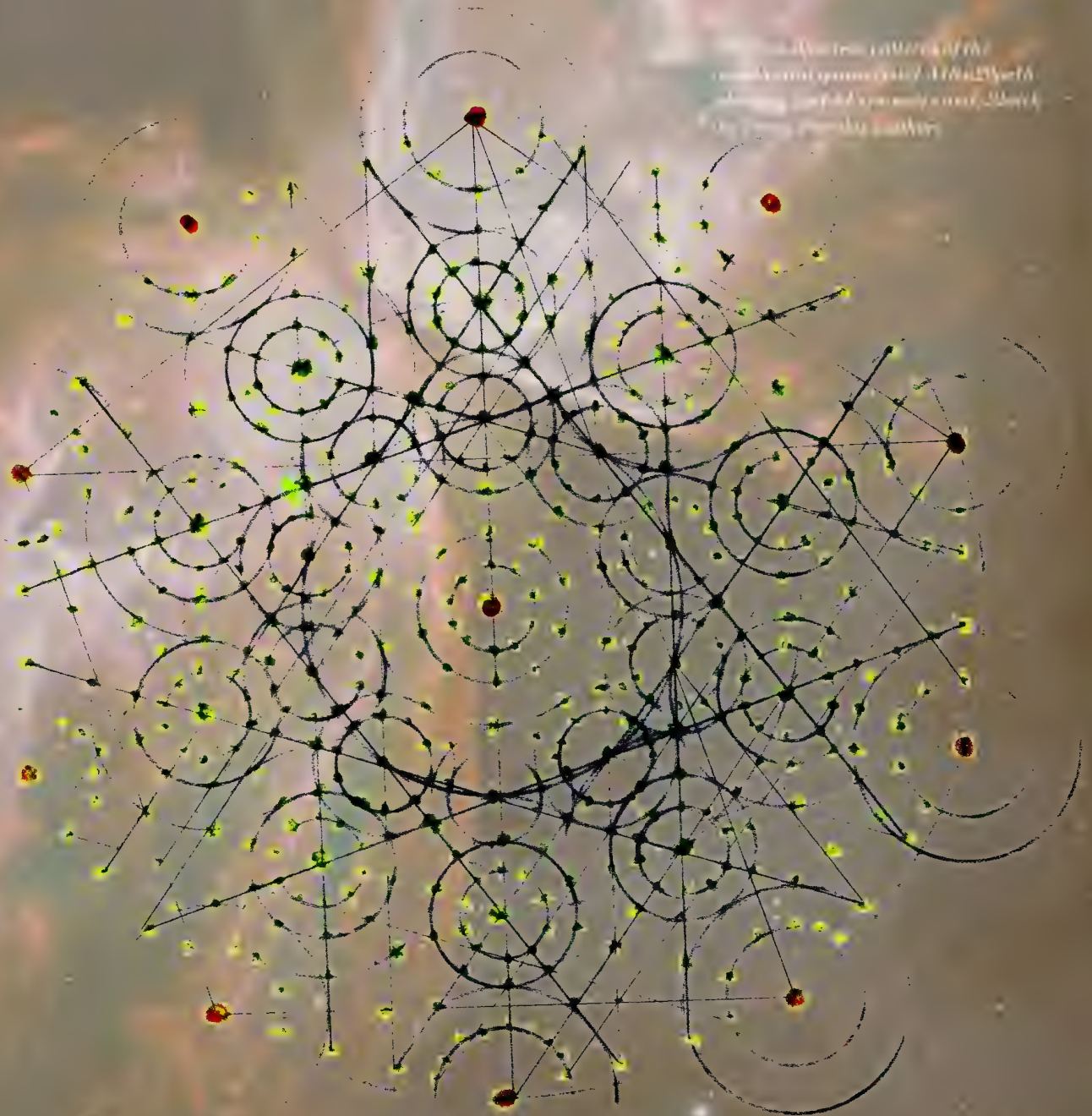


Fig. 138 Electron density patterns of the
butterfly nebula (M 64, NGC 1515)
showing a spiral structure.



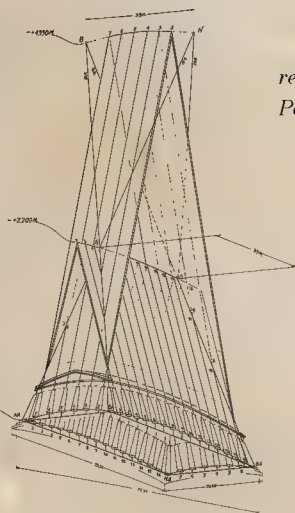
Στην περίπτωση των μαθηματικών γνώσεων του Ελλαδικού του χώρου σε επίπεδο αρχιτεκτονικής, αντιπαραβάλλοντας τα λεγόμενα:

(α) του κ. Κυριαζή Πιτιλάκη, καθηγητή του Τμήματος Πολιτικών Μηχανικών της Πολυτεχνικής Σχολής του Α.Π.Θ.,

«Πρόκειται για ένα ασύλληπτο δημιούργημα με ιδιοφυείς λύσεις σε ανυπέρβλητα προβλήματα μηχανικής και κατασκευαστικής διαδικασίας [...] Ο σπονδυλωτός κίονας, πέρα από τα προφανή στοιχεία οικονομίας και ευφυούς μεταφοράς και κατασκευής είναι ένα ιδιοφυέστατο πρότυπο μηχανικής, με καταπληκτικές ιδιότητες σεισμικής συμπεριφοράς»,¹⁶⁵

(β) της Πολιτικού Μηχανικού Νίκη Τιμοθέου ότι σύμφωνα με μελέτες της αρχιτεκτονικής και της δομικής του φόρμας, κατέδειξαν πως οι αρχαίοι είχαν ανακαλύψει, αυτό που σήμερα ονομάζουμε σεισμική μόνωση,¹⁶⁶

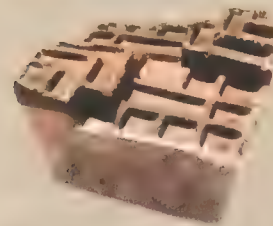
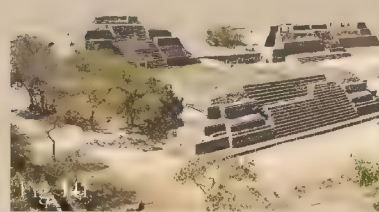
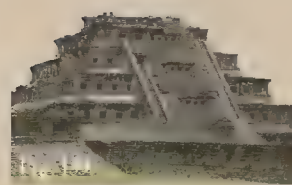
(γ) τα σχέδια του Μανόλη Κορρέ, Ομότιμου Καθηγητή του Τμήματος Αρχιτεκτόνων Μηχανικών του Ε.Μ.Π.¹⁶⁷



The optical refinements of the Parthenon

Εύλογα μπορεί να σκεφτεί κάποιος το ακόλουθο: «ήταν αρκετά πιθανή η χρήση ενός δεκαδικού συστήματος αρίθμησης, εξαιτίας όλης αυτής της πολυπλοκότητας των μνημείων» όπως στην περίπτωση του Παρθενώνα με την ευφυή επίλυση των στατικών, τις ανεπαίσθητες καμπυλότητες του σχεδιασμού κτλ.,» όπως έχει σημειώσει ο Γάλλος Μαθηματικός Jean-Étienne Montucla.¹⁶⁸ Ακολουθώντας, μία εξέταση των αποκομμένων μνημείων των αρχαίων πολιτισμών της Αμερικής διεγείρει ανάλογα ερωτηματικά.

Εκ της αρχιτεκτονικής των Olmec (1,200-400 π.Χ.), των Maya (500 π.Χ. - 800 μ.Χ.), των Zapotec (500 π.Χ. - 750 μ.Χ.), της αυτοκρατορίας Tiwanaku (550-950 μ.Χ.)¹⁶⁹, των Inca (1,250-1,532 μ.Χ.) και των Αζτέκων (1,430-1,521 μ.Χ.)¹⁷⁰ φαίνεται ότι σηματοδοτείται ένα βελτιστοποιημένο σύστημα αρίθμησης -δεκαδικό(-) και πιθανών γνώσεων των ακολουθιών του Fibonacci και Lucas. Οι γνώσεις αυτές θεωρούνται παράλληλες με την χρησιμοποίηση άλλου αριθμητικού συστήματος, καθότι ως εργαλεία εξυπηρετούσαν διαφορετικούς σκοπούς κάθε φορά.



Κοινό τόπο αποτελεί ότι το κάθε μεμονωμένο εργαλείο δύναται να παράγει διαφορετικά, γρήγορα και μοναδικά αποτελέσματα. Το γεγονός τούτο συναντάται στα τεχνικά επαγγέλματα, στην περίπτωση μιας οικοδομής, ευνόητο είναι ότι ένα ηλεκτρικό τρυπάνι («δράπανο») παράγει περισσότερο έργο από ένα κατσαβίδι χειρός. Επίσης, ένα πινέλο δεν παράγει το ίδιο αποτέλεσμα με ένα δράπανο, όμως τηρείται μία σειρά ως προς τις οικοδομικές εργασίες, δηλαδή στην περίπτωση μιας επιτοίχειας βιβλιοθήκης χωρίς ξύλινη πλάτη προηγείται ο ελαιοχρωματισμός έναντι του βιδώματος της στον τοίχο, επειδή εξυπηρετεί τον γρηγορότερο χρόνο παράδοσης του έργο από τα συνεργεία. Κατ' αναλογία, συσχετίζοντας το ρόλο των εργαλείων,

165 ("Ακρόπολη: ο ιδιοφυής αντισεισμικός σχεδιασμός της την κρατά... όρθια 25 αιώνες," 2015)

166 (Το μυστικό που κρατάει τον Παρθενώνα όρθιο επί 2.500 χρόνια, 2014)

167 (Τουρνικιώτης, 1994, σ. 47)

168 (Ifrah, 2000, σ. 360)

169 ("Pumapunku," n.d.)

Olmec city: In 1200 B.C. San Lorenzo become a ceremonial. It held over 13,000 people. One of the oldest cities are still standing.

El Castillo (pyramid of Kukulcán) in Chichén Itzá.

Monte Alban - the ruins of the Zapotec civilization in Oaxaca, Mexico.

Tiwanaku Tiahuanaco, Pre-Columbian Archaeological Site, Bolivia, Chacana.

An Incan yupuna, an instrument whose purpose is still unclear, though it may have been used for making arithmetic calculations. (De Pasquale n.d.; Aimi and De Pasquale n.d.; De Pasquale and Aimi 2003a, 2003b). Their examination of fifteen preserved yupuna indicates that they are all either base-10 or base-40. They infer that the calculating device was based on a Fibonacci sequence, in which each number is the sum of the prior two, and provides examples of how the calculations could have worked that coincide with Acosta's observations. This suggestion is novel and as yet unproven.

Late Postclassic. Diameter 3.60 meters. Aztec (Mexico) Gallery, INAH, National Museum of Anthropology, Mexico City. Complete indexed photo collection at WorldHistoryPics.com.

δηλαδή ενός τεχνικού ζητήματος με το ρόλο δύο αριθμητικών συστημάτων, λ.χ. του Ακροφωνικού και του Αλφαβητικού της Κλασικής Εποχής, γίνεται κατανοητή η ύπαρξη δύο ή περισσότερων για διαφορετικούς σκοπούς.

Διευκρινιστικά, εκ των γνώσεων αυτών καθίσταται δυνατή η συμβολή στη δημιουργία καλαίσθητων νέων πόλεων, κτηρίων, αντικειμένων κτλ. σε «ελάχιστο» χρόνο με την απουσία της ενστικτώδους ευμορφίας και χωροθέτησης· αρκούντως μία ομάδα ανθρώπων να δύναται να τις εφαρμόσει ορθά ανά το δεδομένο πρόβλημα.

Επιπροσθέτως, ως γνωστόν, εξ αρχαιοτάτων χρόνων οι πολιτισμοί (Σουμέριοι, Βαβυλώνιοι, Έλληνες, Ακκάδες, Αιγύπτιοι) είχαν αντιληφθεί ότι οι αριθμοί εκτός του ότι περιγράφουν ποσότητες, δομούν τον κόσμο/σύμπαν μας. Επομένως, δύναται να αποτελέσουν τα συστατικά μέρη που δημιουργούν όλη αυτή τη πολυπλοκότητα των γεωμετρικών σχημάτων, ως αποτέλεσμα μιας ενδελεχούς μελέτης/διερεύνησης του κόσμου των μαθηματικών και της γεωμετρίας.

Αυτή η κοσμοθεωρία, πέραν των γραπτών κειμένων, μπορεί να εντοπιστεί παρατηρώντας την αρχιτεκτονική των μνημείων. Αναλογιζόμενος κάποιος τις αντιστοιχίες των συμβολισμών της βυζαντινής¹⁷¹ και της αναγεννησιακής¹⁷² ναοδομίας (αφού οι αρχιτέκτονες κάθε φορά επιδίδονται στη μελέτη του παρελθόντος), λ.χ. με την τριμερή οργάνωση των ιερών μνημείων και αναγεννησιακών πινάκων:

όπως, στην τριμερή διάρθρωση των κυρίων επάλληλων επιπέδων και της εισόδου του μνημείου “The Great Ziggurat” του Ur στο Iraq (3^η – 2^η χιλ. π.Χ.).¹⁷³



στο τριμερές άνοιγμα του “The mastaba of Queen Meresankh III”¹⁷⁴ (ως ταφική λατρεία, μισό 3^ο χιλ. π.Χ.), στο “White Chapel” του Karnak της Αιγύτου (2^η χιλ. π.Χ.),



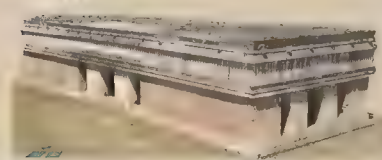
στη τριμερή διάρθρωση της όψης του “Temple of Isis” του νησιού Philae της Αιγύπτου (4^{ος} αι. π.Χ.),¹⁷⁵



στο τριμερές άνοιγμα του “Temple Kailasanatha” της Ινδίας (8^{ος} αι. μ.Χ.),¹⁷⁶



στα τριμερή ανοίγματα των όψεων του “Turtle House” που τοποθετείται στο “Παλάτι του Κυβερνήτη” της πόλης Uxmal των Mayans, Mexico, (7^{ος} – 10^{ος} αι. μ.Χ.),¹⁷⁷



στο τριμερές άνοιγμα του “Temple of Sun Coricancha” του Peru (15^{ος} αι. μ.Χ.),¹⁷⁸



στο τριμερές άνοιγμα της κύριας (Βόρειας) πύλης του συγκροτήματος Ρωμαϊκών ναών της Baotocceca (σήμερα Hosn Sulayman στη Συρία),



και στους πίνακες ζωγραφικής όπως στο “Μυστικό Δείπνο” του Leonardo Da Vinci, 1495 – 1498 μ.Χ., με το χαρακτηριστικό τριμερές άνοιγμα του κτηρίου στο παρασκήνιο και την ομαδοποίηση των μαθητών σε τριάδες με τους συνακόλουθους συμβολισμούς και κώδικες υπό την αρωγή της “μυστικής” γεωμετρίας των αναγεννησιακών προτύπων¹⁷⁹ κτλ.



170 (“These 10 Ancient American Civilizations Were Vast, Incredible Empires,” 2019)

171 (Π.Α. Μιχαήλ, 2006, σ. 41-145)

172 (Smith & Smith, 2020, σ. 50-53); πρβ (Geometry in Art & Architecture Unit 8, n.d.)

173 Jarullah, Abbas (n.d.). Fig. 1. v

(Dunham & Simpson, 1974)

175 (“Philae,” 2019)

176 (Kanchi Kailasanathar Temple, 2022)

177 (“Uxmal | archaeological site, Mexico,” n.d.)

178 (Temple of Sun Coricancha Peru, 2022)

Εν συνέχεια, στην αρχαία Ελληνική γραμματεία ντύπωση προκαλεί ένα εκ των 147 δελφικών παραγγεμάτων «Ἄρρητα μὴ λέγε» (Να μη λες τα ανείπωτα),¹⁸⁰ καθώς διερωτάται κάποιος «ποιά είναι αυτά τα ανείπωτα της εποχής;», αλλά και η γνωστή ρύση του Πυθαγόρα «Οὐ τα πάντα τοῖς πάσι ρητά» (Δεν τα λένε όλα σε όλους), ο οποίος όπως αναφέρθηκε στην προηγούμενη μελέτη είχε γνώσεις μαθηματικών, γεωμετρίας, μουσικής και αστρονομίας.

Σε παραλληλισμό με την σχετικά πιο πρόσφατη ιστορία, το 1,762 μ.Χ. ο Gaspard Monge (Γάλλος μαθηματικός) ανακαλύπτει την παραστατική γεωμετρία, η οποία αποτέλεσε, μία άκρως μυστική γνώση, γιατί επίλυε κατασκευαστικά προβλήματα αναγκάζων οχυρωματικών έργων. Ουσιαστικά βελτιστοποίησε την προσέγγιση της επίλυσης των γεωμετρικών προβλημάτων και ελαχιστοποίησε δραματικά τον χρόνο τους με τους προϋπάρχοντες σύνθετους επίπονους υπολογισμούς.¹⁸¹

Ακολουθώντας, αναζητώντας σωρεία από επιστημονικές μελέτες, στις οποίες παρατηρούνται ότι οι μεγαλιθικές κατασκευές -όλων των πολιτισμών- αντιστοιχίζονται με αστερισμούς, τον ήλιο και τα 4 σημεία του ορίζοντα, κάποιος θα μπορούσε να υποθέσει ότι, μέρος των «μυστικών» πρέπει να ήταν οι μαθηματικές γνώσεις που υποβοηθούσαν αφενός μεν στην ανάπτυξη του πολιτισμού και αφετέρου δε στην άμυνα του από εχθρικές επιθέσεις. Έπειτα, διεγείρονται ακόμα πιο πολλά ερωτηματικά μελετώντας τις κατόψεις κατοικιών της Μεσοποταμίας (Εικ. 154), με το πρίσμα ενός εξασκημένου σχεδιαστή: ο οποίος μπορεί να διαβάσει τη λογική της επανάληψης του μοτίβου (1,1,2)-μεταφρασμένο σε γεωμετρικά σχήματα: «ορθογωνίων» και «τετραγώνων». Προφανώς, η ανισοκατανομή στις διαστάσεις προέρχεται από τις μετρήσεις και τις χωροθετήσεις με πρωτόλεια εργαλεία, συνυφασμένες με τις λειτουργικές ανάγκες: στην περίπτωση απουσίας συμπτώσεων. Επιπλέον, αν κάποιος συμφωνήσει με επιφύλαξη ότι ο σχεδιασμός και η τοποθέτηση των μνημείων στο πεδίο ήταν μελετημένες σχεδιαστικές επιλογές του απώτατου παρελθόντος, γεννιούνται τα ακόλουθα ερωτήματα:

«Είναι απορίας άξιον πως κατάφεραν να προσανατολίσουν μεγαλιθικές κατασκευές με τόση μεγάλη ακρίβεια στον ήλιο και σε αστερισμούς, αλλά δεν γνώριζαν τις ακολουθίες Fibonacci & Lucas με συνακόλουθες διερευνήσεις, δηλαδή την πρόσθεση της μονάδας και του μηδενός ή της δυνάδας και της μονάδας κατ' αντιστοιχία;» Ακόμα έστω και μεταφρασμένα σε γεωμετρικά σχήματα.

«Όλοι αυτοί οι πολιτισμοί δεν μελετούσαν επί παντός επιστητού;»

«Πώς είναι δυνατόν να οργανώνεις τόσο μεγάλα εργοτάξια και μεγαλιθικές κατασκευές με θεμελιώσεις, χωρίς να έχεις σχεδιάσει τις στάθμες του εδάφους, συμπεριλαμβάνοντας την έννοια του μηδενός; Μήπως κάποιες από τις μεγάλες ανακαλύψεις που είχαν πραγματοποιηθεί στο παρελθόν και βίωσαν την ακμή τους λόγω αυτών, δεν έφθασαν σε έντυπη μορφή στο σήμερα;»

«Μήπως οι λεηλασίες κατέστρεφαν την κεκτημένη γνώση, δίχως να γνωρίζουν τι πλήγμα προκαλούσαν στην εξέλιξη της ανθρωπότητας;» Τρανό παράδειγμα είναι η καταστροφή της βιβλιοθήκης της Αλεξάνδρειας όπου καιγόntonταν για μέρες πάυροι προς θέρμανση χώρων, λουτρών για 6 μήνες.¹⁸²

Ανιχνεύοντας την σύνθεση των πλατωνικών στερεών γεννάται η ακόλουθη εύλογη απορία: «πώς είναι δυνατόν να συντίθενται πολύγωνα -τρίγωνα, τετράγωνα, πεντάγωνα και εξαγωνα- κατά πολύπλοκο τρόπο, χωρίς πρωτίστως κάποιος να έχει προβεί σε διερευνήσεις ακολουθιών αριθμών, οι οποίες πιθανώς συνθέτουν αυτά τα πολύγωνα δια των εξαγόμενων νέων ακολουθιών με την χαρακτηριστική ιδιότητα της περιοδικότητας των ψηφίων τους;» Εφορμώντας από αυτή την ερώτηση, στην επόμενη σελίδα παρατίθενται μερικά απλά παραδείγματα αναγωγών σε κύκλο αριθμητικών περιοδικών ακολουθιών ενός δεκαδικού συστήματος αρίθμησης ή ενός αλφαβητικού.



Original lithography of Gaspard Monge by François-Séraphin Delpech. Lithograph. Original Artist: Henri-Joseph Hesse, 1781-1849. Print Artist: François-Séraphin Delpech, 1778-1825. Facade of icosahedron



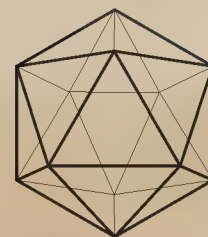
Clay tablet with the floor plan of a house from Umma (Djokha) in double lines, with room dimensions (Ur III period, 12 cm x 11.3 cm). Photo left: front, right: back (Berlin, Vorderasiatisches Museum, HQ VAT 07031, Olaf Tessmer).



(a) Icosahedron.

(b) Facade of icosahedron. 3D

Modeling. Blender (free software.) By Petros Petrakis (author)



179 (Bauer & Labonté, n.d.); πρβ (10 Facts You Don't Know about the Last Supper by Leonardo Da Vinci, 2010)

180 ("Ελληνικά Ρητά," n.d.)

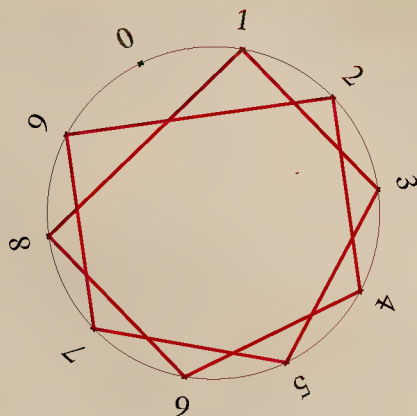
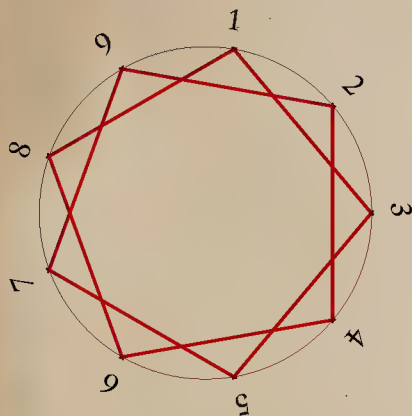
181 ("Gaspard Monge, count de Péluse / French mathematician and public official," 2020); Πρβ. (Κουρνιάτη & Κουρνιάτης, 2012, σ.

47)

182 ("Show: The Magazine of the Arts," 1963, σ. 76) "The rolls were burned in all sections of Alexandria. There were so many of them that they served to fuel the fireplaces and to heat baths of the city for six months."

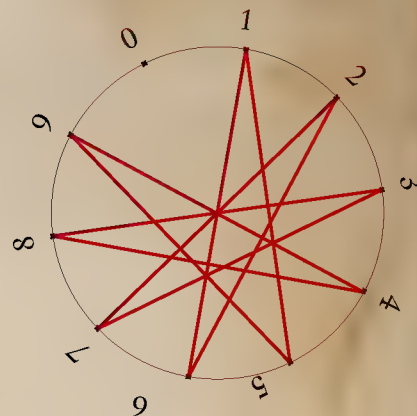
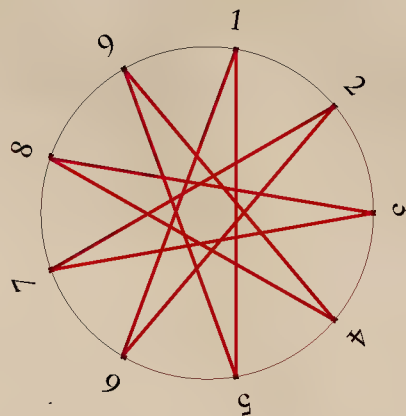
Αριθμητική Ακολουθία: 1,3,5,7,9,11,13,15,17,19,21,23,25, ...

Ακολουθία Πυθμενικών Αριθμών: {1,3,5,7,9,2,4,6,8}



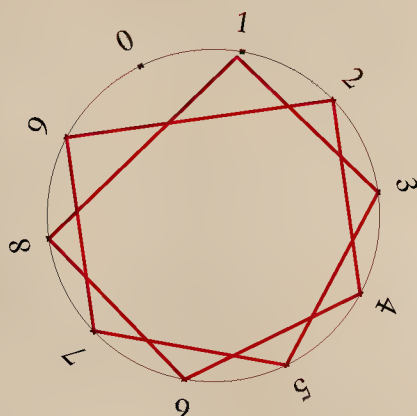
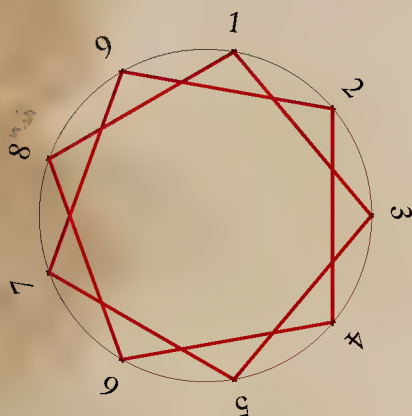
Αριθμητική Ακολουθία: 5,10,15,20,25,30,35,40,45,50,55, ...

Ακολουθία Πυθμενικών Αριθμών: {5,1,6,2,7,3,8,4,9}



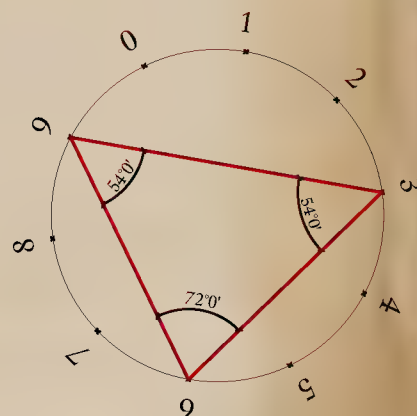
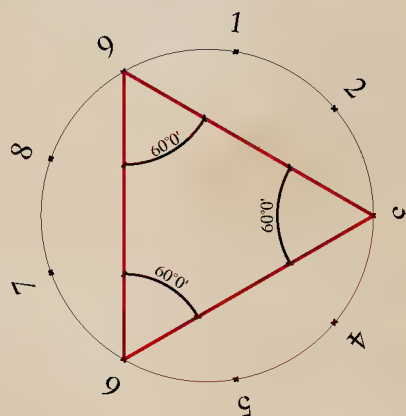
Αριθμητική Ακολουθία: 2,4,6,8,10,12,14,16,18,20,22,24, ...

Ακολουθία Πυθμενικών Αριθμών: {2,4,6,8,1,3,5,7,9}



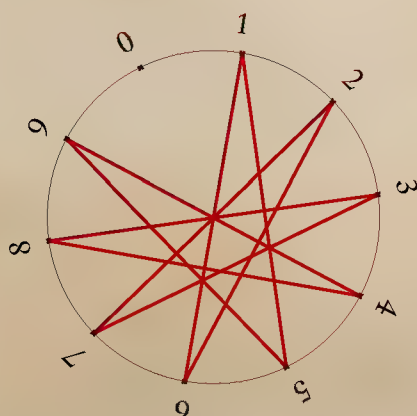
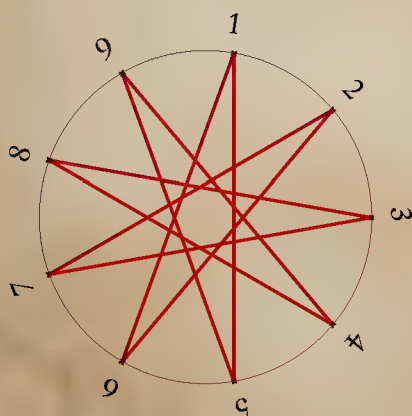
Αριθμητική Ακολουθία: 6,12,18,24,30,36, ... ή 3,6,9,12,15,18, ...

Ακολουθία Πυθμενικών Αριθμών: {6,3,9} ή {3,6,9}



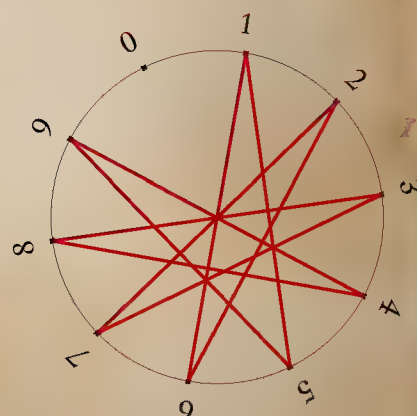
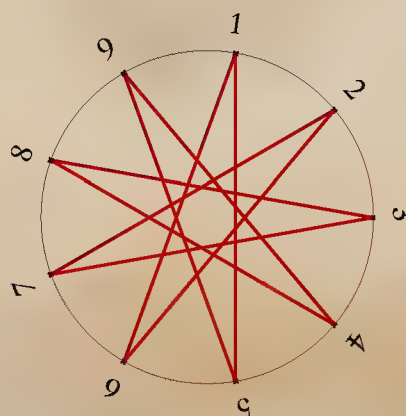
Αριθμητική Ακολουθία: 4,8,12,16,20,24,28,32,36,40,44, ...

Ακολουθία Πυθμενικών Αριθμών: {4,8,3,7,2,6,1,5,9}



Αριθμητική Ακολουθία: 1,5,9,13,17,21,25,29,33,37,41, ...

Ακολουθία Πυθμενικών Αριθμών: {1,5,9,4,8,3,7,2,6}



Αναγωγές σε κύκλους ανά τους πολιτισμούς



1 αναγωγές σε κύκλους δεν ήταν άγνωστες για τους αρχαίους πολιτισμούς. Προτού

παρατεθούν ορισμένα παραδείγματα αναφέρεται η πρωτόλεια κυκλική μορφή της κατοικίας. Η μορφή της καθορίστηκε από τα ευκόλως διαθέσιμα υλικά κατασκευής, δηλαδή τα κλαδιά (ως προσωπικό σχόλιο, παρατηρώντας ίσως τις κυκλικές φωλιές των πουλιών). Αναπόφευκτα, τα κλαδιά με τη σειρά τους, συνετέλεσαν στον ορισμό ενός κυκλικού σχήματος, εξαιτίας της κατασκευαστικής απαίτησης της τεχνικής αυτής. Επιπλέον, η προσπάθεια ενός πρωτόγονου ανθρώπου για τον ορισμό του γύρω χώρου του, ανταποκρίνεται σε κυκλικό σχήμα. Αργότερα, οι κυκλικές κατοικίες μετεξελίσσονται σε ελλειψοειδή, πεταλόσχημα και εν τέλει ορθογωνικά σχήματα.¹⁸³

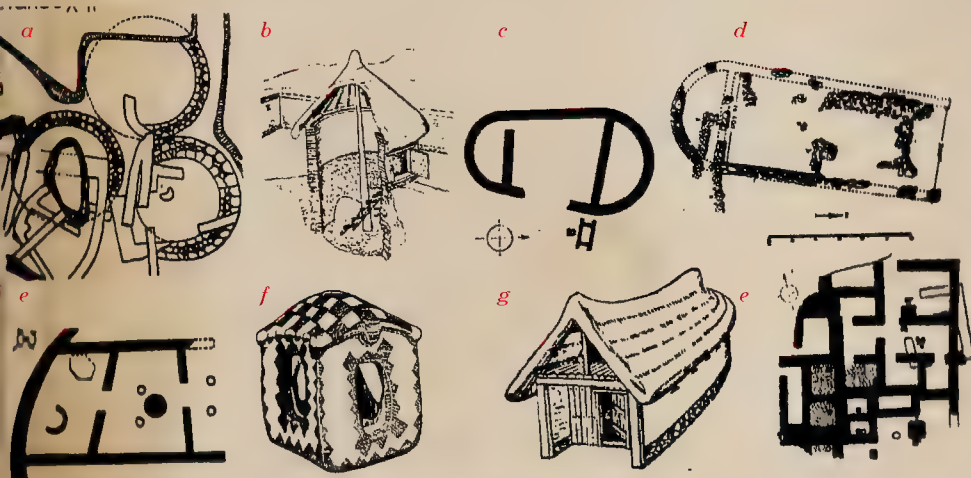


Ένα χαρακτηριστικό αποκατεστημένο παράδειγμα κυκλικής διάταξης κατοικίας, το οποίο έχει καθοριστεί από τα διαθέσιμα υλικά κατασκευής, του προϊστορικού ανθρώπου βρίσκεται στον οικισμό 'Mezhyrich' της Κεντρικής Ουκρανίας. Τα οστά του Μαμουθ παράγουν ένα οργανικό σχήμα. Ίσως, αποτέλεσμα αυτού είναι η παραγωγή πρώτων κυκλικών γεωμετρικών σχημάτων. Επίσης, στην περιοχή βρέθηκε ένας χάρτης χαραγμένος σε κόκκαλο που απεικονίζει πιθανώς τον οικισμό.¹⁸⁴



Dwelling made with mammoth bones. Reconstruction based on the example of Mezhyrich. «Digging a new cellar, a farmer in Dniepr River Valley of Ukraine mammoth bones.» Exhibit in the National Museum of Nature and Science, Tokyo, Japan.

Παρακάτω παρατίθενται ορισμένα παραδείγματα αναγωγών σε κύκλο:



From circle to rectangle. Evolution of the architectural plan in Greece.

a. Round structures in Orchomenos (Γεώργ. Κορρές, Αρχαιολογία της προϊστορικής Ελλάδας).

b. Circular barn in Smyrna, 8th BC (J. N. Coldstream, Geometric Greece, p. 305)

c. Elliptical Neolithic dwelling in Rini (Γεώργ. Κορρές, p. 235)

d. Building in Olympia, 2,000 / 1,900-1,650 BC (Γεώργ. Κορρές, p. 333)

e. Dimini mansion, Neolithic Greece (Γεώργ. Κορρές, p. 325)

f. Clay house model, Neolithic Greece (Μαν. Κορρές, «Νεολιθική Ελλάς», p. 276)

g. Rectangular house in Smyrna (Coldstream...305)

h. Rectangular Neolithic dwellings in the Neolithic Knossos (Γεώργ. Κορρές, p.325)

1. Στο μεγαλιθικό μνημειακό σύμπλεγμα 'Göbekli Tepe' (ή 'Potbelly Hill') της σημερινής Νοτιοανατολικής Τουρκίας, παλαιότερης Άνω Μεσοποταμίας, η οποία χρονολογείται μεταξύ του 9,600 - 8,200 π.Χ., τοποθετημένο σε τεχνητό ύψωμα 15m και διαμέτρου περ. 300m, προσανατολισμένο στα 4 σημεία του ορίζοντα.



183 (Σαρηγιάννης, 2011, σ. 19). ; (Billig, 1991, σ. 201). Στην περίπτωση της σύστασης της γλώσσας, η οποία συνδέεται με την παρατήρηση του υποφαινόμενου της αντιγραφής των φωλιών των πτηνών κατόπιν παρατήρησης των από τον πρωτόγονο άνθρωπο, σύμφωνα με τον Λόρδο Monboddo, Σκωτσέζο δικαστή, μελετητή της γλωσσικής εξέλιξης (ιδρυτή της σύγχρονης συγκριτικής ιστορικής γλωσσολογίας) & φιλόσοφο του 18^{ου} αι. μ.Χ., όλες οι

πρώιμες γλώσσες διέθεταν μέρος από την υπέρτατη ευφυΐα του τραγουδιού των πτηνών, επειδή η ανθρωπότητα, όπως σημειώνει, σχεδόν σίγουρα έμαθε να ομιλεί μιμούμενη τη μελωδία των πτηνών. Επομένως, θα μπορούσε να είχε επηρεαστεί ο πρώτος άνθρωπος και στην περίπτωση δημιουργίας των πρώτων κατοικιών του.

184 (Mezhyrich, Cherkasy Oblast, n.d.)

Οι ναοί αυτοί κατατάσσονται σε μια εποχή, στην οποία πολλοί ιστορικοί και αρχαιολόγοι πίστευαν ότι δεν υφίστατο αυτός ο μνημειακός τύπος και οι θρησκευτικές πρακτικές –δηλαδή η συγκρότηση τελετουργιών με ιερείς και θυσίες θεωρείται ανύπαρκτη. Παρόλα αυτά, οι κυνηγοί-τροφοσυλλέκτες της Μεσολιθικής Περιόδου (10,000-7,000 π.Χ.) κατασκεύασαν έναν χώρο που προχρονολογείται της γραφής, της μεταλλοποιίας ή της κεραμικής. Ο λόφος ήταν γεμάτος με μια τεράστια ποσότητα **νεολιθικών εργαλείων απολεπισμένου πυριτόλιθου** – λεπίδες, φολίδες, κεφαλές.¹⁸⁵



Από αρχιτεκτονικής σκοπιάς πρόκειται για στρογγυλούς –ωοειδούς διαμέτρου 10-30m σε κάτοψη ναούς. Η περιφέρεια τους είναι σχετικά ισομερώς διαιρεμένη με μονολιθικούς ασβεστολιθικούς στύλους 3m, σχήματος T και βάρους 16 τόνων. Οι μονόλιθοι –σχήματος T– φέρουν σκαλισμένα ανάγλυφα ζώων –γαζέλες, φίδια, αλεπούδες και λιοντάρια–, αφηρημένους χαρακτήρες και εικόνες. Επίσης, δεξιά και αριστερά του κέντρου κάθε «κύκλου» τοποθετούνται 2 αντικρυστοί μεγάλιθοι σχήματος T. **Προσδίδοντας ένα πρωτοφανή τελετουργικό χαρακτήρα για τα δεδομένα της εποχής**, αφού εκ των οστών, τα οποία ανακαλύφθηκαν στην τοποθεσία, υποδηλώνεται ότι ο λόφος χρησιμοποιήθηκε για **τελετουργικές θυσίες και γιορτές**, και άλλες κοινωνικές εκδηλώσεις.¹⁸⁶ Μετά βεβαιότητας, από τις μνημειώδεις κατασκευές του ‘Göbekli Tepe’ καταδεικνύεται η **δημιουργική**

ανθρώπινη ιδιοφυΐα αυτών των πρώιμων κοινωνιών (της Προκεραμικής Νεολιθικής), οι οποίες οδηγήθηκαν από τους κυνηγούς τροφοσυλλέκτες στις πρώτες αγροτικές κοινότητες. Παράλληλα, από την τοποθεσία διαπιστώνονται **καινοτόμες τεχνικές δόμησης**, συμπεριλαμβανομένης της διακοσμητικής ενσωμάτωσης των μονολίθων και παρουσιάζονται πρωτοφανής αρχιτεκτονικές λειτουργίες για την εποχή.¹⁸⁷



Αξιοσημείωτο είναι ότι το εικονογραφικό μοτίβο, στο οποίο διακοσμούνται οι σχήματος T στύλοι και μερικά μικρά ευρήματα (πέτρινα αγγεία κ.λπ.), εντοπίζεται σε σύγχρονες τοποθεσίες στην περιοχή της Άνω Μεσοποταμίας. Τεκμηριώνοντας ένα στενό κοινωνικό δίκτυο σε αυτό τον πυρήνα της Νεολιθικής περιοχής. Ακολουθώντας, το σύμπλεγμα θεωρείται κομβικό για την ανθρώπινη ιστορία καθότι πιστοποιούνται νέα επίπεδα αρχιτεκτονικής και μηχανικής τεχνολογίας.¹⁸⁸

Το πόρισμα αυτό εξάγεται από τους σκαλιστούς μονολιθικούς στύλους σε παρακείμενο ασβεστολιθικό οροπέδιο, μέσω του οποίου εμφανίζεται η παρουσία εξειδικευμένων τεχνιτών και διαφαίνονται ιεραρχικές κοινωνικές δομές. Ο K. Schmidt, Γερμανός αρχαιολόγος-προϊστοριολόγος, δήλωσε ότι:

“suggests, at least to the archaeologists working there, [...] that the human sense of the sacred – and the human love of a good spectacle may have given rise to civilization itself.”,

υποστηρίζοντας *“First came the temple, then the city. [...] civilization is the product of the human mind.”*

Ουσιαστικά, επανατοποθετείται σε σχέση με την κλασσική προσέγγιση της αρχαιολογίας του τοπίου και την κατανόηση των επιστημόνων για την ιστορία –της ανάπτυξης του πολιτισμού λόγω κοινωνικοοικονομικών παραγόντων.¹⁸⁹

185 (“Göbekli Tepe,” 2015); (“Göbekli Tepe,” n.d.); (“World’s Oldest Temple to Be Restored,” 2016)

186 (“Göbekli Tepe,” 2015); (“Göbekli Tepe,” n.d.); (“World’s Oldest Temple to Be Restored,” 2016)

187 (“Göbekli Tepe,” 2015); (“Göbekli Tepe,” n.d.); (“World’s Oldest Temple to Be Restored,” 2016)

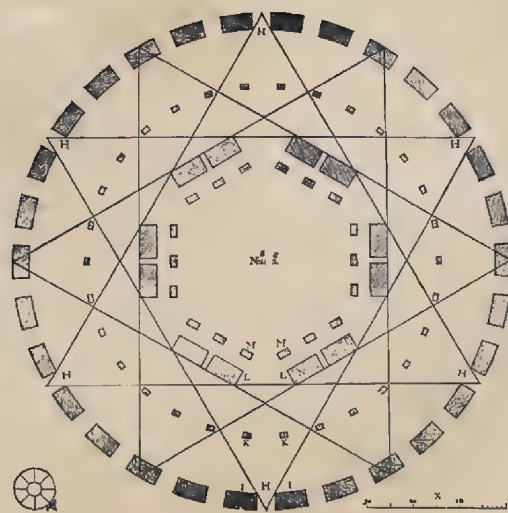
188 (“Göbekli Tepe,” 2015); (“Göbekli Tepe,” n.d.); (“World’s Oldest Temple to Be Restored,” 2016); (Σαρηγιάννης, 2011, σ. 33-37)

189 (“Göbekli Tepe,” 2015); (“Göbekli Tepe,” n.d.); (“World’s Oldest Temple to Be Restored,” 2016)

2. Στο μεγαλιθικό μνημείο 'Stonehenge' της Μεγάλης Βρετανίας στην πεδιάδα Salisbury.

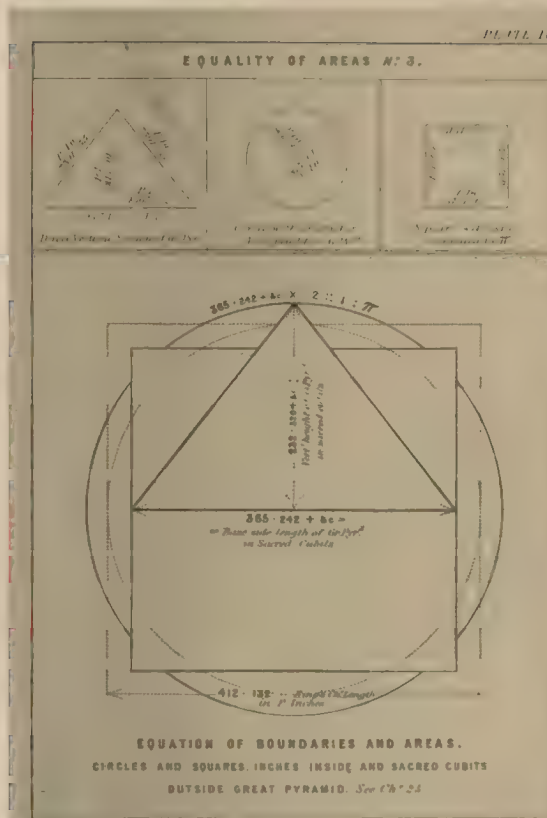


Το μνημείο αποκαταστάθηκε από τον Inigo Jones. Από τον ίδιο προτείνεται ότι το σχέδιο της κάτοψης του Stonehenge βασίζεται σε 4 ισόπλευρα τρίγωνα τα οποία διαιρούν έναν κύκλο ισομερώς. Διερευνώντας, διακρίνεται ο ψυχογονικός κύβος του Πυθαγόρα ή κύβος του Μετατρόν, οι οποίοι αποτελούνται από δύο ισόπλευρα τρίγωνα.¹⁹⁰ Βάσει μελετών, το 'Stonehenge' αποτελούσε ένα ηλιακό παρατηρητήριο. Επομένως, ανεπτυγμένες γεωμετρικές, κατασκευαστικές και αστρονομικές γνώσεις διατίθενται στο χώρο της σημερινής Ευρώπης από την 3^η χιλ. π.Χ.¹⁹¹



3. Ο σχεδιασμός του συγκροτήματος της Γκίζας την 3^η χιλ. π.Χ. προϋπέθετε βαθιές γνώσεις γεωμετρίας, μαθηματικών και αστρονομίας. Είναι γνωστό τοις πάσι ότι ικανή και αναγκαία συνθήκη για τις διερευνήσεις των αρμονικών

χαράξεων¹⁹² είναι οι αναγωγές σε κύκλους. Αντιπαραβάλλοντας τους «Λόγους»/Ενότητες των



«Ερμητικών Κειμένων», πιο συγκεκριμένα τον «Λόγο Ζ» του οποίου το πνεύμα είναι μεν επηρεασμένο από την εβραϊκή σκέψη (θυμίζει ψαλμούς και ωδές της Παλαιάς Διαθήκης) και υπάρχουν δε στοιχεία παρμένα από την αιγυπτιακή θρησκεία,¹⁹³ συμπεραίνεται εύκολα ότι τα ιερατεία των πολιτισμών αλληλοεπηρεάζονταν ως κέντρα που μονοπωλούσαν την γνώση και απέστελναν τους μυημένους τους είτε για να

¹⁹⁰ (Βαλτικός, 2015, σ. 24). Βέβαια, δε μπορεί να συνδεθεί το πρόσωπο του Πυθαγόρα ή του Μετατρόν με το Stonehenge, αλλά ότι η γεωμετρία είναι κοινή για όλους και χρησιμοποιείται κατά το δοκούν.

¹⁹¹ (Alistair Macintosh Wilson, 1995, σ. 3-9)

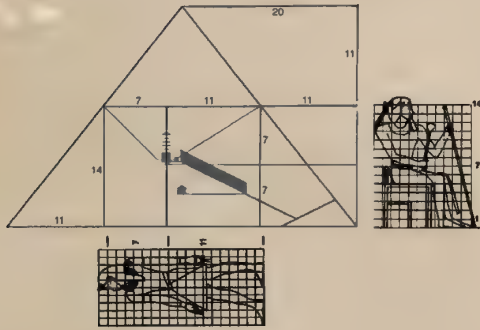
¹⁹²

(Smyth & Roberts - University of Toronto, 1874, σ. xvi-xx)

¹⁹³

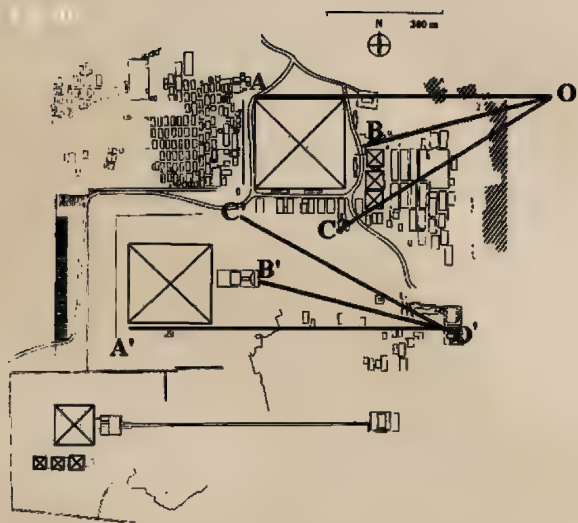
(Ερμής Τρισμέγιστος, 1990, σ.101-107)

διαδώσουν το πνεύμα και τη σκέψη της επικράτειας τους, είτε για να εξελίξουν τις επιστήμες των μεγάλων πόλεων σε περιόδους ειρήνης, είτε για να γνωρίσουν νέες γνώσεις και να μυηθούν σε νέα μυστήρια.



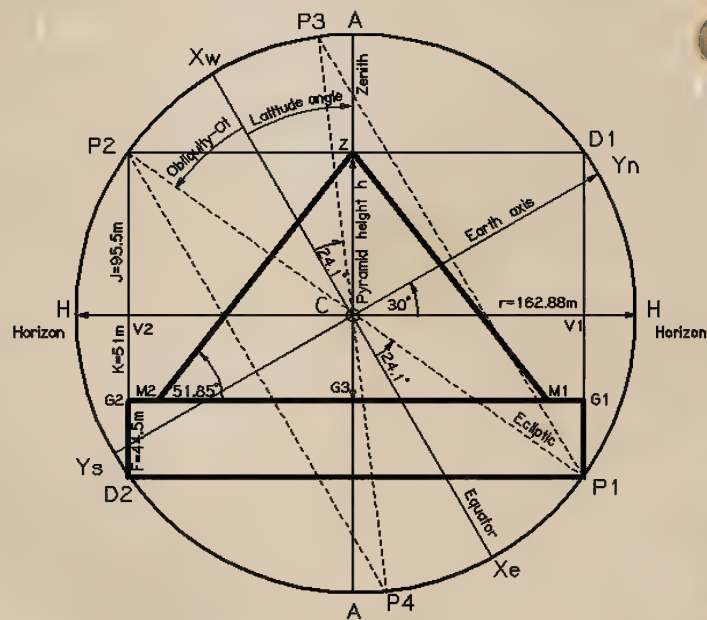
Pyramid diagram extrapolated and revised from Gantenbrink (1997); b Sitting figure: King Thutmose III with an original grid drawn on a wooden board with a plaster coating, British Museum, EA 5601, sketch by author from Russmann (2001), 154 [see also (Robins 1994), 92 pl. 5.1]; c Proportions of standing figure

Η πρώτη μελέτη ότι τα μαθηματικά, η γεωμετρία και η αστρονομία είναι αναμφίλεκτα παρόντα το μισό της 3^{ης} χιλ. π.Χ. στην Αίγυπτο, πιο συγκεκριμένα στις πυραμίδες της Γκίζας, οφείλεται στον Βρετανό αρχαιολόγο Flinders Petrie. Όταν το 1883 μ.Χ. ανακάλυψε την εκπληκτική ακρίβεια στον προσανατολισμό τους των 4 σημείων του ορίζοντα. Ακριβέστερα, η Μεγάλη Πυραμίδα (Khufu) αποκλίνει από τη γραμμή Βορρά-Νότου λιγότερο από 4' (=4 λεπτά) της μοίρας ($1^\circ=60'$). Αν σήμερα, πραγματοποιούνταν ανάλογη προσπάθεια θα χρειαζόταν ένα GPS ή ένας θεοδόλιχος, αφού



The main solar alignments (solid black lines) of the Khufu and Khafre complexes

η μαγνητική πυξίδα δε διαθέτει τόσο υψηλό βαθμό ακρίβειας. Επιπλέον, διαπιστώνεται αδύνατο η εφαρμογή του προσδιορισμού της θέσης με την μέθοδο της παρατήρησης του ήλιου βασισμένη σε φωτοσκιάσεις. Προφανώς, οι μηχανικοί και οι τεχνίτες του Φαραώ της 4^{ης} δυναστείας αξιοποίησαν τις γνώσεις της αστρονομίας.¹⁹⁴ Όσον αφορά τις προτάσεις των επιστημόνων επί του ζητήματος, η πιθανότερη με τα δεδομένα αφορούσε την παρατήρηση των αστεριών του Σείριου και του Ωρίωνα, λόγω των κινήσεων τους στον ουρανό -ως αιφανείς αστέρες ('circumpolar stars').¹⁹⁵ Η παρατήρηση έγκειται στην εμφάνιση των αχτίδων τους μέσα από τους τέσσερις διάσημους στενούς αεραγωγούς των εσωτερικών δωματίων. Επεξηγηματικά, οι Βόρειοι αεραγωγοί στρέφονται πάλι προς αιφανείς αστέρες, ενώ οι Νότιοι τοποθετούνται στο μεσουράνημα του Ωρίωνα και του Σείριου κατ' αντιστοιχία.¹⁹⁶



North-south cross section in a spherical co-ordinates system that shows the astronomical design parameters of the Great Pyramid in Giza Plateau, while looking due west.

Το γεγονός ότι η ταφική λατρεία των Λιγυπτίων συνδέεται με την αθανασία της ψυχής, συνδυάζεται με το γεγονός ότι στην πραγματικότητα τα αστέρια αυτά ούτε ανατέλλουν ούτε δύουν. Σημειωτέον, τα αστέρια των Νοτίων Αστερισμών θεωρούνταν οι προορισμοί της ψυχής του Φαραώ. Αυτή η συσχέτιση καταφαίνεται

«διὸ περὶ Αἴγυπτον αἱ μαθηματικαὶ πρῶτον τέχναι συνέστησαν, ἐκεῖ γὰρ ἀφείθη σχολάζειν τὸ τῶν ἱερέων ἔθνος».

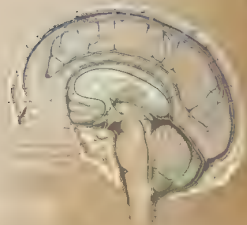
Αριστοτέλης, Μετά τα Φυσικά, Βιβλίο Α'. 1. 981b[24-27]

"The mathematical sciences originated in the neighbourhood of Egypt, because there the priestly class was allowed leisure." (Aristotle, 1933)

the eye of osiris



Βιτρούβιος, «De architectura», [l. 1 Η παιδεία του αρχιτέκτονα. 3] «οι αρχιτέκτονες πρέπει να [...] να ξέρει μουσική, να μην έχει άγνοια της ιατρικής, [...], να είναι γνώστης της αστρονομίας και των νόμων του ουρανού».



Medial surface of the brain, Facies medialis hemispherii cerebri; diencephalon, and brainstem, Truncus encephali; staggered median section; viewed from the left

194 (Emmer, 2009, σ. 152)

195 ("Αιφανείς αστέρες," 2019). Ως αιφανείς αστέρες (ή αλλιώς παραπόλιοι αστέρες) και κατ' επέκταση αιφανείς αστερισμοί, χαρακτηρίζονται αντίστοιχα οι αστέρες και οι αστερισμοί που παρατηρούνται συνεχώς, δηλαδή σε όλη τη διάρκεια του 24ώρου, κατά τη φαινομενική περιστροφή της ουράνιας σφαίρας, παραμένουν πάνω από τον ορίζοντα του τόπου

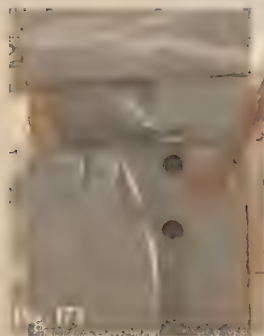
παρατήρησης εις τρόπον ώστε οι αστέρες αυτοί να μην ανατέλλουν ούτε να δύουν; (Emmer, 2009, σ. 153). Το ημερολόγιο των αρχαίων Αιγυπτίων βασιζόταν στην ηλιακή ανατολή του Σείριου. ("Ηλιακή ανατολή," 2019). Ηλιακή ανατολή: η πρώτη σύντομη εμφάνιση του άστρου στον ανατολικό ορίζοντα πριν την ανατολή. Τις προηγούμενες μέρες η χαραυγή κάλυπτε το άστρο

196 (Emmer, 2009, σ. 153)

διαβάζοντας τα κείμενα περί των πυραμίδων ('Pyramid Texts'), τα οποία ανακαλύφθηκαν από τον Gaston Maspero -Γάλλο αιγυπτιολόγο- τον 19^ο αι. μ.Χ. στους νεκρικούς θαλάμους των πυραμίδων.¹⁹⁷

Επιπροσθέτως, στην περιοχή της Αιγύπτου, από κατασκευαστικές κατακτήσεις, στο Abusir -μια εκτεταμένη νεκρόπολη της περιόδου του Παλαιού Βασιλείου, 2,700-2,200 π.Χ.- εντυπωσιακή θεωρείται η καθαρότητα των οπών στις λίθινες πέτρες από γρανίτη, σκληρότητας 7 στην εμπειρική κλίμακα του Μος (Mohs).¹⁹⁸ Τέτοιες οπές δύναται να επιτύχει μόνο ένα σημερινό ισχυρό διαμαντοτρύπανο, ώστε, να εξοικονομηθεί ο πολύτιμος χρόνος. Προφανώς, η οξύτητα του πνεύματος των μηχανικών και η ευφυΐα των τεχνιτών θα είχε δώσει μία απάντηση που δεν μπορεί να προσεγγίσει ο άνθρωπος του 21^{ου} αι. μ.Χ.

Egypt,
Abusir, Holes,
Granite



4. Στα έπη του **Gilgamesh** (2,100 π.Χ.) αναφέρονται τα ακόλουθα:

"Enkidu made for Gilgamesh a House of the Dream God," IV 10, 4, 59, 88, 130, 171

"he fixed a door in its doorway to keep out the weather."

"In the circle he had drawn he made him lie down,"

"and falling flat like a net lay himself in the doorway."¹⁹⁹



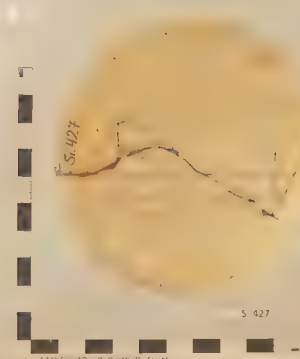
Tablet V
Gilgamesh. The left half
of the whole tablet has
survived and is composed
of 3 fragments. The oldest
piece of literature in Iraq.
Old-Babylonian period
(2003-1595 BCE). A.S.
T.1447. The Sulaymaniyah
Museum, Iraq.

5. Στη Μινωική πόλη της Φαιστού (Νότια Κρήτη), εντοπίζεται ο **δίσκος της Φαιστού** (ψημένου πηλού), ο οποίος χρονολογείται στην Μέση ή Ύστερη Μινωική Εποχή του Χαλκού (2^η χιλ. π.Χ.). Ο Dr. Gareth Owens, Ελληνοβρετανός γλωσσολόγος,²⁰⁰ έχει συμπεράνει ότι είναι ύμνος στη θεά του Έρωτα, την Ασάρτη.²⁰¹ Συνεπώς, σε έναν κυκλικό -τέλειου σχήματος- δίσκο ανάγεται ένας ιερός βουστροφοειδής συλλαβικής γραφής ύμνος. ❀👉



The
Phaistos Disk.
AS ΠΠ1358.
Heraklion
Museum.
Phaistos, Early
17th c. BC.

6. Στην **πήλινη πλάκα κυκλικού σχήματος** αποκαλύπτεται η προέλευση της εφαρμοσμένης γεωμετρίας από ένα μαθηματικό του UNSW (Πανεπιστήμιο της Νέας Ν. Ουαλίας). Η **ταμπλέτα, 'Si.427'** (ως έκθεμα στην Κωνσταντινούπολη), είναι το παλαιότερο γνωστό παράδειγμα εφαρμοσμένης γεωμετρίας. Στη μελέτη που δημοσιεύεται σήμερα στα Ιδρύματα της Επιστήμης, αποκαλύπτεται μια συναρπαστική ανθρώπινη ιστορία γεωμετρίας. «Η 'Si.427' χρονολογείται από την Παλαιά Βαβυλωνιακή περίοδο - 1,900 έως 1,600 π.Χ.», λέει ο επικεφαλής ερευνητής Δρ. Ντάνιελ Μάνσφιλντ από τη Σχολή Μαθηματικών και Στατιστικών της UNSW Science. Ο τοπογράφος χρησιμοποιούσε τις γνωστές «Πυθαγόρειες τριάδες», ώστε να σχεδιάσει ακριβείς ορθές γωνίες.²⁰²

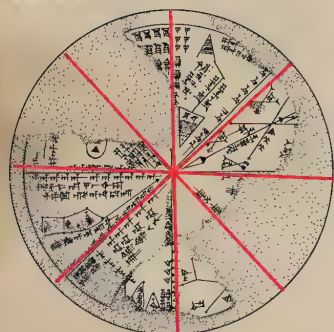


Si.427
shows the
subdivision of a
field in Sippar,
modern day Iraq,
dating from
1900-1600 BC.

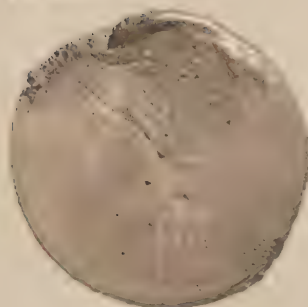
197 (Emmer, 2009, σ. 153-154)
198 ("Mohs scale of mineral hardness," 2019)
199 (George, 2000, σ. 30, 33, 34, 36, 65)

200 ("Gareth Alun Owens," 2021)
201 (Gareth Owens and His Decipherment of the Phaistos Disc, n.d.); πρβ. ("Phaistos Disc," 2022)
202 ("Australian Mathematician reveals oldest applied geometry," n.d.)

7. Στην κυκλική πέτρινη πλάκα ('K.8538', έκθεμα στο Βρετανικό Μουσείο) απεικονίζεται ο νυχτερινός ουρανός της 3^{ης} - 4^{ης} Ιανουαρίου του 650 π.Χ. πάνω από τη Νινευή. Το ορθογώνιο σχήμα στην κορυφή αναγνωρίζεται ως ο σημερινός γνωστός αστερισμός των «Διδύμων», ενώ τα αστέρια που περιέχονται με ωειδές σχήμα απεικονίζουν τον αστερισμό των «Πλειάδων». Εκ των δύο τριγώνων κάτω δεξιά σηματοδοτούνται τα φωτεινά αστέρια του Πήγασου.²⁰³ Η ταμπλέτα ανακτήθηκε από την υπόγεια βιβλιοθήκη του βασιλιά Ashurbanipal το 650 π.Χ. στη Νινευή του Ιράκ στα τέλη του 19^{ου} αι. μ.Χ. Όσον αφορά την έρευνα των Bond και Hemsell, υποστηρίζεται ως μια παρατήρηση των Σουμερίων του αστεροειδούς 'Aten' (διαμέτρου άνω του ενός χιλιομέτρου) που έπληξε με την πρόσκρουση του το Köfels της Αυστρίας στις 29 Ιουνίου το 3,123 π.Χ.²⁰⁴ Ωστόσο, η χρονολόγηση τους απορρίφθηκε από την επιστημονική κοινότητα, όμως η έρευνα τους οδήγησε στην διαπίστωση ότι ήταν ένα αντίγραφο των βαβυλωνιακών χρόνων από μία αρχαία σουμεριακή ταμπλέτα, η οποία ανανεώθηκε και ενισχύθηκε με νέες γνώσεις.²⁰⁵

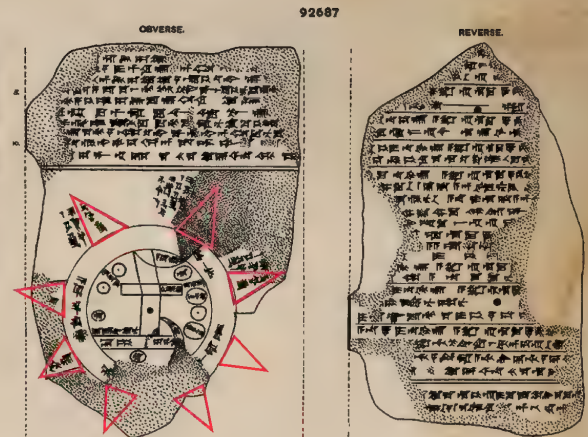


Drawing of the circular astronomical tablet K 8538 from Nineveh with diagrams of constellations (Budge 1912: Plate 10)



8. Στο δισκίο του Sippar στο σημερινό Ιράκ, το οποίο χρονολογείται γύρω στον 6^ο αι. π.Χ., αντικατοπτρίζεται κάτι από το πώς οι αρχαίοι Βαβυλώνιοι έβλεπαν τους εαυτούς τους σε σχέση με τον υπόλοιπο κόσμο. Αυτός ο χάρτης της Μεσοποταμίας αποτελείται από έναν κυκλικό χάρτη που περιβάλλεται από τρία τρίγωνα, με επεξηγηματικό κείμενο άνωθεν του σχεδίου και στην αντικριστή πλευρά του.

Στον κεντρικό κύκλο απεικονίζεται η Βαβυλωνιακή επικράτεια, διχοτομημένη από τον Ευφράτη, η οποία περιβάλλεται από την ίδια τη Βαβυλώνα.²⁰⁶

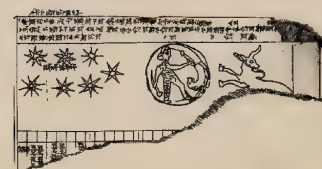
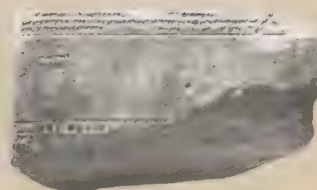


Clay Tablet. Found: Sippar, Iraq. Culture: Late Babylonian. ca. 6th c. B.C. Language: Akkadian. British Museum. MN: 92687

9. Στο αστρολογικό διάγραμμα της Μεσοποταμίας που απεικονίζει πιο ευκρινέστερα μια αναγωγή σε κύκλο, με ένα 12-κτινο εγγεγραμμένο αστέρι, στο οποίο εσωτερικά του εγγράφεται άλλος ένας ομόκεντρος κύκλος με χαρακτηριστικό το σημείο του κέντρου.²⁰⁷

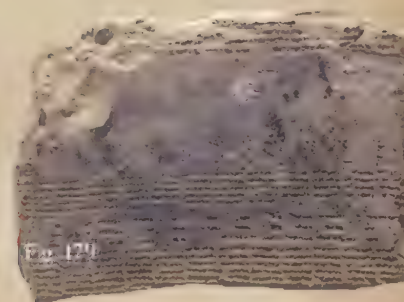


Mesopotamian clay tablet with astrological diagram (trine aspect). Dodecagram

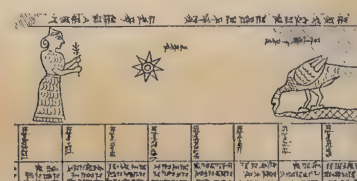


(Tablet VAT 7851 (Vorderseite, Berlin) portraying the zodiacal sign of Taurus. Adapted from Weidner (1927)

10. Στο ζωδιακό ημερολόγιο για το ζώδιο της Παρθένου. (8κτινο αστέρι) Uruk, Περίοδος Σελευκιδών, αρχές 2^{ου} αι. π.Χ.²⁰⁸



Zodiacal calendar for the sign of Virgo (the Furrow) Clay tablet (butt-jointed with VAT 7851) H. 11.5 cm; W. 19 cm; D. 3 cm Uruk, Seleucid Period; early 2nd century BC Paris, Musée du Louvre, Department of Near Eastern Antiquities, AO 6448.



203 ("tablet K.8538," n.d.)
204 (Bond & Hemsell, 2008)
205 (Seifert & Lemke, 2014, σ. 14)

206 ("Cuneiform Maps," 2016)
207 (Aporta et al., 2014)
208 (Zodiacal calendar for the sign of Virgo (the Furrow) Clay tablet (butt-jointed with VAT 7851). Babylon, n.d.)

This portrait attributed to Francesco Melzi, c. 1515-1518, is the only certain contemporary depiction of Leonardo da Vinci. A.S. RCIN 912726. Royal Collection

Vitruvio Pollione

Egypt,
Measuring system

Diadasia bees Sleep In Flowers. Their sleep patterns change as they grow up. Younger bees sleep less, but older bees catch between 30 minutes and an hour and a half each night, taking little naps of about 15 to 30 seconds at a time.

«Ο Πυθαγόρας ο Ρηγίνος, ένας ανδριαντοποιός, φαίνεται να ήταν ο πρώτος που επεδίωξε ρυθμό και συμμετρία.» Διογένης Λαέρτιος, Βίοι Φιλοσόφων. 8,49.

«Ο Χρύσιππος θεωρεί ότι το ωραίο δεν συνίσταται στη συμμετρία των στοιχείων, αλλά των μερών, που αυτό σημαίνει στη συμμετρία του κάθε δακτύλου με το κάθε δάκτυλο και όλων των δακτύλων με την παλάμη και τον καρπό, και αυτών με τον πήχη, και του πήχη με τον βραχίονα, και του κάθε μέρους με όλα τα μέρη του σώματος, όπως ακριβώς έχει γραφτεί στον «Κανόνα του Πολύκλειτου». Διότι ο Πολύκλειτος όταν μας δίδαξε όλες τις συμμετρίες του ανθρώπινου σώματος σε εκείνο το σύγγραμμα, επιβεβαίωσε τη θεωρία του με πρακτικό παράδειγμα, φτιάχνοντας ένα ανδριάντα σύμφωνα με όλα όσα έλεγε, τον οποίο ονόμασε, όπως και στο σύγγραμμά του, Κανόνα.» Γαληνού, Περί των Υπποκράτους και Πλάτωνος Δογμάτων, βιβλίο 5, 3.15-16

11. Στην μεταφυσική των αρχαίων Ελλήνων το σύμπαν θεωρείται σφαιρικό, το παν εμπεριέχεται μέσα στην σφαίρα του δημιουργού.

«Ο κόσμος ως τέλεια σφαίρα». Πλάτων, «Τίμαιος», στ. 33b-34b

Ο κύκλος ως το περίγραμμα της σφαίρας σε δισδιάστατη απόδοση.

«Η περίμετρος του σύμπαντος, αφού συμπεριέλαβε στο εσωτερικό της είδη, εξαιτίας του κυκλικού σχήματος της». Πλάτων, «Τίμαιος», στ. 58[a-b]

Σχόλιο: Οι αριθμοί ως «δημιουργικές οντότητες» ανάγονται ισομερώς στον κύκλο (της σφαίρας), παράγοντας γεωμετρικά σχήματα και συμπυκνώνοντας σχηματικά τους κώδικες της ζωής.

«Οι θεοί με μίμηση της σφαιρικής μορφής του σύμπαντος έκλεισαν τις δύο θεϊκές περιφορές σ' ένα σφαιρικό σχήμα αυτό που ονομάζουμε κεφάλι το πιο θεϊκό σχήμα του σώματος μας.» Πλάτων, «Τίμαιος», στ. 44d



209

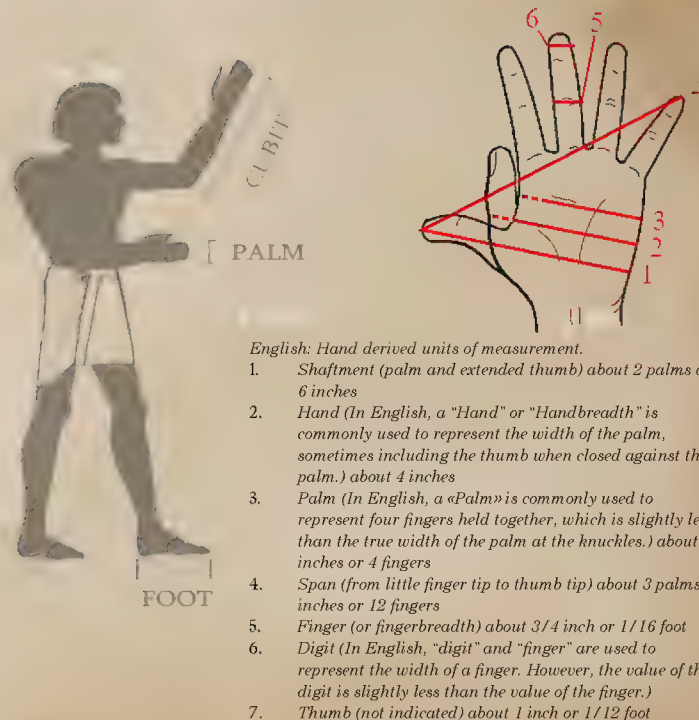
(Βιτρούβιος, 2000, σ. 185-186)

12. Στα τέλη του 15^{ου} αι. μ.Χ. ο Leonardo da Vinci –κατ' επέκταση η Αναγέννηση– επιδίδεται στην μελέτη των κειμένων της Λατινικής και της αρχαίας Έλληνικής γραμματείας. Πιο συγκεκριμένα, όταν ο Leonardo da Vinci μελέτησε την πραγματεία «Περί Αρχιτεκτονικής» [III. 1 Οι αναλογίες, 1-4] του Βιτρούβιου σχεδίασε τον λεγόμενο «Vitruvian man» δημιουργώντας μια «χρονική γέφυρα» μετάδοσης της γνώσης, της Κλασσικής – Ρωμαϊκής – Αναγεννησιακής Εποχής.

Διευκρινιστικά, το χωρίο που μελέτησε είναι το ακόλουθο:

«[...] Στο ανθρώπινο σώμα λοιπόν παρουσιάζεται το σχήμα ενός κύκλου» αλλά, στο ανθρώπινο σώμα, μπορούμε να βρούμε και το σχέδιο του τετραγώνου[...] Μας παρέδωσαν λοιπόν κανόνες για τη διαμόρφωση όλων των τεχνικών έργων, και ιδιαίτερα των ναών[...] από τα μέλη του σώματος, επίσης, πήραν τις μονάδες μέτρησης, που είναι απαραίτητες σε όλες τις τεχνικές κατασκευές, όπως τον δάκτυλο (σημερινή ίντσα), την παλάμη, τον πόδα και τον πήχη, τις οποίες κατένειμαν κατά τον αριθμό που οι Έλληνες καλούν τέλει.»²⁰⁹

Επιπροσθέτως, το 1cm είναι το πλάτος του νυχιού ενός ενήλικου ατόμου και μια τυπική σταγόνα βροχής μπορεί να έχει διάμετρο 1-2 mm.²¹⁰



English: Hand derived units of measurement.

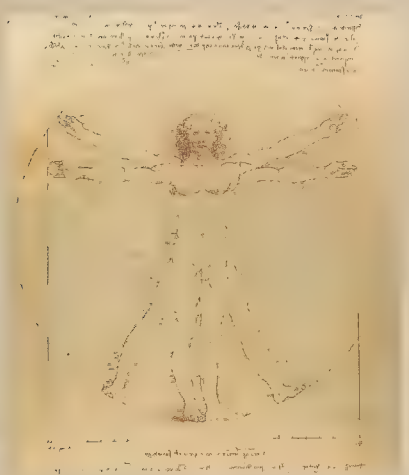
1. Shaftment (palm and extended thumb) about 2 palms or 6 inches
2. Hand (In English, a "Hand" or "Handbreadth" is commonly used to represent the width of the palm, sometimes including the thumb when closed against the palm.) about 4 inches
3. Palm (In English, a "Palm" is commonly used to represent four fingers held together, which is slightly less than the true width of the palm at the knuckles.) about 3 inches or 4 fingers
4. Span (from little finger tip to thumb tip) about 3 palms, 9 inches or 12 fingers
5. Finger (or fingerbreadth) about 3/4 inch or 1/16 foot
6. Digit (In English, "digit" and "finger" are used to represent the width of a finger. However, the value of the digit is slightly less than the value of the finger.)
7. Thumb (not indicated) about 1 inch or 1/12 foot

210

("Centimetre," 2022); πρβ. ("Is a drop of water 1 cm?," 2021); Ως προσωπικό σχόλιο

Επομένως, δεν πρέπει να προκαλείται εντύπωση μιας πιθανούς αξιοποίησης αυτών των αρχών από απομάρτυρους και αποκομμένους αρχαίους πολιτισμούς, σε παράλληλο χρόνο. Ο απλούστατος λόγος είναι ότι εκ της ανάλυσης της φύσης εξάγονται άλλοτε ίδια και άλλοτε παρόμοια συμπεράσματα, αρκούντως η επισταμένη μελέτη των δομών της.²¹¹

Εν πάση περιπτώσει, ο Βιτρούβιος επιδίδεται στην μελέτη της κλασικής εποχής και της ακμής του Ερμογένη (3^{ος} - 2^{ος} αι. π.Χ.) αρχιτέκτονα της Ελληνιστικής περιόδου, αφιερώνοντας κεφάλαια σε τυπολογίες του ελληνικού κόσμου.



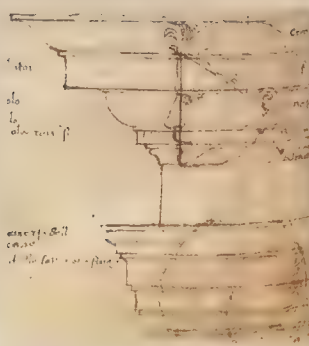
Εκτός από το Leonardo da Vinci, και άλλοι μελετητές/αρχιτέκτονες/ζωγράφοι κ.λπ. ερμήνευσαν την περιγραφή του Βιτρούβιου μέσω σχεδίων. Μεταξύ αυτών είναι ο Francesco di Giorgio Martini.²¹²



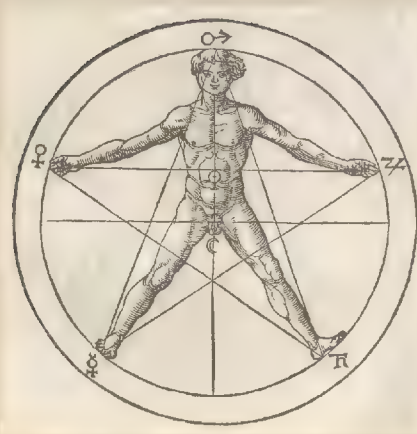
Οι αρχιτέκτονες της Αναγέννησης φαίνεται να πίστευαν αληθινά ότι «ο άνθρωπος είναι το μέτρο όλων των πραγμάτων». Όπως σημειώνει ο R. Wittkower, Βρετανός Ιστορικός τέχνης,

"this is not evidence of an anthropocentric world view. Since man was made in the image of God, so it was believed the proportions exemplified in the human form would reflect a divine and cosmic order."²¹³

Αναλόγως, τα σχέδια του Francesco di Giorgio απεικονίζουν τέτοιες αντιστοιχίσεις εννοιών και πεποιθήσεων με μεγάλη αμεσότητα.²¹⁴



Παράλληλα με το Leonardo Da Vinci, ο Γερμανός Heinrich Cornelius Agrippa von Nettesheim σχεδιάζει έναν άνθρωπο ενταγμένο μέσα σ' έναν κυκλωμένο πεντάγραμμα αστέρα²¹⁵ ή αλλιώς μέσα



σε μία πεντάλφα (πασίγνωστη φορτισμένη λέξη). Μια παρατήρηση, στο σημείο αυτό που αφορά τη σχέση γεωμετρίας, γραμμάτων και αισθητικής. Εκ της προσεκτικής παρατήρησης του γύρω περιβάλλοντος

Leonardo da Vinci.
c. 1490. Pen and ink with wash over metalpoint on paper. 34.6 cm x 25.5 cm (13.6 in x 10.0 in). Gallerie dell'Accademia, Venice, Italy

Drawing of
Francesco di Giorgio
Martini (Vitruvian Man)

The Evolution of
Designs: Biological Analogy
in Architecture and the
Applied Arts by Philip
Steadman

Trattato di
architettura di Francesco
di Giorgio Martini by
Francesco di Giorgio

Pentagram
from Heinrich Cornelius
Agrippa's De occulta
philosophia libri tres (1533).
The symbols in the circle
represent Mars, Jupiter,
Saturn, Mercury and Venus.
In the belly is the sign for
Sun, and under the cross is
the sign for Moon



Heinrich
Cornelius Agrippa von
Nettesheim (1486-1535).
Mystic, alchemist, secret
agent, physician and law
professor

211 Το ζήτημα των προϋποθέσεων παρακίνησης δεν αναπτύσσεται, καθότι χρειάζονται επίπονες συγκριτικές επιστημονικές αναλύσεις. Επομένως, λαμβάνεται ως παραδοχή ως πιθανός κοινός τόπος.

212 (The Vitruvian Man, n.d.)

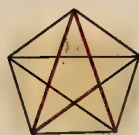
213 (The Vitruvian Man, n.d.)

214 (The Vitruvian Man, n.d.)

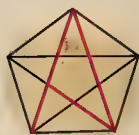
215 (Agrippa von Nettesheim, Heinrich Cornelius, 1533, σ. CLXIII)

διαπιστώνεται ότι συνεχώς είτε διεκδικείται/εμφανίζεται ως λογότυπο ομάδας, προϊόντων κτλ. είτε αναφέρεται σε διάφορες φράσεις της καθημερινότητας. Εφορμώντας από την ρύση του Αντισθένη του Κυνικού (444 π.Χ. - 366 π.Χ.): «*Ἀρχὴ σοφίας ἡ τῶν ὀνομάτων ἐπίσκεψις*» εξετάζεται η ετυμολογία της:

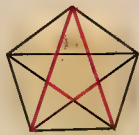
Πεντάλφα: «πέντε + άλφα». Ως παρατήρηση περί της προελεύσεως του γράμματος «Άλφα» παρατίθεται το ακόλουθο σχέδιο, όπως είχε μελετηθεί στο πρώτο τεύχος «*Παρατηρήσεων & Σχολιασμών*», «*Αρχαίο Ελληνικό Αλφάβητο*», Αύγουστος 2020. Σημειωτέων, στην πεντάλφα εντοπίζεται η «χρυσή» αναλογία, τα «χρυσά» τρίγωνα, οι «χρυσές» γωνίες (36°, 72°, 108°, ...)· τουτέστιν παρουσιάζεται η κατά των οφθαλμών ευμορφία.



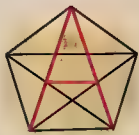
Archaic Greek "A"



Greek "A" 7th BC +



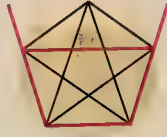
Greek "A" 7th BC +



Greek, Latin etc

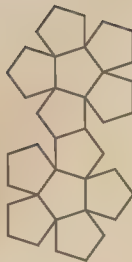
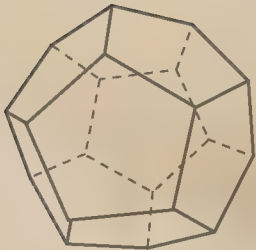


Phoenician and Semitic "A"



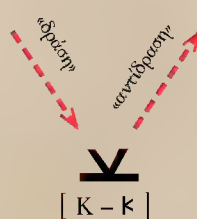
Pelasgian "A"

Δωδεκάεδρο σε προοπτικό και ανάπτυγμα.
Πλατωνικό στερεό - Σύμπαν, "Τίμαιος"
[52d-53c]



Από το γεγονός ότι τα γράμματα ανά τους πολιτισμούς είναι παρεμφερή, αλλά και οι εγχάρακτοι χαρακτήρες γλωσσικοί επικοινωνίας που χάνονται στα βάθη των αιώνων, ίσως -εξ όλων αυτών- σηματοδοτείται μία κοινή βάση, μία δεξαμενή καλύτερα, άντλησης γεωμετρικών σχημάτων που περιγράφουν ηχητικές ακολουθίες. Για αυτό το λόγο είχε τεθεί ως υπόθεση ότι κάθε γράμμα του ελληνικού αλφαβήτου (βλέπε προηγούμενη έρευνα «*Αρχαίο Ελληνικό Αλφάβητο*», Αύγουστος 2021) θα μπορούσε να περιέγραφε αφαιρετικά σημασιολογικές δομές, όπως παρουσιάζεται στη λέξη ΦΥΩ. Εφόσον, κατά τους αρχαίους κάθε γεωμετρικό σχέδιο ως ένα σύμβολο και ο αριθμός (κατ' επέκταση αλφαριθμητικό γράμμα) περιέγραφαν «μυστικές» έννοιες,²¹⁶ και τα πρώτα σχέδια του πρωτόγονου ανθρώπου αναπαριστούσαν αφαιρετικά εικόνες μιας «υπερβατικής» εμπειρίας ή παραστατικά μια εικόνα τεκμηριώνοντας τη ζωή της αγέλης (πιο αναλυτικά παρακάτω, στην *Ιστορία Εικονογραφίας*). Δεδομένου ότι, μία λέξη συνδέεται με μία νοητική εικόνα ή φαντασιακή παράσταση, η οποία «δομείται» από το «σύστημα συμβολικών παραστάσεων που διαθέτει η εκάστοτε κοινότητα»²¹⁷ δε θεωρείται άτοπο να συμβαίνει κάτι αντίστοιχο με κάποιες «πρώτες» λέξεις γλωσσών.

Οι χαρακτήρες του ελληνικού αλφαβήτου διατεταγμένοι σύμφωνα με την αφαιρετική περιγραφή της έννοιας της καθατής ουσίας των λέξεων:



BAD ΚΑΚΟΣ ΚΑΚΟΣ

Απομόνωση (K & K) ατόμου (A) από την επικοινωνία (Σ) με το «θεϊκό» στοιχείο (κύκλος) ή το κοινωνικό σύνολο (κύκλος)



GOOD ΚΑΛΟΣ ΚΑΛΟΣ



Η απομόνωση του γράμματος «A» από τα δύο γράμματα «K» περιγράφει την αποκοπή του (A) ανθρώπου από το κοινωνικό σύνολο (με ό,τι συνεπάγεται), την συμπεριφορά του ως μονάδα (A=1), τη στροφή στο προσωπικό συμφέρον. «κακός μὲν γὰρ ἐκὼν οὐδείς», Πλάτων, «*Τίμαιος*,» στ. 86e, ενώ ο καλός κάγαθός πολίτης με την σφαιρική του παιδεία και γνώση † συμβάλλει στην ανάπτυξη του πολιτισμού.

216 (The Pythagorean Sourcebook and Library: An Anthology of Ancient Writings which Relate to Pythagoras and Pythagorean Philosophy, 1987, σ. 95, 173-174); (Wells, 1981)

217 (Καρπούζος & Σκέψης, 2010, σ. 129). "Αυτές οι συμβολικές παραστάσεις αποκρυσταλλώνουν την εμπειρία και την πρακτική της κάθε κοινότητας και συνιστούν την Επικοινωνιακή Τάξη και το Συλλογικό Λόγο της, η οποία αποτελεί το νοηματικό ορίζοντα της Πολιτισμικής ζωής της. Με αυτή την έννοια, ο λόγος

για τον 'Άλλο' είναι λόγος ιδεολογικός, κυρίως αποκαλύπτει την κοινωνική νήση και τον κόσμο ζωής της εκάστοτε πολιτισμικής κοινότητας και λιγότερο αναφέρεται στην εμπειρία του 'Άλλου'."

218 (The Vitruvian Man, n.d.)

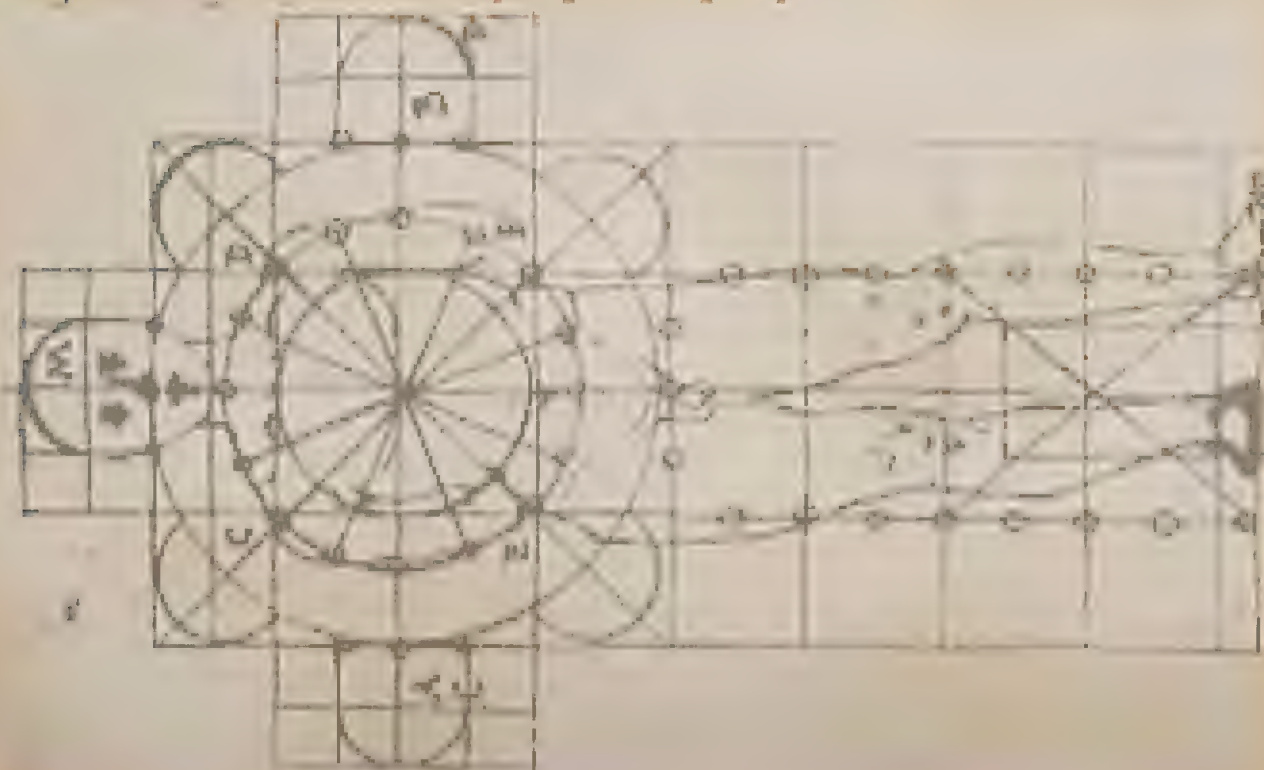
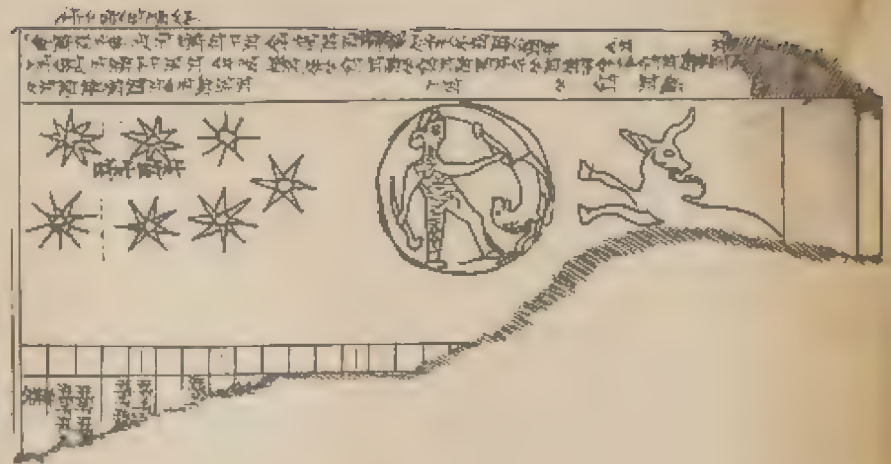
219 (Aporta, 2014, σ. 100)

† (Βρικέλλη, 2015, σ. 2). καλός κάγαθός πολίτης: εγγράμματος, ρητοφιλοσοφικά μυημένος με πολιτισμική εκπαίδευση, ηθικά και διανοητικά συγκροτημένος, ενάρετος, σοφός

13. Στο πλαίσιο της Αναγέννησης, ο Άνθρωπος του Βιτρουβίου ήταν σε μεγάλο βαθμό μέρος της τάξης που είχε ως μέτρο το σώμα και της ανάγκης για «σωστή» αναλογία. «Η τάξη βρίσκεται στο κέντρο ενός ανθρώπινου προτύπου της Ιταλικής Αναγέννησης. Ο κύκλος είναι η εικόνα της θεϊκής τελειότητας, τα πέντε πλατωνικά στερεά τα δομικά στοιχεία της, ο κόσμος και η ανθρώπινη φιγούρα είναι ο μικρόκοσμος αυτού του σύμπαντος.»

Η έκταση των μηκών της φιγούρας συμπεριλαμβάνεται στα περιγεγραμμένα σχήματα του κύκλου και του τετραγώνου.²¹⁸

Όπως συμβαίνει με τους ν-αστέρες (πεντάκτινοι, επτάκτινοι κ.ο.κ.) κατά τη Βαβυλωνιακή περίοδο στη ταμπλέτα 'VAT 7,851' (Vorderseite, Berlin), η οποία απεικονίζει το ζώδιο του Ταύρου, ενώ στον κύκλο απεικονίζεται η όψη της Σελήνης με έναν ήρωα σε κύκλο ονομαζόμενο ως 'urmahlullû' ('lion man') ανάμεσα στους αστερισμούς των Πλειάδων και του Ταύρου με χαραγμένους (7,8,9)-γραμμικούς αστέρες.²¹⁹



Trattato
di architettura
di Francesco di
Giorgio Martini
by Francesco di
Giorgio

Trattato
di architettura
di Francesco di
Giorgio Martini
by Francesco di
Giorgio



Στη δημοσιοποιημένη μελέτη ορισμένων ναών του Ελλαδικού χώρου από το 'The State University of New York', η οποία τοποθετεί στο κέντρο της τους Δελφούς. Σημειωτέον ότι, κατά την παραγωγική εκείνη περίοδο της ναοδομίας υπήρχε εξειδικευμένο εργατικό δυναμικό μετρήσεων αποστάσεων που χαρακτηριζόταν από την εξαιρετική ικανότητα του στην ακρίβεια των μετρήσεων -χωρομέτρησης και εξαιρετικές γεωμετρικές γνώσεις.²²⁰ Γεωμετρικά σχέδια τέτοιου βεληνεκού σε χάρτη, απαντώνται και σε άλλους πολιτισμούς,²²¹ ως υπογραφές βαθών γνώσεων.

Maps



Omphalos decorated with the «net», Hellenistic period, Delphi, nearby at the Apollon sanctuary, height: 1,23 m, diameter: 0,92 m, marble I.N.8194

Οι Δελφοί αναφέρονται ως ομφαλός της γης μέχρι στις μέρες μας. Για παράδειγμα, παρατίθεται το ποίημα «Γὰς ὀμφαλός» της Κ. Δημουλά²²² και παρακάτω αναλύεται εκτενέστερα μία σχετική γεωμετρική παρατήρηση περί των Δελφών:

Καντίνες. Κάτι γιὰ τό δρόμο. Σάντουιτς,
 ἀναφυκτικά, ἐμφιαλωμένο λάλον ὕδωρ.
 Μάρμαρα πάλι, ἀφιερῶματα σέ πέτρες
 50 χαραγμένες. Δύσκολα διαβάζω.
 Τό σκληρό ἔμαθα πῶς χαράζει
 ἀλλά ὄχι πῶς χαράζεται.
 Ἀργά συλλαβίζοντας ἀνασθελώνω
 μόνο τή λέξη ΕΠΤΟΗΘΗ. Μόνο; Ὅχι καί
 μόνο.
 55 Ἀκουστό ἀνά τόν κόσμο τό Ἐπτοήθη.
 Μαντεῖο.

(Χαῖρε Ποτέ, 1988)

«Ὡς ομφαλός της γης αποκαλούνταν κατά την αρχαιότητα ο χώρος των Δελφών. Γλυπτή παράσταση του ομφαλού ήταν τοποθετημένη μέσα στο άδυτο του ναού του Απόλλωνος. Αντίγραφο



— Cult of Zeus
 — Cult of Demeter
 - - - Cult of Poseidon
 — Cult of Hera
 — Notable Relationships

Map 3. Divine Cults.

220 (Eratosthenes - Biography, 2020). Ο Ερατοσθένης -μαθηματικός, γεωγράφος, αστρονόμος, γεωδαίτης- τον 3ο αι. π.Χ. υπολογίζει την ακτίνα της Γης με την βοήθεια επαγγελματιών βηματιστών. Οι αποστάσεις των τοπογραφικών χάρτων της αρχαίας εποχής μετρώνται από τους βηματιστές που περπατούσαν με σταθερούς διασκελισμούς καταγράφοντας υπεραποστάσεις.

221 (Bhame & Krupali, 2012, σ. 179-180). Hindu Temple: The Sacred Architecture and Urbanism of India "Khajurāho (Landscape Geometry) sacredscape as archetypal cosmogram & hexagram"

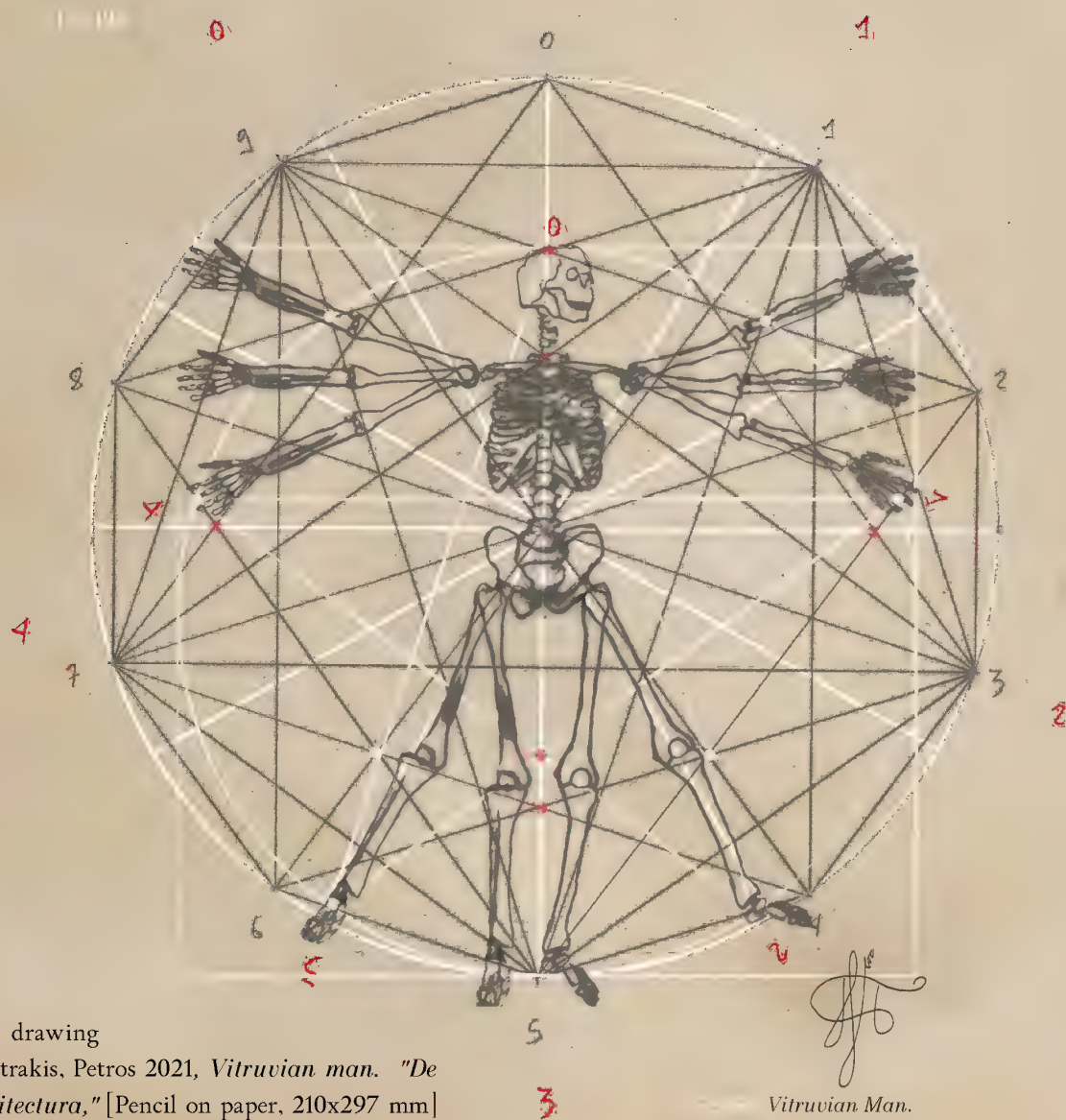
222 ("Κ. Δημουλά, 'Γὰς Ομφαλός,'" n.d.)

του περίφημου δελφικού ομφαλού συναντάται ανεβαίνοντας τη σκάλα του μουσείου των Δελφών.»



Σε επίπεδο σχεδιασμού παρατηρείται το γεωμετρικό σχέδιο (Εικ. 198), το οποίο τοποθετείται στο κέντρο του οι Δελφοί. Συμπτωματικά, η διέπουσα σχεδιαστική λογική του γεωμετρικού σχεδίου της ακολουθίας $f_n \pmod{10}$ από την αναγωγή της στον κύκλο διαπιστώνεται ότι είναι παρόμοια και ότι το κεντρικό σχέδιο της ομοιάζει με του χάρτη, ωστόσο δεν είναι ίδιο, ενώ όταν τοποθετηθούν και τα δύο στον κύκλο έχουν 2 κοινούς άξονες συμμετρίας και 5 ακριβή σημεία αλληλοτομίας

ενός ζεύγους τεμνόμενων χορδών του $f_n \pmod{10}$ και μίας διαμέτρου των 12 σημείων. Το σχέδιο της $f_n \pmod{10}$ ταυτίζεται με τις αναλογίες του ανθρωπίνου σώματος του σχεδίου "Vitruvian Man" όπου το κέντρο της χάραξης του κύκλου είναι ο αφαλός του ανθρώπου (ταυτόσημη λέξη: ομφαλός). Εκτός αυτών, σχεδιαστικά, ο πεντάγραμμος αστέρας (πιθανό σχήμα εκ της αναγωγής σε κύκλο της περιοδικής ακολουθίας $f_n \pmod{5}$) αποτελεί μέρος του πιθανού γεωμετρικού σχήματος της ακολουθίας $f_n \pmod{10}$, καθώς ανάγεται σε κύκλο. Επιπλέον, από την μελέτη και την διερεύνηση της ακολουθίας N-bonacci $f_n + 1 = N \times F_n + f_{n+1}$ [για $N = n = N^*$ για $f_0 = 0, f_1 = 1$] παρατηρείται ότι επιφέρει ίδια γεωμετρικά αποτελέσματα για modulus²²³ 5 & 10²²⁴ όταν ανάγονται σε κύκλους. Ακολουθεί ένα σχέδιο παρατηρήσεων, ως μία προσωπική προσέγγιση και ερμηνεία, σχετιζόμενη με το χωρίο του Βιτρούβιου [«Περί Αρχιτεκτονικής», III, I, 1-4] και των προαναφερθέντων:



Αναγωγή των ψηφίων (0,1,2,3,4,5,6,7,8,9) σε κύκλο και ένωση των σημείων σύμφωνα με τη σειρά που ακολουθούν:

$f_n \pmod{10}$: {01123 58314
59437 07741 5617853819
09987 52796 51673 03369
54932 57291}

$f_n \pmod{5}$: {01123 03314
04432 02241}

own drawing

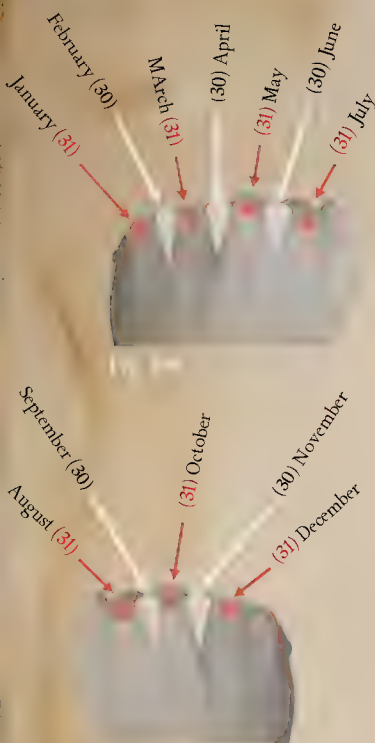
© Petrakis, Petros 2021, *Vitruvian man. "De architectura,"* [Pencil on paper, 210x297 mm] Athens.

Vitruvian Man.
By Petrakis Petros (Author)

223 Modulus: Διαίρετης μιας ακολουθίας ακεραίων αριθμών εκ της οποίας εξάγονται τα υπόλοιπα της επαναλαμβανόμενης αυτής διαδικασίας, έως ότου παρατηρηθεί μία περιοδικότητα στην νέα ακολουθία των εξαχθέντων υπολοίπων. Το πλήθος της ατελούς ή τέλειαις διαίρεσης πρέπει να είναι πάντοτε ακέραιο, όχι δεκαδικό. $\Delta \pmod{\delta}$ (Y_1, Y_2, \dots, Y_n) για $\Delta n / \delta n$ πη όπου (Y, δ, π) $N, n \Delta N^* \pi$ δηλ. Δ modulo δ

224 (Dunlap, 1997, σ. 57) $f_n \pmod{5}$: 01123033140443202241 ; ("The First 300 Fibonacci Numbers, Factored," n.d.) $f_n \pmod{10}$ αρκεί η απομόνωση των περιοδικών μονάδων των 60 πρώτων ψηφίων της ακολουθίας Fibonacci $f_n \pmod{10}$: 011235831459437077415617 853819099875279651673033695493257291

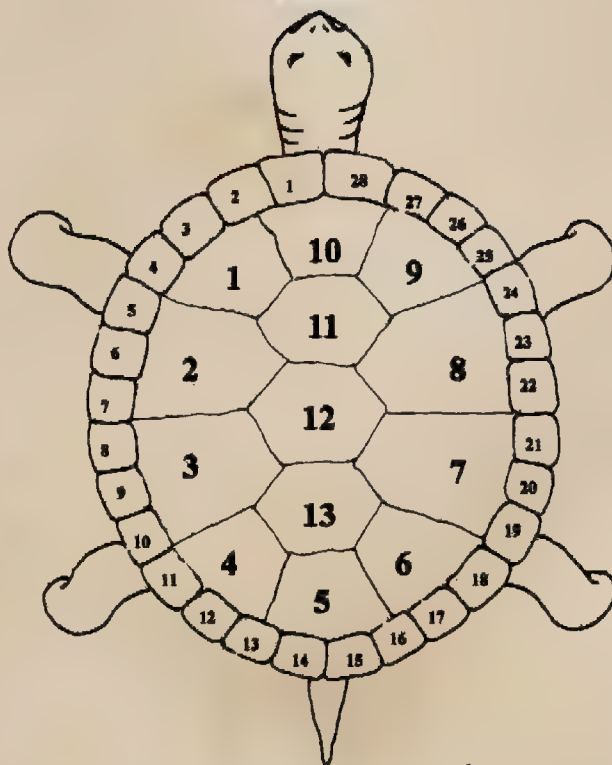
14. Αξιοσημείωτη θεωρείται η αρχέγονη προσπάθεια του ανθρώπου, μέσω της αδιάκοπης ουράνιας παρατήρησης, υπολογισμού της ημέρας-νύκτας, των κύκλων της Σελήνης, των εποχιακών κύκλων κτλ.²²⁵ Αυτή η συστηματοποίηση της προσπάθειας, πιθανώς επέφερε την αναγωγή όλων αυτών στο ανθρώπινο σώμα, σε εγχάρακτα ξύλινα αντικείμενα και κατόπιν βαθύτερης παρατήρησης στο ζωϊκό βασίλειο, λ.χ. στην χελώνα²²⁶ (με τη δημιουργία σεληνιακού ημερολογίου). Επίσης, σημειώνεται από την προφορική μικρασιατική και κρητική παράδοση λόγω καταγωγής του υποφαινόμενου ενός πρακτικού τρόπου υπενθύμισης των ημερολογιακών μεταβολών των ημερών κάθε μήνα (εναλλαγή 30-31 ημερών) που του μετέδωσε η μητέρα της μητέρας του κ.ο.κ. Όπως διαπιστώθηκε κατόπιν αναζήτησης, αυτή η γνώση είναι κοινή και σε άλλους λαούς· μεταδίδεται με τον ίδιο τρόπο. Δυστυχώς όμως, πολλές άλλες αντίστοιχες γνώσεις «σιγοσβήνουν» στο πέρασμα του χρόνου.



(Parks Blog (Ontario), 2018). "Many First Nations teachings, including those of the Anishinaabe and the Haudenosaunee people, use the back of a turtle's shell as a lunar calendar.

Depending on how we measure a lunar month, the moon goes around the earth in approximately 28 days.

This means that in one year (365 days), the moon goes around 13 times, giving us 13 lunar months with 28." days each.

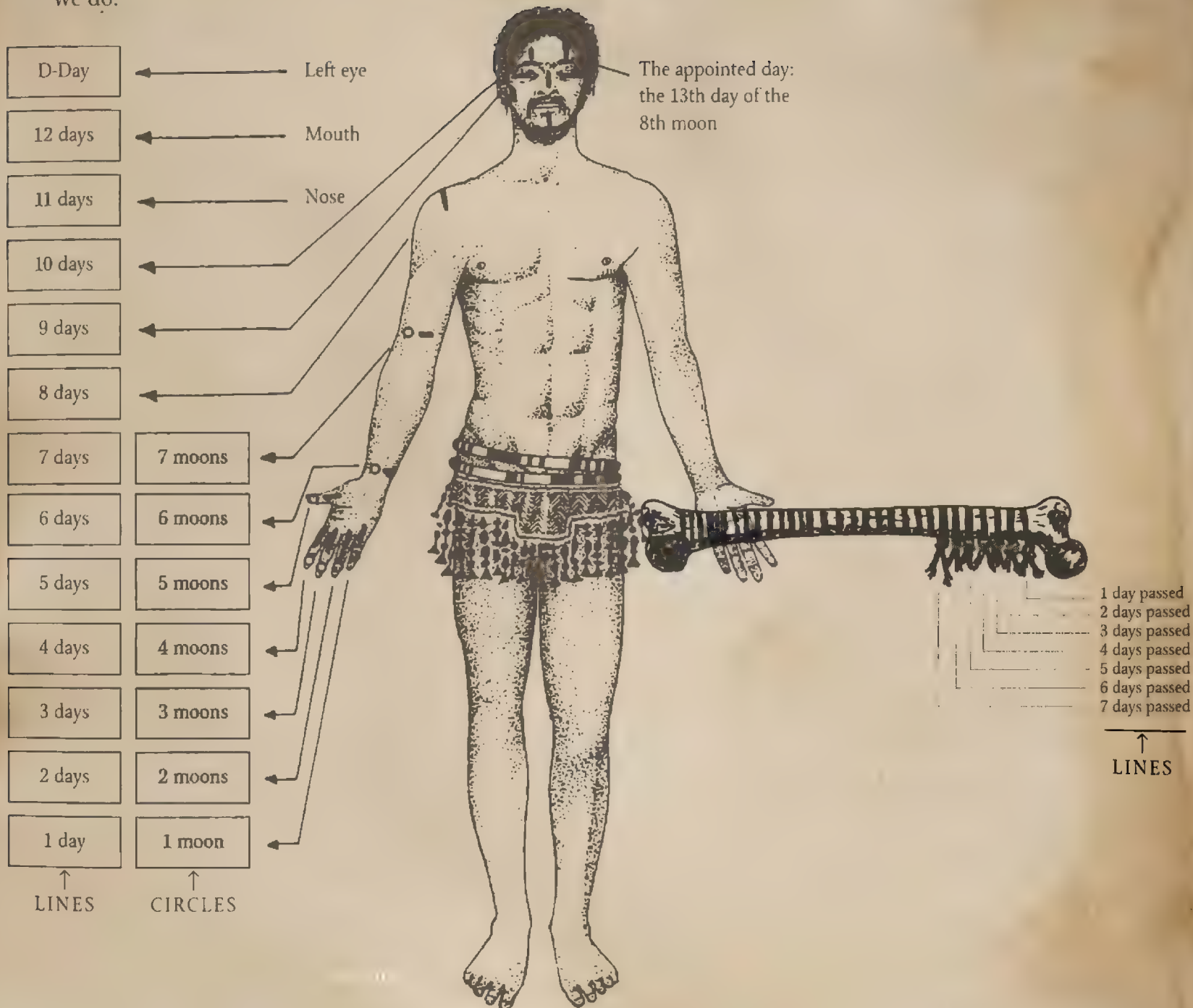


Detail from a "material model" of a lunar calendar formerly in use amongst tribal populations in former Dahomey (West Africa). It consists of a strip of cloth onto which 30 objects (seeds, kernels, shells, hard fruit, stones, etc.) have been sewn, each standing for one of the days of the month. (The fragment above represents the last 7 days). From the Musée de l' Homme, Paris.

225 (Ifrah, 2000, σ. 17-19)

226 (Ontario Native Literature Coalition, 2010)

we do."



(Ifrah, 2000, σ. 18). "Empirical calendar: This is based on the observation of the first quarter after the end of each cycle. With the help of model collections inherited from forebears, many generations of whom must have contributed to their slow development, the community can in fact «mark time» and compute the date thus expressed without error,

The bone is tally stick with 30 incised notches, the sort used whenever it is necessary to reckon the days of a given moon in their order of succession.

On hearing the shaman's pronouncement, the chief of the tribe paints a number of marks on his own body with some fairly durable kind of colouring material, and these marks enable him to record and to recognise the festival date unambiguously. He first records the series of reappearances that the moon must make from then until the festival by painting small circles on his right-hand little finger, ring finger, middle finger, index finger, thumb, wrist, and elbow. Then he records the number of days that must pass from the appearance of the last moon by painting a thin line, first of all on each finger of his right hand, then on his right wrist, elbow, shoulder, ear, and eye, then on his nose and mouth. To conclude, he puts a thick line over his left eye, thereby symbolising the dawn of the great day itself.

This reconstitution of a non-numerate counting system conforms to many of the details observed in Australian aboriginal groups, who are able to reach relatively high numbers through the (unvocalised) numeration of parts of the body when the body-points have a fixed conventional order and are associated with manipulable model collections - knotted string, bundles of sticks, pebbles, notched bones, and so on."

Αποτελέσματα εξελιγμένων μαθηματικών και γεωμετρικών γνώσεων στην Ανατολή



την Ινδουιστική αρχιτεκτονική τα αποτελέσματα των εξελιγμένων μαθηματικών (εμφάνιση και ανάπτυξη 10-δικού συστήματος αρίθμησης),²²⁷ γεωμετρικών και τεχνικών γνώσεων καταδεικνύονται από τα παρακάτω παραδείγματα μνημείων, πλείστα από τα οποία αναγνωρίζονται ως μνημεία παγκόσμιας πολιτιστικής κληρονομιάς από την UNESCO. Επίσης, αξιοθαύμαστο θεωρείται ότι το υλικό πολλών αναφερόμενων μνημείων είναι από κατεργασμένο γρανίτη.

Pillars inside the temple



Ranakpur Jain temple or Chaturmukha Dharana Vihara is a Śvetambara (means «white-clad», one of the two main branches of Jainism, the other being the Digambara/«sky-clad») Jain temple at Ranakpur. West India. 15th c. AC

*Jambudvīpa is a name often used to describe the territory of Greater India in Ancient Indian sources.

The Hanging Pillar of Lepakshi Temple (Veerabhadra temple**) 16th c. AC. Lepakshi, Anantapur District of Andhra Pradesh, India. Vijayanagara architecture.

**Veerabhadra temple is famed for another engineering wonder. Among the 70 stone pillars, there is one that hangs from the ceiling. The base of the pillar barely touches the ground and is possible to pass objects such as a thin sheet of paper or a piece of cloth from one side to the other.



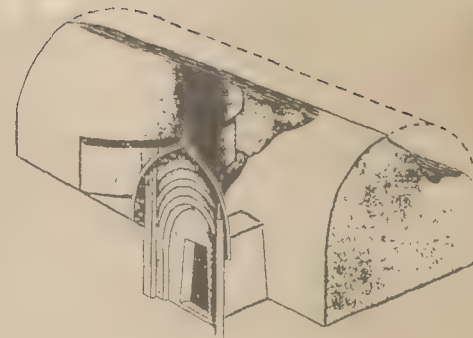
Jambudvīpa* Rachna



Fig. 204

Ακολουθούν μερικά συνοπτικά παραδείγματα:

Τα σπήλαια του λόφου Barabar θεωρούνται τα παλαιότερα σωζόμενα σε βράχο σπήλαια στην Ινδία, χρονολογούνται από την Αυτοκρατορία Maurya (322 – 185 π.Χ.) και βρίσκονται στην περιοχή Makhdumpur της περιοχής Jehanabad, Bihar, India, 24 km βόρεια της Gaya.²²⁸



(above) Photograph and volume representation of Lomas Rishi Cave. The digging of the vault has never been finished.

The famous carved entrance of Lomas Rishi cave, dated to approximately 250 BC, making it the first known Maurya relief.

227 (Ifrah, 2000, σ. 366-407); Όπως έχεις αναλυθεί σε προηγούμενη έρευνα του υποφαινόμενου (2021 Αύγουστος). «Αρχαίο Ελληνικό Αλφάβητο Παρατηρήσεις και Σχόλια», Αθήνα

228 ("Barabar Caves," n.d.)

Οι 'Elora Caves' στην περιοχή Aurangabad της Maharashtra της Ινδίας. Ένα από τα μεγαλύτερα συγκροτήματα σπηλαίων Ινδουιστικών ναών στον κόσμο, λ.χ. ναός Kailasa, με μνημεία Βουδιστών και Τζαϊνιστών και έργα τέχνης που χρονολογούνται από την περίοδο του 600–1,000 μ.Χ.²²⁹



(left) Kailasanatha temple, remarkably carved out of one single rock was built by Rashtrakuta king Krishna I, dedicated to Shiva. 756–773 AC. Cave 16

(right) Shikhar of Indra Sabha. Jain Temple. 7th–11th c. AC. (cave 32, 13 excavations)

Το 'Sigiriya' (3^{ος} αι. π.Χ. – 5^{ος} αι. μ.Χ.) αποτελούσε ένα αρχαίο φρούριο βράχου (περίπου 180m), βρίσκεται στη βόρεια περιοχή Matale κοντά στην πόλη Dambulla στην κεντρική επαρχία της Sri Lanka.²³⁰



The rock fortress of the mighty King Kasyapa who created both legend and lore with the help of this mighty citadel.

Οι Βουδιστικές σπηλιές της 'Ajantā'²³¹ (2^{ος} αι. π.Χ. – 5^{ος} αι.μ.Χ.) στην περιοχή Aurangabad, πολιτεία Maharashtra της Ινδίας.



The Ajanta Caves

Cave 19, Ajanta, a 5th-century chaitya hall.

: Interior of Ajanta chaitya hall, Cave 26, photo by Robert Gill (c. 1868)

Το μνημειακό συγκρότημα 'Pancha Rathas' του Mahabalipuram της Coromandel ακτής της Βεγγάλης του 7^{ου} αι. μ.Χ.²³²



Bhima Ratha



Dharmaraja Ratha

229 ("Ellora Caves," 2019)
230 ("Sigiriya," 2020)

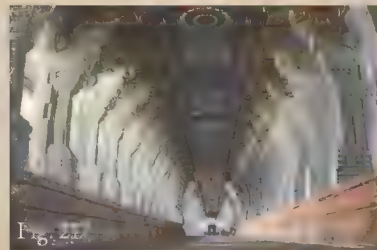
231 ("Ajanta Caves," 2019)
232 ("Pancha Rathas," n.d.)

Ο ναός 'Sree Padmanabhaswamy'²³³ (7^{ος} - 8^{ος} αι. μ.Χ.), ένας ινδουιστικός ναός που βρίσκεται στο Thiruvananthapuram, την πρωτεύουσα της πολιτείας της Kerala της Ινδίας. Θεωρείται ως ο πλουσιότερος τόπος λατρείας στον κόσμο. Το όνομα της πόλης "Thiruvananthapuram" που στα 'Malayalam' μεταφράζεται ως "The City of Lord Ananta" ή "The City Of Lord Vishnu".

Sree Padmanabhaswamy

Vault B door with Cobra guardians

Interior of the temple



Ο ναός 'Vettuvan Koil'²³⁴ (8^{ος} αι. μ.Χ.) στο Kalugumalai, στην πόλη Panchayat της περιοχής Thoothukudi στην πολιτεία Tamil Nadu της Νότιας Ινδίας.

Side view of Vettuvan Koil rock cut temple



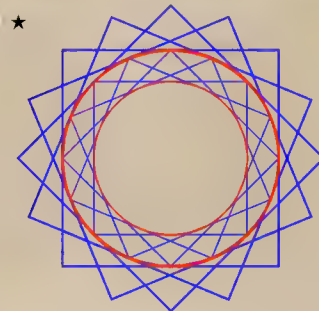
Sculpture in the temple



Το μνημειακό συγκρότημα 'Khajuraho' με τους ινδουιστικούς και τζαϊνικούς ναούς στην περιοχή Chhatarpur, Madhya Pradesh, της Ινδίας από το 885 - 1,050 μ.Χ.²³⁵



Kandariya Mahadeva (the largest temple). Hinduism. Shiva. 1029



★ The design principle of Hindu temples extensively uses circles and squares - both in their horizontal layout and vertical spire design. This is almost universal in ancient Hindu temples found in India, as well outside South Asia. Designs that use harmonic ratios other than perfect square and circle are known, but these too are precise mathematical series and ratios embedding squares and circles inside rectangles (1:2, 1:3, 2:3, 2:5, etc).

For spires rising towards the sky, above the Brahma padas of Hindu temples, concentric turning-square geometric principles are very common (shown). This is both a structural design derivation as well as representative of philosophical beliefs of Hindus. These are described in ancient Sanskrit texts called Vastu sastras (science of dwelling) - the source of above drawing.

Publication: Journal of the Society of Architectural Historians, Vol. 65, No. 1 (Mar., 2006), pp 26-49

Lakshmana Temple, Hinduism, Vaikuntha Vishnu, 10th c. AC



233 ("Padmanabhaswamy Temple," n.d.)
234 ("Vettuvan Koil," 2021)

235 ("Khajuraho Group of Monuments," 2020)

Το κάτω από το επίπεδο του εδάφους 'Rani Ki Vav'²³⁶ ('The Queen's Stepwell') στο Patan, της πολιτείας Gujarat της Ινδίας από το 1,022 – 1,064 μ.Χ.

Rani Ki Vav,
view from the
top



Inside
Rani Ki Vav



Geometric lattice patterns and designs resembling
Patola† textile designs

†(Patola Sari, n.d.). Patola is a double ikat* woven sari, usually made from silk**, made in Patan, Gujarat, India

* (Ikat, 2019). Ikat is a dyeing technique originating from Indonesia used to pattern textiles that employs resist dyeing on the yarns prior to dyeing and weaving the fabric.

** (Silk, 2018). Silk is a natural protein fiber, some forms of which can be woven into textiles.

Ο ιστορικός Ινδουιστικός ναός, γνωστός ως 'Thousand Pillar Temple' ή 'Rudreswara Swamy Temple' (1,175 – 1,244 μ.Χ.) εντοπίζεται στην πόλη Hanamakonda, στην πολιτεία Telangana της Ινδίας, αφιερωμένος στους 'Lord Shiva', 'Vishnu' και 'Surya.'

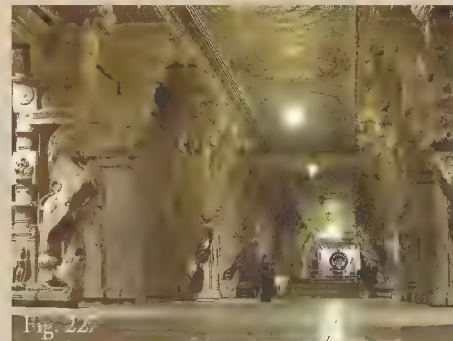
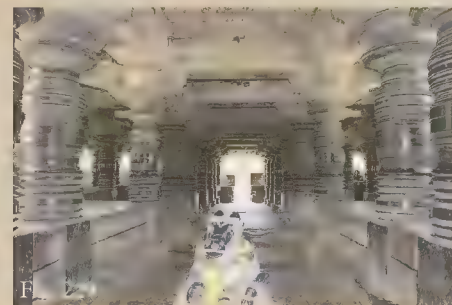


Fig. 22.

Ο ναός 'Amruteshwar'²³⁷ (12^{ος} αι. μ.Χ.) Βόρεια της πόλης Chikmagalur στην περιοχή Chikkamagaluru της πολιτείας Karnataka, της Ινδίας.



Open mantapa (hall) with shining,
lathe-turned pillars in Amrutesvara temple at
Amruthapura



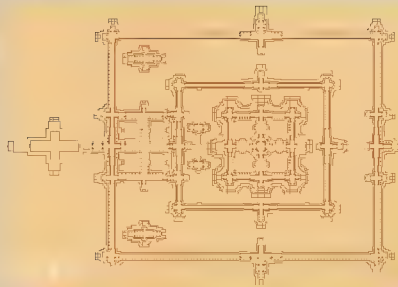
Domical
ceiling art at
Amrutesvara
temple,
Amruthapura

Στη Βόρεια Καμπότζη εντοπίζεται το συγκρότημα ναών 'Angkor Wat'²³⁸ (αρχές 12^{ου} αι. μ.Χ.) που σημαίνει 'Temple City' ή 'City of Temples'. Το συγκρότημα αυτό, αποτελεί εθνικό σύμβολο και ιερός τόπος του καμποτζιανού βουδισμού.



Angkor Thom is one of the largest temples in the region. Enclosed by an eight metre-high wall and 100 metre-wide moat, the former 'Great City' contains several large temples, including Bayon, intricate carvings and famous stone heads of the god-kings.

Angkor Wat plan.



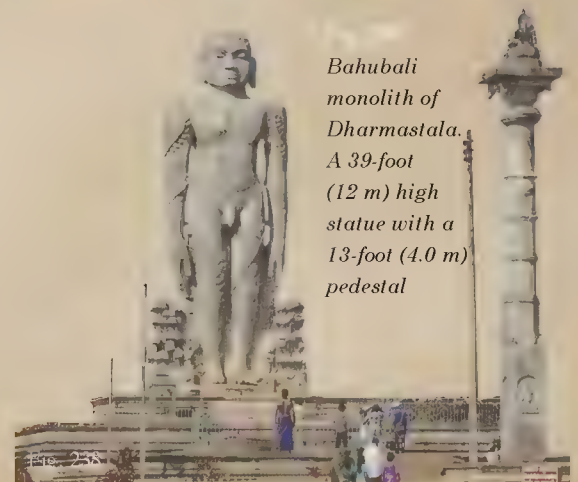
Τα 6 μονολιθικά αγάλματα του 'Bahubali' στο 'Karnakata'²³⁹ (12^{ος} αι. μ.Χ. - 20^{ος} αι. μ.Χ.).



Karkala is known for its 42 ft (13 m) monolithic statue of Gomateshwara Bahubali

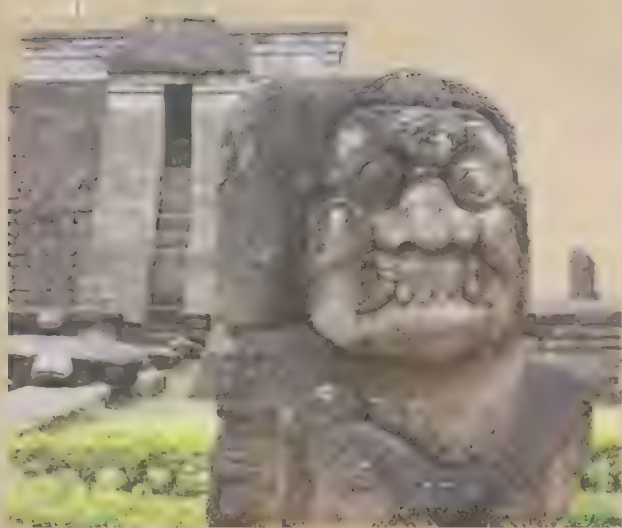


Gommatagiri is an acclaimed Jain centre. The 12th-century granite statue of Bahubali, also known as Gomateshwara, is erected atop a 50-metre (160 ft) tall hillock called 'Shravana Gudda'



Bahubali monolith of Dharmastala. A 39-foot (12 m) high statue with a 13-foot (4.0 m) pedestal

Ο ναός 'Sukuh'²⁴⁰ (15^{ος} αι. μ.Χ.) στο Berjo, της περιοχής Ngargoyoso, κεντρική Java της Ινδονησίας. Ο ναός τοποθετείται στη δυτική πλαγιά του 'Mount Lawu' (910m) και έχει ύψος 87m.



Παράλληλα, σε ευρωπαϊκό επίπεδο, όπως και στην ανατολή (λ.χ. Dravidian Architecture²⁴¹), την ίδια άνθιση της εν σοφία συνδυασμού των περίπλοκων γεωμετρικών αρμονικών σχημάτων- τηρημένων αρχών (μηχανικής, αισθητικής, φιλοσοφίας, θεολογίας, κτλ.) στην αρχιτεκτονική γνώρισε η Ρωμαϊκή, η Βυζαντινή, η Καρολίγγεια, η Ρομανική, η Γοτθική, η Αναγεννησιακή, το Μπαρόκ, ο Νεοκλασικισμός, ο Μοντερνισμός, μέχρι ο 21^{ος} αι. μ.Χ. **Πυρήνες πνεύματος και φωτός που ακτινοβολούν αέναα στους αιώνες των αιώνων με τα ορμητικά ρεύματα ευμορφίας, τα οποία πηγάζουν από τα βουνά της γνώσης και της βαθιάς θείας σοφίας προκαλώντας σιωπηρές εκρήξεις θαυμασμού και ψυχικής ανάτασης.**



(Sagrada Família, n.d.). The Basilica i Temple Expiatori de la Sagrada Família, also known as the Sagrada Família, is a large unfinished minor basilica in the Eixample district of Barcelona, Catalonia, Spain. Designed by the Catalan architect Antoni Gaudí (1852-1926), his work on the building is part of a UNESCO World Heritage Site.



Interior of the Sagrada Família. Detail of the roof in the nave. Gaudí designed the columns to resemble trees and branches.[

240 ("Sukuh," n.d.)

241 ("Dravidian architecture," 2020). 'Dravidian architecture or the South Indian temple style is an architectural idiom in Hindu

temple architecture that emerged in the southern part of the Indian subcontinent or South India and in Sri Lanka, reaching its final form by the sixteenth century.'; (RajRAS, 2017)

Δομές - Αρχιτεκτονική

Σε επίπεδο αρχιτεκτονικής ο άνθρωπος φαίνεται να «μιμείται» μορφές της φύσης και να την μετασχηματίζει δημιουργώντας νέα αρχιτεκτονικά έργα, μελετώντας την κεκτημένη γνώση και αναδιατυπώνοντας τις αρχές της. Ως γνωστόν, ο άνθρωπος είναι ένα προϊόν της κοινωνίας, ενός συνόλου ανθρωπίνων σχέσεων που διαμορφώνεται με βάση τις πολιτισμικές παραστάσεις,²⁴² κατά παρόμοιο τρόπο, το αρχιτεκτονικό έργο, είναι ένα προϊόν μελέτης του συνόλου φύσης των φυσικο-μαθηματικών και

των γεωμετρικών σχέσεων. Υπακούοντας σε μία βάση -νομοτέλεια- αναπτύσσει τις μορφές του, ομιλεί την μοναδική του γλώσσα: «ψιθυρίζοντας» την ιστορία του, περιπλέκεται μέσα στο χώρο οργανώνοντας έναν πυρήνα φιλοσοφίας· διεγείροντας το πνεύμα· προκαλώντας «μυστικές» εμπειρίες (ανάταση ψυχής). Σε ολόκληρη τη φύση εμφανίζονται επαναλαμβανόμενα δομοστοιχεία, τα οποία υποδηλώνουν έναν κωδικοποιημένο τρόπο ανάπτυξης του αισθητού (υλικού) κόσμου. Συνεπακόλουθα η δομή και η μορφή του θα παρουσιάζει αρκετές ομοιότητες με αυτήν, αφού αποτελεί ένα αναπόσπαστο μέλος της φύσης.

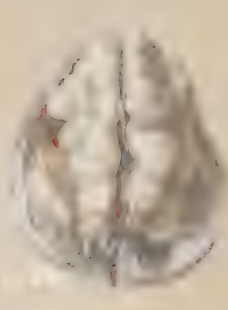
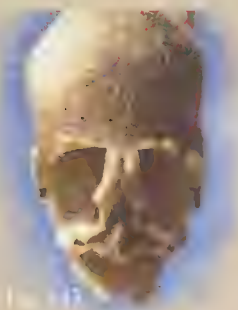
Fig. 244 (Scarab - Artifact, 2019). Commemorative Marriage Scarab for Queen Tiye from Amenhotep III. Walters Art Museum, Baltimore

Fig. 24 Snapdragon seed pods look like tiny human skulls.

Fig. 240 Walnut

Fig. 241 Print of Anatomy of human skull, cutaway view with half brain showing.

Fig. 242 Boston, B. H. Sanborn & co (1903). Human skull bones, view from above (An academic physiology and hygiene



Mariano di Jacopo, also known as Taccola, was an engineer-author in the Sienese renaissance who kept notebooks of drawings and sketches like those of Leonardo. In his notebooks, we come across his version of the Vitruvian man: (Istituto e Museo di Storia della Scienza, Florence, Italy)

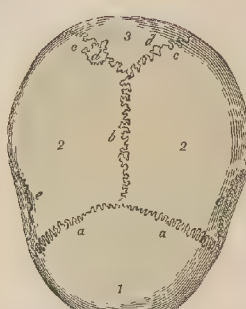
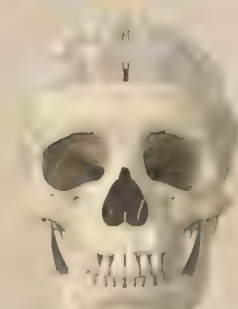
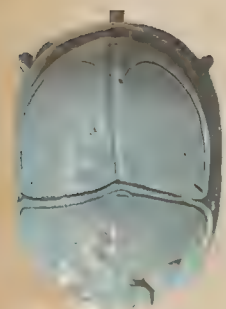
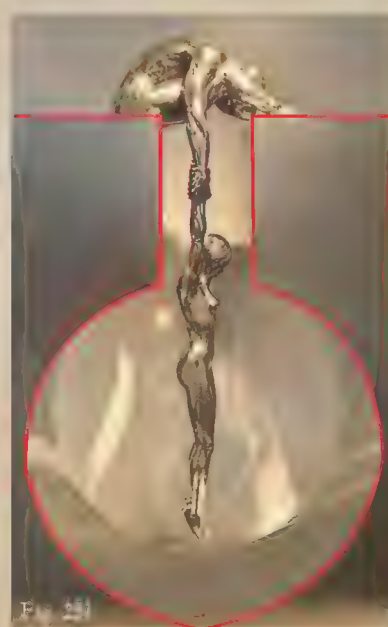


Fig. 240 Fra Giovanni Giocondo was an Italian architect and scholar who would eventually take over Bramante's post as a superintendent to the building of St. Peter's in Rome. In his work as a scholar, he provided the first printed and illustrated edition of De Architectura in 1511. He used the following two images to capture the idea of the Vitruvian man in his edition. (Source: Scanned from Architectural Principles in the Age of Humanism by Rudolf Wittkower)



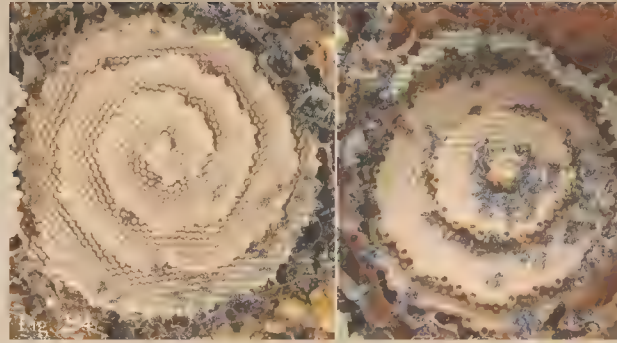
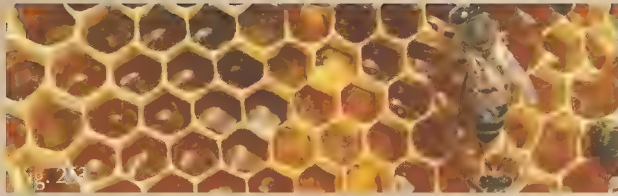
Fig. 252 Photographer Clint Ralph spotted a hawk walking in search of food



Gravity by Lorenzo Quinn

TIME ΩΡΑ ΩΡΑ

Με άλλα λόγια, ο ίδιος ο άνθρωπος παράγει δομές και μορφές μέσα από τις προσλαμβάνουσες του, επομένως οι δημιουργίες του μήπως τελικά ομοιάζουν με αυτήν ως θείο δώρο;



Beehive

Beehive, Spiral

Construction of a geodesic dome at Roskilde Festival 2012.
kristoffer tejlgaard + benny jepsen



New Bursa Stadium (Hexagon Park). Turkey,
Stadiumconcept architects

OESIS | A030132 | Digital root★ of Fibonacci(n)
Formula: $a(n+1) = \text{sum of digits of } (a(n) + a(n-1))$.
Periodic with period 24 given by {1, 1, 2, 3, 5, 8, 4, 3, 7, 1, 8, 9, 8, 8, 7, 6, 4, 1, 5, 6, 2, 8, 1, 9}

Η ακολουθία F_n των αριθμών Fibonacci ορίζεται από τον εξής αναδρομικό τύπο:

$$F_{n+2} = F_{n+1} + F_n$$

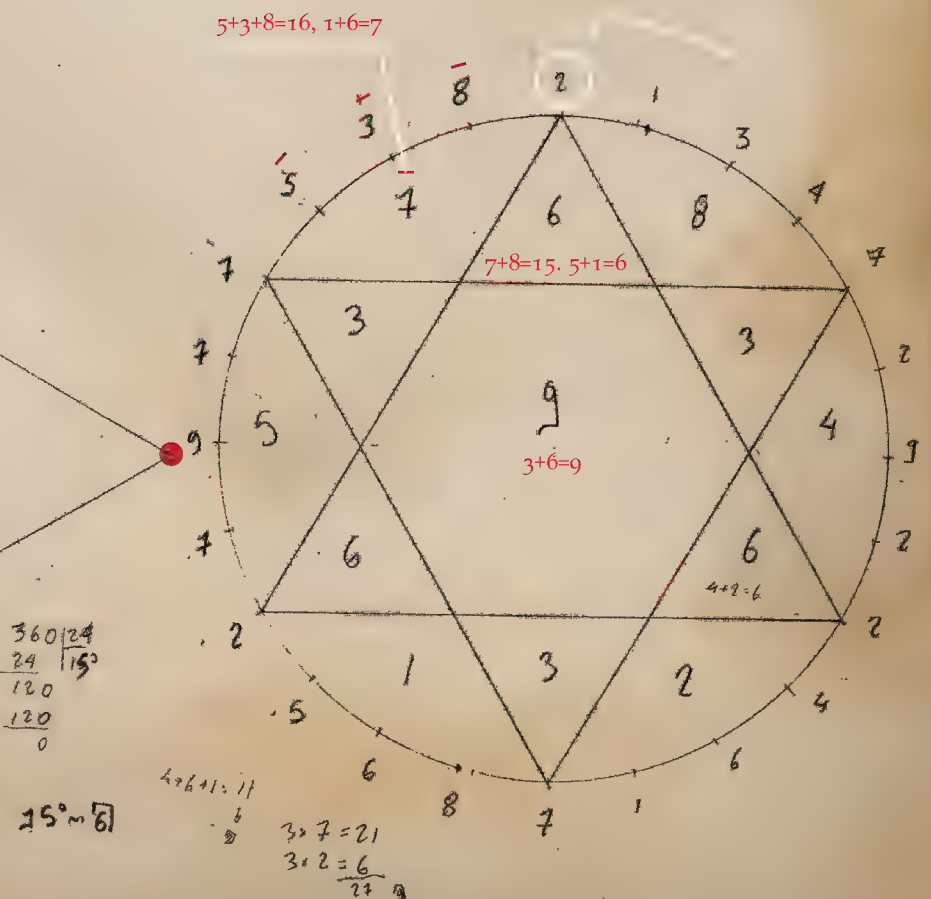
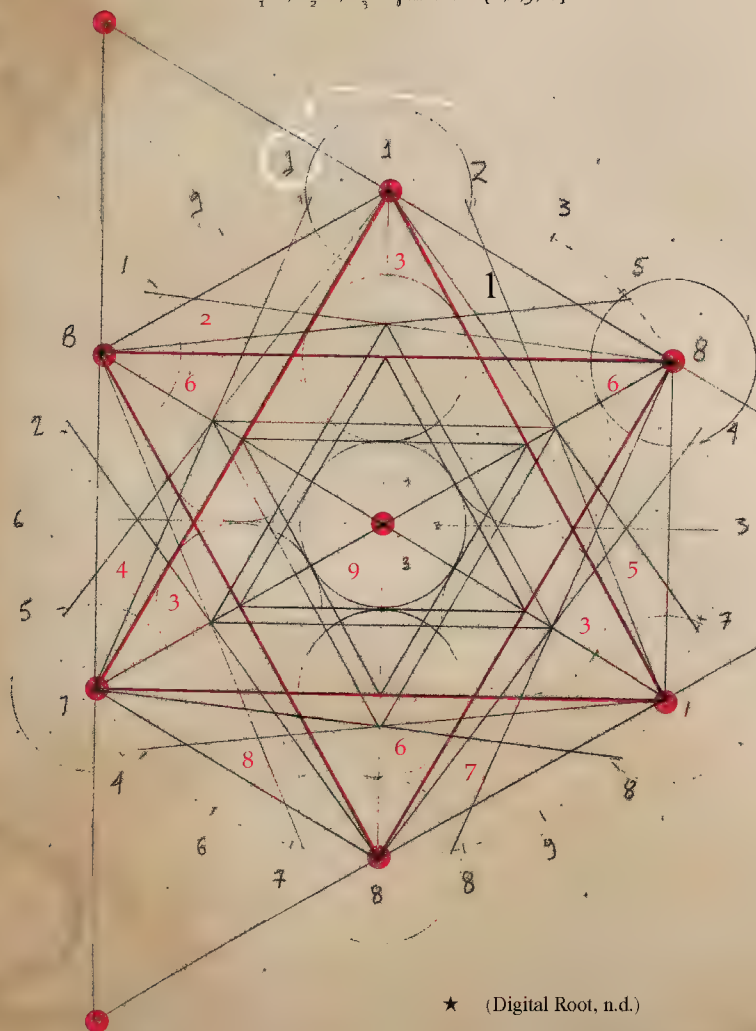
$$F_1=1, F_2=1, F_3=2 \text{ για } n=N^*=\{1,2,3, \dots\}$$

OESIS | A030133 | Digital root★ of Lucas(n)
Formula: $a(n+1) = \text{sum of digits of } (a(n) + a(n-1))$.
Periodic with period 24 given by {2, 1, 3, 4, 7, 2, 9, 2, 2, 4, 6, 1, 7, 8, 6, 5, 2, 7, 9, 7, 7, 5, 3, 8}

Η ακολουθία L_n των αριθμών Lucas ορίζεται από τον εξής αναδρομικό τύπο:

$$L_{n+2} = L_{n+1} + L_n$$

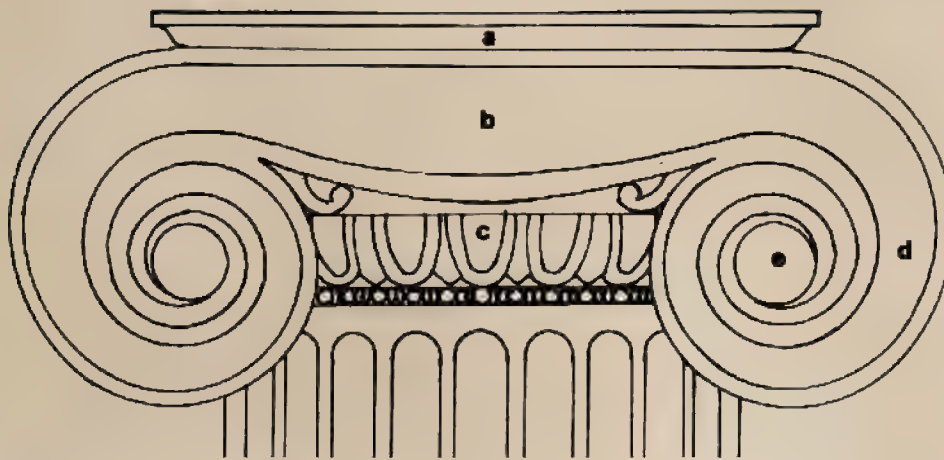
$$L_1=2, L_2=1, L_3=3 \text{ για } n=N^*=\{1,2,3, \dots\}$$



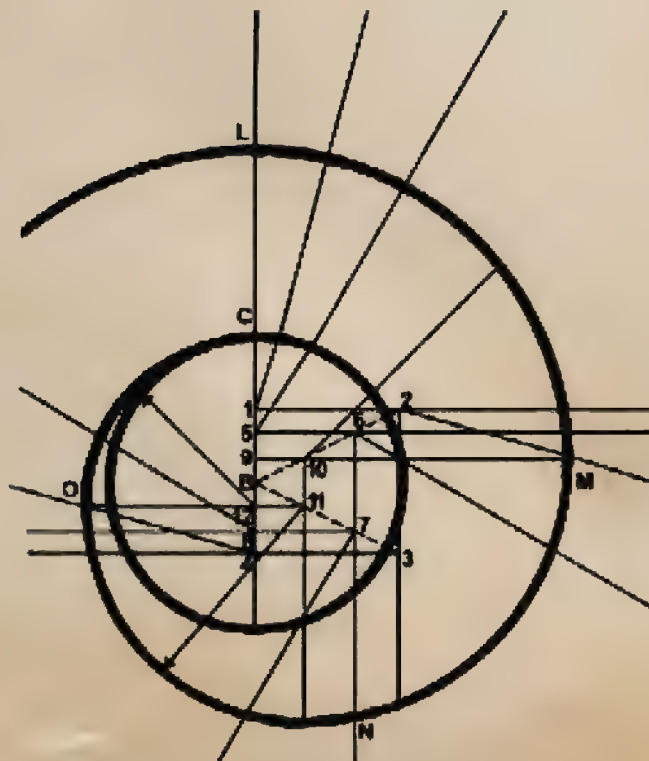


The spiral structure of the cochlea of the internal ear, which contains the auditory nerve endings.





*The Ionic capital and its components:
a) abacus; b) cushion; c) echinus; d) volute; e) eye.*



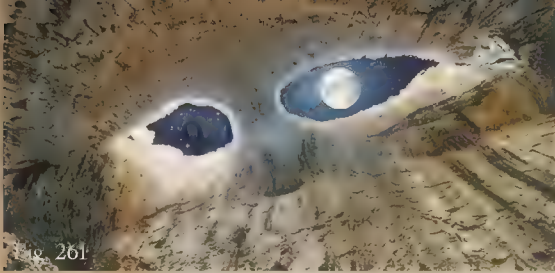


Fig. 261



Fig. 262

Fig. 263



Fig. 261: God's Eye in Perchedon cave, Belgium

Fig. 262: Archos National Park, Grand Canyon, Utah, United States

Fig. 263: Milky Nebula, God's eye

Fig. 264: The 'cosmic web', the large scale structure of the universe. Each bright box is an entire galaxy, while the purple filaments show where material exists between the galaxies. This visualization is based on a scientific simulation of the growth of structure in the universe.

Fig. 265: Human Eye. What body parts are exceptionally beautiful under a microscope?

Fig. 266: Nucleic Acid Double Helix, DNA Helix, Genome Nucleic Acid Structural Formula

Fig. 267: Webb Space Telescope



Fig. 267

Fig. 264

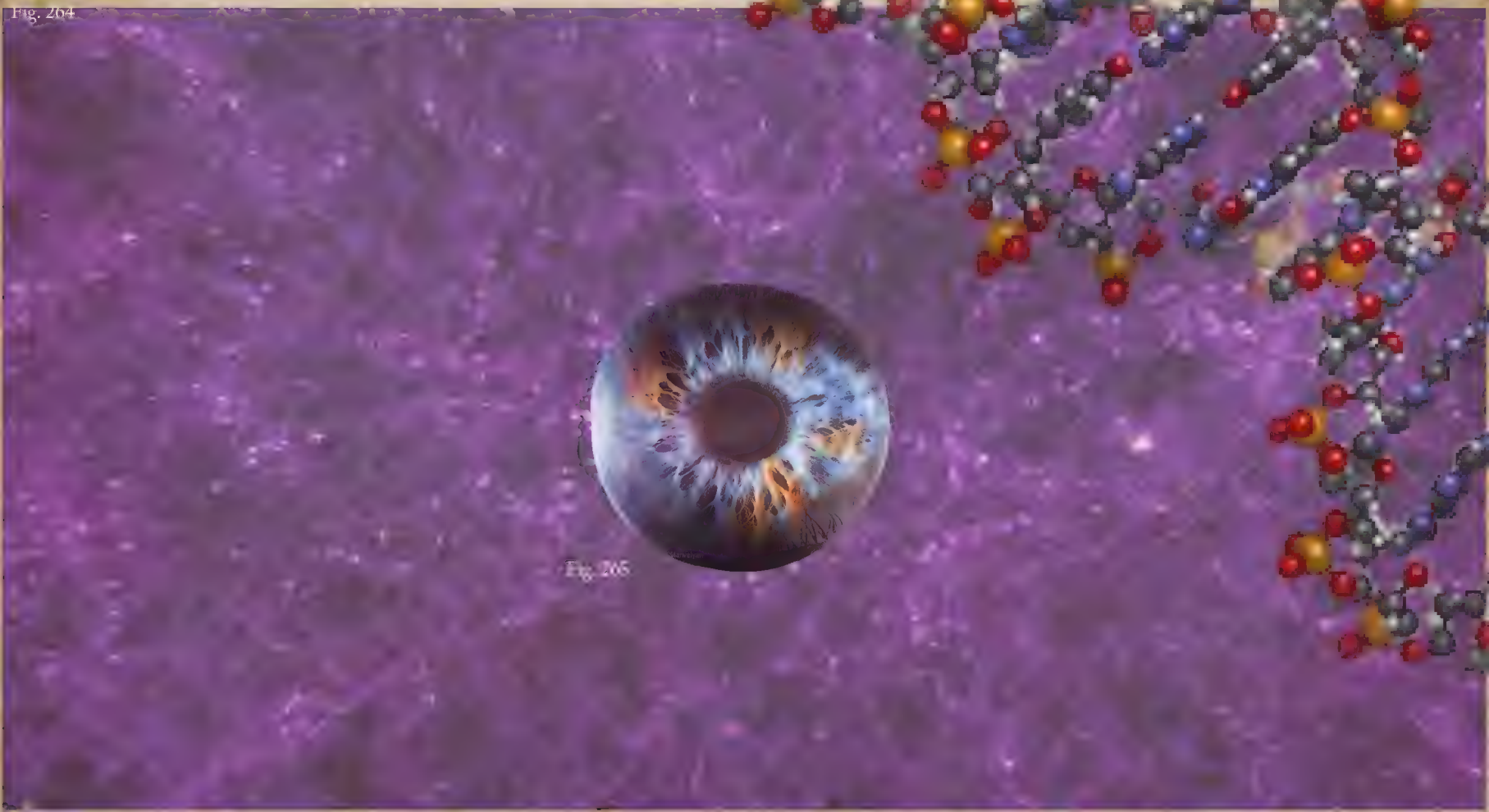
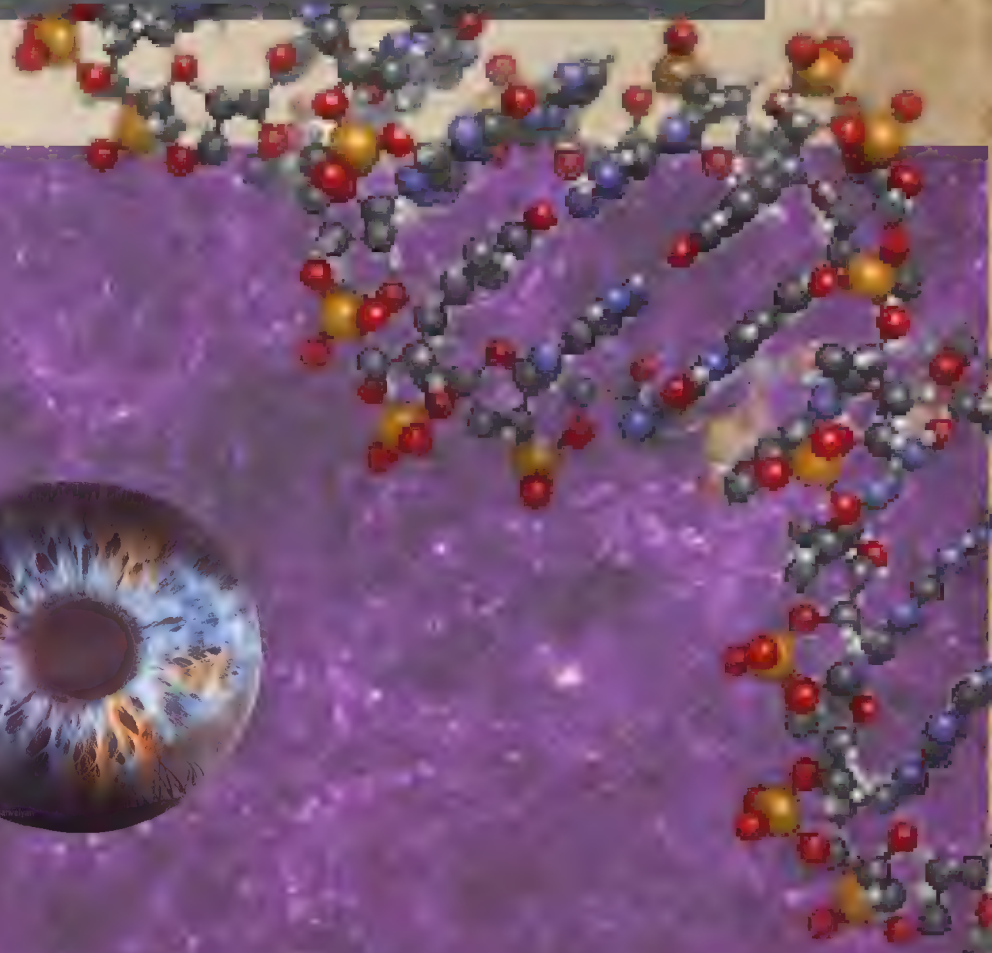


Fig. 265



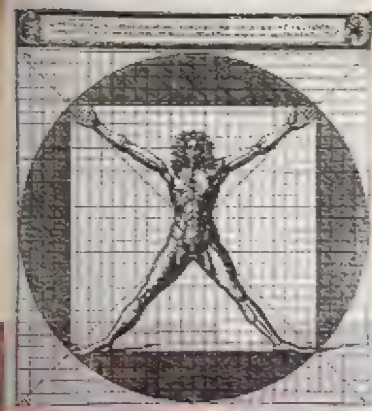
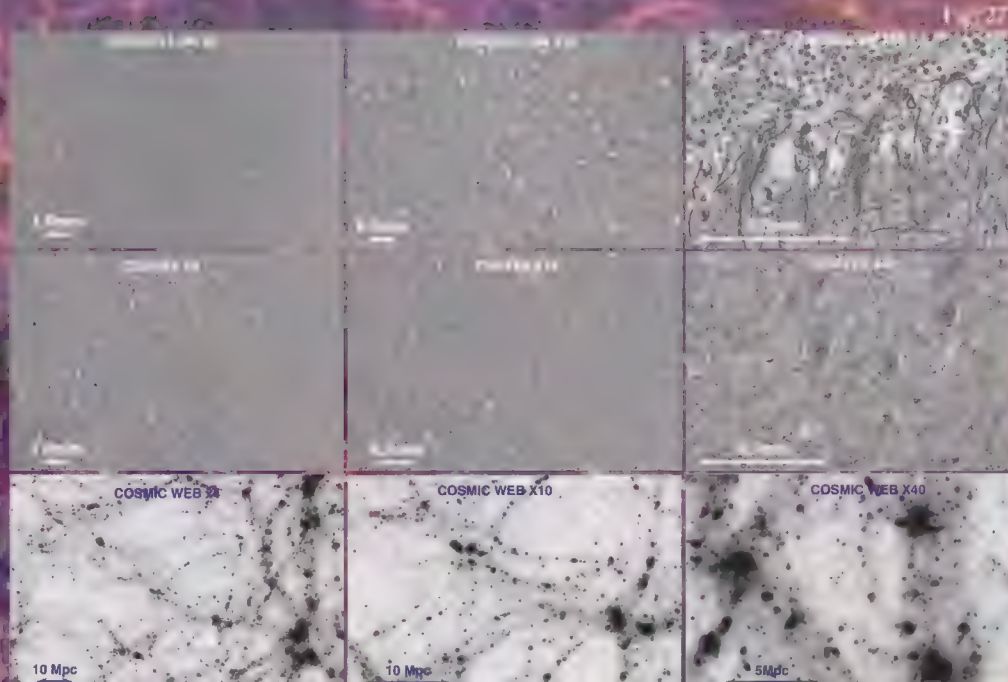
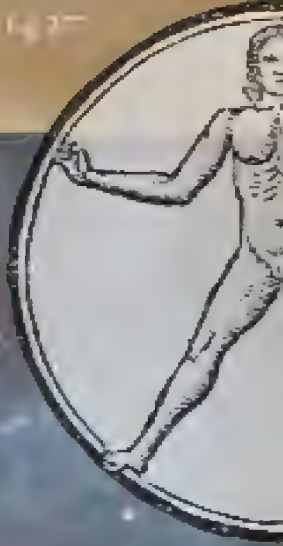


Fig. 269



Fig. 270





Q1	9	9	2
Q2	8	2	5
Q3	2	5	2



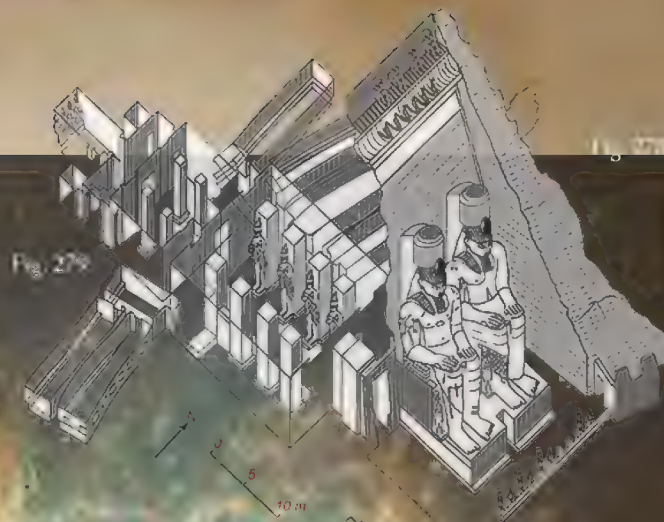
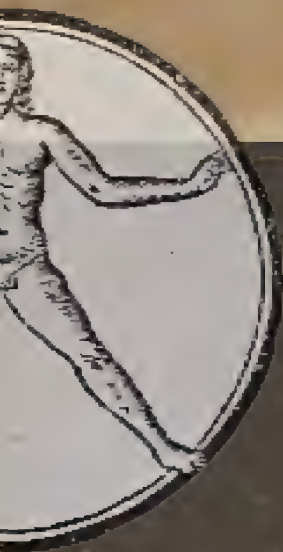


Fig. 281



Fig. 277: A classical statue, *Dionysos*, c. 1325. This image was used as another edition of *Die Architektur Vordruck* (reprinted from *Architectural Principles in the Age of Reason* by Rudolf Wittkower).

Fig. 278: The Great Nebula (M42) represents the glowing clouds of a nebula, a gas that can be seen in the sky. In the year 1976, astronomers have been able to measure the actual expansion rate of the universe. (NASA/ESA/ESO)

Fig. 279: The Great Temple of Ramesses II, 43th c. BC, Abu Simbel, Aswan, Sudan (ancient Egypt, southern Egypt)

Fig. 280: Thunders

Fig. 281: Brain and Nervous System

Fig. 282: Thunder

(Raddato, n.d.). In the sanctuary inside the Temple of Ramesses II (Great Temple) at Abu Simbel are rock-cut sculptures of four seated figures:

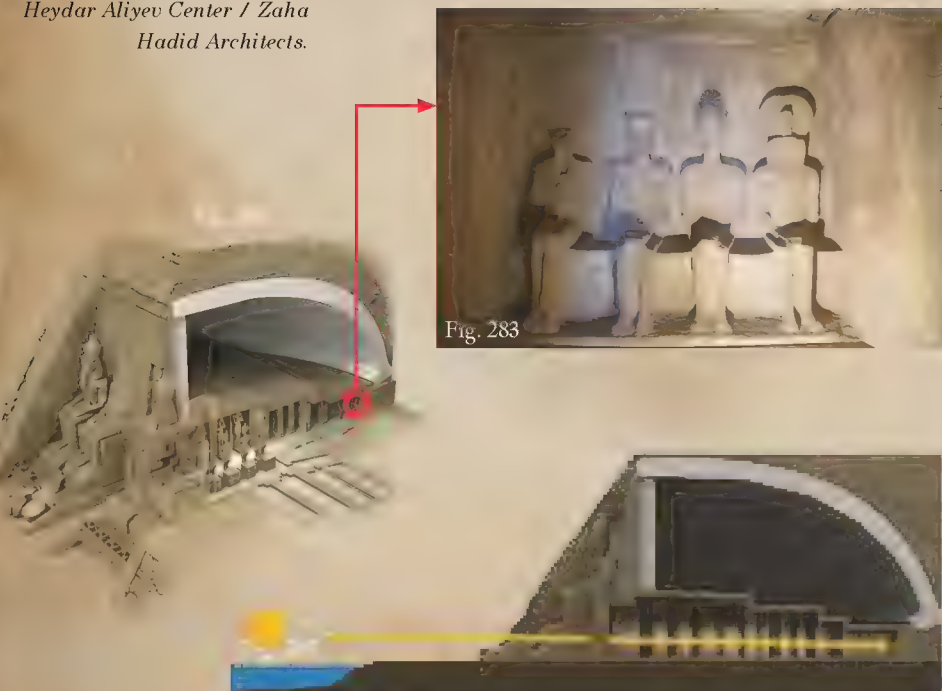
Ra-Horakhty, the deified king Ramesses, and the gods Amun Ra and Ptah. The architects of ancient Egypt in the 13th century BCE aligned the temple so that on October 22 and February 22, the sun's rays enter into the sanctuary to illuminate the sculptures on the wall, except for the statue of Ptah, the god associated with the underworld, which remains in shadow.

The Great Temple of Ramesses II. 13th c. BC. Abu Simbel, Aswan muhafazah (governorate), southern Egypt

Section of Temple. Play of Light.

Parametric Architecture. Setas de Sevilla ("Mushrooms of Seville") or Las Setas ("The Mushrooms"), initially titled Metropol Parasol, is a wooden structure located at La Encarnación square in the old quarter of Seville, Spain. By the German architect Jürgen Mayer

Parametric Architecture. Heydar Aliyev Center / Zaha Hadid Architects.



Οι ανεπτυγμένες γεωμετρικές γνώσεις, εν συναρτήσει με την σχεδιαστική επιδέξια ικανότητα, πιθανολογούνται ως σωπηρές υπογραφές πάνω σε κάποιες λέξεις κατόπιν αναγωγών τους σε κύκλους. Επιπλέον, πλείστα παραδείγματα αντιστοίχων και αρμονικών σχημάτων συναντώνται στα πολεοδομικά σχέδια σημερινών Ευρωπαϊκών, Αμερικανικών κ.λπ. πόλεων. Κατά Βιτρούβιο [1, 2. Οι Συνιστώσες της Αρχιτεκτονικής]²⁴³ οι αρχές της Διάθεσης, της Ευρυθμίας, της Κοσμιότητας, της Συμμετρίας, της Ευταξίας που συγκροτούν την ευμορφία «ξεδιπλώνονται» μέσα από σύνθετα γεωμετρικά σχήματα που περιπλέκονται κατά το σχεδιασμό, υποστηρίζοντας συν τοις άλλοις μία βέλτιστη απόδοση στα πλαίσια της λειτουργικότητας ενός χώρου: μίας πόλης (λ.χ. μετακινήσεων, κινήσεων ρευμάτων του αέρα προς ρύθμιση μικροκλίματος ή «αναπνοής» του οικισμού) ή ενός κτηρίου, αλλά και της αδιαμφισβήτητης οικονομίας χρόνου. Σε σχέση με το χαοτικό αποτέλεσμα που παράγεται κατά το σχεδιασμό, από τις τυχαίες ακανόνιστες γραμμές ή την άτακτη τοποθέτηση οικοδομικών τετραγώνων σε μία πόλη ή των απείρων χωρικών και αισθητικών επιλύσεων σε ένα κτήριο, χωρίς κάποια σχεδιαστική βάση. Για παράδειγμα, αισθητικά, λειτουργικά και περιβαλλοντικά προβλήματα μιας χαοτικής ρυμοτομίας συναντώνται σε μητροπόλεις που δεν προβλέφθηκε ο πολεοδομικός σχεδιασμός.

Όσον αφορά την ορολογία της διευρυμένης έννοιας του ωραίου των αρχαίων Ελλήνων ο όρος που επικρατούσε ήταν η *αρμονία*, ενώ για την έννοια του ωραίου σε ζήτημα αριθμητικής τάξης λογιζόταν ο όρος *συμμετρία*.²⁴⁴

Πρωτίστως, η γενική ιδέα της συμμετρίας συναντάται στην αρχιτεκτονική της ναοδομίας. Κατόπιν ανάλυσης των μερών της, δηλαδή των επιμέρους στοιχείων των όψεων και των κατόψεων, διαπιστώνεται ότι συμπυκνώνεται αυτή η θέση.

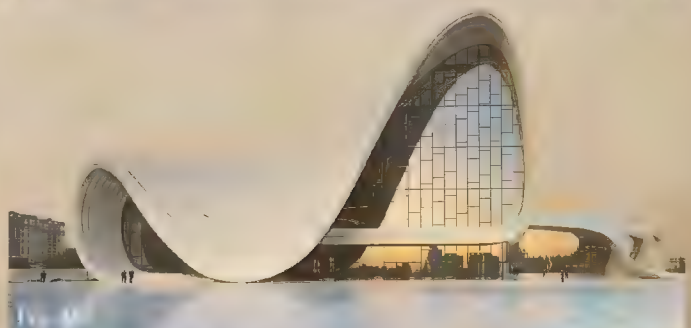
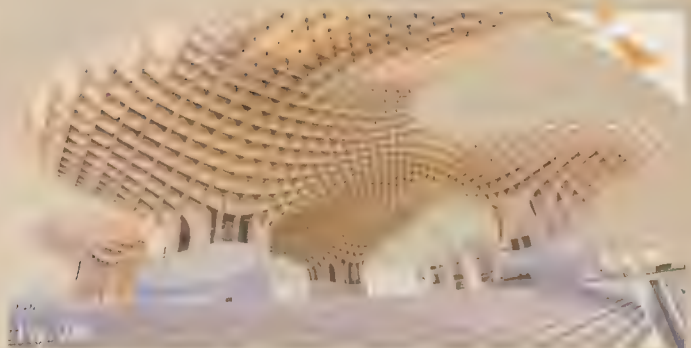
«[...] ο Θεός ἐν ἐκάστῳ τὲ αὐτῷ πρὸς αὐτὸ καὶ πρὸς ἄλληλα συμμετρίας ἐνοποίησεν, ὅσας τὲ καὶ ὅπῃ δυνατόν ἦν ἀνάλογα καὶ σύμμετρα εἶναι [...]» Πλάτων, «*Τίμαιος*», στ. 69b

Απόδοση: «Ο Θεός δημιούργησε σε συμμετρίες στα πράγματα που ήταν ακατάστατα και μέσα στο καθένα και ανάμεσα τους, όσες και όποιες ήταν δυνατό να γίνουν ανάλογα και ωραία»

«[...] Πᾶν δὴ τὸ ἀγαθὸν καλὸν, τὸ δὲ καλὸν οὐκ ἄμετρον καὶ ζῶον οὖν τὸ τοιοῦτον ἐσόμενον σύμμετρον θετέον. [...]» Πλάτων, «*Τίμαιος*», στ. 87c

Απόδοση: «[...] Βέβαια κάθε καλό είναι ωραίο και το ωραίο είναι συμμετρικό. Λοιπόν και το έμβιο ον που θα γίνει τέτοιο πρέπει να το ορίσουμε συμμετρικά [...]»

Στον αντίποδα, οι σημερινές μορφές της παραμετρικής αρχιτεκτονικής αφενός μεν αντιτίθεται στην κεντρική ιδέα της «συμμετρίας», αφετέρου δε κατά προσωπική άποψη κατατάσσονται στην γενική ιδέα του όρου της «αρμονίας» με τις «αρχές συνεχούς διαφοροποίησης και εντατικής συσχέτισης, όπως ακριβώς και στα φυσικά συστήματα και μαθηματικά μοντέλα που μεταφράζονται σε παραμετρικούς κώδικες».²⁴⁵ Χαρακτηριστικό παράδειγμα είναι τα κτήρια της Zaha Mohammad Hadid, την οποία η εφημερίδα 'The Guardian' κατονόμασε ως «Queen of the curve»²⁴⁶ και η εφημερίδα 'New York Times' υποστήριξε ότι «liberated architectural geometry, giving it a whole new expressive identity».²⁴⁷



243 (Βιτρούβιος, 2000, σ. 49-55)

244 (Πέτρου, 2011, σ. 173)

245 (Παπαχριστοφόρου, 2015)

246 «'Queen of the curve' Zaha Hadid died at aged 65 from heart attack.» 2016. Retrieved 22 December 2018.

247 («'Zaha Hadid, Groundbreaking Architect, Dies at 65,' 2016)

Ιστορία εικονογραφίας



ία σημαντική πηγή πληροφόρησης περί του ανθρώπινου αποτυπώματος στον πλανήτη προέρχεται από τις τοιχογραφίες σπηλαίων (σπηλαιογραφίες, 'pictographs') και τα εγχάρακτα (πετρογλυφικά, 'petroglyphs'). Πολλοί λόγοι υφίστανται για τους οποίους οι πρώτοι άνθρωποι ζωγράφιζαν και εγχάραζαν τους τοίχους των σπηλαίων. Εξαιρουμένων των τελετουργιών ή των τελετών, συνέβαινε είτε για να αναπαραστήσουν τις ζωές των ανθρώπων της περιοχής, είτε για να τεκμηριώσουν θηράματα, είτε για αισθητικούς λόγους.²⁴⁸



Σε πάρα πολλές τοποθεσίες εντοπίζονται αφηρημένες ζωγραφίες, όπως γεωμετρικά σχέδια, και οι έννοιες τους είναι δύσκολο να αποκρυπτογραφηθούν. Η πιο κοινή ερμηνεία αυτής της τέχνης των

σπηλαίων ανάγεται σε θρησκευτικές δοξασίες.²⁴⁹ Ορισμένα άλλα στοιχεία υποδεικνύουν ότι μέσω αυτής της τέχνης των σπηλαίων, γίνεται χρήση μαγείας ή χρήσης των «αποπνεόμενων δυνάμεων» των εικονογραφιών, αποσκοπώντας αφενός μεν στην επαφή με «υπερφυσικές δυνάμεις» ή «οντότητες», και αφετέρου δε στον έλεγχο τους.²⁵⁰



(Magura Cave, 2019). Cave paintings dating from the Epipaleolithic, late Neolithic, Eneolithic and early Bronze Age. Vidin Province, Bulgaria

Three men in a ritual. This Petroglyph is a Nordic Bronze Age petroglyph that is carved into the Vitlycke-häll stone near Tanumshede, in Västra Götaland County, western Sweden

Προδήλως, η μαγεία επιδιώκει να χειραγωγήσει την έκβαση των γεγονότων. Για παράδειγμα, στη Νότια Αφρική, μια σειρά αρχαίων σπηλαίων εμφανίζει απεικονίσεις γεωμετρικών δικτύων, τεθλασμένων γραμμών, κουκκίδων και σπειρών. Με βάση την εθνογραφική έρευνα μεταξύ των ανθρώπων του San, οι οποίοι κατοικούν σε αυτήν την περιοχή για χιλιάδες χρόνια, φαίνεται ότι αυτά τα σχήματα ομοιάζουν με τα μοτίβα που βλέπει ένα άτομο είτε σε βαθιά έκσταση, είτε όταν έχει λάβει παραισθησιογόνα -μεταξύ άλλων ψυχοδελωτικές ουσίες.²⁵¹ Επίσης, σημειώνεται ότι τα ίδια σχήματα είναι παρόμοια με τα οράματα που βλέπουν οι πάσχοντες από πονοκεφάλους ημικρανίας. Επομένως, υπό αυτές τις συνθήκες, αυτές οι αλληλοσυσχετίσεις συνδέουν την τέχνη των σπηλαίων με τις καθολικές φυσιολογικές αλλαγές του ανθρώπινου εγκεφάλου.²⁵²

The Kondoa Irangi Rock Paintings are a series of ancient paintings on rockshelter walls in central Tanzania.

Kondoa District, Tanzania: characteristic white painting tradition art, including distinctive human images photographed by Emmanuel Bwasiri.

(Left) Neolithic drawing of bee-headed humanoid from Tassili region of the Sahara. (Right) Mushroom-headed dancer from the same region.

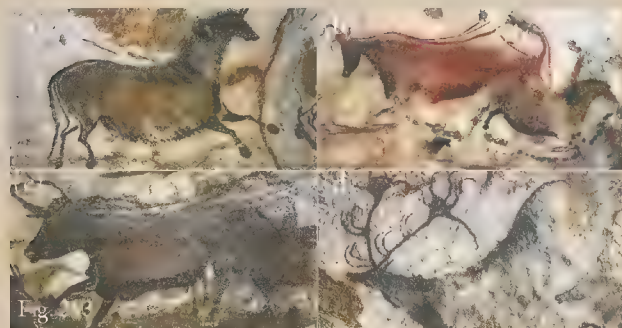


248 (Muckle, Tubelle de González, 2015, σ. 309). ; (Ζωγραφική σπηλαίου, 2014). Σπηλαιογραφίες: Καλλιτεχνικές αναπαραστάσεις και σχέδια στην επιφάνεια των φυσικών τοιχωμάτων ενός σπηλαίου.
249 (Robb, 2020)
250 (Muckle, Tubelle de González, 2015, σ. 309). An Introduction to Human Evolution and Culture-University of Toronto Press
251 (Καυκαλίδης, n.d.); πρβ ("Ψυχοδελωτική ουσία," n.d.). Ψυχοδελωτική ουσία: Ονομασία που προτάθηκε από τον Άγγλο ψυχίατρο Humphry Osmond. Παράγωγα ινδόλης: «μαγικά»

μανιτάρια φιλοκουβίνης (Olmec, Zapotec, Maya & Aztec), Ayahuasca (Νότια Αμερική, Αμαζόνιος), DMT (Σαμάνοι του Αμαζονίου), Φαιναθυλαμίνες: Μεσκαλίνη (Μεξικό), μανδραγόρας (Αρχαίοι Ρωμαίοι, Έλληνες και Μεσοανατολίτες), Brugmansia (Βόρεια Ασία) δεν θεωρούνται καθαρά ψυχοδελωτικά, σύμφωνα με τον ορισμό; ; πρβ (Berlant, 2005) Για χρήση ψυχοδελωτικών ανά τους πολιτισμούς.
252 (Muckle, Tubelle de González, 2015, σ. 310); πρβ (Berlant, 2005)
253 (Muckle, Tubelle de González, 2015, σ. 310)

Στο βόρειο ημισφαίριο, στις σπηλαιογραφίες του *Lascaux*, στη Γαλλία, απεικονίζονται εκατοντάδες μεγάλα θηράματα σε επαλληλία: το ένα άνωθεν του άλλου. Από μια ερμηνεία αυτής της πολυεπίπεδης ζωγραφικής θεωρείται ότι τα ζώα ήταν ζωγραφισμένα σε ένα ιερό σημείο της σπηλιάς προς άσκηση μαγείας. Η τοποθεσία των απεικονίσεων θεωρείται ένα ιδιαίτερα ισχυρό σημείο, επομένως αιτιολογείται ο μεγάλος αριθμός τους, προς αξιοποίηση της ίδιας δύναμης τους.²⁵³

(a) Third Chinese Horse, (b) Red Cow & First Chinese, (c) Great Black Bull, (d) Large Black Stag
© N. Aujoulat (2003)
© MCC-CNP



Te Manawa an Arawa warrior.
Watercolour by H.G. Robley

"Ötzi The Ice Man"

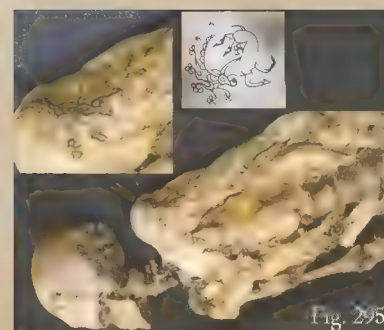
Κατά άλλες ερμηνείες, υποστηρίζεται ότι αναπαρίστατο μία μορφή ζωικής τέχνης, ώστε να αναγνωρίζονται τα ζωγραφισμένα ζώα πριν από ένα κυνήγι. Επομένως, εξασφαλίζεται μία επαρκής συνεννόηση μεταξύ της ομάδας, επιφέροντας την καλύτερη έκβαση και τέλος την επιτυχία του εγχειρήματος. Αν αληθεύουν οι δύο υποθέσεις, της μιμητικής μαγείας ή της αναπαράστασης της κοινωνικής ζωής, τότε θα ήταν απόδειξη ενός επιδέξιου επιτηδευμένου χειρισμού, ο οποίος οδηγείται σε ένα επιθυμητό αποτέλεσμα. Με άλλα λόγια, «όπως ένα όμοιο παράγει κάτι όμοιο»: από την ζωγραφική ενός ζώου σηματοδοτείται η επιθυμία συνάντησης του και της επιτυχούς κατάληξης του κυνηγιού. Σε παραλληλία, ένα άλλο παράδειγμα μιμητικής μαγείας θεωρείται όταν από ένα σαμάνο κατασκευάζεται ένα ομοίωμα -όμοιο με ένα πραγματικό άτομο,- το οποίο θα τρυπηθεί με μια καρφίτσα, ώστε να προκαλεστεί ο πόνος σε ένα συγκεκριμένο σημείο του σώματος ενός ατόμου.²⁵⁴

Ακολουθως, όσον αφορά άλλους τρόπους κωδίκων επικοινωνίας των ανθρώπων, αναφέρεται η δερματοστιξία ('tattooing'). Για χιλιάδες χρόνια, οι άνθρωποι σηματοδοτούν μόνιμα το δέρμα τους με μελάνια, ώστε -εν πλήρει συμφωνία με τα εθιμοτυπικά τους- να εκμεταλλεύονται τις «αποπνέουσες» θεραπευτικές ή προστατευτικές δυνάμεις. Αυτά τα ιερά σύμβολα των 'tattoo' προέρχονται από ένα σύστημα θρησκευτικών πεποιθήσεων, βάσει των οποίων το

άτομο οδηγείται σε ένα «μαγικό» αποτέλεσμα, προερχόμενο από το «κάλεσμα» που ασκείται και την επικοινωνία με το θεϊκό στοιχείο. Κατά αυτό το τρόπο, ομοιάζουν με μία είδους «θρησκευτικής» γλώσσας και γραφής μέσω των οποίων παρουσιάζεται ένα σύστημα πεποιθήσεων, καθώς εφαρμόζεται ανά τη φορά η ισχύς αυτού του ιδιότυπου «θρησκευτικού» συστήματος.²⁵⁵



Ειδικότερα, το 1991 μ.Χ. ανακαλύπτεται μια αρχαία φυσική μούμια (3,250 π.Χ.), η οποία βρέθηκε στον παγετώνα *Ötztal* στις Άλπεις, στα σύνορα Αυστρίας και Ιταλίας. Από το σημείο αυτό ο άντρας ονομάστηκε ως "Ötzi The Ice Man" (λόγω της τοποθεσίας του θανάτου) και πιθανολογείται ότι είχε δεχτεί δολοφονική επίθεση. Η μεταγενέστερη ανάλυση του σώματός του απέδωσε μία πληθώρα πληροφοριών για τη ζωή του: συμπεριλαμβανομένου του γεγονότος ότι υπέφερε από μια σειρά από ασθένειες. Σύμφωνα με την έρευνα, παρατηρήθηκε ότι ο *Ötzi* είχε σχεδιάσει 50 'tattoo' στα 12 διαφορετικά σημεία του σωματικού του πόνου. Από την τοποθέτηση των 'tattoo' -ως επί τω πλείστων κατά μήκος της πλάτης του- συνάγεται ότι θα είχαν εφαρμοστεί από άλλο άτομο, πιθανότατα ειδικό στη «μαγική πρακτική» -θεραπεία. Η προσπάθεια αυτή αποσκοπούσε στην άμβλυνση των πόνων του *Ötzi*. Αυτός ο τύπος των 'tattoo' φανερώνει ότι το άτομο πιθανότητα κατείχε πλούτο ή κοινωνική θέση, αφού είχε πρόσβαση στην τέχνη του θεραπευτή.²⁵⁶



254 (Muckle, Tubelle de González, 2015, σ. 310)
255 (Muckle, Tubelle de González, 2015, σ. 310)

256 (Muckle, Tubelle de González, 2015, σ. 310-311) ; πρβ (Deter-Wolf et al., 2016)

Παράλληλα, τα ιερά σχέδια ως 'tattoo' συναντώνται στο σώμα για μαγική προστασία, αλλά και δύναμη. Για παράδειγμα, οι Ταϊλανδοί, οι Shan της Βιρμανίας (Burma) και οι Khmer της Καμπότζης μοιράζονται την παράδοση του 'tattoo' γνωστή ως 'sak yant' ή 'yantra'. Βουδιστές μοναχοί ή ειδικοί της 'yantra' εφαρμόζουν τα σχέδια σε νεαρούς άνδρες για την προστασία τους. Η μακραίωνη ιστορία τους προέρχεται από τον 1^ο αι. π.Χ. από τους πολεμιστές Khmer, οι οποίοι έκαναν ολόσωμα 'tattoo', ώστε να είναι δυσδιάκριτοι στο πεδίο της μάχης -προκάτοχος στρατιωτικής παραλλαγής (ενδυμασία). Επίσης, επί του παρόντος, μέλη συμμοριών του δρόμου και στρατιωτικοί φορούν 'tattoo' 'yantra' ως ένα είδος γοητείας και για την αποτροπή της κακοτυχίας.²⁵⁷



Επιπροσθέτως, **αρκετοί πολιτισμοί χρησιμοποίησαν την δερματοστιξία στο πρόσωπο για πνευματικούς λόγους**, οι οποίοι ακολούθως συνδέονταν με κοινωνικές πρακτικές. Οι γυναίκες των Ainu της Βόρειας Ιαπωνίας και της Ρωσίας σχεδίαζαν 'tattoo' στα χείλη τους πριν την τελετή του γάμου τους. Εκτός της κοινωνικής ταυτότητας, συμπεριλαμβανόταν και ένα θρησκευτικό νόημα· θεωρείτο ότι απωθούσαν τα κακά πνεύματα,

τα οποία μπορούσαν να καταβάλλουν το σώμα μίας γυναίκας από το στόμα. Ταυτόχρονα, σημειώταν η θέση μεταξύ των προγόνων της στη μετά θάνατον ζωή της.²⁵⁸



Στον 21^ο αι. μ.Χ., οι άνθρωποι συνεχίζουν την επικοινωνία με εικονογράμματα και σύμβολα υπό διαφορετικούς όρους, εκτός της γραπτής αποτύπωσης της γλώσσας (ιδεογράμματα ιαπωνικής γλώσσας γνωστά ως Kanji 漢字) και των 'tattoo', τα οποία κατά κύριο λόγο

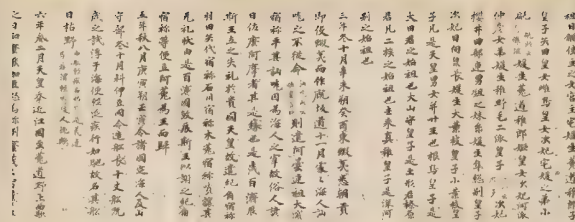


Fig. 296. The Paed Tidt Yant will give you protection in whichever direction you are traveling and ward off evil spirits. The script used on the Paed Tidt Yant is an ancient Khmer script known as Khom. The Mantras written in the Paed Tidt Yant and which should be chanted when going out to give further protection are as follows.

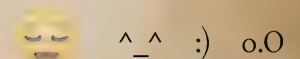
The Twin Tiger Sak Yant Tattoo is common among Thai people with dangerous occupations and Muay Thai Fighters. The Tiger represents strength, power, protection and conviction, as well as authority over ones subordinates. The Twin Tiger Sak Yant is very popular with military personnel, police, businessmen and politicians.

Ainu woman

(Kanji, 2019). Nihon Shoki (720 AD), considered by historians and archeologists as the most complete extant historical record of ancient Japan, was written entirely in kanji.

συνιστούν μια ιδιόμορφη εικονογραφική επικοινωνία. Ένα από παράδειγμα εντοπίζεται στην εκτενή χρήση ψηφιακών εικονοχαρακτήρων, τα οποία εκφράζουν ορισμένα στιγμιαία συναισθήματα μέσω κοινών τυπογραφικών χαρακτήρων ή τυποποιημένων προσώπων.

Επί του παρόντος, αλλά και από τον 20^ο αι. μ.Χ., μέρος των συμβόλων χρησιμοποιούνται στην σηματοδότηση διαφόρων ηλεκτρικών και ηλεκτρονικών συσκευών ή λειτουργιών. Αυτά τα σύμβολα είναι σε μεγάλο βαθμό τυποποιημένα διεθνώς, όμως διαφοροποιούνται σε μικρό βαθμό από χώρα σε χώρα ή από κλάδο μηχανικής, με βάση τις παραδοσιακές συμβάσεις. Σε ορισμένες περιπτώσεις, αυτά τα σύμβολα είναι άμεσες αναπαραστάσεις προηγούμενων μορφών γλώσσας, ορίζοντας κάτι νέο με υποβόσκοντα στοιχεία του παρελθόντος. Υπό άλλες περιπτώσεις αντιστοιχίζονται σε νέες γλωσσικές δομές



και μορφές. Τρανό παράδειγμα αναπαράστασης συμβόλου από προηγούμενες μορφές γλώσσας αποτελεί το λογότυπο της λειτουργίας 'Bluetooth,' το οποίο προέρχεται από το παρατσούκλι του Harald "Blåtand" Gormsson

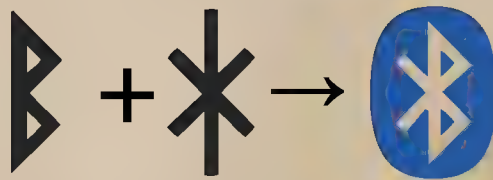
Ο Harald διετέλεσε βασιλιάς της Δανίας και της Νορβηγίας το 10^ο αι. μ.Χ. Αρχικά, ο βασιλιάς αυτός κατόρθωσε την ενοποίηση της Δανίας. Έπειτα, στρέφοντας την βλέψη του πέρα από τα σύνορα του δικού του βασιλείου κατέκτησε τη Νορβηγία. Εν αντιθέσει με την πλειοψηφία των υπηκόων του, οι οποίοι ήταν οπαδοί του παγανισμού, ο Harald έρεπε προς τον Χριστιανισμό και κατέβαλε κάθε προσπάθεια να διαδώσει αυτή τη νέα πίστη στο βασίλειό του.

Σήμερα, ο Harald Blåtand («Bluetooth») είναι πασίγνωστος χάριν του λογότυπου της ασύρματης τεχνολογίας που ενεπνεύστηκε από την ιστορία του. Το λογότυπο προέκυψε από τους δύο αρχικούς ρούνους του ονόματος του -H(*) και B (ᚼ). Επίσης, κατείχε το ψευδώνυμο 'Bluetooth,' λόγω του βαθύ σκούρου μπλε/γκρι και σάπιου δοντιού του.²⁵⁹ Σε αυτό το σημείο, σκιαγραφείται μία μακρά συνήθεια μέσω των ψευδωνύμων από την οποία μία λέξη περιγράφει μία ιδιότητα της γενικής

εικόνας ενός προσώπου μέσω κοινούς αποδοχής, σύμβασης, εκτός άλλων λόγων, λ.χ. απόκρυψης στοιχείων κτλ.

Επιπλέον, σημειώνεται ότι η μορφή των ηλεκτρικών και μαγνητικών εγγεγραμμένων αναλογικών και ψηφιακών σημάτων δεν παρατηρούνται οπτικά, αλλά μόνο με τη βοήθεια τεχνικού εξοπλισμού, λ.χ. κινητό, υπολογιστής -ενός τεχνικού μέσου.²⁶⁰ Αυτό αναφέρεται επειδή συνδέεται κατά κάποιο τρόπο με την εμφάνιση γεωμετρικών σχημάτων στις λέξεις όταν ανάγονται σε κύκλους, καθώς ένας ομιλητής μπορεί ευκόλως να το αγνοεί. Δηλαδή, μέσα από μια πιθανή κοπιαστική διαδικασία σχεδίασης για τα δεδομένα της εποχής, αφενός μεν της κατασκευής (με ένα διαβήτη) ενός κύκλου ή περισσοτέρων και διαίρεσής τους σε 24,27,28,30 σημεία, και αφετέρου δε της διερεύνησης (με το γνώμονα) των γεωμετρικών σχεδίων και αλληλλοσυσχετίσεων με εννοιολογικά ή συμβολικά παρεμφερείς λέξεις (λ.χ. αετός-ψυχή, κεφάλαιο «14 Αλφάβητα. Παραδείγματα ανά ζεύγη λέξεων»). Η διαδικασία αυτή θα μπορούσε να είχε συμβάλλει ως γεωμετρικός κανόνας στην παραγωγή κάποιων λέξεων και πολλοί ομιλητές να τον αγνοούσαν, επειδή απλώς δε θα τους ενδιέφερε ή δε θα τους αφορούσε, όπως συμβαίνει με τα αναλογικά ή ψηφιακά σήματα που δεν είναι ορατά και αγνοούνται αντίστοιχα.

Harald being
baptized by Poppo the
monk, in a relief dated
to c. 1200



Nordic B

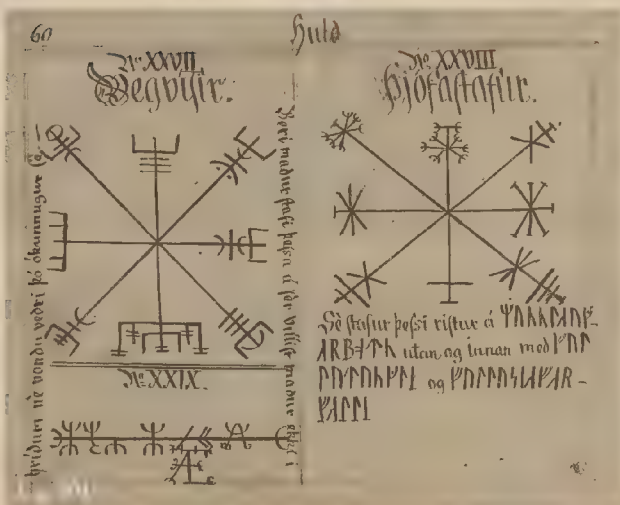
Nordic H

Bluetooth

Younger Futhark/
Scandinavian runes,
runic alphabet:

Geir Vigfusson
of Akureyri (19th c.
AC). Huld: Nr. 383.
4to - Galdrastafir
Icelandic Manuscript.
(p. 60).

The Vegvisir
(Vegvisir, n.d.)
according to the Huld
manuscript is an
Icelandic magical
stave intended to help
the bearer find their
way through rough
weather.



259 ("Harald I | king of Denmark," n.d.); (Kardach, 2008); (Mingren, 2017); Παβ. ("Origin of the Name | Bluetooth Technology Website," 2019); Κατόπιν αναζήτησης του ονόματος σύμφωνα με το site <https://www.nordicrunes.info/runeconverter.php>. Gothenburg in Sweden | το 'H' ή '*' δεν ταυτίζεται με τον σκανδιναβικό ρούνο 'N' του Elder Futhark, αφού το όνομα Harald

γράφεται ως HFRFNM και το Bluetooth ως BNPMTQXB (P=T+N). Οι αλφαριθμητικοί χαρακτήρες της λέξης Bluetooth | <https://valhyyr.com/pages/rune-converter> από το Σκανδιναβικό Αλφάβητο των Ρούνων 'Younger Futhark' του 9ου αι. μ.Χ. είναι 'BNPTQXB', το 'P' ('th') ισοδυναμεί με 'T' ('t') και 'X' ('h'). Επομένως, εκ των δύο ακριανών χαρακτήρων προκύπτει το λογότυπο. Δεν διεξήχθη ακριβή μετάφραση των λέξεων.

"If I create from the heart, nearly everything works: if from the head, almost nothing."

Marc Chagall

Παρατηρήσεις και σχολιασμοί στα αλφάβητα των 14 διαφορετικών γλωσσών



ύμφωνα με την γλωσσολογία, για τις ταυτόσημες λέξεις (τόσο στον ήχο όσο και στο νόημα) των 14 αλφαβήτων των διαφορετικών γλωσσών που παρατίθενται παρακάτω, υπάρχουν 4 πιθανές εξηγήσεις:

κοινή προέλευση, δανεισμός, τύχη, ονοματοποιία.²⁶¹

Το γεγονός ότι από οποιαδήποτε ηχητική σειρά αντιπροσωπεύεται επαρκώς η απόδοση ενός νοήματος, επιφέρεται ως αποτέλεσμα η εμφάνιση εκατοντάδων, αν όχι χιλιάδων, πιθανών ηχητικών ακολουθιών για κάθε νόημα. Επομένως, διαπιστώνεται απίθανο δύο γλώσσες να επιλέξουν ανεξάρτητα την ίδια ακολουθία ήχων, ώστε να αποδοθεί φωνητικά το ίδιο νόημα.²⁶²

Κατά την ταξινόμηση των γλωσσών επιδιώκεται να χρησιμοποιούνται μόνο οι ομοιότητες λόγω κοινής προέλευσης, διαλέγοντας και αφαιρώντας αυτές τις ομοιότητες εξαιτίας των άλλων εξηγήσεων. Ο δανεισμός αναγνωρίζεται από έναν αριθμό γλωσσολογικών τεχνικών. Ο βασικός λόγος ευρίσκεται στο γεγονός ότι το θεμελιώδες λεξιλόγιο σπανίως δανείζεται λέξεις από άλλες γλώσσες. Τα δάνεια αναγνωρίζονται από μια σειρά γλωσσολογικών τεχνικών. Επίσης, ο δανεισμός ανιχνεύεται από μία σύγκριση, εκτός της κατηγοριοποίησης: οι Λατινικές λέξεις στα Αγγλικά ομοιάζουν πάντα με Γαλλικά, ποτέ με τα Ισπανικά ή τα Ρουμάνικα. Ως γνωστόν, οι τυχαίες ομοιότητες εμφανίζονται μια στο τόσο, όμως πολλές παρόμοιες λέξεις που μοιράζονται την ίδια βάση γλωσσών δεν αποτελούν συμπτώσεις. Τέλος, η ονοματοποιία θεωρείται ότι είναι αρκετά περιορισμένη στη γλώσσα ακριβώς επειδή παραβιάζεται η αυθαίρετη σχέση ήχου-νοήματος.²⁶³

"The Sanskrit, the antiquity of which cannot be contested, has a number of such words; of these we need only mention the following: -wihala, the cat; kukada, the hen, and waihu, the wind; in the last of which the sound of the w imitates that of the passage of the air; and is found in the word corresponding to wind in many languages. The Hebrew and the Greek have numerous phonetic words, but no language is richer in this respect, than the Teutonic, in all its ramifications, including our own.

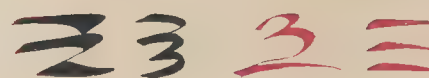
The animal kingdom affords us many examples, of which the following are a few.

[...]

Owl. German, eule; Spanish, buho; Polish, puhacz; Latin, upupa and budo; the u imitating, to a certain extent, the cry of the bird." ("Virginia Literary Museum and Journal of Belles Lettres, Arts, &C," 1829, p. 65).



Three Wavy Water Lines



"Ideogram in 'mw,' 'water,' whence the phonetic value 'mw'. Determinative for liquids and actions connected to water.

"OWL"



"WATER," "WAVY," "WIND"



Hieroglyphics: the writings of ancient Egypt (pp. 163). by Betrò, Maria Carmela, 1996, New York: Abbeville Press. Copyright 1996 of Mondalori Editore S.p.A.

"The Egyptians felt that triple repetition, generally used to indicate the plural, was the best way to represent a mass of water. The same stylized undulation is also used in naturalistic depictions. Here the conventions of the graphic code have influenced art.

The Egyptians knew that when is an essential element for life and creation: there is hardly an Egyptian cosmogony which does not place the origins of life in water.

The idea was influenced by the image of the earth reborn with vivacious life and vegetation as the Nile's waters retreated after each flood.

Together with the other elements- light, fire, earth, and air-water was a manifestation (or ba) of the supreme god. But it was also an ambiguous element, at once inside and outside creation. The created world and life were an island, a space surrounded by an infinity of water, the primordial Ocean, whose liquid chaos pressed eternally on the portals of the Ordered World." (Betrò, 1996, p. 163)

260 (Baber, 2011, σ. 5)
261 (Smelser, Baltes, 2001, σ. 8373)
262 (Smelser, Baltes, 2001, σ. 8373)





Human Language Families	
■ Uninhabited	■ Jivaroan
- Afro-Asiatic	■ Kartvelian
■ Berber	■ Khoisan
■ Chadic	■ Macro-Jê
■ Cushitic	■ Mataco-Guicuru
■ Omotic	■ Mayan
■ Semitic	■ Misumalpan
■ Algic	■ Niger-Congo
- Altaic	■ Bantu
■ Japanese (possibly Altaic)	■ Nilo-Saharan
■ Koreanic (possibly Altaic)	■ Nivkh (isolate)
■ Mongolic	■ Papuan (several families)
■ Tungusic	■ Pama-Nyungan
■ Turkic	■ Panoan
■ American Indian (several families)	■ Pontic
■ Araucanian	■ Oto-Manguean
■ Arawakan	■ Quechuan
■ Arawan	■ Saliban
■ Australian (several families)	■ Salishan
■ Austro-Asiatic	- Sino-Tibetan
■ Austronesian	■ Sinitic
■ Aymaran	■ Tibeto-Burman
■ Barbacoan	■ Siouan
■ Basque (isolate)	■ Tacanan
■ Bora-Witoto	■ Tai-Kadai
■ Cariban	■ Trans-New Guinea
■ Caspian	■ Tsimshianic
■ Chibchan	■ Tucanoan
■ Choco	■ Tupian
■ Chukotko-Kamchatkan	- Uralic
■ Dené-Yeniseian	■ Finno-Ugric
■ Dravidian	■ Samoyedic
■ Eskimo-Aleut	■ Uto-Aztecan
■ Guajiboan	■ Wakashan
■ Hmong-Mien	■ Yanomaman
- Indo-European	■ Yukaghir
■ Albanian	■ Zamucoan
■ Armenian	
■ Baltic	
■ Celtic	
■ Germanic	
■ Greek	
■ Indic	
■ Iranian	
■ Romance	
■ Slavic	

Soglasnova, L. (n.d.). Research guides: Linguistics: Languages of the World. Guides.library.utoronto.ca. Retrieved March 2022, from <https://guides.library.utoronto.ca/c.php?g=251131&p=1673165>





Έχει τεθεί ως παραδοχή ότι ορισμένες λέξεις ως γεωμετρικά σχήματα, αλλά και οι επιμέρους μονάδες τους -τα γράμματα,- (πιθανώς) συνδέονται με σημασίες. Λαμβάνοντας υπόψη ότι η σημασία συνδέεται άρρηκτα με την κατανόηση του κόσμου, την εννοιοποίηση του αντιληπτού και ότι ο άνθρωπος είναι από τη δημιουργία του προγραμματισμένος να διακρίνει ομοιότητες και να λειτουργεί (ακόμα και προγλωσσικά) με βάση την αναλογική σκέψη²⁶⁴ γίνεται πιθανότερη η σχέση των παραπάνω με σημασιολογικές δομές. Στην περίπτωση μιας αρχαίας προσπάθειας δημιουργίας γραμμάτων, πιθανολογείται ότι έχει συντελέσει η εφαρμογή του αναλογικού συλλογισμού, εκτός των επιρροών από τις προϋπάρχουσες γραπτές αποτυπώσεις της γλώσσας, με την αρωγή της γεωμετρίας και της αριθμητικής.²⁶⁵

Εν συνέχεια, σε λέξεις οι οποίες σχετίζονται με κάτι ιερό, σεβάσμιο και όμορφο για την κάθε γλώσσα παρατηρήθηκε ένας σχηματισμός ενός συμμετρικού σχήματος: πιθανώς απότοκος του αναλογικού συλλογισμού που συνδέει την ιερότητα με κάτι όμορφο. Σαφέστατα, «τί έστι» ιερό,

σεβάσμιο και όμορφο είναι ευνόητο ότι διαφοροποιείται ανά τους πολιτισμούς εξαιτίας των διαφορετικών προσλαμβανουσών και πεποιθήσεων. Ωστόσο, ο σχηματισμός συμμετρικών σχημάτων δε θεωρείται απίθανος σε λέξεις δευτερεύουσας ή τριτεύουσας σημασίας, εξαιρουμένων των αποτελεσμάτων τύχης.²⁶⁶ Μία αναντίρρητη απόδειξη εμπλοκής του μυστικισμού με τον κόσμο των μαθηματικών και της γεωμετρίας είναι η «κοινωνία»/αδελφότητα που οργάνωσε ο κοσμογυρισμένος Πυθαγόρας κατά τον 6^ο αι. π.Χ.²⁶⁷ όπου κτίζεται το οίκημα ομαδικής διδασκαλίας των Πυθαγορείων, γνωστό ως 'Όμοακοεῖον'.²⁶⁸

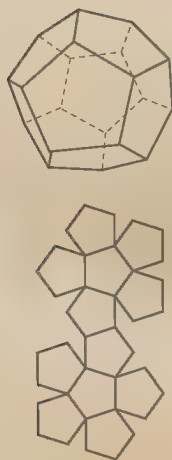
Όσον αφορά τη μετάδοση της πληροφορίας εντοπίζεται στις μετακινήσεις των κατά τας γραφάς μνημένων αρχαίων Ελλήνων, λ.χ. του Πυθαγόρα (πνευματική ελίτ της εποχής) από την Αίγυπτο μέχρι και την βαθιά Ανατολή, αλλά και στις κατακτήσεις, επιδρομές, με την αποτυχημένη εισβολή των Κελτών στον Ελλαδικό χώρο το 3^ο αι. π.Χ. με στόχο το ξακουστό μαντείο των Δελφών²⁶⁹ & τη μετακίνηση του μηδενός από τον Μ. Αλέξανδρο.²⁷⁰

Greek Letter 'Zeta',
Γράμμα Ζήτα

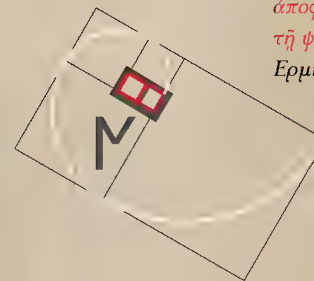


Στη γραφή απαντώνται σχηματικές διαφοροποιήσεις των γραμμάτων στον Ελλαδικό χώρο.

Δωδεκάεδρο {5, 3} σε όψη (άνω σχήμα), προοπτικό (μεσαίο) και ανάπτυγμα (κάτω). Πλατωνικό στερεό - Σύμπαν, "Τίμαιος" [52d-56c]



VOICE ΦΩΜΒ ΦΩΝΗ



«Ὅστ' εἴπερ ἐπὶ τῆς δόξης οὕτως ἔχει, εἰσὶ δὲ αἱ ἐν τῇ φωνῇ καταφάσεις καὶ ἀποφάνσεις σύμβολα τῶν ἐν τῇ ψυχῇ» Ἀριστοτέλης, «Περὶ Ἑρμηνείας», στ. 24b[1-3]

Η φωνή ως εν τη ψυχῇ σύμβολο, ως δημιουργός «νέων κόσμων» (σύνθεση ἰδεῶν) κατά την εκφορά της.

MIND ΜΟΥΣ ΝΟΥΣ



★ «Οἱ θεοὶ...» του σύμπαντος ἐκλείσαν τις δύο θεϊ-κές περιφορές σ' ένα σφαιρικό σχῆμα αὐτό που ονομάζουμε κεφάλι το πιο θεϊκό σχῆμα του σώματος μας. » (Πλάτων, 1993), «Τίμαιος» [44d]

263 (Smelser, Baltes, 2001, σ. 8373-8374)

264 (Μόζερ κ.α., 2008, σ. 279)

265 Η γλωσσολογία απορρίπτει αυτή την παραδοχή.

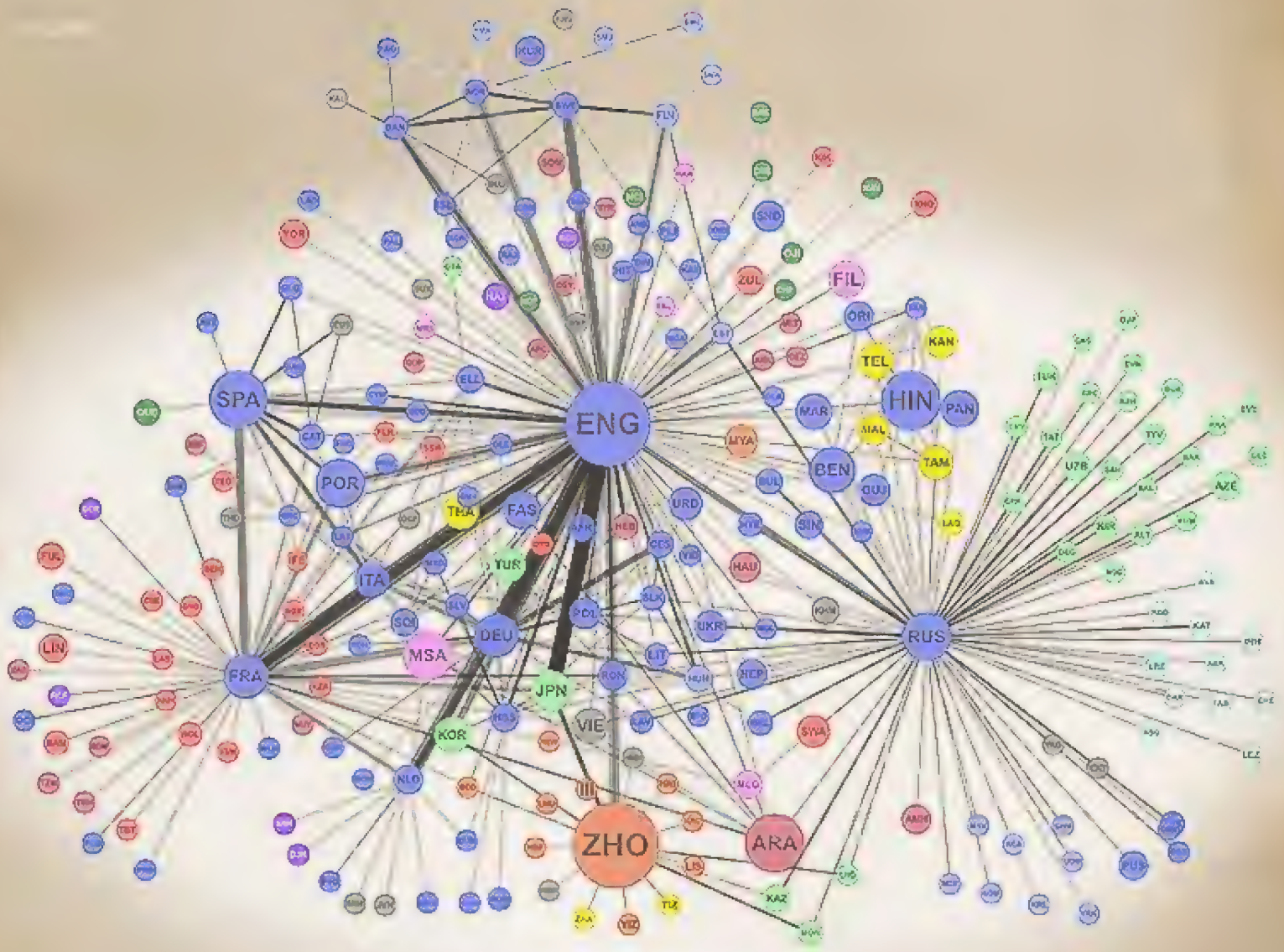
266 Για την εξέταση αυτής της πιθανότητας απαιτείται η κατασκευή αλγορίθμων, οι οποίοι θα επαληθεύουν το αντίστοιχο -συμμετρικό ή μη- σχῆμα.

267 (Bradley, 2006, σ. 16-25)

268 (Taylor, 1818, σ. 13-14)

Σε παραλληλισμό με το σήμερα, ερευνητές από το M.I.T., Harvard University, Northeastern University και Aix Marseille University ανέπτυξαν **διαδικτυακούς χάρτες**, οι οποίοι αντιπροσωπεύουν **τα ισχυρά κοινά στοιχεία μέσω των οποίων συνδέονται οι πολιτισμοί διαφορετικών γλωσσών του 21^{ου} αι. μ.Χ.** Στην μελέτη, αναλύονται δεδομένα για πολύγλωσσους χρήστες του Twitter και συντάκτες της Wikipedia και μεταφράσεις βιβλίων

τριαντακονταετίας σε 150 χώρες. Τα βασικά συμπεράσματα που εξάγονται για τις διακινούμενες πληροφορίες είναι αφενός μεν στην εύκολη διάδοσή τους, αφετέρου δε στην παρατήρηση ότι **χρωματίζονται από τις ιδεολογικοκοινωνικοπολιτικές πεποιθήσεις των ατόμων, τις οποίες διαδίδουν.** Ωστόσο, **η εργασία αυτή δεν σχετίζεται με τις παγκόσμιες γλώσσες.** Τα τρία αναφερόμενα δίκτυα εκπροσωπούνται από τις τάξεις των ελίτ εκείνων των ελίτ, μέσω των οποίων διαχέεται η πληροφορία στους πολιτισμούς.²⁷¹



How information moves between cultures. Networks that map strength of connections between languages predict global influence of their speakers.

Σύμφωνα με την παραδοχή σύνδεσης γραμμάτων με σημασιολογικές δομές προκύπτει ένα τεράστιο πλήθος εικόνων που αντιστοιχίζεται σε κάθε γράμμα, δυσχεραίνοντας την υποτιθέμενη περιγραφή της καθαυτής ουσίας της λέξης. Επομένως για την έρευνα, είτε περιγράφεται η έννοια της λέξης είτε αντιστοιχίζονται παραπάνω από ένα νοήματα κατά την ανάγνωση των γραμμάτων, προσφέροντας το γόνιμο έδαφος για στοχασμούς και φιλοσοφία με την αρωγή των μαθηματικών και της γεωμετρίας. Η διαζευκτική πρόταση θεωρείται εγκλειστική, αυτό σημαίνει ότι είναι αληθής και στην περίπτωση που οι δύο προτάσεις είναι αληθείς (Προτασιακός Λογισμός).

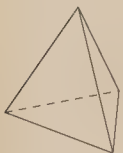
FIRE ΓΥΡ ΦΩΤΙΑ



SPRING SOURCE ΓΘΛΘ ΠΗΓΗ



Τετράεδρο {3, 3} σε όψη (άνω σχήμα), προοπτικό (μεσαίο) και ανάπτυσμα (κάτω). Πλατωνικό στερεό - Πυρ, "Τίμαιος" 56[a-c]



Κατά αυτό το τρόπο, παράγονται νέες λέξεις, δίχως συγκεκριμένη εποπτεία, βασισμένες όμως σε ορισμένες αρχές λ.χ. ευφωνίας, μαθηματικών, γεωμετρίας, γραμματικούς κανόνες (συναιρέσεις²⁷²), αναγραμματισμούς²⁷³ («οπλίτης-πολίτης»)²⁷⁴ κ.ο.κ. Δίδοντας βήμα στον οιονδήποτε μορφωμένο να δημιουργήσει ορισμένες λέξεις που σχετίζονται με την ιερότητα, τα στοιχεία της φύσης κ.ο.κ. Συμπυκνώνοντας νέα νοήματα σε μονοσύλλαβες, δισύλλαβες και τρισύλλαβες λέξεις. Να σημειωθεί ότι οι διαφορετικές παραλλαγές των λέξεων ανά τις πόλεις, ως γνωστόν σχετίζονται με τις διαλέκτους (σύνθεση μεγαλύτερης πολυπλοκότητας).

Τρίπτυχο

(α)

ΓΕΝΝΗΣΗ (Φως) - ΘΑΝΑΤΟΣ (Σκότος) - ΑΝΑΣΤΑΣΗ (Φως)

(β)

Ορφικό(;) [5ος αι. π.Χ. Ολβία, Μαύρη Θάλασσα (Seaford, 2016)]

ΒΙΟΣ - ΘΑΝΑΤΟΣ - ΒΙΟΣ

Από το αλφαβητικό σύστημα αρίθμησης δίνεται η σχέση όπως στην σελίδα 40 με τη λέξη "ΣΟΦΟΣ":

Τ Α Φ Ο Σ = Φ Α Ο Σ Τ

"GRAVE"

Φ + Α + Ο + Σ + Τ → Φ Ω Σ

"στίγμα"

Α + Ο = Ω

Σ + Τ = ζ

κίνηση
ψυχής
προς
τα
άνω

" Άνω Κόσμος "



" Κάτω Κόσμος "



Neolithic burial
custom in Greece

270 (Kaplan, 1999, σ. 30); (Ifrah, 2000, σ. 407, 408)

271 (Hardesty, 2014)

272 (Μπαμπινιώτης, 2019). «Η συναίρεση είναι φαινόμενο της Αρχαίας Ελληνικής, κατά το οποίο δύο συνεχόμενα φωνήεντα συγχωνεύονται σε ένα μακρό φωνήεν (κατά κανόνα διαφορετικό από τα συμβαλλόμενα), π.χ. φάος > φῶς, δηλό-ομεν > δηλοῦμεν, κινέ-ετε > κινεῖτε. Τέτοιου είδους φαινόμενα δεν παρατηρούνται στη Νέα Ελληνική και, επομένως, η χρήση τού όρου συναίρεση για τις φωνητικές μεταβολές της Νέας Ελληνικής δεν είναι κατάλληλη.»

273 (Embleton κ.α., 1999, σ. 145). "Among the reflections Saussure recorded while pursuing anagrams is the following:

"Nowhere do things flourish which are not a combination of inert elements, and nowhere can we perceive matter as other than that constant nourishment which thought directs, regulates, and controls, but on which it is dependent" Sheila Embleton, John Joseph, Hans-Josef Niederreche - The Emergence of the Modern Language Sciences Studies on the Transition from Historical-comparative to Structural Linguistics in Honour of E.F.K.

274 όπλον: Κυκλική ασπίδα στα αρχ. Ελλ., Οπλίτης: Ο κρατών όπλο κατά τη μάχη. Πολίτης: Πιθανός αναγραμματισμός

«**8**στε λοιπόν όποιος κάνει αυτή τήν διανοητική προσέγγιση πίο καθαρά μέσω της ίδιας της νοήσεως μπορεί νά φτάση στό κάθετι, χωρίς νά βάζη δίπλα τήν όπτική έντύπωση στην σκέψη ούτε νά παρεμβάλλη κάποιαν άλλη αίσθηση μέσα στην συλλογιστική του, αλλά, χρησιμοποιώντας τήν σκέψη του άμιγῃ, μέ άπόλυτη είλικρίνεια έπιχειρεϊ νά συλλάβη τά πράγματα καθ' αυτά, άφού άπαλλαγή άπό τά μάτια καί τ' αυτιά καί γενικά άπ' όλο του τό σώμα, έπειδή αυτό διασαλεύει καί έμποδίζει τήν ψυχή νά κατακτήση τήν αλήθεια καί τήν φρόνηση, όταν άναμειγνύεται; Άραγε, Σιμμία, αυτός περισσότερο άπό κάθε άλλον δέν είναι εκείνος πού θά κατακτήση τήν πραγματική ούσία τών όντων;» Πλάτων, «Φαίδων» ή «Περί Ψυχής», στ. 65d

Στα προηγούμενα χρειάζεται επίσης να προστεθεί ότι μια γλώσσα είναι ένα μέσο για:²⁷⁵

1. Έκφραση ή επικοινωνία:
 - Προφορικά ή οπτικά (π.χ. σε γραπτή μορφή)
 - Γεγονότα, απόψεις, σκέψεις, ιδέες, συναισθήματα, επιθυμίες ή εντολές
 - Από τη μια στιγμή στην άλλη
 - Ανάμεσα σε διαφορετικά άτομα ή από ένα άτομο στον εαυτό του/της σε διαφορετική στιγμή
2. Σκέψη
3. Ανάλυση ή συλλογισμό

Εκ των αναγωγών των λέξεων στα 14 αλφάβητο διαφαίνεται η αδιαίρετη σχέση γλώσσας – μαθηματικών (αριθμητικής, ως απότοκος των πρώτων λέξεων) – γεωμετρίας (δίτολο γραφής – συμβόλων) – ερμηνευτικών δομών (προσέγγιση μέσω της ίδιας κουλούρας) – παράδοσης (αδιάσπαστη «σιωπηρή» αλυσίδα). Η αναγωγή των γραμμάτων σε κύκλο πραγματοποιήθηκε επειδή παρατηρήθηκε μία κυκλική συσχέτιση, αν κατ' επανάληψη γραφούν εν σειρά κατ' αύξουσα ή φθίνουσα σειρά οι χαρακτήρες των γραμμάτων, για παράδειγμα στο αγγλικό αλφάβητο εμφανίζονται τα ABCDEFGHIJKLMNOPQRSTUVWXYZ... και ZYXWVUTSRQPONMLKJIHGFEDCBAZYXWVUTSRQPONMLKJIHGFEDCBA... Επομένως,

της λέξης «οπλίτης» κατά τους αρχαίους χρόνους, του προστάτη της πόλης.

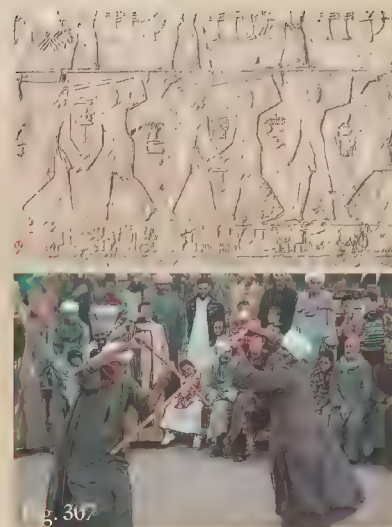
275 (Baber, 2011, σ. 4)

276 ("Γλωσσικό Σημείο [linguistic sign],” n.d.). Γλωσσικό σημείο: «Η αδιάρρηκτη ένωση μιας έννοιας ή σημασιόμενου με μια ακουστική εικόνα ή σημαίνον. Π.χ. το γλωσσικό σημείο (η λέξη) μήλο αποτελεί την ένωση της έννοιας «μήλο» και της ηχητικής ακολουθίας [milo]. Το βασικό χαρακτηριστικό του γλωσσικού σημείου είναι ότι διέπεται από αυθαιρεσία: δεν υπάρχει φυσική και

την κυκλική/περιοδική ιδιότητα των εν σειρά χαρακτήρων αντιπροσωπεύει ένας κύκλος. Ομοίως, δύναται να εργαστεί κάποιος και κατά την περιοδική ιδιότητα των αριθμητικών ψηφίων και των μουσικών φθογγοσήμων, ώστε να διερευνήσει τις πιθανές γεωμετρικές σχέσεις τους σε κύκλο.

Στην έρευνα αυτή, παρατηρείται μία ιδιότυπη απεικόνιση των λέξεων κατά σύμπτωση από την αναγωγή τους σε κύκλους. Πιθανή θεωρείται μία προσπάθεια συμπίκνωσης μαθηματικών, κατ' επέκταση γεωμετρικών γνώσεων και ερμηνείας της πραγματικότητας που συνδέεται άρρηκτα με τη λέξη, όπως συμβαίνει κάτι παρεμφρές με νοήματα (λέξεις) στα παραδείγματα της αρχιτεκτονικής (κτήριο-σύμβολο), της σπηλαιογραφίας (απεικόνιση που εξυπηρετεί συγκεκριμένους σκοπούς), των 'tattoo' (είδος απεικονιστικής επικοινωνίας), σημαίων-σημαινόμενο (γλωσσικό σημείο²⁷⁶).

Ουσιαστικά, πιθανολογείται ότι αφενός μεν είναι το αποτέλεσμα της μακραίωνης εξελικτικής διαδικασίας (από την εικονογραφία στην γραφή) και αφετέρου δε σαν να επιχειρείται μια προβολή της έννοιας ορισμένων λέξεων στη «μοναδική» γεωμετρική εικόνα του διακεκομένου ισομερώς κύκλου με την αρωγή των γραμμάτων-αριθμών²⁷⁷. Έστερα, παρατηρείται ότι συγκεντρώνονται οι πεποιθήσεις και η συλλογική πνευματική παράδοση των πολιτισμών, εφορμώντας από την επικοινωνιακή διάσταση της εικόνας που χάνεται στο βάθος των χιλιετιών και πιθανώς μεταδιδόταν ανά τις γενεές.



(Gabry-Thienpont, 2019). Tahtib is an Egyptian practice typically performed at wedding celebrations and pilgrimages (mawlid). It is an exclusively male martial art with strict rules, in which two men, each armed with a stick, perform a combat in a choreographed series of defined figures. Music is central to tahtib: the players are accompanied encouraged and restrained by the playing of mizmar and tabla baladi. Like many rural practices, tahtib is considered by both its participants and spectators to be an ancestral tradition tracing back to Egypt's Pharaonic era.

αιτιολογημένη σχέση ανάμεσα στο σημαίνον και το σημασιόμενο, με την έννοια ότι δεν υπάρχει κάποιος λόγος που μια έννοια αποδίδεται με τη συγκεκριμένη ακουστική εικόνα: η σχέση είναι αποτέλεσμα της κοινωνικής σύμβασης. Απόδειξη γι' αυτό είναι ότι η ίδια έννοια («μήλο») αντιπροσωπεύεται διαφορετικά στις διάφορες γλώσσες: αγγλ. apple, γαλλ. pomme, ελλ. μήλο.»
277 Εφόσον τα αλφαριθμητικά συστήματα χρησιμοποιούνται στα μαθηματικά.



The Bird's Eye View
Of The Giza Pyramid. By
Alexander Ladanivsky (Ph.,
Drone)

«[...] Αυτές είναι λοιπόν οι αιτίες από τις οποίες δημιουργήθηκαν τα απλά και πρωταρχικά σώματα [...] μέσα τους υπάρχουν κι άλλα είδη, πρέπει να θεωρήσουμε ως αιτία τη σύσταση των δυο βασικών τριγώνων, επειδή για την κατασκευή τους δεν δημιουργήθηκε αρχικά ένα μόνο τρίγωνο με συγκεκριμένο μέγεθος αλλά τόσα πολλά μεγαλύτερα και μικρότερα όσα είναι και τα γένη μέσα στα είδη. Συνεπώς, όταν ανακατεύονται τόσο με τον εαυτό τους όσο και με τ' άλλα, δημιουργούν άπειρες ποικιλίες. Κι αυτή λοιπόν την ποικιλία πρέπει να μελετήσουν όσοι σκοπεύουν να χρησιμοποιήσουν λογικούς συλλογισμούς για τη φύση. [...]» Πλάτων, «Τίμαιος», στ. 57[c-d]

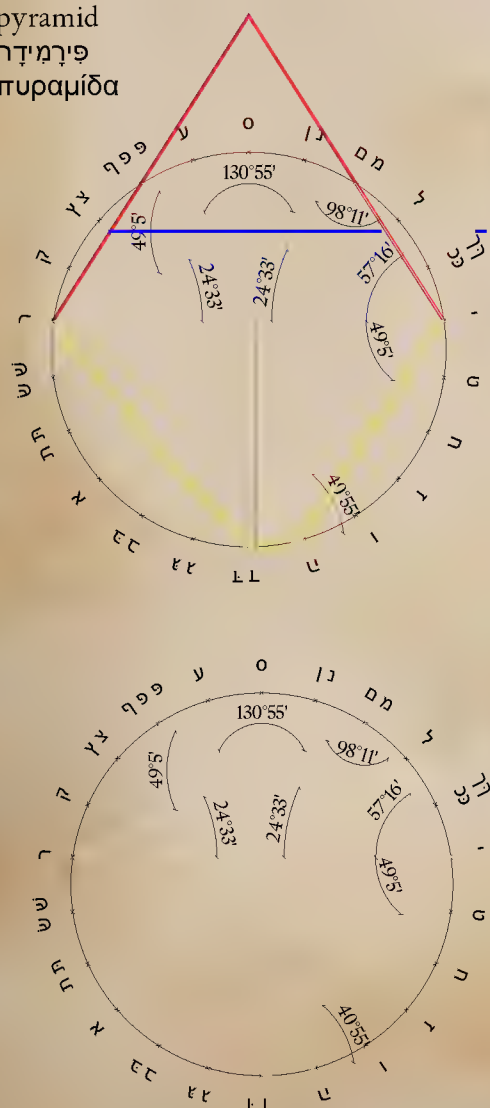
Λαμβάνοντας υπόψιν το «πυθαγορικό»²⁷⁸ έργο «Τίμαιος» του Πλάτωνα καταδεικνύεται ο συσχετισμός των πέντε «απλούστερων» κυρτών κανονικών πολυέδρων -«πλατωνικών» στερεών- με στοιχεία της φύσης και του ίδιου του σύμπαντος. Από την σύνθεση των στοιχείων των «πλατωνικών» στερεών καταφαίνεται η σύνδεση μιας

έννοιας με μοναδικό -ανά τη φορά- γεωμετρικό στοιχείο, αφού δημιουργείται η ανάγκη να εκφραστεί δια λόγου η ανακάλυψη. Το χωρίο 57[c-d] αναφέρεται σε «νέες άπειρες ποικιλίες» από την σύνθεση των παραπάνω, οι οποίες αναπόφευκτα οδηγούν σε νέες ανακαλύψεις εννοιών -λεπτών σημασιολογικών αποχρώσεων. Οι έννοιες αυτές σχετίζονται με προσεγγίσεις περί της φύσεως των πραγμάτων.

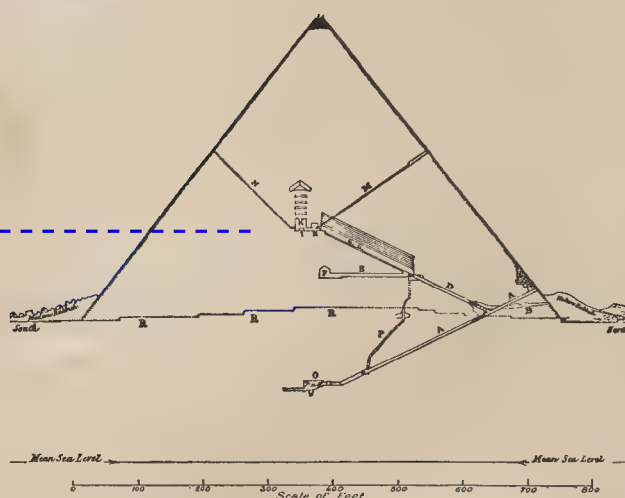
Συνεπώς, θεωρείται πιθανό κατά την επινόηση εκείνης της νέας λέξης να συσχετίζεται με τα μαθηματικά και τη γεωμετρία, αποτυπώνοντας την με τα γράμματα, εφόσον οι υπολογισμοί ως γνωστόν γίνονταν με γράμματα (Ακροφωνικό Σύστημα Αρίθμησης). Επινοώντας νέες λέξεις (μονοσύλλαβες, δισύλλαβες, τρισύλλαβες) που αντιστοιχίζονται στις λεπτότερες αποχρώσεις μιας γενικής ιδέας. Επίσης, πιθανολογείται ότι η παραπάνω ανάλυση τρισδιάστατων γεωμετρικών στερεών επηρεάζει την δημιουργία της λέξης, εκ του σχεδίου του -κάτοψη, όψη, τομή, αξονομετρικό κτλ.

Εβραϊκό Αλφάβητο (Hebrew Alphabet)

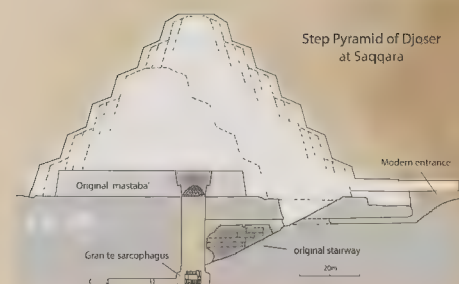
pyramid
הַיְמִיָּה
πυραμίδα



Pyramid of Khufu



Step Pyramid of Djoser

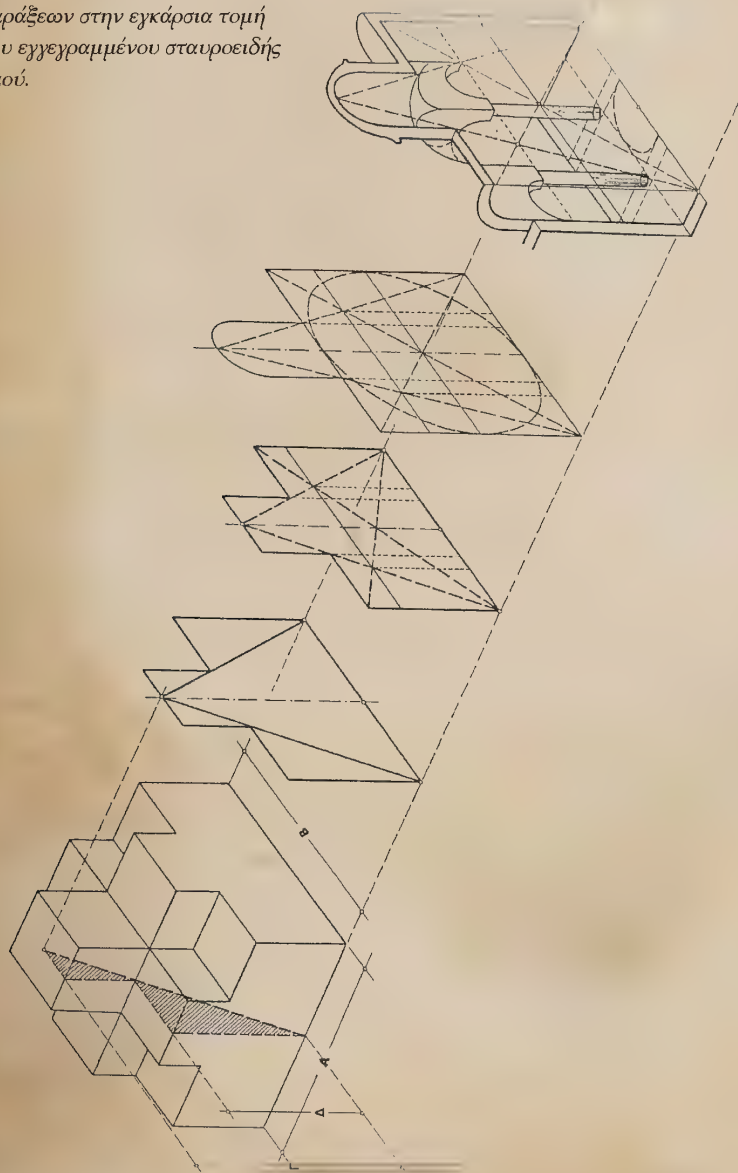


Στην περίπτωση της εβραϊκής λέξης **הַיְמִיָּה** (Πυραμίδα) από το εξαγόμενο σχήμα κατόπιν μίας ελάχιστης διεργασίας (ένωσης ορισμένων σημείων-γραμμάτων) **αποδίδεται το σχέδιο της τομής μίας αιγυπτιακής πυραμίδας**, όπως για παράδειγμα του Djoser, του Khafre ή του Khufu (Cheops). Με μία πιο προσεκτική ματιά διαπιστώνονται **δύο τριγωνικά σχήματα: το άνω ισοσκελές τρίγωνο και το κάτω σκαληνό. Ο μέσος όρος (53.18°) των δύο γωνιών 57°16' (57.27°) και 49°5' (49.09°) του ισοσκελούς και του σκαληνού προσεγγίζουν τη γωνία 53.13° της πυραμίδας του Khafre**, όπως συνέβαινε και με μία εκ των γωνιών (53°20') (53.33°) της ελληνικής λέξης **Πυραμής** στον κύκλο των 27 γραμμάτων. Ωστόσο, το μέγεθος 57°16'. Επίσης, η μπλε γραμμή του ισοσκελούς τριγώνου, η οποία προκύπτει από την παράλληλη γραμμή στις δύο παράλληλες πλευρές του ισοσκελούς τραπεζίου (**הַיְמִיָּה**) των δύο διαγωνίων, **προσεγγίζει το ύψος της θέσης του θαλάμου του Βασιλιά ('King's Chamber') της Πυραμίδας του Khufu (Cheops)**. Το σκαληνό τρίγωνο του σχήματος, ίσως υποδηλώνει τη **συνέχεια της πυραμίδας κάτω από τη στάθμη του εδάφους** ή (ως ανεστραμμένη εικόνα) συμβολίζει ότι το συνολικό υλικό κατασκευής της πυραμίδας στο ανώτερο σημείο της διακόπτεται (όπως συμβαίνει). Πράγματα, τα οποία λίγοι γνώριζαν την εποχή εκείνη και οι πληροφορίες αυτές μπορούσαν να μεταφερθούν εύκολα και μυστικά ως γνώσεις δια στόματος σε όλη την επικράτεια και ευρύτερα, χωρίς την απόδοση κάποιου σχεδίου.

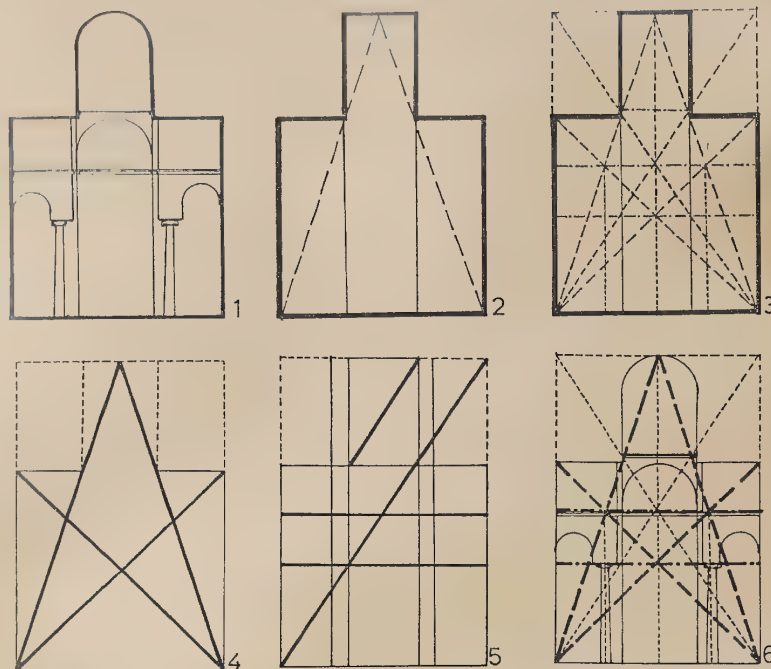
Κια το Ελληνικό Αλφάβητο, μία πρώτη παρατήρηση αφορά το γράμμα 'Α', αφού σχεδιαστεί στον κύκλο των 27 γραμμάτων. Εξετάζοντας το λόγο ύψους-βάσης του ισοσκελούς τριγώνου διαπιστώνεται ότι **προσεγγίζονται ορισμένοι από τους αντίστοιχους λόγους κτηρίων αρχιτεκτονικής των αρμονικών χαράξεων**²⁷⁹ ("sacred geometry") δομικών χαράξεων βυζαντινής ναοδομίας. Πιο συγκεκριμένα σε κύκλου διαμέτρου 100cm, το ύψος (Υ) του ισοσκελούς τριγώνου είναι 91.77439cm και η βάση (Β) 54.9509cm, άρα ο λόγος ισούται με 1.67012. Σύμφωνα με το βιβλίο "Ναοδομία" του αείμνηστου Ομότημου Καθηγητή Αρχιτεκτονικής και αναστηλωτή Ν. Μουτσόπουλου, ο

λόγος αυτός βρίσκεται μέσα στο εύρος τιμών (min-max) των λόγων των δομικών χαράξεων της εγκάρσιας τομής των εγγεγραμμένων σταυροειδών ναών του 13^{ου} και 14^{ου} αι. μ.Χ. (2.68 - 1.63) -ύψος τρούλου προς εσωτερική διάσταση χώρου (βάσης).²⁸⁰ Πιθανολογείται ότι αντίστοιχοι λόγοι μπορούν να συναντηθούν σε αρχαίους ελληνικούς ναούς καθότι υφίσταται μία αδιάφυστη συνέχεια μεταξύ αρχαίου ελληνικού πνεύματος και χριστιανικού ορθοδόξου ως προς την θεολογία, (μονοθεϊσμός λ.χ. Πλάτων, Ξενοφάνης), τα ήθη και τα έθιμα. Ωστόσο, δεν έχει εξεταστεί κάτι τέτοιο. Επίσης, από τη γωνία του ύψους του ισοσκελούς τριγώνου της λέξης ΑΛΦΑ προσεγγίζεται το μέγεθος της γωνίας ύψους του ισοσκελούς τριγώνου του καθολικού

Σχηματική Παράσταση της αναλύσεως των τεκτονικών χαράξεων στην εγκάρσια τομή του εγγεγραμμένου σταυροειδούς ναού.



Σχηματική Παράσταση της θεωρητικής αναλύσεως των τεκτονικών χαράξεων.



278 (Πλάτων, 2010, σ. 707). Πρόκλου Διαδόχου, «Εἰς τὸν Τίμαιον Πλάτωνος»: «Ὁμολογεῖται λοιπὸν ἀπὸ ὅλων ὅτι, ὅταν πῆρε ὁ Πλάτωνας τὸ βιβλίον τοῦ πυθαγορικοῦ Τίμαιου, πού εἶναι συνθεμένο γιὰ τὸ σῦμπαν, κατὰ τὸν τρόπο τῶν πυθαγορείων ἐπιχείρησε νὰ «τιμαιογραφεί»

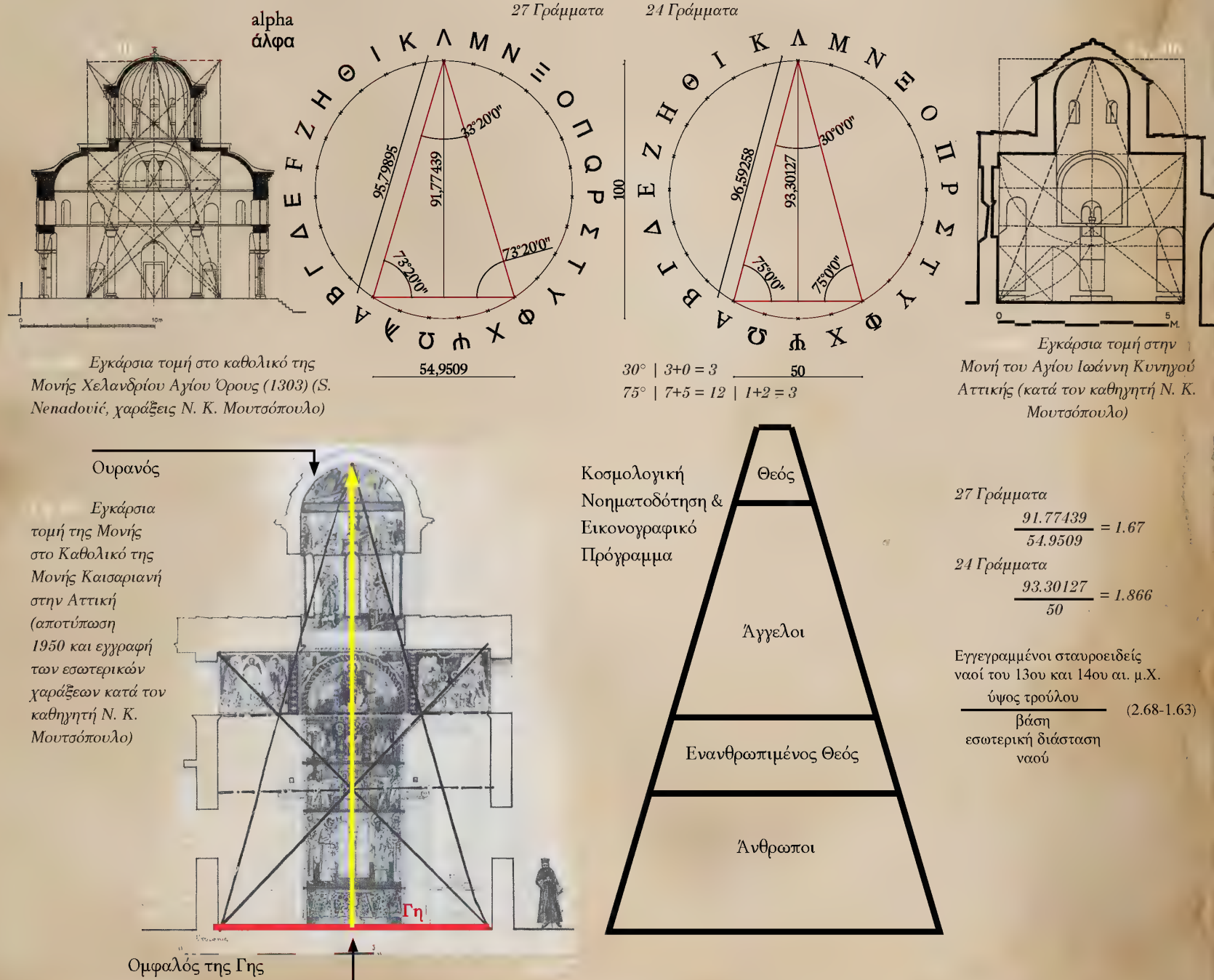
279 (Μουτσόπουλος, 2010, σ. 27). Δ. Κωνσταντινίδης Περί Ἀρμονικῶν Χαράξεων εἰς τὴν Ἀρχιτεκτονικὴν καὶ τὰς Εἰκαστικὰς Τέχνας ἔργο του (Ἀθήνα 1961, σ. 6): «Χάραξις εἰς ἓν μνημεῖον ἢ ἔργον Τέχνης, εἶναι ἡ ἔνταξις χαρακτηριστικῶν σημείων ἢ

γραμμῶν αὐτοῦ εἰς ἓν γεωμετρικὸν πλέγμα, εἴτε ἐμφανές, εἴτε διαπιστούμενον κατόπιν ἰδιαζούσης γεωμετρικῆς διερευνήσεως. Ἀρμονικὴ δὲ Χάραξις εἶναι ἡ προσδίδουσα εἰς τὸ ἐξεταζόμενον ἢ δημιουργούμενον ἔργον αἰσθητικὰς ιδιότητος [...] (σ. 321) πᾶσα ἰθύνουσα ἐσωτερικὴ γραμμικὴ κατασκευὴ, προσδιοριζομένη ἐκ τῶν προτέρων καὶ παρουσιάζουσα ἀριθμητικὴν ἢ γεωμετρικὴν νομοτέλειαν δυναμένην νὰ χρησιμεύσῃ ὡς ὀργανικὸς σκελετὸς εἰς τὰ ἔργα τοῦ ἀνθρώπου, καὶ ἰδίᾳ εἰς τὰ ἀρχιτεκτονήματα καὶ τὰ ἔργα Τέχνης πρὸς δημιουργίαν Μορφῆς καὶ Ρυθμοῦ, εἶναι ἓν τῇ οὐσίᾳ τῆς μίας Ἀρμονικῆς Χάραξις.»

της μονής Χελανδαρίου Αγίου Όρους (1,303 μ.Χ.). Σύμφωνα με την ιστορία της αρχιτεκτονικής και τέχνης, από τον τρούλο ρέει το ουράνιο θεϊκό φως δημιουργώντας υψηλά συναισθήματα στους πιστούς, γι' αυτό απεικονίζει τον ουρανό (κατακόρυφος άξονας).²⁸¹ Εκεί τοποθετείται ο Παντοκράτωρ, ο Θεός που άκουσε ο Ησαΐας να λέει «εγώ είμαι ο πρώτος και μόνος· και στους επερχομένους αιώνας εγώ υπάρχω πάντοτε» [41,4] και στο θεολογικό έργο της "Αποκάλυψης του Ιωάννη" λέει ο Κύριος «Εγώ είμαι το Α και το Ω και κλείω στον άπειρον

εαυτόν μου την αρχήν και το τέλος όλης της δημιουργίας» (1,8).

Το εικονογραφικό πρόγραμμα (αγιογραφίες) του βυζαντινού ναού στην εγκάρσια τομή (δηλαδή στη θέση του ισοσκελούς τριγώνου) διαιρείται σε 4 μέρη, σύμφωνα με την κοσμολογική νοηματοδότηση του. Από τον τρούλο προς τα κάτω απεικονίζονται: ο Θεός (που «θεάται τους πιστούς επί της γης»²⁸²), οι Άγγελοι, ο Ενανθρωπισμένος Θεός και τέλος στη βάση του ναού οι Άγιοι επί της Γης. Ο κατακόρυφος άξονας, δηλαδή η διάμεσος του ισοσκελούς τριγώνου της αρμονικής χάραξης βρίσκεται (συμβολικά) πάνω στον ομφαλό της Γης.²⁸³



280 (Μουτσόπουλος, 2010, σ. 53). Πινακάκι λόγων ύψους τρούλου και εσωτερικής διάστασης της μικρής πλευράς του χριστιανικού ναού.

281 (Μιχαήλ, 2006, σ. 132-135)

282 (Μιχαήλ, 2006, σ. 155)

283 (Μιχαήλ, 2006, σ. 155-156); (Πανσελήνου, 2010, σ. 141)

: πρβ Διάλεξη Σχολής Αρχιτεκτόνων Μηχανιών Ε.Μ.Π. Χειμερινού Εξαμήνου Μικράκη, Μανόλη (2018-2019). Ιστορία και Θεωρία 3ου εξαμ. Η Τέχνη κατά την Πρώτη Χριστιανική Χιλιετία σε Ανατολή και Δύση (σελίδα διαφάνειας 10-11)

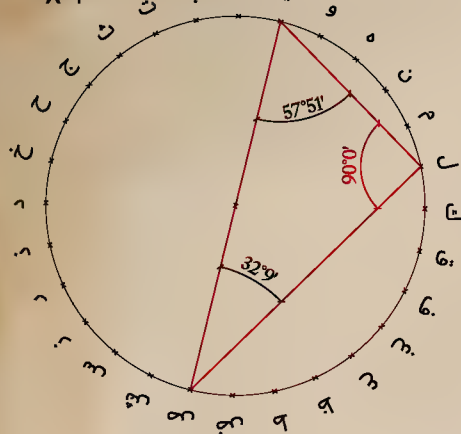
$$\frac{91.77439}{54.9509} = 1.67$$

$$\frac{93.30127}{50} = 1.866$$

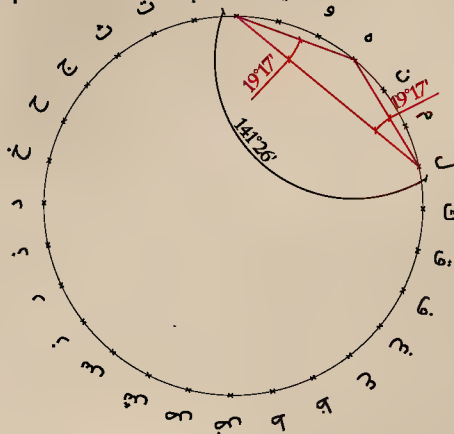
$$\frac{\text{Εγγεγραμμένοι σταυροειδείς ναοί του 13ου και 14ου αι. μ.Χ.}}{\text{ύψος τρούλου}} = \frac{\text{βάση εσωτερική διάσταση ναού}}{(2.68-1.63)}$$

Arabic letters usage in Literary Arabic (Hijāʾī)

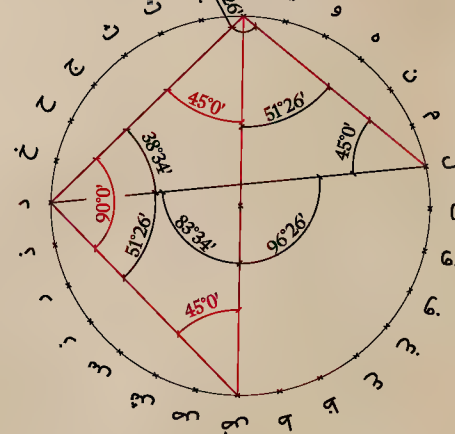
pray

يَلْصَحْ - يَلْصَحْ
προσεύχομαι

deity

هَلْ - هَلْ
θεότητα

earth

ضَرَأَ - ضَرَأَ / ضَرَأَ - ضَرَأَ
γη

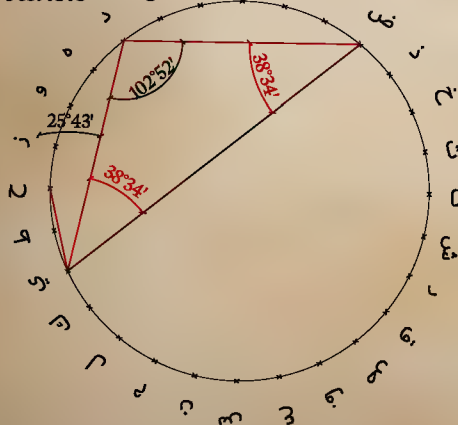
The order of Arabic letters (Abjad numerals) as ordained according to the regular development of the values of the alphabetic number-system of eastern Arabs. (Ifrah, 2000, σ. 243, 261).

LETTERS		VALUES
ا	'alif	1
ب	ba	2
ج	jim	3
د	dal	4
ه	ha	5
و	wa	6
ز	zay	7
ح	ḥa	8
ط	ṭa	9

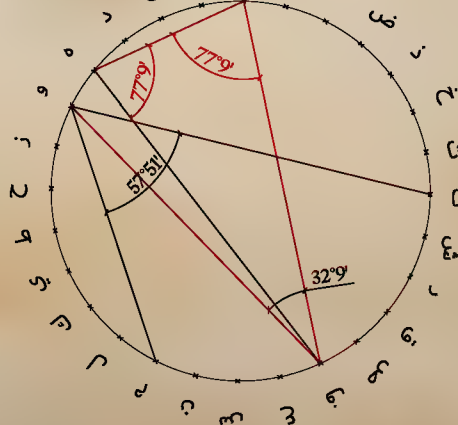
ي	ya	10
ك	kaf	20
ل	lam	30
م	mim	40
ن	nūn	50
س	sin	60
ع	'ayin	70
ف	fa	80
ص	ṣad	90

ق	qaf	100
ر	ra	200
ش	shin	300
ت	ta	400
ث	tha	500
خ	kha	600
ذ	dhal	700
ض	ḍad	800
ظ	ḍḥa	900
غ	gha	1,000

mausoleum

حِي رَضْ - حِي رَضْ
μαυσωλείο

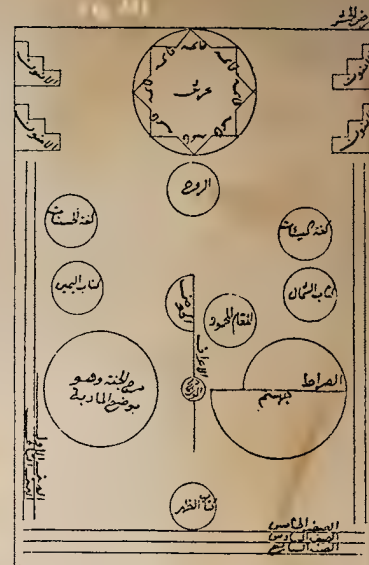
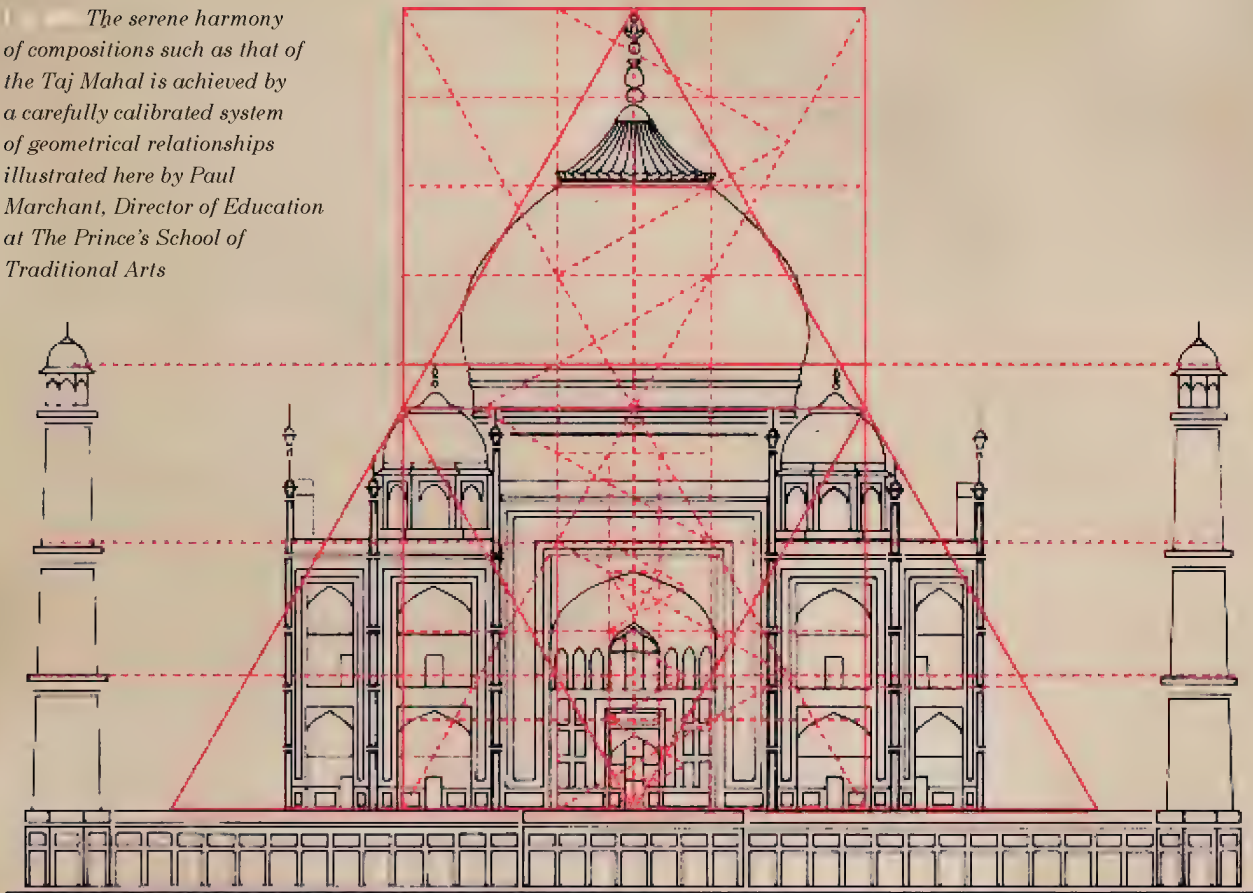
death

ة ا ف و - ة ا ف و / ت و م - ت و م
θάνατος

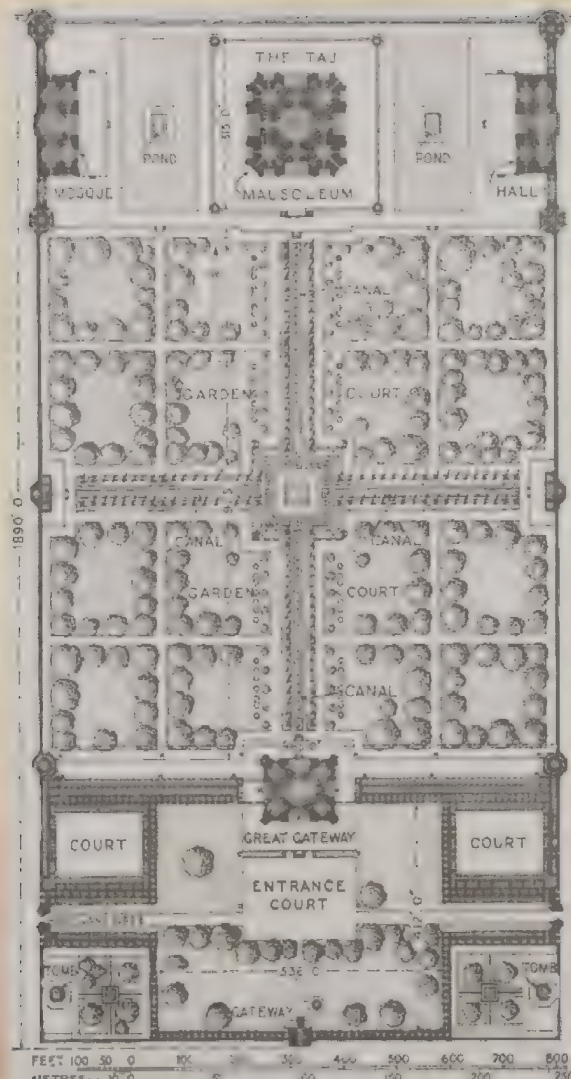
life

ة ا ي ح - ة ا ي ح
ζωή

The serene harmony of compositions such as that of the Taj Mahal is achieved by a carefully calibrated system of geometrical relationships illustrated here by Paul Marchant, Director of Education at The Prince's School of Traditional Arts



Ibn al-c Arabi,
Diagram of the Plain
Assembly (Ard al-Hashr) on
the Day of Judgment, from
autograph MS of Futuhat
al-Makkiyya



The Taj Mahal;
lit. 'Crown of the Palace';
Architectural style Mughal
architecture

Plan of Taj Mahal
(after Fletcher)

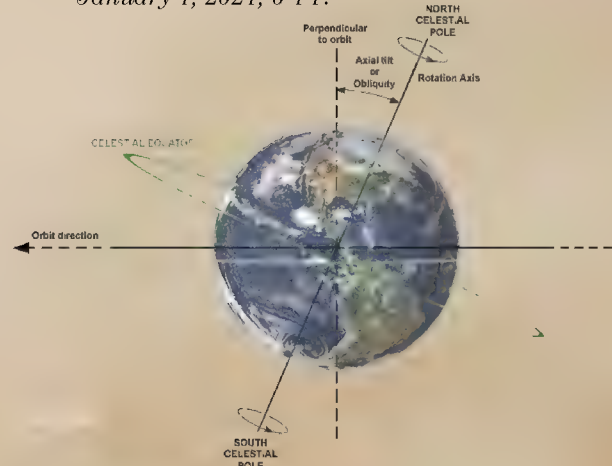
(Taj Mahal, n.d.); (Begley, 1979). "According to Ebba Koch, art historian and international expert in the understanding and interpretation of Mughal architecture and the Taj Mahal (1632-53; mausoleum; Architect Ustad Ahmad Lahauri; Built for Mumtaz Mahal; Agra, Uttar Pradesh, India), the planning of the entire compound of the Taj symbolizes earthly life and the afterlife, a subset of the symbolization of the divine. The plan has been split into two - one half is the white marble mausoleum itself and the gardens, and the other half is the red sandstone side meant for worldly markets. Only the mausoleum is white so as to represent the enlightenment, spirituality and faith of Mumtaz Mahal. According to the world-traveler Eleanor Roosevelt, the white symbolized the purity of real love. Koch has deciphered that symbolic of Islamic teachings, the plan of the worldly side is a mirror image of the otherworldly side, and the grand gate in the

Στη συνέχεια μία άλλη παρατήρηση αφορά μία ύμπτωση περί των ταυτώσεων λέξεων **ΓΗ - ΓΑΙΑ - ΑΙΑ** που εμφανίζεται **μεταξύ των γωνιών τους**. Προτού όμως αναφερθεί η παρατήρηση αναφέρονται δύο από τα επιτεύγματα του **Ερατοσθένη** του Κυρηναίου (276-194 π.Χ.), Έλληνα μαθηματικού, γεωγράφου, αστρονόμου, ποιητής που εφύηρε το σημερινό λεγόμενο "κόσκινο του Ερατοσθένη" (διαδικασία υπολογισμού πρώτων αριθμών). Στην πραγματεία του **'Περί Διαστάσεων της Γης'** είχαν δοθεί **λεπτομέρειες περί των μετρήσεων της ακριβούς μέτρησης της περιφέρειας της Γης**, αλλά δεν σώζεται. Ωστόσο, ορισμένες λεπτομέρειες αυτών των υπολογισμών εμφανίζονται σε έργα άλλων συγγραφέων, όπως του Κλεομήδη, του Θεόνο του Σμυρναίου και του Στράβωνος. Ο Ερατοσθένης συνέκρινε τη μεσημεριανή σκιά στα μέσα του καλοκαιριού μεταξύ της Συήνης (τώρα Ασούαν στον Νείλο στην Αίγυπτο) και της Αλεξάνδρειας. Υπέθεσε ότι ο ήλιος ήταν αρκετά μακριά ώστε οι ακτίνες του μπορούσαν να θεωρηθούν ως παράλληλες, και στη συνέχεια, έχοντας γνώση της απόστασης μεταξύ Συήνης και Αλεξάνδρειας, έδωσε το μήκος της περιφέρειας της Γης ως 250,000 στάδια. Επίσης, **ο Πτολεμαίος αναφέρει ότι ο Ερατοσθένης κατάφερε να μετρήσει την κλίση του άξονα της Γης με μεγάλη ακρίβεια δίδοντας την τιμή (11/83) των 180°, δηλαδή 23° 51' 15"**.²⁸⁴

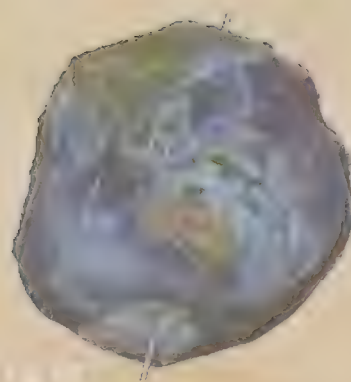
Λόγω της ημερήσιας γήινης περιστροφής, ο άξονας της Γης πραγματοποιεί μετάπτωση γύρω από την κάθετο στο εκλειπτικό επίπεδο (Βόρειο Εκλειπτικό Πόλο). Επειδή, ο ισημερινός αποκλίνει από το επίπεδο της εκλειπτικής περίπου 23.5°, ο άξονας διαγράφει στο χώρο ένα κώνο με ημικατακόρυφη γωνία 23.5°, η γωνία ποικίλλει, από 24,5° - 22,1° σε μια περίοδο 41,000 ετών.²⁸⁵ Σύμφωνα με τα δεδομένα της παρατήρησης, οι λέξεις αυτές, με την αρχαιότερη από τις τρεις τη λέξη **Αἴα**.²⁸⁶ Όταν αναχθούν σε κύκλους 24, 27, 30, 33, 36 και 40 γραμμάτων εμφανίζονται οι ακόλουθες ιδιότητες:

- (α) Στον κύκλο τα ευθύγραμμα τμήματα **ΓΗ** και **ΑΙΑ** είναι παράλληλα μεταξύ τους, επομένως μέσω της γεωμετρικής ιδιότητας της παραλληλίας εκφράζεται και το παράλληλο ταυτόσημο νόημα τους.
- (β) Σχηματίζεται **ισοσκελές τραπέζιο**, όπως συμβαίνει με τις λέξεις **ΘΕΟΣ** και **ΧΑΟΣ** στη σχετική έρευνα του Αυγούστου σελ. 82.²⁸⁷ (Πετράκης, Πέτρος. (2021). *Greek Alphabet - Αρχαίο Ελληνικό Αλφάβητο*. (σ. 84). Αθήνα,
- (γ) Κατά σύμπτωση **η γωνία 22°30'** που σχηματίζουν **οι 3 λέξεις στο ισοσκελές τραπέζιο του κύκλου των 40 γραμμάτων** ανήκει στο εύρος των τιμών **24,5° - 22,1° της κλίσης του άξονα της γης**.
- (δ) **Η γωνία 25° των 36 γραμμάτων είναι αρκετά κοντά στη μέγιστη τιμή 24,5°**. Άλλο ένα αξιοσημείωτο των 36 γραμμάτων είναι ο σχηματισμός ενός ισόπλευρου τριγώνου όταν γράφεται η λέξη **ΑΔΦΑ**, δηλαδή παρουσιάζεται **η γωνία των 60°**.
- (ε) Στα 27 γράμματα αναζητώντας το έκεντρο σημείο του ισοσκελούς τριγώνου που σχηματίζει το τραπέζιο (ΑΓΗΙ), παρατηρείται ότι το μισό της γωνίας 46°40' της βάσης του τριγώνου είναι 23°20', τιμή η οποία προσεγγίζει την κλίση της γωνίας 23.5° της Γης. Παρατίθεται απόφιο το κείμενο επίσημων στοιχείων:

"Based on a continuously updated formula (here Laskar, 1986, though since 2006 the IMCCE and the IAU recommend the P03 model), Earth's mean obliquity (without taking into account the nutation in obliquity) is currently about 23°26'11.0" (or 23.4364°) and decreasing; according to P03 astronomical model, its value (without taking into account the nutation in obliquity) was 23°26'11.570" (23.4365472133°) on January 1, 2021, 0 TT."²⁸⁸



Representation of the variation in the geoid field across Australia, illustrated by mapping a satellite derived image of the Earth onto a greatly exaggerated view of the geoid field. The trend of the geoid anomaly corresponds to the apparent tilt axis derived from the longest wavelength variations in elevation of Cainozoic near-shore deposits around the Australian coastline.



Earth's axial tilt (obliquity)

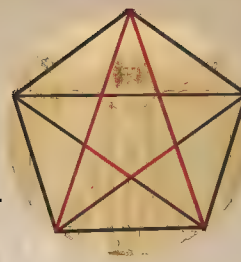
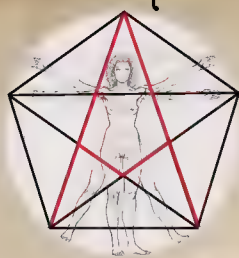
²⁸⁴ (Eratosthenes - Biography, 2020); (Easterling et al., 1996, σ. 33, 604). Επίσης, ο Ερατοσθένης αναφέρεται ως ιστορικός, χαρτογράφος και εθνογράφος, ότι συνέγραψε φιλοσοφικά έργα περί της κοσμολογίας, της μουσικής αρμονίας.

²⁸⁵ (Γαζέας, 2017, σ. 14); πρβ ('Orbits and Climate | Axis Tilt (Obliquity)', 2011); (Milutin Milankovitch, 2000)

²⁸⁶ (αἴα - Wiktionary, 2019). Τύπος Επικής Ποίησης για τη λέξη γαῖα.

²⁸⁷ (Πετράκης, 2021, σ. 84). Greek Alphabet

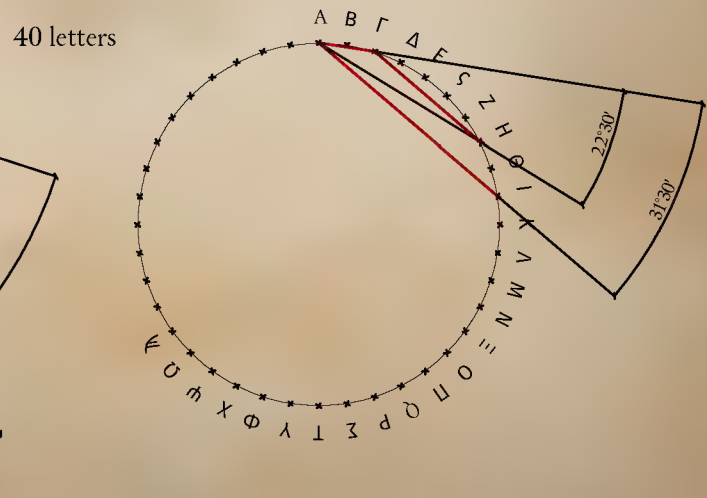
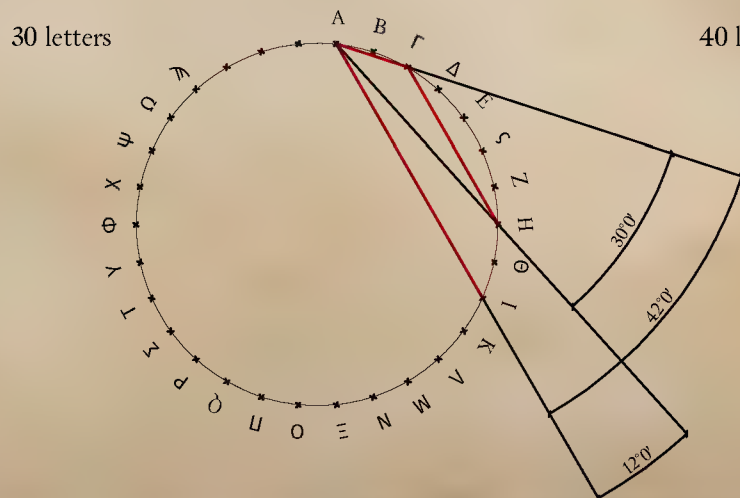
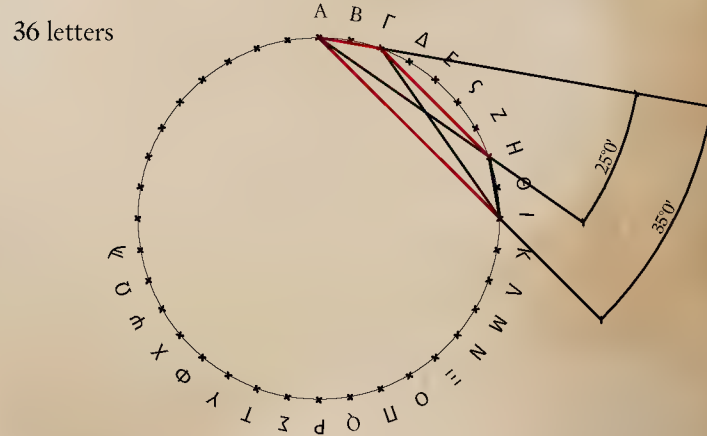
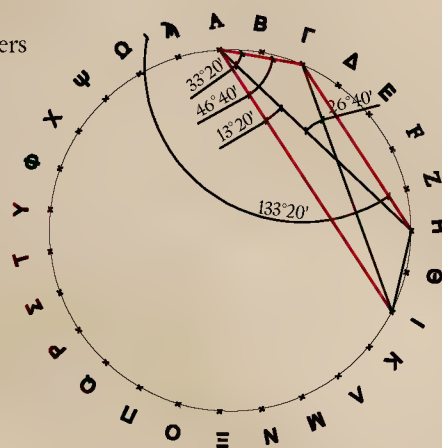
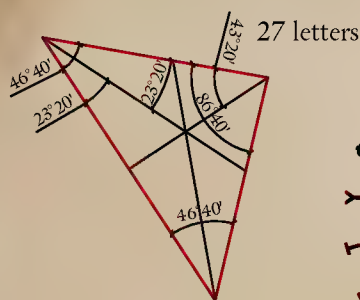
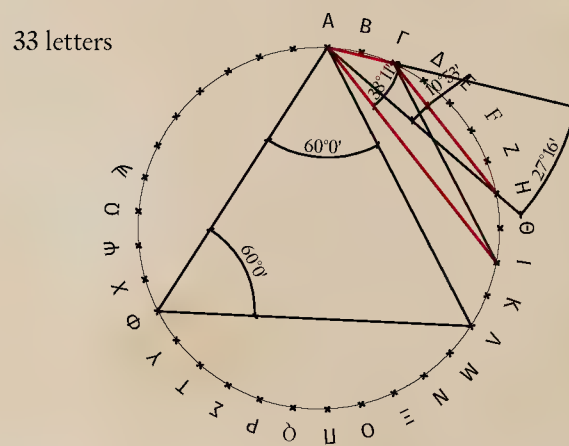
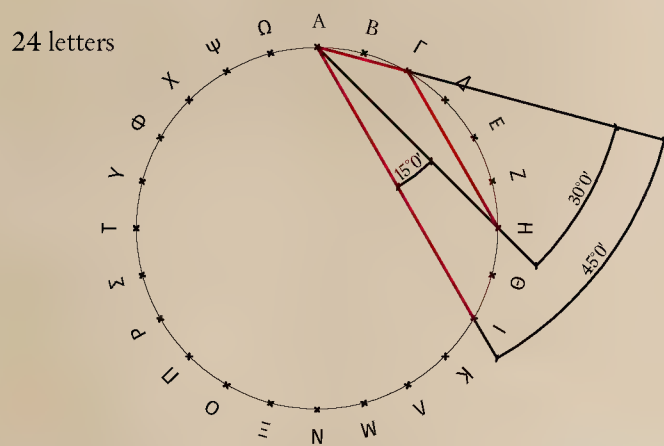
²⁸⁸ (Axial Tilt, 2019)



Το γράμμα Ι ίσως εκφράζει μία διαχωριστική γραμμή ή έναν άξονα συμμετρίας, όπως στην λέξη ΣΟΦΟΣ το γράμμα Φ. Ωστόσο, ως αριθμός στο αττικό ακροφωνικό σύστημα αρίθμησης συμβολίζει την μονάδα, το έν (=ένα). Στο αλφαριθμητικό σύστημα έχει την αξία του 10 με πυθμενικό αριθμό το 1, αφού εκ του 10 έχουμε: $1 + 0 = 1$

Στον Πεντάγραμμο Αστέρα ως γνωστόν εντοπίζονται οι χρυσές αναλογίες, χρυσές γωνίες (36° , 72° , 108°), χρυσά τρίγωνα κ.ο.κ. Ακολουθώντας, οι χρυσές αναλογίες εντοπίζονται στο ανθρώπινο σώμα. Παρατηρήστε προσεκτικά ότι το πρώτο γράμμα της λέξης «άνθρωπος» είναι το «Α». Στην λέξη «άστήρ» πάλι το πρώτο γράμμα είναι το «Α», η οποία σηματοδοτεί άλλοτε το γεωμετρικό σχήμα και άλλοτε ένα ουράνιο σώμα-τον ήλιο (=άελιος Δωρικός, Αιολικός, Αρκαδοκυπριακός τύπος ; άβέλιος κρητικός τύπος ; ήελιος επικός και ιωνικός τύπος ; ήλιος λυρικός τύπος. ("ήλιος - Wiktionary," 2021)).

Earth - Γαΐα, Αΐα, Γη



Δεδομένου ότι γίνεται αποδεκτή η απουσία συμπτώσεων σε ορισμένες λέξεις που αριθμητικά και γεωμετρικά (λ.χ. «πῦρ» & πλατωνικό 4-εδρο & γράμμα «Δ» & μυθολογία) ταυτίζονται ή παρουσιάζουν ορισμένες

Atlas, Typhoëus, Prometheus The three titans are shown upon a laconic bowl (~550 BC) while they are being punished for their insurgency against the tyrant Jupiter:

Prometheus is tied to a column representing the Caucasus. Atlas acts as the column at the opposite side of the hellenic world. Typhoëus is represented by the column propping up the rotating disc-shaped pottery-wheel upon which the titans - put asunder by the centrifugal forces - are trying to delicately (equi)poise each other. Laconia. 560-550 BC. h. 14.4cm; diam. 20.2cm.

Π Υ Ρ
80 40 100
"FIRE"
220

Πυραμίδα: Πῦρ + Ἄμις



4 = Δ ----->

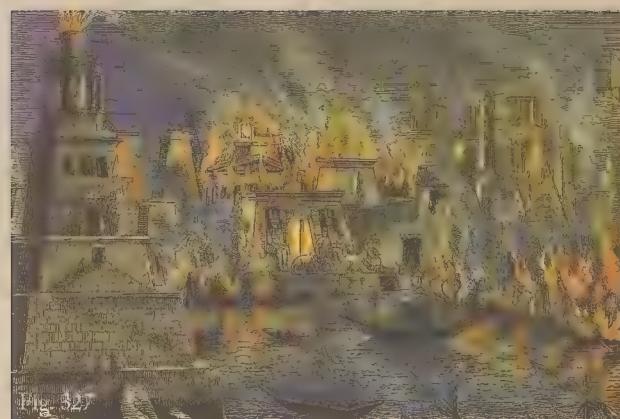
Λεξικό Lidell & Scott:
Πῦρ + Ἄμις. «Τινὲς ἐτυμολογοῦσι τὸ πυραμίδς ἐκ τοῦ πυρός ὡς ἐκ τοῦ εἰς ὄξύ ἀπολήγοντος σχήματος αὐτῆς, ὡς τὸ τῆς φλογός. Ammian. Marcell. 22. πρβλ Πλάτ. ἀνθ' ἄνωτ. ἕτεροι ἐκ τοῦ πυρός, ὡς εἰ αἱ πυραμίδες ἦσαν ἀποθήκαι σιτηρῶν, Στεφ. Β. - ἀλλὰ πιθανῶς τὸ ὄνομα ὡς καὶ τὸ πρᾶγμα εἶναι Αἰγυπτιακόν».

Πλατωνικό στερεό - Πυρ, "Τίμαιος" [56a]

Ελληνική Μυθολογία:
Πυρ = Γνώση

επιστήμες προς διευκόλυνση της έρευνας και της μελέτης. Σε αντίθεση με τα ανωτέρω, καταφαίνεται ότι εκατομμύριες άλλες λέξεις σε όλες τις γλώσσες δεν πληρούν αυτή τη συνθήκη, δημιουργώντας σύγχυση και σκεπτικισμό. Επίσης, αυτή η αντιστοιχία όταν ερμηνεύεται εκτός των αποτελεσμάτων με επιστημονική βιβλιογραφική αναφορά, αντιμετωπίζει σοβαρές δυσκολίες ή προσκρούει σε αυθαιρεσίες (υπόβαθρο πεποιθήσεων, κουλτούρας του μελετητή). Εντωμεταξύ, ένα μεγάλο τμήμα της αρχαίας γνώσης, κυρίως των χειρόγραφων,

είτε έχει καταστραφεί λόγω λεηλασιών των αρχαίων βιβλιοθηκών, αποσυνθέσεων των υλικών τους, βρώσης των χειρόγραφων από τρωκτικά²⁸⁹ κ.α.,



είτε δεν έχει απλώς καταγραφεί λόγω της άκρας μυστικότητας της αρχαίας εποχής,

είτε δεν έχει ακόμα ανακαλυφθεί, θαμμένες βιβλιοθήκες, προς αποφυγήν τυχών καταστροφών από επιδρομές κ.α.,

είτε έχει παραφραστεί/μεταλλαχθεί λόγω των διαφορετικών πολιτικών, φιλοσοφικών και θρησκευτικών αλλαγών στο ιστορικό προσκήνιο, δια της ηθελμένης ή μη αλλοίωσης των αρχαίων κειμένων κατά την αντιγραφή τους²⁹⁰ ή της προφορικής επανανοηματοδότησης (εξελεγκτική διαδικασία). Παράδειγμα τούτου, αποτελεί το λεξικό μόρφημα²⁹¹ θεο-, του οποίου η σημασιακή αλλαγή συνέβη σταδιακά από την αρχαιότητα, τη μεσαιωνική ελληνική έως την νεοελληνική περίοδο, λ.χ. «θεόπνευστος» (έμπνευση εκ Θεού προερχόμενη), «θεόλευκος» («ολόλευκος»), «θεοέρημος» («παντέρημος»), «θεοχαριτωμένος» («πολύ χαριτωμένος»), «θεολογία» (επιστήμη μελέτης της θρησκευτικής πίστης).²⁹²

γεωμετρικές ιδιότητες, αναπτύσσεται ένας προσωπικός σχολιασμός και μια ανησυχία. Από όλους τους πολιτισμούς πιθανολογείται μία επέκταση της αρχαιότατης μεθόδου, η οποία «χαρτογραφούσε» το ανθρώπινο σώμα αντιστοιχίζοντας τα μέλη με λέξεις/αριθμούς δημιουργώντας έναν κατάλογο από ονομάτων με αριθμητικές ποσότητες.

Έτσι, χάριν εξέλιξης, ορισμένες λέξεις (περίπτωση ονοματοποιίας), αφενός μεν αντιστοιχίζονται σε θεολογικά και φιλοσοφικά συστήματα της εκάστοτε εποχής, αφετέρου δε, όμως, «χαρτογραφούνται» και ταξινομούνται (μονοσύλλαβες, δισύλλαβες & τρισύλλαβες) -ως έννοιες- στον κόσμο των μαθηματικών και κατ' επέκταση της γεωμετρίας. Επίσης, είναι γεγονός ότι «χαρτογραφήσεις» και ταξινομήσεις όρων διεξάγονται σε όλες τις σημερινές

289 Τα περιθώρια των σελίδων στα αρχαία συγγράμματα, εξυπηρετούσαν την αποφυγή της καταστροφής του περιεχομένου. Σε περίπτωση βρώσης των βιβλίων, συνήθως τα τρωκτικά κατέτρωγαν την περίμετρο των βιβλίων. Επίσης, η σύμπτυξη σε στήλες εξυπηρετεί το λεγόμενο 'cross-reading', αλλά και σημειώσεις.

290 (Hull, 2010, σ. 18). "Scholars frequently distinguish between unintentional and intentional changes in the text. [...] Unconscious alterations are those that occur during one of the four stages in the ancient copying process: reading (a line or phrase), remembering (as ones eye turns from the exemplar to the blank page), repeating (aloud,

as most reading was done in antiquity), and writing the line or phrase in the new copy. The three most common categories of unconscious alterations are scribal leaps, confusion of letters, and confusion of sounds."

291 (Ανδρέου, 2012, σ. 30). «Η γλώσσα διαθέτει διπλή άρθρωση. Το πρώτο επίπεδο άρθρωσης περιλαμβάνει τις ελάχιστες σημασιολογικές μονάδες, τα μορφήματα ή μονήματα.

Το δεύτερο επίπεδο άρθρωσης περιλαμβάνει τις ελάχιστες διαφοροποιητικές φθογγικές μονάδες, τα φωνήματα, τα οποία έχουν την ιδιότητα να διαφοροποιούν την αξία των μονημάτων.»

292 (Μόζερ, Μπακάκου κ.α., 2008, σ. 100-101)

Στην παρούσα έρευνα χρησιμοποιούνται 112 διαφορετικές λέξεις για κάθε μία από τις ακόλουθες 14 γλώσσες, οι οποίες παρουσιάζονται στον 2° πίνακα, ενώ στον 1° πίνακα παρατίθενται τα αλφάβητα κατ' αύξουσα αλφαβητική σειρά:

References	Αλφάβητα (Alphabets)	Sum	Γράμματα - Letters
("English alphabet," n.d.)	Αγγλικό (English)	26	A B C D E F G H I J K L M N O P Q R S T U V W X Y Z
("Arabic alphabet," n.d.)	Αραβικό (Arabic)	common Hijā'ī order	ا ب ت ث ج ح خ د ذ ر ز س ش ص ض ط ظ ع غ ف ق ك ل م ن ه و ي
		Abjad Num.†	ا ب د ه و ز ح ط ي ك ل م ن س ع ف ص ق ر ش ت ث خ ذ ض ظ غ
		Maghrebian Hijā'ī order	ا ب ت ث ج ح خ د ذ ر ز ط ظ ك ل م ن ص ض ع غ ف ق س ش ه و ي
("Greek alphabet," n.d.)	Ελληνικό (Greek)	27	A B Γ Δ Ε Ϝ Ζ Η Θ Ι Κ Λ Μ Ν Ξ Ο Π Ϟ Ρ Σ Τ Υ Φ Χ Ψ Ω Ͱ
		24	A B Γ Δ Ε Ζ Η Θ Ι Κ Λ Μ Ν Ξ Ο Π Ρ Σ Τ Υ Φ Χ Ψ Ω
("Basque alphabet," n.d.)	Βάσκινο (Basque)	27	A B C D E F G H I J K L M N Ñ O P Q R S T U V W X Y Z
("French orthography," n.d.)	Γαλλικό (French)	26	A B C D E F G H I J K L M N O P Q R S T U V W X Y Z
("German orthography," n.d.)	Γερμανικό (German)	30	A Ä B ß C D E F G H I J K L M N O Ö P Q R S T U Ü V W X Y Z
("Hebrew alphabet," n.d.)	Εβραϊκό (Hebrew)	22	א (ב) (ב) (ג) (ד) (ה) ו (ז) ח ט (י) (ך) (כ) (ל) (מ) (נ) ס ע (פ) (ף) (צ) (ץ) ק ר (ש) (ש) (ת) (ת)
("Icelandic orthography," n.d.)	Ισλανδικό (Icelandic)	36	A Á B C D Ð E É F G H Í Í J K L M N O Ó P Q R S T U Ú V W X Y Ý Z Þ Æ Ö
("Spanish alphabet," n.d.)	Ισπανικό (Spanish)	30	A B C (CH Ch) D E F G H I J K L (LL Ll) M N Ñ O P Q R (RR Rr) S T U V W X Y Z
("Italian orthography," n.d.)	Ιταλικό (Italian)	21	A B C D E F G H I L M N O P Q R S T U V Z
("Latin alphabet," 2020)	Λατινικό (Latin)	23	A B C D E F G H I K L M N O P Q R S T V X Y Z
("Russian alphabet," n.d.)	Ρωσικό (Russian)	33	A Б В Г Д Е Ё Ж З И Й К Л М Н О П Р С Т У Ф Х Ц Ч Ш Щ Ъ Ы Ь Э Ю Я
("Swedish alphabet," n.d.)	Σουηδικό (Svenska)	29	A B C D E F G H I J K L M N O P Q R S T U V W X Y Z Å Ä Ö
("Finnish orthography," n.d.)	Φινλανδικό (Suomi)	29	A B C D E F G H I J K L M N O P Q R S T U V W X Y Z Ω Ä Ö
("Yucca" Korpela, 2004)	suomalais-ruotsalainen	33	a, b, c, d, e, f, g, h, i, j, k, l, m, n, o, p, q, r, s, (š), t, u, v, x, y (ü), z, (ž), å, ä, ö (ø), (ö)
	Finnish-Swedish★		

Παρουσίαση των 112 λέξεων για κάθε μία από τις 14 γλώσσες

cube κύβος	cat γάτα	pyramid πυραμίδα	circle κύκλος	sphere σφαίρα	holy ιερός	priest ιερέας	song τραγούδι
air αέρας	water νερό	fire φωτιά	earth γη	river ποτάμι	lake λίμνη	sea θάλασσα	wind άνεμος
universe σύμπαν	aether αιθέρας	deity θεότητα	god θεός	zeus ζευς	marduk μάρντουκ	jesus ιησούς	odin όντιν
chaos χάος	anthem ύμνος	secret μυστικό	light φως	wise σοφός	star αστέρι	pentagon πεντάγωνο	pentagram πεντάγρ. αστ.
voice φωνή	spirit - soul ψυχή	eagle αετός	poem ποιήμα	poet ποιητής	demon δαίμονας	angel αγγέλος	oath - pledge όρκος
pray προσεύχομαι	prayer προσευχή	bright φωτεινός	hello χαίρε	darkness σκοτάδι	day μέρα	creator δημιουργός	father πατέρας
rain βροχή	sun ήλιος	sacrifice θυσία	magic - hoodoo μαγεία	spell ξόρκι	death θάνατος	life ζωή	cupid έρωτας
love αγάπη	victory - win νίκη	defeat ήττα	happy χαρούμενος	beauty ομορφιά	music μουσική	heal θεραπεύομαι	temple ναός
sword σπαθί	helmet κράνος	shield ασπίδα	loyalty αφοσίωση	defence άμυνα	arrow βέλος	war πόλεμος	peace - Irene ειρήνη
glory δόξα	valhalla βαλχάλλα	power δύναμη	north βορράς	south νότος	east ανατολή	west δύση	ground έδαφος
flag σημαία	nature φύση	animal ζώο	mind νους	good καλός	bad κακός	baby μωρό	birth γέννηση
world κόσμος	woman γυναίκα	man άντρας	human - person άνθρωπος	brother αδερφος	mother μητέρα	hug - bosom αγκαλιά	calm γαλήνη
color χρώμα	blue μπλε	yellow κίτρινο	red κόκκινο	green πράσινο	tree δέντρο	team ομάδα	silence - quiet σιωπή

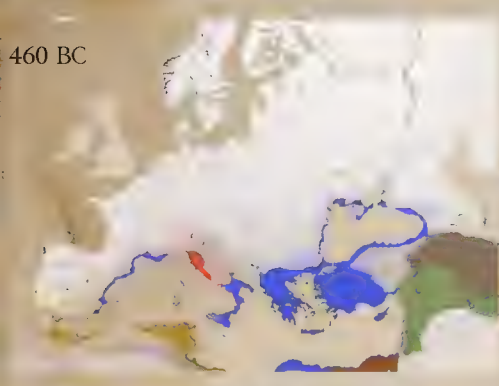
★ ("Yucca" Korpela, 2004). "Historical note: In a book on Finnish phonetics and orthography, Suomen kielen aane- ja oikeinkirjoitusoppi (published in 1949), Aarni Penttilä wrote about the alphabetic order as consisting of "a, b, c, d, e, f, g, h, i, j, k, l, m, n, o, p, q, r, s, (š), t, u, v, x, y (ü), z, (ž), å, ä, ö (ø), (ö)". According to him, this list constitutes the "Finnish-Swedish alphabet" ("suomalais-ruotsalainen

aakkosto") when the letters in parentheses are omitted. He described the letter w essentially as an allograph of v and as a holdover from Gothic fonts."

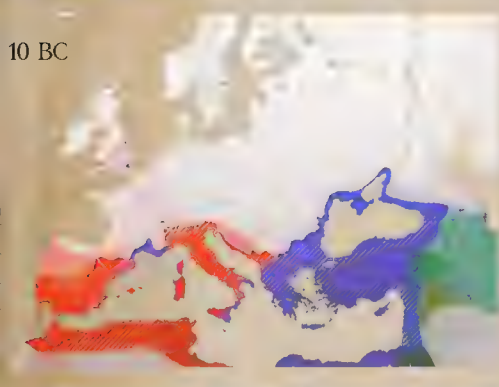
† (Ifrah, 2000, σ. 243, 261). The order of Arabic letters as ordained according to the regular development of the values of the alphabetic number-system of eastern Arabs. Abjad numerals



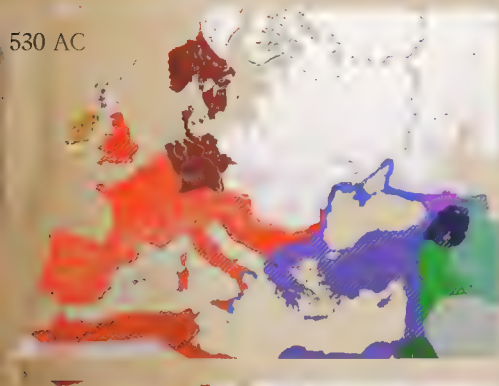
- Hieroglyphic/
- Demotic
- Cuneiform
- Cypriot
- Phoenician
- Paleo-Hebrew
- Greek
- Aramaic



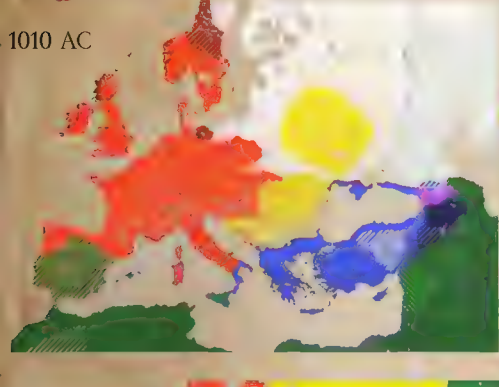
- Hieroglyphic/
- Demotic
- Cuneiform
- Cypriot
- Phoenician
- Greek
- Aramaic
- Old-Italic
- Latin
- Old Iberian
- Tifinagh



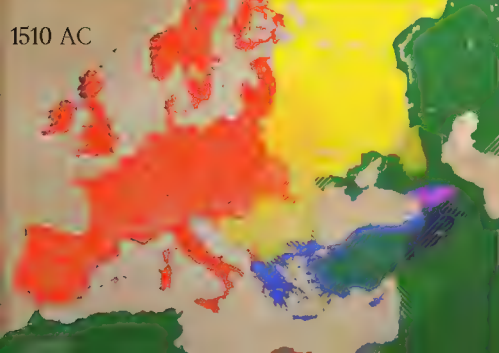
- Hieroglyphic/
- Demotic
- Cuneiform
- Phoenician
- Greek
- Aramaic
- Old-Italic
- Latin
- Tifinagh
- Pahlavi
- Coptic
- Hebrew
- Nabataean



- Greek
- Latin
- Tifinagh
- Pahlavi
- Coptic
- Arabic
- Syriac
- Runic
- Gothic
- Old Turkic
- Armenian
- Georgian
- Caucasian



- Greek
- Latin
- Tifinagh
- Coptic
- Arabic
- Syriac
- Runic
- Armenian
- Georgian
- Old Turkic
- Glagolitic
- Cyrillic
- Old



- Greek
- Latin
- Tifinagh
- Coptic
- Arabic
- Syriac
- Runic
- Armenian
- Georgian
- Old Turkic

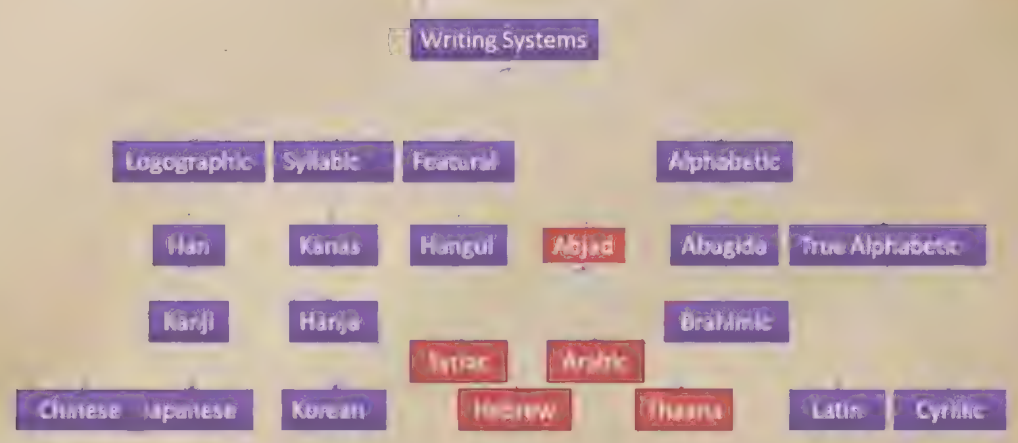
14 Αλφάβητα

(Melas, 2019). "History of the alphabet, the writing systems of Europe, hieroglyph, cuneiform, linear A, linear B, cypriot, phoenician, old hebrew, greek, old italic, latin, old iberian, tifinagh, aramaic, pahlavi, arabic, syriac, coptic, hebrew, old turkic, old hungarian, old uyghur, runic; gothic, ogham, glagolitic, cyrillic."

Σύμφωνα με την μελέτη του Κ. Μελά, επισυνάπτονται ορισμένοι χάρτες, οι οποίοι παρουσιάζουν την ιστορία της γραπτής αποτύπωσης της γλώσσας από το 750 π.Χ. - 1,510 μ.Χ., ώστε να οπτικοποιηθούν οι ξυμώσεις μεταξύ των πολιτισμών και οι χωρικές εντάσεις εμφάνισης της γραφής και κάθε γλώσσας ανά τους αιώνες.★

" According to Ghosh et al. [40], there are four classes of writing systems: logographic, syllabic, featural, and alphabetic (see Fig. 13.2), described as follows:

- The logographic script refers to ideograms representing complete words as "Han" which is mainly associated with Chinese, Japanese, and Korean writings. They are composed of several harmoniously associated strokes.
- In the syllabic system, each symbol represents a phonetic sound or syllable. This is the case of Japanese which uses both logographic Kanji and syllabic Kanas. The stroke gathering is less dense than in the logographic scripts.
- In the featural alphabet, the shapes of the letters encode phonological features of the phonemes represented. This is the case of Korean Hangul, where the five main consonants repeat the shape of the lips and tongue when producing the corresponding sound and remind the five basic elements of eastern philosophy.
- The alphabetic class consists of characters reproducing phonemes of the spoken language. Each class is subdivided into three subclasses: true alphabetic, ABUGIDA, and ABJAD. The true alphabetic corresponds to Latin and Cyrillic. ABUGIDA is related to Brahmic scripts, while ABJAD refers to Arabic and Hebrew. In fact, ABJAD is an acronym derived from the first four consonants of the Hebrew/Arabic/Persian alphabets: "Alif," "Ba," "Jeem," and "Dal." "★★



Writing Systems (Belaïd; Razzak, 2014, p. 430)

★ (Melas, 2019). Να σημειωθεί ότι δεν αναφέρεται κάποια βιβλιογραφική τεκμηρίωση για την κοπιώδη μελέτη των χαρτών που παρουσιάζονται του Μελά Κώστα. Ωστόσο, από τους χάρτες αυτούς δίδεται στον αναγνώστη μία γενική ιδέα περί της εμφάνισης της γραφής.
 ★ ★ (Belaïd; Razzak, 2014, p. 429-430)

Παρατηρήσεις & Σχολιασμοί

123

Evolution of Alphabets

le Eastern Alphabets

		i	b	g	d	h	w	z	h	t	y	k	l	m	n	s		p	q	r	s
Phoenician 1000 BC		𐤀	𐤁	𐤂	𐤃	𐤄	𐤅	𐤆	𐤇	𐤈	𐤉	𐤊	𐤋	𐤌	𐤍	𐤎	𐤏	𐤐	𐤑	𐤒	𐤓
Aramaic 800 BC - 600 AD		𐤀	𐤁	𐤂	𐤃	𐤄	𐤅	𐤆	𐤇	𐤈	𐤉	𐤊	𐤋	𐤌	𐤍	𐤎	𐤏	𐤐	𐤑	𐤒	𐤓
Nabatean 4th c. AD		𐤀	𐤁	𐤂	𐤃	𐤄	𐤅	𐤆	𐤇	𐤈	𐤉	𐤊	𐤋	𐤌	𐤍	𐤎	𐤏	𐤐	𐤑	𐤒	𐤓
Early Arabic		ا	ب	ج	د	هـ	و	ز	ح	ط	ي	ك	ل	م	ن	س	ع	ف	ص	ق	ر
Modern Arabic		ا	ب	ج	د	هـ	و	ز	ح	ط	ي	ك	ل	م	ن	س	ع	ف	ص	ق	ر
Syrian		ܐ	ܒ	ܓ	ܕ	ܕܥܐ	ܚܐ	ܙܐ	ܥܐ	ܥܐܐ	ܥܐܐܐ	ܥܐܐܐܐ	ܥܐܐܐܐܐ	ܥܐܐܐܐܐܐ	ܥܐܐܐܐܐܐܐ	ܥܐܐܐܐܐܐܐܐ	ܥܐܐܐܐܐܐܐܐܐ	ܥܐܐܐܐܐܐܐܐܐܐ	ܥܐܐܐܐܐܐܐܐܐܐܐ	ܥܐܐܐܐܐܐܐܐܐܐܐܐ	ܥܐܐܐܐܐܐܐܐܐܐܐܐܐ
Modern Hebrew		א	ב	ג	ד	ה	ו	ז	ח	ט	י	כ	ל	מ	נ	ס	ע	פ	צ	ק	ר

Proto-Sinaitic 1750 BC		𐤀	𐤁	𐤂	𐤃	𐤄	𐤅	𐤆	𐤇	𐤈	𐤉	𐤊	𐤋	𐤌	𐤍	𐤎	𐤏	𐤐	𐤑	𐤒	𐤓
Phoenician 1000 BC		𐤀	𐤁	𐤂	𐤃	𐤄	𐤅	𐤆	𐤇	𐤈	𐤉	𐤊	𐤋	𐤌	𐤍	𐤎	𐤏	𐤐	𐤑	𐤒	𐤓
Archaic Greek 750 BC		Α	Β	Γ	Δ	Ε	Ζ	Η	Θ	Ι	Κ	Λ	Μ	Ν	Ξ	Ο	Π	Ρ	Σ	Τ	Υ
Old Italic 400 BC		Α	Β	Γ	Δ	Ε	Ζ	Η	Θ	Ι	Κ	Λ	Μ	Ν	Ξ	Ο	Π	Ρ	Σ	Τ	Υ
Roman Square 1 AC		A	B	C	D	E	F	G	H	I	K	L	M	N	O	P	Q	R	S	T	V
Roman Cursive 1 AC		λ	α	Ϸ	α	Ϸ	Ϸ	Ϸ	Ϸ	ι	λ	μ	ν	ο	Ϸ	Ϸ	Ϸ	Ϸ	Ϸ	Ϸ	Ϸ
New Cursive 300 AC		α	β	γ	δ	ε	Ϸ	η	ι	κ	λ	μ	ν	ο	ρ	σ	τ	υ	φ	χ	ψ
Insular 600 AC		α	β	γ	δ	ε	Ϸ	η	ι	κ	λ	μ	ν	ο	ρ	σ	τ	υ	φ	χ	ψ
Carolingian 1000 AC		a	b	c	d	e	f	g	h	i	k	l	m	n	o	p	q	r	s	t	u
Blackletter 1250 AC		a	b	c	d	e	f	g	h	i	k	l	m	n	o	p	q	r	s	t	u
Modern Latin Lowercase		a	b	c	d	e	f	g	h	i	j	k	l	m	n	o	p	q	r	s	t

Lepontic
Lugano
550-100 BC
ancient
Alpine
Celtic
language

Camunic
Sondrio
1st millennium
BC
Northern
Italy,
central Alps

Raetic
1st mill. BC -
1st century BC
Eastern
Alps, Italy
and Austria

West Raetic
Bolzano
Sanzeno

East Raetic
Magrè

Venetic
Este
6th - 1st c. BC
Northern
Italic,
similar to
the Etruscan
alphabet.

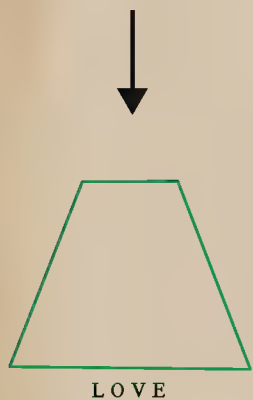
Evolution of Russian Alphabet

	Greek	Α	Β	Γ	Δ	Ε	ς	Ζ	Η	Ι	Κ	Λ	Μ	Ν	Ο	Π	Ρ	Σ	Τ	ΟΥ	Φ	Χ	ω		ΟΙ	Ξ	Ψ	Θ	Υ	ϕ																																																																																																																																																																																																																																																																																																																																																																																																																																																																																																																																																																																																																																																																																																																																																																																																																																																																																																																																																																																																																																																																																																																																																																																																																																																																																																																																																																										
Glagolitic							Ѧ																																																																																																																																																																																																																																																																																																																																																																																																																																																																																																																																																																																																																																																																																																																																																																																																																																																																																																																																																																																																																																																																																																																																																																																																																																																																																																																																																																																																	



"We need to have a big permanently occupied base on the moon, and then build a city on Mars and become a spacefaring civilization. We don't want to be one of those single planet species, we want to be a multi-planetary species."

@ElonMusk

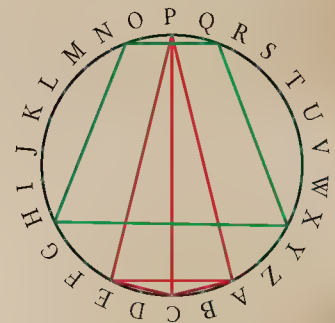


+



=

PEACE + LOVE



"The modern peace sign was designed by Gerald Holtom for the British Campaign for Nuclear Disarmament in 1958. The vertical line in the center represents the flag semaphore signal for the letter D, and the downward lines on either side represent the semaphore signal for the letter N. "N" and "D", for nuclear disarmament, enclosed in a circle. Holtom also described the symbol as representing despair, with the central lines forming a human with its hands questioning at its sides against the backdrop of a white Earth. It is said that Holtom originally considered using a Christian cross but disliked its association with the Crusades and ultimately chose something he considered to be more universal." (Petruzzello, 2019)

"Now I am become Death, the destroyer of worlds." J. Robert Oppenheimer American theoretical physicist. ("Atomic Age - J. Robert Oppenheimer Quote," n.d.)

Bhagavad Gita 11.32: The Supreme Lord (Shree Krishna) said: I am mighty Time, the source of destruction that comes forth to annihilate the worlds. Even without your participation, the warriors arrayed in the opposing army shall cease to exist.

Semaphore Flag
Signals. A-Z

The Campaign for Nuclear
Disarmament logo
"Peace sign"



←



←



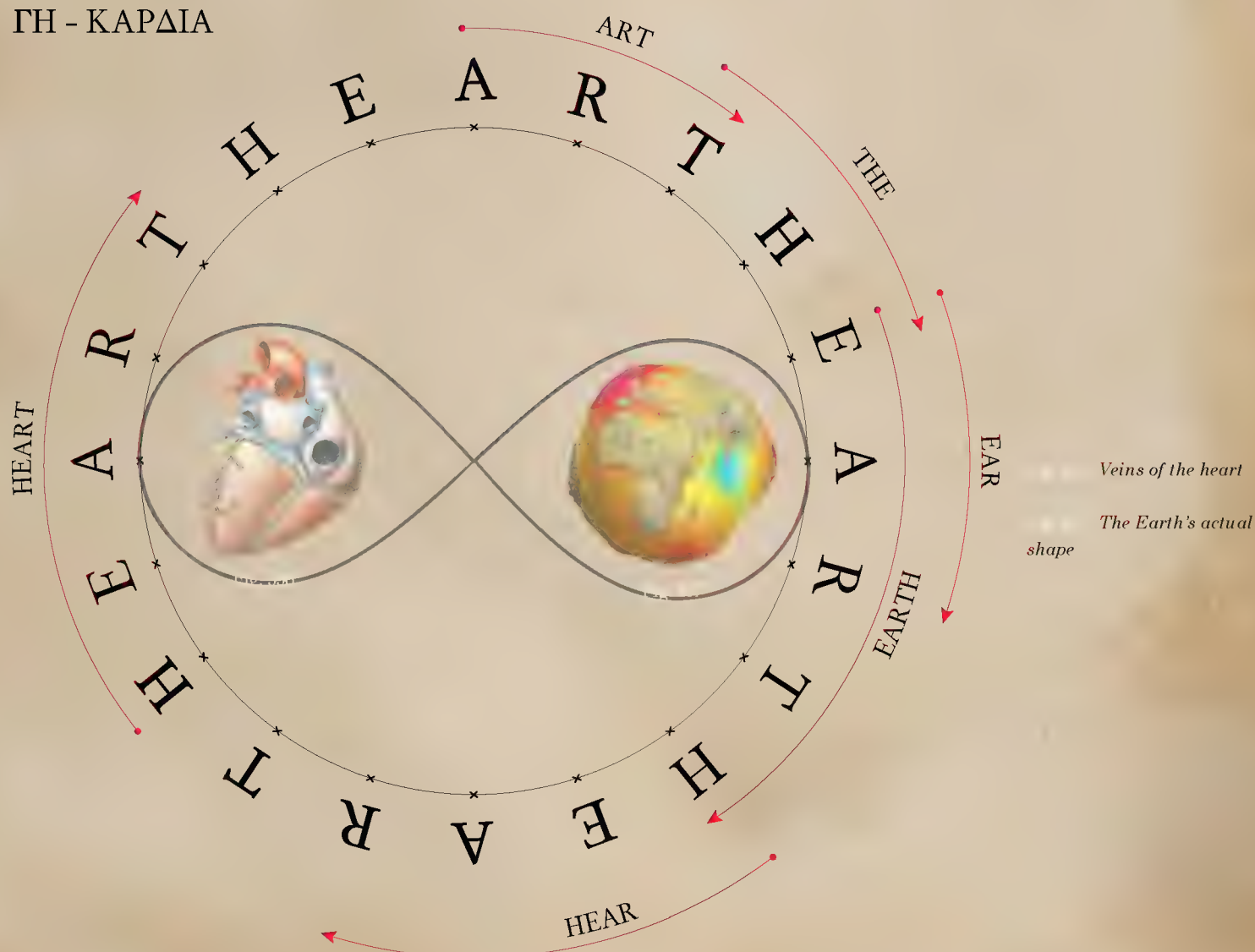
Οι επιλεγμένες λέξεις συνδέονται με την **ιερότητα**, τις **αξίες**, τα **ιδανικά**, τις **αρετές** και το **αντίπαλο δέος** των προαναφερθέντων. Επίσης, επιλέγονται κάποιες λέξεις από τις οποίες **σκιαγραφείται το βαθύ ριζωμένο μεταφυσικό στοιχείο**, οι **δοξασίες** και ορισμένα από τα **θεοποιημένα στοιχεία της φύσης όλων αυτών των λαών**. Ακολουθώντας, εξετάζονται λέξεις σχετικές με τα στοιχεία της φύσης (ορισμένα εκ των οποίων αντιπροσωπεύουν τα πλατωνικά στερεά (του έργου «Τίμαιος», στ. 52d-53c): την Γη ο κύβος, το Νερό το 20-εδρο, τη Φωτιά το 4-εδρο, ο Αέρας το 8-εδρο, το Σύμπαν το 12-εδρο), την αρχιτεκτονική, τα 4 σημεία του ορίζοντα, τον ουρανό,

τον πόλεμο, την ειρήνη, την μυσταγωγία, τα ζώα, τη φύση, τα στάδια της ζωής, την οικογένεια, τον ίδιο τον άνθρωπο και την Γη.

Σημειώνονται παρατηρήσεις, σχολιασμοί και συγκρίσεις υπό το πρίσμα ενός διπλωματούχου αρχιτέκτονα μηχανικού με ένα διευρυμένο ενδιαφέρον σε ερευνητικά πλαίσια και όχι ως γλωσσολόγου. Στην παρούσα έρευνα, όπως έχει αναφερθεί, **οι λέξεις, καθώς ανάγονται σε κύκλους, έχουν μία «μοναδική» ταυτότητα, τα γεωμετρικά σχήματα**, ονομαζόμενη από τον υποφαινόμενο ως **Γεωλεκτική Ταυτότητα**. Εντούτοις, παρατηρείται ότι σε ορισμένες λέξεις με διαφορετική σημασία εμφανίζονται μικρές ομοιότητες ως προς το σχήμα τους λόγω αναγραμματισμών, όπως για παράδειγμα στις λέξεις "earth" - "heart", «ήχος» - «χοής» (ενικός αριθμός «χοή»).

EARTH - HEART

ΓΗ - ΚΑΡΔΙΑ



Γ ταυτότητα αυτή, δηλαδή το γεωμετρικό σχήμα που παράγει μία λέξη ορίζεται ως "γεωλφεξία" και ο λατινικός όρος ορίζεται ως "g-dorwid".

G-Dorwid (short form 'G-id' → 'di.G')



Geometry + (Word-Door) + ID

Ένας φιλόσοφος, ένας ποιητής μελετώντας τις λέξεις εμπνέεται και οδηγείται μέσα από τις πόρτες των ιδεών που ανοίγονται διάπλατα μπροστά του σε ένα μοναδικό πνευματικό έργο.

The "Gate of the Sun", 2nd c. AD. Tiwanaku. Pre-Columbian archaeological site in western Bolivia.

Γ (Mysterium Cosmographicum, n.d.). "Kepler's Platonic solid model of the Solar system from Mysterium Cosmographicum (1600). Kepler proposed that the distance relationships between the six planets known at that time could be understood in terms of the five Platonic solids, enclosed within a sphere that represented the orbit of Saturn."



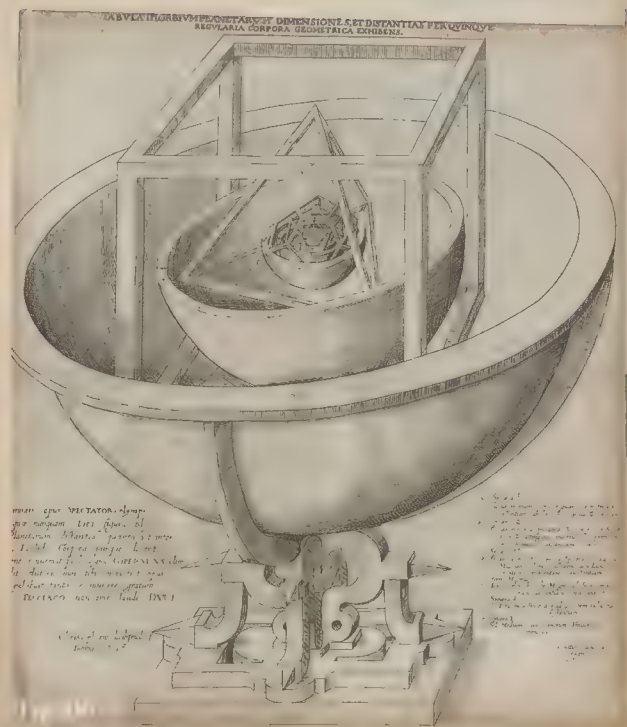
Οι δύο λέξεις αυτές έχουν επινοηθεί από τον συντάκτη στα πλαίσια της μελέτης και τεκμηριώνονται από δύο ακόλουθα διαγράμματα:

Γεωλφεξία (συντ. 'Γεσώ')



(Γαία-Αία-Γη) + Λφέξη

Από την μελέτη επί παντός επιστητού - "γης" - δημιουργείται ο πολιτισμός. Οι λέξεις ως γεωμετρικές ταυτότητες μέσω των οποίων καταβάλλεται προσπάθεια να ανακαλυφθούν τα μυστικά της ζωής - της ύπαρξης.



Στην παρούσα έρευνα δεν επιχειρείται κάποια απόδειξη της υπάρξεως του Θεού –ή Θεών. Μέσω γεωμετρικών και μαθηματικών παρατηρήσεων **χρωματίζεται η αρχαιοτάτη συνήθεια του ανθρώπου να συμπυκνώσει ορισμένη γνώση σε σύμβολα**, αποδίδοντας εικονογραφικά την δεδομένη γνωστική κατάκτηση του, όπως συνέβαινε από την εποχή των σπηλαίων και εξελικτικώς συνεχίστηκε στην τέχνη, στην αρχιτεκτονική κτλ.

Αδιαμφισβήτητα, **η γεωμετρία είναι κοινή για όλους**, δηλαδή ένωνε και ενώνει την ανθρωπότητα ως κοινός σκοπός επίλυσης σύνθετων προβλημάτων. Στον αντίποδα, οι ερμηνευτικές προσεγγίσεις των γεωμετρικών σχεδίων/μοτίβων που παρουσιάζονται ανά τους πολιτισμούς είτε διαφοροποιούνται είτε ομοιάζουν με ελάχιστες παρεκκλίσεις: σύμφωνα με την φιλοσοφία και με τα πολιτιστικά χαρακτηριστικά μιας περιοχής –κατ' επέκταση ενός λαού.

Μετά βεβαιότητας, η δημιουργία γραμμάτων αποτέλεσε ένα γεωμετρικό πρόβλημα. Εφόσον, κατά τρόπον τινά επιλύεται με τη μακρόχρονη διεξοδική αναζήτηση και την εξελικτική διαδικασία, πιθανό θεωρείται να συνέδραμε η γεωμετρική διερεύνηση και εμβάθυνση στη δημιουργία κάποιων λέξεων.

Στην περίπτωση του Ελλαδικού χώρου τα εργαλεία που διέθεταν οι δημιουργοί ενός ελληνικού αλφαβήτου τον 8^ο αι. π.Χ.²⁹³ φαίνεται ότι ήταν τα ακόλουθα:

(α) Τα υπάρχοντα συστήματα γραφής (π.χ. εικονογραφικό-ιερογλυφικά της Αιγύπτου, & συλλαβικό-φοινικικό, μυκηναϊκό). Πιθανολογείται ότι το Ελληνικό αλφάβητο επενύστηκε από τη γενική ιδέα της εικονογραφικής γραπτής απόδοσης της γλώσσας κατά τη διάταξη των γραμμάτων για ορισμένες λέξεις (αντιστοιχία [εικόνας-γεγονότος] + [εικόνας-ήχου]²⁹⁴ με την [εικόνα-γράμματος])

(β) τα ανεπτυγμένα μαθηματικά,

(γ) η εξελιγμένη γεωμετρία (π.χ. ναοί αρχαϊκής περιόδου, αγάλματα) και

(δ) η μουσική (μουσικότητα γλώσσας²⁹⁵).

Επομένως, πιθανολογείται μία εναρμονισμένη προσπάθεια σύνθεσης όλων των στοιχείων από διαφορετικές πόλεις

εν πλήρει συμφωνία με τη στοχαστική σκέψη, τις πεποιθήσεις (φιλοσοφικές, θεολογικές) και την αντιληπτική ικανότητα ορισμένων απόμων.

Πιθανώς, **οι ακολουθίες αριθμών σε κύκλο**²⁹⁶ λειτούργησαν ως **μηχανισμοί παραγωγής λέξεων** και **γεωμετρικοί μέθοδοι σύνθεσης/επίλυσης** του εν λόγω προβλήματος, εκκινώντας άλλη μία Μεγάλη Έκρηξη του πνεύματος της ανθρωπότητας. Εκείνων των λέξεων, –τουλάχιστον σε αυτές παρατηρήθηκε, **δεν αποκλείονται και άλλες**– που «ντύνονται» με έναν πιο ιερό και σεβάσμιο μανδύα, **δίχως αυτή η συνθήκη να αντιδικεί με αυθαίρετους και συμβατικούς συνδυασμούς των γραμμάτων**, καθιερωμένους από μία μακρόχρονη συνήθεια-σιωπηρής κοινωνικής σύμβασης των μελών μιας κοινότητας. Η συνθήκη αυτή ισχύει για όλους τους πολιτισμούς που ανέπτυξαν μνημειώδη πολιτισμό, εφόσον θα μπορούσαν να εργάζονται παράλληλα εξάγοντας ο καθένας δικά του συμπεράσματα και δημιουργώντας μοναδικές συνθέσεις.

Συν τοις άλλοις, κατά την πάροδο των αιώνων αναδύονται νέα/νέες ρεύματα/τάσεις αρχιτεκτονικής. Παρόλη την ακμή τους, αποσύρονται και δίνουν τη σκυτάλη τους στους μελετητές/αρχιτέκτονες εκκινώντας κάτι πρωτοπόρο, είτε ερχόμενα σε ρήξη με το «παλαιό», είτε συνεχίζοντας με διαφορετικούς όρους την παράδοση. Η συνοπτική απλοϊκή αναφορά συνέβη γιατί τα γράμματα και οι λέξεις που παρουσιάζονται παρακάτω ίσως αποτελούν μία ανάλογη ενθύμηση αξιοποίησης τής πανανθρώπινης μαθηματικής –γεωμετρικής– γλώσσας.

«[987b[12-15] Οί Πυθαγόρειοι έθεώρουν ότι τὰ ὄντα δημιουργηθέντα διὰ τῆς μιμήσεως τῶν αριθμῶν, ὁ δὲ Πλάτων διὰ τῆς συμμετοχῆς αὐτῶν εἰς τὰς Ἰδέας. [...] *Σχόλιο (Αριστοτέλης, 1975, σ. 58): Ὡς συνάγεται ἐκ τοῦ M 4, 1678 b 9 ὁ Πλάτων δὲν ἐξέλαβε ἀρχικῶς τὰς Ἰδέας ὡς ἀριθμούς, ἀλλὰ βραδύτερον ὑπὸ τὴν ἐπίδραση τῆς κοσμοθεωρείας τῶν Πυθαγορείων. Ὅμως καὶ πάλι διέκρινε τοὺς ἐν τῷ ἄνωτέρῳ χωρίῳ ἰδεατοὺς ἀριθμοὺς.[...] 987b[31-37] ὁ Πλάτων δὲν συνταυτίζει τοὺς ἀριθμοὺς μὲ τὰ προσπίπτοντα εἰς τὴν αἰσθησιακὴν ἀντίληψιν ἀντικείμενα, ἐνῶ οἱ Πυθαγόρειοι ἰσχυρίζονται ὅτι οἱ ἀριθμοὶ εἶναι αὐτὰ ταῦτα τὰ πράγματα καὶ δὲν θεωροῦν τὰ μαθηματικὰ ἀντικείμενα ὡς μεταίχμιον ἀμφοτέρων. [...] 988a[8-18] αἱ μὲν ἰδέαι ἀναφέρονται εἰς τὰ αἰσθησιακὰ ἀντικείμενα, εἰς τὰς Ἰδέας δὲ τὸ Ἐν, διότι τοῦτο εἶναι ἡ Δυάς, τὸ μέγα καὶ τὸ μικρόν. Ἐξ ἄλλου ἀπέδωκε τῶν αἰτίαν τοῦ ἀγαθοῦ καὶ τοῦ κακοῦ εἰς τὰ δύο ἐκεῖνα στοιχεῖα

293 Κατὰ την επίσημη θέση της επιστημονικής κοινότητας
294 (Verlinsky, 2019, σ. 39). "The primitive words imitate reality and are thus first in the sense of being non-derivative; they are also presumably historically first, because nobody ever spoke by means of singular sounds. But is it plausible that these words are the 'elements of etymology', i.e. those words to which all other words can be reduced by means of etymological analysis, as Long understands it? One category of these words, the onomatopoeic words (hinnitus, tinnitus, etc.), certainly

is not. But the words which imitate the properties of things via the similar effects of their soundings do this by means of their parts, syllables, or sounds. I suggest that they are the Stoic 'elements of etymology.' "
295 (Σπυρίδης, n.d.)
296 Ενώ πιθανώς αποτελούσαν εργαλεία διερεύνησης της πραγματικότητας. Στην περίπτωση των Πλατωνικών Στερεών εξηγείται από τον Πλάτωνα η γεωμετρική σύνθεση τους.

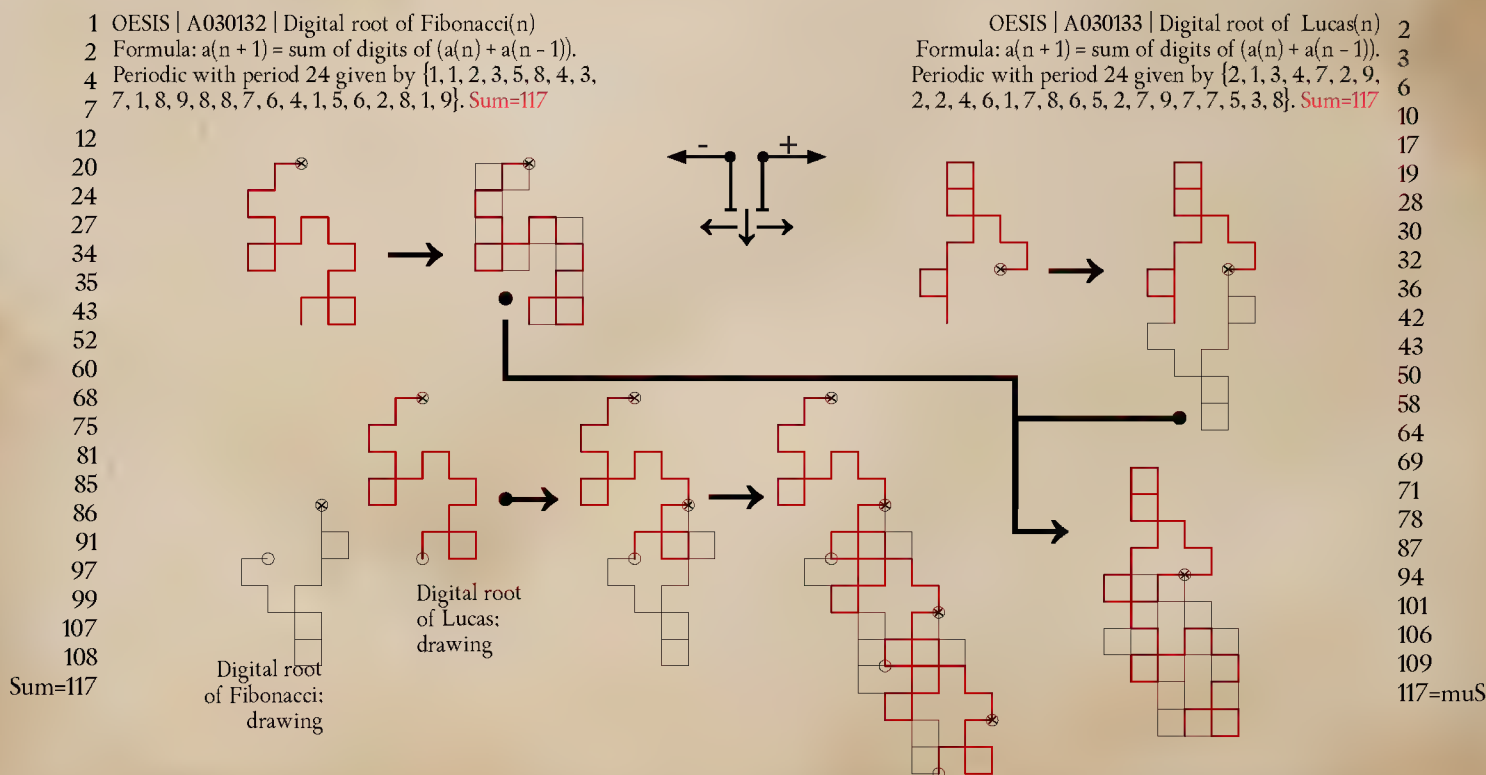
(τὴν ὕλη καὶ τὴν μορφή, ἢ πρώτη ἀρχὴ τοῦ κακοῦ καὶ ἡ δευτέρα τοῦ ἀγαθοῦ) εἰς τὸ ἓν ἐκ τῶν δύο τὸ ἀγαθόν, εἰς τὸ ἕτερον τὸ κακόν, καθὼς ἔπραξαν καὶ μερικοὶ προγενέστεροι φιλόσοφοι, ἐπὶ παραδείγματι ὁ Ἐμπεδοκλῆς καὶ ὁ Ἀναξαγόρας.²⁹⁷ Ἀριστοτέλης, Μετά τα Φυσικά, Βιβλίο Α', 6, στ. 987b[8]-988a[18]

Στην περίπτωση της αντιστοίχισης μίας Ιδέας με έναν αριθμό, συνδέεται με το γεγονός ότι οι ίδιες οι λέξεις που τις εκφράζουν δύναται να αντιστοιχίζονται σε αριθμούς υπό περιπτώσεις. Εφόσον:

- (α) οι λέξεις περιγράφουν τις Ιδέες και είναι το μέρος έκφρασης τους στον αισθητό κόσμο,
- (β) τα γράμματα των αλφαβητικών συστημάτων (πολλών πολιτισμών) ομοίως εκφράζουν αριθμούς και αποτελούν τις μικρότερες μονάδες μίας λέξης. Για παράδειγμα, όπως συμβαίνει στον άνθρωπο, ο οποίος απαρτίζεται από μικρότερα μέρη, τα οποία συνιστούν την μορφή του και τον θέτουν σε λειτουργία/κίνηση,
- (γ) μία αρχή υφίσταται ως δρώσα αιτία και σκοπός. Αντιθέτως στην ὕλη και στη μορφή υπάρχουν πολλές αρχές. Δύο ή περισσότερα στοιχεία της γραφής π.χ. δύο Α, δε θα υφίσταντο, εάν οι χαρακτήρες της γραφής ήταν ισάριθμοι με τα στοιχεία των προσπιπτόντων στην αίσθηση αντικειμένων,²⁹⁸ δηλαδή περιέγραφαν εικόνες.

Από την επιλογή/σύμβαση των αρχαίων πολιτισμών να χρησιμοποιήσουν τα γράμματα στα μαθηματικά εξάγεται ότι οι γραφικοί χαρακτήρες μπορούν να συμπεριφέρονται ως αριθμοί (βασιζόμενα στην διέπουσα λογική των αλφαριθμητικών συστημάτων) και στην περίπτωση των λέξεων με προϋποθέσεις. Επομένως, αν συντεθεί ένα σχεδιαστικό γραμματικό λεξιλόγιο κανόνων (αναγωγής σε κύκλους, τοποθέτησης γραμμάτων σε πίνακες/μητρώα, σε αστρονομικούς χάρτες, σε μουσικές συνθέσεις, σε αριθμητικές πράξεις) παραγωγής της μορφής ορισμένων λέξεων, όπως στην περίπτωση ενός αρχιτεκτονικού γραμματικού λεξιλογίου²⁹⁹ (που παράγει την αρχιτεκτονική γλώσσα των «ρευμάτων» της), δύναται να υπάρξει τουλάχιστον ένα γεωμετρικό σχέδιο. Για παράδειγμα, ένας 1^{ος} κανόνας που θα μπορούσε να είχε τεθεί είναι η αναγωγή των γραμμάτων σε κύκλο και η εξέταση της συμπεριφοράς τους. Ένας 2^{ος} κανόνας είναι ο ορισμός κίνησης μίας συνεχόμενης γραμμής (μονοκονδυλιάς), η οποία για κάθε περιττό αριθμό/γράμμα θα γράφει αριστερά και για κάθε άρτιο γράμμα δεξιά. Ο 2^{ος} κανόνας δύναται να διαιρεθεί σε δύο ενότητες: (i) Το μήκος της γραμμής έχει πάντα την τιμή της μίας μονάδας, (ii) Το μήκος της γραμμής σε κάθε εναλλαγή γράμματος, να δίδεται από την αριθμητική αξία (πυθμενική ή μη) κάθε γράμματος.

Προτού διερευνηθούν ορισμένες λέξεις, εξετάζεται ο 2^{ος} κανόνας για τις δύο περιοδικές ακολουθίες που προκύπτουν από τις ακολουθίες του Fibonacci και του Lucas, των οποίων



297 (Αριστοτέλης, 1975, σ. 58-61)

298 (Αριστοτέλης, 1975, σ. 124-125). Αριστοτέλης, Βιβλίο Β', 4, 999b[26]-1000a[5]

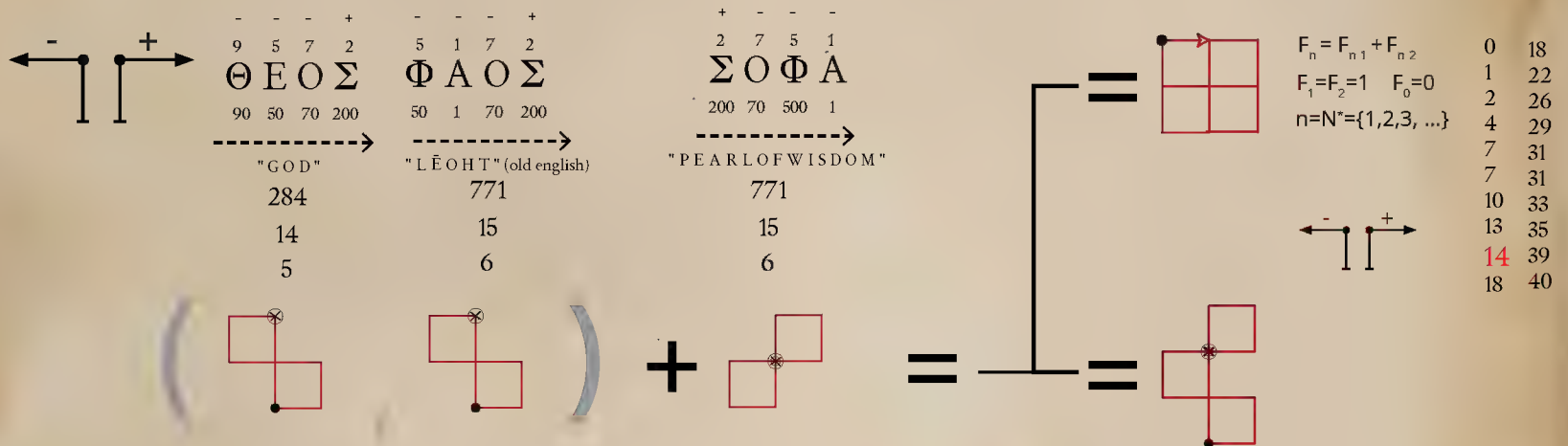
299 (Mitchell, 1990). Δημιουργία αρχιτεκτονικού λεξιλογίου βασισμένο σε γραμματικούς κανόνες; πρβ (Stiny, 1977, σ. 89-92, 94-95). Ομοίως στην τέχνη, για την κατασκευή κινεζικών σχεδίων

για παράθυρα και γρίλιες χρησιμοποιούνται συμβάσεις: ορίζοντας παραμετρικές γραμματικές σχημάτων, τα οποία παράγουν παραδοσιακά δικτυώματα και κατασκευάζονται από το 1000 π.Χ. έως το 1900 μ.Χ.

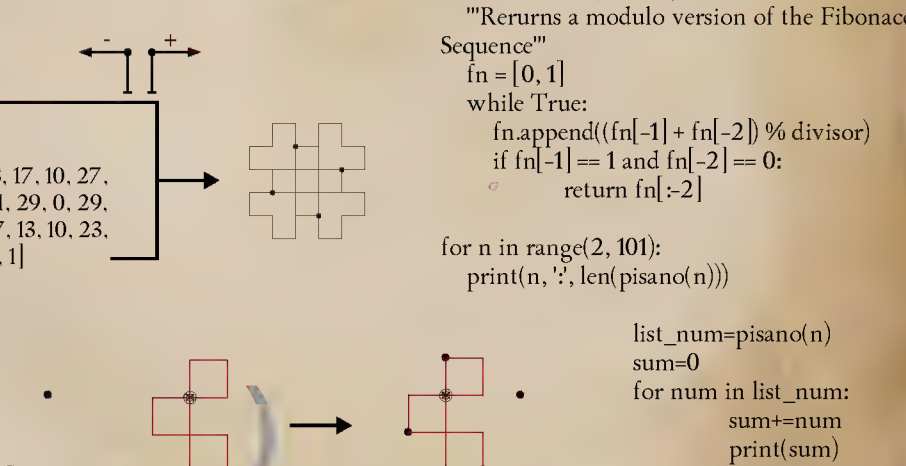
300 ('Digital Root,' n.d.). Με την βοήθεια των οποίων παρήχθη το σχέδιο του εξάγραμμου αστέρα, γνωστού ως ψυχολογικού κύβου του Πυθαγόρα ή κύβου του Metatron.

έγινε αναφορά σε παραπάνω σελίδα ως *Digital root of Fibonacci* (OESIS | A030132) και *Digital root of Lucas* (OESIS | A030133):³⁰⁰
 «[...] οί Πυθαγόρειοι ἀσχοληθέντες μὲ τὰ μαθηματικά, [...] ἐφαντάσθησαν ὅτι αἱ ἀρχαὶ τῶν μαθηματικῶν εἶναι καὶ ἀρχαὶ ὅλων τῶν ὄντων. Ἐπειδὴ δὲ εἰς τὰ μαθηματικά οἱ ἀριθμοὶ ἔρχονται ἐκ φύσεως πρῶτοι, καὶ ἐπειδὴ ἐπίστευον, ὅτι εἰς τοὺς ἀριθμοὺς διέβλεπον πρὸς ὅ,τι εἶναι καὶ γίνεταί, ὁμοιότητα μεγαλύτεραν παρὰ τὸ πῦρ, ἢ γῆ καὶ τὸ ὕδωρ, ἐξέλαβον τὴν φύσιν τοῦ ἀριθμοῦ ὡς δικαιοσύνην, τοῦ β τὴν ψυχὴν καὶ νοῦν, ἄλλων δὲ ἀριθμῶν τὴν φύσιν ὡς χρόνον, καὶ τοὺς λοιποὺς καὶ ἕκαστος

ἐξ αὐτῶν, οὕτως εἶπεν, καθ' ὅμοιον τρόπον. [...] Ὅσα λοιπὸν οὗτοι ἠδύναντο ν' ἀποδείξουν ἐναρμονισμένα μεταξὺ τῶν ἀριθμῶν καὶ τῶν ἀρμονιῶν ἀφ' ἑνὸς, μεταξὺ τῶν ιδιοτήτων καὶ τῶν μερῶν τοῦ οὐρανοῦ καὶ ὁλόκληρου τοῦ κόσμου ἀφ' ἑτέρου, τὰ περισυνέλεγον καὶ τὰ συναρμολογοῦσαν. Ἐκεῖ δὲ, ὅπου ὑφίστατο ἓνα κενὸν, εἶχον ἀκόμῃ τὴν ἀξίωση νὰ παρεισαγάγουν εἰς τὸ σύστημα κάποια (ἐπακόλουθον) ἀλληλλουχίαν πρὸς ὁλοκλήρωσιν τῆς θεωρίας τῶν. Ἐννοῶ, ἐπὶ παραδείγματι, ἡ δεκάς ἐφαίνετο εἰς αὐτοὺς ὁ τελειότερος τῶν ἀριθμῶν, [...] ἰσχυρίζοντο ὅτι δέκα ἦσαν τὰ εἰς τὸν οὐρανὸν περιδινούμενα σώματα, ἐπειδὴ ὅμως ὑπάρχον μόνο ἐννέα, ὁρατὰ, ἐπενόησαν καὶ ἓνα δέκατον εἰς τὴν ἀντίχθονα.» (Αριστοτέλης, 1975, σ. 48-51), *Μετὰ τὰ Φυσικά*, Βιβλίο Α', στ. 985b[25]-986a[13]



$F_n \pmod{20}$	$F_n \pmod{40}$
$\pi(20) = 60$	$\pi(40) = 60$
0 257	0 508
1 266	1 537
2 284	2 566
4 291	4 584
7 296	7 591
12 308	12 616
20 325	20 648
33 334	33 665
34 340	34 674
48 355	48 700
63 356	63 735
72 372	72 756
76 389	76 772
89 402	89 809
106 412	106 822
116 415	116 832
123 428	123 855
140 444	140 888
144 453	144 904
145 458	145 913
150 472	150 938
156 491	156 972
167 504	167 991
184 516	184 1004
192 521	192 1036
197 538	197 1041
210 540	210 1078
228 559	228 1080
239 560	239 1119
248	248 1120



Αυτό που παρατηρείται από την πρόσθεση των σχημάτων "ΘΕΟΣ", "ΦΑΟΣ" + "ΣΟΦΑ" σύμφωνα με το σημείο εκκίνησης σχεδιασμού τους είναι το ακόλουθο: Το νέο σχήμα ανήκει στο γεωμετρικό σχέδιο των περιοδικών ακολουθιών $F_n \pmod{20}$ και $F_n \pmod{40}$. Σημειώνεται ότι τα αριθμητικά αποτελέσματα είναι ακριβή καθότι έγινε χρήση κώδικα στη γλώσσα προγραμματισμού Python.

Από τα αθροίσματα των στηλών που εξήχθησαν, διαπιστώθηκε ότι και στις δύο περιπτώσεις εμφανίζεται το άθροισμα 284, όπως έχει αναφερθεί το άθροισμα 284 είναι το άθροισμα των γραμμάτων της λέξης "ΘΕΟΣ", "ΑΓΙΟΣ", "ΑΓΑΘΟΣ". Επίσης, στο $F_n \pmod{5}$ εμφανίζεται ο αριθμός 14, ο οποίος πάλι εμφανίζεται στις 3 ιερές λέξεις κατά τα θεολογικά - αρχαία και βυζαντινά - κείμενα. Στην απίθανη περίπτωση, βάση επιστημονικών δεδομένων, που έχει ανακαλυφθεί κάποιος συσχετισμός των λέξεων αυτών με αθροίσματα αριθμητικών ακολουθιών, δε θα πρέπει να προκαλείται εντυπωσιασμός, επειδή παρόμοια συμπεράσματα θα εξαγονται και σε άλλες αρχαίες γλώσσες ή και νεότερες. Άλλωστε, όπως είχε διατυπώσει ο Αριστοτέλης στο έργο «*Μετὰ τα Φυσικά*», Βιβλίο Α', 9. στ. 992a[34] - 992b[20] για τους φιλοσόφους της εποχής του, τα μαθηματικά αντιμετωπιζόνταν ως φιλοσοφία. Πιθανώς, ορισμένα αποτελέσματα μαθηματικών πράξεων στο αλφαβητικό σύστημα αρίθμησης, παρήγαγαν νέες λέξεις, οι οποίες θα μπορούσαν να χρησιμοποιούνται σε φιλοσοφικούς προβληματισμούς και θεολογικές διατυπώσεις, όπως σημειώθηκε με την λέξη "ΔΙΥΣ" (από το "ΔΙ" και το "ΥΣ") "ΦΑΟΣ" (=Φως) & "ΣΟΦΑ" (=λόγος) θεοῦ Σωκράτη. Παρατηρείται ο παραλληλισμός της αρχαίας λέξης "ΦΑΛΛΟΓΗΣ" που σημαίνει "ΘΩΣ" και η παραγωγή της λέξης "ΣΟΦΑ" (=σοφία) θεοῦ Σωκράτη.

132

14 Αλφάβητα

$$\begin{array}{ccc} 5 & 8 & 2 \\ \Phi & \Omega & \Sigma \end{array}$$

50 800 200

$$\begin{array}{c} \text{---} \\ \text{"LIGHT"} \end{array}$$

1050

6

$$\begin{array}{ccc} 7 & 8 & 8 \\ Z & \Omega & H \end{array}$$

7 800 8

$$\begin{array}{c} \text{---} \\ \text{"LIGHT"} \end{array}$$

815

14

5

$$\begin{array}{ccccc} 1 & 3 & 1 & 7 & 2 \\ \Lambda & \Gamma & \text{I} & \text{O} & \Sigma \end{array}$$

1 3 10 70 200

$$\begin{array}{c} \text{---} \\ \text{"HOLLY"} \end{array}$$

284

14

5

$$\begin{array}{ccccc} 3 & 7 & 3 & 7 & 2 \\ \Lambda & \text{O} & \Gamma & \text{O} & \Sigma \end{array}$$

30 70 3 70 200

$$\begin{array}{c} \text{---} \\ \text{"WORD"} \end{array}$$

373

13

4

$$\begin{array}{ccccc} 2 & 7 & 5 & 7 & 2 \\ \Sigma & \text{O} & \Phi & \text{O} & \Sigma \end{array}$$

200 70 50 70 200

$$\begin{array}{c} \text{---} \\ \text{"WISE"} \end{array}$$

1040

5

$$\begin{array}{ccccc} 6 & 1 & 5 & 7 & 2 \\ X & \Lambda & \text{E} & \text{O} & \Sigma \end{array}$$

600 1 5 70 200

$$\begin{array}{c} \text{---} \\ \text{"D W O L E M A " (anglo-saxon)} \end{array}$$

876

21

3

$$\begin{array}{ccccc} 6 & 8 & 1 & 7 & 2 \\ X & \Omega & \text{P} & \text{O} & \Sigma \end{array}$$

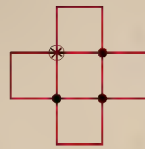
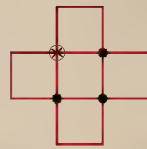
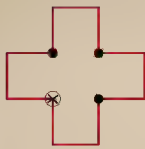
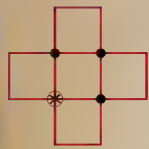
600 800 100 70 200

$$\begin{array}{c} \text{---} \\ \text{"SPACE"} \end{array}$$

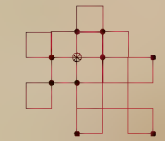
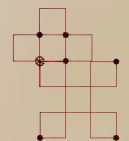
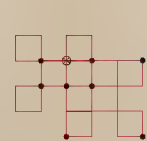
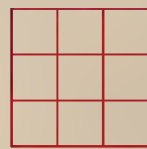
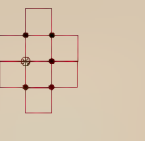
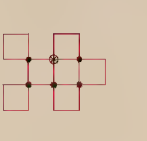
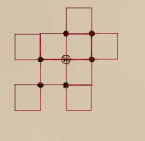
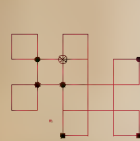
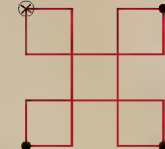
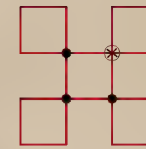
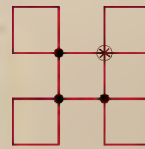
1770

15

6



+

 $F_n \pmod{30}$ $\pi(30)=120$ $fn_modulo(30)$

[0, 1, 1, 2, 3, 5, 8, 13, 21, 4, 25, 29, 24, 23, 17, 10, 27, 7, 4, 11, 15, 26, 11, 7, 18, 25, 13, 8, 21, 29, 20, 19, 9, 28, 7, 5, 12, 17, 29, 16, 15, 1, 16, 17, 3, 20, 23, 13, 6, 19, 25, 14, 9, 23, 2, 25, 27, 22, 19, 11, 0, 11, 11, 22, 3, 25, 28, 23, 21, 14, 5, 19, 24, 13, 7, 20, 27, 17, 14, 1, 15, 16, 1, 17, 18, 5, 23, 28, 21, 19, 10, 29, 9, 8, 17, 25, 12, 7, 19, 26, 15, 11, 26, 7, 3, 10, 13, 23, 6, 29, 5, 4, 9, 13, 22, 5, 27, 2, 29, 1]

0	235	554	850	1153	1446	1706
1	250	570	869	1170	1458	1711
2	276	585	880	1184	1465	1738
4	287	586	880	1185	1484	1740
7	294	602	891	1200	1510	1769
12	312	619	902	1216	1525	1770
20	337	622	924	1217	1536	
33	350	642	927	1234	1562	
54	358	665	952	1252	1569	
58	379	678	980	1257	1572	
83	408	684	1003	1280	1582	
112	428	703	1024	1308	1595	
136	447	728	1038	1329	1618	
159	456	742	1043	1348	1624	
176	484	751	1062	1358	1653	
186	491	774	1086	1387	1658	
213	496	776	1099	1396	1662	
220	508	801	1106	1404	1671	
224	525	828	1126	1421	1684	

$$\begin{array}{ccccc} 6 & 8 & 1 & 7 & 2 \\ X & \Omega & \text{P} & \text{O} & \Sigma \end{array}$$

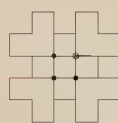
600 800 100 70 200

$$\begin{array}{c} \text{---} \\ \text{"SPACE"} \end{array}$$

1770

15

6

 $F_n \pmod{85}$ $\pi(85)=180$ $fn_modulo(85)$

[0, 1, 1, 2, 3, 5, 8, 13, 21, 34, 55, 4, 59, 63, 37, 15, 52, 67, 34, 16, 50, 66, 31, 12, 43, 55, 13, 68, 81, 64, 60, 39, 14, 53, 67, 35, 17, 52, 69, 36, 20, 56, 76, 47, 38, 0, 38, 38, 76, 29, 20, 49, 69, 33, 17, 50, 67, 32, 14, 46, 60, 21, 81, 17, 13, 30, 43, 73, 31, 19, 50, 69, 34, 18, 52, 70, 37, 22, 59, 81, 55, 51, 21, 72, 8, 80, 3, 83, 1, 84, 0, 84, 84, 83, 82, 80, 77, 72, 64, 51, 30, 81, 26, 22, 48, 70, 33, 18, 51, 69, 35, 19, 54, 73, 42, 30, 72, 17, 4, 21, 25, 46, 71, 32, 18, 50, 68, 33, 16, 49, 65, 29, 9, 38, 47, 0, 47, 47, 9, 56, 65, 36, 16, 52, 68, 35, 18, 53, 71, 39, 25, 64, 4, 68, 72, 55, 42, 12, 54, 66, 35, 16, 51, 67, 33, 15, 48, 63, 26, 4, 30, 34, 64, 13, 77, 5, 82, 2, 84, 1]

0	828	2021	3216	4624	5656	6832
1	909	2071	3237	4693	5703	6899
2	973	2138	3309	4728	5750	6932
4	1033	2170	3317	4747	5759	6947
7	1072	2184	3397	4801	5815	6995
12	1086	2230	3400	4874	5880	7058
20	1139	2290	3483	4916	5916	7084
33	1206	2311	3484	4946	5932	7088
54	1241	2392	3568	5018	5984	7118
88	1258	2409	3568	5035	6052	7152
143	1310	2422	3652	5039	6087	7216
147	1379	2452	3736	5060	6105	7229
206	1415	2495	3819	5085	6158	7306
269	1435	2568	3901	5131	6229	7311
306	1491	2599	3981	5202	6268	7393
321	1567	2618	4058	5234	6293	7395
	1614	2668	4130	5252	6357	7479
	1652	2737	4194	5302	6361	7480
440	1652	2771	4245	5370	6429	
474	1690	2789	4275	5403	6501	
490	1728	2841	4356	5419	6556	
540	1804	2911	4382	5468	6598	
606	1833	2948	4404	5533	6610	
637	1853	2970	4452	5562	6664	
649	1902	3029	4522	5571	6730	
692	1971	3110	4555	5609	6765	
747	2004	3165	4573	5656	6781	
760						

$$\begin{array}{ccccc} 3 & 7 & 3 & 7 & 2 \\ \Lambda & \text{O} & \Gamma & \text{O} & \Sigma \end{array}$$

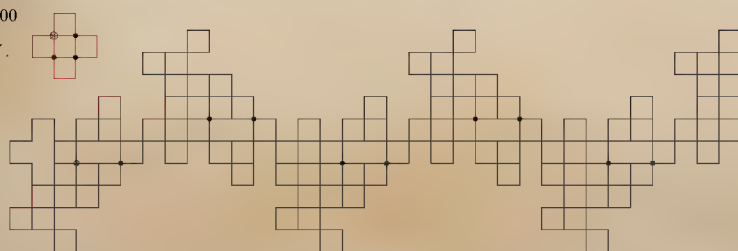
30 70 3 70 200

$$\begin{array}{c} \text{---} \\ \text{"WORD"} \end{array}$$

373

13

4



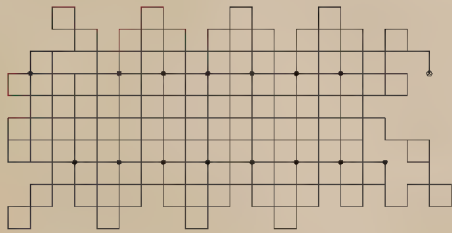
On the neck of this vase, dancing women follow a woman holding a wreath, while processions of men in chariots and armed soldiers decorate the body below. Funerary Amphora with Scenes of Mourning, 720 700 B.C., Greek, made in Athens. Terracotta, 27 5/8 x 12 in. The J. Paul Getty Museum, 2016.35. Purchased in part with funds provided by the Villa Council.

$F_n \pmod{97}$
 $\pi(97)=196$

$fn_modulo(97)$
 [0, 1, 1, 2, 3, 5, 8, 13, 21, 34, 55, 89, 47, 39, 86, 28, 17, 45, 62, 10, 72, 82, 57, 42, 2, 44, 46, 90, 39, 32, 71, 6, 77, 83, 63, 49, 15, 64, 79, 46, 28, 74, 5, 79, 84, 66, 53, 22, 75, 0, 75, 75, 53, 31, 84, 18, 5, 23, 28, 51, 79, 33, 15, 48, 63, 14, 77, 91, 71, 65, 39, 7, 46, 53, 2, 55, 57, 15, 72, 87, 62, 52, 17, 69, 86, 58, 47, 8, 55, 63, 21, 84, 8, 92, 3, 95, 1, 96, 0, 96, 96, 95, 94, 92, 89, 84, 76, 63, 42, 8, 50, 58, 11, 69, 80, 52, 35, 87, 25, 15, 40, 55, 95, 53, 51, 7, 58, 65, 26, 91, 20, 14, 34, 48, 82, 33, 18, 51, 69, 23, 92, 18, 13, 31, 44, 75, 22, 0, 22, 22, 44, 66, 13, 79, 92, 74, 69, 46, 18, 64, 82, 49, 34, 83, 20, 6, 26, 32, 58, 90, 51, 44, 95, 42, 40, 82, 25, 10, 35, 45, 80, 28, 11, 39, 50, 89, 42, 34, 76, 13, 89, 5, 94, 2, 96, 1]

Σ Ο Φ Ο Σ

200 70 50 70 200
 "WISE"
 1040
 5

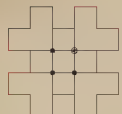


$F_n \pmod{86}$
 $\pi(86)=264$

$fn_modulo(86)$
 [0, 1, 1, 2, 3, 5, 8, 13, 21, 34, 55, 3, 58, 61, 33, 8, 41, 49, 4, 53, 57, 24, 81, 19, 14, 33, 47, 80, 41, 35, 76, 25, 15, 40, 55, 9, 64, 73, 51, 38, 3, 41, 44, 85, 43, 42, 85, 41, 40, 81, 35, 30, 65, 9, 74, 83, 71, 68, 53, 35, 2, 37, 39, 76, 29, 19, 48, 67, 29, 10, 39, 49, 2, 51, 53, 18, 71, 3, 74, 77, 65, 56, 35, 5, 40, 45, 85, 44, 43, 1, 44, 45, 3, 48, 51, 13, 64, 77, 55, 46, 15, 61, 76, 51, 41, 6, 47, 53, 14, 67, 81, 62, 57, 33, 4, 37, 41, 78, 33, 25, 58, 83, 55, 52, 21, 73, 8, 81, 3, 84, 1, 85, 0, 85, 85, 84, 83, 81, 78, 73, 65, 52, 31, 83, 28, 25, 53, 78, 45, 37, 82, 33, 29, 62, 5, 67, 72, 53, 39, 6, 45, 51, 10, 61, 71, 46, 31, 77, 22, 13, 35, 48, 83, 45, 42, 1, 43, 44, 1, 45, 46, 5, 51, 56, 21, 77, 12, 3, 15, 18, 33, 51, 84, 49, 47, 10, 57, 67, 38, 19, 57, 76, 47, 37, 84, 35, 33, 68, 15, 83, 12, 9, 21, 30, 51, 81, 46, 41, 1, 42, 43, 85, 42, 41, 83, 38, 35, 73, 22, 9, 31, 40, 71, 25, 10, 35, 45, 80, 39, 33, 72, 19, 5, 24, 29, 53, 82, 49, 45, 8, 53, 61, 28, 3, 31, 34, 65, 13, 78, 5, 83, 2, 85, 1]

Σ Ο Φ Ο Σ

200 70 50 70 200
 "WISE"
 1040
 5



$F_n \pmod{26}$
 $\pi(26)=84$

$fn_modulo(26)$
 [0, 1, 1, 2, 3, 5, 8, 13, 21, 8, 3, 11, 14, 25, 13, 12, 25, 11, 10, 21, 5, 0, 5, 5, 10, 15, 25, 14, 13, 1, 14, 15, 3, 18, 21, 13, 8, 21, 3, 24, 1, 25, 0, 25, 25, 24, 23, 21, 18, 13, 5, 18, 23, 15, 12, 1, 13, 14, 1, 15, 16, 5, 21, 0, 21, 21, 16, 11, 1, 12, 13, 25, 12, 11, 23, 8, 5, 13, 18, 5, 23, 2, 25, 1]

Σ Ο Φ Ο Σ

200 70 50 70 200
 "WISE"
 1040
 5



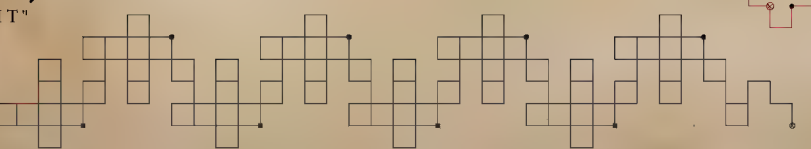
$F_n \pmod{25}$
 $\pi(25)=100$

$fn_modulo(25)$
 [0, 1, 1, 2, 3, 5, 8, 13, 21, 9, 5, 14, 19, 8, 2, 10, 12, 22, 9, 6, 15, 21, 11, 7, 18, 0, 18, 18, 11, 4, 15, 19, 9, 3, 12, 15, 2, 17, 19, 11, 5, 16, 21, 12, 8, 20, 3, 23, 1, 24, 0, 24, 24, 23, 22, 20, 17, 12, 4, 16, 20, 11, 6, 17, 23, 15, 13, 3, 16, 19, 10, 4, 14, 18, 7, 0, 7, 7, 14, 21, 10, 6, 16, 22, 13, 10, 23, 8, 6, 14, 20, 9, 4, 13, 17, 5, 22, 2, 24, 1]

7 8 8
 Ζ Ω Η
 7 800 8

"LIGHT"

815
 14
 5



0	720	1732	2729	3829	5106	6136	7005	8004	9025
1	777	1811	2792	3887	5182	6201	7027	8094	9114
2	819	1895	2806	3934	5245	6227	7049	8145	9119
4	821	1961	2883	3942	5287	6318	7093	8189	9213
7	865	2014	2974	3997	5295	6338	7159	8284	9215
12	911	2036	3045	4060	5345	6352	7172	8326	9311
20	1001	2111	3110	4081	5403	6386	7251	8366	9312
33	1040	2111	3149	4165	5414	6434	7343	8448	
54	1072	2186	3156	4173	5483	6516	7417	8473	
88	1143	2261	3202	4265	5563	6549	7486	8483	
143	1149	2314	3255	4268	5615	6567	7532	8518	
232	1226	2345	3257	4363	5650	6618	7550	8563	
279	1309	2429	3312	4364	5737	6687	7614	8643	
318	1372	2447	3369	4460	5762	6710	7696	8671	
404	1421	2452	3384	4460	5777	6802	7745	8682	
432	1436	2475	3456	4556	5817	6820	7779	8721	
449	1500	2503	3543	4652	5872	6833	7862	8771	
494	1579	2554	3605	4747	5967	6864	7882	8860	
556	1625	2633	3657	4841	6020	6908	7888	8902	
566	1653	2666	3674	4933	6071	6983	7914	8936	
638	1727	2681	3743	5022	6078	7005	7946	9012	

0	648	1754	2804	3838	4956	6330	7430	8302	9374	10410
1	681	1835	2855	3915	5039	6355	7443	8351	9415	10429
2	728	1870	2908	3970	5094	6408	7478	8398	9416	10434
4	808	1900	2926	4016	5146	6486	7526	8408	9458	10458
7	849	1965	2997	4031	5167	6531	7609	8465	9501	10487
12	884	1974	3000	4092	5240	6568	7654	8532	9586	10540
20	960	2048	3074	4168	5248	6650	7696	8570	9628	10622
33	985	2131	3151	4219	5329	6683	7697	8589	9669	10671
54	1000	2202	3216	4260	5332	6712	7740	8646	9752	10716
88	1040	2270	3272	4266	5416	6774	7784	8722	9790	10724
143	1095	2323	3307	4313	5417	6779	7785	8769	9825	10777
146	1104	2358	3312	4366	5502	6846	7830	8806	9898	10838
204	1168	2360	3352	4380	5502	6918	7876	8890	9920	10866
265	1241	2397	3397	4447	5587	6971	7881	8925	9929	10869
298	1292	2436	3482	4528	5672	7010	7932	8958	9960	10900
306	1330	2512	3526	4590	5756	7016	7988	9026	10000	10934
347	1333	2541	3569	4647	5839	7061	8009	9041	10071	10999
396	1374	2560	3570	4680	5920	7112	8086	9124	10096	11012
400	1418	2608	3614	4684	5998	7122	8098	9136	10106	11090
453	1503	2675	3659	4721	6071	7183	8101	9145	10141	11095
510	1546	2704	3662	4762	6136	7254	8116	9166	10186	11178
534	1588	2714	3710	4840	6188	7300	8134	9196	10266	11180
615	1673	2753	3761	4873	6219	7331	8167	9247	10305	11265
634	1714	2802	3774	4898	6302	7408	8218	9328	10338	11266

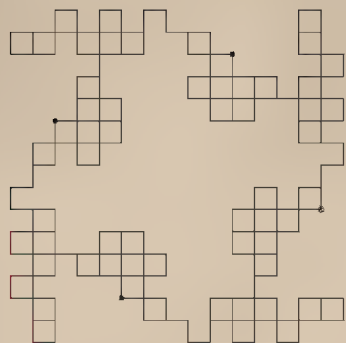
0	65	212	314	441	620	748	869	1012
1	76	212	329	466	638	753	894	1014
2	90	217	332	466	661	774	906	1039
4	115	222	350	491	676	774	917	1040
7	128	232	371	516	688	795	940	
12	140	247	384	540	689	816	948	
20	165	272	392	563	702	832	953	
33	176	286	413	584	716	843	966	
54	186	299	416	602	717	844	984	
62	207	300	440	615	732	856	989	

0	101	242	368	524	730	867	1009	1151
1	109	242	385	548	741	881	1022	1173
2	111	260	404	548	747	899	1032	1175
4	121	278	415	572	764	906	1055	1199
7	133	289	420	596	787	906	1063	1200
12	155	293	436	619	802	913	1069	
20	164	308	457	641	815	920	1083	
33	170	327	469	661	818	934	1103	
54	185	336	477	678	834	955	1112	
63	206	339	497	690	853	965	1116	
68	217	351	500	694	863	971	1129	
82	224	366	523	710		987	1146	

$F_n \pmod{71}$ $\pi(71)=70$ $fn_modulo(71)$

[0, 1, 1, 2, 3, 5, 8, 13, 21, 34, 55, 18, 2, 20, 22, 42, 64, 35, 28, 63, 20, 12, 32, 44, 5, 49, 54, 32, 15, 47, 62, 38, 29, 67, 25, 21, 46, 67, 42, 38, 9, 47, 56, 32, 17, 49, 66, 44, 39, 12, 51, 63, 43, 35, 7, 42, 49, 20, 69, 18, 16, 34, 50, 13, 63, 5, 68, 2, 70, 1]

0	163	550	1035	1541	1966
1	183	599	1102	1553	2000
2	205	653	1144	1604	2050
4	247	685	1182	1667	2063
7	311	700	1191	1710	2126
12	346	747	1238	1745	2131
20	374	809	1294	1752	2199
33	437	847	1326	1794	2201
54	457	876	1343	1843	2271
88	469	943	1392	1863	2272
143	501	968	1458	1932	
161	545	989	1502	1950	



6 1 5 7 2
X A E O S
600 1 5 70 200
----->
"D W O L E M A" (anglo-saxon)
876
21
3

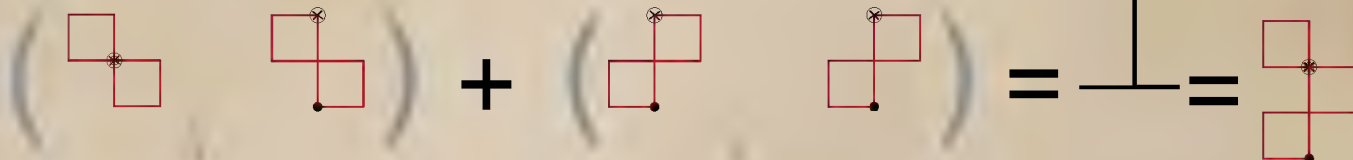
Το γεωμετρικό σχέδιο της σβάστικας (αριστερόστροφης και δεξιόστροφης εντοπίζεται από την προϊστορική περίοδο, απαντάται για παράδειγμα σε Ουκρανία, Ιράν, Βουλγαρία. Η πορεία του συνεχίζεται στην νεολιθική Κίνα, την εποχή του Σιδήρου βόρεια του Καυκάσου, σε Αφρική γενικότερα σ' ολόκληρη την Ευρώπη (λ.χ. Γεωμετρική Περίοδος Ελλάδας), ενώ του αποδίδονται διάφορες ερμηνείες. Για τους Ευρασιατικούς πολιτισμούς λαμβάνεται ως θρησκευτικό (μυστικιστικό, πνευματικό) σύμβολο· ιδιαίτερα στις Ινδικές θρησκείες, συμπεριλαμβανομένου του Ινδουισμού, του Βουδισμού και του Τζαϊνισμού (Swastika, n.d.). Τον 20° αι. μ.Χ. η δεξιόστροφη σβάστικα χρησιμοποιήθηκε από το ναζισμό· που με το μαύρο πέπλο των θηριωδιών του σκέπασε ολόκληρη την Ευρώπη κατακρουγώντας ψυχές· αμαυρώνοντας και ευτελίζοντας την πνευματικότητα του συμβόλου· προκαλώντας την δαιμονοποίηση και τον στιγματισμό αυτού του πνευματικού συμβόλου στο συλλογικό ασυνείδητο.

7 4 6 8
Ψ Υ Χ Η
700 400 600 8
----->
"SOUL"
1708
16
7

9 5 7 2
Θ Ε Ο Σ
90 50 70 200
----->
"GOD"
284
14
5

2 8 4 1
Σ Ω Μ Α
200 800 400 1
----->
"BODY"
1401
6

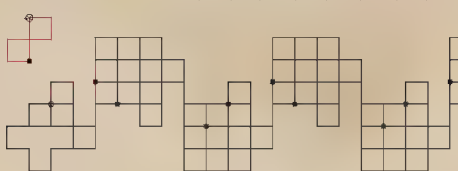
4 4 8 1
Υ Δ Ω Ρ
400 4 800 100
----->
"WATER"
1304
8

 $F_n \pmod{65}$ $\pi(65) = 140$ $fn_modulo(65)$

[0, 1, 1, 2, 3, 5, 8, 13, 21, 34, 55, 24, 14, 38, 52, 25, 12, 37, 49, 21, 5, 26, 31, 57, 23, 15, 38, 53, 26, 14, 40, 54, 29, 18, 47, 0, 47, 47, 29, 11, 40, 51, 26, 12, 38, 50, 23, 8, 31, 39, 5, 44, 49, 28, 12, 40, 52, 27, 14, 41, 55, 31, 21, 52, 8, 60, 3, 63, 1, 64, 0, 64, 64, 63, 62, 60, 57, 52, 44, 31, 10, 41, 51, 27, 13, 40, 53, 28, 16, 44, 60, 39, 34, 8, 42, 50, 27, 12, 39, 51, 25, 11, 36, 47, 18, 0, 18, 18, 36, 54, 25, 14, 39, 53, 27, 15, 42, 57, 34, 26, 60, 21, 16, 37, 53, 25, 13, 38, 51, 24, 10, 34, 44, 13, 57, 5, 62, 2, 64, 1]

0	420	1065	1710	2520	3220	3850
1	446	1116	1741	2561	3231	3871
2	477	1142	1762	2612	3267	3887
4	534	1154	1814	2639	3314	3924
7	557	1192	1822	2652	3332	3977
12	572	1242	1882	2692	3332	4002
20	610	1265	1885	2745	3350	4015
33	663	1273	1948	2773	3368	4053
54	689	1304	1949	2789	3404	4104
88	703	1343	2013	2833	3458	4128
143	743	1348	2013	2893	3483	4138
167	797	1392	2077	2932	3497	4172
181	826	1441	2141	2966	3536	4216
219	844	1469	2204	2974	3589	4229
271	891	1481	2266	3016	3616	4286
296	891	1521	2326	3066	3631	4291
308	938	1573	2383	3093	3673	4353
345	985	1600	2435	3105	3730	4355
394	1014	1614	2479	3144	3764	4419
415	1025	1655	2510	3195	3790	4420

4 4 8 1
Υ Δ Ω Ρ
400 4 800 100
----->
"WATER"
1304
8

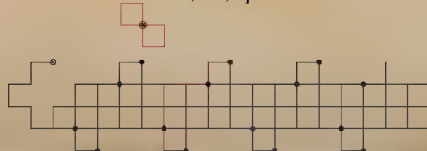


7 4 6 8
Ψ Υ Χ Η
700 400 600 8
----->
"SOUL"
1708
16
7

 $F_n \pmod{61}$ $\pi(61) = 60$ $fn_modulo(61)$

[0, 1, 1, 2, 3, 5, 8, 13, 21, 34, 55, 28, 22, 50, 11, 0, 11, 11, 22, 33, 55, 27, 21, 48, 8, 56, 3, 59, 1, 60, 0, 60, 60, 59, 58, 56, 53, 48, 40, 27, 6, 33, 39, 11, 50, 0, 50, 50, 39, 28, 6, 34, 40, 13, 53, 5, 58, 2, 60, 1]

0	88	298	608	1015	1269	1582
1	143	331	609	1063	1319	1587
2	171	386	669	1103	1369	1645
4	193	413	669	1130	1408	1647
7	243	434	729	1136	1436	1707
12	254	482	789	1169	1442	1708
20	254	490	848	1208	1476	
33	265	546	906	1219	1516	
54	276	549	962	1269	1529	



Παρατηρήσεις & Σχολιασμοί

135

$F_n \pmod{57}$

$\pi(57) = 72$

$fn_modulo(57)$

[0, 1, 1, 2, 3, 5, 8, 13, 21, 34, 55, 32, 30, 5, 35, 40, 18, 1, 19, 20, 39, 2, 41, 43, 27, 13, 40, 53, 36, 32, 11, 43, 54, 40, 37, 20, 0, 20, 20, 40, 3, 43, 46, 32, 21, 53, 17, 13, 30, 43, 16, 2, 18, 20, 38, 1, 39, 40, 22, 5, 27, 32, 2, 34, 36, 13, 49, 5, 54, 2, 56, 1]

7 4 6 8
Ψ Υ Χ Η
700 400 600 8
"SOUL"
1708
16
7



$F_n \pmod{88}$

$\pi(88) = 60$

$fn_modulo(88)$

[0, 1, 1, 2, 3, 5, 8, 13, 21, 34, 55, 1, 56, 57, 25, 82, 19, 13, 32, 45, 77, 34, 23, 57, 80, 49, 41, 2, 43, 45, 0, 45, 45, 2, 47, 49, 8, 57, 65, 34, 11, 45, 56, 13, 69, 82, 63, 57, 32, 1, 33, 34, 67, 13, 80, 5, 85, 2, 87, 1]



2 8 4 1
Σ Ω Μ Α
200 800 400 1
1401
6

$F_n \pmod{77}$

$\pi(77) = 80$

$fn_modulo(77)$

[0, 1, 1, 2, 3, 5, 8, 13, 21, 34, 55, 12, 67, 2, 69, 71, 63, 57, 43, 23, 66, 12, 1, 13, 14, 27, 41, 68, 32, 23, 55, 1, 56, 57, 36, 16, 52, 68, 43, 34, 0, 34, 34, 68, 25, 16, 41, 57, 21, 1, 22, 23, 45, 68, 36, 27, 63, 13, 76, 12, 11, 23, 34, 57, 14, 71, 8, 2, 10, 12, 22, 34, 56, 13, 69, 5, 74, 2, 76, 1]

2 8 4 1
Σ Ω Μ Α
200 800 400 1
"BODY"
1401
6



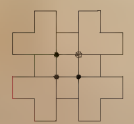
$F_n \pmod{60}$

$\pi(60) = 120$

$fn_modulo(60)$

[0, 1, 1, 2, 3, 5, 8, 13, 21, 34, 55, 29, 24, 53, 17, 10, 27, 37, 4, 41, 45, 26, 11, 37, 48, 25, 13, 38, 51, 29, 20, 49, 9, 58, 7, 5, 12, 17, 29, 46, 15, 1, 16, 17, 33, 50, 23, 13, 36, 49, 25, 14, 39, 53, 32, 25, 57, 22, 19, 41, 0, 41, 41, 22, 3, 25, 28, 53, 21, 14, 35, 49, 24, 13, 37, 50, 27, 17, 44, 1, 45, 46, 31, 17, 48, 5, 53, 58, 51, 49, 40, 29, 9, 38, 47, 25, 12, 37, 49, 26, 15, 41, 56, 37, 33, 10, 43, 53, 36, 29, 5, 34, 39, 13, 52, 5, 57, 2, 59, 1]

2 8 4 1
Σ Ω Μ Α
200 800 400 1
"BODY"
1401
6



0	205	495	874	1212	1483
1	210	508	894	1255	1515
2	245	548	914	1271	1517
4	285	601	954	1273	1551
7	303	637	957	1291	1587
12	304	669	1000	1311	1600
20	323	680	1046	1349	1649
33	343	723	1078	1350	1654
54	382	777	1099	1389	1708
88	384	817	1152	1429	1710
143	425	854	1169	1451	1766
175	468	874	1182	1456	1767

0	143	550	924	1287	1738
1	144	584	969	1332	1772
2	200	607	1014	1388	1839
4	257	664	1016	1401	1852
7	282	744	1063	1470	1932
12	364	793	1112	1552	1937
20	383	834	1120	1615	2022
33	396	836	1177	1672	2024
54	428	879	1242	1704	2111
88	473	924	1276	1705	2112

0	143	616	902	1265	1584	1958	2211
1	155	628	903	1299	1607	1981	2245
2	222	629	959	1333	1652	2015	2301
4	224	642	1016	1401	1720	2072	2314
7	293	656	1052	1426	1756	2086	2383
12	364	683	1068	1442	1783	2157	2388
20	427	724	1120	1483	1846	2165	2462
33	484	792	1188	1540	1859	2167	2464
54	527	824	1231	1561	1935	2177	2540
88	550	847	1265	1562	1947	2189	2541

0	196	552	868	1164	1540	1896	2272	2688	3124
1	249	577	885	1213	1581	1909	2277	2725	3153
2	266	590	914	1238	1622	1946	2330	2774	3158
4	276	628	960	1252	1644	1996	2388	2800	3192
7	303	679	975	1291	1647	2023	2439	2815	3231
12	340	708	976	1344	1672	2040	2488	2856	3244
20	344	728	992	1376	1700	2084	2528	2912	3296
33	385	777	1009	1401	1753	2085	2557	2949	3301
54	430	786	1042	1458	1774	2130	2566	2982	3358
88	456	844	1092	1480	1788	2176	2604	2992	3360
143	467	851	1115	1499	1823	2207	2651	3035	3419
172	504	856	1128	1540	1872	2224	2676	3088	3420

136

14 Αλφάβητα

8 1 3 8 1
ΠΑΤΗΡ
80 1 300 8 100

"FATHER"

489

21

3



+

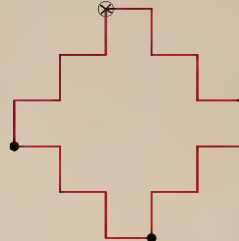
4 8 3 8 1
ΜΗΤΗΡ
40 8 300 8 100

"MOTHER"

456

15

6



=



$F_n \pmod{67}$

$\pi(67) = 136$

$fn_modulo(67)$

[0, 1, 1, 2, 3, 5, 8, 13, 21, 34, 55, 22, 10, 32, 42, 7, 49, 56, 38, 27, 65, 25, 23, 48, 4, 52, 56, 41, 30, 4, 34, 38, 5, 43, 48, 24, 5, 29, 34, 63, 30, 26, 56, 15, 4, 19, 23, 42, 65, 40, 38, 11, 49, 60, 42, 35, 10, 45, 55, 33, 21, 54, 8, 62, 3, 65, 1, 66, 0, 66, 66, 65, 64, 62, 59, 54, 46, 33, 12, 45, 57, 35, 25, 60, 18, 11, 29, 40, 2, 42, 44, 19, 63, 15, 11, 26, 37, 63, 33, 29, 62, 24, 19, 43, 62, 38, 33, 4, 37, 41, 11, 52, 63, 48, 44, 25, 2, 27, 29, 56, 18, 7, 25, 32, 57, 22, 12, 34, 46, 13, 59, 5, 64, 2, 66, 1]



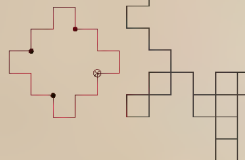
8 1 3 8 1
ΠΑΤΗΡ
80 1 300 8 100

"FATHER"

489

21

3



$F_n \pmod{101}$

$\pi(101) = 50$

$fn_modulo(101)$

[0, 1, 1, 2, 3, 5, 8, 13, 21, 34, 55, 89, 43, 31, 74, 4, 78, 82, 59, 40, 99, 38, 36, 74, 9, 83, 92, 74, 65, 38, 2, 40, 42, 82, 23, 4, 27, 31, 58, 89, 46, 34, 80, 13, 93, 5, 98, 2, 100, 1]

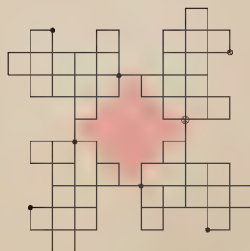
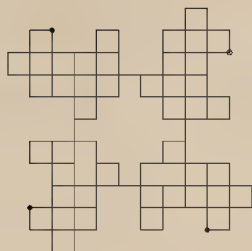
4 8 3 8 1
ΜΗΤΗΡ
40 8 300 8 100

"MOTHER"

456

15

6



$F_n \pmod{75}$

$\pi(75) = 200$

$fn_modulo(75)$

[0, 1, 1, 2, 3, 5, 8, 13, 21, 34, 55, 14, 69, 8, 2, 10, 12, 22, 34, 56, 15, 71, 11, 7, 18, 25, 43, 68, 36, 29, 65, 19, 9, 28, 37, 65, 27, 17, 44, 61, 30, 16, 46, 62, 33, 20, 53, 73, 51, 49, 25, 74, 24, 23, 47, 70, 42, 37, 4, 41, 45, 11, 56, 67, 48, 40, 13, 53, 66, 44, 35, 4, 39, 43, 7, 50, 57, 32, 14, 46, 60, 31, 16, 47, 63, 35, 23, 58, 6, 64, 70, 59, 54, 38, 17, 55, 72, 52, 49, 26, 0, 26, 26, 52, 3, 55, 58, 38, 21, 59, 5, 64, 69, 58, 52, 35, 12, 47, 59, 31, 15, 46, 61, 32, 18, 50, 68, 43, 36, 4, 40, 44, 9, 53, 62, 40, 27, 67, 19, 11, 30, 41, 71, 37, 33, 70, 28, 23, 51, 74, 50, 49, 24, 73, 22, 20, 42, 62, 29, 16, 45, 61, 31, 17, 48, 65, 38, 28, 66, 19, 10, 29, 39, 68, 32, 25, 57, 7, 64, 71, 60, 56, 41, 22, 63, 10, 73, 8, 6, 14, 20, 34, 54, 13, 67, 5, 72, 2, 74, 1]

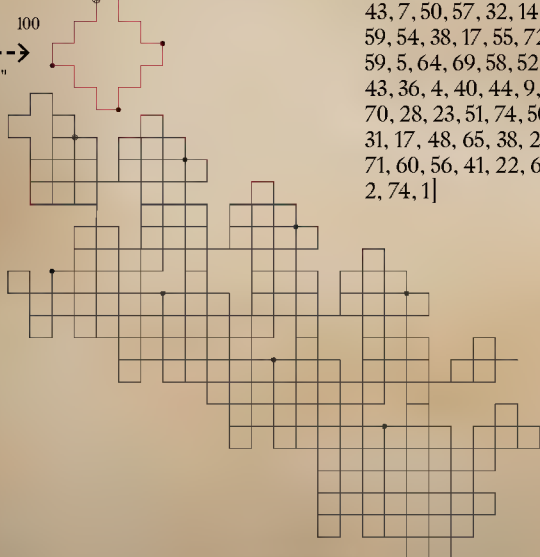
4 8 3 8 1
ΜΗΤΗΡ
40 8 300 8 100

"MOTHER"

456

15

6



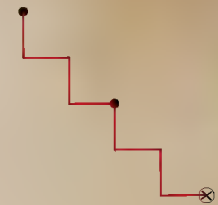
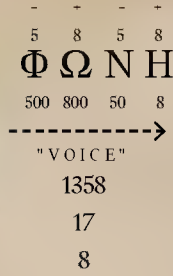
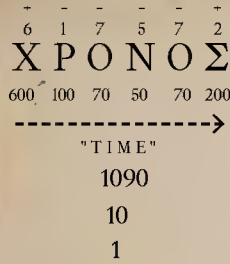
0	491	1127	1816	2704	3368	4044
1	516	1153	1870	2739	3392	4051
2	539	1209	1878	2764	3411	4076
4	587	1224	1940	2824	3454	4108
7	591	1228	1943	2842	3516	4165
12	643	1247	2008	2853	3554	4187
20	699	1270	2009	2882	3587	4199
33	740	1312	2075	2922	3591	4233
54	770	1377	2075	2924	3628	4279
88	774	1417	2141	2966	3669	4292
143	808	1455	2207	3010	3680	4351
165	846	1466	2272	3029	3732	4356
175	851	1515	2336	3092	3795	4420
207	894	1575	2398	3107	3843	4422
249	942	1617	2457	3118	3887	4488
256	966	1652	2511	3144	3912	4489
305	971	1662	2557	3181	3914	
361	1000	1707	2590	3244	3941	
399	1034	1762	2602	3277	3970	
426	1097	1795	2647	3306	4026	

0	143	742	1253	1695	2121 = 2+1+2+1 = 6
1	232	780	1293	1729	
2	275	816	1335	1809	πυθμενικός,
4	306	890	1417	1822	"ΜΗΤΗΡ = 6
7	380	899	1440	1915	
12	384	982	1444	1920	
20	462	1074	1471	2018	
33	544	1148	1502	2020	
54	603	1213	1560	2120	
88	643	1251	1649		

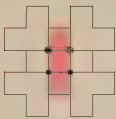
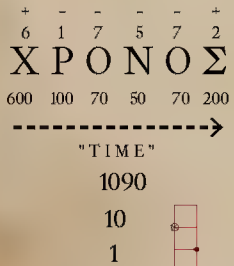
0	517	1523	2506	3550	4542	5573	6531
1	560	1597	2563	3576	4610	5622	6588
2	628	1621	2595	3602	4653	5646	6595
4	664	1644	2609	3654	4689	5719	6659
7	693	1691	2655	3657	4693	5741	6730
12	758	1761	2715	3712	4733	5761	6790
20	777	1803	2746	3770	4777	5803	6846
33	786	1840	2762	3808	4786	5865	6887
54	814	1844	2809	3829	4839	5894	6909
88	851	1885	2872	3888	4901	5910	6972
143	916	1930	2907	3893	4941	5955	6982
157	943	1941	2930	3957	4968	6016	7055
226	960	1997	2988	4026	5035	6047	7063
234	1004	2064	2994	4084	5054	6064	7069
236	1065	2112	3058	4136	5065	6112	7083
246	1095	2152	3128	4171	5095	6177	7103
258	1111	2165	3187	4183	5136	6215	7137
280	1157	2218	3241	4230	5207	6243	7191
314	1219	2284	3279	4289	5244	6309	7204
370	1252	2328	3296	4320	5277	6328	7271
385	1272	2363	3351	4335	5347	6338	7276
456	1325	2367	3423	4381	5375	6367	7348
467	1398	2406	3475	4442	5398	6406	7350
474	1449	2449	3524	4474	5449	6474	7424
492	1498	2456	3550	4492	5523	6506	7425

Παρατηρήσεις & Σχολιασμοί

137



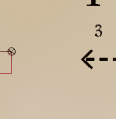
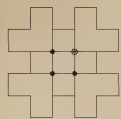
$F_n \pmod{70}$
 $\pi(70) = 240$



$fn_modulo(70)$
[0, 1, 1, 2, 3, 5, 8, 13, 21, 34, 55, 19, 4, 23, 27, 50, 7, 57, 64, 51, 45, 26, 1, 27, 28, 55, 13, 68, 11, 9, 20, 29, 49, 8, 57, 65, 52, 47, 29, 6, 35, 41, 6, 47, 53, 30, 13, 43, 56, 29, 15, 44, 59, 33, 22, 55, 7, 62, 69, 61, 60, 51, 41, 22, 63, 15, 8, 23, 31, 54, 15, 69, 14, 13, 27, 40, 67, 37, 34, 1, 35, 36, 1, 37, 38, 5, 43, 48, 21, 69, 20, 19, 39, 58, 27, 15, 42, 57, 29, 16, 45, 61, 36, 27, 63, 20, 13, 33, 46, 9, 55, 64, 49, 43, 22, 65, 17, 12, 29, 41, 0, 41, 41, 12, 53, 65, 48, 43, 21, 64, 15, 9, 24, 33, 57, 20, 7, 27, 34, 61, 25, 16, 41, 57, 28, 15, 43, 58, 31, 19, 50, 69, 49, 48, 27, 5, 32, 37, 69, 36, 35, 1, 36, 37, 3, 40, 43, 13, 56, 69, 55, 54, 39, 23, 62, 15, 7, 22, 29, 51, 10, 61, 1, 62, 63, 55, 48, 33, 11, 44, 55, 29, 14, 43, 57, 30, 17, 47, 64, 41, 35, 6, 41, 47, 18, 65, 13, 8, 21, 29, 50, 9, 59, 68, 57, 55, 42, 27, 69, 26, 25, 51, 6, 57, 63, 50, 43, 23, 66, 19, 15, 34, 49, 13, 62, 5, 67, 2, 69, 1]

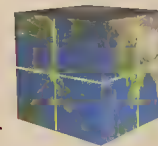
0	517	1272	2130	2819	3618	4396	5211	5978	6824	7635
1	544	1302	2153	2888	3682	4429	5216	6000	6865	7686
2	572	1315	2184	2908	3731	4486	5248	6029	6900	7692
4	627	1358	2238	2927	3774	4506	5285	6080	6906	7749
7	640	1414	2253	2966	3796	4513	5354	6090	6947	7812
12	708	1443	2322	3024	3861	4540	5390	6151	6994	7862
20	719	1458	2336	3051	3878	4574	5425	6152	7012	7905
33	728	1502	2349	3066	3890	4635	5426	6214	7077	7928
54	748	1561	2376	3108	3919	4660	5462	6277	7090	7994
88	777	1594	2416	3165	3960	4676	5499	6332	7098	8013
143	826	1616	2483	3194	3960	4717	5502	6380	7119	8028
162	834	1671	2520	3210	4001	4774	5542	6413	7148	8062
166	891	1678	2554	3255	4042	4802	5585	6424	7198	8111
189	956	1740	2555	3316	4054	4817	5598	6468	7207	8124
216	1008	1809	2590	3352	4107	4860	5654	6523	7266	8186
266	1055	1870	2626	3379	4172	4918	5723	6552	7334	8191
273	1084	1930	2627	3442	4220	4949	5778	6566	7391	8258
330	1090	1981	2664	3462	4263	4968	5832	6609	7446	8260
394	1125	2022	2702	3475	4284	5018	5871	6666	7488	8329
445	1166	2044	2707	3508	4348	5087	5894	6696	7515	8330
490	1172	2107	2750	3554	4363	5136	5956	6713	7584	
516	1219	2122	2798	3563	4372	5184	5971	6760	7610	

$F_n \pmod{6}$
 $\pi(6) = 24$

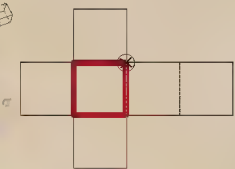


$fn_modulo(6)$
[0, 1, 1, 2, 3, 5, 2, 1, 3, 4, 1, 5, 0, 5, 5, 4, 3, 1, 4, 5, 3, 2, 5, 1]
3 1 1 1
Γ Α Ι Α
3 1 10 1
"EARTH"
15
6

0	12	23	42	58
1	14	28	45	60
2	15	28	46	65
4	18	33	50	66
7	22	38	55	



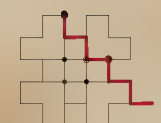
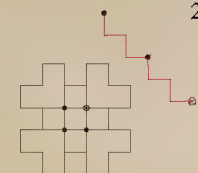
Ανάπτυγμα κύβου



Φωτορεαλιστική αναπαράσταση
κύβου ως πλατωνικό στερεό γη

Στη φιλοσοφία του Πλάτωνα, τα «πλατωνικά στερεά» συμβόλιζαν τα δομικά στοιχεία του σύμπαντος («Τίμαιος» [52d-53c], [55c-56c]): ο κύβος τη γη.

$F_n \pmod{98}$
 $\pi(98) = 334$



$fn_modulo(30)$
[0, 1, 1, 2, 3, 5, 8, 13, 21, 4, 25, 29, 24, 23, 17, 10, 27, 7, 4, 11, 15, 26, 11, 7, 18, 25, 13, 8, 21, 29, 20, 19, 9, 28, 7, 5, 12, 17, 29, 16, 15, 1, 16, 17, 3, 20, 23, 13, 6, 19, 25, 14, 9, 23, 2, 25, 27, 22, 19, 11, 0, 11, 11, 22, 3, 25, 28, 23, 21, 14, 5, 19, 24, 13, 7, 20, 27, 17, 14, 1, 15, 16, 1, 17, 18, 5, 23, 28, 21, 19, 10, 29, 9, 8, 17, 25, 12, 7, 19, 26, 15, 11, 26, 7, 3, 10, 13, 23, 6, 29, 5, 4, 9, 13, 22, 5, 27, 2, 29, 1]

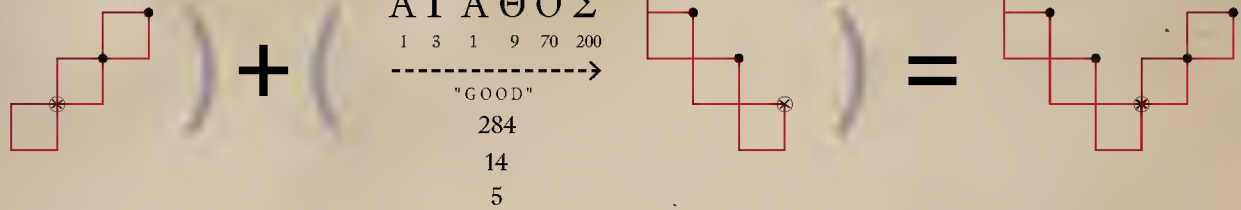
5 8 5 8
Φ Ω Ν Η
500 800 50 8
"VOICE"
1358
17
8

0	1085	2722	4144	5717	7358	9208	10735	12220	13718	15077
1	1148	2758	4157	5754	7404	9241	10776	12226	13767	15132
2	1156	2835	4186	5788	7413	9336	10830	12295	13864	15216
4	1227	2850	4228	5859	7468	9366	10925	12370	13912	15257
7	1306	2942	4299	5866	7532	9393	10976	12416	13959	15284
12	1358	2951	4314	5944	7553	9450	11024	12439	14054	15352
20	1391	2954	4400	6029	7638	9534	11025	12508	14098	15447
33	1476	2966	4403	6094	7646	9577	11074	12600	14139	15512
54	1496	2981	4492	6146	7739	9606	11124	12663	14224	15574
88	1503	3008	4584	6165	7742	9678	11125	12720	14252	15603
143	1530	3050	4667	6236	7838	9681	11176	12742	14267	15694
232	1564	3119	4744	6326	7839	9756	11228	12821	14310	15716
278	1625	3132	4806	6389	7936	9834	11233	12824	14368	15731
315	1720	3214	4847	6444	7936	9889	11290	12906	14371	15768
398	1778	3309	4852	6464	8033	9924	11352	12991	14432	15820
420	1833	3388	4898	6539	8130	10014	11373	13060	14496	15909
427	1848	3464	4949	6634	8226	10041	11456	13116	14523	15952
456	1918	3521	5046	6706	8321	10060	11462	13143	14614	15986
492	2003	3556	5096	6775	8414	10106	11551	13226	14634	16063
557	2060	3648	5145	6818	8504	10171	11646	13238	14647	16076
560	2104	3677	5146	6832	8589	10184	11732	13333	14680	16166
628	2107	3700	5196	6889	8666	10262	11815	13342	14726	16171
699	2154	3752	5247	6960	8730	10353	11886	13348	14805	16266
740	2204	3827	5250	6990	8773	10424	11942	13363	14832	16268
754	2301	3856	5304	6993	8782	10488	11971	13384	14840	16365
809	2350	3862	5361	7026	8834	10525	12056	13420	14875	16366
878	2398	3897	5374	7062	8895	10528	12072	13477	14918	
904	2495	3938	5444	7131	8910	10568	12075	13570	14996	
999	2542	4014	5527	7138	8986	10611	12094	13622	15019	
1022	2588	4033	5582	7214	9077	10694	12116	13669	15022	
1042	2681	4128	5622	7297	9146	10722	12157	13670	15048	

138

14 Αλφάβητα

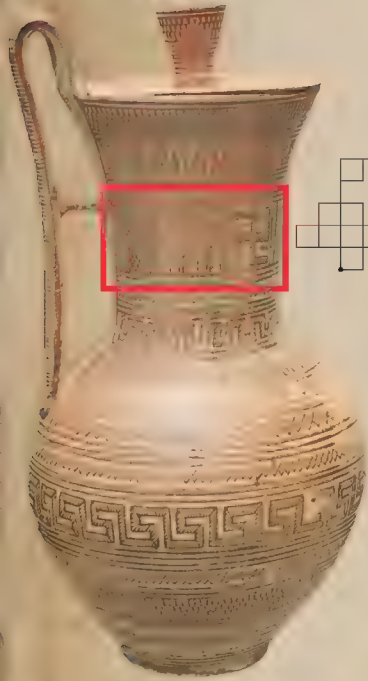
2	7	5	1	1	5
Σ	Ο	Φ	Ι	Α	Ν
200	70	500	10	1	50
----->					
"WISDOM"					
831					
12					
3					


 $F_n \pmod{59}$
 $\pi(59) = 58$
 $fn_modulo(59)$

[0, 1, 1, 2, 3, 5, 8, 13, 21, 34, 55, 30, 26, 56, 23, 20, 43, 4, 47, 51, 39, 31, 11, 42, 53, 36, 30, 7, 37, 44, 22, 7, 29, 36, 6, 42, 48, 31, 20, 51, 12, 4, 16, 20, 36, 56, 33, 30, 4, 34, 38, 13, 51, 5, 56, 2, 58, 1]

2	7	5	1	1	5
Σ	Ο	Φ	Ι	Α	Ν
200	70	500	10	1	50
----->					
"WISDOM"					
831					
12					
3					

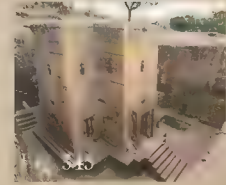
0	88	392	692	963	1209	1473
1	143	443	729	994	1242	1475
2	173	482	773	1014	1272	1533
4	199	513	795	1065	1276	1534
7	255	524	802	1077	1310	
12	278	566	831	1081	1348	
20	298	619	867	1097	1361	
33	341	655	873	1117	1412	
54	345	685	915	1153	1417	



Carved
fretwork forming
a swastika in the
window of a Lalibela
rock-hewn church in
Ethiopia. 12th c. AC



Rock-Hewn
Churches. Lalibela,
Ethiopia, 12th c. AD



Mosaic
swastika in excavated
church in Shavei
Tzion (Israel)



Attic jug, ca. 740
BC. Late Geometric style: the
whole vase is covered with
ornamentation friezes. Current
location: Room 1. Staatliche
Antikensammlungen of
Munich.

Swastika on a temple in Korea
(Seoul)

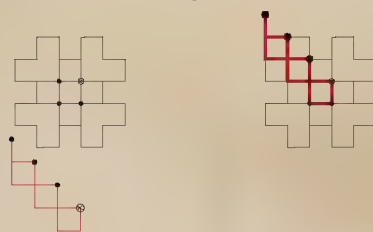
Swastika on the chest of a Buddha
statue in the Grand Hall of the Jade Buddha
Temple, Shanghai, China. In Buddhism,
the swastika is considered to symbolize the
auspicious footprints of the Buddha

 $F_n \pmod{14}$
 $\pi(14) = 48$
 $fn_modulo(14)$

[0, 1, 1, 2, 3, 5, 8, 13, 7, 6, 13, 5, 4, 9, 13, 8, 7, 1, 8, 9, 3, 12, 1, 13, 0, 13, 13, 12, 11, 9, 6, 1, 7, 8, 1, 9, 10, 5, 1, 6, 7, 13, 6, 5, 11, 2, 13, 1]

0	33	90	138	201	242	290
1	40	98	139	210	252	295
2	46	105	152	216	257	306
4	59	106	152	217	258	308
7	64	114	165	224	264	321
12	68	123	178	232	271	322
20	77	126	190	233	284	

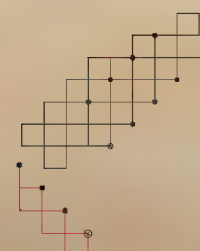
1	3	1	9	7	2
Α	Γ	Α	Θ	Ο	Σ
1	3	1	9	70	200
----->					
"GOOD"					
284					
14					
5					


 $F_n \pmod{15}$
 $\pi(15) = 40$
 $fn_modulo(15)$

[0, 1, 1, 2, 3, 5, 8, 13, 6, 4, 10, 14, 9, 8, 2, 10, 12, 7, 4, 11, 0, 11, 11, 7, 3, 10, 13, 8, 6, 14, 5, 4, 9, 13, 7, 5, 12, 2, 14, 1]

0	20	76	119	162	218	268
1	33	84	130	172	222	270
2	39	86	130	185	231	284
4	43	96	141	193	244	285
7	53	108	152	199	251	
12	67	115	159	213	256	

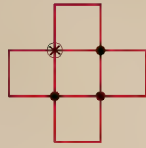
1	3	1	9	7	2
Α	Γ	Α	Θ	Ο	Σ
1	3	1	9	70	200
----->					
"GOOD"					
284					
14					
5					



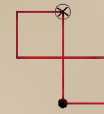
Παρατηρήσεις & Σχολιασμοί

139

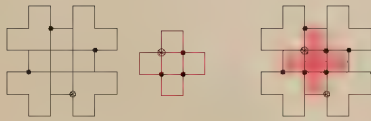
1 3 1 7 2
Α Γ Ι Ο Σ
1 3 10 70 200
"HOLLY"
284
14
5



9 5 7 2
Θ Ε Ο Σ
90 50 70 200
"GOD"
284
14
5

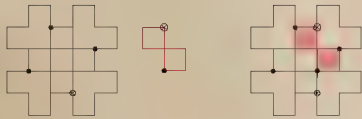


$F_n \pmod{20}$ $fn_modulo(20)$
 $\pi(20) = 60$ [0, 1, 1, 2, 3, 5, 8, 13, 21, 34, 15, 9, 24, 33, 17, 10, 27, 37, 24, 21, 5, 26, 31, 17, 8, 25, 33, 18, 11, 29, 0, 29, 29, 18, 7, 25, 32, 17, 9, 26, 35, 21, 16, 37, 13, 10, 23, 33, 16, 9, 25, 34, 19, 13, 32, 5, 37, 2, 39, 1]



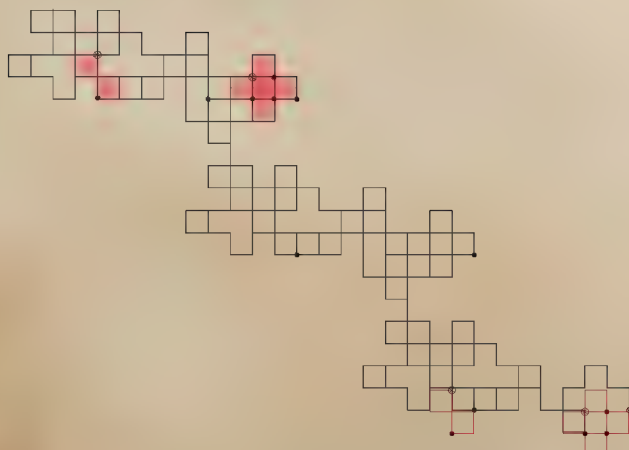
0	34	123	192	266	355	444	538
1	48	140	197	284	356	453	540
2	63	144	210	291	372	458	559
4	72	145	228	296	389	472	560
7	76	150	239	308	402	491	
12	89	156	248	325	412	504	
20	106	167	248	334	415	516	
33	116	184	257	340	428	521	

$F_n \pmod{40}$ $fn_modulo(40)$
 $\pi(40) = 60$ [0, 1, 1, 2, 3, 5, 8, 13, 21, 34, 15, 9, 24, 33, 17, 10, 27, 37, 24, 21, 5, 26, 31, 17, 8, 25, 33, 18, 11, 29, 0, 29, 29, 18, 7, 25, 32, 17, 9, 26, 35, 21, 16, 37, 13, 10, 23, 33, 16, 9, 25, 34, 19, 13, 32, 5, 37, 2, 39, 1]



0	20	136	284	392	508	648	772	904	1036
1	33	169	305	417	537	665	809	913	1041
2	54	186	310	450	566	674	822	938	1078
4	88	196	336	468	584	700	832	972	1080
7	103	223	367	479	591	735	855	991	1119
12	112	260	384	508	616	756	888	1004	1120

$F_n \pmod{45}$ $fn_modulo(45)$
 $\pi(45) = 120$ [0, 1, 1, 2, 3, 5, 8, 13, 21, 34, 10, 44, 9, 8, 17, 25, 42, 22, 19, 41, 15, 11, 26, 37, 18, 10, 28, 38, 21, 14, 35, 4, 39, 43, 37, 35, 27, 17, 44, 16, 15, 31, 1, 32, 33, 20, 8, 28, 36, 19, 10, 29, 39, 23, 17, 40, 12, 7, 19, 26, 0, 26, 26, 7, 33, 40, 28, 23, 6, 29, 35, 19, 9, 28, 37, 20, 12, 32, 44, 31, 30, 16, 1, 17, 18, 35, 8, 43, 6, 4, 10, 14, 24, 38, 17, 10, 27, 37, 19, 11, 30, 41, 26, 22, 3, 25, 28, 8, 36, 44, 35, 34, 24, 13, 37, 5, 42, 2, 44, 1]



1 3 1 7 2
Α Γ Ι Ο Σ
1 3 10 70 200
"HOLLY"
284
14
5

9 5 7 2
Θ Ε Ο Σ
90 50 70 200
"GOD"
284
14
5

0	151	432	763	1044	1285	1566	1852	2088	2374
1	159	442	780	1063	1311	1594	1887	2125	2418
2	176	470	824	1073	1337	1631	1895	2144	2453
4	201	508	840	1102	1344	1651	1938	2155	2487
7	243	529	855	1141	1377	1663	1944	2185	2511
12	265	543	886	1164	1417	1695	1948	2226	2524
20	284	578	887	1181	1445	1739	1958	2252	2561
33	325	582	919	1221	1468	1770	1972	2274	2566
54	340	621	952	1233	1474	1800	1996	2277	2608
88	351	664	972	1240	1503	1816	2034	2302	2610
98	377	701	980	1259	1538	1817	2051	2330	2654
142	414	736	1008	1285	1557	1834	2061	2338	2655

140

14 Αλφάβητα

6 1 7 2
X A O Σ
600 1 70 200
"CHAOS"
871
16
7

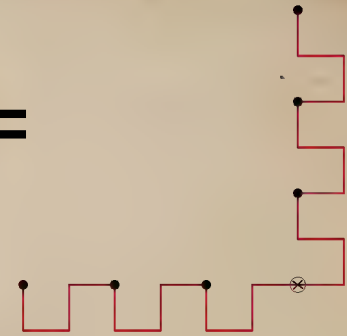


+

5 7 4 2
N O Y Σ
50 70 400 200
"GOD"
720
9



=

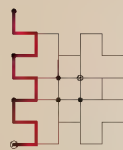
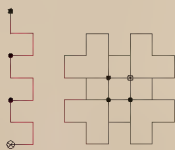
 $F_n \pmod{78}$ $\pi(78) = 168$

fn_modulo(78)

[0, 1, 1, 2, 3, 5, 8, 13, 21, 34, 55, 11, 66, 77, 65, 64, 51, 37, 10, 47, 57, 26, 5, 31, 36, 67, 25, 14, 39, 53, 14, 67, 3, 70, 73, 65, 60, 47, 29, 76, 27, 25, 52, 77, 51, 50, 23, 73, 18, 13, 31, 44, 75, 41, 38, 1, 39, 40, 1, 41, 42, 5, 47, 52, 21, 73, 16, 11, 27, 38, 65, 25, 12, 37, 49, 8, 57, 65, 44, 31, 75, 28, 25, 53, 0, 53, 53, 28, 3, 31, 34, 65, 21, 8, 29, 37, 66, 25, 13, 38, 51, 11, 62, 73, 57, 52, 31, 5, 36, 41, 77, 40, 39, 1, 40, 41, 3, 44, 47, 13, 60, 73, 55, 50, 27, 77, 26, 25, 51, 76, 49, 47, 18, 65, 5, 70, 75, 67, 64, 53, 39, 14, 53, 67, 42, 31, 73, 26, 21, 47, 68, 37, 27, 64, 13, 77, 12, 11, 23, 34, 57, 13, 70, 5, 75, 2, 77, 1]

0	726	1824	2622	3522	4422	5610
1	793	1837	2659	3547	4495	5641
2	818	1868	2708	3560	4550	5714
4	832	1912	2716	3598	4600	5740
7	871	1987	2773	3649	4627	5761
12	924	2028	2838	3660	4704	5808
20	938	2066	2882	3722	4730	5876
33	1005	2067	2913	3795	4755	5913
54	1008	2106	2988	3852	4806	5940
88	1078	2146	3016	3904	4882	6004
143	1151	2147	3041	3935	4931	6017
154	1216	2188	3094	3940	4978	6094
220	1276	2230	3094	3976	4996	6106
297	1323	2235	3147	4017	5061	6117
362	1352	2282	3200	4094	5066	6140
426	1428	2334	3228	4134	5136	6174
477	1455	2355	3231	4173	5211	6231
514	1480	2428	3262	4174	5278	6244
524	1532	2444	3296	4214	5342	6314
571	1609	2455	3361	4255	5395	6319
628	1660	2482	3382	4258	5434	6394
654	1710	2520	3390	4302	5448	6396
659	1733	2585	3419	4349	5501	6473
690	1806	2610	3456	4362	5568	6474

6 1 7 2
X A O Σ
600 1 70 200
"CHAOS"
871
16
7

 $F_n \pmod{74}$ $\pi(74) = 228$

fn_modulo(74)

[0, 1, 1, 2, 3, 5, 8, 13, 21, 34, 55, 15, 70, 11, 7, 18, 25, 43, 68, 37, 31, 68, 25, 19, 44, 63, 33, 22, 55, 3, 58, 61, 45, 32, 3, 35, 38, 73, 37, 36, 73, 35, 34, 69, 29, 24, 53, 3, 56, 59, 41, 26, 67, 19, 12, 31, 43, 0, 43, 43, 12, 55, 67, 48, 41, 15, 56, 71, 53, 50, 29, 5, 34, 39, 73, 38, 37, 1, 38, 39, 3, 42, 45, 13, 58, 71, 55, 52, 33, 11, 44, 55, 25, 6, 31, 37, 68, 31, 25, 56, 7, 63, 70, 59, 55, 40, 21, 61, 8, 69, 3, 72, 1, 73, 0, 73, 73, 72, 71, 69, 66, 61, 53, 40, 19, 59, 4, 63, 67, 56, 49, 31, 6, 37, 43, 6, 49, 55, 30, 11, 41, 52, 19, 71, 16, 13, 29, 42, 71, 39, 36, 1, 37, 38, 1, 39, 40, 5, 45, 50, 21, 71, 18, 15, 33, 48, 7, 55, 62, 43, 31, 0, 31, 31, 62, 19, 7, 26, 33, 59, 18, 3, 21, 24, 45, 69, 40, 35, 1, 36, 37, 73, 36, 35, 71, 32, 29, 61, 16, 3, 19, 22, 41, 63, 30, 19, 49, 68, 43, 37, 6, 43, 49, 18, 67, 11, 4, 15, 19, 34, 53, 13, 66, 5, 71, 2, 73, 1]

0	996	2272	3540	5074	6196	7344
1	999	2343	3547	5111	6203	7347
2	1034	2396	3610	5154	6258	7366
4	1072	2446	3680	5160	6320	7388
7	1145	2475	3739	5209	6363	7429
12	1182	2480	3794	5264	6394	7492
20	1218	2514	3834	5294	6394	7522
33	1291	2553	3855	5305	6425	7541
54	1326	2626	3916	5346	6456	7590
88	1360	2664	3924	5398	6518	7658
143	1429	2701	3993	5417	6537	7701
158	1458	2702	3996	5488	6544	7738
228	1482	2740	4068	5504	6570	7744
239	1535	2779	4069	5517	6603	7787
246	1538	2782	4142	5546	6662	7836
264	1594	2824	4142	5588	6680	7854
289	1653	2869	4215	5659	6683	7921
332	1694	2882	4288	5698	6704	7932
400	1720	2940	4360	5734	6728	7936
437	1787	3011	4431	5735	6773	7951
468	1806	3066	4500	5772	6842	7970
536	1818	3118	4566	5810	6882	8004
561	1849	3151	4627	5811	6917	8057
580	1892	3162	4680	5850	6918	8070
624	1892	3206	4720	5890	6954	8136
687	1935	3261	4739	5895	6991	8141
720	1978	3286	4798	5940	7064	8212
742	1990	3292	4802	5990	7100	8214
797	2045	3323	4865	6011	7135	8287
800	2112	3360	4932	6082	7206	8288
858	2160	3428	4988	6100	7238	
919	2201	3459	5037	6115	7267	
964	2216	3484	5068	6148	7328	

5 7 4 2
N O Y Σ
50 70 400 200
"GOD"
720
9



Παρατηρήσεις & Σχολιασμοί

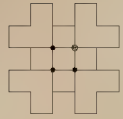
141

$F_n \pmod{96}$

$\pi(96) = 48$

$fn_modulo(96)$

[0, 1, 1, 2, 3, 5, 8, 13, 21, 34, 55, 89, 48, 41, 89, 34, 27, 61, 88, 53, 45, 2, 47, 49, 0, 49, 49, 2, 51, 53, 8, 61, 69, 34, 7, 41, 48, 89, 41, 34, 75, 13, 88, 5, 93, 2, 95, 1]



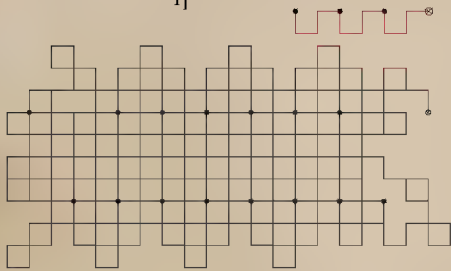
0	88	620	916	1288	1728
1	143	673	967	1377	1823
2	232	718	1020	1418	1824
4	280	720	1028	1452	
7	321	767	1089	1527	
12	410	816	1158	1540	
20	444	816	1192	1628	
33	471	865	1199	1633	
54	532	914	1240	1726	

$F_n \pmod{97}$

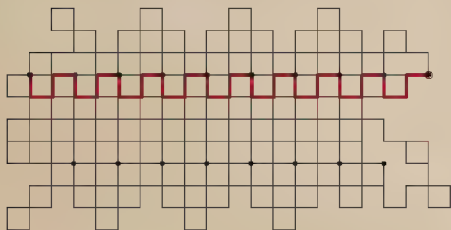
$\pi(97) = 196$

$fn_modulo(97)$

[0, 1, 1, 2, 3, 5, 8, 13, 21, 34, 55, 89, 47, 39, 86, 28, 17, 45, 62, 10, 72, 82, 57, 42, 2, 44, 46, 90, 39, 32, 71, 6, 77, 83, 63, 49, 15, 64, 79, 46, 28, 74, 5, 79, 84, 66, 53, 22, 75, 0, 75, 75, 53, 31, 84, 18, 5, 23, 28, 51, 79, 33, 15, 48, 63, 14, 77, 91, 71, 65, 39, 7, 46, 53, 2, 55, 57, 15, 72, 87, 62, 52, 17, 69, 86, 58, 47, 8, 55, 63, 21, 84, 8, 92, 3, 95, 1, 96, 0, 96, 96, 95, 94, 92, 89, 84, 76, 63, 42, 8, 50, 58, 11, 69, 80, 52, 35, 87, 25, 15, 40, 55, 95, 53, 51, 7, 58, 65, 26, 91, 20, 14, 34, 48, 82, 33, 18, 51, 69, 23, 92, 18, 13, 31, 44, 75, 22, 0, 22, 22, 44, 66, 13, 79, 92, 74, 69, 46, 18, 64, 82, 49, 34, 83, 20, 6, 26, 32, 58, 90, 51, 44, 95, 42, 40, 82, 25, 10, 35, 45, 80, 28, 11, 39, 50, 89, 42, 34, 76, 13, 89, 5, 94, 2, 96, 1]



5 7 4 2
NOYΣ
50 70 400 200
← "G O D"
720
9



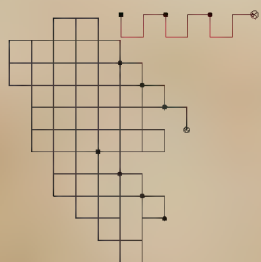
0	1143	2666	4173	6020	7343	8860
1	1149	2681	4265	6071	7417	8902
2	1226	2729	4268	6078	7486	8936
4	1309	2792	4363	6136	7532	9012
7	1372	2806	4364	6201	7550	9025
12	1421	2883	4460	6227	7614	9114
20	1436	2974	4460	6318	7696	9119
33	1500	3045	4556	6338	7745	9213
54	1579	3110	4652	6352	7779	9215
88	1625	3149	4747	6386	7862	9311
143	1653	3156	4841	6434	7882	9312
232	1727	3202	4933	6516	7888	
279	1732	3255	5022	6549	7914	
318	1811	3257	5106	6567	7946	
404	1895	3312	5182	6618	8004	
432	1961	3369	5245	6687	8094	
449	2014	3384	5287	6710	8145	
494	2036	3456	5295	6802	8189	
556	2111	3543	5345	6820	8284	
566	2111	3605	5403	6833	8326	
638	2186	3657	5414	6864	8366	
720	2261	3674	5483	6908	8448	
777	2314	3743	5563	6983	8473	
819	2345	3829	5615	7005	8483	
821	2429	3887	5650	7005	8518	
865	2447	3934	5737	7027	8563	
911	2452	3942	5762	7049	8643	
1001	2475	3997	5777	7093	8671	
1040	2503	4060	5817	7159	8682	
1072	2554	4081	5872	7172	8721	
	2633	4165	5967	7251	8771	

$F_n \pmod{35}$

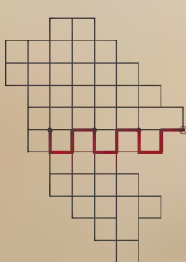
$\pi(35) = 80$

$fn_modulo(35)$

[0, 1, 1, 2, 3, 5, 8, 13, 21, 34, 20, 19, 4, 23, 27, 15, 7, 22, 29, 16, 10, 26, 1, 27, 28, 20, 13, 33, 11, 9, 20, 29, 14, 8, 22, 30, 17, 12, 29, 6, 0, 6, 6, 12, 18, 30, 13, 8, 21, 29, 15, 9, 24, 33, 22, 20, 7, 27, 34, 26, 25, 16, 6, 22, 28, 15, 8, 23, 31, 19, 15, 34, 14, 13, 27, 5, 32, 2, 34, 1]



5 7 4 2
NOYΣ
50 70 400 200
← "G O D"
720
9



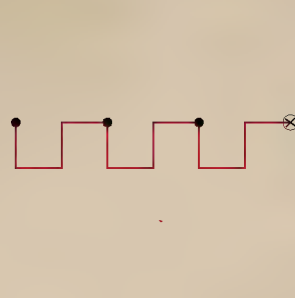
0	131	362	588	749	1020	1251
1	154	382	600	778	1036	1264
2	181	395	629	793	1042	1291
4	196	428	635	802	1064	1296
7	203	439	635	826	1092	1328
12	225	448	641	859	1107	1330
20	254	468	647	881	1115	1364
33	270	497	659	901	1138	1365
54	280	511	677	908	1169	
88	306	519	707	935	1188	
108	307	541	720	969	1203	
127	334	571	728	995	1237	

+	-	-	+
4	1	1	2
Δ	I	A	Σ
4	10	1	200
----->			
"ZEUS"			
215			
8			

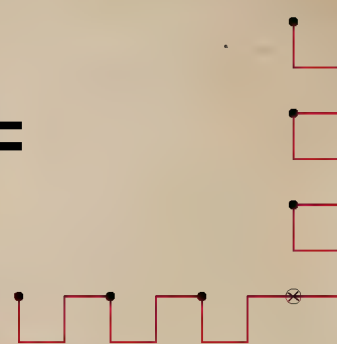


+

-	-	+	+
7	5	4	2
Z	E	Y	Σ
7	5	400	200
----->			
"ZEUS"			
612			
9			

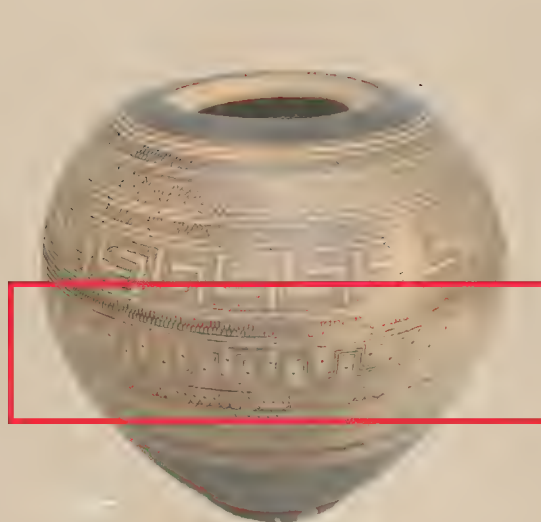


=



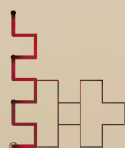
Great pyxis. Holes next to the opening, in order to tie the cover and carry the jug? Rhythmic decoration, ornamentation zones are always separated by three tire lines. Attica, ca. 850 BC. Staatliche Antikensammlungen of Munich. Current location Room 1. A.N. Inv. 6232

Athenian funerary amphora, Late geometric I. The main scene shows the prothesis and mourning for the dead. Over the bier is the shroud. Men, women and a child lament with the hands on their heads in the usual mourning gesture. 760-750 BC. silhouette on terracotta. h. 155 cm. A.N. 804. Place of discovery: Kerameikos cemetery, Athens.



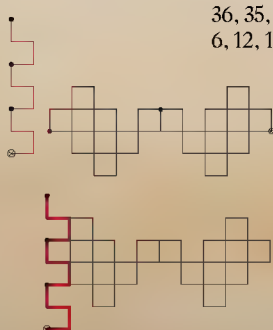
+	-	-	+
4	1	1	2
Δ	I	A	Σ
4	10	1	200
----->			
"ZEUS"			
215			
8			

 $F_n \pmod{10}$
 $\pi(10) = 60$

 $fn_modulo(10)$
 $[0, 1, 1, 2, 3, 5, 8, 3, 1, 4, 5, 9, 4, 3, 7, 0, 7, 7, 4, 1, 5, 6, 1, 7, 8, 5, 3, 8, 1, 9, 0, 9, 9, 8, 7, 5, 2, 7, 9, 6, 5, 1, 6, 7, 3, 0, 3, 3, 6, 9, 5, 4, 9, 3, 2, 5, 7, 2, 9, 1]$


0	46	102	168	224
1	49	107	175	233
2	56	110	184	238
4	56	118	190	242
7	63	119	195	251
12	70	128	196	254
20	74	128	202	256
23	75	137	209	261
24	80	146	212	268
28	86	154	212	270
33	87	161	215	279
42	94	166	218	280

+	-	-	+
4	1	1	2
Δ	I	A	Σ
4	10	1	200
----->			
"ZEUS"			
215			
8			

 $F_n \pmod{37}$
 $\pi(37) = 76$

 $fn_modulo(37)$
 $[0, 1, 1, 2, 3, 5, 8, 13, 21, 34, 18, 15, 33, 11, 7, 18, 25, 6, 31, 0, 31, 31, 25, 19, 7, 26, 33, 22, 18, 3, 21, 24, 8, 32, 3, 35, 1, 36, 0, 36, 36, 35, 34, 32, 29, 24, 16, 3, 19, 22, 4, 26, 30, 19, 12, 31, 6, 0, 6, 6, 12, 18, 30, 11, 4, 15, 19, 34, 16, 13, 29, 5, 34, 2, 36, 1]$

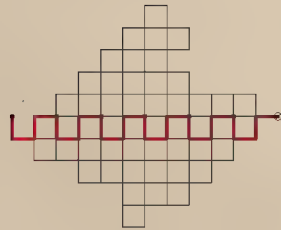
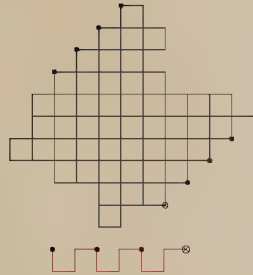
0	215	520	891	1128
1	221	552	913	1143
2	252	555	917	1162
4	252	590	943	1196
7	283	591	973	1212
12	314	627	992	1225
20	339	627	1004	1254
33	358	663	1035	1259
54	365	699	1041	1293
88	391	734	1041	1295
106	424	768	1047	1331
121	446	800	1053	1332
154	464	829	1065	
165	467	853	1083	
172	488	869	1113	
190	512	872	1124	

$F_n \pmod{27}$

$\pi(27) = 72$

$fn_modulo(27)$

[0, 1, 1, 2, 3, 5, 8, 13, 21, 7, 1, 8, 9, 17, 26, 16, 15, 4, 19, 23, 15, 11, 26, 10, 9, 19, 1, 20, 21, 14, 8, 22, 3, 25, 1, 26, 0, 26, 26, 25, 24, 22, 19, 14, 6, 20, 26, 19, 18, 10, 1, 11, 12, 23, 8, 4, 12, 16, 1, 17, 18, 8, 26, 7, 6, 13, 19, 5, 24, 2, 26, 1]



$$\begin{array}{cccc} - & - & + & + \\ 7 & 5 & 4 & 2 \\ Z & E & Y & \Sigma \\ 7 & 5 & 400 & 200 \end{array}$$

$$\xrightarrow{\text{"ZEUS"}} 612$$

$$9$$

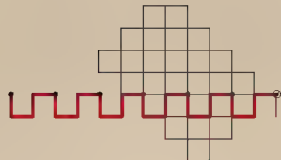
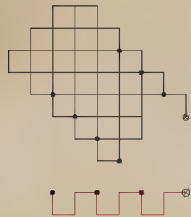
0	79	270	430	675	808
1	96	289	456	685	816
2	122	290	482	686	842
4	138	310	507	697	849
7	153	331	531	709	855
12	157	345	553	732	868
20	176	353	572	740	887
33	199	375	586	744	892
54	214	378	592	756	916
61	225	403	612	772	918
62	251	404	638	773	944
70	261	430	657	790	945

$F_n \pmod{47}$

$\pi(47) = 32$

$fn_modulo(47)$

[0, 1, 1, 2, 3, 5, 8, 13, 21, 34, 8, 42, 3, 45, 1, 46, 0, 46, 46, 45, 44, 42, 39, 34, 26, 13, 39, 5, 44, 2, 46, 1]



$$\begin{array}{cccc} - & - & + & + \\ 7 & 5 & 4 & 2 \\ Z & E & Y & \Sigma \\ 7 & 5 & 400 & 200 \end{array}$$

$$\xleftarrow{\text{"ZEUS"}} 612$$

$$9$$

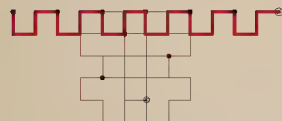
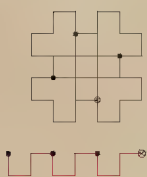
0	141	555
1	186	568
2	187	607
4	233	612
7	233	656
12	279	658
20	325	704
33	370	705
54	414	
88	456	
96	495	
138	529	

$F_n \pmod{52}$

$\pi(52) = 84$

$fn_modulo(52)$

[0, 1, 1, 2, 3, 5, 8, 13, 21, 34, 3, 37, 40, 25, 13, 38, 51, 37, 36, 21, 5, 26, 31, 5, 36, 41, 25, 14, 39, 1, 40, 41, 29, 18, 47, 13, 8, 21, 29, 50, 27, 25, 0, 25, 25, 50, 23, 21, 44, 13, 5, 18, 23, 41, 12, 1, 13, 14, 27, 41, 16, 5, 21, 26, 47, 21, 16, 37, 1, 38, 39, 25, 12, 37, 49, 34, 31, 13, 44, 5, 49, 2, 51, 1]



$$\begin{array}{cccc} - & - & + & + \\ 7 & 5 & 4 & 2 \\ Z & E & Y & \Sigma \\ 7 & 5 & 400 & 200 \end{array}$$

$$\xleftarrow{\text{"ZEUS"}} 612$$

$$9$$

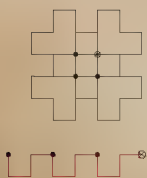
0	206	611	960	1274	1623
1	244	612	985	1288	1648
2	295	652	1010	1315	1660
4	332	693	1060	1356	1697
7	368	722	1083	1372	1746
12	389	740	1104	1377	1780
20	394	787	1148	1398	1811
33	420	800	1161	1424	1824
54	451	808	1166	1471	1868
88	456	829	1184	1492	1873
91	492	858	1207	1508	1922
128	533	908	1248	1545	1924
168	558	935	1260	1546	1975
193	572	960	1261	1584	1976

$F_n \pmod{82}$

$\pi(82) = 120$

$fn_modulo(82)$

[0, 1, 1, 2, 3, 5, 8, 13, 21, 34, 55, 7, 62, 69, 49, 36, 3, 39, 42, 81, 41, 40, 81, 39, 38, 77, 33, 28, 61, 7, 68, 75, 61, 54, 33, 5, 38, 43, 81, 42, 41, 1, 42, 43, 3, 46, 49, 13, 62, 75, 55, 48, 21, 69, 8, 77, 3, 80, 1, 81, 0, 81, 81, 80, 79, 77, 74, 69, 61, 48, 27, 75, 20, 13, 33, 46, 79, 43, 40, 1, 41, 42, 1, 43, 44, 5, 49, 54, 21, 75, 14, 7, 21, 28, 49, 77, 44, 39, 1, 40, 41, 81, 40, 39, 79, 36, 33, 69, 20, 7, 27, 34, 61, 13, 74, 5, 79, 2, 81, 1]

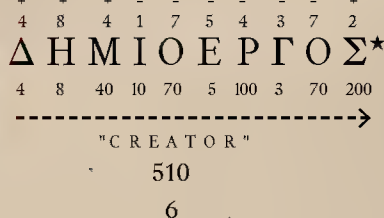
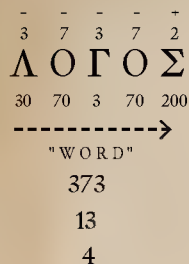
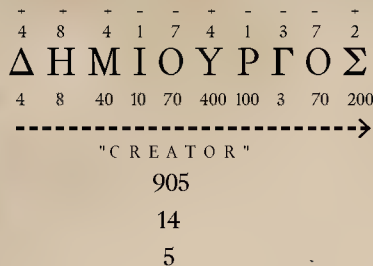
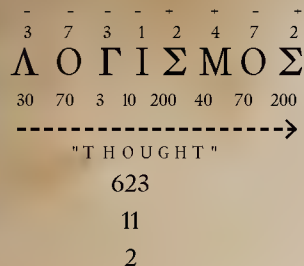


$$\begin{array}{cccc} - & - & + & + \\ 7 & 5 & 4 & 2 \\ Z & E & Y & \Sigma \\ 7 & 5 & 400 & 200 \end{array}$$

$$\xleftarrow{\text{"ZEUS"}} 612$$

$$9$$

0	572	1517	2294	3362	4057
1	612	1518	2375	3404	4138
2	693	1560	2456	3405	4178
4	732	1603	2536	3448	4217
7	770	1606	2615	3492	4296
12	847	1652	2692	3497	4332
20	880	1701	2766	3546	4365
33	908	1714	2835	3600	4434
54	969	1776	2896	3621	4454
88	976	1851	2944	3696	4461
143	1044	1906	2971	3710	4488
150	1119	1954	3046	3717	4522
212	1180	1975	3066	3738	4583
281	1234	2044	3079	3766	4596
330	1267	2052	3112	3815	4670
366	1272	2129	3158	3892	4675
369	1310	2132	3237	3936	4754
408	1353	2212	3280	3975	4756
450	1434	2213	3320	3976	4837
531	1476	2294	3321	4016	4838

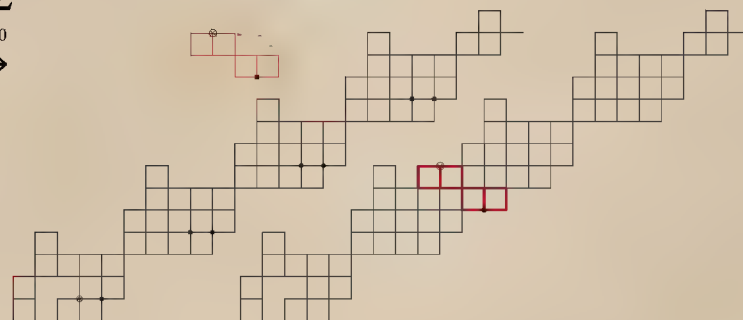
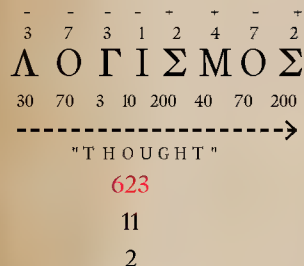


★(Educator & Wallace, 1872, p. 422). Homeric, Epic.

$F_n \pmod{51}$
 $\pi(51) = 72$

$fn_modulo(51)$

[0, 1, 1, 2, 3, 5, 8, 13, 21, 34, 4, 38, 42, 29, 20, 49, 18, 16, 34, 50, 33, 32, 14, 46, 9, 4, 13, 17, 30, 47, 26, 22, 48, 19, 16, 35, 0, 35, 35, 19, 3, 22, 25, 47, 21, 17, 38, 4, 42, 46, 37, 32, 18, 50, 17, 16, 33, 49, 31, 29, 9, 38, 47, 34, 30, 13, 43, 5, 48, 2, 50, 1]

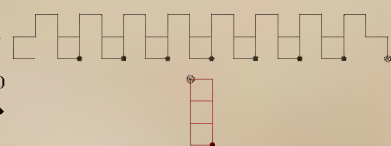


0	172	522	799	1107	1474
1	201	526	834	1153	1512
2	221	539	869	1190	1559
4	270	556	888	1222	1593
7	288	586	891	1240	1623
12	304	633	913	1290	1636
20	338	659	938	1307	1679
33	388	681	985	1323	1684
54	421	729	1006	1356	1732
88	453	748	1023	1405	1734
92	467	764	1061	1436	1784
130	513	799	1065	1465	1785

$F_n \pmod{34}$
 $\pi(34) = 36$

$fn_modulo(34)$

[0, 1, 1, 2, 3, 5, 8, 13, 21, 0, 21, 21, 8, 29, 3, 32, 1, 33, 0, 33, 33, 32, 31, 29, 26, 21, 13, 0, 13, 13, 26, 5, 31, 2, 33, 1]

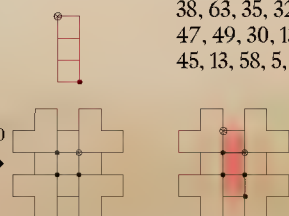


0	54	169	386	508
1	54	202	407	510
2	75	202	420	543
4	96	235	420	544
7	104	268	433	
12	133	300	446	
20	136	331	472	
33	168	360	477	

$F_n \pmod{66}$
 $\pi(66) = 120$

$fn_modulo(66)$

[0, 1, 1, 2, 3, 5, 8, 13, 21, 34, 55, 23, 12, 35, 47, 16, 63, 13, 10, 23, 33, 56, 23, 13, 36, 49, 19, 2, 21, 23, 44, 1, 45, 46, 25, 5, 30, 35, 65, 34, 33, 1, 34, 35, 3, 38, 41, 13, 54, 1, 55, 56, 45, 35, 14, 49, 63, 46, 43, 23, 0, 23, 23, 46, 3, 49, 52, 35, 21, 56, 11, 1, 12, 13, 25, 38, 63, 35, 32, 1, 33, 34, 1, 35, 36, 5, 41, 46, 21, 1, 22, 23, 45, 2, 47, 49, 30, 13, 43, 56, 33, 23, 56, 13, 3, 16, 19, 35, 54, 23, 11, 34, 45, 13, 58, 5, 63, 2, 65, 1]



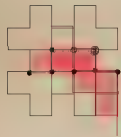
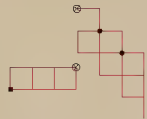
0	362	856	1448	2004	2486	3046
1	385	891	1497	2017	2509	3069
2	418	956	1560	2042	2554	3080
4	474	990	1606	2080	2556	3114
7	497	1023	1649	2143	2603	3159
12	510	1024	1672	2178	2652	3172
20	546	1058	1672	2210	2682	3230
33	595	1093	1695	2211	2695	3235
54	614	1096	1718	2244	2738	3298
88	616	1134	1764	2278	2794	3300
143	637	1175	1767	2279	2827	3365
166	660	1188	1816	2314	2850	3366
178	704	1242	1868	2350	2906	
213	705	1243	1903	2355	2919	
260	750	1298	1924	2396	2922	
276	796	1354	1980	2442	2938	
339	821	1399	1991	2463	2957	
352	826	1434	1992	2464	2992	

$F_n \pmod{86}$

$\pi(86) = 264$

$fn_modulo(86)$

[0, 1, 1, 2, 3, 5, 8, 13, 21, 34, 55, 3, 58, 61, 33, 8, 41, 49, 4, 53, 57, 24, 81, 19, 14, 33, 47, 80, 41, 35, 76, 25, 15, 40, 55, 9, 64, 73, 51, 38, 3, 41, 44, 85, 43, 42, 85, 41, 40, 81, 35, 30, 65, 9, 74, 83, 71, 68, 53, 35, 2, 37, 39, 76, 29, 19, 48, 67, 29, 10, 39, 49, 2, 51, 53, 18, 71, 3, 74, 77, 65, 56, 35, 5, 40, 45, 85, 44, 43, 1, 44, 45, 3, 48, 51, 13, 64, 77, 55, 46, 15, 61, 76, 51, 41, 6, 47, 53, 14, 67, 81, 62, 57, 33, 4, 37, 41, 78, 33, 25, 58, 83, 55, 52, 21, 73, 8, 81, 3, 84, 1, 85, 0, 85, 85, 84, 83, 81, 78, 73, 65, 52, 31, 83, 28, 25, 53, 78, 45, 37, 82, 33, 29, 62, 5, 67, 72, 53, 39, 6, 45, 51, 10, 61, 71, 46, 31, 77, 22, 13, 35, 48, 83, 45, 42, 1, 43, 44, 1, 45, 46, 5, 51, 56, 21, 77, 12, 3, 15, 18, 33, 51, 84, 49, 47, 10, 57, 67, 38, 19, 57, 76, 47, 37, 84, 35, 33, 68, 15, 83, 12, 9, 21, 30, 51, 81, 46, 41, 1, 42, 43, 85, 42, 41, 83, 38, 35, 73, 22, 9, 31, 40, 71, 25, 10, 35, 45, 80, 39, 33, 72, 19, 5, 24, 29, 53, 82, 49, 45, 8, 53, 61, 28, 3, 31, 34, 65, 13, 78, 5, 83, 2, 85, 1]



$\begin{matrix} + & + & + & - & - & - & - & - & + \\ 4 & 8 & 4 & 1 & 7 & 5 & 4 & 3 & 7 & 2 \end{matrix}$
 $\Delta \text{ H M I O E P T O } \Sigma$
 $\begin{matrix} 4 & 8 & 40 & 10 & 70 & 5 & 100 & 3 & 70 & 200 \end{matrix}$
 $\leftarrow \text{--- CREATOR ---}$

510

6

0	1040	2608	4016	5502	7300	8570	10000
1	1095	2675	4031	5587	7331	8589	10071
2	1104	2704	4092	5672	7408	8646	10096
4	1168	2714	4168	5756	7430	8722	10106
7	1241	2753	4219	5839	7443	8769	10141
12	1292	2802	4260	5920	7478	8806	10186
20	1330	2804	4266	5998	7526	8890	10266
33	1333	2855	4313	6071	7609	8925	10305
54	1374	2908	4366	6136	7654	8958	10338
88	1418	2926	4380	6188	7696	9026	10410
143	1503	2997	4447	6219	7697	9041	10429
146	1546	3000	4528	6302	7740	9124	10434
204	1588	3074	4590	6330	7784	9136	10458
265	1673	3151	4647	6355	7785	9145	10487
298	1714	3216	4680	6408	7830	9166	10540
306	1754	3272	4684	6486	7876	9196	10622
347	1835	3307	4721	6531	7881	9247	10671
396	1870	3312	4762	6568	7932	9328	10716
400	1900	3352	4840	6650	7988	9374	10724
453	1965	3397	4873	6683	8009	9415	10777
510	1974	3482	4898	6712	8086	9416	10838
534	2048	3526	4956	6774	8098	9458	10866
615	2131	3569	5039	6779	8101	9501	10869
634	2202	3570	5094	6846	8116	9586	10900
648	2270	3614	5146	6918	8134	9628	10934
681	2323	3659	5167	6971	8167	9669	10999
728	2358	3662	5240	7010	8218	9752	11012
808	2360	3710	5248	7016	8302	9790	11090
849	2397	3761	5329	7061	8351	9825	11095
884	2436	3774	5332	7112	8398	9898	11178
960	2512	3838	5416	7122	8408	9920	11180
985	2541	3915	5417	7183	8465	9929	11265
1000	2560	3970	5502	7254	8532	9960	11266

Ε έρευνα δεν αποδέχεται όλες τις λέξεις ως προϊόντα των διερευνήσεων της πραγματικότητας. Αυτό γίνεται πληρέστερα κατανοητό, αν αναλογιστεί κάποιος την γλώσσα ως μία αχανή πόλη και τα κτήρια της ως -ταυτόσημες ή διαφορετικές- λέξεις. Στην πόλη αυτή εντοπίζονται αφενός μεν διακριτά κτήρια/σύμβολα και μνημεία, αφετέρου δε συναντώνται λιτές κατοικίες σε συνοικίες χαμηλών κοινωνικών τάξεων ή αυτοσχέδιες παράγκες. Αυτό το παράδειγμα τέθηκε επειδή υπάρχουν διαφορετικοί μηχανισμοί παραγωγής κτηριακών μονάδων -ως μέρη συνόλων- που εξυπηρετούν τις κοινωνικές ανάγκες των ατόμων και οργανώνουν τις βασικές λειτουργίες της πόλης.³⁰¹

Η κατοίκηση αποτελεί μία βασική οικιστική χρήση που άλλοτε επιλέγεται ένας κατ' ολοκληρίαν αρχιτεκτονικός σχεδιασμός και άλλοτε σε περιπτώσεις χαοτικής και αχανούς δόμησης το αρχιτεκτονικό σχέδιο απουσιάζει. Στον αντίποδα, σε άλλες χρήσεις γης μείζονος σημασίας και ζωτικότητας για την πόλη, λ.χ. εκπαίδευση, περίθαλψη, πρόνοια, υγεία, υπηρεσίες, θρησκευτικές κ.ο.κ., μια ερμηνεία της ιδέας της εκπαίδευσης, της θρησκείας, της περίθαλψης αυτών προαπαιτεί την απόδοση μιας ξεχωριστής ταυτότητας σε σχέση με τον τυπικό σχεδιασμό της κατοίκησης και συνθέτει μια ερμηνεία της ιδέας της εκπαίδευσης, της θρησκείας, της περίθαλψης κτλ.³⁰² Έτσι, στην περίπτωση της κατοίκησης, συνεχώς ανεγείρονται κτήρια κατοικιών σε αυτήν την αχανή πόλη, επομένως, βάσει της παρομοίωσης παράγονται νέες λέξεις δίχως κάποια εποπτεία. Για την πόλη, σε πρώτο επίπεδο, δηλαδή πριν τη δημιουργία της, ίσως υπήρχε κάποιο πολεοδομικό σχέδιο, ωστόσο στο πέρασμα του χρόνου χάθηκε, λόγω της συνεχούς οικιστικής ανάπτυξης που δεν ήταν δυνατό να προβλεφθεί (λ.χ. η πόλη της Κωνσταντινούπολης).

Αναλόγως σε ορισμένες λέξεις ως προϊόντα μίας έλλογης διαδικασίας, φαίνεται εκ πρώτης όψεως η πρόβλεψη ενός συμμετρικού γεωμετρικού σχεδίου (ισοσκελές τραπέζιο, ισοσκελές και ισόπλευρο τρίγωνο, πεντάγραμμος αστέρας), το οποίο τους προσδίδει μία γεωμετρική ταυτότητα. Το γεγονός αυτό ίσως υπήρξε μία προσωπική ερμηνευτική προσπάθεια των εκάστοτε μελετητών μιας δεδομένης εποχής κάτω από ορισμένες πολιτικοφιλοσοφικοθεολογικές πεποιθήσεις· εν πλήρη συναρτήσει με τις γνώσεις τους περί μαθηματικών,

γεωμετρίας, αστρονομίας, μουσικής και αριθμολογίας, αφού «Ὁ Πλάτων λέγει, ὅτι [...] τὰ ἀντικείμενα πού μᾶς περιβάλλουν, ὡς καὶ αἱ αἰτίαι αὐτῶν, εἶναι ἀριθμοί, ἀλλ' ὅτι αἰτίαι εἶναι οἱ νοητοὶ ἀριθμοί, αἰσθησιακοὶ δὲ οἱ περιβάλλοντες ἡμᾶς τοιοῦτοι»³⁰³ Αριστοτέλης, *Μετά τα Φυσικά*, Βιβλίο Α'. 8. 990a[35-38].

«Και μπορείς να δεις τη φύση και τη δύναμη του αριθμού όχι μόνο στα δαιμονικά και θεϊκά πράγματα, αλλά και σε όλα τα ανθρώπινα έργα και λόγια, τόσο στα τεχνικά όσο και στα μουσικά έργα. Η φύση του αριθμού και της αρμονίας δεν επιδέχεται κανένα σφάλμα.»³⁰⁴ Φιλόλαος. *Στοβαίου Ανθολόγιο*, 1. σ. 316. απ. Β 11, Diels.

«Καμία τέχνη δεν προκύπτει χωρίς αναλογία και η αναλογία βρίσκεται στον αριθμό. Η κάθε τέχνη προκύπτει μέσω του αριθμού... Άρα υπάρχει κάποια αναλογία στη γλυπτική και επίσης κάποια στη ζωγραφική, εξαιτίας της οποίας επιτυγχάνεται ομοιότητα και απαραλλαξία. Γενικά μιλώντας, κάθε τέχνη είναι ένα καταλήπτο σύστημα και το κάθε σύστημα είναι ένας αριθμός. Έτσι, κάποιος μπορεί να πει ότι "τα πράγματα φαίνονται ωραία εξαιτίας του αριθμού," που σημαίνει εξαιτίας του κριτικού και ομοιογενούς λόγου, ο οποίος σχετίζεται με τους αριθμούς, τις αρχές όλων των πραγμάτων. Αυτά υποστηρίζουν οι Πυθαγόρειοι.»³⁰⁵ Πυθαγόρειοι, Σέξτου Εμπειρικού, *Προς Μαθηματικούς*, 7 106.

Γεωμετρική Αναλογία > Αριθμητικό Κλάσμα > Αριθμός

«Η τελειότητα εξαρτάται από πολλές αριθμητικές σχέσεις σημαντικό ρόλο παίζουν οι μικρές παραλλαγές.»³⁰⁶ Πολύκλειτος. Φίλωνας ο Βυζάντιος, Βιβλίο 1, σ. 49, 20. απ. Β2 Diels

Εκ της προσπάθειας αυτής **ίσως επιχειρείται συμπίκνωση ορισμένων στοιχείων/πληροφοριών**. Κατά κάποιο τρόπο περιγράφεται η φύση του αντικειμένου/πράγματος μέσω των γωνιών, των αναλογιών των τμημάτων και των σχηματικών απεικονίσεων και φαίνεται ότι αλληλλο-συσχετίζεται με άλλες συναφείς λέξεις και πλησίον του νοήματος τους. Σχετικές πληροφορίες παρατίθενται στο κεφάλαιο «14 Αλφάβητα. Παραδείγματα ανά ζεύγη λέξεων.»

301 (Βλαστός, et al., 2007, σ. 30-36). Οι κοινωνικές ανάγκες ψυχοσωματικές, οικονομικές, πνευματικές, θρησκευτικές- ως πρωταρχική κινη-τήρια δύναμη σύστασης της πόλης. Οι βασικές λειτουργίες της πόλης -οικονομική, διοικητική, πνευματική, κοινωνική, τουριστική, συγκοινωνιακή- οργανώνουν οικιστικές ζώνες ως πρώτα κριτήρια χωροθέτησης..

302 (Schroeder, 2022, σ. 6); (Carmona, 2001/2002, σ. 63)

303 (Αριστοτέλης, 1975, σ. 73). Ο Πλάτων διακρίνει τους νοητούς αριθμούς από τους αισθησιακούς, δηλ. από τα προσπίπτοντα στην αίσθηση αντικείμενα.

304 (Πέτρου, 2011, σ. 186-187)

305 (Πέτρου, 2011, σ. 186-189)

306 (Πέτρου, 2011, σ. 160-161)



(Bellos, 2014). In this work, Christian Vasile converted π into base 16. The sixteen segments around the circle represent the 16 digits of this base. He then traced π for 3600 digits, going from segment to segment based on the value of the digit.



Color Sphere in 7 Light Values and 12 Tones (Farbenkugel in 7 Lichtstufen und 12 Tönen). 1921. By Johannes Itten (1888-1967, Swiss expressionist painter, designer, teacher, writer and theorist associated with the Bauhaus (Staatliches Bauhaus) school). Lithograph ; 47,3 x 31,9 cm (sheet). Utopia-Verlag, Weimar (Publisher). Obj, Num. 93.2011 Museum of Modern Art, New York.

Επιπροσθέτως, στην μουσική παρατηρείται ότι, κατά την αναγωγή μουσικών κλίμακων σε κύκλους με τις 12 νότες δημιουργούνται αρμονικά σχήματα. Βέβαια, αυτή η σύμπτωση παρατηρήθηκε από τον άνθρωπο εκ των υστέρων, αφού ανακαλύφθηκε η γεωμετρία σε μία δεδομένη στιγμή. Συνεπώς, συνάγεται ότι το τείνον στην ευμορφία ακουστικά, οπτικά και συνειρμικά (λέξεις) συνήθως συνδέεται με την αρμονία και την συμμετρία. Οπτικά λέγοντας από το όμορφο αποτέλεσμα της αναγωγής του Johannes Itten των 7 χρωμάτων και 12 τόνων τους. Σε αυτό το σημείο πρέπει να αναφερθεί ότι το ανθρώπινο μάτι αντιλαμβάνεται μία απειροελάχιστη γκάμα ηλεκτρομαγνητικών κυμάτων - το λεγόμενο «ορατό φως», με συχνότητες από 430 (ερυθρό) - 770 THz (ιώδες).³⁰⁷ Από αυτή τη γκάμα οργανώνονται τα 3 βασικά χρώματα (τριμέρεια) κόκκινο - κίτρινο - μπλε. Έτσι, εύλογα κάποιος μπορεί να αναρωτηθεί το ακόλουθο:

Μήπως αποτελεί μία σιωπηρή και συνάμα διακριτική

υπογραφή των σχεδιαστών (όχι μυστικιστών, αλλά επιστημόνων της εποχής); ή στην περίπτωση της μουσικής -που απλώς ανακαλύφθηκε- ενός δημιουργού ή δημιουργών (περίπτωση θεολογικών προεκτάσεων); Ο ισχυρισμός για την μουσική ότι απλώς ανακαλύφθηκε βασίζεται στην μετάφραση συχνοτήτων σε μουσικούς φθόγγους. Οι συχνότητες αυτές ανιχνεύονται από ένα ανθρώπινο αυτί στο εύρος 20 - 20,000 Hz, διακρίνοντας 280 διαφορετικές στάθμες και 1400 συχνότητες.³⁰⁸

«Η αφανής αρμονία είναι δυνατότερη από την αφανή.»³⁰⁹
 «Αρμονική άφανης φανερώς κρείττων.» Ηράκλειτος.
 Ιππολύτου Έλεγχος, 9, 9, απ. B51 Diels.

«Εάν δε τούτο οφείλεται εις το ότι τα γήινα όντα είναι σχέσεις αριθμών καθώς, επί παραδείγματι, η (μουσική) αρμονία, είναι φανερόν, ότι υπάρχει κάτι, του οποίου οι σχέσεις είναι οι αριθμοί. Εάν υφίσταται τοιούτον τι, τουτέστιν η ύλη, αυτοί καθ' εαυτούς οι αριθμοί θα είναι προφανώς η σχέσις του ενός προς τον έτερον.»³¹⁰ Αριστοτέλης, Μετά τα Φυσικά, Βιβλίο Α' 9. 991b[15-19]

★ <u>Octave name</u> Frequency (Hz)	Do	Do#	Re	Re#	Mi	Fa	Fa#	Sol	Sol#	La	La#	Ti
	C	C#	D	D#	E	F	F#	G	G#	A	A#	B
Subcontra (Hz)										A0 ~28	A#0 ~29	B0 ~31
Contra (Hz)	C1 ~33	C#1 ~35	D1 ~37	D#1 ~39	E1 ~41	F1 ~44	F#1 ~46	G1 ~49	G#1 ~52	A1 55	A#1 ~58	B1 ~62
Great (Hz)	C2 ~65	C#2 ~69	D2 ~73	D#2 ~78	E2 ~82	F2 ~87	F#2 ~92	G2 ~98	G#2 ~104	A2 110	A#2 ~117	B2 ~123
Small (Hz)	C3 ~131	C#3 ~139	D3 ~147	D#3 ~156	E3 ~165	F3 ~175	F#3 ~185	G3 ~196	G#3 ~208	A3 220	A#3 ~233	B3 ~247
One-lined (Hz)	C4 ~262	C#4 ~277	D4 ~294	D#4 ~311	E4 ~330	F4 ~349	F#4 ~370	G4 ~392	G#4 ~415	A4 440	A#4 ~466	B4 ~494
Two-lined (Hz)	C5 ~523	C#5 ~554	D5 ~587	D#5 ~622	E5 ~659	F5 ~698	F#5 ~740	G5 ~784	G#5 ~831	A5 880	A#5 ~932	B5 ~988
Three-lined (Hz)	C6 ~1047	C#6 ~1109	D6 ~1175	D#6 ~1245	E6 ~1319	F6 ~1397	F#6 ~1480	G6 ~1568	G#6 ~1661	A6 1760	A#6 ~1865	B6 ~1976
Four-lined (Hz)	C7 ~2093	C#7 ~2217	D7 ~2349	D#7 ~2489	E7 ~2637	F7 ~2794	F#7 ~2960	G7 ~3136	G#7 ~3322	A7 3520	A#7 ~3729	B7 ~3951
Five-lined (Hz)	C8 ~4186	C#8 ~4435	D8 ~4699	D#8 ~4978	E8 ~5274	F8 ~5588	F#8 ~5920	G8 ~6272	G#8 ~6645	A8 7040	A#8 ~7459	B8 ~7902

★ (Szynalski, Tomasz P., 2011); πρβ (A (Musical Note), n.d.)

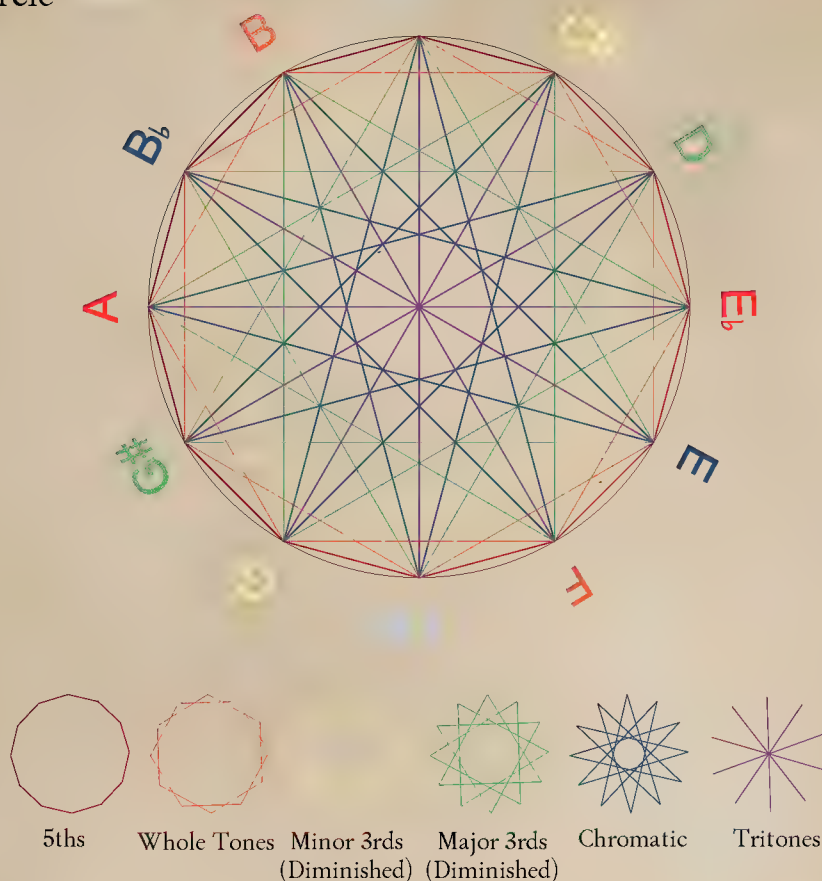
307 (Akinshin, 2019, σ. 580)

308 (Ομάδα Ψηφιακής Ακουστικής, n.d.); πρβ (Akinshin, 2019, σ. 580)

309 (Πέτρου, 2011, σ. 196-197)

310 (Αριστοτέλης, 1975, σ. 78-79)

Chromatic Circle



Chromatic Circle† ; Diagram ; Music is a system of relationships, these being the harmonic intervals between notes and the combination of these intervals to create melodies and harmonies‡ :

"The 2 Hexagons correspond to the 2 possible tone scales:

{C, D, E, F#, G#, A#}, {C#, D#, F, G, A, B}, because each note in the scale is 2 semitones, one whole, apart.

The 3 Squares correspond to the 3 possible diminished 7th chords:

{C, E, F#, A}, {C#, E, G, B}, {D, F, A, B}

The 4 triangles represent the 4 possible augmented triads which contain 3 notes each.

{C, E, G#}, {C#, F, A}, {D, F#, B}, {E, G, B}

Five is the first prime number that doesn't share any

factors with 12. Five semitones doesn't make a perfect fifth, but rather a perfect fourth. The perfect 4th and 5th are equivalent intervals: the circle of 5ths can also be thought of as the circle of 4ths, but in reverse order. This is also strengthened by the fact the total of 12 semitones minus 5 semitones is 7 semitones, which is the interval of the perfect 5th. So, jumping by 5 or 7 lead to the chromatic circle of 5ths.

Doing so by the number between them, Six creates 6 biangles, which represent the 6 possible pairs of tritones.

Anything higher than 6 already has an equivalent jump: {5, 7} are equivalent as are {4, 8}, {3, 9}, {2, 10}, {1, 11}. So, we have reached our conclusion: There is only 2 sequences of every note separate by a constant interval: (a) The Chromatic Scale {1, 11}, and (b) The Circle of Fifths {5, 7}. However, this only applies to our current tuning system, which divides an octave into 12 equal pieces."†

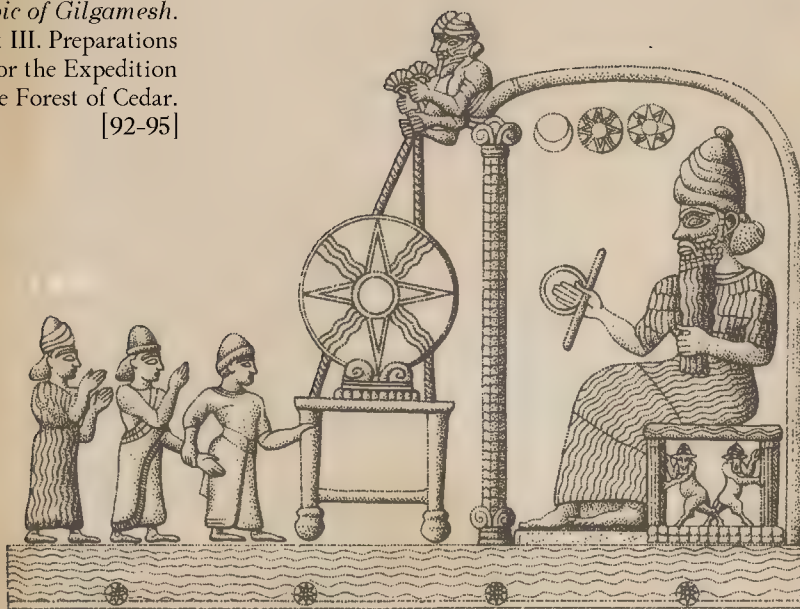
‡ (Majidi & Farshchi, 2018, σ. 13230)

† (Polychoron Productions, 2021)

Κάποια προσωπικά σχόλια περί της μελέτης των πολιτισμών επί παντός επιστητού αφορούν:

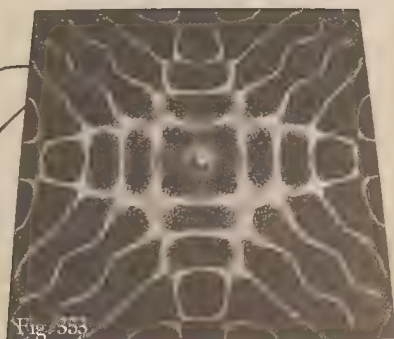
"Let rise thirteen winds
and Humbaba's face
darken,
let the weapons of
Gilgamesh then reach
Humbaba!"
After your very own
fires are kindled,
at that time, O
Shamash, turn your
face to the supplicant."
The Epic of Gilgamesh.
Tablet III. Preparations
for the Expedition
to the Forest of Cedar.
[92-95]

(α) το αστέρι του 'Shamash' της Μεσοποταμίας. Στην ταμπλέτα του Θεού ήλιου -Shamash- (υπ' αριθμόν 91000³¹¹) που βρέθηκε στο Sippar του Iraq τον 9^ο αι. π.Χ. απεικονίζεται ένα σύμβολο, το οποίο μέσα από το πείραμα 'Chladni Plates' ομοιάζει σαν να ταυτίζεται με την συχνότητα 3,835Hz κατά τη σχηματική απεικόνιση της.³¹² Στην μουσική, η συχνότητα αυτή είναι μεταξύ της Λα#7 ή Α#7/Bb7 (3,729.31Hz) και Σι7 ή Β7 (3,951.07Hz).³¹³



(The Sun God Tablet, n.d.). Limestone tablet, The Sun God Tablet: the scene sculptured in relief at the head of the tablet represents Nabu-aplu-iddina being led by the priest Nabu-nadin-shum and the goddess Aa into the presence of the Sun-god, who is seated within Ebabbara. Before the god is the solar disc, resting upon an altar which is supported by ropes held by attendant deities, whose bodies spring from the roof of the shrine. In the field above the Sun-god, and within the shrine, are a lunar disc, a solar disc and an eight-pointed star, the symbols of Sin, Shamash (Šamaš) and Ishtar. The god wears a horned headdress and carries the ringed rod in his right hand. The shrine is represented as resting on the heavenly ocean. 860BC-850BC. Middle East, Iraq, Sippar. M.N. 91000. The British Museum

3835Hz. Chladni Plates



Demonstrating Resonance with Chladni Figures - Christmas Lectures with Charles Taylor.

Για την ιστορία, στο πείραμα 'Chladni Plates'³¹⁴ χρησιμοποιήθηκε ένας οδηγός κύματος, μια μεταλλική πλάκα προσαρτημένη στον οδηγό και κόκκοι άμμου, οι οποίοι πάλλονται σύμφωνα με μία καθορισμένη συχνότητα. Η συχνότητα δονεί τη μεταλλική πλάκα με τέτοιο τρόπο

ώστε στην επιφάνεια δημιουργούνται περιοχές αραιώσεων και πυκνώσεων μεταξύ των κόκκων της άμμου. Έτσι, παράγονται όμορφα γεωμετρικά μοτίβα: καθώς η συχνότητα αυξάνεται σε κλίμακα, τα μοτίβα γίνονται πιο πολυσύνθετα.

Ο Charles Taylor, Καναδός φιλόσοφος, επανέλαβε το πείραμα σε μία μεταλλική πλάκα με ένα δοξάρι και άμμο, παράγοντας έναν συγκεκριμένο ήχο (συχνότητα), προκειμένου να δείξει την εφαρμογή του πειράματος με διάφορα όργανα στο ακροατήριο του.³¹⁵ Στην περίπτωση της Μεσοποταμίας είναι πολύ πιθανό να



γινόντουσαν ανάλογες διερευνήσεις καθότι υπήρχαν λύρες-έγχορδα μουσικά όργανα-, κύμβαλα κ.ο.κ.³¹⁶ Στη συνέχεια, οι διερευνήσεις αυτές πιθανώς μετεγγράφονταν σε σύμβολα, στην αρχιτεκτονική, στην τέχνη ως κατακτήσεις μακρόχρονης κοπιώδους μελέτης, βάζοντας ένα μικρό λιθαράκι στην πολιτισμική κληρονομιά, επειδή ο συγκεκριμένος ήχος θα μπορούσε να σήμαινε κάτι για το μυστικιστικό πνεύμα της Ανατολής. Όπως συμβαίνει σήμερα με την σημασία που δίδεται από τους μουσικούς για τη συχνότητα 432Hz,³¹⁷ χωρίς να υποβόσκει κάποιο θέμα μυστικισμού.

311 ("tablet 91000 | British Museum," n.d.)

312 ("Amazing Resonance Experiment!," 2013). 1:37

313 ("Frequencies of Musical Notes, A4 440 Hz," 2019)

314 (Olmsted, 1867, σ. 178-179). Ο Γερμανός επιστήμονας Ernst Chladni ήταν ένας από τους πρωτοπόρους της πειραματικής ακουστικής. Η έρευνά του για διάφορα είδη δονήσεων χρησίμευσε ως βάση για την επιστημονική κατανόηση του ήχου που εμφανίστηκε αργότερα τον 19ο αι. μ.Χ.

315 ("Demonstrating Resonance with Chladni Figures - Christmas Lectures with Charles Taylor," 2019)

316 (Galpin, 1937, σ. 59-69)

317 (Calamassi & Pomponi, 2019). "The current reference frequency for tuning musical instruments is 440 Hz. Some theorists and musicians claim that the 432 Hz tuning has better effects on the human body, but there are no scientific studies that support this hypothesis."

(β) ανάλογη σύμπτωση εντοπίζεται στο σύμβολο 'Chakana' που ομοιάζει ότι αντιστοιχίζεται στα 4,840Hz ανάμεσα σε Pe8 ή D8 (4,698.63Hz) και Pe#8 ή D#8/Eb8 (4,978.03Hz). Το σύμβολο υποδηλώνει το «Σταυρό του Νότου» και του «3 Στύλους του Κόσμου» των Incas, ενώ η εμφάνιση του χάνεται στα βάθη των αιώνων.³¹⁸

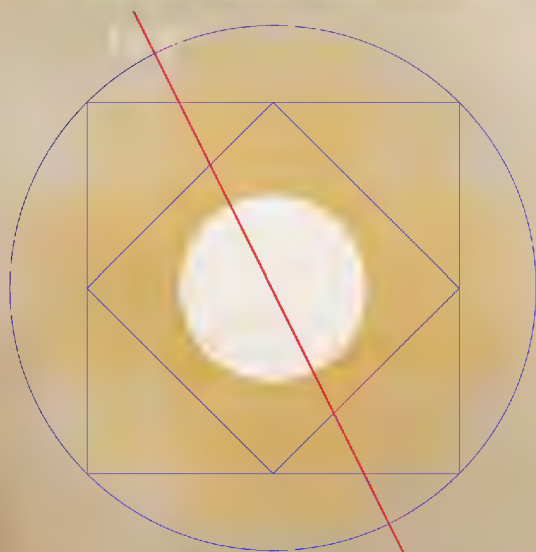
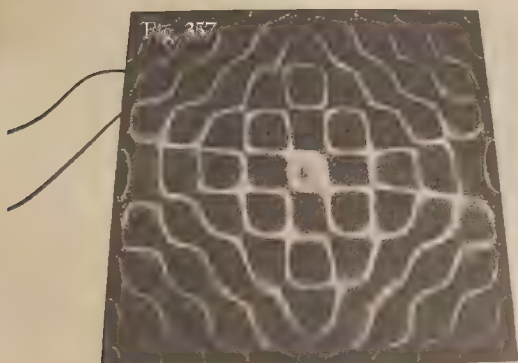


Close up of the Chakana or Andean Cross in the Inca archaeological temple of the Chosen Virgins, Moon Island, Bolivia.



The Chakana Cross & The sacred infinity spiral. Inca Symbol. Lima, Peru.

4840Hz, Chladni Plates



Chakana. Construction method

(γ) μία πιθανή άλλη μετεγγραφή των προκατακτητικών Μεσοαμερικανικών εδαφών της προεπιστημονικής ανάπτυξης του τομέα της ιατρικής τους στην τέχνη απαντάται στις τελετουργικές μάσκες και σε απεικονίσεις των προσώπων.

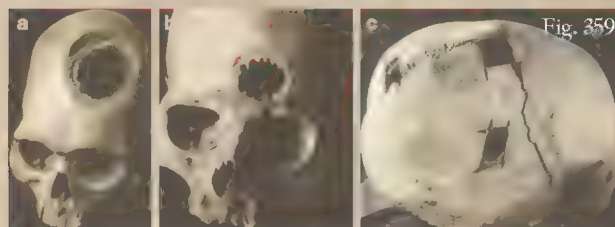
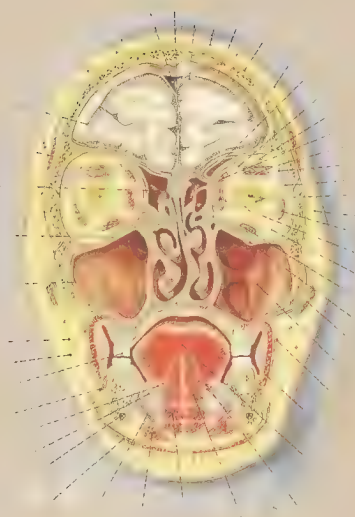


Fig. 359

Πιο συγκεκριμένα, η πρόσθια άποψη της μετωπιαίας διατομή της κεφαλής ενός μεσήλικα στο επίπεδο του 2ου άνω γομφίου ομοιάζει με αυτές τις απεικονίσεις.



Oral cavity, Vavitas oris; maxillary sinus, Sinus maxillaris; orbit, Orbita; cranial cavity, Cavitas cranii; frontal section through the head of a 48-year-old male at the level of the second upper molar; the oral cavity, the maxillary sinus and the cranial cavity have been exposed; ventral vie.



Different trepanation techniques. Courtesy: Fernández Díaz-Formentí, J.M

Depicts predominant areas of civilizations and of prescientific development



Brasero Tlaloc (Aztec god of rain) stone sculpture, Museo del Templo Mayor, Mexico City



Vessel with mask of Tlaloc c1440-1469. Fired clay and paint, 35 x 32 x 32cm Tlaloc was the Aztec god of rain whose image was widely used to decorate drinking and water-carrying vessels. Museo del Templo Mayor, Mexico City. Photo: Michel Zabe

318 ("Chakana," n.d.). Το Chakana συναντάται στον οβελίσκο 'Tello' (800 π.Χ.) που ανακαλύφθηκε από τον περουβιανό αρχαιολόγο Julio C. Tello

Ίσως, ως το αποτέλεσμα επισταμένης μελέτης της ανατομίας του ανθρώπινου κρανίου ενέπνευσε έναν σχεδιαστή της εποχής καθότι, ως γνωστόν, οι ασχολούντες με τη τέχνη ήταν πολυμαθείς. Η παρατήρηση στηρίζεται στο εκτιθέμενο σύνολο σε αριθμό 15,000 κρανίων του Εθνικού Μουσείου Ανθρωπολογίας και Αρχαιολογίας του Περού, μέσω των οποίων διαπιστώνονται οι νευροχειρουργικές επεμβάσεις. Μερικοί από τους λόγους των κρανιοτομών συνοψίζονται σε τραύματα, κατάγματα, ασθένειες του κρανίου, επιληψία για την απελευθέρωση κακών πνευμάτων, πονοκεφάλους, ψυχικές ασθένειες, ενώ αποδίδεται και σε ορισμένες τελετουργίες.³¹⁹

Επισημαίνεται ότι **οι πολιτισμοί αυτοί ως γνωστόν είχαν άμεση σχέση με την μυσταγωγία, την μουσική και την γεωμετρία**. Συνεπώς, είτε είχαν διεξαχθεί ανάλογες μελέτες με ανάλογα αποτελέσματα³²⁰ που μεταφράστηκαν βάσει της δικής τους φιλοσοφίας οι νότες³²¹ σε σχήματα είτε ταυτίζονται κατά σύμπτωση, επειδή οι δομές της φύσης είναι παρεμφερείς.

Συσχετίζοντας με τις παρεμφερείς δομές που απαντώνται στη φύση, κατατίθεται αυτολεξεί ένα άλλο **πείραμα** του πανεπιστημίου Cornell της Νέας Υόρκης των Η.Π.Α., **το οποίο αναφέρεται στην αλληλεπίδραση ήχου και νερού**.

"A 'star drop' refers to the patterns created when a drop, flattened by some force, is excited into shape mode oscillations. These patterns are perhaps best understood as the two-dimensional analog to the more common three-dimensional shape mode oscillations. In this fluid dynamics video, an ultrasonic standing wave was used to levitate a liquid drop. The drop was then flattened into a disk by increasing the field strength. This flattened drop was then excited to create star drop patterns by exciting the drop at its resonance frequency. Different oscillatory modes were induced by varying the drop radius, fluid properties, and frequency at which the field strength was modulated."³²²

"The screenshots are from this video. arXiv:1310.2967v2 In it they do something amazing. They play the resonant frequency of the levitated drop of water, and it flattens into a disk (circle). Then they modulate it's strength at it's second harmonic (octave), and it becomes elongated like an oval. This oval, however, is also alternating / oscillating just like the rope mentioned before does. The ends move

together and the sides move apart, forming new ends so that it's like a fat "plus symbol", but with only one oval visible at a time, at the peak of each oscillation. When they use the third harmonic the water forms a triangle, also oscillating with another one so that both together would be a Star of David, but only one triangle was fully formed at a time.

And so, they go on. Each harmonic's shape has the same amount of sides as its sequence number: 1 = circle, 2 = sausage, 3 = triangle, 4 = square, 5 = pentagon, and so on. This water drop is actually behaving exactly the same as the swinging rope, only the "rope" is circular and is made from the surface tension of the water."³²³



319 (Zuccaro, 2017)

320 Διαισθητική προσέγγιση των πραγμάτων και εμπειρική έρευνα.

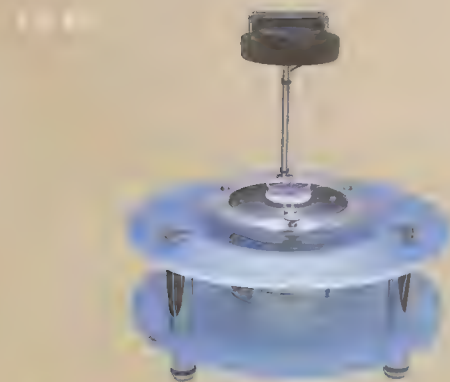
321 Όπως συνδέει ο (Βιτρούβιος, 2000, σ. 37 & 39) τη φιλοσοφία, τη μουσική, τη γεωμετρία με την αρχιτεκτονική

*Λατίνος μηχανικός

322 (Ran et al., 2013)

323 (van Herdeen, 2018, σ.33-35)

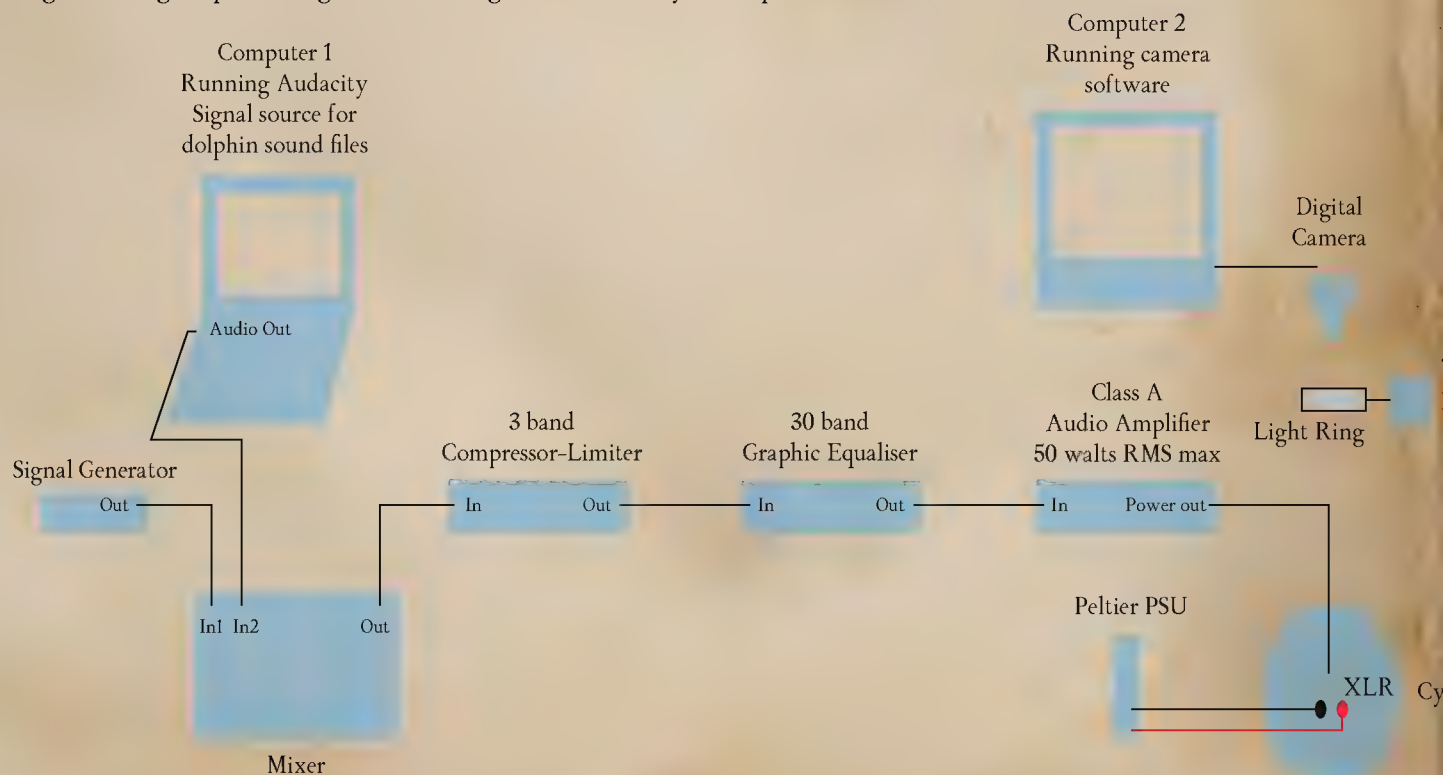
Τέλος, αναφέρεται μία πρωτότυπη ανακάλυψη από το νέο επιστημονικό όργανο 'CymaScope', το οποίο αποθανατίζει στιγμές από ήχους (συχνότητες), όπως εγκεφαλικούς ρυθμούς, παλμούς της καρδιάς, μουσικούς, ηχητικών κυμάτων επικοινωνίας (υπερήχων) των δελφινιών κτλ.



CymaScope
Violin and
CymaScope
Piano Notes
- 1st Octave ; music
made visible

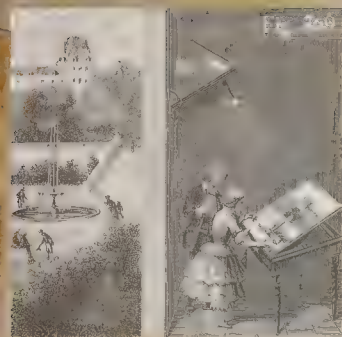
Η λειτουργία του συνοψίζεται σε μία υδάτινη μεμβράνη, η οποία πάλλεται από τον ήχο ή την ηχητική δόνηση δημιουργώντας ένα ορατό αποτύπωμα. Το αποτύπωμα αυτό αποτελεί μια γεωμετρική αναπαράσταση -μοτίβο- του πομπού. Το μοτίβο των ηχητικών δονήσεων καθίσταται ορατό στο μάτι ή στον φακό καθώς το φως αντανακλάται στο αποτυπωμένο γεωμετρικό σχέδιο.³²⁴

Block diagram of signal processing route from signal source to CymaScope.³²⁵



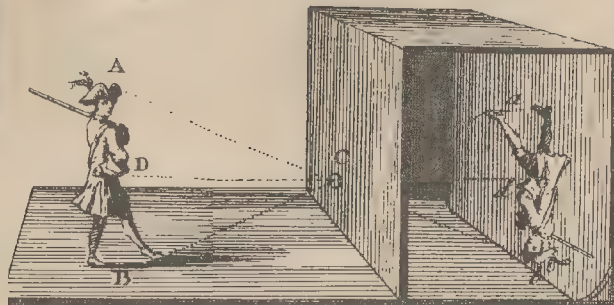
324 ("CymaArt," n.d.)

325 (Kassewitz & Hyson, 2016, σ. 5)



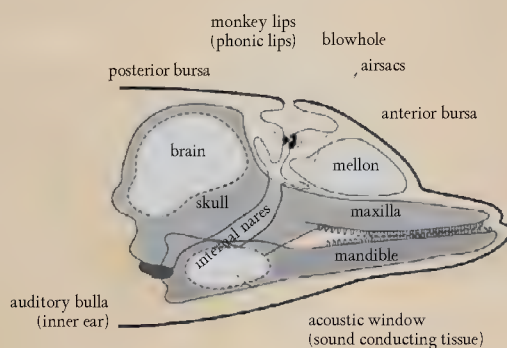
Children watching an outdoor scene through a camera obscura. From A Ganot 'Natural Philosophy' London, 1887

Ο πειραματισμός με το 'CymaScope' επεκτάθηκε στην ηχητική επικοινωνία των δελφινιών. Η λογική του τρόπου επικοινωνίας των δελφινιών με υπέρηχους παρομοιάζεται με την προβολή μιας εικόνας πάνω σε μία επιφάνεια (λ.χ. camera obscura³²⁶).



An illustration of the pinhole camera model. (a) The camera obscura, which is an early version of an actual physical camera that directly follows the pinhole camera model a. (b) The geometric principles behind the pinhole camera model. (a) The camera obscura, which is an early version of an actual physical camera that directly follows the pinhole camera model a. (b) The geometric principles behind the pinhole camera model

Dolphin head showing phonic lips or phonators



Επεξηγηματικά, ένα αντικείμενο στο διάχυτο φως δημιουργεί μια μυριάδα από περιθλάσεις· οποιαδήποτε από αυτές δύναται να αποθανατιστούν από έναν φακό, δημιουργώντας μια ανεστραμμένη εικόνα σε μια οθόνη. Συσχετίζοντας, στην περίπτωση των δελφινιών μια παρόμοια διαδικασία επιτυγχάνεται με σύντομους παλμούς του ήχου 40 kHz ή υψηλότερα, οι οποίοι στρέφονται σε ένα αντικείμενο, προκαλώντας πολλαπλές περιθλάσεις που μπορούν να αποθανατιστούν από έναν ακουστικό πομπό. Ο πομπός συλλέγει και εστιάζει τον ήχο σε μια υδάτινη μεμβράνη, δημιουργώντας ένα στιγμιαίο αποτύπωμα του αντικειμένου. Κατά αυτό το τρόπο, ένα δελφίνι, (ή ένα κήτος) λαμβάνει τα εικονογραφικά δεδομένα βασισμένα σε ηχητικά κωδικοποιημένα μηνύματα.³²⁷

Interpretation of human body image showing features like the fingers, elbow, and weight belt. The image areas have been emphasized.

Σύμφωνα με τα ανωτέρω, το 'CymaScope' «ατέγραψε» τις ηχητικές εκπομπές του δελφινιού. Ο ερευνητής ηχογράφησε τις «ηχητικές εικόνες» του δελφινιού με μία σειρά από βυθισμένα αντικείμενα και στη συνέχεια

τις αναδημιούργησε σε εξειδικευμένο εργαστήριο, προβάλλοντας τα ηχητικά αρχεία 'WAV' με την βοήθεια του 'CymaScope'.³²⁸



Left: Schematic of hydrophones recording dolphin echolocating on a human subject underwater
Right: Submerged human male.



Human subject Echolocation; Left: Human subject approx. 6 ft. from dolphin, Right: Close up



CymaScope recording of human subject. Left: 1/24 second frame before human image appears, Center: Raw image, Right: Enhanced image



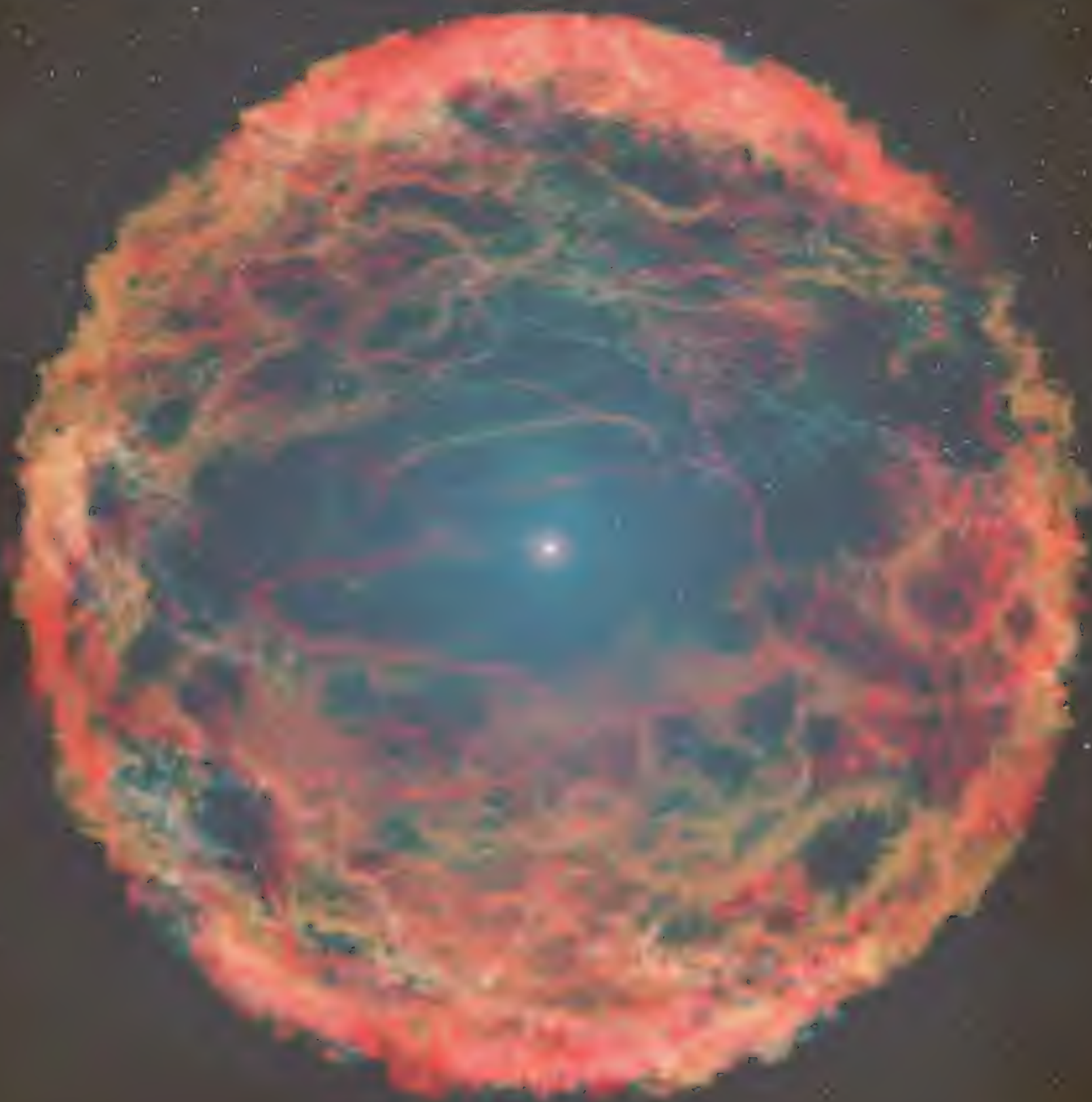
326 (Needham et al., 1962/2004, σ. 98). Μία πρώτη αναφορά περί του τρόπου λειτουργίας της camera obscura απαντάται στο κινέζικο κείμενο Mozi, 470-391 π.Χ. Επίσης, ο Αριστοτέλης λέγεται ότι χρησιμοποίησε την κάμερα αυτή για την παρατήρηση των ηλιακών εκλείψεων, αφού θίγεται ως θέμα στο έργο του Προβλήματα - Βιβλίο XV, 911b. 6. [3-5], & 912b. 11. [11-17]. Το

παιλιότερο διαπιστωμένο έργο αποδίδεται στον Ibn al-Haitham, τον μεγάλο Άραβα φυσικό (965-1039 μ.Χ.),

327 (CymaScope, 2017). 29' 07''; πρβ. ("Δέκα πράγματα που δεν γνωρίζουμε για τα δελφίνια - Πώς να τα προστατεύσουμε," 2021)

328 (CymaScope, 2017). 29' 45'' 31' 10''

Fig. 376



An artist's impression a supernova. (Credit: NASA/ESA/G. Bacon, STScI) An artist's impression a supernova. (Credit: NASA/ESA/G. Bacon, STScI) Berkeley Lab and UC Berkeley scientists were part of a team that helped to decipher one of the most bizarre spectacles ever seen in the night sky: A supernova that refused to stop shining, remaining bright far longer than an ordinary stellar explosion.

"[...] God does not play dice." ³²⁹

Albert Einstein

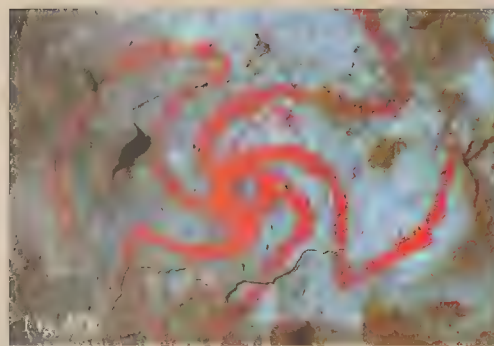
Διατύπωση υπόθεσης σχηματισμού αρχαίων λέξεων



υγκεφαλαιώνοντας, διαφαίνεται ότι υπάρχει **μία άρρηκτη σύνδεση γεωμετρίας** (αρμονικών γεωμετρικών σχημάτων), **συχνότητων** ('Chladni Plates', 'CymaScope') **και αριθμητικής** (ακολουθίες Fibonacci & Lucas, λ.χ. σπειροειδής διάταξη, ή διαίρεσης τμημάτων σε έναν κύκλο με ένωση σημείων κ.ο.κ.) στην ίδια την δομή της ύλης. Ο άνθρωπος³³⁰ -τυχαία ή ηθελημένα κατόπιν μελέτης του υλικού κόσμου- εκφράζεται συνδυάζοντας με (κατά κύριο λόγο) αρμονικούς σχηματισμούς³³¹ μέσω της τέχνης, της αρχιτεκτονικής και πιθανώς της γλώσσας(·)

Στη γλώσσα (ως κανονικοποιημένες ηχητικές ακολουθίες) μέσω των αρμονικών σχημάτων των λέξεων όταν ανάγονται σε κύκλους· αποδίδοντας μια γεωμετρική ταυτότητα σε ορισμένες λέξεις περί της ευμορφίας, της ιερότητας, αρετών, στοιχείων της φύσης κ.λπ. Πιθανολογείται ότι συμπυκνώνονται ορισμένες πληροφορίες και αποδίδεται μία σιωπηρή γεωμετρική ταυτότητα·³³² ως μια μακραίωνη συνήθεια. Η συνήθεια αυτή πηγάζει από τα πρωτόγονα αριθμητικά συστήματα (μέσω της χαρτογράφησης των μερών του σώματος που επέφερε τις αφηρημένες συνδηλώσεις και την προοδευτική προσκόλληση στην αντιστοιχία αριθμού & λέξης), τα κοινά κατά τόπο μαθηματικά³³³ και την αρχέγονη προσπάθεια του πρώτου ανθρώπου ταξινόμησης των στοιχείων της φύσης με την βοήθεια των «άφθαρτων» εικονογραφιών πάνω στην πέτρα (σε σπήλαια, μικροαντικείμενα κ.λπ.) ή εγχάρακτων (σε βράχους, οστά, ξήλα, πηλό κτλ.). Για παράδειγμα, οι σπηλαιογραφίες

ίσως αποτελούν μία προσπάθεια κατηγοριοποίησης του ζωικού βασιλείου, προκειμένου να γνωρίσει ένας νέος κυνηγός τα θηράματα από τα οποία θα τραφεί η «αγέλη» και θα επιβιώσει. Επιπλέον, ο τελετουργικός χαρακτήρας συνοδευόμενος με τη χρήση «αγνών» ψυχότροπων ουσιών υπό εξαιρετικά ελεγχόμενες συνθήκες (για την εξασφάλιση της ασφάλειας των μυούμενων)³³⁴ από μάγους και σαμάνους των κοινωνικών συσσωματώσεων πιθανώς θα συνδράμουν στην αναζήτηση της αποκωδικοποίησης όλων αυτών των σχημάτων -αφαιρετικών σχεδίων- που παράγονται από αυτές τις εμπειρίες.



(Shultz, 2020). "The distinctive art in Pinwheel Cave, which some argue represents a datura flower, was created with red ochre pigment that has faded with time. The design is visually enhanced on the right using a tool known as DStretch. Ph. By Devlyn Gandy (Native American). The ancient inhabitants of what became central and southern California used to ingest datura to "commune with deities through visions". In ancient Mexico, Datura also played an important role in the religion of the Aztecs and the practices of their medicine men and necromancers.[50] It was reportedly used by the Aztecs for ritual sacrifice and malevolent purposes as well"

329 ("What Einstein meant by 'God does not play dice' – Jim Baggott | Aeon Ideas," 2018.)

330 ("Water Science School," 2019). Σύμφωνα με τον H.H. Mitchell, 'Journal of Biological Chemistry' 158', ο εγκέφαλος και η καρδιά αποτελούνται από 73% νερό και οι πνεύμονες είναι περίπου 83% νερό. Το δέρμα περιέχει 64% νερό, οι μύες και τα νεφρά είναι 79%, και τα οστά 31%.

331 'Όχι κατ' ανάγκη συμμετρικούς

332 (Μόζερ κ.α., 2008, σ. 285). Σε παραλληλία του ανωτέρου αναφέρονται οι νοηματικές γλώσσες που υπερβαίνουν τις ογδόντα. "Οι νοηματικοί όροι που αναφέρονται στον ευθύ, ελκρινή και ακέραιο άνθρωπο ταυτίζονται με το νόημα της «ευθείας». Απεναντίας ο «πανούργος» εκφράζεται με κίνηση διαρκών ελιγμών που συνοδεύονται με ανάλογο ύφος προσώπου. Όροι, όπως «πονηρός», «δόλιος», «διεφθαρμένος», «αμαρτωλός» αποδίδονται με κυρτωμένες παλάμες ή δάχτυλα και φθίνουσες κυκλικές ή ελικοειδείς κινήσεις. Στην Ελληνική Νοηματική αυτός

που «παρασύρεται στο κακό» αποδίδεται με παραστατικές εκφράσεις λοξοδρόμησης ή απόκλισης από την ευθεία». Αν ένας σκιτσογράφος απέδιδε αυτές τις εκφράσεις και κινήσεις του σώματος γρήγορα σε ένα χαρτί θα σχετίζονταν άμεσα με ένα σχέδιο ανάλογου ύφους, εφόσον οι στιγμιαίες παρατηρήσεις του προσπαθούσαν να -συμπύκνωναν- ήταν το δυνατότερο αντικειμενικές και κατανοητές σε κάποιον τρίτο και το σκίτσο αποτελεί ένα γρήγορο σχέδιο."

333 (Waerden, 2012). Introduction: "From this and other facts he concluded that Babylonian algebra and geometry and Greek "geometrical algebra" and Hindu geometry are all derived from a common origin"

334 (Muckle, Tubelle de González, 2015, σ. 310); (Berlant, 2005, σ. 283). Σύνδεση μυσταγωγικού πνεύματος με ψυχότροπες ουσίες: amanita muscaria, Psilocybe mushroom; 1250 π.Χ. {the Papyrus of Ani says of him "Thy head is blue [like] lapis lazuli"}; (Clarke & Merlin, 2013, p. 234). Σύνδεση θεραπειών με χρήση θεραπευτικής cannabis, Αρχαία Αίγυπτος 4η χιλ. π.Χ.; (National Academies of Sciences, Engineering, and Medicine et al., 2017). The Health Effects of Cannabis and Cannabinoids: The Current State of Evidence and Recommendations for Research.

"In 2006, archaeologists in Athens made the stunning discovery of a 2,300-year-old jar holding the bones of a dismembered chicken. Most remarkable was that 55 names were inscribed on the exterior of the jar (or chytra). Researchers have just decoded the message and believe these people were the targets of an ancient curse. [...] "All exterior surfaces of the chytra were originally covered with text; it once carried over 55 inscribed names, dozens of which now survive only as scattered, floating letters or faint stylus strokes," wrote Lamont,

adding that nails "had an inhibiting force and symbolically immobilized or restrained the faculties of the victims." [...] The handwriting on the jar suggests that at least two different people were involved in the carvings. Lamont explained that this is "largely unprecedented in Greek curse tablets." Ultimately, more than 30 names are legible to this day, as are the words "we bind."

Εφόσον, υπήρχε η πεποίθηση των Πυθαγορείων ότι τα πάντα είναι μαθηματικά.³³⁵ είναι εξαιρετικά πιθανό να ασπάζονταν την ίδια πεποίθηση και τα ιερατεία του αρχαίου κόσμου -Ελλαδικού χώρου, Αιγύπτου & Ανατολής- από τα οποία ο Πυθαγόρας είχε περάσει/γνωρίσει/μυηθεί.³³⁶ Η πιθανότητα αυτή προκύπτει από το γεγονός ότι οι πεποιθήσεις του ήταν μία σύνθεση των γνώσεων του· επιστημονικών, θρησκευτικών και των τεχνών.³³⁷ Τούτέστιν, οι «μυστικές» εμπειρίες³³⁸ «αποκάλυψης του θείου στοιχείου»,³³⁹ αλλά και η ανακάλυψη των μαθηματικών και άλλων «επιστημών»³⁴⁰ θα συνδράμουν στην οργάνωση νέων συστημάτων συμπύκνωσης της γνώσης μέσω άυλων αρχείων -χάριν εξέλιξης,- ως απότοκος των συνηθειών οργάνωσης των πρωτόγονων υλικών/φθαρτών αρχείων και της χαρτογράφησης των μερών του ανθρωπίνου σώματος & ζωικού βασιλείου.

Στο πέρας των χιλιετίων ο Homo Sapiens θα κατορθώσει να συγκεντρώσει διακριτικά την κεκτημένη γνώση της εθνοτικής του προέλευσης (φυλής) μέσα στην ίδια του τη γλώσσα του· πιο συγκεκριμένα στη γράφη του (τουλάχιστον αυτό συνάγεται από την υπόθεση). Από τα διδακτικά & συνάμα μυστικιστικά σχέδια των σπηλαίων, τα πρώτα μετρικά συστήματα³⁴¹, μέχρι την ιερατική εικονογραφική γραφή θα δοθεί το πρόσφορο έδαφος για την δημιουργία της αλφαβήτου· μία (ίσως) σιωπηρή επιτομή όλων αυτών των προσπαθειών. Αυτό το επίπονο πνευματικό έργο θα μέλλει να φέρει μία διακριτική συγκινητική υπογραφή αγνώστων σοφών πανεπιστημόνων που αφιέρωσαν τη ζωή και τη ψυχή τους στη μελέτη του παντός, μέσα από μία διαδικασία μίμησης των στοιχείων των ανακαλυφθέντων μαθηματικών και γεωμετρίας.

Οι αιτίες μιας τέτοιας πρακτικής ίσως ήταν πολυάριθμες, είτε για να ανακτηθεί όλη αυτή η μακραίωνη γνώση σε περίπτωση καταστροφής των αρχείων (συγγραμμάτων) από επιδρομές άλλων πολιτισμών, είτε λόγω του μυστικισμού της αρχαίας μέχρι αναγεννησιακής εποχής, είτε χάριν του διδακτικού χαρακτήρα που παρείχε αυτή η χειρονομία και την ευκολία μετακινήσεων πληροφοριών, είτε λόγω της κανονικοποίησης των χαοτικών επιλογών

για τη διαμόρφωση κάποιων πρώτων λέξεων που χαρακτηρίζει μία ηχητική ακολουθία του εύρους μήκους ακοής του ανθρώπου όταν εκφέρεται³⁴², είτε σε περίπτωση ολικού αφανισμού του πολιτισμού να ενημερώσουν περί των ανακαλύψεων και των πνευματικών κατακτήσεων σε γλωσσικό επίπεδο επόμενες γενιές μελετητών (και να αποτελέσουν πηγή έμπνευσης και συνέχισης ενός πνευματικού έργου του ανθρώπινου είδους), όπως συμβαίνει στην περίπτωση της αρχιτεκτονικής.

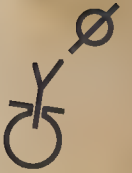
Όσον αφορά το θέμα της αρχαίας Ελληνικής γραφής -γλώσσας- (τα συμφραζόμενα υποδεικνύουν ότι πολλά από παρακάτω ισχύουν και για άλλους πολιτισμούς αρχαίους & νέους, όπως απολύτως λογικό είναι) οργανώνεται μία υπόθεση, χάριν του ερευνητικού ενδιαφέροντος. Δυστυχώς, δεν υπάρχει η ευχαίρεια διερευνήσεων και εξέτασης πέραν μιας ελάχιστης ταπεινής προσπάθειας που παρουσιάζεται στο κεφάλαιο «Αναγωγές των 112 λέξεων των 14 γλωσσών σε κύκλους.» Έτσι λοιπόν, ο σχηματισμός ορισμένων αρχαίων λέξεων φαίνεται να ακολουθεί κάποια βασικά χαρακτηριστικά/περιπτώσεις (σύμφωνα με την υπόθεση της έρευνας του 2021 και τον περαιτέρω εμπλουτισμό της):

1. **γράμματα εν παρατάξει**· δεξιά προς τα αριστερά («ἐπὶ τὰ λαιά» γραφή), είτε από τα αριστερά προς τα δεξιά («ἐς εὐθί» γραφή).

(i) **περιγραφή πολλαπλών σημασιών και εννοιών** → **περιγραφή καθαρής ουσίας ή ορισμένης γνώσης για την φύση του πράγματος**. Κάθε γράμμα αποτελεί ένα σύμβολο και παράλληλα έχει το ρόλο ενός σχεδίου υπό την μορφή κάτοψης, τομής ή όψης. Ο καθορισμός αυτός ακολουθεί το τριμερές σχήμα: (α) την κατά το σχήμα διαφορά των γραμμάτων (Φ, Υ, Ω), (β) κατά την τάξη ([Οπ|λίτης, [πο|λίτης), (γ) κατά τη θέση/παρατακτική ακολουθία/πρωτεριάτητα (λ.χ. ΦΥΛΛΟ)

(ii) **περίπτωση ελεύθερης ανάπτυξης** (κατακόρυφη, διαγώνια, αυξομείωση σχημάτων, λ.χ. λέξη 'ΔΕΟΣ') βασιζόμενη στη μίμηση της ελεύθερης ανάπτυξης των Ιδεών στη Φιλοσοφία· αλληλλοεξαπτόμενη σχέση μεταξύ Μαθηματικών και Φιλοσοφίας στην Κλασική Εποχή.

ΦΥΩ ΦΥΩ
(GERMINATE or BUD)



TRIBE
NATION
RACE
ΦΥΛΕ ΦΥΛΗ



Σχηματισμός της αρχαίας λέξης 'ΦΥΛΗ'. Ουσιαστικά, όπως κάθε δέντρο που φέεται σε κάθε τόπο έχει διαφορετικά χαρακτηριστικά ως προς την εμφάνιση, έτσι η ίδια η λέξη φύλη προσδιορίζει την διαφορετική αυτή την εικόνα και ανάπτυξη σε κάθε τόπο των πολιτισμών.

Αριστοτέλης,
Μετά τα Φυσικά
Βιβλίο Α'. 4.
985b [15-21]

BEAUTIFUL
ΩΡΑΙΟ
ΩΡΑΙΟΝ



335 (Αριστοτέλης, 1975, σ. 50-51). Αριστοτέλης, Μετά τα Φυσικά, 985b[25] - 986a[24]; πρβ (The Universes of Max Tegmark, 2022). "Galileo famously said that the universe is written in the language of mathematics. Now Max Tegmark says that the universe is mathematics." (Max Tegmark, 2022) Swedish-American physicist, cosmologist and machine learning researcher. He is a professor at the Massachusetts Institute of Technology and the president of the Future of Life Institute)
336 (Zekiou, 2019, p. 17)
337 (Godwin, 2014). Chapter 4.; (Zekiou, 2019, σ. 17); (Schmitz, 2018, σ. 199)
338 (Παπανικολάου, 2021, σ. 218). Ο αμφιλεγόμενος αυτός

όρος ως βίωμα εμφανίζεται σε όλες τις παραδόσεις του πλανήτη, λ.χ. Βουδιστική, Εβραϊκή, Ινδουιστική, Χριστιανική. σ. 217
339 (Παπανικολάου, 2021, σ. 152).
340 (Michaels & Wulf, 2020). 'Ch. Mathematics and Vedic Mathematics.. Science , proto-science and pseudoscience. ; (Kaczmarczyk, 2018, σ. 48)
341 (Owens et al., 2018)
342 (Smelser, Baltes, 2001, σ. 8373). "Any series of sounds can represent any meaning just as well as any other; and there are hundreds, if not thousands, of possible sequences for each meaning."

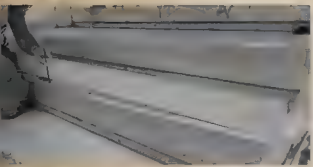
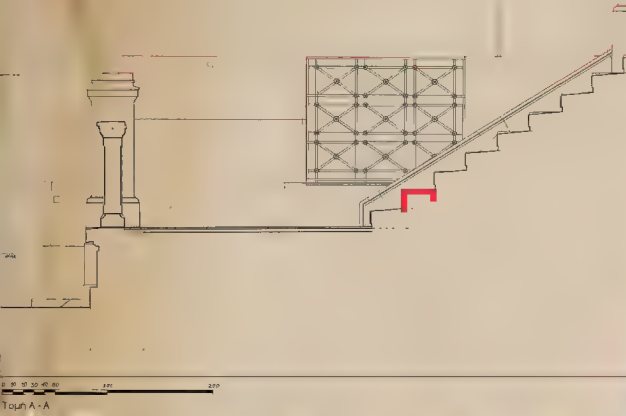


Fig. 379

ΠΟΡΤΑ (DOOR)

(iii) πολλαπλές ερμηνείες σε μία λέξη από την ανάγνωση των γραμμάτων σε παραλληλία με τους άπειρους συνδυασμούς των πλατωνικών στερεών (Πλάτων, «Τίμαιος», στ. 57d). Όπως γράφει ο Πλάτων «τις ποικιλίες των 5 στερεών πρέπει να μελετήσουν όσοι σκοπεύουν να χρησιμοποιήσουν εύλογους συλλογισμούς για τη φύση» που για την περίπτωση των γραμμάτων σημαίνει: φιλοσοφικοί στοχασμοί → εξέλιξη επιστήμης → εξέλιξη κοινωνίας.

Σύμφωνα με το (i) προκύπτει:



ΣΚΑΛΟΓΑΤΙ (STEP)



Fig. 381

ΙΠΠΟΣ (HORSE)

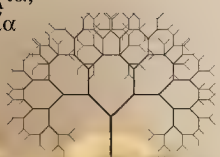
Le Corbusier's
Ronchamp Chapel

Undergraduate
Architecture Project |
"Restoration" of Historic Stairs by
Petros Petrakis, Section Drawing
and Photos by Petros Petrakis

Horse

ΕΥ- ΕΥ-

λ.χ. (ευ)τυχία,
(ευ)δαιμονία



Το ζήτημα των ονομάτων απασχόλησε και τους Λατίνους, εκτός από τους αρχαίους («φύσις» ή «θέσις») με τον Λουκρήτιο να διατυπώνει τον αυθαίρετο καθορισμό τους, αγνοώντας το γεγονός ότι στο φυσικό ένστικτο υποβόσκει η μίμηση των πραγμάτων.†
Book V [1028-1090]:

"Language arose from a natural instinct to denote different things by different names. Children try to speak before they are able to do so, just as young animals instinctively exert their peculiar powers. It is not true that some one man invented the names of things and taught everyone else; no single man could have conceived such an idea, nor would others have been willing to learn from him. There is nothing in the origin of language to surprise us, if we reflect that even

(iv) αφαιρετική απόδοση μιας ή περισσότερων εικόνων κάθε γράμματος (συσχέτιση με τη διέπουσα λογική της εικονογραφικής γραπτής απόδοσης της γλώσσας, λ.χ. ιερογλυφικά της Αιγύπτου, βλέπε σελίδες 160-161, περί της εξέλιξης της γραφής) γεγονός το οποίο προκαλεί συγχύσεις και δυσκολία στην εύρεση της ουσίας της λέξης· η αντιστοίχιση τού σχεδίου τους με παραπάνω από 2 εικόνες σε λέξεις. Για παράδειγμα, το γράμμα 'Π' ή 'Γ' λέγεται ότι αντιστοιχίζεται στο άνοιγμα της Πόρτας, όμως το γράμμα Π συναντάται και στις λέξεις 'ΣΚΑΛΟΓΑΤΙ', 'ΙΠΠΟΣ', 'ΚΑΛΓΑΣΜΟΣ'.

Ο Αριστοτέλης στο έργο «Περί Ερμηνείας», στ. 16a[19-27], αναφέρεται στο όνομα Κάλλιππος και σημειώνει ότι στις σύνθετες λέξεις αποδίδεται κάποια σημασία. Στα ερμηνευτικά σχόλια επεξηγείται ότι το όνομα αυτό προέρχεται από τα συνθετικά μέρη κάλλος + ἵππος. Το ἵππος δεν έχει κυριολεκτική σημασία, αλλά υποδηλώνει την αριστοκρατική καταγωγή ενός όμορφου (=κάλλος) νέου.³⁴³ Στο χωρίο 16b[31-33], ο Αριστοτέλης από την μία πλευρά υποστηρίζει ότι «μία μόνο συλλαβή του «άνθρωπος» σε καμία περίπτωση δεν σημαίνει κάτι. Ούτε φυσικά στο μυς το 'Υς'. Πρόκειται για ήχο της φωνής»,³⁴⁴ αλλά από την άλλη πλευρά στο έργο «Μετά τα Φυσικά» αναφέρεται «στα συστατικά μέρη μίας έννοιας και ότι πρέπει να έχουν διαγνωσθεί και γίνει γνωστά εκ των προτέρων.» Δηλαδή, κάνει λόγο για κατάτμηση και ανάλυση μίας έννοιας, ενώ περιέργως δεν προβαίνει σε κάτι πιο απλούστερο· σε κάποια διερεύνηση των συστατικών μερών μίας λέξης που είναι τα γράμματα, με ορισμένες οφθαλμοφανείς αντιστοιχίες σε εικόνες του αισθητού κόσμου.

animals express different emotions in quite different tones; this may be observed in dogs, horses, and birds of many kinds."

Επιπλέον, ο Αριστοτέλης αποδίδει την προέλευση της ποίησης στο φυσικό ένστικτο του ανθρώπου να μιμείται λαμβάνοντας ψυχικές απολαύσεις μέσω της μίμησης. Στο σχήμα του Αριστοτέλη, η ποίηση μιμείται τη μορφή και τα πράγματα.†† Εκτός της περίπτωσης της ποιητικής τέχνης, από τα ιστορικά γραπτά κείμενα, αλλά και την ίδια την αρχιτεκτονική κληρονομιά γνωστοποιείται ότι ο σχεδιασμός των αρχιτεκτονικών μελών μνημείων είναι η απόρροια μίμησης τόσο των εννοιολογικών δομών της πραγματικότητας όσο και των μορφών της ίδιας της φύσης (λ.χ. Βιτρούβιος, «Περί Αρχιτεκτονικής» [IV. I Κορινθιακό κιονόκρανο. 8-12], αιγυπτιακά κιονόκρανα· φοινικόσχημα, με ανοικτό ή κλειστό άνθος λωτού).

† (Bakken et al., 2000, σ. 4 6).

†† (Abrams, 1991, σ. 5); (Curran, 2015, σ. 50 51).

σ. 74 "The debate arises because the reference to "the pair of causes" at 1448b3 is not clear. At the start of Poetics 4 Aristotle appears to give an explanation as to why not just poetry, but other forms of mīmēsis, such as portraits as well as imitative behavior, came into existence (see 1448b8-10). Here his concern is to elaborate the pleasure taken in mīmēsis

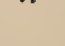
or imitation more generally. There are two causes: (1) human beings have a natural instinct to imitate; and (2) humans naturally delight in well-executed imitations. A bit later in the chapter, Aristotle appears to add a third cause of why poetry came into existence: (3) the human instinct for melody and rhythm (1448b19-20)."

343 (Αριστοτέλης, 2012, σ. 85, 179). Περί Ερμηνείας

344 (Αριστοτέλης, 2012, σ. 93). Περί Ερμηνείας

*Trans.: "he says that
you could not step
twice into the same
river"*

"Phœnician and Hebrew Alphabets, as derived from the Egyptian Hieratic characters. The Phœnicians, in order to form an alphabet, appear to have selected certain Egyptian letters from a type of the Hieratic character (a cursive form of Hieroglyphic), as found in papyri of about 2500 B.C."³⁴⁵

			Hieroglyphic.	Hieratic.	Phœnician (Moabite stone).	Phœnician (Siloam Inscription).	Hebrew (square character).
a	eagle						
b	crane						
g	bowl						
d	hand						
h	plan of house?						
f, v	cerastes						
t'(tch, z)	duck						
x(kh)	sieve						
th	tongs; loop ..						
i	leaves						
k	throne						
l	lioness						
m	owl						
n	water						
s	door bolt ..						
ā	weapon						
p	door						
t(ts)	snake						
q	knee?						
r	mouth						
š(sh)	field						
t(tu)	arm with cake in hand						

Proto-Sinaitic
1750 BC

Phœnician
1000 BC

"The Greek adopted for their alphabet 22 signs from the Phœnicians. The letters which follow tau were afterwards added. Originally the letters were written from right to left; but afterwards from left to right. The early Greek Alphabet may be arranged in 2 groups (with local varieties), viz. the Eastern & Ionian, used in Asia Minor and in Certain islands and states of Greece; and the Western, used in other islands and states, and generally in the Greek colonies in Italy and Sicily. The early Italic alphabet; oderived from the Western Greek alphabet, has been called the Pelasgian alphabet; of this the Latin alphaet rejected certain letters as superfluous, and at a later date it introduced others."³⁴⁶

	GREEK.						LATIN.	
	Cadmean Right to left.	Left to right.	Local forms.	Eastern.	Western.	Local forms.	Pelasgian.	Latin.
alpha ..	Α	Α		Α Α	Α Α		Α	Α Α Α
beta ..	Β	Β	Μ Melos, etc. C Paros, Siphnos, Thasos, etc. J Corinth.	Β Β	Β Β		Β	Β Β
gamma ..	Γ	Γ	C Corinth, Megara, etc.	Γ Γ Α	Γ Γ	C Chalcia, Phocia, Arcadia, Eolia, Locria, etc.	Γ C	Γ C
delta ..	Δ	Δ		Δ Δ	Δ Δ Δ		Δ Δ Δ	Δ
epsilon ..	Ε	Ε	B Corinth, etc.	Ε Ε	Ε Ε		Ε	Ε Η
digamma ..	Ϝ	ϝ		[Ϝ]	Ϝ Ϝ		Ϝ	Ϝ Ϝ
zeta ..	Ζ	Ζ		Ζ	Ζ		Ζ	[C a new letter formed from C]
eta ..	Η	Η		Η Η (h, ē)	Η Η (h)		Η	Η
theta ..	Θ	Θ		Θ Θ	Θ Θ		Θ	
iota ..	Ι	Ι	ΣΣ Crete, Thera, Melos, Corinth, etc.	Ι	Ι		Ι	Ι
kappa ..	Κ	Κ		Κ	Κ		Κ	Κ
lambda ..	Λ	Λ	L Attica, Argos	Λ Λ	Λ Λ	L Chalcia, Boeotia, etc.	Λ	Λ Λ
mu ..	Μ	Μ		Μ Μ	Μ Μ		Μ	Μ
nu ..	Ν	Ν		Ν Ν	Ν Ν		Ν	Ν
xi ..	Ξ	Ξ	H Later Argos [Xo, Attica, Naxos, Siphnos, Thasos, etc.]	Ξ	(See below.)		Ξ	
omikron ..	Ο	Ο	Ω Paros, Siphnos, etc. C Melos.	Ο	Ο		Ο	Ο
pi ..	Π	Π		Π Π	Π Π		Π	Π Π
san (ss) ..	Ϻ	ϻ	T Halkarnassus, Teos, Mesembria				Ϻ	
koppa ..	Ϙ	ϙ		[Ϙ]	Ϙ		Ϙ	Ϙ
rho ..	Ρ	Ρ		Ρ Ρ Ρ	Ρ Ρ Ρ		Ρ Ρ	Ρ Ρ
sigma ..	Σ	Σ	M Crete, Thera, Melos, Argos, Corinth, etc.	Σ Σ	Σ Σ	M Phocia, etc.	Σ Σ	Σ Σ
tau ..	Τ	Τ		Τ	Τ		Τ	Τ
upsilon ..				Υ Υ	Υ Υ		Υ	Υ
xi ..				(See above.)	Χ +		Χ	Χ
phi ..				Φ Φ	Φ Φ		Φ	
chi ..				Χ +	↓ Υ		↓	
psi ..			[Φ, Attica, Naxos, Siphnos, Thasos, etc.]	↓ Υ		* Orcl. Locria, Arcadia	↓	
omega ..			Ο Melos, Paros, Siphnos, etc. [Ο used generally for φ, ου, ω, except in Ionia]	Ω			Adapted at a later period as foreign letters } Y Z	Y Z

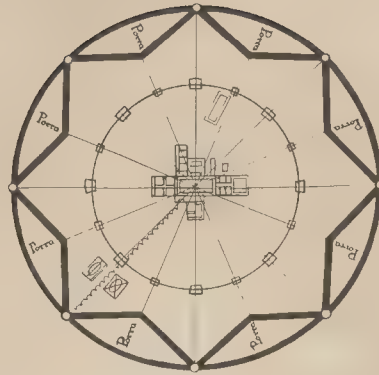
Archaic Greek
750 BC

(103) «Ξυνὸν ἀρχὴ καὶ πέρας ἐπὶ κύκλου.»
 Ηράκλειτος, «Περὶ Φύσεως»

(Ηράκλειτος, 1987/1992, σ. 86). «Η παράσταση του κύκλου έπαιξε σπουδαίο ρόλο στη φιλοσοφία.»

II. **γράμματα σε κύκλο**· επειδή (α) $A \rightarrow \Omega$ & $\Omega \rightarrow A$, (β) την τάση του ανθρώπου να θεωρεί τον κύκλο ως τέλειο σχήμα ώστε να τον εντάσσει, παραδείγματος χάριν, στο σχεδιασμό μίας πόλης-ενός κτηρίου σε έναν κύκλο. Όπως σχεδίασε την κάτοψη της ιδεώδους πόλης (Sforzinda) ο Filarete, Φλωρεντιανός Αναγεννησιακός Αρχιτέκτονας.

Plan of Sforzinda, 1457. Sforzinda is a visionary ideal city named after Francesco Sforza, then Duke of Milan. It was designed by Renaissance architect Antonio di Pietro Averlino (c. 1400 c. 1469), also known as "Averulino" or "Filarete".



(i) **Σημεία**

(ii) **Αποστάσεις των σημείων των τμημάτων του κύκλου**

(iii) **Γωνίες των τμημάτων**· εσωτερικές, εξωτερικές, διχοτόμοι κτλ. και αριθμητικές πράξεις μεταξύ τους

(iv) **Αναλογίες τμημάτων**

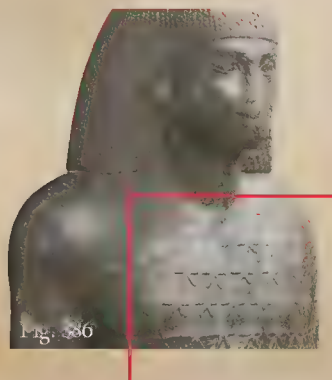
(v) **Συμπεριφορά γραμμάτων βασισμένη στη λογική των αριθμών με ό,τι συνεπάγεται** (αναγωγές σε κύκλους κτλ.)

(vi) **Παραγόμενο γεωμετρικό σχέδιο από την συνεχόμενη γραμμική ένωσης των σημείων**· αξιοσημείωτα γεωμετρικά σχήματα, λ.χ. ισοσκελές τρίγωνο & τραπέζιο, ορθογώνιο και ισόπλευρο τρίγωνο, πεντάγραμμος αστέρας

(vii) **Απόδοση πληροφοριών για τη φύση της λέξης**

The stars play a key role in helping our super hero find his way around. But if our priest Anen had been with him, he would not have had any problems. Anen 'knows the procession of the sky,' i.e. he could read the movement of the stars.

To display this ability, he wears a leopard skin sprinkled with five-pointed stars... Don't they remind you of starfish? The Egyptian sky was conceived of as an immense body of water, which at night was populated by living spirits, the stars, which is why the Egyptians decided to represent them as aquatic creatures, as starfish. Statue of Anen, 2nd priest of Amon. Granodiorite. New Kingdom, 18th Dynasty (1,390-1,353 BC)

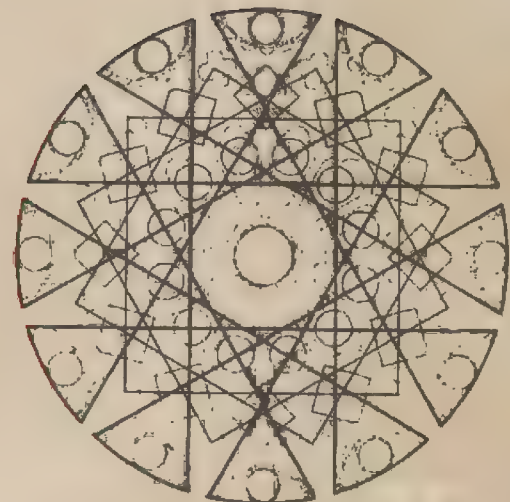


(viii) **Κρυπτογράφηση σχεδίων πάσης φύσεως**

(ix) **Συγγενείς και συναφείς λέξεις δημιουργούν/συνθέτουν** (α) την αφαιρετική εικόνα της φύσης του αντικειμένου, (β) πληροφορίες, (γ) εύμορφους σχηματισμούς σηματοδοτώντας και σημαίνοντας κάτι

(x) **Συμβολισμοί γεωμετρικών σχεδίων**· συμπυκνώνοντας μία ερμηνευτική προσέγγιση

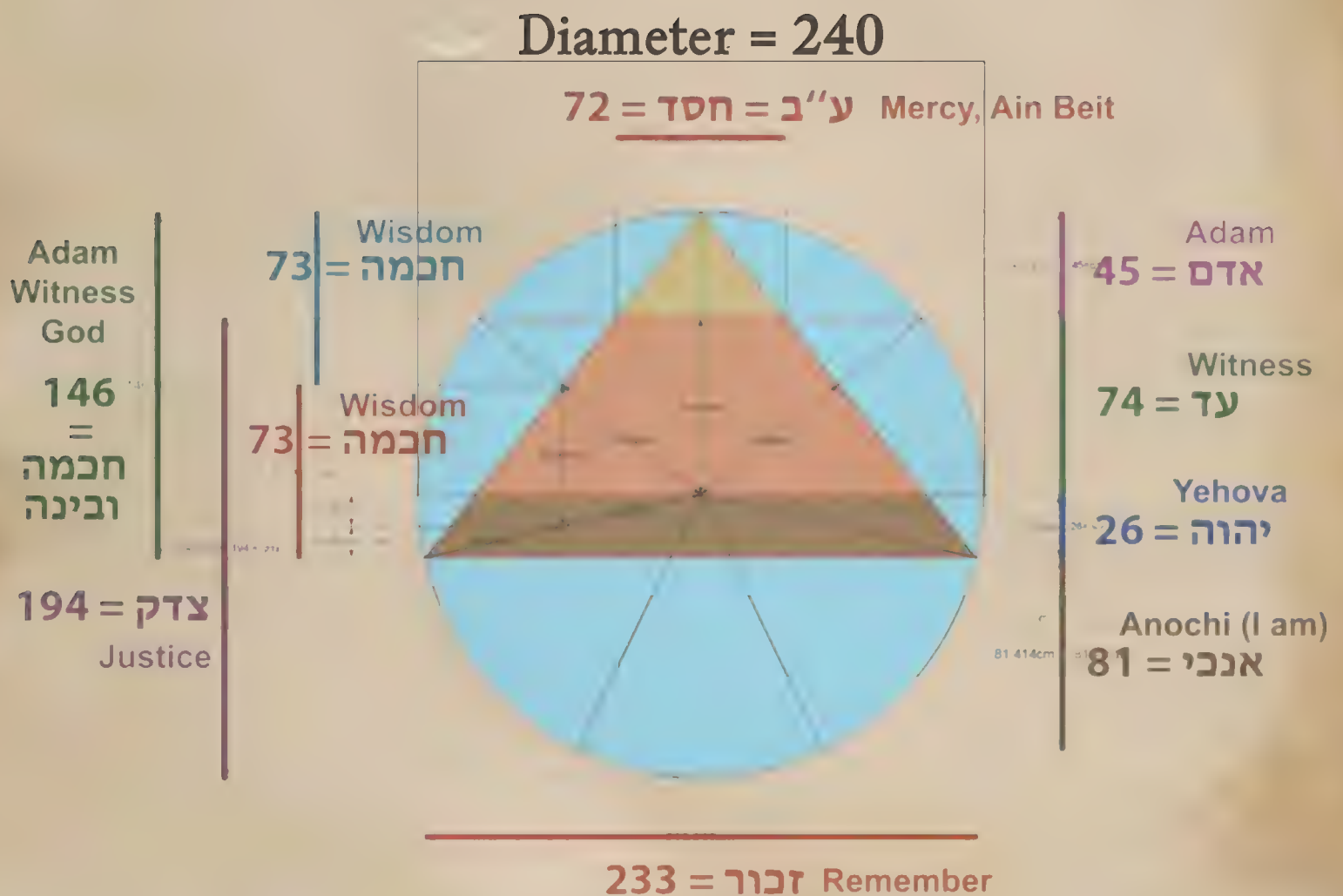
"The luthier who pierced the belly of his instrument with a design similar in many respects to the cosmographer's diagram of the universe could hardly be unaware of the fact that the geometry he employed was a key which could reveal the mystery of the cosmos. Indeed examples of geometry employed for symbolic purposes were available to him in glorious profusion not only in the Arab world, but in every major city in Europe. For as Painton Cowen argues in his magnificent study of medieval cathedral windows, 'Every rose window is a symbol and image of... the created universe.'"³⁴⁷



"Rose window in the North transept of Charles Cathedral. 'Its divine geometry is among its finest glories. Everything in the window is generated from the properties of the square within the circle' (Painton Cowen)." (Wells, 1981, σ. 40)

III **γράμματα σε γεωμετρικές κατασκευές** η υπόθεση αυτή εξήχθη από μία μελέτη της Varda Sarnat³⁴⁸ κατόπιν αντιστοίχησης τών αριθμητικών ισοψηφιών τών λέξεων με γεωμετρικές αποστάσεις γεωμετρικών κατασκευών. Πιθανό να ισχύει και για όλους τους πολιτισμούς με αντίστοιχα αλφαβητικά συστήματα, αφού όλοι οι πολιτισμοί μοιράζονται πολλά κοινά πολιτισμικά και πολιτιστικά στοιχεία.

"Secret relationships between words/letters and numbers are also established in the tradition of the Kabbalah. The idea that Joyce was fully aware of the connections between such numerological doctrines seems to be shared by Sheldon Brivic. The scholar points out that he "was aware of Giordano Bruno's statement that the wisdom of the Kabbalah 'derives from the Egyptians, among whom Moses was brought up,' " and that Blavatsky's "Isis Unveiled sees a connection between the Kabbalah and 'the cosmological theory of numerals which Pythagoras learned from the Egyptian hierophants."³⁴⁹



348 (Sarnat, 2017)
349 (Terrinoni, 2009, σ. 157). Cambridge Scholars Publishing.

¶ **γράμματα σε μουσική** (με ό,τι συνεπάγεται) μουσικότητα της γλώσσας, μουσικοί φθόγγοι εν παρατάξει παράγουν λέξεις κ.λπ. Η θεωρία περί της μουσικότητας της αρχαίας Ελληνικής (έμμετρη γλώσσα) διατυπώθηκε από τον Έρασμο (15^{ος} - 16^{ος} αι. μ.Χ.) και αφορούσε την ορθή διατύπωση της προφοράς των αρχαίων Ελληνικών. Επιπλέον, οι αρχαίοι Έλληνες διέθεταν 67 σύμβολα: καθένα από αυτά εμφανίζονταν ως μουσικές νότες στα μουσικά όργανα όσο και ως φωνητικές νότες στα τραγούδια.

"The instrumental notes were usually placed below the corresponding notes for singing, or just after them. For the vocal notes the 24 letters of the common later Ionic alphabet were used, and for instrumental notation the letters of an old Greek alphabet, without change in the middle part of the scale, which for this purpose was held to be the normal part; but those letters were modified by accent or other alteration to represent the higher or lower sounds. These notes only indicate height and depth of sound; the duration of each note is shown in singing by the length of each syllable, above which the note was placed like an accent; but for independent instrumental music 5 different degrees of length were distinguished, and they were designated above the notes themselves."³⁵⁰

¶ **γράμματα σε αστρονομία/αστρονομικές παρατηρήσεις.** Τον 17^ο αι. μ.Χ. (1603), ένας Γερμανός αστρονόμος ονόματι Bayer δημοσίευσε μία σειρά από χάρτες αστερών, στους οποίους τα λαμπρότερα αστερία κάθε ομάδας ήταν σχεδιασμένα με τα γράμματα του Ελληνικού Αλφαβήτου. Στο παρελθόν, ο Ιταλός Alexander Piccolomini το 1553-1561 μ.Χ. είχε σχεδιάσει αντίστοιχους χάρτες αστερών. Επίσης, ο E. G. Murphy σημειώνει ότι σε πολλά σχολικά βιβλία του 20^{ου} αι. μ.Χ. και στην τεχνική βιβλιογραφία της αστρονομίας, οι αναφορές σε μεμονωμένα αστερία απλώς γίνονταν με τη χρήση ενός ελληνικού γράμματος συνδεδεμένο με τον λατινικό όρο του αστερισμού. Για παράδειγμα, το αστερί Alpha στη Lyra γράφεται ως 'α *Lyrae*', το Delta στον Orion ως 'δ *Orionis*' κ.λπ.³⁵¹ Είναι γνωστό τοις πάσι ότι ήδη στην Αίγυπτο τα αστρικά σμήνη συσχετιζονταν με Αιγυπτιακούς Θεούς.³⁵² Στον Ελλαδικό χώρο, ο Ερατοσθένης συνέγραψε μία πραγματεία με το όνομα «Καταστερισμοί» ή "Catasterismi" στην οποία συσχέτισε τη μυθολογία με τους αστερισμούς.³⁵³

Νωρίτερα, όπως πληροφορεί ο Πλίνιος, ο Πυθαγόρας συνέδεσε την αστρονομία με την μουσική: τα μουσικά διαστήματα με τις αποστάσεις των πλανητών.

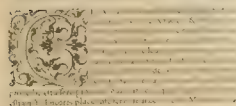
"The penetrating genius of Pythagoras, however, inferred that the distance of the moon from the earth was 15,750 miles," and that of the sun from the moon twice that figure, and of the sun from the twelve signs of the Zodiac three times. Our fellow-countiymen Sulpicius Gallus also held this view [...] Pythagoras draws on theory of music, and designates the distance between the earth and the moon as a whole tone, that between the moon and Mercury a semitone, between Mercury and Venus the same, between her and the sun a tone and a half, between the sun and Mars a tone (the same as the distance between the earth and the moon), between Mars and Jupiter half a tone, between Jupiter and Saturn half a tone, between Saturn and the zodiac a tone and a half: the seven tones thus producing the so-called diapason," i.e. a universal harmony; in this Saturn moves in the Dorian mode, Jupiter in the Phrygian, and similarly with the other planets." Pliny the Elder, *Natural History*,³⁵⁴ II. xix. xx

Τέλος, αναφέρεται ότι οι Αιγύπτιοι, όπως οι Έλληνες -από τον Πυθαγόρα έως τους πανεπιστήμονες των Ελληνιστικών χρόνων- μέχρι το Μεσσαίωνα και τους νεώτερους χρόνους, συνέδεαν τις 7 νότες της διατονικής κλίμακας με τους 7 πλανήτες. Θεωρούσαν ότι οι Πλανήτες εκπέμπουν τη δική τους μουσική (συχνότητα), τη λεγόμενη "Μουσική των Ουρανίων Σφαιρών".³⁵⁵



A print of the copperplate engraving for Johann Bayer's *Uranometria* (1661 edition) showing the 12 new southern constellations.

De A. Thevet, *Liure VI*. 586
"ALEXANDRO PICCOLOMINI, SENIORI
C. 1560"



Portrait of Alessandro Piccolomini, half-length, facing front, wearing hooded mozzetta and hat, and pointing to an open book in front of him; illustration from André Thevet's "Les vrais pourtraicts et vies des hommes illustres" (Paris, 1584), p. 586. Engraving with letterpress below and on verso. The British Museum. R.N. 1879, 1213.288.

350 (Seyffert (Dr.), 1891, p. 480)

351 (Murphy, 1912/1923, p. 12).

352 (Hinckley Allen, 1899). "Satni, identified with Orion, although by some limited to the head of that figure; [...] Anit, that Renouf thought may have been marked by β Andromedae; the Fleece,

indicated by some stars of Aries; the Goose, by α Arietis; Chu, or Chow, the Pleiades."

353 (Easterling et al., 1996, σ. 604).

354 (Pliny the Elder, 1938, σ. 226-229)

355 (Burrowes et al., 1875, p. 39);

(Cecil. Gray, 2004/2013, σ. 261)

	Planets	Saturn	Jupiter	Mars	Sun	Mercury	Venus	Moon
	Πλανήτες	Κρόνος Φρόνος	Δίας	Άρης	Ήλιος Αέλιος	Ερμής	Αφροδίτη	Σελήνη
	Word Value (Greek)	510 580	215	309	318 316	353	993	301
Ancient Greek astronomers, philosophers, musicians (Σπυρίδης, n.d., σ. 11)	Notes	paraneta	parhypata	lichanos	mesa	paraneta	trita sinimmenon	neta
	string	C	F	G	A	C	B _o	D
According to Pythagoras (Proust, 2011, σ. 358)	Notes	B	C	D	E	F	G	A
Nicomachus of Gerasia <i>Manual of Harmony</i> (Proust, 2011, σ. 359)	string	hypata	parhypata	hypermesa	mesa	trita	paraneta	neta
	soundwave	semi tone	tone	tone	tone	semi tone	tone	tone

(Reinach, 1897, σ. 315-316). Plutarch, 1 ^o F ^o 224 (1, 1-12); Fo 225, f ^o 225 (tables a and b). Vatic. 192 gr.	B _o	1	νήτη ὑπερβολαίων																
	La _o	2	διάτονος ὑπερβ.																
			παρανήτη ὑπερβ.																
	Sol _o	3	τρίτη ὑπερβ.																
	Fa	4	νήτη διαζευγμένων		two words erased		Sol	χρωματική ὑπερβ.											
			χρω (sic)		ὑπερμιξολυδίου [μέση]		?	ὀξύτερα νήτη											
	Mi _o	5	παρανήτη διαζευγμένων	Mi _o	μιξολυδίου μέση (λεῖμμα)		Mi _o	διάτονος και νήτη συνημμένων											
	Re _o	6	τρίτη διαζ.	Re	λυδίου μέση (τόνος)		Re	χρωματική διεζ.											
							Re _o	διάτονος συνημμένων											
							Do	χρωματική συνημμένων											
	Do	7	παραμέση	Do	φρυγίου μέση (τόνος)		Do _o	τρίτη συνημ.											
	Si _o	8	μέση	Si _o	δωρίου μέση														
	La _o	9	μέσων διάτονος		λεῖμμα														
			λιχανός μέσων	La	ὑπολυδίου μέση (τόνος)		La												
	Sol _o	10	παρυπάτη μέσων	Sol	ὑποφρυγίου μέση		Sol	χρωματική των μεσ.											
	Fa	11	ὑπάτη μέσων	Fa	ὑποδωρίου μέση		Fa												
	Mi _o	12	ὑπερυπάτη																
			λιχανός ὑπάτων																
	Re _o	13	παρυπάτη ὑπάτων																
	Do	14	ὑπάτη ὑπ.																
	Si _o	15	προσλαμβανόμενος																

ὑπερβολαίων

συνημμένων

διαζευγμένων

τετράχορδα

μέσων

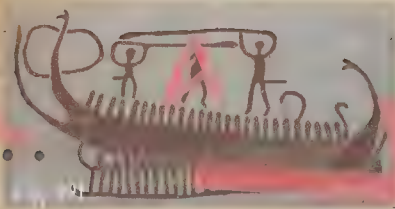
ὑπάτων

Octave name	Octave name	Do	Do#	Re	Re#	Mi	Fa	Fa#	Sol	Sol#	La	La#	Ti
Frequency (Hz)	Frequency (Hz)	C	C#	D	D#	E	F	F#	G	G#	A	A#	B
(Szynalski, Tomasz P., 2011); πρβ (A (Musical Note), n.d.)	Subcontra (Hz)											A0 ~28	B0 ~31
	Contra (Hz)	C1 ~33	C#1 ~35	D1 ~37	D#1 ~39	E1 ~41	F1 ~44	F#1 ~46	G1 ~49	G#1 ~52	A1 55	A#1 ~58	B1 ~62
	Great (Hz)	C2 ~65	C#2 ~69	D2 ~73	D#2 ~78	E2 ~82	F2 ~87	F#2 ~92	G2 ~98	G#2 ~104	A2 110	A#2 ~117	B2 ~123
	Small (Hz)	C3 ~131	C#3 ~139	D3 ~147	D#3 ~156	E3 ~165	F3 ~175	F#3 ~185	G3 ~196	G#3 ~208	A3 220	A#3 ~233	B3 ~247
	One-lined (Hz)	C4 ~262	C#4 ~277	D4 ~294	D#4 ~311	E4 ~330	F4 ~349	F#4 ~370	G4 ~392	G#4 ~415	A4 440	A#4 ~466	B4 ~494
	Two-lined (Hz)	C5 ~523	C#5 ~554	D5 ~587	D#5 ~622	E5 ~659	F5 ~698	F#5 ~740	G5 ~784	G#5 ~831	A5 880	A#5 ~932	B5 ~988
	Three-lined (Hz)	C6 ~1047	C#6 ~1109	D6 ~1175	D#6 ~1245	E6 ~1319	F6 ~1397	F#6 ~1480	G6 ~1568	G#6 ~1661	A6 1760	A#6 ~1865	B6 ~1976
	Four-lined (Hz)	C7 ~2093	C#7 ~2217	D7 ~2349	D#7 ~2489	E7 ~2637	F7 ~2794	F#7 ~2960	G7 ~3136	G#7 ~3322	A7 3520	A#7 ~3729	B7 ~3951
	Five-lined (Hz)	C8 ~4186	C#8 ~4435	D8 ~4699	D#8 ~4978	E8 ~5274	F8 ~5588	F#8 ~5920	G8 ~6272	G#8 ~6645	A8 7040	A#8 ~7459	B8 ~7902

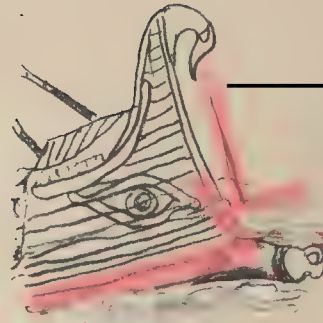
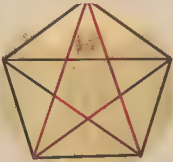
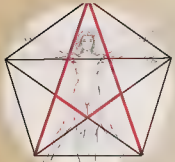
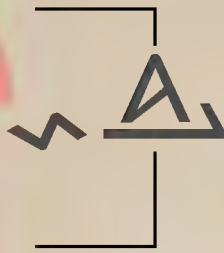
«Ο Πλάτων αποφάσισε να συναντήσει τους Μάγους στην Αίγυπτο, δεν το έκανε όμως εξαιτίας των πολέμων στην Ασία.»

Διογένης Λαέρτιος, «Φιλοσόφων Βίων και δογμάτων συναγωγή,» 3.7

Rock carving on Massleberg farm in Skee parish, Strömstad municipality in Bohuslen. Bronze Age. south-western Sweden. Massleberg 1 rock art (RAÄ-Number: Skee 614:1)



SEA ALΣ ΘΑΛΑΣΣΑ

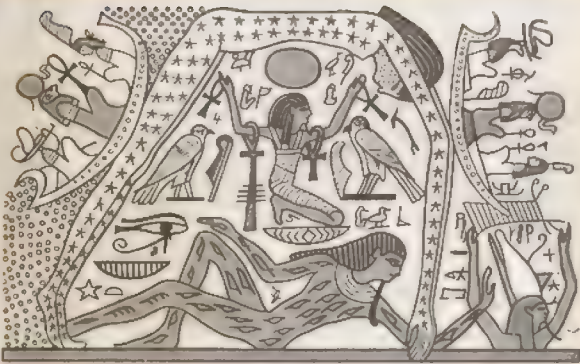


(Καραντζόλα, n.d., σ. 15). L: Επιχώριο Αλφάβητο Πάρου & Θάσου

Δήλωση πορείας (σε κάτωψη)

Son of Shu and Tefnut, Geb was the God who personified the Earth. Already mentioned in the Pyramid Texts, where he is often juxtaposed with Ra, he possessed powers that were not always positive: earthquakes were his laughter and he could cause aridity or sterile areas in the land of Egypt. Being the Earth God par excellence, Geb could also represent the tomb and in fact in the Pyramid Texts it is said that the deceased pharaoh 'shall not enter Geb' or 'shall not sleep in his house'.

Geb, however, has a benevolent aspect: as the God of the Earth, wheat was said to sprout from his ribs and venegation from his back. He was also the source of fresh water and of all those products that sprouted from the soil; the God was in fact associated with fertility. Box of the outer coffin of Butehamon. Wood. 3rd Intermediate Period (1076-944 BC)



Egyptian: Note Key of life representing the sign of the cross, and coiled around are the stars of the milky way galaxy

Egyptian: Note Key of life representing the sign of the cross, and coiled around are the stars of the milky way galaxy.

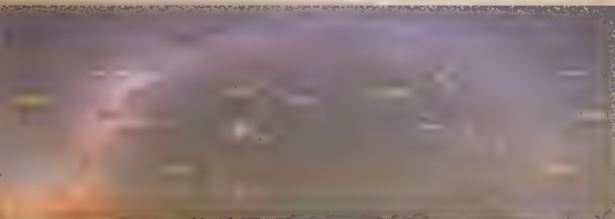
Milky Way galaxy

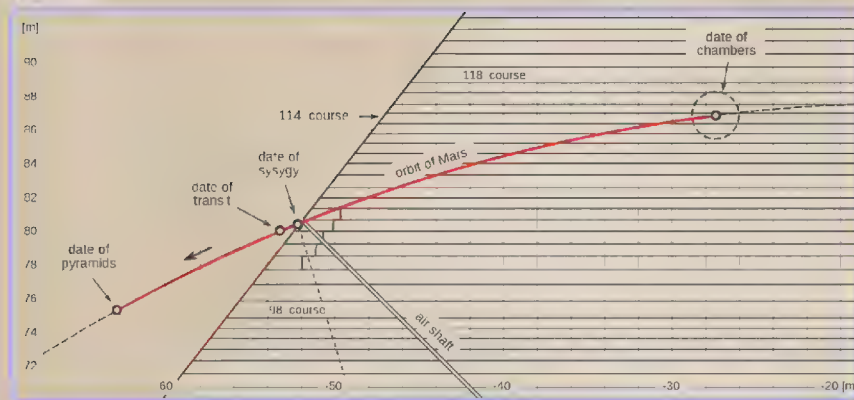
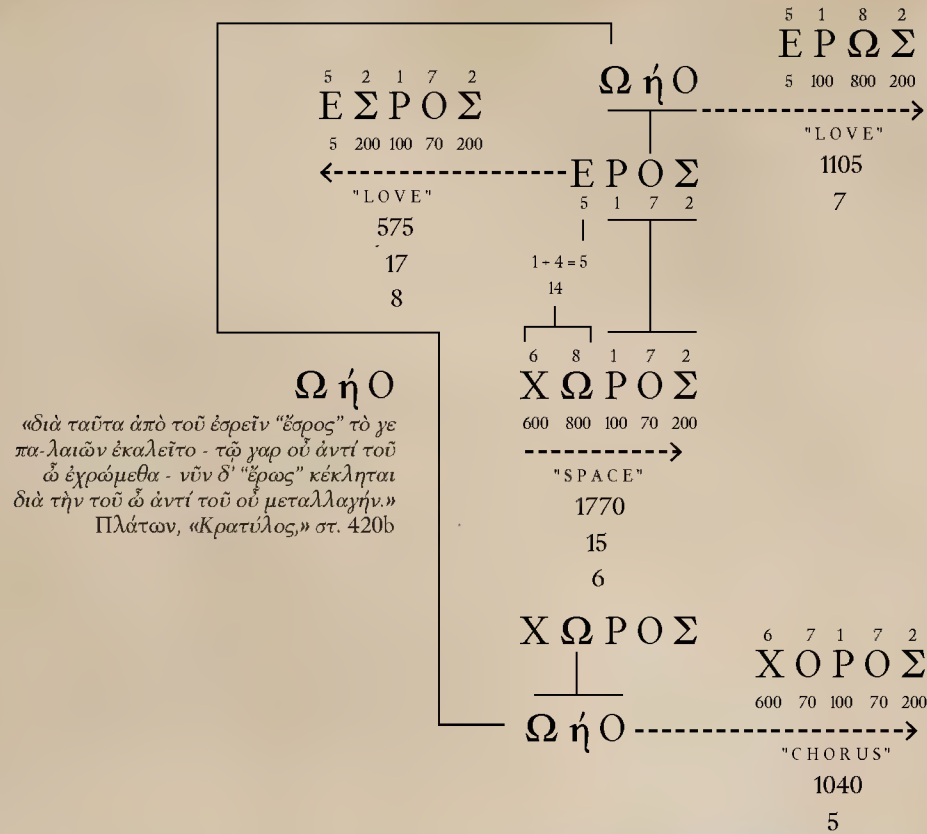


Quetzalcoatl Maya Galaxy

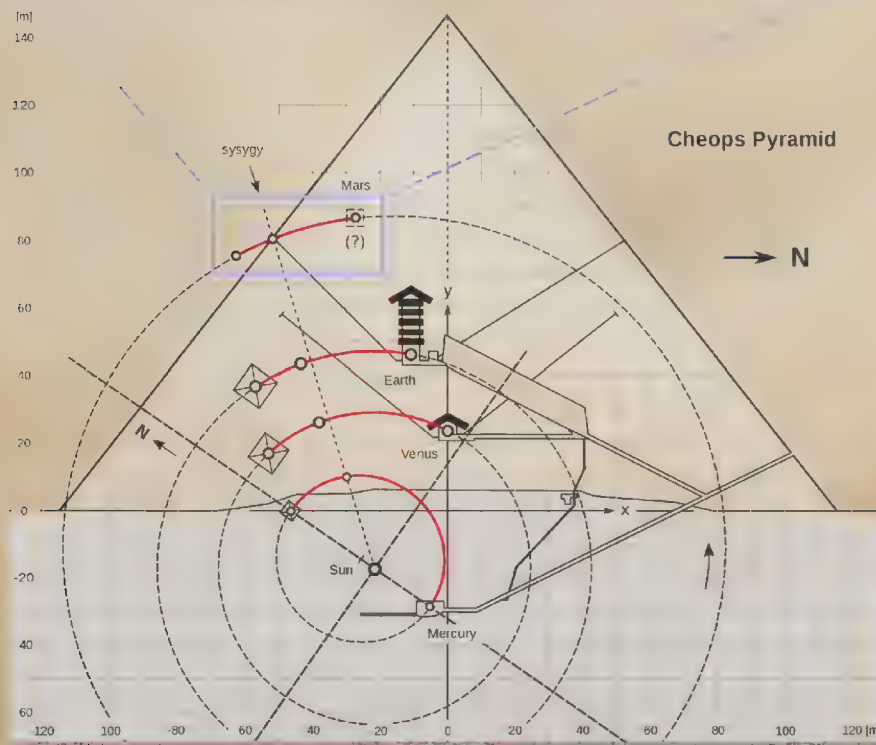


Funerary papyrus of Djedkhonsouefankh in which the earth god Geb, the sky goddess Nut and the god of the atmosphere Shu are represented. XXI dynasty (1069-945 BC circa)





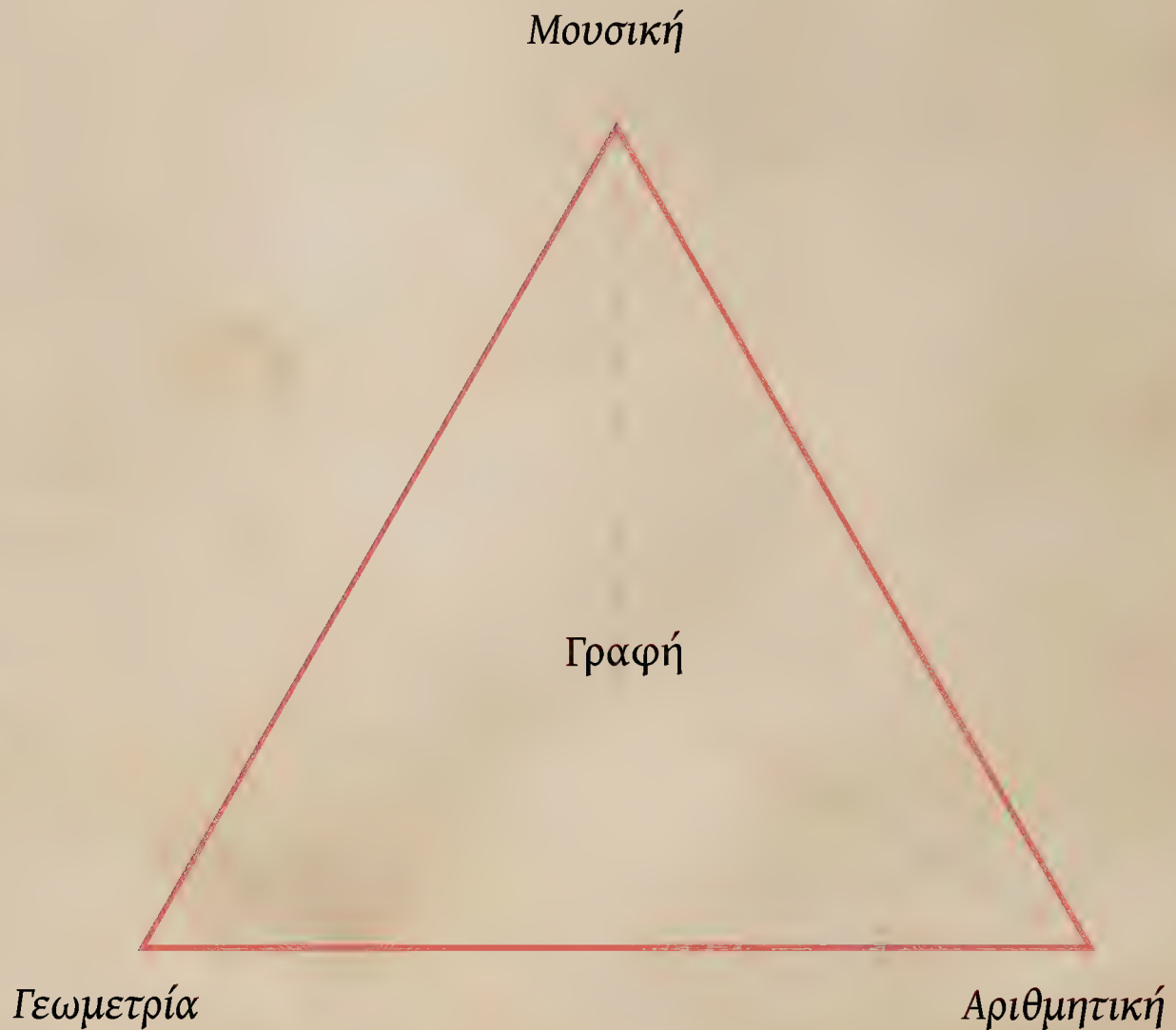
Cross section of the original state of the Great Pyramid with details of the "Mars position" and its environment (upper inset) during the astronomical events in the year 3088 AD. The levels of the courses were measured by W. M. F. Petrie [6, Map VIII]. The shape of the blocks of stone around the opening of the southern air shaft is taken from a drawing of Maragioglio and Rinaldi [9, part IV, map 2, Fig. 2]. This drawing, where we find also the numbers of the courses, was published in 1965. Today, in the year 2014 some more blocks have been removed around the mouth of the air shaft. So, the reader can compare the state of 1965 with the situation at present. by Hans Jelitto.



«Ἐν ἀρχῇ ἦν ὁ λόγος καὶ ὁ λόγος ἦν πρὸς τὴν συμμετρίαν
καὶ συμμετρία ἦν ὁ λόγος.»

Πυθαγόρειοι

Δισδιάστατο σχέδιο απόδοσης υπόθεσης



Τετράεδρο {3, 3} σε Κάτοψη (άνω σχήμα),

Αξονομετρικό (δεξιό σχήμα).

Πλατωνικό στερεό - Πύρ, Πλάτων, «Τίμαιος» στ. 56[a-c]

Τρισδιάστατη σχηματική απόδοση υπόθεσης



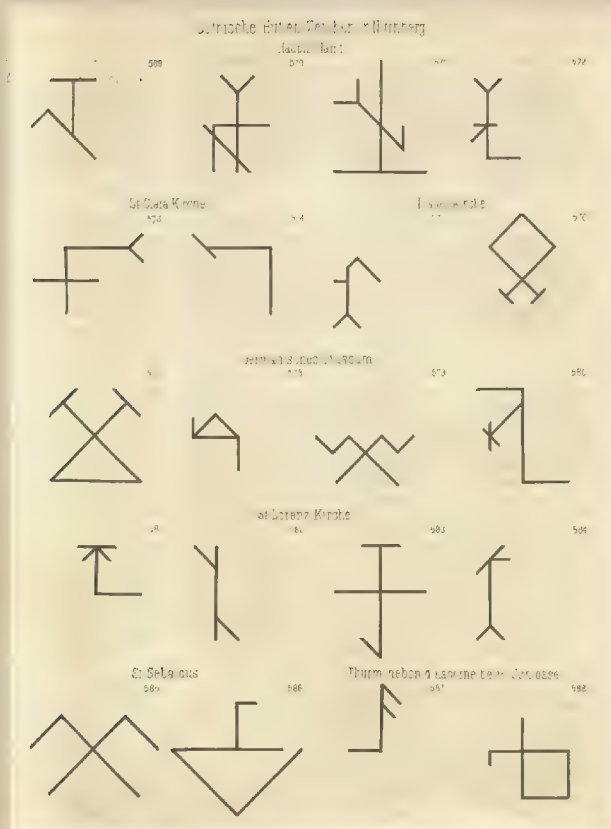
Ανακεφαλαίωση υπόθεσης



περίπτωση κατά την οποία τίθενται τα μαθηματικά μεταξύ ιδεών και αισθητών από ορισμένους φιλοσόφους (Αριστοτέλης, «Μετά φυσικά», στ. 995b[18-21]) υποδηλώνει μία προσπάθεια ερμηνείας των ιδεών μέσα από τον κόσμο των μαθηματικών (γεωμετρίας, αριθμητικής). Τα σύμβολα είναι αυτά που μέσω της γεωμετρίας (των μαθηματικών) θα αποκαλυφθούν, θα γεφυρώσουν και θα ενώσουν τις δύο αντίπερες όχθες, του αισθητού και του νοητού κόσμου. Έπειτα, θα χαρτογραφήσουν και θα συμπυκνώσουν τον απροσπέλαστο κόσμο των ιδεών, προκειμένου να βελτιστοποιηθεί ο τρόπος επικοινωνίας μεταξύ ομοϊδεατών, ομογλώσσων και ομοθρήσκων κανονικοποιώντας την σωρεία από τις ακατάσχετες γραμμές. Ο ορισμός ενός σημείου αναφοράς (όπως στο παράδειγμα μίας ακτινωτής πόλης), δηλαδή ενός κοινού κώδικα γραπτής επικοινωνίας θεωρείται ότι υποβάλλεται σε μία διαδικασία μίμησης. Η εικονογραφική γραπτή απόδοση της γλώσσας είναι στη βάση της μια μιμητική τέχνη από τις προσλαμβάνουσες του περιβάλλοντος

Engraving of Lord Monboddo by C. Sherwin, 1787 (after John Brown).
Source: William Angus Knight, Lord Monboddo and Some of His Contemporaries, London, J. Murray, 1900.

Ržiha, Franz von: Studien über Steinmetz-Zeichen; T.3, Von dem graphischen Principe der Steinmetz-Zeichen. 1883



της αποτυπώνονται εικόνες στοιχείων του περιβάλλοντος. Ενδεικτικά, για το εικονογραφικό σύστημα γραφής ο Κλήμης ο Αλεξανδρεύς σχολιάζει ως «κυριολογική κατά μίμησην.»³⁵⁶

Ακολουθώς, υποστηρίζεται ότι ο άνθρωπος μέσα από τον έναρθρο λόγο μιμείται την ευφωνία του ζωϊκού βασιλείου· αφουγκράζοντας τους εύχους σχηματισμούς της φύσης, κατόρθωσε να προσθέσει μία ευχάριστη μελωδία σε ηχητικές ακολουθίες που συγκροτούν τη γλωσσική επικοινωνία. Σύμφωνα με τον Λόρδο Monboddo, Σκωτσέζο δικαστή, μελετητή της γλωσσικής εξέλιξης (ιδρυτή της σύγχρονης συγκριτικής ιστορικής γλωσσολογίας) και φιλόσοφο του 18^{ου} αι. μ.Χ., τα λατινικά και τα ελληνικά -αμοιβαία όπως όλες οι πρώιμες γλώσσες- διέθεταν μέρος από την υπέρτατη ευφυΐα του τραγουδιού των πτηνών, επειδή η ανθρωπότητα, όπως σημειώνει, σχεδόν σίγουρα έμαθε να ομιλεί μιμούμενη τη μελωδία των πτηνών. Η σημερινή παραφθορά θεωρείται ως απότοκος της ιστορικής προόδου που ολοένα και επιφέρει μια πτώση από την τόσο καθαρή τονικότητα του λόγου.³⁵⁷ Από την Ρωμαϊκή εποχή σχολιάζεται μέσω του Σενέκα του Πρεσβύτερου (ρήτορα, δραματουργού, στωικού φιλοσόφου, και πολιτικού), ότι από την εποχή του Κικέρωνα «τα πράγματα γίνονταν καθημερινά χειρότερα,» όσον αφορά την πτώση του επιπέδου της ρητορικής.³⁵⁸ Ένα έμμεσο παράδειγμα παραβολής ανθρώπινης γλώσσας και γλώσσας πτηνών βρίσκεται στο έργο «Βάτραχου» του Αριστοφάνη.³⁵⁹

«ΧΟ. Μοῦσα, χορῶν ἱερῶν ἐπιβῆθι καὶ ἔλθ' ἐπὶ τέρψιν
[στρ.]

ἄοιδᾶς ἑμᾶς, 675
τὸν πολὺν ὀφρομένη λαῶν ὄχλον, οὗ σοφαὶ
μυρίαὶ κᾶθηνται
φιλοτιμότεραι Κλεοφῶντος, ἐφ' οὗ δὴ 680
χείλεσιν ἀμφιλάλοισ δεινὸν ἐπιβρέμεται
Θρηκία χελιδῶν
ἐπὶ βάρβαρον ἐξομένη πέταλον·
τρύζει δ' ἐπὶ κλαυτὸν ἀηδόνιον νόμον, ὡς ἀπολείται, 685
κἂν ἴσαι γένωνται.»

ΧΟΡ. Μοῦσα, προστάτεψε εσύ τοὺς ἱερούς μας Χορούς,
στήσε καλόβουλο αἰτὶ στο τραγουδί μας
κι ἔλα, στα ἐδῶλια τα πλήθη να δεις τοῦ λαοῦ.
Πόσοι σοφοί! Πιο φιλόδοξοι
κι ἀπ' τὸν Κλεοφώντα, που πάνω στα δῖγλωσσα χεῖλια τοῦ,
έτσι ὅπως κάθεται πάνω σε βάρβαρο φύλλο,

356 (Westropp, 1868, σ. 338).

357 (Billig, 1991, σ. 201)

358 (Billig, 1991, σ. 201)

359 (Αριστοφάνης, 2012). Βάτραχοι; ("Hellenke Chrestomatheia Ek Ton Dokimoteron Hellenon Pezographton Kai Poieton: Meta Scholion Grammatikon, Historikon Kai Geographikon, Kai Met' Epitomon Philologikon, Kai Kritikon Ektheseon ... Pros Chresin Ton Hapantachou Hellen: Scholeion Kai Gymnasion. Ekdosis Pempte Stereotipos," 1853, σ. 149). Αριστοφάνης, Βάτραχοι. «Κλεοφώντος». Δημαγωγός και στρατηγός τῶν

Αθ. κωμωδούμενος ὡς παρέγγραπτος (Θράξ) καὶ ἀμαθής. Ἦν δὲ πρότερος λυροποιὸς· καὶ κατέπεισε τοὺς ΑΘ. μετὰ τὴν ἐν Ἀργινοῦσαις ναυμαχίαν, μὴ προσδέξασθαι τὴν εἰρήνην· ὕστερος δὲ ἐφονεύθη ἐν τινὶ στάσει. Μεσιτεύει δὲ ὁ ποιητὴς ὑπὲρ ἀθωώσεως τῶν 400 (ἴδε κατωτέρω), ἴσως δὲ καὶ τῶν διασωθέντων τεσσάρων στρατηγῶν ἐκ τῶν ἐν Ἀργινοῦσαις ναυμαχησάντων καὶ καταδικασθέντων. - χεῖλεσιν Ἀμφιλάλοισ]. διότι ἐλάλει φαίνεται καὶ τὴν πάτριον τοῦ γλωσσῶσαν, ὅθεν καὶ τὸν παραβάλλει μὲ χελιδόνα καὶ ἀηδόνα, ὑπαινιττόμενος τὰ κατὰ τὸν Τηρέα καὶ τὴν Πρόκνην καὶ Φιλομήλαν ἐν Θράκῃ συμβάντα.»

άγρια λαλεί χελιδόνι θρακιώτικο·
σκούζει και λέει αηδονιού θρηνηρό μοιρολόι·
ναι, γιατί ξέρει πως κι αν
ισοψηφία του δοθεί, πάει χαμένος ο μαύρος.»

680

Κάτω από τη διατύπωση του Λόρδου Monboddou, αλλά και την πραγματεία "De Recta Latini Graecique Sermonis Pronuntiatione D. Erasmi Dialogus." του Έρασμου (15^{ος}-16^{ος} αι. μ.Χ.), μέσω της οποίας τεκμηριώθηκε η Ελληνική γλώσσα ως έμμετρη, διαμορφώνεται η διαπίστωση ότι η Ελληνική γλώσσα ήταν μία μιμητική προσπάθεια εύχης και μουσικής απόδοσης κάποιων εικόνων, εννοιών κ.ο.κ., όπως συμβαίνει και με μεταγενέστερες γλώσσες, λ.χ. των γαλλικών και αγγλικών.³⁶⁰

Εμίμηση λαμβάνεται ως μία δημιουργική ενέργεια τής ίδιας τής απεικόνισης,³⁶¹ μέσω της οποίας δε στοχεύεται μία ενθύμιση μίας συγκεκριμένης εικόνας, αλλά **η ουσία του πράγματος**.³⁶² Στους φωνητικούς ήχους αντιστοιχίζονται, τα αποκαλούμενα από τον Σωκράτη «γράμματα και συλλαβές», δηλαδή τα μικρότερα στοιχεία του έναρθρου λόγου. Ο ίδιος ο λόγος δεν μιμείται επακριβώς κάτι, παρά την ουσία του αντικειμένου στη σημαινόμενη πλευρά μέσα από τα φωνήματα του.³⁶³

Στην περίπτωση των αιγυπτιακών ιερογλυφικών, θεωρούμενα ως μία δημιουργική προσπάθεια ενός αφηγηματικού κειμένου με εικονική βάση συστάθηκε ένα σύστημα ορισμών σημαντικής, δηλαδή μικρά κατηγορηματικά σήματα, συμβατικού τύπου, μεταγράφοντας γραμματικές έννοιες.³⁶⁴ Στη σημειωτική (σημειολογία), συμβατικά σημεία νοούνται ως εκείνα που η εσωτερική σχέση παράστασης και περιεχομένου είναι ανύπαρκτη.³⁶⁵ «σχηματίζουν εύκολα συντάγματα, παρατάσσονται σε μικροσειρές και προσαρμόζονται στη διήγηση, στη δημιουργία αφηγηματικών εικόνων.»³⁶⁶ Για τα εικονικά σημεία προϋποτίθεται η σημασία να έχει μία έκφραση μοναδική που φυσικά τους ανήκει,³⁶⁷ ώστε να διακρίνονται σαφέστερα έναντι των συμβατικών. «Η παραστατικότητα είναι μία σχετική ιδιότητα και όχι απόλυτη» την οποία αντιλαμβάνονται τα άτομα κάτω από όμοιες ή παρόμοιες προσλαμβάνουσες και εμπειρίες.³⁶⁸ Στα ιερογλυφικά της Αιγύπτου, τα συμβατικά και τα εικονικά σημεία συνυπάρχουν και αλληλεπιδρούν σε μία αέναη κίνηση «διείσδυσης και απόθησης. Το πέρασμα των σημείων από τον ένα κόσμο στον άλλο (συμβατικού και εικονικού), σκιαγραφεί μία βασική όψη της πολιτιστικής κυριαρχίας του ανθρώπου επί του κόσμου με τη βοήθεια των σημείων.»³⁶⁹

Από τα ιερογλυφικά της Αιγύπτου απεικονίζονται εικονογραφικά τα στοιχεία του περιβάλλοντος με σχετική αφαίρεση. Στην περίπτωση της αρχιτεκτονικής, τα στοιχεία του περιβάλλοντος έχουν αποδομηθεί, αφού από τις μελέτες των στοιχείων τους αφαιρέθηκε η «νοητή ύλη», η αριστοτελική «έκταση», των γεωμετρικών αντικειμένων, εξάγοντας τα απλούστερα γεωμετρικά σχηματικά στοιχεία, βάσει των οποίων διαρθρώνεται η δομή τους.³⁷⁰ Όπως έχει τεκμηριωθεί στο κεφάλαιο "Προλεγόμενα. Παρατηρήσεις & Σχολιασμοί," υπενθυμίζεται ότι τα κτίρια και τα μνημεία σχεδιάζονται δια σχεδιαστικών κανόνων.³⁷¹ τεθειμένοι από την/τον αρχιτέκτονα, υπό τη βοήθεια των αποδομημένων -απλούστερων ή μη- γεωμετρικών σχημάτων (λ.χ. πεντάγραμμος ή εξάγραμμος αστέρας). Ακολουθώς, ο σχεδιασμός των γραμμμάτων της αλφαβήτου απαιτεί μία σχεδιαστική βάση/αφετηρία (ως παραδοχή), αφού η γλώσσα νοείται ως πνευματικό οικοδόμημα και κώδικας επικοινωνίας με γραμματικούς και συντακτικούς κανόνες, θα συνεπάγεται κάτι αντίστοιχο για το σχηματισμό των γραμμμάτων. Άλλωστε, από την ομοιότητα των σχημάτων των γραμμμάτων ίδιας φωνητικής αξίας ανά τους πολιτισμούς, υποδηλώνεται μία κοινή σχεδιαστική βάση ή καλύτερα δεξαμενή άντλησης μορφών-σχημάτων. Επίσης, σχεδιασμένο διαρθρωμένο κώδικα επικοινωνίας αποτελεί ένα κτήριο, αφού ήδη από την αρχαία εποχή αναγνωρίζεται και διατυπώνεται ότι στο κτήριο ενυπάρχει το δίπολο σημαίνοντος & σημαινόμενου,³⁷² όπως στο γλωσσικό σημείο -στη γλώσσα (Saussure).

Στην περίπτωση της δημιουργίας της Ελληνικής γραφής, φαίνεται ότι έλαβε επιρροές από την Αιγυπτιακή ιδεογραφική-σχηματική απόδοση των στοιχείων του λόγου.³⁷³ επακολουθώς τα γράμματα δύναται να θεωρηθούν ως συμβατικά σημεία. Ο Umberto Eco για τη σημειακή λειτουργία διατυπώνει ότι «μία μονάδα έκφρασης» (στην προκείμενη περίπτωση γραπτής και φωνητικής έκφρασης) συσχετίζεται με περισσότερες μονάδες «ενός περιεχομένου», δηλαδή ένα σημείο δεν αποτελεί μία σταθερή οντότητα. Ένα σημείο είναι ένας κοινός τόπος επαφής ανεξάρτητων στοιχείων, προερχόμενα από δύο διαφορετικά συστήματα δύο διαφορετικών επιπέδων της έκφρασης και του περιεχομένου.³⁷⁴ Για τον Eco, το σημειωτικό νόημα είναι η κοινωνικοποιημένη κωδικοποίηση μιας αντιληπτικής εμπειρίας.³⁷⁵ Ένα παράδειγμα, από το οποίο διαπιστώνονται τα παραπάνω είναι ο αυθαίρετος σχηματισμός της λέξης ΦΥΩ. Κάθε γράμμα δύναται να συνδεθεί συνειρμικά με περισσότερα από ένα περιεχόμενα, αν και μόνο αν τα γράμματα θεωρηθούν ως συμβατικά σημεία, οργανώνοντας το νόημα της λέξης μέσα από μία κοινή αντιληπτική εμπειρία μάθησης (μιας δεδομένης χρονικής στιγμής το παρελθόντος) σχεδιαστικών

360 (Genette, 1995, σ. 55, 132-134, 149, 154, 158)

361 (Volcher, 2001, σ. 2)

362 (Genette, 1995, σ. 55)

363 (Genette, 1995, σ. 21)

364 (Yuri, 1981/1982, σ. 20)

365 (Yuri, 1982, 16)

366 (Yuri, 1981/1982, σ. 20)

367 (Yuri, 1981/1982, 16)

368 (Yuri, 1981/1982, 16)

369 (Yuri, 1981/1982, σ. 20-21)

370 (Ross, 1923/2001, σ. 225)

371 (Mitchell, 1990, σ. 8, 179-181) ;

372 (Βιτρούβιος, 2000, σ. 37)

373 (Volcher, 2001, σ. 3). "The idea that language is a picture is most closely associated with Wittgenstein's early thought. When he wrote in the Tractatus that a proposition is a picture he meant this quite literally. (Wittgenstein 1974: Prop. 4.016, 19) Hieroglyphic script obviously depicts the facts that it describes, and according to Wittgenstein "alphabetic script developed out of it without losing what was essential to depiction." (Prop. 4.016, 20) "Ludwig Wittgenstein: Αυστριακός φιλόσοφος, με σημαντική συνεισφορά στον τομέα της αναλυτικής φιλοσοφίας και της Λογικής

374 (Eco, 176, σ. 49)

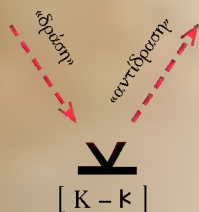
375 (Eco, 176, σ. 167)



Μάστορας
πελεκάει και κτίζει την
πέτρα. Ήπειρος, Ελλάς.
Το γράμμα Τ ως μία
έμμεση απόδοση ενός ήχου
μέσω της εικόνας (όψης)
ενός σφυριού.

Hammer.

Ταῦ



κωδίκων. Οι κώδικες αυτοί αναπτύσσονται σε αρχιτέκτονες, γλύπτες, ζωγράφους και λοιπούς σχετιζόμενους με τη τέχνη του σχεδίου κατά την μάθηση τους και την πρακτική τους άσκηση. Επομένως, είναι δύσκολο να γίνουν αντιληπτοί από ένα ευρύ κοινό, το οποίο δε διαθέτει ανάλογη εκπαίδευση ή εμπειρία. Μέσω της σχεδιαστικής κουλτούρας ή μιας οξυμένης παρατηρητικότητας κάποιος μπορεί να παρατηρήσει τη σύνδεση του 'Ω' με μία τομή εδάφους όπου βρίσκεται ένας αναπτυσσόμενος σπόρος, το 'Υ' με τη διακλάδωση ενός κορμού, και το 'Φ' με τη συμμετρία. Αυτή η ερμηνεία προκύπτει «από ένα ιεραρχημένο σύστημα κανόνων που αρθρώνεται από μία σειρά κωδίκων πολύπλοκα ιεραρχημένων που κάποιοι είναι ισχυροί και κάποιοι αδύναμοι και παροδικοί.» Ισχυροί κώδικα αποτελούν τα γράμματα 'Ω' και 'Υ', αφού υποδηλώνεται η νομοτέλεια ανάπτυξης ενός φυτού σε οποιοδήποτε έδαφος, ενώ παροδικός και αδύναμος κώδικας είναι το 'Φ', αφού στα φύλλα –δηλαδή στην απόληξη– ενός φυτού δεν εντοπίζεται πάντα η συμμετρία.

Τα τρία γράμματα αυτά όμως μπορούν να εφαρμοστούν και στο ανθρώπινο σώμα, όπως έχει αποδειχθεί μέσω διαδιάστατων σχεδίων, στην προηγούμενη έρευνα «Αρχαίο Ελληνικό Αλφάβητο» (Αύγουστος 2021), αλλά και σε προηγούμενα κεφάλαια. **Συνεπάγεται λοιπόν, μία σύγκλιση ποικίλων κωδίκων σε ένα συγκεκριμένο στοιχείο που αποφέρει την παραγωγή επιπλέον νοημάτων (ονομαζόμενη από τον Eco ως «υπερκωδικοποίηση»), μέσω των οποίων θα μπορούσε να τροφοδοτηθεί η σκέψη για φιλοσοφικούς στοχασμούς, ποιητικές εμπνεύσεις, καλλιτεχνικές ιδέες κ.ο.κ. Αυτές οι παρατηρήσεις αφορούν αποκλειστικά την Κεφαλαιογράμμη Ελληνική γραφή και όχι τη Μικρογράμμη.** Γεγονός αποτελεί ότι ο ευρύς κόσμος δεν ενδιαφέρεται από κάποια υποκείμενη ύπαρξη κωδίκων ή αν καταβάλλει προσπάθεια κατανόησης αδυνατεί να αναγνωριστεί η σημειωτική φύση αυτών των κωδίκων.³⁷⁶ Δηλαδή, η ικανότητά τους να δημιουργούν μια συνεχή παραγωγή σημείων μέσα από αφηρημένα σχέδια καθότι απουσιάζει η σχεδιαστική πείρα και το ενδιαφέρον είναι αρκετά ειδικό, λ.χ. καλλιτεχνικό. **Οι κώδικες αφορούν τη φύση του πράγματος και την πληροφορία που «εκπέμπεται» στο χώρο περί της καθαυτής ουσίας του αντικειμένου, «τονίζοντας» κάποια βασικά χαρακτηριστικά του, απόρροια είτε υποκειμενικών είτε αντικειμενικών ερμηνειών μιας κοινωνίας ή κάποιων δημιουργών, με τη χρήση υπεραπλουστευμένων σχεδίων-γραφημάτων (=γραμμάτων).**

Κατά αυτό το τρόπο, γεννάται η επιθυμία διερεύνησης και άλλων λέξεων, εφόσον ο αισθητός κόσμος διακατέχεται από κοινές νομοτέλειες. Το ζήτημα όμως γίνεται ακόμα συνθετότερο και δυσκολότερο, όταν επεισέρχονται λέξεις που εκφράζουν το σκοτάδι ή τη μέρα, και γεννάται η εύλογη απορία «πως θα μπορούσαν να αναγνωσθούν;» ή «με τις λέξεις σκοπός και σκότος τι συμβαίνει;» Έτσι οδηγείται κάποιος στον ορισμό μιας υπόθεσης όπου θα προβλέπεται η ταξινόμηση τους σε κατηγορίες και έπειτα θα εξετάζεται η συμπεριφορά τους. Δεν είναι δυνατόν να θεωρείται ότι κάθε λέξη αποδίδει την καθαυτή ουσία της, αφού υπάρχουν εκατοντάδες χιλιάδες αρχαίες λέξεις, οι οποίες διαφοροποιούνται ως προς την περιγραφή λεπτών χρωματικών νοημάτων. Εκτός αν σχεδιαστεί κάποιος αλγόριθμος, ο οποίος οδηγεί σε ένα ασφαλές συμπέρασμα· δηλαδή εφαρμοστεί για μεγάλο πλήθος δισύλλαβων ή και τρισύλλαβων γνωστών λέξεων, εξακριβωθεί η επιτυχία του και έπειτα εφαρμοστεί σε άγνωστες. Βέβαια όμως, θα πρέπει να ληφθεί σοβαρά υπόψη ότι μπορεί να έχουν οριστεί διαφορετικοί κανόνες σύνθεσης αυθαίρετοι ή κανονικοποιημένοι μέσα από σχεδιαστικούς γραμματικούς κανόνες, ή πιο απλώς και πολύ πιθανότερο μία λέξη να ήταν ένα αποτέλεσμα σιωπηρής σύμβασης μεταξύ μιας τοπικής κοινωνίας, όπως έχει σημειώσει ο Saussure.

Εν πάση περιπτώσει, καθοριστικό ρόλο διαδραμάτισαν η αριθμητική (σε πρώτο επίπεδο) και η γεωμετρία (επακόλουθα) στην ανάπτυξη του πολιτισμού, καθώς οι αριθμητικές πράξεις και οι γεωμετρικές αναζητήσεις αποτέλεσαν τα δύο κυριότερα και σημαντικότερα γράναξια της λειτουργίας του και της εξέλιξης του. Αργότερα, η ενατένιση προς τα άνω (η μελέτη των ουράνιων σωμάτων κατόπιν επίλυσης των βασικών αναγκών) θα δημιουργήσει την επιστήμη της αστρονομίας (σφαιρική) και θα επιδιωχθεί η ένταξη αυτών των γνώσεων στα σημαντικότερα αρχιτεκτονήματα της εποχής –τις υλικές επιτομές του σύμπαντος μιας κοινωνικής συσσωμάτωσης.

Το αλφαβητικό σύστημα γραφής –ως «μιμητική τέχνη»– φαίνεται ότι είναι μια εναρμονισμένη διασκευή των ανωτέρω– μουσικής, αριθμητικής, γεωμετρίας, αστρονομίας. Μιμητική τέχνη αναφέροντας, επειδή από την εικόνα του γραφήματος του Ελληνικού (και του Λατινικού) αλφαβήτου συνίσταται μία έμμεση απόδοση ενός ήχου.³⁷⁷ Για παράδειγμα, το γράμμα 'Κ' συναντάται στις λέξεις *κερκίς*, *παλαμάκια*, *κρότος*, *κρούση*, δηλαδή φαίνεται ότι αντιπροσωπεύει τον ήχο της δράσης και της αντίδρασης ενός στερού σώματος.³⁷⁸ Η φωνογραφική αυτή μίμηση σχετίζεται με τη φύση του αντικειμένου, δηλαδή την ιδεογραφική απόδοση του τρόπου

της ίδιας λειτουργίας του πράγματος -απόδοση ήχου, όπως κάτι παρεμφερές συνέβαινε στα ιερογλυφικά της Αιγύπτου.³⁷⁹ Στην παρούσα έρευνά, επεκτείνεται αυτή η θέση μέσω της υπόθεσης και εξετάζεται η συνύπαρξη αριθμητικών και γεωμετρικών συσχετισμών που συντελούν στην παραγωγή λέξεων. Αρχικά, αυτό παρατηρήθηκε σε λέξεις όπου θεμελιώνεται η φιλοσοφική σκέψη και ο θεολογικός στοχασμός, αλλά φαίνεται ότι επεκτείνεται και σε δευτερευούσας σημασίας λέξεις.

«Σωκράτης: Όταν κάποιος θεός ή θείος άνθρωπος —υπαρκτός στην Αίγυπτο παράδοση ως κάποιος Θεοϋθ— κατάλαβε ότι η φωνή είναι άπειρη, και πρώτος αυτός κατάλαβε ότι τα φωνήεντα μέσα στο άπειρο δεν είναι ένα αλλά περισσότερα· ακόμη ότι υπάρχουν άλλα που δεν έχουν βέβαια φωνή, όμως έχουν κάποιον ήχο και ότι αυτά έχουν κάποιον ωρισμένον αριθμό· και τέλος ξεχώρισε ένα τρίτο είδος τα γράμματα, αυτά που τα ονομάζουμε τώρα άφωνα· ύστερα από αυτό προχώρησε στη διαίρεση των αφθόγγων και των αφώνων, για να φθάση στο καθένα χωριστά· και των φωνηέντων και των μέσων με τον ίδιο τρόπο, ώσπου βρήκε τον ωρισμένον αριθμό και για το καθένα χωριστά και για όλα μαζί έδωσε το ονομα στοιχείο. Όμως κατάλαβε ότι κανείς δε θα μπορούσε να μάθαι το ένα μονάχο του, χωρίς να μάθει όλα αυτά μαζί· ακόμη κατανόησε ότι αυτός ο δεσμός που έχουν είναι ενιαίος και τα κάνει όλα αυτά να αποτελούν μια ενότητα. Έτσι έβγαλε το συμπέρασμα ότι για όλα αυτά μια είναι η τέχνη που υπάρχει και την ονόμασε γραμματική.»³⁸⁰ Πλάτων, «Φίληβος», στ. 17[c-e]

Σε αυτό το χωρίο, εμμέσως πλην σαφώς, ομολογείται ότι η γλώσσα και η γραφή είναι ένας εναρμονισμένος τρόπος κανονικοποίησης των απείρων συνδυασμών των ηχητικών ακολουθιών. Η «γραμματική τέχνη» -αλλιώς η τέχνη των Γραμμάτων- θεωρείται σχεδόν απίθανο να μην αλληλεξαρτάται από την μαθηματική επιστήμη (αριθμητική, γεωμετρία) της αρχαίας εποχής. Λαμβάνοντας υπόψιν το αδιαμφισβήτητο γεγονός ότι οι «μετεγγραφές» των μαθηματικών γνώσεων γινόντουσαν στα αρχιτεκτονικά έργα και ότι η γλώσσα αποτελεί ένα πνευματικό οικοδόμημα³⁸¹, γίνεται πιο εύληπτη και κατανοητή μία πιθανή μετεγγραφή ορισμένων γνώσεων, αλλά και των πεποιθήσεων περί της φύσης των πραγμάτων, στις λέξεις, όπως φαίνεται μέσω των παρατηρήσεων παρακάτω στο κεφάλαιο «14 Αλφάβητα. Παραδείγματα ανά ζεύγη λέξεων». Το γεγονός ότι η μαθηματική επιστήμη δεν ενδιαφέρεται για το καλό ή το κακό (όπως αναφέρει ο Αριστοτέλης στο έργο «Μετά τα Φυσικά», στ. 996b[1-2]) δεν πρέπει να προκαλείται η εντύπωση της ύπαρξης αρμονικών σχημάτων σε έννοιες (δηλαδή σε λέξεις) που δεν εκφράζεται το εν γένει καλό ή ιερό.

Επιπλέον, τόσο πολιτικές ιδεολογίες όσο και θρησκευτικά δόγματα θα μπορούσαν να είχαν χρησιμοποιήσει αυτό το εργαλείο ως μηχανισμό «σιωπηρής απόδειξης» μιας φιλοσοφικής -ή γενικότερης- υπεροχής έναντι άλλων.

Απαξ και γνωστοποιηθεί ο τρόπος παραγωγής λέξεων (στην περίπτωση απουσίας συμπτώσεων), ο ονοματοποιός έχει τη δυνατότητα να παράγει λέξεις εξυπηρετώντας προσωπικούς σκοπούς ή ευρύτερους· στα πλαίσια μίας κοινωνικής ομάδας κ.ο.κ. Για αυτό το λόγο, δε θα πρέπει να τίθεται θέμα ανωτερότητας ή κατωτερότητας μέσω συγκρίσεων. Όλοι οι πολιτισμοί είναι μοναδικοί για την εποχή τους και αξεπέραστοι. Από την μία πλευρά, η Λογική φανερώνει ότι δεν είναι δυνατό να γίνει γνωστό ποιες λέξεις είναι απόρροια συμπτώσεων ή μεθοδευμένων διεργασιών, από την άλλη πλευρά όμως, θα μπορούσε να διεξαχθεί μία αμερόληπτη μελέτη ορισμένων αρχαίων ή και λίγο πιο νεότερων ταυτοσήμων λέξεων (των διαφορετικών πολιτισμών), μέσω αλγοριθμικών κωδίκων. Στην παρούσα έρευνα θεωρείται ανυπόστατο και άτοπο να γίνεται λόγος περί υπεροχής έναντι άλλων, επειδή ο κάθε λαός δημιουργεί τον πολιτισμό του στα πλαίσια μιας περιοχής με ορισμένες επικρατούσες συνθήκες και παραμέτρους, νοηματοδοτώντας την ύπαρξη του κάτω από μία κοινή στέγη, τη Γη.

"Humanity has the stars in its future, and that future is too important to be lost under the burden of juvenile folly and ignorant superstition." Isaac Asimov

Τα αρμονικά σχήματα αυτά, όπως και άλλες τεθλασμένες γραμμές (ορισμένες ως γεωλεκτικές ταυτότητες ή 'Εσώ', 'di.G'), φαίνονται ως απόρροια των γεωμετρικών διερευνήσεων των ακολουθιών Fibonacci και Lucas κατόπιν αναγωγής τους σε κύκλους. Από το γεγονός ότι τα αλφαριθμητικά συστήματα γραφής χρησιμοποιούνται και ως συστήματα αρίθμησης, δηλαδή τα γράμματα εκτός από φωνήεντα και σύμφωνα, ήταν και αριθμοί, προκύπτει ότι κατά τις μαθηματικές διερευνήσεις ήταν δυνατό να παράγονται λέξεις, εξαρτόμενες από τις αντιλήψεις και τις πεποιθήσεις περί της αντιστοίχισης των αριθμών με θεότητες, στοιχεία της φύσης, ζώα, κ.ο.κ., όπως συμβαίνει και σήμερα, με ανάλογες αντιστοιχίες αριθμών σε -αισθητά ή μη- πράγματα, θεότητες, κ.ο.κ. Να σημειωθεί ότι η ακολουθία του Fibonacci και του Lucas θέτεται ως γνωστή (παραδοχή), επειδή θα μπορούσε να είχε διερευνηθεί η γεωμετρική σχηματική έκφραση της (γραφική εικόνα) και κατόπιν να μεταφραζόταν σε αριθμούς από τα εκάστοτε αριθμητικά συστήματα. Αυτή η παραδοχή βασίζεται στην περιπλοκότητα των σχεδίων (κατόψεων, όψεων και τομών) και αξονομετρικών σχεδίων των μνημείων, αλλά και στην ορθοκανονική συγκρότηση κατοικιών σε επίπεδο κάτοψης -«Ιπποδάμειο σύστημα» (σύνθεση ορθογωνίων και τετραγώνων).

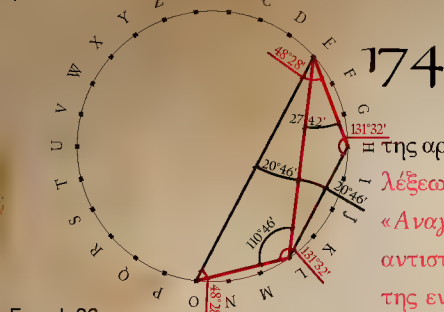
"Astronomers estimate that the sun has about 7 billion to 8 billion years left before it sputters out and dies."

Αναντίρρητα, στα παραγόμενα γεωμετρικά σχέδια των δύο αριθμητικών ακολουθιών εμφανίζεται η ιδιότητα της συμμετρίας και

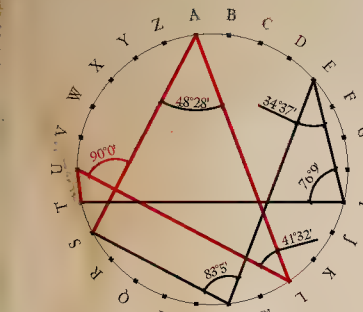
379 (Genette, 1995, σ. 116-118)

380 (Πλάτων, 1990, σ. 36-39)

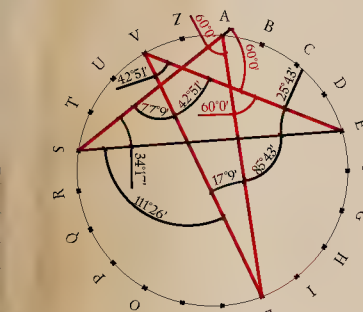
381 (Georgakopoulou A. κ.α., 2009, σ. xxiii) στο ΣτΕ δηλώνεται η γλώσσα ως μνημείο ή οικοδόμημα [along with the metaphor of language as edifice or monument]



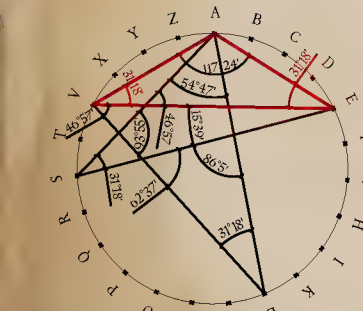
French 26
salut, tiens



Italian 21
salve



Latin 23
ave, salve



Spanish 30
hola



Ancient Greek 24
χαῖρε
γεια



14 Αλφάβητα

της αρμονίας. Τα παρεμφερή γεωμετρικά σχέδια ορισμένων λέξεων στους κύκλους όπου παρουσιάζονται στο κεφάλαιο «Αναγωγές των 112 λέξεων των 14 γλωσσών σε κύκλους» αντιστοιχίζονται στην διέπουσα λογική των σχεδίων αυτής της ενότητας, αν τα γράμματα προσληφθούν ως αριθμοί.

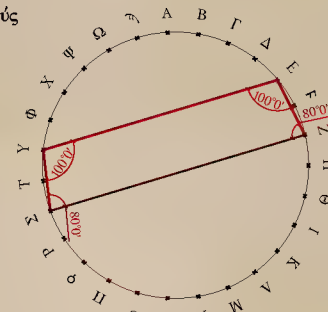
Παρακάτω, οι τιμές που έχουν επιλεχθεί είναι ενδεικτικές καθότι θεωρείται ότι υπήρχε ένα μεγαλύτερο εύρος τιμών (από τις εν λόγω διερευνήσεις). Επίσης, προστίθεται ότι τα σημερινά υπολογιστικά συστήματα παρέχουν μία ευκολία άνευ προηγουμένου στους υπολογισμούς (λ.χ. η γραφή ενός κώδικα σε γλώσσα προγραμματισμού Python, αφού διευκολύνονται πολύπλοκοι υπολογισμοί), που κατά την αρχαία εποχή ήταν άγνωστη, καθώς οι υπολογισμοί αυτοί πρέπει να ήταν αρκετά χρονοβόροι και κοπιώδεις έως εξαντλητικοί. Δεν τίθεται θέμα συνομοσίας στην παρούσα έρευνα, αλλά χρωματίζεται η ευφυΐα, η δημιουργικότητα, η αγνότητα του πνεύματος και η επινοητικότητα αγνώστων δημιουργών/ονοματοποιών ανά τους αιώνες. Επομένως, η εμφάνιση αρμονικών σχημάτων και σε άλλες λέξεις, όπως παραδείγματος χάριν σε μία λέξη που αφορά ένα χαιρετισμό δεν θεωρείται άτοπη, αρκεί να τεκμηριώνεται. Μία προσπάθεια τεκμηρίωσης, εμφανίζεται στις επόμενες σελίδες για τις λέξεις Θεός και Χάος στο κεφάλαιο «14 Αλφάβητα. Παραδείγματα ανά ζεύγη λέξεων». Να σημειωθεί ξανά ότι η υπόθεση δεν αντιτίθεται στον αυθαίρετο και συμβατικό συνδυασμό των γραμμάτων που «πλάθουν» μία λέξη ή λέξεις.

Από το γεγονός ότι τα αλφαβητικά συστήματα γραφής ανά τους αιώνες μεταβάλλουν το σύνολο των γραμμάτων, προκαλείται μία σοβαρή σύγχυση. Κατά συνέπεια, κρίνεται σκόπιμο για τις επόμενες μελέτες/έρευνες του υποφαινόμενου ή άλλων ατόμων, μία επισταμένη ιστορική μελέτη της εμφάνισης μίας συγκεκριμένης λέξης σε συνάρτηση με το πραγματικό πλήθος των γραμμάτων της αλφαβήτου της εποχής συγκεκριμένων περιοχών, την ακριβή ορθογραφία, σε συνδυασμό με το σχηματισμό των λεξιλογικών και γραμματικών μορφημάτων. Σε αυτή την έρευνα, λόγω ελλειπών γλωσσολογικών γνώσεων -καθότι δεν αποτελεί το γνωστικό αντικείμενο του ερευνητή- και δυσκολίας πρόσβασης σε επιγραφές δεν πρέπει να λαμβάνεται ως επακριβή τεκμηριωμένη έρευνα, παρά ως μία ταπεινή προσπάθεια δημιουργίας ορισμένων βάσεων (βλέπε κεφάλαιο «14 Αλφάβητα και Ο Μετουσιωτής») και μίας υπόθεσης.

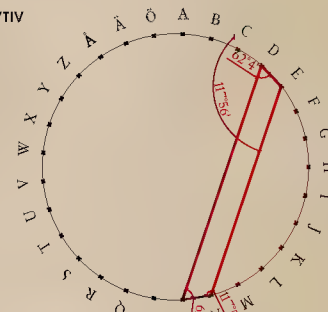
Το ερώτημα που ταλάνιζε την έρευνα από τον Σεπτέμβριο του 2021 ήταν το ακόλουθο: «Μεθοδευμένη και κατευθυνόμενη επίλυση ενός προβλήματος με συνακόλουθες συμπτώσεις ή

ανακάλυψη ορισμένων μηχανισμών παραγωγής λέξεων βασισμένο στην μαθηματική επιστήμη της εποχής (αριθμητική, γεωμετρία): απόρροια μακραίωνων επίπονων μελετών;» Φαίνεται ότι δε θα γίνει ποτέ γνωστό λόγω απουσίας απτών στοιχείων. Παρόλη την υπόθεση, η οποία έχει κάτι από την αύρα των άλυτων γεωμετρικών προβλημάτων της αρχαιότητας (λ.χ. τετραγωνισμός του κύκλου) οι διερευνύσεις που παρουσιάζονται πρέπει να είναι εύμορφες συμπτώσεις με ένα διάφανο γκριζο μανδύα μυστηρίου: εκτός αν μελλοντικά αποδειχθεί το ενάντιο από επιστημονικές μελέτες/έρευνες. Σχολιάζοντας ως διάφανο, επειδή πάντα εκεί θα στέκει το αρχαίο παρελθόν των πολιτισμών, κρατώντας ένα φανάρι με την ιερή τρεμοπαίζουσα αρχαία φλόγα παρμένη από την κατοικία των Θεών, για να δηλώνει την παρουσία του: ακόμα μέσα και από όμορφες συμπτώσεις που συγκινούν τον ερευνητή και διεγείρουν τη σκέψη του.

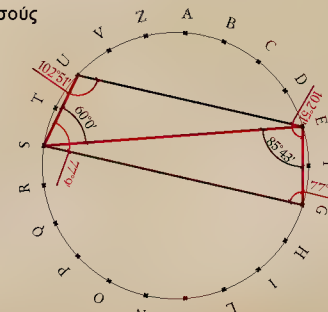
Greek 27
Zeus
Ζεύς



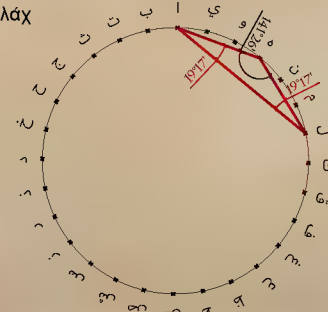
Svenska 29
Oden
Odniv



Italian 21
Gesù
Ιησούς






Arabic 28 (Hijā Ṭ)
• ج ل ا - ه ل ا
Αλλάχ



Σχεδιαστική Προσέγγιση Λέξης - Γεωμετρία, Αριθμητική

Διέπουσα λογική

Η χρησιμοποίηση πινάκων προέρχεται από το γεγονός, ότι οι Μεσοποταμιοί έκαναν εκτενή χρήση μαθηματικών πινάκων, για να ανακουφίσουν την κοπιώδη προσπάθεια των μεγάλων υπολογισμών. Αυτοί περιελάμβαναν πίνακες για την εύρεση αντιστροφών, τετραγώνων, κύβων και τετραγωνικών και κυβικών ριζών, καθώς και εκθετικούς πίνακες.³⁸²   

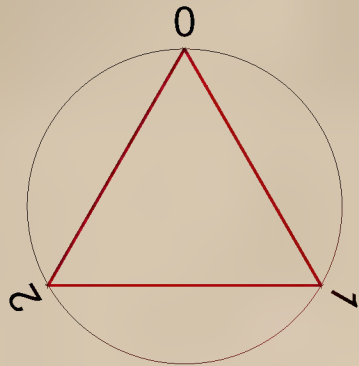
Values of Fibonacci numbers in modulus m , $F_n \pmod{m}$. The first twelve Pisano periods and their cycles:

m	$\pi(n)$	numbers of zeros in the cycle	cycle	On-Line Encyclopedia of Integer Sequences sequence for the cycle
1	1	1	0	A000004
2	3	1	0 1 1	A011655
3	8	2	0 1 1 2 0 2 2 1	A082115
4	6	1	0 1 1 2 3 1	A079343
5	20	4	0 1 1 2 3 0 3 3 1 4 0 4 4 3 2 0 2 2 4 1	A082116
6	24	2	0 1 1 2 3 5 2 1 3 4 1 5 0 5 5 4 3 1 4 5 3 2 5 1	A082117
7	16	2	0 1 1 2 3 5 1 6 0 6 6 5 4 2 6 1	A105870
8	12	2	0 1 1 2 3 5 0 5 5 2 7 1	A079344
9	24	2	0 1 1 2 3 5 8 4 3 7 1 8 0 8 8 7 6 4 1 5 6 2 8 1	A007887
10	60	4	0 1 1 2 3 5 8 3 1 4 5 9 4 3 7 0 7 7 4 1 5 6 1 7 8 5 3 8 1 9 0 9 9 8 7 5 2 7 9 6 5 1 6 7 3 0 3 3 6 9 5 4 9 3 2 5 7 2 9 1	A003893
11	10	1	0 1 1 2 3 5 8 2 10 1	A105955
12	24	2	0 1 1 2 3 5 8 1 9 10 7 5 0 5 5 10 3 1 4 5 9 2 11 1	A089911

Values of Lucas numbers in modulus m , $L_n \pmod{m}$. The first twelve Pisano periods and their cycles:

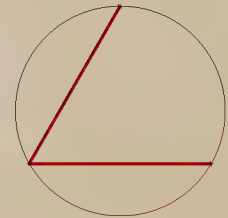
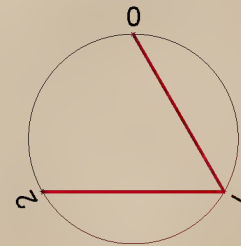
m	$\pi(n)$	numbers of zeros in the cycle	cycle	
1	1	1	0	(Dunlap, 1997, σ. 57)
2	3	1	0 1 1	
3	8	2	2 1 0 1 1 2 0 2	
4	6	1	2 1 3 0 3 3	
5	4	0	2 1 3 4	
6	24	2	2 1 3 4 1 5 0 5 5 4 3 1 4 5 3 2 5 1 0 1 1 2 3 5	
7	16	2	2 1 3 4 0 4 4 1 5 6 4 3 0 3 3 6	
8	12	0	2 1 3 4 7 3 2 5 7 4 3 7	
9	24	2	2 1 3 4 7 2 0 2 2 4 6 1 7 8 6 5 2 7 0 7 7 5 3 8	
10	12	0	2 1 3 4 7 1 8 9 7 6 3 9	Python coding
11	10	1	2 1 3 4 7 0 7 7 3 10	
12	24	0	2 1 3 4 7 11 6 5 11 4 3 7 10 5 3 8 11 7 6 1 7 8 3 11	

m	$\pi(n)$	numbers of zeros in the cycle	$F_n \pmod{3}$ - cycle	On-Line Encyclopedia of Integer Sequences sequence for the cycle
3	8	2	0 1 1 2 0 2 2 1	A082115

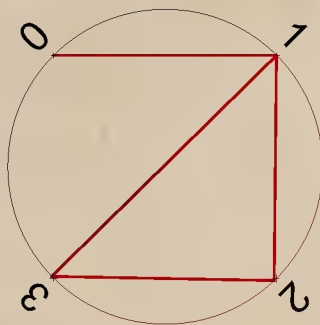


			Sum
0	1		1
1	2		3
0	2		2
2	1		3
Sum	3	6	9

				Sum
0	1	1	2	4
0	2	2	1	5
Sum	0	3	3	9

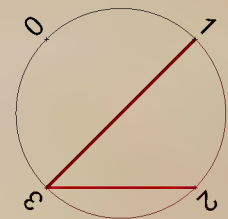
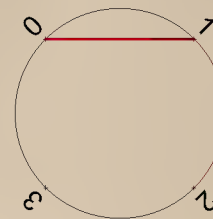


m	$\pi(n)$	numbers of zeros in the cycle	$F_n \pmod{4}$ - cycle	On-Line Encyclopedia of Integer Sequences sequence for the cycle
4	6	1	0 1 1 2 3 1	A079343



			Sum	
0	1	1	2	
2	3	1	6	
Sum	2	4	2	8

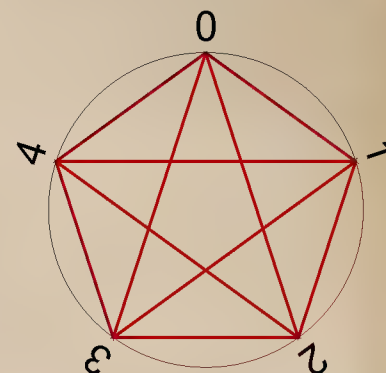
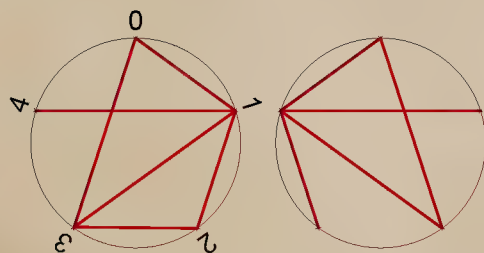
			Sum
0	1		1
1	2		3
3	1		4
Sum	4	4	8



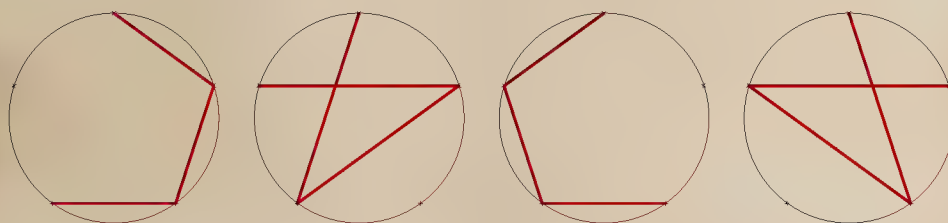
m	$\pi(n)$	numbers of zeros in the cycle	$F_n \pmod{5}$ - cycle																												On-Line Encyclopedia of Integer Sequences sequence for the cycle
5	20	4	0	1	1	2	3	0	3	3	1	4	0	4	4	3	2	0	2	2	4	1									A082116

	0	1	1	2	3	0	3	3	1	4	Sum	18
	0	4	4	3	2	0	2	2	4	1	Sum	22
Sum	0	5	5	5	5	0	5	5	5	5		40

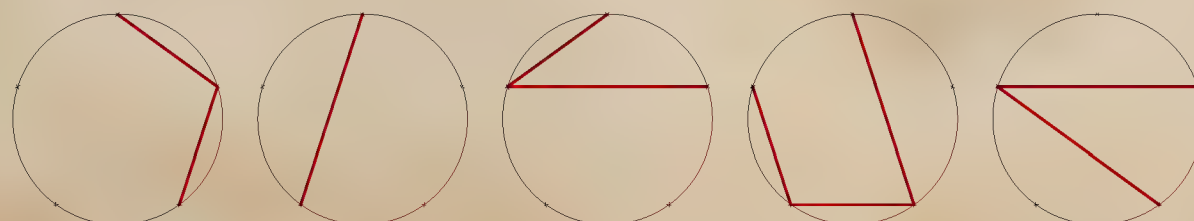
	0	1	Sum	1
	1	2	Sum	3
	3	0	Sum	3
	3	3	Sum	6
	1	4	Sum	5
	0	4	Sum	4
	4	3	Sum	7
	2	0	Sum	2
	2	2	Sum	4
	4	1	Sum	5
Sum	20	20		40



	0	1	1	2	3	Sum	7
	0	3	3	1	4	Sum	11
	0	4	4	3	2	Sum	13
	0	2	2	4	1	Sum	9
Sum	0	10	10	10	10		40

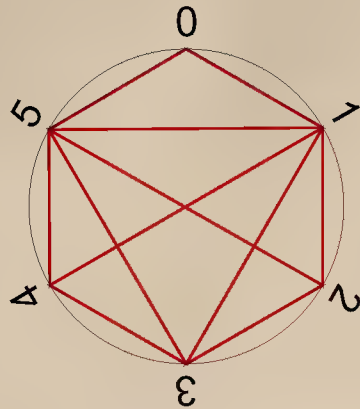


	0	1	1	2	Sum	4
	3	0	3	3	Sum	9
	1	4	0	4	Sum	9
	4	3	2	0	Sum	9
	2	2	4	1	Sum	9
Sum	10	10	10	10		40

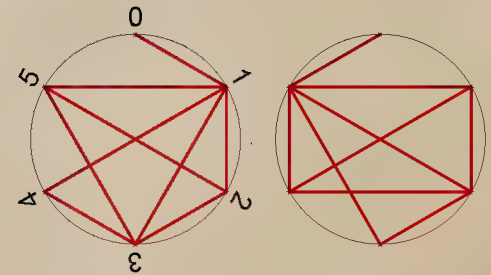


m	$\pi(n)$	numbers of zeros in the cycle	$F_n(\text{mod } 6) - \text{cycle}$	On-Line Encyclopedia of Integer Sequences sequence for the cycle
6	24	2	0 1 1 2 3 5 2 1 3 4 1 5 0 5 5 4 3 1 4 5 3 2 5 1	A082117

0	1	1	2	Sum	Γ
3	5	2	1	4	4
3	4	1	5	11	2
0	5	5	4	13	4
3	1	4	5	14	5
3	2	5	1	13	4
				11	2
6	12	12	12	66	3

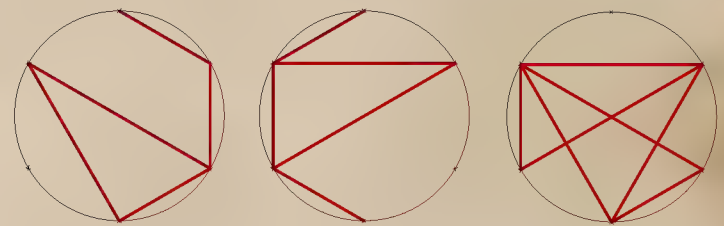


0	1	1	2	3	5	2	1	3	4	1	5	Sum	Γ
0	5	5	4	3	1	4	5	3	2	5	1	28	1
Sum	0	6	6	6	6	6	6	6	6	6	6	66	3



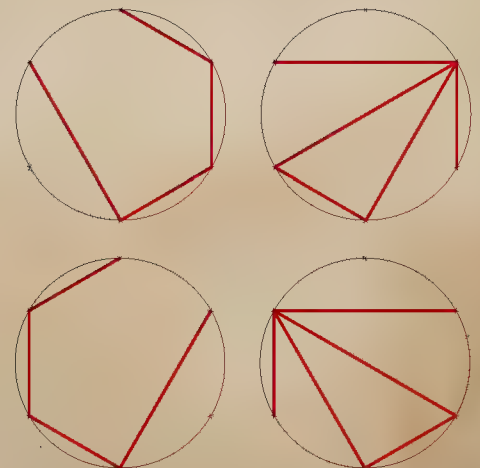
0	1	Sum
1	2	1
3	5	3
2	1	8
3	4	3
1	5	7
0	5	6
5	4	5
3	1	9
3	2	5
3	2	9
5	1	5
Sum	30	36

0	1	1	2	3	5	2	1	Sum	Γ
3	4	1	5	0	5	5	4	15	6
3	1	4	5	3	2	5	1	27	9
Sum	6	6	6	12	6	12	12	66	3



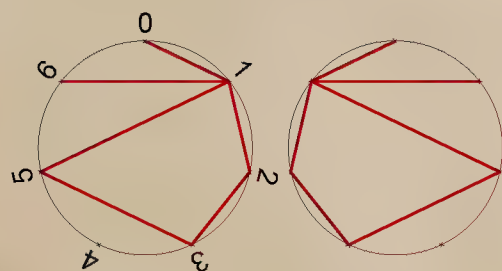
0	1	1	Sum	Γ
2	3	5	2	2
2	1	3	10	1
4	1	5	6	6
0	5	5	10	1
4	3	1	10	1
4	5	3	8	8
2	5	1	12	3
Sum	18	24	24	66

0	1	1	2	3	5	Sum	Γ
2	1	3	4	1	5	12	3
0	5	5	4	3	1	16	7
4	5	3	2	5	1	18	9
Sum	6	12	12	12	12	20	2

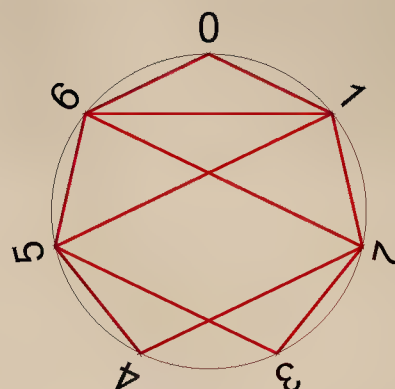


m	$\pi(n)$	numbers of zeros in the cycle	$F_n \pmod{7}$ - cycle	On-Line Encyclopedia of Integer Sequences sequence for the cycle
7	16	2	0 1 1 2 3 5 1 6 0 6 6 5 4 2 6 1	A105870

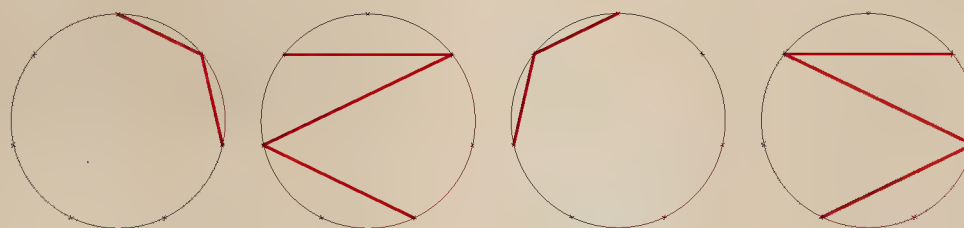
	0	1	1	2	3	5	1	6	Sum	Γ
	0	6	6	5	4	2	6	1	19	1
Sum	0	7	7	7	7	7	7	7	30	3
									49	4



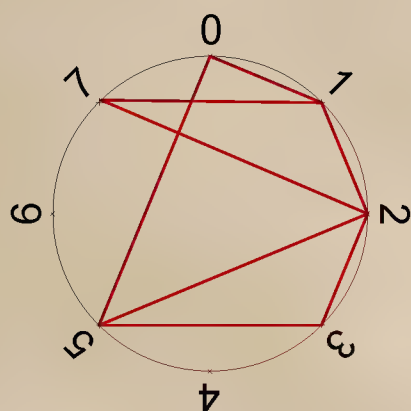
	0	1	Sum	Γ
	1	2	3	3
	3	5	8	8
	1	6	7	7
	0	6	6	6
	6	5	11	2
	4	2	6	6
	6	1	7	7
Sum	21	28	49	4



	0	1	1	2	Sum	Γ
	3	5	1	6	4	4
	0	6	6	5	15	6
	4	2	6	1	17	8
Sum	7	14	14	14	13	4
					49	4

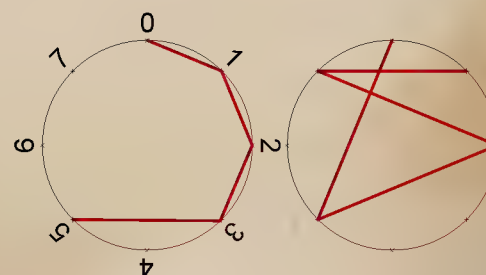


m	$\pi(n)$	numbers of zeros in the cycle	$F_n \pmod{8}$ - cycle	On-Line Encyclopedia of Integer Sequences sequence for the cycle
8	12	2	0 1 1 2 3 5 0 5 5 2 7 1	A079344



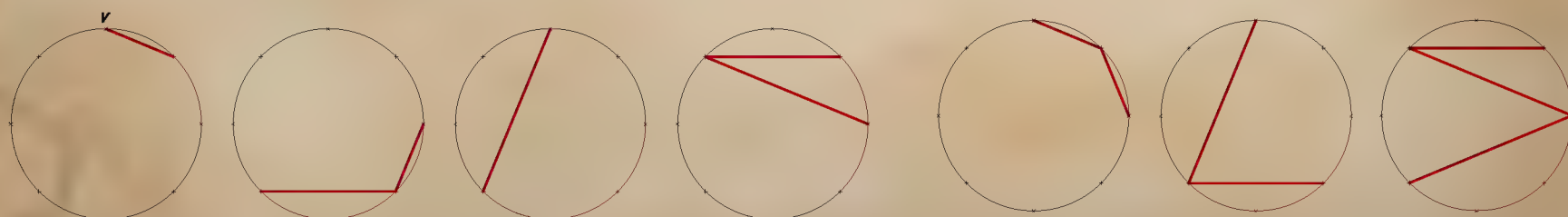
	0	1	Sum	Γ
	1	2	3	3
	3	5	8	8
	0	5	5	5
	5	2	7	7
	7	1	8	8
Sum	16	16	32	

	0	1	1	2	3	5	Sum	Γ
	0	5	5	2	7	1	12	3
Sum	0	6	6	4	10	6	20	2
							32	4



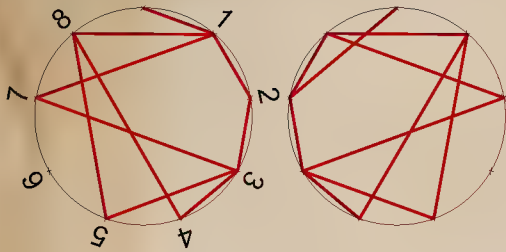
	0	1	1	Sum	Γ
	2	3	5	2	2
	0	5	5	10	1
	2	7	1	10	1
Sum	7	8	32		

	0	1	1	2	Sum	Γ
	3	5	0	5	4	4
	5	2	7	1	13	4
Sum	8	8	8	8	15	6
					32	5



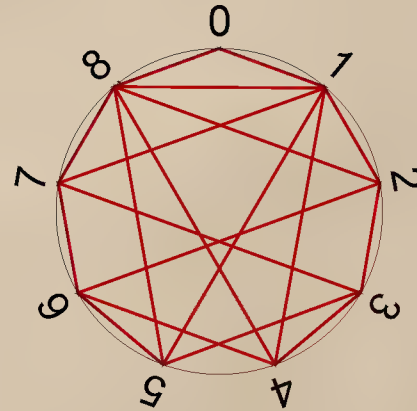
m	$\pi(n)$	numbers of zeros in the cycle	$F_n \pmod{9}$ - cycle	On-Line Encyclopedia of Integer Sequences sequence for the cycle
9	24	2	0 1 1 2 3 5 8 4 3 7 1 8 0 8 8 7 6 4 1 5 6 2 8 1	A007887

	0	1	1	2	3	5	8	4	3	7	1	8	Sum	Γ
	0	8	8	7	6	4	1	5	6	2	8	1	43	7
Sum	0	9	9	9	9	9	9	9	9	9	9	9	98	8

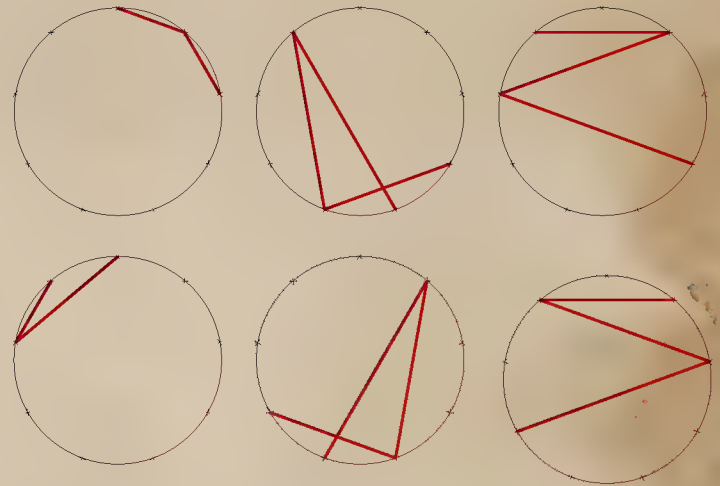


	0	1	Sum
	1	2	3
	3	5	8
	8	4	12
	3	7	10
	1	8	9
	0	8	8
	8	7	15
	6	4	10
	1	5	6
	6	2	8
	8	1	9
Sum	45	53	98

	0	1	1	2	3	5	8	4	Sum	Γ
	3	7	1	8	0	8	8	7	24	6
	6	4	1	5	6	2	8	1	41	5
Sum	9	12	3	15	9	14	24	12	33	6
									98	8

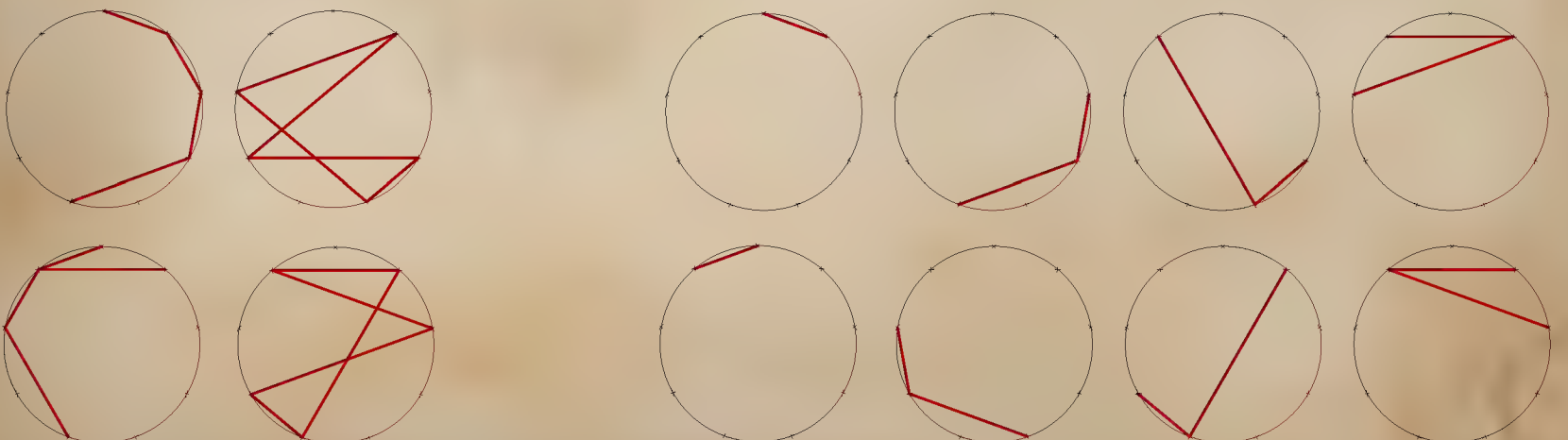


	0	1	1	2	Sum	Γ
	3	5	8	4	4	4
	3	7	1	8	20	2
	0	8	8	7	19	1
	6	4	1	5	22	4
	6	2	8	1	16	7
Sum	18	26	27	27	17	8
					98	8



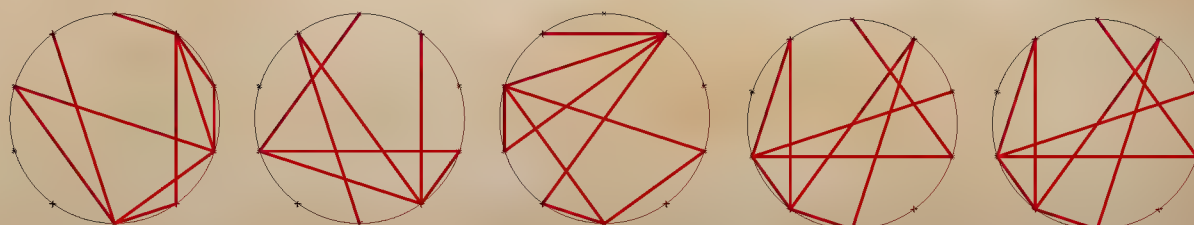
	0	1	1	2	3	5	Sum	Γ
	8	4	3	7	1	8	12	3
	0	8	8	7	6	4	31	4
	1	5	6	2	8	1	32	5
Sum	9	17	18	18	18	18	23	5
							98	8

	0	1	1	Sum	Γ
	2	3	5	2	2
	8	4	3	10	1
	7	1	8	15	6
	0	8	8	16	7
	7	6	4	15	6
	1	5	6	17	8
	2	8	1	12	3
Sum	27	35	36	11	2
				98	8

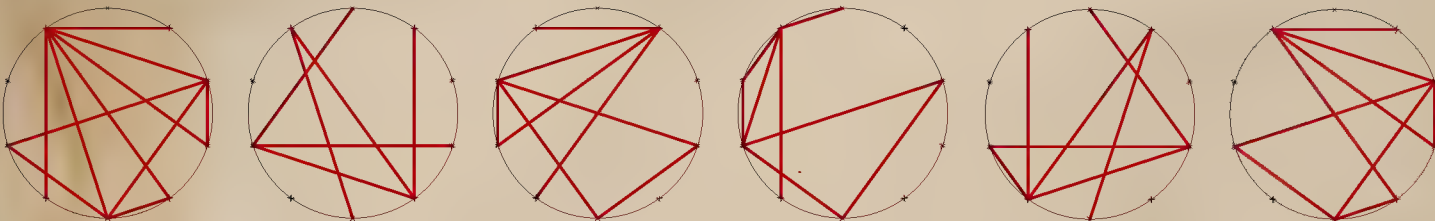


The image displays three circular diagrams, each containing a set of points on its circumference and a network of red lines connecting them. The first diagram on the left shows a complex web of lines connecting points in a non-adjacent manner. The middle diagram shows a different configuration of connections, with some lines forming a star-like pattern. The third diagram on the right shows yet another unique arrangement of connections between the points. These diagrams likely represent different stages or types of geometric constructions, such as those used in the study of polyhedra or projective geometry.

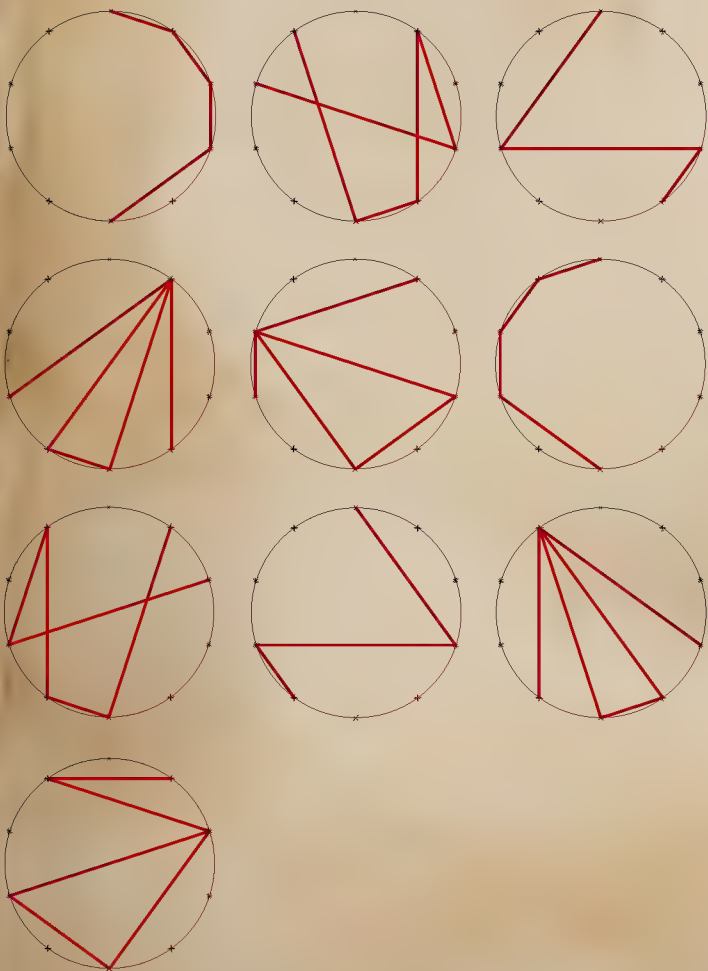
													Sum	Γ
	0	1	1	2	3	5	8	3	1	4	5	9	42	6
	4	3	7	0	7	7	4	1	5	6	1	7	52	7
	8	5	3	8	1	9	0	9	9	8	7	5	72	9
	2	7	9	6	5	1	6	7	3	0	3	3	52	7
	6	9	5	4	9	3	2	5	7	2	9	1	62	8
Sum	20	25	25	20	25	25	20	25	25	20	25	25	280	1



	0	1	1	2	3	5	8	3	1	4	Sum	Γ_1	Γ_2
	0	1	1	2	3	5	8	3	1	4	28	1	1
	5	9	4	3	7	0	7	7	4	1	47	11	2
	5	6	1	7	8	5	3	8	1	9	53	8	8
	0	9	9	8	7	5	2	7	9	6	62	7	7
	5	1	6	7	3	0	3	3	6	9	43	7	7
	5	4	9	3	2	5	7	2	9	1	47	11	2
Sum	20	30	30	30	30	20	30	30	30	30	280	10	1



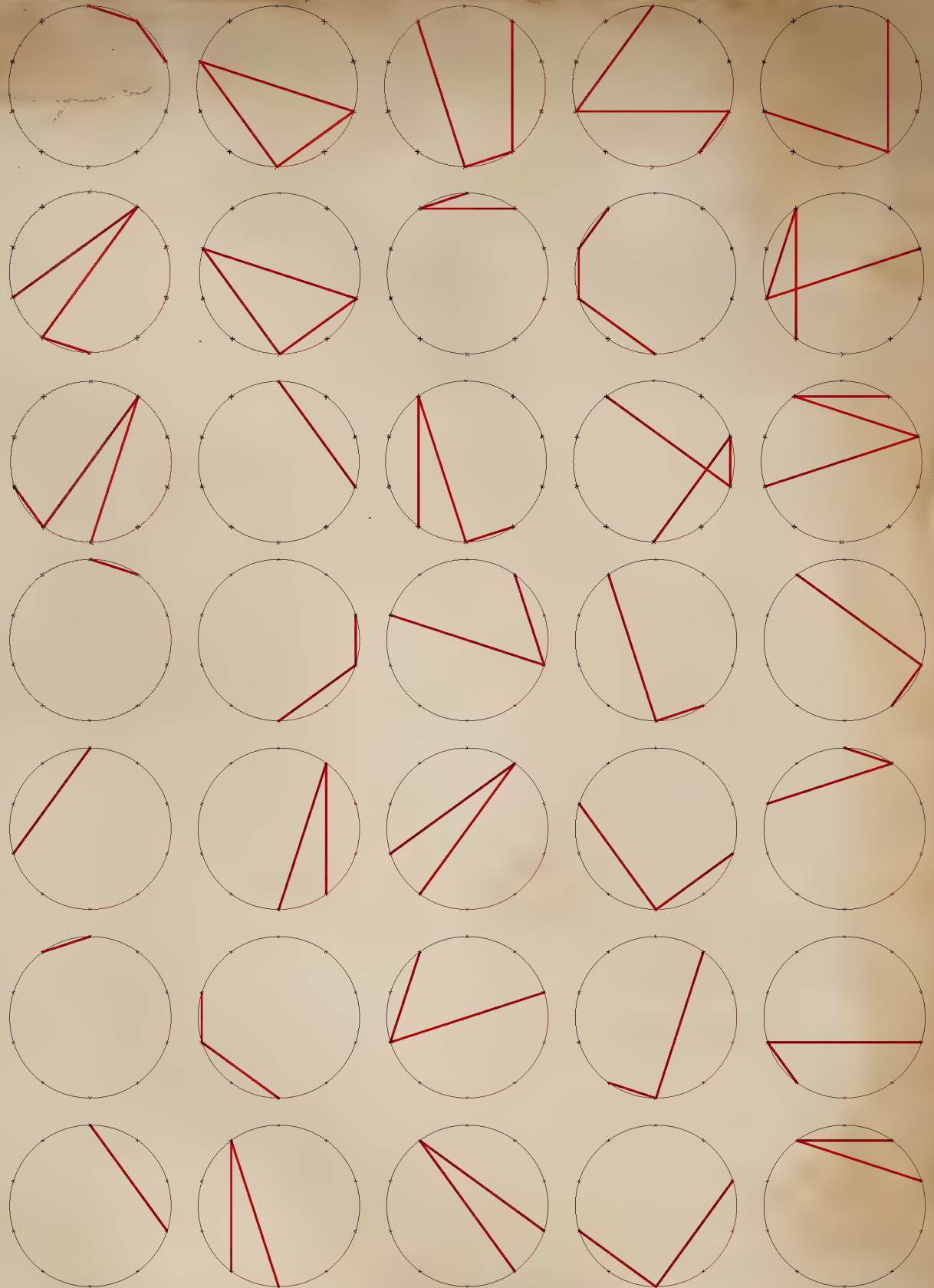
	0	1	1	2	3	5	Sum	Γ_1	Γ_2
	0	1	1	2	3	5	12	3	3
	8	3	1	4	5	9	30	3	3
	4	3	7	0	7	7	28	10	1
	4	1	5	6	1	7	24	6	6
	7	8	5	3	8	1	34	7	7
	0	9	9	8	7	5	38	11	2
	2	7	9	6	5	1	30	3	3
	6	7	3	0	3	3	22	4	4
	6	9	5	4	9	3	36	9	9
	2	5	7	2	9	1	26	8	8
Sum	40	50	50	40	50	50	280	10	1



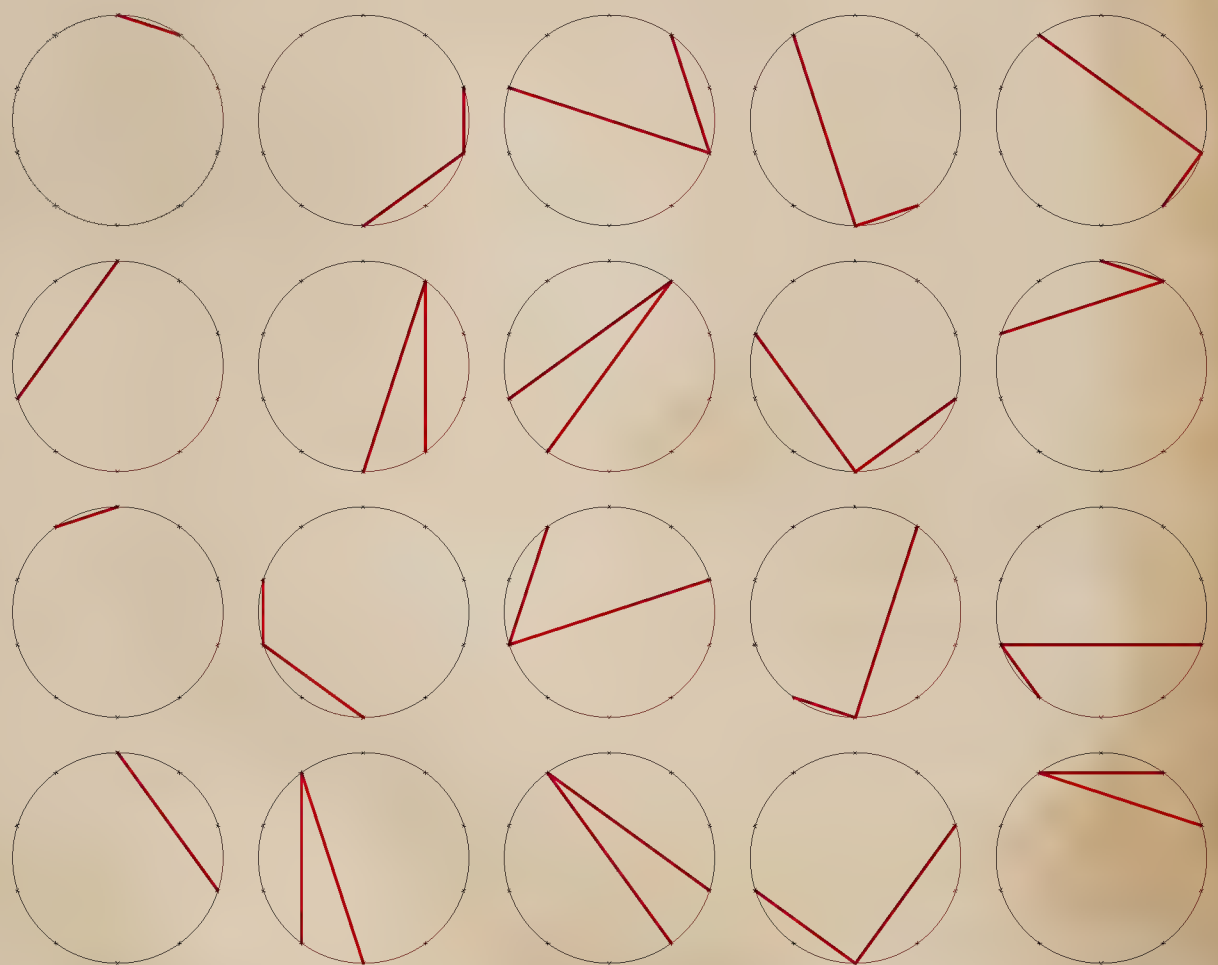
	0	1	1	2	3	Sum	Γ_1	Γ_2
	0	1	1	2	3	7	7	4
	5	8	3	1	4	21	3	3
	5	9	4	3	7	28	10	1
	0	7	7	4	1	19	10	1
	5	6	1	7	8	27	9	9
	5	3	8	1	9	26	8	8
	0	9	9	8	7	33	6	6
	5	2	7	9	6	29	11	2
	5	1	6	7	3	22	4	4
	0	3	3	6	9	21	3	3
	5	4	9	3	2	23	5	5
	5	7	2	9	1	24	6	6
Sum	40	60	60	60	60	280	10	1



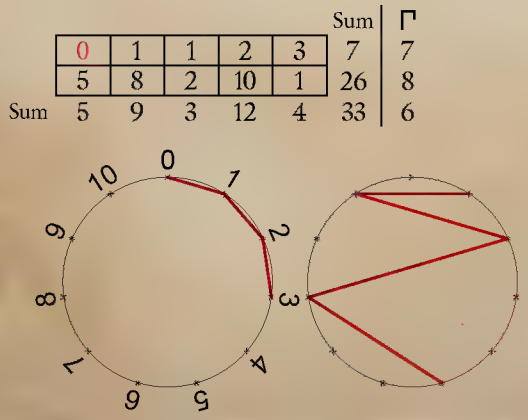
	1	1	2	4	Sum	Γ_1	Γ_2
3	5	8	3	19	4	4	4
1	4	5	9	19	10	1	1
4	3	7	0	14	10	1	1
7	7	4	1	19	5	5	5
5	6	1	7	19	10	1	1
8	5	3	8	24	10	2	2
1	9	0	9	19	6	6	6
9	8	7	5	29	10	1	1
2	7	9	6	24	11	2	2
5	1	6	7	19	6	6	6
3	0	3	3	9	10	1	1
6	9	5	4	24	9	9	9
9	3	2	5	19	6	6	6
7	2	9	1	19	10	1	1
Sum	70	70	70	70	280	10	1



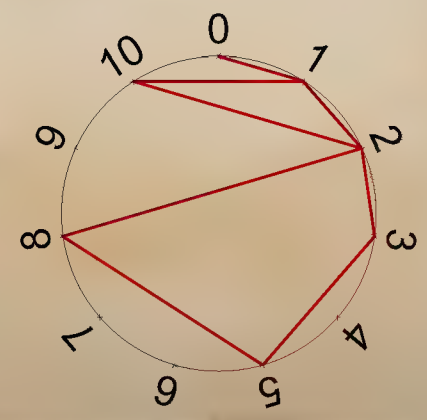
	0	1	1	2	Sum	Γ
2	3	5	10	2	2	1
8	3	1	12	3	3	3
4	5	9	18	9	9	9
4	3	7	14	5	5	5
0	7	7	14	5	5	5
4	1	5	10	1	1	1
6	1	7	14	5	5	5
8	5	3	16	7	7	7
8	1	9	18	9	9	9
0	9	9	18	9	9	9
8	7	5	20	2	2	2
2	7	9	18	9	9	9
6	5	1	12	3	3	3
6	7	3	16	7	7	7
0	3	3	6	6	6	6
6	9	5	20	2	2	2
4	9	3	16	7	7	7
2	5	7	14	5	5	5
2	9	1	12	3	3	3
Sum	80	100	100	280	1	1



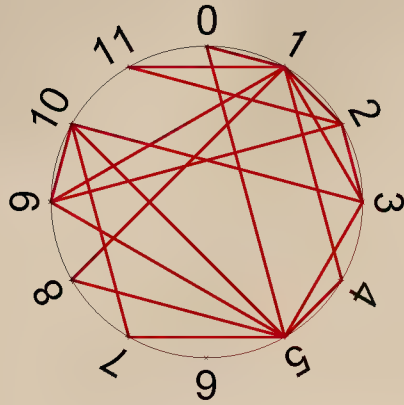
m	$\pi(n)$	numbers of zeros in the cycle	$F_n(\text{mod } 11) - \text{cycle}$																									Python coding																																																																																																																																																																																																																																																																																																																																																																																																																																																																																																																																																																																																																																																																																																																																																																																																																																																																																																																																																																																																																																																																																																																																																																																																																																																																																																																																																																																												
11	10	1	0	1	1	2	3	5	8	2	10	1																																																																																																																																																																																																																																																																																																																																																																																																																																																																																																																																																																																																																																																																																																																																																																																																																																																																																																																																																																																																																																																																																																																																																																																																																																																																																																																																																																																																												



	0	1	Sum	Γ
1	2	3	1	1
3	5	8	3	3
8	2	10	7	7
10	1	11	1	1
Sum	22	11	33	2



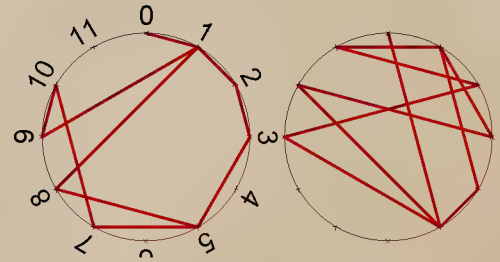
m	$\pi(n)$	numbers of zeros in the cycle	$F_n(\text{mod } 12) - \text{cycle}$																										Python coding	
12	24	2	0	1	1	2	3	5	8	1	9	10	7	5	0	5	5	10	3	1	4	5	9	2	11	1				



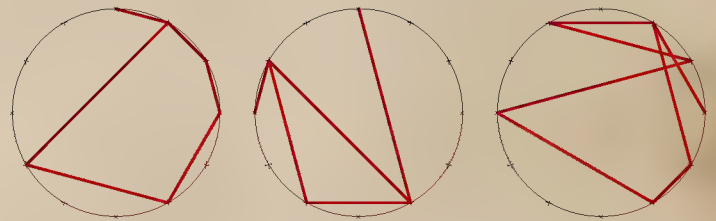
Sum	0	1	1	2	3	5	8	1	9	10	7	5	Sum	Γ
	0	5	5	10	3	1	4	5	9	2	11	1	52	7
	0	6	6	12	6	6	12	6	18	12	18	6	56	2
													108	9

Sum	0	1	1	2	Sum	Γ
	0	1	1	2	4	4
	3	5	8	1	17	8
	9	10	7	5	31	4
	0	5	5	10	20	2
	3	1	4	5	13	4
	9	2	11	1	23	5
Sum	24	24	36	24	108	9

Sum	0	1	Sum	Γ
	0	1	1	1
	1	2	3	3
	3	5	8	8
	8	1	9	9
	9	10	19	1
	7	5	12	3
	0	5	5	5
	5	10	15	6
	3	1	4	4
	4	5	9	9
	9	2	11	2
	11	1	12	3
Sum	60	48	108	9

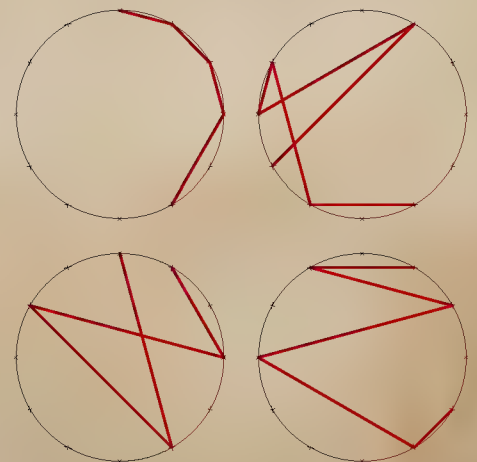


Sum	0	1	1	2	3	5	8	1	Sum	Γ
	0	1	1	2	3	5	8	1	21	3
	9	10	7	5	0	5	5	10	51	6
	3	1	4	5	9	2	11	1	36	9
Sum	12	12	12	12	12	12	24	12	108	9



Sum	0	1	1	Sum	Γ
	0	1	1	2	2
	2	3	5	10	1
	8	1	9	20	2
	10	7	5	22	4
	0	5	5	10	1
	10	3	1	14	5
	4	5	9	18	9
	2	11	1	14	5
Sum	36	36	36	108	9

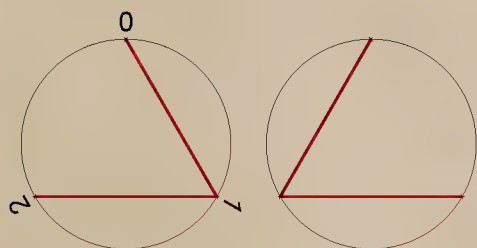
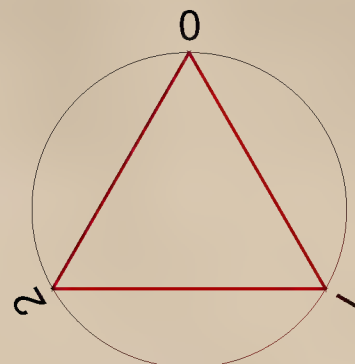
Sum	0	1	1	2	3	5	Sum	Γ
	0	1	1	2	3	5	12	3
	8	1	9	10	7	5	40	4
	0	5	5	10	3	1	24	6
	4	5	9	2	11	1	32	5
Sum	12	12	24	24	24	12	108	9



m	$\pi(n)$	numbers of zeros in the cycle	$L_n(\text{mod } 3) - \text{cycle}$																										(Dunlap, 1997, σ. 57)	
3	8	2	2	1	0	1	1	2	0	2																				

	2	1	0	1	Sum
	1	2	0	2	4
Sum	3	3	0	3	9

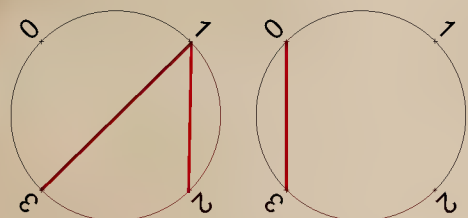
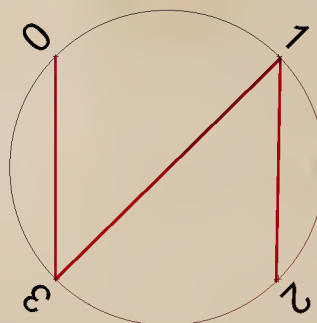
	2	1	Sum
	0	1	3
	1	2	1
	0	2	3
Sum	3	6	2



m	$\pi(n)$	numbers of zeros in the cycle	$L_n(\text{mod } 3) - \text{cycle}$																										(Dunlap, 1997, σ. 57)		
4	6	1	2	1	3	0	3	3																							

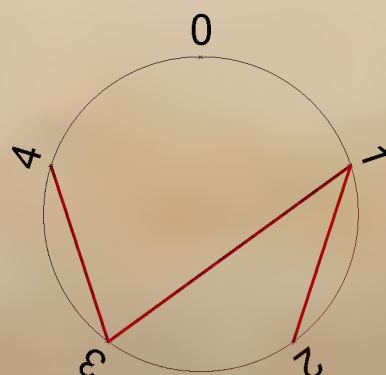
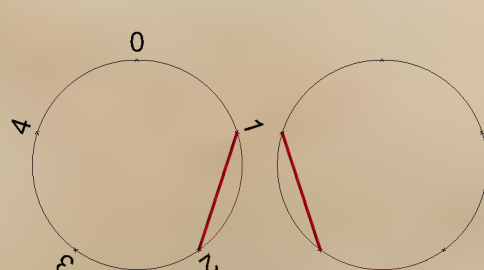
	2	1	3	Sum
	0	3	3	6
Sum	2	4	6	12

	2	1	Sum
	3	0	3
	3	3	6
Sum	8	4	12

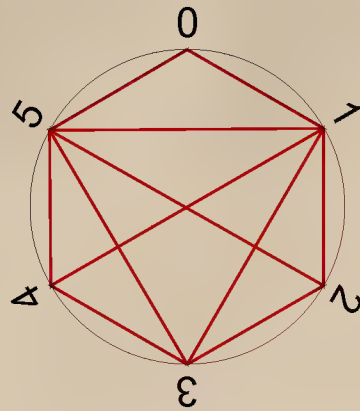


m	$\pi(n)$	numbers of zeros in the cycle	$L_n(\text{mod } 3) - \text{cycle}$																										(Dunlap, 1997, σ. 57)
5	4	0	2	1	3	4																							

	2	1	Sum
	3	4	3
Sum	5	5	7



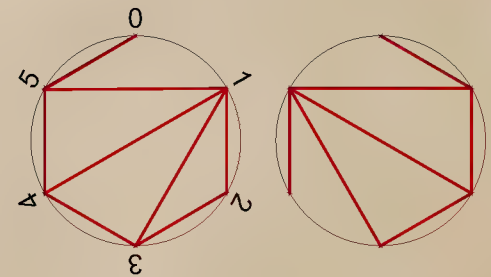
m	$\pi(n)$	numbers of zeros in the cycle	$L_n(\text{mod } 6) - \text{cycle}$																								(Dunlap, 1997, $\sigma. 57$)									
6	24	2	2	1	3	4	1	5	0	5	5	4	3	1	4	5	3	2	5	1	0	1	1	2	3	5										



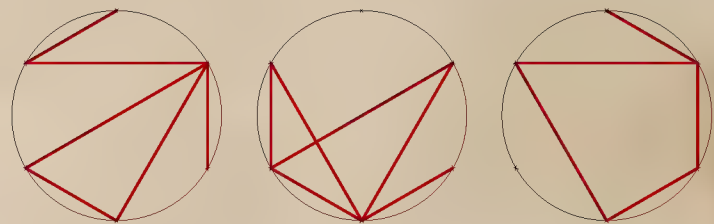
												Sum	Γ
2	1	3	4	1	5	0	5	5	4	3	1	34	7
4	5	3	2	5	1	0	1	1	2	3	5	32	6
Sum	6	6	6	6	6	0	6	6	6	6	6	66	3

				Sum	Γ
2	1	3	4	10	1
1	5	0	5	11	2
5	4	3	1	13	4
4	5	3	2	14	5
5	1	0	1	7	7
1	2	3	5	11	2
18	18	12	18	66	3

		Sum
2	1	3
3	4	7
1	5	6
0	5	5
5	4	9
3	1	4
4	5	9
3	2	5
5	1	6
0	1	1
1	2	3
3	5	8
30	36	66

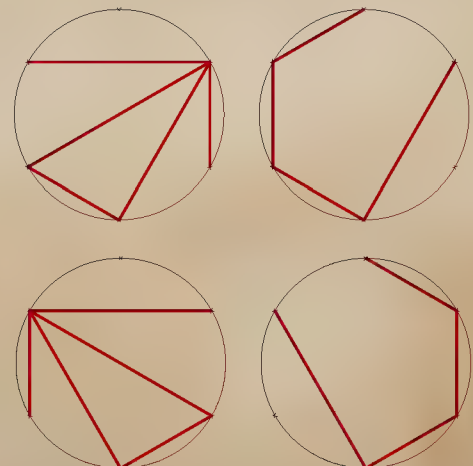


												Sum	Γ
2	1	3	4	1	5	0	5					21	3
5	4	3	1	4	5	3	2					27	9
5	1	0	1	1	2	3	5					18	9
Sum	12	6	6	6	6	12	6	12				66	3



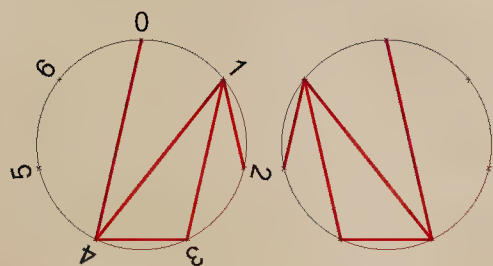
			Sum	Γ
2	1	3	6	6
4	1	5	10	1
0	5	5	10	1
4	3	1	8	8
4	5	3	12	3
2	5	1	8	8
0	1	1	2	2
2	3	5	10	1
18	24	24	66	3

												Sum	Γ
2	1	3	4	1	5							16	7
0	5	5	4	3	1							18	9
4	5	3	2	5	1							20	2
0	1	1	2	3	5							12	3
Sum	6	12	12	12	18	12						66	3

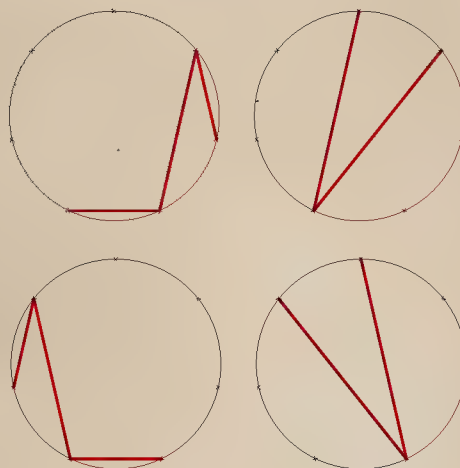


m	$\pi(n)$	numbers of zeros in the cycle	$L_n(\text{mod } 7) - \text{cycle}$																												(Dunlap, 1997, σ. 57)				
7	16	2	2	1	3	4	0	4	4	1	5	6	4	3	0	3	3	6																	

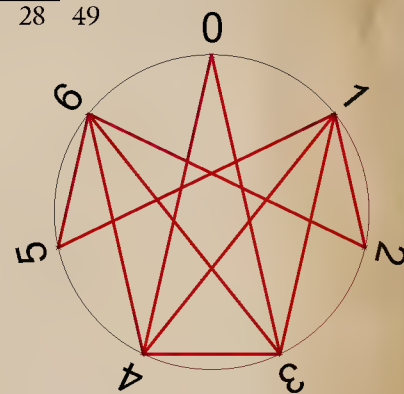
	2	1	3	4	0	4	4	1	Sum	Γ
	5	6	4	3	0	3	3	6	19	1
Sum	7	7	7	7	0	7	7	7	30	3
									49	4



	2	1	3	4	10	1
	0	4	4	1	9	9
	5	6	4	3	18	9
	0	3	3	6	12	3
Sum	7	14	14	14	49	4

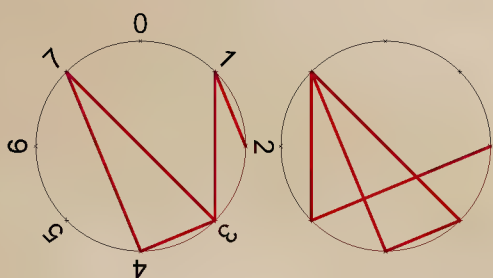


	2	1	3	Sum
	3	4	7	
	0	4	4	
	4	1	5	
	5	6	11	
	4	3	7	
	0	3	3	
	3	6	9	
Sum	21	28	49	

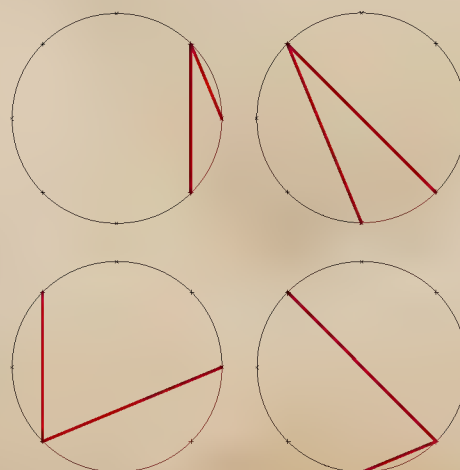


m	$\pi(n)$	numbers of zeros in the cycle	$L_n(\text{mod } 8) - \text{cycle}$																								(Dunlap, 1997, σ. 57)																																																																																																																																																																																																																																																																																																																																																																																																																																																																																																																																																																																																																																																																																																																																																																																																																																																																																																																																																																																																																																																																																																																																																																																																																																																																																																																																																																																														
8	12	0	2	1	3	4	7	3	2	5	7	4	3	7																																																																																																																																																																																																																																																																																																																																																																																																																																																																																																																																																																																																																																																																																																																																																																																																																																																																																																																																																																																																																																																																																																																																																																																																																																																																																																																																																																																																											

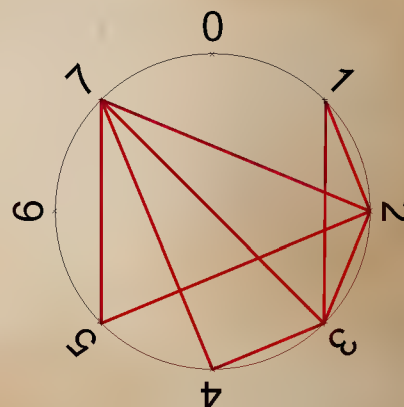
	2	1	3	4	7	3	Sum	Γ
	2	5	7	4	3	7	20	2
Sum	4	6	10	8	10	10	28	1
							48	3



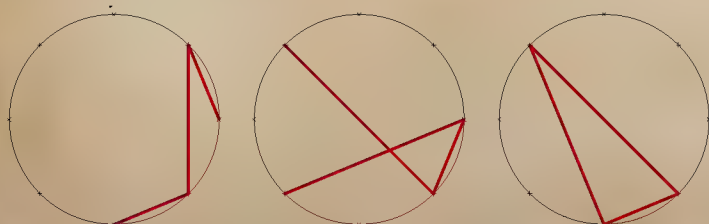
	2	1	3	Sum	Γ
	4	7	3	6	6
	2	5	7	14	5
	4	3	7	14	5
Sum	12	16	20	48	3



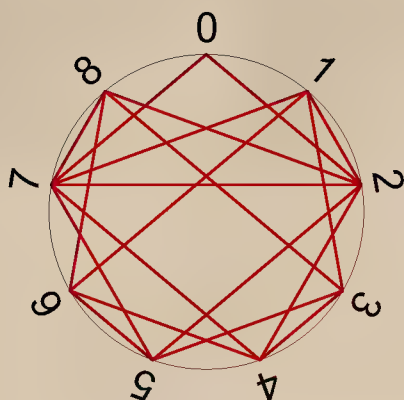
	2	1	3	Sum	Γ
	3	4	7	3	3
	7	3	10	7	7
	2	5	7	10	1
	7	4	11	7	7
	3	7	10	11	2
			10	1	1
Sum	24	24	48	3	3



	2	1	3	4	Sum	Γ
	7	3	2	5	10	1
	7	4	3	7	17	8
					21	3
Sum	16	8	8	16	48	3

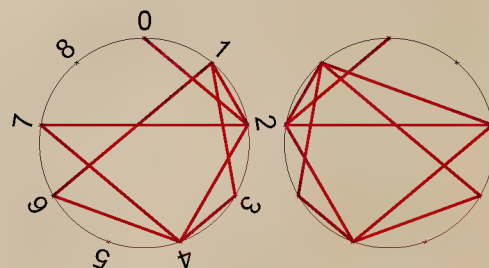


m	$\pi(n)$	numbers of zeros in the cycle	$L_n(\text{mod } 9) - \text{cycle}$																								(Dunlap, 1997, σ . 57)						
9	24	2	2	1	3	4	7	2	0	2	2	4	6	1	7	8	6	5	2	7	0	7	7	5	3	8							



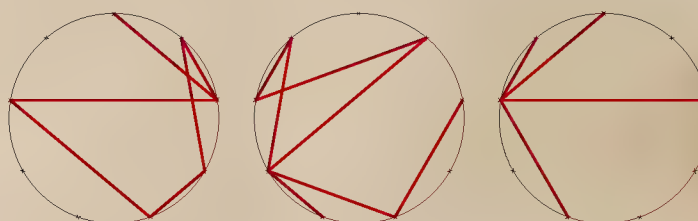
				Sum	Π
2	1	3	4	10	1
7	2	0	2	11	2
2	4	6	1	13	4
7	8	6	5	26	8
2	7	0	7	16	7
7	5	3	8	23	5
27	27	18	27	99	9

	2	1	3	4	7	2	0	2	2	4	6	1	Sum	34	7
	7	8	6	5	2	7	0	7	7	5	3	8		55	2
Sum	9	9	9	9	9	9	0	9	9	9	9	9		99	9



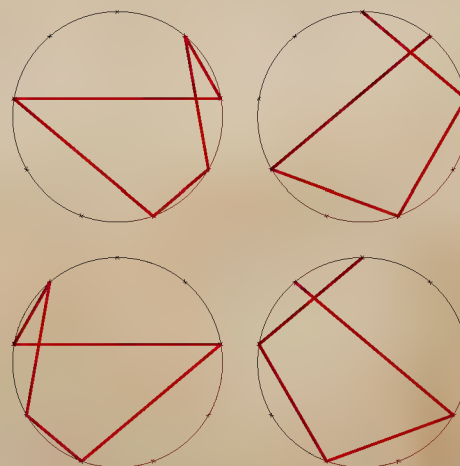
		Sum
	2 1	3
	3 4	7
	7 2	9
	0 2	2
	2 4	6
	6 1	7
	7 8	15
	6 5	11
	2 7	9
	0 7	7
	7 5	12
	3 8	11
Sum	45 54	99

								Sum	□	
	2	1	3	4	7	2	0	2	21	3
	2	4	6	1	7	8	6	5	39	3
	2	7	0	7	7	5	3	8	39	3
Sum	6	12	9	12	21	15	9	15	99	3



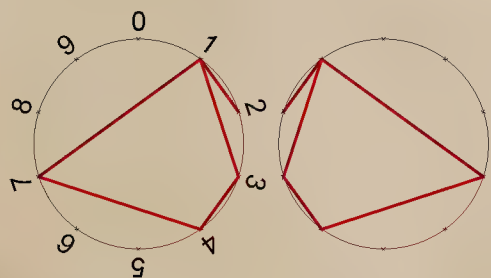
			Sum	□
2	1	3	6	6
4	7	2	13	4
0	2	2	4	4
4	6	1	11	2
7	8	6	21	3
5	2	7	14	5
0	7	7	14	5
5	3	8	16	7
27	36	36	99	9

						Sum	□
	2	1	3	4	7	2	19
	0	2	2	4	6	1	15
	7	8	6	5	2	7	35
	0	7	7	5	3	8	30
Sum	9	18	18	18	18	18	99

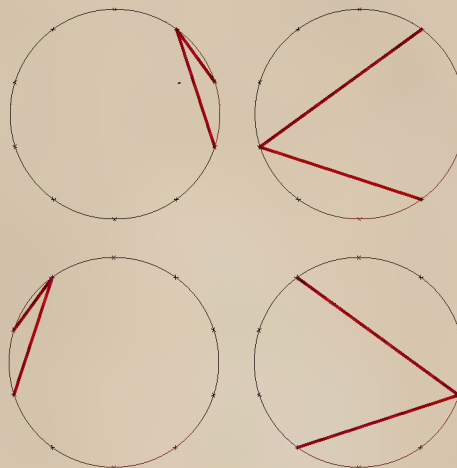


m	$\pi(n)$	numbers of zeros in the cycle	$L_n \pmod{\phantom{00$																											
---	----------	-------------------------------------	---	--	--	--	--	--	--	--	--	--	--	--	--	--	--	--	--	--	--	--	--	--	--	--	--	--	--	--

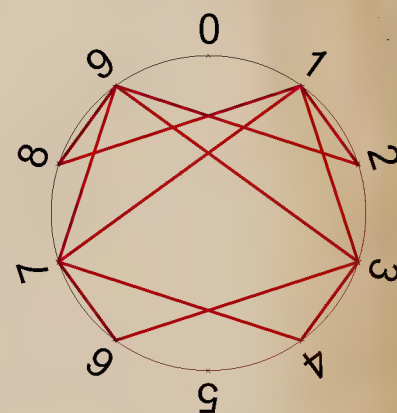
	2	1	3	4	7	1	Sum	Γ
	8	9	7	6	3	9	18	9
Sum	10	10	10	10	10	10	42	6
							60	6



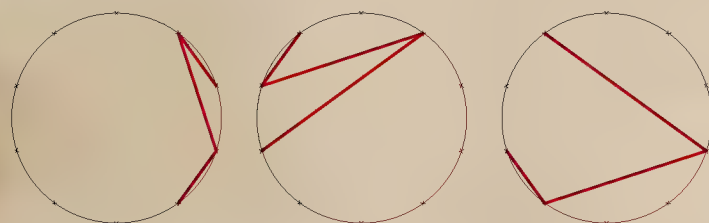
	2	1	3	Sum	Γ
	4	7	1	6	6
	8	9	7	12	3
	6	3	9	24	6
Sum	20	20	20	18	9
				60	



	2	1	3	Sum	Γ
	3	4	7	3	3
	7	1	8	7	7
	8	9	17	8	8
	7	6	13	4	4
	3	9	12	3	3
Sum	30	30	60	12	6

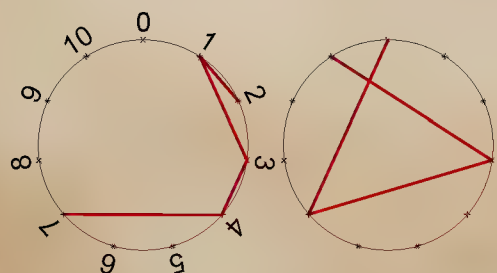


	2	1	3	4	Sum	Γ
	7	1	8	9	10	1
	7	6	3	9	25	7
Sum	16	8	14	22	25	7
					60	6

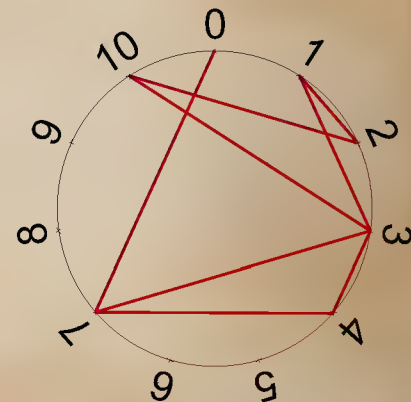


m	$\pi(n)$	numbers of zeros in the cycle	$L_n(\text{mod } 11) - \text{cycle}$																												Python coding			
11	10	1	2	1	3	4	7	0	7	7	3	10																						

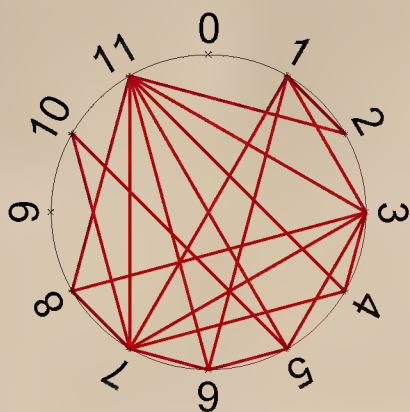
	2	1	3	4	7	Sum	Γ
	0	7	7	3	10	17	8
Sum						27	9
						44	8



	2	1	3	Sum	Γ
	3	4	7	3	3
	7	0	7	7	7
	7	7	14	5	5
	3	10	13	4	4
Sum	22	22	44	8	8

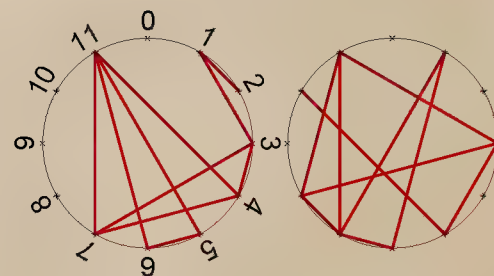


m	$\pi(n)$	numbers of zeros in the cycle	$L_n(\text{mod } 12) - \text{cycle}$																								Python coding			
12	24	0	2	1	3	4	7	11	6	5	11	4	3	7	10	5	3	8	11	7	6	1	7	8	3	11				



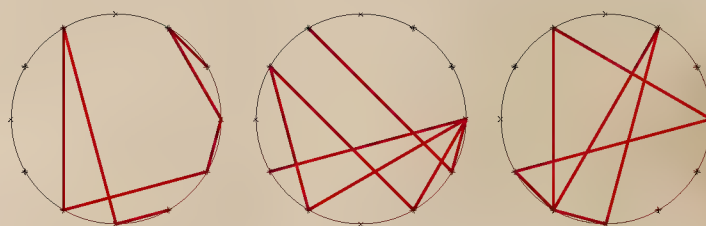
	2	1	3	4	Sum	Γ
	2	1	3	4	10	1
	7	11	6	5	29	2
	11	4	3	7	25	7
	10	5	3	8	26	8
	11	7	6	1	25	7
	7	8	3	11	29	2
Sum	48	36	24	36	144	9

	2	1	3	4	7	11	6	5	11	4	3	7	Sum	Γ
	2	1	3	4	7	11	6	5	11	4	3	7	64	1
	10	5	3	8	11	7	6	1	7	8	3	11	80	8
Sum	12	6	6	12	18	18	12	6	18	12	6	18	144	9



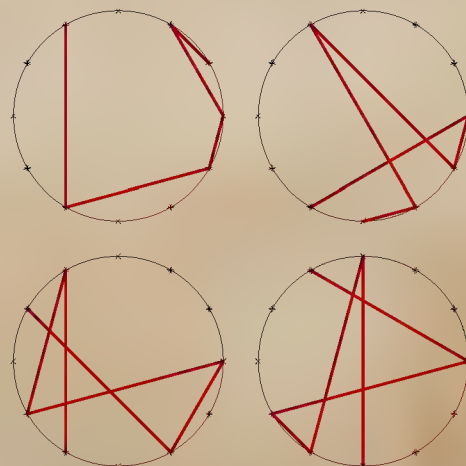
	2	1	3	Sum
	2	1	3	3
	3	4	7	7
	7	11	18	18
	6	5	11	11
	11	4	15	15
	3	7	10	10
	10	5	15	15
	3	8	11	11
	11	7	18	18
	6	1	7	7
	7	8	15	15
	3	11	14	14
Sum	72	72	144	

	2	1	3	4	7	11	6	5	Sum	Γ
	2	1	3	4	7	11	6	5	39	3
	11	4	3	7	10	5	3	8	51	6
	11	7	6	1	7	8	3	11	54	9
Sum	23	12	12	12	24	24	12	24	144	9



	2	1	3	Sum	Γ
	2	1	3	6	6
	4	7	11	22	4
	6	5	11	22	4
	4	3	7	14	5
	10	5	3	18	9
	8	11	7	26	8
	6	1	7	14	5
	8	3	11	22	4
Sum	48	36	60	144	9

	2	1	3	4	7	11	Sum	Γ
	2	1	3	4	7	11	28	1
	6	5	11	4	3	7	36	9
	10	5	3	8	11	7	44	8
	6	1	7	8	3	11	36	9
Sum	24	12	24	24	24	36	144	9



Αναγωγές των 112 λέξεων των 14 γλωσσών σε κύκλους



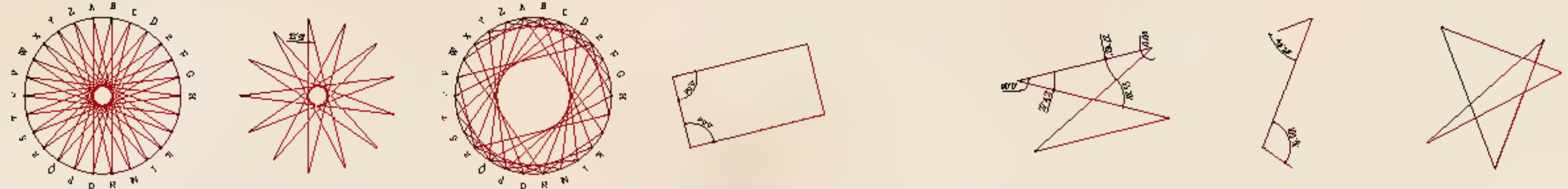
Prometheus
Bound and the
Oceanids (German:
Prometheus, beklagt
von den Okeaniden);
the sea nymphs try to
comfort Prometheus;
marble sculpture
(marble Carrara),
captivated (1872-
1879) by Eduard
Müller (1828-1895);
Height: 302 cm, Width:
149cm, Depth: 137
cm; I.N. B I 33. Alte
Nationalgalerie Berlin,
Berlin (Germany)

Minerva assisting Prometheus as he attempts to scale the heavens, Etching and engraving, 1756.

[illegible][illegible]

English

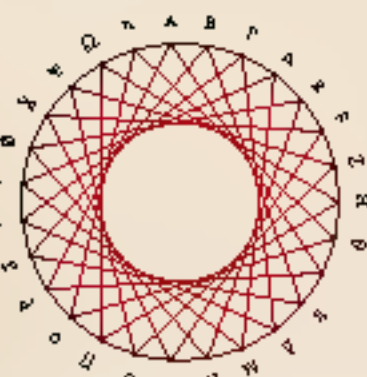
English Alphabet 26 letters
A B C D E F G H I J K L M N O P Q R S T U V W X Y Z



cube κύβος	caf κάφε	pyramio πυραμίδα	lake λίμνη	sphere σφαίρα	holy ιερός	poet ποιητής	song τραγούδι
sea θαλάσσιος	water νερό	fire πυρ	earth γη	love φιλία	lake λίμνη	sea θάλασσα	water νερό
answer απάντηση	action εξέλιξη	city πόλη	God Θεός	peace ειρήνη	mandala μανδάλι	Jesus Ιησούς	Odin Όντιν
haze μίση	anthem εμβαλόν	secret μυστικό	light φως	voice φωνή	star αστέρι	pentagon πεντάγωνο	pentagon πεντάγωνο
voice φωνή	spirit πνεύμα	angle γωνία	poem ποίημα	poet ποιητής	dream όνειρο	angel αγγέλ	oath ορκισμός
pray προσεύχη	prayer προσεύχη	light φως	hell κόλαση	darkness σκοτεινιά	day μέρα	creator δημιουργός	father πατέρας
man άνθρωπος	man άνθρωπος	justice δικαιοσύνη	magical μαγικό	spell γόητ	death θάνατος	life ζωή	cup φλιτάκι
love ερωτική	valley κοίμη	death θάνατος	happy χαρούμενος	beauty ομορφιά	music μουσική	tea θερματισμένο	temple ναός
arrow βέλος	helmet κασκόλι	shell καρκαδί	joyful ερωτικό	delicate ελαφρύ	arrow βέλος	war πόλεμος	peace ειρήνη
glory δόξα	valley κοίμη	power δυναμική	earth πόρρο	water νερό	sea θάλασσα	war πόλεμος	glory δόξα
flag σημείο	water φύση	animal ζώο	man άνθρωπος	good καλός	bad κακός	war πόλεμος	war πόλεμος
war πόλεμος	woman γυναίκα	man άνθρωπος	human άνθρωπος	brother αδελφός	mother μητέρα	war πόλεμος	war πόλεμος
war πόλεμος	base μυθική	yellow κίτρινο	no κακό	green πράσινο	see δεντρο	war πόλεμος	war πόλεμος
energy ενέργεια	flame φλόγα	flame φλόγα	dream όνειρο	love φιλία	mandala μανδάλι	war πόλεμος	war πόλεμος

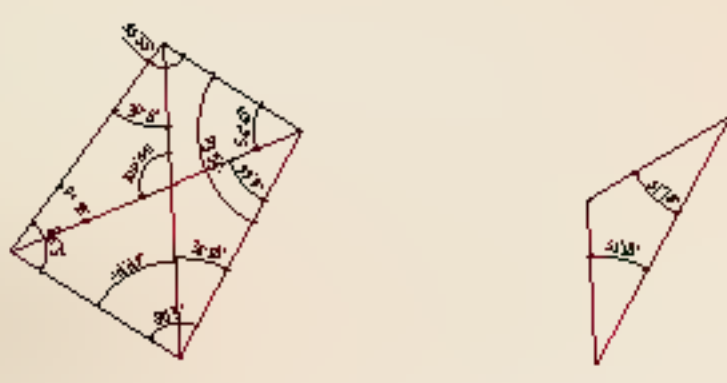
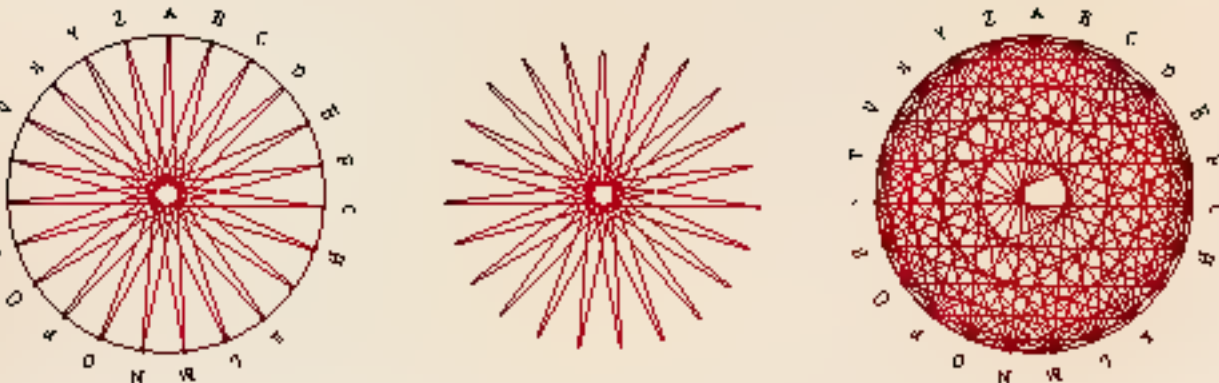
Α Β Γ Δ Ε Ϝ Ζ Η Θ Ι Κ Λ Μ Ν Ξ Ο Π Ρ Σ Τ Υ Φ Χ Ψ Ω ϳ

alpha
ἁ ἑ ἃ ἅ
ἁλφα



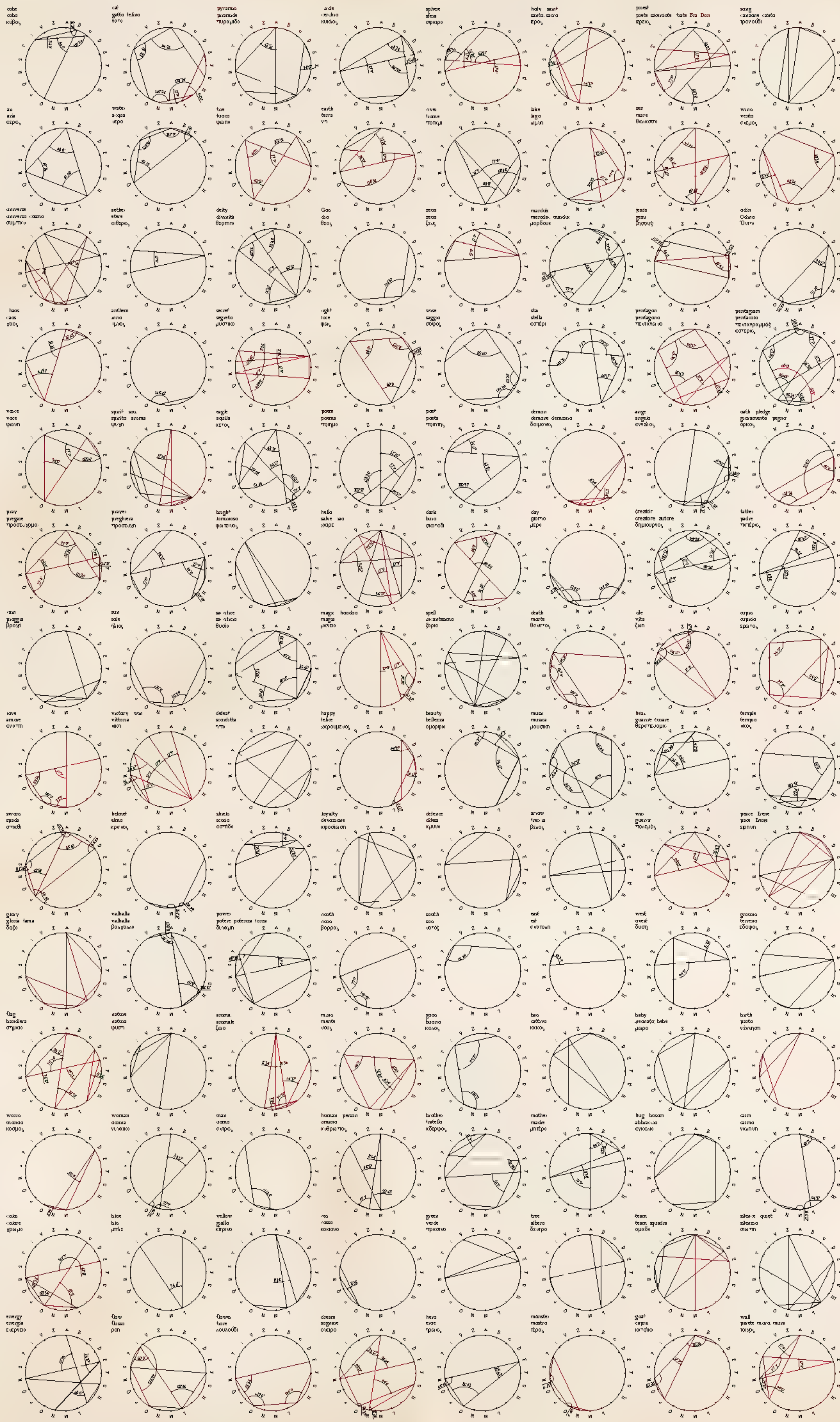
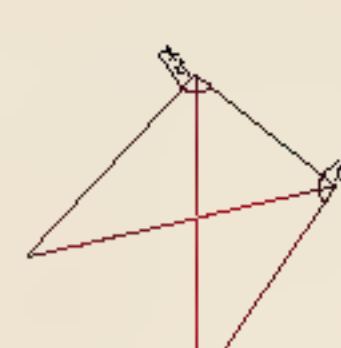
Latin

Latin Alphabet 23 letters
A B C D E F G H I K L M N O P Q R S T V X Y Z



cube dibus κυβος	cat felis catibus νέρε	pyramus pyramus πυραμίδος	ade adibus adeus κυβος	sphere globus σφαίρα	holy sanctus ερός	prophet sacerdos προφήτης	song carmen τραγούδι
sea mare κερως	water aqua νερο	fox ignis ψαλμα	earth tellus terra γη	oven furnus τοστιρι	lake lacus λίμνη	sea mare θαλασσα	world mundus κόσμος
universe universus οὐρανός	action actio εὐδοκία	city civitas πόλις	God deus θεός	zeus Iuppiter Ζεύς	maiden Marsia μαρσία	Jesus Iesus Ιησους	odin Odinus Ουνν
haas haas χάσος	antithesis antithesis αντιθέσις	secret secretum μυστήριον	light lux φως	war bellum πολεμος	star stella αστρον	pentagon pentagonum πεντάγωνον	pentagon pentagonum πεντάγωνον
voice vox φωνή	spirit spiritus πνεύμα	angle angulus γωνία	room camera τοίχιον	raft ratis τοστιρι	demon demon δαίμων	angel angelus αγγελος	with pledge σφραγισμός
pray preca προσεύχη	prayer oratio προσεύχη	length longus μήκος	hell ave χρησ	dark ater σκοτεινός	day dies μέρα	creator creator δημιουργός	father pater πατήρ
rain pluvia βροχή	son filius γιος	in obice σφραγισ	magus magus μαγικός	spell carisma γόρρι	death mors θάνατος	de vita ζών	corpo corpus σώμα
love amor ερώτη	visitation visitation ερώτη	defeat victoria νίκη	happy laetus χαρούμενος	beauty forma καλλοσύνη	music musica μουσική	sea mare θερεωσις	temple templum ναός
swamp palus σπορτός	helmet galea κρεμνός	shield scutum σπίλον	royalty fides εὐδοκία	defense defensa εὐδοκία	armor armis βελος	war arma πολεμικός	peace pax εἰρήνη
gay gloria δόξα	valhalla valhalla βελαντινός	power potestas δυναμὶς	north Aquas βορρικός	south Auster νότιος	east Eurus εὐροτινός	west Favonius οὐρεντινός	ground humus ζώντιος
flag vexillum σπορτός	robust robustus ψαλμα	anna anna βελαντινός	man man νίκος	good bonum καλός	bad malus κακός	baby infans μωρό	birth natus γέννησις
warrior miles κορμύς	woman femina νύμφη	man man νίκος	human homo ανθρώπινος	brother frater αδελφός	mother mater μήτερ	husband maritus ανδρας	aim scelus βελαντινός
dark obscurus σκοτεινός	base basis μύθος	yellow flavus κρίντος	red rubrus κόκκινος	green viridis πρασινός	free liber δύσπορος	team cohort ομάδα	silence quiet σπορτός
energy energia εὐδοκία	flow fluere πόρ	flow fluere πόρ	dream somnia οὐρεντινός	hex hex τρενός	monster monstrum βελαντινός	ghost spiritus κόρτος	wall paries τοίχιος

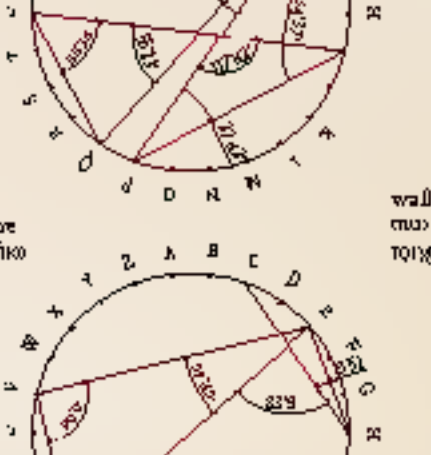
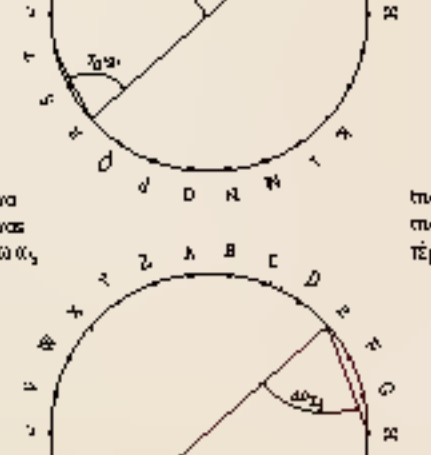
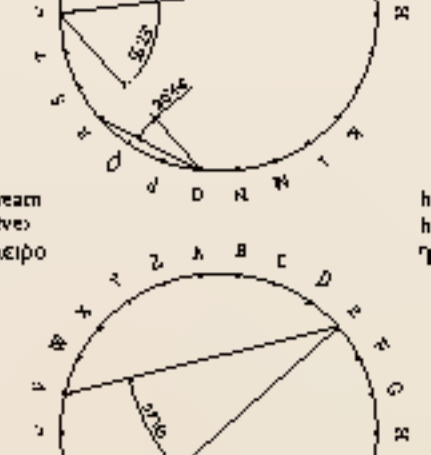
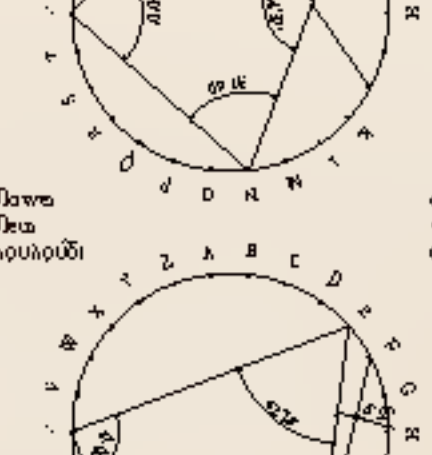
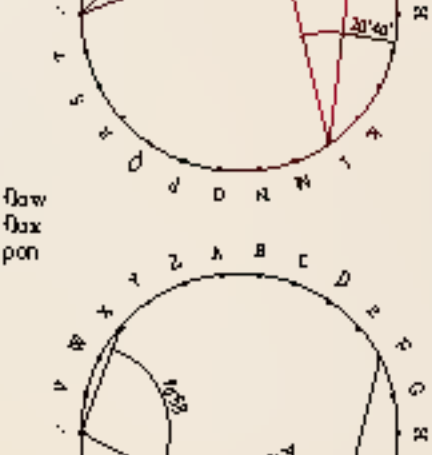
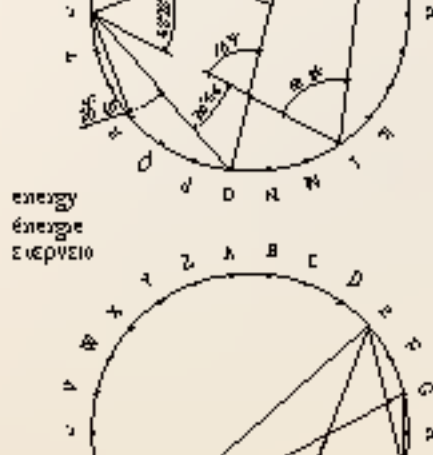
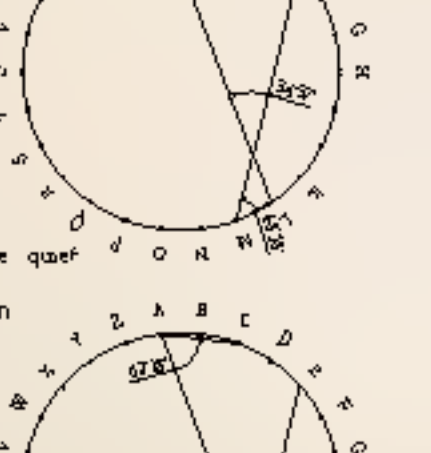
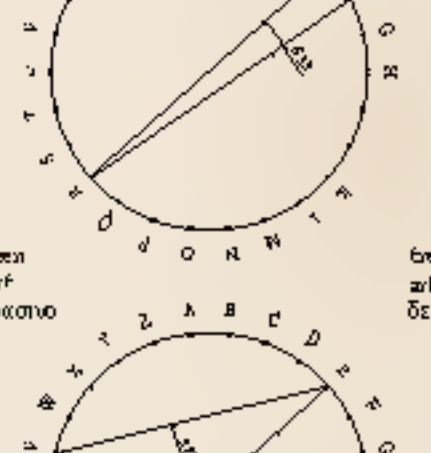
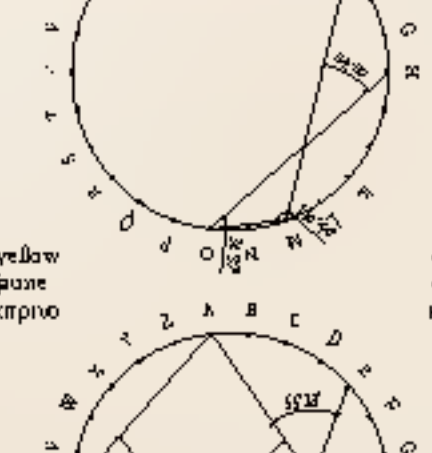
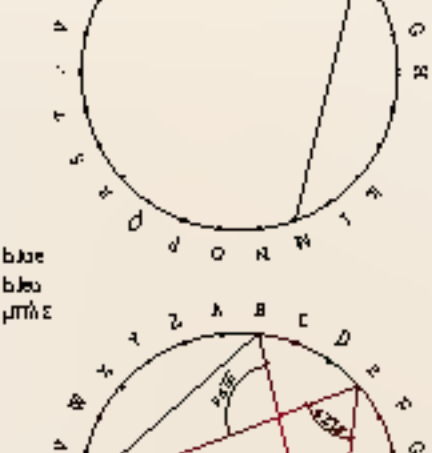
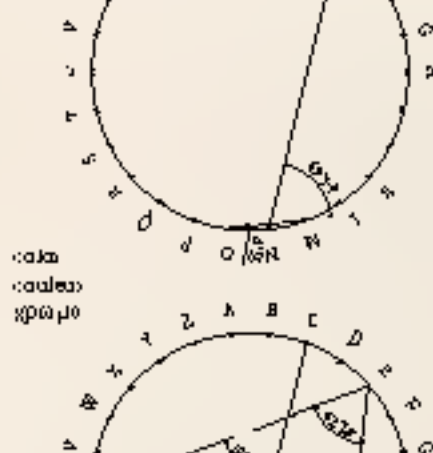
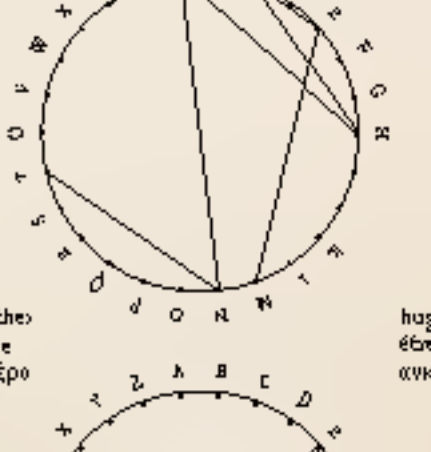
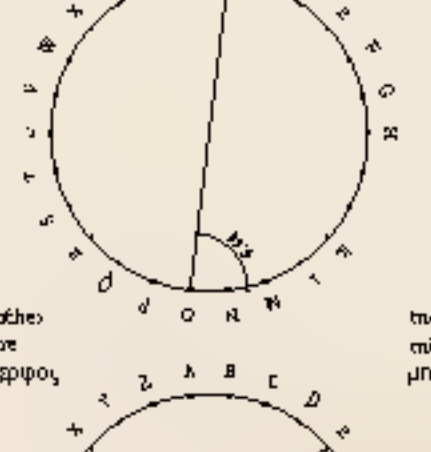
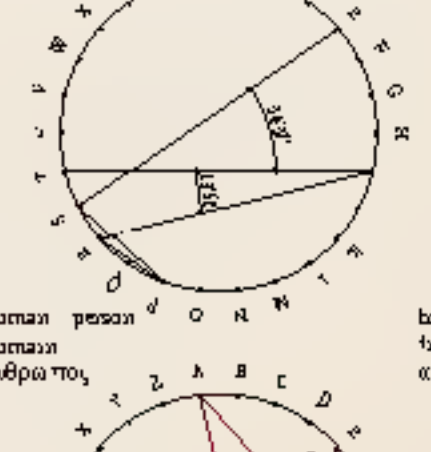
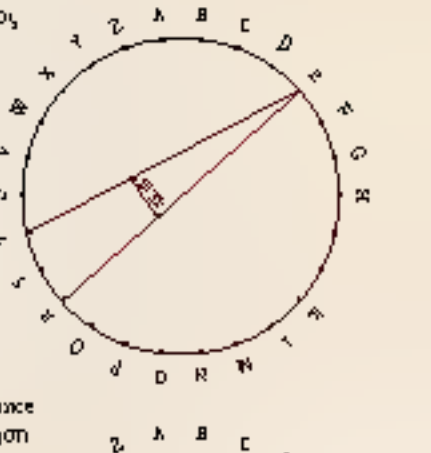
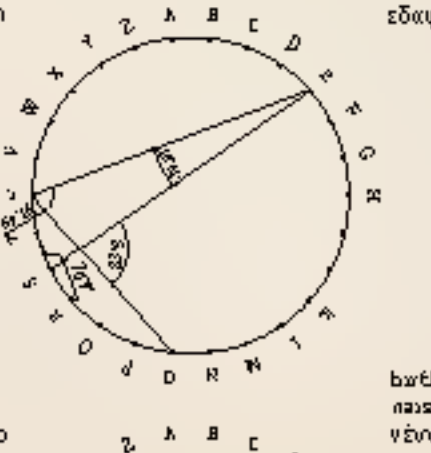
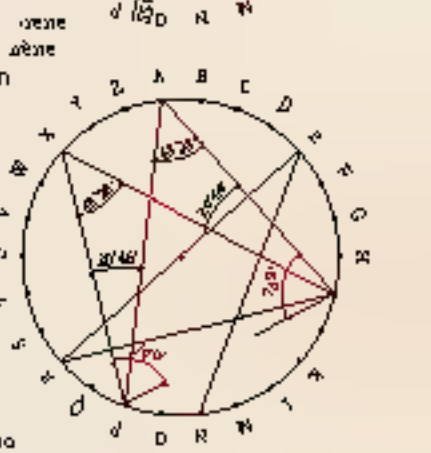
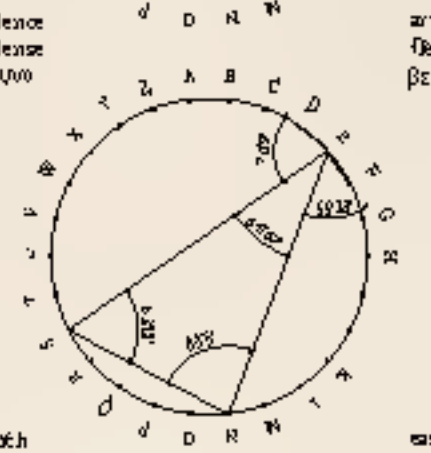
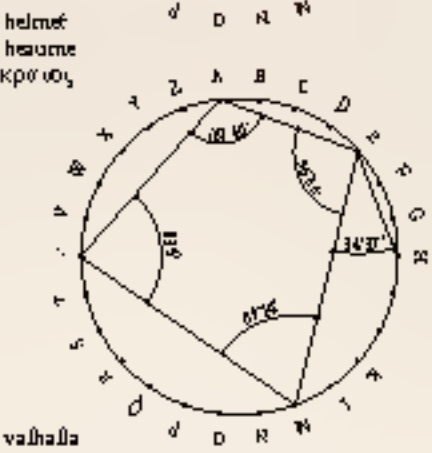
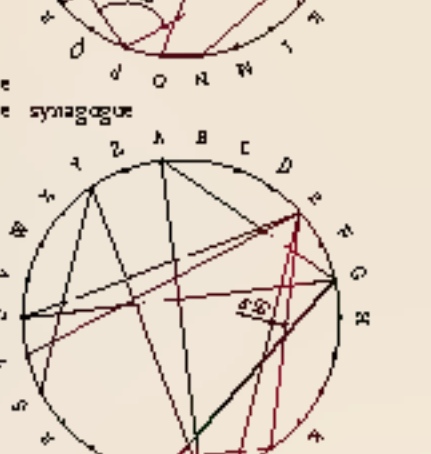
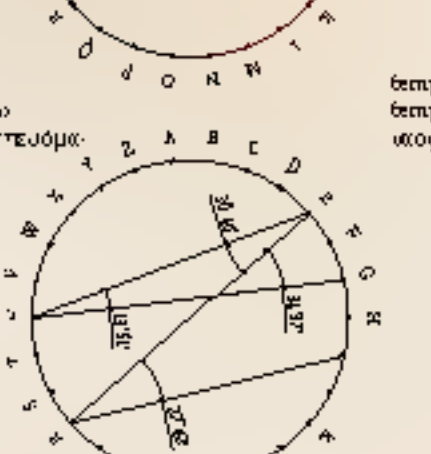
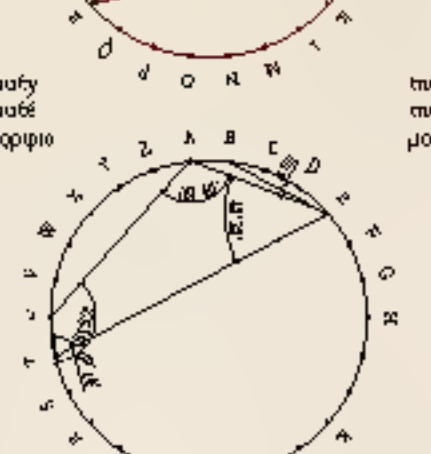
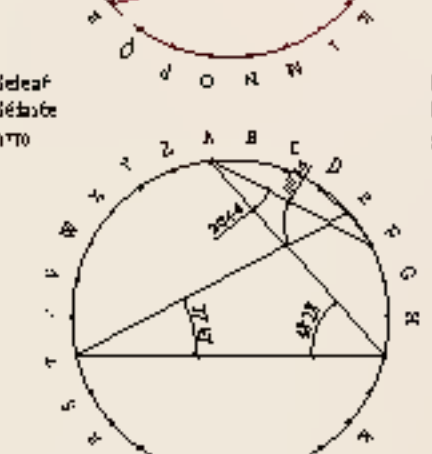
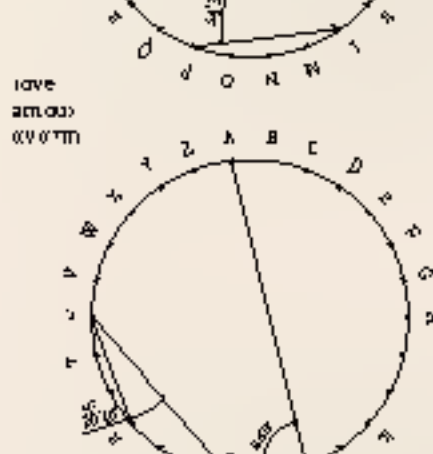
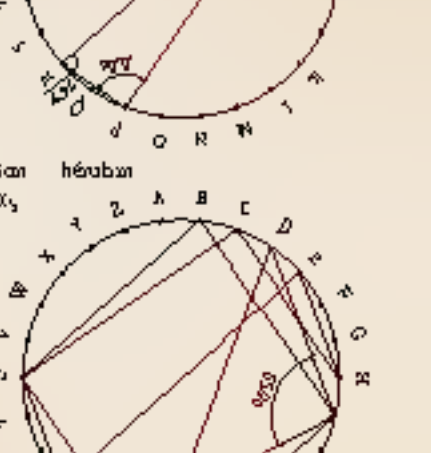
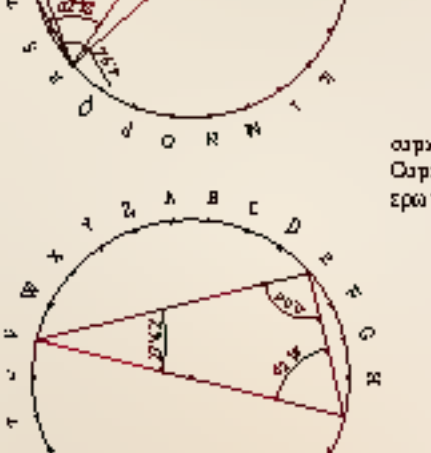
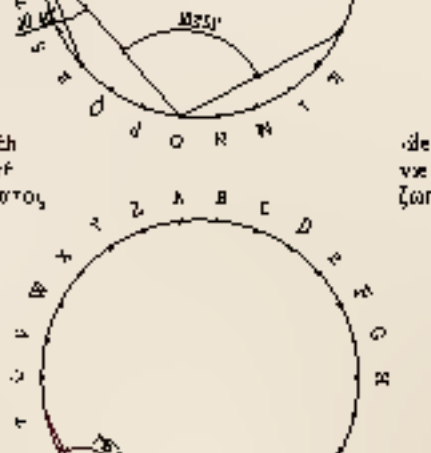
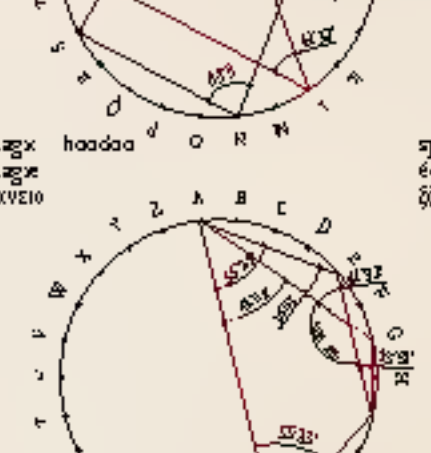
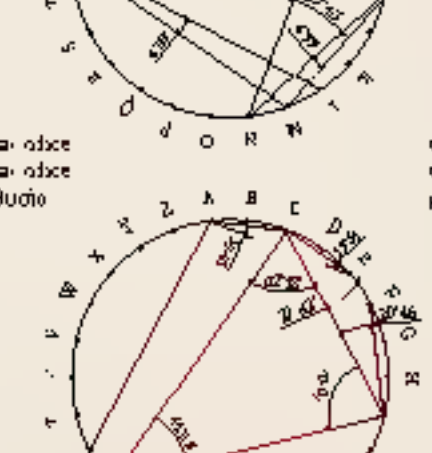
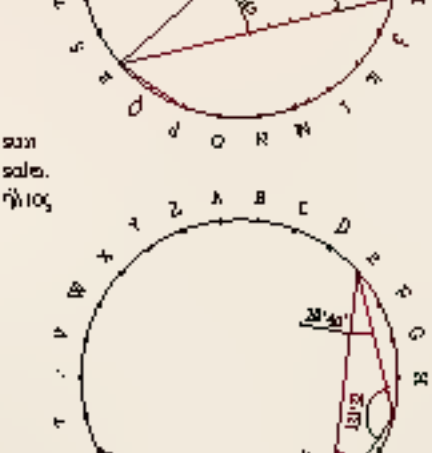
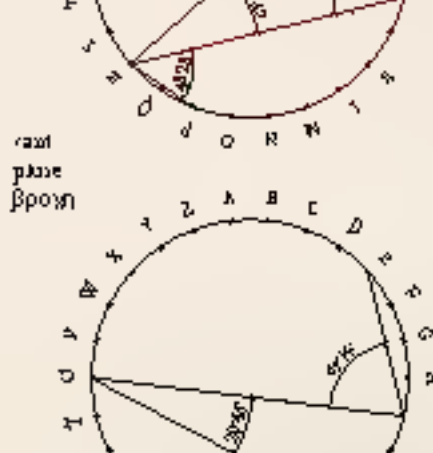
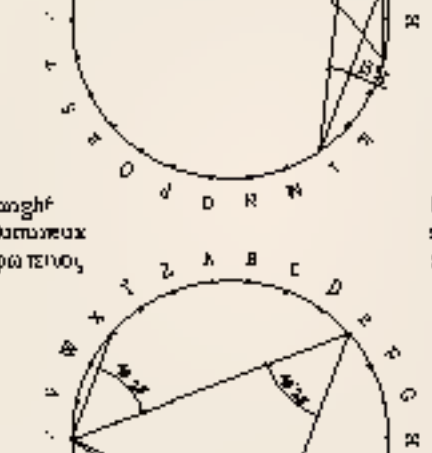
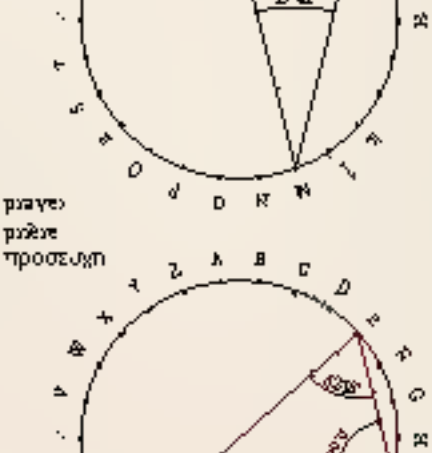
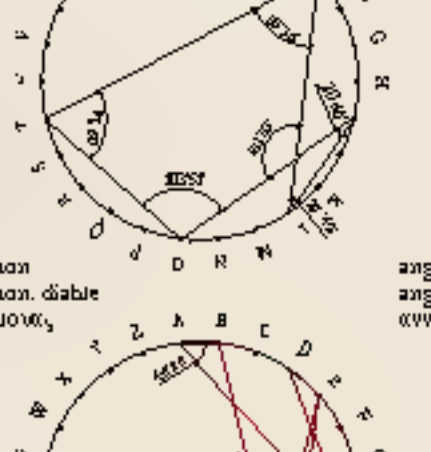
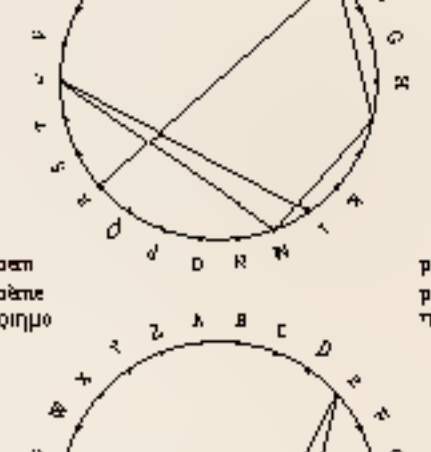
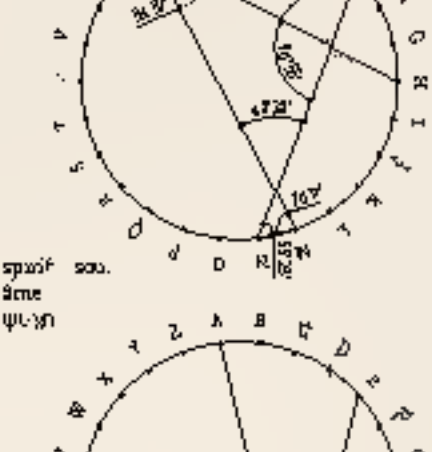
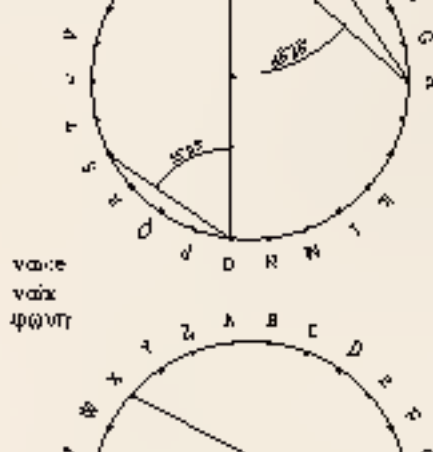
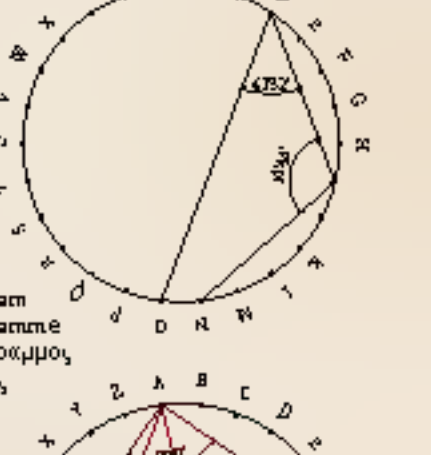
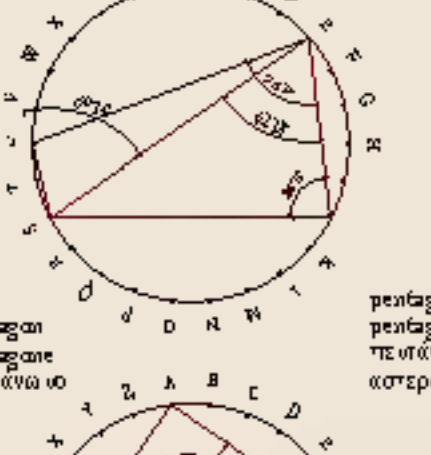
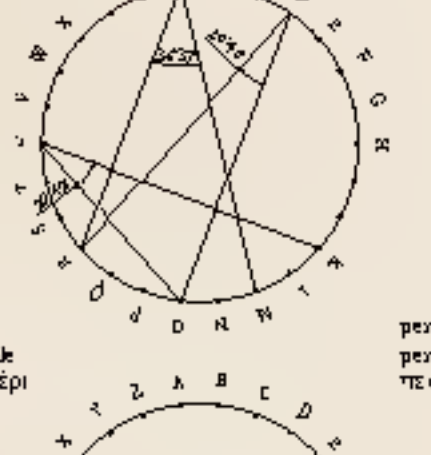
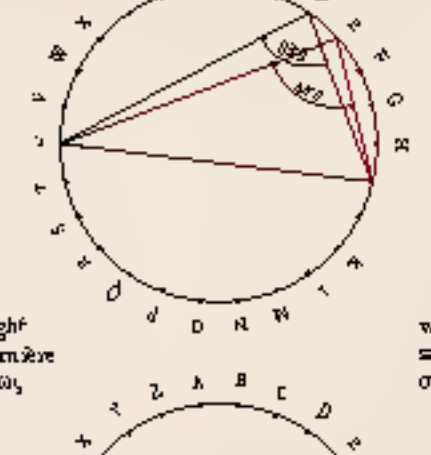
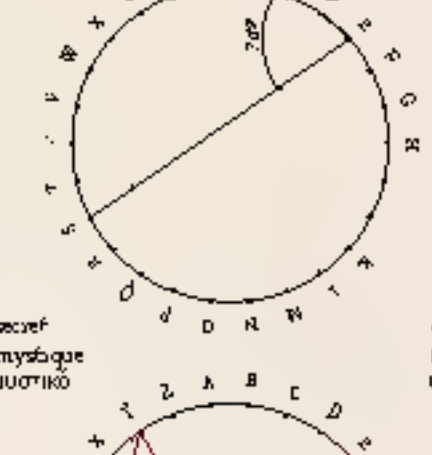
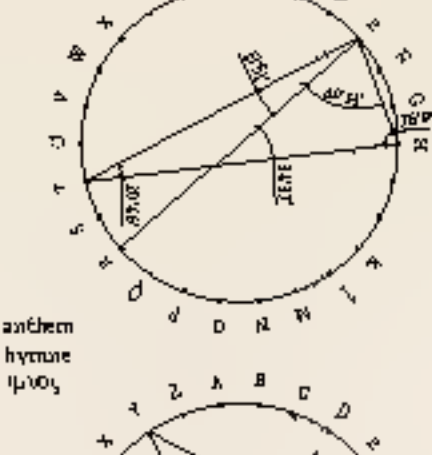
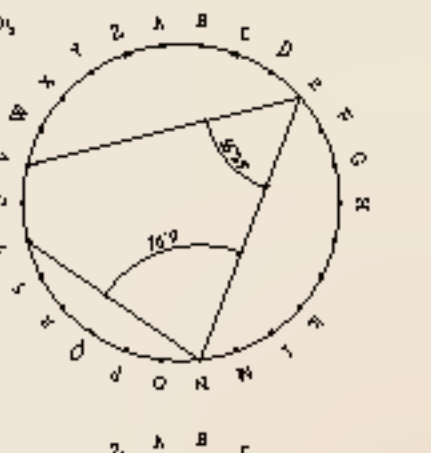
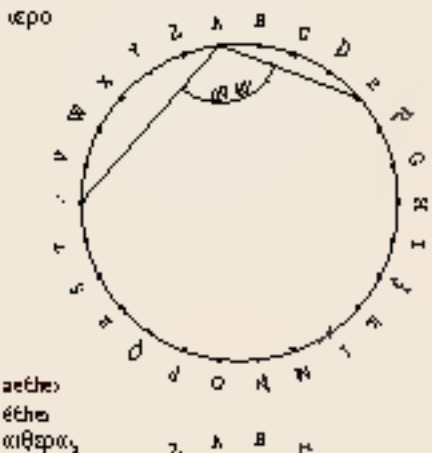
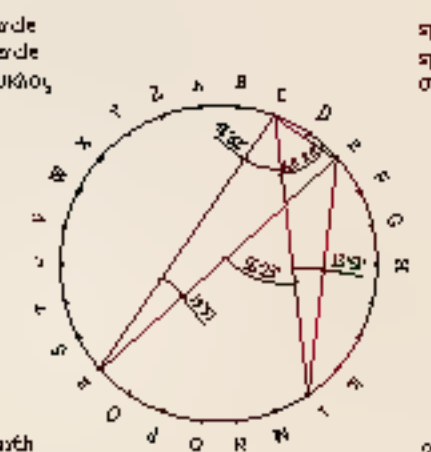
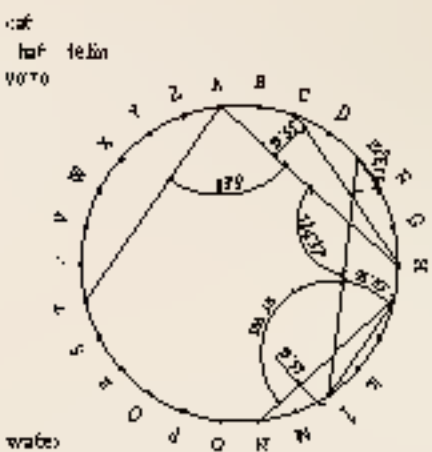
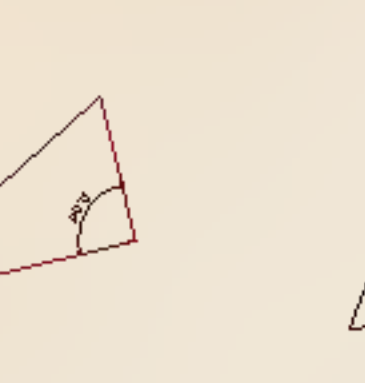
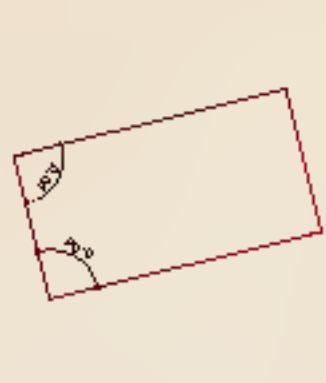
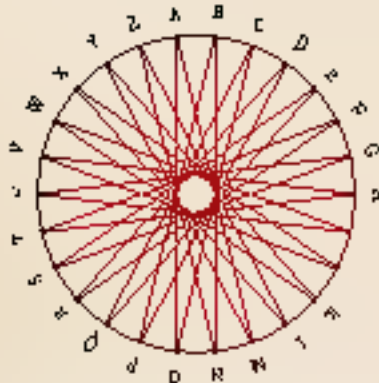
Italian Alphabet 21 letters
A B C D E F G H I L M N O P Q R S T U V Z



French

French Alphabet 26 letters

A B C D E F G H I J K L M N O P Q R S T U V W X Y Z

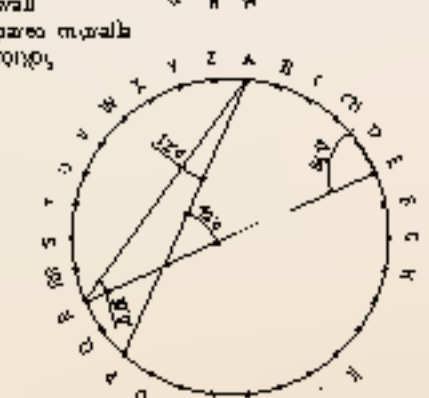
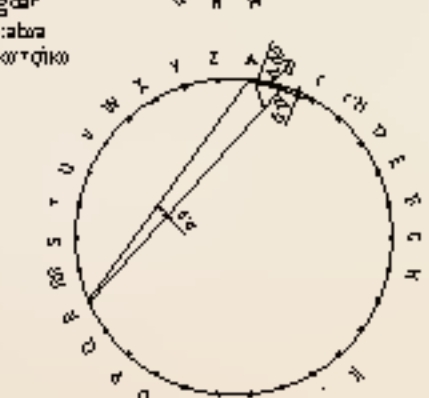
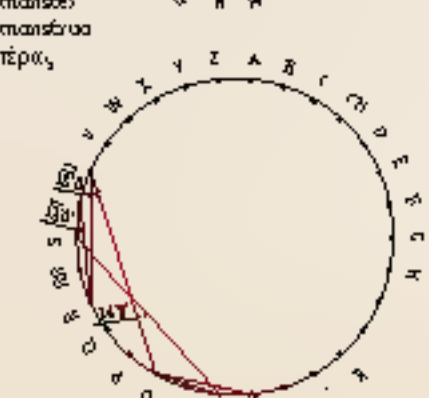
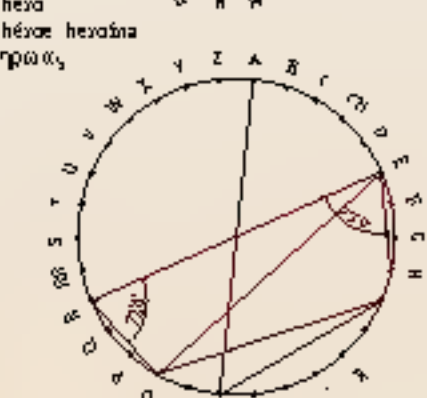
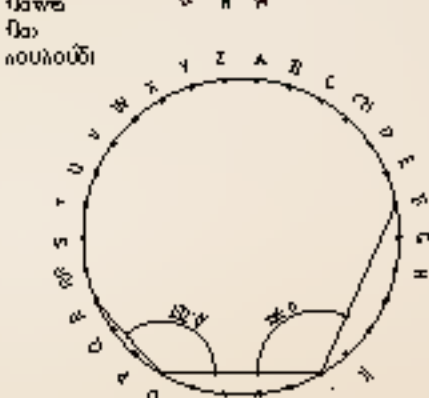
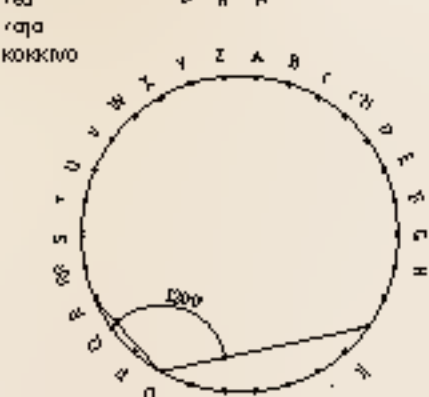
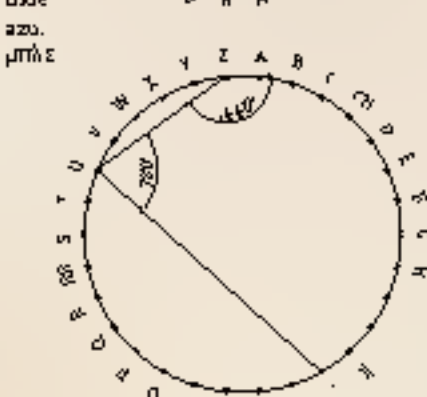
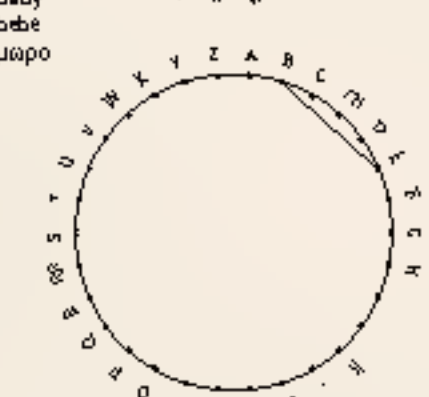
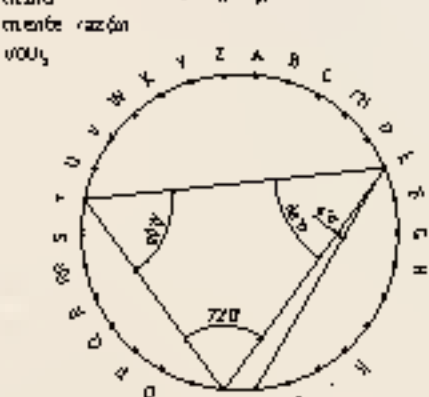
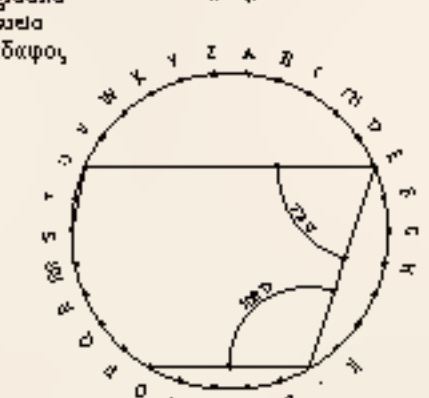
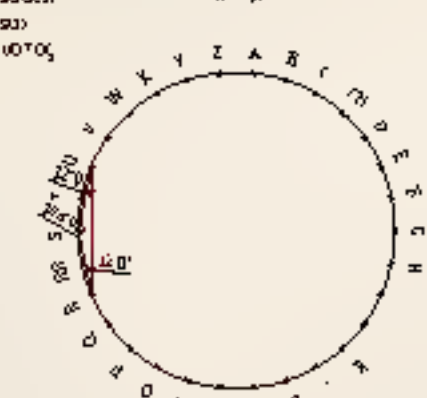
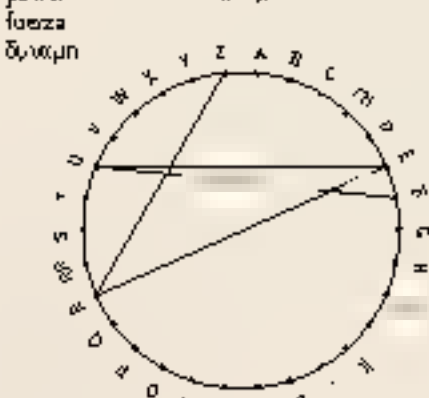
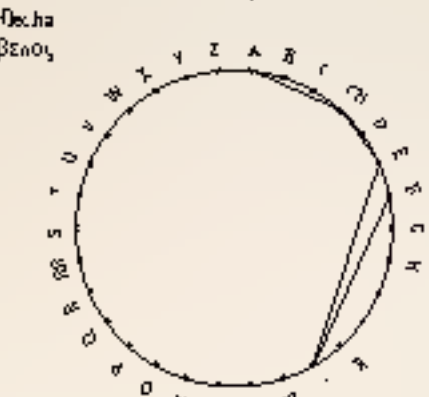
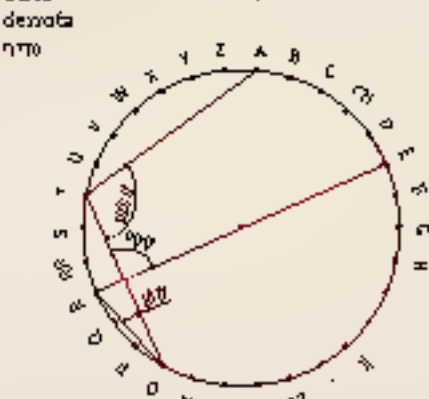
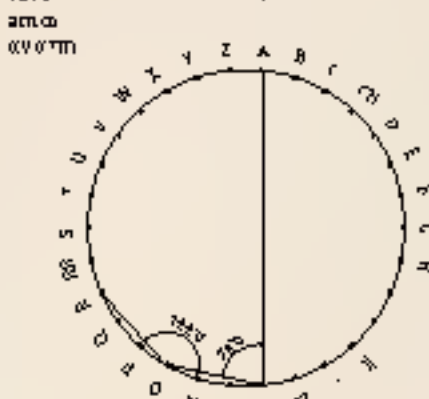
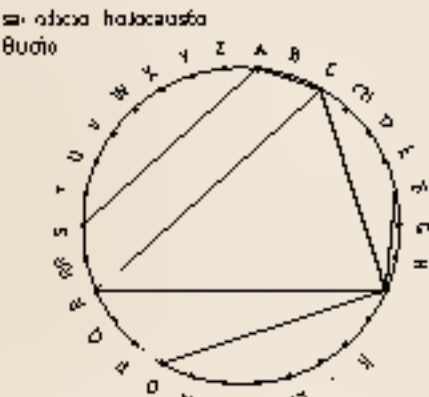
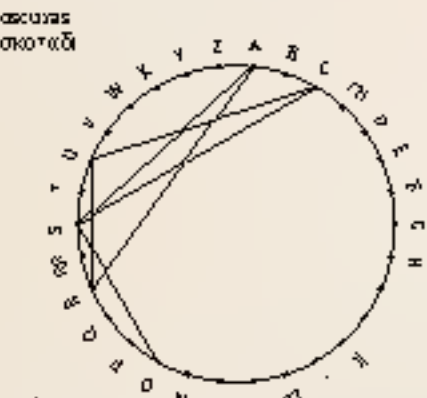
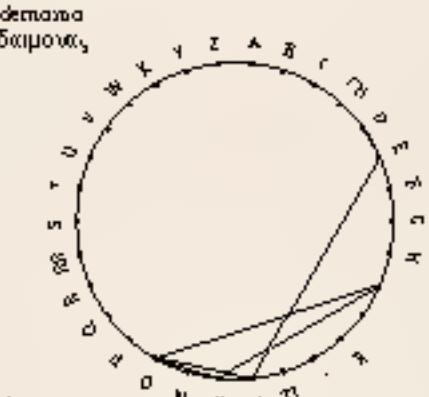
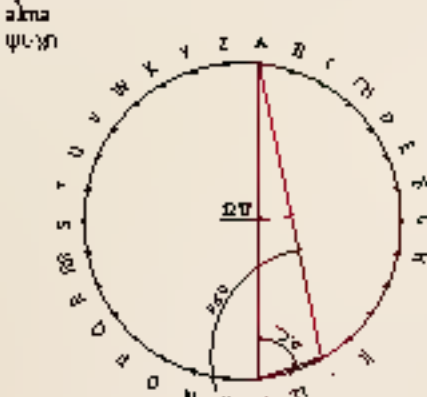
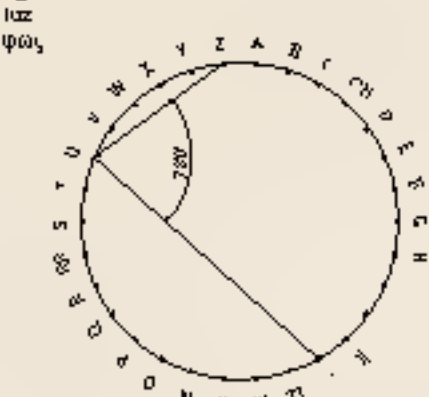
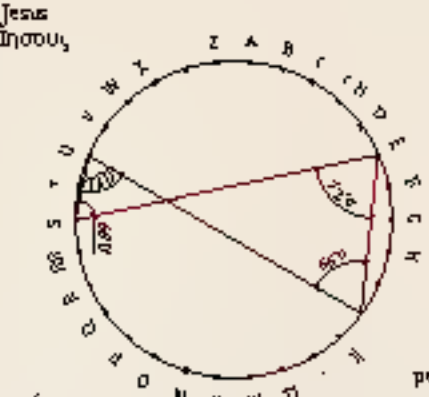
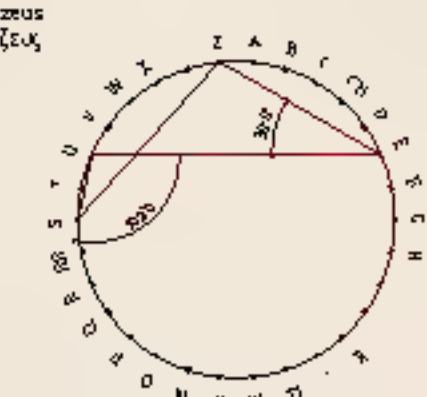
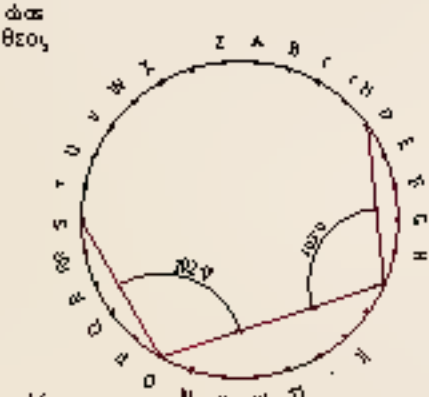
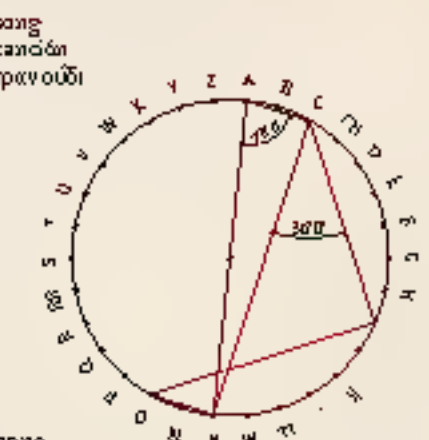
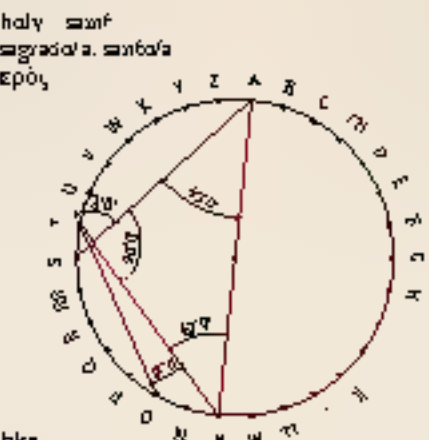
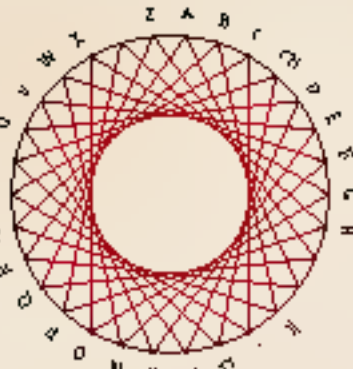


Spanish

Spanish Alphabet 30 letters

A B C C H C h D E F G H I J K L L I L I M N Ñ O P Q R R R r S T U V W X Y Z

alpha
alfa
άλφα

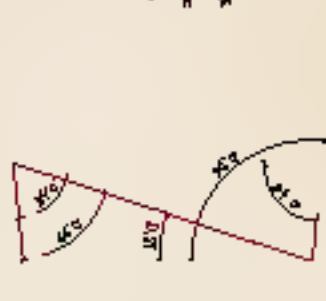
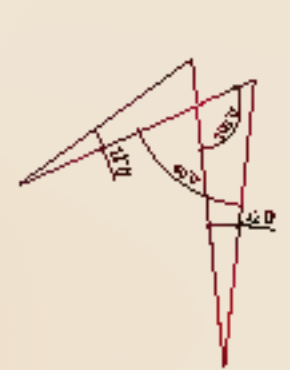


Deutsch

German Alphabet 30 letters

A A B C D E F G H I J K L M N O O P Q R S T U U V W X Y Z

alpha
alpha
α α



cube
kubus
würfel
κύβος



cat
katze
katze
κίττι



pyramid
pyramide
πυραμίδα
πυραμίδα



owl
eule
Kuckuck
Κυκλός



sphere
kugel
σφαίρα
σφαίρα



holy
heilig
εσθλός
εσθλός



prince
prinz
πρίγκιπας
πρίγκιπας



song
lied
song, fabel, stücke
πρελούδι



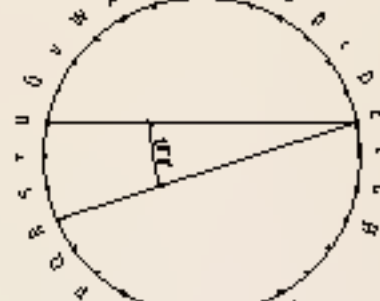
air
luft
αέρας
αέρας



water
wasser
νερό
νερό



eye
auge
ὄφθαλμος
ὄφθαλμος



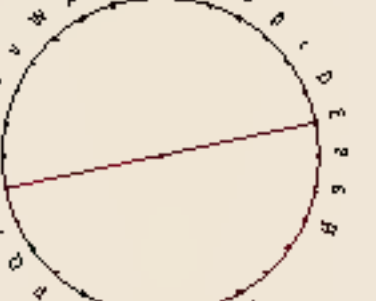
earth
erde
γη
γη



oven
kessel
σεντερί
σεντερί



lake
see
λίμνη
λίμνη



sea
meer
θάλασσα
θάλασσα



war
krieg
πόλεμος
πόλεμος



universe
universum
ὅλος κόσμος
ὅλος κόσμος



admiral
Admiral
αδμύραλτος
αδμύραλτος



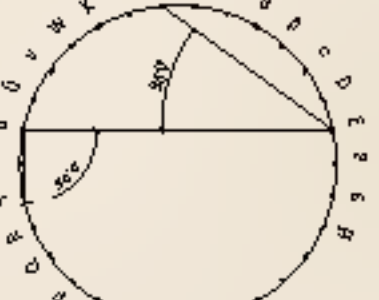
deity
Götze
Gott
θεός



God
Gott
heilig
θεός



iron
eisen
σίδηρος
σίδηρος



marble
marble
μαρμάρειος
μαρμάρειος



iron
eisen
σίδηρος
σίδηρος



Odin
Odin
Ὀδίν
Ὀδίν



chaos
Chaos
Unordnung, Durcheinander
καὶ χάος



anthem
hymne
ὕμνος
ὕμνος



secret
Geheimnis
μυστήριον
μυστήριον



light
Licht
Helligkeit
φῶς



wise
weise
σοφία
σοφία



stone
stein
πέτρα
πέτρα



pentagon
Fünfeck
πεντάγωνο
πεντάγωνο



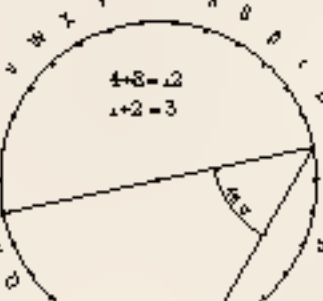
pentagon
πεντάγωνο
πεντάγωνο
πεντάγωνο



voice
stimme
φωνή
φωνή



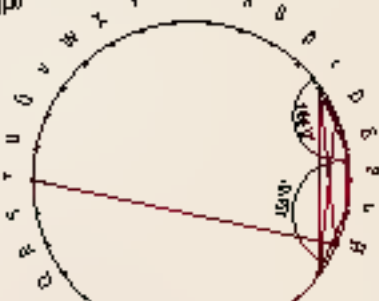
spirit
Geist
πνεῦμα
πνεῦμα



eagle
Adler
αετός
αετός



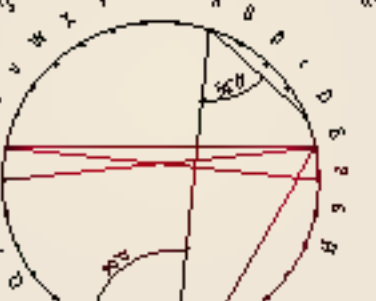
poem
Gedicht
vers
ποίημα



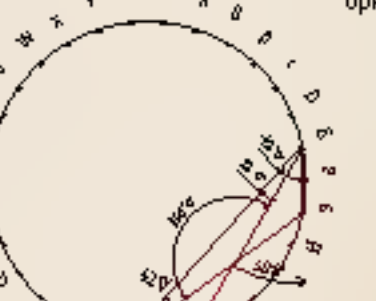
poet
Dichter
poet
ποιητής



demon
Dämon
teufel
δαίμον



angel
engel
αγγέλος
αγγέλος



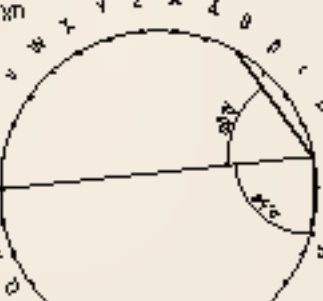
oath
pledge
Eid
ἀρκησίον



pray
beten, korymben
προσεύχεται
προσεύχεται



prayer
Beten
Gebet
προσεύχεται



bright
hell
blenden
φαιδρύνω



hail
hail
στεινέ
στεινέ



dark
dunkel
σκοτεινός
σκοτεινός



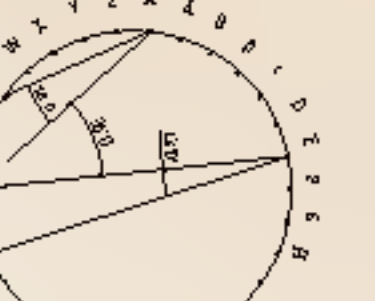
day
tag
μέρα
μέρα



creator
Schöpfer
δημιουργός
δημιουργός



father
vater
πατήρ
πατήρ



rain
regen
βροχή
βροχή



son
sohn
υἱός
υἱός



in
Opfer
Opfer
Opfer



magical
magisch
zauber
μαγικός



spell
Zauber
Zauber
ζόρι



death
Tod
Sterben
θάνατος



life
leben
ζωή
ζωή



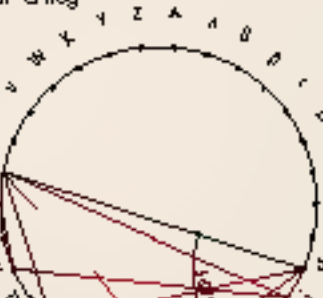
corpse
Leiche
καρμώ
καρμώ



love
Liebe
ερώτη
ερώτη



to-day
heute
τώρα
τώρα



deaf
Niederlage
Blöße
μωρό



happy
glücklich
χαρούμενος
χαρούμενος



beauty
Schönheit
Αἰσθητική
αἰσθητική



man
männlich
άνθρωπος
άνθρωπος



husband
Mann
ἀνδρας
ἀνδρας



temple
Tempel
ναός
ναός



sworn
Schwefel
σπέρμα
σπέρμα



helmet
Helm
Lepidochelys
κράνος



school
Schule
Pauze
σχολή



valley
Tal
επιχώριος
επιχώριος



delusion
Verblendung
εἰδωλόν
εἰδωλόν



peace
Friede
εἰρήνη
εἰρήνη



west
Westen
δυτικός
δυτικός



ground
boden
εἶδος
εἶδος



glory
ruhm
εὐδοκία
εὐδοκία



valley
Tal
επιχώριος
επιχώριος



power
kraft
δύναμις
δύναμις



north
norden
βόρρειος
βόρρειος



south
süden
νότιος
νότιος



east
osten
ανατολικός
ανατολικός



west
westen
δυτικός
δυτικός



ground
boden
εἶδος
εἶδος



flag
flagge
σημαία
σημαία



castle
castell
φυμα
φυμα



anima
See
ζωή
ζωή



man
männlich
άνθρωπος
άνθρωπος



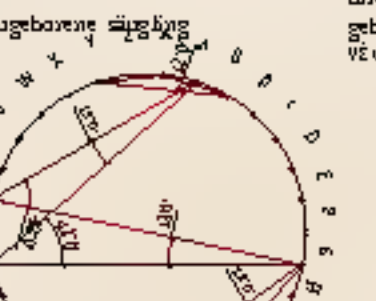
good
gut
καλός
καλός



bad
böse
κακός
κακός



baby
Baby
μωρό
μωρό



birth
Geburt
γεννησιμότητα
γεννησιμότητα



man
Mensch
άνθρωπος
άνθρωπος



man
Mensch
άνθρωπος
άνθρωπος



man
Mensch
άνθρωπος
άνθρωπος



human
Mensch
άνθρωπος
άνθρωπος



brother
brüder
αδελφός
αδελφός



mother
mutter
μήτηρ
μήτηρ



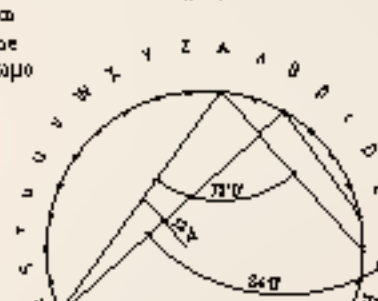
high
hohen
υψηλός
υψηλός



rain
regen
βροχή
βροχή



blue
blau
μπλε
μπλε



blue
blau
μπλε
μπλε



yellow
gelb
κίτρινο
κίτρινο



no
nein
κόκκινο
κόκκινο



green
grün
πράσινο
πράσινο



eye
auge
ὄφθαλμος
ὄφθαλμος



beam
baum
οἰκός
οἰκός



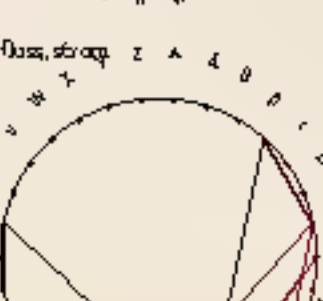
silence
stille
σιωπή
σιωπή



energy
energie
εὐρησία
εὐρησία



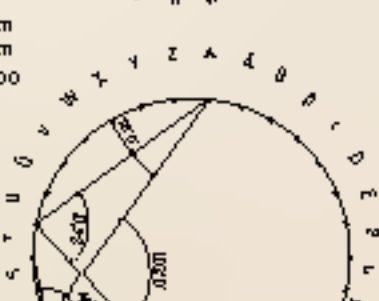
flow
fließen
ροή
ροή



flower
blume
λαμπάδα
λαμπάδα



dream
traum
ὄνειρο
ὄνειρο



hero
held
ήρωας
ήρωας



mander
mandel
αμύγδαλο
αμύγδαλο



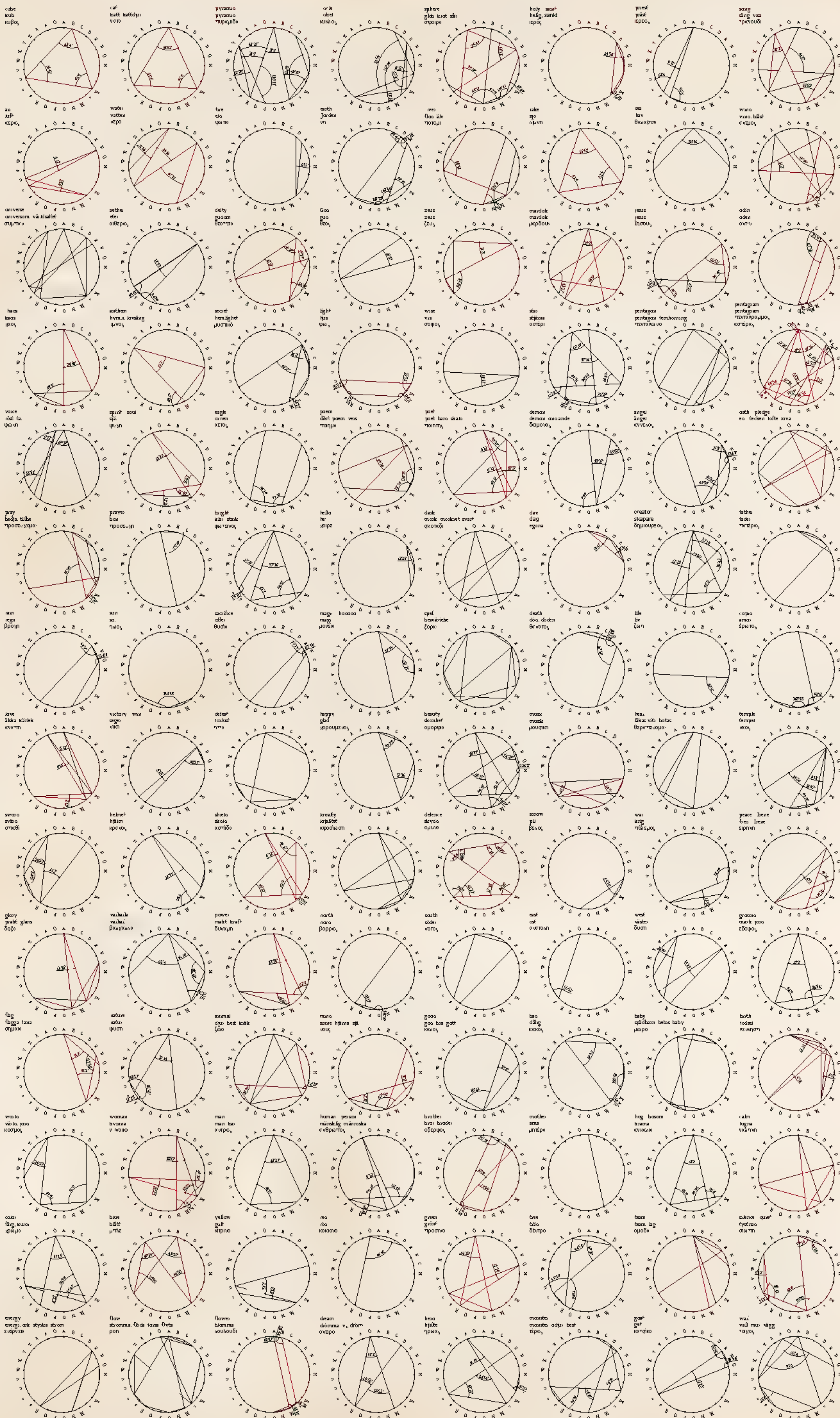
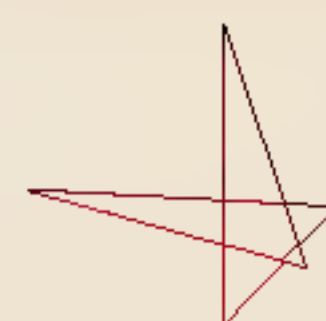
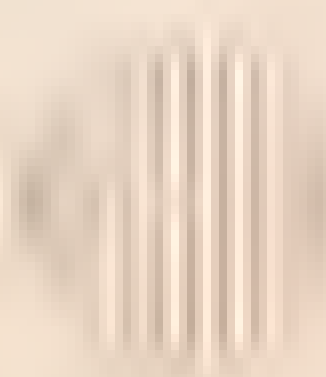
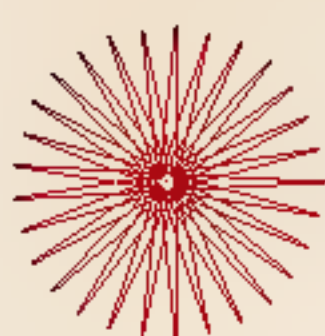
goat
ziege
κατσούρα
κατσούρα



wall
mauer
τοιχώρι
τοιχώρι



ABCDEFGHIJKLMNOPQRSTUVWXYZ Å Ä Ö

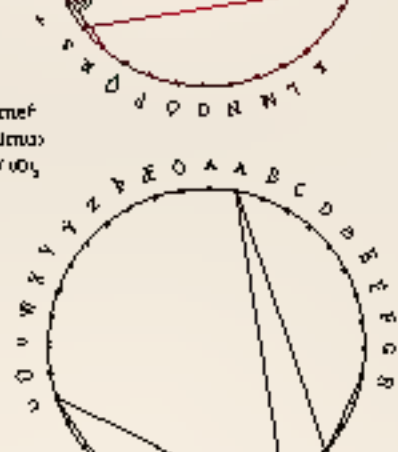
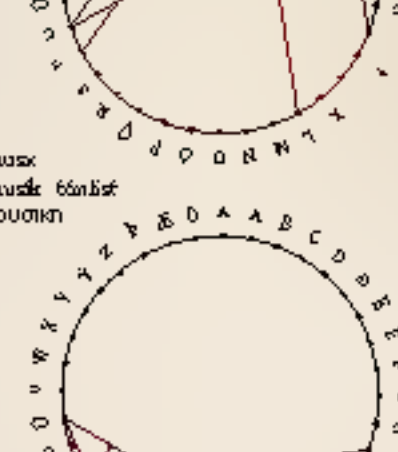
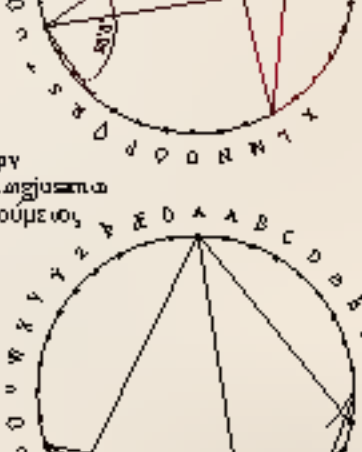
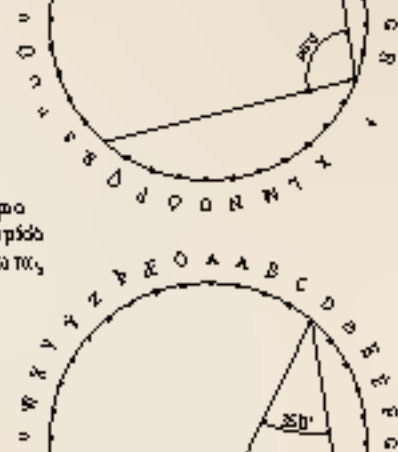
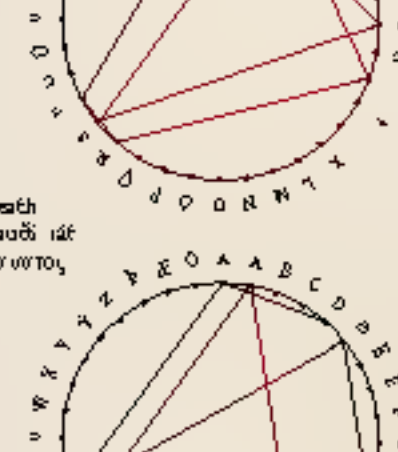
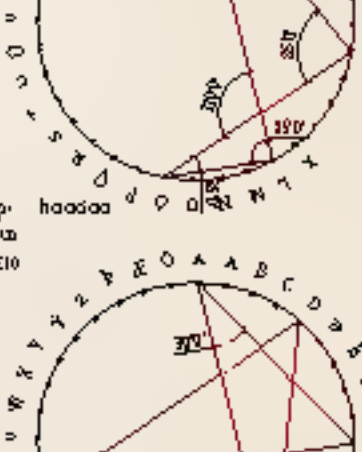
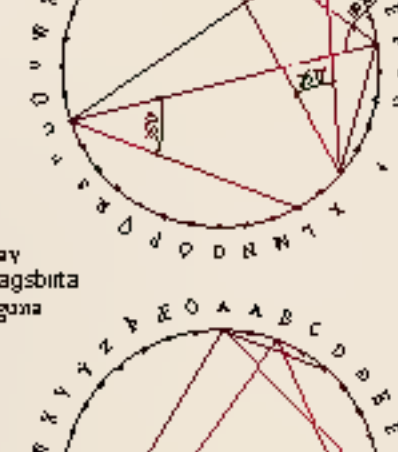
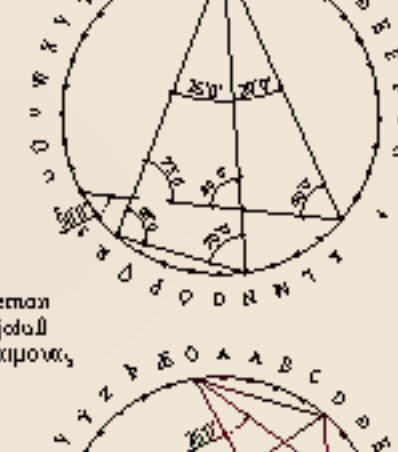
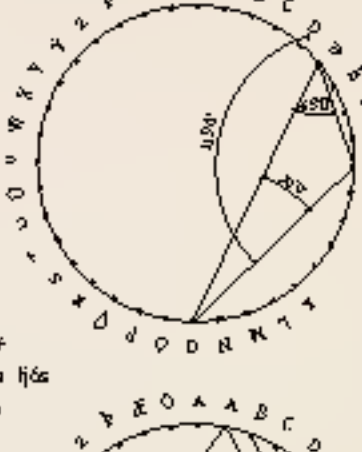
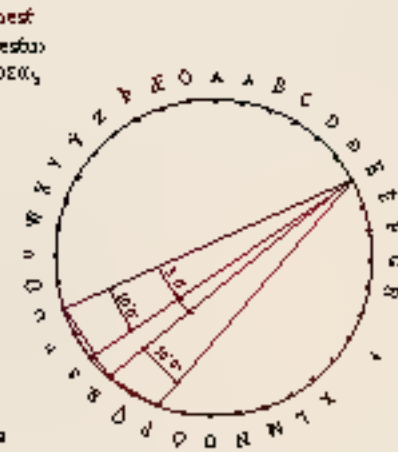


Icelandic

Icelandic Alphabet 36 letters

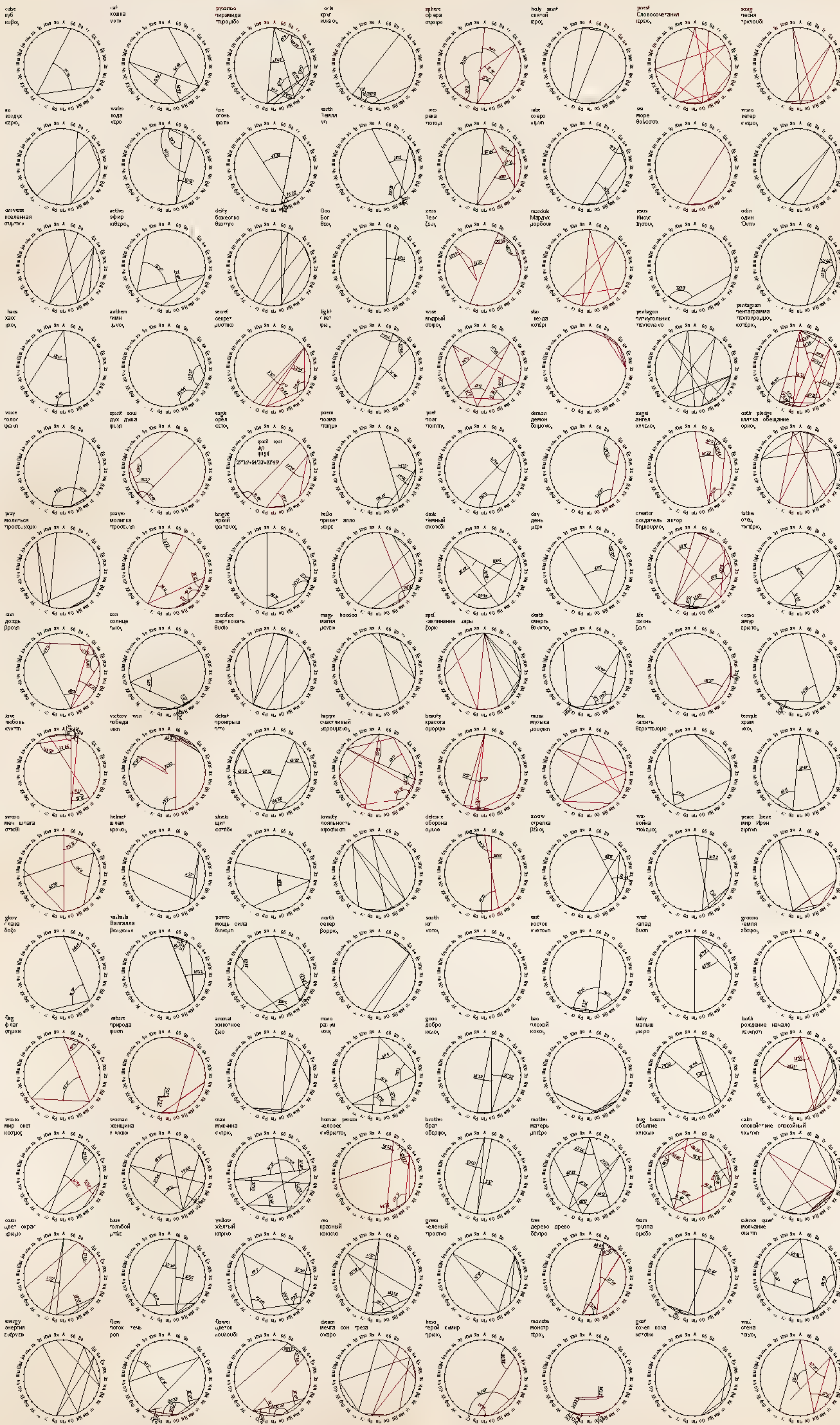
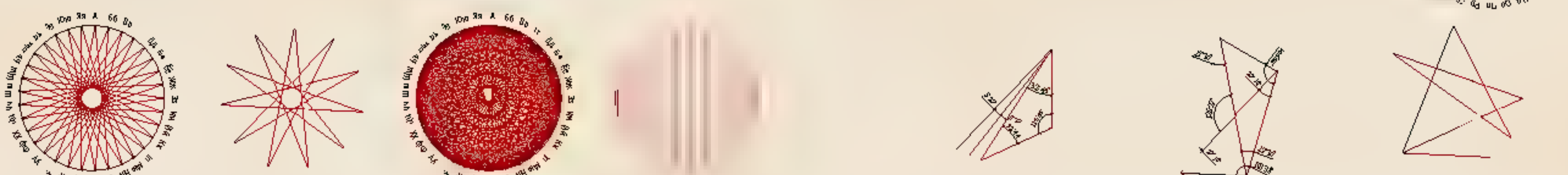
A A B C D ð E F F G H I I J K I L M N O O P Q R S T U U V W X Y Y Z Þ Æ Ö

alpha
alpha
alpha



Russian Alphabet 33 letters

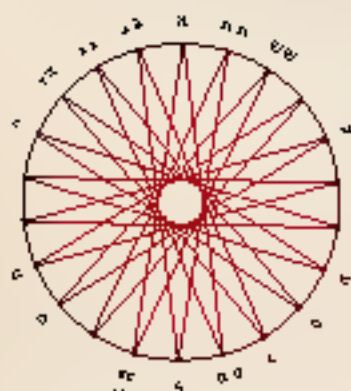
АБВГДЕЁЖЗИЙКЛМНОПРСТУФХЦЧШЩЪЫЬЭЮЯ



Hebrew

Hebrew Alphabet 22 letters

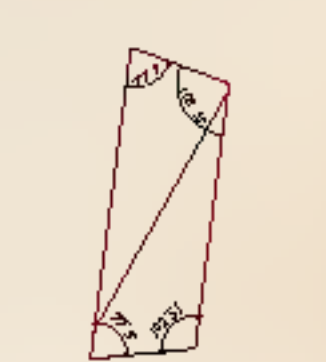
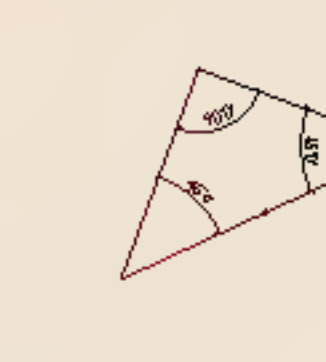
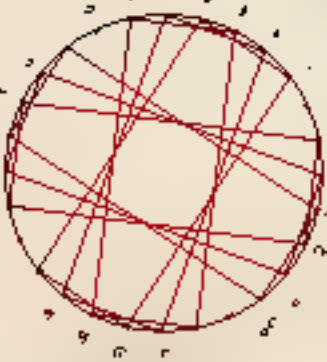
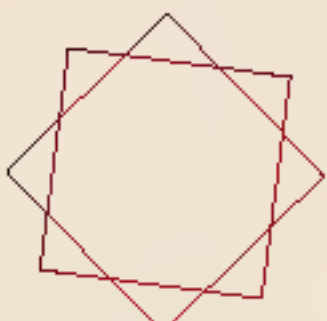
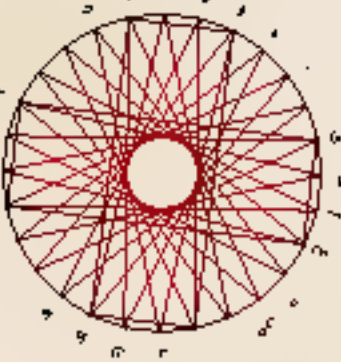
א ב ב ג ד ד ט ח ז י י כ כ ד ד ל מ מ נ נ ע ס פ פ צ צ ר ר ש ש ת ת



Arabic

Arabic Alphabet - Maghrebian Hija 1 order † 28 letters

ب ت ث ج ح خ د ذ ر ز ط ظ ك ل م ن ص ض ع غ ف ق س ش ه و ي



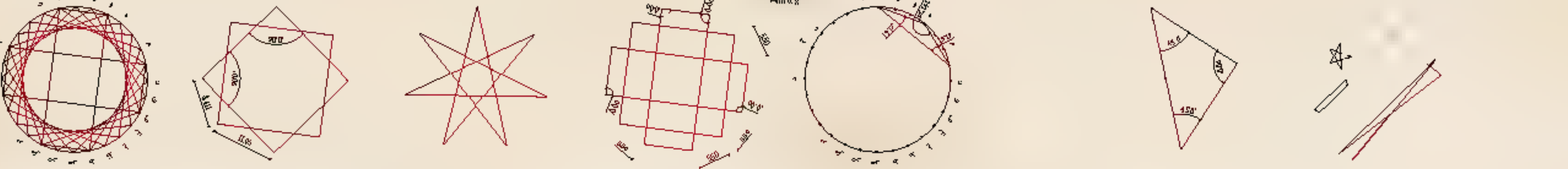
† *old arab alphabet* *المغرب* *the Maghreb* *the same as*
Northwest Africa *Algeria, Libya, Mauritania,*
Morocco, Tunisia, Western Sahara, Saharawi Arab, &
Western part of North Africa and the Arab world

cube كوبوس kubos	cube كوبوس kubos	pyramid مهرم muram	side جانب kubos	sphere كرة kubos	holy, saint قدوس epos	proof دليل ipreka	song غناء trienou
sea بحر keres	water ماء epo	fire نار ipato	earth ارض vri	oven فرن totupi	lake بحيرة alpin	sea بحر thakoun	stone حجر thepos
mountain جبل oupinu	action عمل alipreka	city مدينة thetom	God الله Bos	zeus زوس kosa	madrid مدريد murou	jeus جوس thosou	odin ود thuro
haze ضباب kous	antenna هوائي ipatos	secret سري muotino	light ضوء ipos	war حرب otopos	sea بحر koti	pentagon المخمس thetenoio	pentagon المخمس thetenoio
voice صوت ipatin	spirit روح ipatin	angle زاوية kous	room غرفة thotino	roof سقف thotino	demon شيطان thotino	angel ملاك thetenoio	with, pleige مع otopos
pray صلى thotopino	prayer صلاة thotopino	light ضوء thetenoio	hello مرحباً kous	dark مظلم thotopino	day يوم kous	creator خالق thetenoio	father أب thetenoio
rain مطر Bos	sun شمس thos	in, odice في thotopino	magy سحر kous	spell سحر thotopino	death وفاة thotopino	die مات kous	cup كوب thotopino
love عشق kous	victim ضحية kous	defeat هزيمة kous	happy سعيد kous	beauty جمال kous	music موسيقى kous	head رأس thetenoio	temple معبد kous
swan سوط kous	helmet خوذة kous	shock صدمة kous	royalty ملوك kous	defence دفاع kous	arson مخربط kous	war حرب kous	peace, love سلام kous
gray رمادي kous	valhalla فالها kous	power قوة kous	north شمال kous	south جنوب kous	east شرق kous	west غرب kous	ground أرض kous
flag علم kous	nature طبيعة kous	anna آنا kous	man إنسان kous	good جيد kous	bad سيئ kous	baby طفل kous	birth ولادة kous
warrior محارب kous	woman مرأة kous	man إنسان kous	human, person إنسان kous	brother إخ kous	mother أم kous	hus, basan زوج kous	aim هدف kous
dark مظلم kous	base أساس kous	yellow أصفر kous	red أحمر kous	green أخضر kous	blue أزرق kous	team فريق kous	silence, quiet سكوت kous
energy طاقة kous	flow جريان kous	flower زهرة kous	dream حلم kous	hexa سداسي kous	monster مخلوق kous	god إله kous	wall جدار kous

Arabic

Arabic Alphabet - common Hijra 1 order 28 letters

ا ب ت ث ج ح خ د ذ ر ز س ش ص ض ط ظ ع غ ف ق ك ل م ن ه و ي

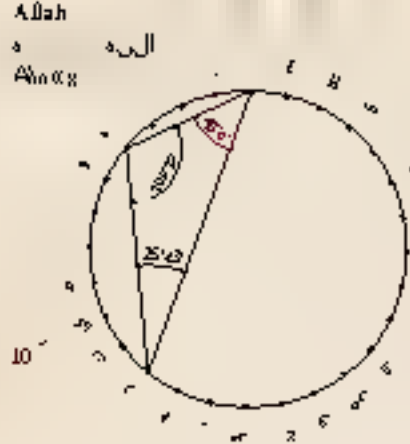
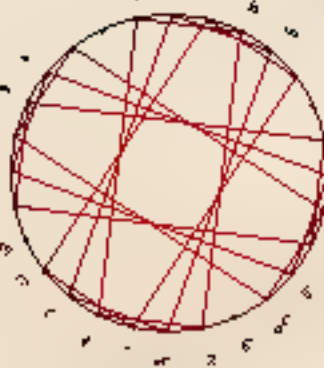
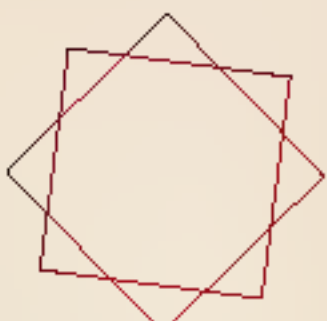
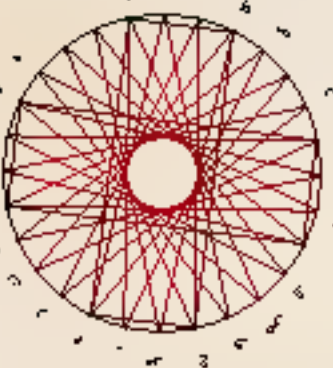


cube كوب kubos	cube كوب kubos	pyramid مسطبة mispaba	side جانب jannab	sphere كرة kura	holy man قديس qadis	proof دليل dillil	song غناء ganna
sea بحر bahr	water ماء ma	fire نار nar	earth ارض ar	oven فرن far	lake بحيرة bahir	sea بحر bahr	water ماء ma
mountain جبل jabl	action عمل amal	city مدينة madina	God الله allah	zeus زوس zos	madrid مدريد madrid	jeus جوس jos	odin ودين odin
haze ضباب sabab	antenna هوائي hawwi	secret سري siri	light ضوء du	war حرب harb	dark ظلمة zalmat	pentagon المخمس mukhmas	pentagon المخمس mukhmas
voice صوت sut	spirit روح ruh	angle زاوية zawiya	room غرفة gharfa	poet شاعر shair	demon شيطان shaytan	angel ملاك malak	with pleasure مع سرور ma sarur
pray صلى sall	prayer صلاة sallat	light ضوء du	hello مرحباً marhaba	dark ظلمة zalmat	day يوم yawm	creator خالق khaliq	father أب ab
rain أمطار amtar	sun شمس shams	in order بترتيب bitartib	magy ساحرة sahira	spell سحر sahr	death وفاة wafa	die مات mat	cup كوب kub
love عشق ashiq	watch ساعة saat	defeat هزيمة hazima	happy سعيد saiid	beauty جمال jamal	music موسيقى musiqi	hea صحة sah	temple معبد ma'bad
swan سوط sut	helmet خوذة khudat	shock صدمة sadam	loyalty وفاء wafa	defence دفاع difa	arise اشرق ashraq	war حرب harb	peace love سلام salam
gray رمادي ramadi	valhalla فالها falha	power قوة quwa	north شمال shamal	south جنوب janub	east شرق sharq	west غرب gharb	ground أرض ar
flag علم alim	nature طبيعة tabi'a	anna أنا ana	man إنسان insan	good خير khayr	bad شر sharr	baby طفل tuffl	birth ولادة walada
warrior محارب muharib	woman مرأة mar'a	man إنسان insan	human person إنسان insan	brother إخوة akhaw	mother أم um	big basin أكبر akbar	aim هدف haddaf
dark ظلمة zalmat	base أساس asas	yellow أصفر asfar	red أحمر ahmar	green أخضر akhضر	tree شجرة shajra	team فريق fayriq	silence quiet سكوت sukut
energy طاقة taqa	flow جريان jariyan	flow جريان jariyan	dream حلم hilm	hexa سداسي sadas	monster شيطان shaytan	gear تروس tarus	wall جدار jadar

Arabic

Arabic Alphabet - Abjad Numerals † 28 letters

ب د ه و ز ح ط ي ك ل م ن س ع ف ص ر ق ر ش ت ث خ ذ ض ظ غ



400

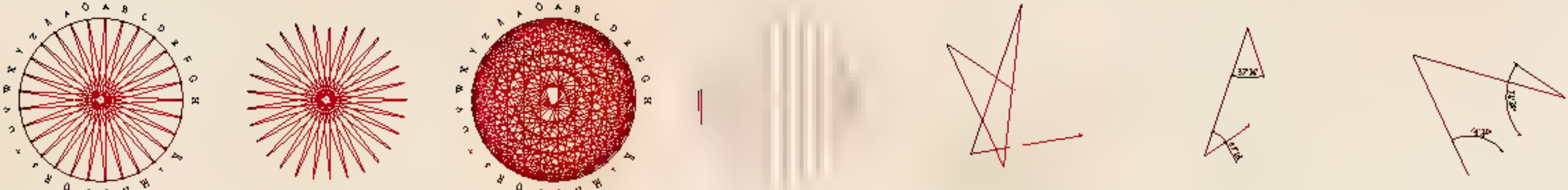


† Arabic numerals are not used. The order of Arabic letters is ordered according to the regular development of the values of the alphabetic number system of Arabic.

cube كوب kybos	cube كوب kybos	pyramid مهر pyramis	cube كوب kybos	sphere كرة sphaera	holy, saint قدوس epos	proof برهان proba	song غناء trivolum
sea بحر keres	water ماء epo	fire نار phano	earth ارض vri	oven فرن votum	lake بحر aphin	sea بحر bhalasun	water ماء vripos
sun شمس solymu	red أحمر alibres	city مدينة thoma	God الله Bois	zeus زئوس Zeus	madrid مدريد madrus	jeus جئوس Iteus	odin ودين Ovru
haze ضباب hous	antenna أنتينا lmuos	secret سري muosio	light نور phos	war حرب solios	sea بحر sepi	pentagon خمس pentagon	pentagon خمس pentagon
voice صوت phos	spirit روح phos	angel ملك keres	poem قصيدة mionio	poet شاعر mionio	demon شياطين demon	angel ملك keres	with مع keres
pray صلى prosephos	pray صلى prosephos	light نور phos	hella ألم keres	dark ظلمة keres	day يوم egana	creator خالق demon	father أب keres
rain مطر keres	sun شمس keres	in في keres	magy سحر keres	spell سحر keres	death موت keres	die موت keres	cup كوب keres
love محبة keres	vision رؤية keres	defeat هزيمة keres	happy سعيد keres	beauty جمال keres	music موسيقى keres	hea صحة keres	temple معبد keres
swan سوط keres	helmet خوذة keres	shock صدمة keres	royalty ملكية keres	defence دفاع keres	arion أريون keres	wa وا keres	peace سلام keres
gray رمادي keres	valhalla فالها keres	power قوة keres	north شمال keres	south جنوب keres	east شرق keres	west غرب keres	ground أرض keres
flag علم keres	nature طبيعة keres	anna أنا keres	man إنسان keres	good خير keres	bad شر keres	baby طفل keres	birth ولادة keres
water ماء keres	woman مرأة keres	man إنسان keres	human إنسان keres	brother إخوة keres	mother أم keres	husband زوج keres	aim هدف keres
dark ظلمة keres	base أساس keres	yellow أصفر keres	red أحمر keres	green أخضر keres	blue أزرق keres	team فريق keres	silence سكوت keres
energy طاقة keres	flow جريان keres	flow جريان keres	dream حلم keres	hexa سداسي keres	man إنسان keres	god إله keres	wall جدار keres

Finnish

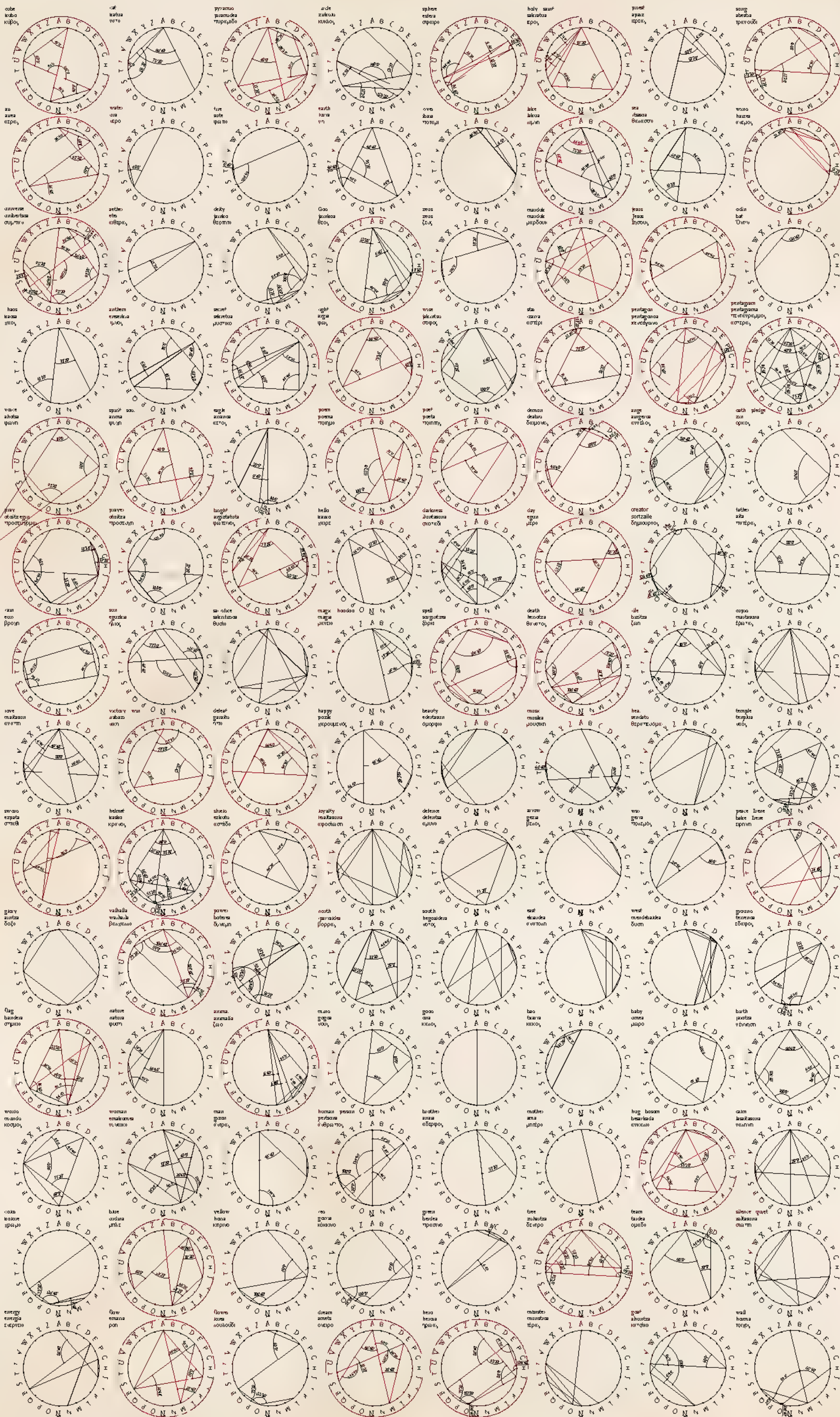
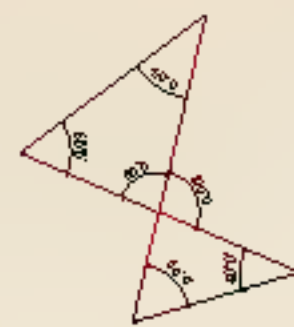
Suomi Alphabet 29 letters
A B C D E F G H I J K L M N O P Q R S T U V W X Y Z Å Ä Ö



cube kuutio κύβος	ice jää ἵεξ	pyramid pyramidi πυραμίδα	side yläpää κύβος	sphere pallo σφαῖρα	holy pyhä ἅγιος	prince prinssi πρίγκις	son poika παιδίον
az ilma αἴρην	water vesi ὕδωρ	fire tuli πῦρ	earth maa γῆ	oven uuni τόφον	lake järvi λίμνη	sea meri θάλασσα	world maailma κόσμος
universe maailmankokous οὐρανός	edible syövä ἐσθλόν	city kaupunki πόλις	God jumala θεός	zeus zeus Ζεύς	maiden neittos παρθένος	peas pääskys πασκός	odin odin Οὐν
haas kaas ἁσός	antenna antenni ἀντέννη	secret salainen μυστικόν	light valo φῶς	was oli ἦν	also myös καί	pentagon viisikulmio πεντάγωνον	pentagon pentagonum πεντάγωνον
voice ääni φωνή	space aika χρόνος	angle kulma γωνία	room huone τοίχος	part osa μέρος	demon demoni δαίμων	angel enkeli αγγέλ	with vala ὅπως
pray rukousta προσεύχη	prayer rukous προσεύχη	length pituus μήκος	hello hei terve χαίρετε	dark pimeä σκοτεινός	day päivä ἡμέρα	creator luoja δημιουργός	father isä πατήρ
rain sade βροχή	sun aurinko ἥλιος	in sisällä ἐντός	happy onni τύχη	spell loitsu ῥήκη	death kuolema θάνατος	de täällä ἐνθάδε	corpse kuollut ἐνθάδε
love rakkaus ἔρως	today nyt σήμερον	defeat häily κατὰ	happy onni τύχη	beauty kauneus οὐροφία	music musiikki μουσική	sea meri θάλασσα	temple temppeli αἶμα
swamp metsä στρωμά	helmet kypäri κρέμα	show näyttää ἐμφανίζω	royalty kuningas ἐφορσία	defense puolustus βύνη	arrow nuoli βέλος	war sota πολέμος	peace rauha ἡσυχία
gay kiva δόξα	valhalla valhalla βλασφημία	power valta δύναμις	north pohjoinen βορρεια	south etelä νότιος	east itä ανατολή	west länsi δυση	ground maapää ἐπίγειος
flag lippu σημαία	noise häly φασμα	anna anna ἄννα	glove käsine χάρις	good hyvä καλός	bad paha κακός	baby vauva παιδίον	birth syntymä γέννησις
warrior soturi κορυφαίος	woman nainen γυνή	man mies άνθρωπος	human ihminen άνθρωπος	brother veli ἀδελφός	mother äiti μήτηρ	big suuri μεγάλος	aim tavoite σκοπός
dark pimeä σκοτεινός	base perusta μέγας	yellow keltainen κίτρινος	sea meri θάλασσα	green vihreä πράσινο	see nähdä ὁράω	team joukko ομάδα	silence tietä σιγή
energy voima ἐνέργεια	flow virta πόταμος	flower kukka ανθος	dream unelma ὄνειρος	heaven taivas οὐρανός	monster hirmo τέρας	ghost hänke φάντασμα	wall seinä τοιχία

Basque Alphabet (27 letters)

ABCDEFGHIJKLMNOPQRSTUVWXYZ



14 Αλφάβητα. Γλωσσικό Γενεαλογικό Δέντρο

Παρουσίαση περιεχομένων των ανά ζεύγη λέξεων (αντικρυστές σελίδες)

14 Alphabets. Language family tree - Cat, Γάτα (γάτα)	212
14 Alphabets. Language family tree - Pyramid, Πυραμίδα	213
14 Alphabets. Language family tree - Cube, Κύβος	216
14 Alphabets. Language family tree - Earth, Γη	217
14 Alphabets. Language family tree - Soul, Ψυχή	220
14 Alphabets. Language family tree - Eagle, Αετός	221
14 Alphabets. Language family tree - Human, Άνθρωπος	224
14 Alphabets. Language family tree - Pentagonagram, Πεντάγρ. Αστ.	225
14 Alphabets. Language family tree - Holy, Ιερός	228
14 Alphabets. Language family tree - Priest, Ιερέας	229
14 Alphabets. Language family tree - Pray, Προσεύχομαι	230
14 Alphabets. Language family tree - Voice, Φωνή	231
14 Alphabets. Language family tree - Demon, Δαίμονας	232
14 Alphabets. Language family tree - Angel, Άγγελος	233
14 Alphabets. Language family tree - God, Θεός	236
14 Alphabets. Language family tree - Deity, Θεότητα	237
14 Alphabets. Language family tree - Zeus, Ζευς	238
14 Alphabets. Language family tree - Marduk, Μαρδούκ	239
14 Alphabets. Language family tree - Sun, Ήλιος	258
14 Alphabets. Language family tree - Mind, Νους	259
14 Alphabets. Language family tree - Light, Φως	262
14 Alphabets. Language family tree - Wise, Σοφός	263
14 Alphabets. Language family tree - Fire, Φωτιά	264
14 Alphabets. Language family tree - Secret, Μυστικό	265
14 Alphabets. Language family tree - River, Ποτάμι	268
14 Alphabets. Language family tree - Lake, Λίμνη	269
14 Alphabets. Language family tree - Water, Νερό	272
14 Alphabets. Language family tree- Sea, Θάλασσα	273
14 Alphabets. Language family tree - Nature, Φύση	274
14 Alphabets. Language family tree - Flower, Λουλούδι	275
14 Alphabets. Language family tree - Hero, Ήρωας	278
14 Alphabets. Language family tree - Flag, Σημαία	279

Egyptian Hieroglyphics



Brugsch, Heinrich. (1867). *Hieroglyphisch-demotisches Wörterbuch (Band 1)*. In *digit.ub.uni-heidelberg.de* (p. VI). Leipzig: J. C. Hinrichs Libraire Editeur. Paris: Fr. Klincksieck 11 Rue De Lille. In Google Books. Retrieved April 2022, from <https://digit.ub.uni-heidelberg.de/diglit/brugsch1867/0008/image> ; <https://doi.org/10.11588/diglit.543#0002>

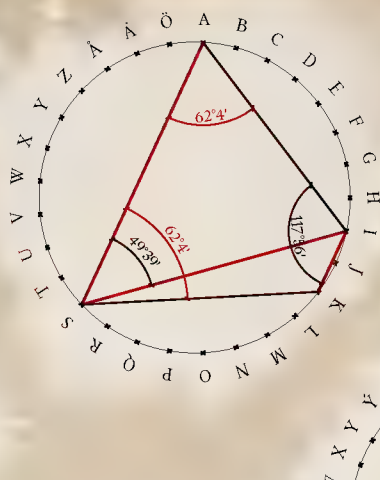


Lepsius, C. R. (1866). *Zeitschrift für ägyptische sprache und altertumskunde*. In Google Books (p. 70). J.C. Hinrichs'sche Buchhandlung. In Google Books. Retrieved April 2022, from <https://books.google.com.kh/books?id=VPpTAAAAcAAJ&pg=PP5&dq=#v=onepage&q&f=false>

14 Alphabets. Language family tree - Cat, Γάτα (γάτα)

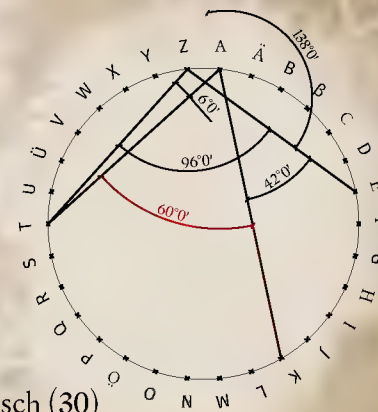
Finnish (29)

kissa



English (26)

cat

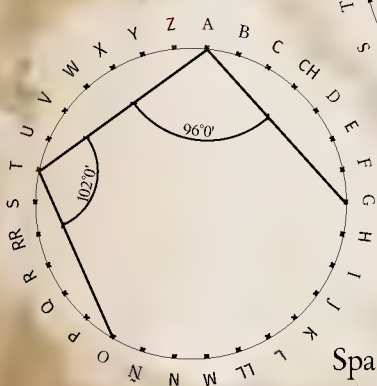


Deutsch (30)

katze

Basque (27)

katua



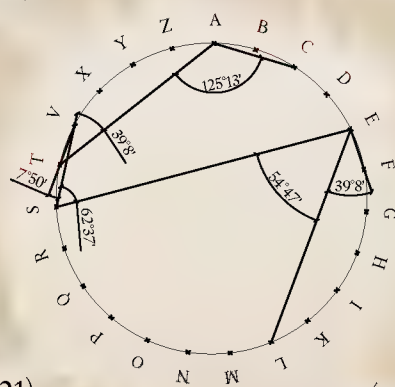
Spanish (30)

gato



Italian (21)

gatto, felino

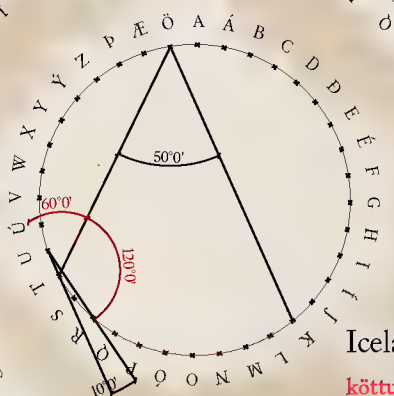


Latin (23)

feles, cattus

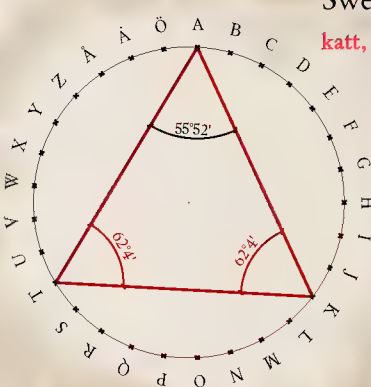
Icelandic (36)

köttur



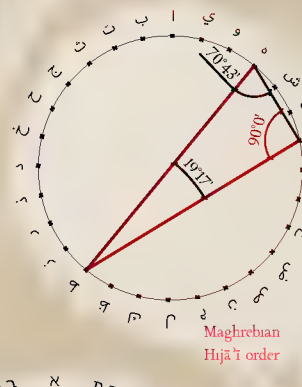
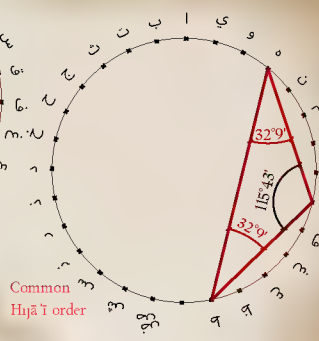
Swedish (29)

katt, kattdjur



Russian (33)

кошка

Maghrebian
Hijā'ī orderCommon
Hijā'ī order

Arabic (Hijā'ī - 28)

قط - قطة / قطّة

Arabic (Abjad numerals - 28)



Hebrew (22)

חתול



Arabic

Ancient Greek (27)

γαλή; γαλέη

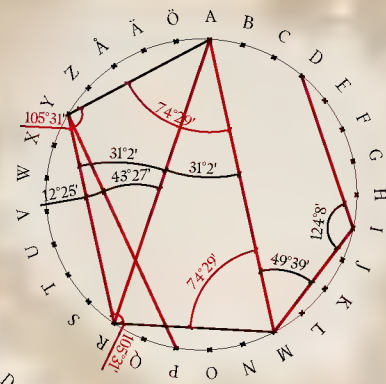
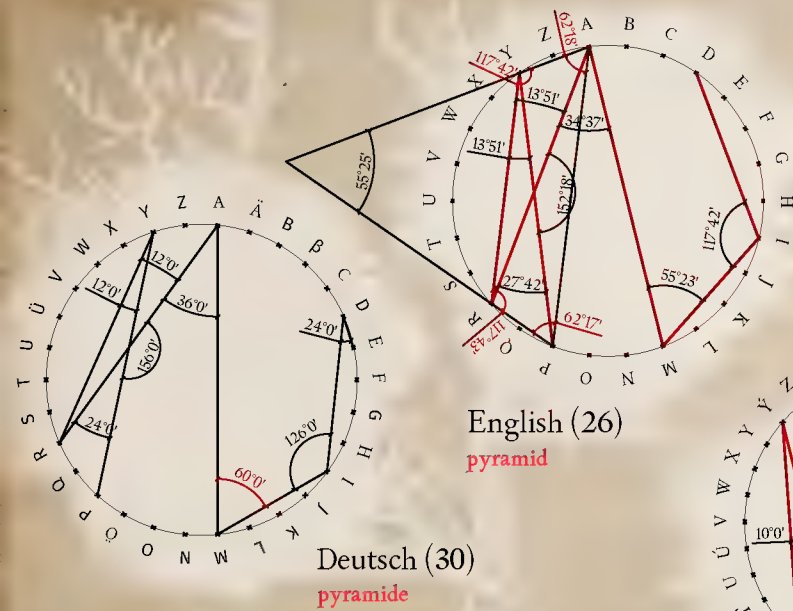
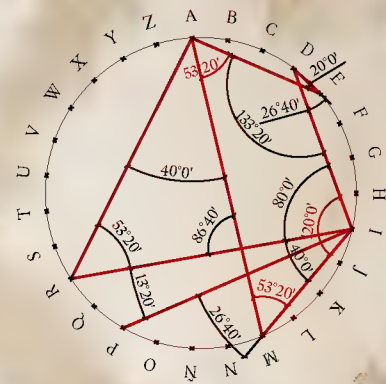
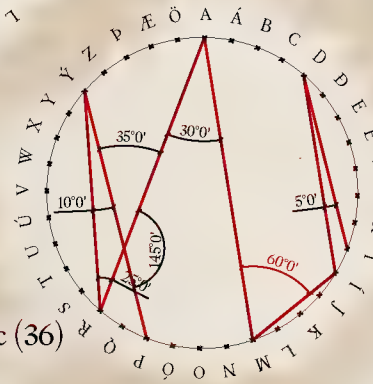
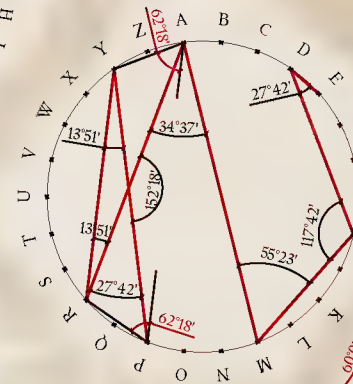
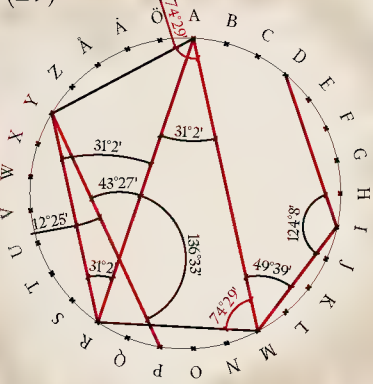
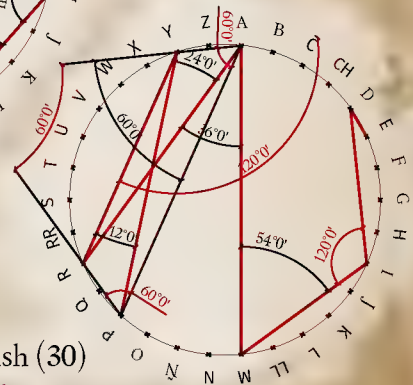
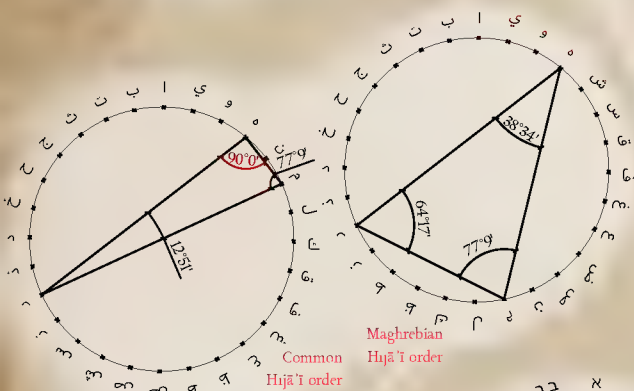


Greek (24)

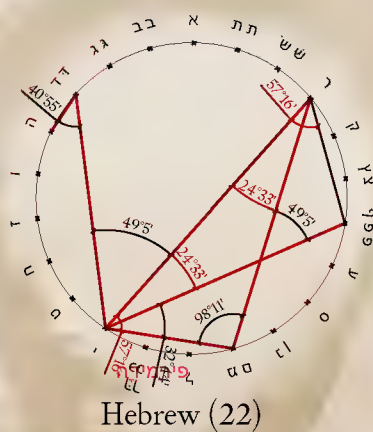
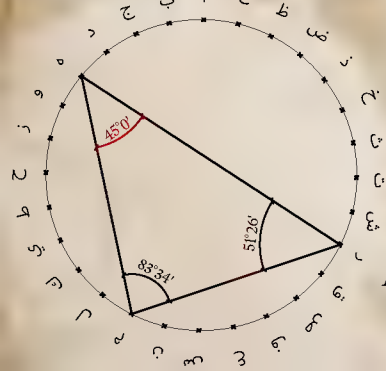
γαλή; γαλέη



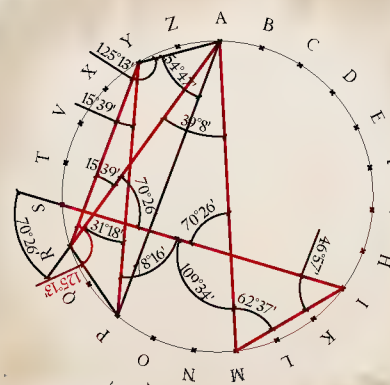
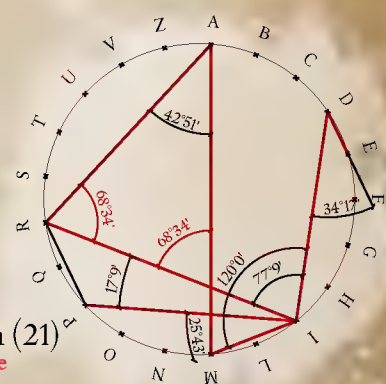
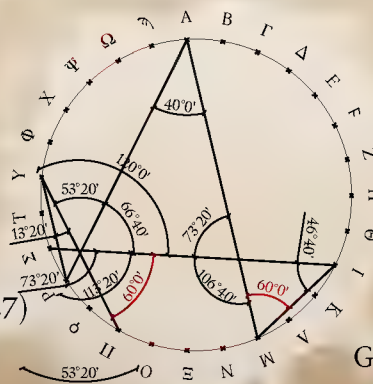
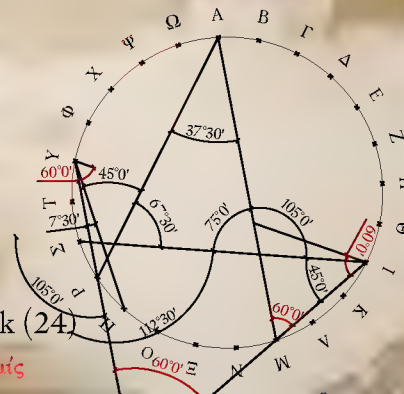
14 Alphabets. Language family tree - Pyramid, Πυραμίδα

Finnish (29)
pyramidBasque (27)
piramideIcelandic (36)
pýramídiSwedish (29)
pyramidFrench (26)
pyramideSpanish (30)
pirámideArabic (Hijā'ī - 28)
م-ة-ز

Arabic (Abjad numerals - 28)



Hebrew (22)

Latin (23)
pyramisItalian (21)
piramideAncient Greek (27)
πυραμῖςGreek (24)
πυραμῖς

Στην προηγούμενη σελίδα (212-213) παρατέθηκαν οι γωνίες των λέξεων *πυραμίδα* & *γάτα* στις 14 γλώσσες. Αυτό που παρατηρείται είναι ότι ορισμένες γωνίες με τη λέξη *γάτα* είναι ίσες με τις γωνίες της λέξης *πυραμίδα*, π.χ. στο ελληνικό αλφάβητο των 27 και 24 γραμμάτων η γωνία των 60° είναι κοινή. Γενικώς, παρατηρείται ότι τα μεγέθη των γωνιών που σχηματίζουν αυτές οι 2 λέξεις (*γάτα* και *πυραμίδα*) «εντάσσονται» στο σχεδιασμό της κλίσης των πυραμίδων της Αιγύπτου και της Πυραμίδας του Ηλίου στο Teotihuacan (όπως κατατίθενται στη σελ. 215). Η λέξη *γάτα* επιλέχθηκε καθότι είναι ένα από τα εξέχοντα ιερά ζώα της Αιγύπτου, τα οποία είναι συνυφασμένα με τις πυραμίδες τόσο κατά τη θεολογία/μυθολογία/λατρεία και τη τέχνη³⁸³ όσο τη ταφική λατρεία και την παράδοση στην Αίγυπτο. Τα πρώτα δείγματα τελετουργικής ταφής μουμιοποιημένων σωμάτων γατών βρίσκονται σε μια περίτεχνα λαξευμένη ασβεστολιθική σαρκοφάγο του 1,450 π.Χ.³⁸⁴ Στην περίπτωση των ζωόμορφων θεοτήτων της Αιγύπτου, η Maftet είχε το κεφάλι γάτας και κατά τη διάρκεια της 1ης Δυναστείας, θεωρήθηκε προστάτιδα των θαλάμων του Φαραώ ενάντια στα φίδια, τους σκορπιούς και το κακό.³⁸⁵ Επίσης, η θεότητα Bastet, η οποία αρχικά από τη 2η Δυναστεία απεικονιζόταν με κεφάλι λιονταριού ('*Panthera leo*'), ενώ αργότερα την Ύστερη Περίοδο (664-332 π.Χ.) συνδέθηκε με (εξημερωμένη) γάτα. Σφραγίδες και λίθινα αγγεία με το όνομά της βρέθηκαν στους τάφους των φαραώ Khafre και Nyuserre Ini, υποδεικνύοντας ότι εθεωρείτο προστάτιδα από τα μέσα της 3ης χιλ. π.Χ. κατά την 4η και την 5η Δυναστεία.³⁸⁶



*Feral Ginger cat in front of Pyramid (Felis catus)
Giza Egyp.*



Godess Bastet shown as an ancient Egyptian lady with the head of a cat. In HER hands SHE holds the Sitsrum. The statue is a modern replication of an antique antetype.

383 (Porter et al., 1960/1994, pp. 89, 190, 434).

384 (Ikram et al., 2002)

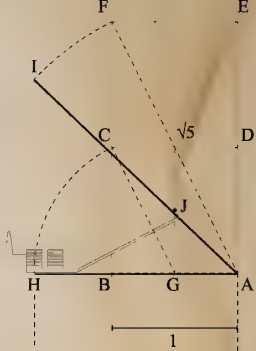
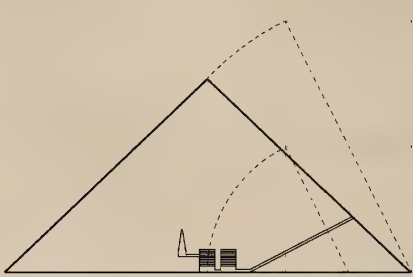
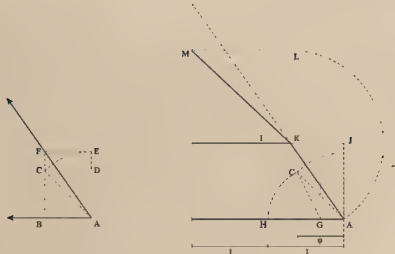
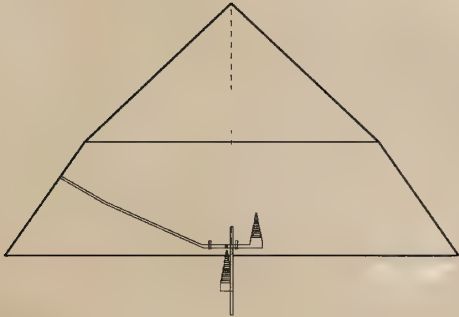
385 (Hornblower, 1943)

386 (Raffaele, 2005)

The Double Pyramid's³⁸⁷ (Dashur) and the Red Pyramid's³⁸⁸ (Dashur) dimensions according to the main sources:

Double Pyramid	Perring (1,839-42)	Petrie (1,888)	Mustapha (1,952)	M&R (1,964)	Dorner (1,986)
Lower Slope	54° 14' 46"	54° 48' 30"	54° 31' 13"	54° 31' 13"	55° 5'
Upper Slope	42° 59' 26"	43° 5'	43° 21' 00"	43° 21' 00"	42° 9'

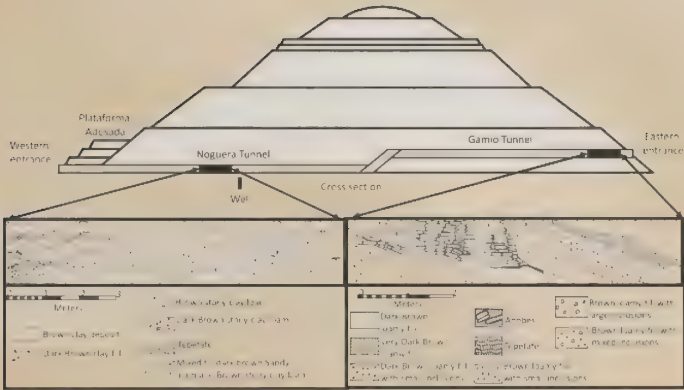
Red Pyramid	Perring (1,939-42)	Petrie (1,888)	Resiner (1,935)	Dorner (1,986)
Slope Angle	43° 36' 11"	44° 36' (core)	43° 31' 11"	45° (44° 44')
Arris Slope Angle	33° 57' 31"	x	33° 51' 53"	35° 15' 47"



The Slopes (~) of the Egyptian Pyramids³⁸⁹

PYRAMID	ANGLE OF FACE	INVERSE SLOPE OF FACE	ANGLE OF EDGE	ANGLE OF EDGE
Bent Pyramid (2,600 BC)	54° 27' 44" 43° 22' 00"	.714288 1.058703	44° 42' 36" 33° 44' 20"	1.010156 1.497233
Red Pyramid (2,575 – 2,551 BC)	43° 22' 00"	1.058703	33° 44' 20"	1.497233
Khufu (2,580 – 2,560 BC)	51° 50' 40"	.785667	41° 59' 15"	1.111101
Khafre (2,570 BC)	53° 10' 00"	.749003	43° 21' 07"	1.059250
Menkaure (2,510 BC)	51° 49' 38" 51° 10' 46"	.786154 .804615	41° 38' 08"	1.124919

Angle of slope of the Pyramid of the Sun (Teotihuacan), 32.494... degrees.³⁹⁰



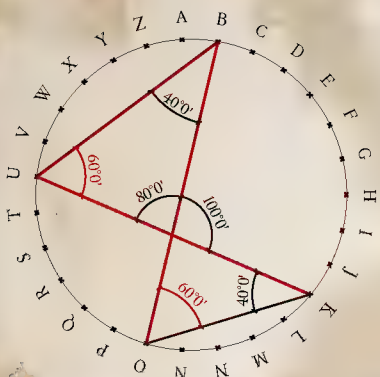
387 (Irigaray, 2020, σ. 28)
388 (Irigaray, 2020, σ. 43)
389 (Greenberg, 2000). Οι γωνίες από μελέτες σε μελέτες διαφέρουν, στην παρούσα δημοσίευση του Πανεπιστημίου

της Washington του τμήματος των Μαθηματικών δίδεται μία προσεγγιστική εικόνα της τάξης των μεγεθών των γωνιών της κλίσης των πυραμίδων.
390 (Reynolds, 1999, σ. 24)

14 Alphabets. Language family tree - Cube, Κύβος

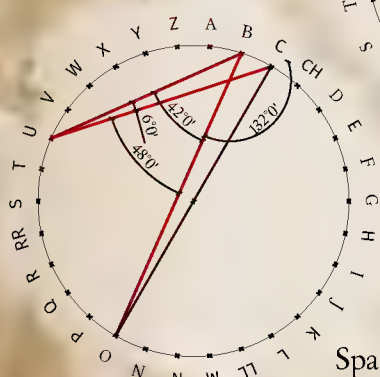
Finnish (29)

kuutio



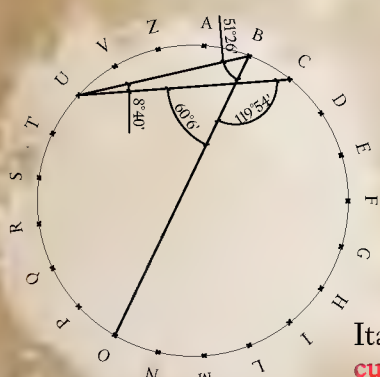
Basque (27)

kubo



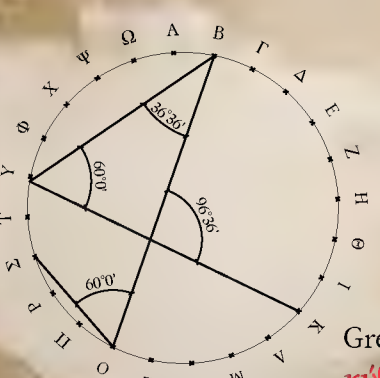
Spanish (30)

cubo



Italian (21)

cubo



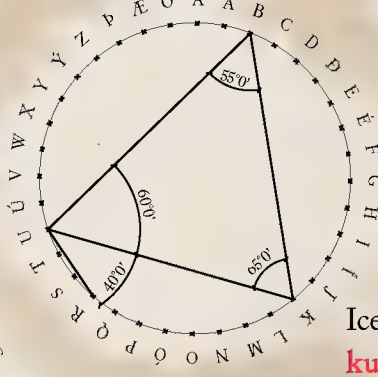
Greek (24)

κύβος



English (26)

cube

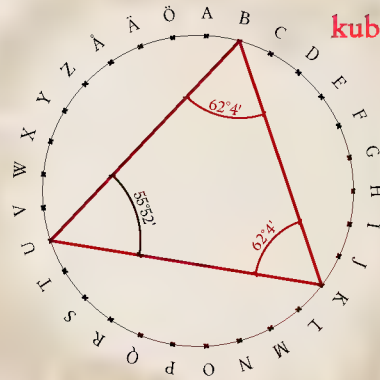


Icelandic (36)

kubbur

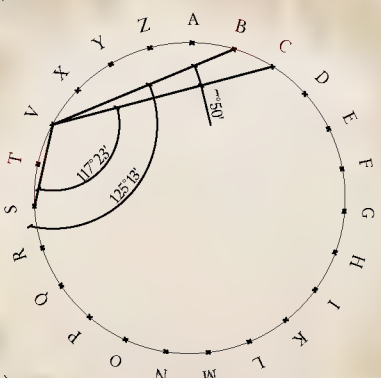
Swedish (29)

kub



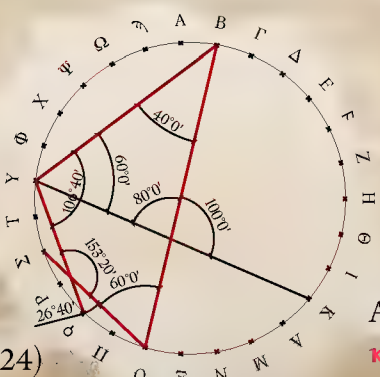
French (26)

cube



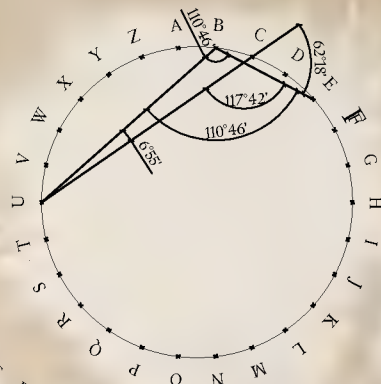
Latin (23)

cūbus



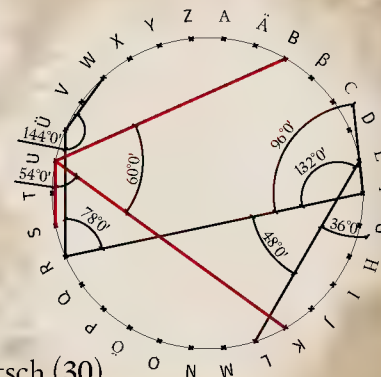
Ancient Greek (27)

κύβος



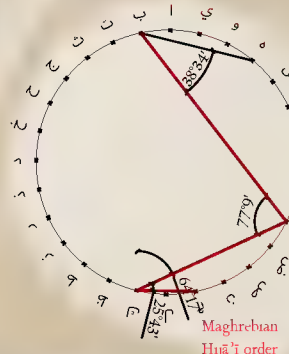
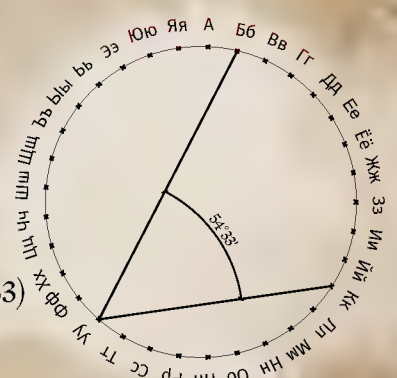
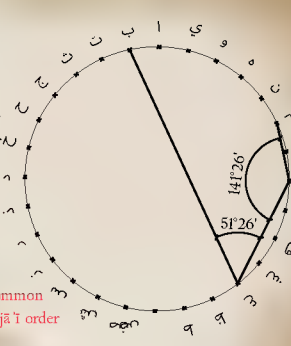
Deutsch (30)

kubus, würfel



Russian (33)

куб

Maghrebian
Hijā'i orderCommon
Hijā'i order

Arabic (Hijā'i - 28)

كعبة - ك ع ب - م ك ع ب

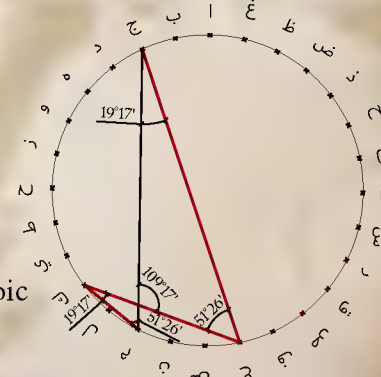
Arabic (Abjad numerals - 28)



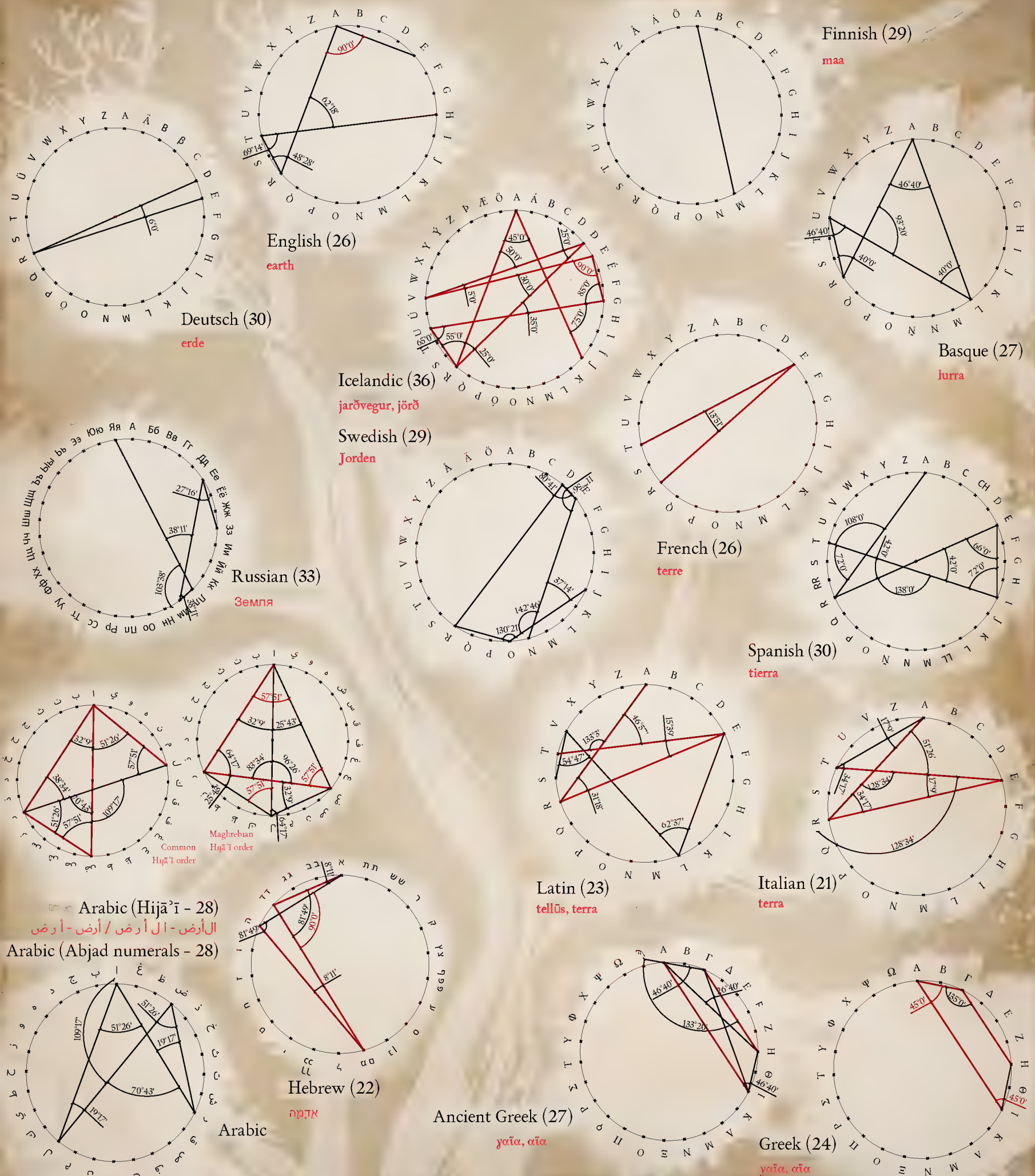
Hebrew (22)

קובה

Arabic

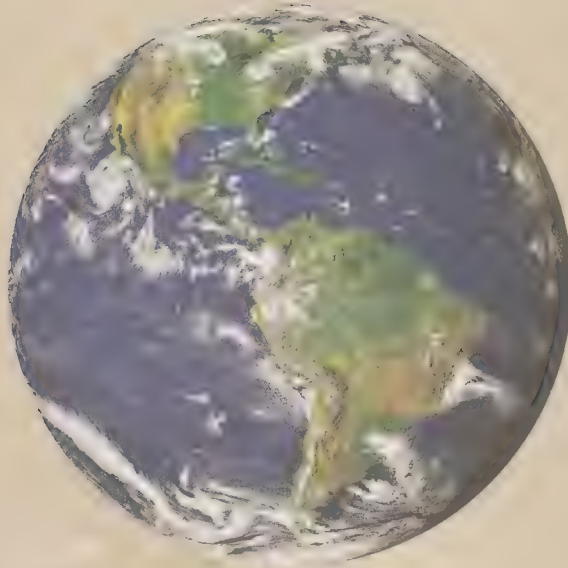


14 Alphabets. Language family tree - Earth, Γη

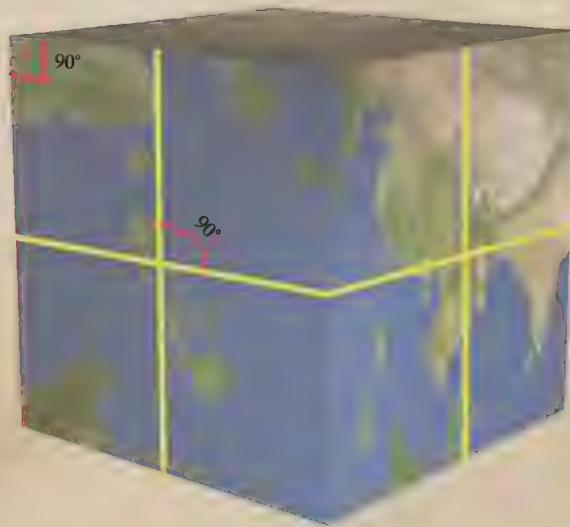


Στην περίπτωση των λέξεων *Κύβος-Γη* εμφανίζεται η γωνία των 90° στο Αγγλικό, Εβραϊκό και Ισλανδικό Αλφάβητο. Επίσης, αν υποτεθεί ότι τα γράμματα του Ελληνικού Αλφαβήτου ήταν 30 αντί για 28, 27, 24 τότε παρουσιάζεται η γωνία των 90° . Η υπόθεση βασίζεται στο γεγονός ότι υπήρχαν πριν την Κλασική Περίοδο (ή και κατά τη διάρκεια, για

μικρό χρονικό διάστημα) οι ακόλουθοι χαρακτήρες σε τοπικές διαλέκτους: το 'ήτα' (δασυνόμενο) -*Η*-, το 'σαν' -*Μ*-, το αρκαδικό 'σαν' -*Ι*-, το παμφυλιακό 'δίγαμμα' -*Ι*-, το Βοιωτικό ανυψόμενο 'Ε' -*+*- και το 'σω' -*Δ, ϐ*- (χρησιμοποιήθηκε στην βακτριανή γλώσσα, αφού ο Μ. Αλέξανδρος διέδωσε και καθιέρωσε επίσημη γλώσσα στην ελληνική στη Βακτριανή, σημερινό βόρειο Αφγανιστάν).³⁹¹



Στη φιλοσοφία του Πλάτωνα, τα «πλατωνικά στερεά» συμβόλιζαν τα δομικά στοιχεία του σύμπαντος («Τίμαιος» [52d-53c], [55c-56c]): ο κύβος τη γη,

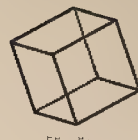


Φωτορεαλιστική αναπαράσταση κύβος ως πλατωνικό στερεό: γη

391 (Sims-Williams & Everson, 2002). σω -*Δ, ϐ*- ; Επιχώρια Αλφάβητα: (Καραντζόλα, n.d.), 'ήτα' (δασυνόμενο) -*Η*- & 'σαν' -*Μ*- ; (Wilson, 2010, σ. 220-221). § *Dialects*. "Proto-Greek *kwis "anyone" gives Cypriot *sis* (*tis* in other dialects); Arcadian writes the sound with a

special symbol (a form of *san*) -*Ι*." ; (Nicholas, 2005, σ. 6, 8). σ. 6 Boeotian glyph -*+*- & Corinthian glyph: Ε σ. 8: "Glyph for Tsan or Pamphylian Digamma: *Ι*"

Ανάπτυγμα κύβου



14 Alphabets. Language family tree - Soul, Ψυχή

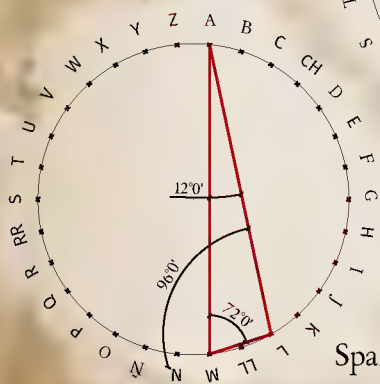
Finnish (29)

sielu, henki



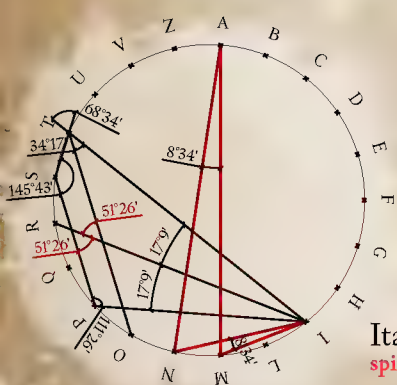
Basque (27)

arima



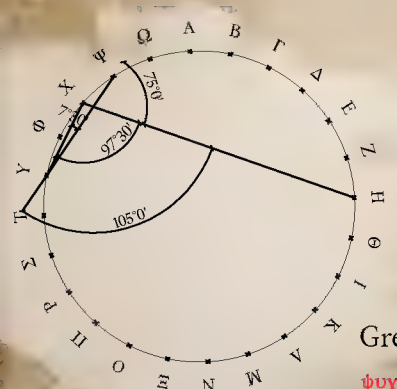
Spanish (30)

alma



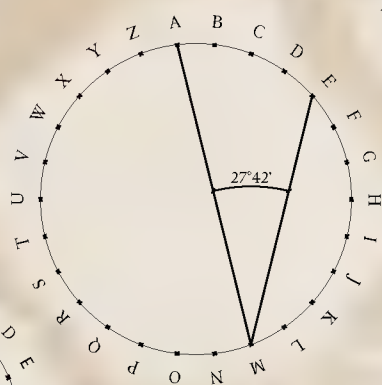
Italian (21)

spirito - anima



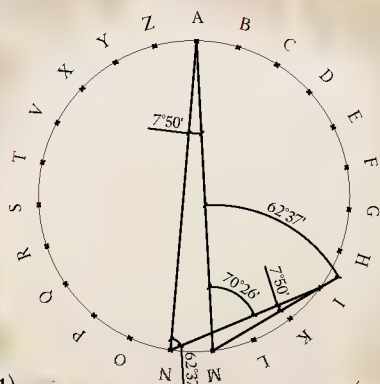
Greek (24)

ψυχή



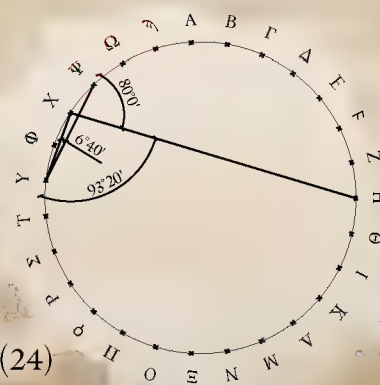
French (26)

âme



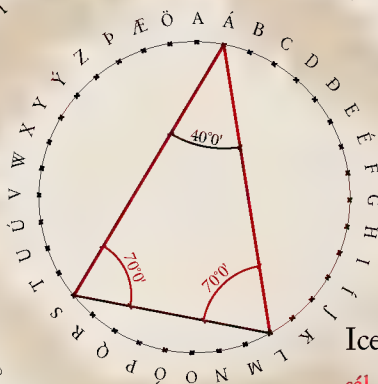
Latin (23)

anima



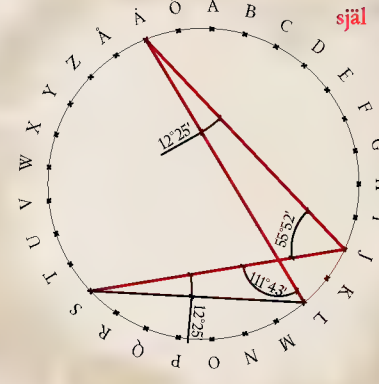
Ancient Greek (27)

ψυχή



Icelandic (36)

sál



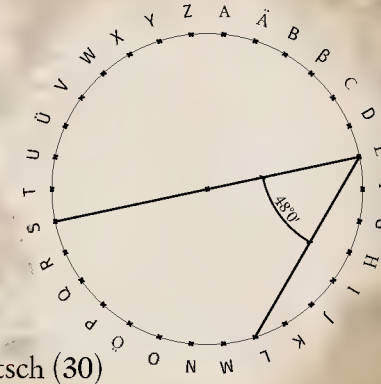
Swedish (29)

själ



English (26)

spirit - soul



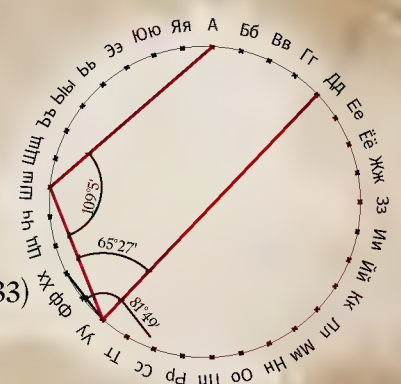
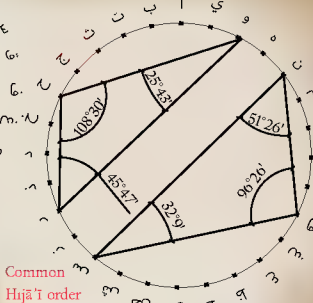
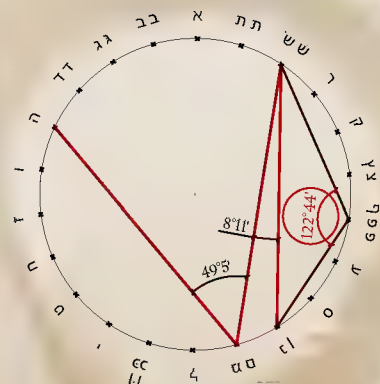
Deutsch (30)

seele



Russian (33)

дух - душа

Maghrebian
Hijā'ī orderCommon
Hijā'ī order

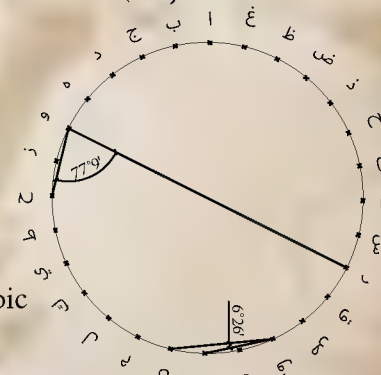
Hebrew (22)

נפש - נשמה

Arabic (Hijā'ī - 28)

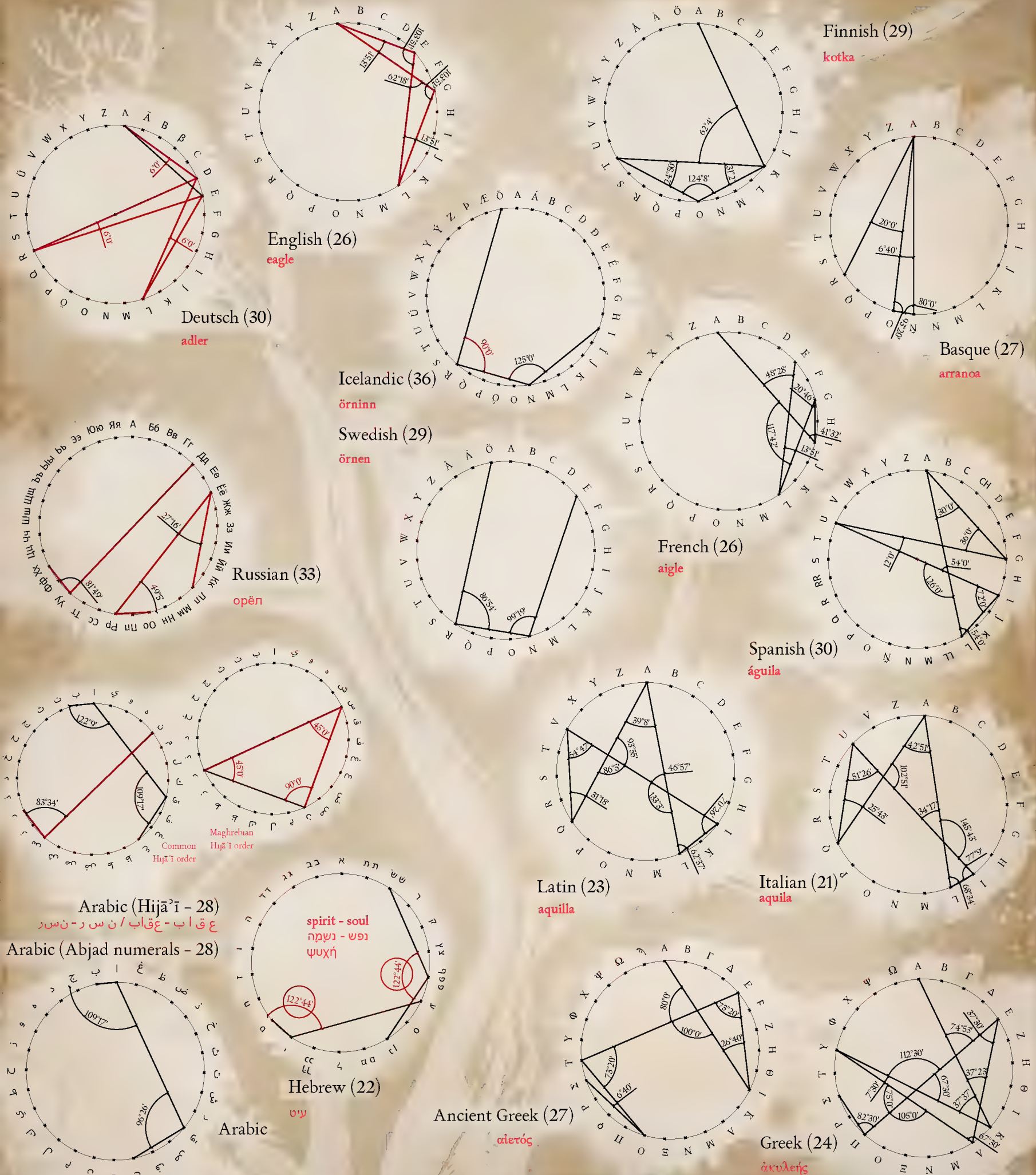
نفس - نفس / روح - روح

Arabic (Abjad numerals - 28)



Arabic

14 Alphabets. Language family tree - Eagle, Αετός



Οι λέξεις Ψυχή και Αετός επιλέχθηκαν να αντιπαρατεθούν, επειδή ο αετός παραλληλίζεται με την ανθρώπινη ψυχή τόσο κατά τα αρχαία κείμενα και την παράδοση πολλών πολιτισμών όσο κατά την νεώτερη ιστορία και τη τέχνη. Στην προκειμένη περίπτωση, οι γωνίες πάλι φαίνονται να σχετίζονται μεταξύ τους άμεσα (με αριθμητικές ισοψηφίες), έμμεσα (με υποδιπλάσιες αντίστοιχες γωνίες) και το εντυπωσιακότερο όλων βρίσκεται στην εμφάνιση του αριθμού 6, ο οποίος θεωρείται κατά τον Νεοπλατωνικό φιλόσοφο Ιάμβλιχο ως ο αριθμός της ψυχής («Αριθμητική Θεολογία», 34 [10-14]), αλλά και τους Πυθαγορείους.³⁹² Ο αριθμός 6 διακρίνεται (κατά 3 φορές σε επανάληψη) στη Γερμανική λέξη *adler* (= αετός), αλλά και στην Ελληνική ή σε άλλες γλώσσες κατόπιν στρογγυλοποίησης μίας γωνίας ή εύρεσης της πυθμενικής της αξίας πάλι κατόπιν στρογγυλοποίησης.

«τῇ δὲ *ψυχή* [...] αριθμός, διάρθρωσις τοῦ παντός, *ψυχοποιός*, ζωτικῆς [...] *ἑξῆς*» Ιάμβλιχος, «Αριθμητική Θεολογία» [34 [10-14]]

Ο Διογένης Λαέρτιος στο έργο «Φιλοσόφων βίων και δογμάτων συναγωγή» [3.44] αναφέρει:

«Αετέ γιατί πετάς πάνω από τον τάφο; Πες μου αλήθεια, ποιο σπίτι θεών γεμάτα εξετάξεις; Είμαι η εικόνα της ψυχής του Πλάτωνα που πέταξε στον Όλυμπο, το σώμα του το κρατά η ντόπια γη της Ατθίδας (=Αττικής)»

Επιπροσθέτως, παγκοσμίως απαντάται το έθιμο του πετάγματος του χαρταετού (ετυμολογία: *χάρτινος* + *αετός*). Ένα παγανιστικό προϊστορικό ιερό έθιμο με ρίζες σε Ασία και Πολυνησία. Στην Κίνα και στην Ιαπωνία τρομάζουν τα κακά πνεύματα και προσελκύουν τα καλά. Μεταξύ των ιθαγενών λαών της Νέας Ζηλανδίας, της Χαβάης και άλλων νησιών της Πολυνησίας λατρεύεται ως ο Θεός του Χαρταετού. Στη Γουατεμάλα, τη μέρα "*Día de Muertos*" (=Ημέρα των Νεκρών) οι ντόπιοι κάνουν πικνίκ στο νεκροταφείο τα παιδιά τους πετούν μικρούς χαρταετούς, ενώ οι ενήλικες πετούν γιγάντιους πολύχρωμους στρογγυλούς χαρταετούς που τιμούν τα αποθανόντα μέλη της οικογένειας.³⁹³

Στην νεώτερη ιστορία, ο Carl Jung διατυπώνει ότι ο αετός αντιπροσωπεύει το πνεύμα/ψυχή, ενώ το φίδι το ανθρώπινο σώμα. Εφόσον, ο αετός πετά στον αέρα σαν την ανθρώπινη ψυχή που ταξιδεύει, ενώ το φίδι σέρνεται στο έδαφος σαν το προσκολλημένο σώμα στη Γη.³⁹⁴ Ακόμα, η ανθρώπινη ψυχή και ο αετός στην τέχνη μπορεί να έχουν αντιπαραθετικό ρόλο. Για παράδειγμα, ένας καλλιτέχνης, ονόματι Simon, από το Frankfurt στο Oder, ζωγράφισε τον Προμηθέα ως εγκλωβισμένο από τις Μοίρες στον Καύκασο με σχισμένα πλευρά (βάσει της Ελληνικής Μυθολογίας) από τον αετό του Δία. Σύμφωνα με την εικόνα, ο Προμηθέας αντιπροσωπεύει την Ανθρώπινη Ψυχή στον ατελείωτο αγώνα για απόκτηση γνώσης και περιβάλλεται από μορφές σχεδιασμένες ως προσωποποιήσεις της ανθρώπινης φυλής, που «κραυγάζουν» για την απελευθέρωσή του.³⁹⁵

Day of The Dead' celebration in Sumpango, Guatemala. El Día de los Muertos, also known as El Día de los Difuntos or Todos Santos in other places in Latin America. In Guatemala, the Day of the Dead is celebrated on November 1st.



392 (Fideler, 1987, σ. 173)
393 (Hall, 2017)

394 (Seung, 2005, σ. 18)
395 ("Fisher's National Magazine and Industrial Record," 1845, σ. 868)

Εξέχουσα θέση έχει ο αετός στο Σαμανισμό. Σε ορισμένα ζώα υποστηρίζεται ότι «κατοικούνται» από πνεύματα/ψυχές, για αυτό το λόγο απαγορεύει τη βρώση τους και την ενόχληση τους. Μερικά ζώα από αυτά είναι ο αετός, το φίδι, ο ιαγουάρος και ο αρουραίος. Επίσης, ορισμένα πνεύματα πουλιών θεωρούνται ως βοηθοί ή σύμβουλοι

σε συγκεκριμένες καταστάσεις. Στην περίπτωση της Αμερικής, ένας πάστορας, πρώην σαμάνος αναφέρει:³⁹⁶

"some of the animals, especially birds, that are, at least in some cases, spirits: "Our grandfather told us ... 'the eagle, it's a spirit [wīripē]'. The eagle had a costume, it's a spirit. The eagle is like the costume of a spirit."

Deutsch: adler

English: eagle

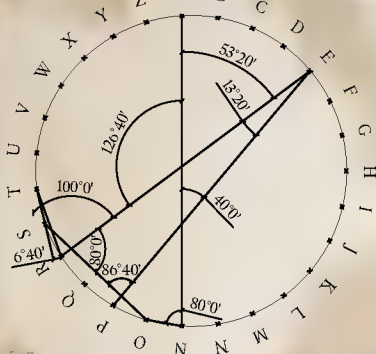


396 (Swancutt & Mazard, 2018, σ. 102). σ. 103: "The relationship between souls (omore) and spirits (wīripē) suggests that spirits are very much like bodies. The person is a combination of body and soul,

sealed with a name, but the shaman is able to transform his bodily envelope into that of another species, and even into that of a spirit, without completely losing his original social perspective"

Finnish (29)

ihminen



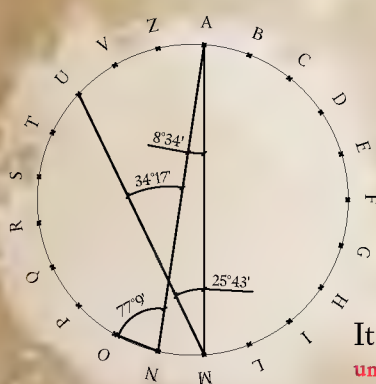
Basque (27)

pertsona



Spanish (30)

humano



Italian (21)

umano



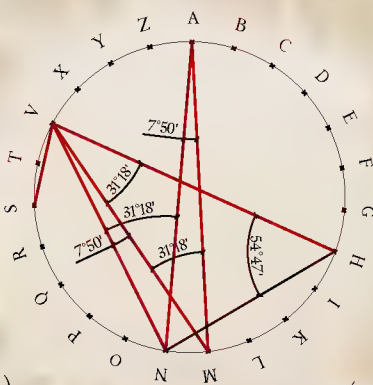
Greek (24)

ἄνθρωπος



French (26)

humain



Latin (23)

homo, humanus



Ancient Greek (27)

ἄνθρωπος



English (26)

human - person

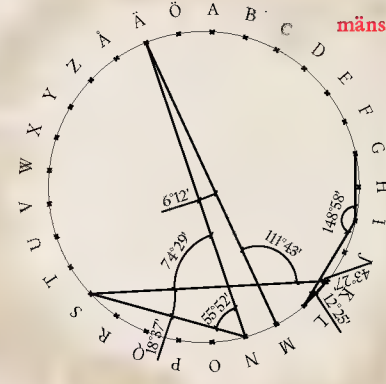


Icelandic (36)

mennskur

Swedish (29)

mänsklig, människa



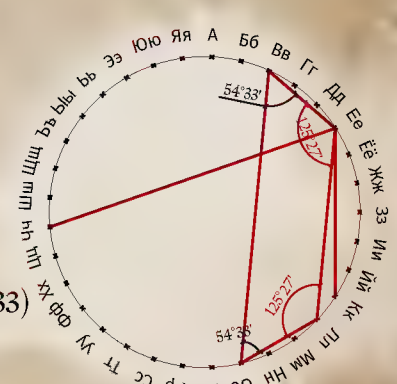
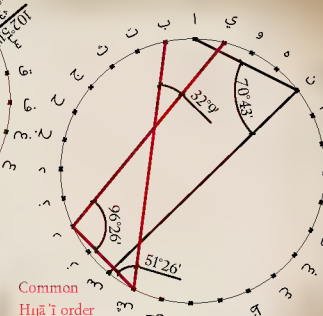
Deutsch (30)

Mensch



Russian (33)

человек

Maghrebian
Hijā'i orderCommon
Hijā'i order

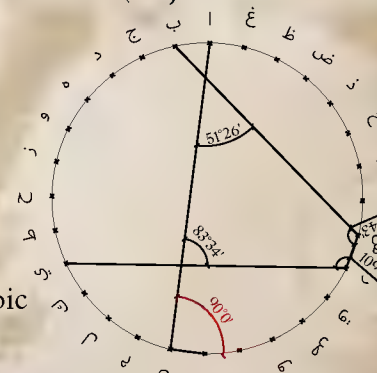
Hebrew (22)

אדם

Arabic (Hijā'i - 28)

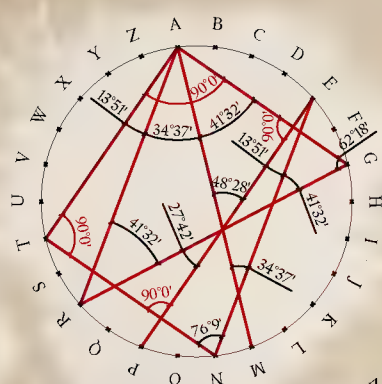
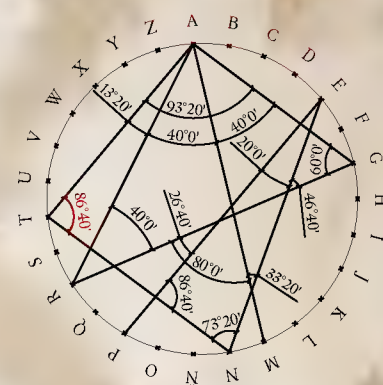
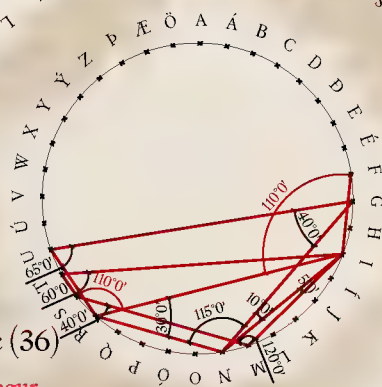
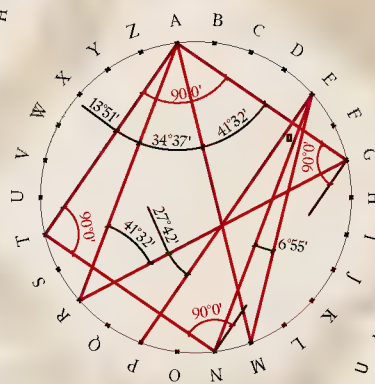
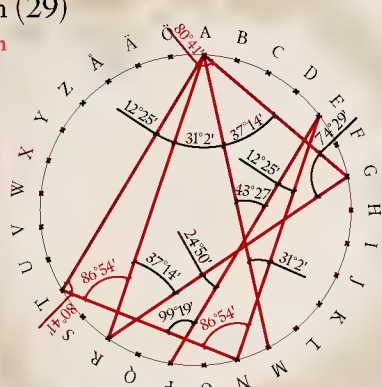
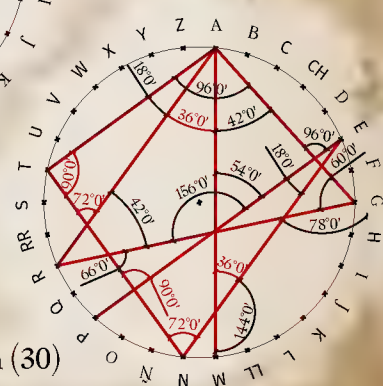
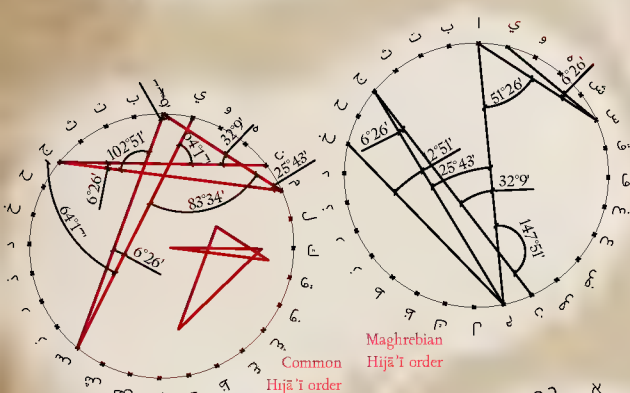
شَرِيّ - بَشَرِيّ / إِن س ا ن - إنسان

Arabic (Abjad numerals - 28)

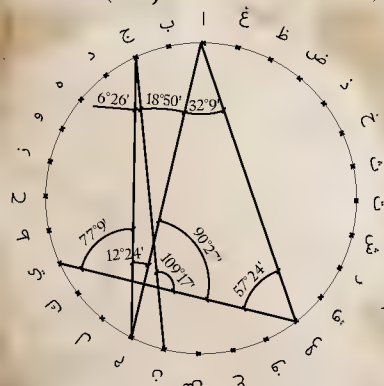


Arabic

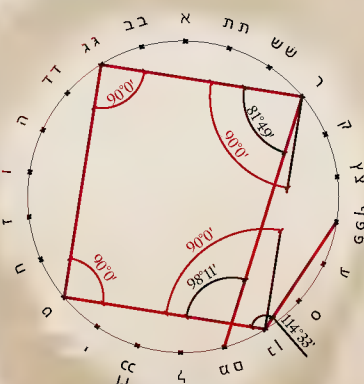
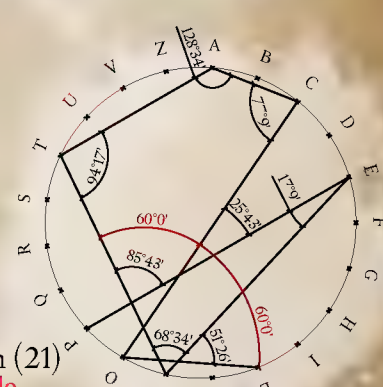
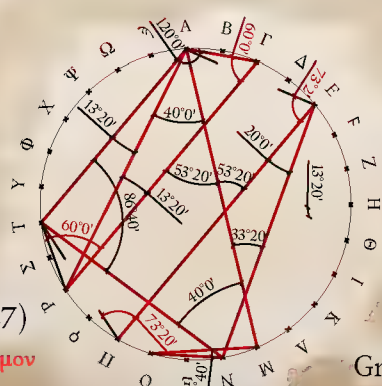
14 Alphabets. Language family tree - Pentagram, Πεντάγρ.

Deutsch (30)
pentagrammEnglish (26)
pentagramFinnish (29)
pentagrammiBasque (27)
pentagramaIcelandic (36)
fimmstirningurSwedish (29)
pentagramFrench (26)
pentagrammeRussian (33)
пентаграммаSpanish (30)
pentagramaMaghrebian
Common
Hijā'i orderArabic (Hijā'ī - 28)
ن ح م ا س ي - ن ح م ا س ي

Arabic (Abjad numerals - 28)

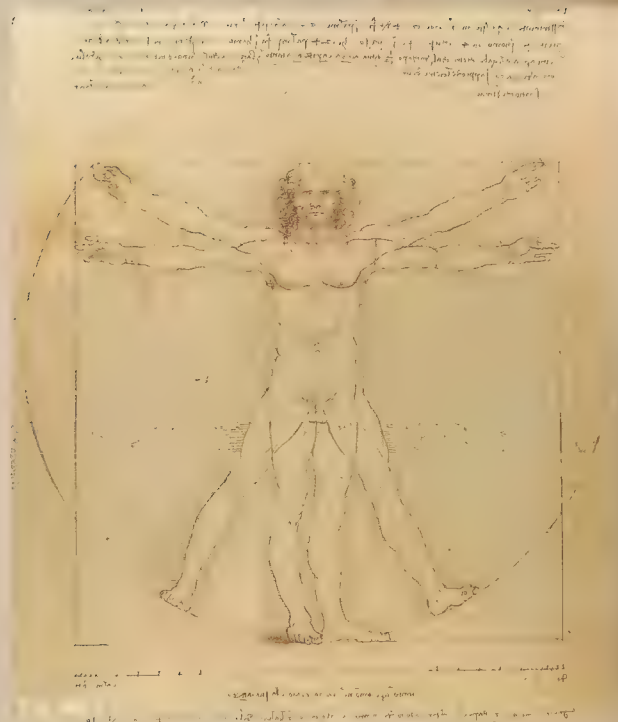
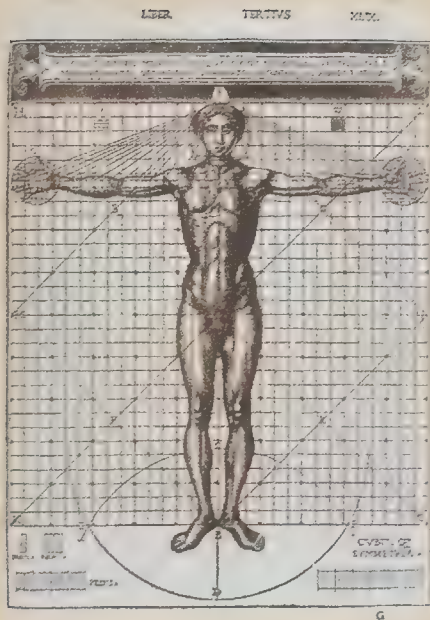


Arabic

Hebrew (22)
פנטגרםLatin (23)
pentagrammumItalian (21)
pentacoloAncient Greek (27)
πεντάγραμμονGreek (24)
πεντάγραμμον

Στο σχέδιο της λέξης άνθρωπος παρατηρείται η δημιουργία του πεντάγραμμου αστέρα. Ως γνωστόν και λογικό, γεωμετρικά κατόπιν ένωσης 5 σημείων γράφεται ένας 5-γραμμος αστέρας. Ωστόσο, το εντυπωσιακό στην προκειμένη περίπτωση είναι η παραγωγή αυτού του σχεδίου από την ίδια την παράταξη των γραμμάτων των λέξεων και της ένωσης των σημείων από την ακολουθία των γραμμάτων της παρούσας ορθογραφίας, χωρίς κάποια «κατευθυνόμενη» διεργασία. Πέραν της αναλύσεως του Ανθρώπου του Βιτρουβίου του Leonardo da Vinci μέσω της οποίας εντάσσεται ο 5-γραμμος αστέρας· το σχέδιο αυτό εμφανίζεται ολοφάνερα στην πραγματεία "De Occluta" του Agrippa, ενώ το σχέδιο του Cesariano εντάσσει το ανθρώπινο σώμα σε ένα «κάναβο» αναλύοντας τις αναλογίες του σώματος με γεωμετρικά σχήματα.

Vitruvian Man, illustration in the edition of De architectura by Vitruvius (XLIX); illustrated edition by Cesare Cesariano (1521)

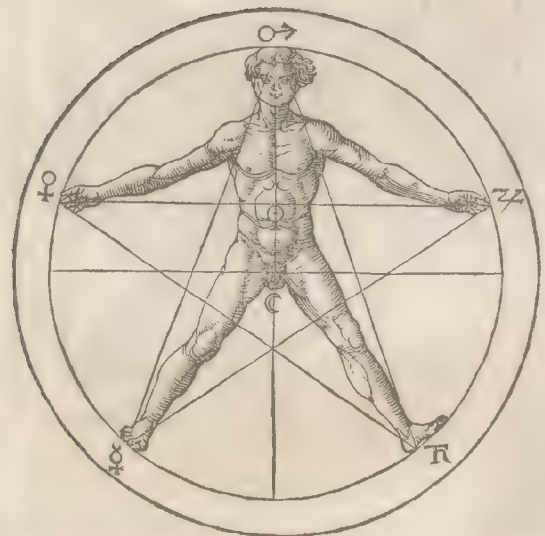
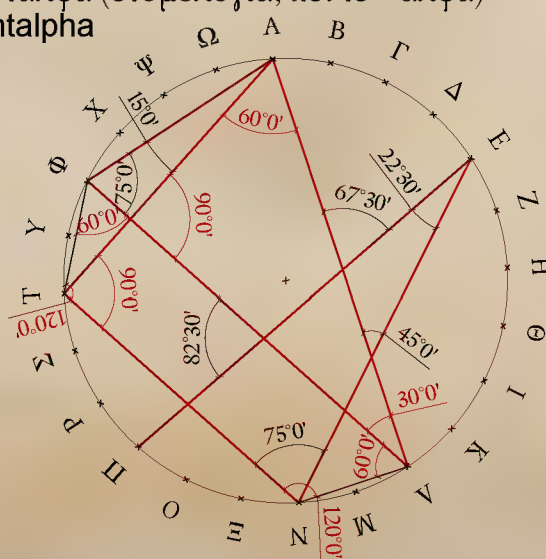


Leonardo da Vinci. c. 1490. Pen and ink with wash over metalpoint on paper. 34.6 cm × 25.5 cm (13.6 in × 10.0 in). Gallerie dell'Accademia, Venice, Italy

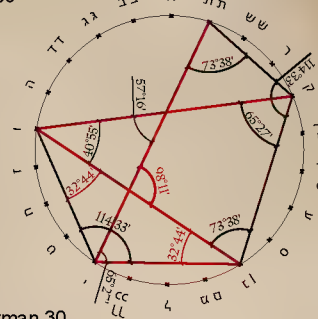
Pentagram from Heinrich Cornelius Agrippa's De Occulta philosophia libri tres (1533). The symbols in the circle represent Mars, Jupiter, Saturn, Mercury & Venus. In the belly

Ancient Greek 24

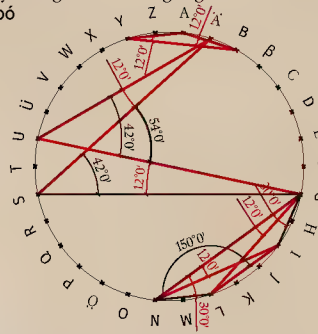
πεντάλφα (ετυμολογία, πέντε + άλφα)
pentalpha



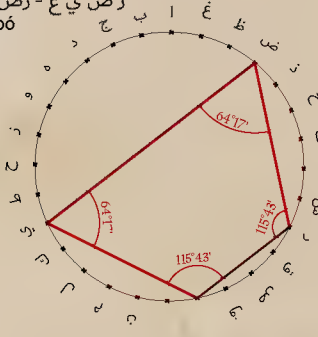
Hebrew 22
תינוק
סוף



German 30
Baby, neugeborene, säugling
μωρό



Arabic 28 (Abjad Numerals)
رَضِيَ ع - رَضِيَ ع
μωρδ ج ب ا

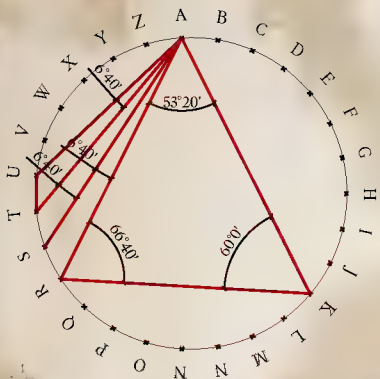


*40 Days After Birth,
Relaxing & Thinking about
the Letters of Alphabets and
Architecture! 'Baby Photo Album' of
Petros Petrakis
(Author)*



Finnish (29)

pyhä



Basque (27)

sakratua



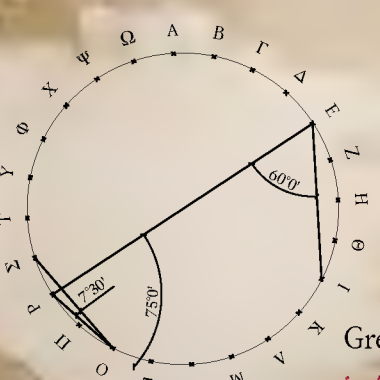
Spanish (30)

sagrado/a, santo/a



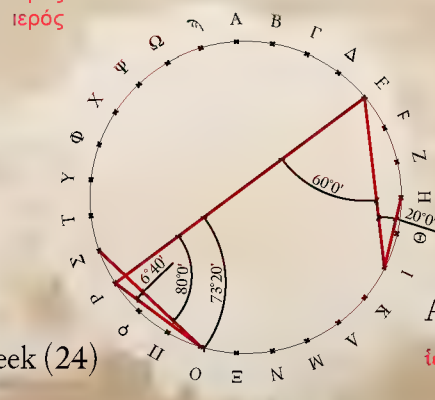
Italian (21)

santo, sacro

ἱερός
ἱερός

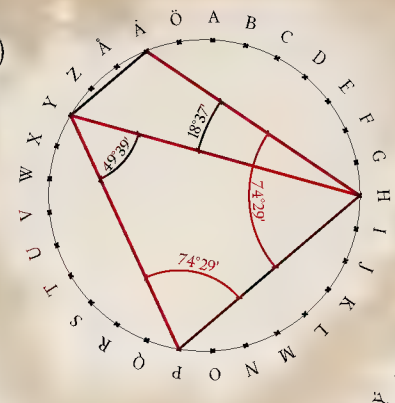
Greek (24)

ἱερός



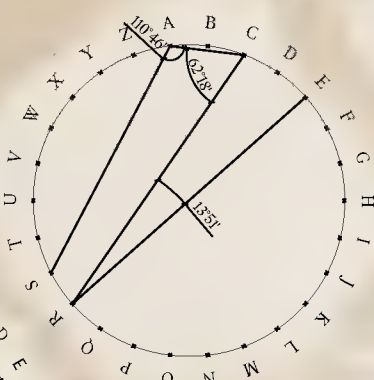
Ancient Greek (27)

ἱερός



French (26)

sacré

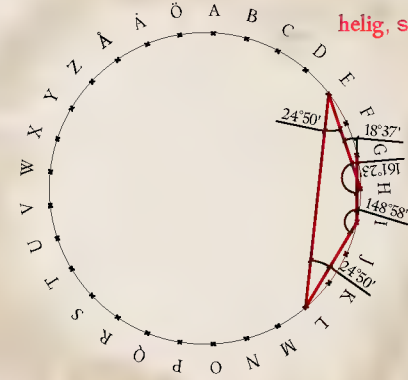


Icelandic (36)

helgur, heilagur

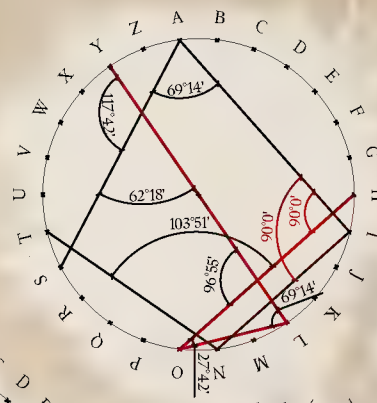
Swedish (29)

helig, sankt



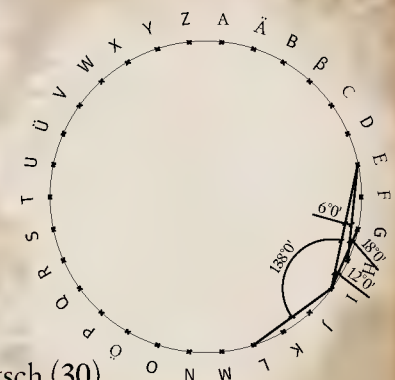
English (26)

holy - saint



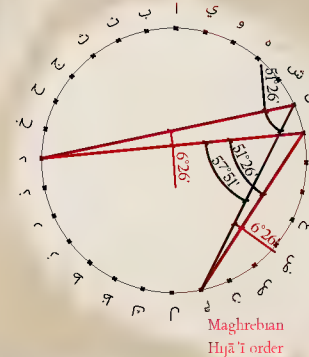
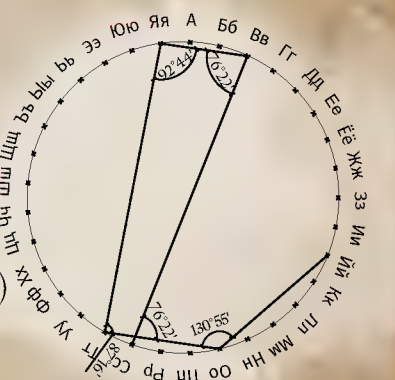
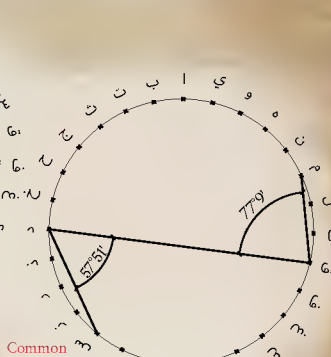
Deutsch (30)

heilig



Russian (33)

святѡй

Maghrebi
Hijā'ī orderCommon
Hijā'ī order

Arabic (Hijā'ī - 28)

مُقَدَّس - مَقْدَس

Arabic (Abjad numerals - 28)

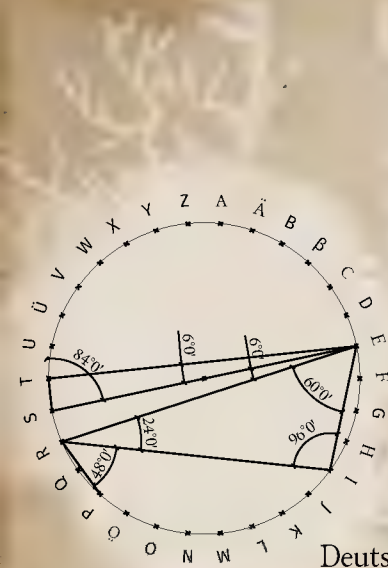
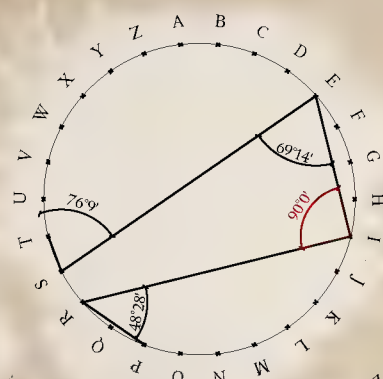
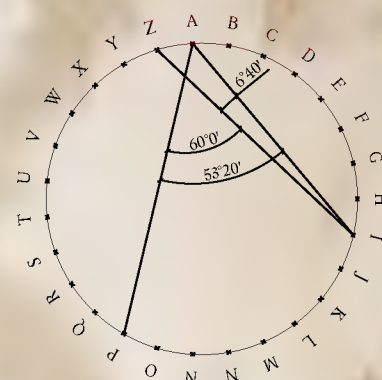
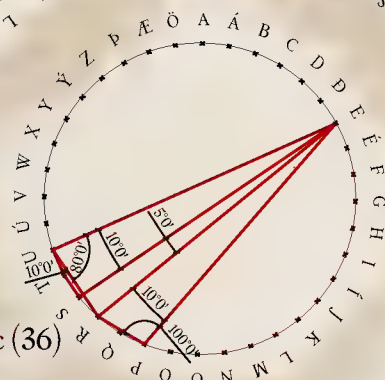
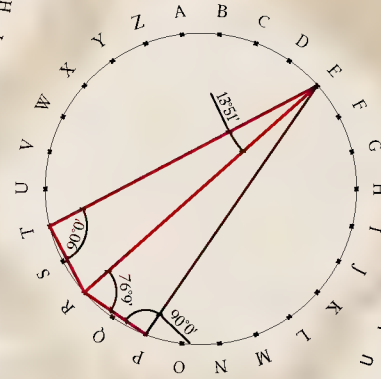
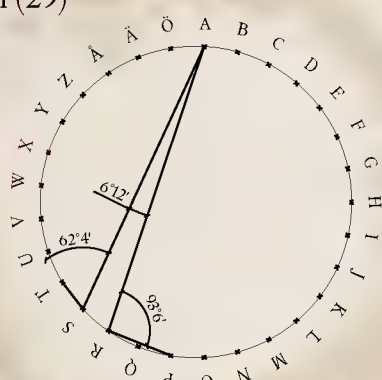
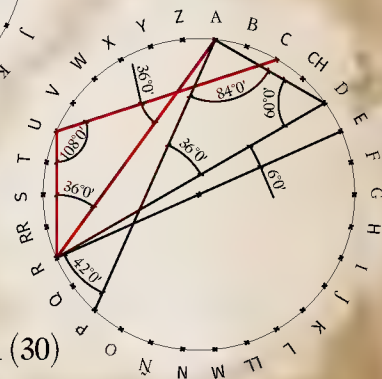
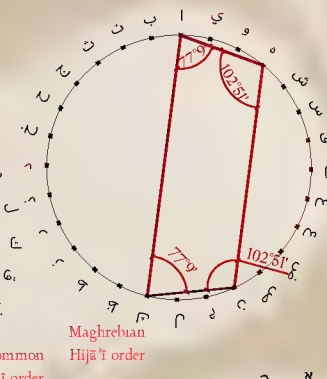
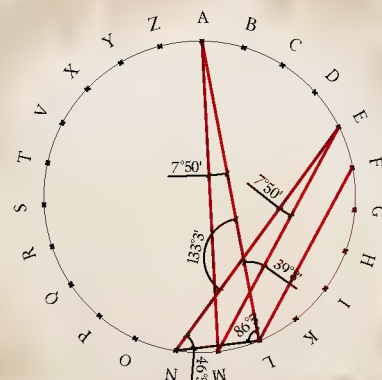
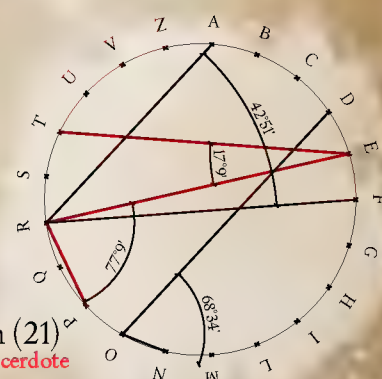
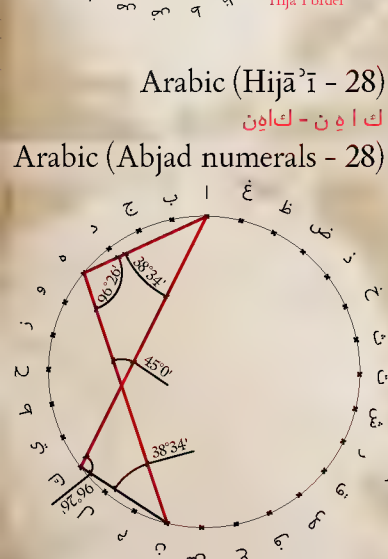
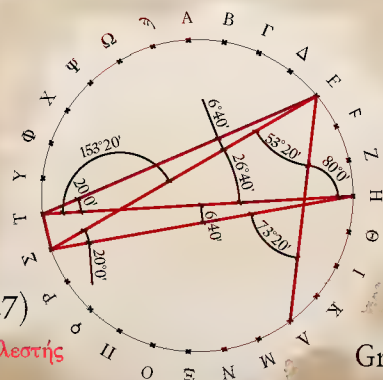
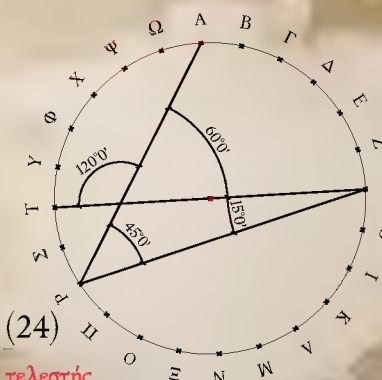


Hebrew (22)

Arabic

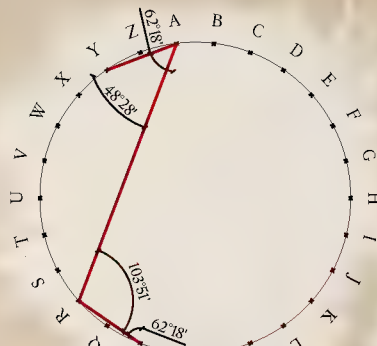


14 Alphabets. Language family tree - Priest, Ιερέας

Deutsch (30)
priester, pfarrerEnglish (26)
priestFinnish (29)
pappi, pastoriBasque (27)
apaizIcelandic (36)
presturSwedish (29)
prästFrench (26)
prêtreSpanish (30)
sacerdote, padre, curaRussian (33)
СловосочетанияArabic (Hijā'ī - 28)
ك ا ن - ك ا و نMaghrebian
Common Hijā'ī order
Hijā'ī orderLatin (23)
sacerdos, flāmenItalian (21)
prete, sacerdote
frate, Fra, DonHebrew (22)
citrAncient Greek (27)
ἀρητήρ; τελεστήςGreek (24)
ἀρητήρ; τελεστής

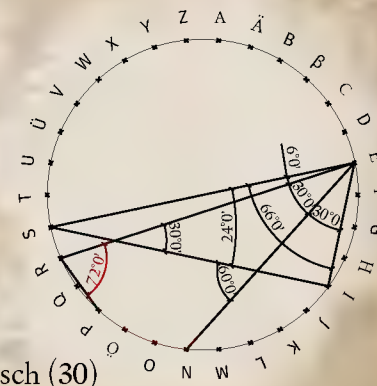
Finnish (29)

rukoilla, anoa



English (26)

pray

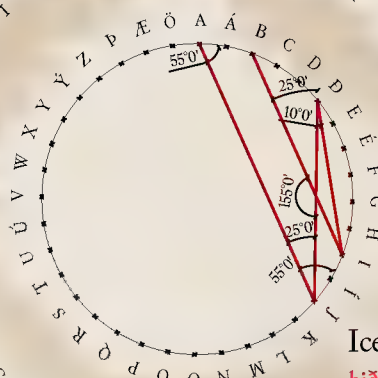


Deutsch (30)

preisen, lobpreisen

Basque (27)

otoitz egin



Icelandic (36)

biðja

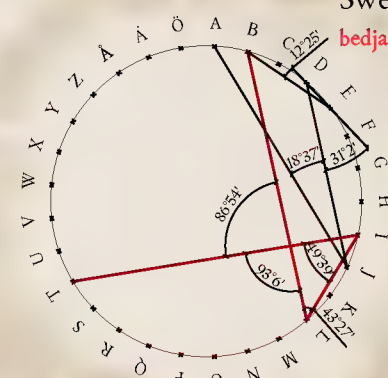


French (26)

prier

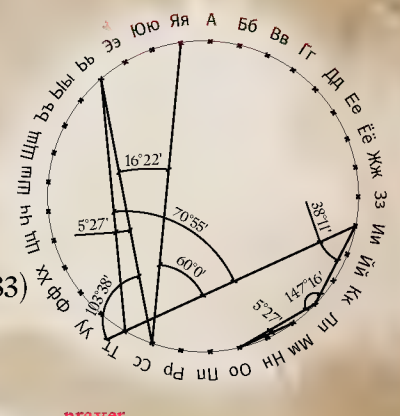
Swedish (29)

bedja, tillbe



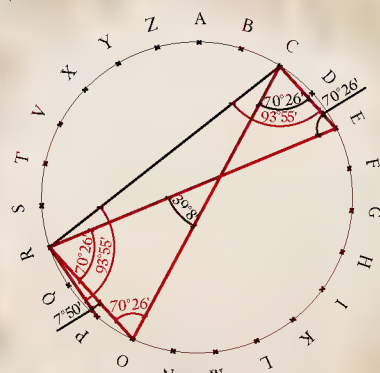
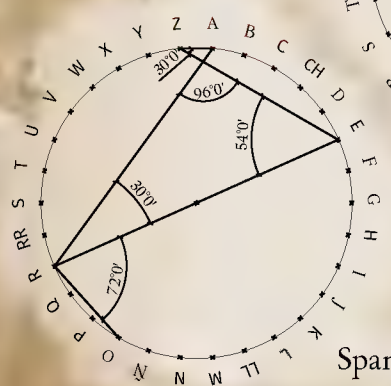
Russian (33)

молиться



Spanish (30)

orar, rezar

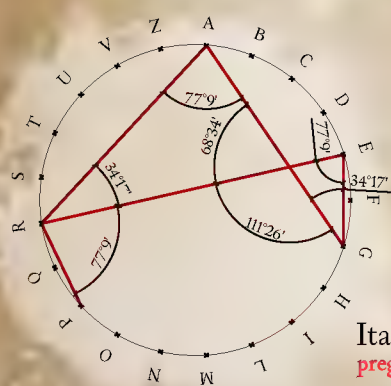


Italian (21)

pregare

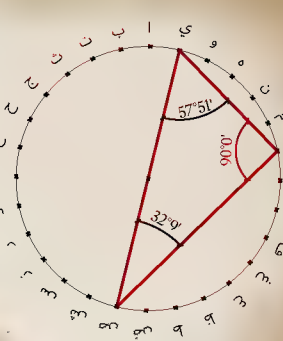
Latin (23)

præcor, orare



Arabic (Hijā'ī - 28)

صلوة - صلاة



Arabic (Abjad numerals - 28)

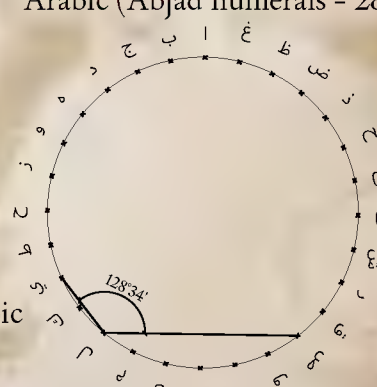
صلوات - صلوات



Hebrew (22)

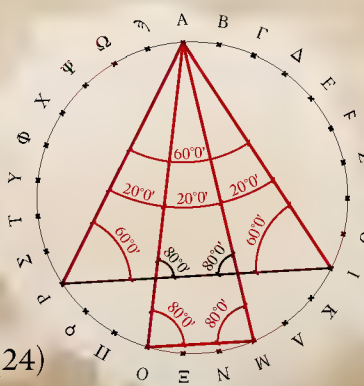
התפלל

Arabic



Ancient Greek (27)

ἀράομαι

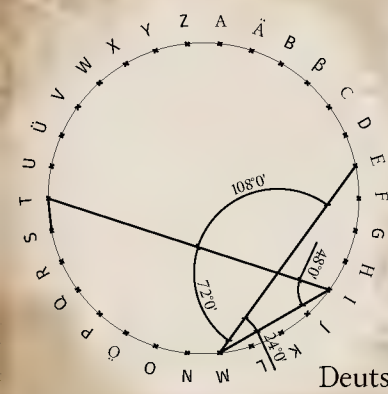


Greek (24)

ἀράομαι

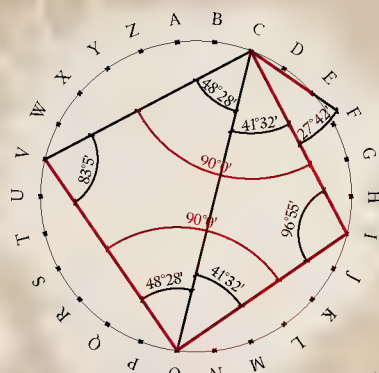


14 Alphabets. Language family tree - Voice, Φωνή



Deutsch (30)

stimme



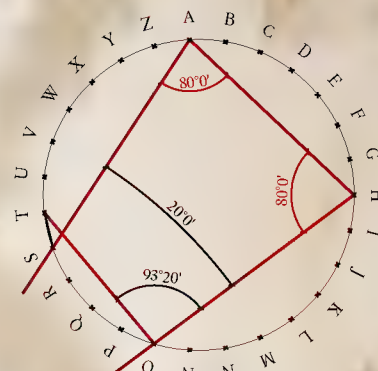
English (26)

voice



Finnish (29)

ääni



Basque (27)

ahotsa



Russian (33)

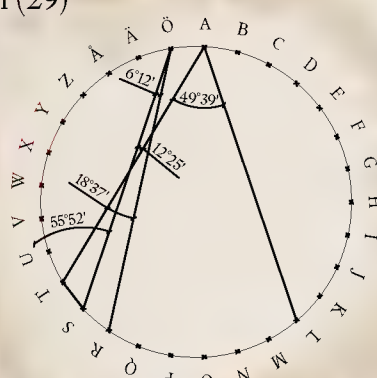
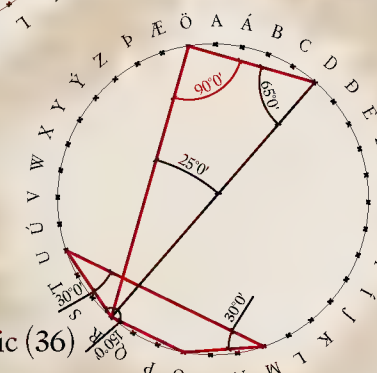
голос

Icelandic (36)

rödd, rómur

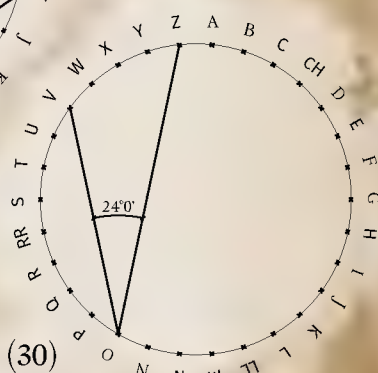
Swedish (29)

röst, tal



French (26)

voix



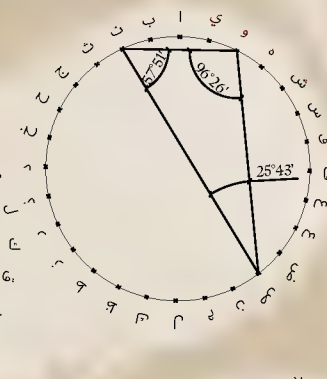
Spanish (30)

voz



Arabic (Hijazi - 28)

ص و ت - صوت



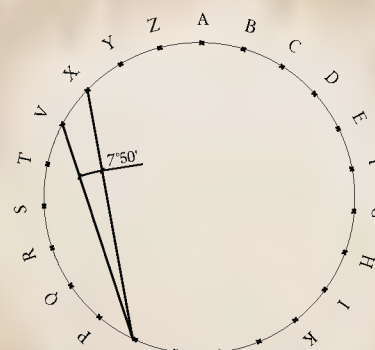
Maghrebian

Hijazi order



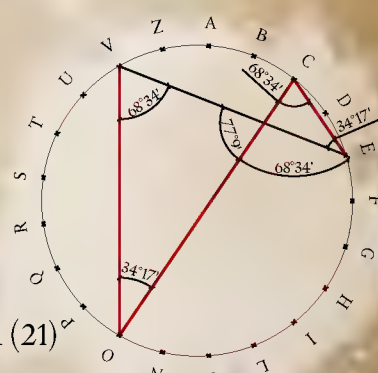
Hebrew (22)

לול



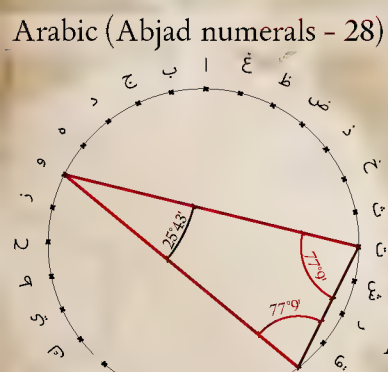
Latin (23)

vox



Italian (21)

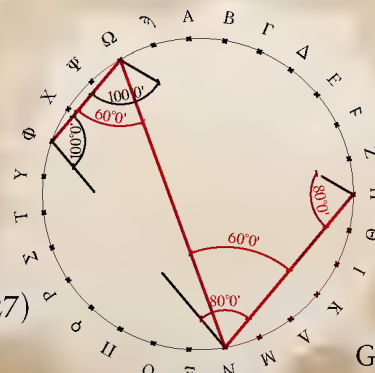
voce



Arabic (Abjad numerals - 28)

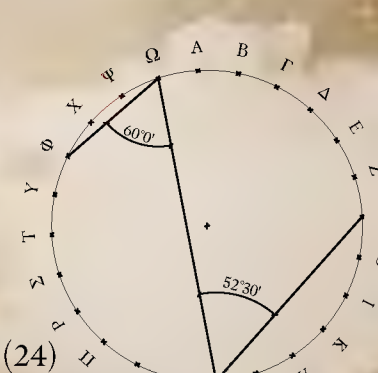
Ancient Greek (27)

φωνή

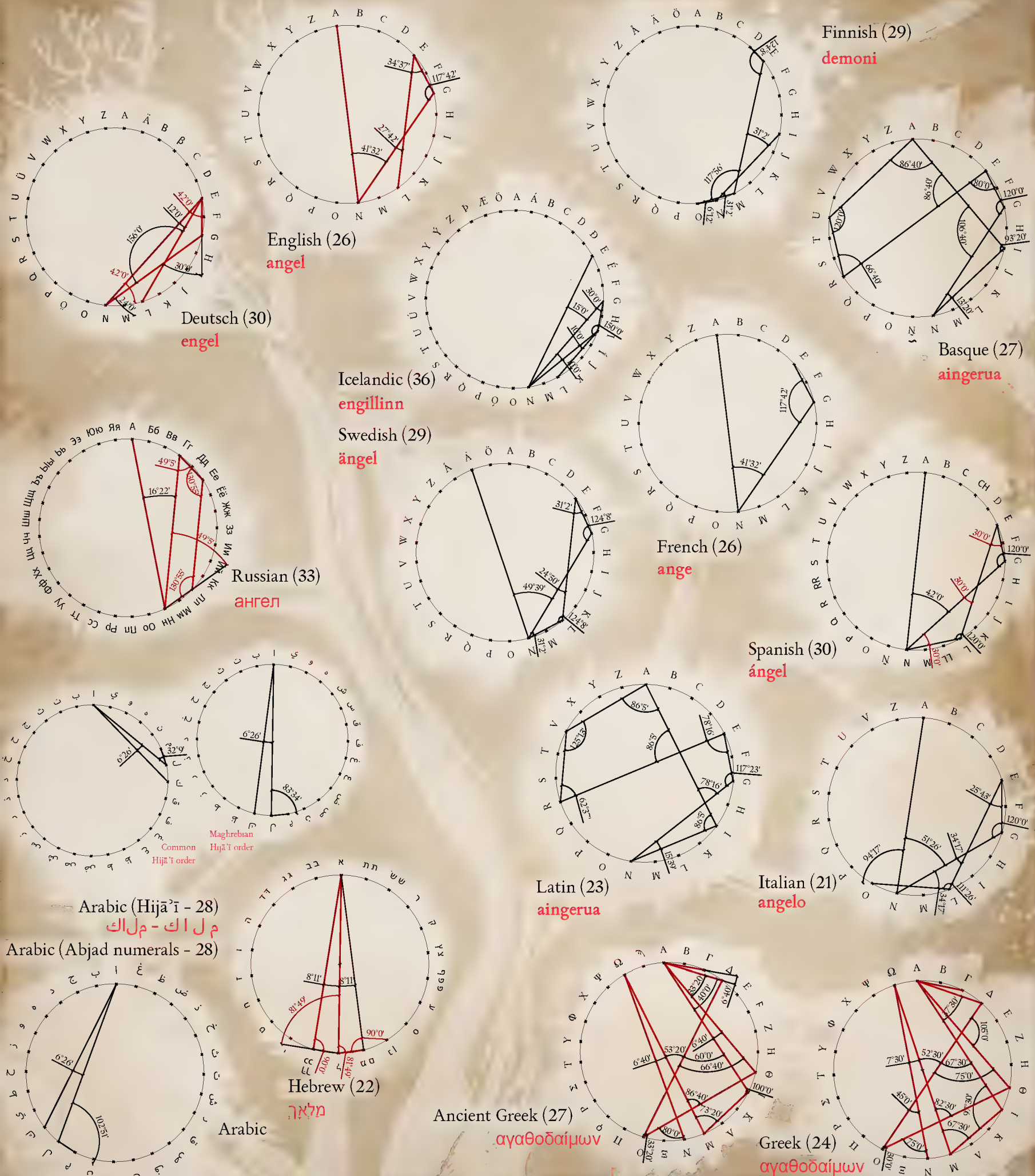


Greek (24)

φωνή



14 Alphabets. Language family tree - Angel, Άγγελος



The portrait of the Devil is the most famous image in the Codex Gigas (f. 290r), and it is the cause of the book's nickname, the Devil's Bible. The Devil is shown alone, in an empty landscape, within a frame formed by two large towers. He is crouching with his arms held up (he has only four fingers and toes) and wears an ermine loin cloth.

Ermine is usually associated with royalty, and its use here is to emphasise the position of the Devil as the prince of darkness.



Guardian
angel nimbed,
wearing diadem
(crown), holding open
book with both hands
on gold ground.
Margins decorated
with rectilinear bars
with vines. Book of
Hours. Netherlands,
perhaps Delft, 1415-
1420. MS M.866 fol.
112v



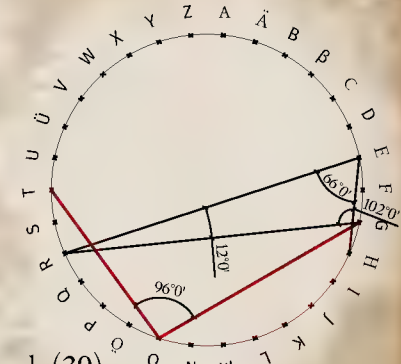
Finnish (29)

jumala



English (26)

god



Deutsch (30)

gott, herr, herrgott

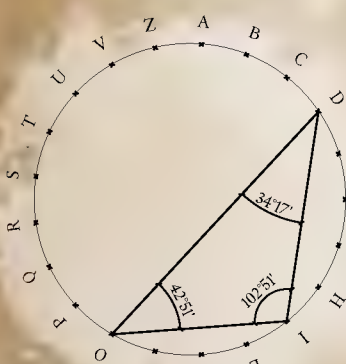
Basque (27)

jainkoa



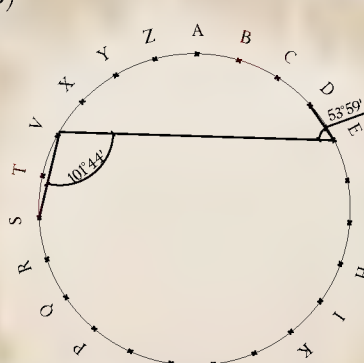
Spanish (30)

dios



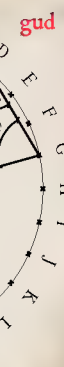
Italian (21)

dio



Latin (23)

deus

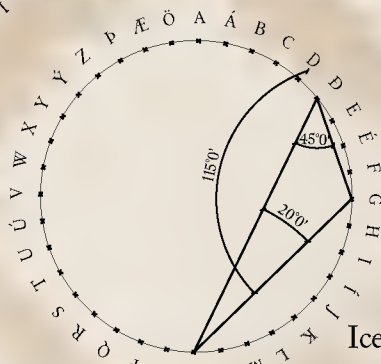


Swedish (29)

gud

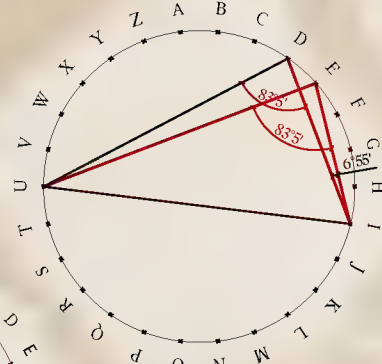
Icelandic (36)

goð



French (26)

dieu



Russian (33)

Бог



Allah

الله - ه ل ل ا

Maghrebian
Hijā'ī orderCommon
Hijā'ī order

Arabic (Hijā'ī - 28)

الله - ه ل ل ا / الرب - ال رب

Arabic (Abjad numerals - 28)

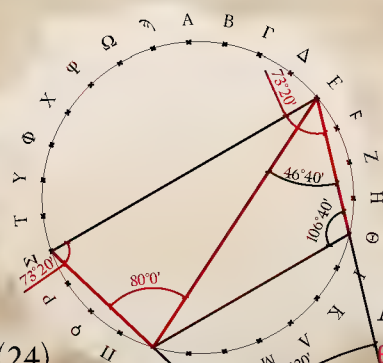


Hebrew (22)

אלהים

Ancient Greek (27)

Θεός

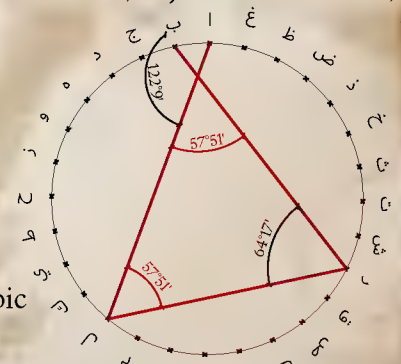


Greek (24)

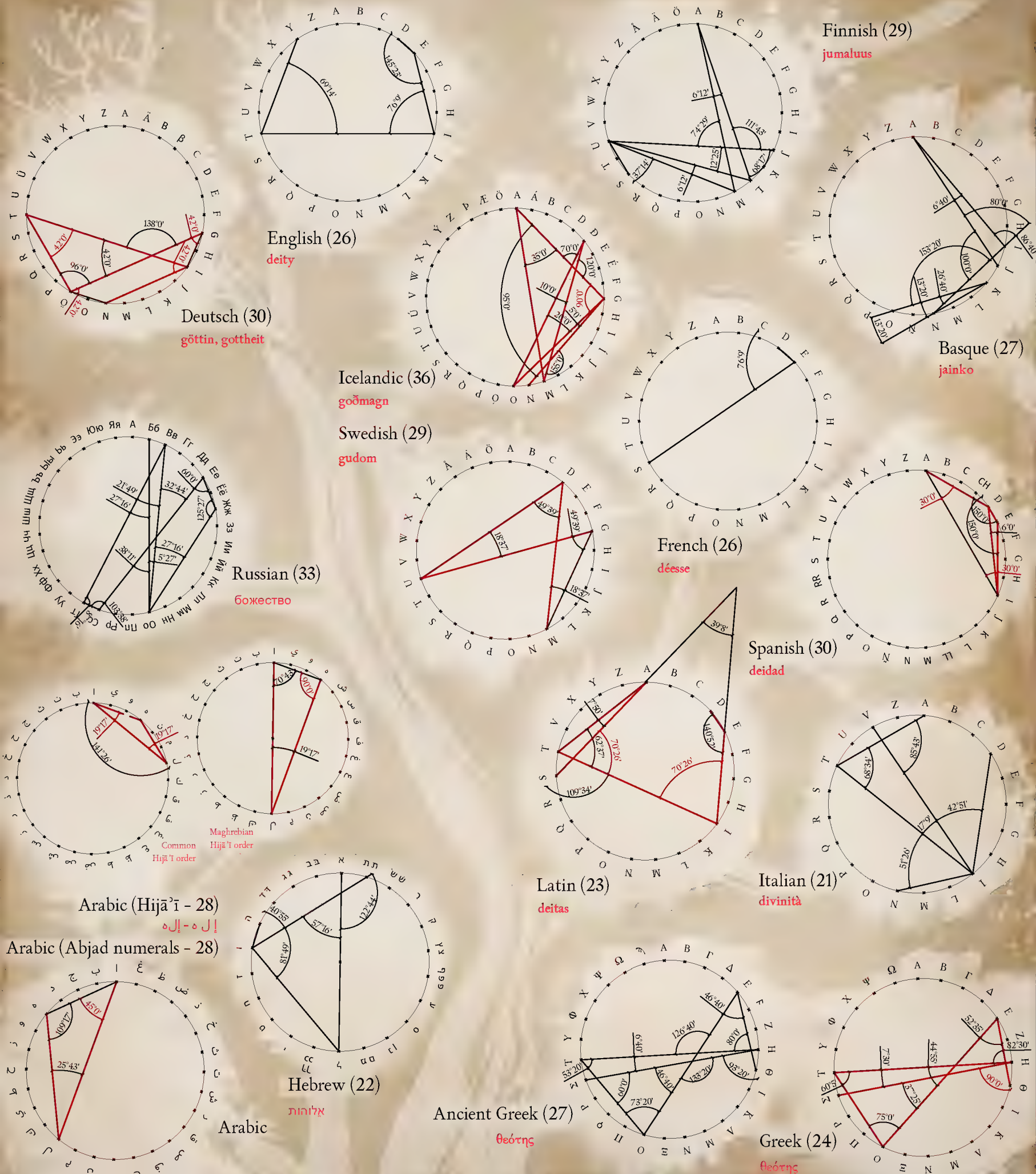
Θεός



Arabic

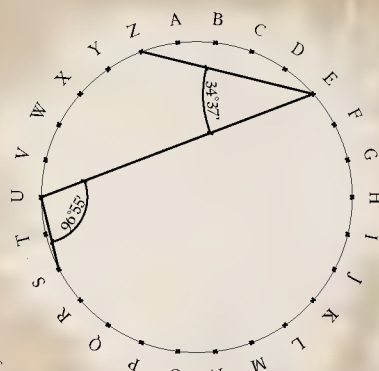


14 Alphabets. Language family tree - Deity, Θεότητα



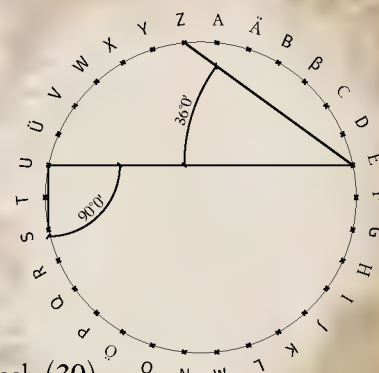
Finnish (29)

zeus



English (26)

zeus

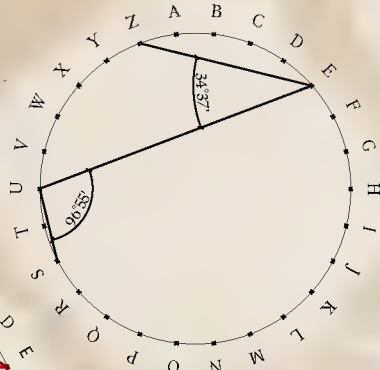
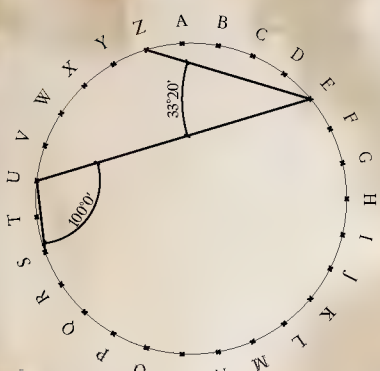


Deutsch (30)

zeus

Basque (27)

zeus

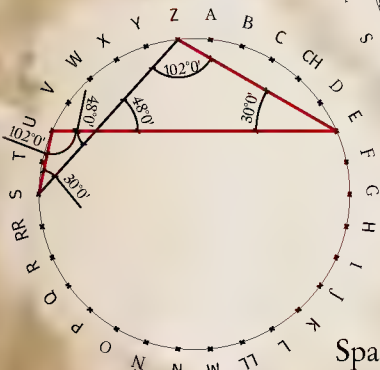


Icelandic (36)

Seifur

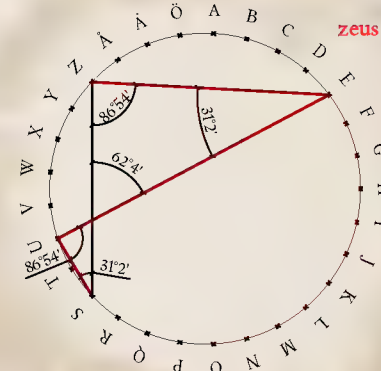
Swedish (29)

zeus



French (26)

zeus



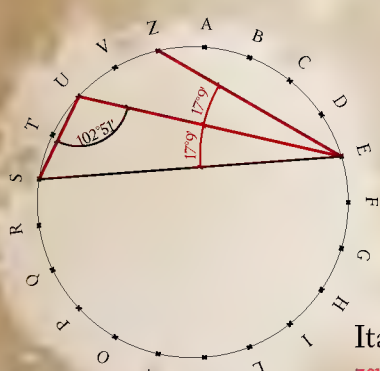
Russian (33)

Зевс



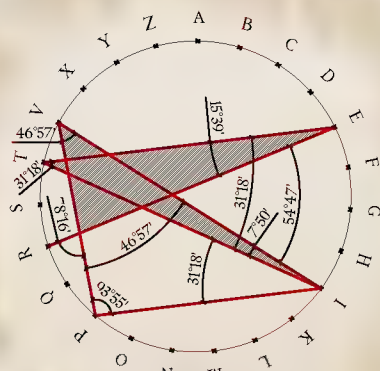
Spanish (30)

zeus



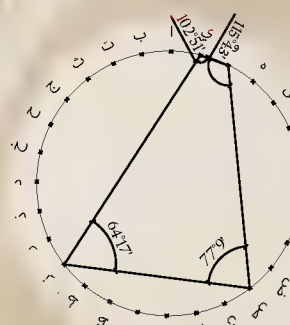
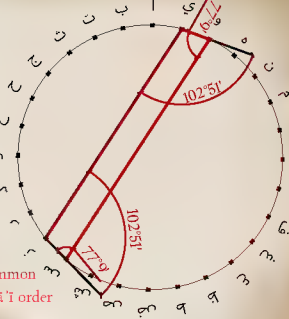
Italian (21)

zeus



Latin (23)

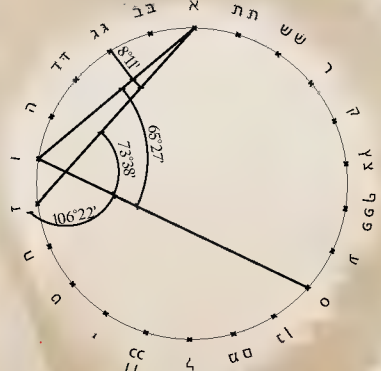
Iuppiter

Maghrebian
Hijā'ī orderCommon
Hijā'ī order

Arabic (Hijā'ī - 28)

زي و س - زيوس

Arabic (Abjad numerals - 28)



Hebrew (22)

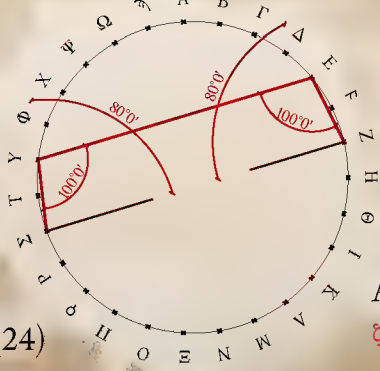
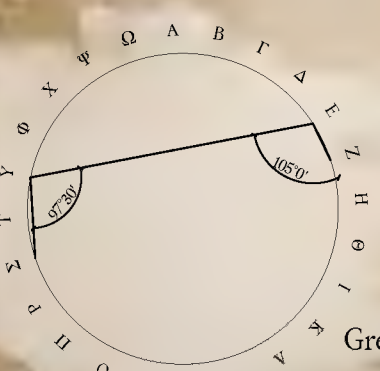
OINT

Ancient Greek (27)

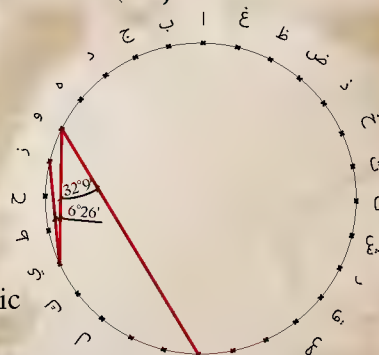
Ζεύς

Greek (24)

Ζεύς



Arabic



14 Alphabets. Language family tree - Marduk, Μαρδούκ



Deutsch (30)

marduk



English (26)

marduk



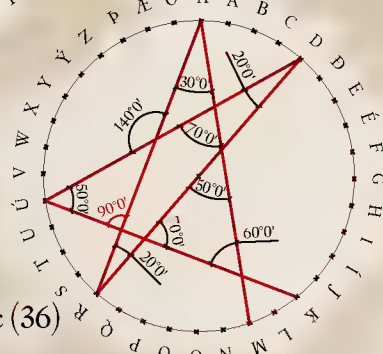
Finnish (29)

mardukin



Basque (27)

marduk

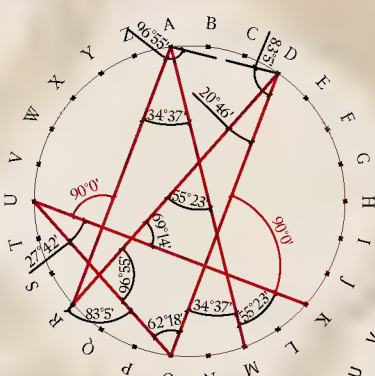


Icelandic (36)

Mardúk

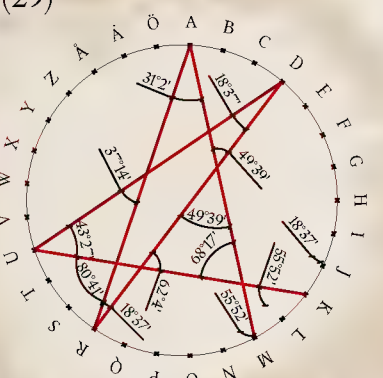
Swedish (29)

marduk



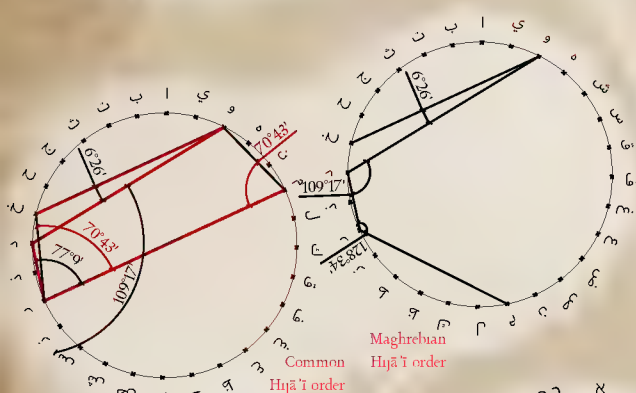
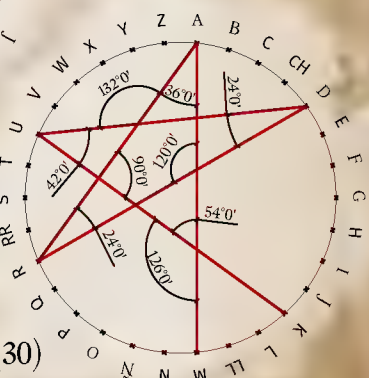
French (26)

mardouk



Spanish (30)

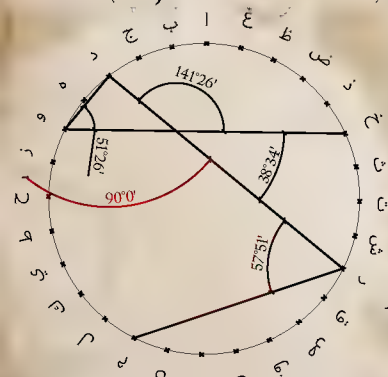
marduk



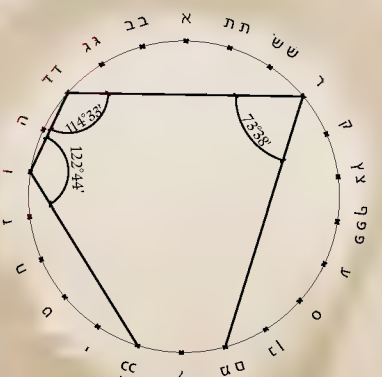
Arabic (Hijā'ī - 28)

م ر د و خ - م ر د و خ

Arabic (Abjad numerals - 28)

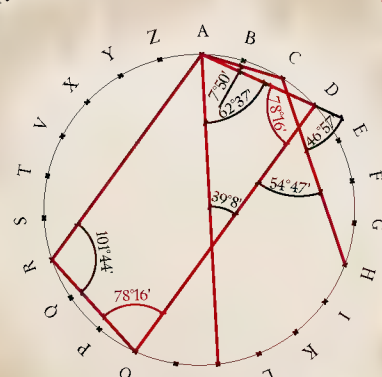


Arabic



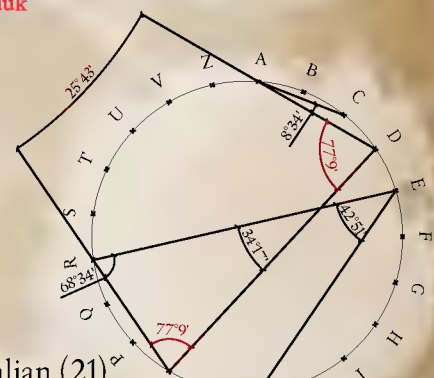
Hebrew (22)

מרדוך



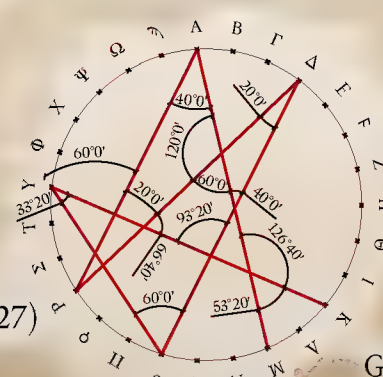
Latin (23)

marodach



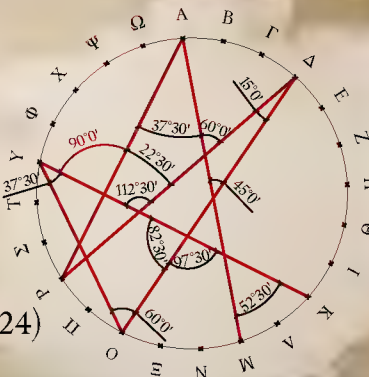
Italian (21)

merodac, marduc



Ancient Greek (27)

μαρδούκ



Greek (24)

μαρδούκ

OESIS | A030132 | Digital root★ of Fibonacci(n)
 Formula: $a(n+1) = \text{sum of digits of } (a(n) + a(n-1))$.
 Periodic with period 24 given by {1, 1, 2, 3, 5, 8, 4, 3, 7, 1, 8, 9, 8, 8, 7, 6, 4, 1, 5, 6, 2, 8, 1, 9}

Η ακολουθία F_n των αριθμών Fibonacci ορίζεται από τον εξής αναδρομικό τύπο:

$$F_{n+2} = F_{n+1} + F_n$$

$$F_1=1, F_2=1, F_3=2 \text{ για } n=N^*=\{1,2,3, \dots\}$$

OESIS | A030133 | Digital root★ of Lucas(n)
 Formula: $a(n+1) = \text{sum of digits of } (a(n) + a(n-1))$.
 Periodic with period 24 given by {2, 1, 3, 4, 7, 2, 9, 2, 2, 4, 6, 1, 7, 8, 6, 5, 2, 7, 9, 7, 7, 5, 3, 8}

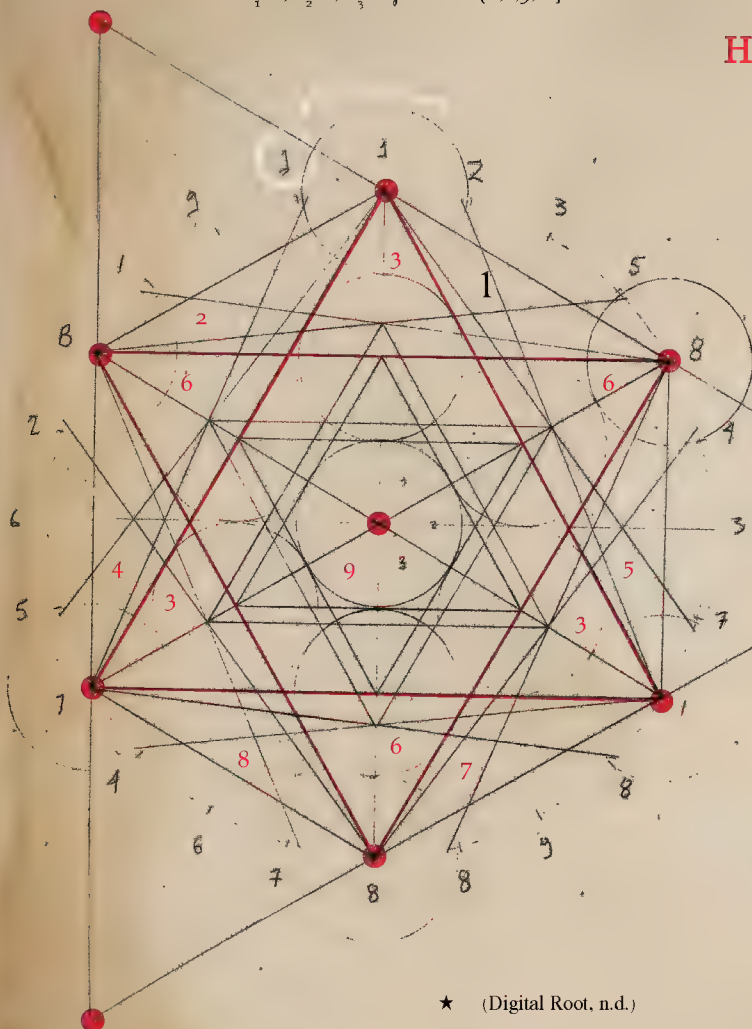
Η ακολουθία L_n των αριθμών Lucas ορίζεται από τον εξής αναδρομικό τύπο:

$$L_{n+2} = L_{n+1} + L_n$$

$$L_1=2, L_2=1, L_3=3 \text{ για } n=N^*=\{1,2,3, \dots\}$$

Hexagram - Εξάγραμμος Αστέρας

$$5+3+8=16, 1+6=7$$

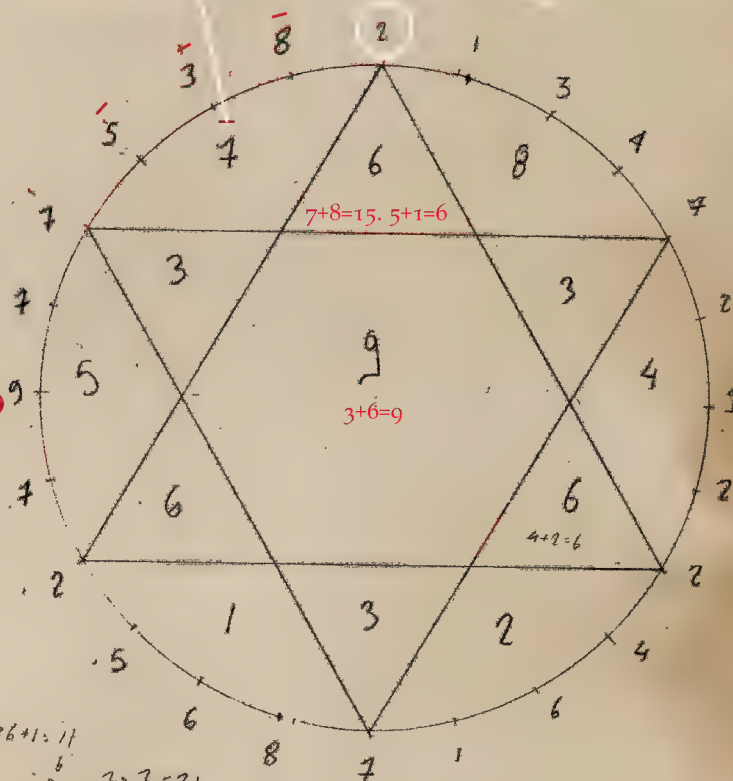


$$\begin{array}{r} 360 \div 24 \\ 24 \overline{) 120} \\ 120 \\ \hline 0 \end{array}$$

$$15^\circ \div 6$$

$$4+6+1=11$$

$$\begin{array}{r} 3 \times 7 = 21 \\ 3 \times 2 = 6 \\ \hline 27 \end{array}$$

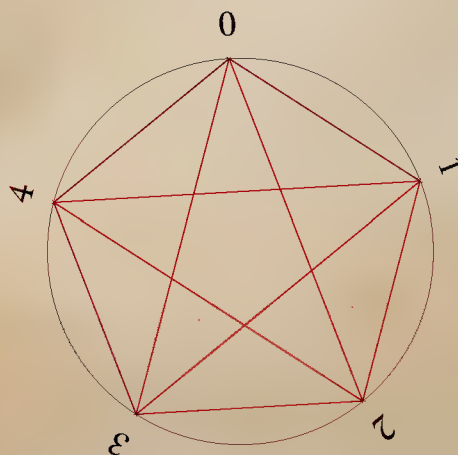


★ (Digital Root, n.d.)

Pentagram - Πεντάγραμμος Αστέρας

OESIS | A082116 | **Fibonacci sequence (mod 5)**.
 Periodic with period 20 given by {0, 1, 1, 2, 3, 0, 3, 3, 1, 4, 0, 4, 4, 3, 2, 0, 2, 2, 4, 1}.
 $\pi(5)=20$

Έστω κύκλος με σημεία 0,1,2,3,4, τα οποία απαντώνται στην περιοδική ακολουθία **Fibonacci sequence (mod 5)**. Ένωση των σημείων του κύκλου, σύμφωνα με τη διαδοχική παράθεση των ψηφίων της περιοδικής ακολουθίας.



Seal with decorative hexagram to impress on bread (?), between 7th century and 9th century. A.N. 140197, ground floor. National Museum in Warsaw.

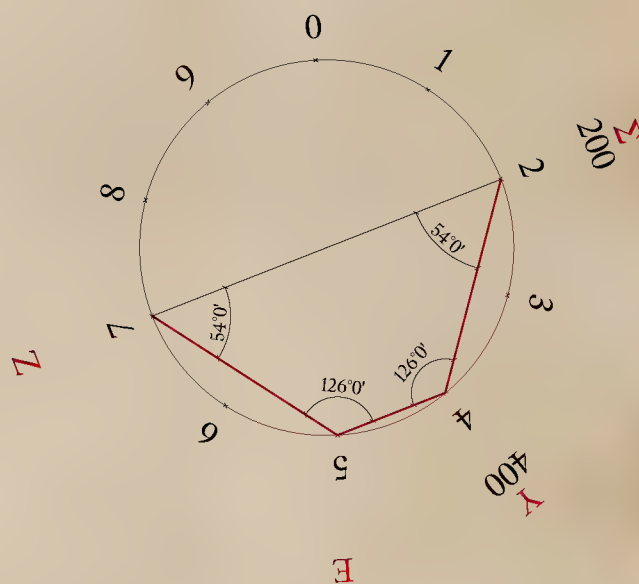
A black and white line drawing of a Mesopotamian deity, likely Enki, standing and holding a staff. He wears a tall, ornate crown and a long, patterned robe. A large, multi-tiered circular object, possibly a wheel or a mirror, is attached to his waist. To his right is a large, stylized fish or dragon head. The background is plain.

† † (Ifrah, 2000, σ. 226). Numeral alphabet used by some mediaeval and Renaissance mystics. This adaptation of the Greek system to the Latin alphabet is described by A. Kircher in *Oedipi Aegyptiaci*, vol. II/1, p. 488 (1653).

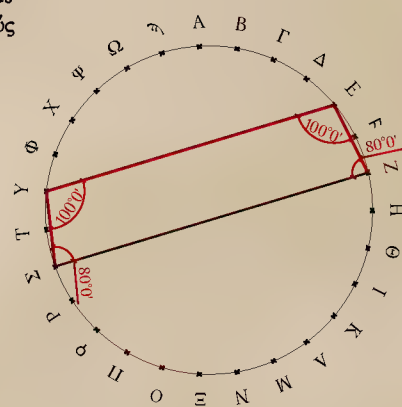
-	-	+	+
7	5	4	2
Z	E	Y	Σ
7	5	400	200
----->			
"ZEUS"			
612			
9			



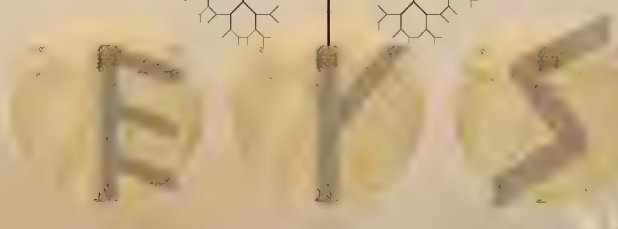
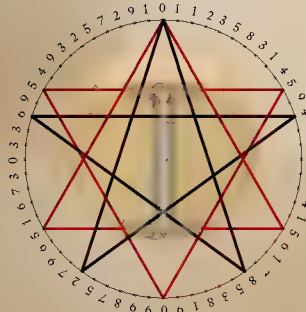
Το γεωμετρικό σχέδιο το οποίο παράγεται από την λέξη Ζεὺς στον κύκλο των 27 ελληνικών γραμμάτων είναι ένα ισοσκελές τραπέζιο. Ο πυθμενικός της λέξης είναι ο αριθμός 9. Όταν αναχθεί στον κύκλο που «συμπυκνώνονται» οι πυθμενικές αξίες των γραμμάτων και κατ' επέκταση τα ίδια τα γράμματα και σχηματιστεί η λέξη Ζεὺς παρατηρείται ότι το άθροισμα των γωνιών 54° και 126° είναι 9, όπως και η πυθμενική αξία της λέξης.



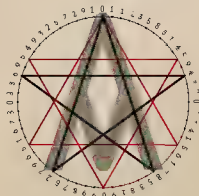
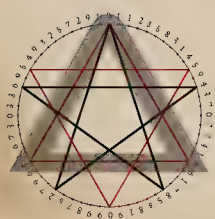
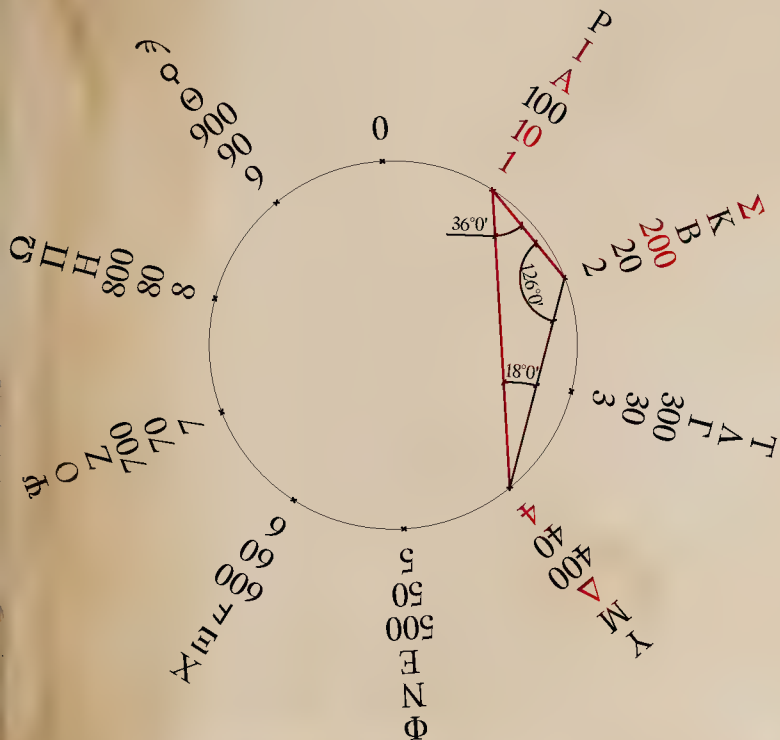
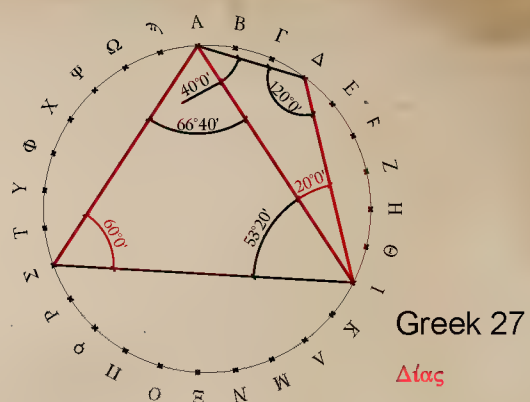
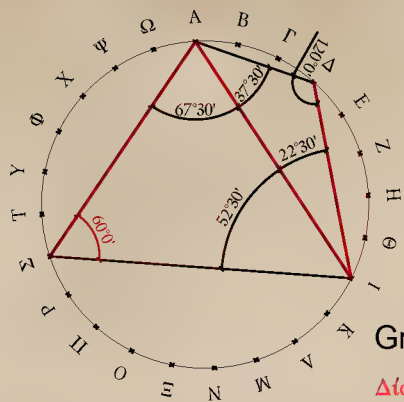
Greek 27
Zeus
Ζεὺς



ZEUS ZEYS ZEYS



+	-	-	+
4	1	1	2
Δ	Ι	Α	Σ
4	10	1	200
----->			
"ZEUS"			
215			
8			



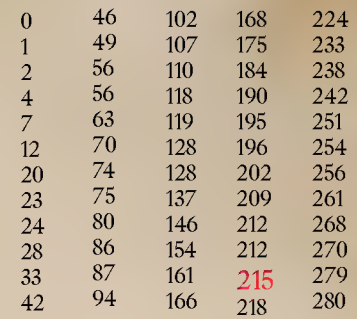
JUPITER

ΔΙΑΣ

ΔΙΑΣ



Statue of a male deity, brought to Louis XIV and restored as a Zeus ca. 1686 by Pierre Granier, who added the arm raising the thunderbolt. Jupiter of Smyrna (Zeus), Statue, Marble, Height 234cm, Department of Greek, Etruscan, and Roman Antiquities of the Louvre salle du Manège. Musée Du Louvre. N.C. Ma 13, N.I. MR 255.



εμφανιστούν στη τρίτη φάση τα γράμματα από Α-Δ. Σε τελική φάση, σύμφωνα με τον καθορισμό (γ) της περίπτωσης																												Sum	Γ_1	Γ_2			
[F _n (mod 10)](mod 5)																																	
	0	1	1	2	3	0	3	3	1	4	0	4	4	3	2	0	2	2	4	1	0	1	1	2	3	0	3	3	1	4	58	13	4
	0	4	4	3	2	0	2	2	4	1	0	1	1	2	3	0	3	3	1	4	0	4	4	3	2	0	2	2	4	1	62	8	8
Sum	0	5	5	5	5	0	5	5	5	5	0	5	5	5	5	0	5	5	5	5	0	5	5	5	5	0	5	5	5	5	120	21	3

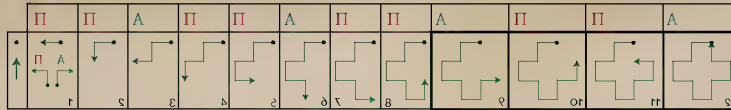
Σε 3^η φάση αντικαθίστανται οι αριθμοί με τα γράμματα του ελληνικού αλφαβήτου. Στο εύρος των γραμμάτων Α-Δ εντοπίζονται τα γράμματα Δ, Α, (0), Α, Α, Β.

γράμματα Α-Δ εντοπίζονται τα γράμματα Δ,Α,Θ,Α,Α,Β.																												- Sum	Γ ₁	Γ ₂		
[F _n (mod 10))(mod 5)																																
	Α	Α	Β	Γ		Γ	Γ	Α	Δ		Δ	Δ	Γ	Β		Β	Β	Δ	Α		Α	Α	Β	Γ		Γ	Γ	Α	Δ	NH	ΙΓ	Δ
	Δ	Δ	Γ	Β		Β	Β	Δ	Α		Α	Α	Β	Γ		Γ	Γ	Α	Δ		Δ	Δ	Γ	Β		Β	Β	Δ	Α	FB	Η	Η
Sum	E	E	E	E		E	E	E	E		E	E	E	E		E	E	E	E		E	E	E	E		E	E	E	E	PK	KA	Γ

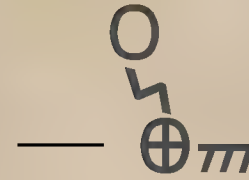
Σύμφωνα με τον καθορισμό (γ) της περίπτωσης (†) γράμματα εν παρατάξει (από υπόθεση), αν η θέση των γραμμάτων **Γ, Α & Β** του σχηματισμού **ΔΓΑΒ** εναλλαχθεί με τα ισοδύναμα γράμματα κατά πυθμενικό αριθμό **Ι, Α & Σ** τότε κατακόρυφα και επαναλαμβανόμενα προκύπτει η λέξη **ΔΙΑΣ**, αλλά και οριζόντια κατόπιν αναγραμματισμού η λέξη **ΖΕΥΣ (YEZZ)** στον πίνακα 5 οριζοντίων σειρών και 12 κατακορύφων στηλών. Επίσης, στον πίνακα των γραμμάτων 6 σειρών και 10 στηλών εμφανίζεται επαναλαμβανόμενα η λέξη **ΔΑΔΑ** κατακορύφως και οι πυθμενικοί αριθμοί **Θ & Δ**.

		A	A	B	Γ	Sum	Π ₁			A	A	Σ	Γ	Sum	Π ₁			A	A	B	Γ	Sum	Π ₁			A	A	B	Γ	Sum	Π ₁
		Γ	Γ	A	Δ	Z	Σ=B			Γ	Γ	A	Δ	Z	Σ=B			Γ	Γ	A	Δ	Z	Σ=B			Γ	Γ	A	Δ	Z	Σ=B
		Δ	Δ	Γ	B	IA	Δ			Δ	Y	2*E-Z	Σ	IA	Δ			Δ	Γ	B	B	IA	Δ			Δ	Γ	B	B	IA	Δ
		B	B	Δ	A	IF	Θ			B	B	Δ	A	Θ	Θ			Δ	B	B	Δ	A	Θ	Θ			Δ	B	B	Δ	A
		A	A	B	Γ	Θ	Θ			A	A	Σ	I-Z	Z	Z			Γ	A	B	Γ	IA	E			Γ	A	B	Γ	IA	E
		Γ	Γ	A	Δ	B	B			Γ	Γ	A	Δ	IA	B			Δ	Δ	Γ	B	IF	Δ			Δ	Δ	Γ	B	IF	Δ
		Δ	Δ	Γ	B	IF	Δ			Δ	Δ	I-Z	Σ	IF	Δ			B	B	Δ	A	I	I			B	B	Δ	A	I	I
		B	B	Δ	A	Θ	Θ			B	B	Δ	A	Θ	Θ			A	B	Γ		IB	Γ			A	B	Γ		IB	Γ
		A	A	B	Γ	Z	Z			A	A	Σ	I+I+I	Z	Z			A	Δ	Δ	Γ	IF	Z			A	Δ	Δ	Γ	IF	Z
		Γ	Γ	A	Δ	IA	B			Γ	Γ	A	Δ	IA	B			Δ	Δ	Δ	A	IA	B			Δ	Δ	Δ	A	IA	B
		Δ	Δ	Γ	B	IF	Δ			Δ	Y	2*E-Z	Σ	IF	Δ			Y	2*E-Z	Σ	Σ	Γ			Y	2*E-Z	Σ	Σ	Γ	IF	Δ
		B	B	Δ	A	Θ	Θ			B	B	Δ	A	Θ	Θ			B	B	Δ	A	Θ	Θ			B	B	Δ	A	Θ	Θ
Sum		Λ	Λ	Λ	Λ	PK	Γ			Λ	Λ	Λ	Λ	PK	Γ			Λ	Λ	Λ	Λ	PK	Γ			Λ	Λ	Λ	Λ	PK	Γ

		A	A	B	Γ		Γ	Γ	A		IH	
				Γ	B		B	B			KB	
				B	Γ		Γ	Γ			IH	
				Γ	B		B	B			KB	
				B	Γ		Γ	Γ			IH	
				Γ	B		B	B			KB	
				B	Γ		Γ	Γ			IH	
				Γ	B		B	B			KB	
Sum				Γ	B		B	B			PK	$\Gamma = T$



GOD ΘΕΟΣ ΘΕΟΣ



Η ακολουθία των αριθμών του Fibonacci (πρώτοι δύο αριθμοί ως το 0 και 1, κάθε επόμενος ως το άθροισμα των δύο προηγούμενων), συγκροτείται από μία ακολουθία δύο περιττών αριθμών και ενός αρτίου. Στην προσπάθεια δημιουργίας ενός γεωμετρικού σχήματος, συμπυκνώνοντας την έννοια της ακολουθίας, θέτοντας για κάθε αριθμό ίσα ευθύγραμμα τμήματα μία αριστερόστροφη κίνηση για κάθε περιττό αριθμό και δεξιόστροφη κίνηση για κάθε άρτιο προκύπτει ένας ισόπλευρος σταυρός, το οποίο είναι το πρώτο γράμμα της λέξης Θεός.

Το γεωμετρικό σχέδιο που προκύπτει από την «γεωλεκτική ταυτότητα» (την αναγωγή σε κύκλο) της λέξης ΘΕΟΣ ταυτίζεται με το σχέδιο του γράμματος σίγμα -ς-. Στην περίπτωση που δεν υφίσταται κάποια σύμπτωση παρακάτω ξεδιπλώνεται ένας σχολιασμός.

Το γράμμα σαμπί -𐎲- ταυτίζεται αφαιρετικά με την εικόνα του Ahura Mazdā (Πέρσικου Θεού) πάνω στον φτερωτό ηλιακό δίσκο. Ο Ηρόδοτος στο έργο του Ιστορίαι (1.134.1-1.139.1) αναφέρει τα ακόλουθα:

[1.139.1] «καὶ τόδε ἄλλο σφι ὥδε συμπεπτώκε γίνεσθαι, τὸ Πέρσας μὲν αὐτοὺς λέληθε, ἡμέας μέντοι οὐ. τὰ οὐνόματά σφι ἑόντα ὅμοια τοῖσι σώμασι καὶ τῇ μεγαλοπρεπείῃ τελευτῶσι πάντα ἐς τῶντὸ γράμμα, τὸ Δωριέες μὲν σὰν καλέουσι, Ἴωνες δὲ σίγμα. ἐς τοῦτο διζήμενος εὐρήσεις τελευτῶντα τῶν Περσέων τὰ οὐνόματα, οὐ τὰ μέν, τὰ δὲ οὐ, ἀλλὰ πάντα ὁμοίως.»

[1.139.1] «να και ένα άλλο χαρακτηριστικό που παρουσιάζεται σ' αυτούς· οι ίδιοι οι Πέρσες δεν το προσέχουν, εμάς όμως μας ξαφνιάζει: τα ονόματά τους, που ανταποκρίνονται στις σωματικές τους αρετές ή στην ευγενική καταγωγή τους, τελειώνουν όλα στο ίδιο γράμμα, που οι Δωριείς το λένε σαν, οι Ἴωνες πάλι σίγμα. Αν τα εξετάσεις, σε τούτο το γράμμα θα βρεις να τελειώνουν τα περσικά ονόματα, όχι άλλα ναι και άλλα όχι, αλλά ανεξαιρέτως όλα.»

Σύμφωνα με το χωρίο και την παρατήρηση, φαίνεται ως μία απόδοση τιμής και μία κατ' επανάληψη προσπάθεια ενθύμησης του μεγαλύτερου από όλους τους θεούς και προστάτη τού δίκαιου βασιλιά. Ο Ahura Mazdā, (Αβεστάν: «Σοφός Κύριος») ήταν ο υπέρτατος θεός στην αρχαία ιρανική θρησκεία, ειδικά τον Ζωροαστρισμό, το θρησκευτικό σύστημα του Ιρανού προφήτη Ζαρατούστρα (περ. 6^{ος} αι. π.Χ., ελληνική ονομασία Ζωροάστρης).[†] Η απεικόνιση αυτή προέρχεται από τη λατρεία του Ashur

που έφθανε μέχρι τη 3^η χιλ. π.Χ.· την πρωτεύουσα της Παλαιάς Ασσυριακής Αυτοκρατορίας (2,025 - 1,750 π.Χ.), τη Μέση Ασσυριακή Αυτοκρατορία (1,365 - 1,050 π.Χ.) και τη Νεο-Ασσυρία Αυτοκρατορία (911 - 608 π.Χ.). Στον φτερωτό δίσκο του Ήλιου, εκτιμόταν ως η δύναμη πίσω από τους Ασσύριους Βασιλιάδες.[‡]

Το γεγονός ότι το γράμμα σίγμα -ς- εμφανίζεται στο τέλος ουσιαστικών και επιθέτων, ίσως ομοιάζει σαν μία προσπάθεια ενθύμησης ή ανάκλησης του θεϊκού στοιχείου. Πιο συγκεκριμένα, αφενός μεν παραλληλίζεται (σαν ενθύμηση) με τον κεραυνό του Δία (του υπέρτατου θεού) και αφετέρου δε ομοιάζει σαν διακριτική ανάκληση του Θεού των πάντων (του/ων Δημιουργού/ών), αφού εμφανίζεται το γεωμετρικό σχέδιο -ς-, καθώς ανάγεται η ίδια λέξη ΘΕΟΣ σε κύκλο (στα 24 και στα 27 γράμματα του Ελληνικού Αλφαβήτου) και ενώνονται τα 4 σημεία 'Θ', 'Ε', 'Ο' και 'Σ' -γράφοντας παράλληλα ένα ισοσκελές τραπέζιο και ισοσκελές τρίγωνο, κατά την προέκταση των μη παραλλήλων πλευρών.

Η παρατήρηση που τοποθετεί ορισμένες λέξεις στις διερυνήσεις της ακολουθίας του Fibonacci και του Lucas δε θα πρέπει να προκαλεί εντύπωση, επειδή ήδη στην Αίγυπτο οι Θεότητες, όπως οι Ελληνικές, περιέγραφαν φυσικά φαινόμενα, από ουράνια σώματα μέχρι αφηρημένες δυνάμεις, δηλαδή τη γνώση, τη σοφία κτλ.^{††} Οι ακολουθίες αυτές, όπως έχει ήδη αναφερθεί σε προηγούμενες σελίδες (62, 64-65) απαντώνται σε ολόκληρη τη φύση. Βάσει της παραδοχής ότι οι ακολουθίες Fibonacci & Lucas ήταν γνωστές κατά την αρχαία εποχή^{‡‡}, γίνεται πιθανότερη μία αντίστοιχη μακραίωνη μαθηματική διεργασία λόγω των πολύπλοκων υπολογισμών, των σύνθετων χρονοβόρων αναγωγών σε κύκλους και των αντιστοιχίσεων αριθμών με θεούς, ιερά στοιχεία, ζώα κ.ο.κ.



Ahura Mazda, symbol from a doorway of the main hall of the Council Hall, Persepolis, Iran.

Courtesy of The Oriental Institute of The University of Chicago

[†] (The Editors of Encyclopaedia Britannica, n.d.)

[‡] (World History Edu, 2021)

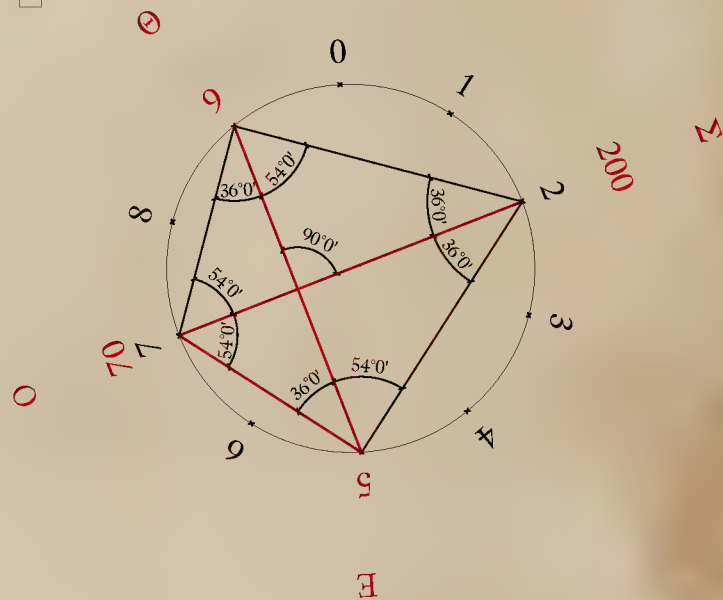
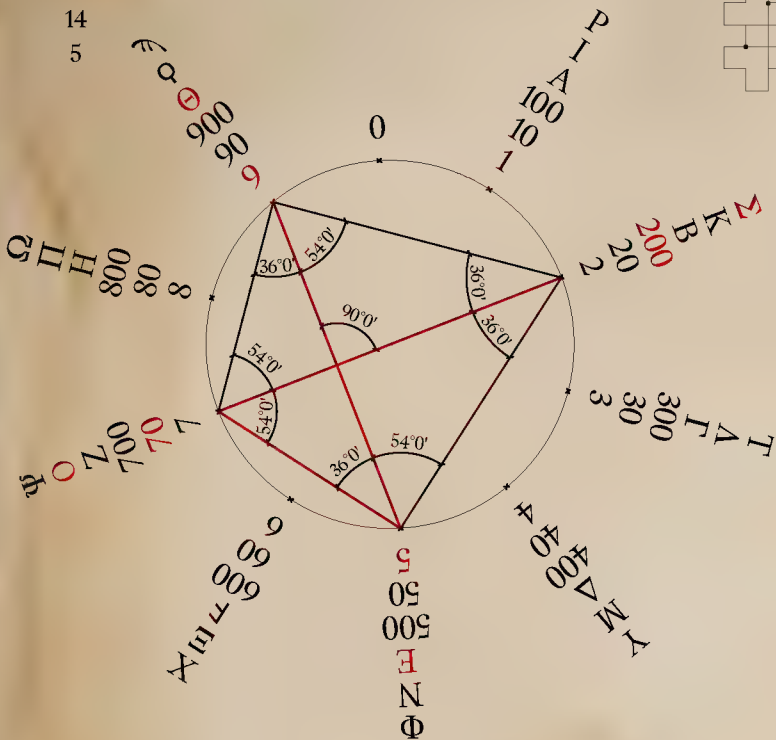
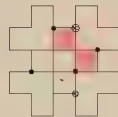
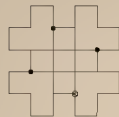
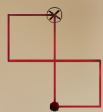
^{††} (Assmann, 2001, σ. 80-82)

^{‡‡} (Scott & Marketos, 2014, σ. 21-23). "[...] did the Egyptians know about the Fibonacci numbers? To this end, we mention a thread pointed out by Graham Oaten: the artists of archaic Egypt observed and copied nature's patterns to produce some astonishing artifacts. In particular, we cite a gold bracelet [Kantor, 1945], found in the tomb of a king at Abydos, presumably belonging to a queen of Zer (or Djer) and dating back to the

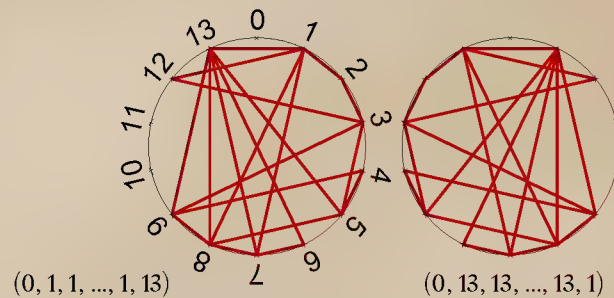
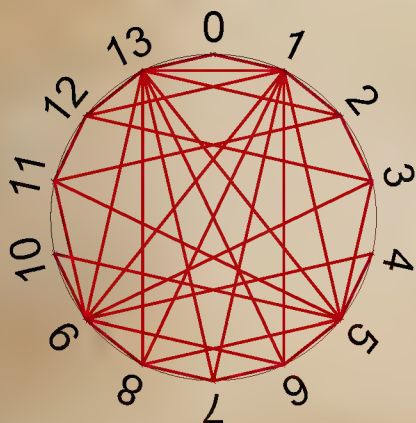
first dynasty (around 3000 BCE). The bracelet is currently in the Egyptian museum of Cairo. This bracelet is made of a gold rosette centerpiece which resembles a modern watch like design. The floral pattern of this rosette (presumably a daisy) has exactly 21 rays. [...] σ. 25-37: "An important implication in our conjecture is that if the Greeks had overcome Aristotle's misinterpretations and recognized parthenogenesis, the Fibonacci numbers could have potentially been derived within the framework of a bee reproduction model as far back as in the time of Aristotle. [...] The evidence can be seen by visiting the site of the theater of Epidaurus in Argolis [Charitonidou, 1978, p.38-47], [Iakovidis, 2001, p.130-133] (dating from the Hellenistic period)"

14 Αλφάβητα

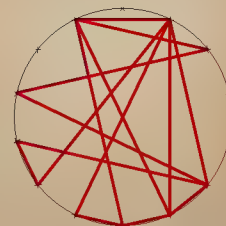
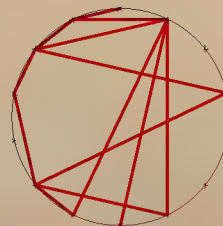
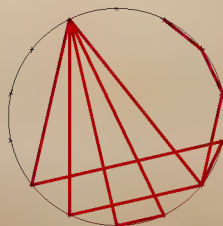
0	33	90	138	201	242	290
1	40	98	139	210	252	295
2	46	105	152	216	257	306
4	59	106	152	217	258	308
7	64	114	165	224	264	321
12	68	123	178	232	271	322
20	77	126	190	233	284	



m	$\pi(n)$	numbers of zeros in the cycle	$F_n \pmod{10}$ - cycle																												Python coding			
14	48		0	1	1	2	3	5	8	13	7	5	13	5	4	9	13	8	7	1	8	9	3	12	1	13								
			0	13	13	12	11	9	6	1	7	8	1	9	10	5	1	6	7	13	6	5	11	2	13	1								

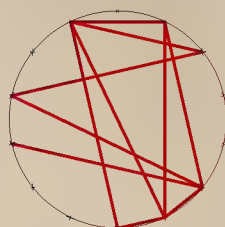
[illegible]

																Sum	Γ_1	Γ_2	
	0	1	1	2	3	5	8	13	7	6	13	5	4	9	13	8	97	16	7
	7	1	8	9	3	12	1	13	0	13	13	12	11	9	6	1	119	11	2
	7	8	1	9	10	5	1	6	7	13	6	5	11	2	13	1	105	6	6
Sum	14	10	10	20	16	22	10	32	14	32	32	22	26	20	32	10	322	7	

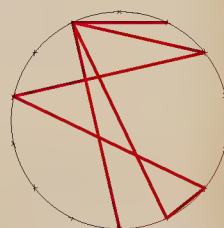
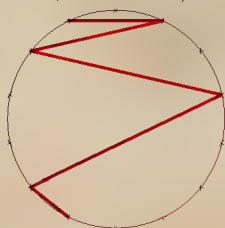
 $(0, 1, 1, \dots, 13, 7)$
$$(7, 1, \dots, 9, 6, 1)$$
$$(7, 8, \dots, 2, 13, 1)$$

249

		Sum	Π
0	1	1	1
1	2	3	3
3	5	8	8
8	13	21	3
7	6	13	4
13	5	18	9
4	9	13	4
13	8	21	3
7	1	8	8
8	9	17	8
3	12	15	6
1	13	14	5
0	13	13	4
13	12	25	7
11	9	20	2
6	1	7	7
7	8	15	6
1	9	10	1
10	5	15	6
1	6	7	7
7	13	20	2
6	5	11	1
11	2	13	4
13	1	14	5
Sum	154 168	322	7

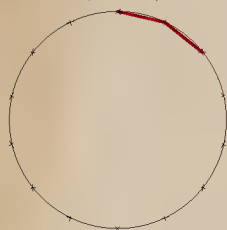
 $(10, 5, \dots, 13, 1)$

	IS	IA	IA	8
Sum	154	168	322	7

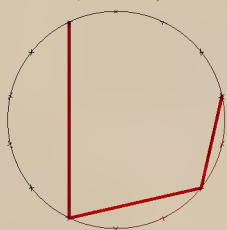
 $(7, 13, \dots, 13, 1)$
$$(8\ 9\ 3\ 12\ 1\ 13)$$

$$(6\ 5\ 11\ 2\ 13\ 1)$$

				Sum	Γ_1	Γ_2
0	1	1	2	4	4	4
3	5	8	13	29	11	2
7	6	13	5	31	4	4
4	9	13	8	34	7	7
7	1	8	9	25	7	7
3	12	1	13	29	11	1
0	13	13	12	38	11	1
11	9	6	1	27	9	9
7	8	1	9	25	7	7
10	5	1	6	22	4	4
7	13	6	5	31	4	4
11	2	13	1	27	9	9
Sum	70	84	84	322	7	7

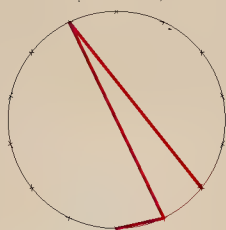
(0 1 1 2)



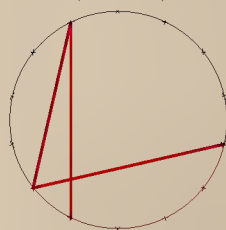
(3 5 8 13)



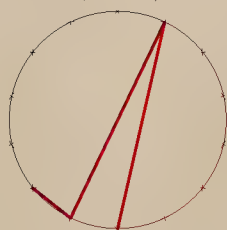
(7 6 13 5)



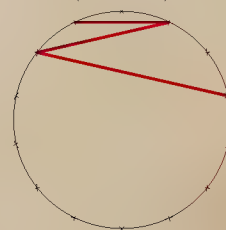
(4 9 13 8)



(7 1 8 9)



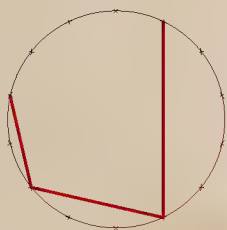
(3 12 1 13)



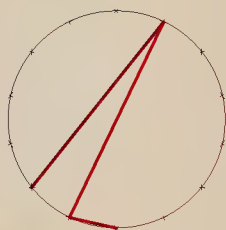
(0 13 13 12)



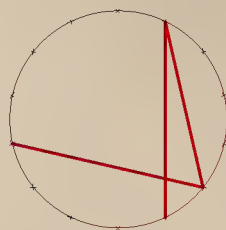
(11 9 6 1)



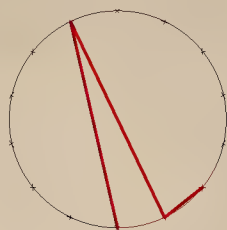
(7 8 1 9)



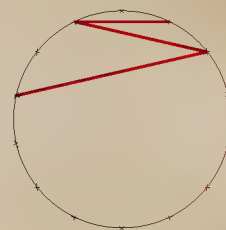
(10 5 1 6)



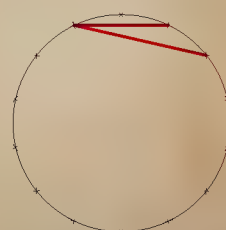
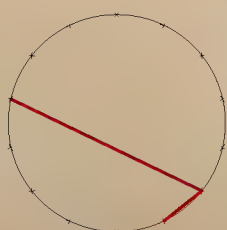
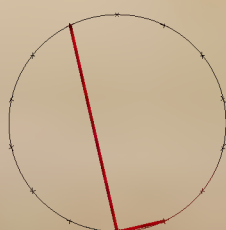
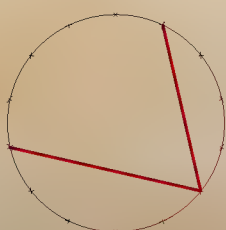
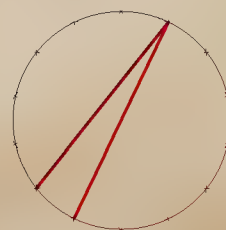
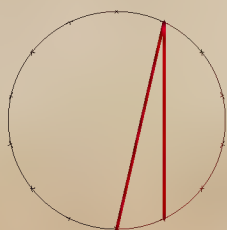
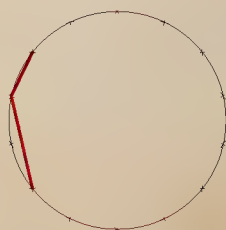
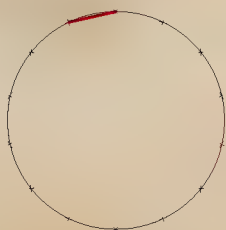
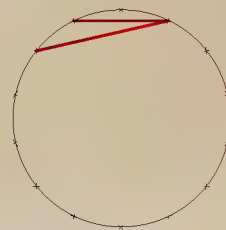
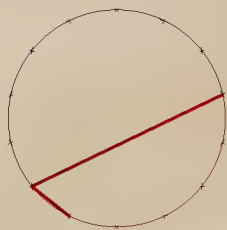
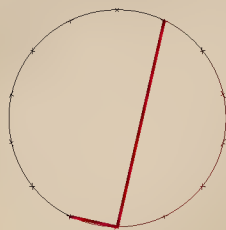
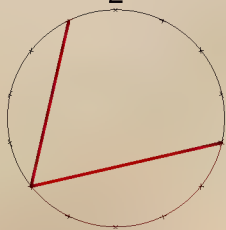
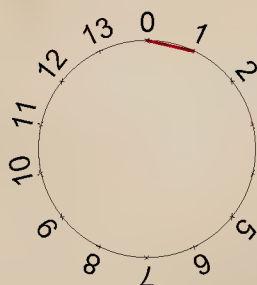
(7 13 6 5)



(11 2 13 1)



				Sum	Γ_1	Γ_2
0	1	1	2	2	2	
2	3	5	10	1	1	
8	13	7	28	10	1	
6	13	5	24	6	6	
4	9	13	26	8	8	
8	7	1	16	7	7	
8	9	3	20	2	2	
12	1	13	26	8	8	
0	13	13	26	8	8	
12	11	9	32	5	5	
6	1	7	14	5	5	
8	1	9	18	9	9	
10	5	1	16	7	7	
6	7	13	26	8	8	
6	5	11	22	4	4	
2	13	1	16	7	7	
Sum	98	112	112	322	7	7



m	$\pi(n)$	numbers of zeros in the cycle	$F_n \pmod{10}$ - cycle	Python coding
14	48		<div>0 1 1 2 3 5 8 13 7 5 13 5 4 9 13 8 7 1 8 9 3 12 1 13</div> <div>0 13 13 12 11 9 6 1 7 8 1 9 10 5 1 6 7 13 6 5 11 2 13 1</div>	

	0	1	1	2	3	5	8	13	7	6	13	5	4	9	13	8	7	1	8	9	3	12	1	13	Sum	Γ_1
	0	13	13	12	11	9	6	1	7	8	1	9	10	5	1	6	7	13	6	5	11	2	13	1	152	8
Sum	0	14	14	14	14	14	14	14	14	14	14	14	14	14	14	14	14	14	14	14	14	14	14	14	322	7

Σε 1^η φάση στον πίνακα οι αριθμοί της περιοδικής ακολουθίας $F_n \pmod{14}$ αντικαθίστανται από τα αθροίσματα των δύο προηγούμενων αριθμών ανά τη θέση από τα αριστερά προς τα δεξιά. Παρατηρείται ότι το άθροισμα 284 ταυτίζεται με το άθροισμα των γραμμάτων Θ, Ε, Ο, Σ.

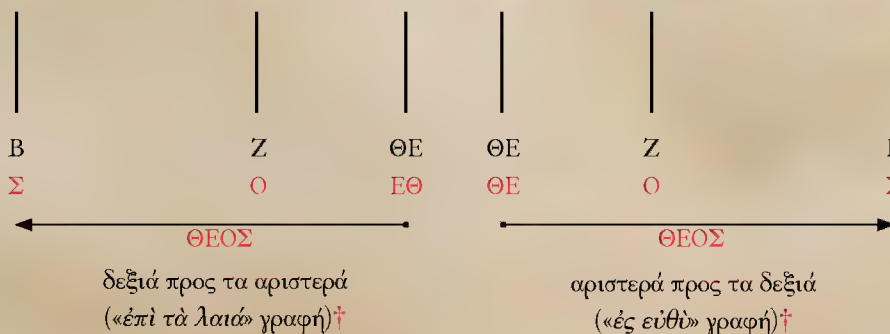
	$F_1 \pmod{14}=0, F_1 \pmod{14}+F_2 \pmod{14}=1, \dots, F_1 \pmod{14}+\dots+F_5 \pmod{14}=7, \dots,$ $F_1 \pmod{14}+\dots+F_{47} \pmod{14}=215, \dots, F_1 \pmod{14}+\dots+F_{60} \pmod{14}=280$	Sum	Γ_1	Γ_2
	<div>0 1 2 4 7 12 20 33 40 46 59 64 68 77 90 98 105 106 114 123 126 138 139 152</div> <div>152 165 178 190 201 210 216 217 224 232 233 242 252 257 258 264 271 284 290 295 306 308 321 322</div>	1624	13	4
Sum	152 166 180 194 208 222 236 250 264 278 292 306 320 334 348 362 376 390 404 418 432 446 460 474	5888	29	2
		7512	42	6

Σε 2^η φάση παρατηρείται ότι ο μέγιστος αριθμός των πυθμενικών αριθμών των γραμμάτων ΘΕΟΣ είναι το 9 αφού Θ=9, Ε=5, Ο=7, Σ=2. Επιλέγεται ως modulus 10 προς δημιουργία νέας περιοδικής ακολουθίας στον υπάρχοντα πίνακα όπου πλέον θα εμφανίζεται όλο το εύρος των πυθμενικών αριθμών από 1-9, δηλαδή Α-Θ.

	$[F_n \pmod{14}] \pmod{10}$	Sum	Γ_1	Γ_2
	<div>0 1 1 2 3 5 8 3 7 6 3 5 4 9 3 8 7 1 8 9 3 2 1 3</div> <div>0 3 3 2 1 9 6 1 7 8 1 9 0 5 1 6 7 3 6 5 1 2 3 1</div>	102	3	
		90	9	
Sum	0 4 4 4 4 14 14 4 14 14 4 14 4 14 4 14 4 14 4 14 4 4 4 4	192	12	3

Σε 3^η φάση αντικαθίστανται οι αριθμοί με τα γράμματα του ελληνικού αλφαβήτου. Εκ πρώτης όψεως παρατηρούνται τα αρχικά ΘΕ, ΑΓ, ΔΙ, ΒΒ, ΖΖ σε αποστάσεις που τις διακρίνει μία μουσική ρυθμικότητα. Τα γράμματα ΒΒ & ΖΖ σύμφωνα με τους πυθμενικούς αριθμούς ισοδυναμούν με Β=Σ και Ζ=Ο.

	$[F_n \pmod{14}] \pmod{10}$	Sum	Γ_1	Γ_2
	<div>Α Α Π Γ Ε Η Γ Ζ Ε Γ Δ Θ Γ Η Ζ Α Η Θ Γ Β Α Γ</div> <div>Γ Γ Π Α Θ Ε Α Ζ Η Α Θ Ε Α Ε Ζ Γ Ε Α Β Γ Α</div>	PB	Γ	
		Φ	Θ	
Sum	Δ Δ Δ Δ ΙΔ ΙΕ Δ ΙΔ ΙΔ Δ ΙΔ Δ ΙΔ Δ ΙΔ Δ ΙΔ ΙΔ Δ ΙΔ ΙΔ Δ Δ Δ Δ Δ Δ	PQB	IB	Γ



[†] (Βερτουδάκης, 2007, σ. 4). Αναφέρει περί της κατεύθυνσης της γραφής, επομένως η ανάγνωση ήταν εφικτή και κατά τις δύο διευθύνσεις. Από τον 5ο αι. π.Χ. και αργότερα επικράτησε η «ἐς εὐθύν» γραφή λόγω της πλειονότητας των δεξιοχείρων.

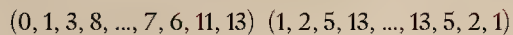
Θέση (x,y)	1	2	3	4	5	6	7	8	9
1	Α	Β	Γ	Δ	Ε	Ζ	Η	Θ	
	Α	Β	Λ	Δ	Ε	Ε	Ι	Θ	
	1	2	3	4	5	6	7	8	9
2	Ι	Κ	Λ	Μ	Ν	Ξ	Ο	Π	Φ
	Ι	Κ	Λ	Μ	Ν	Ξ	Ο	Γ	Φ
	10	20	30	40	50	60	70	80	90
3	Ρ	Σ	Τ	Υ	Φ	Χ	Ψ	Ω	Υ
	Ρ	Ξ	Τ	Υ	Φ	Χ	Ψ	Ω	8
	100	200	300	400	500	600	700	800	900

Sum	154	168	322	7
-----	-----	-----	-----	---

Sum	154	168	322	7
-----	-----	-----	-----	---

Sum	$\Pi\Delta$	PH	PQB
-----	-------------	----	-----

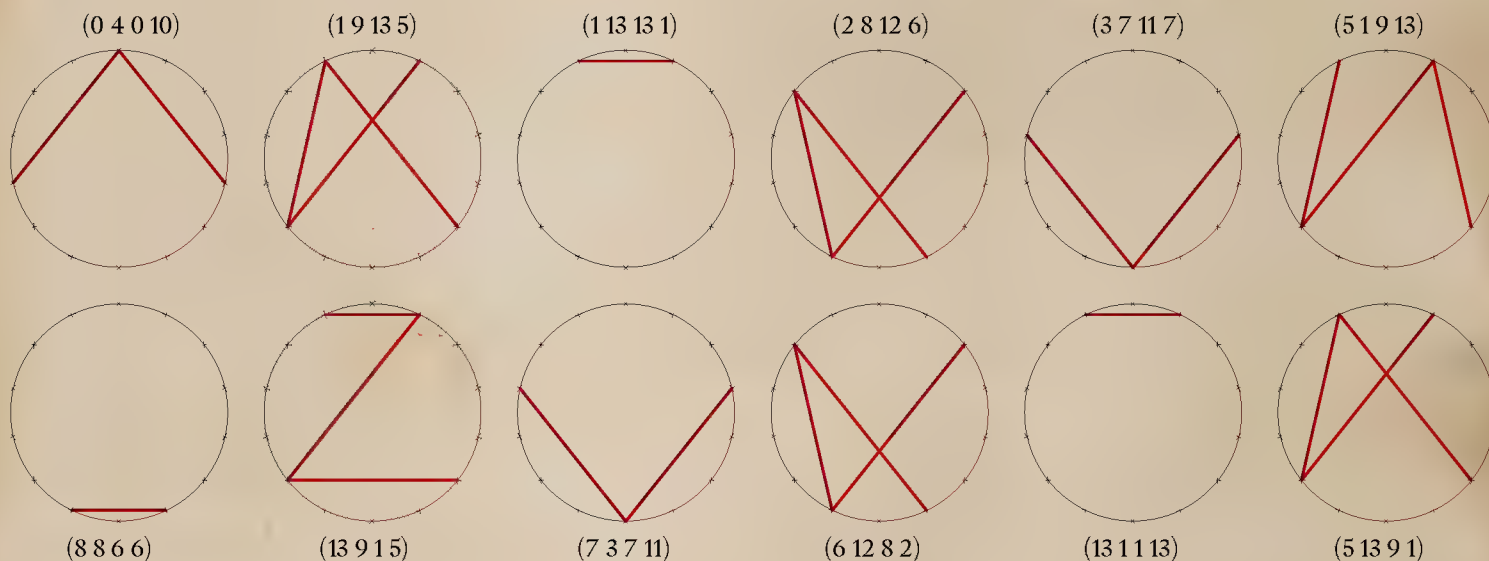
Sum	$\Pi\Delta$	PH	PQB
-----	-------------	----	-----



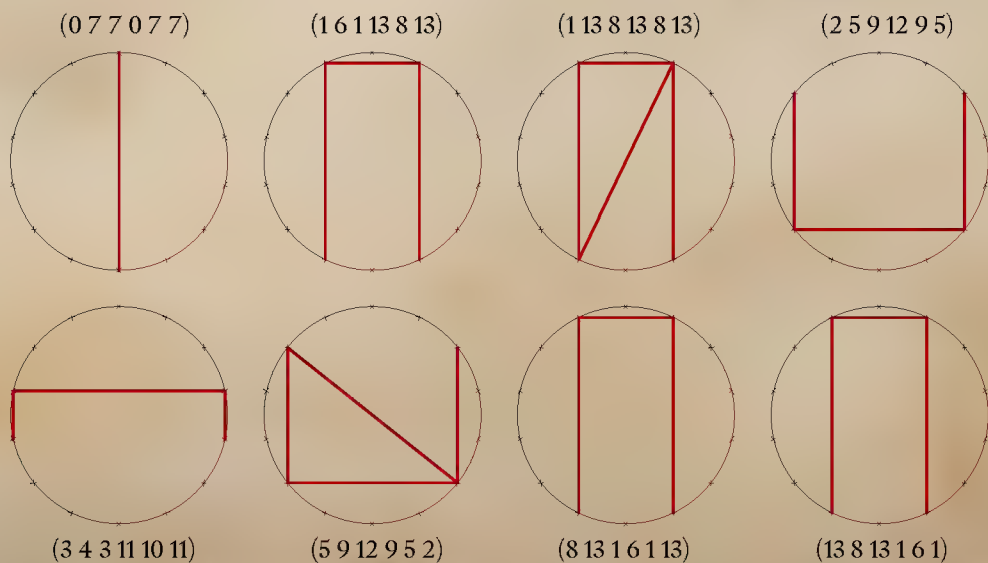
Στον πίνακα 12, σειρών και 4 γραμμών στους πυθμενικούς αριθμούς/γράμματα εμφανίζεται κατακόρυφα η λέξη ΘΕΑ, η οποία προκύπτει από τον αναγραμματισμό της κατακόρυφης ακολουθίας των γραμμάτων ΘΑΕ.

[illegible]

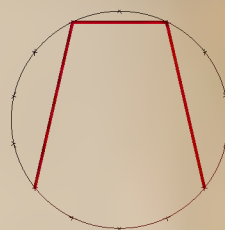
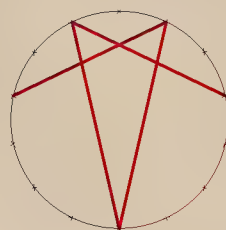
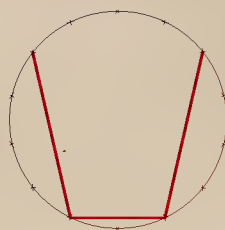
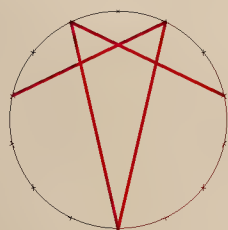
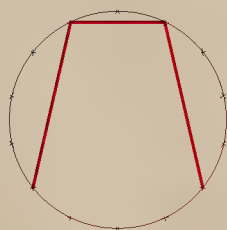
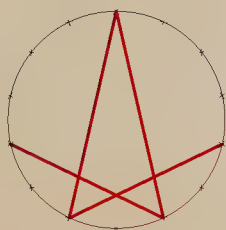
Sum	Δ	IH	H	IH	IH	IH	KH	IH	IH	IH	H	IH	PQB	Γ
-----	----------	----	---	----	----	----	----	----	----	----	---	----	-----	----------



Sum	28	42	42	42	42	42	42	42	322	7	7	Sum	KH	KB	KB	AB	IB	AB	KB	KB	PQB	Γ
-----	----	----	----	----	----	----	----	----	-----	---	---	-----	----	----	----	----	----	----	----	----	-----	----------



						Sum	Γ_1	Γ_2							Sum	Γ_1	Γ_2
0	1	1	2	3	5	12	3	3		A	A			Γ	E	1B	
8	13	7	6	13	5	52	7	7	H	Γ		\mathbb{F}	Γ			ΛB	E
4	9	13	8	7	1	42	6	6	Δ		Γ	H		A		ΛB	E
8	9	3	12	1	13	46	10	1	H	Θ	Γ		A	Γ		B \mathbb{F}	H
0	13	13	12	11	9	58	13	4		Γ	Γ		A	Θ		IH	Θ
6	1	7	8	1	9	32	5	5	\mathbb{F}	A		H	A			ΛB	E
10	5	1	6	7	13	42	6	6			A	\mathbb{F}		Γ		KB	Δ
6	5	11	2	13	1	38	11	2	\mathbb{F}	E	A		Γ	A		IH	Θ
Sum	42	56	56	56	56	322	7	7	Sum	ΛB	ΛF	K \mathbb{F}	ΛF	K \mathbb{F}	ΛF	P Θ B	
	(0 8 4 8 0 6 10)		(1 13 9 9 13 15 5)							(1 7 13 3 13 7 1 11)		(2 6 8 12 12 8 6 2)				(3 13 7 1 11 1 7 13)	(5 5 1 13 9 9 13 1)



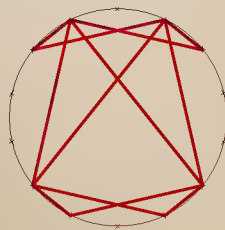
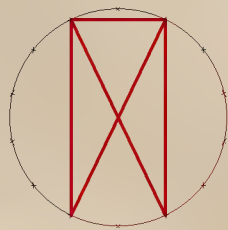
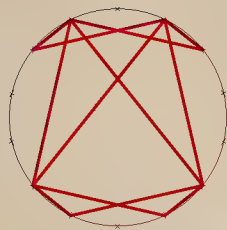
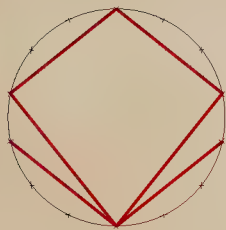
				Sum	Γ_1	Γ_2					Sum	Γ_1
0	1	1	2	4	4	4					Δ	Δ
3	5	8	13	29	11	2		Γ	E	H	Γ	$\text{I}\Theta$
7	6	13	5	31	4	4			\mathbb{F}	Γ		$\text{K}\Lambda$
4	9	13	8	34	7	7		Δ		Γ	H	$\text{K}\Delta$
7	1	8	9	25	7	7			Λ	H	Θ	KE
3	12	1	13	29	11	1		Γ		Λ	Γ	Θ
0	13	13	12	38	11	1			Γ	Γ		H
11	9	6	1	27	9	9		Λ	Θ	\mathbb{F}	Λ	IZ
7	8	1	9	25	7	7			H	Λ		KE
10	5	1	6	22	4	4				Λ	\mathbb{F}	IB
7	13	6	5	31	4	4				Γ	\mathbb{F}	$\text{K}\Lambda$
11	2	13	1	27	9	9		Λ		Γ	Λ	Z
Sum	70	84	84	322	7	7	Sum	M	$\text{N}\Delta$	$\text{M}\Delta$	$\text{N}\Delta$	$\text{P}\Theta\text{B}$

(0, 3, 7, ..., 10, 7, 11)

(1, 5, 6, ..., 5, 13, 2)

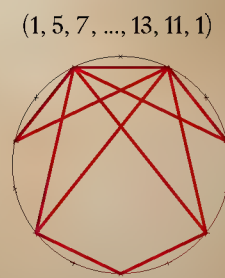
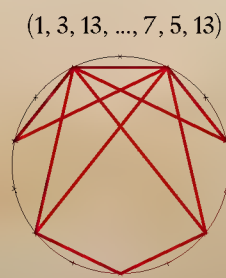
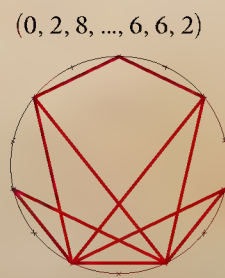
(1, 8, 13, ..., 1, 6, 13)

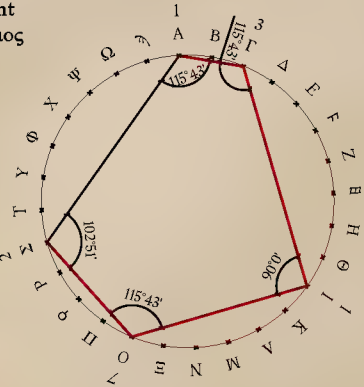
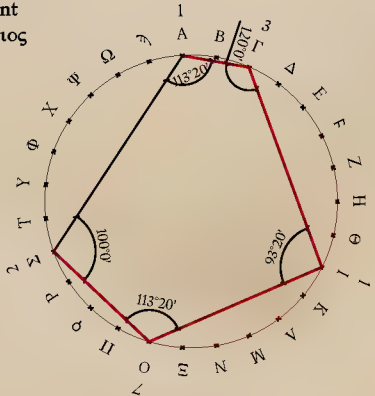
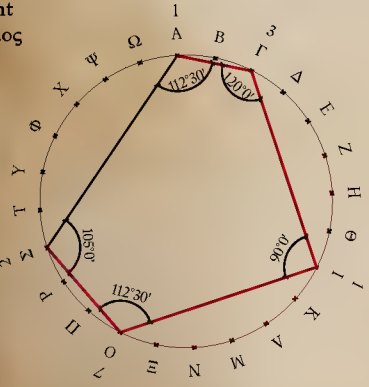
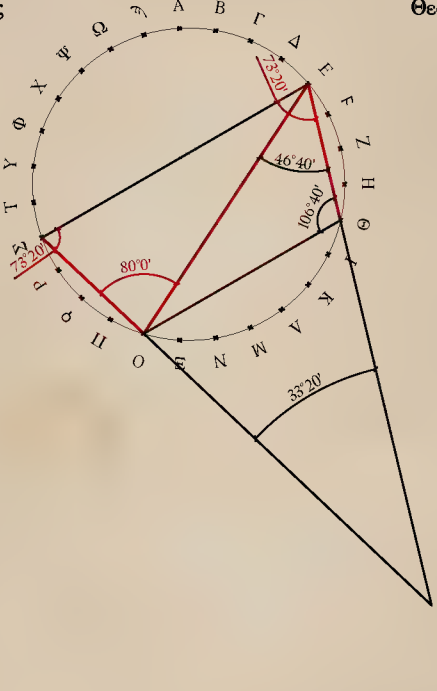
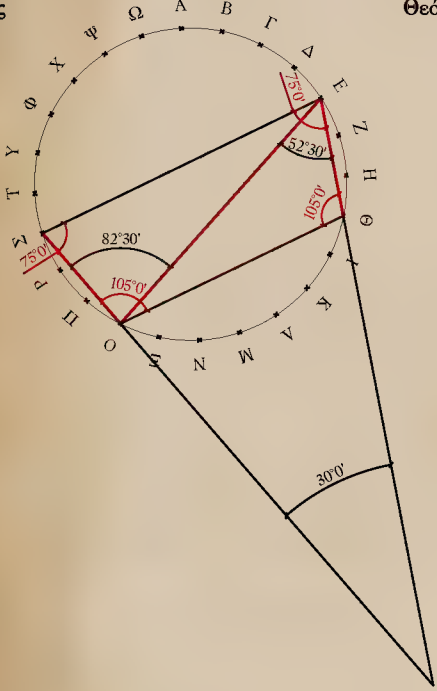
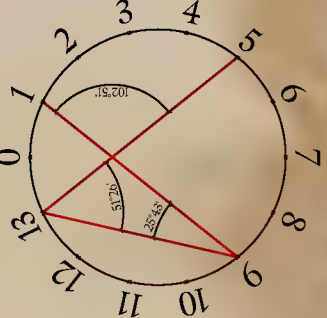
(2, 13, 5, ..., 6, 5, 1)



	Sum			Γ_1	Γ_2		Sum			Γ_1	Γ_2
0	1	1	2	2	1		A	A	B	B	A B C D E F G H I J K L M N O P Q R S T U V W X Y Z
2	3	5	10	1			Γ	E	A	A	
8	13	7	28	10		H	Γ		IH	Θ	
6	13	5	24	6		Ƒ	Γ		IΔ	E	
4	9	13	26	8		Δ		Γ	IF	Z	
8	7	1	16	7		H		A	IF	Z	
8	9	3	20	2		H	Θ	Γ	K	B	
12	1	13	26	8			A	Γ	Ƒ	Ƒ	
0	13	13	26	8			Γ	Γ	Ƒ	Ƒ	
12	11	9	32	5			A	Θ	IB	Γ	
6	1	7	14	5		Ƒ	A		IΔ	E	
8	1	9	18	9		H	A		IH	Θ	
10	5	1	16	7				A	Ƒ	Ƒ	
6	7	13	26	8		Ƒ		Γ	IF	Z	
6	5	11	22	4		Ƒ	E	A	IB	Γ	
2	13	1	16	7			Γ	A	Ƒ	Ƒ	
Sum	98	112	112	322	7	Sum	ƑH	ƑB	ƑB	ƑOƑB	Γ

Στον πίνακα 14 σειρών και 3 γραμμών στους πυθμενικούς αριθμούς/γράμματα εμφανίζεται κατακόρυφα η λέξη **ΘΕΟΣ**, η οποία προκύπτει από την ακολουθία των γραμμάτων **ΘΕΟΟΣ**. Από την πρόσθεση των πυθμενικών Γ_1 προκύπτει το άθροισμα 84, με πυθμενικό: $8+4=12$, δηλαδή $1+2=3=\Gamma=\Lambda=L=T$.





255

[illegible]
$$F_1(\bmod 71)=0, F_1(\bmod 71)+F_2(\bmod 10)=1, \dots, F_1(\bmod 71)+\dots+F_5(\bmod 71)=7, \dots, \\ F_1(\bmod 71)+\dots+F_{47}(\bmod 71)=215, \dots, F_1(\bmod 71)+\dots+F_{60}(\bmod 71)=280$$
[illegible]

$[F_n \pmod{71}] \pmod{8}$																																				
0	1	1	2	3	5	0	5	5	2	7	2	2	4	6	2	0	3	4	7	4	4	0	4	5	1	6	0	7	7	6	6	5	3	1	120	3
5	6	3	2	6	1	7	0	0	1	1	2	4	7	4	3	7	3	3	7	2	1	4	5	2	0	2	2	5	7	5	4	2	6	1	120	3
5	7	4	4	9	6	7	5	5	3	8	4	6	11	10	5	7	6	7	14	6	5	4	9	7	1	8	2	12	14	11	10	7	9	2	240	6

Θέση (x,y)	1	2	3	4	5	6	7	8	9
1	Α	Β	Γ	Δ	Ε	Ζ	Η	Θ	
	Α	Β	Λ	Δ	Ε	Ε	Ι	Θ	Θ
	1	2	3	4	5	6	7	8	9
2	Ι	Κ	Λ	Μ	Ν	Ξ	Ο	Π	Ρ
	Ι	Κ	Λ	Μ	Ν	Ξ	Ο	Π	Ρ
	10	20	30	40	50	60	70	80	90
3	Ρ	Σ	Τ	Υ	Φ	Χ	Ψ	Ω	⌘
	Ρ	Σ	Τ	Υ	Φ	Χ	Ψ	Ω	⌘
	100	200	300	400	500	600	700	800	900

[F _n (mod 71)](mod 8)																												Sum	□										
	A	A	B	Γ	E		E	E	B	Z	B	B	Δ	Γ	B		Γ	Δ	Z	Δ	Δ		Δ	E	A	Γ		Z	Z	Γ	Γ	Γ	A	PK	Γ				
	E	Γ	Γ	B	Γ	A	Z			A	A	B	Δ	Z	Δ	Γ	Z	Γ	Γ	Z	B	A	Δ	E	B		B	B	E	Z	E	Δ	B	Γ	A	PK	Γ		
Sum	E	Z	Δ	Δ	Θ	Γ	Z	E	E	Γ	H	Δ	Γ	I	E	Z	Γ	Z	I	Δ	Γ	E	Δ	Θ	Z	A	H	B	IB	I	Δ	I	A	I	Z	Θ	B	ΣM	Γ

[F _n (mod 71)](mod 8)																														Sum	Γ						
	A	A	B	Γ	E		E	E	B	Z	B	B	Δ	F	B		Γ	Δ	Z	Δ	Δ		Δ	E	A	F		Z	Z	F	F	<div></div>	Γ	A	PK	Γ	
	E	F	Γ	B	F	A	Z			A	A	B	Δ	Z	Δ	Γ	Z	Γ	Γ	Z	B	A	Δ	E	B		B	B	E	Z	E	Δ	B	F	A	PK	Γ
Sum	E	Z	Δ	Δ	Θ	F	Z	E	E	Γ	H	Δ	F	IA	I	E	Z	F	Z	IA	F	E	Δ	Θ	Z	A	H	B	IB	IA	IA	I	Z	Θ	B	ΣM	<div></div>

Εκ πρώτης όψεως παρατηρείται ο σχηματισμός του λεξικού μορφήματος ΧΑΟ- που σημαίνει ΧΑΟΣ. Προκειμένου, να εξεταστεί αν εμφανίζεται αλλού η λέξη ΧΑΟΣ, αντικαθίστανται τα ακόλουθα γράμματα με βάση την πυθμενική τους αξία, σύμφωνα με τον καθορισμό (γ) της περίπτωσης (†) γράμματα εν παρατάξει (από υπόθεση). Η εναλλαγή αυτή των γραμμάτων επιλέχθηκε, επειδή εμφανίζεται ο αριθμός 876 κατά την άθροιση των στοιχείων του πίνακα, ο οποίος εμφανίζεται και κατά το άθροισμα των γραμμάτων ΧΑΕΟΣ, αφού Χ=600, Α=1, Ε=5, Ο=70, Σ=200

F=X, B=IA=Σ, Z=O, IA=E, I=A, IB=Γ, PB

[F _n (mod 71)](mod 8)																														Sum	Γ ₁						
	A	A	Σ	Γ	E		E	E	Σ	O	Σ	Σ	Δ	X	Σ		Γ	Δ	O	Δ	Δ		Δ	E	A	X		O	O	X	X	Γ	Γ	A	PB	Γ	
E	X	Γ	Σ	X	A	O			A	A	Σ	Δ	O	Δ	Γ	O	Γ	Γ	O	Σ	A	Δ	E	Σ		Σ	Σ	E	O	E	Δ	Σ	X	A	PB	Γ	
Sum	E	O	Δ	Δ	Θ	X	O	E	E	Γ	H	Δ	X	Σ	A	E	O	X	Z	E	X	E	Δ	Θ	O	A	H	Σ	Γ	P	Σ	A	O	Θ	Σ	ΣM	X

$[F_n(\text{mod } 71)](\text{mod } 8)$														Sum	Γ_1
0	1	1	2	3	5	0	5	5	2	7	2	2	4	39	3
6	2	0	3	4	7	4	4	0	4	5	1	6	0	46	1
7	7	6	6	3	1	5	6	3	2	6	1	7		65	2
0	0	1	1	2	4	7	4	3	7	3	3	7	2	44	3
1	4	5	2	0	2	2	5	7	5	4	2	6	1	46	3
Sum	14	14	13	14	14	21	14	23	21	21	14	22	14	240	6

$[F_n(\text{mod } 71)](\text{mod } 8)$														Sum	Γ_1
	A	A	Σ	Γ	E		E	E	Σ	O	Σ	Σ	Δ	ΛΘ	Γ
X	Σ		Γ	Δ	O	Δ			Δ	E	A	X		MF	Α
O	O	X	X	Γ	Γ	A	E	X	Γ	Σ	X	A	O	FE	Σ
		A	A	Σ	Δ	O	Δ	Γ	O	Γ	Γ	O	Σ	MΔ	Γ
A	Δ	E	Σ		Σ	Σ	E	O	E	Δ	Σ	X	A	MF	Γ
Sum	E	E	E	E	E	Γ	E	Γ	Γ	Γ	E	Δ	E	ΣM	X

$[F_n(\text{mod } 71)](\text{mod } 8)$														Sum	Γ_1
	A	A	Σ	Γ	E		E	E	Σ	KΔ	X				
O	Σ	Σ	Δ	X	Σ		Γ	Δ	O	ΛZ	A				
Δ	Δ		Δ	Γ	A	X			O	ΛH	Σ				
X	X	Γ	Γ	A	E	X	Γ	Σ	X	MΓ	O				
A	O			A	A	Σ	Δ	O	Δ	KZ	Θ				
Γ	O	Γ	Γ	O	Σ	A	Δ	E	Σ	ΛZ	A				
	Σ	Σ	E	O	E	Δ	Σ	X	A	ΛΔ	O				
Sum	Γ	Σ	Δ	Γ	Γ	Γ	A	Γ	Θ	Σ	ΣM	X			

$[F_n(\text{mod } 71)](\text{mod } 8)$														Sum	Γ_1
0	1	1	2	3	5	0	5	5	2	24	6				
7	2	2	4	6	2	0	3	4	7	37	1				
4	4	0	4	5	1	6	0	7	7	38	2				
6	6	5	3	1	5	6	3	2	6	43	7				
1	7	0	0	1	1	2	4	7	4	27	9				
3	7	3	3	7	2	1	4	5	2	37	1				
0	2	2	5	7	5	4	2	6	1	34	7				
Sum	21	29	13	21	30	21	19	21	36	29	240	6			

$[F_n(\text{mod } 71)](\text{mod } 8)$		Sum	Γ_1
0	1	1	
1	2	3	
3	5	8	
0	5	5	
5	2	7	
7	2	9	
2	4	6	
6	2	8	
0	3	3	
4	7	11	
4	4	8	
0	4	4	
5	1	6	
6	0	6	
7	7	14	5
6	6	12	3
5	3	8	
1	5	6	
6	3	9	
2	6	8	
1	7	8	
0	0	0	
1	1	2	
2	4	6	
7	4	11	2
3	7	10	1
3	3	6	
7	2	9	
1	4	5	
5	2	7	
0	2	2	
2	5	7	
7	5	12	
4	2	6	
6	1	7	
119	121		

$[F_n(\text{mod } 71)](\text{mod } 8)$		Sum	Γ_1
	A	A	
A	Σ	Γ	
Γ	E	H	
	E	E	
E	Σ	O	
O	Σ	Θ	
Σ	Δ	X	
X	Σ	H	
	Γ	Γ	
Δ	O	Σ	
Δ	Δ	H	
	Δ	Δ	
E	A	X	
X		X	
O	O	IA	E
X	X	IB	Γ
F	Γ	H	
A	E	X	
X	Γ	Θ	
Σ	X	H	
A	O	H	
A	A	Σ	
Σ	Δ	X	
O	Δ	IA	Σ
Γ	O	I	A
A=Γ	Γ	X	
O	Σ	Θ	
A	Δ	E	
E	Σ	O	
	Σ	Σ	
Σ	E	E	
O	E	IB	Γ
Δ	Σ	X	
X	A	O	
PIΘ	PKA	ΣM	



Παρατηρήσεις & Σχολιασμοί

257

[F _n (mod 71)](mod 8)							Sum	Γ ₁
0	1	1	2	3	5	0	12	3
5	5	2	7	2	2	4	27	9
6	2	0	3	4	7	4	26	8
4	0	4	5	1	6	0	20	2
7	7	6	6	5	3	1	35	8
5	6	3	2	6	1	7	30	3
0	0	1	1	2	4	7	15	6
4	3	7	3	3	7	2	29	2
1	4	5	2	0	2	2	16	7
5	7	5	4	2	6	1	30	3
Sum 37 35 34 35 28 43 28 240								6

[F _n (mod 71)](mod 8)							Sum	Γ ₁
	Α	Α	Σ	Γ	Ε		IB	Γ
Ε	Ε	Σ	Ο	Σ	Σ	Δ	KZ	Θ
Χ	Σ		Γ	Δ	Ο	Δ	KF	Η
Δ		Δ	Ε	Α	Χ		K	Σ
Ο	Ο	Χ	Χ	Γ	Α		ΛΕ	Η
Ε	Χ	Γ	Χ	Χ	Α	Ο	Λ	Γ
	Α	Α	Σ	Δ	Ο		ΙΕ	Χ
Δ	Γ	Ο	Α=Γ	Γ	Ο	Σ	KΘ	Σ
Α	Δ	Ε	Σ		Σ	Σ	Ι	Ο
Ε	Ο	Ε	Δ	Σ	Χ	Α	Λ	Γ
Sum Α Η Ο Η Α Ο Α ΣΜ								Χ

[F _n (mod 71)](mod 8)							Sum	Γ ₁
0	1	1	2	3			7	7
5	0	5	5	2			17	8
7	2	2	4	6			21	3
2	0	3	4	7			16	7
4	4	0	4	5			17	8
1	6	0	7	7			21	3
6	6	3	3	1			21	3
5	6	3	2	6			22	4
1	7	0	0	1			9	9
1	2	4	7	4			18	9
3	7	3	3	7			23	5
2	1	4	5	2			14	5
0	2	2	5	7			16	7
5	4	2	6	1			18	9
Sum 42 48 34 57 59 240								6

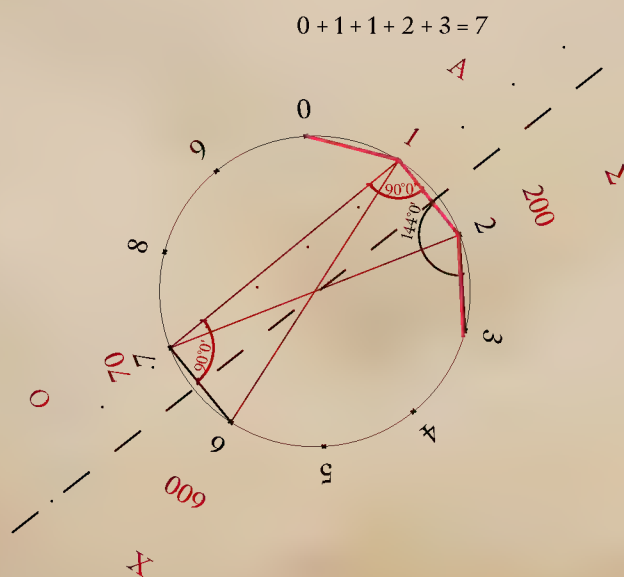
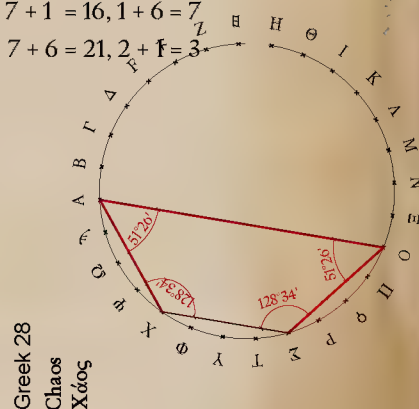
[F _n (mod 71)](mod 8)							Sum	Γ ₁
	Α	Α	Σ	Γ			Z	Ο
Ε		Ε	Ε	Σ			IZ	Η
Ο	Σ	Σ	Δ	Χ			KA	Γ
Σ		Γ	Δ	Ο			IF	Ο
Δ	Δ		Δ	Ε			IZ	Η
Α	Χ		Ο	Χ			KA	Γ
Χ	Χ	Γ	Γ	Α			KA	Γ
Ε	Χ	Γ	Σ	Χ			KB	Δ
Α	Ο			Α			Θ	Θ
Α	Σ	Δ	Ο	Δ			IH	Θ
Γ	Ο	Γ	Γ	Ο			KΓ	Ε
Σ	Α	Δ	Ε	Σ			IF	Ε
	Σ	Σ	Ε	Ο			IF	Ο
Ε	Δ	Σ	Χ	Α			IH	Θ
Sum Χ Γ Ο Γ Ε ΣΜ								Χ

Στους παραπάνω πίνακες/μητρώα εμφανίζονται οι λέξεις **ΧΑΟΣ**, **ΧΑΕΟΣ**, **ΛΟΓΟΣ**, **ΘΕΟΣ** κατόπιν αναγραμματισμών† από τις ακολουθίες των γραμμάτων {Σ,Χ,Α,Ο}, {Χ,Σ,Α,Ε,Ο} και {Ο,Α,Γ,Ο,Σ}. Οι λέξεις αυτές εμφανίζονται στην πυθαγόρεια ρήση ως «έν αρχῇ ἦν ὁ λόγος καὶ ὁ λόγος ἦν πρὸς τὴν συμμετρίαν καὶ συμμετρία ἦν ὁ λόγος»‡ και στα ακόλουθα χωρία του έργου «Θεογονία» του Ησιόδου:

- 116 «Ἡ τοι μὲν πρώτιστα **Χάος** γένετ', [...]
123 ἐκ **Χάος** δ' Ἑρεβός τε μέλαινά τε Νύξ ἐγένοντο [...]

- ΧΑΟΣ = 871 - Πυθμενικός αριθμός: 8 + 7 + 1 = 16, 1 + 6 = 7
ΧΑΕΟΣ = 876 - Πυθμενικός αριθμός: 8 + 7 + 6 = 21, 2 + 1 = 3

Παρατηρείται ότι ο πυθμενικός αριθμός 7 της λέξης ΧΑΟΣ ισούται με το άθροισμα των πρώτων 5 ψηφίων (0,1,1,2,3) της ακολουθίας αυτής, αλλά και των υπολοίπων ακολουθιών όπως έχει αποδειχθεί. Από τη γεωμετρική διερεύνηση της αναγωγής σε κύκλο με σημεία τα 0,1,2,3,4,5,6,7,8,9 φαίνεται σαν να περικλείεται το νόημα του στίχου 116 του έργου της «Θεογονίας» ότι «πρώτα από όλα ήταν το Χάος,» λόγω του ισοσκελούς τραπεζίου που εμφανίζεται στα 24, 27 και 28 γράμματα του ελληνικού αλφαβήτου. Στην παρατήρηση αυτή το εντυπωσιακό είναι η παράλληλη εμφάνιση: (α) των λέξεων **ΘΕΟΣ** & **ΛΟΓΟΣ** στο μητρώο των 35 σειρών και 2 στηλών, (β) των λέξεων **ΧΑΟΣ** & **ΛΟΓΟΣ** στο μητρώο των 10 σειρών και 7 στηλών, και (γ) των λεξικών (λεξιλογικών) μορφημάτων **ΧΑΟ**- & **ΘΕΟ**- στο μητρώο 14 σειρών και 5 στηλών.



† (Embleton κ.α., 1999, σ. 145). "Among the reflections Saussure recorded while pursuing anagrams is the following: "Nowhere do things flourish which are not a combination of inert elements, and nowhere can we perceive matter as other than that constant nourishment which thought directs, regulates, and controls, but on which it is dependent" Sheila Embleton, John Joseph, Hans-Josef Niederehe

- The Emergence of the Modern Language Sciences Studies on the Transition from Historical-comparative to Structural Linguistics in Honour of E.F.K.

‡ (Σπυρίδης, 2; n.d.)

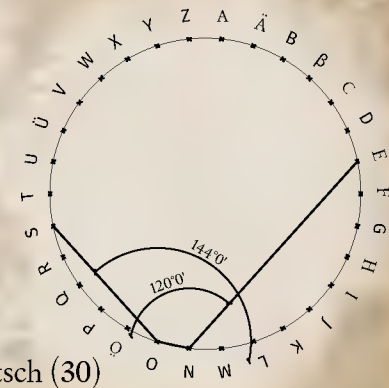
Finnish (29)

aurinko



English (26)

sun

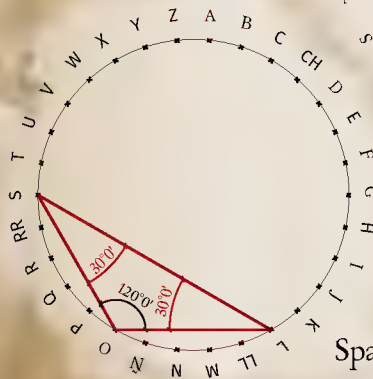


Deutsch (30)

sonne

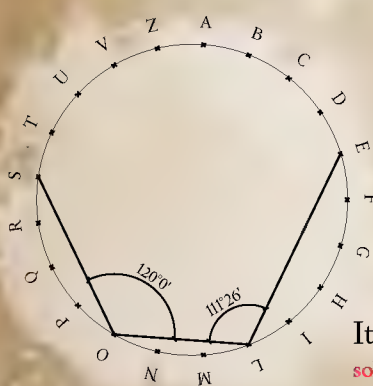
Basque (27)

eguzkia



Spanish (30)

sol



Italian (21)

sole



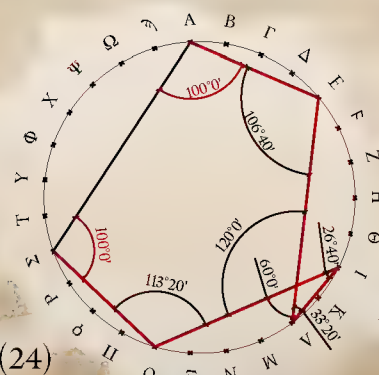
Latin (23)

söl



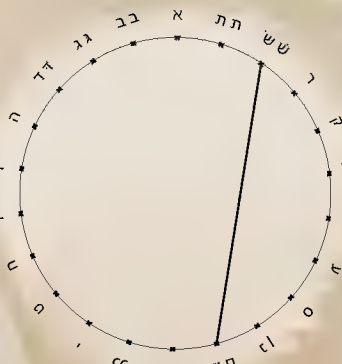
Greek (24)

ἥλιος



Ancient Greek (27)

ἥλιος



Hebrew (22)

שמש

Arabic (Hijā'ī - 28)

شمس - الشمس / شمس - شمس

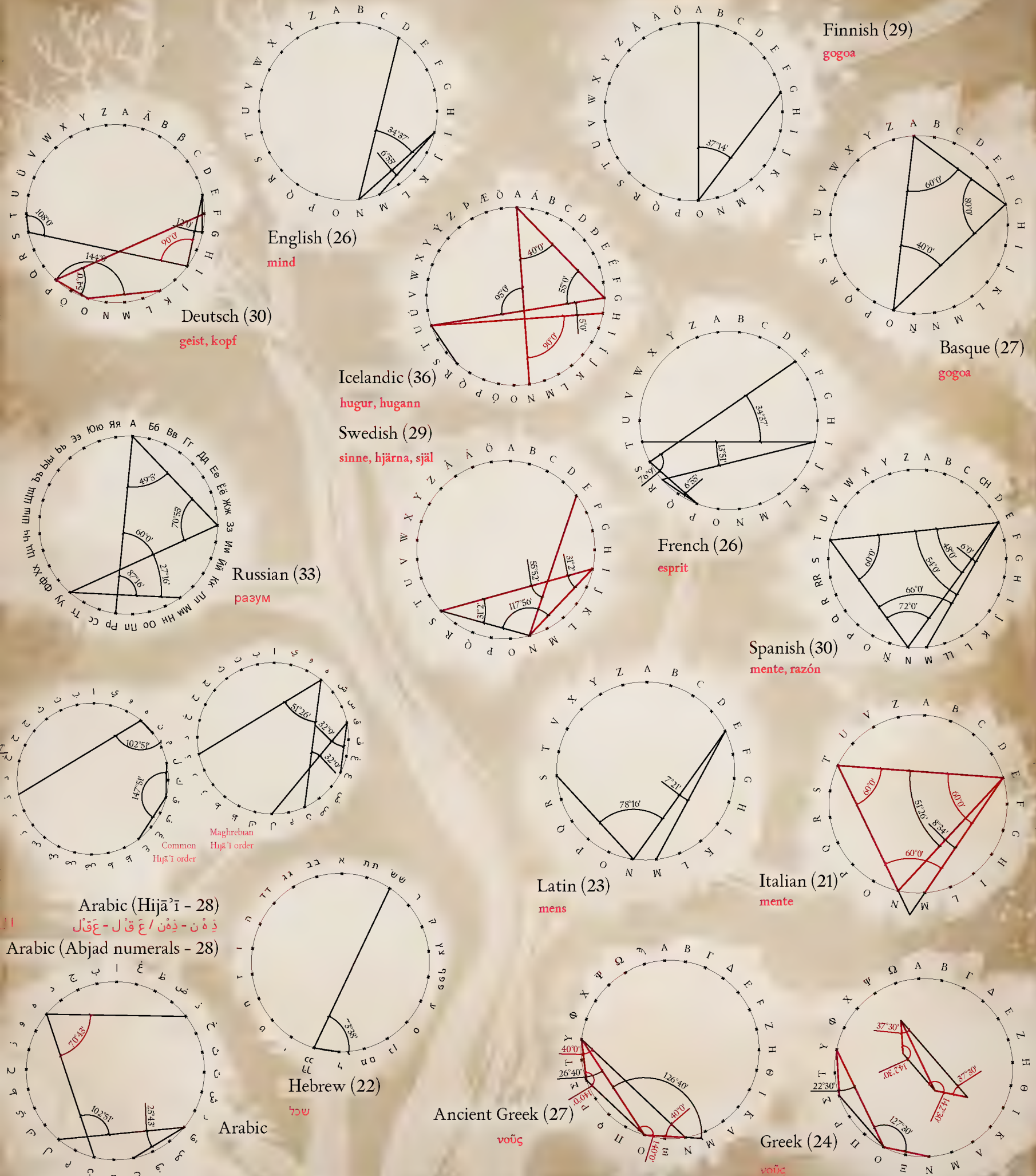
Arabic (Abjad numerals - 28)



Arabic

Maghrebian
Hijā'ī orderCommon
Hijā'ī order

14 Alphabets. Language family tree - Mind, Nous



کردون اولیست اندو قور او بر و ذبیحانه بسبب و ستان او قمر و منیر در اعلی درجه متحرک اند و دو ستاره عطار و دو شمع

در حقیقت که اینها است

در حقیقت



The Sun,
four-armed and cross-
legged sitting on a
throne, with two nimbi
(emanations of light
surrounding a saint or
deity) encompass the
face and with two lions
sitting either side, from
Persian Manuscript
373



From an alchemical illuminated manuscript, the conjunction of the moon and sun or silver and gold, represented by a queen and king. She stands on the full moon, he stands on fire. *Splendor Solis*. 1582. British Library.

Finnish (29)

valo



English (26)

light

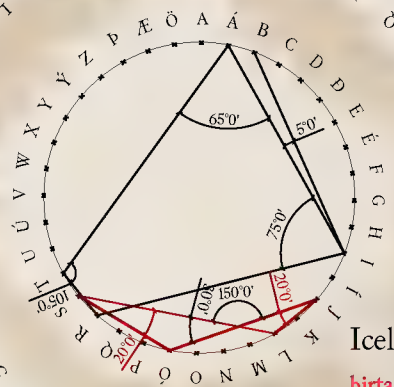


Deutsch (30)

Licht, Helligkeit

Basque (27)

argia



Icelandic (36)

birta, ljós

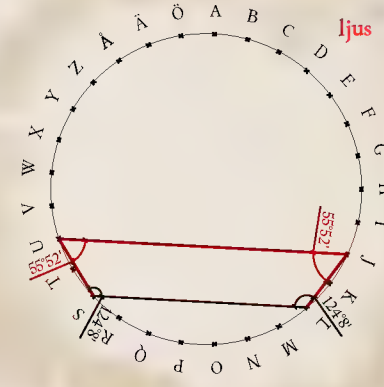
Swedish (29)

ljus



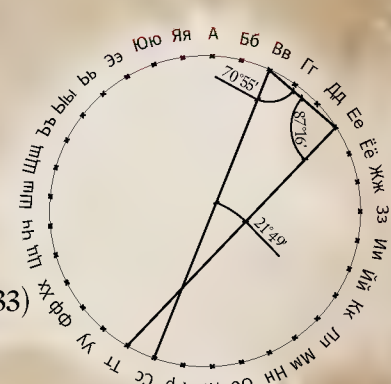
French (26)

lumière



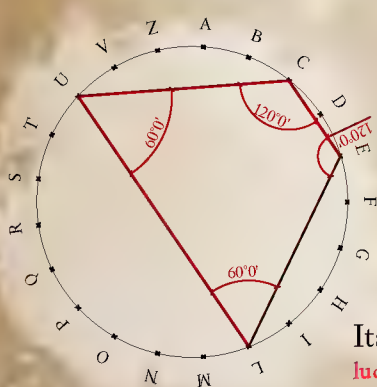
Russian (33)

СВЕТ



Spanish (30)

luz



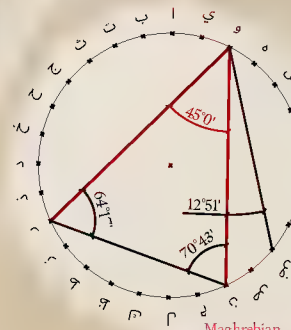
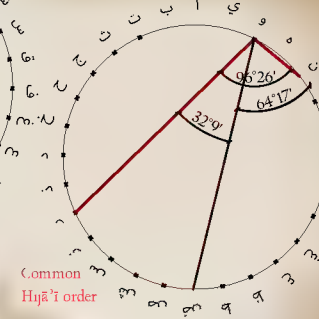
Italian (21)

luce



Latin (23)

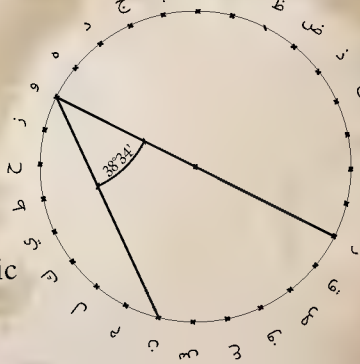
lūx, lumen

Maghrebian
Hijā'i orderCommon
Hijā'i order

Hebrew (22)

אור

Arabic



Arabic (Hijā'i - 28)

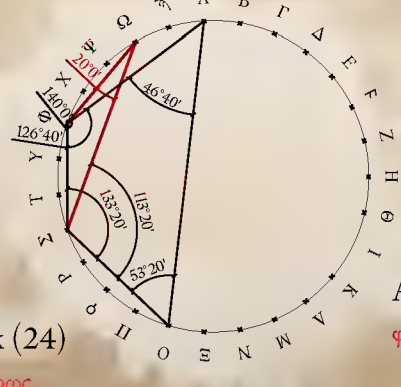
ن و ر - نور / ض و ع - ضوء

Arabic (Abjad numerals - 28)



Greek (24)

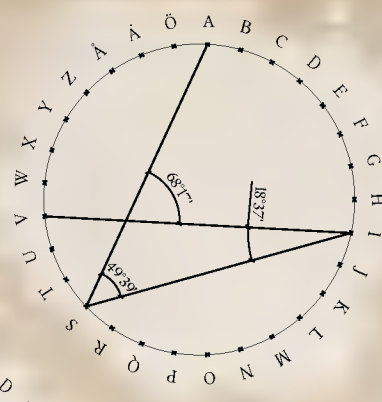
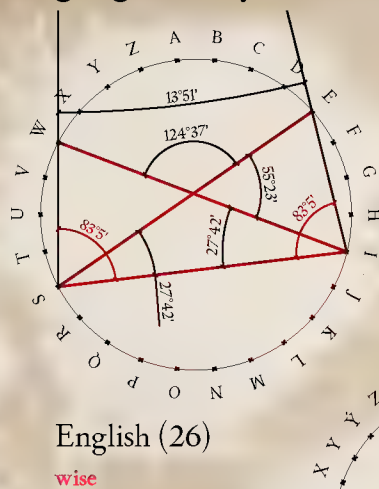
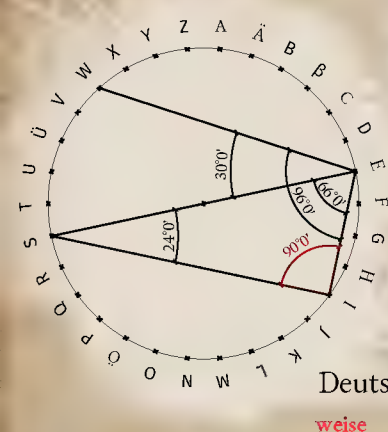
φῶς, φως



Ancient Greek (27)

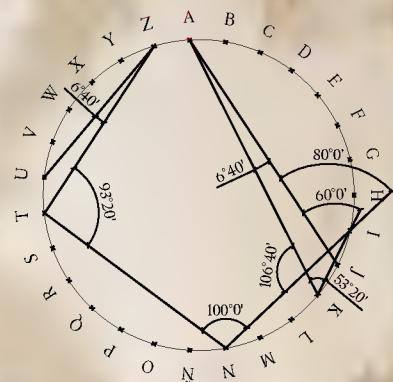
φῶς, φως

14 Alphabets. Language family tree - Wise, Σοφός



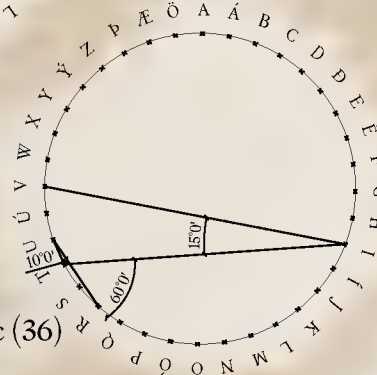
Finnish (29)

viisas



Basque (27)

jakintsu

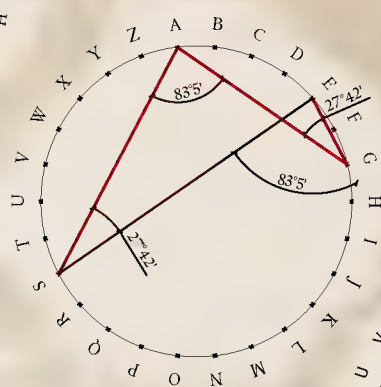


Icelandic (36)

vitur

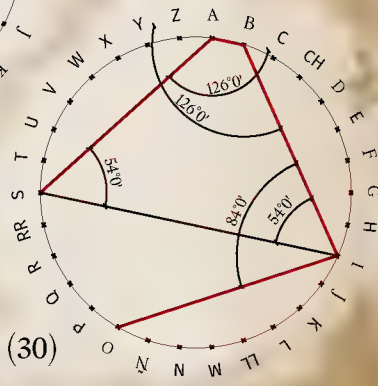
Swedish (29)

vis



French (26)

sage



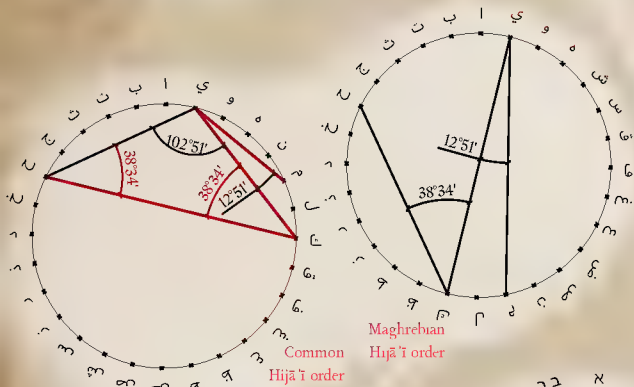
Spanish (30)

sabio/a



Russian (33)

мудрый



Maghrebian

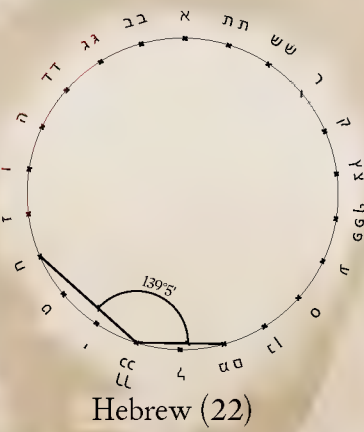
Common

Hijā'i order

Arabic (Hijā'i - 28)

حكيمة - حكيمة

Arabic (Abjad numerals - 28)

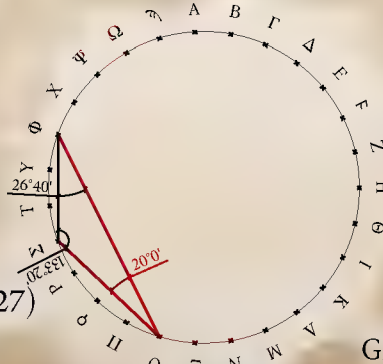


Hebrew (22)

חכם

Ancient Greek (27)

σοφός

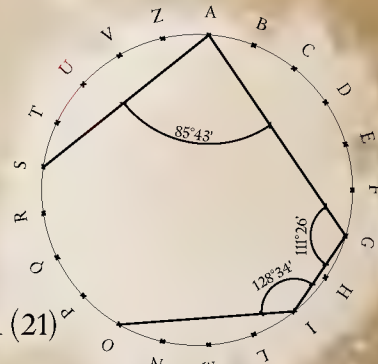


Ancient Greek (27)

σοφός

Italian (21)

saggio

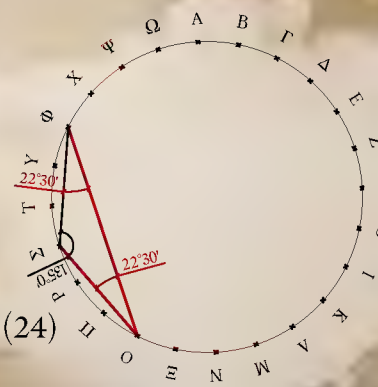


Italian (21)

saggio

Greek (24)

σοφός

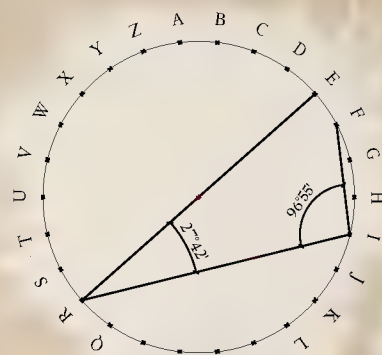


Greek (24)

σοφός

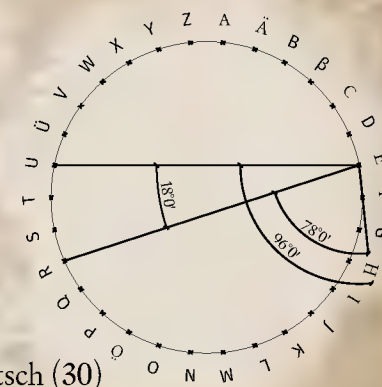
Finnish (29)

tuli



English (26)

fire

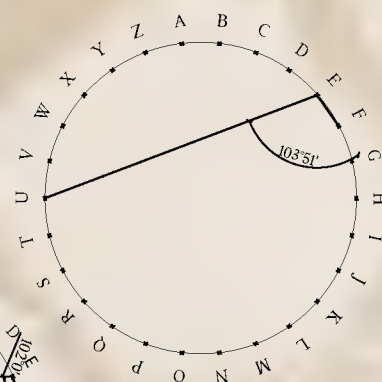
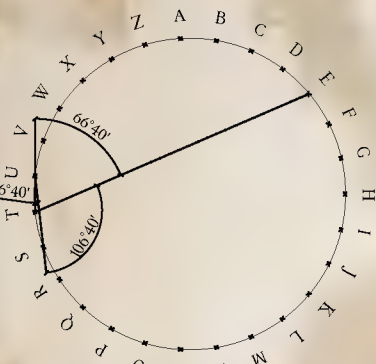


Deutsch (30)

feuer

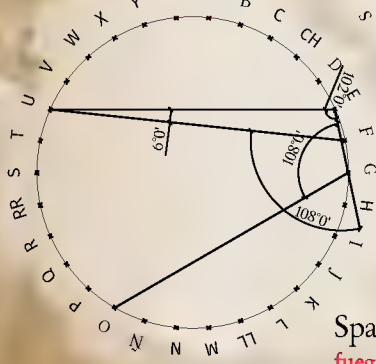
Basque (27)

sute



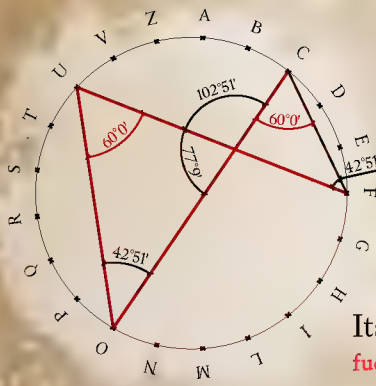
French (26)

feu



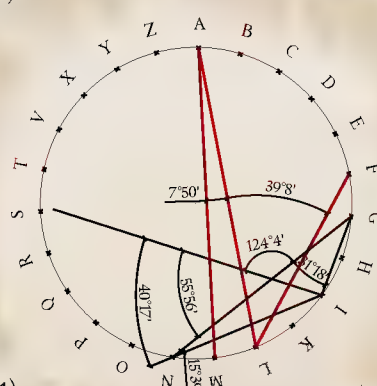
Spanish (30)

fuego



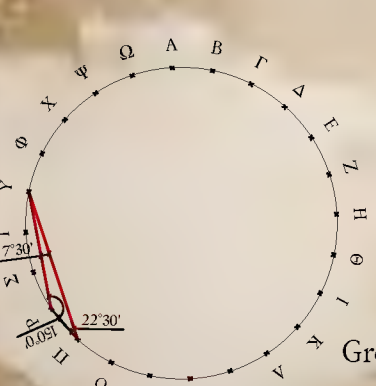
Italian (21)

fuoco



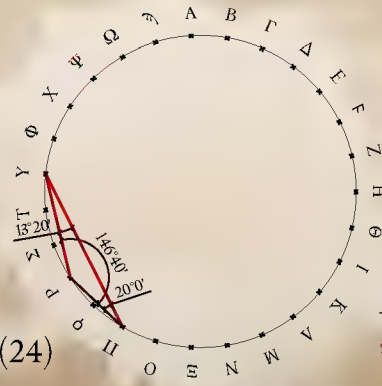
Latin (23)

ignis, flamma



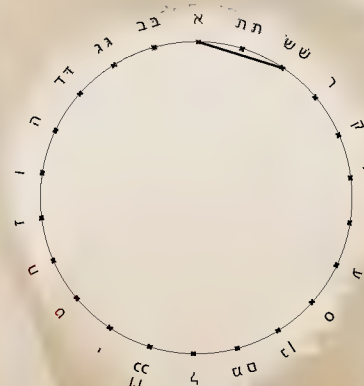
Greek (24)

πῦρ



Ancient Greek (27)

πῦρ



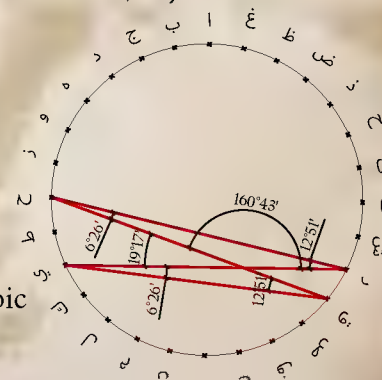
Hebrew (22)

שָׂרָא

Arabic (Hijā'ī - 28)

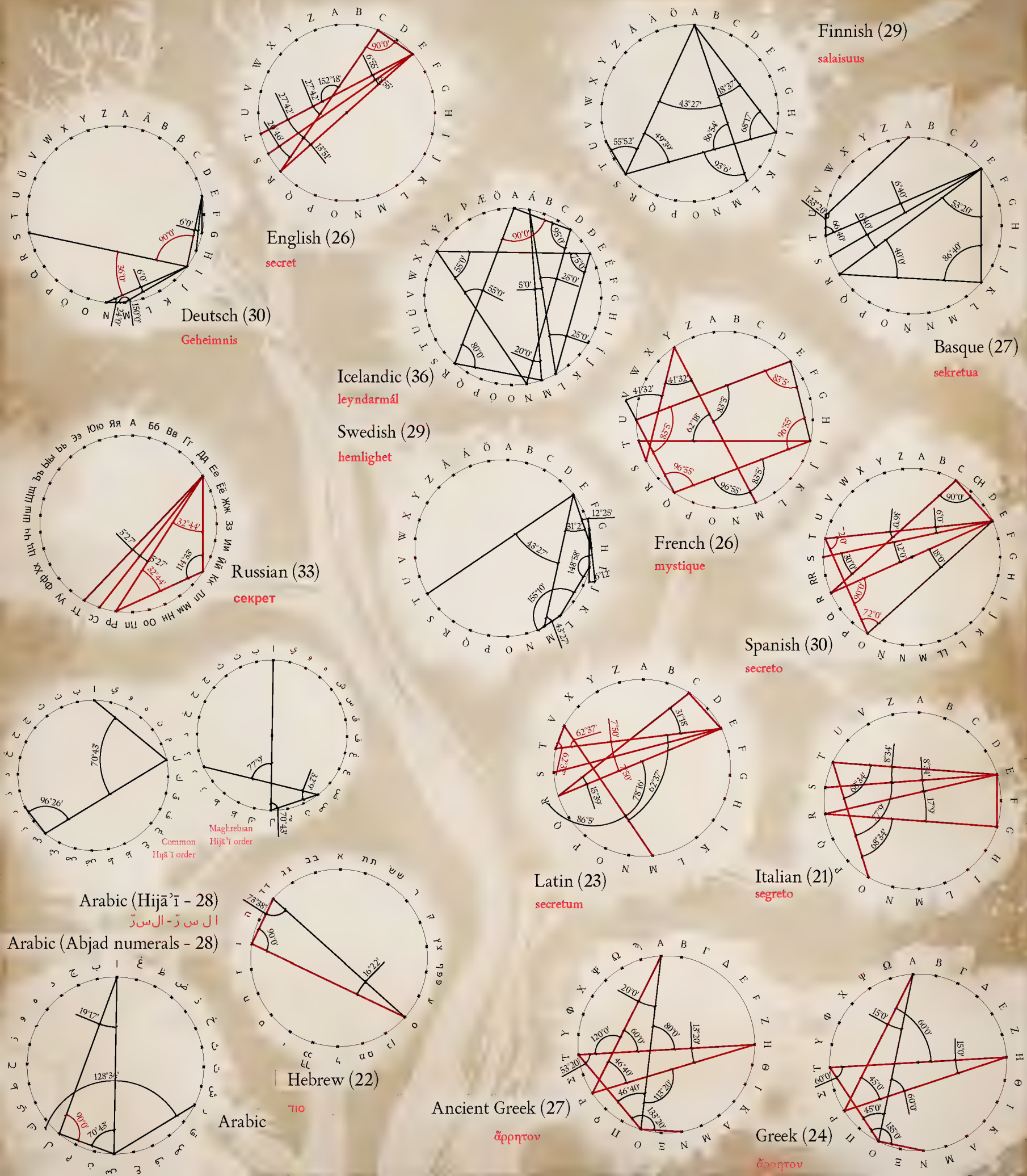
حَرِيق - خَرِيق / نَار - نار

Arabic (Abjad numerals - 28)

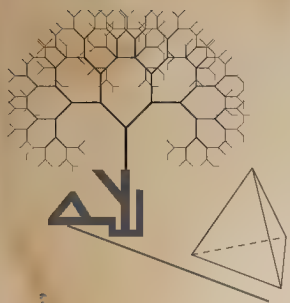


Arabic

14 Alphabets. Language family tree - Secret, Μυστικό

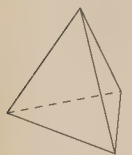


FIRE ΠΥΡ ΦΩΤΙΑ



Στην ελληνική και σανσκριτική μυθολογία το πυρ θεωρείται ως η γνώση των Θεών. Σε αυτή την περίπτωση το 'P' τροφοδοτεί μία 'πηγή' όπου αναπτύσσεται σε δενδρική διάταξη μία ιδέα.

Τετράεδρο {3, 3} σε όψη (άνω σχήμα), προοπτικό (μεσαίο) και ανάπτυγμα (κάτω). Πλατωνικό στερεό - Πυρ, "Τίμαιος" 56[a-c]



Το στοιχείο της φωτιάς από τους αρχαιότερους χρόνους θεωρείται ιερό. Ο έλεγχος της φωτιάς από τους πρώτους ανθρώπους ήταν η μεγαλύτερη ανακάλυψη μέσω της οποίας εκκινήθηκε η εξέλιξη του ανθρώπινου είδους. Η φωτιά συνέβαλλε στην προστασία από τα στοιχεία της φύσης (ζεστασιά και φύλαξη από σαρκοφαγα ζώα), στην κίνηση των πρωτόγονων ομάδων στο σκοτάδι, στη δημιουργία προηγμένων εργαλείων κυνηγιού και στη δημιουργία μίας νέας μεθόδου μαγειρέματος. Αυτές οι πολιτιστικές εξελίξεις προκάλεσαν την ανθρωπογεωγραφική διασπορά, πολιτιστικές καινοτομίες, αλλαγές στη διατροφή και την κοινωνική συμπεριφορά.

Στις μυθολογίες των πολιτισμών συνδέεται με το στοιχείο της γνώσης, στις θρησκευτικές παραδόσεις με την κάθαρση και την αναγέννηση. Ίσως, ως ένας ελάχιστος σιωπηρός φόρος τιμής στο στοιχείο της φωτιάς, σ' εκείνο το στοιχείο που έθεσε τη βάση για την ανάπτυξη του πολιτισμού.

«Κ' ἦντα φωτιά ἦψε στὴν καρδιά μιὰ ἀγάπη κομπωμένη» Βικέντιος Κορνάρος. «Ερωτόκριτος.» Μέρος Γ'. Νέννα³⁹⁷

Στην Ελληνική Μυθολογία ο Προμηθέας δίδει το Ιερό Πυρ («Φλογωπόν Πῦρ»³⁹⁸) των Θεών στους θνητούς κατόπιν διαφωνίας του με το Δία, αφού θέλησε να καταστρέψει το ανθρώπινο γένος. Ο ηρωϊκός Τιτάνας μεταλαμπαδεύει τη σοφία στον άνθρωπο μέσω ενός οδυνηρού μονοπατιού, διδάσκοντας τις Επιστήμες, τα Γράμματα, τις Τέχνες, τις εξορύξεις (χαλκού, σιδήρου, αργυρού και χρυσού) και την κατασκευή εργαλείων.³⁹⁹ Στον Προμηθέα Ανόμενο, ο Δίας κάμπτεται και απελευθερώνει τον Προμηθέα από τα δεσμά του.⁴⁰⁰

«(Ο Δίας) είχε στο νου του να αφανίσει το γένος των ανθρώπων και να ξαναφτιάξει ένα νέο. Στην απόφαση του κανείς δεν αντιστάθηκε εκτός από εμέ (τον Προμηθέα). Δικιά μου η τόλμη και έσωσα τους θνητούς να μην κυλήσουν συντρίμματα στον Άδη για αυτό τέτοια δεινά με βασανίζουν. (αναφερόμενος στη γνωστή τιμωρία του στον καυκάσιανό βράχο).» Αισχύλος, «Προμηθέας Δεσμώτης», στ. 230

Το στοιχείο της φωτιάς είναι άρρηκτα συνδεδεμένο με το μυσταγωγικό πνεύμα από τους αρχαιοτάτους χρόνους. Σε όλα τα μήκη και πλάτη της Γης συναντάται το έθιμο

των «Αναστεναρίων» ή καλύτερα της πυροβασίας ('firewalking').⁴⁰¹ Στην περίπτωση της Ελλάδας απορρέει από τον Θρακικό Ορφισμό⁴⁰² και τη λατρεία του Διονύσου.⁴⁰³

"At Castabala is the temple of the Perasian Artemis, where the priestesses, it is said, walk with naked feet over hot embers without pain" Strabo, "Geography," 12, 2, 7, translated by H. L. Jones⁴⁰⁴

Δεδομένου ότι Βούλγαροι, Έλληνες και Ρουμάνοι μελετητές έχουν επιμεινεί ότι σχεδόν όλες οι ελληνικές λατρείες μυστηρίου ήταν θρακικής προέλευσης,⁴⁰⁵ η πυροβασία (τα Αναστενάρια) είναι πιθανό (κατά προσωπική άποψη) να αποτελούσε μέρος της μύησης των Ελευσινίων Μυστηρίων.

Σύμφωνα με την παράδοση, η Ελευσίνα ιδρύθηκε από Θράκες και φαίνεται ότι αποικίστηκε περίπου το 1,580-1,500 π.Χ.⁴⁰⁶ Το πρώτο ιερό (ένας θάλαμος με δύο εσωτερικούς πυλώνες που στηρίζουν τη στέγη) χτίστηκε τον 15° αι. π.Χ. Επίσης, εκείνο τον καιρό εγκαινιάζονται τα Μυστήρια.⁴⁰⁷ Τα Ελευσινία Μυστήρια ήταν τελετές μύησης που πραγματοποιούντουσαν κάθε χρόνο για τη λατρεία της Δήμητρας και της Περσεφόνης με έδρα την Ελευσίνα της αρχαίας Ελλάδας. Είναι οι πιο διάσημες από τις μυστικές θρησκευτικές τελετές της αρχαίας Ελλάδας.

Τα μυστήρια αντιπροσώπευαν τον μύθο της απαγωγής της Περσεφόνης από τον βασιλιά του κάτω κόσμου Άδη, σε έναν κύκλο με τρεις φάσεις: την «κάθοδο» (απώλεια), την «αναζήτηση» της Περσεφόνης από την μητέρα της, και την «ανάβαση», με κύριο θέμα την «ανάβαση» της Περσεφόνης στον πάνω κόσμο και την επανένωση με τη μητέρα της (Θεά Δήμητρα).⁴⁰⁸

Σύμφωνα με τη μελέτη της Mircea Eliade, θεωρείται ευρέως γνωστό ότι οι μύστες, κρατώντας τη δάδα με τη φωτιά στο χέρι, μιμούνται τις περιπλανήσεις της Δήμητρας αναζητώντας την Κόρη με το φως των πυρσών.⁴⁰⁹ Η προσωπική εκτίμηση ότι η πυροβασία πιθανώς ήταν μέρος των Ελευσινίων στηρίζεται στα ακόλουθα:

(α) τα μυστήρια διήρκησαν από τον 15° αι. π.Χ. - 2° αι. μ.Χ.: εύλογο χρονικό διάστημα για προσθήκες εθιμοτυπικών και ζυμώσεων,

(β) την καταγεγραμμένη φράση του Κλημεντίνου του Αλεξανδρινού (που ορισμένοι συγγραφείς υποστηρίζουν ότι μόνο οι δύο πρώτες προτάσεις ανήκουν στον Ελευσινίο τύπο), "I fasted, I drank the kykeon; I took from the chest [kiste]; after manipulating, I placed in

397 (Vincentius Kornaros, 1862, σ. 177)

398 (Αισχύλος, 1991, σ. 50). Αισχύλος, «Προμηθέας Δεσμώτης», 260

399 (Κακριδής et al. (Vol. 2), 1986, σ. 31)

400 (Αισχύλος, 1991, σ. 18-19)

401 (Firewalking, n.d.). dating back to 1200 BC; (Dirnhuber, 2018). "The practice dates back to the Iron Age, and is seen as a test of strength and courage."

402 (Daskalov & Vezenkov, 2013, σ. 108). Bulgarian specialists discovered in it the figure of the Sun-Son of the Great Mother Goddess and claimed that the rite was a relic of the Thracian "belief in immortality."

403 (Danforth, 2008, σ. 69)

404 (Danforth, 2008, σ. 69)

405 (Danforth, 2008, σ. 105-106)

406 (Eliade, 1976/1978, p. 293)

407 (Eliade, 1976/1978, σ. 293)

408 (Eliade, 1976/1978, 2015, σ. 290-293)

409 (Eliade, 1976/1978, σ. 295); (Christopoulos, Karakantza, & Levaniouk, 2010, p. 136). "Demeter and Persephone are also commonly represented holding one or two torches. In these cases there are different aspects which might be suggested by the use of the torch: on the one hand the darkness of Hades, on the other hand the rites of initiation of the Eleusinian Mysteries²³ and the ritual of the wedding and the funeral (Persephone's wedding with Hades and her relationship with the world of the dead)"



Votive plaque depicting elements of the Eleusinian Mysteries. National Archaeological Museum, Athens

the basket, then, removing from the basket, I replaced in the chest." (Protrepticus 2. 21. 2).⁴¹⁰ Αν αυτή η τελετουργική φράση ερμηνευθεί ως ο συμβολισμός της μυστικιστικής γέννησης ή αναγέννησης,⁴¹¹ & παραλληλιστεί με το τρίπτυχο γέννηση/θανάτος/αναγέννηση του μυθολογικού ιερού πτηνού Φοίνικα που αναγεννάται μέσα από τις στάχτες του, οι οποίες προέρχονται από τη δική του ανάφλεξη,⁴¹² τότε θεωρείται αρκετά πιθανό.

(δ) το γεγονός ότι στην Ελληνική Παράδοση τα Αναστενάρια είναι συνδεδεμένα με την γέννηση και την αναγέννηση.⁴¹³

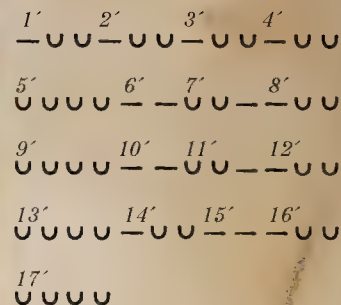
(ε) την άκρα μυστικότητα, καθώς δεν έχει διασωθεί τίποτα από ό,τι συνέβαινε στη διάρκεια των Ελευσινίων Μυστηρίων και την ίδρυση τους από Θράκες

(στ) το γεγονός ότι οι Χριστιανοί Αναστενάρηδες συχνά διστάζουν να μιλήσουν για την ιεροτελεσσία τους· θεωρείται παρεμφερές με την υποχρέωση των συμμετεχόντων στα Αρχαία Ελληνικά Μυστήρια της διατήρησης της μυστικότητας.⁴¹⁴

Η επιφύλαξη βασίζεται στα ακόλουθα: στον εορτασμό του έθιμου των αναστενάρηδων στις 21 Μαΐου του Αγίου Κωνσταντίνου και Ελένης.⁴¹⁵ Ο τελετουργικός κύκλος των Αναστεναρίων της Αγίας Ελένης, που συνδέεται στενά με την καθιερωμένη έναρξη της νέας αγροτικής χρονιάς τον Οκτώβριο, εκκινείται στις 26 Οκτωβρίου με το πανηγύρι του Αγίου Δημητρίου. Το δεύτερο σημαντικότερο πανηγύρι του τελετουργικού κύκλου των Αναστεναρίων ξεκινά την παραμονή της 18^{ης} Ιανουαρίου, στο πανηγύρι του Αγίου Αθανασίου, αφού ευλογήσουν το αγίασμα, οι Αναστενάρηδες χορεύουν στο κονάκι.⁴¹⁶ Η μελέτη του Michael B. Cosmopoulos αναφέρει την εκκίνηση των Μικρών Ελευσινίων Μυστηρίων το μήνα Αυθεςτηριόνα (Νέα Σεληνη Ιανουαρίου έως Νέα Σεληνη Φεβρουαρίου) και των Μεγάλων το μήνα Βοΐδρομιόνα (πρώτη εμφάνιση της σελήνης του Αυγούστου, έως την νέα σεληνη του Σεπτεμβρίου).⁴¹⁷ Επομένως, δεν συμπίπτουν επακριβώς οι ημερομηνίες καθότι η μεγάλη εορτή κατά την οποία πατώνται τα κάρβουνα στο Χριστιανικό έθιμο είναι τον Μάιο. Το έθιμο των Χριστιανικών Αναστεναρίων, αλλά και το ανάλογο έθιμο στα Βουλγαρικά βουνά Strandzha θεωρούνται ως «ζωντανά λείψανα» της Διονυσιακής

λατρείας - μια θέση που ενισχύθηκε από την υπόθεση ότι ο Διόνυσος ήταν κατεξοχήν Θρακικός θεός που υιοθετήθηκε από τον υπόλοιπο Αρχαίο Ελληνικό κόσμο.⁴¹⁸

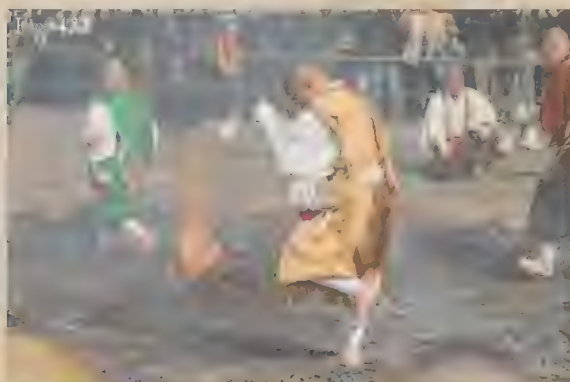
Firewalker's Dance (Χορός της Πυροβασίας) · Antonis Apergis, Greek Tradition. Long & Short syllables (rhythm, metre)



P.P. Firewalking. Plato's Academy, Athens, Greece



Firewalking. Sri Lanka.



Buddhist Monks Lead Japanese Fire-walking Festival



Firewalking. Polynesia

"When you walk through fire you shall not be burned, and the flame shall not consume you." Isaiah 43:2

410 (Eliade, 1976/1978, σ. 296)
411 (Eliade, 1976/1978, σ. 297). Στην περίπτωση αυτή το τελετουργικό ολοκληρώνεται εκείνη τη στιγμή. Γι' αυτό αναφέρεται η μικρή πιθανότητα της προσωπικής θέσης.
412 (Phoenix (Mythology), 2020)
413 Προσωπικές εμπειρίες και αντίστοιχοι διάλογοι με αναστενάρηδες σε βάθος 15ετίας.
414 (Daskalov & Vezenkov, 2013, σ. 68)
415 (Danforth, 2008, σ. 65)
416 (Danforth, 2008, σ. 66)
417 (Cosmopoulos, 2015, σ. 17)

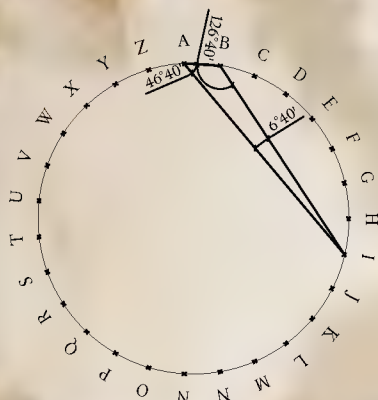
418 (Daskalov & Vezenkov, 2013, σ. 64); (Danforth, 2008, σ. 204)

KYKEON KYKEON KYKEONAZ



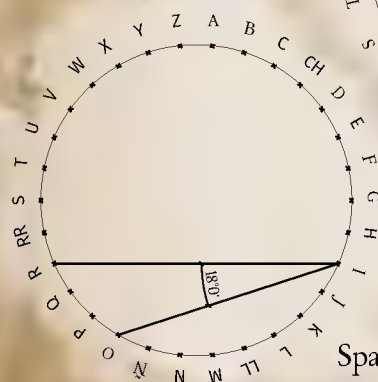
Finnish (29)

joki



Basque (27)

ibaia



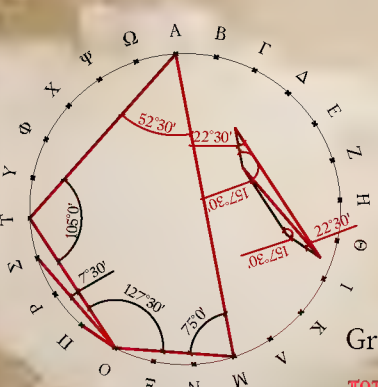
Spanish (30)

río



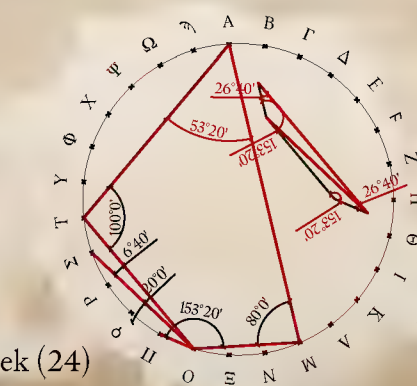
Italian (21)

fiume



Greek (24)

ποταμός



Ancient Greek (27)

ποταμός

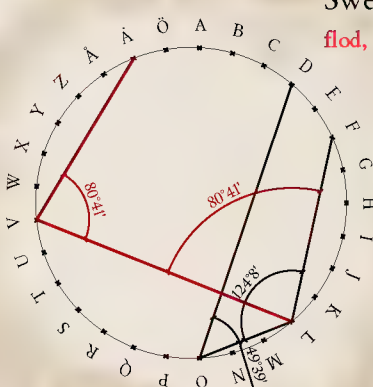


Icelandic (36)

á

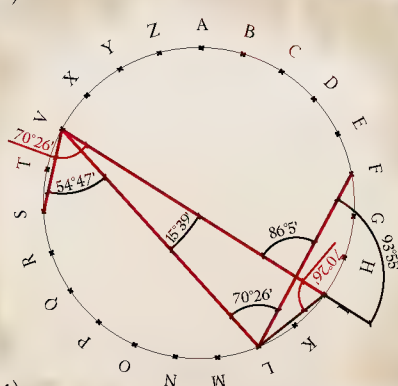
Swedish (29)

flod, älv



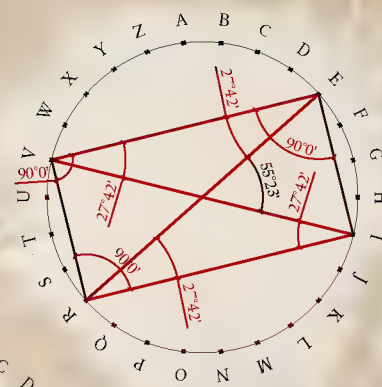
Latin (23)

flūmen, fluvius



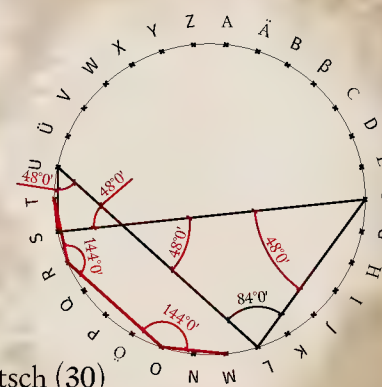
English (26)

river



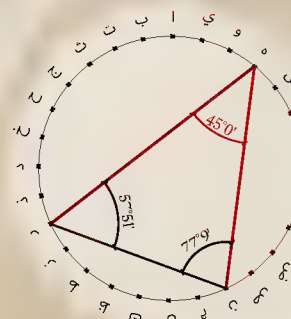
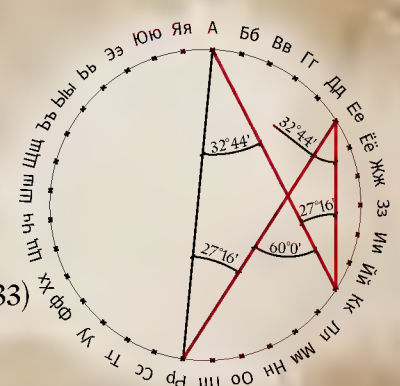
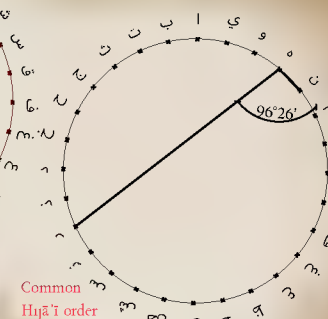
Deutsch (30)

fluss, strom



Russian (33)

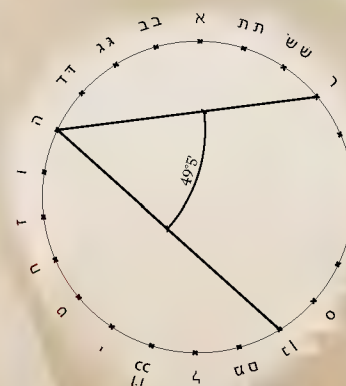
peka

Maghrebian
Hijā'ī orderCommon
Hijā'ī order

Arabic (Hijā'ī - 28)

ن ه و ز

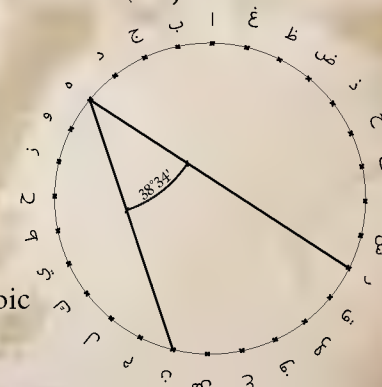
Arabic (Abjad numerals - 28)



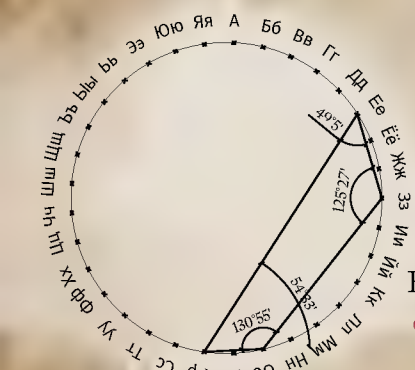
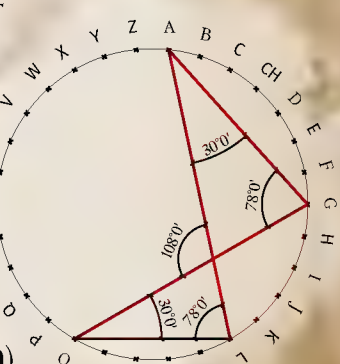
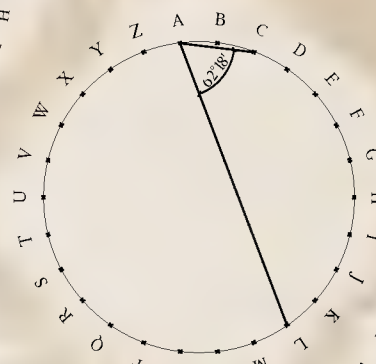
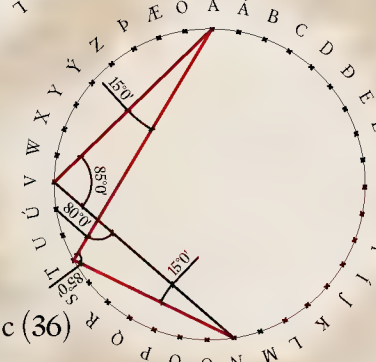
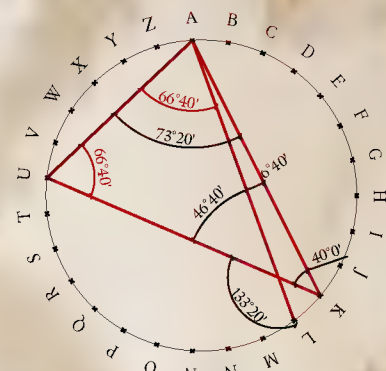
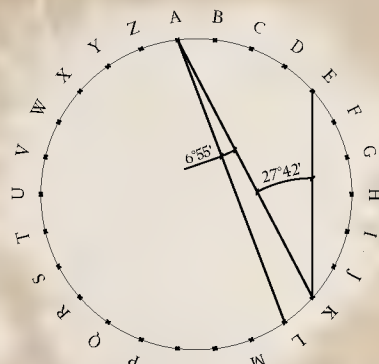
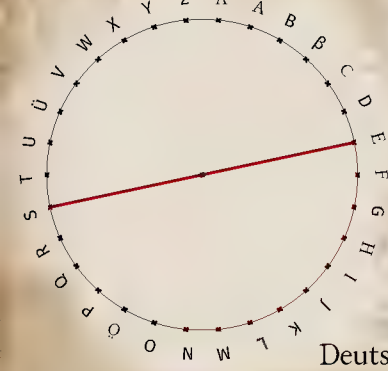
Hebrew (22)

נהר

Arabic

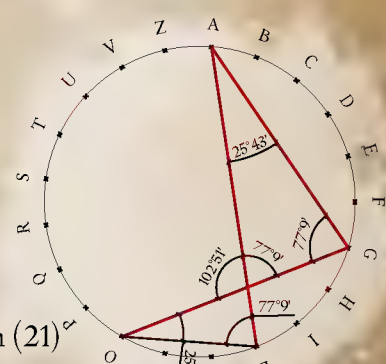
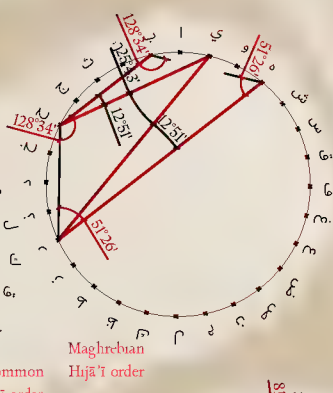


14 Alphabets. Language family tree - Lake, Λίμνη



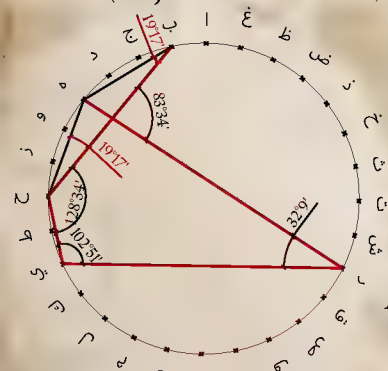
Swedish (29)

sjö



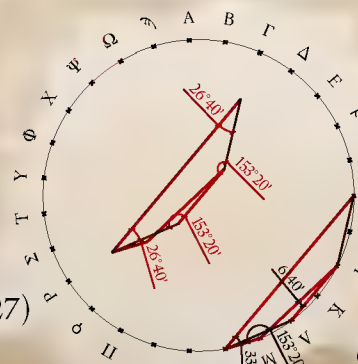
Arabic (Abjad numerals - 28)

Arabic (Abjad numerals - 28)



Ancient Greek (27)

λίμνη



Greek (24)

λίμνη





Poseidon, the god of the sea in Greek mythology.



Vellamo is the goddess of water, lakes and seas in Finnish mythology



© Morgan Library, New York



Detail of Enki (Sumerian God of creation, intelligence, crafts, water, seawater, lakewater, fertility, semen, magic, mischief) from the Adda Seal, an ancient Akkadian cylinder seal dating to circa 2300 B. A couchant bull lies between his legs and streams of water and fish flow from his shoulders. Detail of the Adda seal, British Museum. BM N. 89115.

John Baptist, nimbed, wearing garment of animal skin with head and tail, holding lantern with left hand, indicates with right hand Lamb of God, crossed nimbus, standing at feet of John. Lamb holds bannered cross-staff, and looks up at John. Background of blue with white vine scroll. Margins decorated with rectilinear bars with vines. Book of Hours, MS M.866 fol. 114v - Images from Medieval and Renaissance Manuscripts - The Morgan Library & Museum.

Leaf with a full-page miniature on each side: on recto (i) Resurrection with Christ stepping from tomb over sleeping soldiers (ii) scene of Ascension of Christ; on verso, Christ in Majesty with Evangelist symbols. Museum, V. and A. (n.d.). Germany (Upper Rhine). ca.1250.

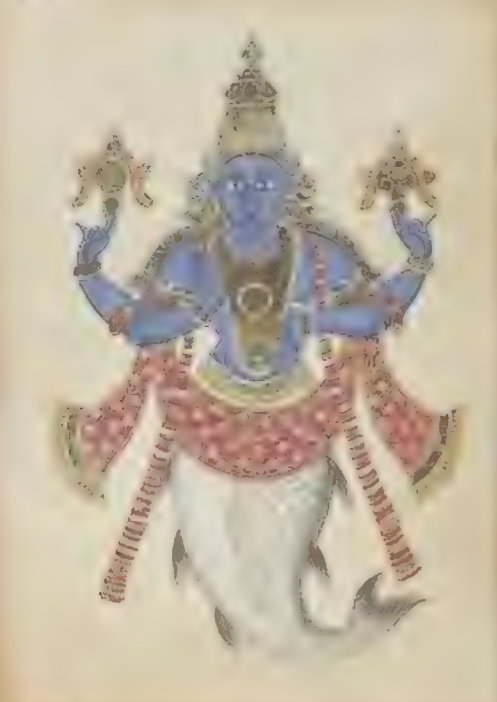


Destruction of Leviathan (sea serpent noted in hebrew theology & mythology), 1865 engraving by Gustave Doré

Deity of water, mistress of lakes, rivers and seas from the Codex Borbonicus the goddess Chalchiuhtlicue, symbol of Venus.



Varuna, the Lord of the All the Water Bodies



Matsya, the Fish Avatar of Vishnu

Το στοιχείο του ύδατος είναι
η αρχή και η προϋπόθεση της
ύπαρξης της ζωής.

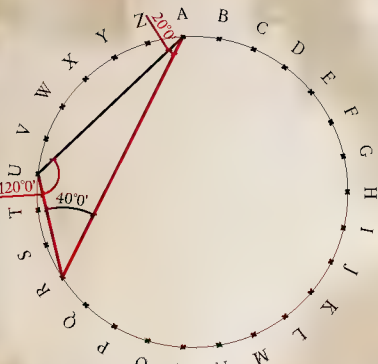
Στη φιλοσοφία του Πλάτωνα, τα «πλατωνικά στερεά» συμβόλιζαν τα δομικά στοιχεία του σύμπαντος
(«Τίμαιος», στ. 52d-53c & 55c-56c): το 20εδρο {3,5} το νερό. Γενικώς, αυτό που παρατηρείται είναι ο
σηματισμός των πολλαπλάσιων του 20, ιδιαίτερα στο Ελλ. αλφ. των 27 γραμμάτων

272

14 Alphabets. Language family tree - Water, Νερό

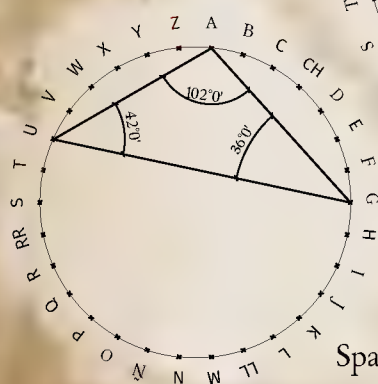
Finnish (29)

kastella, vesi



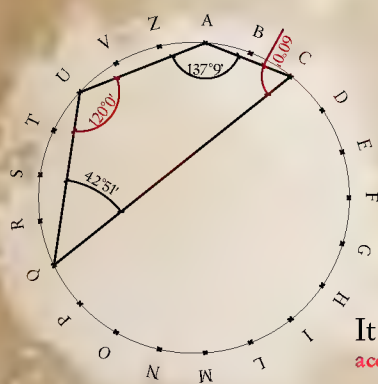
Basque (27)

ura



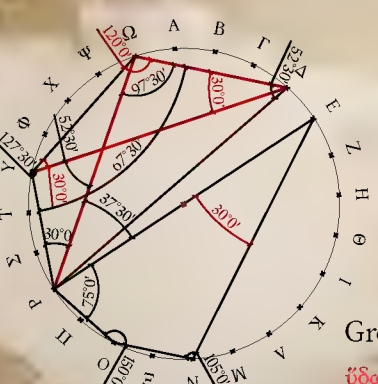
Spanish (30)

agua



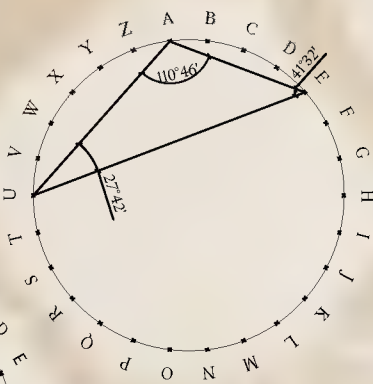
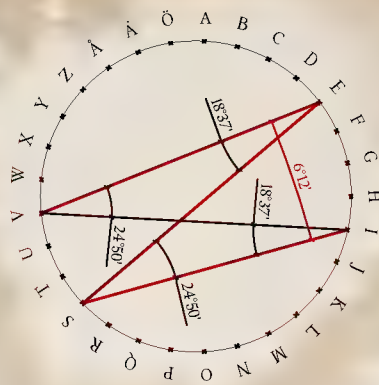
Italian (21)

acqua



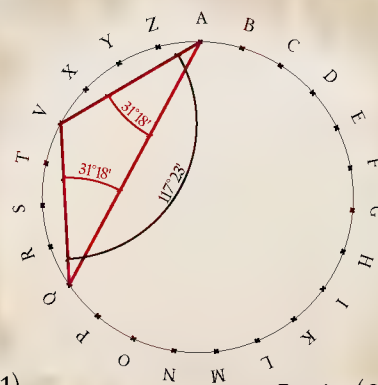
Greek (24)

ὕδωρ



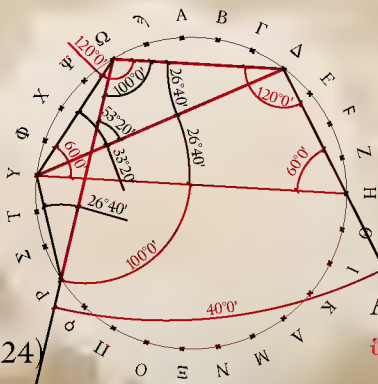
French (26)

eau



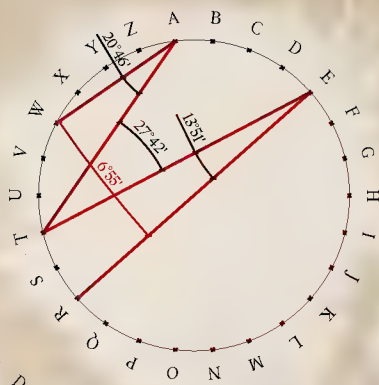
Latin (23)

aqua



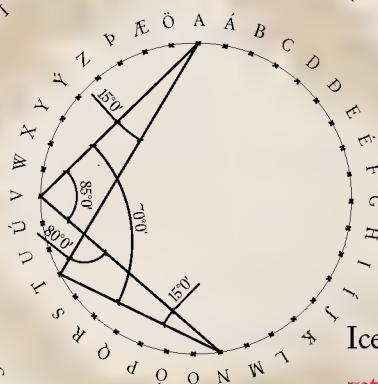
Ancient Greek (27)

ὕδωρ



English (26)

water

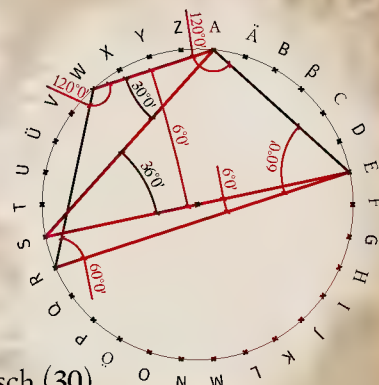


Icelandic (36)

vatn

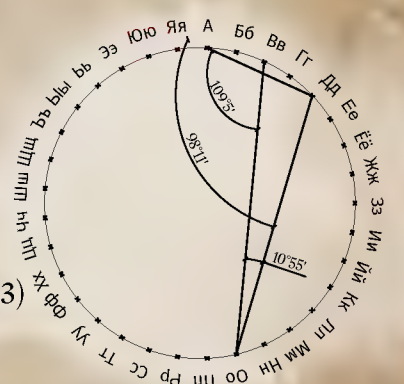


Swedish (29)



Deutsch (30)

wasser

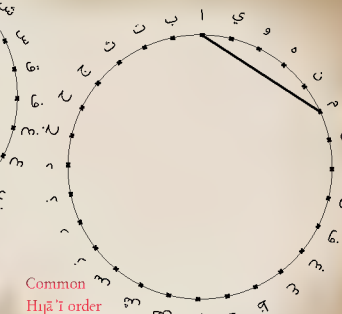


Russian (33)

вода



Maghrebian
Hijā'ī order

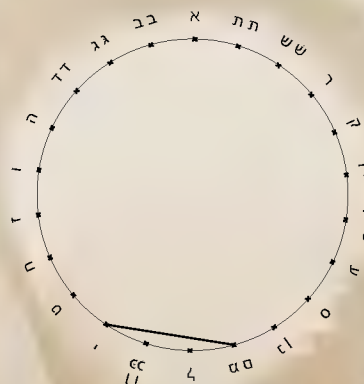


Common
Hijā'ī order

Arabic (Hijā'ī - 28)

أ-ء-إ-ل-م

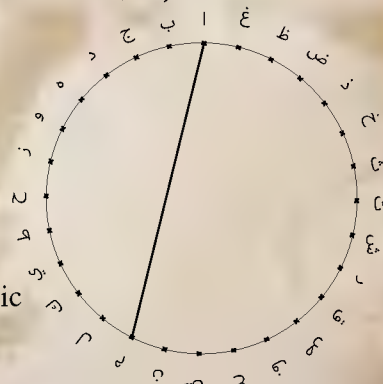
Arabic (Abjad numerals - 28)



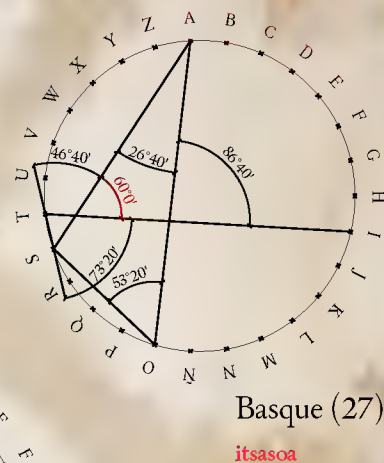
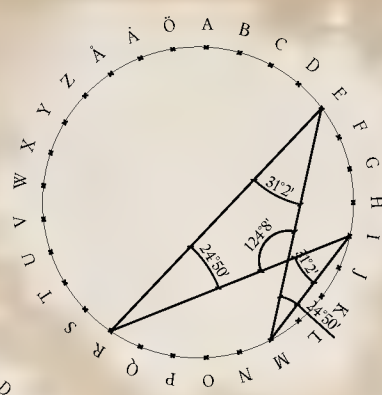
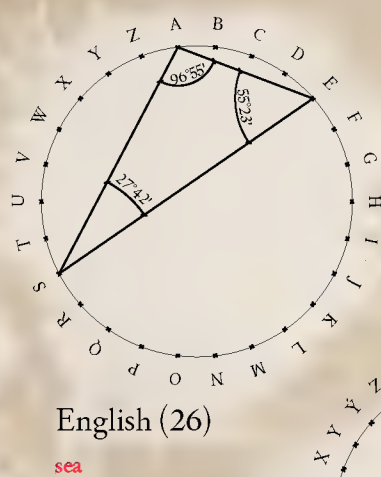
Hebrew (22)

מ'ד

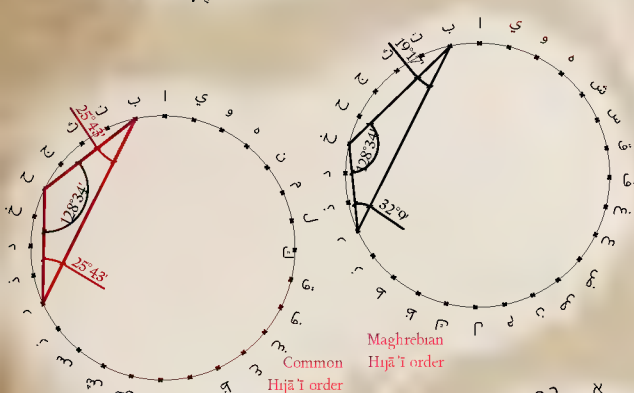
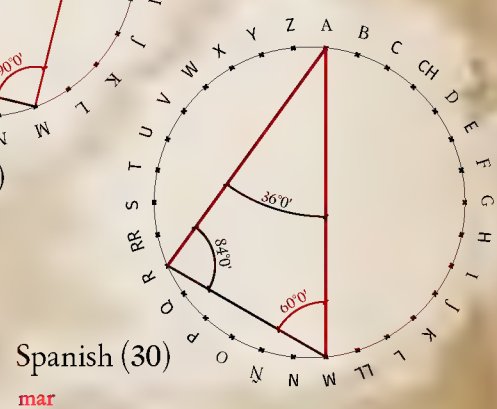
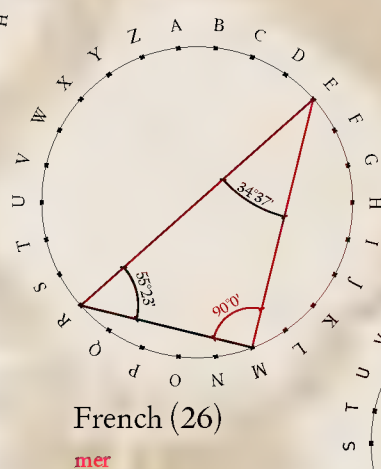
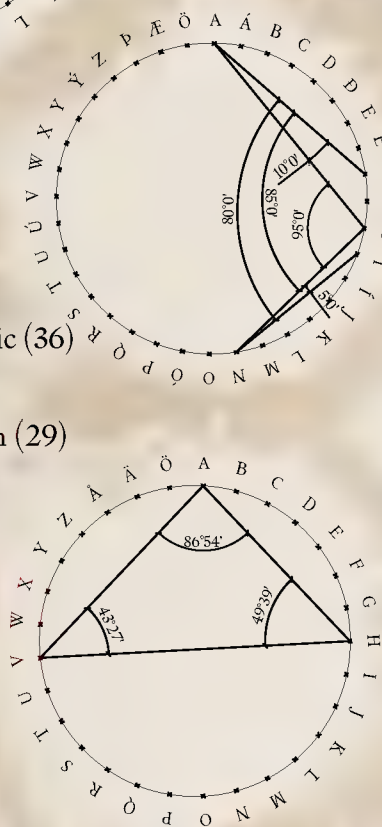
Arabic



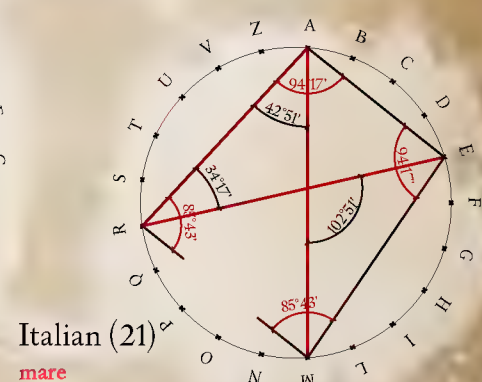
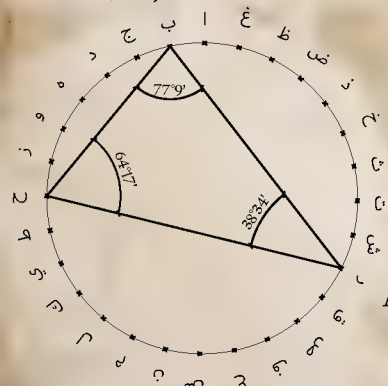
14 Alphabets. Language family tree - Sea, Θάλασσα



Icelandic (36)
innhaf
Swedish (29)
hav

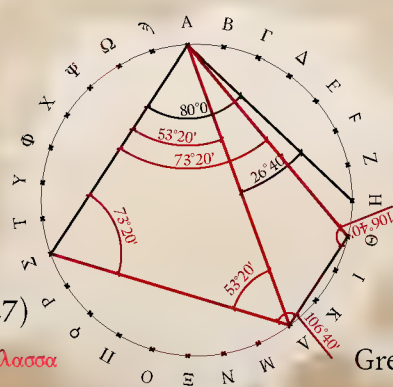


Arabic (Hijā'ī - 28)
ب ح ر - ب ح ر
Arabic (Abjad numerals - 28)



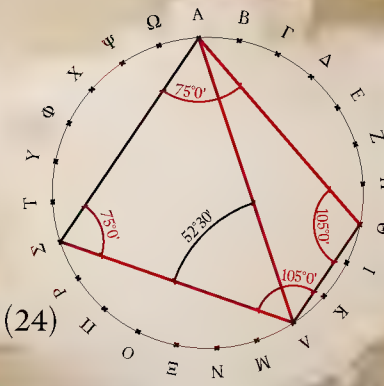
Ancient Greek (27)

(H)θαλασσα



Greek (24)

θαλασσα



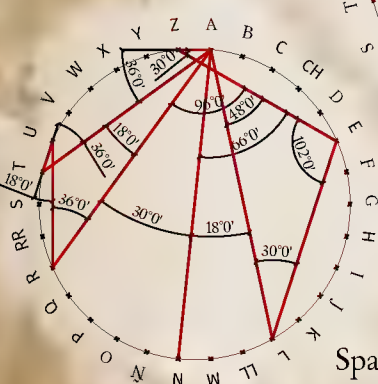
Finnish (29)

luonto



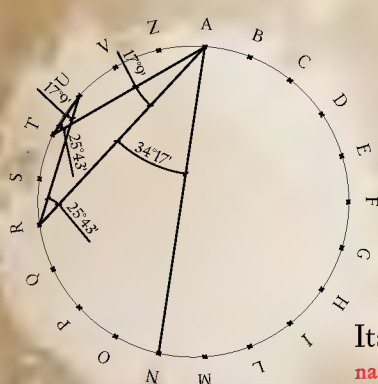
Basque (27)

natura



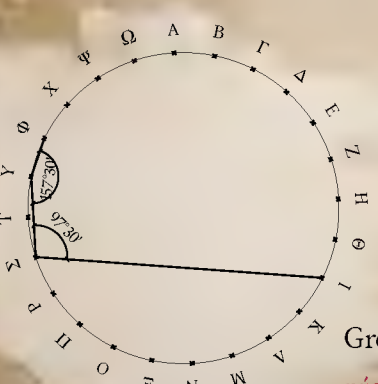
Spanish (30)

naturaleza



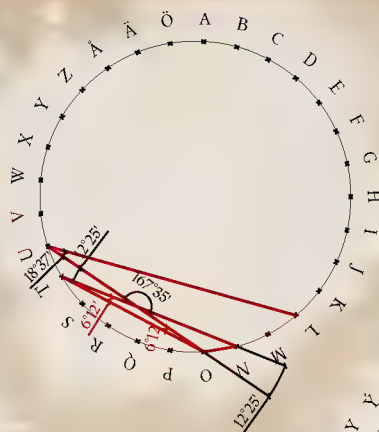
Italian (21)

natura



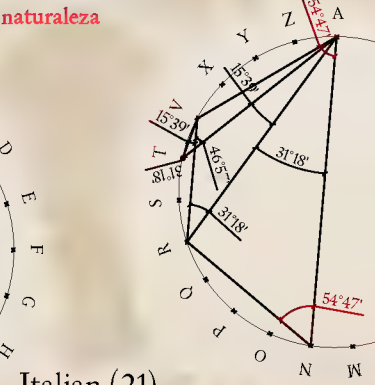
Greek (24)

φύσις



French (26)

nature



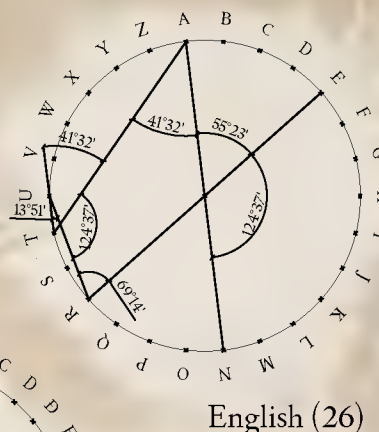
Latin (23)

natura



Ancient Greek (27)

φύσις



English (26)

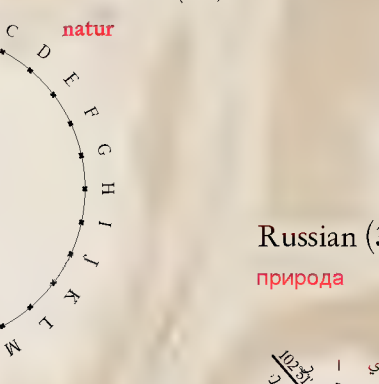
nature

Icelandic (36)

náttúra

Swedish (29)

natur



Russian (33)

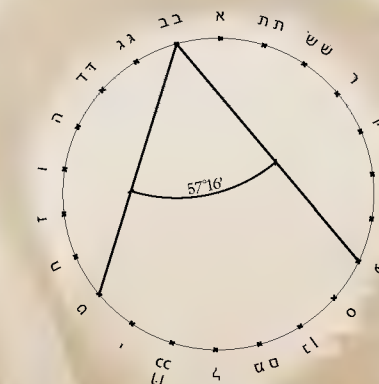
природа

Maghrebian
Hijā'ī orderCommon
Hijā'ī order

Arabic (Hijā'ī - 28)

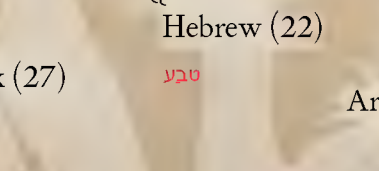
ط ب ي ع - ط ب ي عة

Arabic (Abjad numerals - 28)

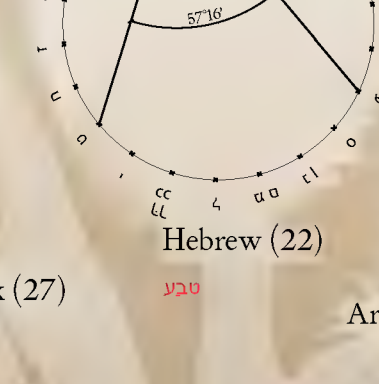


Hebrew (22)

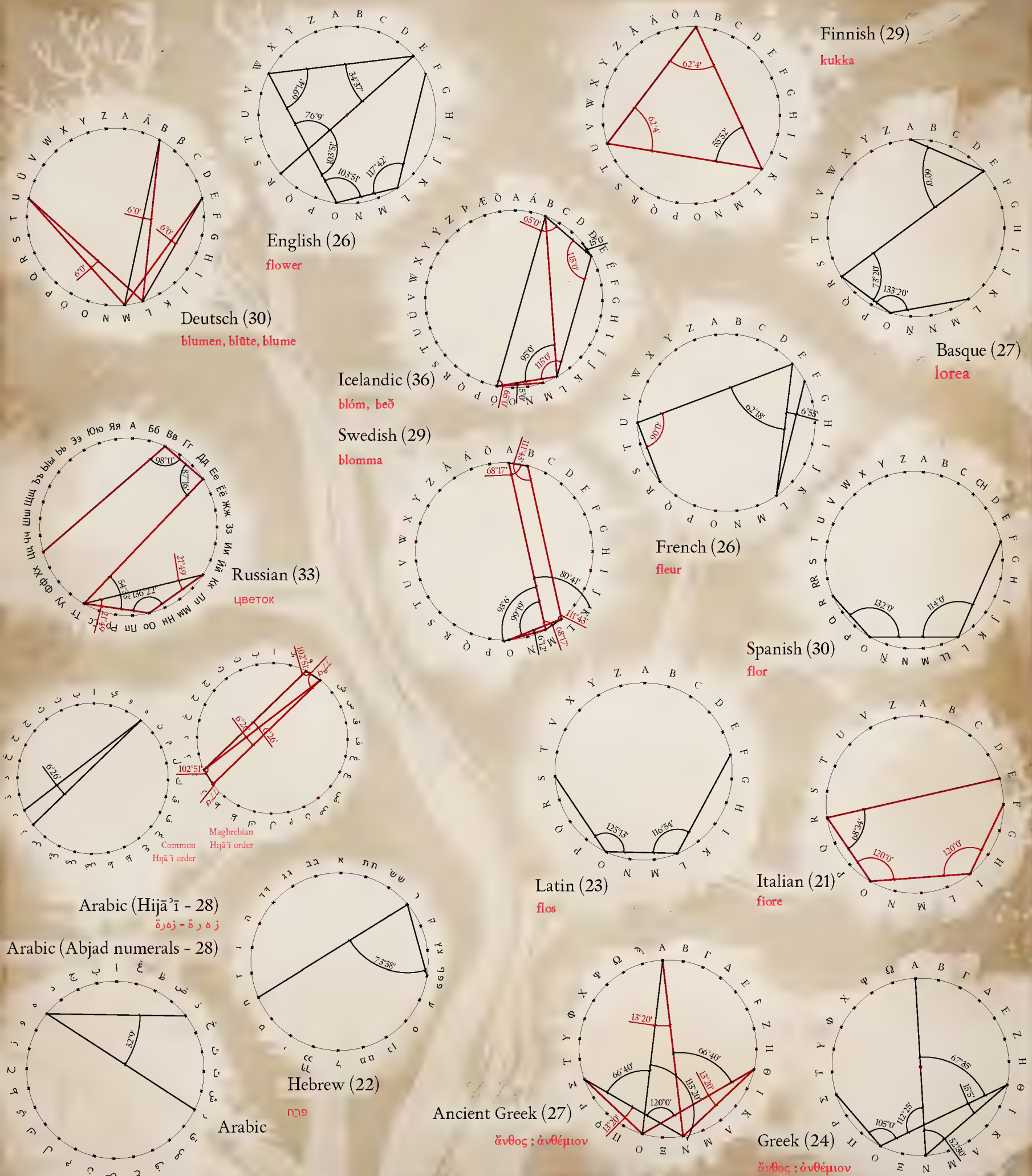
טבע



Arabic

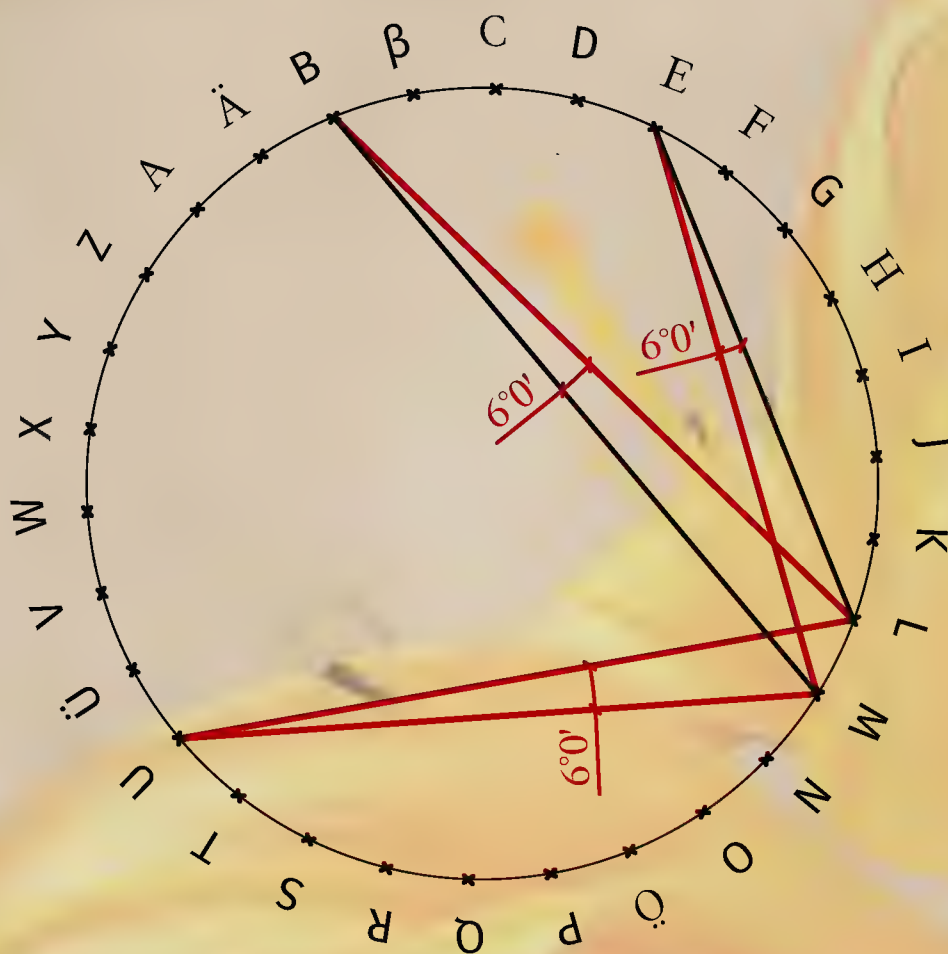


14 Alphabets. Language family tree - Flower, Λουλούδι



Deutsch: blume

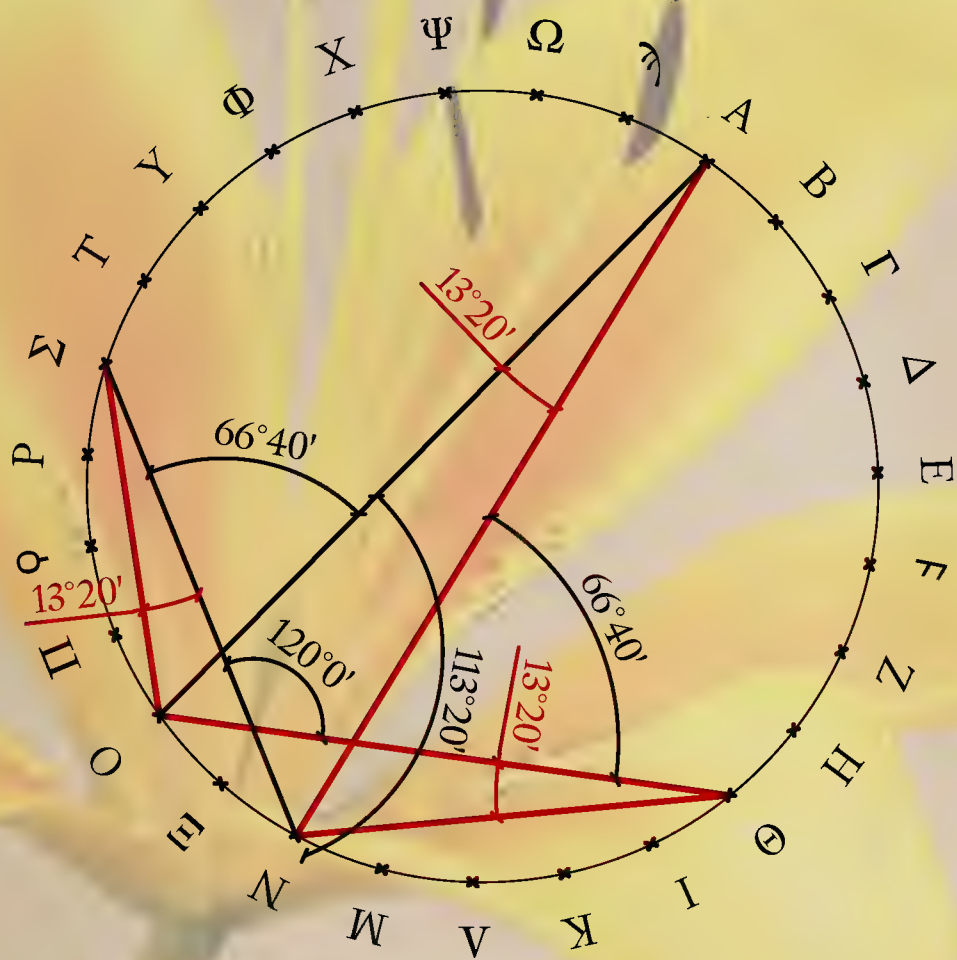
English: flower



Yellow
Day Lily (Lemon
Day Lily).
Heimerocallis
lilioasphodelus L.

Greek: ἄνθος

English: flower



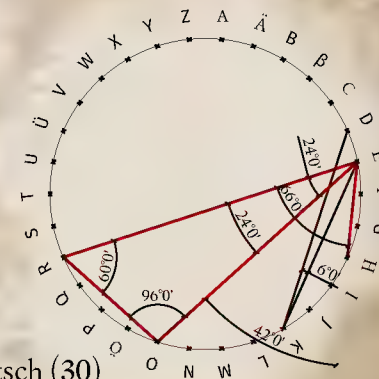
Finnish (29)

sankari



English (26)

hero



Deutsch (30)

held, heroe

Basque (27)

heroia



French (26)

héros



Icelandic (36)

hetja

Swedish (29)

hjälte

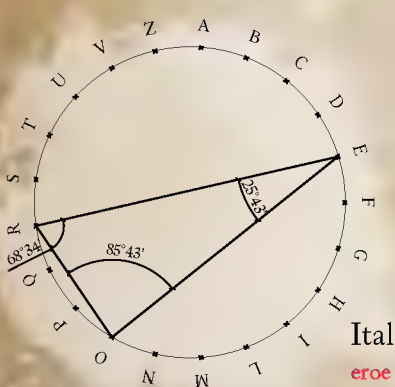


Russian (33)

герой - кумир

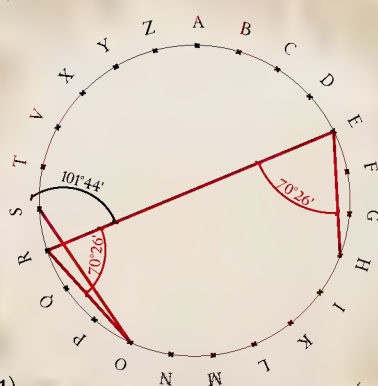
Spanish (30)

héroe, heroína



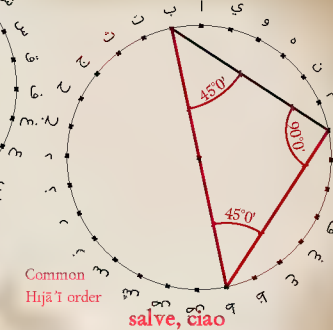
Italian (21)

eroe



Latin (23)

heros

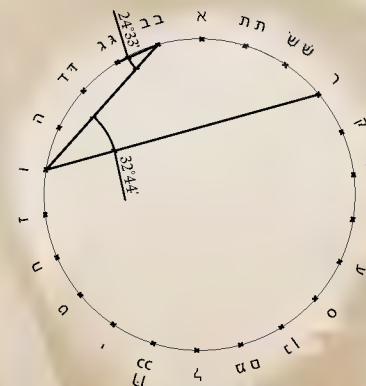
Maghrebian
Hijā'i orderCommon
Hijā'i order

salve, ciao

Arabic (Hijā'ī - 28)

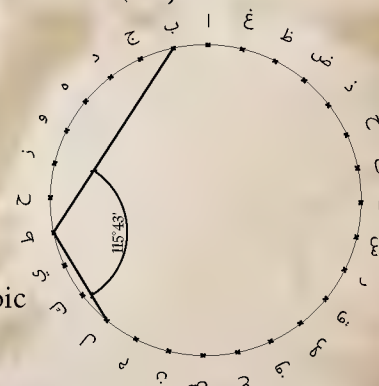
ب ط ل - ب ط ل

Arabic (Abjad numerals - 28)



Hebrew (22)

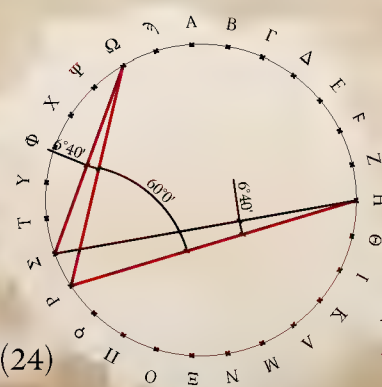
גבור



Arabic

Greek (24)

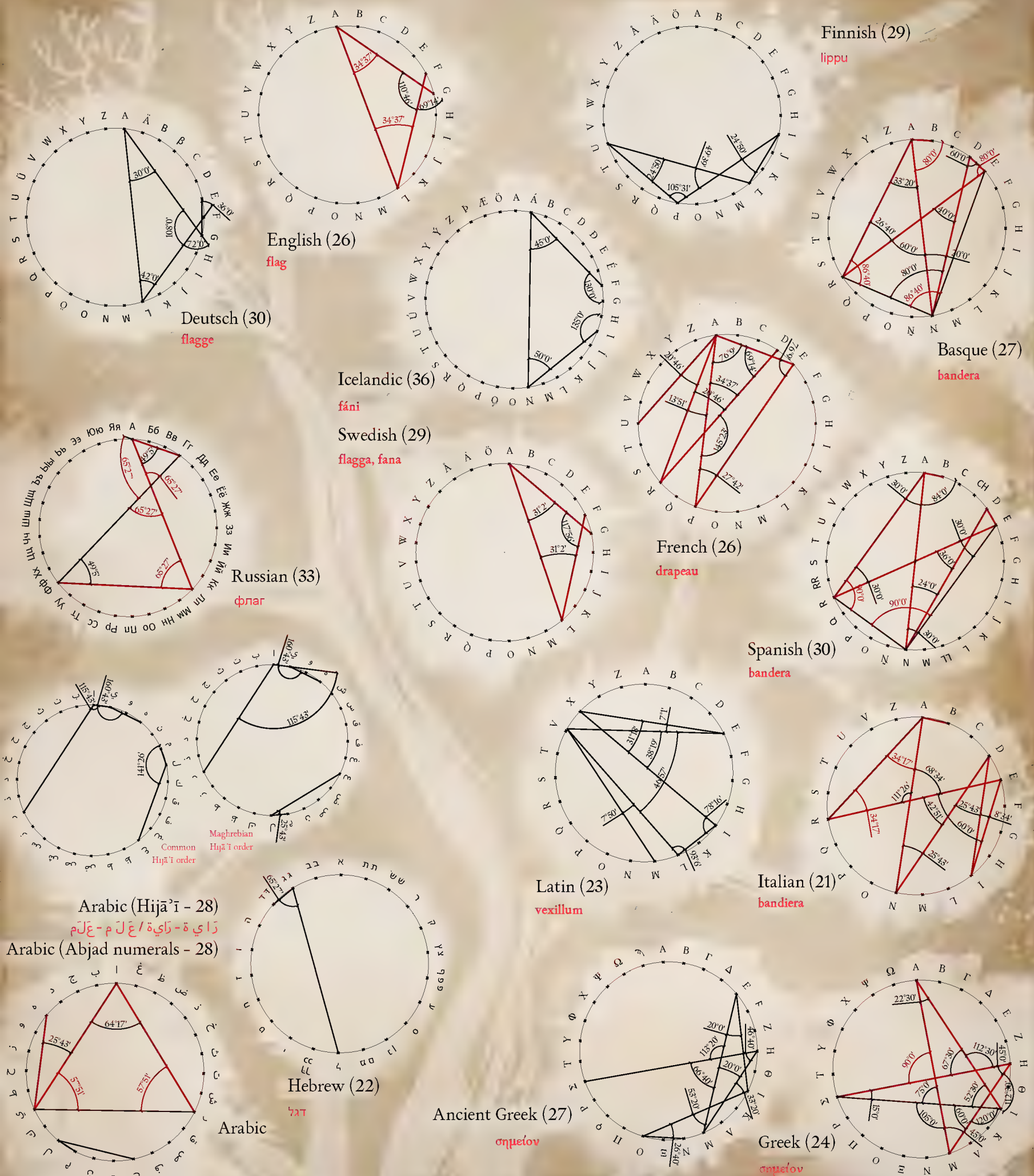
ἥρώας



Ancient Greek (27)

ἥρώας

14 Alphabets. Language family tree - Flag, Σημεία

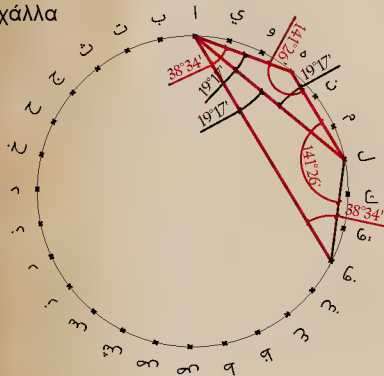


Στους εξεταζόμενους πολιτισμούς οι Ήρωες κατέχουν μία θέση δίπλα στους Θεούς (θέωση). Η αυταπάρνηση, η αυτοθυσία, η αγαθόεργια είναι μερικές από τις αρετές των Ηρώων. Η άγρυπνη επιφυλακή για την προστασία της πόλης, οι «υπερφυσικές» σωματικές, διανοητικές ή ψυχικές δυνάμεις για τα δεδομένα της κοινωνικής συσσωμάτωσης καθιστούν τον ήρωα ως έναν απεσταλμένο του Θεού. Στην Ελληνική μυθολογία ο όρος ήρωας χρησιμοποιείται για τοπικές μικρο-θεότητες που ωφελούν κάποια περιοχή, ιδιαίτερα αγαπητές στα λαϊκά στρώματα. Στην πάροδο των αιώνων, η λέξη ήρωας έφθασε να προσδιορίζει τον αντρειωμένο πολεμιστή, ενώ στις μέρες μας η λέξη ταυτίζεται με το παλληκάρι.⁴¹⁹ Κατά βάση, ο ήρωας/η ηρωίδα με τις ένδοξες

-άνισες ή μη- μάχες που θα δώσει είτε θα πέσει στο πεδίο είτε θα βγει νικητής βαστώντας και τιμώντας το σύμβολο που ανεμίζει πάνω στη σημαία του. Έτσι, θα τιμηθεί από τις λεγόμενες ηρωικές του/της πράξεις δοξάζοντας τον/την μέσα από στίχους τραγουδιών, λογοτεχνικά έργα, προτομές κτλ. Αυτό που παρατηρείται, εκτός των «αρμονικών» σχημάτων των δύο λέξεων ήρωας και σημαία στα 14 αλφάβητα και των αλληλλοσυσχετίσεων τους με τις γωνίες των δύο λέξεων, είναι η υπάρξη ανάλογων σχημάτων σε λέξεις που σχετίζονται με την ιδέα τόσο του πολέμου όσο και της ειρήνης. Σε αυτές τις δύο σελίδες (280 - 281) συγκεντρώνονται ορισμένες από αυτές για τη διευκόλυνση του αναγνώστη.

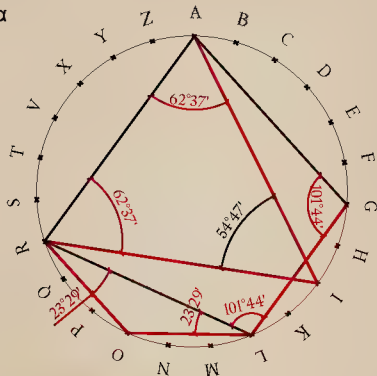
Arabic 28 (Hijā ī)

فَالِدَال - فَالِدَال
βαλχάλλα



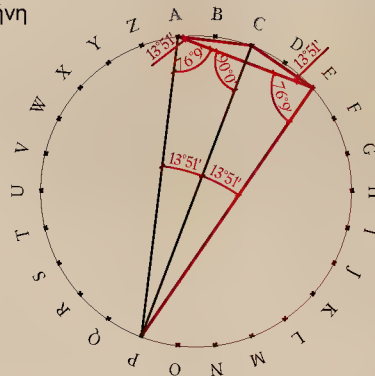
Latin 23

gloria, laus
δόξα



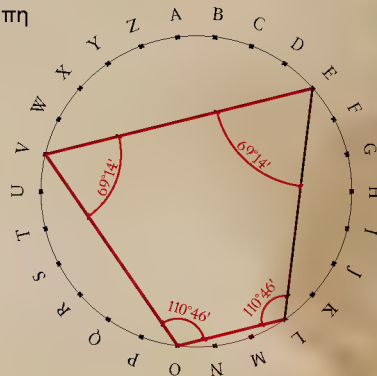
English 26

peace
ειρήνη



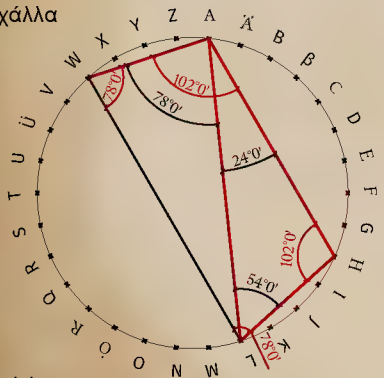
English 26

love
αγάπη



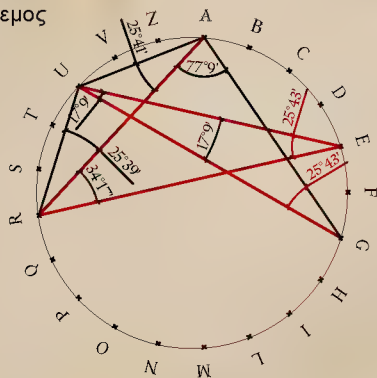
German 30

walhalla
βαλχάλλα



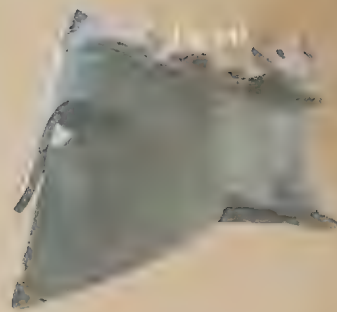
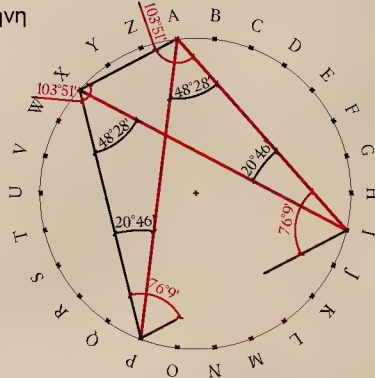
Italian 21

guerra
πόλεμος



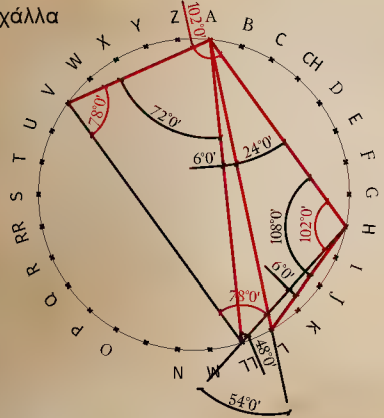
French 26

paix
ειρήνη



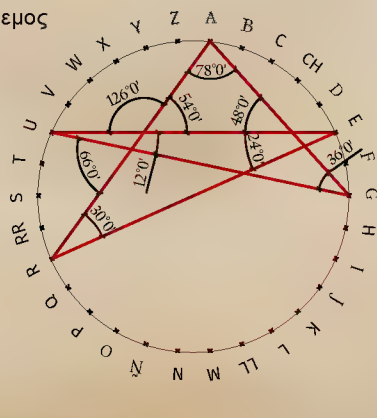
Spanish

valhalla
βαλχάλλα



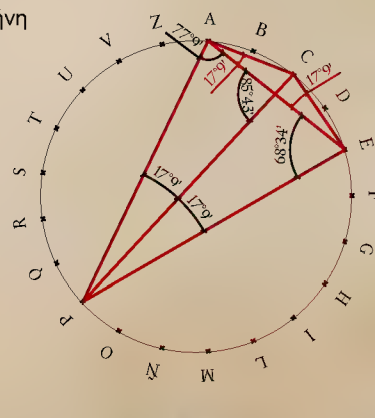
Spanish

guerra
πόλεμος



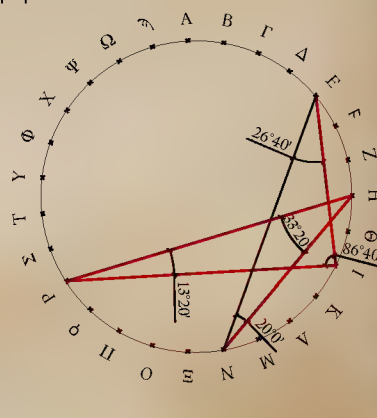
Italian 21

pace
ειρήνη



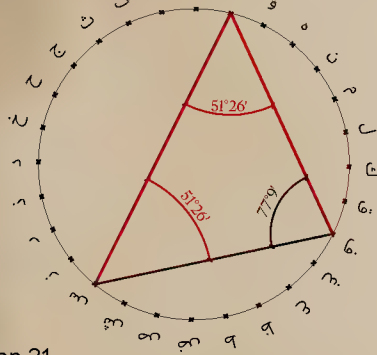
Ancient Greek 27

ειρήνη



"Helmet of Miltiades". The helmet was given as an offering to the temple of Zeus at Olympia by Miltiades. Inscription on the helmet: ΜΙΛΤΙΑΔΕΣ ΑΝΕ[Θ]ΕΚΕΝ [Τ]ΟΙ ΔΙ ("Miltiades dedicates this helmet to Zeus").[29] Archaeological Museum of Olympia

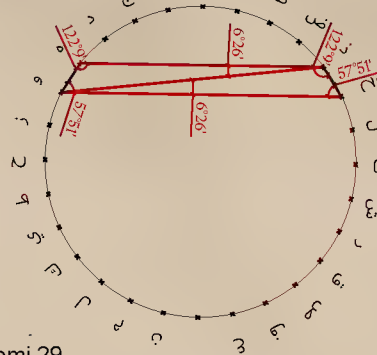
Arabic 28 (Hijā'ī)
س ي ف - س ي ف
σπαθί



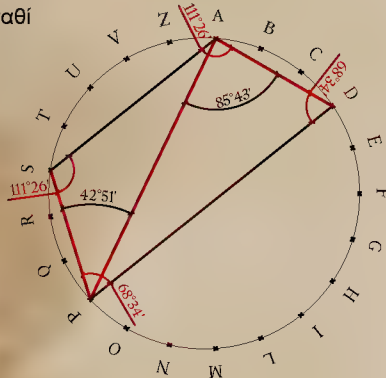
Arabic 28 (Hijā'ī)
ا ل س ه م - ا ل س ه م
βέλος



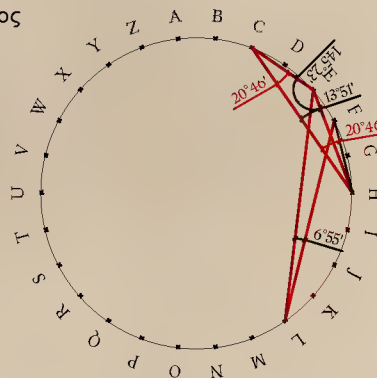
Arabic 28 (Hijā'ī)
خ و ذة - خ و ذة
κράνος



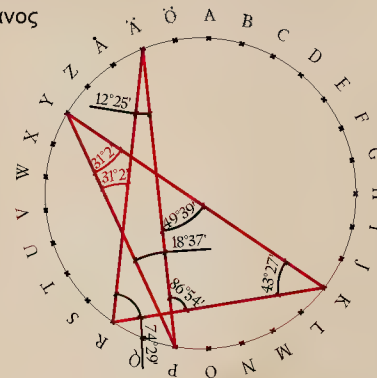
Italian 21
spada
σπαθί



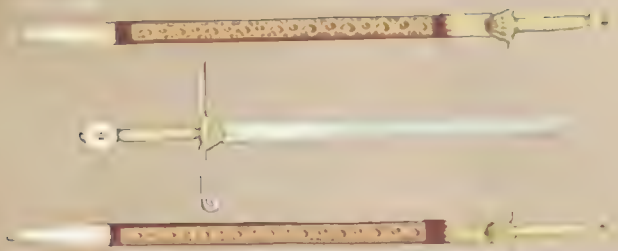
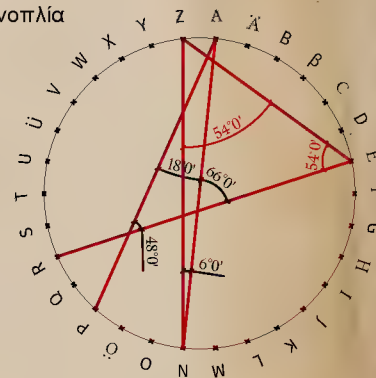
French 26
flèche
βέλος



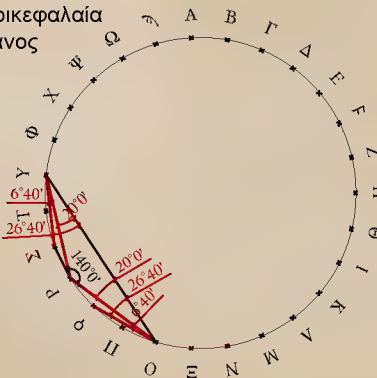
Suomi 29
kypärä
κράνος



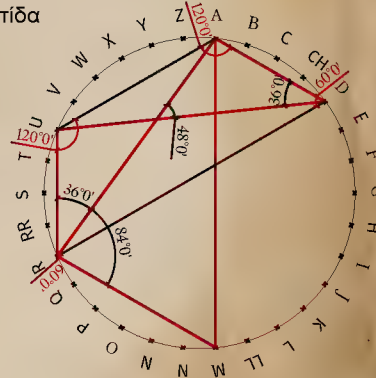
German 30
Panzer
πανοπλία



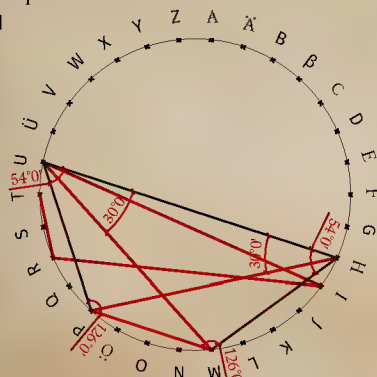
Ancient Greek 27
φόρυς
περικεφαλαία
κράνος



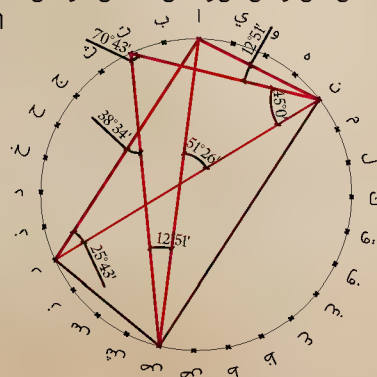
Spanish
escudo, armadura
ασπίδα



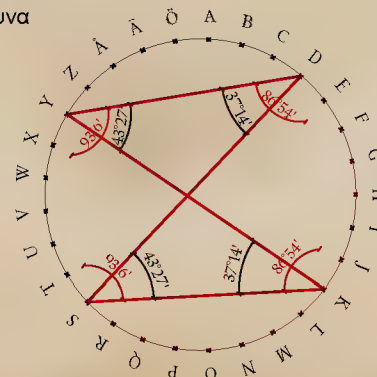
Spanish
Triumph
vίκη



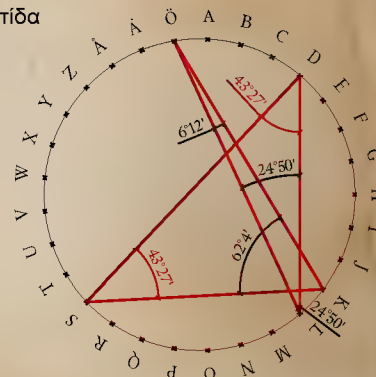
Arabic 28 (Hijā'ī)
ن ص ر - ن ص ر
vίκη



Svenska 29
skydd
ἀμυνα



Svenska 29
sköld
ασπίδα



(Rozen, 2011). "It is a ceremonial sword used during the coronation of the British monarchs. It is considered to be one of the Crown Jewels of the United Kingdom, and its end is blunt and squared, to symbolize mercy. It has been in use since 1236 and is linked with many legends."

(Rozen, 2011). "Zulfiqar is the legendary sword of Ali ibn Abi Talib (cousin and son-in-law of the Islamic prophet Muhammad), given to him by Muhammad, according to legends. It was generally depicted as a scissor-like double bladed sword on Muslim flags. It is also commonly shown in Shi'ite depictions of Ali and in the form of jewelry functioning as talismans or as a scimitar (a short sword with a curved blade) terminating in two points. Often, quotes mentioning this sword are inscribed on Islamic swords. Also, as a reference to this legendary sword, Islamic swords are sometimes made with a split tip."



*Bronze statue of
Giordano Bruno by Ettore
Ferrari (1845-1929), Campo de'
Fiori, Rome.*

*(Giordano Bruno, n.d.)
Giordano Bruno (1548-1600 AC)
was an Italian Dominican friar,
philosopher, mathematician,
poet, cosmological theorist, and
Hermetic occultist.*

*He is known for his cosmological
theories, which conceptually
extended the then novel
Copernican model. He proposed
that the stars were distant suns
surrounded by their own planets,
and he raised the possibility
that these planets might foster
life of their own, a cosmological
position known as cosmic
pluralism. He also insisted that
the universe is infinite and could
have no "center".*

14 Alphabets & The Metousiotis

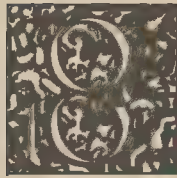


Ο ΛΟΓΟΣ ΩΣ ΔΗΜΙΟΥΡΓΙΚΗ ΠΡΑΞΗ:
ΠΡΟΣΕΓΓΙΣΗ ΑΡΧΙΤΕΚΤΟΝΙΚΗΣ ΣΥΝΘΕΣΗΣ
ΜΕΣΑ ΑΠΟ ΧΩΡΙΚΕΣ ΠΟΙΟΤΗΤΕΣ ΠΑΡΑΓΟΜΕΝΕΣ
ΑΠΟ ΤΟΝ ΕΝΑΡΘΡΟ ΛΟΓΟ,
ΝΕΕΣ ΠΡΟΟΠΤΙΚΕΣ.
ΝΕΑ ΣΧΕΔΙΑΣΤΙΚΑ ΕΡΓΑΛΕΙΑ
ΣΥΝΑΡΤΟΜΕΝΑ ΜΕ ΤΗΝ ΤΕΧΝΗΤΗ ΝΟΗΜΟΣΥΝΗ

“Notice what the ancients said in images: *the word is a creative act. The ancients said: in the beginning was the Word.* Consider this and think upon it. The words that oscillate between nonsense and supreme meaning are the oldest and truest.”

Carl G. Jung, *The Red Book*, Page 236

14 Αλφάβητα & Ο Μετουσιωτής



Σ γνωστόν στην Αρχαία Ελληνική και Νεότερη παράδοση, όπως και στην Εβραϊκή, ο Λόγος συνδέεται άμεσα με τη Δημιουργία τόσο του σύμπαντος από έναν Δημιουργό/Θεό όσο και μίας τελικής έκβασης μίας κατάστασης από την απαγγελία ιερών λόγων ή την άρθρωση κάποιων λέξεων ή κάποιων σκέψεων του υποκειμένου. Στα θεολογικά κείμενα, το Σύμπαν πλάθεται από το Λόγ-ο, ο οποίος πηγάζει από το Λογ-ισμό· τη σκέψη του Δημιουργού.⁴²⁰

Κατά παράδοση, η αρχιτεκτονική βασίζεται σε ένα γραμματικό αρχιτεκτονικό λεξι-λόγ-ιο, σύμφωνα με το οποίο τα γραμματικά του μέρη συνδυάζονται⁴²¹ προσδίδοντας μία μοναδική ταυτότητα στο κτίριο.⁴²² Κατά αυτό το τρόπο, καθίσταται δυνατή η αναγνώριση τής/τού δημιουργού και της αρχιτεκτονικής τάσης τής εποχής στην οποία κατασκευάστηκε το κτίριο, μνημείο κ.ο.κ.⁴²³ Από μελετητές υποστηρίζεται ότι ένα τέτοιο μελετημένο οικοδόμημα με το συνδυασμό των γραμματικών του μερών, ομοιάζει με τα γραμματικά μέρη τής ανθρώπινης γλώσσας,⁴²⁴ ενώ ο έναθρος λόγος, δηλαδή η ανθρώπινη γλώσσα, δύναται να παρομοιαστεί με ένα οικοδόμημα ή ένα μνημείο.⁴²⁵

Με δεδομένο τα ανωτέρω και εφορμώντας από τη μοντέρνα υπόθεση ότι «όλα είναι μια γλώσσα», παρέχοντας στους σχεδιαστές τη δυνατότητα σχεδιασμού ακολουθώντας τις αρχές των γλωσσολογικών θεωριών, ώστε να νοηματοδοτηθούν τα κτίριά τους,⁴²⁶ δημιουργώντας την αρχιτεκτονική τους γλώσσα μέσω της σύνταξης σχεδιαστικών γραμματικών κανόνων,⁴²⁷ συγκροτήθηκε η κεντρική ιδέα της διερεύνησης χωρικών ποιοτήτων του έναρθρου λόγου (της ανθρώπινης γλώσσας), ο οποίος θα συμπυκνώνει το

λογ-ισμό και το λόγ-ο του αρχιτέκτονα δημιουργώντας ορισμένες δομές είτε προς επεξεργασία είτε προς χρήση.

Κατά την Κλασική Εποχή, από τον Πλάτωνα⁴²⁸ στο έργο «Τίμαιος», στ. 30b γράφεται «διὰ δὴ τὸν λογισμὸν τόνδε νοῦν μὲν ἐν ψυχῇ, ψυχὴν δ' ἐν σώματι συνιστὰς τὸ πᾶν [ὁ Θεός] συνετεκταίνεται.» Δηλαδή, εμμέσως πλην σαφώς, εκ του «Πυθαγορικού Τίμαιου», όπως τίθεται ο επιθετικός προσδιορισμός «πυθαγορικός» στο «προοίμιο»/Βιβλίο Α' του Πρόκλου Διαδόχου «εἰς τὸν Τίμαιον Πλάτωνος»,⁴²⁹ αναφέρεται ότι ο Θεός δημιουργεί με τη Θεϊκή Σκέψη⁴³⁰, δηλαδή κατά την Αρχαία Ελληνική σημασία με το λογ-ισμό του. Ως γνωστόν, οι λέξεις λογ-ισμός και λόγ-ος είναι παράγωγες λέξεις του ρήματος λέγ-ω < ινδοευρωπαϊκή ρίζα *leǵ-⁴³⁰

Σε μέρος των «Ερμητικών Κειμένων» του Ερμή του Τρισμέγιστου,⁴³¹ των οποίων η διαμόρφωση χάνεται στα βάθη των αιώνων (συντεθειμένα τουλάχιστον από τους χρόνους των Πτολεμαίων, 4^ο - 1^ο αι. π.Χ. μέχρι και το 2^ο - 4^ο αι. μ.Χ., έργα παλαιότερα από τα χριστιανικά Ευαγγέλια και τους Γνωστικούς), συναντάται ο Δημιουργικός Λόγος. Στη Χριστιανική θεολογία, πιο συγκεκριμένα στο «Κατὰ Ἰωάννην Εὐαγγέλιον» φαίνεται σαν να ενσαρκώνεται η έννοια περί του Δημιουργικού Λόγου των «Ερμητικών Κειμένων». Σε νεότερη έκδοση (2^ο - 4^ο αι. μ.Χ.) των «Κειμένων» αποκαλύπτεται η «θεϊκή γνώση» μέσω ενοτήτων, τους επονομαζόμενους «Λόγους»,⁴³² βασισμένοι στην Αιγυπτιακή σοφία, στην Ελληνική φιλοσοφική σκέψη, στο Χριστιανικό και στο Εβραϊκό πνεύμα.⁴³³ Από τον Ερμή τον Τρισμέγιστο⁴³⁴ στο «Λόγο Α'» της παραγράφου 9 αναφέρεται ότι ο Νους-Θεός γέννησε με ένα Λόγο, έναν άλλο [Συν]δημιουργό Νου, το Θεό της φωτιάς (πυρός) και του πνεύματος. Συνεχίζοντας στην παράγραφο 10 σημειώνεται ότι «ὁ δημιουργὸς Νοῦς σὺν τῷ Λόγῳ» πλάθει τον κόσμο. Παράλληλα, στην Εβραϊκή και Χριστιανική θεολογία ο Θεός δημιουργεί

420 (Πλάτων, 2010, σ. 186). 30b, σ. «διὰ δὴ τὸν λογισμὸν τόνδε νοῦν μὲν ἐν ψυχῇ, ψυχὴν δ' ἐν σώματι συνιστὰς τὸ πᾶν συνετεκταίνεται.»

421 (Mitchell, 1990, σ. 8)

422 (Stiny and March, 1981, σ. 250)

423 (Mitchell, 1990, σ. 132-135)

424 (Mitchell, 1990, σ. 8; Hillier, 1996/2007, σ. 7-8, 42-43)

425 (Georgakopoulou and Silk, 2009, σ. xxiii)

426 (Hillier, 1996/2007, σ. 42)

427 (Mitchell, 1990, σ. 179-181)

428 (Πλάτων, 2010, σ. 186)

429 (Πλάτων, 2010, σ. 691, 707)

430 (Μπαμπινιώτης, 2010, σ. 766)

431 (Ερμής Τρισμέγιστος, 1990, σ. 7, 12)

432 (Ερμής Τρισμέγιστος, 1990, σ. 11)

433 (Ερμής Τρισμέγιστος, 1990, σ. 10)

434 (Ερμής Τρισμέγιστος, 1990, σ. 23)

Στο όραμα του «Μετουσιωτή» εξετάζεται το ακόλουθο σχήμα:

Ανυπαρξία → Νους → Λογισμός →
→ Λόγος → Χωρική Ποιότητα (Υπόσταση) →
→ Αρχιτεκτονική σύνθεση

Μέσα από τα εργαλεία που παρέχονται από τα εξελεγμένα υπολογιστικά συστήματα, θα προσεγγιστεί η αρχιτεκτονική σύνθεση με ένα διαφορετικό από τον παραδοσιακό τρόπο, χωρίς να αντιτεθεί σε αυτόν. Η ανθρώπινη παρουσία ήταν, είναι και θα είναι αναντικατάστατη κατά τη διαδικασία της σύνθεσης,⁴⁴⁵ αφού το εύρος των συνθετικών και σχεδιαστικών επιλογών και συνδυασμών είναι αναρίθμητο

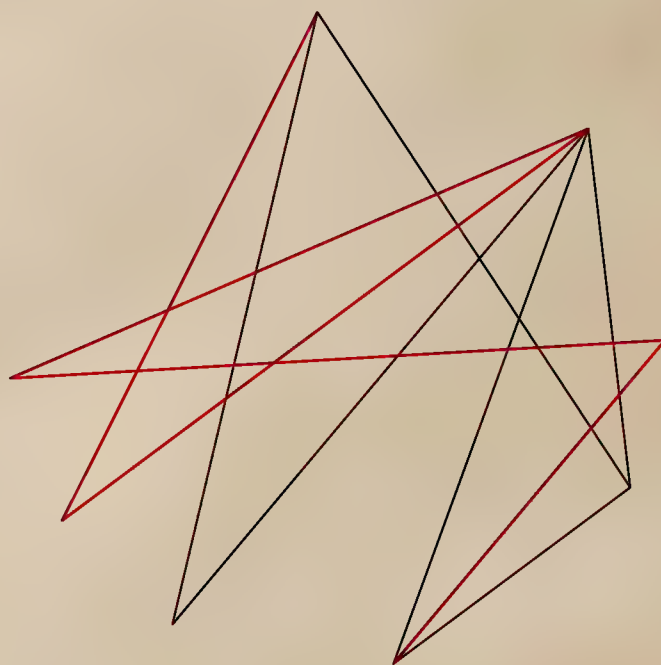
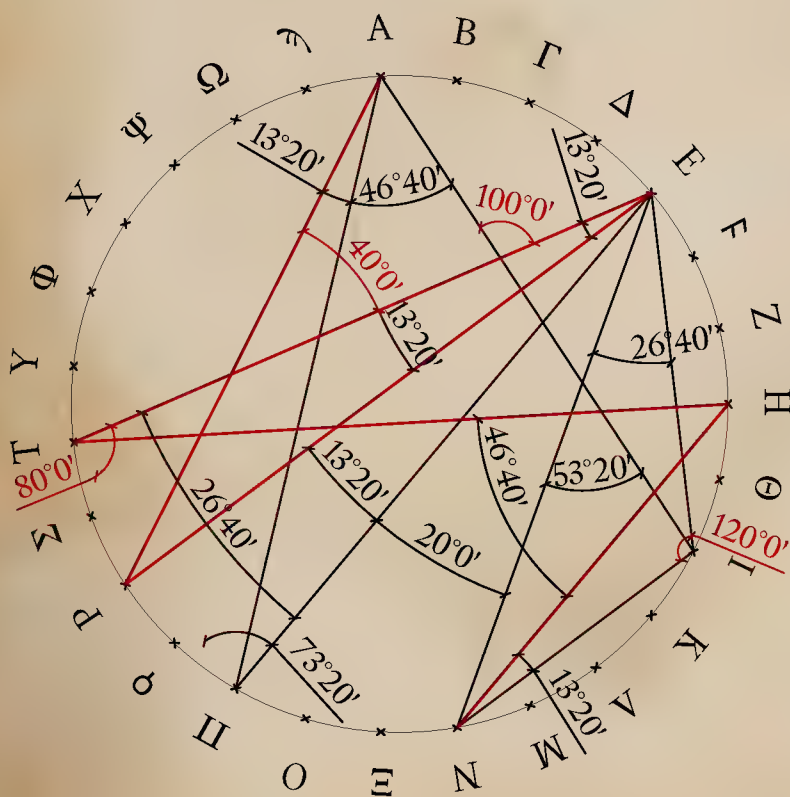
κάθε φορά, ώστε η/ο αρχιτέκτονας να δημιουργεί ανά τις χρονικές περιόδους κάτι νέο, μοναδικό και αξιόπεραστο.

Ουσιαστικά, μέσα από το όραμα αυτό θα δοθεί το πρόσφορο έδαφος για **μία νέα προσέγγιση της αρχιτεκτονικής σύνθεσης**. Αυτή η προσέγγιση οραματίζεται την μεταμόρφωση του έναρθρου λόγου (της ανθρώπινης γλώσσας) σε τρισδιάστατη εικόνα με την παρουσία ολογραμμτικής απεικόνισης σε πραγματικό χρόνο⁴⁴⁶ ή μέσω οθόνων (η οθόνη δε θεωρείται τελικός σκοπός, αφού παρεμποδίζεται η πλήρη απόδοση της τρισδιάστατης εικόνας· δηλαδή απουσιάζει η «πέμπτη όψη»). Χειρίζοντας πλέον η/ο αρχιτέκτονας/Homo-Cycreasol μία ψηφιακή μακέτα με λεκτικές εντολές, τις ίδιες (της/του) τις λέξεις (όχι ακατάσχετους ήχους) και την ίδια (της/του) τη σκέψη· χρήση μη επεμβατικού συστήματος Brain-Computer Interface ή BCI.⁴⁴⁷

«**Ἐπαίνει ἀρετὴν**» | "**Praise virtue**." Δελφικά Παραγγέλματα.

Ιωάννου Στοβαίου. *Εκλογών Αποφθεγμάτων Υποθηκών*. Βιβλίο

Τρίτον. CAPVT I. *Περὶ Ἀρετῆς*. 173 (3, 80 Mein.) [12]⁴⁴⁸



445 (Tsigkari, M., Tarabishy, S. and Kosicki, M., 2021)
446 (HoloLamp, 2018); (Geo Week News Staff, n.d.)

447 (BCITugraz, 2012; WIRED, 2015)
448 (Joannis Stobaei, 1884, σ. 125)

Στην έρευνα αυτή συγκαταλέγονται άτομα με ειδικές ανάγκες που δεν έχουν τη δυνατότητα να σχεδιάσουν ως αρχιτέκτονες, αλλά το προσδοκούν, το ονειρεύονται.

Στην προκείμενη έρευνα δίδονται/προβλέπονται οι ακόλουθες δυνατότητες δημιουργιών:

- (i) μιας κεντρικής ιδέας (concept),
- (ii) «επίπλων»/μικρών κατασκευών,
- (iii) landscape,
- (iv) κατοικίας,
- (v) χωροθέτησης κτιριακών συγκροτημάτων κατοικιών σε ένα ανοικτό πεδίο πάνω από 10,000 m²,
- (vi) χώρου παιχνιδιού για παιδιά σε ανοικτό πεδίο ακτίνας τουλάχιστον 10m,

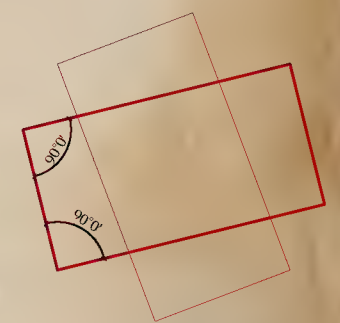
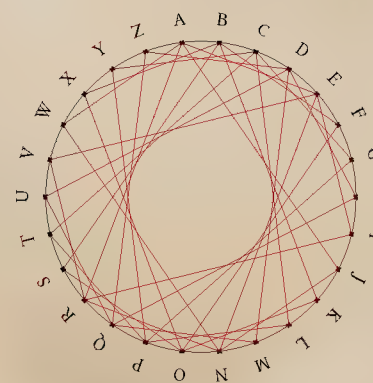
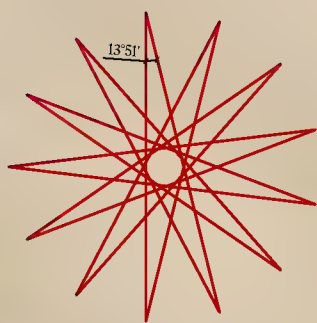
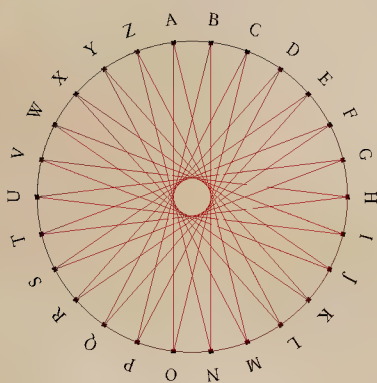
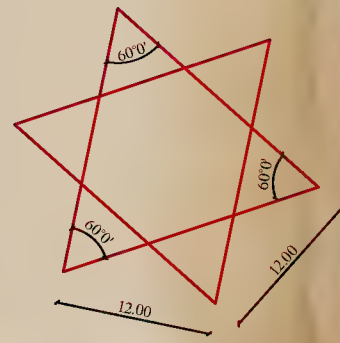
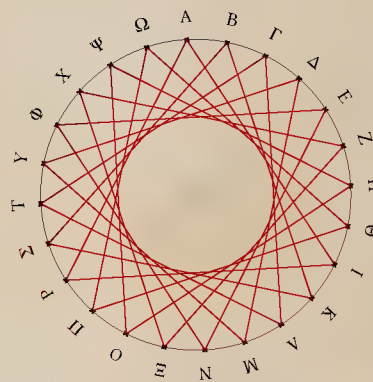
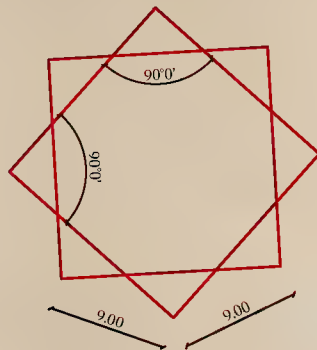
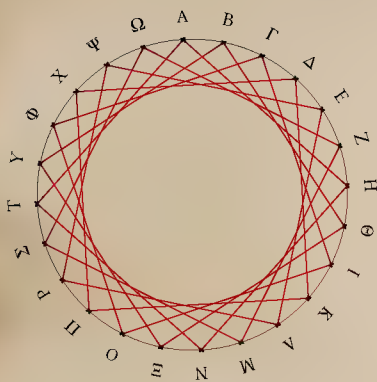
(vii) χωρικών ποιοτήτων σε Video Game προσομείωσης της πραγματικότητας όπου ο χρήστης έχει πρωταγωνιστικό ρόλο και καθορίζει καταλυτικά το παιχνίδι, λ.χ. μπορεί να κτίζει πόλεις, χωριά, συγκροτήματα κτιρίων κτλ.

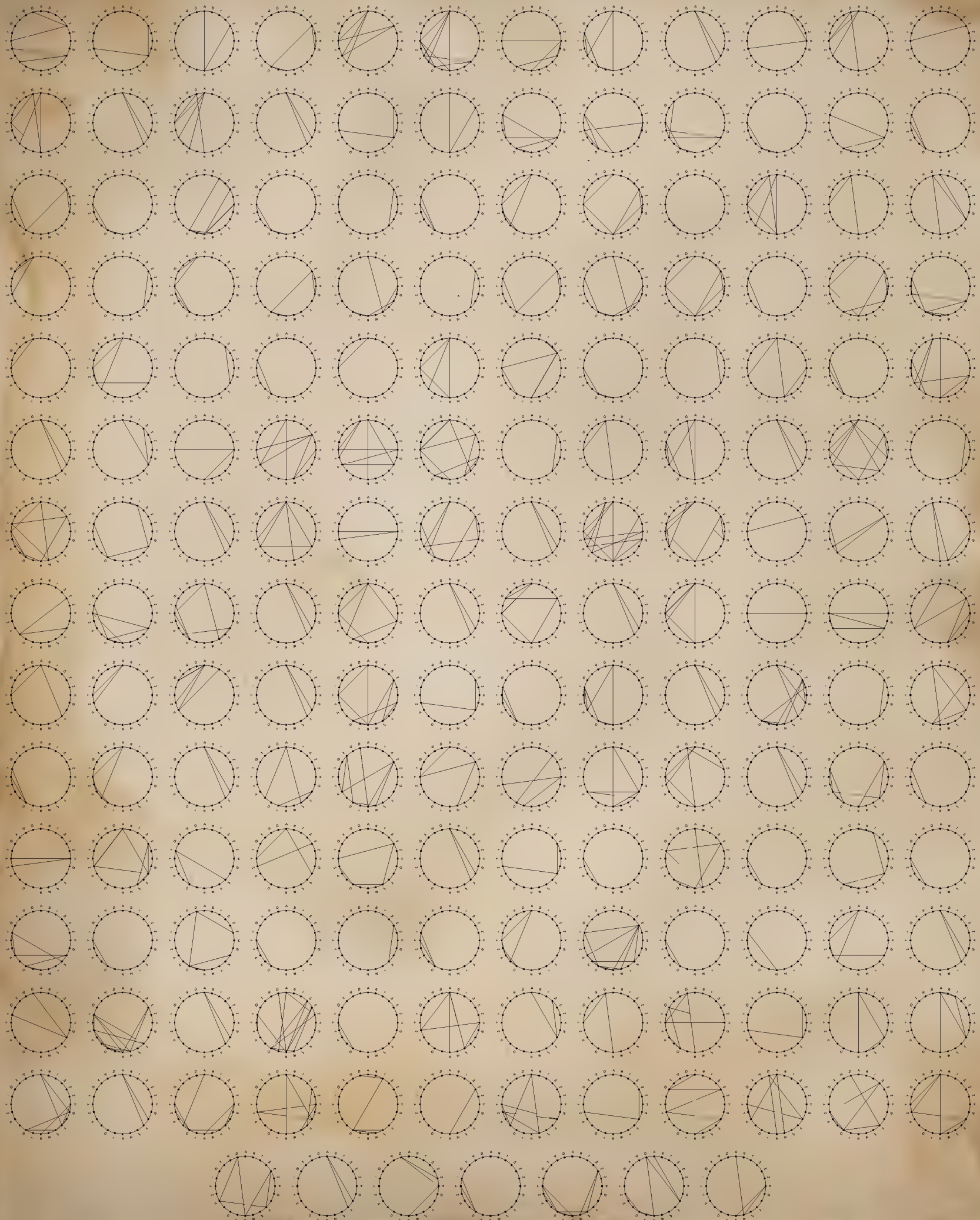
Ο πειραματισμός θεωρείται ότι θα μπορούσε να διεξαχθεί σε:

- (α) θεολογικά κείμενα,
- (β) ποιητικά κείμενα,
- (γ) τυποποιημένες φράσεις,
- (δ) τυχαίες φράσεις,

ώστε να καταβληθεί μία προσπάθεια προβολής των παραγόμενων χωρικών ποιοτήτων και να διερευνηθεί η αξιοποίησή τους.

Παρακάτω, παρατίθενται 3 ζωγραφικές συνθέσεις από τον υποφαινόμενο ως πρωτόλεια παραδείγματα παραγωγής ποιοτήτων του λόγου των θεολογικών κειμένων μέσω της τέχνης.





Τὸ Σύμβολο τῆς Πίστεως (Α' και Β' Οικουμενική Σύνοδος).

Σύντομη και περιληπτική ομολογία των βασικών δογμάτων της χριστιανικής πίστες

Πιστεύω εἰς ἕνα Θεόν, Πατέρα, Παντοκράτορα, ποιητὴν οὐρανοῦ καὶ γῆς, ὁρατῶν τε πάντων καὶ ἀοράτων.

Καὶ εἰς ἕνα Κύριον Ἰησοῦν Χριστόν, τὸν Υἱὸν τοῦ Θεοῦ τὸν μονογενῆ, τὸν ἐκ τοῦ Πατρὸς γεννηθέντα πρὸ πάντων τῶν αἰώνων· φῶς ἐκ φωτός, Θεὸν ἀληθινὸν ἐκ Θεοῦ ἀληθινοῦ, γεννηθέντα οὐ ποιηθέντα, ὁμοούσιον τῷ Πατρί, δι' οὗ τὰ πάντα ἐγένετο.

Τὸν δι' ἡμᾶς τοὺς ἀνθρώπους καὶ διὰ τὴν ἡμετέραν σωτηρίαν κατελθόντα ἐκ τῶν οὐρανῶν καὶ σαρκωθέντα ἐκ Πνεύματος Ἁγίου καὶ Μαρίας τῆς Παρθένου καὶ ἐνανθρωπήσαντα.

Σταυρωθέντα τε ὑπὲρ ἡμῶν ἐπὶ Ποντίου Πιλάτου, καὶ παθόντα καὶ ταφέντα.

Καὶ ἀναστάντα τῇ τρίτῃ ἡμέρᾳ κατὰ τὰς Γραφάς.

Καὶ ἀνελθόντα εἰς τοὺς οὐρανοὺς καὶ καθεζόμενον ἐκ δεξιῶν τοῦ Πατρὸς.

Καὶ πάλιν ἐρχόμενον μετὰ δόξης κρῖναι ζῶντας καὶ νεκρούς, οὗ τῆς βασιλείας οὐκ ἔσται τέλος.

Καὶ εἰς τὸ Πνεῦμα τὸ Ἅγιον, τὸ κύριον, τὸ ζωοποιόν, τὸ ἐκ τοῦ Πατρὸς ἐκπορευόμενον, τὸ σὺν Πατρὶ καὶ Υἱῷ συμπροσκυνούμενον καὶ συνδοξαζόμενον, τὸ λαλῆσαν διὰ τῶν προφητῶν.

Εἰς μίαν, Ἁγίαν, Καθολικὴν καὶ

Ἀποστολικὴν Ἐκκλησίαν.

Ὁμολογῶ ἓν βάπτισμα εἰς

ἄφεσιν ἁμαρτιῶν.

Προσδοκῶ

ἀνάστασιν

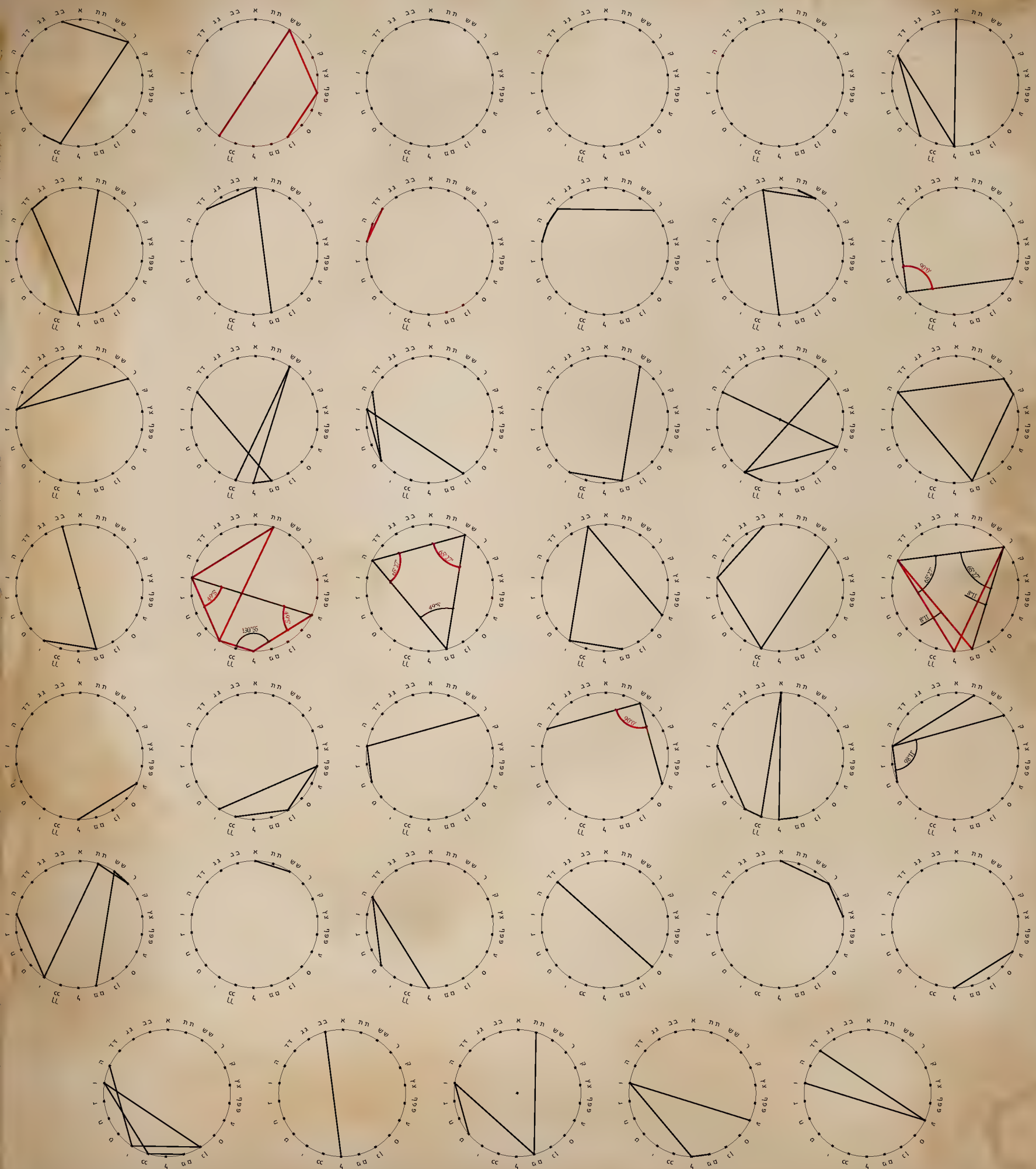
νεκρῶν.

Καὶ ζωὴν τοῦ

μέλλοντος

αἰῶνος.





Psalm 104 (Creation of the Universe Psalm). Traditional Hebrew
Babylonian

תְּשַׁבֵּחַ לַרְדּוֹ הוֹדוּהָ דָא מִתְּלִיד גִּיחֲלָא הָהִיא שְׁפָנִי יִכְרֵב
הָעִירִי כְּסִימָשׁ הַטּוֹן הַמֶּלֶךְ שֶׁכְּרוֹא הַטֵּעַ
חֹרֵיפָנִי כִלְעִי לְהַמְחִיב וּבִכְרִיב עִשָׁה וִיתוּי לְעִסִּי מִבְּהֵרָקְמָה
טַהֵל שְׂאֵל וִיתְדֵשׁמ תּוֹחֹר וִיכָאֵל מַהֲשֵׁעַ
דְּעָרִים לֹעֵס טוֹמֵת לִבִּי הִי נֹכַח לְעִירָא דִּסְ

barchi nafshi et Adonay - praise the Lord oh my Soul
Adonay Elohay gadalta meod - O Lord, thou art very great
hod ve'hadar lavashta - thou art clothed with honor and majesty
otah or kasalma - who covereth thyself with light, as with a garment
otah shaman kayria - who stretchest out the havens like a curtain
hamkare ba'maim aliyotav - who layeth the beams of his chambers in the waters
hasam avim rechuvo - who maketh the clouds his charriot
hamehalech al kanfey reach - who walketh upon the wings of the wind
oseh malachav ruche - who maketh winds his messengers
mesharetav ash lohet - flames of fire his minister
yasad eretz al mechoneha - who laid the foundations of the earth
bal timot clam a'ed - that is should not be moved forever





O Sanctissima - A Hymn of Praise to the Blessed Virgin Mary

O sanctissima, O piissima, Dulcis Virgo Maria!

Mater amata, Intemerata:

Ora, ora pro nobis!

Tua gaudia Et suspiria Juvent nos, O Maria!

In te speramus, Ad te clamamus,

Ora, ora pro nobis

O most holy one, O most lowly one,

Loving virgin, Mary!

Mother of tender love,

Queen of the heavens above,

Pray for us here below!

Virgin ever fair, hear our fervent prayer,

Look upon us, Mary!

Bring to us your treasure, grace beyond measure;

Pray for us here below!

The author of the prayer is unknown and the text was first published in 1792 by the British newspaper European Magazine and London Review.



Ορισμοί:

9612

9

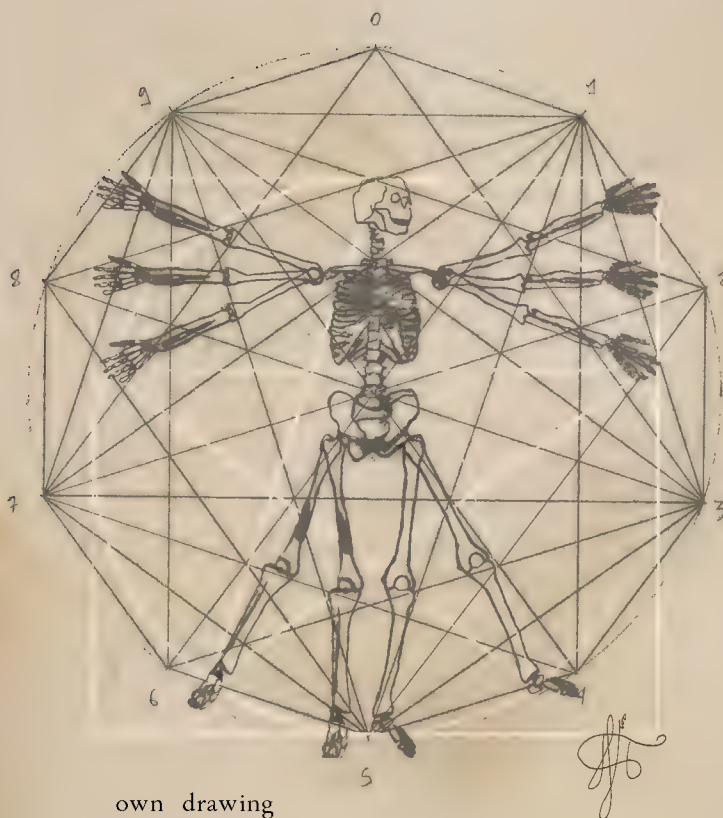
Αρχιτεκτονική: Η αρχιτεκτονική λογίζεται ως η διαδικασία του τίκτειν δια του «Δημιουργού» Νου συγκροτώντας ένα ον.

Ο ορισμός αυτός προέρχεται μέσα από προσωπικές αναγνώσεις και ερμηνείες σχεδίων αρχιτεκτονικών μνημείων σε συνδυασμό με ανάγνωση του έργου «Τίμαιος» του Πλάτωνα, των «Ερμητικών Κειμένων» του Ερμή του Τρισμέγιστου και της πραγματείας «Περί Αρχιτεκτονικής» του Βιτρούβιου. Επίσης, θεωρείται ότι η σύλληψη μιας ιδέας και η υλοποίησή της προσομοιώνει εκείνη την κατά τας Γραφάς στιγμή της θείας «δημιουργίας των πρωτόπλαστων» που απαντάται με παραλλαγές σε αρχαίους πολιτισμούς.⁴⁴⁹ Η αρχιτεκτονική σύνθεση αποτελεί το Άλφα και το Ωμέγα καθότι στο κτίριο εντυπώνεται κομμάτι της ψυχής τόσο της/του αρχιτέκτονα όσο της ίδιας της κοινότητας -ως αναπόσπαστο μέλος της/του. Αυτό συνάγεται από την πραγματεία «Περί αρχιτεκτονικής» του Βιτρούβιου,⁴⁵⁰ η οποία αναφέρεται στην παιδεία του Αρχιτέκτονα. Η εν λόγω παιδεία πρέπει να εκκινείται από την παιδική ηλικία και να

βασίζεται σε θεωρητικές (λ.χ. φιλοσοφία, μουσική) και πρακτικές γνώσεις (λ.χ. οικοδομικής) πράγματα τα οποία υπάρχουν ήδη στην κοινότητα όπου ανατρέφεται και διαμορφώνεται το πνεύμα του αρχιτέκτονα. Το αρχιτεκτονικό έργο λαμβάνεται ως ον, αφού σύμφωνα με τον Hillier⁴⁵¹ από το κτίριο:

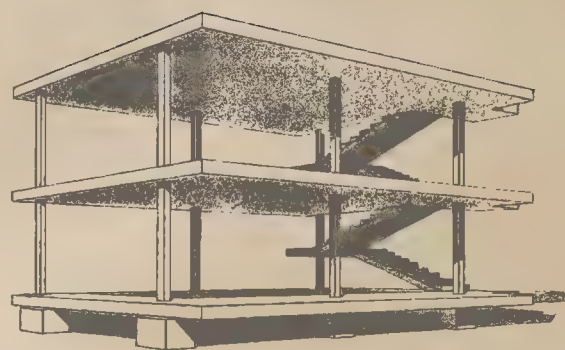
- (i) ενσωματώνονται και μεταδίδονται κοινωνικές και πολιτιστικές πληροφορίες,
- (ii) επηρεάζεται το μοτίβο της κίνησης σε χωροταξικό επίπεδο, «κατανέμοντας» τα άτομα στα χωρικά πλαίσια της πόλης, και παράλληλα στο κτίριο
- (iii) διαμορφώνεται ένας «σκελετός», νοώντας το κτιριολογικό διάγραμμα και το φέροντα οργανισμό,
- (iv) **ενυπάρχει το δίπολο ζωής-θανάτου.**

Επομένως, κατά τρόπον τινά το κτίριο θα μπορούσε να λογιστεί ως ένας «ζωντανός» οργανισμός, του οποίου αφενός μεν φθείρονται τα υλικά του με την πάροδο του χρόνου, αφετέρου δε κατά περιπτώσεις περνάει στη συλλογική μνήμη και εξυμνείται ως αξεπέραστο δημιούργημα: «κατακτώντας» μία μορφή αθανασίας (λ.χ. Πυραμίδες της Γκίζας). Ο όρος ον χρησιμοποιείται με την έννοια του «καθετί που έχει υπόσταση»,⁴⁵² λ.χ. ανθρώπινο ον.



own drawing

© Petrakis, Petros 2021, *Vitruvian man*. "De architectura," (III, I, 1-4.) [Pencil on paper, 210x297 mm] Athens.



own drawing

© Le Corbusier 1914-15, *Maison Dom-Ino* (Dom-Ino House). [drawing] "Le Corbusier et Pierre Jeanneret: oeuvre complète. Vol. 1, 1910-1929"

449 (Maurice, L., & Tovi Bibring, 2022, σ. 22, 41-42); πρβ Κακριδής et al, 2; 1986, σ. 31). «Ο Προμηθέας με τη συνεργασία της Αθηνάς πλάθει τους ανθρώπους από πηλό και φωτιά, δίδοντας τους μορφή ή παραπλήσια με τη μορφή των Θεών.»

450 (Βιτρούβιος, 2000, σ. 36-49)

451 (Hillier, 2007, σ. 288)

452 (Μπαμπινιώτη, 2002, σ. 1258)

453 (Schueffel, 2017, σ. 2)

ΟΥ ΟΝ

φωνητική αξία 'n'

Ο = Αρχιτεκτονικό έργο

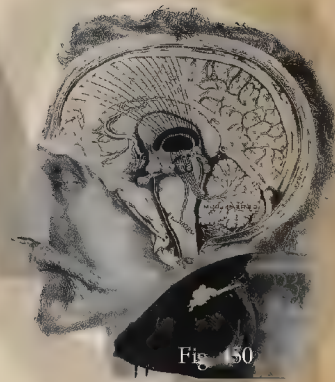
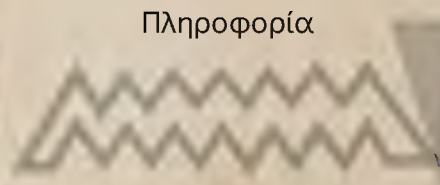
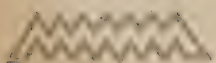


Fig. 150 Thoughts



Ιερογλυφικό Αιγύπτου, φωνητική αξία 'n'. Reprinted from *Hieroglyphics: the writings of ancient Egypt* (pp. 163), by Betrò, Maria Carmela, 1996, New York: Abbeville Press. Copyright 1996 of Mondadori Editore S.p.A.

Μετουσιωτής: Το παρόν όραμα συντομεύεται σε έναν όρο ως *Μετουσιωτής*. Ο όρος αυτός προέρχεται αφενός μεν από τη διατύπωση των δισδιάστατων απεικονίσεων της πρωτόγονης τέχνης που μετουσιώθηκαν εν μέρει στο αρχιτεκτονικό έργο και αφετέρου δε από το δημιουργικό θεϊκό Λόγ-ο των θεολογικών και φιλοσοφικών κειμένων, μέσω του οποίου μετουσιώθηκε ο Λογ-ισμός τ(ού/ών) Δημιουργ(ού/ών) σε Ύλη/Υπόσταση.

Artificial Intelligence (AI)/ τεχνητή νοημοσύνη: Η ικανότητα των υπολογιστικών συστημάτων να εκτελούν εργασίες που συνήθως συνδέονται με τις ικανότητες των ευφύων όντων, όπως η μάθηση και η γενίκευση ή ακόμα η λογική και η ερμηνεία. Αυτές οι ικανότητες επιτρέπουν στα συστήματα να εκτελούν πολύπλοκες εργασίες όπως οπτική αντίληψη, αναγνώριση ομιλίας, λήψη αποφάσεων ή μετάφραση μεταξύ γλωσσών⁴⁵³, λ.χ. ο μεταφραστής Google.

Augmented Reality (AR)/ επαυξημένη πραγματικότητα: Μια διαδραστική εμπειρία ενός πραγματικού περιβάλλοντος όπου τα αντικείμενα που βρίσκονται στον πραγματικό κόσμο ενισχύονται από αντιληπτικές πληροφορίες που παράγονται από υπολογιστή μερικές φορές με πολλαπλές αισθητηριακές μεθόδους, συμπεριλαμβανομένων οπτικών, ακουστικών, σωματοαισθητηριακών, αισθήσεων αφής και όσφρησης.⁴⁵⁴

Brain-computer interface (BCI): (τομέας Νευροψυχολογίας) είναι ένα σύστημα μιας άμεσης οδού επικοινωνίας μεταξύ της ηλεκτρικής δραστηριότητας του εγκεφάλου και μιας εξωτερικής συσκευής, λ.χ. υπολογιστή ή ενός ρομποτικού μέλους. Τα BCI συχνά στοχεύουν στην έρευνα, τη χαρτογράφηση, την υποβοήθηση, την αύξηση ή την επιδιόρθωση των ανθρώπινων γνωστικών ή αισθητηριοκινητικών λειτουργιών.⁴⁵⁵ Βασίζεται σε έναν υπολογιστή που λαμβάνει εγκεφαλικά σήματα από τα τοποθετημένα ηλεκτρόδια στην περιοχή του εγκεφάλου,⁴⁵⁶ τα αναλύει και τα μεταφράζει σε εντολές. Οι εντολές αυτές αναμεταδίδονται σε μια συσκευή εξόδου όπου πραγματοποιείται μια επιθυμητή ενέργεια,⁴⁵⁷ λ.χ. κίνηση στο χώρο ενός τηλεκατευθυνόμενου από πολλούς παραλλήλως χρήστες⁴⁵⁸ ή κίνηση σε επιθυμητές κατευθύνσεις ενός χαρακτήρα σε ένα Video Game από ένα χειριστή.⁴⁵⁹ Οι εφαρμογές των BCI κυμαίνονται από μη επεμβατικές/'non-invasive' (EEG, MEG, EOG, MRI) και μερικώς επεμβατικές/'partial invasive' (ECOG

και ενδαγγειακές) έως επεμβατικές/'partially invasive' (συστοιχία μικροηλεκτροδίων), με βάση κατά πόσο κοντά φτάνουν τα ηλεκτρόδια στον εγκεφαλικό ιστό.⁴⁶⁰

Intelligent Agent (IA)/«ευφυής» ή «έξυπνος» πράκτορας: Στη τεχνητή νοημοσύνη είναι ο,τιδήποτε αντιλαμβάνεται το περιβάλλον του, αναλαμβάνει ενέργειες αυτόνομα για να επιτύχει στόχους και μπορεί να βελτιώσει την απόδοσή του με τη μηχανική μάθηση (machine learning/ML) ή μπορεί να χρησιμοποιήσει τη γνώση. Μπορεί να είναι απλά ή σύνθετα — ένας θερμοστάτης θεωρείται παράδειγμα «ευφύους» πράκτορα, όπως και ένας άνθρωπος, ή και κάθε σύστημα που πληροί τον ορισμό, όπως μια εταιρεία.⁴⁶¹ Ένα ρομποτικό παράδειγμα «ευφύους» πράκτορα είναι ο AlphaZero IA σκακιστής, ο οποίος αφού διδάχτηκε από μόνος του σκάκι μέσα σε μερικές ώρες κέρδισε έναν επαγγελματία πρωταθλητή σκακιστή.⁴⁶²

Machine learning (ML)/Μηχανική μάθηση: Η μηχανική μάθηση είναι ένα πεδίο έρευνας αφιερωμένο στην κατανόηση και τη δημιουργία μεθόδων που «μαθαίνουν», δηλαδή μεθόδους που αξιοποιούν δεδομένα για τη βελτίωση της απόδοσης σε κάποιο σύνολο εργασιών,⁴⁶³ «κτίζοντας τη γνώση». Θεωρείται κλάδος της τεχνητής νοημοσύνης (AI). Οι αλγόριθμοι μηχανικής μάθησης (ML) κτίζουν ένα μοντέλο που βασίζεται σε δείγματα δεδομένων, γνωστά ως δεδομένα εκπαίδευσης, προκειμένου να κάνουν προβλέψεις ή να λαμβάνουν αποφάσεις χωρίς να είναι ρητά προγραμματισμένοι να τα πραγματοποιήσουν.⁴⁶⁴ Ουσιαστικά, τα «έξυπνα» συστήματα μπορούν να μάθουν από δεδομένα, να εντοπίζουν πρότυπα και να λαμβάνουν αποφάσεις με ελάχιστη ανθρώπινη παρέμβαση.⁴⁶⁵

Plug-in/plugin: Ένα στοιχείο λογισμικού που προσθέτει μια συγκεκριμένη δυνατότητα σε ένα υπάρχον πρόγραμμα υπολογιστή.

Virtual Reality (VR)/εικονική πραγματικότητα: Μια προσομοιωμένη εμπειρία, η οποία είναι παρεμφερή ή εντελώς διαφορετική από τον πραγματικό κόσμο. Οι εφαρμογές της εικονικής πραγματικότητας περιλαμβάνουν την ψυχαγωγία (ιδίως βιντεοπαιχνίδια/Video Games), την εκπαίδευση (όπως ιατρική ή στρατιωτική εκπαίδευση) και τις επιχειρήσεις (όπως εικονικές συναντήσεις). Άλλοι διαφορετικοί τύποι τεχνολογίας σε στυλ VR περιλαμβάνουν την επαυξημένη πραγματικότητα.⁴⁶⁶

454 (Schueffel, 2017: 2); (Huffington Post, n.d.)
 455 (Krucoff et al., 2016)
 456 (Martini et al., 2019)
 457 (Shih, Krusienski and Wolpaw, 2012)
 458 (WIRED, 2015)
 459 (BCITugraz, 2012)
 460 (Martini et al., 2019).

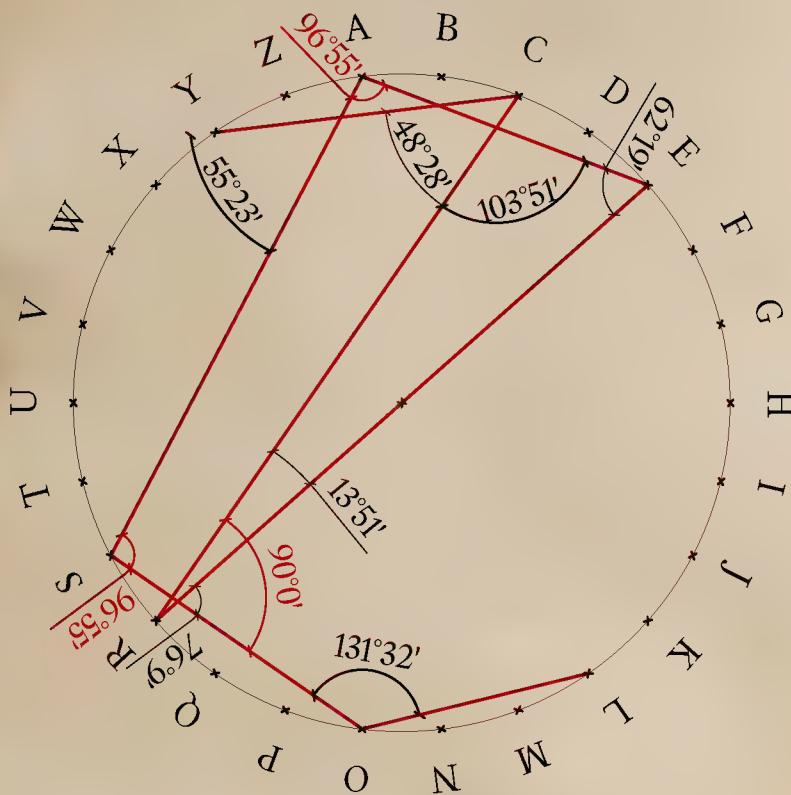
461 (Russell and Norvig, 2005)
 462 (The Guardian, 2017)
 463 (Mitchell, 1997)
 464 (Koza et al., 1996)
 465 (SAS Institute Inc., n.d.; Aplaydin, 2017).
 466 (Goode, 2019).

Homo-Cycreasol: Ο όρος αυτός είναι προϊόν ονοματοποιίας του υποφαινόμενου. Η ορολογία προέρχεται από τη Λατινική λέξη Homo (=άνθρωπος) τη σύμπτυξη των λέξεων Cyborg, Creator, Soul, & τον λατινικό όρο Söl (=ήλιος) και αναφέρεται στην/στον αρχιτέκτονα-δημιουργό που θα εκφέρει τον έναρθρο λόγο. Ο όρος Cyborg χρησιμοποιείται επειδή αποσκοπείται η χρήση του συστήματος διεπαφής εγκεφάλου-υπολογιστή (Brain-Computer Interface, γνωστό ως BCI). Ο όρος Soul συνάγεται από το χωρίο του Αριστοτέλη⁴⁶⁷ στο έργο του «Περί Ερμηνείας», στ. 24b[1-3] όπου σημειώνει «Ὡστ' εἶπερ ἐπὶ τῆς δόξης οὕτως ἔχει, εἰσὶ δὲ αἱ ἐν τῇ φωνῇ καταφάσεις καὶ ἀποφάνσεις

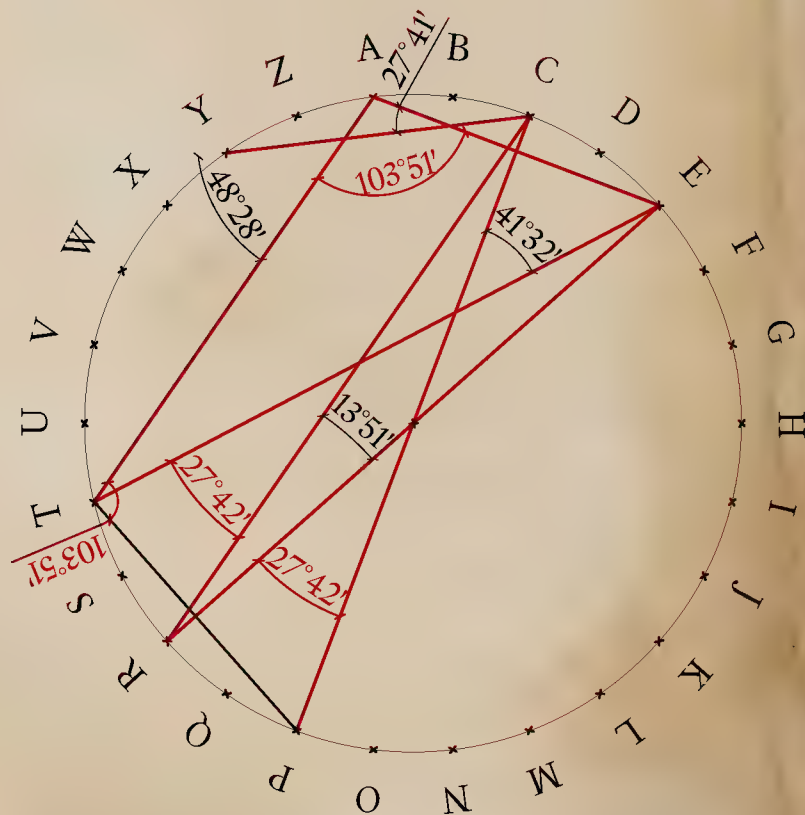
σύμβολα τῶν ἐν τῇ ψυχῇ.» Η φωνή/λόγος (όπως ερμηνεύεται από τον υποφαινόμενο) «Ξει» μέσα στην ανθρώπινη ψυχή και αποτελεί σύμβολα των διαθέσεων που ενεργούν μέσα της. Στην περίπτωση, του οράματος ο έναρθρος λόγος καθώς εκφέρεται παράγονται δομές, οι οποίες προέρχονται από την ψυχή του αρχιτέκτονα/δημιουργού, αφού η ίδια η φωνή «κατοικεί» μέσα στη ψυχή.

Pcycreat IA ("Creator" Intelligent Agent): Ο όρος αυτός είναι προϊόν ονοματοποιίας του υποφαινόμενου. Η ορολογία προέρχεται από τη σύμπτυξη των λέξεων Personal, Cyber, & Creator, και αναφέρεται στον προτεινόμενο Intelligent Agent-συνδημιουργό. Οι όροι είναι απόρροια εμπνεύσεων από αναγνώσεις θεολογικών και φιλοσοφικών κειμένων.

Homo-Cycreasol



Pcycreat ("Creator" Intelligent Agent)



Το όραμα στοχεύει στη μελέτη (i) της ένταξης της παραμέτρου των γραμμάτων (ένανθρος λόγος) μέσω γλωσσολογικής μελέτης και δημιουργίας λογισμικού προγράμματος, προς αξιοποίηση τους από αρχιτέκτονες με την ενοποίηση:

- (ii) του μη επεμβατικού BCI,
- (iii) της τεχνητής νοημοσύνης, με την αξιοποίηση της δύναμης της μηχανικής μάθησης (machine learning) από «ευφυή» πράκτορα (IA),

(iv) της φυσικής αλληλεπίδρασης με το ψηφιακό μοντέλο μέσω μίας οπτικής μονάδας παρακολούθησης χειρών· το εξάρτημα αυτό συνεργάζεται με τρισδιάστατα σχεδιαστικά προγράμματα,⁴⁶⁸

- (v) της διατύπωσης ειδικών εντολών από τον αρχιτέκτονα κατά το σχεδιασμό στην περίπτωση της χειροκίνητης επέμβασης. και
- (vi) της ολογραμμτικής απεικόνισης.



Euclidion
Hologram Table

The Leap Motion Controller is an optical hand tracking module that captures the movements of your hands with unparalleled accuracy. From XR to touchless kiosks, the Leap Motion Controller makes interaction with digital content natural and effortless.



The NextMind brain-computer interface decodes neural activity in real time, giving you the ability to control objects using only your mind.



HoloLamp

“Is the role of AI to allow us to become more human?”

Neil Leach, *Architecture in the Age of Artificial Intelligence*, Page 95

Σύγχρονη αρχιτεκτονική, ψηφιακός σχεδιασμός, ΑΙ:

Τις τελευταίες δεκαετίες φυσικά συστήματα και μαθηματικά μοντέλα μεταφράζονται σε παραμετρικούς κώδικες πραγματοποιώντας αρχιτεκτονικές συνθέσεις.⁴⁶⁹ Σε πιο εξειδικευμένες περιπτώσεις χρησιμοποιούνται ειδικά plugin σχεδιαστικών τρισδιάστατων προγραμμάτων για τη μετάφραση του ήχου σε χωρικές ποιότητες μελετώντας τις ηχητικές εντάσεις⁴⁷⁰ στο εύρος της ακοής του ανθρώπου· 20Hz - 20,000kHz.⁴⁷¹ Επίσης, από ειδικά επιστημονικά όργανα ακριβούς διαστάτησης αναπαράστασης των ηχητικών συχνοτήτων (πέραν της ανθρώπινης ακοής) απεικονίζονται συγκεκριμένες συχνότητες σε επιφάνειες⁴⁷² όπου διαπιστώνονται όμορφα συμμετρικά και ασύμμετρα γεωμετρικά σχέδια για κάθε διαφορετική συχνότητα.⁴⁷³ Γεγονός αποτελεί η ενσωμάτωση στον αρχιτεκτονικό σχεδιασμό «έξυπνων» συστημάτων⁴⁷⁴ από τα οποία μέσω της τεχνητής νοημοσύνης παρέχονται ανεκτίμητες δυνατότητες στο χρήστη, όπως για παράδειγμα, μία νέα καλύτερη χωρική εμπειρία από την αλληλεπίδραση του σχεδιασμένου «έξυπνου» περιβάλλοντος,⁴⁷⁵ ή την εξοικονόμηση τών πόρων θέρμανσης ενός κτιρίου μέσω «έξυπνων» αυτοπαραμορφούμενων προσόψεων,⁴⁷⁶ ή την αξιοποίηση της δύναμης της μηχανικής μάθησης (ML) για να υποβοηθηθεί η δημιουργική διαδικασία, λ.χ. στο σχεδιαστή να προσφέρεται ένα εύρος χωρικών επιλύσεων σε κατόψεις μιας κατοικίας.⁴⁷⁷

Η τεχνητή νοημοσύνη διαφαίνεται ότι έχει αντίκτυπο στην πρόοδο της αρχιτεκτονικής πρακτικής. Από έναν αυξανόμενο αριθμό αρχιτεκτόνων υψηλού προφίλ χρησιμοποιούνται νέες τεχνικές βασισμένες στην τεχνητή νοημοσύνη σχετικά με τις στρατηγικές σχεδιασμού τους.

Για παράδειγμα, ο Patrik Schumacher του γραφείου 'Zaha Hadid Architects' χρησιμοποίησε τη τεχνητή νοημοσύνη για να προσομοιάσει τη συμπεριφορά των ενοίκων στα κτίριά του.⁴⁷⁸ Επίσης, η ενσωμάτωση της τεχνητής νοημοσύνης σε αρχιτεκτονικά λογισμικά από καταξιωμένες εμπορικές εταιρείες, όπως η Autodesk,⁴⁷⁹ ή σε λογισμικά επεξεργασίας φωτογραφιών λ.χ. το Luminar Neo (συναφές με το επάγγελμα του αρχιτέκτονα)– καταδεικνύει ότι αναπόφευκτα την επόμενη δεκαετία θα χρησιμοποιούνται από αρχιτεκτονικά γραφεία, ώστε παραδείγματος χάριν να βελτιστοποιηθεί η ποιότητα ζωής των χρηστών σε ένα δημόσιο κτίριο, σε μια πλατεία κ.λπ. και να διευκολυνθεί η χειρωνακτική διαδικασία επεξεργασίας στο αρχιτ. γραφείο.

Η τεχνητή νοημοσύνη, αντιμετωπίζεται με αρκετό σκεπτικισμό, όπως είναι λογικό σε καθετί νέο και ανοίκειο,⁴⁸⁰ όμως τελικά και αναπόφευκτα θα ενσωματωθεί πλήρως, αφού οι εφαρμογές της θα γίνουν πιο εμφανείς τις επόμενες δεκαετίες,⁴⁸¹ αντικαθιστώντας εργασίες που σχετίζονται με τη σκληρή και επίπονη δουλειά-εργασία. Επομένως, θα δοθεί –ή καλύτερα πρέπει να δοθεί– στον άνθρωπο η ευκαιρία της ενασχόλησής του με το πνεύμα του και διαφορετικά πράγματα από την καθιερωμένη εβδομαδιαία ρουτίνα, λ.χ. ανάπτυξη φιλοσοφικών στοχασμών. Σε αυτό το σημείο θεωρείται καίριο να αναφερθεί ότι το δημιουργικό κομμάτι σχετίζεται με την επίγνωση των συνθηκών της πραγματικότητας και άλλων παραμέτρων που δεν μπορούν να γίνουν καταληπτές από ένα robot, ώστε να εντυπωθούν στην ψυχή του, στο πνεύμα του, και να αποδώσουν ένα μοναδικό δημιουργικό αποτέλεσμα, σε πλήρη αντίθεση με το ανθρώπινο ον που μπορεί, λ.χ. ο ζωγράφος Jackson Pollock⁴⁸² με τις μοναδικές αφηρημένες εξπρεσιονιστικές συνθέσεις του.

469 (Παπαχριστοφόρου, 2015; Cruz et al., 2021).

470 (Parades.3D Kevin DECHAMPS, 2020) ; (Casati, 2017); (Creative Mutation, 2019)

471 (Purves et al., 2018)

472 (Kassewitz and Hyson, 2016; Olmsted, 1867:178-179)

473 (CymaScope, n.d.; brusspup, 2013)

474 (Chaillou, 2022)

475 (Pavlovic et al., 2019)

476 (Tsigkari, Tarabishy and Kosicki, 2021)

477 (Tsigkari, Tarabishy and Kosicki, 2021).

478 (Leach, 2022, σ. 3, 110)

479 (Leach, 2022, σ. 37)

480 (Leach, 2022, σ. 5)

481 (Leach, 2022, σ. 175-176)

482 Αμερικανός ζωγράφος και ένας από τους σημαντικότερους εκπροσώπους του κινήματος του αφηρημένου εξπρεσιονισμού

Ένα παράδειγμα ως προς το «θαύμα» της ύπαρξης του ανθρώπινου όντος προέρχεται από μία επιστημονική μελέτη του καθηγητή Alberto Feletti (Τμήμα Νευροχειρουργικής του Πανεπιστημίου της Βερόνας)· μέσω του οποίου διερευνήθηκαν οι ομοιότητες μεταξύ δύο -των πιο προκλητικών και πολύπλοκων- συστημάτων της Φύσης: του δικτύου των νευρωνικών κυττάρων στον ανθρώπινο εγκέφαλο και το κοσμικό δίκτυο των γαλαξιών.⁴⁸³ Επίσης, πρέπει να υπενθυμηθεί ότι οι υπολογιστές/τα ρομπότ είναι μία ανθρώπινη εφεύρεση με περιορισμένες δυνατότητες, αν και εξαιρετικά αποδοτικές.⁴⁸⁴ Έπειτα, γνωστό είναι ότι «σε κάθε εξελικτική διαδικασία υφίσταται ένα μεταβατικό στάδιο, το οποίο δίδει τη δυνατότητα τού επαναπροσδιορισμού και της αλλαγής της τροχιάς των ειδών, προκαλώντας τη μετάλλαξη τους. Τα τελευταία 30 χρόνια, ο σχεδιασμός έχει γνωρίσει πολλαπλές αλλαγές παραδειγμάτων που παρήχθησαν από μια έκρηξη νέων μεθοδολογιών. Τα παραδείγματα αυτά προέρχονται κυρίως μέσα από νέες τεχνολογίες, αλλά και από μία σειρά πολιτιστικών αλλαγών, καθεμία από τις οποίες προκάλεσαν μια αναδιοργάνωση στην κουλτούρα του design, της αρχιτεκτονικής και της τέχνης· παραβιάζοντας μια παλιά τάξη πραγμάτων, καθιστώντας την ως ιστορική και ξεπερασμένη.»⁴⁸⁵

Ακολουθώς, αναμφισβήτητο είναι το γεγονός ότι οι αρχιτέκτονες είχαν πάντα την τάση να χρησιμοποιούν τις τεχνολογίες από άλλους κλάδους. Μερικά παραδείγματα λογισμικών άλλων κλάδων που τελικά αξιοποιήθηκαν στο έπακρο από αρχιτέκτονες είναι τα ακόλουθα:

- (i) το λογισμικό Autodesk Maya (μία τρισδιάστατη εφαρμογή γραφικών υπολογιστών),
- (ii) το Unity (2D και 3D πλατφόρμα για τη δημιουργία βιντεοπαιχνιδιών),
- (iii) τα ρομπότ KUKA (βιομηχανικά ρομπότ και συστήματα για αυτοματισμούς εργοστασίων)

Παράλληλα, σε ορισμένες περιπτώσεις, όπως αποδεικνύεται, από τους αρχιτέκτονες προσαρμόζεται ένα λογισμικό σχεδιασμένο για άλλους κλάδους, όπως στην περίπτωση του Digital Project,⁴⁸⁶ στο λογισμικό CATIA (Computer-Aided Three dimensional Interactive Application)· προσαρμοσμένο

από τις "Gehry Technologies," του αρχιτεκτονικού γραφείου του Αμερικανού αρχιτέκτονα Frank Owen Gehry. Το λογισμικό αυτό είχε αναπτυχθεί από τη γαλλική εταιρεία Daussault για χρήση στη βιομηχανία των αεροσκαφών.⁴⁸⁷

Επομένως, ένα λογισμικό τρισδιάστατου σχεδιαστικού προγράμματος αποκλειστικά για αρχιτέκτονες συναρτόμενο με το όραμα της έρευνας και τη τεχνητή νοημοσύνη, θα καλλιεργούσε μία νέα αρχιτεκτονική κουλτούρα από την παραδεδομένη, αφού όπως αναφέρεται από τον Leach «πολύ λίγες τεχνολογίες προέρχονται από την αρχιτεκτονική κουλτούρα.»⁴⁸⁸ Στο όραμα αυτό συνίσταται μία νέα προσέγγιση της αρχιτεκτονικής σύνθεσης, η οποία δεν έρχεται σε ρήξη με το παρελθόν, αλλά αξιοποιώντας τα δεδομένα του παρελθόντος (που μεσουράνησαν τον 20^ο αι. μ.Χ.) εξελίσσει τις δυνατότητες και την εμπειρία του αρχιτέκτονα ή και των αρχιτεκτόνων μέσα σε ένα τρισδιάστατο ψηφιακό χώρο/σχεδιαστήριο με αισθητηριακά ερεθίσματα.

Εξελιγμένα τεχνολογικά χειριστήρια - μη συμβατικά

(φαινομενικά) εξαρτήματα - νέες προοπτικές:

Εφαρμογές συστημάτων BCI: Σε Video Game πλέον υπάρχει η δυνατότητα ελέγχου ενεργειών/κινήσεων χαρακτήρων και του περιβάλλοντος ενός παιχνιδιού μόνο με το μυαλό, δηλαδή τη σκέψη, μέσω ενός VR εξαρτήματος BCI 'Next Mind.' Το 'Next Mind' είναι ένα μη επεμβατικό BCI που μπορεί να διαβάσει εγκεφαλικά κύματα από τον οπτικό φλοιό τού εγκεφάλου με την τοποθέτηση του στο πίσω μέρος τού κεφαλιού τού χρήστη με κόστος 400\$ και βάρος 60gr.⁴⁸⁹ Το εξάρτημα αυτό θα μελετηθεί, προκειμένου να ενσωματωθεί στην εμπειρία του αρχιτέκτονα με το λογισμικό.

Leap Motion Controller: Είναι μία μονάδα (εξάρτημα) οπτικής παρακολούθησης χειρών που καταγράφει τις κινήσεις των χειρών με απaráμιλλη ακρίβεια, στέλνοντας την πληροφορία στον υπολογιστή, με κόστος χαμηλότερο από 80\$.⁴⁹⁰ Στην περίπτωση της τρισδιάστατης απεικόνισης μοντέλων βοηθάει την κίνηση 3D μοντέλων (λ.χ. στο plugin Grasshopper του Rhinoceros -3D computer-aided design (CAD) application) με τα χέρια πάνω από ένα εξάρτημα, αιωρούμενα και κινούμενα στο χώρο, χωρίς κάποιο τηλεχειριστήριο, τύπου 'mousepad'. Το εξάρτημα αυτό θα μελετηθεί, προκειμένου να ενσωματωθεί στη διαδραστική εμπειρία του αρχιτέκτονα με το λογισμικό.

483 (Vazza & Feletti, 2020, σ. 6-7). "The Quantitative Comparison Between the Neuronal Network and the Cosmic Web"

484 (New China TV, 2019). 31:00-34:00 Video: "Jack Ma and Elon Musk hold debate in Shanghai." "Alibaba co-founder and executive chairman Jack Ma and Tesla CEO Elon Musk hold a debate in Shanghai over artificial intelligence."

485 (Leach, 2022, σ. 98-99). Όπως ειπώθηκε ως σχόλιο από τον Hernán Díaz Alonso περί της στοχοθεσίας της έκθεσης "The Architectural Beast". Σε επιμέλεια του Hernán Díaz Alonso και σχεδιασμένη από τον Casey Rehm, εγκαινιάστηκε στο FRAC Centre, Ορλεάνη, Γαλλία στις 11 Οκτωβρίου 2019. Ο Díaz Alfonso είναι Αργεντινός-Αμερικανός αρχιτέκτονας, διευθυντής/διευθύνων σύμβουλος της SCI-Arc στο Los Angeles και ιδρυτής και διευθυντής της πρακτικής σχεδιασμού HDA-X με έδρα το Los Angeles

486 (University of Nebraska, Center for Digital Research in the Humanities, n.d.). Digital Project; Ένα ψηφιακό έργο περιλαμβάνει τον προγραμματισμό, την προετοιμασία και την παραγωγή που συνεπάγεται τη δημιουργία ηλεκτρονικών εκδόσεων. Οι πιθανές ηλεκτρονικές δημοσιεύσεις περιλαμβάνουν: ιστοσελίδες, ηλεκτρονικά βιβλία, ψηφιακές εικόνες κ.λπ.

487 (Leach, 2022, σ. 100-101)

488 (Leach, 2022, σ. 100-101)

489 (Virtual Reality Oasis, 2021) ; (NextMind, n.d.).

490 (Ultraleap, n.d.)

Τάση, ερέθισμα, πρόκληση, προοπτική, αναζήτηση:

Από τον 10^ο αι. μ.Χ. διατίθενται παραδείγματα σχεδιασμού εμπνεόμενα από τον έναρθρο λόγο, όπως για παράδειγμα τη σχεδίαση κινέζικων κήπων με καλλιτεχνικά εργαλεία: όπως της ποίησης,⁴⁹¹ αλλά και από τον 20^ο αι. μ.Χ. εντοπίζονται παραδείγματα εμπνεόμενα από τη γλώσσα της μουσικής: στην περίπτωση των μαθημάτων στη σχολή του Bauhaus από τον Paul Klee -Γερμανο-Ελβετό ζωγράφο.⁴⁹² Στις σημειώσεις του, οι οποίες «αποτελούν τη θεωρία της Μορφής και της Μορφοπλαστικής διαδικασίας» (όπως σχολιάζει ο Giulio Argan, Ιταλός ιστορικός και κριτικός τέχνης), της «Εικαστικής Σκέψης» συνθέτονται μετρικο-ρυθμικές μουσικές απεικονίσεις μέσω σχεδιαστικών γραμματικών κανόνων. Επίπλέον, στην περίπτωση των προπτυχιακών σπουδών στη σχολή Αρχιτεκτόνων Μηχανικών του υποφαινόμενου (όπου δημιουργήθηκε το ερέθισμα) στο μάθημα «Ε. Θ. Αρχιτεκτονικών Συνθέσεων» του 4^{ου} εξαμήνου «Το Σημείο Εκκίνησης: η Αναζήτηση της Ιδέας στην Συνθετική Διαδικασία»⁴⁹³ διδόταν στο σχεδιαστήριο η πειραματική άσκηση αρχιτεκτονικής σύνθεσης από μία ηχητική/μουσική επιρροή.

Ο Carl G. Yung,⁴⁹⁴ Ελβετός ψυχίατρος και ψυχαναλυτής, στο "The Red Book" γράφει «Notice what the ancients said in images: the word is a creative act. The ancients said: in the beginning was the Word. Consider this and think upon it. The words that oscillate between nonsense and supreme meaning are the oldest and truest» δημιουργώντας μία πρόκληση στον υποφαινόμενο: αυτή της προσέγγισης του λόγου σαν δημιουργική πράξη, ή καλύτερα της συστηματοποίησης του μέσω γραμματικών σχεδιαστικών κανόνων,⁴⁹⁵ ώστε να παράγονται χωρικές δομές. Στην περίπτωση που τα γράμματα νοηθούν ως σημεία, ο Klee⁴⁹⁶ πολύ εύστοχα σημειώνει τα ακόλουθα: «η αρχή κάθε εικονογραφημένης μορφής είναι ένα σημείο, το οποίο είχε αρχίσει να κινείται σε μια δεδομένη στιγμή... Από την κίνηση του σημείου, γράφεται μια γραμμή, η πρώτη διάσταση. Στην περίπτωση μετατόπισης της γραμμής σχηματίζεται ένα επίπεδο, έχοντας ένα διδιάστατο στοιχείο. Από τη σύγκρουση των επιπέδων δημιουργείται το τριδιάστατο σώμα, επιφέροντας τη μετάβαση από το επίπεδο στο χώρο. Ως μια περίληψη των κινητικών ενεργειών από τις οποίες μετατρέπονται το σημείο σε γραμμή, η γραμμή σε επίπεδο και το επίπεδο σε διάσταση του χώρου.» Στο όραμα αυτό μέλλει

να αποτελέσει τη βάση πάνω στην οποία κατόπιν συμβάσεων θα συνταχθούν κανόνες συμπεριφοράς των γραμμάτων στον ψηφιακό τριδιάστατο και διδιάστατο ψηφιακό χώρο, οι οποίοι θα εμπλουτίζονται από τη μηχανική μάθηση (ML) του 'Pscycrat' Intelligent Agent.

Ο Ernst Cassirer,⁴⁹⁷ Γερμανός φιλόσοφος, αναφέρει ότι «η Γλώσσα και Επιστήμη είναι οι δύο κύριες διαδικασίες από τις οποίες διαπιστώνονται και καθορίζονται οι έννοιες και οι ιδέες του εξωτερικού κόσμου. Ταξινομώντας τις αισθητηριακές αντιλήψεις και ορίζοντας γενικές έννοιες και κανόνες αποδίδεται το αντικειμενικό νόημα. Το έργο τέχνης (για το συγκεκριμένο όραμα το αρχιτεκτονικό έργο) συνεπάγεται από τον ίδιο τρόπο, όμως διαφοροποιείται, αφού αποδίδεται η εντύπωση της μορφής των πραγμάτων.» Η/ο αρχιτέκτων δημιουργεί κάθε φορά μια μοναδική χωρική εμπειρία μέσω λεπτών χειρισμών και χειρονομιών διεγείρωντας το πνεύμα του περιηγητή ή του χρήστη.⁴⁹⁸ Σε αυτό το σημείο θεωρείται καίρια η υπενθύμιση του αναντικατάστατου ρόλου αρχιτέκτονα-δημιουργού/Homo-Cycreasol, ο οποίος θα αλληλεπιδρά με το «έξυπνο» λογισμικό, ώστε οι εξαγόμενες δομές να μεταφράζονται σε χώρο και δραστηριότητες, να νοηματοδοτούνται μέσω των επιθυμητών συμβολισμών (σημαίνουν-σημαινόμενο)⁴⁹⁹ από χειροκίνητες σχεδιαστικές χειρονομίες και εντολές. Από τα γράμματα (ως σημεία, γραμμές & επίπεδα) θα προσφέρεται η ψηφιακή χωρική ερμηνεία των λέξεων μέσω του «ευφυούς» συνδημιουργού/'Pscycrat' Intelligen Agent με αρωγό τη μηχανική μάθηση (ML).

Βεβαίως, στην περίπτωση που εκκινήθει κάτι το αντιδεοντολογικό, το σύστημα θα τερματιστεί, όπως έχουν συμβεί και σε προηγούμενες περιπτώσεις «ευφών» πρακτόρων,⁵⁰⁰ αφού δεν επιζητείται η αντικατάσταση της ανθρώπινης παρουσίας, αλλά αναζητείται φιλοσοφικά μέσα από ένα «έξυπνο» λογισμικό πρόγραμμα σχεδίασης μία προσέγγιση/ερμηνεία του Πρώτου Λόγου, της δημιουργικής πράξης, του εναρκτήριου λακτίσματος της υπόστασης των θεολογικών κειμένων ανά τους πολιτισμούς.

Ερευνητικά Ερωτήματα: Τα βασικά ερευνητικά ερωτήματα της εκπονούσας διατριβής τίθενται παρακάτω:

- (i) Ποιές χωρικές ποιότητες παράγονται δια του λόγου με τη βοήθεια ενός robot;

491 (WU, J.Y. and XIAO, Y. 2001 as cited in Mirchandani, 2022)

492 (Klee, 1971/1989, σ. 281-287)

493 Ο υποφαινόμενος είχε παρακολουθήσει ορισμένες διαλέξεις και την πορεία εκτέλεσης της εν λόγω διδακτικής άσκησης σε πραγματικό χρόνο από κάποιους συμφοιτητές.

494 (Yung, 2017, σ. 236)

495 (Mitchell, 1990)

496 (Klee, 1961, cited in Ching, 1996/2006, σ. 1)

497 (Hillier 1996/2007, σ. 61)

498 (Μιχελής, 2006, σ. 107-109, 111-113, 132-133)

499 (Βιτρούβιος, 1990, σ. 37)

500 (TEDx Talks, 2018). Neuroscience and Artificial Intelligence Need Each Other | Marvin Chun |

- (ii) Υπάρχει δυνατότητα μιας νέας προσέγγισης της αρχιτεκτονικής σύνθεσης;
- (iii) Είναι εφικτή η υπαρξη ενός ψηφιακού «έξυπνου συνεργάτη»; Δυστοπία ή ουτοπία;
- (iv) Στην περίπτωση που υπάρξει ένας άλλος 'intelligent agent' ομιλητής αντί της ανθρώπινης φυσικής παρουσίας, είναι δυνατό να αντικατασταθεί ο αρχιτέκτων ή είναι ατυχές;
- (v) Μπορεί κάποιος καθώς ομιλεί να δημιουργείται ένας κόσμος με ορισμένες συνθήκες, κανόνες & παραμέτρους;
- (vi) Σχέση ιδέας, λόγου και δημιουργίας άνευ χειροκίνητης παρέμβασης; Άνευ χειροκίνητης παρέμβασης νοώντας τη μη χρησιμοποίηση της παραμέτρου της παύσης της λειτουργίας του robot που θα «πλάθει» το αρχιτεκτονικό έργο ως την ολοκλήρωση του.

Συμπεράσματα: Ορισμένα από τα συμπεράσματα από την όλη πειραματική μεθοδολογία που θα συμπεριληφθούν και μπορούν να προβλεφθούν είναι:

- (i) η αξιοποίηση αυτών των χωρικών δομών του λόγου σε μικρής κλίμακας κατασκευές, εύρεση κεντρικής ιδέας (concept) σχεδιασμού, χωροθέτηση παιχνιδιού για παιδιά, χρήση από Video Game προσομείωσης
- (ii) η παραγωγή δισδιάστατων σχεδίων (κάτοψη, όψη, τομή)
- (iii) έμπρακτη δυνατότητα προσέγγισης της φιλοσοφικής και θεολογικής θέσης του Δημιουργικού Λόγου μέσα από τεχνολογικά συστήματα

«ὁ δὲ δημιουργὸς Νοῦς σὺν τῷ Λόγῳ, [...] ἔστρεψε τὰ εαυτοῦ δημιουργήματα καὶ εἶασε στρέφεσθαι ἀπ' ἀρχῆς ἀορίστου εἰς ἀπέραντον τέλος [...]» Ερμῆς Τρισμέγιστος, «Ερμητικά Κείμενα», Λόγος Α', 11⁵⁰¹

Εισήγηση: Πρόταση δημιουργίας μίας νέας γλώσσας κατόπιν γλωσσολογικής μελέτης, η οποία θα ομιλείται από τον αρχιτέκτονα Homo-Cycreasol και θα εναρμονίζεται με τις παρακάτω δοθείσες παραμέτρους/συμβάσεις (συνυφασμένες με την παράδοση των αλφαβήτων) και με την τεθειμένη υπόθεση του κεφαλαίου «Διατύπωση

υπόθεσης σχηματισμού αρχαίων λέξεων» Ορισμένες συμβάσεις (αξιιώματα) που θα ακολουθηθούν είναι:

- (i) δημιουργία αλφαβήτων 24, 27, 30, 36 και 40 γραμμάτων (άφωνων, φωνητικών και άχων),
- (ii) κάθε λέξη θα παράγεται αποκλειστικά σε έναν κύκλο και θα απαγορεύεται ρητά η αναγωγή της στους υπολοίπους 4 κύκλους,
- (iii) οι λέξεις θα παράγουν στοχευμένα γεωμετρικά σχήματα, τα οποία θα υποβοηθούν την παραγωγή δομών τόσο τρισδιάστατων όσο και δισδιάστατων μορφών,
- (iv) τα γράμματα θα αντιστοιχίζονται σε αριθμούς,⁵⁰² προκειμένου να περιγράφουν μέρη των στοιχείων που αναφέρονται, συμπυκνώνοντας ελάχιστη πληροφορία για τη φύση του στοιχείου,
- (v) οι λέξεις θα ορίζονται μέσα από μαθηματικές διερευνύσεις αριθμητικών ακολουθιών, και μαθηματικών υπολογισμών,
- (vi) ακατάλληλες λέξεις που περιγράφουν χυδαιολογίες θα απαγορεύονται ρητά, γενικότερα ούτε θα υπάρχουν ως έννοιες, ούτε θα αναγνωρίζονται,
- (vii) το σχήμα των γραμμάτων αφενός μεν θα αντιστοιχίζεται αφαιρετικά σε εικόνες, δηλαδή σε σημασιολογικές δομές, συναρτόμενες με την καθαυτή ουσία της λέξης, και αφετέρου δε φωνογραφικά θα μιμούνται ή θα συσχετίζονται με τη φύση του πράγματος, δηλαδή την ιδεογραφική απόδοση του τρόπου της ίδιας λειτουργίας του που περιγράφεται από την απόδοση ήχου του.⁵⁰³

Μεθοδολογία:

Για την επίτευξη του οράματος θεωρείται ότι πρέπει να γίνει εστίαση δημιουργίας λογισμικού προγράμματος,⁵⁰⁴ αλγοριθμικών κωδίκων δισδιάστατου και τρισδιάστατου σχεδιασμού για θόνες VR, και ολογράμματα.⁵⁰⁵ Virtual Reality (VR) & Augmented Reality (AR).⁵⁰⁶ Το λογισμικό πρόγραμμα θα συνεργάζεται με τη τεχνητή νοημοσύνη, τις ηχητικές εντάσεις, τα γράμματα ως αριθμητικές και σημειακές «οντότητες», το μη επεμβατικό εξάρτημα BCI 'Next Mind' και εξαρτήματα τύπου 'Leap Motion Controller,' ώστε να δίδεται η δυνατότητα απομακρυσμένης αλληλεπίδρασης με το ψηφιακό πρόπλασμα/δομή. Έπειτα, θεωρείται ότι πρέπει να ακολουθηθεί πειραματική διαδικασία εφαρμογής, προκειμένου να διαπιστωθεί η λειτουργία του λογισμικού και των παραγόμενων χωρικών αποτελεσμάτων του έναρθρου λόγου, ώστε να ελεγχθεί η

501 (Ερμῆς Τρισμέγιστος, 1990, σ. 22). «και ο δημιουργός Νους με το Λόγο, [...] Στριφογύρισε τα δικά του δημιουργήματα και τα άφησε να στρέφονται από απροσδιόριστο χρόνο και θα συνεχίσουν να στρέφονται χωρίς τέλος.»

502 (Ifrah, 2000, σ. 220, 226 255, 261)

503 (Genette, 1995, σ. 116 118)

504 (Senske, n.d.)

505 (HoloLamp, 2018; Geo Week News Staff, n.d.)

506 (Chang and Huang, 2014)

επιτυχία του συγκεκριμένου εγχειρήματος, να διερευνηθούν οι δυνατότητες και να επισυναφθούν τα αποτελέσματα. Προαπαιτείται γλωσσολογική μελέτη και ανάλυση λέξεων μέσω των οποίων θα εξάγονται τα δομοστοιχεία από σχεδιαστικούς δισδιάστατους και τρισδιάστατους γραμματικούς κανόνες.⁵⁰⁷ Για τα δεδομένα της μηχανικής μάθησης, απαιτείται η δημιουργία μίας βιβλιοθήκης (βάσης δεδομένων) ώστε να μειώνεται δραματικά το εύρος των χωρικών επιλύσεων μίας δεδομένης αρχιτεκτονικής σύνθεσης και να παρέχονται χωρικές επιλύσεις μέσα από το πρόταγμα του μοντέρνου κινήματος της αρχιτεκτονικής “*Form follows function*”, το οποίο συνδέεται με την βέλτιστη χωρική επίλυση των ελαχίστων διαστάσεων,⁵⁰⁸ σύμφωνα με το δεδομένο χωρικό πρόβλημα.⁵⁰⁹ Κατά αυτό το τρόπο, ο ‘Pcycreat’ Intelligent Agent θα βελτιώνει κάθε φορά τις λανθασμένες χωρικές επιλύσεις με τις χειροκίνητες εντολές του αρχιτέκτονα-[Homo-Cycreasol], «μαθαίνοντας» (ML) και δημιουργώντας από τις πληροφορίες της ψηφιακής βιβλιοθήκης του.

Στο πρόγραμμα θα υπάρχει η δυνατότητα εξόδου ανά πάσα στιγμή από τη συνθετική διαδικασία, αφού ο Homo-Cycreasol αρχιτέκτονας-χρήστης επιλέξει την παύση της λειτουργίας, καθώς έχει θεωρήσει ότι έχει λάβει το επιθυμητό αποτέλεσμα.

Σε ένα τέτοιο σύστημα λογισμικού τεχνητής νοημοσύνης θεωρείται ότι πρέπει να είναι ικανό να προσαρμόζεται στις ανάγκες της κατασκευής (υλικά, περιβάλλον), μεταβάλλοντας και [ανα]προσαρμόζοντας τα δεδομένα της εκφοράς του λόγου μέσα από την επεξεργασία του αρχιτέκτονα είτε μέσω του μυαλού του (εξάρτημα BCI ‘Next Mind’) είτε μέσω του εξαρτήματος ‘Leap Motion Controller.’

Ιδανικά, η δημιουργία αυτή θα λαμβάνει χώρα ολογραμμικά σε μία σφαίρα διαμέτρου 20m σε ένα σκοτεινό δωμάτιο· δηλαδή η δομή θα γεννάται μέσα στη ψηφιακή σφαίρα του συνδημιουργού/‘Pcycreat’ Intelligent Agent από τον αρχιτέκτονα/Homo-Cycreasol. Με απώτερο σκοπό, το πέρασμα στην επανυξημένη πραγματικότητα



Homo-Cycreasol
Architect



Pcycreat
“Creator” Intelligent Agent



507 (Goyal, Prakash and Shekhawat, 2017)
508 (Neufert et al., 2012)

509 (Tsigkari, Tarabishy and Kosicki, 2021).

(Augmented Reality) μέσα σε ένα ψηφιακό κόσμο⁵¹⁰ όπου θα παρέχονται και αισθητηριακές εμπειρίες, ώστε ο αρχιτέκτονας θα έρχεται σε άμεση επαφή με τα υλικά που θα χρησιμοποιούνται στο αρχιτεκτονικό έργο, στη μικρή κατασκευή ή στο landscape. Ουσιαστικά, θα προσομοιώνονται οι ιδιότητες τους μέσω της αίσθησης της αφής, ώστε στον αρχιτέκτονα κάθε φορά θα καθίσταται δυνατή η γνωριμία με τη φύση των υλικών (ή ακόμα και των φυτών μέσω της αίσθησης της όσφρησης) από έτοιμους καταλόγους στη βάση δεδομένων/βιβλιοθήκη του «έξυπνου» λογισμικού. Βεβαίως, στο όραμα ενσωματώνονται νέες και προηγμένες τεχνολογίες που με την πάροδο των ετών ή δεκαετιών θα είναι διαθέσιμες στο ευρύ κοινό. Σε αυτό το σημείο να σημειωθεί ότι οι παράγοντες που βασίζονται στην ορθή χρήση του συστήματος συγκεντρώνονται στο ακόλουθο πλαίσιο:⁵¹¹

- (i) της αλληλεπίδρασης αρχιτέκτονα-μηχανής (ήσυχο περιβάλλον),
- (ii) στα εισαγόμενα δεδομένα (ορθοφωνία),
- (iii) στην φύση του προβλήματος (δηλαδή ποια η χρήση – ποιος ο τελικός προορισμός)
- (iv) στο επιθυμητό στάδιο επεξεργασίας από τον χρήστη (επεξεργασία μορφής – δομής),
- (v) και στην επιθυμητή έξοδο από τον χρήστη

Βιβλιογραφική ανασκόπηση:

Από μια αρχική ανασκόπηση της διεθνούς βιβλιογραφίας καταφαίνεται ότι υπάρχει εκτεταμένο και εμπειριστατώμενο γενικό θεωρητικό δημοσιοποιημένο υπόβαθρο σχετικά με την τεχνητή νοημοσύνη και τις εφαρμογές της στην αρχιτεκτονική, την χρήση μη επεμβατικών συστημάτων διεπαφής εγκεφάλου-υπολογιστή (BCI), και ευρύ πεδίο εφαρμογής γραμματικών συστημάτων σχεδίασης συναρτόμενο με αλγοριθμικούς υπολογιστικούς κώδικες.

Η ανασκόπηση θεωρείται ότι πρέπει να επεκταθεί και σε παρακάτω θεματικές ενότητες και να μελετηθούν κατάλληλα:

- (i) Γλωσσολογία, μελέτη βασικών χαρακτηριστικών και δομής της γλώσσας και συσχέτισης τους με την αρχιτεκτονική σύνθεση
- (ii) Θεωρητικές γνώσεις επί της Μουσικής (λ.χ. Αρμονία)· παράλληλα με τη γλωσσολογική μελέτη, αφού απαιτείται η ένταξη της παραμέτρου των ηχητικών αυξομειώσεων, αλλά και στην περίπτωση δημιουργίας μίας νέας έμμετρης γλώσσας,⁵¹²

- (iii) Νευροψυχολογία, εφαρμογές BCI.
- (iv) Νέες αρχιτεκτονικές τεχνολογίες: παραμετρικός σχεδιασμός (Rhino Grasshopper) συνεργαζόμενος με μη επεμβατικά BCI εξαρτήματα.
- (v) Ιστορική ανασκόπηση σε κινέζικη, λατινική, σανσκριτική, και αναγεννησιακή γραμματεία. Με σκοπό την εύρεση αντιστοίχων παραδειγμάτων, σχεδιασμού με το λόγο. Αναζήτηση στη διεθνή βιβλιογραφία τυχούσες συγκλίσεις με την κεντρική ιδέα με πιθανό εμπλουτισμό του γραμματικού συστήματος σχεδίασης του αλγοριθμικού κώδικα

Εν κατακλείδι, σκόπιμη θεωρείται η διερεύνηση πιθανών εφαρμογών αυτής της ιδέας σε άλλες γλώσσες, όπως στα εβραϊκά, στα αραβικά, στα αγγλικά κτλ., λόγω του ότι θα παράγονται διαφορετικές χωρικές ποιότητες· αποσκοπώντας σε μία συνδυαστική εφαρμογή από έναν πολύγλωσσο χρήστη. Ιδανικά από την γλωσσολογική μελέτη θα επιχειρηθεί η δημιουργία μίας νέας γλώσσας, η οποία θα παρουσιάζει νέες παραμέτρους, θα πληροί τις τεθειμένες με τους υπάρχοντες γραμματικούς κανόνες, και θα συνεργάζεται καλύτερα (βελτιστοποίηση).

Η καινοτομία του προτεινόμενου οράματος εντοπίζεται στο γεγονός ότι σε διεθνές επίπεδο ο ψηφιακός σχεδιασμός χρησιμοποιεί πειραματικά αντίστοιχες σχεδιαστικές μεθόδους, λ.χ. από την SpaceX γίνεται χρήση BCI σε σχεδιαστικά προβλήματα διαστημικών πυραύλων,⁵¹³ ενώ ο προτεινόμενος συνδυαστικός τρόπος που προτείνεται δεν έχει εντοπιστεί, τουλάχιστον δεν έχουν δημοσιευθεί μέχρι τώρα αντίστοιχα στοιχεία ερευνών, ενώ στην Ελλάδα απουσιάζει πλήρως ένα τέτοιο συνδυαστικό λογισμικό. Σε επιστημονικό επίπεδο θα βάλει ένα μικρό λιθαράκι στην περίπτωση της αρχιτεκτονικής συσχετιζόμενης με «έξυπνα» συστήματα και συνδυάζοντας την με διαφορετικές επιστήμες προς την παραγωγή δομών-κεντρικών ιδεών. Σε αρχιτεκτονικό επίπεδο, το εγχείρημα αυτό οραματίζεται τη δημιουργία μίας αρχιτεκτονικής τάσης. Η ουτοπία του εγχειρήματος συνίσταται στον οραματισμό μιας νέας εύχης και έμμετρης γλώσσας (μιμούμενης των ήχων των πτηνών/αηδόνων) με λέξεις βασισμένες και εξαρτημένες από τα μαθηματικά, στις οποίες θα συμπεκνώνονται ανακαλύψεις (γνώσεις) της ανθρωπότητας και θα χρησιμοποιείται στην αρχιτεκτονική σύνθεση ως σχεδιαστικό εργαλείο εξάγοντας κεντρικές ιδέες και διδιάστατες συνθέσεις, λ.χ. τοπίων/landscape, όπου συμπεκνώνονται πληροφορίες από τη γεωμετρική φύση των λέξεων. Τέλος, εκ του λόγ-ου θα συμπεκνώνεται ο λογ-ισμός του αρχιτέκτονα/Homo-Cycrcasol (γράφοντας στη δομή κομμάτια από τη φωνή του), όπως εκ του σκίτσου

510 (Schnabel and Lo, 2018)

511 (Pavlovic et al., 2019):

512 (Purves et al., 2018). Το εύρος της μέσης ακοής του ανθρώπου είναι περίπου από 20Hz έως 20KHz.

513 (Andrews, 2013)

συμπυκνώνεται «σιωπηρά» και στιγμιαία ένας μικρόκοσμος αποδίδοντας ένα κομμάτι της ψυχής του αρχιτέκτονα (όπως δίδεται από την αριστοτελική ερμηνεία του υποφαινόμενου του στ. 24b[1-3]), «Περι Ερμηνείας»). Μερικά από τα ενδεχόμενα του αποτελέσματος είναι τα ακόλουθα:

(i) δημιουργία/παραγωγή ορισμένων δομών προς επεξεργασία· μεταβάλλοντας και προσαρμόζοντας

τα δεδομένα από την εκφορά του λόγου, τη σκέψη και τις απομακρυσμένες εντολές με την χειροκίνητη επεξεργασία του χρήστη, (ii) έμπνευση, εύρεση ιδέας, (iii) προορισμός προς χρήση δίχως κάποια επεξεργασία (ως κομμάτι του Homo-Cycreasol αρχιτέκτονα και του Psycrat Intelligent Agent.

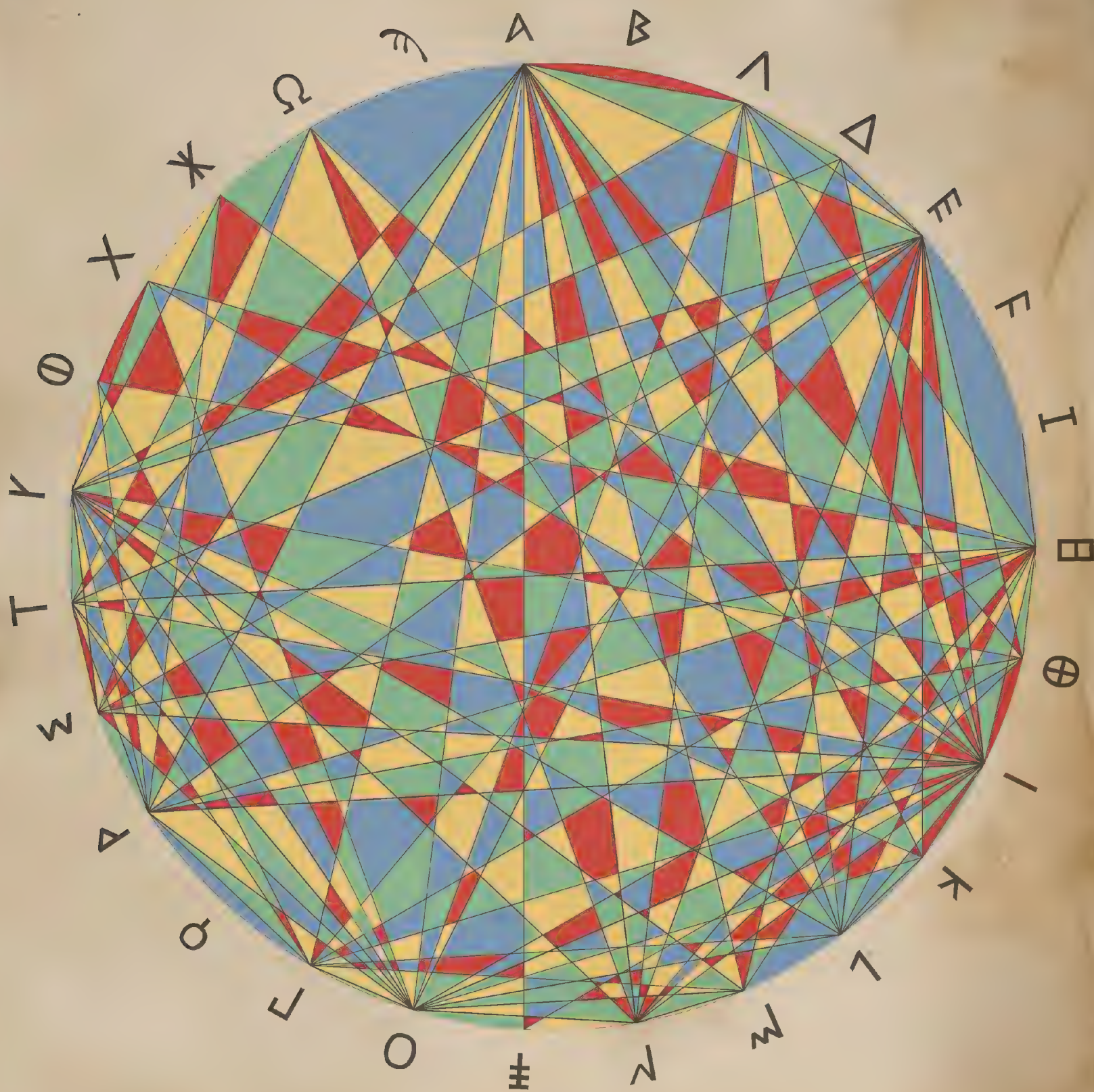
" ... *and then what?* "

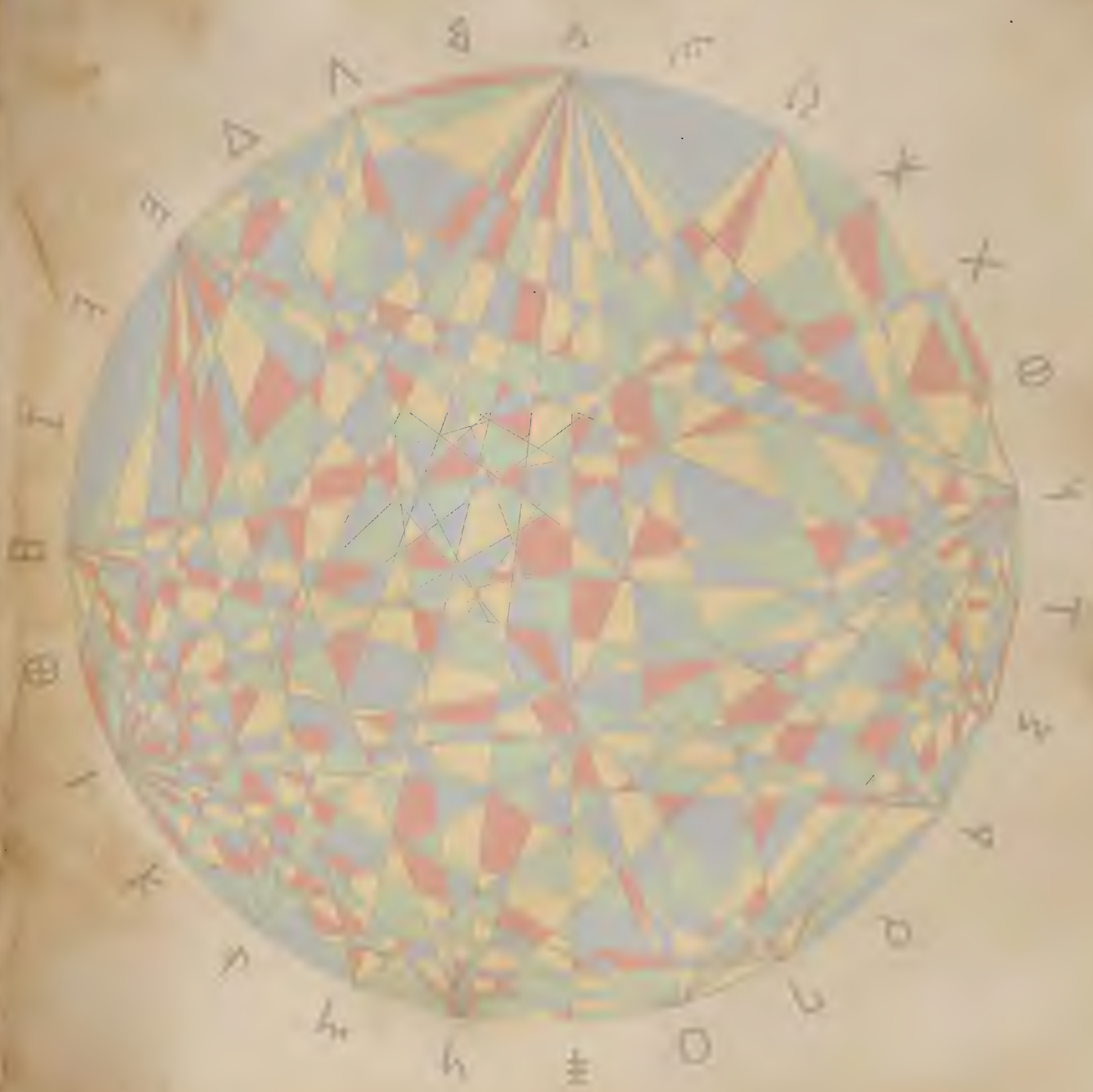


" To be, or not to be, [...] "514



Ὅρφέως Ὕμνος εἰς Μούσας. Σε έναν κύκλο





Science Fiction Story: Δημιουργία Σεναρίου - Σχεδιασμός concept ναού στον Άρη.

«Έτος 2,503 μ.Χ. | Η ανθρωπότητα έχει κατακτήσει και χαρτογραφήσει το Σύμπαν. Ορισμένοι αναζητούν τον Δημιουργ(ό/ούς): Εκείν(ον/ους) που «πάντα έν σοφία έποίη(σε/σαν)» - 7|. Για τον λόγο αυτό τοποθετήθηκαν ναοί σε 1,040 πλανήτες (κομβικά σημεία) στα πέρατα του Σύμπαντος. Ένας αστροναύτης επιστρέφει στην Γη πραγματοποιώντας μία στάση στον Άρη για ανεφοδιασμό οξυγόνου. Στην Περιοχή "111" εισέρχεται σε έναν από τους δεκάδες ναούς, οι οποίοι είχαν οικοδομηθεί μέσα στις πρώτες

πόλεις-γυάλες των αποικιών. Στις πόλεις αυτές είχαν μεταφερθεί τεράστιοι όγκοι νερού από τη Γη σε μορφή πάγου. Στο βάθος η υδρόγειος πάνω από την οποία ξεδιπλώνεται το θείο στοιχείο (ενθύμηση) καδράροντας το Όρος "1,281." [...]

Στην Γη επιστρέφει για να δημιουργήσει μία robot-δομή δια του λόγου· ομιλώντας μία έμμετρη γλώσσα που υλοποιεί μέσα σε πολλαπλές οργανικές-σφαίρες άψυχα-robot. Μηχανές με περιορισμένο χρόνο ύπαρξης που συντηρούν πύλες άλλων διαστάσεων και άλλων σφαιρικών ανεξερευνήτων συμπτάντων πλησίον του δικού μας. [...]

Στην ανθρωπότητα επικρατεί ειρήνη και σύνεση.»

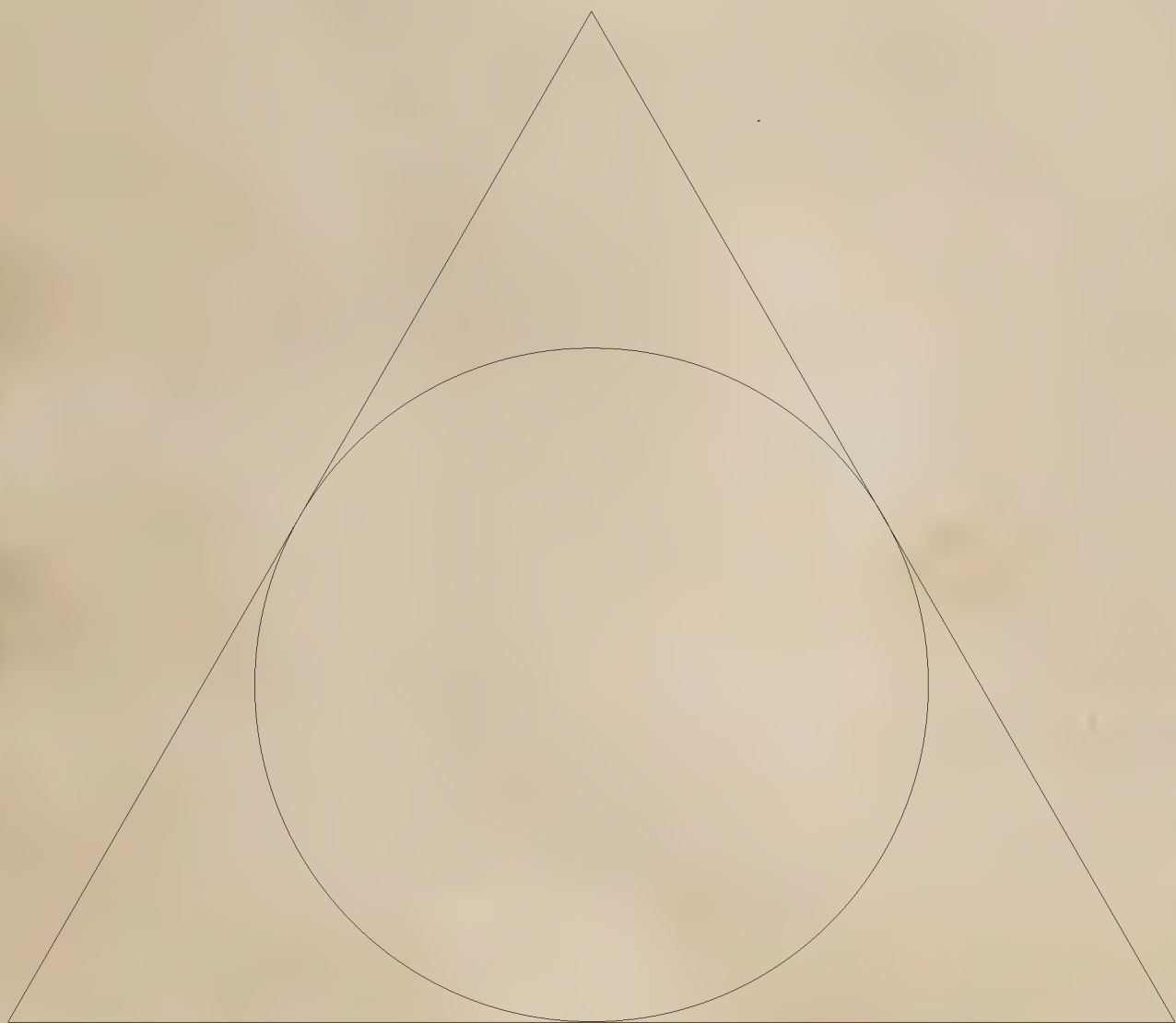


own 3D Design

© Petrakis, Petros 2021, *Temple of SueZ*. [3D

Design, Photo-Realistic 3D Rendering, Blender

Software] Athens.



Πηγές Εικόνων

"A Priest and a Priestess in A Ritual Attitude". Attic workshop, mid 2nd c. AD. According to the information label: «Two plaques with identical representations in relief. On one half of each is depicted the dispute between Herakles and Apollo over the possession of the prophetic delphic tripod, and on the other half a priest and a priestess in a ritual attitude. Piraeus Archaeological Museum. Inv. No. 2042, 2118. Archaeological Museum of Piraeus. Koronaios, G. E. (1930/1931). *A Priest and a Priestess in A Ritual Attitude*. Retrieved April 2022, from commons.wikimedia website: [https://commons.wikimedia.org/wiki/File:Priest_and_priestess_in_a_ritual_attitude_2nd_cent._A.D._\(PAM_16-2020\).jpg](https://commons.wikimedia.org/wiki/File:Priest_and_priestess_in_a_ritual_attitude_2nd_cent._A.D._(PAM_16-2020).jpg)



List of Figures

Προλεγόμενα. Παρατηρήσεις & Σχολιασμοί.

VIII ... **Fig. 1:** Great Ziggurat) of Ur. Neo-Sumerian, 21st c. BC
Hyesook Park. (2022). Ziggurat of Ur. Retrieved
March 19, 2022, from Pinimg.com website: <https://i.pinimg.com/564x/0b/08/b4/0b08b4d169c1b28698df1fbc5aaba3e8.jpg>

VIII ... **Fig. 2:** Longyou Caves. Zhejiang province, China
Bruno. (2020, February). The Longyou Caves -
China. Retrieved March 19, 2022, from Twitter website: <https://twitter.com/BrunoPresents/status/1233607376227487744/photo/1>

VIII ... **Fig. 3:** Rock-Hewn Churches. Lalibela, Ethiopia, 12th c. AD
Lalibela: The Megalithic Churches. (n.d.). Retrieved March
19, 2022, from The Ancient Connection website: <https://www.theancientconnection.com/megaliths/ethiopia/lalibela-megalithic-churches/>

VIII ... **Fig. 4:** Sacsayhu-amán. Incas Cusco, Peru 900-1200 AD
Megalithic Madness at Sacsayhuaman. (n.d.).
Retrieved March 19, 2022, from The Ancient Connection
website: <https://www.theancientconnection.com/megaliths/peru/megalithic-madness-sacsayhuaman/>

VIII ... **Fig. 5:** Moenjodaro city. Harappan. Indus valley.
Pakistan & N.India 30st c. BC
ہٹاس رورض تون اک مے پور 20 وٹ سیٹاچ وژڈ وچ نیٹوم
اںیہ کمر (2019, December 2). Retrieved March 19, 2022,
from BBC News وڈرا website: <https://www.bbc.com/urdu/pakistan-50625229>To Moenjodaro ήταν πόλη του πολιτισμού
Χαράππα της κοιλάδας του Ινδού κτισμένη περί του 2600 π.Χ.

VIII ... **Fig. 6:** Babylon, Tower of Babel. The city walls of Babylon
Marozzi, Justin. (2016, August 8). Lost cities #1:
Babylon how war almost erased "mankind's greatest heritage
site." Retrieved from The Guardian website: <https://www.theguardian.com/cities/2016/aug/08/lost-cities-1-babylon-iraq-war-history-mankind-greatest-heritage-site>

VIII ... **Fig. 7:** Lion Gate, Mycenae, 1250 BC
Trepte, Andreas. (2011, April 6). The Lion Gate at
Mycenae. Retrieved March 2022, from Wikipedia website:
<https://en.wikipedia.org/wiki/File:Lions-Gate-Mycenae.jpg>

VIII ... **Fig. 8:** Temple Mount. Jerusalem
Temple Mount. (n.d.). Retrieved March 19, 2022,
from Wikipedia website: https://en.wikipedia.org/wiki/Temple_Mount#Location_and_dimensionsΓια χιλιάδες χρόνια τιμάται
ως ιερός τόπος από τον Ιουδαϊσμό, τον Χριστιανισμό και το
Ισλάμ.

VIII ... **Fig. 9:** (n.d.). Retrieved March 19, 2022, from Dail Civil
website: <https://www.sharecat.com>

IX ... **Fig. 10:** Dancers. The Prehistoric Paintings of the
Pachmarhi Hills. India
Dr. Dubey Pathak, Meenakshi. (n.d.). The
Prehistoric Paintings of the Pachmarhi Hills. Retrieved March
23, 2022, from Bradshaw Foundation website: <https://www.bradshawfoundation.com/india/pachmarhi/index.php>

IX ... **Fig. 11:** Circle dance. Phaistos. 30st c. BC
Πετράκης, Πέτρος. (n.d.). Κρήτη, Φαιστός, Εμπέστα
Σφραγίσματα. In Αρχαιολογικό Μουσείο Ηρακλείου, Κρήτη.
Προσωπικό αρχείο

IX ... **Fig. 12:** Navajo Fire Dance by William Robinson Leigh
Navajo Fire Dance by William Robinson Leigh.
(2022). Retrieved March 19, 2022, from Pinimg.com website:
<https://i.pinimg.com/originals/a7/c3/b6/a7c3b6ba54314d6216dfdc94093c2e64.jpg>

IX ... **Fig. 13:** The Dervishes Dance
Erzen, Jale. (2008). The Dervishes Dance -- The
Sacred Ritual of Love. Contemporary Aesthetics, 6. Retrieved
from <https://quod.lib.umich.edu/c/ca/7523862.0006.007/-dervishes-dance-the-sacred-ritual-of-love?rgn=main>

X ... **Fig. 14:** Parthenon. Analysis of the front 170
Lund, Frederik Macody. (1921). Ad Quadratum - A
study of the geometrical bases of classic and medieval religious
architecture (p. 171). In Internet Archive. Retrieved from
https://archive.org/details/ad_quadratum University of California.

X ... **Fig. 15:** 36 1. Decagon 2. Decagon and golden section 3.
Pentagon and golden section 6. Hexagon of equilateral
triangles.
Neufert, Ernst. (1984). Bauentwurfslehre :
Grundlagen, Normen und Vorschriften ueber Anlage, Bau,
Gestaltung ... ; Handbuch für den Baufachmann, Bauherrn,
Lehrenden und Lernenden. (p. 35). Braunschweig: Vieweg &
Sohn Braunschweig/Wiesbaden.

X ... **Fig. 16:** The Cathedral of Notre-Dame Transverse section,
analysis.
Lund, Frederik Macody. (1921). Ad Quadratum - A
study of the geometrical bases of classic and medieval religious
architecture (p. 36). In Internet Archive. Retrieved from https://archive.org/details/ad_quadratum University of California.

X ... **Fig. 17:** Cross section of the Gračanica Monastery (1318-21)
Μουτσόπουλος, Νικόλαος (2010). Ναοδομία
(p.129). Θεσσαλονίκη: University Studio Press (Εκδόσεις
Επιστημονικών Βιβλίων και Περιοδικών)

X ... **Fig. 18:** Human proportions as imaginary invisible lines
with geometric progressions vvin the façades of Gothic
cathedrals 149
Ramzy, Nelly. (2015). Part of the Ancient, Medieval,
Renaissance and Baroque Art and Architecture Commons
Recommended Citation Recommended Citation Ramzy, Nelly
Shafik. Peregrinations: Journal of Peregrinations: Journal of
Medieval Art and Architecture Medieval Art and Architecture,
5(2), 135 172. Retrieved from <https://digital.kenyon.edu/cgi/viewcontent.cgi?article=1061&context=perejournal>

X ... **Fig. 19:** Cathedral 171 of Nidaros. Transverse section of
Macody Lund's design, proportioned according to the sectio
aurea
Lund, Frederik Macody. (1921). Ad Quadratum - A study
of the geometrical bases of classic and medieval religious
architecture (p. 194). In Internet Archive. Retrieved from
https://archive.org/details/ad_quadratum University of California.

- X ... **Fig. 20:** *Leonardo da Vinci and the Codex Huygens*
Innocenzi, Plinio. (2018). *Homo ad Circulum. The Innovators behind Leonardo*, 181–205. https://doi.org/10.1007/978-3-319-90449-8_9 ; *Leonardo da Vinci and the Codex Huygens*. (2013, October 22). Retrieved March 20, 2022, from The Morgan Library & Museum website: <https://www.themorgan.org/collection/Codex-Huygens>
- X ... **Fig. 21:** *Minsther of Freiburg in Baden, the west front analysis*
Lund, Frederik Macody. (1921). *Ad Quadratum - A study of the geometrical bases of classic and medieval religious architecture* (p. 106). In Internet Archive. Retrieved from <https://archive.org/details/ad-quadratum> University of California.
- X ... **Fig. 22:** *Golden ratio of the southern side structures of Jame Mosque of Isfahan*
Khajeh, Homan, & Soheili, Jamalddin. (2015). *Surveying and Categorizing the Proportion Values of Various Types of Safavid Dynasty's Buildings* (p. 62). Retrieved from Islamic Azad University website: https://ijaud.srbiau.ac.ir/article_8526_9164b1086f510b14c9331a71372c7a7d.pdf
- X ... **Fig. 23:** (Kodak, n.d.). *The word «Kodak» was first registered as a trademark in 1888. There has been some fanciful speculation, from time to time, on how the name was originated. But the plain truth is that Eastman invented it out of thin air.*
Kodak. (n.d.). Retrieved March 20, 2022, from Media-amazon.com website: https://m.media-amazon.com/images/I/61qZ7GHZ5aL_SL1224.jpg
George Eastman, History. (n.d.). Retrieved from Kodak website: <https://www.kodak.com/en/company/page/george-eastman-history>
- XI ... **Fig. 24:** *Germination*
Narsaria, A. (2022, March). *Science ABC How Does A Seed Grow Into A Plant?* Scienceabc.com. <https://www.scienceabc.com/wp-content/uploads/2019/09/Germination-pea-sprout-in-soil-ImageBogdan-Wankowicz.jpg>
- XI ... **Fig. 25:** *Yemen's "Dragon's Blood Island"*
MCCARRON, L., & EDSTRÖM (ph), M. (2018, November 13). *Can Socotra, Yemen's "Dragon's Blood Island," be saved?* Environment. <https://www.nationalgeographic.com/environment/article/socotra-yemen-biodiversity-photography>
- XI ... **Fig. 26:** *Greek olive oil leaf*
Greek Olive Oil Leaf. (n.d.). VHV.RS. Retrieved March 26, 2022, from https://www.vhv.rs/dpng/d/221-2213020_greek-olive-oil-leaf-japanese-camellia-hd-png.png
- XI ... **Fig. 27:** *Large Olive Tree Slice Cut From The Woods*
Large Olive Tree Slice Cut From The Woods. Textured Surface With Rings And Cracks. Neutral Brown Background Made Of Hardwood Stock Photo - Image of lumber, isolated: 130428554. (n.d.). DreamsTime. <https://www.dreamstime.com/cross-section-hardwood-tree-has-rings-cracks-textured-surface-brown-neutral-tones-large-olive-slice-cut-image130428554>

Μυθολογία - Κατακλυσμοί.

- 12 ... **Fig. 28:** *The winged human-headed figure holds an object resembling a pine-cone called by the Assyrians a "purifier," and may have had a symbolic association with the artificial fertilization of date-palm trees. ca. 883–859 B.C.*
Apkallu-figure. A.S. 32.143.6 (n.d.). Retrieved March 20, 2022, from Metmuseum.org website: <https://www.metmuseum.org/art/collection/search/322613>
- 12 ... **Fig. 29:** *Dionysus riding panther, Greek mosaic from Pella 4th B.C., Pella Archaeological Museum*
Dionysus. (n.d.). Retrieved March 2022, from Archaeologists website: <https://www.archaeologists.com/i/83/dionysus?gobacklng=en>
- 12 ... **Fig. 30:** *Hoysaleswara Hindu Temple Wall Carved With Sculpture Of Lord Shiva With Pine Cone In His Hands. 12th c. AD. Karnataka, India*
Hoysaleswara Temple Wall Carved With Sculpture Of Lord Shiva With Pine Cone In His Hands. (2017). Retrieved March 2022, from 123rf.com website: <https://preview.123rf.com/images/phenomenalplace/phenomenalplace1708/phenomenalplace170800387/86103673-parete-del-tempio-di-hoysaleswara-scolpita-con-la-scultura-di-shiva-del-signore-con-il-cono-di-pino-jpg>
- 12 ... **Fig. 31:** *Chicomecoatl, the Aztec goddess of corn and sustenance. 14th-16th c. AD*
Ethnological Museum, Berlin, Germany
Aztec. (n.d.). Retrieved March 2022, from www.wikiwand.com website: <https://www.wikiwand.com/hr/Aztec/Mexica-Chicomecoatl-Infinity-of-Nations-Art-and-History-in-the-Collections-of-the-National-Museum-of-the-American-Indian-George-Gustav-Heye-Center-New-York>. (n.d.). Retrieved March 20, 2022, from americanindian.si.edu website: <https://americanindian.si.edu/exhibitions/infinityofnations/meso-carib/008143.html>
- 12 ... **Fig. 32:** *The priest Niaty and his wife receive the purifying water poured by the goddess of the sycamore. Limestone relief from Saqqara, 18th-19th Dynasty. Hanover, Kester Museum.*
Betrò, Maria Carmela (1996) *Hieroglyphics: the writings of ancient Egypt* (pp. 43). New York: Abbeville Press. New York, London, & Paris: Abbeville Press
Fontana della Pigna. 1st century AD. Vatican City, Rome, Italy.
- 12 ... **Fig. 33:** Vaticano. (2017, January 29). Retrieved February 2022, from Thebestrometours website: <https://www.thebestrometours.com/it/2017/01/29/vatican/>
- 12 ... **Fig. 34:** *This small sphinx preserves one of the oldest examples of this new system on its base. It includes an ox-head the earliest representation of what was to become the letter 'A'. 1800 BC. Sinai, Egypt*
Serabit sphinx with Proto-Sinaitic inscription. The British Museum S. EA41748 (n.d.). Retrieved March 20, 2022, from British Library website: <https://www.bl.uk/collection-items/serabit-sphinx-with-proto-sinaitic-inscription>

- 12 ... **Fig. 35:** This sphinx combines Egyptian elements typically found on Phoenician style ivories with the arresting frontal gaze characteristic of North Syrian ivories. ca. 9th-8th c. BC Neo-Assyrian. Mesopotamia, Nimrud
Sphynx, Neo-Assyrian. A.S. 64.37.1. (n.d.). Retrieved March 2022, from [Metmuseum.org website: https://www.metmuseum.org/art/collection/search/325660](https://www.metmuseum.org/art/collection/search/325660)
- 12 ... **Fig. 36:** The Sphinx of the Naxians, 560 BC. Delphi . Archaeological Museum
Sphinx of Naxos. (n.d.). Retrieved March 20, 2022, from Wikipedia website: https://en.wikipedia.org/wiki/Sphinx_of_Naxos
- 12 ... **Fig. 37:** Purushamriga or Indian sphinx depicted on the Varadaraja Perumal temple. 3rd c. AD. Tribhuvanai, India
Deekshithar, Raja. (2009). Raja Deekshithar: Sphinxes in Indian Art and Tradition. Retrieved March 20, 2022, from [asianart website: https://www.asianart.com/articles/sphinxes/index.html](https://www.asianart.com/articles/sphinxes/index.html) ; Indian sphinx. (2007, January 23). Retrieved March 20, 2022, from Wikimedia Commons website: <https://commons.wikimedia.org/wiki/File:Purushamrigatribhuvanai01.JPG>
- 13 ... **Fig. 38:** Dodon people.
Dogon people. (n.d.). Retrieved April 2020, from Wikipedia website: https://en.wikipedia.org/wiki/Dogon_people
- 13 ... **Fig. 39:** An astronaut (added during renovations in 1992), a decorative element of the Puerta de Ramos in the New Cathedral of Salamanca, Spain.
Rastrojo. (2010, November). An astronaut, a decorative element of the Puerta de Ramos in the New Cathedral of Salamanca, Spain. The arm of the sculpture was destroyed in September 2010 but restored weeks later. Retrieved March 2022, from Wikimedia Commons website: [https://commons.wikimedia.org/wiki/File:Astronauta_de_la_Puerta_de_Ramos_de_la_Catedral_Nueva_de_Salamanca_\(mutilado\).jpg](https://commons.wikimedia.org/wiki/File:Astronauta_de_la_Puerta_de_Ramos_de_la_Catedral_Nueva_de_Salamanca_(mutilado).jpg)
- 13 ... **Fig. 40:** The petroglyphs of Val Camonica in Italy, the largest collection of cave art in the world, span more than 10,000 years of history
Carvajal, Guillermo. (2020, May 21). Los petroglifos de Val Camónica en Italia, la mayor colección de arte rupestre del mundo, abarcan más de 10.000 años de historia. Retrieved March 20, 2022, from La Brújula Verde website: <https://www.labrujulaverde.com/2020/05/los-petroglifos-de-val-camonica-en-italia-la-mayor-coleccion-de-arte-rupestre-del-mundo-abarcan-mas-de-10-000-anos-de-historia>
- 13 ... **Fig. 41:** Crucifixion of Christ. Visoki Dečani Monastery. 13th c. AC. Kosovo.
Crucifixion of Christ - Visoki Dečani Monastery. (n.d.). Retrieved March 2022, from alamy website: <https://www.alamy.com/stock-photo/visoki-decani.html>
- 13 ... **Fig. 42:** 'The Annunciation, with Saint Emidius.' The Archangel Gabriel descends from God to tell the Virgin that she is to bear a child By Carlo Crivelli. 1486 AC. The National Gallery, London.
Crivelli, Carlo (painter). (1486). The Annunciation, with Saint Emidius. A.S.: NG739. Retrieved March 2022, from Wikimedia Commons website: https://commons.wikimedia.org/wiki/File:Carlo_Crivelli_Annunciation_with_St_Emidius_1486_London.jpg
- 13 ... **Fig. 43:** «The promulgation of the law on Mount Sinai.» Exodus 20.1-18: 'This is the giving to Moses of the tablet of the Ten Commandments.' 1738. engravings by Dutch Jacob and Hendrik Keur.
1738 - Moses receives the tablets on Mt. Sinai - engraving. (n.d.). Retrieved March 2022, from Worthpoint website: <https://www.worthpoint.com/worthopedia/1738-moses-receives-tablets-mt-sinai-490599842>
- 13 ... **Fig. 44:** In 1986, archaeologists found two large-scale sacrificial pits dating from the Shang Dynasty (c.1600-1046 BCE). Sanxingdui Museum. Southwest China's Sichuan Province
Shen Li. (2018, October 8). Mystery of Sanxingdui culture on display in museum exhibition. Retrieved March 20, 2022, from [news.cgtn.com website: https://news.cgtn.com/news/3d3d414f78596a4e7a457a6333566d54/index.html](https://news.cgtn.com/news/3d3d414f78596a4e7a457a6333566d54/index.html)
- 13 ... **Fig. 45:** Code of Hammurabi. Babylonian legal text. C. 1755-1750 BC. The Louvre (originally Sippar, Mesopotamia (modern-day Iraq), found at Susa, Iran)
Neo-Assyrian. Epic of Gilgamesh, tablet 11, story of the Flood. K.3375. (n.d.). Retrieved from The British Museum website: https://www.britishmuseum.org/collection/object/W_K-3375
- 14 ... **Fig. 46:** Epic of Gilgamesh, tablet 11, story of the Flood. Material: Clay. 7thC. BC Neo-Assyrian. The British Museum. M.N. K.3375
Code of Hammurabi. (2019, March). Retrieved March 2022, from Wikipedia website: https://en.wikipedia.org/wiki/Code_of_Hammurabi
- 15 ... **Fig. 47:** The Tower of Babel (1563), painting by Pieter Brueghel the Elder. Oil and panel. Netherlandish Renaissance. Kunsthistorisches Museum, Vienna.
Tower of Babel. (2020, September 1). Retrieved March 21, 2022, from Wiktionary website: [https://en.wiktionary.org/wiki/Tower_of_Babel#/media/File:Pieter_Bruegel_the_Elder_-_The_Tower_of_Babel_\(Vienna\)_-_Google_Art_Project_-_edited.jpg](https://en.wiktionary.org/wiki/Tower_of_Babel#/media/File:Pieter_Bruegel_the_Elder_-_The_Tower_of_Babel_(Vienna)_-_Google_Art_Project_-_edited.jpg)
- 15 ... **Fig. 48:** The mountain of Borsippa (in antiquity Babel). Drawn by Faucher-Gudin. Verlag Grolier Society, London 1901-1906. «History of Egypt Chaldea, Syria, Babylonia and Assyria Volume IV, Part A, Containing over 1200 colored plates & illustrations»
gemeinfrei. (2021, November 20). Borsippa - Babel - Birs-Nimrud. Retrieved February 2022, from Wikipedia website: https://en.wikipedia.org/wiki/File:Borsippa_-_Babel_-_Birs-Nimrud.jpg
- 15 ... **Fig. 49:** The ruins of the so-called Tongue Tower of the ziggurat and temple of the god Nabu at Borsippa. The holes in the masonry are the traces of the scaffolding of the construction. Babel Governorate, Iraq. 6th century BC.
Osama Shukir Muhammed Amin FRCP(Glasg) (2021, November 20). The ruins of the so-called Tongue Tower of the ziggurat and temple of the god Nabu at Borsippa, Babel Governorate, Iraq. 6th century BC. Retrieved February 2022, from Wikipedia website: https://en.wikipedia.org/wiki/File:The_ruins_of_the_so-called_Tongue_Tower_of_the_ziggurat_and_temple_of_the_god_Nabu_at_Borsippa,_Babel_Governorate,_Iraq._6th_century_BC.jpg

- 16 ... **Fig. 50:** Extract from a 13th-century manuscript of the *Shatapatha Brahmana* (Khanda 14)
Extract from a 13th-century manuscript of the *Shatapatha Brahmana* (Khanda 14). (n.d.). Retrieved March 2022, from Wikipedia website: [https://en.wikipedia.org/wiki/Brahmana#%C5%9Aukla_\(White\)_YajurVeda:_Shatapatha_Brahmana](https://en.wikipedia.org/wiki/Brahmana#%C5%9Aukla_(White)_YajurVeda:_Shatapatha_Brahmana) Extract from a 13th-century manuscript of the *Shatapatha Brahmana* (Khanda 14). (n.d.). Retrieved March 2022, from Wikipedia website: [https://en.wikipedia.org/wiki/Brahmana#%C5%9Aukla_\(White\)_YajurVeda:_Shatapatha_Brahmana](https://en.wikipedia.org/wiki/Brahmana#%C5%9Aukla_(White)_YajurVeda:_Shatapatha_Brahmana)
- 16 ... **Fig. 51:** 'Codex Ixtlilxochitl, 103 recto It depicts the god Quetzalcoatl attired with his typical costume. The dancers shown in the preceding figure 21 are dressed in the same manner. The god holds an identical type of spear thrower gripped by those dancers. The costume and the weapon characterise the dance as a performance honouring the god Quetzalcoatl.'
Vocca, Maria Carlotta. (2013, September). Figure 22: Codex Ixtlilxochitl. Retrieved from ResearchGate website: https://www.researchgate.net/figure/Codex-Ixtlilxochitl-103-recto-It-depicts-the-god-Quetzalcoatl-attired-with-his-typical_fig4_320299544 University of Bologna
- 17 ... **Fig. 52:** Xochiquetzal in Codex Borgia. 16th c. AC
Xochiquetzal. (n.d.). Retrieved March 2022, from Wikipedia website: <https://en.wikipedia.org/wiki/X%C5%8Dchiquetzal#/media/File:Ichpuchtl.jpg>
- 17 ... **Fig. 53:** "The King of Akwapim", Ghana ©Historical Photographs from the Basel Mission
ohiristudio. (n.d.). Traditional Clothing: "The King of Akwapim", Ghana | | ©Historical Photographs from the Basel Mission. Retrieved March 21, 2022, from traditionalclothing.tumblr.com website: <https://traditionalclothing.tumblr.com/post/117682782801/ohiristudio-the-king-of-akwapim-ghana/amp>
- ### Γλωσσολογία – Γλωσσικό ζήτημα.
- 18 ... **Fig. 54:** The Phryctoriae of Agamemnon covered 550 km. Troy - Palace of Mycenae
athina. (2019, January 5). Πώς έμαθαν οι αρχαίοι την πτώση της Τροίας; Το μήνυμα διένυσε 550 χιλιόμετρα μέσα σε μία νύχτα πριν από 3.000 χρόνια. Φρυκτωρίες, η επινόηση των Ελλήνων που "εκμηδένισε" τις αποστάσεις (βίντεο). Retrieved March 2022, from MHXANH TOY XPONOY website: <https://www.mixanitouxronou.com.cy/arxaiotita/pos-emathan-i-archei-tin-ptosi-tis-trias-to-minima-dienise-550-chilometra-mesa-se-mia-nichta-prin-apo-3-000-chronia-friktories-i-epinoisi-ton-ellinon-pou-ekmidenize-tis-apostasis/>
- 18 ... **Fig. 55:** Phryctoria in Ikaria and Kaminovigliatoras in Kythnos. (ph. Crhr. Basilopoulos)
athina. (2019, January 5). Πώς έμαθαν οι αρχαίοι την πτώση της Τροίας; Το μήνυμα διένυσε 550 χιλιόμετρα μέσα σε μία νύχτα πριν από 3.000 χρόνια. Φρυκτωρίες, η επινόηση των Ελλήνων που "εκμηδένισε" τις αποστάσεις (βίντεο). Retrieved March 2022, from MHXANH TOY XPONOY website: <https://www.mixanitouxronou.com.cy/arxaiotita/pos-emathan-i-archei-tin-ptosi-tis-trias-to-minima-dienise-550-chilometra-mesa-se-mia-nichta-prin-apo-3-000-chronia-friktories-i-epinoisi-ton-ellinon-pou-ekmidenize-tis-apostasis/>
- 19 ... **Fig. 56:** Homo heidelbergensis and Homo sapiens sites of Africa, Europe, and Asia
Tattersall, Ian. (2019). Homo sapiens | Meaning & Stages of Human Evolution. In *Encyclopædia Britannica*. Retrieved from <https://www.britannica.com/topic/Homo-sapiens>
- 20 ... **Fig. 57:** Minna Sundberg's illustration maps the relationships between Indo-European and Uralic languages. [...] Linguists have often used trees and branches as metaphors to explain and map the connections between language groups.
Young, Holly. (2015, January 23). A language family tree - in pictures. Retrieved from the Guardian website: <https://www.theguardian.com/education/gallery/2015/jan/23/a-language-family-tree-in-pictures>
- 21 ... **Fig. 58:** A language family tree. Sino-Caucasian, Nostratic, Austric
The Cultural Landscape: An Introduction to Human Geography - ppt video online download. (2016). Retrieved March 21, 2022, from slideplayer website: <https://slideplayer.com/slide/5126216/>
- 22 ... **Fig. 59:** Map of the world's language families
Smelser, N. J., & Baltes, P. B. (2001). *International encyclopedia of the social & behavioral sciences* (p. 8376) / Vol. 16, [New-Per]. Amsterdam Etc.: Elsevier.
- 23 ... **Fig. 60:** Diepkloof rock shelter: engraved ostrich eggshells from the SU Frank (squares M6e9, N6e9). With the exception of numbers 10 and 16 which represent the curved and subparallel line motif, all the pieces document the variability of the hatched-band motif. Hatched-band motif with orthogonal lines: 1e3, 5e9, 11e15, 17e19, 21e23, 25e26; hatchedband motif with oblique lines: 4, 20 and 24.
Texier, P.-J., Porraz, G., Parkington, J., Rigaud, J.-P., Poggenpoel, C., & Tribolo, C. (2013). The context, form and significance of the MSA engraved ostrich eggshell collection from Diepkloof Rock Shelter, Western Cape, South Africa (p. 4320). *Journal of Archaeological Science*, 40(9), 3412–3431. <https://doi.org/10.1016/j.jas.2013.02.021>
- 24 ... **Fig. 61:** Cedar tablet carved with 10 rows of linear (vertical and horizontal) signs, some of them resembling the letters Δ, E, or Λ. Dated to 5202 ± 123 BC (5324–5079 BC) within 2σ (DEM-321)
Facorellis, Yorgos, Sofronidou, Marina, & Hourmouziadis, Giorgos. (2014). Radiocarbon Dating of the Neolithic Lakeside Settlement of Dispilio, Kastoria, Northern Greece (p. 517). *Radiocarbon*, 511–528(2), 517. <https://doi.org/10.2458/56.17456>
- 24 ... **Fig. 62:** Envelope, tokens and corresponding markings, from Susa, Iran (Courtesy Musee du Louvre, Departement des Antiquites Orientales).
Smelser, N. J., & Baltes, P. B. (2001). *International encyclopedia of the social & behavioral sciences* (p. 16620) / Vol. 16, [New-Per]. Amsterdam Etc.: Elsevier.
- 24 ... **Fig. 63:** Impressed tablet featuring an account of grain, from Godin Tepe, Iran (Courtesy Dr. T. Cuyler Young, Royal Ontario Museum, Toronto)
Smelser, N. J., & Baltes, P. B. (2001). *International encyclopedia of the social & behavioral sciences* (p. 16620) / Vol. 16, [New-Per]. Amsterdam Etc.: Elsevier.

- 24 ... **Fig. 64:** Economic cuneiform tablet (Courtesy Texas Memorial Museum, The University of Texas at Austin)
Smelser, N. J., & Baltes, P. B. (2001). *International encyclopedia of the social & behavioral sciences* (p. 16621) / Vol. 16, [New-Per]. Amsterdam Etc.: Elsevier.

Εμφάνιση αριθμητικής – μαθηματικών.

- 25 ... **Fig. 65:** (a) Baboon fibula from Border Cave layer 1BS Lower B C; (b,c) close-up view showing worn superficial incisions and the irregular sections of the notches; (d) tracing of the notched face with numbers identifying individual notches; (e) tracing indicating the notches made by the same tool with different symbols. ; Microscopic and morphometric analyses of the notches indicate that they were made by the back-and-forth movement of five different cutting edges, and that in two cases notches 9, 13 and 20 on the one hand, and notch 22 on the other new notches were added in between already carved notches. Scale bar, 1 cm.

d'Errico, F., Doyon, L., Colag , I., Queffelec, A., Le Vraux, E., Giacobini, G., ... Maureille, B. (2018). From number sense to number symbols. An archaeological perspective (p. 6). *Philosophical Transactions of the Royal Society B: Biological Sciences*, 373(1740), 20160518. Retrieved February 2022, from [royalsocietypublishing.org website: https://doi.org/10.1098/rstb.2016.0518](https://royalsocietypublishing.org/doi.org/10.1098/rstb.2016.0518)

- 26 ... **Fig. 66:** 61 Calculating by the fingers shown in an Egyptian funeral painting from the New Kingdom. This is a fragment of a mural on the tomb of Prince Menna at Thebes, who lived at the time of the 18th Dynasty, in the reign of King Thutmosis, at the end of the 15th c. BC. We see six scribes checking while four workers measure out grain and pour bushels of corn from one heap to another. On the right, on one of the piles of grain, the chief scribe is doing arithmetic on his fingers and calling out the results to the three scribes on the left who are noting them down. Later they will copy the details onto papyrus in the Pharaoh's archives. (Theban tomb no. 69)

Ifrah, Georges (2000). *The Universal History of Numbers from Prehistory to The Invention of The Computer* (D. Bellos, E. F. Harding, S. Wood & I. Monk, Trans. ; p. 61). New York: John Wiley & Sons.

- 26 ... **Fig. 67:** Boethius (480-524 AD), the philosopher and mathematician, counting on his fingers. From a painting by Justus of Ghent (15th AC). See P. Dedron and J. Itard (1959).

Ifrah, Georges (2000). *The Universal History of Numbers from Prehistory to The Invention of The Computer* (D. Bellos, E. F. Harding, S. Wood & I. Monk, Trans. ; p. 48). New York: John Wiley & Sons.

- 26 ... **Fig. 68:** Finger-counting among the Aztecs (Pre-Columbian Mexico). Detail of a mural by Diego Rivera. National Museum of Mexico.

Ifrah, Georges (2000). *The Universal History of Numbers from Prehistory to The Invention of The Computer* (D. Bellos, E. F. Harding, S. Wood & I. Monk, Trans. ; p. 47). New York: John Wiley & Sons.

- 26 ... **Fig. 69:** Variants of basing counting with fingers

Ifrah, Georges (2000). *The Universal History of Numbers from Prehistory to The Invention of The Computer* (D. Bellos, E. F. Harding, S. Wood & I. Monk, Trans. ; p. 61). New York: John Wiley & Sons.

- 27 ... **Fig. 70:** Counting to thousands using the fingers. China 16th AD, in the arithmetical textbook *Suan fa tong zong* published in 1593. [...] With the right hand palm upwards (Fig. 63), we count on the little finger from 1 to 3 by touching the «deft knuckles» from tip to base; then from 4 to 6 by touching the «centre knuckles» from base to tip; and finally, from 7 to 9 by touching the «right knuckles» from tip to base. We count the tens similarly on the fourth finger, the hundreds on the middle finger, and so on. In this way it is, in theory, possible to count up to 99,999 on one hand, and up to 9,999,999,999 with both; a remarkable testimony to human ingenuity

Ifrah, Georges (2000). *The Universal History of Numbers from Prehistory to The Invention of The Computer* (D. Bellos, E. F. Harding, S. Wood & I. Monk, Trans. ; p. 83). New York: John Wiley & Sons.

- 27 ... **Fig. 71:** (Ifrah, 2000, p. 16). [...] «primitives» of this kind are not using body-counting in exactly the same way as we might. Since we know how to count, a conventional order of the parts of the body would constitute a true arithmetical sequence; each «body-point» would be assimilated in our minds to a cardinal (rank-order) number, characteristic of a particular quantity of things or beings. [...]

That is because we are equipped with generalising abstractions and in particular with number-concepts. But «primitive» peoples are not so equipped: they cannot abstract from the «points» in the numbering sequence: their grasp of the sequence remains embedded in the specific nature of the «points» themselves. Their understanding is in effect restricted to one-for-one mapping; the only «operations» they make are to add or remove one or more of the elements in the basic series.

Such people do not of course have any abstract concept of the number «ten», for instance. But they do know that by touching in order their little finger, ring finger, middle finger, index finger and thumb on the right hand, then their right wrist, elbow, shoulder, ear, and eye, they can «tally out» as many men, animals or objects as there are body-points in the sequence.

[...] this procedure is a simple and convenient means of establishing ready-made mappings which can then be mapped one-to-one onto any sets for which a total is required. [...]

Such people do not of course have any abstract concept of the number «ten», for instance. But they do know that by touching in order their little finger, ring finger, middle finger, index finger and thumb on the right hand, then their right wrist, elbow, shoulder, ear, and eye, they can «tally out» as many men, animals or objects as there are body-points in the sequence.

These body-counting points are thus not thought of by their users as «numbers», but rather as the last elements of model sets arrived at after a regulated (conventional) sequence of body-gestures. This means that for such people the mere designation of any one of the points is not sufficient to describe a given number of beings or things unless the term uttered is accompanied by the corresponding sequence of gestures. So in discussions concerning such and such a number, no real «number-term» is uttered: instead, a given number of body-counting points will be enumerated, alongside the simultaneous sequence of gestures. This kind of enumeration therefore fails to constitute a genuine arithmetical series; participants in the discussion must also necessarily keep their eyes on the speaker. [...]

Ifrah, Georges (2000). *The Universal History of Numbers from Prehistory to The Invention of The Computer* (D. Bellos, E. F. Harding, S. Wood & I. Monk, Trans. ; p. 16). New York: John Wiley & Sons.

- 27 ... **Fig. 72:** Manin, Yuri I. (2007). *Mathematics as metaphor: selected essays of Yuri I. Manin* (p. 25). Providence, R.I.: American Mathematical Society. 9780821843314
- 30 ... **Fig. 73:** (Ifrah, 2000, p. 44-45). "If nature had given us six fingers, then the majority of counting systems would have used base 12. If on the other hand evolution had brought us down to four fingers on each hand (as it has for the frog), then we would doubtless have long-standing habits and traditions of counting on base 8.
The reason for the adoption of vigesimal (base 20) systems in some cultures can be seen by the basic idea of Aztec numbering as laid out in Fig. 64 above. In the language of the Aztecs
- the names of the first five numbers can be associated with the fingers of one hand;
 - the following five numbers can be associated with the fingers of the other hand;
 - the next five numbers can be associated with the toes of one foot;
 - and the last five numbers can be associated with the toes on the other foot. And so 20 is reached with the last toe of the second foot (see Fig. 2.10). This is no coincidence. It is simply that some communities, because they realised that by leaning forward a little they could count toes as well as fingers, ended up using base 20."
- Ifrah, Georges (2000). *The Universal History of Numbers from Prehistory to The Invention of The Computer* (D. Bellos, E. F. Harding, S. Wood & I. Monk, Trans. ; p. 45). New York: John Wiley & Sons.
- 31 ... **Fig. 74:** Plutarch, *Modern portrait at Chaeronea*, based on a bust from Delphi tentatively identified as Plutarch.
Oddyses (ph.). (n.d.). Plutarch, *Modern portrait at Chaeronea*, based on a bust from Delphi tentatively identified as Plutarch. Retrieved March 2022, from Wikipedia website: [https://en.wikipedia.org/wiki/Plutarch#/media/File:Plutarch_of_Chaeronea-03_\(cropped\).jpg](https://en.wikipedia.org/wiki/Plutarch#/media/File:Plutarch_of_Chaeronea-03_(cropped).jpg)
- 33 ... **Fig. 75:** Heinrich Cornelius Agrippa applied the concept of arithmancy to the classical Latin alphabet in the 16th century in *Three Books of Occult Philosophy*. He mapped the letters as follows (in accordance with the Latin alphabet's place-value at that time)
Agrippa von Nettesheim, Heinrich Cornelius. (1533). *De Occulta Philosophia*; , 1486-1535 (p. CXLIIII). Retrieved December 4, 2019, from Internet Archive website: <https://archive.org/details/DeOccultaPhilosophiaLoc1533> ; $\pi\rho\beta$ Arithmancy. (n.d.). Wikipedia. Retrieved February 2022, from <https://en.wikipedia.org/wiki/Arithmancy>
- 33 ... **Fig. 76:** One-digit number cryptography. »Einstellige Zahlenkryptographie.« by Gardthausen, V. (Viktor Emil), & Robarts - University of Toronto.
Gardthausen, V. (Viktor Emil), & Robarts - University of Toronto. (1911). *Griechische palaeographie* (p. 311). In Internet Archive. Retrieved from <https://archive.org/details/griechischepalae02gard/page/110/mode/2up>
- 33 ... **Fig. 77:** «The alphabetic number system, says Keil, is between 550-425 BC. In Doric Caria, perhaps in Halicarnassus»
Gardthausen, V. (Viktor Emil), & Robarts - University of Toronto. (1911). *Griechische palaeographie* (p. 258). In Internet Archive. Retrieved from <https://archive.org/details/griechischepalae02gard/page/110/mode/2up>
- 35 ... **Fig. 78:** Inigo Jones' architectonical scheme for Stonehenge
Inigo Jones' architectonical scheme for Stonehenge. Morrison, Tessa (2011). *Isaac Newton's Temple of Solomon and his reconstruction of sacred architecture* (σ. 57). Basel: Birkhäuser.
- 35 ... **Fig. 79:** Orchestra. B. Stage, a-a. Front of stage. 6. Boyal door. c. Side doors, d. Involving scenes. 1-5. Staircases. F. Blocks of seats, a. Level gangway.
Βιτρούβιος (2000). *Περί αρχιτεκτονικής* Τόμος Α, Βιβλία I-V (Π. Λέφας Trans.) (σ. 337). Αθήνα: Πλέθρον.
- 35 ... **Fig. 80:** Roman Theater according to Vitruvius
Vitruvius. (1955). *On Architecture* (Books 1-5) (p. 333); *The Harleian Manuscript 2767*, Ed.; Granger, Frank, Trans.). Cambridge, Massachusetts: Harvard University Press. (Original work published 1931)
- 38 ... **Fig. 81:** Callisthenes of Olynthus
Μέγας Αλέξανδρος... η σύγκρουση με τον Καλλισθένη. (2017, March 29). Retrieved from Χείλων website: <https://chilonas.com/2017/03/29/httpwp-mep1op6y-4wl/>
- 38 ... **Fig. 82:** Bust of Serapis. Marble, Roman copy after a Greek original from the 4th century BC, stored in the Serapaeum of Alexandria. Inv. 689. Museum Pio-Clementino, Sala Rotonda
Bust of Serapis. Marble, Roman copy after a Greek original from the 4th century BC, stored in the Serapaeum of Alexandria. (n.d.). Retrieved March 2022, from Wikimedia Commons website: https://commons.wikimedia.org/wiki/File:Serapis_vatican.jpg
- 38 ... **Fig. 83:** Marble portrait head of Alexander the Great. Excavated / Findspot: Alexandria (Egypt) (said to be from). 2ndC BC-1stC BC. M.N. 1872,0515.1. British Museum
Portrait of: Alexander the Great. (n.d.). Retrieved from The British Museum website: https://www.britishmuseum.org/collection/object/G_1872-0515-1
- 40 ... **Fig. 84:** Clement of Alexandria, by André Thevet (1584). Christian theologian and philosopher who taught at the Catechetical School of Alexandria (150-215 AD).
Thevet, André, & Boston Public Library. (1584). *Les vrais pourtraits et vies des hommes illustres grecz, latins et payens*. In Internet Archive (p. 5). Retrieved from <https://archive.org/details/lesvraispourtrai01thev/page/n45/mode/2up>
- 41 ... **Fig. 85:** The Silk and Spice Routes
Silk Roads at a Glance. (2021). Retrieved March 2022, from UNESCO Youth Eyes on the Silk Roads website: <https://unescosilkroadphotocontest.org/en/about-silk-roads-map>
- 41 ... **Fig. 86:** San Giorgio al palazzo church in Milan (Italy). A plaque dated 1978, commemorating the writing of the Edict of Milan, in 313 d.C., that took place in the imperial palace that once stood where now is this church, and after which it is named.
G.dallorto, & Dall'Orto, Giovanni (ph). (n.d.). A plaque dated 1978, commemorating the writing of the Edict of Milan. Retrieved March 24, 2022, from Wikimedia.org website: https://commons.wikimedia.org/wiki/File:IMG_6735_-_Milano_-_S._Giorgio_al_Palazzo_-_Lapide_1978_x_Editto_di_Milano_-_313_-_Foto_Giovanni_Dall'Orto_-_8-Mar-2007.jpg

- 42 ... **Fig. 87:** *There was a connection between ordinary and secret writing in Byzantine times (example of Roziere, Recueil II p. 909-10)*
Gardthausen, V. (Viktor Emil), & Robarts - University of Toronto. (1911). *Griechische palaeographie* (p. 311). In Internet Archive. Retrieved from <https://archive.org/details/griechischepalae02gard/page/110/mode/2up>
- 44 ... **Fig. 88:** *Melencolia I. Copper plate. Nuremberg. by Dürer Engraving.*
Dürer, Albrecht. (1514). *Melencolia I. Engraving. Copper plate. Nuremberg. A.S. 43.106.1.* Retrieved March 2022, from Metmuseum.org website: <https://www.metmuseum.org/art/collection/search/336228>
- 44 ... **Fig. 89:** *The inscription containing the 4x4 most-perfect magic square (sudoku-like game) called «Chautisa Yantra». 950-970 AC. Parshvanatha temple, Khajuraho, Madhyapradesh, India.*
agamshastra. (2020, September 14). <https://twitter.com/truejainology/status/1305437917590859779>. Twitter. <https://twitter.com/truejainology/status/1305437917590859779>; Parshvanatha temple. (2016). Wikipedia. https://en.wikipedia.org/wiki/Parshvanatha_temple
- 45 ... **Fig. 90:** *The figurine represented an early fertility deity, perhaps a mother goddess Venus of Willendorf. Oolithic limestone, red ochre. Upper Paleolithic Gravettian industry. c. 25,000 BC, limestone 11.1 cm high. Naturhistorisches Museum, Vienna, Austria.*
Antl-Weiser, Walpurga (2009). «The time of the Willendorf figurines and new results of palaeolithic research in Lower Austria». *Anthropologie. Brno.* 47 (1 2): 131 141. Archived from the original on 2021-03-22. Retrieved February 2022, from puvodni.mzm.cz website: [http://puvodni.mzm.cz/Anthropologie/article.php?ID=5;πρβ Venus of Willendorf](http://puvodni.mzm.cz/Anthropologie/article.php?ID=5;πρβ%20Venus%20of%20Willendorf). (2019). Retrieved February 2022, from Wikipedia website: https://en.wikipedia.org/wiki/Venus_of_Willendorf
- 45 ... **Fig. 91:** *Athena on a Panathenic amphora, National Archaeological Museum of Athens, Greece*
Athena on a Panathenic amphora, National Archaeological Museum of Athens, Greece. (2022, March 16). Retrieved March 24, 2022, from Wikipedia website: https://en.wikipedia.org/wiki/Panathenaic_Games#/media/File:Anforagrega-atenas.jpg
- 47 ... **Fig. 92:** *Deucalion and Pyrrha. Engraving by Virgil Solis for Ovid's Metamorphoses Book I, 347-415. Fol. 7v, image 11.*
Hans jean paul gautier. (2006). *Virgil Solis - Deucalion Pyrrha.* Retrieved February 2022, from Wikimedia Commons website: https://commons.wikimedia.org/wiki/File:Virgil_Solis_-_Deucalion_Pyrrha.jpg
- 48 ... **Fig. 93:** *Gardthausen, V. (Viktor Emil), & Robarts - University of Toronto. (1911). Griechische palaeographie (p. 303). In Internet Archive. Retrieved from https://archive.org/details/griechischepalae02gard/page/110/mode/2up*
- 48 ... **Fig. 94:** *Gardthausen, V. (Viktor Emil), & Robarts - University of Toronto. (1911). Griechische palaeographie (p. 303). In Internet Archive. Retrieved from https://archive.org/details/griechischepalae02gard/page/110/mode/2up*
- 49 ... **Fig. 95:** ★ (Gardthausen, V. (Viktor Emil) & Robarts - University of Toronto, 1911, σ. 60-64). *Christ-Kreu monks liked to choose a cross, around which they either grouped the letters or they also arranged the letters in long and short lines so that their outlines form a cross. The fondness for this gimmick extended so far that in the famous «Josuarotulus» of the Vatican Library, even the position of the inscription became cruciform.*
Gardthausen, V. (Viktor Emil), & Robarts - University of Toronto. (1911). *Griechische palaeographie* (p. 61). In Internet Archive. Retrieved from <https://archive.org/details/griechischepalae02gard/page/110/mode/2up>
- 51 ... **Fig. 96:** *Vitruvian Man, illustration in the edition of De architectura by Vitruvius (XLIX); illustrated edition by Cesare Cesariano (1521)*
Pentagram from Heinrich Cornelius Agrippa's *De occulta philosophia libri tres* (1533). The symbols in the circle represent Mars, Jupiter, Saturn, Mercury and Venus. In the belly is the sign for Sun, and under the cross is the sign for Moon
- 51 ... **Fig. 97:** *Leonardo da Vinci. c. 1490. Pen and ink with wash over metalpoint on paper. 34.6 cm × 25.5 cm (13.6 in × 10.0 in). Gallerie dell'Accademia, Venice, Italy*
Vitruvian Man. (2019, February 4). Wikipedia; Wikimedia Foundation. https://en.wikipedia.org/wiki/Vitruvian_Man
- 51 ... **Fig. 98:** *Pentagram from Heinrich Cornelius Agrippa's De occulta philosophia libri tres (1533). The symbols in the circle represent Mars, Jupiter, Saturn, Mercury and Venus. In the belly is the sign for Sun, and under the cross is the sign for Moon*
Agrippa von Nettesheim, Heinrich Cornelius. (1533). *De Occulta Philosophia (CLXIII)*; , 1486-1535. Retrieved December 4, 2019, from Internet Archive website: <https://archive.org/details/DeOccultaPhilosophiaLoc1533>
- Εμφάνιση γεωμετρίας.**
- 52 ... **Fig. 99:** *1[1-δ] The process of natural development (1[α-δ] & 2[α] G. Sarigiannis, Introduction to the history and theory of the city, Athens 1985, pp. 54-55 & 2[α-β] The result of the design process (2[b] M. Morini, op. Cit. P. 8)*
Σαρηγιάννης, Γεώργιος Μ. (2011). *Η Αρχαία Πόλη Ιστορία της Πόλης και της Πολεοδομίας* (σ. 21). Αθήνα: Εθνικό Μετσόβιο Πολυτεχνείο
Τμήμα Ύλης στον Κύκλο Μαθημάτων
- 52 ... **Fig. 100:** *City image on a tile in Nimrud (Mesopotamia, Ancient Assyrian city. Nineveh Governorate, Iraq) (M. Morini, Atlante...18)*
Σαρηγιάννης, Γεώργιος Μ. (2011). *Η Αρχαία Πόλη Ιστορία της Πόλης και της Πολεοδομίας* (σ. 25). Αθήνα: Εθνικό Μετσόβιο Πολυτεχνείο
Τμήμα Ύλης στον Κύκλο Μαθημάτων
- 52 ... **Fig. 101:** *(a) 4th m. BC (Konstantinidis, Traditions ... Παραδόσεις... part A., p. 121. (b) Settlement of artisans in Tel El Amarna of Pharaonic Egypt (P. Lampi, Cities and Planning in the Ancient Near East, New York 1968, fig. 86)*
Σαρηγιάννης, Γεώργιος Μ. (2011). *Η Αρχαία Πόλη Ιστορία της Πόλης και της Πολεοδομίας* (σ. 24). Αθήνα: Εθνικό Μετσόβιο Πολυτεχνείο
Τμήμα Ύλης στον Κύκλο Μαθημάτων

- 52 ... **Fig. 102:** Aerial photo of neolithic settlement in Palioskala, Thessaly, Greece
Toufexis, G. (2018, December). Chapter 19. Palioskala. A Late Neolithic, Final Neolithic and Early Bronze Age settlement in the Eastern Thessalian plain (Central Greece) (Z. Tsirtsoni, Ed.). OpenEdition Books; MOM Éditions. <https://books.openedition.org/momeditions/535>
- 53 ... **Fig. 103:** Circles can be divided into five parts of equal size, resulting in a pentacle. L'Enfant then divided his circles thus, resulting in pentacles inside each, with the points heading east.
Selman, W. (2018, February 21). L'Enfant's sacred design for Washington DC. CNU. <https://www.cnu.org/publicsquare/2018/02/21/1%E2%80%99enfant%E2%80%99s-sacred-design-washington-dc>
- 53 ... **Fig. 104:** Similarities between avenues and focal points of plans: (a) plan of L'Enfant for Washington, DC (adapted from L'Enfant 1791); (b) Royal Site of Aranjuez
San-Antonio-Gómez, C., Velilla, C., & Manzano-Agugliaro, F. (2019). Similarities between L'Enfant's Urban Plan for Washington, DC, and the Royal Site of Aranjuez, Spain. *Journal of Urban Planning and Development*, 145(2), 05019001-8. [https://doi.org/10.1061/\(asce\)jup.1943-5444.0000495](https://doi.org/10.1061/(asce)jup.1943-5444.0000495)
- 53 ... **Fig. 105:** Detail of focal systems of avenues: (a) Versailles (adapted from Delagrave 1746); (b) Royal Site of Aranjuez
San-Antonio-Gómez, C., Velilla, C., & Manzano-Agugliaro, F. (2019). Similarities between L'Enfant's Urban Plan for Washington, DC, and the Royal Site of Aranjuez, Spain. *Journal of Urban Planning and Development*, 145(2), 05019001-9. [https://doi.org/10.1061/\(asce\)jup.1943-5444.0000495](https://doi.org/10.1061/(asce)jup.1943-5444.0000495)
- 53 ... **Fig. 106:** Construction of the Parthenon began in 447 B.C. By Manolis Korres (Dr. Architect-Eng, Dr. Ph. h.c. FU Berlin, Emeritus Professor NTU Athens, Member of the Academy of Athens.
Κορρές, Μανώλης (1994), Από την Πεντέλη στον Παρθενώνα (σ. 75). Αθήνα: Μέλισσα
- 53 ... **Fig. 107:** Twisting ropes for boatbuilding, tomb of Ptahhotep and Akhetotep
Teeter, Emily. (1987). Techniques and Terminology of Rope-Making in Ancient Egypt. *The Journal of Egyptian Archaeology*, 73, 75. <https://doi.org/10.2307/3821522>
- 53 ... **Fig. 108:** Rome, 275AC, walking city: The boundaries of the ancient city were limited by transportation technology—Romans had little choice but to walk. Source: David Rumsey Map Collection courtesy Stanford University Libraries, CC-BY-NC-SA. Map: David Montgomery/CityLab
Teeter, Emily. (1987). Techniques and Terminology of Rope-Making in Ancient Egypt. *The Journal of Egyptian Archaeology*, 73, 75. <https://doi.org/10.2307/3821522>
- 54 ... **Fig. 109:** Plan of the Djoser Pyramid Complex: 1) step pyramid, 2) south tomb and chapel, 3) Sed festival complex, 4) temple, 5) south court, 6) south pavillion, 7) north pavillion, 8) mortuary temple, 9) western mounds, 10) colonnaded entrance, 11) north court, 12) north galleries, 13) step tombs, 14) serdab, and 15) north altar
Pyramid of Djoser. (2019, November 26). Wikipedia; Wikimedia Foundation. https://en.wikipedia.org/wiki/Pyramid_of_Djoser
- 54 ... **Fig. 110:** Explanatory drawing of YCB 7289
«A 3D-print of ancient history: one of the most famous mathematical texts from Mesopotamia» | Institute for the Preservation of Cultural Heritage. (2016, January 16). ipch.yale.edu; ipch.yale.edu. <https://ipch.yale.edu/news-events/3d-print-ancient-history-one-most-famous-mathematical-texts-mesopotamia>
- 55 ... **Fig. 111:** Nefertiti's bust
Dendrinios, Dimitrios S. (2017, May). Nefertiti's bust and Dynamical Geometry (42). Retrieved February 16, 2022, from ResearchGate website: https://www.researchgate.net/publication/317416490_Nefertiti University of Kansas.
- 55 ... **Fig. 112:** (a) The basic right trapezoid (ABCD) of Nefertiti's bust in a tomographic section's outline. Within the right trapezoid, the possible Primitive Pythagorean Triple (28, 45, 53) is embedded together with the rhombus (AECD). Source: the author. (b) The axis of symmetry S of the inverted, truncated cone-like structure in Nefertiti's bust. The parabolic shape of the shoulders in the sculpture (defined by lines L, M) are discussed in the text. Notice the straight-line N going through the top of the rhombus (at Nefertiti's eye level), tracing the length of Nefertiti's neck, and intersecting the base of the statue at point P on the axis of the shoulder's parabola.
Dendrinios, Dimitrios S. (2017, May). Nefertiti's bust and Dynamical Geometry (31, 33). Retrieved February 16, 2022, from ResearchGate website: https://www.researchgate.net/publication/317416490_Nefertiti University of Kansas.
- 56 ... **Fig. 113:** Leaves follow Fibonacci both when growing off branches and stems and in their veins. Similar to a tree, leaf veins branch off more and more in the outward proportional increments of the Fibonacci Sequence. Leaves follow Fibonacci both when growing off branches and stems and in their veins. Similar to a tree, leaf veins branch off more and more in the outward proportional increments of the Fibonacci Sequence.
McGraw, Victoria. (2017, November 14). 7 Beautiful Examples Of The Fibonacci Sequence In Nature. Retrieved from The Odyssey Online website: <https://www.theodysseyonline.com/7-beautiful-examples-fibonacci-sequence-nature>
- 56 ... **Fig. 114:** Uterus, Uterus, with a foetus; the pelvis has been sectioned in the median plane. Sketch by Petros Petrakis
Johannes Sobotta. (2008). *Sobotta Atlas of human anatomy. 2: Trunk, viscera, lower limb.* (R. Putz, R. Pabst, Dr. Med, & R. Putz, Eds.; S. Bedoui, Trans.; 14th ed., Vol. 2, p. 207). Elsevier/Urban & Fischer.
- 56 ... **Fig. 115:** (a,b) Bekker, Anecd, p. 786.
Gardthausen, V. (Viktor Emil), & Roberts - University of Toronto. (1911). *Griechische palaeographie* (p. 59). In Internet Archive. Retrieved from <https://archive.org/details/griechischepalae02gard/page/110/mode/2up>
- 56 ... **Fig. 116:** Bronchi. Bronchi; the lobar and the segmental bronchi have been projected onto the lungs and are illustrated with different colours; ventral view
Johannes Sobotta. (2008). *Sobotta Atlas of human anatomy. 2: Trunk, viscera, lower limb.* (R. Putz, R. Pabst, Dr. Med, & R. Putz, Eds.; S. Bedoui, Trans.; 14th ed., Vol. 2, p. 92). Elsevier/Urban & Fischer.

56 ... **Fig. 117:** An 1847 depiction of the Norse Yggdrasil as described in the Icelandic Prose Edda by Oluf Olufsen Bagge Tree of life. (n.d.). Retrieved March 29, 2022, from Wikipedia website: https://en.wikipedia.org/wiki/Tree_of_life#/media/File:Yggdrasil.jpg

56 ... **Fig. 118:** Vessels and nerves of the head; deep lateral regions Johannes Sobotta. (2001). Sobotta atlas of human anatomy: head, neck, upper limb (R. Putz, R. Pabst, Dr. Med, & R. Putz, Eds.; S. Bedoui, Trans.; 13th ed., Vol. 1, p. 83). Elsevier/Urban & Fischer.

57 ... **Fig. 119:** Fibonacci Tree BK CryptoTrader. (n.d.). Fibonacci Tree. Retrieved August 2021, from [gr.pinterest.com](https://gr.pinterest.com/pin/353814114452059459/) website: <https://gr.pinterest.com/pin/353814114452059459/>

57 ... **Fig. 120:** Human Placenta Interview with Myriam Hemberger, Babraham Institute. (2018, January 14). In praise of the placenta. Retrieved March 2022, from Thenakedscientists website: <https://www.thenakedscientists.com/articles/interviews/praise-placenta>

Ακολουθία Fibonacci & Lucas.

58 ... **Fig. 121:** Leonardo Bonacci. Engraving. Engraving from p.334 of Google Books copy of *I benefattori dell'umanita, ossia Vite e ritratti degli uomini d'ogni paese e d'ogni condizione, a cura di Luigi Ducci, Florence, 1850, Volume 6.* (2019). Retrieved from thoughtco website: <https://www.thoughtco.com/leonardo-pisano-fibonacci-biography-2312397>

59 ... **Fig. 122:** Nonenmac. (2020, September 29). Pascal's Triangle with even numbers shaded. Retrieved February 2022, from Wikipedia website: https://en.wikipedia.org/wiki/File:Pascal%27s_Triangle_with_even_numbers_shaded.svg

59 ... **Fig. 123:** Thirteen ways of arranging long and short syllables in a cadence of length six, here shown with Cuisenaire rods of length 1cm and 2cm Johnson, S. (2022, March 8). Hemachandra. Retrieved March 29, 2022, from Wikipedia website: https://en.wikipedia.org/wiki/Hemachandra#/media/File:Thirteen_ways_of_arranging_long_and_short_syllables_in_a_cadence_of_length_six.svg

60 ... **Fig. 124:** Drawing of Hemchandra based on Vikram Samvat 1294 palm leaf. अनुनाद सहि. (n.d.). Drawing of Hemchandra based on Vikram Samvat 1294 palm leaf. Retrieved March 29, 2022, from commons.wikimedia.org website: <https://en.wikipedia.org/wiki/File:Hemachandra.gif>

62 ... **Fig. 125:** A page of Fibonacci's Liber Abaci from the Biblioteca Nazionale di Firenze showing (in box on right) the Fibonacci sequence with the position in the sequence labeled in Latin and Roman numerals and the value in Hindu-Arabic numerals.

Leonardo da Pisa. (n.d.). A page of Fibonacci's Liber Abaci. Ms. Biblioteca Nazionale di Firenze, Codice magliabechiano cs cI, 2626, fol. 124r. Retrieved March 29, 2022, from commons.wikimedia.org website: https://en.wikipedia.org/wiki/File:Liber_abbaci_magliab_f124r.jpg Source: Heinz Lüneburg, Leonardi Pisani Liber Abbaci oder Lesevergnügen eines Mathematikers, 2. überarb. und erw. Ausg., Mannheim et al.:

62 ... **Fig. 126:** A page of Fibonacci's Liber Abaci from the Biblioteca Nazionale di Firenze showing (in box on right) the Fibonacci sequence with the position in the sequence labeled in Latin and Roman numerals and the value in Hindu-Arabic numerals.

Leonardo da Pisa. (n.d.). A page of Fibonacci's Liber Abaci. Ms. Biblioteca Nazionale di Firenze, Codice magliabechiano cs cI, 2626, fol. 124r. Retrieved March 29, 2022, from commons.wikimedia.org website: https://en.wikipedia.org/wiki/File:Liber_abbaci_magliab_f124r.jpg Source: Heinz Lüneburg, Leonardi Pisani Liber Abbaci oder Lesevergnügen eines Mathematikers, 2. überarb. und erw. Ausg., Mannheim et al.:

62 ... **Fig. 127:** Leucanthemum vulgare Pezibear. (n.d.). Μαργαρίτα. Retrieved March 2022, from pixabay website: <https://pixabay.com/el/photos/μαργαρίτα-λουλούδι-φυτό-λευκό-796637/>

62 ... **Fig. 128:** Delphinium elatum Delphinium elatum. (2022, January 30). Retrieved March 29, 2022, from Wikipedia website: https://en.wikipedia.org/wiki/Delphinium_elatum

62 ... **Fig. 129:** Joseph-Louis (Giuseppe Luigi), comte de Lagrange . Steel Engraving, English, 1833. Poster Print by Granger Collection, New York Joseph-Louis Lagrange. (n.d.). Retrieved from Wikipedia website: https://en.wikipedia.org/wiki/Joseph-Louis_Lagrange

63 ... **Fig. 130:** The Axial and Appendicular Skeleton Hansen, J. T., & Netter, F. H. (2010). Netter's Clinical Anatomy (2nd ed., p. 7). Philadelphia: Saunders, an imprint of Elsevier Inc.

64 ... **Fig. 131:** ("The Fibonacci Numbers and Golden section in Nature - 1," n.d.-b): «Fibonacci numbers can also be seen in the arrangement of seeds on flower heads. You can see that the orange «petals» seem to form spirals curving both to the left and to the right. At the edge of the picture, if you count those spiralling to the right as you go outwards, there are 55 spirals. A little further towards the centre and you can count 34 spirals. How many spirals go the other way at these places? You will see that the pair of numbers (counting spirals in curving left and curving right) are neighbours in the Fibonacci series.»

The Fibonacci Numbers and Golden section in Nature - 1. (n.d.-b). Retrieved March 2022, from r-knott.surrey.ac.uk website: <https://r-knott.surrey.ac.uk/Fibonacci/fibnat.html#Rabbits>

64 ... **Fig. 132:** (Dunlap, 2008, p. 131). Schematic illustration of the seed bearing scales on the base of a typical pinecone. Line a shows one of the 13 clockwise spirals and line b shows one of the 8 counter clockwise spirals.

Dunlap, Richard A. (2008). The golden ratio and Fibonacci numbers (p.131). New Jersey: World Scientific.

- 64 ... **Fig. 133:** (Livio, 2003, p. 119-120). The logarithmic spiral is also known as the equiangular spiral. The name «equiangular» reflects another unique property of the logarithmic spiral. If you draw a straight line from Biologist Vance A. Tucker of Duke University in North Carolina: The results of his research, which were published in the November 2000 issue of the *Journal of Experimental Biology*, show that falcons keep their head straight and follow a logarithmic spiral. Because of the spiral's equiangular property, this path allows them to keep their target in view while maximizing speeds.
- Livio, Mario (2003). *The Golden Ratio: The Story of Phi, the World's Most Astonishing Number* (p. 119-120). New York: Broadway Books.
- 64 ... **Fig. 134:** . (2020, September 3).  -  added a new photo. Retrieved March 2022, from Facebook website: <https://www.facebook.com/102845058207078/photos/a.103233618168222/115642463594004/>
- 65 ... **Fig. 135:** The galaxy is officially named Messier 51 (M51) or NGC 5194, but often goes by its nickname of the "Whirlpool Galaxy." Like the Milky Way, the Whirlpool is a spiral galaxy with spectacular arms of stars and dust. M51 is located 30 million light years from Earth, and its face-on orientation to Earth gives us a perspective that we can never get of our own spiral galactic home.
- Boen, B. (2015, February 18). Chandra Captures Galaxy Sparkling in X-rays. NASA. https://www.nasa.gov/mission_pages/chandra/multimedia/sparkling-m51.html
- 65 ... **Fig. 136:** Electron diffraction patterns of the icosahedral quasicrystal Al₇₀Fe₁₅ showing fivefold symmetry axis.
- Dunlap, Richard A. (2008). *The golden ratio and Fibonacci numbers*. (p. 121). New Jersey: World Scientific.
- 65 ... **Fig. 137:** The Butterfly Nebula
- NASA Content Administrator (Ed.). (2011). *The Butterfly Nebula*. Retrieved March 2022, from NASA website: https://www.nasa.gov/multimedia/imagegallery/image_feature_2526.html
- 66 ... **Fig. 138:** The optical refinements of the Parthenon
- Τουρνικιώτης, Παναγιώτης (1994). *Ο Παρθενώνας και η Ακτινοβολία του στα Νεώτερα Χρόνια* (σ. 67). Αθήνα: Μέλισσα
- 66 ... **Fig. 139:** Olmec city: In 1200 B.C. San Lorenzo become a ceremonial. It held over 13,000 people. One of the oldest cities are still standing.
- jbilz23. (n.d.). *olmecs timeline*. Timetoast Timelines. <https://www.timetoast.com/timelines/olmecs-df329fe5-3156-45f3-8caf-7edcf58fb89>
- 66 ... **Fig. 140:** El Castillo (pyramid of Kukulcán) in Chichén Itzá. Maya civilization. (2019). Wikipedia; Wikimedia Foundation. https://en.wikipedia.org/wiki/Maya_civilization
- 66 ... **Fig. 141:** Monte Alban - the ruins of the Zapotec civilization in Oaxaca, Mexico.
- smejnaya. (n.d.). *Monte Alban - the ruins of the Zapotec civilization in Oaxaca, Mexico*. Depositphotos. Retrieved March 2022, from <https://depositphotos.com/23685239/stock-photo-monte-alban-the-ruins-of.html>
- 66 ... **Fig. 142:** Tiwanaku Tiahuanaco, Pre-Columbian Archaeological Site, Bolivia, Chacana.
- Tiwanaku Tiahuanaco, Pre-Columbian Archaeological Site, Bolivia, Chacana. (2022). [Tripadvisor.com. https://media-cdn.tripadvisor.com/media/photo-s/0f/36/43/99/cruz-andina.jpg](https://media-cdn.tripadvisor.com/media/photo-s/0f/36/43/99/cruz-andina.jpg)
- 66 ... **Fig. 143:** An Incan yupuna, an instrument whose purpose is still unclear, though it may have been used for making arithmetic calculations. (De Pasquale n.d.; Aimi and De Pasquale n.d; De Pasquale and Aimi 2003a, 2003b). Their examination of fifteen preserved yupana indicates that they are all either base-10 or base-40. They infer that the calculating device was based on a Fibonacci sequence, in which each number is the sum of the prior two, and provides examples of how the calculations could have worked that coincide with Acosta's observations. This suggestion is novel and as yet unproven.
- Usvat, L. (n.d.). *Yupana the Fibonacci Number Grid Based Calculator of Inka Empire* - by Mathematics Magazine. *Mathematicsmagazine*. Retrieved March 30, 2022, from <http://www.mathematicsmagazine.com/Articles/Yupana.php>; D'Altroy, T. N. (2014). *The Incas*. In Google Books (p. 161). John Wiley & Sons. <https://books.google.fr/books?id=8JmAAwAAQBAJ&pg=PA161&dq=Yupana+the+Fibonacci+Number&hl=el&sa=X&ved=2ahUKewjujP67ye72AhXDc98KHTM5BxoQ6AF6BAgJEAI#v=onepage&q=Yupana%20the%20Fibonacci%20Number&f=false>
- 66 ... **Fig. 144:** Late Postclassic. Diameter 3.60 meters. Aztec (Mexico) Gallery, INAH, National Museum of Anthropology, Mexico City. Complete indexed photo collection at WorldHistoryPics.com.
- Todd, G. (2012, July 4). Late Postclassic. Diameter 3.60 meters. Aztec (Mexico) Gallery, INAH, National Museum of Anthropology, Mexico City. Complete indexed photo collection at WorldHistoryPics.com. Retrieved February 2022, from Wikimedia Commons website: https://commons.wikimedia.org/wiki/File:Aztec_Sun_Stone_or_Calendar_Stone.jpg
- 67 ... **Fig. 145:** Great Ziggurat of Ur southern Iraqi. Retrieved February 2022, from ResearchGate website: https://www.researchgate.net/figure/Great-Ziggurat-of-Ur-southern-Iraqi_fig1_345804512
- 67 ... **Fig. 146:** Dunham, Dows, & Simpson, William Kelly. (2022). *The Mastaba of Queen Mersyankh III - G 7530-7540* (p. 8-10). Boston: Department of Egyptian and Ancient Near Eastern Art Museum of Fine Arts. [Gizamedia.rc.fas.harvard.edu. https://d3rr2gvhjw0wwy.cloudfront.net/uploads/mandators/41668/cms/563109/940x500-1-50-c386ad0792534b605dfdea6b83a3fd99.jpg](https://d3rr2gvhjw0wwy.cloudfront.net/uploads/mandators/41668/cms/563109/940x500-1-50-c386ad0792534b605dfdea6b83a3fd99.jpg)
- 67 ... **Fig. 147:** Kiosk of Emperor Trajan on Phylae Island. (2022). Retrieved February 16, 2022, from [Egypttoday.com](https://www.egypttoday.com/siteimages/Larg/202012230258485848.jpg) website: <https://www.egypttoday.com/siteimages/Larg/202012230258485848.jpg>
- 67 ... **Fig. 148:** Kanchi Kailasanathar Temple. (2022, February). Retrieved February 16, 2022, from [Templepurohit.com](https://www.templepurohit.com/wp-content/uploads/2016/05/Kanchi-Kailasanathar-Temple.jpg) website: <https://www.templepurohit.com/wp-content/uploads/2016/05/Kanchi-Kailasanathar-Temple.jpg>

- 67 ... **Fig. 149:** "Turtle House" Uxmal, Mexico. (n.d.). Retrieved February 2022, from [res.cloudinary.com website: https://res.cloudinary.com/fleetnation/image/private/c_fit,w_1120/g_south,l_text:style_gothic2,%C2%A9%20robertharding,o_20,y_10/g_center,l_watermark4,o_25,y_50/v1505556387/jazuc7qhshzucvutuhj0b.jpg](https://res.cloudinary.com/fleetnation/image/private/c_fit,w_1120/g_south,l_text:style_gothic2,%C2%A9%20robertharding,o_20,y_10/g_center,l_watermark4,o_25,y_50/v1505556387/jazuc7qhshzucvutuhj0b.jpg)
- 67 ... **Fig. 150:** Temple of Sun Coricancha Peru. (2022). Retrieved February 2022, from [Imgur.com website: https://i.imgur.com/wBnVljT.jpg](https://i.imgur.com/wBnVljT.jpg)
- 67 ... **Fig. 151:** Hosn Suleiman, A Pre-Roman Megalithic Temple. (n.d.). The Ancient Connection. Retrieved March 30, 2022, from <https://www.theancientconnection.com/hosn-suleiman/>
- 67 ... **Fig. 152:** Last Supper. (2019). Wikipedia; Wikimedia Foundation. https://en.wikipedia.org/wiki/Last_Supper
- 68 ... **Fig. 153:** Original lithography of Gaspard Monge by François-Séraphin Delpech. Lithograph. Original Artist: Henri-Joseph Hesse, 1781-1849. Print Artist: François-Séraphin Delpech, 1778-1825.
Delpech, F.-S. (1850). Portrait of Gaspard Monge. Retrieved February 2022, from Wikimedia Commons website: https://commons.wikimedia.org/wiki/File:Gaspard_monge_litho_delpech.jpg; https://www.sil.si.edu/DigitalCollections/hst/scientific-identity/CF/by_name_display_results.cfm?scientist=Monge,%20Gaspard
- 68 ... **Fig. 154:** Clay tablet with the floor plan of a house from Umma (Djokha) in double lines, with room dimensions (Ur III period, 12 cm x 11.3 cm). Photo left: front, right: back (Berlin, Vorderasiens Museum, HQ VAT 7031, Olaf Tessmer).
Bühlig, C. (2014, December 2). Fokus: Bauzeichnungen auf Tontafeln (6 Focus: Architectural drawings on clay tablets Trans.). Retrieved May 2022, from [mprl-series.mpg.de website: https://www.mprl-series.mpg.de/studies/3/8/index.html](https://www.mprl-series.mpg.de/studies/3/8/index.html)
- 68 ... **Fig. 155:** (a) Icosahedron, (b) Facade of icosahedron. 3D Modeling. Blender (free software)
By Petros Petrakis (author)
- Αναγωγές σε κύκλους ανά τους πολιτισμούς.**
- 70 ... **Fig. 156:** Fun & Tips. (2015, August 13). How birds make its nest with mud. YouTube. <https://www.youtube.com/watch?v=z0KHQ-UA7iY>
- 70 ... **Fig. 157:** From circle to rectangle. Evolution of the architectural plan in Greece.
a. Round structures in Orchomenos (Γεώργ. Κορρές, Αρχαιολογία της προϊστορικής Ελλάδας).
b. Circular barn in Smyrna, 8th BC (J. N. Coldstream, Geometric Greece, p. 305)
c. Elliptical Neolithic dwelling in Rini (Γεώργ. Κορρές, p. 235)
d. Building in Olympia, 2000 / 1900-1650 BC (Γεώργ. Κορρές, p. 333)
e. Dimini mansion, Neolithic Greece (Γεώργ. Κορρές, p. 325)
f. Clay house model, Neolithic Greece (Μαν. Κορρές, «Νεολιθική Ελλάς», p. 276)
g. Rectangular house in Smyrna (Coldstream...305)
h. Rectangular Neolithic dwellings in the Neolithic Knossos (Γεώργ. Κορρές, p.325)
- 70 ... **Fig. 158:** Rectangular Neolithic dwellings in the Neolithic Knossos (Γεώργ. Κορρές, p.325)
Σαρηγιάννης, Γεώργιος Μ. (2011). Η Αρχαία Πόλη Ιστορία της Πόλης και της Πολεοδομίας (σ. 19). Αθήνα: Εθνικό Μετσόβιο Πολυτεχνείο
Τμήμα Ύλης στον Κύκλο Μαθημάτων
- 70 ... **Fig. 159:** Dwelling made with mammoth bones. Reconstruction based on the example of Mezhirich. «Digging a new cellar, a farmer in Dniepr River Valley of Ukraine mammoth bones.» Exhibit in the National Museum of Nature and Science, Tokyo, Japan.
Ronnie Jones III. (2015, May 7). Göbekli Tepe. Retrieved January 2022, from World History Encyclopedia website: https://www.worldhistory.org/G%C3%B6bekli_Tepe/
- 71 ... **Fig. 160:** "Göbekli Tepe." (n.d.). Retrieved March 2022, from Wikimedia.org website: https://upload.wikimedia.org/wikipedia/commons/thumb/3/3e/The_archaeological_site_of_G%C3%B6bekli_Tepe_-_main_excavation_area.png/440px-The_archaeological_site_of_G%C3%B6bekli_Tepe_-_main_excavation_area.png
- 71 ... **Fig. 161:** Thrive Global. (2020, June 18). Gobekli Tepe is Rewriting Our Entire Understanding of Human History. Thriveglobal. <https://thriveglobal.com/stories/gobekli-tepe-is-rewriting-our-entire-understanding-of-human-history/>
- 72 ... **Fig. 162:** Stonehedge. (2022). Retrieved February 2022, from Discoveringbritain.org website: <https://www.discoveringbritain.org/assets/components/phpthumbof/cache/48%20Stonehenge%2C%20Wiltshire%20%28c%29%20Dave%20White%20CROPPED.0f03643af114dd91fae10a4d25092d4d.jpg>
- 72 ... **Fig. 163:** Inigo Jones' architectonical scheme for Stonehenge. Morrison, Tessa (2011). Isaac Newton's Temple of Solomon and his reconstruction of sacred architecture (σ. 57). Basel: Birkhäuser.
- 72 ... **Fig. 164:** Malek, Jaromir. (2002, October 2). Orion and the Giza pyramids. Retrieved March 2022, from [hallofmaat website: https://www.hallofmaat.com/orioncorrelation/orion-and-the-giza-pyramids/](https://www.hallofmaat.com/orioncorrelation/orion-and-the-giza-pyramids/)
- 72 ... **Fig. 165:** Bartlett, C. (2014). The Design of The Great Pyramid of Khufu. Nexus Network Journal, 16(2), 299 - 311. <https://doi.org/10.1007/s00004-014-0193-9>
- 73 ... **Fig. 166:** Pyramid diagram extrapolated and revised from Gantenbrink (1997); b Sitting figure: King Thutmose 111 with an original grid drawn on a wooden board with a plaster coating, British Museum, EA 5601, sketch by author from Russmann (2001), 154 [see also (Robins 1994), 92 pl. 5.1]; c Proportions of standing figure
Bartlett, C. (2014). The Design of The Great Pyramid of Khufu. Nexus Network Journal, 16(2), 299 - 311 - p. 309. https://www.academia.edu/47334550/The_Design_of_The_Great_Pyramid_of_Khufu Bartlett, C. (2014). The Design of The Great Pyramid of Khufu. Nexus Network Journal, 16(2), 299 - 311 - p. 309. https://www.academia.edu/47334550/The_Design_of_The_Great_Pyramid_of_Khufu

- 73 ... **Fig. 167:** The main solar alignments (solid black lines) of the Khufu and Khafre complexes
Emmer, Michele (2009). *Mathknow: Mathematics, Applied Sciences and Real Life* (p. 152). Milan: Springer, Cop.
- 73 ... **Fig. 168:** North-south cross section in a spherical co-ordinates system that shows the astronomical design parameters of the Great Pyramid in Giza Plateau, while looking due west.
Aboufotouh, H. (2015). *Astronomical Algorithms of Egyptian Pyramids Slopes and Their Modules Divider. Mediterranean Archaeology and Archaeometry*, 15(3), 225–235, p. 228. Retrieved February 2022 from Academia.edu website: <https://doi.org/10.5281/zenodo.27749> ; https://www.academia.edu/19425418/ASTRONOMICAL_ALGORITHMS_OF_EGYPTIAN_PYRAMIDS_SLOPES_AND_THEIR_MODULES_DIVIDER
- 73 ... **Fig. 169:** Egyptian eye of Horus - Egyptian painting - wall relief sculpture / art. (n.d.). DownUnderPharaoh. Retrieved March 2022, from <https://downunderpharaoh.patternbyetsy.com/listing/454688830/egyptian-eye-of-horus-egyptian-painting>
- 73 ... **Fig. 170:** Medial surface of the brain, *Facies mediatris hemispherii cerebri; diencephalon, Diencephalon, and brainstem, Truncus encephali; staggered median section; viewed from the left*
Johannes Sobotta. (2008). *Sobotta atlas of human anatomy: head, neck, upper limb, thorax, abdomen, pelvis, lower limb.* (R. Putz, R. Pabst, Dr. Med, & R. Putz, Eds.; S. Bedoui, Trans.; 14th ed., Vol. 1, p. 320). Elsevier/Urban & Fischer.
- 74 ... **Fig. 171:** Egypt, Abusir, Holes, Granite
Oner, Cough. (n.d.). Drill holes in Egypt | Ancient technology, Ancient egypt history, Egypt. Pinterest. Retrieved March 31, 2022, from <https://gr.pinterest.com/pin/416231190566185792/>
- 74 ... **Fig. 172:** Tablet V Gilgamesh. The left half of the whole tablet has survived and is composed of 3 fragments. The oldest piece of literature in Iraq. Old-Babylonian period (2003-1595 BCE). A.S. T.1447. The Sulaymaniyah Museum, Iraq.
The Newly Discovered Tablet V of the Epic of Gilgamesh – History et cetera. (n.d.). Etc.worldhistory.org. Retrieved March 2022, from <https://etc.worldhistory.org/exhibitions/gilgamesh-enkidu-humbaba-cedar-forest-newest-discovered-tablet-v-epic/>
- 74 ... **Fig. 173:** The Phaistos Disk. AS ΠΠ1358. Heraklion Museum. Phaistos, Early 17th c. BC.
Ο δίσκος της Φαιστού. ΠΠ 1358. (2016). Heraklion Archaeological Museum. <https://heraklionmuseum.gr/%CE%BF-%CE%B4%CE%B9%CF%83%CE%BA%CE%BF%CF%83-%CF%84%CE%B7%CF%83-%CF%86%CE%B1%CE%B9%CF%83%CF%84%CE%BF%CF%85/>
- 74 ... **Fig. 174:** Si.427 shows the subdivision of a field in Sippar, modern day Iraq, dating from 1900-1600 BC.
Australian Mathematician reveals oldest applied geometry.' (n.d.). Retrieved August 7, 2021, from news.unsw.edu.au website: <https://www.science.unsw.edu.au/news-events/news/australian-mathematician-reveals-worlds-oldest-example-applied-geometry> ; Mansfield, D. (n.d.). How ancient Babylonian land surveyors developed a unique form of trigonometry — 1,000 years before the Greeks. *The Conversation*. Retrieved March 31, 2022, from <https://theconversation.com/how-ancient-babylonian-land-surveyors-developed-a-unique-form-of-trigonometry-1-000-years-before-the-greeks-163428>
- 75 ... **Fig. 175:** Drawing of the circular astronomical tablet K 8538 from Nineveh with diagrams of constellations (Budge 1912: Plate 10)
Steele, J. (2020). How Can We Incorporate Visual Evidence into the History of the Astral Sciences in Mesopotamia? *NTM Zeitschrift Für Geschichte Der Wissenschaften, Technik Und Medizin*, 28(3), 305–324. <https://doi.org/10.1007/s00048-020-00242-y>
- 75 ... **Fig. 176:** Drawing of the circular astronomical tablet K 8538 from Nineveh with diagrams of constellations (Budge 1912: Plate 10)
tablet K.8538. (n.d.). Retrieved January 2022, from The British Museum website: https://www.britishmuseum.org/collection/object/W_K-8538
- 75 ... **Fig. 177:** Clay Tablet. Found: Sippar, Iraq. Culture: Late Babylonian. ca. 6th c. B.C. Language: Akkadian. British Museum. MN: 92687
The Map of the World. tablet. Late Babylonian. MN 92687. (n.d.). Retrieved January 2022, from The British Museum website: https://www.britishmuseum.org/collection/object/W_1882-0714-509
- 75 ... **Fig. 178:** Mesopotamian clay tablet with astrological diagram (trine aspect). Dodecagram
Aporta, C., Kritsch, I., Andre, A., Benson, K., Snowshoe, S., Firth, W., & Carry, D. (2014, January 1). Chapter 16 - *The Gwich'in Atlas: Place Names, Maps, and Narratives* (D. R. F. Taylor, Ed.). Retrieved January 2022, from researchgate.net website: https://www.researchgate.net/figure/Mesopotamian-clay-tablet-with-astrological-diagram-trine-aspect_fig1_292916751 ; Diagram: Steele, J. (2020). How Can We Incorporate Visual Evidence into the History of the Astral Sciences in Mesopotamia? *NTM Zeitschrift Für Geschichte Der Wissenschaften, Technik Und Medizin*, 28(3), 305–324. <https://doi.org/10.1007/s00048-020-00242-y>
(Tablet VAT 7851 (Vorderseite, Berlin)portraying the zodiacal sign of Taurus. Adapted from Weidner (1927)
Aporta, C., Kritsch, I., Andre, A., Benson, K., Snowshoe, S., Firth, W., & Carry, D. (2014, January 1). Chapter 16 - *The Gwich'in Atlas: Place Names, Maps, and Narratives* (D. R. F. Taylor, Ed.). Retrieved January 2022, from researchgate.net website: https://www.researchgate.net/figure/Mesopotamian-clay-tablet-with-astrological-diagram-trine-aspect_fig1_292916751 ; Diagram: Steele, J. (2020). How Can We Incorporate Visual Evidence into the History of the Astral Sciences in Mesopotamia? *NTM Zeitschrift Für Geschichte Der Wissenschaften, Technik Und Medizin*, 28(3), 305–324. <https://doi.org/10.1007/s00048-020-00242-y>

- 75 ... **Fig. 179:** Zodiacal calendar for the sign of Virgo (the Furrow) Clay tablet (butt-jointed with VAT 7851) H. 11.5 cm; W. 19 cm; D. 3 cm Uruk, Seleucid Period; early 2nd century BC Paris, Musée du Louvre, Department of Near Eastern Antiquities, AO 6448
Zodiacal calendar for the sign of Virgo (the Furrow) Clay tablet (butt-jointed with VAT 7851). Babylon. (n.d.). Mini-Site.louvre.fr. Retrieved March 31, 2022, from <http://mini-site.louvre.fr/babylone/EN/html/zoom/AO6448.html?&&newWidth=400&&newHeight=350> ; Diagram: Steele, J. (2020). How Can We Incorporate Visual Evidence into the History of the Astral Sciences in Mesopotamia? *NTM Zeitschrift Für Geschichte Der Wissenschaften, Technik Und Medizin*, 28(3), 305–324. <https://doi.org/10.1007/s00048-020-00242-y> ; Diagram: Steele, J. (2020). How Can We Incorporate Visual Evidence into the History of the Astral Sciences in Mesopotamia? *NTM Zeitschrift Für Geschichte Der Wissenschaften, Technik Und Medizin*, 28(3), 305–324. <https://doi.org/10.1007/s00048-020-00242-y>
- 76 ... **Fig. 180:** Woman (n.d.). @Earthfocus. Instagram
- 76 ... **Fig. 181:** Diadasia bees Sleep In Flowers. Their sleep patterns change as they grow up. Younger bees sleep less, but older bees catch between 30 minutes and an hour and a half each night, taking little naps of about 15 to 30 seconds at a time.
Rokas J. (n.d.). Turns Out, There's A Bee Species That Sleep In Flowers And It's As Cute As It Sounds. Bored Panda. Retrieved March 31, 2022, from https://www.boredpanda.com/bees-sleeping-flower-nature-wildlife-photography-joe-neely/?utm_source=google&utm_medium=organic&utm_campaign=organic
- 76 ... **Fig. 182:** This portrait attributed to Francesco Melzi, c. 1515–1518, is the only certain contemporary depiction of Leonardo Da Vinci. A.S. RCIN 912726. Royal Collection
Francesco Melzi - Portrait of Leonardo. (2018). Wikipedia; Wikimedia Foundation. https://en.wikipedia.org/wiki/Leonardo_da_Vinci
- 76 ... **Fig. 183:** Vitruvio Pollione
Marco Vitruvio Pollione ch. (n.d.). Retrieved August 5, 2021, from vitruvio.ch website: https://www.vitruvio.ch/00_vitruvio_20/autoweb/maestro.php?id=121&titolo=Marco%20Vitruvio%20Pollione
- 76 ... **Fig. 184:** Egypt, Measuring system
Ανθρώπινη κλίμακα & Μονάδες μήκους. (2021). Retrieved August 5, 2021, from Wordpress.com website: <https://carolmorey.files.wordpress.com/2013/04/egyptian.gif>
- 76 ... **Fig. 185:** English: Hand derived units of measurement. 1. Shaftment (palm and extended thumb) about 2 palms or 6 inches. 2. Hand (In English, a "Hand" or "Handbreadth" is commonly used to represent the width of the palm, sometimes including the thumb when closed against the palm.) about 4 inches. 3. Palm (In English, a «Palm» is commonly used to represent four fingers held together, which is slightly less than the true width of the palm at the knuckles.) about 3 inches or 4 fingers 4. Span (from little finger tip to thumb tip) about 3 palms, 9 inches or 12 fingers. 5. Finger (or fingerbreadth) about 3/4 inch or 1/16 foot. 6. Digit (In English, "digit" and "finger" are used to represent the width of a finger. However, the value of the digit is slightly less than the value of the finger.). 7. Thumb (not indicated) about 1 inch or 1/12 foot
Unitfreak. (2007, September 7). English: Hand derived units of measurement. Retrieved January 2022, from Wikimedia Commons website: https://commons.wikimedia.org/wiki/File:Hand_Units_of_Measurement.PNG
- 77 ... **Fig. 186:** Leonardo da Vinci. c. 1490. Pen and ink with wash over metalpoint on paper. 34.6 cm × 25.5 cm (13.6 in × 10.0 in). Gallerie dell'Accademia, Venice, Italy
Vitruvian Man. (2019, February 4). Wikipedia; Wikimedia Foundation. https://en.wikipedia.org/wiki/Vitruvian_Man
- 77 ... **Fig. 187:** Drawing of Francesco di Giorgio Martini (Vitruvian Man)
Hombre de Vitruvio. Dessin de Francesco di Giorgio Martini. (n.d.). Wikipedia. Retrieved March 31, 2022, from https://es.wikipedia.org/wiki/Hombre_de_Vitruvio#/media/Archivo:FGMartini1.jpg
- 77 ... **Fig. 188:** The Evolution of Designs: Biological Analogy in Architecture and the Applied Arts by Philip Steadman
The Vitruvian Man. (n.d.). Leonardodavinci.stanford.edu. Retrieved March 2022, from <https://leonardodavinci.stanford.edu/submissions/clabaugh/history/architecture.html>
- 77 ... **Fig. 189:** Trattato di architettura di Francesco di Giorgio Martini by Francesco di Giorgio
The Vitruvian Man. (n.d.). Leonardodavinci.stanford.edu. Retrieved March 2022, from <https://leonardodavinci.stanford.edu/submissions/clabaugh/history/architecture.html>
- 77 ... **Fig. 190:** Pentagram from Heinrich Cornelius Agrippa's De occulta philosophia libri tres (1533). The symbols in the circle represent Mars, Jupiter, Saturn, Mercury and Venus. In the belly is the sign for Sun, and under the cross is the sign for Moon
Agrippa von Nettesheim, Heinrich Cornelius. (1533). De Occulta Philosophia (CLXIII): , 1486-1535. Retrieved December 4, 2019, from Internet Archive website: <https://archive.org/details/DeOccultaPhilosophiaLoc1533>
- 77 ... **Fig. 191:** Heinrich Cornelius Agrippa von Nettesheim (1486-1535). Mystic, alchemist, secret agent, physician and law professor
Heinrich Cornelius Agrippa von Nettesheim (n.d.). British Museum Retrieved March 26, 2022, from .britishmuseum website: <https://www.britishmuseum.org/collection/term/BIOG143770>
- 78 ... **Fig. 192:** Vitruvian Man. (2019, February 4). Wikipedia; Wikimedia Foundation. https://en.wikipedia.org/wiki/Vitruvian_Man
- 79 ... **Fig. 193:** Trattato di architettura di Francesco di Giorgio Martini by Francesco di Giorgio
The Vitruvian Man. (n.d.). Leonardodavinci.stanford.edu. Retrieved March 2022, from <https://leonardodavinci.stanford.edu/submissions/clabaugh/history/architecture.html>
- 79 ... **Fig. 194:** Trattato di architettura di Francesco di Giorgio Martini by Francesco di Giorgio
The Vitruvian Man. (n.d.). Leonardodavinci.stanford.edu. Retrieved March 2022, from <https://leonardodavinci.stanford.edu/submissions/clabaugh/history/architecture.html>

- 80 ... **Fig. 195:** Richer, J. (1994). *Sacred geography of the ancient Greeks : astrological symbolism in art, architecture, and landscape* (p. 21; C. Rhone, Trans.). Albany: State University Of New York Press
- 80 ... **Fig. 196:** Divine Cults
Richer, J. (1994). *Sacred geography of the ancient Greeks : astrological symbolism in art, architecture, and landscape* (C. Rhone, Trans.; p. Maps xv). Albany: State University Of New York Press
- 80 ... **Fig. 197:** Omphalos decorated with the «net», Hellenistic period, Delphi, nearby at the Apollon sanctuary, height: 1,23 m, diameter: 0,92 m, marble I.N.8194
ЮКАТАН. (n.d.). Omphalos of Delphi. Wikipedia. Retrieved March 2022, from https://en.wikipedia.org/wiki/Omphalos_of_Delphi#/media/File:Omphalos_museum.jpg
- 81 ... **Fig. 198:** Vitruvian Man. By Petrakis Petros (Author of 14 Alphabets...)
- 82 ... **Fig. 199:** Learning the Order of Months. (2019, July 14). Maths with Mum. <https://www.mathswithmum.com/learning-order-of-months/>
- 82 ... **Fig. 200:** (Parks Blog (Ontario), 2018). «Many First Nations teachings, including those of the Anishinaabe and the Haudenosaunee people, use the back of a turtle's shell as a lunar calendar. Depending on how we measure a lunar month, the moon goes around the earth in approximately 28 days. This means that in one year (365 days), the moon goes around 13 times, giving us 13 lunar months with 28.» days each.
Thirteen Moons on a Turtle's Back. (2003). Rootsweb. <https://sites.rootsweb.com/~mosmd/13moons.jpg> ; Parks Blog. (2018, July 31). The lunar calendar on a turtle's back - Parks Blog. Ontario Parks. <https://www.ontarioparks.com/parksblog/the-lunar-calendar-on-a-turtles-back/> ; <http://onlc.ca/wp-content/uploads/2014/06/13-Moon-curriculum2.pdf>
- 82 ... **Fig. 201:** Detail from a «material model» of a lunar calendar formerly in use amongst tribal populations in former Dahomey (West Africa). It consists of a strip of cloth onto which 30 objects (seeds, kernels, shells, hard fruit, stones, etc.) have been sewn, each standing for one of the days of the month. (The fragment above represents the last 7 days). From the Musée de l'Homme, Paris.
Ifrah, Georges (2000). *The Universal History of Numbers from Prehistory to The Invention of The Computer* (D. Bellos, E. F. Harding, S. Wood & I. Monk, Trans.; p. 19). New York: John Wiley & Sons.
- 83 ... **Fig. 202:** (Ifrah, 2000, σ. 18). «Empirical calendar: This is based on the observation of the first quarter after the end of each cycle. With the help of model collections inherited from forebears, many generations of whom must have contributed to their slow development, the community can in fact «mark time» and compute the date thus expressed without error, [...] The bone is tally stick with 30 incised notches, the sort used whenever it is necessary to reckon the days of a given moon in their order of succession.
On hearing the shaman's pronouncement, the chief of the tribe paints a number of marks on his own body with some fairly durable kind of colouring material, and these marks enable him to record and to recognise the festival date

unambiguously. He first records the series of reappearances that the moon must make from then until the festival by painting small circles on his right-hand little finger, ring finger, middle finger, index finger, thumb, wrist, and elbow. Then he records the number of days that must pass from the appearance of the last moon by painting a thin line, first of all on each finger of his right hand, then on his right wrist, elbow, shoulder, ear, and eye, then on his nose and mouth. To conclude, he puts a thick line over his left eye, thereby symbolising the dawn of the great day itself.
This reconstitution of a non-numerate counting system conforms to many of the details observed in Australian aboriginal groups, who are able to reach relatively high numbers through the (unvocalised) numeration of parts of the body when the body-points have a fixed conventional order and are associated with manipulable model collections - knotted string, bundles of sticks, pebbles, notched bones, and so on.»
Ifrah, Georges (2000). *The Universal History of Numbers from Prehistory to The Invention of The Computer* (D. Bellos, E. F. Harding, S. Wood & I. Monk, Trans.; p. 19). New York: John Wiley & Sons.

Αποτελέσματα εξελεγμένων μαθηματικών και γεωμετρικών γνώσεων στην Ανατολή.

- 84 ... **Fig. 203:** Ranakpur Jain temple or Chaturmukha Dharana Vihara is a Śvetāmbara (means «white-clad», one of the two main branches of Jainism, the other being the Digambara/«sky-clad») Jain temple at Ranakpur. West India. 15th c. AC
*Jambudvīpa is a name often used to describe the territory of Greater India in Ancient Indian sources.
Ranakpur Jain temple. (n.d.). Wikipedia. Retrieved March 2022, from https://en.wikipedia.org/wiki/Ranakpur_Jain_temple
- 84 ... **Fig. 204:** The Hanging Pillar of Lepakshi Temple (Veerabhadra temple**)
16th c. AC. Lepakshi, Anantapur District of Andhra Pradesh, India. Vijayanagara architecture.
**Veerabhadra temple is famed for another engineering wonder. Among the 70 stone pillars, there is one that hangs from the ceiling. The base of the pillar barely touches the ground and is possible to pass objects such as a thin sheet of paper or a piece of cloth from one side to the other.
वापणीमांगलयावटी. (2020, May 24). The Hanging Pillar of Lepakshi Temple. Retrieved February 2022, from Facebook website: https://www.facebook.com/shrimeho/photos/amazing-the-hanging-pillar-of-lepakshi-temple-the-beautiful-16th-century-veerabha/2294639380832401/?_rdr
- 84 ... **Fig. 205:** (above) Photograph and volume representation of Lomas Rishi Cave. The digging of the vault has never been finished.
Barabar Caves. (n.d.). Retrieved February 16, 2022, from Wikipedia website: https://en.wikipedia.org/wiki/Barabar_Caves
- 85 ... **Fig. 206:** The famous carved entrance of Lomas Rishi cave, dated to approximately 250 BC, making it the first known Maurya relief.
Barabar Caves. (n.d.). Retrieved February 16, 2022, from Wikipedia website: https://en.wikipedia.org/wiki/Barabar_Caves

- 85 ... **Fig. 207:** (left) Kailasanatha temple, remarkably carved out of one single rock was built by Rashtrakuta king Krishna I. dedicated to Shiva. 756-773 AC. Cave 16
Ellora Caves. (2019, June 9). Retrieved from Wikipedia website: https://en.wikipedia.org/wiki/Ellora_Caves
- 85 ... **Fig. 208:** (right) Shikhar of Indra Sabha. Jain Temple. 7th-11th c. AC. (cave 32, 13 excavations)
Ellora Caves. (2019, June 9). Retrieved from Wikipedia website: https://en.wikipedia.org/wiki/Ellora_Caves
- 85 ... **Fig. 209:** The rock fortress of the mighty King Kasyapa who created both legend and lore with the help of this mighty citadel.
Sigiriya, Sri Lanka. (n.d.). *Magicalisleholidays*. Retrieved March 2022, from <https://www.magicalisleholidays.com/sri-lanka-sigiriya.html>
- 85 ... **Fig. 210:** The Ajanta Caves
Ajanta Caves. (2019). Retrieved from Wikipedia website: https://en.wikipedia.org/wiki/Ajanta_Caves
- 85 ... **Fig. 211:** Cave 19, Ajanta, a 5th-century chaitya hall.
Ajanta Caves. (2019). Retrieved from Wikipedia website: https://en.wikipedia.org/wiki/Ajanta_Caves
- 85 ... **Fig. 212:** Interior of Ajanta chaitya hall, Cave 26, photo by Robert Gill (c. 1868)
Ajanta Caves. (2019). Retrieved from Wikipedia website: https://en.wikipedia.org/wiki/Ajanta_Caves
- 85 ... **Fig. 213:** Bhima Ratha
Pancha Rathas. (n.d.). Retrieved February 2022, from Wikipedia website: https://en.wikipedia.org/wiki/Pancha_Rathas
- 85 ... **Fig. 214:** Dharmaraja Ratha
Pancha Rathas. (n.d.). Retrieved February 2022, from Wikipedia website: https://en.wikipedia.org/wiki/Pancha_Rathas
- 85 ... **Fig. 215:** Sree Padmanabhaswamy
Sengar, R. (2017, September 6). Padmanabhaswamy Temple "Vault B": facts about the scary, inaccessible chamber. *Times of India Travel*. <https://timesofindia.indiatimes.com/travel/destinations/padmanabhaswamy-temple-vault-b-facts-about-the-scary-inaccessible-chamber/as60389479.cms>
- 86 ... **Fig. 216:** Vault B door with Cobra guardians
Dobson, J. (2015, November 3). A One Trillion Dollar Hidden Treasure Chamber is Discovered at India's Sree Padmanabhaswamy Temple. *Forbes*. <https://www.forbes.com/sites/jimdobson/2015/11/13/a-one-trillion-dollar-hidden-treasure-chamber-is-discovered-at-indias-sree-padmanabhaswamy-temple/?sh=42b9479a1ba6>
- 86 ... **Fig. 217:** Interior of the temple
Dobson, J. (2015, November 3). A One Trillion Dollar Hidden Treasure Chamber is Discovered at India's Sree Padmanabhaswamy Temple. *Forbes*. <https://www.forbes.com/sites/jimdobson/2015/11/13/a-one-trillion-dollar-hidden-treasure-chamber-is-discovered-at-indias-sree-padmanabhaswamy-temple/?sh=42b9479a1ba6>
- 86 ... **Fig. 218:** Side view of Vettuvan Koil rock cut temple
Vettuvan Koil. (2021). Retrieved February 2022, from Wikipedia website: https://en.wikipedia.org/wiki/Vettuvan_Koil
- 86 ... **Fig. 219:** Sculpture in the temple
Vettuvan Koil. (2021). Retrieved February 2022, from Wikipedia website: https://en.wikipedia.org/wiki/Vettuvan_Koil
- 86 ... **Fig. 220:** Kandariya Mahadeva (the largest temple).
Hinduism. Shiva. 1029
Khajuraho Group of Monuments. (2020). Retrieved from Wikipedia website: https://en.wikipedia.org/wiki/Khajuraho_Group_of_Monuments
- 86 ... **Fig. 221:** ★ The design principle of Hindu temples extensively uses circles and squares - both in their horizontal layout and vertical spire design. This is almost universal in ancient Hindu temples found in India, as well outside South Asia. Designs that use harmonic ratios other than perfect square and circle are known, but these too are precise mathematical series and ratios embedding squares and circles inside rectangles (1:2, 1:3, 2:3, 2:5, etc). For spires rising towards the sky, above the Brahma padas of Hindu temples, concentric turning-square geometric principles are very common (shown). This is both a structural design derivation as well as representative of philosophical beliefs of Hindus. These are described in ancient Sanskrit texts called Vastu sastras (science of dwelling) - the source of above drawing. Publication: *Journal of the Society of Architectural Historians*, Vol. 65, No. 1 (Mar., 2006), pp 26-49
Khajuraho Group of Monuments. (2020). Retrieved from Wikipedia website: https://en.wikipedia.org/wiki/Khajuraho_Group_of_Monuments; (author: Mark.muesse) https://commons.wikimedia.org/wiki/File:Hindu_temple_Spire_design_principle_concentric_circles_squares_Vastu_Purusa_Mandala_without_label.svg
- 86 ... **Fig. 222:** Lakshmana Temple, Hinduism, Vaikuntha Vishnu, 10th c. AC
Temples of Khajuraho & Sacred Varanasi. (n.d.). Goway Travel. Retrieved April 1, 2022, from <https://www.goway.com/trip/asia/temples-khajuraho-and-varanasi/>
- 87 ... **Fig. 223:** Rani Ki Vav, view from the top
Rani ki vav. (2021). Retrieved February 2022, from Wikipedia website: https://en.wikipedia.org/wiki/Rani_ki_vav
- 87 ... **Fig. 224:** Inside Rani Ki Vav
Rani ki vav. (2021). Retrieved February 2022, from Wikipedia website: https://en.wikipedia.org/wiki/Rani_ki_vav
- 87 ... **Fig. 225:** Geometric lattice patterns and designs resembling Patola† textile designs.
†(Patola Sari, n.d.). Patola is a double ikat* woven sari, usually made from silk**, made in Patan, Gujarat, India
* (Ikat, 2019). Ikat is a dyeing technique originating from Indonesia used to pattern textiles that employs resist dyeing on the yarns prior to dyeing and weaving the fabric.
** (Silk, 2018). Silk is a natural protein fiber, some forms of which can be woven into textiles.
Rani ki vav. (2021). Retrieved February 2022, from Wikipedia website: https://en.wikipedia.org/wiki/Rani_ki_vav
- 87 ... **Fig. 226:** Open mantapa (hall) with shining, lathe-turned pillars in Amrutesvara temple at Amruthapura
Vedic Origin of Thousand Pillar Halls in Indian and Mayan Culture! (2014, July 5). Tamil and Vedas. <https://tamilandvedas.com/2014/07/05/vedic-origin-of-thousand-pillar-halls-in-indian-and-mayan-culture/>

- 87 ... **Fig. 227:** Domical ceiling art at Amrutesvara temple, Amruthapura
After 15 years, restoration of Thousand Pillar Temple's mandapa resumes. (2021, November 25). *The New Indian Express*. <https://www.newindianexpress.com/states/telegana/2021/nov/25/after-15-years-restoration-of-thousand-pillar-temples-mandapa-resumes-2387758.html>
- 87 ... **Fig. 228:** Amrutesvara Temple, Amruthapura. (n.d.). Retrieved February 2022, from Wikipedia website: https://en.wikipedia.org/wiki/Amrutesvara_Temple,_Amruthapura
- 87 ... **Fig. 229:** Open mantapa (hall) with shining, lathe-turned pillars in Amrutesvara temple at Amruthapura
Amrutesvara Temple, Amruthapura. (n.d.). Retrieved February 2022, from Wikipedia website: https://en.wikipedia.org/wiki/Amrutesvara_Temple,_Amruthapura
- 87 ... **Fig. 230:** Domical ceiling art at Amrutesvara temple, Amruthapura
Amrutesvara Temple, Amruthapura. (n.d.). Retrieved February 2022, from Wikipedia website: https://en.wikipedia.org/wiki/Amrutesvara_Temple,_Amruthapura
- 88 ... **Fig. 231:** Angkor Wat. (2019). Retrieved from Wikipedia website: https://en.wikipedia.org/wiki/Angkor_Wat
- 88 ... **Fig. 232:** Angkor Thom is one of the largest temples in the region. Enclosed by an eight metre-high wall and 100 metre-wide moat, the former 'Great City' contains several large temples, including Bayon, intricate carvings and famous stone heads of the god-kings.
Oleh : Admin. (2019). *Indonesia.go.id - Angkor Wat, antara Borobudur dan Prambanan*. *Indonesia.go.id*. <https://indonesia.go.id/kategori/komoditas/649/angkor-wat-antara-borobudur-dan-prambanan>
- 88 ... **Fig. 233:** Angkor Wat plan.
Angkor Wat. (2019). Retrieved February 2022, from Wikipedia website: https://en.wikipedia.org/wiki/Angkor_Wat ; (Author: Baldiri) https://commons.wikimedia.org/wiki/File:Angkor_Wat_M3.png
- 88 ... **Fig. 234:** Angkor Wat Tours overview | Angkor Wat Tours. (n.d.). *Peregrineadventures*. <https://www.peregrineadventures.com/en-us/angkor-wat>
- 88 ... **Fig. 235:** Planeta Tierra. (n.d.). Facebook. Retrieved April 1, 2022, from <https://www.facebook.com/Planeta-Tierra-106195921409552/>
- 88 ... **Fig. 236:** Karkala is known for its 42 ft (13 m) monolithic statue of Gomateshw- ara Bahubali
Bahubali. (n.d.). Retrieved February 2022, from Wikipedia website: <https://en.wikipedia.org/wiki/Bahubali>
- 88 ... **Fig. 237:** Gommatagiri is an acclaimed Jain centre. The 12th-century granite statue of Bahubali, also known as Gomateshwara, is erected atop a 50-metre (160 ft) tall hillock called «Shravana Gudda»
Bahubali. (n.d.). Retrieved February 2022, from Wikipedia website: <https://en.wikipedia.org/wiki/Bahubali>
- 88 ... **Fig. 238:** Bahubali monolith of Dharmastala. A 39-foot (12 m) high statue with a 13-foot (4.0 m) pedestal
Bahubali. (n.d.). Retrieved February 2022, from Wikipedia website: <https://en.wikipedia.org/wiki/Bahubali>
- 89 ... **Fig. 239:** Pradah, A. (2022, March 20). Candi Sukuh Attraction, Event & Entrance Fee. *IdeTrips*. <https://idetrips.com/candi-sukuh/>
- 89 ... **Fig. 240:** Best Sukuh Temple (Candi Sukuh) Tours & Tickets - Book Now. (n.d.). Viator. Retrieved April 2, 2022, from <https://www.viator.com/en-GB/tours/Yogyakarta/Solo-Vintage-Tour-with-Sukuh-and-Cetho-Temple-from-Yogyakarta/d22560-92029P167>
- 89 ... **Fig. 241:** Zwegers, A. (2011, June 13). Candi Sukuh. Flickr. <https://www.flickr.com/photos/azwegers/6962742843>
- 89 ... **Fig. 242:** (Sagrada Família, n.d.). *The Basilica i Temple Expiatori de la Sagrada Família*, also known as the Sagrada Família, is a large unfinished minor basilica in the Eixample district of Barcelona, Catalonia, Spain. Designed by the Catalan architect Antoni Gaudí (1852–1926), his work on the building is part of a UNESCO World Heritage Site.
Welle (www.dw.com), D. (n.d.). *Europe's overcrowded destinations: Is a fresh start possible after the pandemic?* | DW | 31.05.2021. DW.COM. <https://www.dw.com/en/europes-overcrowded-destinations-is-a-fresh-start-possible-after-the-pandemic/a-57725448>
- 89 ... **Fig. 243:** Interior of the Sagrada Família. Detail of the roof in the nave. Gaudí designed the columns to resemble trees and branches.
National Science Foundation | flickr.com. (n.d.). *inside the belly of the beast* | Gaudí, Sagrada família, Gaudí barcelona. Pinterest. Retrieved April 1, 2022, from <https://gr.pinterest.com/pin/523543525414253977/>
- ### Δομές - Αρχιτεκτονική.
- 90 ... **Fig. 244:** (Scarab - Artifact, 2019). *Commemorative Marriage Scarab for Queen Tiye from Amenhotep III*. Walters Art Museum, Baltimore
Scarab (artifact). (2019). Wikipedia; Wikimedia Foundation. [https://en.wikipedia.org/wiki/Scarab_\(artifact\)](https://en.wikipedia.org/wiki/Scarab_(artifact)) ; *The Editors of Encyclopedia Britannica*. (2014). *Scarab* | Egyptian symbol. In *Encyclopædia Britannica*. <https://www.britannica.com/topic/scarab>
- 90 ... **Fig. 245:** Snapdragon seed pods look like tiny human skulls.
Snapdragon seed pods look like tiny human skulls. (2016). Reddit. https://www.reddit.com/r/NatureIsFuckingLit/comments/dllvut/snapdragon_seed_pods_look_like_tiny_human_skulls/
- 90 ... **Fig. 246:** Walnut
Petrakis, Petros - Photo (n.d.). Walnut. Προσωπικό αρχείο
- 90 ... **Fig. 247:** Print of Anatomy of human skull, cutaway view with half brain showing.
Print of Anatomy of human skull, cutaway view with half brain showing. (n.d.). Media Storehouse Photo Prints. Retrieved March 2022, from <https://www.mediastorehouse.com.au/stocktrek-images/medical/anatomy-human-skull-cutaway-view-half-brain-13011973.html>

- 90 ... **Fig. 248:** Boston, B. H. Sanborn & co (1903). Human skull bones, view from above (An academic physiology and hygiene Images, I. A. B. (1903). Skull (Upper View). Retrieved March 2022, from Wikimedia Common website: [https://commons.wikimedia.org/wiki/File:Human_skull_bones_-_view_from_above_in_An_academic_physiology_and_hygiene_\(1903\).jpg](https://commons.wikimedia.org/wiki/File:Human_skull_bones_-_view_from_above_in_An_academic_physiology_and_hygiene_(1903).jpg)
- 90 ... **Fig. 249:** Fra Giovanni Giocondo was an Italian architect and scholar who would eventually take over Bramante's post as a superintendent to the building of St. Peter's in Rome. In his work as a scholar, he provided the first printed and illustrated edition of De Architectura in 1511. He used the following two images to capture the idea of the Vitruvian man in his edition. (Source: Scanned from Architectural Principles in the Age of Humanism by Rudolf Wittkower) The Vitruvian Man. (n.d.). Retrieved February 2022, from Leonardodavinci.stanford.edu website: <https://leonardodavinci.stanford.edu/submissions/clabaugh/history/othermen.html>
- 90 ... **Fig. 250:** Mariano di Iacopo, also known as Taccola, was an engineer-author in the Sienese renaissance who kept notebooks of drawings and sketches like those of Leonardo. In his notebooks, we come across his version of the Vitruvian man: (Istituto e Museo di Storia della Scienza, Florence, Italy) The Vitruvian Man. (n.d.). Retrieved February 2022, from Leonardodavinci.stanford.edu website: <https://leonardodavinci.stanford.edu/submissions/clabaugh/history/othermen.html>
- 90 ... **Fig. 251:** Gravity by Lorenzo Quinn Gravity by Lorenzo Quinn. (n.d.). Chelmerfineart. Retrieved April 2, 2022, from <https://www.chelmerfineart.com/itemDetail.asp?work=6426>
- 90 ... **Fig. 252:** Photographer Clint Ralph spotted a hawk walking in search of food UltraLinux. (n.d.). hawk. Pinterest. Retrieved March 2022, from <https://www.pinterest.com/pin/306878162099966420/?mt=login>
- 91 ... **Fig. 253:** Beehive bioximikos. (n.d.). Το 1ο εμβόλιο για έντομα θα σώσει τις μέλισσες από μια θανατηφόρα ασθένεια. Bioximikos. Retrieved April 1, 2022, from <https://bioximikos.gr/topics/zwologia/768-to-1o-envolio-gia-entoma>
- 91 ... **Fig. 254:** Beehive, Spiral Διαφορετικό Newsroom. (2019, September 6). Μέλισσες δημιουργούν κυφές με περίτεχνα σχέδια για άγνωστο λόγο. διαφορετικό. <https://www.diaforetiko.gr/melisses-dimioyrgoy-n-kypseles-me-peritechna-schedia-gia-agnosto-logo-2/>
- 91 ... **Fig. 255:** Construction of a geodesic dome at Roskilde Festival 2012. kristoffer tejlgaard + benny jepsen Nidagravel UK in Architecture & Design. (2021, February 2). Hexagonal Architecture No.2. nidagraveluk.co.uk. <https://www.nidagraveluk.co.uk/blog-details.asp?id=1741>
- 91 ... **Fig. 256:** New Bursa Stadium (Hexagon Park). Turkey, Stadiumconcept architects Jordana, S. (2011, January 6). New Bursa Stadium (Hexagon Park) / stadiumconcept. ArchDaily. <https://www.archdaily.com/101862/new-bursa-stadium-hexagon-park-stadiumconcept>
- 92 ... **Fig. 257:** The spiral structure of the cochlea of the internal ear, which contains the auditory nerve endings. Williams, K. (1999). Spirals and Rosettes in Architectural Ornament. Nexus Network Journal, 1(1-2), 129-138 - 130. <https://doi.org/10.1007/s00004-998-0012-2>; Retrieved February 2022, from link.springer.com website: <https://link.springer.com/content/pdf/10.1007/s00004-998-0012-2.pdf>
- 92 ... **Fig. 258:** Williams, K. (1999). Spirals and Rosettes in Architectural Ornament. Nexus Network Journal, 1(1-2), 129-138 - 130. <https://doi.org/10.1007/s00004-998-0012-2>; Retrieved February 2022, from link.springer.com website: <https://link.springer.com/content/pdf/10.1007/s00004-998-0012-2.pdf>
- 93 ... **Fig. 259:** The Ionic capital and its components: a) abacus; b) cushion; c) echinus; d) volute; e) eye. Williams, K. (1999). Spirals and Rosettes in Architectural Ornament. Nexus Network Journal, 1(1-2), 129-138 - 130. <https://doi.org/10.1007/s00004-998-0012-2>; Retrieved February 2022, from link.springer.com website: <https://link.springer.com/content/pdf/10.1007/s00004-998-0012-2.pdf>
- 93 ... **Fig. 260:** Williams, K. (1999). Spirals and Rosettes in Architectural Ornament. Nexus Network Journal, 1(1-2), 129-138 - 130. <https://doi.org/10.1007/s00004-998-0012-2>; Retrieved February 2022, from link.springer.com website: <https://link.springer.com/content/pdf/10.1007/s00004-998-0012-2.pdf>
- 94 ... **Fig. 261:** God's Eyes or Prohodna cave, Bulgaria Foreigner BG: Best Info For Expats In Bulgaria. (2020, February 9). God's Eyes or Prohodna cave. Retrieved February 2022, from YouTube website: https://www.youtube.com/watch?v=dR_2acvtAY4
- 94 ... **Fig. 262:** Arches National Park. Grand County, Utah, United States r Trần Huỳnh Hoàng Thiên. (2016, January 12). Arches National Park. Retrieved February 2022, from The Dots website: <https://the-dots.com/projects/arches-national-park-508798>
- 94 ... **Fig. 263:** Helix Nebula, God's eye. Helix Nebula, God's eye Astronoo. (2013, June 1). Retrieved February 2022, from astronoo website: <http://www.astronoo.com/en/articles/nebula-helix.html>
- 94 ... **Fig. 264:** The «cosmic web», the large scale structure of the universe. Each bright knot is an entire galaxy, while the purple filaments show where material exists between the galaxies. This visualization is based on a scientific simulation of the growth of structure in the universe. GMS, Nasa. (2007, July 30). GMS: Journey Through the Cosmic Web: Cosmic Cruising 2. Retrieved March 2022, from Svs.gsfc.nasa.gov website: <https://svs.gsfc.nasa.gov/10118>
- 94 ... **Fig. 265:** Human Eye. What body parts are exceptionally beautiful under a microscope? Kernan, Sean, & Manvelyan (ph.), Suren. (n.d.). What body parts are exceptionally beautiful under a microscope? Quora. Retrieved March 2022, from <https://www.quora.com/What-body-parts-are-exceptionally-beautiful-under-a-microscope>

- 94 ... **Fig. 266:** Nucleic Acid Double Helix DNA Human Genome Nucleic Acid Structure Genetics
IMGBIN. (n.d.). Nucleic Acid Double Helix DNA Human Genome Nucleic Acid Structure Genetics PNG - Free Download. IMGBIN.com. Retrieved March 2022, from <https://imgbin.com/png/MCH3hfKK/nucleic-acid-double-helix-dna-human-genome-nucleic-acid-structure-genetics-png>
- 94 ... **Fig. 267:** Webb Space Telescope
In infrared: Oct. 15 lecture to cover Webb Space Telescope. (2021, October 11). Retrieved March 2022, from News.unl.edu website: <https://news.unl.edu/newsrooms/today/article/infrared-oct-15-lecture-to-cover-webb-space-telescope/>
- 95 ... **Fig. 268:** In 1521, Cesare Cesariano translated De Architectura into Italian, and also added commentary and illustrations. The following two images try to convey the idea of the Vitruvian man in Cesariano's edition. (Source: Scanned from Vitruvius Pollio's De Architectura translated and with commentary by C
The Vitruvian Man. (n.d.). Retrieved February 2022, from Leonardodavinci.stanford.edu website: <https://leonardodavinci.stanford.edu/submissions/clabaugh/history/othermen.html> esariano, facsimile reproduction 1968)
- 95 ... **Fig. 269:** Using observations from NASA's Spitzer Space Telescope, astronomers report an unprecedented elongated double helix nebula near the center of our Milky Way galaxy
NASA - Scientists Report an Odd Center. (2006, March 16). Nasa.gov. https://www.nasa.gov/vision/universe/starsgalaxies/milkyway_twist.html
- 95 ... **Fig. 270:** The cosmic web
The cosmic web (2019, December 13). Retrieved February 2022, from Wikimedia Commons website: https://commons.wikimedia.org/wiki/File:The_cosmic_web.png
- 95 ... **Fig. 271:** Maps of normalized density contrast, $\delta\rho$ for examples of slices of the cerebellum (top row), of the brain cortex (middle row) and of the dark matter distribution of the cosmic web (lower row), for various levels of magnification. The spectral and network analysis presented in this work will mostly focus on 40× samples as in the right panels.
Vazza, F., & Feletti, A. (2020). The Quantitative Comparison Between the Neuronal Network and the Cosmic Web. *Frontiers in Physics*, 8. <https://doi.org/10.3389/fphy.2020.525731>
1 Dipartimento di Fisica e Astronomia, Università di Bologna, Bologna, Italy. 2 Hamburger Sternwarte, Hamburg, Germany. 3 Istituto di Radio Astronomia, INAF, Bologna, Italy. 4 Institute of Neurosurgery, Department of Neurosciences, Biomedicine, and Movement Sciences, University of Verona, Verona, Italy. 5 Azienda Ospedaliera-Universitaria di Modena, Modena, Italy. 6. One of the Milky Way's premier star factories is the Carina Nebula (NGC 3372), which came to life about 3 million years ago when stars first ignited in a cloud of molecular hydrogen. In this view, jets of gas erupt from infant stars emerging from their birthplaces. [NASA/ESA/M. Livio and the Hubble 20th Anniversary Team (STScI)]
- 96 ... **Fig. 272:** One of the Milky Way's premier star factories is the Carina Nebula (NGC 3372), which came to life about 3 million years ago when stars first ignited in a cloud of molecular hydrogen. In this view, jets of gas erupt from infant stars emerging from their birthplaces. [NASA/ESA/M. Livio and the Hubble 20th Anniversary Team (STScI)]
Sunday, R. T. | P., March 1, & 2020. (2020, March 1). Hubble celebrates 30 years in space. *Astronomy*. <https://astronomy.com/magazine/news/2020/03/hubble-celebrates-30-years-of-science>
- 96 ... **Fig. 273:** The Malwiya Minaret, Islamic Dynastic minaret, Iraq. Designed by Al-Mutawakkil. 848-851 AC
Malwiya Minaret (n.d.). Obelisk Art History. Retrieved March 2022, from <https://arthistoryproject.com/timeline/middle-ages/islamic-dynastic-art/malwiya-minaret/>
- 96 ... **Fig. 274:** BIG architects: danish pavilion at shanghai expo 2010.
BIG architects: danish pavilion at shanghai expo 2010. (2009, February 7). Designboom | Architecture & Design Magazine. Retrieved March 2022, from <https://www.designboom.com/architecture/big-architects-danish-pavilion-at-shanghai-expo-2010/>
- 96 ... **Fig. 275:** Artist's impression of the extreme starburst galaxy AzTEC/COSMOS-1. Image credit: National Astronomical Observatory of Japan. Electron diffraction patterns of the icosahedral quasicrystal Al₂₀pe15 showing fivefold symmetry axis.
ALMA Provides Detailed View of Very Distant Star-Forming Galaxy | Astronomy | Sci-News.com. (2018, August 30). Retrieved March 30, 2022, from Breaking Science News | Sci-News.com website: <http://www.sci-news.com/astronomy/aztec-cosmos-1-extreme-starburst-galaxy-06356.html>
- 96 ... **Fig. 276:** At the tomb's entrance, the intricately engraved spirals. Kerbstones. 3200 BCE, Newgrange, Ireland
Goldbaum, H. (2012, April 7). Voices from the Dawn: the Ancient Monuments of Ireland and their Folklore | museumsandtheweb.com. Museumsandtheweb. https://www.museumsandtheweb.com/mw2012/papers/voices_from_the_dawn_the_ancient_monuments_of_.html
- 97 ... **Fig. 277:** francesco giorgi. Done in 1525. This image was used in another edition of De Architectura (Vitruvius). (Scanned from Architectural Principles in the Age of Humanism by Rudolf Wittkower)
The Vitruvian Man. (n.d.). Retrieved February 2022, from Leonardodavinci.stanford.edu website: <https://leonardodavinci.stanford.edu/submissions/clabaugh/history/othermen.html>
- 97 ... **Fig. 278:** The Crab Nebula (M1) represents the glowing tendrils of a massive star that earthbound observers saw explode nearly 1,000 years ago, in the year 1054. Astronomers have been able to deduce the nebula's expansion rate thanks in part to Hubble observations. [NASA/ESA/Allison Loll and Jeff Hester (Arizona State University)]
Klesman, A. (2017, January 18). Researchers have peered through pulsar winds. *Astronomy*. <https://astronomy.com/news/2017/01/pulsar-tails>

- 97 ... **Fig. 279:** *The Great Temple of Ramesses II. 13th c. BC. Abu Simbel, Aswan muḥafazah (governorate), southern Egypt*
A Little To The North Of The Great Temple Lies A Small - Abu Simbel Temple Plan Transparent PNG - 977x602 - Free Download on NicePNG. (n.d.). NicePNG.com. Retrieved April, 2022, from https://www.nicepng.com/ourpic/u2t4u2w7r5t4y3o0_a-little-to-the-north-of-the-great/
- 97 ... **Fig. 280:** *Thunders*
u / ZeroSix4. (2018). r / titanfolk. Retrieved April, 2022, from Reddit website: https://www.reddit.com/r/titanfolk/comments/mo85cw/_/u/ZeroSix4. (2018). r / titanfolk. Retrieved April, 2022, from Reddit website: https://www.reddit.com/r/titanfolk/comments/mo85cw/_/
- 97 ... **Fig. 281:** *Brain and Nervous System*
Imgur. (2017, June 5). This made me shudder.... Retrieved April, 2022, from Imgur website: <https://imgur.com/gallery/YVyWS>
- 97 ... **Fig. 282:** *Thunder*
Puiu, T. (2015, June 23). Scientists control the path of lightning using lasers. Retrieved April, 2022, from ZME Science website: <https://www.zmescience.com/science/physics/control-path-lightning-lasers-0543543/>
- 98 ... **Fig. 283:** (Raddato, n.d.). In the sanctuary inside the Temple of Ramesses II (Great Temple) at Abu Simbel are rock-cut sculptures of four seated figures: Ra-Horakhty, the deified king Ramesses, and the gods Amun Ra and Ptah. The architects of ancient Egypt in the 13th century BCE aligned the temple so that on October 22 and February 22, the sun's rays enter into the sanctuary to illuminate the sculptures on the wall, except for the statue of Ptah, the god associated with the underworld, which remains in shadow.
Raddato, C. (n.d.). Abu Simbel, Sanctuary of the Temple of Ramesses II. World History Encyclopedia. Retrieved April, 2022, from <https://www.worldhistory.org/image/15453/abu-simbel-sanctuary-of-the-temple-of-ramesses-ii/>
- 98 ... **Fig. 284:** *The Great Temple of Ramesses II. 13th c. BC. Abu Simbel, Aswan muḥafazah (governorate), southern Egypt*
The Temple at Abu Simbel by Album. (n.d.). Pixels. Retrieved March 2022, from <https://pixels.com/featured/the-temple-at-abu-simbel-album.html>
- 98 ... **Fig. 285:** *Section of Temple. Play of Light.*
The Temple at Abu Simbel by Album. (n.d.). Pixels. Retrieved March 2022, from <https://pixels.com/featured/the-temple-at-abu-simbel-album.html>
- 98 ... **Fig. 286:** *Parametric Achitecture. Setas de Sevilla («Mushrooms of Seville») or Las Setas («The Mushrooms»), initially titled Metropol Parasol, is a wooden structure located at La Encarnación square in the old quarter of Seville, Spain. By the German architect Jürgen Mayer*
Parametric architecture. (2021, October 1). Retrieved March 2022, from Ima-Architects.co.uk website: <https://ima-architects.co.uk/parametric-architecture/>

- 98 ... **Fig. 287:** *Parametric Achitecture. Heydar Aliyev Center / Zaha Hadid Architects.*
Archdaily. (2013, November 14). Heydar Aliyev Center / Zaha Hadid Architects. Retrieved March 2022, from ArchDaily website: <https://www.archdaily.com/448774/heydar-aliyev-center-zaha-hadid-architects>

Ιστορία εικονογραφίας.

- 99 ... **Fig. 288:** (Magura Cave, 2019). Cave paintings dating from the Epipaleolithic, late Neolithic, Eneolithic and early Bronze Age. Vidin Province, Bulgaria
Magura Cave paintings. (n.d.). Www.artranked.com. Retrieved April, 2022, from <https://www.artranked.com/topic/Magura+Cave>
- 99 ... **Fig. 289:** *Three men in a ritual. This Petroglyph is a Nordic Bronze Age petroglyph that is carved into the Vitlyckehäll stone near Tanumshede, in Västra Götaland County, western Sweden*
Rock Carvings in Tanum (n.d.). Retrieved March from Wikipedia website: https://en.wikipedia.org/wiki/Rock_Carvings_in_Tanum
- 99 ... **Fig. 290:** *The Kondoa Irangi Rock Paintings are a series of ancient paintings on rockshelter walls in central Tanzania.*
Kondoa Rock-Art Sites. (n.d.). Retrieved March 2022, from Wikiwand website: https://www.wikiwand.com/en/Kondoa_Rock-Art_Sites
- 99 ... **Fig. 291:** *Kondoa District, Tanzania: characteristic white painting tradition art, including distinctive human images photographed by Emmanuel Bwasiri.*
Bwasiri, E. J., & Smith, B. W. (2015). The rock art of Kondoa District, Tanzania. Azania: Archaeological Research in Africa, 50(4), 437-459. <https://doi.org/10.1080/0067270x.2015.1120436>
- 99 ... **Fig. 292:** (Left) Neolithic drawing of bee-headed humanoid from Tassili region of the Sahara. (Right) Mushroom-headed dancer from the same region.
9000 year old cave painting in Tassili cave Algeria. (2014). Reddit. https://www.reddit.com/r/ArtefactPorn/comments/kvqy59/9000_year_old_cave_painting_in_tassili_cave/ ; πρβ Berlant, S. R. (2005). The entheomycological origin of Egyptian crowns and the esoteric underpinnings of Egyptian religion. Journal of Ethnopharmacology, 102(2), 275-288. <https://doi.org/10.1016/j.jep.2005.07.028>
- 100 ... **Fig. 293:** (a) Third Chinese Horse, (b) Red Cow & First Chinese, (c) Great Black Bull, (d) Large Black Stag
© N. Aujoulat (2003) © MCC-CNP
The Cave Art Paintings of the Lascaux Cave. (2016, September 12). Bradshaw Foundation. <https://www.bradshawfoundation.com/lascaux/>
- 100 ... **Fig. 294:** *Te Manawa an Arawa warrior. Watercolour by H.G. Robley*
Olson, A. (2010, April 13). A brief history of tattoos. Retrieved March 2022, from Wellcome Collection website: <https://wellcomecollection.org/articles/W9m2QxcAAf8AFvE5>

100 ... **Fig. 295:** "Ötzi The Ice Man"

One of the oldest evidence of ink in history is a 2500 year old tattoo of a Scythian deer on the mummy of the "Siberian Ice Maiden." (2020). Retrieved February 2022, from Reddit website: https://www.reddit.com/r/interestingasfuck/comments/irkf0u/one_of_the_oldest_evidence_of_ink_in_history_is_a/

101 ... **Fig. 296:** The Paed Tidt Yant will give you protection in whichever direction you are traveling and ward off evil spirits. The script used on the Paed Tidt Yant is an ancient Khmer script known as Khom. The Mantras written in the Paed Tidt Yant and which should be chanted when going out to give further protection are as follows.

Sak Yant Tattoo Designs and Meanings of Traditional Thai Tattoos. (2020, September 18). Retrieved February 2022, from Sakyantchiangmai website: <https://sakyantchiangmai.com/sak-yant-designs-and-meanings/>

101 ... **Fig. 297:** The Twin Tiger Sak Yant Tattoo is common among Thai people with dangerous occupations and Muay Thai Fighters. The Tiger represents strength, power, protection and conviction, as well as authority over ones subordinates. The Twin Tiger Sak Yant is very popular with military personnel, police, businessmen and politicians.

Sak Yant Tattoo Designs and Meanings of Traditional Thai Tattoos. (2020, September 18). Sakyantchiangmai. Retrieved March 2022, from <https://sakyantchiangmai.com/sak-yant-designs-and-meanings/>

101 ... **Fig. 298:** Ainu woman

minerva. (n.d.). Tattoodo. Tattoodo. Retrieved March 2022, from <https://www.tattoodo.com/tattoos/88047>

101 ... **Fig. 299:** (Kanji, 2019). Nihon Shoki (720 AD), considered by historians and archeologists as the most complete extant historical record of ancient Japan, was written entirely in kanji.

National Treasure Nihon Shoki (An ancient history of Japan) Nara National Museum. (n.d.). Retrieved March 2022, Narahaku.go website: <https://www.narahaku.go.jp/english/collection/1190-0.html>

102 ... **Fig. 300:** Harald being baptized by Poppo the monk, in a relief dated to c. 1200

Anagoria. (2022, March 28). Harald Bluetooth. Retrieved March 2022, from Wikipedia website: https://en.wikipedia.org/wiki/Harald_Bluthooth#/media/File:1200_Harald_Bl%C3%A5tand_anagoria.jpg

102 ... **Fig. 301:** Geir Vigfusson of Akureyri (19th c. AC). Huld: Nr. 383. 4to - Galdrastafir Icelandic Manuscript. (p. 60).

Geir Vigfusson of Akureyri (19th c. AC). Huld: Nr. 383. 4to - Galdrastafir Icelandic Manuscript. (p. 60). Retrieved March 2022, from booksofmagick website: https://booksofmagick.com/wp-content/uploads/2020/09/Huld_I%CC%81B_383_4to.pdf

102 ... **Fig. 302:** The Vegvísir (Vegvísir, n.d.) according to the Huld manuscript is an Icelandic magical stave intended to help the bearer find their way through rough weather.

Vegvisir, The Symbol of Guidance and Protection & Its Meaning - The Viking Compass/Runic Compass - Mythologian. (n.d.). Retrieved March 2022, from Mythologian.net website: <https://mythologian.net/vegvisir-symbol-guidance-protection-meaning-viking-compass-runic-compass/>

Παρατηρήσεις και σχολιασμοί στα αλφάβητα των 14 διαφορετικών γλωσσών.

103... **Fig. 303:** Owl PNG image with transparent background.

(n.d.). Retrieved March 2022, from Pngimg.com website: <https://pngimg.com/image/26748>

103... **Fig. 304:** Hieroglyphics: the writings of ancient Egypt (pp.

163). by Betrò, Maria Carmela, 1996, New York: Abbeville Press. Copyright 1996 of Mondadori Editore S.p.A.

109... **Fig. 305:** How information moves between cultures.

Networks that map strength of connections between languages predict global influence of their speakers.

Hardesty, Larry (2014, December 16). How information moves between cultures. Retrieved February 10, 2022, from MIT News | Massachusetts Institute of Technology website: <https://news.mit.edu/2014/network-maps-global-fame-different-language-speakers-1216>

110... **Fig. 306:** Neolithic burial custom in Greece

Δρ Χονδρογιάννη-Μετόκη, Α. (2015, June 8). Archaeological Research in the Middle Haliakmon Valley (Part 4). Archaeology Wiki. <https://www.archaeology.wiki/blog/2015/06/08/archaeological-research-middle-haliakmon-valley-part-4/>

111... **Fig. 307:** (Gabry-Thienpont, 2019). Taḥṭib is an Egyptian practice typically performed at wedding celebrations and pilgrimages (mawlid). It is an exclusively male martial art with strict rules, in which two men, each armed with a stick, perform a combat in a choreographed series of defined figures. Music is central to taḥṭib: the players are accompanied encouraged and restrained by the playing of mizmar and ṭabla baladi. Like many rural practices, taḥṭib is considered by both its participants and spectators to be an ancestral tradition tracing back to Egypt's Pharaonic era.

Gabry-Thienpont, S. (2019). Le jeu du bâton, des pharaons à l'Unesco : patrimoine, identification et construction mémorielle dans le Sa'ïd égyptien. Stick-Fighting Martial Art, from the Pharaohs to UNESCO: Heritage, Identification and Memory Construction in the Sa'ïd of Egypt. Transposition, 8. <https://doi.org/10.4000/transposition.3133>

112... **Fig. 308:** The Bird's Eye View Of The Giza Pyramid. By Alexander Ladanivsky (Ph., Drone)

Bradely, A. (2021, August 22). A Drone Captures The Bird's Eye View Of The Giza Pyramid. (Ladanivsky, Alexander Ph., Drone). Retrieved February 2022, from Auxx Me website: <https://auxx.me/a-drone-captures-the-birds-eye-view-of-the-giza-pyramid/?fr=operanews>

112... **Fig. 309:** Pyramid of Khufu

Vertical section of the Great Pyramid. (n.d.). Retrieved March 2022, from Etc.usf.edu website: https://etc.usf.edu/clipart/52100/52174/52174_greatpyramid.htm

112... **Fig. 310:** Step Pyramid of Djoser

Salama, E., Ehab, M., & Rühm, W. (2018). Radon and thoron concentrations inside ancient Egyptian tombs at Saqqara region: Time-resolved and seasonal variation measurements. Nuclear Engineering and Technology, 50(6), 950-956. <https://doi.org/10.1016/j.net.2018.03.017>

- 113 ... **Fig. 311:** Pyramid diagram extrapolated and revised from Gantenbrink (1997); b Sitting figure: King Thutmose 111 with an original grid drawn on a wooden board with a plaster coating, British Museum, EA 5601, sketch by author from Russmann (2001), 154 [see also (Robins 1994), 92 pl. 5.1]; c Proportions of standing figure
Bartlett, C. (2014). *The Design of The Great Pyramid of Khufu*. *Nexus Network Journal*, 16(2), 299–311 - p. 309. Retrieved March 2022, from academia.edu website: https://www.academia.edu/47334550/The_Design_of_The_Great_Pyramid_of_Khufu
- 113 ... **Fig. 312:** Pyramid of Khafre
The Pyramid of Khafre, Angle 53,13° Reprinted from *The Pyramid of Khafre - Giza A Layman's Guide* (pp. 14). Hamilton, Keith (2021, May 17). Retrieved August 2021, from researchgate.net: <https://doi.org/10.13140/RG.2.2.28984.67840>
- 114 ... **Fig. 313:** Σχηματική Παράσταση της αναλύσεως των τεκτονικών χαράξεων στην εγκάρσια τομή του εγγεγραμμένου σταυροειδούς ναού.
Μουτσόπουλος, Νικόλαος (2010). *Ναοδομία* (p.98). Θεσσαλονίκη: University Studio Press (Εκδόσεις Επιστημονικών Βιβλίων και Περιοδικών)
- 114 ... **Fig. 314:** Σχηματική Παράσταση της θεωρητικής αναλύσεως των τεκτονικών χαράξεων.
Μουτσόπουλος, Νικόλαος (2010). *Ναοδομία* (p. 98). Θεσσαλονίκη: University Studio Press (Εκδόσεις Επιστημονικών Βιβλίων και Περιοδικών)
- 115 ... **Fig. 315:** Εγκάρσια τομή στο καθολικό της Μονής Χελανδρίου Αγίου Όρους (1303) (S. Nenadović, χαράξεις Ν. Κ. Μουτσόπουλο)
Μουτσόπουλος, Νικόλαος (2010). *Ναοδομία* (p. 127). Θεσσαλονίκη: University Studio Press (Εκδόσεις Επιστημονικών Βιβλίων και Περιοδικών)
- 115 ... **Fig. 316:** Εγκάρσια τομή στην Μονή του Αγίου Ιωάννη Κυνηγού Αττικής (κατά τον καθηγητή Ν. Κ. Μουτσόπουλο)
Μουτσόπουλος, Νικόλαος (2010). *Ναοδομία* (p. 115). Θεσσαλονίκη: University Studio Press (Εκδόσεις Επιστημονικών Βιβλίων και Περιοδικών)
- 115 ... **Fig. 317:** Εγκάρσια τομή της Μονής στο Καθολικό της Μονής Καισαριανή στην Αττική (αποτύπωση 1950 και εγγραφή των εσωτερικών χαράξεων κατά τον καθηγητή Ν. Κ. Μουτσόπουλο)
Μουτσόπουλος, Νικόλαος (2010). *Ναοδομία* (p. 83). Θεσσαλονίκη: University Studio Press (Εκδόσεις Επιστημονικών Βιβλίων και Περιοδικών)
- 117 ... **Fig. 318:** The serene harmony of compositions such as that of the Taj Mahal is achieved by a carefully calibrated system of geometrical relationships illustrated here by Paul Marchant, Director of Education at The Prince's School of Traditional Arts
Wales, H. T. P. of. (2014, December 20). *Facing up to the future: Prince Charles on 21st century architecture*. *Architectural Review*. <https://www.architectural-review.com/essays/facing-up-to-the-future-prince-charles-on-21st-century-architecture>
- 117 ... **Fig. 319:** The Taj Mahal; lit. «Crown of the Palace»; Architectural style Mughal architecture
Taj Mahal. (n.d.). Wikipedia; Wikimedia Foundation. Retrieved March 2022, from https://en.wikipedia.org/wiki/Taj_Mahal
- 117 ... **Fig. 320:** Plan of Taj Mahal (after Fletcher)
Begley, W. E. (1979). *The Myth of the Taj Mahal and a New Theory of Its Symbolic Meaning* (p. 25). *The Art Bulletin*, 61(1), 7. <https://doi.org/10.2307/3049862>
- 117 ... **Fig. 321:** Ibn al-c Arabi, Diagram of the Plain Assembly (Ard al-Hashr) on the Day of Judgment, from autograph MS of Futuhat al-Makkiyya
Begley, W. E. (1979). *The Myth of the Taj Mahal and a New Theory of Its Symbolic Meaning* (p. 25). *The Art Bulletin*, 61(1), 7. <https://doi.org/10.2307/3049862>
- 118 ... **Fig. 322:** Representation of the variation in the geoid field across Australia, illustrated by mapping a satellite derived image of the Earth onto a greatly exaggerated view of the geoid field. The trend of the geoid anomaly corresponds to the apparent tilt axis derived from the longest wavelength variations in elevation of Cainozoic near-shore deposits around the Australian coastline.
Sandiford, M. (2007). *The tilting continent: A new constraint on the dynamic topographic field from Australia* (p. 153). *Earth and Planetary Science Letters*, 261(1-2), 152–163. <https://doi.org/10.1016/j.epsl.2007.06.023>
- 118 ... **Fig. 323:** Earth's axial tilt (obliquity)
Axial tilt. (2019, February 4). Wikipedia; Wikimedia Foundation. Retrieved February 2022, from https://en.wikipedia.org/wiki/Axial_tilt
- 119 ... **Fig. 324:** Haller-Caldwell, S. (n.d.). Vitruvian Woman - Sketch Art Print by ITEM LAB | Society6 | Woman sketch, Vitruvian man tattoo, Art sketches. Retrieved August 2021, from Pinterest website: <https://www.pinterest.com/pin/157485318203977705/>
- 119 ... **Fig. 325:** Vitruvian Man. (2019, February 4). Wikipedia; Wikimedia Foundation. https://en.wikipedia.org/wiki/Vitruvian_Man
- 120 ... **Fig. 326:** Atlas, Typhoëus, Prometheus The three titans are shown upon a laconic bowl (~550 BC) while they are being punished for their insurgency against the tyrant Jupiter: Prometheus is tied to a column representing the Caucasus. Atlas acts as the column at the opposite side of the hellenic world. Typhoëus is represented by the column propping up the rotating disc-shaped pottery-wheel upon which the titans - put asunder by the centrifugal forces - are trying to delicately (equi)poise each other. Laconia. 560-550 BC. h. 14.4cm; diam. 20.2cm.
Poggemann, K.-L. (n.d.). English: Atlas, Typhoëus, Prometheus. Retrieved April 2022, from Wikimedia Commons website: https://commons.wikimedia.org/wiki/File:Atlas_Typhoeus_Prometheus.png

- 120 ... **Fig. 327:** Museo Gregoriano Etrusco. AS 16592 Harrsch, M. (2019, April 6). Library An 1876 vision of the burning of the Great Library in Alexandria
Harrsch, M. (2019, April 6). Library An 1876 vision of the burning of the Great Library in Alexandria 1200X800. Retrieved April 2022, from Flickr website: <https://www.flickr.com/photos/mharrsch/47551012141>
- 122 ... **Fig. 328:** (Melas, 2019). «History of the alphabet, the writing systems of Europe, hieroglyph, cuneiform, linear A, linear B, cypriot, phoenician, old hebrew, greek, old italic, latin, old iberian, tifinagh, aramaic, pahlavi, arabic, syriac, coptic, hebrew, old turkic, old hungarian, old uyghur, runic, gothic, ogham, glagolitic, cyrillic.»
Melas, C. (2019, November 8). History of the alphabet, the writing systems of Europe. YouTube. <https://www.youtube.com/watch?v=OVI3ii0D2R4>
- 122 ... **Fig. 329:** Writing Systems (Beläid; Razzak, 2014, p. 430)
Beläid A., Razzak M.I. (2014) Middle Eastern Character Recognition. In: Doermann D., Tombre K. (eds) Handbook of Document Image Processing and Recognition. Springer, London. https://doi.org/10.1007/978-0-85729-859-1_13
- 123 ... **Fig. 330:** Boeree (Dr.), C. George. (2019). Evolution of Alphabets. Retrieved March 2022, from Ship.edu website: <http://webspace.ship.edu/cgboer/evolalpha.html> ; Economic And Social Commission For Western Asia ; Harmonization Of ICT Standards Related To Arabic Language Use In Information Society Applications. (2003). In United Nations Digital Library System (p. 5). New York: United Nations. In United Nations Digital Library System. Retrieved March 2022 from https://www.google.com/url?sa=i&url=https%3A%2F%2Fdigitallibrary.un.org%2Frecord%2F515166%2Ffiles%2FE_ESCWA_ICTD_2003_5-EN.pdf&sig=AOvVaw3IKFM-V0pdR0vh-kQPhu8U&ust=1649338151644000&source=images&cd=vfe&ved=0CAcQjhqFwTCQjJqMnFYCFQAAAAAdAAAAABAn
- 123 ... **Fig. 331:** UsefulCharts. (2020). Evolution of the Alphabet | Earliest Forms to Modern Latin Script [YouTube Video]. Retrieved February 2022 from YouTube website: <https://www.youtube.com/watch?v=3kGuN8WIGNc> ; *πρβ Επιχώρια Αλφάβητα. Καραντζόλα, Ε. (n.d.). Συστήματα Γραφής στο Μεσογειακό - Ενότητα 6: Αλφαβητική γραφή (σ. 12, 15).* Retrieved July 2021, from eclass.aegean.gr website: <https://eclass.aegean.gr/modules/units/?course=TMS169&id=2381>
Πανεπιστήμιο Αιγαίου, Τμήμα Μεσογειακών Σπουδών.
- 124 ... **Fig. 332:** Barbax. (2011, December 17). Venetic Raetic Camunic Lepontic alphabets.png. Commons.wikimedia.org. https://en.wikipedia.org/wiki/File:Venetic_Raetic_Camunic_Lepontic_alphabets.png ; Camunic language. (n.d.). Wikipedia. Retrieved March 2022, from https://en.wikipedia.org/wiki/Camunic_language ; Lepontic language. (n.d.). Wikipedia. Retrieved March 2022, from https://en.wikipedia.org/wiki/Lepontic_language ; Rhaetic. (n.d.). Wikipedia. Retrieved March 2022, from <https://en.wikipedia.org/wiki/Rhaetic> ; Venetic language. (n.d.). Wikipedia. Retrieved March 2022, from https://en.wikipedia.org/wiki/Venetic_language
- 124 ... **Fig. 333:** y u/Beautiful Ad 2371. (2022). r/neography - Evolution of Russian Alphabet. Reddit. https://www.reddit.com/r/neography/comments/qys4x9/evolution_of_russian_alphabet/
- 125 ... **Fig. 334:** (Anglo-Saxon runes (Futhorc). (2019). Omniglot. <https://www.omniglot.com/writing/futhorc.htm> ; Orthography Archives. (n.d.). The Historical Linguist Channel. Retrieved April 6, 2022, from <https://thehistoricallylinguistchannel.com/topics/orthography/> ; Runic alphabets / Runes / Futhark. (n.d.). Omniglot. <https://www.omniglot.com/writing/runic.htm#elder> ; runes Archives Page 2 of 2. (n.d.). The Rational Heathen. Retrieved April 6, 2022, from <https://www.rationalheathen.com/tag/runes/page/2/> (Runes Archives Page 2 of 2, n.d.). In some isolated areas in Sweden, particularly Dalarna, people used runes to transcribe Elfdalian from the 16th up until the 20th century. Also called Dal Runes, it's unknown if the runes in Dalrunorthe 19th and 20th centuries were in common use or if they were learned from books and used in scholarly writings.
- 126 ... **Fig. 335:** Semaphore Flag Signals. A-Z
Denelson83 (2019). Semaphore Signals A-Z. Retrieved March 2022, from commons.wikimedia website: https://commons.wikimedia.org/wiki/File:Semaphore_Signals_A-Z.jpg
- 127 ... **Fig. 336:** Veins of the heart
Johannes Sobotta. (2008). Sobotta Atlas of human anatomy. 2: Trunk, viscera, lower limb. (R. Putz, R. Pabst, Dr. Med, & R. Putz, Eds.; S. Bedoui, Trans.; 14th ed., Vol. 2, p. 75). Elsevier/Urban & Fischer.
- 127 ... **Fig. 337:** The Earth's actual shape
Drewes, H. (2008). Geodesist's Handbook 2008 (p. 799). Journal of Geodesy, 82(11), 661-846. <https://doi.org/10.1007/s00190-008-0259-0> ; What is the Earth's actual shape? (n.d.). Quora. Retrieved March 2022, from <https://www.quora.com/What-is-the-Earth-s-actual-shape>
- 128 ... **Fig. 338:** The «Gate of the Sun». 2nd c. AD. Tiwanaku. Pre-Columbian archaeological site in western Bolivia.
Esta Pintudo. (2020, May 25). La Puerta del Sol TIHUANACU. LA PAZ - BOLIVIA. Retrieved March 2022, from Facebook website: <https://www.facebook.com/EstaPintudo/photos/hermosa-vista-para-iniciar-la-semana-la-puerta-del-sol-%EF%B8%8F-tihuanacu-la-paz-bolivi/2634759453461475/>
- 128 ... **Fig. 339:** (Mysterium Cosmographicum, n.d.). «Kepler's Platonic solid model of the Solar system from Mysterium Cosmographicum (1600). Kepler proposed that the distance relationships between the six planets known at that time could be understood in terms of the five Platonic solids, enclosed within a sphere that represented the orbit of Saturn.»
Kepler, J., & Det Kongelige Bibliotek / The Royal Library (Copenhagen). (1621). Mysterium Cosmographicum. In Internet Archive (2nd ed., p. 18). Tübingen : Kempferi, Recusus Erasmi. Retrieved March 2022, from <https://archive.org/details/den-kbd-pil-22002200031E-001/page/n50/mode/2up?view=theater> ; Mysterium Cosmographicum. (n.d.). Retrieved March 2022, from Wikipedia website: https://en.wikipedia.org/wiki/Mysterium_Cosmographicum

- 132 ... **Fig. 340:** On the neck of this vase, dancing women follow a woman holding a wreath, while processions of men in chariots and armed soldiers decorate the body below. Funerary Amphora with Scenes of Mourning, 720–700 B.C., Greek, made in Athens. Terracotta, 27 5/8 x 12 in. The J. Paul Getty Museum, 2016.35. Purchased in part with funds provided by the Villa Council.
Belis, A. (2018, July 25). Commemorating the Dead in Greek Geometric Art. Retrieved March 2022, from The Getty Iris website: <https://blogs.getty.edu/iris/commemorating-the-dead-in-greek-geometric-art/>
- 138 ... **Fig. 341:** Attic jug, ca. 740 BC. Late Geometric style: the whole vase is covered with ornamentation friezes. Current location: Room 1. Staatliche Antikensammlungen of Munich.
Attic jug, ca. 740 BC. Late Geometric style: the whole vase is covered with ornamentation friezes. Current location: Room 1. Staatliche Antikensammlungen of Munich. (n.d.). Retrieved April 12, 2022, from Commons.wikimedia.org website: https://fr.m.wikipedia.org/wiki/Fichier:Jug_740_BC_Staatliche_Antikensammlungen.jpg
- 138 ... **Fig. 342:** Swastika on a temple in Korea (Seoul)
Swastika on a temple in Korea (Seoul). (n.d.). Retrieved March 2022, 2022, from Commons.wikimedia.org website: [https://en.wikipedia.org/wiki/File:Swastika-seoul_\(xndr\).jpg](https://en.wikipedia.org/wiki/File:Swastika-seoul_(xndr).jpg)
- 138 ... **Fig. 343:** Swastika on the chest of a Buddha statue in the Grand Hall of the Jade Buddha Temple, Shanghai, China. In Buddhism, the swastika is considered to symbolize the auspicious footprints of the Buddha
Dagnall, Ian. (n.d.). Swastika on the chest of a Buddha statue in the Grand Hall of the Jade Buddha Temple, Shanghai, China. In Buddhism, the swastika is considered to symbolize the auspicious footprints of the Buddha Stock Photo - Alamy. Alamy. Retrieved March 2022, from <https://www.alamy.com/swastika-on-the-chest-of-a-buddha-statue-in-the-grand-hall-of-the-jade-buddha-temple-shanghai-china-in-buddhism-the-swastika-is-considered-to-symbolize-the-auspicious-footprints-of-the-buddha-image264475856.html>
- 138 ... **Fig. 344:** Carved fretwork forming a swastika in the window of a Lalibela rock-hewn church in Ethiopia. 12th c. AC
Samzhab. (n.d.). Swastika symbol in the window of Lalibela church. Retrieved March 2022, from Commons.wikimedia.org website: https://en.wikipedia.org/wiki/File:Skastika_symbol_in_the_window_of_Lalibela_Rock_hewn_churches.jpg
- 138 ... **Fig. 345:** Rock-Hewn Churches. Lalibela, Ethiopia, 12th c. AD
dismal_youknowworld. (n.d.). Rock-Hewn Churches. Lalibela, Ethiopia, 12th c. AD. Americasbestpics. Retrieved March 2022, from <https://americasbestpics.com/picture/800-year-old-church-in-ethiopia-carved-from-a-single-ufeR3kk09?s=c1>
- 138 ... **Fig. 346:** Mosaic swastika in excavated church in Shavei Tzion (Israel)
Mosaic swastika in excavated church in Shavei Tzion (Israel). (n.d.). Retrieved March 2022, from Commons.wikimedia.org website: <https://en.wikipedia.org/wiki/File:ShaveyZion1.jpg>
- 142 ... **Fig. 347:** Great pyxis. Holes next to the opening, in order to tie the cover and carry the jug? Rythmic decoration, ornamentation zones are always separated by three tire lines. Attica, ca. 850 BC. Staatliche Antikensammlungen of Munich. Current location Room 1. A.N. Inv. 6232 (n.d.). Wikimedia Commons. Retrieved March 2022, from https://commons.wikimedia.org/wiki/File:Geometric_pyxis_Staatliche_Antikensammlungen_6232.jpg ; Retrieved March 2022, from Wikimedia Commons website: https://commons.wikimedia.org/wiki/File:Dipylon_amphora_close_front.jpg
- 142 ... **Fig. 348:** Athenian funerary amphora, Late geometric I. The main scene shows the prothesis and mourning for the dead. Over the bier is the shroud. Men, women and a child lament with the hands on their heads in the usual mourning gesture. 760-750 BC. silhouette on terracotta. h. 155 cm. A.N. 804. Place of discovery: Kerameikos cemetery, Athens. (n.d.). Meisterdrucke.uk. Retrieved March 2022, from [https://www.meisterdrucke.uk/line-art-prints/Greek/203011/The-Dipylon-Amphora.-funerary-urn-in-the-geometric-style-from-the-Kerameikos-Necropolis.-Athens.-c.750-BC-\(terracotta\)-\(see-also-88063\).html](https://www.meisterdrucke.uk/line-art-prints/Greek/203011/The-Dipylon-Amphora.-funerary-urn-in-the-geometric-style-from-the-Kerameikos-Necropolis.-Athens.-c.750-BC-(terracotta)-(see-also-88063).html)
- 147 ... **Fig. 349:** (Bellos, 2014). In this work, Christian Vasile converted pi into base 16. The sixteen segments around the circle represent the 16 digits of this base. He then traced pi for 3600 digits, going from segment to segment based on the value of the digit.
Bellos, A. (2014, March 14). Pi Day: pi transformed into incredible art – in pictures. The Guardian. <https://www.theguardian.com/science/alex-adventures-in-numberland/gallery/2014/mar/14/pi-day-pi-transformed-into-incredible-art-in-pictures> ; Cristian Vasile Art. (2014, August 15). Three friends #2 is a piece of digital artwork by Cristian Vasile. Fine Art America. <https://fineartamerica.com/profiles/cristian-vasile>
- 147 ... **Fig. 350:** Color Sphere in 7 Light Values and 12 Tones (Farbenkugel in 7 Lichtstufen und 12 Tönen). 1921. By Johannes Itten (1888-1967, Swiss expressionist painter, designer, teacher, writer and theorist associated with the Bauhaus (Staatliches Bauhaus) school). Lithograph ; 47,3 x 31,9 cm (sheet). Utopia-Verlag, Weimar (Publisher). Obj. Num. 93.2011 Museum of Modern Art, New York.
Johannes Itten. Color Sphere in 7 Light Values and 12 Tones (Farbenkugel in 7 Lichtstufen und 12 Tönen). 1921 | MoMA. (n.d.). The Museum of Modern Art. Retrieved March 2022, from <https://www.moma.org/collection/works/143828>
- 149 ... **Fig. 351:** Polychoron Productions. (2021). The math behind the circle of fifths. In YouTube. Retrieved March 2022 from <https://www.youtube.com/watch?v=WHmqW00YK4A> ; Majidi, H., & Farshchi, H. (2018). From the Beginning of Aesthetic Theories of Art to Iannis Xenakis Mathematical Theories (The Inseparable Relationship between Music and Architecture). International Journal of Applied Engineering Research, 13(17), 13227–13236. Retrieved February 2022, from https://www.ripublication.com/ijaer18/ijaerv13n17_35.pdf

- 150 ... **Fig. 352:** (*The Sun God Tablet*, n.d.). Limestone tablet, *The Sun God Tablet: the scene sculptured in relief at the head of the tablet represents Nabu-aplu-iddina being led by the priest Nabu-nadin-shum and the goddess Aa into the presence of the Sun-god, who is seated within Ebabbara. Before the god is the solar disc, resting upon an altar which is supported by ropes held by attendant deities, whose bodies spring from the roof of the shrine. In the field above the Sun-god, and within the shrine, are a lunar disc, a solar disc and an eight-pointed star, the symbols of Sin, Shamash (Šamaš) and Ishtar. The god wears a horned headdress and carries the ringed rod in his right hand. The shrine is represented as resting on the heavenly ocean. 860BC-850BC. Middle East, Iraq, Sippar. M.N. 91000. The British Museum*
- The Sun God Tablet.* (n.d.). Retrieved March 2022, from The British Museum website: https://www.britishmuseum.org/collection/object/W_1881-0428-34-a ; George, Andrew (Trans.). (2000) *The Epic of Gilgamesh - The Babylonian Epic Poem and Other Texts* (p. 26). London: Penguin Classics
- 150 ... **Fig. 353:** 3835Hz. Chladni Plates
brusspup. (2013). *Amazing Resonance Experiment*
Retrieved December 2020, from YouTube website: <https://www.youtube.com/watch?v=vvJAgUBF4w>
- 150 ... **Fig. 354:** *Demonstrating Resonance with Chladni Figures - Christmas Lectures with Charles Taylor.*
Demonstrating Resonance with Chladni Figures - Christmas Lectures with Charles Taylor. (2019). Retrieved February 16, 2022, from YouTube.com website: <https://www.youtube.com/watch?v=OLNFrXgMJ6E>
- 151 ... **Fig. 355:** *Close up of the Chakana or Andean Cross in the Inca archaeological temple of the Chosen Virgins, Moon Island, Bolivia.*
LBM1948. (2008, November 9). *Español: Ventana del templo de Ñaqa Uyu (o de las Virgenes), en la Isla de la Luna (o de Koati), Lago Titicaca (Bolivia).* Retrieved March 2022 from Wikimedia Commons website: https://commons.wikimedia.org/wiki/File:Isla_de_la_Luna_03.jpg
- 151 ... **Fig. 356:** *The Chakana Cross & The sacred infinity spiral. Inca Symbol. Lima, Peru.*
Gosalia, S., Wu, S.-Y., Bogard, T., Crecelius, A., & Appiah-Kubi, P. (2020). *Enhancing Global Awareness on Campus Enhancing Global Awareness on Campus* (p. 116). Retrieved March 2022, from ecommons.udayton.edu website: https://ecommons.udayton.edu/cgi/viewcontent.cgi?article=1010&context=global_voices_3 ; <https://awakeningtimes.com/wp-content/uploads/2018/03/chakana-cross-pisaq.jpg>
- 151 ... **Fig. 357:** 4840Hz, Chladni Plates
brusspup. (2013). *Amazing Resonance Experiment*
Retrieved December 2020, from YouTube website: <https://www.youtube.com/watch?v=vvJAgUBF4w>
- 151 ... **Fig. 358:** *Chakana. Construction method*
Chakana (n.d.). Retrieved February 2022, from Wikipedia website: https://en.wikipedia.org/wiki/Chakana#Historical_evidence ; (Author: Huhsunqu) https://commons.wikimedia.org/wiki/File:Tawa_chakana_qillqana.svg
- 151 ... **Fig. 359:** *Different trepanation techniques.* Courtesy: Fernández Díaz-Formentí, J.M
Zuccaro, G. (2017). *The dawn of neurosurgery in pre-conquest Mesoamerican territories.* *Child's Nervous System*, 33(10), 1621–1629. <https://doi.org/10.1007/s00381-017-3464-4>
- 151 ... **Fig. 360:** *Depicts predominant areas of civilizations and of prescientific development*
Zuccaro, G. (2017). *The dawn of neurosurgery in pre-conquest Mesoamerican territories.* *Child's Nervous System*, 33(10), 1621–1629. <https://doi.org/10.1007/s00381-017-3464-4>
- 151 ... **Fig. 361:** *Oral cavity, Vavitas oris; maxillary sinus, Sinus maxillaris; orbit, Orbita; cranial cavity, Cavitas cranii; frontal section through the head of a 48-year-old male at the level of the second upper molar; the oral cavity, the maxillary sinus and the cranial cavity have been exposed; ventral vie.*
Johannes Sobotta. (2008). *Sobotta atlas of human anatomy: head, neck, upper limb, thorax, abdomen, pelvis, lower limb.* (R. Putz, R. Pabst, Dr. Med., & R. Putz, Eds.; S. Bedoui, Trans.; 14th ed., Vol. 1, p. 116). Elsevier/Urban & Fischer.
- 151 ... **Fig. 362:** *Brasero Tlaloc (Aztec god of rain) stone sculpture, Museo del Templo Mayor, Mexico City*
Aleto, T. (2007, August 2). *Tlaloc Mask Templo Mayor.* Retrieved March 2022 from Flickr website: <https://www.flickr.com/photos/ilhuicamina/3357792442>
- 151 ... **Fig. 363:** *Vessel with mask of Tlaloc c1440-1469. Fired clay and paint, 35 x 32 x 32cm Tlaloc was the Aztec god of rain whose image was widely used to decorate drinking and water-carrying vessels. Museo del Templo Mayor, Mexico City. Photo: Michel Zabe*
Aztecs. (2011). Retrieved March 2022 from The Guardian website: <https://www.theguardian.com/arts/pictures/image/0,8543,-10504540027,00.html>
- 152 ... **Fig. 364:** *van Heerden, Derrick Scott (2018). Music Geometry and Mathematics - The Source Code Revealed (p. 33-34). Unknown: Independently published (November 22, 2018).*
- 153 ... **Fig. 365:** *CymaScope*
Cymascope - Introduction. (2020, October). Retrieved March 2022 from Cymascope website: <https://cymascope.com/cymascope/>
- 153 ... **Fig. 366:** *Violin and CymaScope*
Cymascope - Introduction. (2020, October). Retrieved March 2022 from Cymascope website: <https://cymascope.com/musicology/>
- 153 ... **Fig. 367:** *Piano Notes - 1st Octave; music made visible*
Cymatics Research - Musicology (2020). Retrieved March 2022 from Cymascope website: <https://cymascope.com/musicology/>
- 153 ... **Fig. 368:** *Block diagram of signal processing route from signal source to CymaScope*
Kassewitz, J., & Hyson, M. T. (2016). *A Phenomenon Discovered While Imaging Dolphin Echolocation Sounds.* *Journal of Marine Science: Research & Development*, 6(4), 5. <https://doi.org/10.4172/2155-9910.1000202>

154... **Fig. 369:** Children watching an outdoor scene through a camera obscura. From A Ganot (Natural Philosophy) London, 1887

Children-scene-camera-obscura-1887. (2022). Retrieved March 2022 from Britannica.com website: <https://cdn.britannica.com/03/127503-050-125FD931/Children-scene-camera-obscura-1887.jpg>

154... **Fig. 370:** An illustration of the pinhole camera model. (a) The camera obscura, which is an early version of an actual physical camera that directly follows the pinhole camera model a. (b) The geometric principles behind the pinhole camera model. (a) The camera obscura, which is an early version of an actual physical camera that directly follows the pinhole camera model a. (b) The geometric principles behind the pinhole camera model

illustration of the camera obscura principle. (n.d.). Retrieved March 2022 from Wikimedia Commons website https://commons.wikimedia.org/wiki/File:001_a01_camera_obscura_abrazolas.jpg; & (details) Hofer, Manuel (2016/07/08). Building with Lines: Efficient 3D Scene Abstraction for the Built Environment. from researchgate.net website: https://www.researchgate.net/figure/An-illustration-of-the-pinhole-camera-model-a-The-camera-obscura-which-is-an-early_fig13_305402858; <https://doi.org/10.13140/RG.2.1.3108.7602>

154... **Fig. 371:** Dolphin head showing phonic lips or phonators
Kassewitz, J., & Hyson, M. T. (2016). A Phenomenon Discovered While Imaging Dolphin Echolocation Sounds. *Journal of Marine Science: Research & Development*, 6(4), 2. <https://doi.org/10.4172/2155-9910.1000202>

154... **Fig. 372:** Left: Schematic of hydrophones recording dolphin echolocating on a human subject underwater Right: Submerged human male.

Kassewitz, J., & Hyson, M. T. (2016). A Phenomenon Discovered While Imaging Dolphin Echolocation Sounds. *Journal of Marine Science: Research & Development*, 6(4), 7. <https://doi.org/10.4172/2155-9910.1000202>

154... **Fig. 373:** Human subject Echolocation; Left: Human subject approx. 6 ft. from dolphin, Right: Close up

Kassewitz, J., & Hyson, M. T. (2016). A Phenomenon Discovered While Imaging Dolphin Echolocation Sounds. *Journal of Marine Science: Research & Development*, 6(4), 7. <https://doi.org/10.4172/2155-9910.1000202>

154... **Fig. 374:** CymaScope recording of human subject. Left: 1/24 second frame before human image appears, Center: Raw image, Right: Enhanced image

Kassewitz, J., & Hyson, M. T. (2016). A Phenomenon Discovered While Imaging Dolphin Echolocation Sounds. *Journal of Marine Science: Research & Development*, 6(4), 8. <https://doi.org/10.4172/2155-9910.1000202>

154... **Fig. 375:** Interpretation of human body image showing features like the fingers, elbow, and weight belt. The image areas have been emphasized.

Kassewitz, J., & Hyson, M. T. (2016). A Phenomenon Discovered While Imaging Dolphin Echolocation Sounds. *Journal of Marine Science: Research & Development*, 6(4), 9. <https://doi.org/10.4172/2155-9910.1000202>

155 ... **Fig. 376:** An artist's impression a supernova. (Credit: NASA/ESA/G. Bacon, STScI) An artist's impression a supernova. (Credit: NASA/ESA/G. Bacon, STScI) Berkeley Lab and UC Berkeley scientists were part of a team that helped to decipher one of the most bizarre spectacles ever seen in the night sky: A supernova that refused to stop shining, remaining bright far longer than an ordinary stellar explosion.

Jr, G. R. (2017, November 8). The Mystery of the Star That Wouldn't Die. News Center. <https://newscenter.lbl.gov/2017/11/08/mystery-star-that-wouldnt-die/>

Διατύπωση υπόθεσης σχηματισμού αρχαίων λέξεων.

156 ... **Fig. 377:** «In 2006, archaeologists in Athens made the stunning discovery of a 2,300-year-old jar holding the bones of a dismembered chicken. Most remarkable was that 55 names were inscribed on the exterior of the jar (or chytra). Researchers have just decoded the message and believe these people were the targets of an ancient curse. [...] "All exterior surfaces of the chytra were originally covered with text; it once carried over 55 inscribed names, dozens of which now survive only as scattered, floating letters or faint stylus strokes," wrote Lamont, adding that nails "had an inhibiting force and symbolically immobilized or restrained the faculties of the victims." [...] The handwriting on the jar suggests that at least two different people were involved in the carvings. Lamont explained that this is "largely unprecedented in Greek curse tablets." Ultimately, more than 30 names are legible to this day, as are the words "we bind."»

Farley, A. (2021, June 8). Ancient Greek Jar Used To Curse People Unearthed With Sacrificed Chicken Bones And A List Of 55 Names. Retrieved April 2022, from All That's Interesting website: <https://allthatsinteresting.com/greek-curse-jar>

Lamont, J. L. (2021). The Curious Case of the Cursed Chicken: A New Binding Ritual from the Athenian Agora. *Hesperia: The Journal of the American School of Classical Studies at Athens*, 90(1), 79–113. Retrieved from https://muse.jhu.edu/article/819855#info_wrap

156 ... **Fig. 378:** (Shultz, 2020). «The distinctive art in Pinwheel Cave, which some argue represents a datura flower, was created with red ochre pigment that has faded with time. The design is visually enhanced on the right using a tool known as DStretch. Ph. By Devlyn Gandy(Native American). The ancient inhabitants of what became central and southern California used to ingest datura to «commune with deities through visions». In ancient Mexico, Datura also played an important role in the religion of the Aztecs and the practices of their medicine men and necromancers.[50] It was reportedly used by the Aztecs for ritual sacrifice and malevolent purposes as well»

Shultz, D. (2020, November 23). Californian cave artists may have used hallucinogens, find reveals. Retrieved March 2022, from Science.org website: <https://www.science.org/content/article/californian-cave-artists-may-have-used-hallucinogens-find-reveals>; Ganon, M. (2020, November 23). 400 years ago, visitors to this painted cave took hallucinogens. *Science*. Retrieved March 2022, from National Geographic website: <https://www.nationalgeographic.com/science/article/400-years-ago-visitors-painted-cave-took-hallucinogens?loggedin=true>

- 158 ... **Fig. 379:** *Le Corbusier's Ronchamp Chapel*
Photo © Trevor Patt. (2021, May 31). *Le Corbusier's Ronchamp Chapel / Notre Dame du Haut*. Retrieved March 2022, from ArchEyes website: <https://archeyes.com/ronchamp-chapel-le-corbusier/>
- 158 ... **Fig. 380:** *Undergraduate Architecture Project | "Restoration" of Historic Stairs by Petros Petrakis, Section Drawing and Photos by Petros Petrakis*
Petrakis, Petros. (2021, October 4). *Undergraduate Architecture Project | "Restoration" of Historic Stairs by Petros Petrakis* (p. 10-11). Retrieved March 2022, from Issuu website: https://issuu.com/petruspetrakis/docs/restoration_of_historic_stairs
- 158 ... **Fig. 381:** *Horse*
BARIŞCA PAYLAŞIMLAR. (n.d.). *ATLARLA DANS | Cavalos bonitos, Cavalos pintados, Fotografia de cavalos*. Pinterest. Retrieved March 2022, from Pinterest website: <https://ar.pinterest.com/pin/709528116283172456/>
- 160 ... **Fig. 382:** *Helps to the Study of the Bible: Comprising Summaries of the Several Books, with Copious Explanatory Notes and Tables Illustrative of Scripture History and the Characteristics of Bible Lands, Embodying the Results of the Most Recent Researches together with a Dictionary of Proper Names, a Biblical Index, Concordance, and a New Series of Maps. | Bible Illustrations. A series of plates illustrating Biblical Versions and Antiquities being an Appendix to Helps to The Study of The Bible. (1896). p. 38. Oxford University Press, London: Henry Warehouse. In Google Books. Retrieved March 2022 from <https://books.google.com/books?id=GPw6AAAAcAAJ&pg=RA2-PP2&dq>*
- 160 ... **Fig. 383:** *UsefulCharts. (2020). Evolution of the Alphabet | Earliest Forms to Modern Latin Script [YouTube Video]. In YouTube. <https://www.youtube.com/watch?v=3kGuN8WIGNc> ; πρβ Επιχώρια Αλφάβητα. Καραντζόλα, Ε. (n.d.). *Συστήματα Γραφής στο Μεσογειακό - Ενότητα 6: Αλφαβητική γραφή* (σ. 12, 15). Retrieved July 2021, from [eclass.aegean.gr](https://eclass.aegean.gr/modules/units/?course=TMS169&id=2381) website: <https://eclass.aegean.gr/modules/units/?course=TMS169&id=2381> Πανεπιστήμιο Αιγαίου, Τμήμα Μεσογειακών Σπουδών.*
- 161 ... **Fig. 384:** *Helps to the Study of the Bible: Comprising Summaries of the Several Books, with Copious Explanatory Notes and Tables Illustrative of Scripture History and the Characteristics of Bible Lands, Embodying the Results of the Most Recent Researches together with a Dictionary of Proper Names, a Biblical Index, Concordance, and a New Series of Maps. | Bible Illustrations. A series of plates illustrating Biblical Versions and Antiquities being an Appendix to Helps to The Study of The Bible. (1896). p. 39. Oxford University Press, London: Henry Warehouse. In Google Books. Retrieved March 2022 from <https://books.google.com/books?id=GPw6AAAAcAAJ&pg=RA2-PP2&dq>*
- 162 ... **Fig. 385:** *Plan of Sforzinda, 1457. Sforzinda is a visionary ideal city named after Francesco Sforza, then Duke of Milan. It was designed by Renaissance architect Antonio di Pietro Averlino (c. 1400 – c. 1469), also known as «Averulino» or «Filarete».*
Sforzinda. (2019). Wikipedia; Retrieved April 2022, from Wikimedia Foundation website: <https://en.wikipedia.org/wiki/Sforzinda> ; vgl. dazu eine farbige Abb. in: dtv-Atlas zur Baukunst, Bd.2, 4.Auflage, 1985, S. 432
- 162 ... **Fig. 386:** *The stars play a key role in helping our super hero find his way around. But if our priest Anen had been with him, he would not have had any problems. Anen «knows the procession of the sky,» i.e. he could read the movement of the stars. To display this ability, he wears a leopard skin sprinkled with five-pointed stars... Don't they remind you of starfish? The Egyptian sky was conceived of as an immense body of water, which at night was populated by living spirits, the stars, which is why the Egyptians decided to represent them as aquatic creatures, as starfish. Statue of Anen, 2nd priest of Amon. Granodiorite. New Kingdom, 18th Dynasty (1390-1353 BC)*
Statue of Anen, 2nd priest of Amon. Granodiorite. New Kingdom, 18th Dynasty (1390-1353 BC) (2020). Retrieved March 2022 from museutorino.it (instagram: @museoegizio) website: [instagram.com/p/B_rmZrSADzC/?igshid=YmMyMTA2MjY=](https://www.instagram.com/p/B_rmZrSADzC/?igshid=YmMyMTA2MjY=)
- 162 ... **Fig. 387:** *«Rose window in the North transept of CharlesCathedral. «Its divine geometry is among its finest glories. Everything in the window is generated from the properties of the square within the circle» (Painton Cowen).» (Wells, 1981, σ. 40)*
Wells, R. H. (1981). *Number symbolism in the renaissance lute rose. Early Music* (p. 40), 9(1), 32–42. <https://doi.org/10.1093/earlyj/9.1.32>
- 163 ... **Fig. 388:** *Sarnat, V. (2017, September 9). Giza Pyramids - Ultimate Geometric solution in the Hebrew Bible. Retrieved February 2022, from YouTube website: <https://www.youtube.com/watch?v=wEK0cLd5LPU&list=PL9k3hdn4a6WoY9w84Q5rMtZNCYqN2NRb&index=2&t=929s>*
- 164 ... **Fig. 389:** *Portrait of Alessandro Piccolomini, half-length, facing front, wearing hooded mozetta and hat, and pointing to an open book in front of him; illustration from André Thevet's "Les vrais portraits et vies des hommes illustres" (Paris, 1584), p. 586. Engraving with letterpress below and on verso. The British Museum. R.N. 1879,1213.288. (n.d.). The British Museum. Retrieved April 18, 2022, from https://www.britishmuseum.org/collection/object/P_1879-1213-288*
- 164 ... **Fig. 390:** *Bayer. (1661). Uranometria Leaf 49 Southern Constellations. Retrieved April 2022, from Commons.wikimedia.org website: https://commons.wikimedia.org/wiki/File:Bayer-1661-Uranometria-Leaf_49-Southern_Constellations.jpeg*

166 ... **Fig. 391:** Rock carving on Massleberg farm in Skee parish, Strömstad municipality in Bohuslen. Bronze Age. south-western Sweden. Massleberg 1 rock art (RAÄ-Number: Skee 614:1)

Massleberg 1 rock art. (2019). Retrieved April 2022, from Wikipedia website: https://en.wikipedia.org/wiki/Massleberg_1_rock_art ; https://en.wikipedia.org/wiki/File:Str%C3%B6mstad_Massleberg_Skee_614-1_IMG_8921_ID_10159506140001.JPG

166 ... **Fig. 392:** Aggarwal, Y. P., Belmonte, J. A., Brown, W. P., Campion, N., Marciano da Silva, C., Gullberg, S. R., Iwaniszewski, S., Kak, S., Kragh, H., Joseph, R. G., Pankenier, D. W., Pásztor, E., McKim Malville, G. M. J., & Šrajc, I. (2015). *Ancient Astronomy of India, Egypt, China, Maya, Inca, Aztec, Greece, Rome, Genesis, Hebrews, Christians, the Neolithic and Paleolithic* (p. 352). Cosmology Science Publishers. (Original work published 2011)

166 ... **Fig. 393:** Aggarwal, Y. P., Belmonte, J. A., Brown, W. P., Campion, N., Marciano da Silva, C., Gullberg, S. R., Iwaniszewski, S., Kak, S., Kragh, H., Joseph, R. G., Pankenier, D. W., Pásztor, E., McKim Malville, G. M. J., & Šrajc, I. (2015). *Ancient Astronomy of India, Egypt, China, Maya, Inca, Aztec, Greece, Rome, Genesis, Hebrews, Christians, the Neolithic and Paleolithic* (p. 352). Cosmology Science Publishers. (Original work published 2011)

166 ... **Fig. 394:** Faenza, B. (2021, July 22). *Nut e Geb: cielo e terra amanti nell'antico Egitto*. *Storicang.it*. https://www.storicang.it/a/nut-e-geb-cielo-e-terra-amanti-nellantico-egitto-2_15269

166 ... **Fig. 395:** Box of the outer coffin of Butehamon. Wood. 3rd Intermediate Period (1076-944 BC). Museo Egizio, Torino. Retrieved February 2022, from Instagram website: http://www.instagram.com/p/CN9tu59qYEy/?utm_medium=copy_link

166 ... **Fig. 396:** Aggarwal, Y. P., Belmonte, J. A., Brown, W. P., Campion, N., Marciano da Silva, C., Gullberg, S. R., Iwaniszewski, S., Kak, S., Kragh, H., Joseph, R. G., Pankenier, D. W., Pásztor, E., McKim Malville, G. M. J., & Šrajc, I. (2015). *Ancient Astronomy of India, Egypt, China, Maya, Inca, Aztec, Greece, Rome, Genesis, Hebrews, Christians, the Neolithic and Paleolithic* (p. 351). Cosmology Science Publishers. (Original work published 2011)

166 ... **Fig. 397:** Aggarwal, Y. P., Belmonte, J. A., Brown, W. P., Campion, N., Marciano da Silva, C., Gullberg, S. R., Iwaniszewski, S., Kak, S., Kragh, H., Joseph, R. G., Pankenier, D. W., Pásztor, E., McKim Malville, G. M. J., & Šrajc, I. (2015). *Ancient Astronomy of India, Egypt, China, Maya, Inca, Aztec, Greece, Rome, Genesis, Hebrews, Christians, the Neolithic and Paleolithic* (p. 351). Cosmology Science Publishers. (Original work published 2011)

167 ... **Fig. 398:** Cross section of the original state of the Great Pyramid with details of the «Mars position» and its environment (upper inset) during the astronomical events in the year 3088 AD. The levels of the courses were measured by W. M. F. Petrie [6, Map VIII]. The shape of the blocks of stone around the opening of the southern air shaft is taken from a drawing of Maragioglio and Rinaldi [9, part IV, map 2, Fig. 2]. This drawing, where we find also the numbers of the courses, was published in 1965. Today, in the year 2014 some more blocks have been removed around the mouth of the air shaft. So, the reader can compare the state of 1965 with the situation at present. by Hans Jelitto

Jelitto, Hans. (2015). *Planetary Correlation of the Giza Pyramids - P4 Program Description. Technical Report. In ResearchGate* (2nd ed., p. 76). Hans Jelitto, Ewaldsweg 12, D-20537 Hamburg, Germany. Retrieved April 2022, from Researchgate website: https://www.researchgate.net/figure/Cross-section-of-the-original-state-of-the-Great-Pyramid-with-details-of-the-Mars_fig11_279852699 ; <https://doi.org/10.13140/RG.2.15135.2164> (Original work published 2014)

Τρισδιάστατη σχηματική απόδοση υπόθεσης.

Ανακεφαλαίωση υπόθεσης.

170 ... **Fig. 399:** Engraving of Lord Monboddoo by C. Sherwin, 1787 (after John Brown). Source: William Angus Knight, *Lord Monboddoo and Some of His Contemporaries*, London, J. Murray, 1900.

James Burnett. (2019, February 9). Retrieved April 2022, from Wikipedia website: https://en.wikipedia.org/wiki/James_Burnett ; https://en.wikipedia.org/wiki/File:Lord_Monboddoo01.jpg

170 ... **Fig. 400:** Ržiha, Franz von: Studien über Steinmetz-Zeichen ; T.3, Von dem graphischen Principe der Steinmetz-Zeichen. 1883

Ržiha, Franz von. (1883). *Studien über Steinmetz-Zeichen ; T.3, Von dem graphischen Principe der Steinmetz-Zeichen. In bildsuche.digitale-sammlungen.de* (p. 103). Wien: Kaiserlich-Königliche Hof- und Staatsdr. Retrieved April 2022, from <https://bildsuche.digitale-sammlungen.de/index.html?c=view&r&bandnummer=bsb00103913&pimage=19&v=100&nav=&l=en>

172 ... **Fig. 401:** Sarri, F. (n.d.). Μάστορας πελεκάει και κτίζει την πέτρα. Πυρσόγιαννη, Ηπειρος, Ελλάς, 1993. Retrieved August 5, 2021, from fanisarri.gr website: <http://www.fanisarri.gr/photo.php?thumb&album=a14&id=p403>

172 ... **Fig. 402:** Hammer (n.d.) Retrieved April 2022, from freepngimg website: <https://freepngimg.com/png/2818-hammer-png-image-picture>

Αναγωγές των 112 λέξεων των 14 γλωσσών σε κύκλους.

- 191 ... **Fig. 403:** *Prometheus Bound and the Oceanids* (German: Prometheus, beklagt von den Okeaniden); the sea nymphs try to comfort Prometheus; marble sculpture (marble Carrara), captivated (1872-1879) by Eduard Müller (1828-1895); Height: 302 cm, Width: 149cm, Depth: 137 cm; I.N. B I 33. Alte Nationalgalerie Berlin, Blin (Germany)

Guterland, M. (2013, October 1). Prometheus, captivated (1872-1879) by Eduard Müller (1828-1895); Museumsinsel Berlin-Mitte, Berlin (Germany). Retrieved May 15, 2022, from Wikimedia Commons website: https://commons.wikimedia.org/wiki/File:Prometheus_und_die_okeaniden_1879.jpg

- 193 ... **Fig. 404:** Giampietro Zanotti, Artist: Bartolomeo Crivellari (Italian, active 18th century), Artist: Intermediary draftsman Gabriel Söderling (Swedish, active 1756), & Artist: After Pellegrino Tibaldi (Italian, Puria di Valsolda 1527 1596 Milan). (1756). Minerva assisting Prometheus as he attempts to scale the heavens. Sheet (Trimmed): 31.5 × 14.1 cm, Etching and engraving. Metropolitan Museum of Art. A.N. 62.602.525(27). Retrieved April 2022, from picryl website: <https://picryl.com/media/minerva-assisting-prometheus-as-he-attempts-to-scale-the-heavens-001a91>

14 Αλφάβητα. Παραδείγματα ανά ζεύγη λέξεων.

- 214 ... **Fig. 405:** Barrie Britton / NPL. (2022). Feral Ginger cat in front of Pyramid (Felis catus) Giza Eyp. Retrieved April 2022, from Mindenpictures website: <https://www.mindenpictures.com/search?s=Giza>

- 214 ... **Fig. 406:** Goddess Bastet shown as an ancient Egyptian lady with the head of a cat. In HER hands SHE holds the Sistrum. The statue is a modern replication of an antique antetype.

Bastet dame katzenkopf. (n.d.). Commons.wikimedia.org. Retrieved April 2022, from https://en.wikipedia.org/wiki/File:Bastet_dame_katzenkopf.jpg

- 215 ... **Fig. 407:** Irigaray, C. (2020, April 17). The Pyramids of Sneferu (p. 28). Academia.edu. Retrieved April 2022, from academia.edu website: https://www.academia.edu/42770465/The_Pyramids_of_Sneferu?email_work_card=view-paper

- 214 ... **Fig. 408:** Irigaray, C. (2020, April 17). The Pyramids of Sneferu (p. 43). Academia.edu. Retrieved April 2022, from academia.edu website: https://www.academia.edu/42770465/The_Pyramids_of_Sneferu?email_work_card=view-paper

- 214 ... **Fig. 409:** Piña-Flores, J., Cárdenas-Soto, M., Sarabia-González, A., García-Jerez, A., Sierra-Álvarez, C. A., Sáenz-Castillo, M. A., Luzón, F., & Sánchez-Sesma, F. J. (2021). Imaging the structure of the Sun Pyramid (Teotihuacán, Mexico) from passive seismic methods. *Engineering Geology*, 281, 105969. <https://doi.org/10.1016/j.enggeo.2020.105969>

- 218 ... **Fig. 410:** Maiconfz. (n.d.). Earth. Retrieved April 2022, from Pixabay website: <https://pixabay.com/illustrations/globe-earth-world-transparency-1348777/>

- 218 ... **Fig. 411:** Earth, Cube. By Petros Petrakis. 3D modeling. Blender (free software)

- 222... **Fig. 412:** FunSpanish. (2016, October 18). Day of the Dead Celebration in Sumpango, Guatemala - FunForSpanishTeachers. Retrieved April 2022, from FunForSpanishTeachers website: <https://funforspanishteachers.com/2016/10/day-of-the-dead-celebration-in-sumpango-guatemala/>

- 223 ... **Fig. 413:** avalontree. (n.d.). Eagle. Retrieved April 2022, from Pixabay website: <https://pixabay.com/illustrations/eagle-birds-animals-bald-eagle-6685975/>

- 226 ... **Fig. 414:** Vitruvian Man, illustration in the edition of *De architectura* by Vitruvius (XLIX); illustrated edition by Cesare Cesariano (1521)

Pentagram from Heinrich Cornelius Agrippas *De occulta philosophia libri tres* (1533). The symbols in the circle represent Mars, Jupiter, Saturn, Mercury and Venus. In the belly is the sign for Sun, and under the cross is the sign for Moon

- 226 ... **Fig. 415:** Leonardo da Vinci. c. 1490. Pen and ink with wash over metalpoint on paper. 34.6 cm × 25.5 cm (13.6 in × 10.0 in). Gallerie delbAccademia, Venice, Italy

Vitruvian Man. (2019, February 4). Wikipedia; Retrieved January 2022, from Wikimedia Foundation website: https://en.wikipedia.org/wiki/Vitruvian_Man

- 226 ... **Fig. 416:** Pentagram from Heinrich Cornelius Agrippas *De occulta philosophia libri tres* (1533). The symbols in the circle represent Mars, Jupiter, Saturn, Mercury and Venus. In the belly is the sign for Sun, and under the cross is the sign for Moon

Agrippa von Nettesheim, Heinrich Cornelius. (1533). *De Occulta Philosophia* (CLXIII); 1486-1535. Retrieved December 2019, from Internet Archive website: <https://archive.org/details/DeOccultaPhilosophiaLoc1533>

- 227 ... **Fig. 417:** 40 Days After Birth, Relaxing & Thinking about the Letters of Alphabets and Architecture!

Baby Photo Album of Petros Petrakis (Author)

- 234 ... **Fig. 418:** From the manuscript Codex Gigas. Photo by: National Library of Sweden / Claes Jansson / Per B Adolphson The portrait of the Devil is the most famous image in the Codex Gigas (f. 290r), and it is the cause of the book's nickname, the Devil's Bible. The Devil is shown alone, in an empty landscape, within a frame formed by two large towers. He is crouching with his arms held up (he has only four fingers and toes) and wears an ermine loin cloth. Ermine is usually associated with royalty, and its use here is to emphasise the position of the Devil as the prince of darkness. The God Marduk and his snake-dragon (mušhuššu). Detail from a large lapis lazuli cylinder dedicated to Marduk by the Babylonian king Marduk-zakir šumi (c. 854-819BC).

National Library of Sweden (2007a, August 16). Codex Gigas (portrait of the devil). Retrieved April 2022, from Flickr website: <https://www.flickr.com/photos/25300312@N08/4698623809>

- 235 ... **Fig. 419:** Guardian angel nimbed, wearing diadem (crown), holding open book with both hands on gold ground. Margins decorated with rectilinear bars with vines. Book of Hours. Netherlands, perhaps Delft, 1415-1420. MS M.866 fol. 112v

The Morgan Library & Museum, New York. (n.d.). Book of Hours, MS M.866 fol. 112v - Images from Medieval and Renaissance Manuscripts - The Morgan Library & Museum. Retrieved April 2022, from ica.themorgan.org website: <http://ica.themorgan.org/manuscript/page/56/76934>

- 240 ... **Fig. 420:** Seal with decorative hexagram to impress on bread (?), between 7th century and 9th century. A.N. 140197, ground floor. National Museum in Warsaw (n.d.). Wikimedia Commons. Retrieved April 2022, from https://commons.wikimedia.org/wiki/File:Egypt_Seal_with_decorative_hexagram_02.jpg
- 241 ... **Fig. 421:** The God Marduk and his snake-dragon (mušhuššu). Detail from a large lapis lazuli cylinder dedicated to Marduk by the Babylonian king Marduk-zakir šumi (c. 854-819BC). Black, Jeremy A., & Green, Anthony (2004). Gods, demons, and symbols of ancient Mesopotamia: an illustrated dictionary (Tessa Rickards, Illustrations; 2nd ed., p. 129). London: The Trustees of The British Museum. (Original work published 1992); Franz Heinrich Weißbach (1903), Babylonischen Miscellen (p. 4). Wissen-schaftliche Veröffentlichungen der Deutschen Orient-Gesellschaft. In [archive.org](https://archive.org/details/babylonischenmis00weis/page/16/mode/2up?view=theater). Retrieved April 2022, from <https://archive.org/details/babylonischenmis00weis/page/16/mode/2up?view=theater>
- 242 ... **Fig. 422:** Leonardo da Vinci. c. 1490. Pen and ink with wash over metalpoint on paper. 34.6 cm × 25.5 cm (13.6 in × 10.0 in). Gallerie dell'Accademia, Venice, Italy
Vitruvian Man. (2019, February 4). Wikipedia; Wikimedia Foundation. https://en.wikipedia.org/wiki/Vitruvian_Man
- 244 ... **Fig. 423:** Retrieved April 2022, from @igstormchasers instagram prof. website: https://instagram.com/ig_stormchasers?igshid=YmMyMTA2M2Y=
- 244 ... **Fig. 424:** Jupiter of Smyrna (Zeus), Statue, Marble, Height 234cm, Department of Greek, Etruscan, and Roman Antiquities of the Louvre salle du Manège. Musée Du Louvre. N.C. Ma 13, N.I. MR 255. Retrieved April 2022, from commons.wikimedia.org website: <https://collections.louvre.fr/en/ark:/53355/cl010275445>; <https://collections.louvre.fr/en/ark:/53355/cl010275445>
- 246 ... **Fig. 425:** (Gardthausen, V. (Viktor Emil) & Robarts - University of Toronto, 1911, σ. 60-64). Christ-Kreu monks liked to choose a cross, around which they either grouped the letters or they also arranged the letters in long and short lines so that their outlines form a cross.
The fondness for this gimmick extended so far that in the famous (Josuarotulus) of the Vatican Library, even the position of the inscription became cruciform
Gardthausen, V. (Viktor Emil), & Robarts - University of Toronto. (1911). Griechische palaeographie (p. 303). In Internet Archive. Retrieved February 2022, from <https://archive.org/details/griechischepalae02gard/page/110/mode/2up>
- 246 ... **Fig. 426:** Votive plaque depicting elements of the Eleusinian Mysteries. National Archaeological Museum, Athens
Marsyas. (2005). NAMA Mystères d'Eleusis. Retrieved April 2022, from Wikimedia.org website: https://commons.wikimedia.org/wiki/File:NAMA_Myst%C3%A8res_d%27Eleusis.jpg
- 247 ... **Fig. 427:** Ahura Mazda, symbol from a doorway of the main hall of the Council Hall, Persepolis, Iran.
Courtesy of The Oriental Institute of The University of Chicago
The Editors of Encyclopaedia Britannica. (n.d.). Ahura Mazda | Zoroastrian deity. Retrieved April 2022, from Encyclopedia Britannica website: <https://www.britannica.com/topic/Ahura-Mazda>
- 260 ... **Fig. 428:** The Sun, four-armed and cross-legged sitting on a throne, with two nimbi (emanations of light surrounding a saint or deity) encompass the face and with two lions sitting either side, from Persian Manuscript 373
The Sun from Persian Manuscript 373. (n.d.). Retrieved April 27, 2022, from Wellcome Collection website: <https://wellcomecollection.org/works/tuqk8sxxk>
- 261 ... **Fig. 429:** From an an alchemical illuminated manuscript, the conjunction of the moon and sun or silver and gold, represented by a queen and king. She stands on the full moon, he stands on fire. Splendor Solis. 1582. British Library.
The Conjunction of The Moon and Sun or Silver and Gold. (n.d.). Retrieved April 2022, from Nemfrog website: <https://nemfrog.tumblr.com/post/179404019237/from-an-an-alchemical-illuminated-manuscript-the>
- 266 ... **Fig. 430:** Votive plaque depicting elements of the Eleusinian Mysteries. National Archaeological Museum, Athens
Marsyas. (2005). NAMA Mystères d'Eleusis. Retrieved April 2022, from Wikimedia.org website: https://commons.wikimedia.org/wiki/File:NAMA_Myst%C3%A8res_d%27Eleusis.jpg
- 267 ... **Fig. 431:** Firewalking. Academia of Plato, Athens, Greece
Tsakiris, Spyros, & Galanopoulou, Gwgu (ph.). (2021, May 23). Ακαδημία Πλάτωνα: Μυσταγωγία και έκσταση στην "ιερή πυρά." Retrieved April 2022, from Carnet de Voyage website: <https://carnetdevoyage.gr/25236-2/>
- 267 ... **Fig. 432:** Firewalking. Sri Lanka.
Jones, A. (2022, January 29). Fire walking on Sri Lanka. Retrieved April 2022, from Wikipedia website: [https://en.wikipedia.org/wiki/Firewalking#/media/File:Fire_Walking_\(1234969885\).jpg](https://en.wikipedia.org/wiki/Firewalking#/media/File:Fire_Walking_(1234969885).jpg)
- 267 ... **Fig. 433:** Buddhist Monks Lead Japanese Fire-walking Festival
Whitaker, J. (2021, March 16). Buddhist Monks Lead Japanese Fire-walking Festival. Retrieved April 2022, from Buddhistdoor Global. website: <https://www.buddhistdoor.net/news/buddhist-monks-lead-japanese-fire-walking-festival/>
- 267 ... **Fig. 434:** Firewalking. Polynesia
Dirnhuber, J. (2018, August 1). What is firewalking, how do people walk on hot coals and which cultures practise it? Retrieved April 2022, from The Sun website: <https://www.thesun.co.uk/news/6917766/firewalking-hot-coals-culture-ritual/>
- 270 ... **Fig. 435:** Poseidon, the god of the sea in Greek mythology.
Water deity. (n.d.). Myths and Folklore Wiki. Retrieved April 2022, from https://mythus.fandom.com/wiki/Water_deity
- 270 ... **Fig. 436:** Vellamo is the goddess of water, lakes and seas in Finnish mythology
Vellamo is the goddess of water, lakes and seas in Finnish mythology. (2021, July 29). Retrieved April 2022, from Wikipedia website: <https://en.wikipedia.org/wiki/Vellamo>

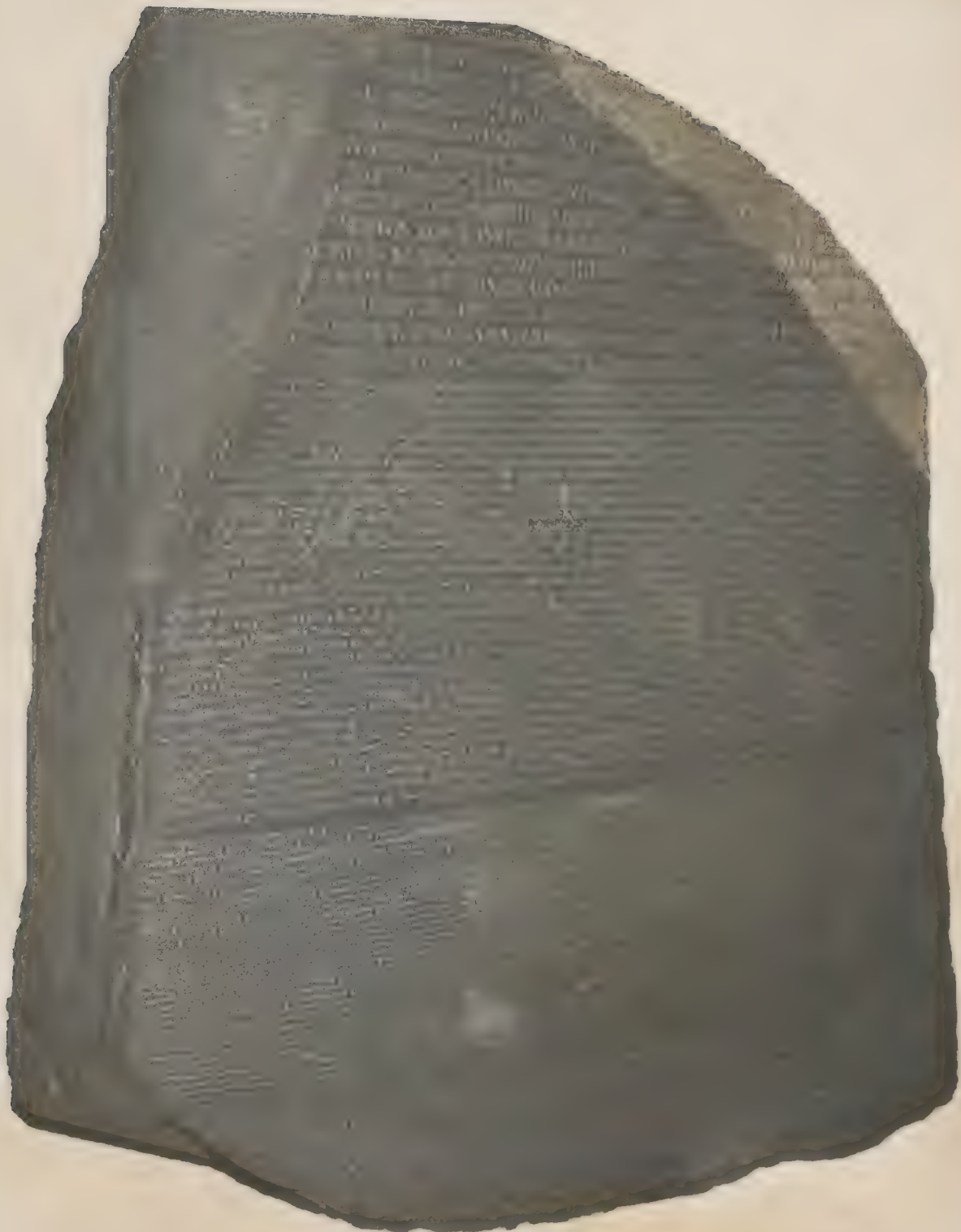
- 270 ... **Fig. 437:** Detail of Enki (Sumerian God of creation, intelligence, crafts, water, seawater, lakewater, fertility, semen, magic, mischief) from the Adda Seal, an ancient Akkadian cylinder seal dating to circa 2300 B. A couchant bull lies between his legs and streams of water and fish flow from his shoulders. Detail of the Adda seal, British Museum. BM N. 89115.
Enki (detail of the Adda seal, British Museum 89115). (n.d.). Retrieved April 27, 2022, from Commons. [wikimedia.org website: https://en.wikipedia.org/wiki/File:Enki\(Ea\).jpg](https://en.wikipedia.org/wiki/File:Enki(Ea).jpg)
- 270 ... **Fig. 438:** John Baptist, nimbed, wearing garment of animal skin with head and tail, holding lantern with left hand, indicates with right hand Lamb of God, crossed nimbus, standing at feet of John. Lamb holds bannered cross-staff, and looks up at John. Background of blue with white vine scroll. Margins decorated with rectilinear bars with vines. Book of Hours, MS M.866 fol. 114v - Images from Medieval and Renaissance Manuscripts - The Morgan Library & Museum. Book of Hours, MS M.866 fol. 114v - Images from Medieval and Renaissance Manuscripts - The Morgan Library & Museum. (n.d.). Retrieved April, 2022, from ica.themorgan.org website: <http://ica.themorgan.org/manuscript/page/57/76934>
- 270 ... **Fig. 439:** Leaf with a full-page miniature on each side: on recto (i) Resurrection with Christ stepping from tomb over sleeping soldiers (ii) scene of Ascension of Christ; on verso, Christ in Majesty with Evangelist symbols. Museum, V. and A. (n.d.). Germany (Upper Rhine). ca.1250.
Museum, V. and A. (n.d.). Leaf from a Psalter; Resurrection and Ascension on recto and Christ in Majesty on verso; Germany (Upper Rhine); ca.1250. Victoria and Albert Museum: Explore the Collections; V&A Explore The Collections. Retrieved April 27, 2022, from <https://collections.vam.ac.uk/item/O125593/leaf-from-a-psalter-manuscript-cutting/>
- 271 ... **Fig. 440:** Destruction of Leviathan (sea serpent noted in hebrew theology & mythology), 1865 engraving by Gustave Doré
Doré, G. (1865). Destruction of Leviathan (sea serpent noted in hebrew theology & mythology), 1865 engraving by Gustave Doré. Wikimedia Commons. https://commons.wikimedia.org/wiki/File:Destruction_of_Leviathan.png
- 271 ... **Fig. 441:** Deity of water, mistress of lakes, rivers and seas from the Codex Borbonicus the goddess Chalchiuhtlicue, symbol of Venus.
Minassian, V. T. (2014, November 28). Aztec manuscript under the microscope. The Guardian. <https://www.theguardian.com/world/2014/nov/28/codex-borbonicus-aztec-manuscript-date>
- 271 ... **Fig. 442:** Varuna, the Lord of the All the Water Bodies Water deity. (n.d.). Myths and Folklore Wiki. Retrieved April 2022, from https://mythus.fandom.com/wiki/Water_deity
- 271 ... **Fig. 443:** Matsya, the Fish Avatar of Vishnu Water deity. (n.d.). Myths and Folklore Wiki. Retrieved April 2022, from https://mythus.fandom.com/wiki/Water_deity
- 276 ... **Fig. 444:** Yellow Day Lily (Lemon Day Lily). *Hemerocallis lilioasphodelus* L.
pixel2013. (n.d.). Yellow Day Lily (Lemon Day Lily). *Hemerocallis lilioasphodelus* L. Retrieved April 2022, from <https://pixnio.com/el/φυτά/λουλούδια/κρίνοι/κίτρινο-κρίνος-λουλούδι-ύπερο-φύλλο>
- 280 ... **Fig. 445:** Helmet of Miltiades». The helmet was given as an offering to the temple of Zeus at Olympia by Miltiades. Inscription on the helmet: ΜΙΛΤΙΑΔΕΣ ΑΝΕ[Θ]ΕΚΕΝ [Τ]ΟΙ ΔΙ («Miltiades dedicates this helmet to Zeus»).[29] Archaeological Museum of Olympia
Rozen, O. (2011, September 5). Helmet of Miltiades the Younger, Archaeological Museum of Olympia. Retrieved April 2022, Wikimedia Commons website: https://commons.wikimedia.org/wiki/File:Helmet_of_Miltiades_050911.jpg ; <https://en.wikipedia.org/wiki/Miltiades>
- 281 ... **Fig. 446:** (Rozen, 2011). «It is a ceremonial sword used during the coronation of the British monarchs. It is considered to be one of the Crown Jewels of the United Kingdom, and its end is blunt and squared, to symbolize mercy. It has been in use since 1236 and is linked with many legends.»
(11 Famous Swords from History and Mythology That Have Intense Back Stories, 2015)
- 281 ... **Fig. 447:** (Rozen, 2011). «Zulfiqar is the legendary sword of Ali ibn Abi Talib (cousin and son-in-law of the Islamic prophet Muhammad), given to him by Muhammad, according to legends. It was generally depicted as a scissor-like double bladed sword on Muslim flags. It is also commonly shown in Shi'ite depictions of Ali and in the form of jewelry functioning as talismans or as a scimitar (a short sword with a curved blade) terminating in two points. Often, quotes mentioning this sword are inscribed on Islamic swords. Also, as a reference to this legendary sword, Islamic swords are sometimes made with a split tip.»
(11 Famous Swords from History and Mythology That Have Intense Back Stories, 2015)

14 Αλφάβητα & Ο Μετουσιωτής.

- 282 ... **Fig. 448:** Bronze statue of Giordano Bruno by Ettore Ferrari (1845-1929), Campo de' Fiori, Rome.
(Giordano Bruno, n.d.)
Giordano Bruno (1548-1600 AC) was an Italian Dominican friar, philosopher, mathematician, poet, cosmological theorist, and Hermetic occultist. He is known for his cosmological theories, which conceptually extended the then novel Copernican model. He proposed that the stars were distant suns surrounded by their own planets, and he raised the possibility that these planets might foster life of their own, a cosmological position known as cosmic pluralism. He also insisted that the universe is infinite and could have no «center»
Giordano Bruno. (n.d.). Wikipedia. Retrieved April 2022, from wikipedia website: https://sco.wikipedia.org/wiki/Giordano_Bruno ; https://en.wikipedia.org/wiki/Giordano_Bruno
- 285 ... **Fig. 449:** Peace. Buddhist, Monk, Meditation. countermarch. (n.d.). Buddhist, monk, meditation. Retrieved April 2022, from Pxher website: <https://pxhere.com/en/photo/1643973>

- 295 ... **Fig. 450:** *Thoughts*. (2021). Retrieved August 5, 2021, from Staticflickr.com website: https://live.staticflickr.com/8695/16900523561_a78cfd93a_b.jpg
Bourguery & Jacob : Anatomie de l'Homme, Guérin Ed., Paris 1962. (2020). Retrieved March 2022, wikimedia.org website: https://commons.wikimedia.org/wiki/File:Bourguery_%26_Jacob-cs04cl.jpg
- 298 ... **Fig. 451:** *The Leap Motion Controller is an optical hand tracking module that captures the movements of your hands with unparalleled accuracy. From XR to touchless kiosks, the Leap Motion Controller makes interaction with digital content natural and effortless.*
 Ultraleap. (n.d.-a). *Tracking | Leap Motion Controller*. Retrieved May 2022, from ultraleap website: <https://www.ultraleap.com/product/leap-motion-controller/>
- 298 ... **Fig. 452:** *Euclidion Hologram Table*
 Geo Week News Staff. (n.d.). *What you need to know about Euclidean's Hologram Table at SPAR 3D 2018*. Retrieved February 2022, from geoweeknews website: <https://www.geoweeknews.com/news/euclidean-hologram-table-spar18>
- 299 ... **Fig. 453:** *The NextMind brain-computer interface decodes neural activity in real time, giving you the ability to control objects using only your mind.*
 Skarredghost. (2021, March 4). *NextMind Review: select objects using your brain powers*. Retrieved May 2022, from The Ghost Howls website: <https://skarredghost.com/2021/03/04/nextmind-review-bci-vr/> ; Virtual Reality Oasis (2021). *VR Mind Control Is HERE! And It Works!*. Retrieved May 2022, from YouTube website: https://www.youtube.com/watch?v=SMXfyZc_Gvg
- 299 ... **Fig. 454:** *HoloLamp*. (2018, January 4). *Future of Architecture with HoloLamp*. Retrieved February 2022, from YouTube website: <https://www.youtube.com/watch?v=DgTclwhK5zg>
- 304 ... **Fig. 455:** *Thoughts*. (2021). Retrieved August 5, 2021, from Staticflickr.com website: https://live.staticflickr.com/8695/16900523561_a78cfd93a_b.jpg
Bourguery & Jacob : Anatomie de l'Homme, Guérin Ed., Paris 1962. (2020). Retrieved March 2022, wikimedia.org website: https://commons.wikimedia.org/wiki/File:Bourguery_%26_Jacob-cs04cl.jpg
- 304 ... **Fig. 456:** *New Turing AI fellows to deliver world-class AI research*. (2020, November 27). Retrieved February 2022, from ukri.org website: <https://www.ukri.org/news/new-turing-ai-fellows-to-deliver-world-class-ai-research/>
- 304 ... **Fig. 457:** *Matteson, S. (2021, January 11). How AI is improving operational efficiencies across oil and gas, healthcare, and more*. Retrieved February 2022, from TechRepublic website: <https://www.techrepublic.com/article/how-ai-is-improving-operational-efficiencies-across-oil-and-gas-healthcare-and-more/>

Βιβλιογραφία



Wikipedia
Contributors.
(2019). *Rosetta
Stone*. Wikipedia;
Wikimedia
Foundation.
Retrieved March
2022, from
wikipedia website:
[https://en.wikipedia.org/
wiki/Rosetta_Stone](https://en.wikipedia.org/wiki/Rosetta_Stone)

Μελέτες

Ξενόγλωσσες Μελέτες

- Abrams, Meyer Howard (1991). *Doing Things with Texts: Essays in Criticism and Critical Theory*. W. W. Norton & Company. In Google Books. Retrieved March 2022, from https://www.google.com/books/edition/Doing_Things_with_Texts/XTygZxd-WlycC?hl=en&gbpv=1&dq=in+the+natural+instinct+exist+the+imitation+of+things&pg=PA5&printsec=frontcover
- Akinshin, A. (2019). *Pro .NET Benchmarking* (p. 580). Apress: Berkeley, CA <https://doi.org/10.1007/978-1-4842-4941-3> ; . In Google Books. Retrieved March 2022 from https://www.google.com/books/edition/Pro_.NET_Benchmarking/TXCFDwAAQBAJ?hl=en&gbpv=1&dq=human+eye+430-770+Thz&pg=PA580&printsec=frontcover
- Applaydin, E. (2017). *Introduction to Machine Learning*. 3rd edn. Cambridge, Massachusetts: The MIT Press
- Assmann, J. (2001). *The search for God in ancient Egypt* (D. Lorton Trans.). Ithaca : Cornell University Press. Retrieved April 2022, from Archive website: <https://archive.org/details/searchforgodinan00assm/page/82/mode/2up?view=theater>
- Bakken, B., Børge, B., & Bakken, S. R. B. (2000). *The Exemplary Society: Human Improvement, Social Control, and the Dangers of Modernity in China*. Oxford University Press. In Google Books. Retrieved March 2022, from https://www.google.com/books/edition/The_Exemplary_Society/xJTU4e9g6O8C?hl=en&gbpv=1&dq=natural+instinct+imitation&pg=PA134&printsec=frontcover
- Betrò, Maria Carmela. (1996). *Hieroglyphics : the writings of ancient Egypt*. New York: Abbeville Press.
- Bond, A., & Hemsell, M. (2008). *A Sumerian observation of the Köfels' impact event: a monograph*. Great Britain: Alcuin Academics.
- Billig, M. (1991). *Ideology and Opinions: Studies in Rhetorical Psychology* (p. 201). London, California, New Delhi: Sage. In Google Books. Retrieved February 2022, from <https://books.google.com.kh/books?id=sc5i8C-9IHMC&pg=PA201&dq>
- Bonfitto, Peter Louis. (2021). *World architecture and society: from Stonehenge to One World Trade*. Santa Barbara, California: Abc-Clio.
- Bradley, Michael J. (2006). *Modern mathematics: 1900 to 1950* (PH.D.). New York: Chelsea House.
- Brown, P. R. L. (1961). *Religious Dissent in The later Roman Empire: The Case of North Africa*. History, 46(157), 83–101. Retrieved from <https://www.jstor.org/stable/24405338>
- Burrowes, T. H., Wickersham, J. P., Higbee, E. E., Waller, D. J., Schaeffer, N. C., McCaskey, J. P., Finegan, T. E., & Kelley, J. H. (1875). *The Pennsylvania School Journal* | The University of Chicago Library. In J. P. Wickersham (Ed.), Google Books (Vol. XXIV). Lancaster, PA. Pearsol & Geist, Newspaper, Book, and Job Printers. https://www.google.com/books/edition/The_Pennsylvania_School_Journal/rSFRAQA-AMAAJ?hl=en&gbpv=1&dq=Ancient+astronomers
- Carmona, M. (2002). *Housing Design Quality: Through Policy, Guidance and Review*. London; New York: Spon Press, Taylor & Francis Group. In Google Books. Retrieved February 2022, from <https://books.google.co.uk/books?id=ZJx5AgAAQBAJ&pg> (Original work published 2001)
- Cecil. Gray. (2013). *History Of Music*. Routledge; Taylor & Francis. In Google Books. Retrieved March 2022, from https://www.google.com/books/edition/History_Of_Music/R0zFBQAAQBAJ?hl=en&gbpv=1&dq=Ancient+astronomers (Original work published 2004)
- Clarke, R., & Merlin, M. (2013). *Cannabis: Evolution and Ethnobotany*. In Google Books (p. 234). Univ of California Press. <https://books.google.com/books?id=poenY6QMq8UC>
- Cooke, William (Regius Professor of Greek in the University of Cambridge.). (1789). *The Revelations Translated, and Explained Throughout, with Keys, Illustrations, Notes, and Comments; a Copious Introduction, Argument, and Conclusion*. In Google Books. Retrieved March 2022, from https://www.google.com/books/edition/The_Revelations_Translated_and_Explained/A0JVA5AAcAAJ?hl=en&gbpv=0
- Christopoulos, M., Karakantza, E., & Levaniouk, O. (2010). *Light and Darkness in Ancient Greek Myth and Religion*. Lexington Books. A Division of Rowman & Littlefield Publishers, INC (Lanham • Boulder • New York • Toronto • Plymouth, UK). In Google Books. Retrieved April 2022, from <https://books.google.fr/books?id=OFJXqyeiRqgC&pg=PA137&dq=torch+with+flames+what+symbolizes+in+ancient+greece&hl=el&sa=X&ved=2a-hUKewiHq6LPgOr3AhWQ5RoKHUf0CEc4ChDoAXoE-CAoQAq#v=onepage&q=torch%20with%20flames%20what%20symbolizes%20in%20ancient%20greece&f=false>
- Criado, Manuel. (1977). *La Celestina y su contorno social : actas del I Congreso Internacional Sobre la Celestina*. Retrieved February 2022, from books.google website: <https://books.google.com/books?id=oWsIAQAAIAAJ&q=284+theos+agatos&dq=284+theos+agatos&hl=en&sa=X&ved=0ahUKFwj53seYy4P-bAhVFx2MKHazUDk8Q6AEISjAG> ; & from catalog.library.vanderbilt.edu website: https://catalog.library.vanderbilt.edu/discovery/fulldisplay?docid=alma991009701669703276&context=L&vid=01VAN_INST:vanui&lang=en&adaptor=Local%20Search%20Engine

- Cosmopoulos, M. B. (2015). *Bronze Age Eleusis and the origins of the Eleusinian Mysteries*. Cambridge University Press. Retrieved March 2022, from academia.edu website: https://www.academia.edu/14705157/2015_Bronze_Age_Eleusis_and_the_Origins_of_the_Eleusinian_Mysteries?email_work_card=view-paper
- Cross, Frank Leslie, & Livingstone, Elizabeth A. (2005). *The Oxford dictionary of the Christian church*. Oxford: Oxford University Press. In Google Books. Retrieved Feb. 2022, from <https://books.google.gr/books?id=fUqcAQAQAQBAJ&pg=PA707&dq=The+Greek+of+the+Church+Fathers+is+a+third+type+of+the+Hellenistic+Common+that+is+even+closer+to+the+vernacular+of+their+time.&hl=en&sa=X&ved=2ahUKewiPibaJuND1AhXL6qQKHZd8AAIQ6AF6BAGGEAI#v=onepage&q=The%20Greek%20of%20the%20Church%20Fathers%20is%20a%20third%20type%20of%20the%20Hellenistic%20Common%20that%20is%20even%20closer%20to%20the%20vernacular%20of%20their%20time.&f=false>
- Curran, A. (2015). *Philosophy Guidebook to Aristotle and the Poetics*. Routledge. In Google Books. Retrieved March 2022, from https://www.google.com/books/edition/Routledge_Philosophy_Guidebook_to_Aristo/pQOpCgAAQBAJ?hl=en&gbpv=1&dq=natural+instinct+imitation&pg=PT64&printsec=frontcover
- D'Altroy, T. N. (2014). The Incas. In Google Books (p. 161). John Wiley & Sons. <https://books.google.fr/books?id=8JmAAwAAQBAJ&pg=PA161&dq=Yupana+the+Fibonacci+Number&hl=en&sa=X&ved=2ahUKewjujP67ye72AhXDC98KHTM-5BxoQ6AF6BAGJEAI#v=onepage&q=Yupana%20the%20Fibonacci%20Number&f=false>
- Danforth, L. M. (2008). *Firewalking and religious healing : the Anastenaria of Greece and the American firewalking movement*. Princeton, New Jersey: Princeton University Press.
- Daskalov, R. D., & Vezenkov, A. (Eds.). (2015). *Entangled Histories of the Balkans. Volume three: Shared pasts, disputed legacies* (Vol. 16). Leiden | Boston : Brill (Library of Congress Cataloging-in-Publication Data).
- Djordjevic, Ivan, Ryan, William, & Vasic, Bane (2010). *Coding for optical channels*. New York: Springer.
- Dunlap, Richard A. (2008). *The golden ratio and Fibonacci numbers*. New Jersey: World Scientific.
- Dunham, Dows, & Simpson, William Kelly (1974). *The Mastaba of Queen Mersyankh III - G 7530-7540*. Boston: Department of Egyptian and Ancient Near Eastern Art Museum of Fine Arts. In gizamedia.rc.fas.harvard.edu. Retrieved February 2022, from gizamedia.rc.fas.harvard.edu website: https://gizamedia.rc.fas.harvard.edu/images/MFA-images/Giza/GizaImage/full/library/giza_mastabas/giza_mastabas_1/giza_mastabas_1.pdf Based upon the excavations and recording of the late George Andrew Reisner and William Stevenson Smith Museum of Fine Arts - Harvard University Expedition.
- Eco, Umberto (1976). *A theory of Semiotics, Advances in Semiotics*. Bloomington, Ind. & London: Indiana University Press.
- Eliade, M. (1978). *A history of religious ideas. Volume one : from the stone age to the Eleusinian mysteries* (Willard R. Trask Trans.). Chicago: University Of Chicago Press. (Original work published 1976)
- Ellenberg, Jordan (2021). *Shape: The Hidden Geometry of Information, Biology, Strategy, Democracy, and Everything Else*. Penguin. In Google Books. Retrieved March 2022, from <https://books.google.gr/books?id=ZC4MEAAAQBAJ&pg=PA462&dq=Virahanka++fibonacci++university&hl=en&sa=X&ved=2ahUKewjxydjLjof2AhUSyKQKHV10BGkQ6AF6BAGGEAI#v=onepage&q=Virahanka&f=false>
- Emmer, Michele (2009). *Mathknow: Mathematics, Applied Sciences and Real Life*. Milan: Springer, Cop.
- Easterling, P. E., Knox, B. M. W., & Kenney, E. J. (1996). *Greek literature*. Cambridge Cambridge Univ. Press.
- Fideler, D. R. (Ed.) (1987). *The Pythagorean source-book and library : an anthology of ancient writings which relate to Pythagoras and Pythagorean philosophy* (K. S. Guthrie, Trans.; Godwin, J., Foreword). Grand Rapids, Michigan: Phanes Press.
- Fisher's National Magazine and Industrial Record*. (1845). Edited and published by Redwood Fisher. In Google Books. Retrieved April 2022, from https://books.google.com/books?id=HywXAQAAlAA-J&pg=PT27&dq=eagle+represent+the+human+soul&hl=en&sa=X&ved=2ahUKewj85u_T2LD3AhUYj4kEHUcECIMQ6AF6BAGJEAI#v=onepage&q=eagle%20represent%20the%20human%20soul&f=false
- Galpin, Francis W. (2011). *The Music of the Sumerians: And Their Immediate Successors, the Babylonians and Assyrians*. Cambridge University Press. In Google Books. Retrieved February 2022, from https://books.google.gr/books?id=IX-Ie3moNAi0C&printsec=frontcover&dq=babylonian+musical+instruments&hl=en&sa=X&redir_esc=y#v=onepage&q=babylonian%20musical%20instruments&f=false
- Genette, G. (1995). *Mimologies* (Th. E. Morgan Trans.). Lincoln & London: University of Nebraska Press. In Google Books. Retrieved April 2022, from <https://books.google.com.kh/books?id=ToaxHWj-mcC&pg=PA117&pg=PA117&dq=>
- Georgakopoulou, A., & Silk, M. (Eds.) (2009). *Standard Languages and Language Standards Greek, Past and Present*. The Centre For Hellenic Studies, King's College London - Publications 12: Ashgate. PDF | Koine Greek | Greek Language. Retrieved July, 2021, from Scribd website: <https://www.scribd.com/document/408392348/Standard-Languages-and-Language-Standards-Greek-Past-and-Present-Ashgate-2009-pdf>

- Godwin, J. (2014). *The Golden Thread: The Ageless Wisdom of the Western Mystery Traditions*. Quest Books. In Google Books. Retrieved March 2022, from https://www.google.com/books/edition/The_Golden_Thread/hFpbBgAAQBAJ?hl
- Heelas, Paul, Martin, David, & Woodhead, Linda (2001). *Peter Berger and the Study of Religion*. Routledge. In Google Books. Retrieved from <https://books.google.gr/books?id=a5NnnjGiA-8C&pg=PA30&dq=human+is+a+product+of+his+environment+sociology&hl=en&sa=X&ved=2ahUKewi5ldbhYPD1AhUigv0HHb3nBn8Q6AF6BAgEE-AI#v=onepage&q=human%20is%20a%20product%20of%20his%20environment%20sociology&f=false>
- Helps to the Study of the Bible: Comprising Summaries of the Several Books, with Copious Explanatory Notes and Tables Illustrative of Scripture History and the Characteristics of Bible Lands, Embodying the Results of the Most Recent Researches together with a Dictionary of Proper Names, a Biblical Index, Concordance, and a New Series of Maps. | Bible Illustrations. A series of plates illustrating Biblical Versions and Antiquities being an Appendix to Helps to The Study of The Bible.* (1896). p. 38-39. Oxford University Press, London: Henry Warehouse. In Google Books. Retrieved March 2022 from <https://books.google.com/books?id=GPw6AAAAcAAJ&pg=RA2-PP2&dq>
- Hillier, Bill (2007). *Space is the machine: a configurational theory of architecture*. London: Space Syntax (Original work published 1996)
- Hinckley Allen, R. (1899). Star names and their meanings. Leipzig, New York, Paris: G. E. Stechert. Retrieved March 2022, from <https://archive.org/details/in.ernet.dli.2015.42847/page/n5/mode/2up>
- Hornblower, G. D. (1943). 65. *The Divine Cat and the Snake in Egypt*. Man, 43, 85-87. Retrieved April 2022, from jstor.org website: <https://www.jstor.org/stable/2792847?origin=crossref>; <https://doi.org/10.2307/2792847>
- Hull, Robert F. (2010). *The Story of the New Testament Text: Movers, Materials, Motives, Methods, and Models*. In Google Books. Retrieved February 2022, from <https://books.google.gr/books?id=px-2QuazNRwC&pg=PA18&dq=alteration+of+ancient+texts+during+the+copying&hl=en&sa=X&ved=2ahUKewipxvTX-oeX1AhVEhP0HHcsaASsQ6AF6BAgIEAI#v=onepage&q=alteration%20of%20ancient%20texts%20during%20the%20copying&f=false>
- Ifrah, Georges (2000). *The Universal History of Numbers – from Prehistory to The Invention of The Computer* (D. Bellos, E. F. Harding, S. Wood & I. Monk, Trans.). New York: John Wiley & Sons.
- Ikram, S., Iskander, N., & Majlis al-A'la l-A, M. a-M. (2002). *Non-human mummies : Catalogue général of Egyptian antiquities in the Cairo Museum Nos. 24048-24056; 29504-29903 (selected); 51084-51101; 61089*. Cairo: The Supreme Council Of Antiquities Press.
- Imhausen, Annette (2016). *Mathematics in Ancient Egypt: A contextual History*. Princeton: Princeton University Press
- Joseph, George Gheverghese (2011). *The crest of the peacock: non-European roots of mathematics*. Princeton: Princeton University Press. In Internet Archive. Retrieved February 2022, from archive.org website: <https://archive.org/details/crestpeacocknone00jose>
- Library Genesis.
- Jung, C.G., Shamdasani, S., Peck, J., Kyburz, M. and Dangwei Zhou (2017). 红书 = *The red book* / Hong shu = *The red book*. 机械工业出版社, Beijing: Ji Xie Gong Ye Chu Ban She.
- Kaczmarczyk, A. (2018). *Creation Hypothesis in the Anthropocene Epoch*. Springer. In Google Books. Retrieved March 2022 from: https://www.google.com/books/edition/Creation_Hypothesis_in_the_Anthropocene/YYdnDwAAQBAJ?hl=en&gbpv=1&dq=causes+mystic+knowledge+in+ancient+times+mathematics&pg=PA48&printsec=frontcover
- Kaplan, Robert (1999). *The Nothing that is A Natural History of Zero*. New York: Oxford University Press
- Koerner, E. F. K., Embleton, Sheila M., Joseph, John Earl, & Niederehe, Hans-Josef (Eds.) (1999). *The emergence of the modern language sciences: studies on the transition from historical-comparative to structural linguistics in honour of E.F.K. Koerner*. In The Open Library. Retrieved February 2022, from openlibrary.org website: https://openlibrary.org/books/OL44443M/The_emergence_of_the_modern_language_sciences
- Koshy, Thomas (2011). *Fibonacci and Lucas Numbers with Applications*. John Wiley & Sons. In Google Books. Retrieved February 2022, from <https://books.google.gr/books?id=liDKKceqD2sC&pg=PA651&dq=Virahanka++fibonacci++university&hl=en&sa=X&ved=2ahUKew-jxydjLjof2AhUSyKQKHVI0BGkQ6AF6BAgCEAI#v=snippet&q=gopala&f=false>
- Kroth, J. (Ph.D.). (2011). *Psyche's Exile: an empirical odyssey in search of the soul*. In Google Books (p. 274). Retrieved February 2022, from <https://books.google.com/books?hl=en&id=3bOr-6ju1FvQC&q=274#v=snippet&q=274&f=false>

- Livio, Mario (2003). *The Golden Ratio: The Story of Phi, the World's Most Astonishing Number*. New York: Broadway Books.
- Lynch, Marc (2014). *The Arab Uprisings Explained: New Contentious Politics in the Middle East*. Columbia University Press. . In Google Books. Retrieved February 2022, from https://www.google.com/books/edition/The_Arab_Uprisings_Explained/UUpGAWAAQBAJ?hl=en&gbpv=1&dq=urban+planning+rebellions+control+revolution&pg=PA171&printsec=frontcover
- Maurice, L., & Tovi Bibring. (2022). *Gender, creation myths and their reception in western civilization : Prometheus, Pandora, Adam and Eve*. London ; New York: Bloomsbury Academic.
- Mitchell, William J. (1990) *The logic of Architecture*. Cambridge, Massachusetts: MIT Press (first published January 1st 1990)
- Mitchell, T. (1997). *Machine Learning*. New York: McGraw Hill.
- Michaels, A., & Wulf, C. (2020). *Science and Scientification in South Asia and Europe*. In Google Books. Taylor & Francis. https://www.google.com/books/edition/Science_and_Scientification_in_South_Asi/IxPWdWAAQBAJ?hl=en&gbpv=1&dq=causes+mystic+knowledge+in+ancient+times+mathematics&pg=PT67&printsec=frontcover
- Muckle, Robert James & Tubelle de González, Laura (2016). *Through the lens of anthropology : an introduction to human evolution and culture*. Toronto, Ontario: University Of Toronto Press.
- Murphy, E. G. (1923). *A Beginner's Star-book: An Easy Guide to the Stars and to the Astronomical Uses of the Opera-glass, the Field-glass, and the Telescope*. (2nd ed.). New York, London: G. P. Putnam's Sons, The Knickerbocker Press. In Google Books. Retrieved March 2022, from https://www.google.com/books/edition/A_Beginner_s_Star_book/D9DaAAAAAMAAJ?hl=en&gbpv=1&dq=astronomy+connection+with+letters+ancient+greek+notes&pg=PA12&printsec=frontcover (Original work published 1912)
- Needham, J., Wang, L., & Girdwood Robinson, K. (2004). *Science and Civilization in China, part 1: Physics and Physical Technology* (Vol. 4). Cambridge University Press. Retrieved March 2022 from [web.archive.org ; monoskop.org/](http://web.archive.org/monoskop.org/) website: https://web.archive.org/web/20170703010030/https://monoskop.org/images/7/70/Needham_Joseph_Science_and_Civilisation_in_China_Vol_4-1_Physics_and_Physical_Technology_Physics.pdf (Original work published 1962)
- Neufert, E., Neufert, P., Kister, J., Sturge, D. and Luhman, N.J. (2012). *Neufert*. Oxford: Wiley-Blackwell.
- Olmsted, Denison (1867). *A Compendium of Natural Philosophy: Adapted to the Use of Schools and Academies*. New York: Clark & Maynard. In Google Books. Retrieved February 2022, from <https://books.google.gr/books?id=vSYqAAAAAYAAJ&pg=PA178&dq=Chladni+Plates&hl=en&sa=X&ved=2ahUKEwidpozN6JT2AhX-5SPEDHcEWA8kQ6AF6BAGKEAI#v=onepage&q=Chladni%20Plates&f=false>
- Owens, Kay, Lean, Glen A., Paraide, Patricia, & Muke, Charly (2018). *History of number: evidence from Papua New Guinea and Oceania*. Cham, Switzerland: Springer.
- Porter, B., Moss, R. L. B., & Burney, E. W. (1994). *Topographical Bibliography of Ancient Egyptian Hieroglyphic Texts, Reliefs and Paintings. Vol. I: The Theban Necropolis, Part 1: Private Tombs* (2nd ed.). Oxford: Griffith Institute, Ashmolean Museum. (Original work published 1960)
- Raffaele, F. (2005). *An unpublished Early Dynastic stone vessel fragment with incised inscription naming the goddess Bastet*. Cahiers Caribéens d'Égyptologie (7e8): 27e60. Retrieved April 2022, from xoomer.virgilio.it website: https://xoomer.virgilio.it/francescoraf/hesyra/Bastet_CCdE7-8.pdf
- RajRAS. (2017). *Architecture & Culture of India*. In Google Books. Retrieved February 2022, from <https://books.google.gr/books?id=RdbHDwAAQBAJ&printsec=frontcover#v=onepage&q&f=false>
- Ramsay, S. (2011). *Reading Machines: Toward and Algorithmic Criticism*. University of Illinois Press. In Google Books. Retrieved February 2022, from <https://books.google.gr/books?id=NvzXvy-IrHtYC&pg=PA64&dq=matrameru+fibonacci+Pingala+university&hl=en&sa=X&ved=2ahUKEwid0tKjJl2AhWJ7KQKHfA5A-igQ6AF6BAGDEAI#v=onepage&q=matrameru%20fibonacci%20Pingala%20university&f=false>
- Rozencwajg NMD, Dr. Joe Rozencwajg NMD, D. J. (2017). *Fibonacci Potencies. The famous final words...for now*. Lulu.com. In Google Books. Retrieved February 2022, from [books.google.gr website: https://books.google.gr/books?id=CTnuDQA-AQBAJ&pg=PA54&dq=fibonacci+sequence+pingala+virahanka&hl=en&sa=X&ved=2ahUKEwJYi7eUyp_yAhWQohQKH-TomDLoQ6AEwAHoECAIQA#v=onepage&q=fibonacci%20sequence%20pingala%20virahanka&f=false](https://books.google.gr/books?id=CTnuDQA-AQBAJ&pg=PA54&dq=fibonacci+sequence+pingala+virahanka&hl=en&sa=X&ved=2ahUKEwJYi7eUyp_yAhWQohQKH-TomDLoQ6AEwAHoECAIQA#v=onepage&q=fibonacci%20sequence%20pingala%20virahanka&f=false)
- Russell, S.J. and Norvig, P. (2005). *Artificial intelligence : a modern approach*. New Delhi: Prentice Hall.
- Ržiha, Franz von. (1883). *Studien über Steinmetz-Zeichen ; T.3, Von dem graphischen Principe der Steinmetz-Zeichen* (p. 103). Wien: Kaiserlich-Königliche Hof- und Staatsdr. Retrieved April 2022, from [bildsuche.digitale-sammlungen.de website: https://bildsuche.digitale-sammlungen.de/index.html?c=viewer&bandnummer=bsb00103913&pimage=19&v=100&nav=&l=en](https://bildsuche.digitale-sammlungen.de/index.html?c=viewer&bandnummer=bsb00103913&pimage=19&v=100&nav=&l=en)

- Schmitz, K. S. (2018). *Physical Chemistry: Multi-disciplinary Applications in Society*. Elsevier. In Google Books. Retrieved March 2022 from https://www.google.com/books/edition/Physical_Chemistry/4WGdBgAAQBAJ?hl=en&gbpv=1&dq=pythagoras+combine+mathematics+art+and+science&pg=PA198&printsec=frontcover
- Schroeder, S. (2022). *Touching Philosophy, Sound-ing Religion, Placing Education*. Brill. In Google Books. Retrieved from <https://books.google.gr/books?id=IB9sEAAAQBAJ>
- Scott, Michael (2015). *Delphi: A History of the Center of the Ancient World*. In Google Books. Retrieved February 2022, from books.google.gr website: [https://books.google.gr/books?id=U26YDwAAQBAJ&pg=PA170&dq=The+invasion+of+the+Gauls+in+Greece+\(279+BC\)&hl=en&sa=X&ved=2ahUKUkwjB5d2FicH1AHXghP0HHeI-JAwQ6AF6BAgFEAI#v=onepage&q=The%20invasion%20of%20the%20Gauls%20in%20Greece%20\(279%20BC\)&f=false](https://books.google.gr/books?id=U26YDwAAQBAJ&pg=PA170&dq=The+invasion+of+the+Gauls+in+Greece+(279+BC)&hl=en&sa=X&ved=2ahUKUkwjB5d2FicH1AHXghP0HHeI-JAwQ6AF6BAgFEAI#v=onepage&q=The%20invasion%20of%20the%20Gauls%20in%20Greece%20(279%20BC)&f=false)
- Seaford, S. R. (2016). *Universe and Inner Self in Early Indian and Early Greek Thought*. In Google Books. Edinburgh University Press. <https://books.google.gr/books?id=rHUXEAAAQBAJ&pg>
- Sesiano, Jacques. (2020). *An ancient Greek treatise on magic squares*. Stuttgart: Franz Steiner Verlag.
- Seifert, Joachim, & Lemke, Frank (2014). *The Sumerian K8538 tablet. The great meteor impact devastating Mesopotamia*. Retrieved February 2022, from knowledgeminor.eu website: https://www.knowledgeminor.eu/climate/pdf/Sumerian_K8538_Paper.pdf
- Seung, T. K. (2005). *Nietzsche's Epic of the Soul: Thus Spoke Zarathustra*. Lexington Books. In Google Books. Retrieved April 2022, from <https://books.google.com/books?id=K37I4scDqgoC&pg=PA18&dq=ea-gle+represent+the+human+soul&hl=en&sa=X&ved=2ahUKUkwjB5uT2LD3AhUYj4kEHUcECIMQ6AF6BAgKEAI#v=onepage&q=ea-gle%20represent%20the%20human%20soul&f=false>
- Seyffert (Dr.), O. (1891). *A Dictionary of Classical Antiquities, Mythology, Religion, Literature & Art*. [H. Nettleship (Univ. of Oxford) & J. E. Sandys (Univ. of Cambridge) Eds.], London: Swan Sonnenschein and Company ; New York: Macmillan and Company. In Google Books. Retrieved March 2022, from https://www.google.com/books/edition/A_Dictionary_of_Classical_Antiquities_My/QVAiAAQAAIAAJ?hl=en&gbpv=1&dq=music+relationship+with+letters+ancient+greek+notes&pg=PA408&printsec=frontcover
- Show: *The Magazine of the Arts*. (1963). In Google Books. Retrieved February 2022, from https://books.google.gr/books?id=OEdaAAAAAYAAJ&sitesec=buy&source=gbs_atb [Formerly "The Magazine of the Performing Arts"]
- Smith, Albert C., & Smith, Kendra Schank (2020). *The architect as magician*. New York: Routledge, Taylor & Francis Group. Retrieved February 2022 from books.google.gr website: <https://books.google.gr/books?id=g4biDwAAQBAJ&printsec=frontcover#v=onepage&q&f=false>
- Smyth, C. P. (Charles P., & Robarts - University of Toronto. (1874). *Our inheritance in the Great Pyramid : including all the most important discoveries up to the present time*. In Internet Archive. London : Isbister. <https://archive.org/details/ourinheritancein00smytuoft/page/xx/mode/2up>
- Stouffs, R., & Sariyildiz, S. (Eds.). (2013). *ECAADe 2013 : proceedings of the 31. International Conference on Education and Research in Computer Aided Architectural Design in Europe ; 18-20 September 2013, Delft, the Netherlands, Faculty of Architecture, Delft University of Technology*. (Vol. 1). Prague: eCAADe (Education and research in Computer Aided Architectural Design in Europe) and Faculty of Architecture, Delft University of Technology.
- Swancutt, Katherine; Mazard, Mireille (2018). *Animism beyond the Soul: Ontology, Reflexivity, and the Making of Anthropological Knowledge*. New York: Berghahn Books.
- Terrinoni, E. (2009). *Occult Joyce: The Hidden in Ulysses*. In Google Books. Cambridge Scholars Publishing. Retrieved February 2022, from https://www.google.com/books/edition/Occult_Joyce/nfYyBwAAQBAJ?hl=en&gbpv=1&dq=music+relationship+with+letters+ancient+greek&pg=PA157&printsec=frontcover
- The Architect: A Weekly Illustrated Journal of Art* (1875). Gilbert Wood (Vol. 13–14). In Google Books. Retrieved February 2022, from <https://books.google.co.uk/books?id=2p8cAQAAQAAAJ&pg=PA356-1A1&dq=The+Architect:+A+Weekly+Illustrated+Journal+of+Art>
- The Pythagorean Sourcebook and Library: An Anthology of Ancient Writings which Relate to Pythagoras and Pythagorean Philosophy*. (1987). In D. R. Fideler & K. S. Guthrie (Eds.), & K. S. Guthrie, A. Fairbanks, & T. Taylor (Trans.), Google Books. Michigan: Red Wheel/Weiser. https://www.google.com/books/edition/The_Pythago-rean_Sourcebook_and_Library/EigQoSZCUAwC?hl=en&gbpv=0
- van Heerden, Derrick Scott (2018). *Music Geometry and Mathematics - The Source Code Revealed*. Unknown: Independently published (November 22, 2018).
- Vinayak, Bharne, & Krupali, Krusche, (2012). *Rediscovering the Hindu Temple: The Sacred Architecture and Urbanism of India*. Newcastle upon Tyne: Cambridge Scholars
- Verlinsky, A. (2019). Chapter 1 – Posidonius' Linguistic Naturalism and Its Philosophical Pedigree. In G. Pezzini & B. Taylor (Eds.), *Language and Nature in the Classical Roman World* (pp. 15–45). Cambridge: Cambridge University Press. Retrieved February 2022, from cambridge.org website: <https://doi.org/10.1017/9781108671972.002>

Virginia Literary Museum and Journal of Belles Lettres, Arts, & c. (1829). In Google Books (p. 65). University of Virginia. <https://books.google.com/books?id=E2gAAAAAYAAJ&pg=PA175&dq=is+the+word+owl+onomatopoeia+sound&hl=en&sa=X&ved=2ahUKewiE1JjXlvn2AhXKk4kEHZIOCIY4Mh-DoAXoECAEQAg#v=onepage&q=is%20the%20word%20owl%20onomatopoeia%20sound&f=false>

Waerden, B. L. van der. (2012). *Geometry and Algebra in Ancient Civilizations*. Springer Science & Business Media. In Google Books. Retrieved March 2022 from https://www.google.com/books/edition/Geometry_and_Algebra_in_Ancient_Civiliza/-pTzCAAAQBAJ?hl=en&gbp-v=1&dq=pythagoras+combine+mathematics+art+and+science&pg=PR11&printsec=frontcover

Westropp, H. M. (1868). *The Travellers Art Companion to the Museums and Ancient Remains of Italy, Greece and Egypt*. London: Bell & Daldy. In Google Books. Retrieved April 2022, from https://www.google.com.au/books/edition/The_Travellers_Art_Companion_to_the_Muse/FxMx_PK9bp-0C?hl=en&gbp-v=1&dq=The+hieroglyphics++an+imitative+art&pg=PA337&printsec=frontcover

Wilson, Alistair Macintosh (1995). *The infinite in the finite*. Oxford; New York: Oxford University Press.

Wilson, N. G. (2010). *Encyclopedia of Ancient Greece*. New York: Routledge.

Worcester, Elwood (1901). *The Book of Genesis in The Light of Modern Knowledge*. In Internet Archive. Retrieved February 2022, from [archive.org website: https://archive.org/details/bookofgenesisinl01worcContributor:TheLibraryofCongress](https://archive.org/details/bookofgenesisinl01worcContributor:TheLibraryofCongress).

Zekiou, Olga. (2019). *The Poetics of the Homeric Citadel*. In Google Books. Cambridge Scholars Publishing. Retrieved March 2002 from https://www.google.com/books/edition/The_Poetics_of_the_Homeric_Citadel/enSFdwAAQBAJ?hl=en&gbp-v=1&dq=Pythagoras%27s+beliefs+were+a+synthesis+of+his+knowledge&pg=PA17&printsec=frontcover

Ελληνικές & Μεταφρασμένες Μελέτες

Ching, F. D. K. (2006). *Αρχιτεκτονική - Μορφή, Χώρος & Διάταξη* (Vol. 2; B. Γεωργιάδης, Ed.; Δ. Φακίρη, Trans.). Αθήνα: ΙΩΝ (Original work published 1996)

Eidener, Hans (2004). *Όψεις της Ιστορίας της Ελληνικής Γλώσσας - από τον Όμηρο έως Σήμερα, από τη ραψωδία στο Ραπ*. Μεταφρ: Ευαγγελία Θωμαδάκη επιμ. Χριστόφορος Χαραλαμπίδης. Αθήνα: Δημ. Ν. Παπαδήμα

Klee, P. (1989) *Η εικαστική σκέψη. Τα Μαθήματα στη Σχολή Bauhaus* (Vol. 1). Αθήνα: Μέλισσα (Original work published 1989)

Poulianos, Aris N. (1981). *Pre-Sapiens Man in Greece*. *Current Anthropology*, 22(3), 287-288. Retrieved February 2022, from [jstor.org website: https://www.jstor.org/stable/2742205](https://www.jstor.org/stable/2742205)

Ross, W. D. (2001). *Αριστοτέλης* (3rd ed.; M. Μήτσου Trans.) Μορφωτικό Αθήνα: Ίδρυμα Εθνικής Τραπέζης (Original work published 1923).

Υρι, L. (1982). *Αισθητική και σημειωτική του κινηματογράφου* (3rd ed.; Π. Ζαχαροπούλου-Βλάχου Trans.; Μορφωτικό Αθήνα: Θεωρία (Original work published 1981)

Ανδρέου, Γεωργία (2012). *Γλώσσα: Θεωρητική και Μεθοδολογική Προσέγγιση*. Αθήνα: Πεδίο. Retrieved February 2022, from [eclass.uth.gr website: https://eclass.uth.gr/modules/document/file.php/SED_U_146/%28BIBΛΙΟ%29%20ΓΛΩΣΣΑ%20ΘΕΩΡΗΤΙΚΗ%20ΚΑΙ%20ΜΕΘΟΔΟΛΟΓΙΚΗ%20ΠΡΟΣΕΓΓΙΣΗ.pdf](https://eclass.uth.gr/modules/document/file.php/SED_U_146/%28BIBΛΙΟ%29%20ΓΛΩΣΣΑ%20ΘΕΩΡΗΤΙΚΗ%20ΚΑΙ%20ΜΕΘΟΔΟΛΟΓΙΚΗ%20ΠΡΟΣΕΓΓΙΣΗ.pdf)

Βαλτικός, Ευάγγελος (2015, July). *Memory and Stones - The Greek landscape carrier of culture | Μνήμη & Λίθοι - Το ελληνικό τοπίο φορέας πολιτισμού*. Retrieved February 2022 from academia.edu website: https://www.academia.edu/16955412/Memory_and_Stones_The_Greek_landscape_carrier_of_culture_Μνήμη_and_Λίθοι_Το_ελληνικό_τοπίο_φορέας_πολιτισμού?email_work_card=title

9ο Εξάμηνο. Μάθημα: Διάλεξη Σχολής Αρχιτεκτόνων Μηχανικών. Εθνικό Μετσόβιο Πολυτεχνείο. Αναφορά στον Ψυχογονικό Κύβο του Πυθαγόρα και Κύβο του Μετατρόν.

Κακριδής, Ι. Θ., Ρούσσος, Ε. Ν., Καμαρεττα, Α., Σκιαδας, Α. Δ., & Παπαχατζής, Ν. (1986). Ελληνική Μυθολογία - Οι Θεοί (Ει. Μεϊτανή, Α. Σιμου, Θ. Μικρογιαννακή, Ε. Συναδινού, & Μ. Κουρση, Eds.; Vol. 2). Αθήνα: Εκδοτική Αθηνών Α.Ε.

Κακριδής, Ι. Θ., Ρούσσος, Ε. Ν., Καμαρεττα, Α., Σκιαδας, Α. Δ., & Παπαχατζής, Ν. (2; 1986). Ελληνική Μυθολογία - Οι Ήρωες (Ει. Μεϊτανή, Α. Σιμου, Θ. Μικρογιαννακή, Ε. Συναδινού, & Μ. Κουρση, Eds.; Vol. 3). Αθήνα: Εκδοτική Αθηνών Α.Ε.

Καρπούζος, Α., & Σκέψης, Ε. (2010). *Οι Γλώσσες του Κόσμου - Οι Κόσμοι της Γλώσσας: Κείμενα Φιλοσοφίας και Ψυχολογίας της Γλώσσας*. In Google Books. Εργαστήριο Σκέψης. <https://books.google.com.ar/books?id=PMkyAgAAQBAJ&pg>

Κουρνιατή, Ανθή-Μαρία, Κουρνιατής, Νίκος (2012). *Η Προοπτική στην Αρχιτεκτονική Απεικόνιση*. Αθήνα: Τζιόλα

Λυπουρλής, Δημήτριος (2007). *Αρχαία ελληνική μετρική - μία πρώτη προσέγγιση*. Θεσσαλονίκη: Επίκεντρο. Retrieved July 2021, from Πανεπιστήμιο Πάτρας; [eclass.upatras.gr website: https://eclass.upatras.gr/modules/document/file.php/LIT1896/Archaia%20Elliniki%20Metriki.pdf](https://eclass.upatras.gr/modules/document/file.php/LIT1896/Archaia%20Elliniki%20Metriki.pdf)

- Μιχελής, Παναγιώτης Α. (2006). *Αισθητική Θεώρηση της Βυζαντινής Τέχνης*. Αθήνα: Ίδρυμα Παναγιώτη και Έφης Μιχελή
- Μουτσόπουλος, Νικόλαος (2010). Ναοδομία (p.129). Θεσσαλονίκη: University Studio Press (Εκδόσεις ωοΕπιστημονικών Βιβλίων και Περιοδικών)
- Πέτρος, Αλέξιος (ed.), Πεντζοπούλου-Βαλαδά, Τερέζα (Πρόλογος) (2011). *Η Αισθητική των Αρχαίων Ελλήνων*. Αθήνα: Ζήτρος
- Πανσελήνου, Ναυσικά (2010). *Βυζαντινή Ζωγραφική – Η βυζαντινή κοινωνία και οι εικόνες* (9th ed.). Αθήνα: Καστανιώτη (Original work published 2000)
- Παπανικολάου, Ανδρέας Κ. (2021). *Μυστική Γνώση*. Αθήνα: Gutenberg
- Πετράκης, Π. (2021). Αρχαίο Ελληνικό Αλφάβητο – Παρατηρήσεις και σχολιασμοί. Αθήνα.
- Πέτρου, Αλέξιος (2011). *Η αισθητική των αρχαίων Ελλήνων*. Θεσσαλονίκη: Ζήτρος
- Σαρηγιάννης, Γεώργιος Μ. (2011). *Η Αρχαία Πόλη – Ιστορία της Πόλης και της Πολεοδομίας*. Αθήνα: Εθνικό Μετσόβιο Πολυτεχνείο Τμήμα Ύλης στον Κύκλο Μαθημάτων αΐα – Wiktionary. (2019). Wiktionary.org. <https://en.wiktionary.org/wiki/%CE%B1%EF%BC%B6%CE%B1>
- Σιαμάκη, Κωνσταντίνου (Δρ Θεολογίας). (2000). *Η ιστορική μαρτυρία του Τάκιτου για τον Χριστό και τους διωγμούς από τον Β' μ. Χ. αιώνα*. Αθήνα: Άθως. Retrieved March 2022 from Ορθόδοξη Ομάδα Δογματικής Έρευνας http://www.oodegr.com/oode/theos/yios/martyria_takitos_1.htm
- Λατινικό κείμενο και ελληνική μετάφραση των Χρονικών του Τάκιτου, κεφ. 15,44.
- Τζιροπούλου-Ευσταθίου, Άννα (2006). *Ελλην Λόγος Πως η ελληνική γονιμοποίησε τον παγκόσμιο λόγο*. Αθήνα: Γεωργιάδης. ISBN13 9789603161905
- Τουρνικιώτης, Παναγιώτης (1994). *Ο Παρθενώνας και η Ακινοβολία του στα Νεώτερα Χρόνια*. Αθήνα: Μέλισσα
- Λεξικά**
- Μαντουλίδης, Ευάγγελος (2009). *Ετυμολογικό Λεξικό Αρχαίας Ελληνικής*. Θεσσαλονίκη: Μαντουλίδης (Original work published 1977)
- Μπαμπινιώτης, Γ. Δ. (2002). Λεξικό της Νέας Ελληνικής Γλώσσας (2nd ed.). In: Γ. Ισιβεριώτης (ed.) *Με Σχόλια για τη Σωστή Χρήση των Λέξεων Ερμηνευτικό Ετυμολογικό Ορθογραφικό Συνωνύμων - Αντιθέτων Κυρίων Ονομάτων Επιστημονικών Όρων Ακρωνυμίων*. Αθήνα: Κέντρο Λεξικολογίας Ε.Π.Ε. Retrieved May 2022, from Wiktionary.org website: <http://users.sch.gr/galexia/d/files/lexika/babiniotis.pdf>
- Μπαμπινιώτης Γ. (2010). *Ετυμολογικό Λεξικό της Νέας Ελληνικής Γλώσσας: Ιστορία των Λέξεων*. Αθήνα: Κέντρο Λεξικολογίας Ε.Π.Ε. (Original work published 2009)
- Cross, Fr. L., & Livingstone, El. A. (2005). *The Oxford dictionary of the Christian church*. Oxford: Oxford University Press. Retrieved February 2022, from [books.google.gr](https://books.google.gr/books?id=fUqcAQAQBAJ&pg=PA707&dq=The+Greek+of+the+Church+Fathers+is+a+third+type+of+the+Hellenistic+Common+that+is+even+closer+to+the+vernacular+of+their+time.&hl=en&sa=X&ved=2a-hUKewiPibaJuNDIAhXL6qQKHZd8AAIQ6AF6BAgEE-AI#v=onepage&q=The%20Greek%20of%20the%20Church%20Fathers%20is%20a%20third%20type%20of%20the%20Hellenistic%20Common%20that%20is%20even%20closer%20to%20the%20vernacular%20of%20their%20time.&f=false) website: <https://books.google.gr/books?id=fUqcAQAQBAJ&pg=PA707&dq=The+Greek+of+the+Church+Fathers+is+a+third+type+of+the+Hellenistic+Common+that+is+even+closer+to+the+vernacular+of+their+time.&hl=en&sa=X&ved=2a-hUKewiPibaJuNDIAhXL6qQKHZd8AAIQ6AF6BAgEE-AI#v=onepage&q=The%20Greek%20of%20the%20Church%20Fathers%20is%20a%20third%20type%20of%20the%20Hellenistic%20Common%20that%20is%20even%20closer%20to%20the%20vernacular%20of%20their%20time.&f=false>
- Educator, & Wallace, R. (1872). *The popular educator*. Vols. 5-6; 8 (p. 422; δημιούργος [ομηρικό]). London : John Cassell, La Belle Sauvage Yard, Ludgate Hill. In Books-Google. Retrieved March 2022 from [books.google.gr](https://books.google.gr/books?id=SDg-CAAAAQAAJ&pg) website: <https://books.google.gr/books?id=SDg-CAAAAQAAJ&pg>
- Hesychius of Alexandria, & Harvard University. (1867). *Hesychii Alexandrini Lexicon (M. Schmidt, Ed.; 2nd ed.)*. Jenae, Sumptibus Hermanni Dufftii (Libraria Maukiana). In Internet Archive Retrieved February 2022, from <https://archive.org/details/hesychiialexand00schmgoog>
- Liddell, Henry George & Scott, Robert (1940) *A Greek English Lexicon, revised and augmented throughout by Sir Henry Stuart Jones, with the assistance of Roderick McKenzie*. Oxford: Clarendon Press. Retrieved February 2022, from [perseus.tufts.edu](http://www.perseus.tufts.edu) website: <http://www.perseus.tufts.edu/hopper/text?doc=Perseus:text:1999.04.0057:entry=e/qos>
- ἔθος, εὖος, τό, (ἔθω) <http://www.perseus.tufts.edu/hopper/text?doc=Perseus:text:1999.04.0057:entry=tria/sl>
- τέσσαρες, οἱ, αἱ, τέσσαρα, τά <http://www.perseus.tufts.edu/hopper/text?doc=Perseus:text:1999.04.0057:entry=te/ssares>
- φάος <http://www.perseus.tufts.edu/hopper/text?doc=Perseus:text:1999.04.0057:entry=fa/os>
- χράω-ῶ <http://www.perseus.tufts.edu/hopper/text?doc=Perseus:text:1999.04.0057:entry=xra/w2>
- Slater, W. J. (1969) *Lexicon to Pindar*, Berlin: Walter de Gruyter. Retrieved February 2022, from [www.perseus.tufts.edu](http://www.perseus.tufts.edu/hopper/text?doc=Perseus:text:1999.04.0072:entry=a/nqelw) website: <http://www.perseus.tufts.edu/hopper/text?doc=Perseus:text:1999.04.0072:entry=a/nqelw>
- έλεγχος – contrôle – Wiktionary. (2012). Retrieved February 2022, from Wiktionary.org website: <https://en.wiktionary.org/wiki/contr%C3%B4le#French>
- ήλιος – Wiktionary. (2021). Retrieved March 2022, from Wiktionary.org website: <https://en.wiktionary.org/wiki/%E1%BC%A5%CE%B9%CE%B9%CE%BF%CF%82>

Τόμοι

Μόξερ, Αμαλία; Μπακάκου-Ορφανού, Αικατερίνη; Χαράλαμπάκης, Χριστόφορος; Χειλά-Μαρκοπούλου, Δέσποινα, (2008). *Γλώσσης χάριν*. Εκδόσεις Ελληνικά Γράμματα, Αθήνα

Gardthausen, V. (Viktor Emil), & Robarts - University of Toronto. (1911). *Griechische palaeographie*. In Internet Archive. Retrieved from <https://archive.org/details/griechischepalae02gard/page/110/mode/2up>

Grinstein, Louise, & Lipsey, Sally I. (2001). *Encyclopedia of Mathematics Education*. In Google Books. Retrieved February 2022, from <https://books.google.gr/books?id=YDZJDwAAQBAJ&pg=PA388&dq=Language+and+Mathematics&hl=en&sa=X&ved=2ahUKewir0YC-14tj1AhW&RPEDHeVEChA4WhDoAXoECAAsQA#v=onepage&q=Language%20and%20Mathematics&f=false>

Manin, Yuri I. (2007). *Mathematics as metaphor: selected essays of Yuri I. Manin*. Providence, R.I.: American Mathematical Society. 9780821843314

Smelser, N. J., & Baltes, P. B. (2001). *International encyclopedia of the social & behavioral sciences* / Vol. 16, [New-Per]. Amsterdam Etc.: Elsevier.

Schwartz, David (2005). *Encyclopedia of Knowledge Management*. In Google Books. Retrieved February 2022, from <https://books.google.gr/books?id=sbP16CXUev8C&pg=PA857&lpg=PA857&dq=knowledge+as+manipulation+tool+of+the+powerful+elite&source=bl&ots=zDIHhF07&sig=ACfU3U2gDRqJBKUBEvPMi-HXPSCxwIjxvVQ&hl=en&sa=X&ved=2ahUKewj08cDf->

Λογοτεχνικά έργα.

Δρακούλης, Πλάτωνας (1931). *Βιονομία* (3rd ed.). Αθήνα: Μ.Σ. Σαριβαξέβανη

Γραμματεία

Μεσοποταμιακή Γραμματεία

George, Andrew (Trans.). (2000) *The Epic of Gilgamesh - The Babylonian Epic Poem and Other Texts*. London: Penguin Classics ; in Akkadian and Sumerian. UK: Penguin Classics

Ελληνική Γραμματεία

Αισχύλος. (n.d.). *Ἀγαμέμνων*. Retrieved February 16, 2022, from [greek-language.gr website: https://www.greek-language.gr/digitalResources/ancient_greek/library/browse.html?text_id=129&page=8](http://greek-language.gr/digitalResources/ancient_greek/library/browse.html?text_id=129&page=8)

Αισχύλος (1991). *Προμηθέας Δεσμώτης* (Τάσος Ρούσσος Trans.). Αθήνα: Κάκτος

Απολλόδορος (Ψεύδο). (2017). *Βιβλιοθήκη Α'.* Retrieved February 2022, from [el.wikisource.org website: https://el.wikisource.org/wiki/Βιβλιοθήκη/Α](http://el.wikisource.org/wiki/Βιβλιοθήκη/Α)

Απολλόδορος-(Ψευδο). (2; 2017). *Βιβλιοθήκη Γ'.* [14,6]. Retrieved March 2022, from https://el.wikisource.org/wiki/%CE%92%CE%B9%CE%B2%CE%BB%CE%B9%CE%BF%CE%B8%CE%AE%CE%BA%CE%B7/%CE%93#v%CE%93_14

Αριστοτέλης. (2005, May 7). *Μεταφυσικά/Βιβλίο Α.* Wikisource.org; Wikimedia Foundation, Inc. https://el.wikisource.org/wiki/%CE%9C%CE%B5%CF%84%CE%B1-%CF%86%CF%85%CF%83%CE%B9%CE%BA%CE%AC/%CE%92%CE%B9%CE%B2%CE%BB%CE%AF%CE%BF_%CE%91

Αριστοτέλης. (1975). *Μετά τα φυσικά* (Α. Δαλεξίου Ed. & Trans.). Αθήνα: Επιστημονική Εταιρεία των Ελληνικών Γραμμάτων Πάπυρος.

Αριστοτέλης (2002). *Περί Ψυχής* (Απ. Παπανδρέου Trans.). Αθήνα: Γεωργιάδης

Aristotle (1933). *The Metaphysics*. In Internet Archive (pp. 42–45) (Tredennick, H. Ed. & Trans.). London William Heinemann Ltd New York : G. P. Putnam's Sons. <https://archive.org/details/inernet.dli.2015.185284>

Αριστοτέλης (2012). *Περί Ερμηνείας* (Α. Κεισσογλου, & Γ. Παπασιμπας Ed. & Trans.). Αθήνα: Σμίλη.

Αριστοφάνης (2012) *Οι Βάτραχοι* (Θρ. Σταύρου Trans.; 674–705). Θεσσαλονίκη: ΚΕΓ. Retrieved March 2022, from [greek-language.gr website: https://www.greek-language.gr/digitalResources/ancient_greek/library/browse.html?text_id=147&page=19](http://greek-language.gr/digitalResources/ancient_greek/library/browse.html?text_id=147&page=19)

Hellēnkē chrēstomatheia ek tōn dokimōterōn Hellēnōn pezographōn kai poiētōn: meta scholiōn grammatikōn, historikōn kai geōgraphikōn, kai met' epitomōn philologikōn, kai kritikōn ektheseōn ... Pros chrēsin tōn hapantachou Hellēn: scholeiōn kai gymnasiōn. Ekdosis pemptē stereotypos. (1853). S. D. Vyzantios & A. R. Ragkavis (Eds.), (4th ed., Vol. 1, p. 149). Athnes: ek tēs typographias A. Koromēla. In Google Books. Retrieved March 2022, from https://books.google.com.kh/books?id=jsOAAAAYAAJ&pg=RA4-PA149&dq=%CE%89%CF%82+%CE%B5%CE%B-%CE%B1%CE%B9%CE%B1%CE%B7%CE%B4%CE%B-%CE%BD%CE%B5%CF%82&hl=en&sa=X&ved=2ahUKewiwp9zq_r33AhVM8HMBHX3LAnw4ChDo-AXoECAQQAg#v=onepage&q=%CE%89%CF%82%20%CE%B5%CE%BB%CE%B1%CE%BB%CE%B-%CE%85%CE%BD%20%CE%B9%20%CE%B1%CE%B7%CE%B4%CE%BF%CE%BD%CE%B5%CF%82&f=false

Ηρόδοτος (1964/1992/1993/1995). *Ιστορίαι* (Η. Σπυρόπουλος, Α. Ζενάκος, & Δ. Ν. Μαρωνίτης Trans.). Αθήνα: Γκοβόστη. Retrieved April 2022, from [greek-language.gr website: https://www.greek-language.gr/digitalResources/ancient_greek/library/browse.html?text_id=30&page=25](http://greek-language.gr/digitalResources/ancient_greek/library/browse.html?text_id=30&page=25)

- Ησίοδος. (n.d.). *Έργα καὶ Ἡμέραι*. Retrieved February 2022, from [greek-language.gr](https://www.greek-language.gr/digitalResources/ancient_greek/library/browse.html?text_id=134&page=5) website: https://www.greek-language.gr/digitalResources/ancient_greek/library/browse.html?text_id=134&page=5
- Ησίοδος (2001). Θεογονία (Στ. Γκιργκένης Trans.). Θεσσαλονίκη: Ζήτρος. Retrieved February 2022, from [greek-language.gr](https://www.greek-language.gr/digitalResources/ancient_greek/library/browse.html?text_id=2&page=3) website: https://www.greek-language.gr/digitalResources/ancient_greek/library/browse.html?text_id=2&page=3
- Iamblichus. (1975). *Theologumena arithmeticae* (V. De Falco Ed.). Stuttgartiae: aedibus B. G. Teubner. In Internet Archive Retrieved February 2022, <https://archive.org/details/iamblichitheolog0000unse/page/42/mode/2up>
- Iamblichus (1818). *Life of Pythagoras, Fragments of the Ethical Writings of Certain Pythagoreans in The Doric Dialect ; Collection of Pythagoric Sentences from Stobaeus and Others, which are Omitted by Gale in his Opuscula Mythologica*. In Taylor, Thomas (Ed. & Trans.), London: J. M. Watkins. Retrieved February 2022 from [ia800606.us.archive.org](https://ia800606.us.archive.org/11/items/TaylorI818-IamblichusLifeOfPythagoras/Taylor%201818%20-%20Iamblichus%27%20Life%20of%20Pythagoras.pdf) website: <https://ia800606.us.archive.org/11/items/TaylorI818-IamblichusLifeOfPythagoras/Taylor%201818%20-%20Iamblichus%27%20Life%20of%20Pythagoras.pdf>
- Καλλιस्थένης Ολύθιος, Kroll, W. (Ed.). (1926). *Alexander Romance: Book 1 - Greek text (d)*. Retrieved February 16, 2022, from [attalus.org](http://www.attalus.org/greek/alexanderId.html) website: <http://www.attalus.org/greek/alexanderId.html>
- Claudius Ptolemaeus, Alexandrinus, & J. L. Heiberg. (1898). *Syntaxis mathematica. Lipsiae: Teubner*. Retrieved February 2022, from [wilbourhall.org](https://www.wilbourhall.org/pdfs/HeibergAlmagest-Complete.pdf) website: <https://www.wilbourhall.org/pdfs/HeibergAlmagest-Complete.pdf>
- Luciani (Λουκιανός). (1879). *Vera Historia*. In C. S. Jerram (Ed. & Trans.), lucianofsamosatata.info. Retrieved February 2022 from Oxford: Clarendon Press website: <http://lucianofsamosatata.info/downloads/jul2013/english/lucianiverahisto00lucienGLISH.pdf>
- Όμηρος. (n.d.). *Οδύσσεια*. Retrieved March 25, 2022, from [Users.sch.gr](http://users.sch.gr) website: <http://users.sch.gr/ipap/Ellinikos%20Politismos/Yliko/OMHROS%20ODYSSSEIA/OMHROS%20ODYSSSEIA.htm>
- Parmenides. (n.d.). *Fragments 1-19. [8]*. Retrieved December 23, 2020, from [lexundria](https://lexundria.com/parm_frag/1-19/grk) website: https://lexundria.com/parm_frag/1-19/grk
- Πλάτων (1994). *Κρατύλος* (Β. Μανδηλαράς Ed.; Φιλολογική ομάδα Κάκτου Trans.). Αθήνα: Εκδότης Οδυσσεύς Χατζόπουλος ; (n.d) Κρατύλος. Early Greek Philosophy: Doxography and Successions. Retrieved March 2022, from [loebclassics](https://www.loebclassics.com/view/early_greek_philosophy_doxography_successions/2016/pb_LCL525.9.xml) website: https://www.loebclassics.com/view/early_greek_philosophy_doxography_successions/2016/pb_LCL525.9.xml
- Πλάτων (1993). *Τίμαιος, Κριτίας* (Περδικίδης Ορέστης Trans.). Αθήνα: Οδυσσεύς Χατζόπουλος
- Πλάτων (2010). *Τίμαιος, Κριτίας, Το Φυσικό – Μεταφυσικό Πλατωνικό Έργο* (Θεόδωρος Γ. Μαυρόπουλος Ed. & Trans.). Θεσσαλονίκη: Ζήτρος.
- Πλάτων (2012). *Φαίδων ή Περί Ψυχής* (Α. Μ. Τζαφερόπουλος Ed.; Ι. Αθανασόπουλος Trans.). Αθήνα: Γεωργιάδη – «Βιβλιοθήκη των Ελλήνων.» Retrieved January 2022, from [eclass.uoa.gr](https://eclass.uoa.gr/modules/document/file.php/THEOL171/Κείμενα%20για%20ευρύτερη%20επιστημονική%20κατάρτιση/ΦΑΙΔΩΝ%20ή%20περί%20Ψυχής.pdf) website: <https://eclass.uoa.gr/modules/document/file.php/THEOL171/Κείμενα%20για%20ευρύτερη%20επιστημονική%20κατάρτιση/ΦΑΙΔΩΝ%20ή%20περί%20Ψυχής.pdf>
- Πλάτων (1990). *Φίληβος* (Μ. Ανδρόνικος trans.). Αθήνα: Δαιδαλος (Ι. Ζαχαρόπουλος). Retrieved April 2022, from [repository.edulll.gr](http://repository.edulll.gr/repository.edulll.gr/retrieve/7029/1838_philebus.pdf) website: http://repository.edulll.gr/repository.edulll.gr/retrieve/7029/1838_philebus.pdf
- Πλούταρχος (2012). *Ἀλέξανδρος (7.1-8.5)* (Α. Ι. Γιαγκόπουλος, Ζ. Ε. Μαλαθούνη Trans.). Θεσσαλονίκη: ΚΕΓ, Retrieved January 2022, from [greek-language.gr](https://www.greek-language.gr/digitalResources/ancient_greek/library/browse.html?text_id=103&page=4) website: https://www.greek-language.gr/digitalResources/ancient_greek/library/browse.html?text_id=103&page=4
- Plutarch. (n.d.). *Quaestiones Convivales, Book 8.2 - Πῶς Πλάτων ἔλεγε τὸν θεὸν αἰετῶς γεωμετρῆν*. Retrieved February 2022, from [www.perseus.tufts.edu](http://www.perseus.tufts.edu/hopper/text?doc=Perseus:text:2008.01.0311:book=8:chapter=2) website: <http://www.perseus.tufts.edu/hopper/text?doc=Perseus:text:2008.01.0311:book=8:chapter=2>
- Proclus, ca 410–485, Taylor, T., & Kelly – University of Toronto. (1820). *The commentaries of Proclus on the Timaeus of Plato in five books; containing a treasury of Pythagoric and Platonic physiology*. Translated from the Greek by Thomas Taylor. In Internet Archive. London The author. <https://archive.org/details/proclusontimaeus01procuoft/page/94/mode/2up>

Σανσκριτική Γραμματεία

- Bhagavad Gita (n.d.). *The Song of God ; Chapter 11, Verse 32* (Mukundananda, S. Ed.). In holy-Bhagavad-Gita. Retrieved March 2022, from [holy-bhagavad-gita.org](https://www.holy-bhagavad-gita.org/chapter/11/verse/32) website: <https://www.holy-bhagavad-gita.org/chapter/11/verse/32>
- Eggeling, Julius (1885). *The Satapatha Brahmana*. Oxford: The Clarendon Press. Retrieved February 2022, from https://ia902604.us.archive.org/20/items/satapathabrahmana00egge/satapathabrahmana00egge_bw.pdf Winner Of The British-Kuwait Friendship Society Prize In Middle Eastern Studies

Σκανδιναβική Γραμματεία

Hollander, Lee M. (Ed.). (n.d.). *The Poetic Edda*. Retrieved February 2022, from [books.google.com](https://books.google.com/books/vol/105043622/http://www.theoi.com/Text/HyginusFabulae4.html#153) website: <https://books.google.com/books/vol/105043622/http://www.theoi.com/Text/HyginusFabulae4.html#153>

Larrington, Carolyne (2014). *The poetic Edda*. Oxford: Oxford University Press.

Λατινική Γραμματεία

Gaius Julius Hyginus. (2014). *Classical E-Text: Hyginus, Fabulae 150 - 199*. Retrieved February 2022, from [web.archive.org](http://web.archive.org/web/20141105043622/http://www.theoi.com/Text/HyginusFabulae4.html#153) website: <http://web.archive.org/web/20141105043622/http://www.theoi.com/Text/HyginusFabulae4.html#153>

Pliny the Elder (1938). *Natural History, Books I-II* (H. Rackham Trans.). Harvard University Press. (Original Published 77 AD, 10 Books)

Titus Lucretius Carus, & National Library of Scotland. (1889). *De rerum natura liber primus Book I*. In J. Duff (Ed.), Internet Archive. Cambridge University Press. Retrieved March 2022, from [archive website: https://archive.org/details/dererumnatur-prim00lucruoft/page/26/mode/2up?view=theater](https://archive.org/details/dererumnatur-prim00lucruoft/page/26/mode/2up?view=theater) ; & from [perseus.tufts.edu](http://www.perseus.tufts.edu/hopper/text?doc=Perseus%3Atext%3A1999.02.0131%3Abook%3D1%3Acard%3D146) website: <http://www.perseus.tufts.edu/hopper/text?doc=Perseus%3Atext%3A1999.02.0131%3Abook%3D1%3Acard%3D146>
De rerum natura Book V. In J. Duff (Ed.), Internet Archive. Cambridge : The University Press. <https://archive.org/details/dererumnatura00lucr/page/96/mode/2up>

Lucretius Parmenides - Nothing comes from nothing. (n.d.). Parmenides.me. <https://www.parmenides.me/nothing-comes-from-nothing/>

Vitruvius Pollio. (1914). *Ten Books of architecture* (A. A. Howard, Trans.). Cambridge : Harvard university Press. <https://www.chenarch.com/images/arch-texts/0000-Vitruvius-50BC-Ten-Books-of-Architecture.pdf>

Βιτρούβιος (2000). *Περί αρχιτεκτονικής – Τόμος Α, Βιβλία Ι- V* (Π. Λέφας Trans.). Αθήνα: Πλέθρον.

Αναγεννησιακή Γραμματεία

Agrippa von Nettesheim, Heinrich Cornelius. (1533). *De Occulta Philosophia: , 1486-1535*. Retrieved December 4, 2019, from Internet Archive website: <https://archive.org/details/DeOccultaPhilosophia-Loc1533>

Χριστιανική Γραμματεία

Joannis Stobaei. (1884). *Anthologium recensuerunt* (K. Wachsmuth & O. Hense Eds.; Contributor: Robarts - University of Toronto; Vol. 1, p. 124). Berolini apud Weidmannos. In Internet Archive. Retrieved March 2022, from <https://archive.org/details/joannisstobaeian03stovuoft/page/125/mode/2up>

Migne, Jacques-Paul. (1857). *Patrologiae cursus completus: series graeca. Seu Bibliotheca universalis, integra, uniformis, commoda, oeconomica, omnium SS. patrum, doctorum scriptorumque ecclesiasticorum...qui ab aevo apostolico ad...concilii Florentini (ann. 1439)...* In Google Books. Retrieved from <https://books.google.gr/books?id=AMtA-AQAAMAAJ&pg>

Ιερατικά Βιβλία

Ελληνιστική Περίοδος

Ερμής Τρισμέγιστος (1990). *Ερμητικά Κείμενα* (Απόστολος Τζαφερόπουλος (XIII-XVIII), Περικλής Ροδάκης (Λόγοι Ι-XII) Ed. & Trans.). Αθήνα: Παρασκήνιο

Χριστιανικά Κείμενα

Αποκάλυψη Ιωάννου (n.d.). Retrieved February, 2022, from [orthodoxoiorizontes](http://orthodoxoiorizontes.gr/Kainh_Diathikh/Apokalupsis_Iwannou/Apokalupsis_Iwannou_kef.1.html#Prologos_Xairetismos_stis_epta_ekklhsies) website: http://orthodoxoiorizontes.gr/Kainh_Diathikh/Apokalupsis_Iwannou/Apokalupsis_Iwannou_kef.1.html#Prologos_Xairetismos_stis_epta_ekklhsies

Ορθόδοξος Συναξαριστής :: *Γένεσις*. (n.d.). Retrieved February 2022, from [saint.gr](https://www.saint.gr/3/6/biblebooks.aspx) website: <https://www.saint.gr/3/6/biblebooks.aspx> ; Retrieved February 2022, from Mechon Mamre website: <https://mechon-mamre.org/p/pt/pt0101.htm>

Παλαιά Διαθήκη: Γένεσις Κεφ. 1-5. (n.d.). Retrieved February 15, 2022, from orthodoxoiorizontes.gr website: https://orthodoxoiorizontes.gr/Palaia_Diathikh/Genesis/Genesis_kef.1-5.htm#kef.2A

Λογοτεχνία

Kornaros, Vincentius (1862). *Erotokritos* (p. 177). Venetia: Typogr. hell. ad eignum Phoenicis. In Google Books. Retrieved April, 2022, from books.google.gr/books?id=umLZyCx5q54C&pg=PA343&dq=kornaros+erotokritos&hl=el&sa=X&ved=2ahUKewi19sX-p_7H3AhX3g_OHHbmlAWsQ6AF6BAgIEAI#v=onepage&q=%CF%86%CF%89%CF%84%CE%B9%CE%B1&f=false

Θεατρικό έργο

Shakespeare, William. (1623). *The Tragedie of Hamlet. First Folio* (eds. John Heminge, Henry Condell). Brandeis University. Tufts University. Retrieved April, 2022, from Perseus.tufts.edu website: <https://www.perseus.tufts.edu/hopper/image?img=1998.04.0773>

Υποστηρικτικό ηλεκτρονικό υλικό.

Ιστοσελίδες.

Άρθρα. ε-Εγκυκλοπαίδειες

10 Mountains you will never climb (probably). (n.d.). Retrieved February 2022, from The Armchair Mountaineer website: <https://armchairmountaineer.com/10-mountains-you-will-never-climb>

10 Facts You Don't Know about The Last Supper by Leonardo da Vinci. (2010). Henri Matisse. <https://www.leonardodavinci.net/the-last-supper.jsp>

11 Famous Swords From History And Mythology That Have Intense Back Stories. (2015, July 8). Storypick. <https://www.storypick.com/sword-history/>

A Short History of Fibonacci Numbers. (n.d.). Retrieved January 2022, from <http://www.DNAOS.com/layout> website: <http://www.mathnovatory.com/history.html>

A world empire by other means. (2001, December 20). Retrieved February 2022, from The Economist website: <https://www.economist.com/christmas-specials/2001/12/20/a-world-empire-by-other-means>

Alexander romance | literature. (2021). Retrieved February 2022, from Encyclopedia Britannica website: <https://www.britannica.com/art/Alexander-romance>

Atomic Age - J. Robert Oppenheimer Quote (lorrissimo Channel). (n.d.). In Youtube. Retrieved March 2022, from <https://www.youtube.com/watch?v=n8H7Jibx-c0&t=45s>

Amazing Resonance Experiment! (2013). Retrieved February 2022, from YouTube website: <https://www.youtube.com/watch?v=vvJAgUBF4w>

Andrews, K. (2013, September 6). *Elon Musk demos virtual reality software for designing rocket parts.* Retrieved May, 2022, from Dezeen website: <https://www.dezeen.com/2013/09/06/elon-musk-demos-virtual-reality-software-for-designing-3d-printed-rocket-parts/>

Australian Mathematician reveals oldest applied geometry. (n.d.). Retrieved August 7, 2021, from [news.unsw.edu.au](https://www.science.unsw.edu.au/news-events/news/australian-mathematician-reveals-worlds-oldest-example-applied-geometry) website: <https://www.science.unsw.edu.au/news-events/news/australian-mathematician-reveals-worlds-oldest-example-applied-geometry>

BCITugraz (2012). *Graz-BCI Game Controller - World of Warcraft Mindcontrolled.* Retrieved 23 Dec. 2020, from Youtube website: <https://www.youtube.com/watch?v=jXpjRwPQC5Q>

brusspup. (2013). *Amazing Resonance Experiment* Retrieved Dec. 2020, from Youtube website: <https://www.youtube.com/watch?v=vvJAgUBF4w>

Casati, S. (2017). *Interactive Structures.* Retrieved May 2020, from Youtube website: <https://wewant-tolearn.wordpress.com/category/resources/inspiration/interactive-structures/>

Centre, UNESCO World Heritage (n.d.). *Göbekli Tepe.* Retrieved March 2022, from UNESCO World Heritage Centre website: <https://whc.unesco.org/en/list/1572/>

Centimetre. (2022, January 25). Retrieved February 16, 2022, from Wikipedia website: <https://en.wikipedia.org/wiki/Centimetre>

Creative Mutation (2019). *Music Visualizer using Grasshopper (Mobile Version).* Retrieved May 2020, from Youtube website: <https://www.youtube.com/watch?v=prUeQvMvIU>

Cuneiform - Maps. (2016, April 26). Retrieved August 7, 2021, from www.archaeology.org website: <https://www.archaeology.org/issues/213-1605/features/4365-cuneiform-maps>

Curry, Andrew (2016, January 20). *World's Oldest Temple to Be Restored.* Retrieved January 2022, from nationalgeographic.com website: <https://www.nationalgeographic.com/travel/article/150120-gobekli-tepe-oldest-monument-turkey-archaeology>

CymaArt. (n.d.). Retrieved February 17, 2022, from CymaScope Shop website: <https://soundmadevisible.com/order-cymaart/>

CymaScope. (2017, February 22). *Secrets of Cymatics.* Retrieved February 17, 2022, from YouTube website: <https://www.youtube.com/watch?v=uMK3QVBjx2Q> "Secrets of Cymatics" is an inspirational presentation by acoustic-physics researcher, John Stuart Reid, filmed at the Water Conference, Sofia, Bulgaria, October 2016, on the physics, chemistry and biology of water. The title of the talk was originally "The Holographic Properties of Water" and focuses on the CymaScope instrument and the emergent science of Cymatics, including significant implications for medical science and positing the first two laws of Cymatics.

Demonstrating Resonance with Chladni Figures - Christmas Lectures with Charles Taylor. (2019). Retrieved February 16, 2022, from YouTube.com website: <https://www.youtube.com/watch?v=OLNFrXgMJ6E>

Dirnhuber, J. (2018, August 1). *What is firewalking, how do people walk on hot coals and which cultures practise it?* Retrieved April 2022, from The Sun website: <https://www.thesun.co.uk/news/6917766/firewalking-hot-coals-culture-ritual/>

English, Hebrew and Simple Gematria Calculator Values. (n.d.). Gematrix.org. Retrieved March 2022, from <https://www.gematrix.org/?word=abcdefghijklmnopqrstuvwxyz>

- Fibonacci's Liber Abaci (Book of Calculation)*. (2009). Retrieved March 2022, from Utah.edu website: <https://www.math.utah.edu/~beebe/software/java/fibonacci/liber-abaci.html>
- Frequencies of Musical Notes, A4 = 440 Hz*. (2019). Retrieved from Mtu.edu website: <https://pages.mtu.edu/~suits/notefreqs.html> Michigan Technological University.
- Gareth Owens and His Decipherment of the Phaistos Disc*. (n.d.). Retrieved February 2022, from Encyclopedia people.ku.edu website: https://www.people.ku.edu/~jyounger/misc/Owens_response.pdf
- Gaspard Monge, count de Péluse | French mathematician and public official*. (2020). In Encyclopædia Britannica. Retrieved from <https://www.britannica.com/biography/Gaspard-Monge-comte-de-Peluse>
- Geo Week News Staff. (n.d.). *What you need to know about Euclidean's Hologram Table at SPAR 3D 2018*. Retrieved February 2022, from geoweeknews website: <https://www.geoweeknews.com/news/euclidean-hologram-table-spar18>
- Goode, L. (2019). *Get Ready to Hear a Lot More About 'XR'*. Retrieved May 2022, from wired website: <https://www.wired.com/story/what-is-xr/>
- Hall, S. (2017, March 16). *Kites Rise on the Wind: The Origin of Kites | Folklife Today*. Retrieved April 2022, from Blogs.loc.gov website: <https://blogs.loc.gov/folklife/2017/03/kites-rise-on-the-wind/>
- HoloLamp. (2018, January 4). *Future of Architecture with HoloLamp*. Retrieved Feb. 2022, from HoloLamp website: <https://www.youtube.com/watch?v=DgT-clwhK5zg>
- Huffington Post (n.d.). *The Lengthy History of Augmented Reality*. Retrieved May 2022, from huffingtonpost website: https://images.huffingtonpost.com/2016-05-13-1463155843-8474094-AR_history_timeline.jpg
- Is a drop of water 1 cm?* (2021, May 8). Retrieved February 16, 2022, from Wikipedikia Encyclopedia website: <https://wikipedikia.org/is-a-drop-of-water-1-cm-2/>
- Kardach, J. (2008, May 3). *Tech History: How Bluetooth got its name*. Retrieved January 2022, from eetimes.com website: https://www.eetimes.com/tech-history-how-bluetooth-got-its-name/?page_number=2#
- Kimmelman, Michael (31 March 2016). *"Zaha Hadid, Groundbreaking Architect, Dies at 65"*. The New York Times. ISSN 0362-4331. Retrieved February 16, 2022, from The New York Times Encyclopedia website: <https://www.nytimes.com/2016/04/01/arts/design/zaha-hadid-architect-dies.html>
- Kodak*. (n.d.). George Eastman. Retrieved July 2021, from kodak.com website: <https://www.kodak.com/en/company/page/george-eastman-history>
- , Costas. (2019). *History of the alphabet, the writing systems of Europe*. In YouTube. Retrieved March 2022 from <https://www.youtube.com/watch?v=OVI3ii0D2R4&list=PLSWQc0ZEEREIHBIYdlwaWq-FOTGIOW3HM>
- Milutin Milankovitch*. (2000, March 24). Retrieved February 2022, from Earthobservatory.nasa.gov website: https://earthobservatory.nasa.gov/features/Milankovitch/milankovitch_2.php#:~:text=Today%2C%20the%20Earth
- Mingren, W. (2017, January 20). *Bluetooth: Why Modern Tech is Named After Powerful King of Denmark and Norway*. Retrieved February 2022, from www.ancient-origins.net website: <https://www.ancient-origins.net/history-famous-people/bluetooth-why-modern-tech-named-after-powerful-king-denmark-and-norway-007398>
- Mirchandani, N.C., Prisca (2022). *Chinese Traditional Architecture*. Retrieved May 2022, from europeanguanxi website: <https://www.europeanguanxi.com/post/chinese-traditional-architecture>
- New China TV. (2019, August 29). *Jack Ma and Elon Musk hold debate in Shanghai*. Retrieved April 2022, from YouTube website: <https://www.youtube.com/watch?v=f3lUEnMaiAU&t=2271s>
- NextMind (n.d.). *Technology*. Retrieved May 2022, from next-mind website: <https://www.next-mind.com/technology/>
- Ontario Native Literature Coalition. (2010). *Thirteen Moons Curriculum*. Retrieved March 2022 from <https://www.ontarioparks.com/parksblog/the-lunar-calendar-on-a-turtles-back/> ; <http://onlc.ca/wp-content/uploads/2014/06/13-Moon-curriculum2.pdf>
- Orbits and Climate | Axis Tilt (Obliquity)*. (2011). Retrieved September 2021, from iastate.edu website: <http://agron-www.agron.iastate.edu/courses/Agron541/classes/541/lesson07b/7b.1.html>
- Parades.3D_Kevin_DECHAMPS (2020). *Parametric design | Grasshopper3D | Music Responsive Kinetic Wall Concept*. Retrieved May 2022, from YouTube website: <https://www.youtube.com/watch?v=OTOjqoFbY8I>
- Petroglyph Photos*. (2019). Retrieved March 2022 from Geology.com website: <https://geology.com/articles/petroglyphs/more-petroglyphs.shtml>
- Petruzzello, M. (2019). *Where Did the Peace Sign Come From?* In Encyclopædia Britannica. <https://www.britannica.com/story/where-did-the-peace-sign-come-from>
- Polychoron Productions. (2021). *The math behind the circle of fifths*. In YouTube. Retrieved March 2022 from <https://www.youtube.com/watch?v=WHmqW0OYK4A>
- "Queen of the curve" Zaha Hadid died at aged 65 from heart attack*. The Guardian. (2016, 29 November). Retrieved January 2022, from The Guardian website: <https://www.theguardian.com/artanddesign/2016/mar/31/star-architect-zaha-hadid-died-aged-65>

- Raddato, C. (n.d.). *Abu Simbel, Sanctuary of the Temple of Ramesses II*. World History Encyclopedia. Retrieved April 2, 2022, from <https://www.worldhistory.org/image/15453/abu-simbel-sanctuary-of-the-temple-of-ramesses-ii/>
- Ronnie Jones III. (2015, May 7). *Göbekli Tepe*. Retrieved January 2022, from World History Encyclopedia website: https://www.worldhistory.org/G%C3%B6bekli_Tepe/
- SAS Institute Inc. (n.d.). *Machine Learning: What it is and why it matters* Retrieved May 2022 from sas website: https://www.sas.com/en_us/insights/analytics/machine-learning.html#:~:text=Machine%20learning%20is%20a%20method
- Shashkevich, Alex. (2019, August 22). *The power of language: How words shape people, culture*. Retrieved February 2022 from Stanford News website: <https://news.stanford.edu/2019/08/22/the-power-of-language-how-words-shape-people-culture/>
- tablet K.8538*. (n.d.). Retrieved January 2022, from The British Museum website: https://www.britishmuseum.org/collection/object/W_K-8538
- tablet 91000* (n.d.). Retrieved February 16, 2022, from The British Museum website: https://www.britishmuseum.org/collection/object/W_1881-0428-34-a
- TEDx Talks (2018). *Neuroscience and Artificial Intelligence Need Each Other* | Marvin Chun | TEDxKFFAS. Retrieved April 2022, from YouTube website: <https://www.youtube.com/watch?v=97iYdJE9mQ4&t=148s>
- The Editors of Encyclopaedia Britannica. (n.d.). *Ahura Mazda* | Zoroastrian deity. Retrieved April 2022, from Encyclopedia Britannica website: <https://www.britannica.com/topic/Ahura-Mazda>
- The Fibonacci Sequence - Discovery*. (n.d.). Retrieved February 2022, from The Fibonacci Sequence website: <https://thefibonaccisequence.weebly.com/discovery.html>
- The first 300 Fibonacci numbers, factored*. (n.d.). Retrieved February 2022, from r-knott.surrey.ac.uk website: <https://r-knott.surrey.ac.uk/Fibonacci/fibtable.html>
- The Forbidden Mountains Of The World*. (2017, July 19). Retrieved February 15, 2022, from WorldAtlas website: <https://www.worldatlas.com/articles/the-forbidden-mountains-of-the-world.html>
- The Guardian (2017). *AlphaZero AI beats champion chess program after teaching itself in four hours*. Retrieved May 2022, from theguardian website: <https://www.theguardian.com/technology/2017/dec/07/alphazero-google-deepmind-ai-beats-champion-program-teaching-itself-to-play-four-hours#:~:text=AlphaZero%20AI%20beats%20champion%20chess%20program%20after%20teaching%20itself%20in%20four%20hours>
- These 10 Ancient American Civilizations Were Vast, Incredible Empires*. (2019). Retrieved January 2022, from ThoughtCo website: <https://www.thoughtco.com/top-ancient-american-civilizations-169511>
- Tsigkari, M., Tarabishy, S. and Kosicki, M. (2021). *Towards Artificial Intelligence in Architecture: How machine learning can change the way we approach design* | Foster + Partners. Retrieved May 2022, from fosterandpartners website: <https://www.fosterandpartners.com/plus/towards-artificial-intelligence-in-architecture/>
- Uxmal* | archaeological site, Mexico. (n.d.). Retrieved February 2022, from Encyclopedia Britannica website: <https://www.britannica.com/place/Uxmal>
- Virtual Reality Oasis (2021). *VR Mind Control Is HERE! And It Works!*. Retrieved May 2022, from YouTube website: <https://www.youtube.com/watch?v=SMXfyZcGvg>
- Water Science School*. (2019, May 22). The Water in You: Water and the Human Body | U.S. Geological Survey. Retrieved February 2022, from www.usgs.gov website: <https://www.usgs.gov/special-topics/water-science-school/science/water-you-water-and-human-body>
- What Einstein meant by "God does not play dice"* Jim Baggott | Aeon Ideas. (2018). Retrieved February 2022, from Aeon website: <https://aeon.co/ideas/what-einstein-meant-by-god-does-not-play-dice>
- WIRED (2015). *How to Control Things Using Your Brain (and Open-Source Hardware)* | Cyborg Nation. Retrieved 23 Dec. 2020, from Aeon website: <https://www.youtube.com/watch?v=LZPZF6OOerA>
- World History Edu (2021, June 8). *Ashur God: Origin Story, Worship, Attributes, Powers, & Facts*. Retrieved August 8, 2021, from worldhistoryedu.com website: <https://www.worldhistoryedu.com/ashur-origin-meaning-worship-powers-facts/>
- Ακρόπολη: ο ιδιοφυής αντισεισμικός σχεδιασμός της την κρατά... όρθια 25 αιώνες*. (2015, March 23). Retrieved February 2022, from Αρχαιολογία Online website: <https://www.archaiologia.gr/blog/2015/03/23/ακρόπολη-ο-ιδιοφυής-αντισεισμικός-σχ/>
- Γλωσσικό Σημείο [linguistic sign]*. (n.d.). Retrieved February 2022, from greek-language.gr website: https://www.greek-language.gr/greekLang/modern_greek/tools/lexica/glossology/show.html?id=282
- Δέκα πράγματα που δεν γνωρίζουμε για τα δελφίνια - Πώς να τα προστατεύσουμε*. (2021, February 3). Retrieved February 17, 2022, from WWF website: <https://www.wwf.gr/?uNews-ID=2072891>

Ελληνικά Ρητά. (n.d.). Retrieved February 2022, from users.uoa.gr website: http://users.uoa.gr/~nektar/history/1antiquity/ancient_hellenic_wisdom.htm

Κ. Δημουλά, “Γας Ομφαλός.” (n.d.). Retrieved February 2022, from ebooks.edu.gr website: http://ebooks.edu.gr/ebooks/v/html/8547/2712/Neocelliniki-Logotechnia_G-Lykeiou-AnthrSp_html-empl/index_1_21.html

Παπαχριστοφόρου, Α. (2015). *Παραμετρικές μορφολογίες | “αρχιτέκτονες”* ΣΑΔΑΣ-ΠΕΑ. Retrieved February 2022, from Sadas-pea.gr website: <https://www.sadas-pea.gr/parametrikes-morfologies/>

Πλάτωνας, Οδυσσεύς Ν. (Ed.). (2017, August 2). *Σφυριά: Η σφυριχτή ελληνική γλώσσα που χάνεται | Η ΚΑΘΗΜΕΡΙΝΗ*. Retrieved February 16, 2022, from kathimerini.gr website: <https://www.kathimerini.gr/society/921050/sfyria-i-sfyrichti-elliniki-glossa-poy-chanetai/>

Σπυρίδης, Χαράλαμπος Χ. (n.d.). *Η μουσικότητα της αρχαιοελληνικής γλώσσας*. Retrieved from users.uoa.gr website: <http://users.uoa.gr/~hspyridis/moysikotitaarxglwssas.pdf>

Το μυστικό που κρατάει τον Παρθενώνα όρθιο επί 2.500 χρόνια (2014, January 24). Retrieved January 2022, from Iefimerida website: <https://www.iefimerida.gr/news/140263/το-μυστικό-που-κρατάει-τον-παρθενώνα-όρθιο-επί-2500-χρόνια-εικόνες>

Wikipedia

A (musical note). (n.d.). Wikipedia. Retrieved March 2022, from [https://en.wikipedia.org/wiki/A_\(musical_note\)](https://en.wikipedia.org/wiki/A_(musical_note))

Ajanta Caves. (2019). Retrieved from Wikipedia website: https://en.wikipedia.org/wiki/Ajanta_Caves

Amrutesvara Temple, Amruthapura. (n.d.). Retrieved February 2022, from Wikipedia website: https://en.wikipedia.org/wiki/Amrutesvara_Temple,_Amruthapura

Angkor Wat. (2019). Retrieved from Wikipedia website: https://en.wikipedia.org/wiki/Angkor_Wat

Axial tilt. (2019, February 4). Wikipedia; Wikimedia Foundation. https://en.wikipedia.org/wiki/Axial_tilt

Bahubali. (n.d.). Retrieved February 2022, from Wikipedia website: <https://en.wikipedia.org/wiki/Bahubali>

Barabar Caves. (n.d.). Retrieved February 16, 2022, from Wikipedia website: https://en.wikipedia.org/wiki/Barabar_Caves

Callisthenes. (2021, July 7). Retrieved February 16, 2022, from Wikipedia website: <https://en.wikipedia.org/wiki/Callisthenes>

Chakana (n.d.). Retrieved February 2022, from Wikipedia website: https://en.wikipedia.org/wiki/Chakana#Historical_evidence

Chemical element (2019, February 18). Retrieved February 18, 2019, from Wikipedia website: https://en.wikipedia.org/wiki/Chemical_element

Digital root. (n.d.). Wikipedia. Retrieved March 2022, from https://en.wikipedia.org/wiki/Digital_root

Dravidian architecture. (2020). Retrieved January 2022, from Wikipedia website: https://en.wikipedia.org/wiki/Dravidian_architecture

Dogon people. (2020, April 28). Retrieved April 28, 2020, from Wikipedia website: https://en.wikipedia.org/wiki/Dogon_people

Ellora Caves. (2019, June 9). Retrieved from Wikipedia website: https://en.wikipedia.org/wiki/Ellora_Caves

Firewalking. (n.d.). Wikipedia. Retrieved April 2022, from <https://en.wikipedia.org/wiki/Firewalking>

Gareth Alun Owens. (2021, April 13). Retrieved from Wikipedia website: https://en.wikipedia.org/wiki/Gareth_Alun_Owens

Harald I | king of Denmark. (n.d.). Retrieved January 2022, from Encyclopedia Britannica website: <https://www.britannica.com/biography/Harald-I-king-of-Denmark>

Ikat. (2019). Wikipedia; Wikimedia Foundation. <https://en.wikipedia.org/wiki/Ikat>

Ixtlilxochitl I. (2022, February 2). Retrieved February 15, 2022, from Wikipedia website: https://en.wikipedia.org/wiki/Ixtlilxochitl_I

Jean-Étienne Montucla. (2022, January 24). Retrieved February 16, 2022, from Wikipedia website: https://en.wikipedia.org/wiki/Jean-%C3%89tienne_Montucla

Joseph-Louis Lagrange. (n.d.). Retrieved from Wikipedia website: https://en.wikipedia.org/wiki/Joseph-Louis_Lagrange

Kanji. (2019). Retrieved February 2022, from Wikipedia; Wikimedia Foundation website: <https://en.wikipedia.org/wiki/Kanji>

Khajuraho Group of Monuments. (2020). Retrieved from Wikipedia website: https://en.wikipedia.org/wiki/Khajuraho_Group_of_Monuments

Longyou Caves. (2022, January 9). Retrieved February 15, 2022, from Wikipedia website: https://en.wikipedia.org/wiki/Longyou_Caves

Magura Cave. (2019, September 8). Retrieved March 2022 from Wikipedia; Wikimedia Foundation website: https://en.wikipedia.org/wiki/Magura_Cave

Mezhyrich, Cherkasy Oblast. (n.d.). Wikipedia. Retrieved March 2022, from <https://en.wikipedia.org/wiki/Mezhyrich>

- Mohs scale of mineral hardness*. (2019, November). Retrieved from Wikipedia website: https://en.wikipedia.org/wiki/Mohs_scale_of_mineral_hardness
- Origin of the Name | Bluetooth Technology Website*. (2019). Retrieved from Bluetooth Technology Website website: <https://www.bluetooth.com/about-us/bluetooth-origin/>
- Patola sari*. (n.d.). Wikipedia. Retrieved March 2022, from https://en.wikipedia.org/wiki/Patola_sari
- Phaistos Disc*. (n.d.). Wikipedia. Retrieved March 2022, from https://en.wikipedia.org/wiki/Phaistos_Disc
- Phoenix (mythology). (2020). Wikipedia. Retrieved April 2022, from [https://en.wikipedia.org/wiki/Phoenix_\(mythology\)](https://en.wikipedia.org/wiki/Phoenix_(mythology))
- Padmanabhaswamy Temple*. (n.d.). Retrieved February 2022, from Wikipedia website: https://en.wikipedia.org/wiki/Padmanabhaswamy_Temple
- Pancha Rathas*. (n.d.). Retrieved February 2022, from Wikipedia website: https://en.wikipedia.org/wiki/Pancha_Rathas
- Phaistos Disc*. (2022, February 6). Retrieved February 16, 2022, from Wikipedia website: https://en.wikipedia.org/wiki/Phaistos_Disc
- Philae*. (2019, December 26). Retrieved February 2022, from Wikipedia website: <https://en.wikipedia.org/wiki/Philae>
- Pumapunku*. (n.d.). Retrieved February 2022, from Wikipedia website: <https://en.wikipedia.org/wiki/Pumapunku>
- Rani ki vav*. (2021). Retrieved February 2022, from Wikipedia website: https://en.wikipedia.org/wiki/Rani_ki_vav
- Sagrada Família*. (n.d.). Wikipedia; Wikimedia Foundation. Retrieved March 2022, from https://en.wikipedia.org/wiki/Sagrada_Fam%C3%ADlia
- Serapis* (n.d.). Retrieved February 2020, from Wikipedia website: <https://en.wikipedia.org/wiki/Serapis>
- Sigiriya*. (2020). Retrieved February 2022, from Wikipedia website: <https://en.wikipedia.org/wiki/Sigiriya>
- Silk*. (2018). Wikipedia; Wikimedia Foundation. <https://en.wikipedia.org/wiki/Silk>
- Sukuh*. (n.d.). Retrieved February 16, 2022, from Wikipedia website: <https://en.wikipedia.org/wiki/Sukuh>
- Swastika*. (n.d.). Wikipedia. Retrieved March 2022, from https://en.wikipedia.org/wiki/Swastika#cite_note-60
- Taj Mahal*. (n.d.). Wikipedia; Wikimedia Foundation. Retrieved March 2022, from https://en.wikipedia.org/wiki/Taj_Mahal
- Sarnat, V. (2017, September 9). *Giza Pyramids - Ultimate Geometric solution in the Hebrew Bible*. Retrieved February 2022, from YouTube website: <https://www.youtube.com/watch?v=wEK0cLd5L-PU&list=PL9k3hdn4al6WoY9w84Q5rMtZNCYqN2NRb&index=2&t=929s>
- Vegvisir*. (n.d.). Wikipedia; Wikimedia Foundation. Retrieved March 2022, from <https://en.wikipedia.org/wiki/Vegv%C3%ADsir>
- Vettuvan Koil*. (2021). Retrieved February 2022, from Wikipedia website: https://en.wikipedia.org/wiki/Vettuvan_Koil
- Αλφάδιασμα*. (n.d.). Retrieved January 2022, from el.wiktionary.org website: <https://el.wiktionary.org/wiki/%CE%B1%CE%BB%CF%86%CE%AC%CE%B4%CE%B9%CE%B1%CF%83%CE%BC%CE%B1>
- Αειφανείς αστέρες*. (2019). Retrieved January 2022, from Wikipedia.org website: https://el.wikipedia.org/wiki/Αειφανείς_αστέρες
- εθνικό σύνολο, σημιτικός λαός*. (2005). Retrieved February 2022, from Wikipedia.org website: <https://el.wikipedia.org/wiki/Άραβες>
- Ζωγραφική σπηλαίου*. (2014). Wikipedia.org; Wikimedia Foundation, Inc. https://el.wikipedia.org/wiki/Ζωγραφική_σπηλαίου
- Ηλιακή ανατολή*. (2019). Retrieved January 2022, from Wikipedia.org website: https://el.wikipedia.org/wiki/Ηλιακή_ανατολή
- Κατάλογος χημικών στοιχείων κατά ατομικό αριθμό*. (2019). Retrieved December 29, 2019, from Wikipedia.org website: https://el.wikipedia.org/wiki/Κατάλογος_χημικών_στοιχείων_κατά_ατομικό_αριθμό
- Κοίμηση της Θεοτόκου*. (2006, January 13). Retrieved March 24, 2022, from Wikipedia.org website: https://el.wikipedia.org/wiki/Κοίμηση_της_Θεοτόκου
- μέθεξη - Βικιλεξικό*. (2022). Retrieved March 2022, from Wiktionary.org website: <https://el.wiktionary.org/wiki/%CE%B-C%CE%AD%CE%B8%CE%B5%CE%BE%CE%B7>
- Παναθήναια*. (2008). Retrieved March 31, 2022, from Wikipedia.org website: <https://el.wikipedia.org/wiki/Παναθήναια>
- Τέσλα (μονάδα μέτρησης)*. (2019). Retrieved January 2022, from Wikipedia.org website: [https://el.wikipedia.org/wiki/Τέσλα_\(μονάδα_μέτρησης\)](https://el.wikipedia.org/wiki/Τέσλα_(μονάδα_μέτρησης))
- χρόνου φείδου*. (2021). Retrieved February 16, 2022, from Wiktionary.org website: https://el.wiktionary.org/wiki/χρόνου_φείδου
- Πηγές των γραμμάτων των Αλφαβήτων
- Ψυχοδελωτική ουσία*. (n.d.). Retrieved February 2022, from <https://psychedelic-wiki.blogspot.com/2013/12/psychedelics-orismos-limma.html>

Υποστηρικτικές Πηγές για τα 14 Αλφάβητα

Αγγλικά (26 γράμματα)

English alphabet. (n.d.). Retrieved February 2022, from Wikipedia website: https://en.wikipedia.org/wiki/English_alphabet

Αραβικά (28 γράμματα από το Hijāʾī & κατά αλφαριθμητική τοποθέτηση)

Arabic alphabet. (n.d.). Retrieved February 2022, from Wikipedia website: https://en.wikipedia.org/wiki/Arabic_alphabet

Αρχαία Ελληνικά (27 & 24 γραμμάτων)

Greek alphabet. (n.d.). Retrieved February 2022, from Wikipedia website: https://en.wikipedia.org/wiki/Greek_alphabet

Υποστηρικτικές Επιστημονικές Μελέτες για την Γραφή Λέξεων στα Ελληνικά

Guarducci, M. (1987). *L'Epigrafia Greca dalle origini al tardo impero*. Roma: Istituto Poligrafico E Zecca Dello Stato.

Jeffery, L. H. (1961). *The Local Scripts of Archaic Greece : A Study of The Origin of The Greek Alphabet And its Development from The Eighth to The Fifth Centuries B.C.* Oxford: Clarendon Press.

Meiggs, R., & Lewis, D. (Eds.). (2004). *A selection of Greek Historical Inscriptions to The End of The Fifth Century B.C.* London: Oxford Univ. Press.

Oliver, G. J. (Ed.). (2000). *The Epigraphy of Death : Studies in The History And Society of Greece And Rome*. Liverpool: Liverpool Univ. Press.

Wachter, R. (2001). *Non-Attic Greek vase inscriptions*. Oxford: Oxford University Press.

Woodhead, A. G. (1992). *The study of Greek inscriptions* (2nd ed.). Cambridge University Press: Cambridge.

Βάσκινα (27 γράμματα)

Basque alphabet. (n.d.). Retrieved February 2022, from Wikipedia website: https://en.wikipedia.org/wiki/Basque_alphabet

Γαλλικά (26 γράμματα)

French orthography. (n.d.). Retrieved February 2022, from Wikipedia website: https://en.wikipedia.org/wiki/French_orthography

Γερμανικά (30 γράμματα)

German orthography. (n.d.). Retrieved November 2022, from Wikipedia website: https://en.wikipedia.org/wiki/German_orthography

Εβραϊκά (22 γράμματα)

Hebrew alphabet. (n.d.). Retrieved February 2022, from Wikipedia website: https://en.wikipedia.org/wiki/Hebrew_alphabet

Ισλανδικά (36 γράμματα, αντί των σημερινών 32)

Icelandic orthography. (n.d.). Retrieved February 16, 2022, from Wikipedia website: https://en.wikipedia.org/wiki/Icelandic_orthography

Ισπανικά (30 γράμματα)

Spanish alphabet. (n.d.). Retrieved February 16, 2022, from [en.wikiversity.org](https://en.wikiversity.org/wiki/Alphabet/Spanish_alphabet) website: https://en.wikiversity.org/wiki/Alphabet/Spanish_alphabet

Ιταλικά (21 γράμματα)

Italian orthography. (n.d.). Retrieved February 2022, from Wikipedia website: https://en.wikipedia.org/wiki/Italian_orthography

Λατινικά (23 γράμματα)

Latin alphabet. (2020, March 25). Retrieved from Wikipedia website: https://en.wikipedia.org/wiki/Latin_alphabet

Υποστηρικτικές Επιστημονικές Μελέτες για την Γραφή Λέξεων στα Λατινικά

Cooley, A. (2012) *The Cambridge manual of Latin epigraphy*. Cambridge: Cambridge University Press

Ρωσικά (33 γράμματα)

Russian alphabet. (n.d.). Retrieved February 2022, from Wikipedia website: https://en.wikipedia.org/wiki/Russian_alphabet

Σουηδικά (Svenska, 24 γράμματα)

Swedish alphabet. (n.d.). Retrieved January 2022, from Wikipedia website: https://en.wikipedia.org/wiki/Swedish_alphabet

Φινλανδικά (Suomi, 29 γράμματα)

Finnish orthography. (n.d.). Retrieved February 2022, from Wikipedia website: https://en.wikipedia.org/wiki/Finnish_orthogr

Finnish-Swedish (suomalais-ruotsalainen, 33 γράμματα)

“Yucca” Korpela, J. (2004). *Letters in Finnish*. Retrieved March 2022, from [Jkorpela.fi](https://jkorpela.fi/lang/finnish-letters.html) website: <https://jkorpela.fi/lang/finnish-letters.html>

Ηλεκτρονικά επιστημονικά άρθρα

- A 3D-print of ancient history: one of the most famous mathematical texts from Mesopotamia | Institute for the Preservation of Cultural Heritage. (2016, January 16). ipch.yale.edu; ipch.yale.edu. <https://ipch.yale.edu/news-events/3d-print-ancient-history-one-most-famous-mathematical-texts-mesopotamia>
- Aporta, Claudio, Kritsch, Ingrid, Andre, Alestine, Benson, Kristi, Snowshoe, Sharon, Firth, William, & Carry, Del (2014). *The Gwich'in Atlas*. Modern Cartography Series, 229–244. <https://doi.org/10.1016/b978-0-444-62713-1.00016-7>
- Aporta, Claudio (2014, January). *Tablet VAT 7851 (Vorderseite, Berlin) portraying the zodiacal sign of Taurus. Adapted from Weidner (1927)*. Retrieved February 16, 2022, from ResearchGate website: https://www.researchgate.net/figure/Tablet-VAT-7851-Vorderseite-Berlin-portraying-the-zodiacal-sign-of-Taurus-Adapted_fig10_292916751
- Bauer, O., & Labonté, N. (n.d.). *Le cenacolo de Leonardo da Vinci: Un Trompe-La-Bouche*. Université de Lausanne, Institut lémanique de théologie pratique. Retrieved March 2022, from https://serval.unil.ch/resource/serval:BIB_D43F815F3E1B.P001/REF
- Begley, W. E. (1979). *The Myth of the Taj Mahal and a New Theory of Its Symbolic Meaning*. The Art Bulletin, 61(1), 7. <https://doi.org/10.2307/3049862>
- Berlant, S. R. (2005). *The entheomycological origin of Egyptian crowns and the esoteric underpinnings of Egyptian religion*. Journal of Ethnopharmacology, 102(2), 275–288. <https://doi.org/10.1016/j.jep.2005.07.028>
- Belaid A., Razzak M.I. (2014) *Middle Eastern Character Recognition*. In: Doermann D., Tombre K. (eds) Handbook of Document Image Processing and Recognition. Springer, London. https://doi.org/10.1007/978-0-85729-859-1_13
- Calamassi, Diletta, & Pomponi, Gian Paolo (2019). *Music Tuned to 440 Hz Versus 432 Hz and the Health Effects: A Double-blind Cross-over Pilot Study*. Explore (New York, N.Y.), 15(4), 283–290. <https://doi.org/10.1016/j.explore.2019.04.001>
- Casalegno, Federico, Colombo, Sara, Kotsopoulos, Sotirios, Lim, Yihyun, Pavlovic, Milica, Penmanm, Scott (2020, January). Determining a Framework for the Generation and Evaluation of Ambient Intelligent Agent System Designs. Advances in Intelligent Systems and Computing, 318–333. Springer: Cham, Switzerland. Retrieved February 2022, from researchgate.net website: https://www.researchgate.net/publication/336497099_Determining_a_Framework_for_the_Generation_and_Evaluation_of_Ambient_Intelligent_Agent_System_Designs
- Chang, T.-W., & Huang, W. (2014). *Computational architecture: Connecting the physical and virtual worlds*. *Frontiers of Architectural Research*, 3(4), 335–336. Retrieved April 2022, from <https://doi.org/10.1016/j.foar.2014.10.002>
- Cruz, R. G. da, Arcipreste, C. M., Pinheiro, R. L., & Ribas, R. A. de J. (2021). *Generative design: information flow between genetic algorithm and parametric design in a steel structure construction*. *Ambiente Construído*, 21(4), 271–289. Retrieved April 2022, from <https://doi.org/10.1590/s1678-86212021000400569>
- Deter-Wolf, A., Robitaille, B., Krutak, L., & Galliot, S. (2016). *The world's oldest tattoos*. *Journal of Archaeological Science: Reports*, 5, 19–24. Retrieved February 16, 2022, from <https://doi.org/10.1016/j.jasrep.2015.11.007>
- Dendrinis, Dimitrios S. (2017, May). *Nefertiti's bust and Dynamical Geometry*. Retrieved February 16, 2022, from ResearchGate website: https://www.researchgate.net/publication/317416490_Nefertiti University of Kansas.
- Deng, H., Miao, D., Wang, F.L. and Lei, J. eds., (2011). *Emerging Research in Artificial Intelligence and Computational Intelligence. Communications in Computer and Information Science*. Berlin, Heidelberg: Springer Berlin Heidelberg. Retrieved May 2022, from <https://doi.org/10.1007/978-3-642-24282-3>
- d'Errico, F., Doyon, L., Colagè, I., Queffelec, A., Le Vraux, E., Giacobini, G., ... Maureille, B. (2018). *From number sense to number symbols. An archaeological perspective*. *Philosophical Transactions of the Royal Society B: Biological Sciences*, 373(1740), 20160518. Retrieved February 2022, from royalsocietypublishing.org website: <https://doi.org/10.1098/rstb.2016.0518>
- English, J., Dr. (2019, August 29). *The Commuting Principle That Shaped Urban History*. Retrieved March 2022, from Bloomberg website: <https://www.bloomberg.com/news/features/2019-08-29/the-commuting-principle-that-shaped-urban-history>
- Jonathan English has a doctorate in urban planning from Columbia University
- Eratosthenes - Biography*. (2020). Maths History: School of Mathematics and Statistics University of St Andrews, Scotland. Retrieved March 2022, from [mathshistory.st-andrews.ac.uk](https://mathshistory.st-andrews.ac.uk/Biographies/Eratosthenes/) website: <https://mathshistory.st-andrews.ac.uk/Biographies/Eratosthenes/>
- Fulton, J., & Morris, W. (1969). *l functions related to the Fibonacci numbers*. *On Arithmetica*, 16(2), 105–110. Retrieved from <https://eudml.org/doc/204918>; Retrieved February 2022, from matwbn.icm.edu.pl website: <http://matwbn.icm.edu.pl/ksiazki/aa/aa16/aa1621.pdf>

- Geometry in Art & Architecture Unit 8.* (n.d.). Retrieved March 2022, from Math.dartmouth.edu website: <https://math.dartmouth.edu/~matc/math5/geometry/unit8/unit8.html>
- Goyal, G., Prakash, A., & Shekhawat, H. (2017). *Visual Calculation Through Shape Grammar In Architecture*. International Research Journal of Engineering and Technology (IRJET), 4(11), 293–301. Retrieved May 2022 from https://www.academia.edu/35342429/Visual_Calculation_Through_Shape_Grammar_In_Architecture
- Greenberg, R. (2000). The Slopes of the Egyptian Pyramids. Retrieved April 2022, from Sites.math.washington.edu website: <https://sites.math.washington.edu/~greenber/pyressay.html>
- Hall, Dr. R. (n.d.). *The Mathematics of Poetry*. Retrieved March 2022, from web.archive.org website: <https://web.archive.org/web/20190303192415/http://people.sju.edu/~rhall/Multi/rhythm2.pdf>
- Hardesty, Larry (2014, December 16). *How information moves between cultures*. Retrieved February 10, 2022, from MIT News | Massachusetts Institute of Technology website: <https://news.mit.edu/2014/network-maps-global-fame-different-language-speakers-1216>
- Irigaray, C. (2020, April 17). *The Pyramids of Sneferu*. Academia.edu. Retrieved April 2022, from academia.edu website: https://www.academia.edu/42770465/The_Pyramids_of_Sneferu?email_work_card=view-paper
- Kassewitz, J., & Hyson, M. T. (2016). *A Phenomenon Discovered While Imaging Dolphin Echolocation Sounds*. Journal of Marine Science: Research & Development, 6(4). Retrieved May 2022, from <https://doi.org/10.4172/2155-9910.1000202>
- Kivinen, J., Szepesvári, C., Ukkonen, E. and Zeugmann, T. eds., (2011). *Algorithmic Learning Theory. Lecture Notes in Computer Science*. Berlin, Heidelberg; Springer Berlin Heidelberg. Retrieved May 2022, from <https://doi.org/10.1007/978-3-642-24412-4>
- Kocaturk, T. (2013). *Emerging Socio-Technical Networks of Innovation in Architectural Practice*. International Journal of Architectural Computing, 11(1), 21–36. Retrieved May 2022, from <https://doi.org/10.1260/1478-0771.11.1.21>
- Krucoff, M.O., Rahimpour, S., Slutzky, M.W., Edgerton, V.R. and Turner, D.A. (2016). *Enhancing Nervous System Recovery through Neurobiologics, Neural Interface Training, and Neurorehabilitation*. 10: 584. In: Frontiers in Neuroscience. Retrieved April 2022, from ncbi.nlm.nih.gov website: <https://doi.org/10.3389/fnins.2016.00584> ; <https://www.ncbi.nlm.nih.gov/pmc/articles/PMC5186786/>
- Lamont, J.L. (2021). *The Curious Case of the Cursed Chicken: A New Binding Ritual from the Athenian Agora*. Hesperia: The Journal of the American School of Classical Studies at Athens. 90(1), pp.79–113. Retrieved April 2022, from muse.jhu.edu website: https://muse.jhu.edu/article/819855#info_wrap
- Majidi, H., & Farshchi, H. (2018). *From the Beginning of Aesthetic Theories of Art to Iannis Xenakis Mathematical Theories (The Inseparable Relationship between Music and Architecture)*. International Journal of Applied Engineering Research, 13(17), 13227–13236. https://www.ripublication.com/ijaer18/ijaerv13n17_35.pdf
- Martini, M. L., Oermann, E. K., Opie, N. L., Panov, F., Oxley, T., & Yaeger, K. (2019). *Sensor Modalities for Brain-Computer Interface Technology: A Comprehensive Literature Review*. Neurosurgery, 86(2). Retrieved April 2022, from <https://doi.org/10.1093/neuros/nyz286>
- National Academies of Sciences, Engineering, and Medicine, Health and Medicine Division, Board on Population Health and Public Health Practice, & Evidence, A. (2017, January 12). *Therapeutic Effects of Cannabis and Cannabinoids*. Retrieved March 2022, from Nih.gov; National Academies Press (US) website: <https://www.ncbi.nlm.nih.gov/books/NBK425767/>
- Nicholas, N. (2005). *Proposal to add Greek epigraphical letters to the UCS*. Technical report, Unicode Consortium. In web.archive.org. Retrieved April 2022, from <https://web.archive.org/web/20190614222932/http://www.unicode.org/L2/L2005/05003r-epigraphical.pdf>
- Nomina sacra.* (n.d.). Retrieved March 25, 2022, from Wikipedia website: https://en.wikipedia.org/wiki/Nomina_sacra#cite_note-11
- New Testament Greek manuscripts containing nomina sacra (before 300 CE): All nomina sacra and dates of manuscripts taken from Text of the Earliest New Testament Greek Manuscripts* - Philip Comfort and David Barrett (2001).
- Pavlovic, M., Kotsopoulos, S., Lim, Y., Penman, S., Colombo, S. and Casalegno, F. (2019). *Determining a Framework for the Generation and Evaluation of Ambient Intelligent Agent System Designs*. Advances in Intelligent Systems and Computing, pp.318–333. Retrieved February 2022 from https://doi.org/10.1007/978-3-030-32520-6_26
- Proust, D. (2011). *The Harmony of the Spheres from Pythagoras to Voyager*. The Role of Astronomy in Society and Culture, Proceedings of the International Astronomical Union, IAU Symposium, 260, 358–367. <https://articles.adsabs.harvard.edu/full/2011IAUS..260..358P/0000358.000.html> ; Bibliographic Code: 2011IAUS..260..358P

- Purves, D., Augustine, G.J., Fitzpatrick, D., Katz, L.C., LaMantia, A.-S., McNamara, J.O. and S Mark Williams (2018). *The Audible Spectrum*. Nih.gov. Retrieved February 2022, from ncbi.nlm.nih.gov website: <https://www.ncbi.nlm.nih.gov/books/NBK10924/>
- Ran, Weiyu, & Fredericks, Steven (2013). *Shape oscillation of a levitated drop in an acoustic field*. ArXiv:1310.2967 [Physics]. Retrieved February 2022, from arxiv.org website: <https://arxiv.org/abs/1310.2967v1>
Cornell University.
- Reinach, T. (1897). *Fragments musicologiques inédits*. Revue Des Études Grecques, 10(39), 313–327. <https://doi.org/10.3406/reg.1897.5814r> Retrieved April 2022, from persee.fr website: https://www.persee.fr/doc/reg_0035-2039_1897_num_10_39_5814
- Reynolds, M. (1999). *A Comparative Geometric Analysis of the Heights and Bases of the Great Pyramid of Khufu and the Pyramid of the Sun at Teotihuacan*. Nexus Network Journal, 1(1–2), 23–42. <https://doi.org/10.1007/s00004-998-0003-3> ; Retrieved April 2022, from link.springer website: <https://link.springer.com/content/pdf/10.1007/s00004-998-0003-3.pdf>
- Robb, J. (2020). *Art (Pre)History: Ritual, Narrative and Visual Culture in Neolithic and Bronze Age Europe*. Journal of Archaeological Method and Theory, 27(3), 454–480. <https://doi.org/10.1007/s10816-020-09471-w>
- Rossi, Corinna, & Tout, Christopher A. (2002). *Were the Fibonacci Series and the Golden Section Known in Ancient Egypt?* Historia Mathematica, 29(2), 101–113. Retrieved February 2022, from sciencedirect.com website: <https://www.sciencedirect.com/science/article/pii/S0315086001923341> & <https://doi.org/10.1006/hmat.2001.2334>
Churchill College, Cambridge CB3 0DS, United Kingdom
- Schlaudt, Oliver (2020). *Type and Token in the Pre-historic Origins of Numbers*. Cambridge Archaeological Journal, 1–18. Retrieved February 2022, from cambridge.org website: <https://doi.org/10.1017/s0959774320000165>
- Schnabel, M.A. and Lo, T.T. (2018). *Virtual & Augmented Studio Environment (VASE): Developing the Virtual Reality Eco-System for Design Studios*. Learning, Adapting and Prototyping, Proceedings of the 23rd International Conference of the Association for Computer-Aided Architectural Design Research in Asia (CAADRIA) 2018, 1, pp. 443–452. Retrieved May 2022, from academia.edu website: https://www.academia.edu/36701691/Virtual_and_Augmented_Studio_Environment_VASE_Developing_the_Virtual_Reality_Eco_System_for_Design_Studios
- Scott, T., & Marketos, P. (2014, March 23). *On the origin of the Fibonacci Sequence*. Retrieved February 2022, from University of St Andrews website: <https://mathshistory.st-andrews.ac.uk/Publications/fibonacci.pdf> ; In academia.edu website: https://www.academia.edu/38188047/On_the_Origin_of_the_Fibonacci_sequence
- Senske, N. (n.d.). *Building a Computational Culture: A Pedagogical Study of a Computer Programming Requirement*. Retrieved 22 May, 2022 from researchgate.net website: https://www.researchgate.net/publication/264458841_Building_a_Computational_Culture_a_pedagogical_study_of_a_computer_programming_requirement
- Shah, J. (n.d.). A HISTORY OF PIṄGALA'S COMBINATORICS. Retrieved February 2022 from web.northeastern.edu website: <https://web.northeastern.edu/shah/papers/Pingala.pdf>
- Shih, J.J., Krusienski, D.J. and Wolpaw, J.R. (2012). *Brain-Computer Interfaces in Medicine*. Mayo Clinic Proceedings, 87(3), pp.268–279. Retrieved March 2022 from <https://doi.org/10.1016/j.mayocp.2011.12.008>
- Sims-Williams, N., & Everson, M. (2002). Proposal to add two Greek letters for Bactrian to the UCS. In std.dkuug.dk. Universal Multiple-Octet Coded Character Set International Organization for Standardization Organisation Internationale de Normalisation еждународная организация по стандартизации A. Administrative. Retrieved April 2022, from std.dkuug.dk website: <http://std.dkuug.dk/jtc1/sc2/wg2/docs/n2411.pdf>
- Singh, P. (1985). *The so-called fibonacci numbers in ancient and medieval India*. Historia Mathematica, 12(3), 229–244. [https://doi.org/10.1016/0315-0860\(85\)90021-7](https://doi.org/10.1016/0315-0860(85)90021-7)
- Stiny, G. (1977). *Ice-Ray: A Note on the Generation of Chinese Lattice Designs*. Environment and Planning B: Planning and Design, 4(1), 89–98. Retrieved March 2022 from <https://doi.org/10.1068/b040089>
- Stiny, G. and March, L. (1981). *Design Machines*. Environment and Planning B: Planning and Design, 8(3), pp.245–255. Retrieved March 2022 from <https://doi.org/10.1068/b080245>
- Szynalski, Tomasz P. (2011). *Online Tone Generator - generate pure tones of any frequency*. Retrieved January 2022, from [Szynalski.com](https://www.szynalski.com/tone-generator/) website: <https://www.szynalski.com/tone-generator/>
- The Fibonacci Numbers and Golden section in Nature - I.* (n.d.-b). Retrieved March 2022, from r-knott.surrey.ac.uk website: <https://r-knott.surrey.ac.uk/Fibonacci/fibnat.html#Rabbits>

- The Universes of Max Tegmark. (2022). Retrieved March 2022 from Mit.edu website: <https://space.mit.edu/home/tegmark/mathematical.html>
- Teeter, Emily. (1987). *Techniques and Terminology of Rope-Making in Ancient Egypt*. The Journal of Egyptian Archaeology, 73, 71–77. <https://doi.org/10.2307/3821522>
- Texier, P.-J., Porraz, G., Parkington, J., Rigaud, J.-P., Poggenpoel, C., & Tribolo, C. (2013). *The context, form and significance of the MSA engraved ostrich eggshell collection from Diepkloof Rock Shelter, Western Cape, South Africa*. Journal of Archaeological Science, 40(9), 3412–3431. <https://doi.org/10.1016/j.jas.2013.02.021>
- University of Nebraska, Center for Digital Research in the Humanities (n.d.). *What is a Digital Project?* Retrieved April 2022, from cdrh.unl.edu website: <https://cdrh.unl.edu/articles/basicguide/digitalproject>
- Vazza, F., & Feletti, A. (2020). *The Quantitative Comparison Between the Neuronal Network and the Cosmic Web*. Frontiers in Physics, 8. Retrieved February 2022, from <https://doi.org/10.3389/fphy.2020.525731>; researchgate website https://www.researchgate.net/publication/347791608_The_Quantitative_Comparison_Between_the_Neuronal_Network_and_the_Cosmic_Web
- Volcher, L. (2001). *Language as Mimesis Language as Mimesis*. Law Text Culture, Special North American Issue, 5(2). Retrieved April 2022 from University of Washington website: <https://ro.uow.edu.au/cgi/viewcontent.cgi?article=1059&context=ltc>
- Wells, R. H. (1981). *Number symbolism in the renaissance lute rose*. Early Music, 9(1), 32–42. <https://doi.org/10.1093/earlyj/9.1.32>
- Βερτουδάκης, Β. (2007). *Προέλευση, εξέλιξη και διάδοση του ελληνικού αλφαβήτου* [Greek alphabet: origin, evolution, and dissemination]. Academia.edu. Retrieved July 2021, from Academia.edu. https://www.academia.edu/5520533/%CE%A0%CF%81%CE%BF%CE%AD%CE%B%CE%B5%CF%85%CF%83%CE%B7_%CE%B5%CE%BE%CE%AD%CE%BB%CE%B9%CE%BE%CE%B7_%CE%BA%CE%B1%CE%B9_%CE%B4%CE%B9%CE%AC%CE%B4%CE%BF%CF%83%CE%B7_%CF%84%CE%BF%CF%85_%CE%B5%CE%BB%CE%BB%CE%B7%CE%BD%CE%B9%CE%BA%CE%BF%CF%8D_%CE%B1%CE%BB%CF%86%CE%B1%CE%B2%CE%AE%CF%84%CE%BF%CF%85_Greek_alphabet_origin_evolution_and_dissemination_Vassilios_Vertoudakis, National & Kapodistrian University of Athens, Faculty Member
- Βρικέλλη, Β. (2015). *Η αγωγή ενός ιδεώδους ανθρωποτύπου. Ο “καλός καγαθός” πέρα από την εγγραμματοσύνη* (pp. 2–5). Πανεπιστήμιο Αιγαίου Σχολή Κοινωνικών Επιστημών, Τμήμα Κοινωνικής Ανθρωπολογίας & Ιστορίας Μεταπτυχιακό Πρόγραμμα Σπουδών, Κοινωνική και Ιστορική Ανθρωπολογία. Retrieved April 2022, from hellanicus.lib.aegean.gr website: <https://hellanicus.lib.aegean.gr/bitstream/handle/11610/14471/file0.pdf?sequence=2>
- Zuccaro, G. (2017). *The dawn of neurosurgery in pre-conquest Mesoamerican territories*. Child's Nervous System, 33(10), 1621–1629. <https://doi.org/10.1007/s00381-017-3464-4>
- Καυκαλίδης, Ζέφυρος (n.d.). *Ψυχολογική και Ψυχεδελική τεχνική στη Ψυχοθεραπεία*. Retrieved January 2022, from Academia.edu website: https://www.academia.edu/41096191/Ψυχολογική_και_Ψυχεδελική_τεχνική_στη_Ψυχοθεραπεία
- Λυκερίδης, Ανδρέας (2012). *«Η Δυναμική Σχέση Αιτημάτων Ορισμών στα Αρχαία Ελληνικά Μαθηματικά και η Προβολή της στις Σύγχρονες Μαθηματικές Θεμελιώσεις»* (Διπλωματική εργασία «Μεταπτυχιακών Σπουδών στα Μαθηματικά»). Επιβλέπων καθηγητής: Αρβανιτογεωργος Ανδρέας. Ελληνικό Ανοικτό Πανεπιστήμιο, Σχολή Θετικών Επιστημών και Τεχνολογίας: Αθήνα. Academia.edu. Retrieved March 2022, from Academia.edu website: https://www.academia.edu/43608881/%CE%97_%CE%94%CF%85%CE%BD%CE%B1%CE%BC%CE%B9%CE%BA%CE%AE_%CE%A3%CF%87%CE%AD%CF%83%CE%B7_%CE%91%CE%B9%CF%84%CE%B7%CE%BC%CE%AC%CF%84%CF%89%CE%BD_%CE%9F%CF%81%CE%B9%CF%83%CE%BC%CF%8E%CE%BD_%CF%83%CF%84%CE%B1_%CE%91%CF%81%CF%87%CE%B1%CE%AF%CE%B1_%CE%95%CE%BB%CE%BB%CE%B7%CE%BD%CE%B9%CE%BA%CE%AC_%CE%9C%CE%B1%CE%B8%CE%B7%CE%BC%CE%B1%CF%84%CE%B9%CE%BA%CE%AC_%CE%BA%CE%B1%CE%B9_%CE%B7_%CE%A0%CF%81%CE%BF%CE%B2%CE%BF%CE%B%CE%AE_%CF%84%CE%B7%CF%82_%CF%83%CF%84%CE%B9%CF%82_%CE%A3%CF%8D%CE%B3%CF%87%CF%81%CE%BF%CE%BD%CE%B5%CF%82_%CE%9C%CE%B1%CE%B8%CE%B7%CE%BC%CE%B1%CF%84%CE%B9%CE%BA%CE%AD%CF%82_%CE%98%CE%B5%CE%BC%CE%B5%CE%B%CE%B9%CF%8E%CF%83%CE%B5%CE%B9%CF%82
- Καραντζόλα, Ε. (n.d.). *Συστήματα Γραφής στο Μεσογειακό - Ενότητα 6: Αλφαβητική γραφή* (σ. 15). Retrieved July 2021, from eclass.aegean.gr website: <https://eclass.aegean.gr/modules/units/?course=TMS169&id=2381> Πανεπιστήμιο Αιγαίου, Τμήμα Μεσογειακών Σπουδών

Κοσμάς Γαζέας. (2017). *Συστήματα Χρόνου* Retrieved October 2021 from Εθνικό και Καποδιστριακό Πανεπιστήμιο Αθηνών website: https://eclass.uoa.gr/modules/document/file.php/MATH378/02_ΣΥΣΤΗΜΑΤΑ_ΧΡΟΝΟΥ_ΚΟΣΜΑΣ_ΓΑΖΕΑΣ_2017.pdf ; Retrieved March 2022 docplayer website: <https://docplayer.gr/61369198-Ethniko-kai-kapodistriako-panepistimio-athinon-kosmas-gazeas.html>

Μπαμπινιώτης, Γεώργιος (2019, December 5). *Φωνήεντα εναντίον... φωνηέντων*. Retrieved February 10, 2022, from www.babiniotis.gr website: <https://www.babiniotis.gr/dimosieumata/glossika-themata/397-fonienta-enantion-fonienton>

Ομάδα Ψηφιακής Ακουστικής. (n.d.). *Noise Pollution :: | Θεωρία | Ανθρώπινη ακοή*. Medialab.ntua.gr. Retrieved March 2022, from [medialab.ntua.gr](http://www.medialab.ntua.gr/acoustics/hearing.html) website: <http://www.medialab.ntua.gr/acoustics/hearing.html> Τμήμα Ηλεκτρολόγων Μηχανικών & Μηχανικών Υπολογιστών, Τομέας Επικοινωνιών, Ηλεκτρονικής & Συστημάτων Πληροφορικής Εργαστήριο Πολυμέσων.

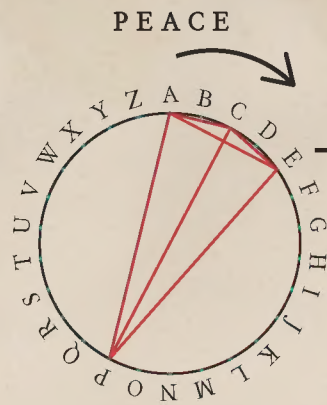
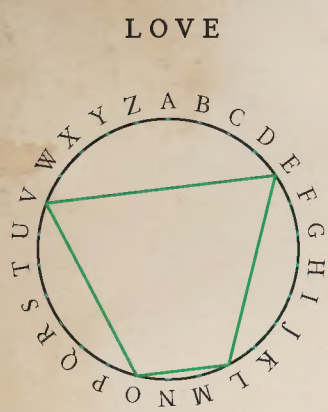
Ρωσσίδης, Ι. (2019, July). *Οι πραγματικοί αριθμοί μέσα από τη θεωρία των ενσώματων μαθηματικών*. Θεσσαλονίκη: Ελληνικό Ανοικτό Πανεπιστήμιο, Σχολή Θετικών Σπουδών & Τεχνολογίας Μεταπτυχιακές Σπουδές στα Μαθηματικά. Retrieved February 2022, from [apothesis.eap.gr](https://apothesis.eap.gr/bitstream/repo/44150/1/101235_%CE%A1%CE%A9%CE%A3%CE%A3%CE%92%CE%94%CE%97%CE%A3_%CE%99%CE%A9%CE%A3%CE%97%CE%A6.pdf) website: https://apothesis.eap.gr/bitstream/repo/44150/1/101235_%CE%A1%CE%A9%CE%A3%CE%A3%CE%92%CE%94%CE%97%CE%A3_%CE%99%CE%A9%CE%A3%CE%97%CE%A6.pdf

Σπυρίδης, Χ. Χ. (n.d.). *Η μουσική των Σφαιρών των Πυθαγορείων*. Εθνικό και Καποδιστριακό Πανεπιστήμιο Αθηνών, 11. Retrieved March 2022, from [users.uoa.gr](http://users.uoa.gr/~hspyridis/kallipateira.pdf) website: <http://users.uoa.gr/~hspyridis/kallipateira.pdf>

Σπυρίδης, Χαράλαμπος Χ. (2; n.d.). *Μαθηματική Δομή της Αρχαίας Ελληνικής Μουσικής: ΚΥΒΟΣ (Μέγαρο Μουσικής Αθηνών)*. Retrieved March 2022, from [users.uoa.gr](http://users.uoa.gr/~hspyridis/kyvos.pdf) website: <http://users.uoa.gr/~hspyridis/kyvos.pdf>

Φουρκιώτου, Α. (2017). *Δίκτυα και ανταλλαγές στην Ελλάδα*. Retrieved February 2022, from [ikee.lib.auth.gr](https://ikee.lib.auth.gr/record/292221/files/GRI-2017-19579.pdf) website: <https://ikee.lib.auth.gr/record/292221/files/GRI-2017-19579.pdf> Φιλοσοφική Σχολή, Τμήμα Ιστορίας και Αρχαιολογίας, Τομέας Αρχαιολογίας | Κύρια Εργασία Α΄ Κύκλου Μεταπτυχιακών Σπουδών, Ειδίκευση: Προϊστορική Αρχαιολογία.

Words: Love - Peace. Modern Peace Sign



LOVE



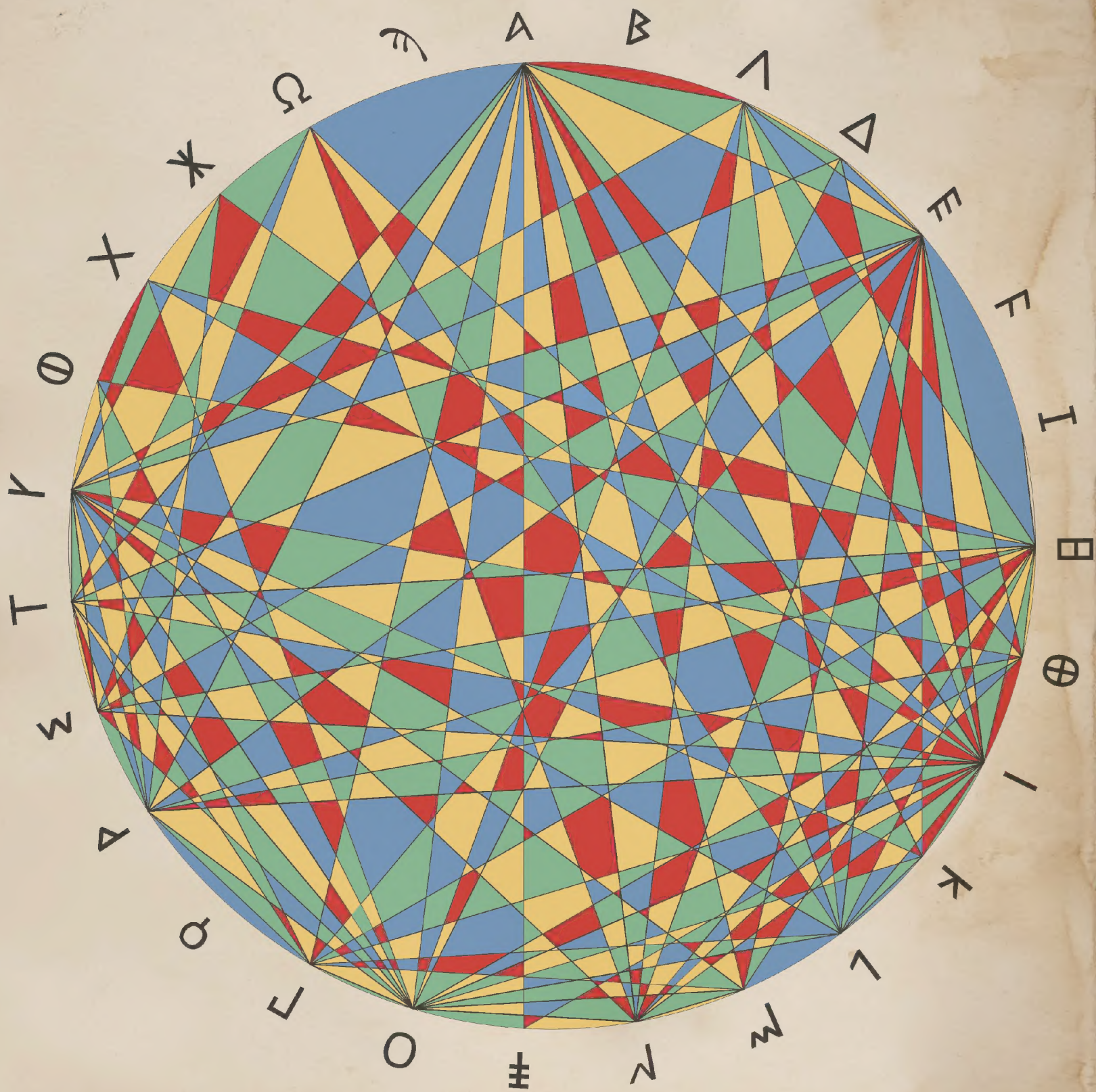
PEACE

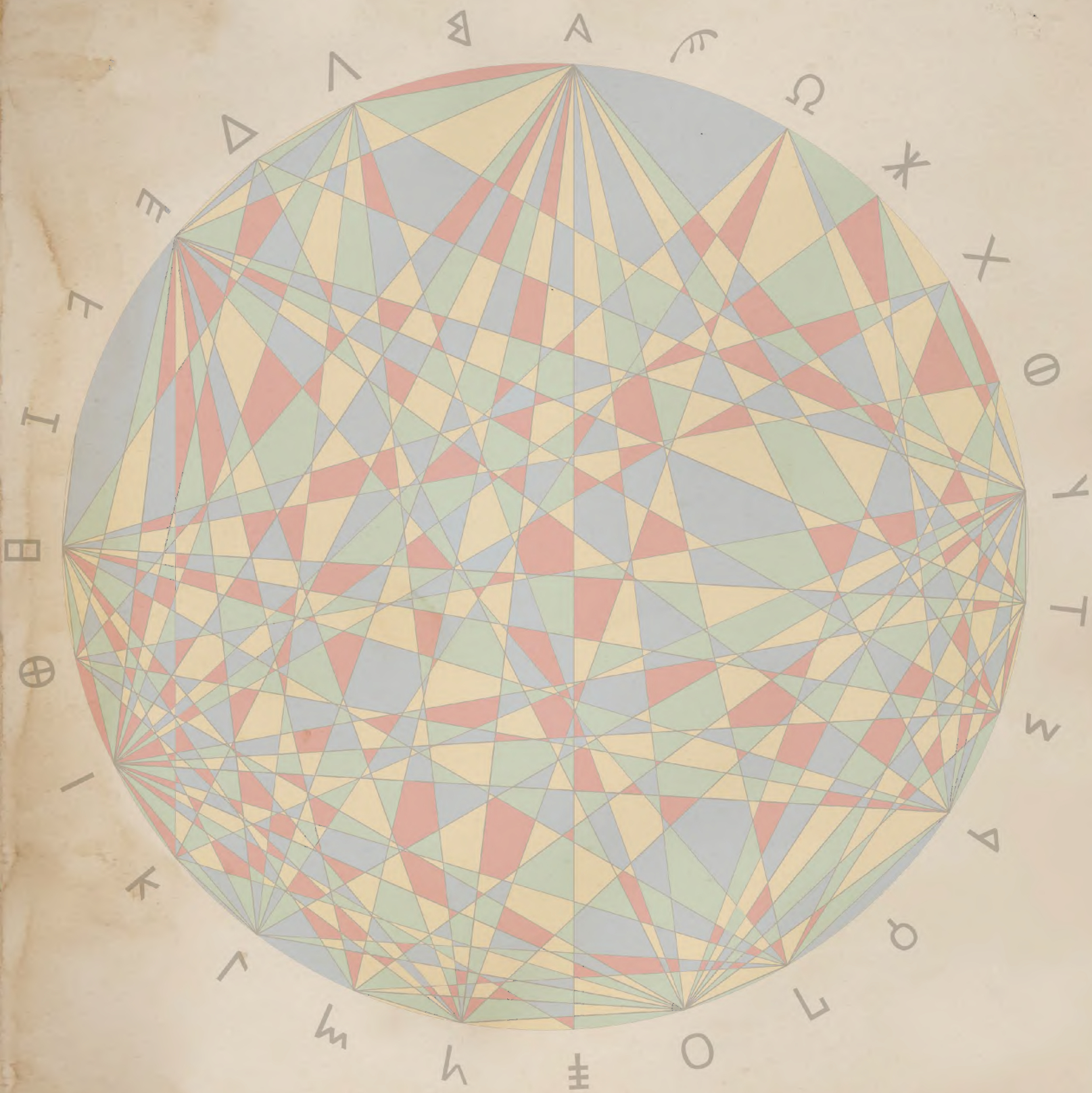


PEACE + LOVE



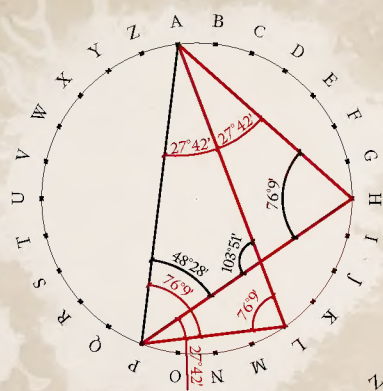
Ὀρφῆως Ὑμνος εἰς Μούσας. Σε ἓναν κύκλο



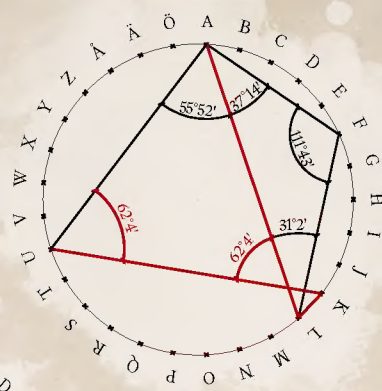


14 Alphabets. Language Family Tree - Alpha, Ἀλφα

alpha



English (26)
alpha



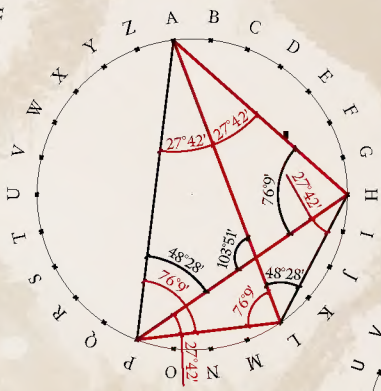
Finnish (29)
alfa (=alpha)
alku (=beginning)



Basque (27)
alfa



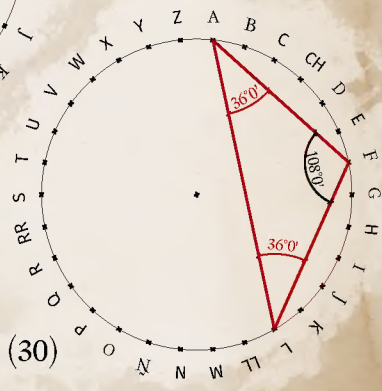
Icelandic (36)
alfa



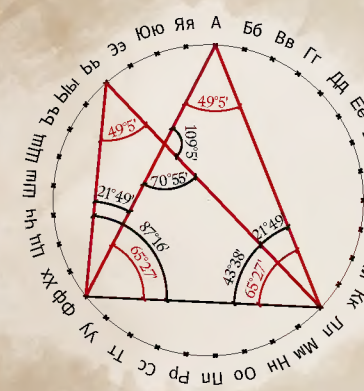
French (26)
alpha



Swedish (29)
alfa



Spanish (30)
alfa

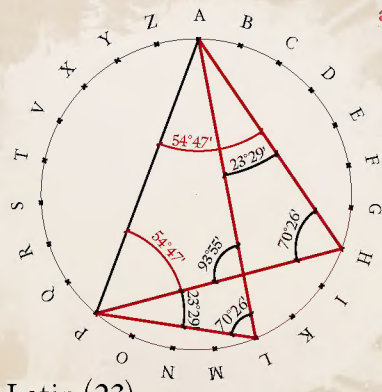


Russian (33)
альфа



Maghrebian
Hijā'i order

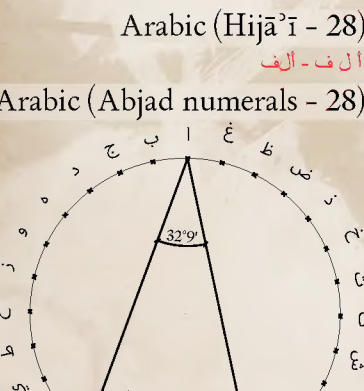
Maghrebian
Common
Hijā'i order



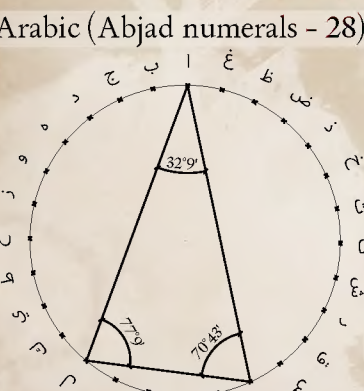
Latin (23)
alpha



Italian (21)
alfa



Arabic (Hijā'i - 28)
ألف - ال

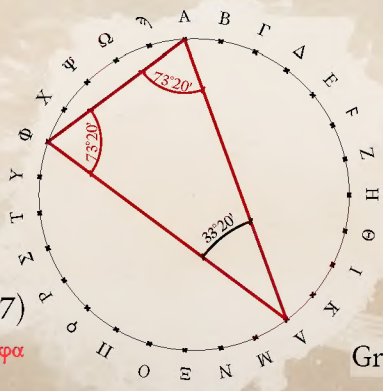


Arabic (Abjad numerals - 28)



Hebrew (22)
א ב ג ד ה ו ז ח ט י כ ל מ נ ס ע פ צ ק ר ש ת

Ancient Greek (27)
ἄλφα



Greek (24)
ἄλφα

